



HAL
open science

La fouille des Grandes Corvées (Naix-aux-Forges, 55)

Miguel Rodriguez, Bertrand Bonaventure, Antoine Franchini, Lucile Catté,
Marion Legagneux, Quentin Bruncher, Laura Darmon, Erwan Mathieu,
Adrien Poumirau, Jeanne Véber

► To cite this version:

Miguel Rodriguez, Bertrand Bonaventure, Antoine Franchini, Lucile Catté, Marion Legagneux, et al..
La fouille des Grandes Corvées (Naix-aux-Forges, 55). Centre Ardennais de Recherche Archéologique.
2024. hal-04865562

HAL Id: hal-04865562

<https://hal.science/hal-04865562v1>

Submitted on 6 Jan 2025

HAL is a multi-disciplinary open access archive for the deposit and dissemination of scientific research documents, whether they are published or not. The documents may come from teaching and research institutions in France or abroad, or from public or private research centers.

L'archive ouverte pluridisciplinaire **HAL**, est destinée au dépôt et à la diffusion de documents scientifiques de niveau recherche, publiés ou non, émanant des établissements d'enseignement et de recherche français ou étrangers, des laboratoires publics ou privés.

Projet Collectif de Recherche
2022 - 2024

Nasium



Mutations urbaines à *Nasium*

Rapport intermédiaire 2023

Miguel RODRIGUEZ (dir.)
Bertrand BONAVENTURE
Lucile CATTÉ
Antoine FRANCHINI
Marion LEGAGNEUX

avec la collaboration de
Quentin BRUNCHER
Laura DARMON
Erwan MATHIEU
Adrien POUMIRAU
Jeanne VÉBER



Mutations urbaines à *Nasium*

Rapport intermédiaire 2022

Miguel RODRIGUEZ (dir.)
Bertrand BONAVENTURE
Lucile CATTÉ
Antoine FRANCHINI
Marion LEGAGNEUX

avec la collaboration de
Quentin BRUNCHER
Laura DARMON
Erwan MATHIEU
Adrien POUMIRAU
Jeanne VÉBER



Projet Collectif de Recherche
2022 - 2024

N a s i u m



SOMMAIRE

1. AVANT-PROPOS	7
2. DOCUMENTS ADMINISTRATIFS DU PCR	8
2.1. Avis CTRA 2023	8
2.2. Arrêté d'autorisation n° 2023/L313	11
3. GÉNÉRIQUE DE L'OPÉRATION DES GRANDES CORVÉES	13
3.1. Fiche signalétique du site	13
3.2. Phase de terrain	13
3.3. Phase de post-fouille	13
3.4. Remerciements	13
4. INTRODUCTION	14
4.1. Localisation du site	14
4.2. Historique des recherches	14
4.3. Nature du site et problématiques des recherches	18
4.4. Principes méthodologiques	23
5. DESCRIPTION DES VESTIGES	27
5.1. État de conservation	27
5.2. Stratigraphie générale	27
5.3. L'état 1	36
5.4. L'état 2	50
5.5. L'état 3	123
5.6. L'état 4	151
5.7. L'état 5	166
6. ÉTUDES SPÉCIALISÉES	170
6.1. La céramique	170
6.2. Le petit mobilier	192
6.3. Le mobilier en verre	223

7. SYNTHÈSE	230
7.1. État 1 (première moitié i ^{er} s. ?)	230
7.2. État 2 (première moitié i ^{er} s.–début ii ^e s. ?)	230
7.3. État 3 (ii ^e s. ?)	232
7.4. État 4 (deuxième moitié ii ^e s. – iv ^e s. ?)	232
7.5. État 5 (iv ^e s. – époques moderne et contemporaine ?)	233
8. BIBLIOGRAPHIE	234
8.1. Rapports de PCR	234
8.2. Travaux universitaires	234
8.3. Autres références	234
9. ANNEXES	238
9.1. Inventaire des faits	238
9.2. Inventaire des US	250
9.3. Inventaire des ensembles	306
9.4. Inventaire des sondages et coupes	308
9.5. Inventaire du mobilier	311
9.6. Inventaire des prélèvements	379
9.7. Inventaire des contenants	381
9.8. Inventaire des minutes	384
9.9. Inventaire des photos	389
10. LISTE DES FIGURES	419

1. Avant-propos

Bertrand Bonaventure

L'année 2023 a été principalement consacrée au traitement et aux études des mobiliers issus des Grandes Corvées. Cette fouille, qui avait été réalisée en deux campagnes (2020 et 2021), n'avait bénéficié à ce jour que d'un seul rapport de fouille à l'issue de la première campagne (Rodriguez et al. 2021). Le présent rapport vient donc combler cette lacune, en proposant non seulement une analyse et un phasage revisités du site, mais aussi les principales études de mobilier qui n'avaient pas encore été réalisées.

Si elle n'a pas encore pu être achevée, l'étude de l'abondant mobilier céramique (M. Legagneux) a très bien progressé et devrait pouvoir s'achever en 2024. L'étude du petit mobilier (A. Franchini) a été réalisée dans le cadre d'un travail de master soutenu à l'Université de Bourgogne-Franche-Comté, sous la direction de Pierre Nouvel. Elle sera approfondie en 2024 en prenant en compte l'intégralité des contextes et du mobilier. Enfin, l'étude du mobilier en verre (L. Catté) a pu être intégralement réalisée, parallèlement à celle des Soylières. Concernant les monnaies (P.-D. Manisse) et le lapidaire (S. Février), enfin, on renverra le lecteur vers le précédent rapports où figurent ces études (Bonaventure et al. 2023).

Parallèlement, les travaux de traitement des prélèvements ont également pu être achevés. Le tamisage à visée carpologique a donné des résultats tout à fait significatifs, avec certains contextes livrant plusieurs litres de graines carbonisées. L'étude de ces carporestes constituera l'un des enjeux majeurs à la compréhension des activités et des fonctions de ce quartier de *Nasium*. De même, l'étude archéozoologique demeure l'une des lacunes majeures des études spécialisées menées dans le cadre de ce PCR, que ce soit pour les Grandes Corvées mais aussi pour les Soylières, faute de spécialiste disponible. Ces deux sites

offrent pourtant des contextes d'une grande pertinence pour étudier l'évolution de l'élevage, des pratiques de boucherie et de l'alimentation carnée sur l'agglomération, avec des contextes couvrant une large période du 1^{er} s. av. n. è. au 4^e de s. de n. è. livrant des corpus abondants et significatifs.

Cette rapide introduction est également l'occasion de faire un point sur les autres travaux du PCR qui s'engage dans sa dernière année. En premier lieu, 2024 devrait voir la finalisation des conditionnements aux normes des mobiliers du Cul de Breuil, de Mazeroie, des Soylières et des Grandes Corvées, dans l'objectif de réaliser le versement au CCEL à l'issue du projet. Par ailleurs, l'équipe s'engage dans plusieurs projets de publication, à court, moyen et long terme, pour valoriser les travaux réalisés pendant ces sept dernières années. Le manuscrit de la monographie de la fouille du Cul de Breuil (Bonaventure dir.) devrait pouvoir être achevé à la fin de l'année, tandis que deux articles collectifs sont en cours de rédaction et devraient pouvoir aboutir rapidement. Le premier sera consacré à un bilan des travaux réalisés dans le cadre de ce PCR (Bonaventure dir.) et le second sera plus spécifiquement consacré au réseau viaire de l'agglomération de *Nasium* (Encelot dir.). D'autres projets de publication, à plus long terme, sont également en réflexion : les monographies de Mazeroie, des Soylières et des Grandes Corvées, bien entendu, mais aussi des articles thématiques sur le mobilier. À ce titre, la publication des abondants corpus de céramique constitue un enjeu majeur à la définition des faciès de consommation régionaux entre le 1^{er} s. av. n. è. et le 4^e s. de n. è. Mais cette perspective chronologique profonde pourra également être mise à profit dans des articles synthétiques sur le petit mobilier, le verre, ou encore les monnaies.

2. Documents administratifs du PCR

2.1. Avis CTRA 2023

2023 / 05 / 35 / Meuse / NAIX-AUX-FORGES et BOVIOLLES - PCR 2022-2024

Axes 5 et 11

Responsable : Bertrand BONAVENTURE (ASSO - CARA)

Rapporteurs : Sylvie CROGIEZ (RP) et Jean-Marie LARUAZ

Le document examiné ce jour constitue le premier rapport de l'autorisation pluriannuelle 2022-2024, du + PCR Mutations Urbaines à Nasium », coordonné par Bertrand Bonaventure (Archeodunum). Il rassemble les contributions d'une douzaine d'auteurs, et rend compte des activités menées au cours de l'année par le groupe, uniquement en phase de post-fouille. Il s'agit d'un gros rapport intermédiaire de 470 pages, dont près de 200 pages pour les inventaires. Le PCR est aussi soutenu par les collectivités territoriales. Pour rappel, les quatre axes de recherche - *oppidum* de Boviolles, occupation militaire romaine (site du Cul de Breuil), fait religieux (site de Mazeriole), développement de l'agglomération romaine - sont déclinés en trois actions : fouilles, études des mobiliers et publications.

Protohistoire

Les travaux sont rassemblés en fonction des secteurs investigués les années précédentes : « Les Soylières / (p.16 à 169), « Les Grandes Corvées » (p. 170-220), « Mazeriole » (222-235) et « Le Cul de Breuil » (236-258). On note également la présentation d'un travail transversal relatif au réseau viaire, dirigé par G. Encelot. Au total, le rapport compte 470 pages. Il est bien illustré et témoigne de l'avancée très satisfaisante des travaux.

Les deux premiers chapitres du rapport concernent les résultats des travaux de post-fouille relatifs aux opérations menées dans la plaine de l'Ornain, aux lieux-dits « Les Soylières » (coord. M. Leganeux) d'une part et « Les Grandes Corvées » (M. Rodriguez) d'autre part. Les deux opérations, qui se sont succédées dans le temps, présentent un état d'avancement décalé. Elles livrent toutefois d'ores et déjà des résultats très complémentaires sur les prémices et l'évolution de la ville antique, dans des secteurs aux abords de la voirie. Cette année, on note que le phasage des « Soylières » a été affiné, grâce à l'achèvement de l'étude céramique, réalisée par la responsable de la fouille (16000 tessons). Il permet désormais d'envisager une phase assez précoce dans la mise en place de la voirie (LT C2/D1). L'urbanisation du quartier débute toutefois plus tard. La présence de monnaies gauloises (une vingtaine), notamment des potins, dans les niveaux de la première moitié du I^{er} siècle, n'est pas surprenante. Leur circulation reste largement attestée à cette période. Pour les deux opérations, les études du monnayage et du lapidaire ont été achevées, respectivement réalisées par P. D. Manisses et S. Février. L'étude des techniques de construction mises en œuvre fait également l'objet d'une présentation détaillée, fruit d'un master entrepris à l'Université Paris IV. On note qu'un second travail universitaire est entrepris sur la question de la production métallurgique.

Le rapport présente également les résultats d'un chantier de collection entrepris sur le matériel issu des fouilles anciennement réalisées (années 1960-80) dans le temple de « Mazeriole ». Ce chantier a mobilisé trois personnes pendant deux semaines et a permis de reconditionner 108 caisses de mobilier. L'analyse préliminaire du mobilier céramique a été effectuée (M. Legagneux - 18000 restes), ce qui a permis de mettre en évidence la présence de tessons légèrement plus anciens que ceux des contextes explorés plus récemment. L'équipe regrette toutefois qu'une partie significative du mobilier ne puisse être véritablement attribuée à une US spécifique. Il semblerait que l'analyse fine des cahiers de fouille puisse permettre d'affiner ce travail. Cette action devrait être programmée pour exploiter de manière optimale cette documentation. On notera en outre la présence de restes humains, ce qui complète les résultats des sondages les plus récents.

S'agissant du secteur du «Cul de Breuil », dont la fouille s'est achevée il y a plusieurs années maintenant, il ne restait plus que deux études à mener, ce qui a été fait cette année. Elles concernaient respectivement le corpus des objets en verre et des analyses physico-chimiques visant à identifier le contenu des *dolia* découverts lors de cette fouille. L'une comme l'autre confirment le faciès original de l'occupation mise en évidence dans ce secteur particulier de la ville (placé sur la voie principale, au pied de l'oppidum de Boviolles). L'analyse du mobilier en verre, réalisée par A. Gombier-Gougouzian, permet d'établir qu'il

s'agit d'un lot diversifié et relativement précoce (231 fragments : parures et vaisselle). Les analyses physico-chimiques (N. Garnier) ont concerné une quinzaine de récipients. Elles permettent de mettre en évidence l'usage de braie de boulot, mais surtout elles mettent en évidence l'utilisation de l'un de ces récipients en tant que cuve à indigo. Cette identification originale trouve des échos dans la nature des activités mises en évidence précédemment (artisanat et notamment tannerie). L'hypothèse que le four découvert lors de l'opération puisse être lié à cette activité de teinturerie est désormais avancée. Ces deux études confortent et précisent l'hypothèse de la présence d'un quartier militaire à vocation artisanale dans le secteur. L'acquisition de ces dernières données permet d'envisager l'achèvement de la publication relative à ce quartier dans de brefs délais.

Pour terminer, démontrant la complémentarité des actions réalisées ces dernières années, une contribution, coordonnée par G. Encelot, fait le point sur les connaissances relatives au réseau viaire. Ce travail utilise les données géophysiques, LiDAR, aériennes, ainsi que les sources anciennes et les données stratigraphiques. Elle permet d'aboutir à un dossier complet sur le sujet. Les connaissances acquises sont de premier ordre sur la question du rythme et des modalités de transformation de la ville depuis la période gauloise.

Ce premier rapport de la période 2022-2024 démontre une fois de plus les compétences de l'équipe mobilisée. La stratégie mise en œuvre depuis le début du projet est toujours aussi pertinente, et les résultats obtenus sont à la mesure des ambitions de l'équipe. On peut donc recevoir ce bon rapport sans réserve. Pour la suite du programme, l'équipe fait état d'une dizaine d'actions distinctes, réparties sur les années 2023 et 2024. Elles concernent principalement l'achèvement des études du mobilier des fouilles des « Grandes Corvées » et des « Soylières ». Il est également question de réaliser l'étude des *militaria* conservées dans les collections des Musées Barrois et de la Princerie, ainsi que des tessons de céramique récoltés dans la plaine lors de prospections pédestres. Ces deux actions figurent au programme depuis le début du projet, mais n'ont pu être menées jusqu'à présent. L'objectif, d'ici 2024, est d'aboutir à la publication des trois secteurs de fouilles, ce qui devrait être possible en maintenant toutefois un rythme aussi soutenu que cette année.

Antiquité

L'équipe a pour objectif, conformément à ce qui lui a été demandé par la CTRA, de clore les travaux du PCR en 2024. Ainsi l'année 2022 a été consacrée uniquement aux études, comme prévu. Les fouilles des sites des Soylières et des Grandes Corvées font chacune l'objet d'une étude de synthèse, qui s'appuie sur les études de mobilier finalisées. Le site des Soylières (une *domus* de plus de 1000 m² autour d'une cour à péristyle) est particulièrement bien conservé sur une épaisseur stratigraphique importante. Les monnaies, la céramique, les mortiers et le lapidaire ont été analysés avec des résultats intéressants. Il en est de même pour l'étude des maçonneries qui permet de proposer un phasage précis des aménagements successifs (quatre phases divisées en sous phases) et une sectorisation des espaces, s'étendant du I^{er} au III^e siècle. Les opérations de terrain sur les Grandes Corvées étant plus récentes (2020-2021), toutes les études de mobilier ne sont pas encore totalement achevées. L'étude du lapidaire est particulièrement fouillée. Pour le site de Mazerioie (fouilles 1960-1980), les études de mobilier commencées devraient permettre une publication des fouilles en 2024. On ajoutera une étude des verres du site Le Cul de Breuil et la reprise de la documentation ancienne pour un chapitre sur le réseau viaire de *Nasium*. En résumé, le travail avance et les résultats des études sont mis en perspective avec l'ensemble du site de Boviolles-*Nasium* et les pistes de travail projetées sont pertinentes. Une exposition sur panneau a aussi été présentée à la Maison des Leuques en 2022.

Il faudra cependant veiller à une relecture du rapport pour éviter les trop nombreux problèmes de forme et les coquilles ; y compris dans la demande pour 2023 où on lit par exemple : nombre total de participants au PCR = 15 ; dont 3 salariés et 22 bénévoles (12 plutôt ?). Ce sont souvent de petites erreurs mais qui manifestent un manque de relecture (la page de couverture mentionne PCR 1017-2020).

Les objectifs des travaux pour 2023 sont concentrés sur le fait militaire à *Nasium* (axe 2), en vue de la publication du site du Cul de Breuil, ainsi que sur l'axe 4 – étude de l'agglomération romaine – avec une mise en perspective des mobiliers issus des prospections avec celui de la fouille des Soylières. Une publication des Grandes Corvées prévue pour 2024 sera aussi préparée en 2023.

Avis favorable

Après avis du conservateur régional de l'archéologie et discussion générale, la commission adopte l'avis suivant :

Avis de la commission :

La commission reçoit le rapport 2022 du PCR 2022-2024 intitulé « Mutations urbaines à Nasium / consacré à l'étude du phénomène urbain dans l'Antiquité à Naix-aux-Forges et Boviolles (Meuse) coordonné par Bertrand Bonaventure. En 2022, les travaux se sont consacrés à poursuivre l'étude des mobiliers recueillis lors des fouilles réalisées aux Soylières et aux Grandes Corvées ainsi qu'à Mazeroie pour les fouilles anciennes.

Elle est favorable à la poursuite des travaux en 2023.

2.2. Arrêté d'autorisation n° 2023/L313



Direction régionale des affaires culturelles

ARRETE SRA N° 2023/L313 EN DATE DU 17 MAI 2023 PORTANT AUTORISATION DE PROGRAMME COLLECTIF DE RECHERCHE

La préfète de la région Grand Est
Préfète de la zone de défense et de sécurité Est
Préfète du Bas-Rhin

VU le Code du patrimoine, notamment son livre V ;

VU l'arrêté préfectoral n° 2023/001 du 03 janvier 2023 portant délégation de signature à Madame Delphine CHRISTOPHE, directrice régionale des affaires culturelles de la région Grand Est (compétences générales) ;

VU l'arrêté n°2023/006 du 03 janvier 2023 portant subdélégation de signature aux agents de la direction régionale des affaires culturelles (compétences générales) ;

VU la demande de Monsieur Bertrand BONAVENTURE reçue à la Direction régionale des affaires culturelles du Grand Est, Service régional de l'archéologie, site de Metz, le 7 février 2023 ;

VU l'avis du rapporteur de la Commission territoriale de la recherche archéologique Est en date des 09-12 mai 2023 ;

ARRÊTE

Article 1^{er} :

Monsieur Bertrand BONAVENTURE est autorisé à procéder à une opération de programme collectif de recherche du 17 mai au 31 décembre 2023, concernant :

Région : GRAND EST

Départements : Meuse

Communes : Naix-aux-Forges et Boviolles

Intitulé du projet : Mutations urbaines à Nasium 1er av.-1er apr. JC

Axe : 9

Organisme de rattachement : CARA

Numéro d'opération archéologique : OA 13/12351

Article 2 : prescriptions générales

Les recherches sont effectuées sous la surveillance du Conservateur Régional de l'Archéologie territorialement compétent, qui pourra imposer toutes prescriptions qu'il jugera utiles pour assurer le bon déroulement scientifique de l'opération.

L'opération devra être réalisée conformément aux normes de sécurité en vigueur.

A la fin de l'année, le responsable scientifique de l'opération adressera au Conservateur régional de l'archéologie l'ensemble de la documentation relative à l'opération, et **un rapport en quatre exemplaires** accompagné de cartes et de photographies, ainsi que, le cas échéant, des fiches détaillées établies pour chacun des nouveaux sites identifiés au cours des recherches. Le rapport détaillera les actions menées, les résultats scientifiques obtenus et le nouvel état de la connaissance dans le domaine concerné.

La responsable scientifique de l'opération tiendra régulièrement informé le Conservateur Régional de l'Archéologie adjoint de ses travaux et découvertes. Elle lui signalera immédiatement toute découverte importante de caractère mobilier ou immobilier et les mesures nécessaires à la conservation provisoire de ces vestiges devront être prises en accord avec lui.

Article 3 : destination du matériel archéologique découvert

Le statut juridique et le lieu de dépôt du matériel archéologique découvert au cours de l'opération seront réglés conformément aux dispositions légales et réglementaires et aux termes des conventions passées avec les propriétaires des terrains concernés. Une copie de ces conventions sera envoyée pour information au Service régional de l'archéologie dès signature par les deux parties.

Article 4 : prescriptions particulières à l'opération

La commission reçoit le rapport 2022 du PCR 2022-2024 intitulé « Mutations urbaines à Nasium » consacré à l'étude du phénomène urbain dans l'Antiquité à Naix-aux-Forges et Boviolles (Meuse) coordonné par Bertrand Bonaventure. En 2022 les travaux se sont consacrés à poursuivre l'étude des mobiliers recueillis lors des fouilles réalisées aux Soylières et aux Grandes Corvées ainsi qu'à Mazerioie pour les fouilles anciennes.

Elle est favorable à la poursuite des travaux en 2023.

Article 5 : La directrice régionale des affaires culturelles est chargée de l'exécution du présent arrêté qui sera notifié à Monsieur Bertrand BONAVENTURE.

Fait à Metz, le 17 mai 2023

La préfète
Pour la préfète et par délégation
La directrice régionale des affaires culturelles Grand Est
et par subdélégation
Le conservateur régional de l'archéologie adjoint


Philippe KUCHLER

COPIES A :

- Intéressé(e) Préfet de région Mairie(s) Direction régionale des affaires culturelles
 Organisme de rattachement Préfet(s) du(des) département(s) concerné(s) Gendarmerie Sous-direction de l'archéologie
 Propriétaire(s) du(des) terrain(s)

3. Générique de l'opération des Grandes Corvées

3.1. Fiche signalétique du site

Région : Lorraine
Département : Meuse (55)
Commune : Naix-aux-Forges
Lieu-dit : Les Grandes Corvées
Cadastre : Section OB, parcelle 907
Coordonnées moyennes (Lambert 93) :
X : 875 314 à 875 334
Y : 6 839702 à 6 839 730
Z : 260 à 263 m NGF
Propriétaire du terrain :
Éric Girard
32, rue Haute
55000 Naix-aux-Forges
Titulaire de l'opération : Miguel Rodriguez

3.2. Phase de terrain

Dates d'intervention : 26 juillet au 28 août 2021
Responsables de secteur : Erwan Mathieu, Mathilde Setan
Responsable du mobilier : Antoine Franchini
Équipe de fouille : Mathilde Aubry, Paola Barreiro Andonoff, Ulrick Bouleau, Laurine Bollani, Bertrand Bonaventure, Ulrick Bouleau, Quentin Bruncher, Mathieu Compère, Maxime Delagnes, Corentin Dorolle, Antoine Franchini, Guillaume Encelot, Serge Février, Léa Guyonvarc'h, Arthur Heimann, Marion Legagneux, Morgan Leroy, Camille Mailly, Angélique Martel, Erwan Mathieu, Camille Piron, Manon Poinsignon, Adrien Poumirau, Simon Ritz, Miguel Rodriguez, Mathilde Setan, Justine Tomczyk, Ludovic Trommenschlager, Jeanne Véber, Lucie Wissemberg, Marco Zabeo.

3.3. Phase de post-fouille

La phase de post-fouille s'est déroulée dans les locaux de la Cité des Leuques, mis à notre disposition du 11 au 14 novembre 2021.

Équipe de post-fouille : Jeanne Véber, Bertrand Bonaventure, Guillaume Encelot, Antoine Franchini, Erwan Mathieu, Adrien Poumireau, Miguel Rodriguez, Mathilde Setan.

Rédaction du rapport : Miguel Rodriguez

Études de mobilier :

Céramique : Marion Legagneux ;

Petit mobilier : Antoine Franchini ;

Matériaux artisanaux : Maxence Pieters ;

Matériaux de construction : Adrien Poumirau ;

Monnaies : Pierre-Damien Manisse ;

Lapidaire : Serge Février ;

Verre : Lucile Catté

3.4. Remerciements

Nous tenons à remercier chaleureusement toutes les personnes qui nous ont aidé à mener à bien cette opération, que ce soit par leur aide technique ou logistique, leurs conseils archéologiques ou leur simple bienveillance : Éric Gérard, Philippe Gérard, Martine et Marc Harnichard, Stéphanie Jacquemot, Annette et Nicolas Langlois, Frank Mourot, Martine Legeay, Maxence Pieters.

Comme de coutume, nous adressons un remerciement particulier à Pierre Legeay, véritable rayon de soleil de bonne humeur et de sourires dans un monde qui, sans lui, serait parfois un peu morne.

Un immense merci à l'équipe de bénévoles dont la motivation, et parfois la dévotion, ont rendu possible ce travail complexe réalisé dans un délai particulièrement court. Cette gratitude s'adresse aussi à l'équipe de post-fouille qui a affronté à plusieurs reprises le rude hiver meusien dans le but de faire progresser la science et la consommation de fromage fondu.

Merci à Bertrand Bonaventure pour avoir rendu possible cette fouille programmée et rendu vivant ce PCR, sans parler de la relecture de ce rapport et sa PAO.

Merci à enfin à Laura Darmon pour son soutien inconditionnel et son aide dans les moments les plus durs.

4. Introduction

Miguel Rodriguez

4.1. Localisation du site

L'agglomération antique de *Nasium* se situe au sud du département de la Meuse, en région Grand Est, sur les finages de trois communes : Naix-aux-Forges, Saint-Amand-sur-Ornain et Boviolles (**Fig. 1**). L'Ornain, et la vallée qu'il a creusée dans les plateaux du Barrois, constituent l'épine dorsale de cette occupation qui s'étend, dans son acceptation la plus large, sur une superficie estimée à près de 200 ha (**Fig. 2**). La fouille des Grandes Corvées se situe au sud de la commune de Naix-aux-Forges (sur la parcelle OB 907) (**Fig. 3**). Culminant à une altitude moyenne de 262 m NGF, l'emprise du sondage a été implantée dans la partie occidentale du plateau de Mazerioie, à environ 520 m au nord-ouest du temple éponyme et face à la plaine alluviale dans laquelle se trouve le site des Soylières.

4.2. Historique des recherches

La recherche archéologique sur le site de *Nasium* a fait l'objet de plusieurs synthèses récentes, certaines étant d'ailleurs intégrées aux rapports d'opération du PCR dans lequel s'inscrit le présent rapport (Dechezleprêtre 2011 ; Legagneux et al. 2018 : 23-27). En conséquence, nous nous contenterons ici d'en rappeler les principales étapes en insistant plus particulièrement sur l'apport des fouilles récentes à la connaissance actuelle du plateau de Mazerioie, sur lequel est situé le site des Grandes Corvées.

Bien que la présence d'une occupation antique fasse l'objet de mentions dès le *xvi*^e et le *xvii*^e siècles, les premières opérations archéologiques ne débutent qu'au *xix*^e siècle, sous l'impulsion de C.-F. Denis (première moitié *xix*^e siècle) et de L. Maxe-Werly (deuxième moitié *xix*^e siècle). On doit notamment à ces derniers la mise en évidence de l'importance du site et les premiers éléments de connaissance de la trame urbaine de l'agglomération romaine.

À l'exception de quelques rares sondages de faible ampleur, aucune opération notable ne vient faire suite aux travaux de L. Maxe-Werly. La recherche sur *Nasium* reste au point mort jusqu'en 1967, date à laquelle C. Gilquin débute la fouille d'un temple antique situé sur le plateau de Mazerioie. Ces travaux, qui dureront jusqu'en 1988, mettent en évidence la possible présence d'une occupation gauloise sur le plateau et soulignent son rôle de centre culturel durant la période romaine.

Durant les années 1990 et 2000, la recherche archéologique sur le site est maintenue et développée par Th. Dechezleprêtre et par F. Mourot. Outre une importante reprise de la documentation ancienne, on leur doit la mise en place de programmes de prospections qui permettent aujourd'hui de bénéficier d'un plan quasiment complet de l'agglomération. Après une première campagne de prospections pédestres menée par N. Nikiforoff en 1999-2000, la trame urbaine commence à être appréhendée. Ces résultats préliminaires motivent le lancement d'une campagne de prospections électriques entre 2001 et 2009, réalisées par la société Terra Nova. Cette dernière est secondée par une campagne de prospections aériennes menées en 2004 par Ph. Frigério. Ces différents travaux offrent un aperçu d'une précision remarquable de l'organisation du réseau viaire de l'agglomération romaine et permettent de repérer ses pôles principaux. Ils seront complétés en 2010 par la réalisation d'un relevé LIDAR. Sur le plateau de Mazerioie, on doit à ces différents travaux l'identification d'un pôle culturel, auquel se rattache le temple fouillé par C. Gilquin, et d'un pôle politique articulé autour d'un espace tripartite de 1,2 ha interprété comme l'espace public de l'agglomération (*forum*). À l'ouest de ce dernier, le long de la voie de Gourzon, ils révèlent l'existence de plusieurs îlots constitués de bâtiments longs à plan rectangulaire.

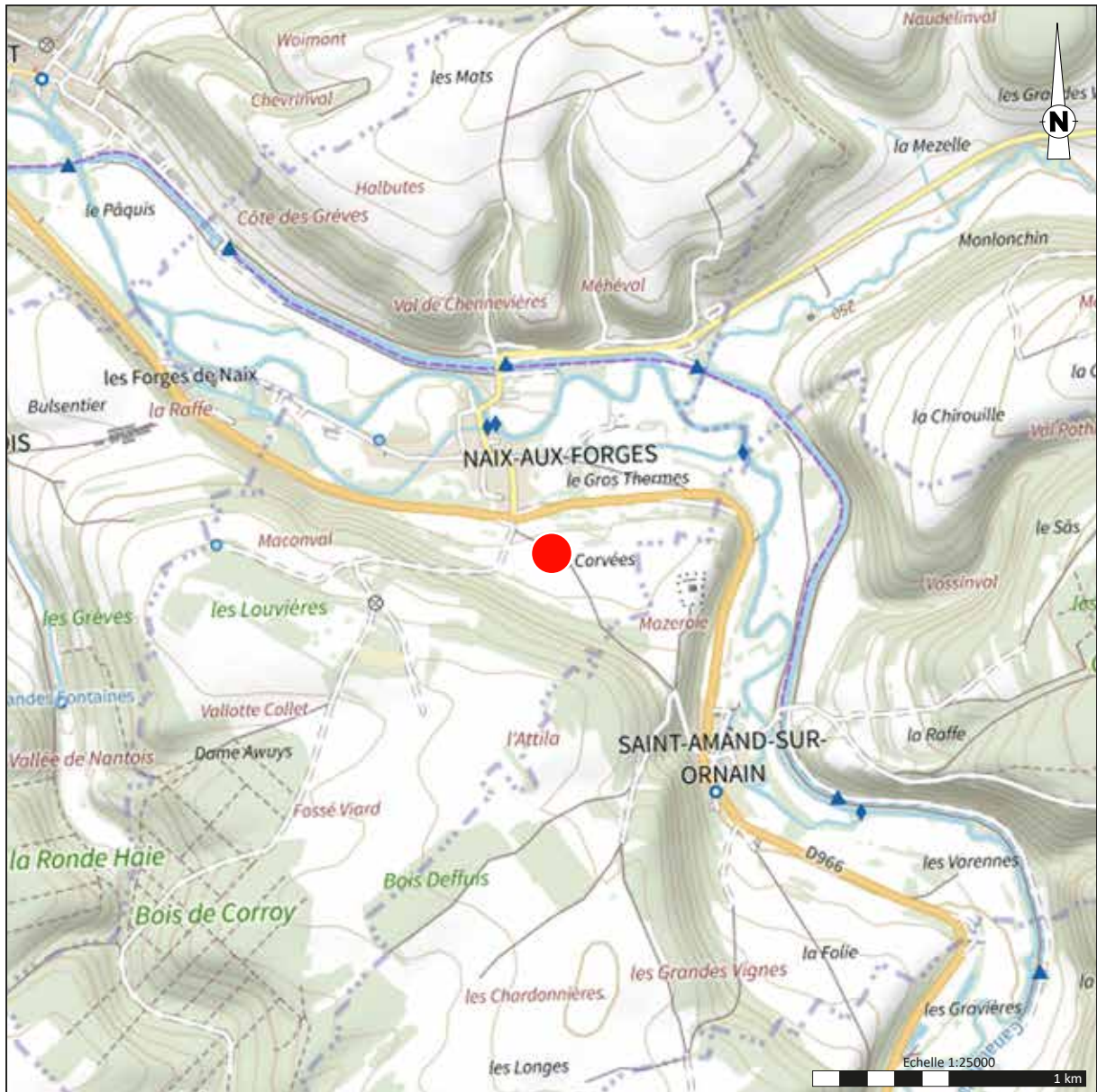


Fig. 1 - Localisation du site (éch. 1 : 25000) (DAO : M. Rodriguez).

Toujours en 2004, une nouvelle campagne de prospections pédestres est lancée à l'initiative de F. Mourrot et D. Paré sur la partie ouest du plateau au lieu-dit les Grandes Corvées afin d'estimer l'arasement des vestiges repérés en prospections électriques et aériennes et d'en identifier la fonction. Toutefois, les caractéristiques sédimentaires de la zone visée compliquent l'opération, qui n'est pas en mesure de répondre pleinement à ses objectifs initiaux. Elle conduit néanmoins à la mise en évidence d'un processus de colluvionnement récurrent sur la plupart des zones ciblées, à l'identification probable des principaux matériaux de construction (blocs de calcaire gélif et dalles de lauze) et, grâce au mobilier céramique,

à l'établissement d'une première fourchette chronologique (centrée sur une période comprise entre le 1^{er} et le 3^{ème} siècle). Un nombre considérable de scories et de déchets de forge ont par ailleurs été prélevés dans des parcelles vraisemblablement proches d'une zone (« moins de 100 m du forum ») où L. Maxe-Werly indique avoir fouillé une forge antique à la fin du 19^{ème} siècle.

Les recherches récentes sur le plateau de Mazerole se sont concentrées dans la partie cultuelle. En 2007 et 2009, deux sondages sont respectivement menés par P. Vipard et P. Toussaint sur un bâtiment à plan basilical et un portique. Puis, en 2016, B. Bonaventure et

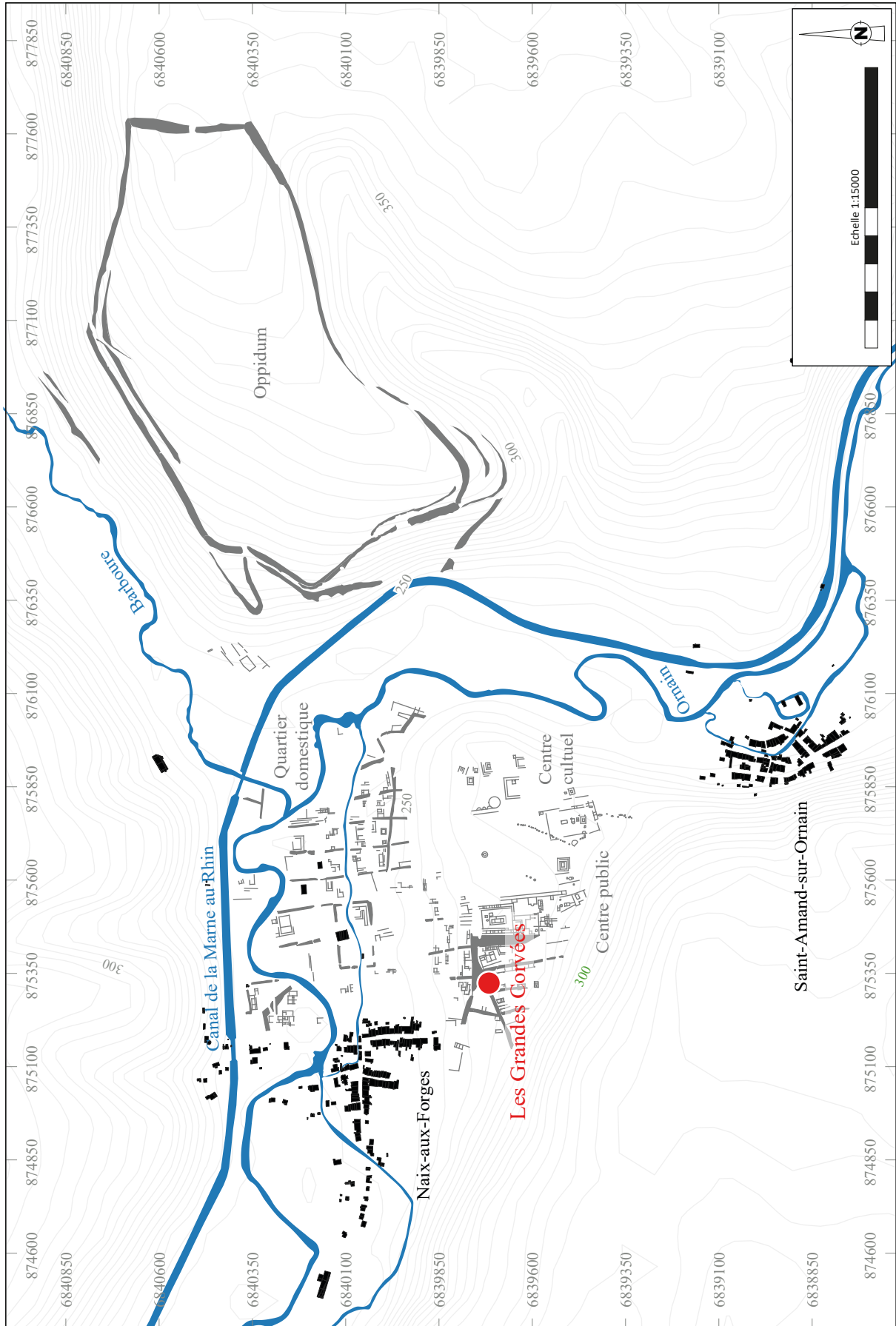


Fig. 2 - Localisation du site sur fond topographique (DAO : E. Mathieu).

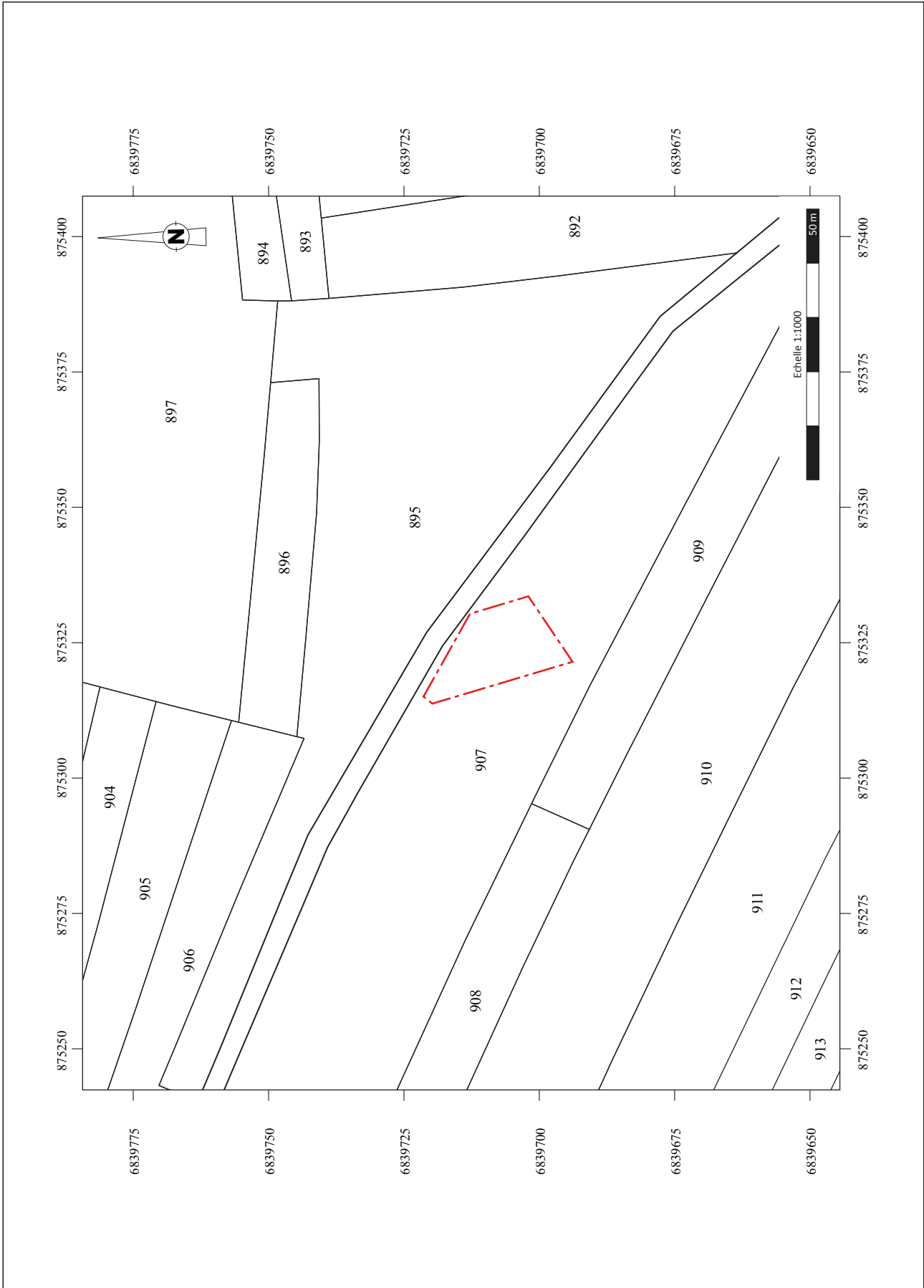


Fig. 3 - Localisation du site sur fond cadastral (DAO : E. Mathieu).

G. Encelot réalisent plusieurs sondages sur le principal temple de Mazerioie afin de préciser et compléter la chronologie établie par C. Gilquin. La partie civile du plateau, à laquelle appartiennent les îlots d'habitation implantés à l'ouest du probable centre public (*forum ?*), n'a fait l'objet d'aucune fouille depuis le XIX^e siècle.

4.3. Nature du site et problématiques des recherches

4.3.1. Problématiques initiales

Après les trois campagnes de fouille menées aux Soylières de 2017 à 2019, qui avaient abouti à une meilleure appréhension de la mise en place et de la chronologie de la trame urbaine des quartiers d'habitations implantés dans la plaine alluviale de l'Ornain, l'opération réalisée en 2020 aux Grandes Corvées devait à son tour fournir des précisions fonctionnelles et chronologiques sur un secteur encore peu exploré de la capitale leuque.

L'emplacement de l'emprise, initialement déterminé grâce au plan de l'agglomération issu des différents programmes de prospection, avait été soumis à des contraintes agricoles fortes ayant conduit à une implantation en bordure de parcelle. Il laissait donc de côté les concentrations les plus importantes d'anomalies résistantes connues dans ce secteur. Son emplacement semblait toutefois prometteur puisqu'il intégrait potentiellement un tronçon de la voie de Gourzon ainsi que la majeure partie d'un bâtiment rectangulaire installé dans l'un des îlots les plus densément occupés (**Fig. 4**). La présence d'un portique n'était par ailleurs pas à exclure puisqu'elle constituait l'une des hypothèses privilégiées pour expliquer l'espace vide de 5 à 10 m observé systématiquement entre la voie et les bâtiments.

Dans le secteur des Grandes Corvées, la prospection géophysique a en effet mis en évidence plusieurs bâtiments dont le plan rappelle fortement les maisons longues, récurrentes dans les agglomérations des provinces septentrionales (**Fig. 5**). Ces habitations, principalement orientées vers le commerce et la production (Lanthemann 2013 : 40), constituent un potentiel indice important quant à la fonction de ce secteur de l'agglomération antique. Les résultats des fouilles anciennes et des prospections récentes s'orientaient

d'ailleurs vers des conclusions concordantes. L'objectif principal de ce sondage était ainsi la caractérisation fonctionnelle et la datation de l'occupation de la partie occidentale du plateau de Mazerioie.

La voie de Gourzon, qui constitue probablement le principal axe viaire de ce secteur, représentait également un thème de recherche privilégié. Vérifier sa présence et établir sa chronologie permettait de préciser considérablement les modalités de l'occupation antique du plateau. D'un point de vue plus global, la mise en parallèle de ces nouvelles données avec les résultats de la fouille des Soylières pouvait constituer un socle solide à la définition du schéma de développement de la trame urbaine.

Enfin, ce nouveau sondage constituait une nouvelle opportunité de confronter les données des prospections géophysiques et des photographies aériennes à la réalité archéologique du terrain.

4.3.2. Résultats de la campagne 2020

L'opération menée en août 2020 a permis de constater le bon état de conservation des vestiges, lequel se traduit notamment par une importante puissance stratigraphique. Bien que son installation n'ait pas été atteinte, il semble probable que la quasi-totalité de la séquence d'occupation antique soit préservée. Les niveaux d'occupation les plus tardifs paraissent toutefois avoir été lourdement impactés par l'action cumulée de l'érosion et des perturbations agricoles modernes et contemporaines.

Les vestiges observés en 2020 valident pleinement la lecture des cartes de résistivité électrique (**Fig. 6** et **Fig. 7**). Les murs gouttereaux appartenant à un bâtiment de plan rectangulaire ont bien été mis au jour, de même qu'un important axe viaire d'orientation sud-ouest/nord-est et une partie d'un second bâtiment implanté au nord de ce dernier. Bien que la taille réduite de la fenêtre d'observation n'ait pas permis de caractériser le bâtiment septentrional, son vis-à-vis méridional semble effectivement posséder les caractéristiques (plan rectangulaire, mur pignon donnant sur la rue) d'une maison longue. Elle semble occupée, malgré plusieurs remaniements, dès la fin du I^{er} siècle de notre ère. L'axe viaire, dont les niveaux précoces n'ont pas été atteints, possède pour sa part une organisation bipartite. Sa partie nord, constituée d'une large bande de roulement, était vraisemblablement destinée au passage de véhicules, comme l'attestent les nom-

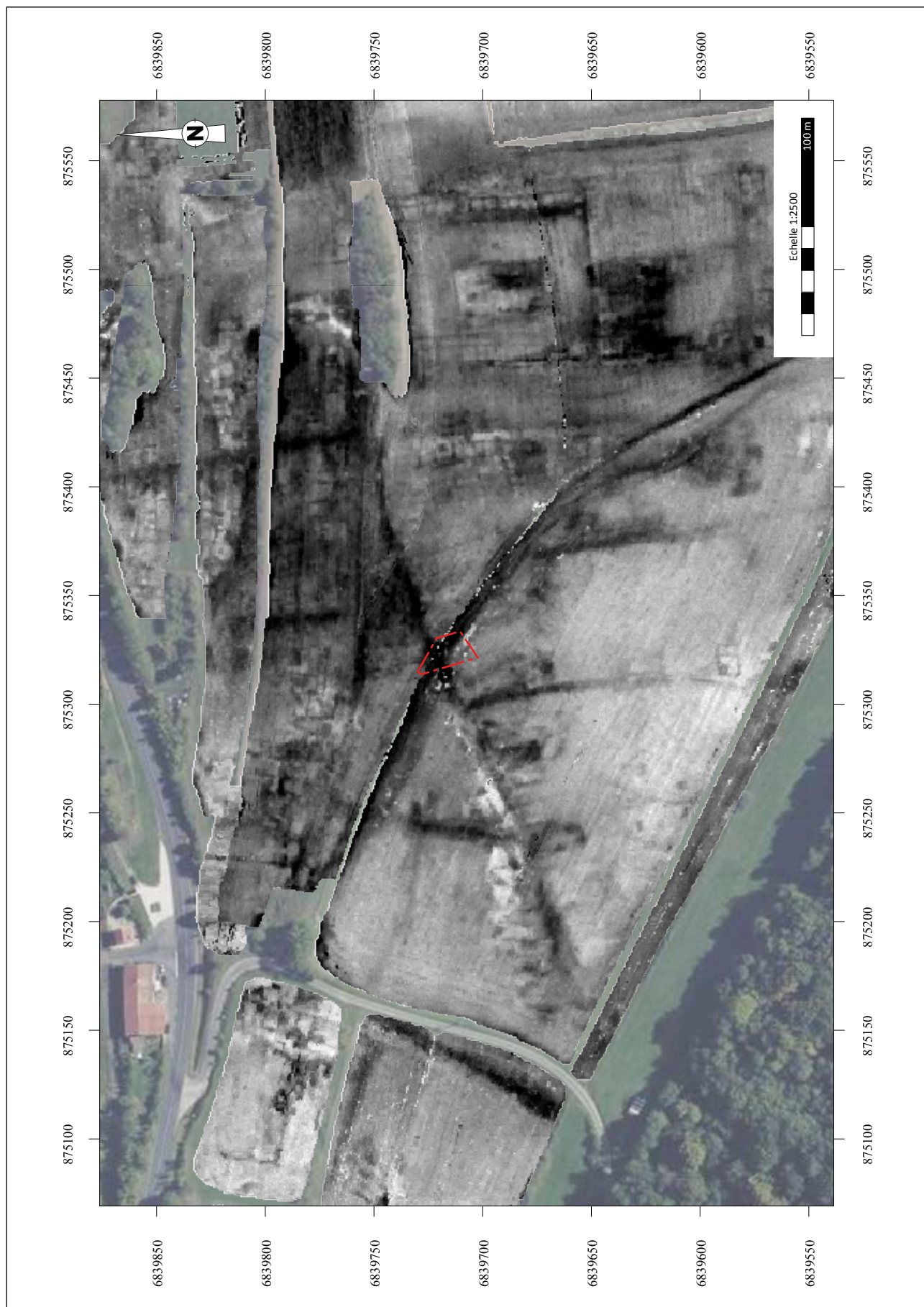


Fig. 4 - Localisation du site sur fond géophysique (Source : PCR *Nasium* ; DAO : E. Mathieu).

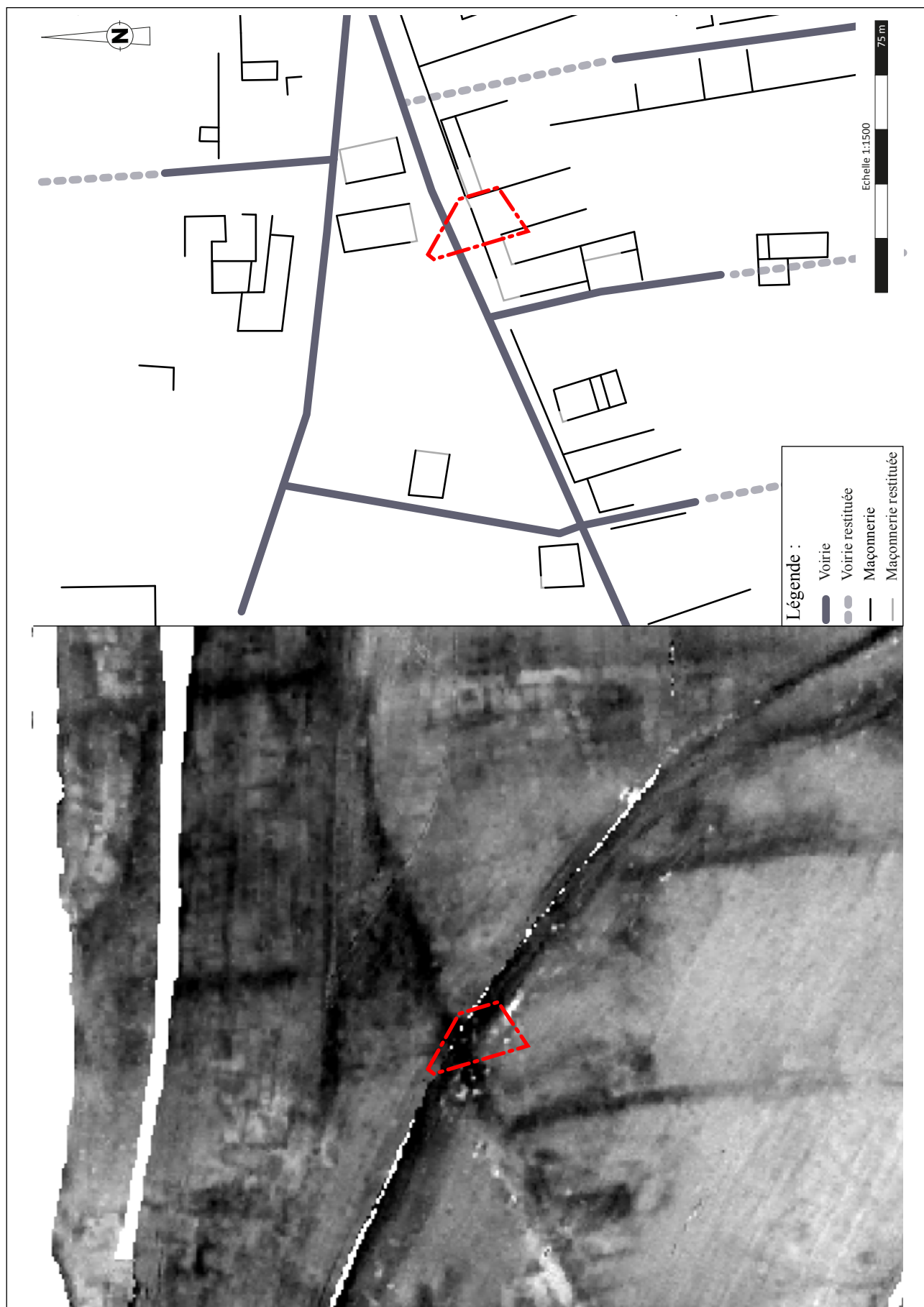


Fig. 5 - Interprétation des relevés géophysiques dans le secteur des Grandes Corvées (DAO : E. Mathieu).

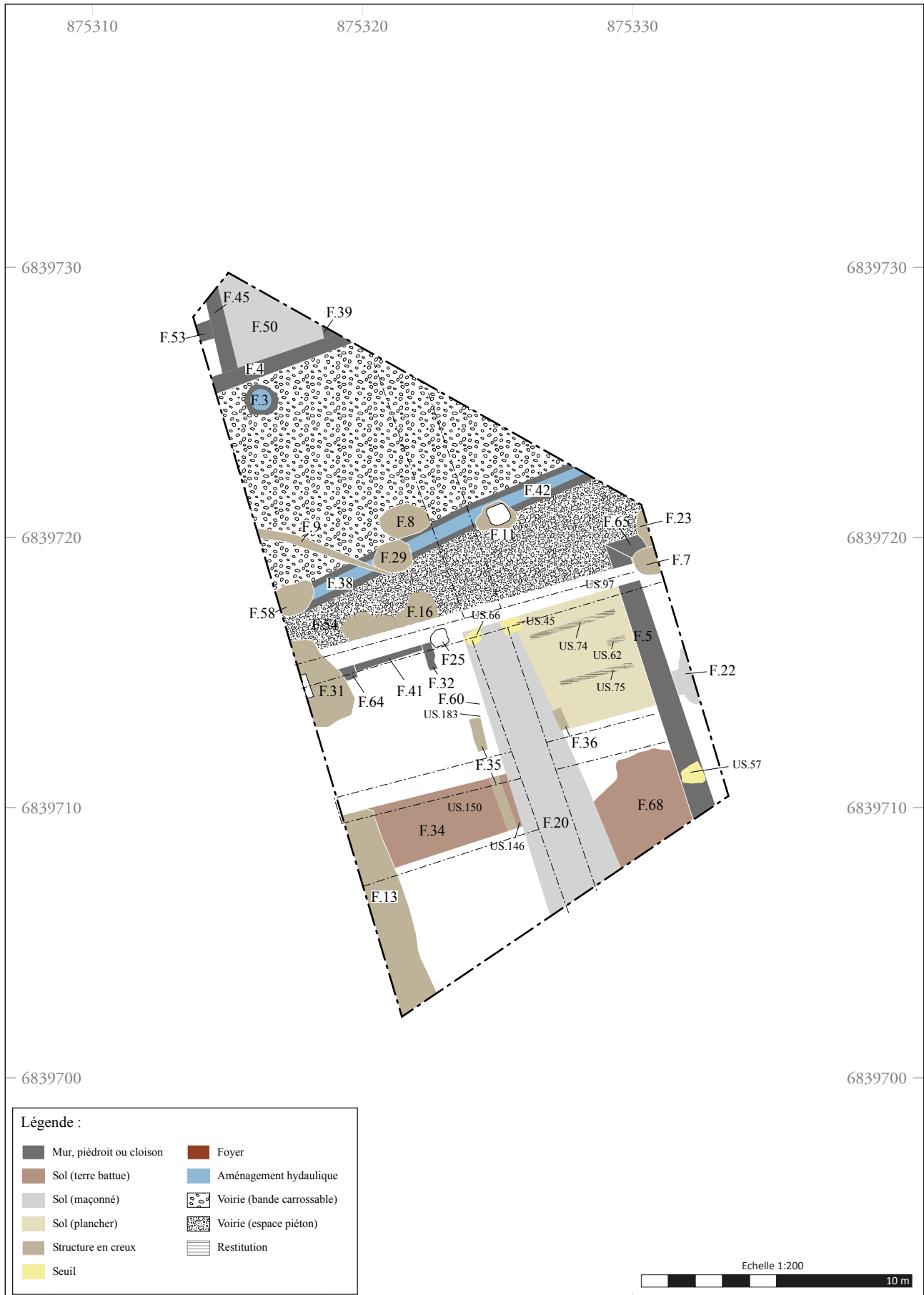


Fig. 6 - Plan masse du site à l'issue de la campagne 2020 (DAO : M. Rodriguez).



Fig. 7 - Orthophotographie du site à l'issue de la campagne 2020 (Prise de vue : L. Guichard-Kobal).

breuses ornières mises au jour. Sa partie sud, plus étroite, était pour sa part utilisée pour la circulation piétonne. Il est particulièrement intéressant de constater que la limite entre ces deux sous-espaces en évolution permanente était systématiquement matérialisée. Dans son dernier état, elle prenait sans doute la forme d'une colonnade soutenant un portique.

4.3.3. Objectifs de la campagne 2021

Bien que plusieurs questionnements considérés en 2020 aient déjà reçu des éléments de réponses, une partie importante des problématiques initiales demeurait sans solution à l'issue de la première campagne. La datation du début de l'occupation antique de ce secteur du plateau constitue toujours le principal objectif à atteindre pour répondre aux ambitions du PCR. Les modalités de cette implantation (éventuelle présence gauloise antérieure à l'installation romaine ? ou à l'inverse installation romaine *ex nihilo* ?) constituent également un aspect primordial de la compréhension du phénomène urbain à *Nasium*. En outre, un certain nombre de problématiques annexes portant notamment sur la caractérisation fonctionnelle des ensembles mis au jour ainsi que sur l'analyse de leur mise en œuvre architecturale ont vu le jour consécutivement à la première opération.

4.4. Principes méthodologiques

L'approche méthodologique déployée aux Grandes Corvées en 2020 était largement basée sur le protocole antérieurement déployé aux Soylières à partir de 2017. La proximité des principales caractéristiques des deux sites (stratigraphie importante, forte densité de vestiges, mobilier très conséquent) a pleinement justifié ce rapprochement. Ainsi, le même protocole a été conservé pour l'opération menée en 2021, à quelques exceptions près. Dès les phases de terrain, toutes les données ont été enregistrées sur tablettes numériques dans l'application ODS, développée sous licence Filemaker Pro.

Cette dernière a débuté par la remise en état du site. À l'issue de la campagne 2020, celui-ci avait été laissé ouvert. Les vestiges étaient protégés des intempéries par un film plastique étanche tandis que les abords étaient sécurisés grâce à des barrières Heras. Le dégagement de ce dispositif, ainsi que le nettoyage de surface et le redressement des coupes consécutifs, ont occupé l'essentiel de la première semaine (Fig. 8).



Fig. 8 - Vues générales de l'emprise de fouille après débâchage.

La sectorisation adaptée l'année précédente a été maintenue. Le secteur 1 intègre ainsi les éléments de bâti urbain situés au sud de la voirie (îlot 3) tandis que le secteur 2 regroupe la voie, ses espaces connexes ainsi que la fenêtre d'observation de l'îlot septentrional (îlot 5).

Chaque sondage, mécanique ou manuel, a reçu un numéro (de 1 à n) précédé du préfixe « SD. ». Les coupes ont été numérotées selon le même principe avec « CP. » comme préfixe. La présence permanente, durant les deux dernières semaines de chantier, d'une

pelle mécanique de 8 t., a notamment permis de multiplier les fenêtres d'observation des niveaux précoces entraînant logiquement une augmentation du nombre de sondages et de coupes (**Fig. 9** et **Fig. 10**).

Un numéro d'ensemble (de A à n) a été attribué à tous les ensembles clairement identifiés.

Chaque niveau s'est vu attribuer un numéro d'US basé sur une numérotation continue (de 1 à n). Lorsque cela s'avérait pertinent (structures en creux, maçonneries, sols), les US ont été regroupées en Faits, également numérotés de 1 à n. Le recours aux US dites « volantes » (car non rattachées à un fait) a été systématisé pour les aménagements non organisés (remblais, niveaux de démolition, niveaux de colluvionnements ainsi que certains niveaux de circulation).

Chaque élément mobilier s'est vu attribuer un numéro d'inventaire, de 1 à n sur l'ensemble du site. La céramique, la faune, les amphores, les clous en fer et la TCA ont été traités par lots, à l'exception des cas particuliers auxquels un numéro d'isolat a été attribué, indexé sur le même système de numérotation. Ils sont également géoréférencés lorsqu'ils sont identifiés durant la phase de terrain.

Un prélèvement a été réalisé de manière systématique sur chaque mur (mortier) ainsi que sur chaque pièce de bois carbonisée (charbon). Chaque prélèvement est pourvu d'un numéro de prélèvement (numéroté de 1 à n) et fera l'objet d'une étude spécialisée.

Les relevés et minutes de fouille ont généralement été réalisés au 1:20, sauf cas particulier. Ils sont dotés d'un numéro d'inventaire de 1 à n et ont été intégralement vectorisés durant la phase de post-fouille. L'essentiel des relevés planimétriques ainsi qu'un certain nombre de relevés de coupe ont été réalisés en photogrammétrie terrestre ou aérienne. La campagne 2021 a bénéficié de la présence permanente d'un drone DJI Air 2S, lequel a permis la multiplication des prises de vue aériennes. L'intégralité des listings et de la documentation de fouille est intégrée au présent rapport d'opération.

À l'issue de l'opération, les vestiges ont été intégralement recouverts d'un feutre géotextile préalablement au rebouchage complet de l'emprise de fouille (**Fig. 11**). Cette remise en état, conduite sous supervision archéologique, a été assurée par l'exploitant qui a ainsi pu veiller au respect du tri des terres durant le décapage et les deux phases de terrain.

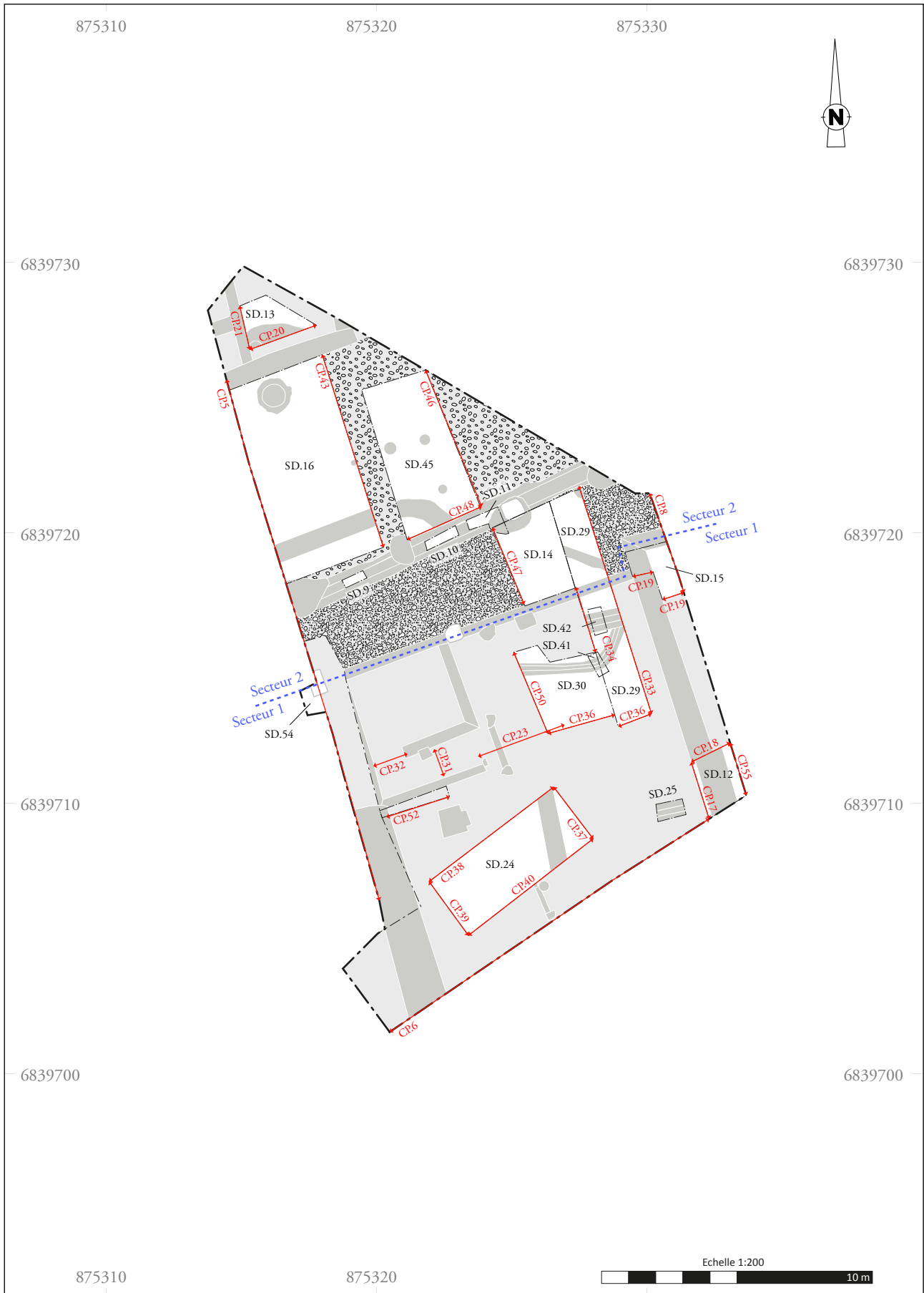


Fig. 9 - Sectorisation de l'emprise de fouille et implantation des sondages (DAO : M. Rodriguez).



Fig. 10 - Vue générale de l'emprise de fouille durant l'intervention de la pelle mécanique.



Fig. 11 - Vue générale de l'emprise de fouille avant rebouchage.

5. Description des vestiges

Miguel Rodriguez

5.1. État de conservation

L'opération menée en août 2021 sur le site des Grandes Corvées a largement confirmé les principaux constats relatifs à l'état de conservation des vestiges réalisés l'année précédente. Le premier de ces constats est la présence d'une stratification conséquente, et ce malgré une mise en culture relativement ancienne de la parcelle étudiée ainsi qu'une érosion marquée due au pendage de cette partie du plateau. Certains secteurs de l'emprise de fouille atteignent ainsi une profondeur de près de 2,50 m et, de manière générale, le substrat naturel n'a pas été observé à moins de 2 m de profondeur.

Le second élément notable est l'observation d'affaissements en cuvette dont l'importance, quoique variable, est suffisamment grande pour représenter dans de nombreux cas un obstacle à l'interprétation des vestiges. Dans certains cas, les niveaux de circulation se sont ainsi enfoncés de plus de 50 cm, entraînant des nivellements ponctuels difficiles à appréhender en plan et complexifiant de manière considérable les comparaisons altimétriques entre niveaux potentiellement équivalents.

La réalisation de sondages mécaniques à partir de la seconde moitié de la campagne a permis une meilleure appréhension de ces deux caractéristiques ainsi que, par voie de conséquence, une compréhension plus développée de l'agencement des vestiges (**Fig. 12** et **Fig. 13**).

5.2. Stratigraphie générale

Cette seconde campagne a permis de documenter la totalité de la stratigraphie du site. L'analyse exhaustive de cette dernière, déjà largement entamée dans le rapport intermédiaire 2022 (Bonaventure et al. 2023 : 170-182), a finalement pu être menée à son terme à l'occasion du rapport intermédiaire 2023. Cinq états

successifs (**Fig. 14** à **Fig. 17**) ont ainsi été identifiés et datés avec une précision satisfaisante (mais encore perfectible). Ce résultat a notamment pu être obtenu grâce à l'étude préliminaire d'échantillons choisis de mobilier datant (fibules et céramique) ainsi que grâce aux études exhaustives des monnaies et de la vaisselle en verre. Dans le cas du mobilier céramique, le choix des échantillons s'est avant tout porté sur les états précoces afin de répondre prioritairement aux problématiques du PCR. Cela explique en grande partie l'imprécision grandissante des datations attribuées aux états tardifs. Sur la base de ces éléments, les hypothèses de phasage suivantes peuvent être proposées :

- **État 1 (première moitié du 1^{er} s. ap. J.-C. ?)** : cet état initial a été observé dans le fond de certains sondages et se manifeste essentiellement par des structures en creux de type trous de poteau. Sa datation actuelle repose sur le corpus mobilier – peu abondant – issu du comblement de ces structures. On note que l'encaissant de ces dernières a livré des monnaies ainsi qu'une fibule filiforme susceptibles de révéler l'existence d'une potentielle phase d'occupation plus ancienne (LTD-Auguste ?). Un premier niveau d'incendie marque la transition avec l'état suivant ;

- **État 2 (première moitié du 1^{er} s. – début du 1^{er} s. ?)** : ce second état constitue très probablement le cœur de l'occupation observée. Sa datation actuelle peut être considérée comme assez fiable car elle repose sur un échantillon conséquent de céramique, de monnaies et de fibules. À nouveau, un niveau d'incendie marque la transition avec l'état postérieur ;

- **État 3 (1^{er} s. ?)** : ce troisième état correspond à une reconstruction des aménagements impactés par l'incendie de l'état précédent. Sa datation large est le fait d'un corpus de mobilier daté plus réduit ainsi que par une conservation significativement dégradée par les aménagements postérieurs ;

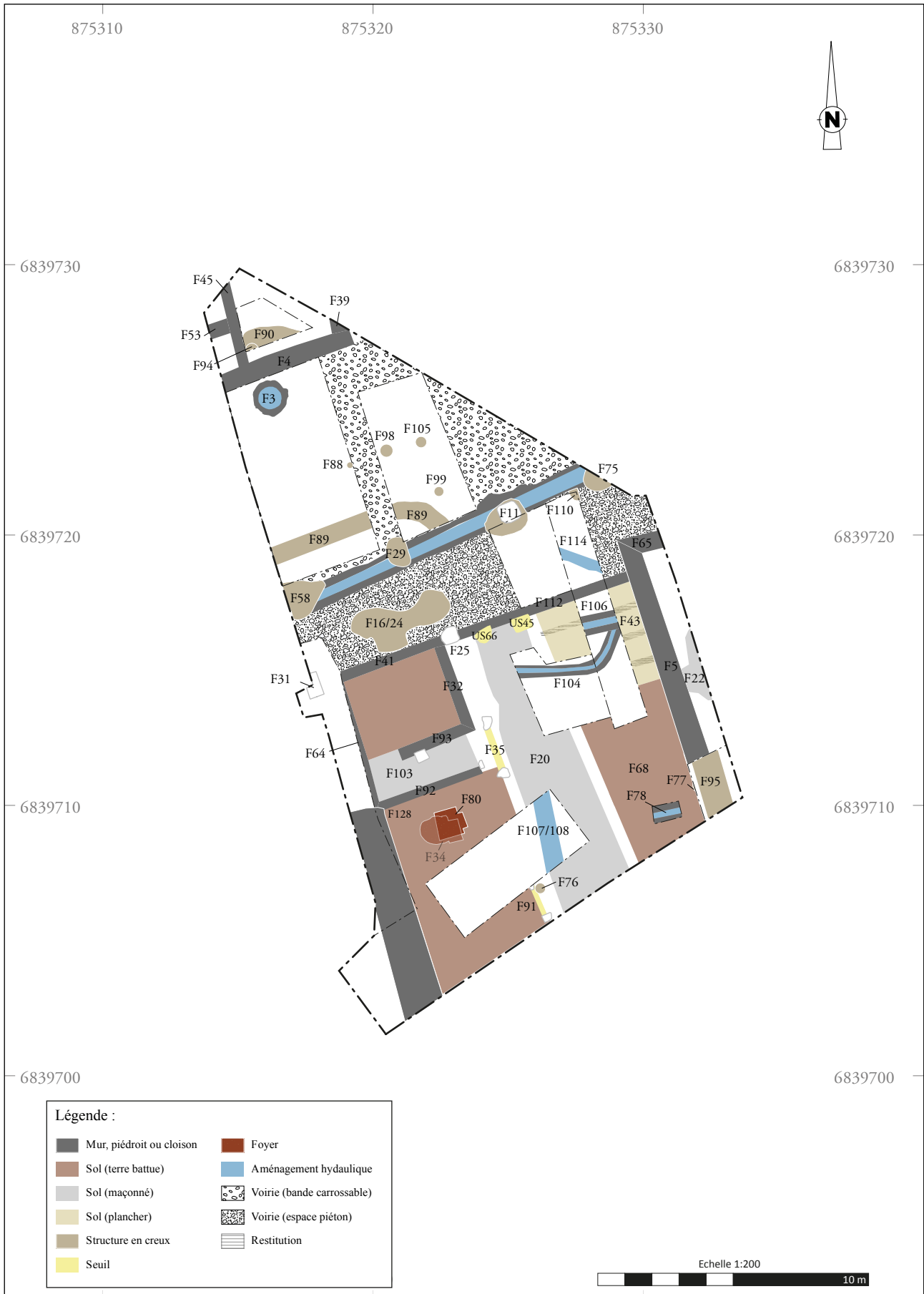


Fig. 12 - Plan masse des vestiges observés durant la campagne 2021 (DAO : M. Rodriguez).



Fig. 13 - Orthophotographie du site à la fin de la campagne 2021 (Prise de vue : M. Rodriguez).

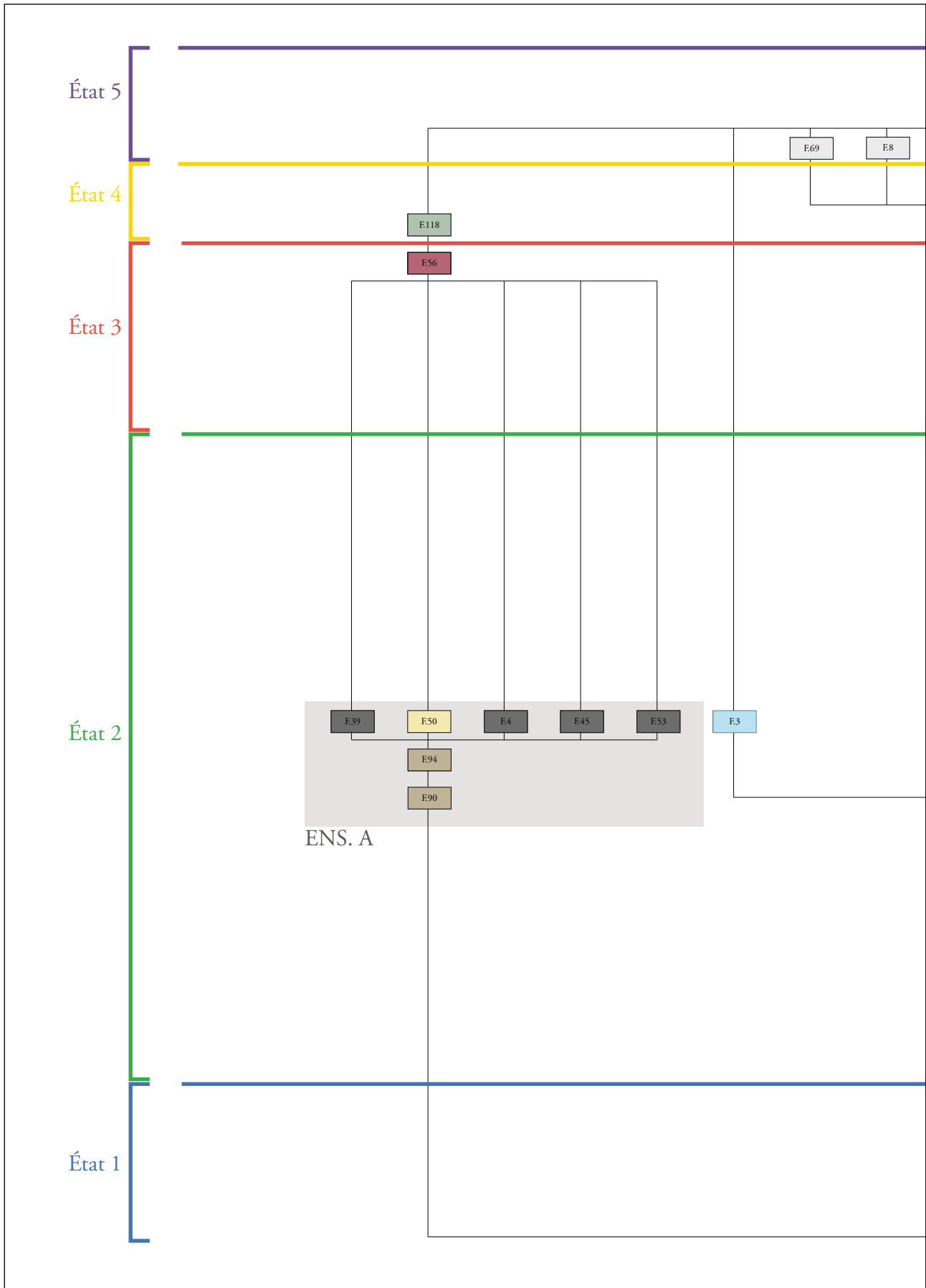
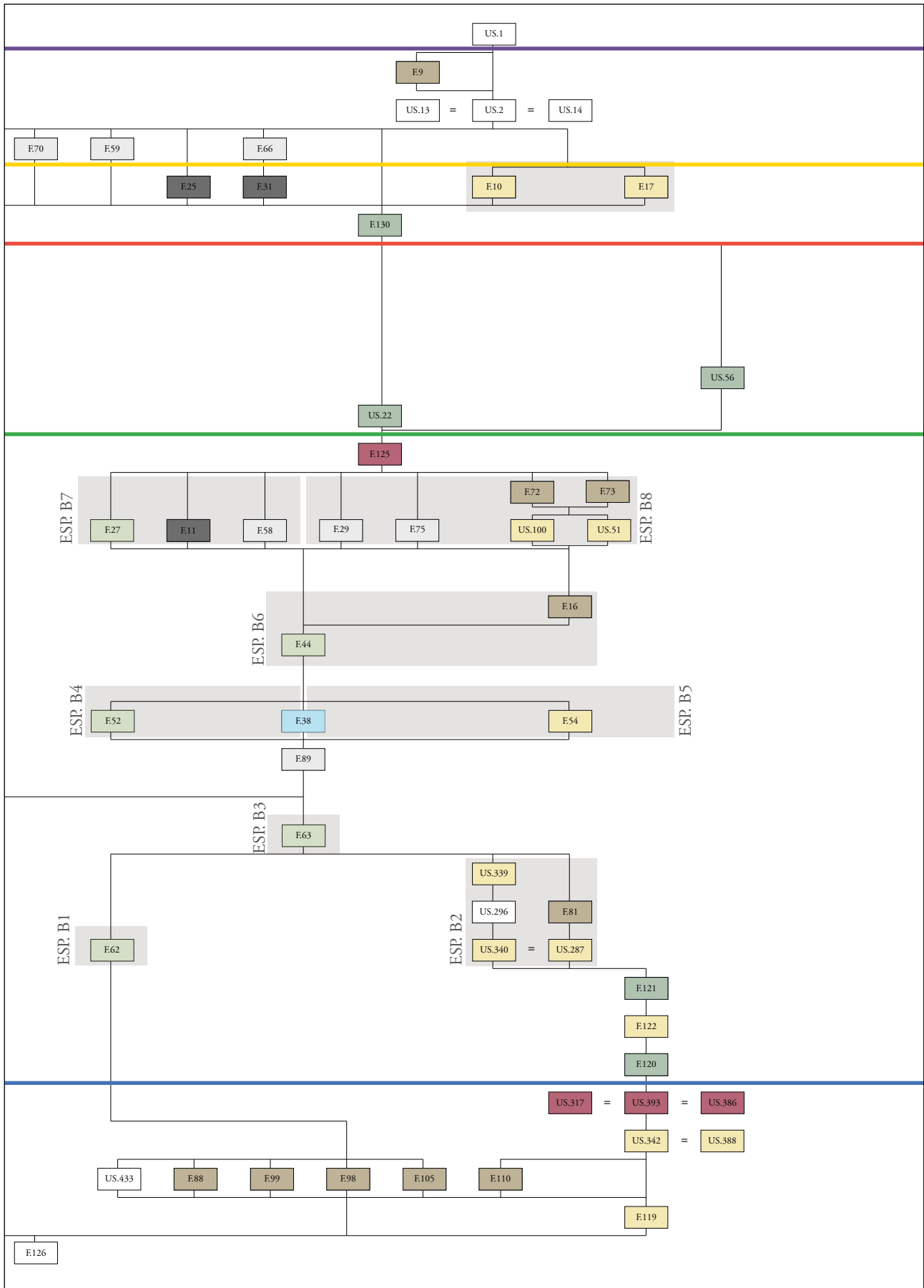


Fig. 14 - Stratigraphie du site 1/3 : les ensembles ENS.A. (gauche) et de ENS.B (droite) (DAO : M. Rodriguez).

Mutations urbaines à *Nasium* (Meuse) | Rapport intermédiaire 2023



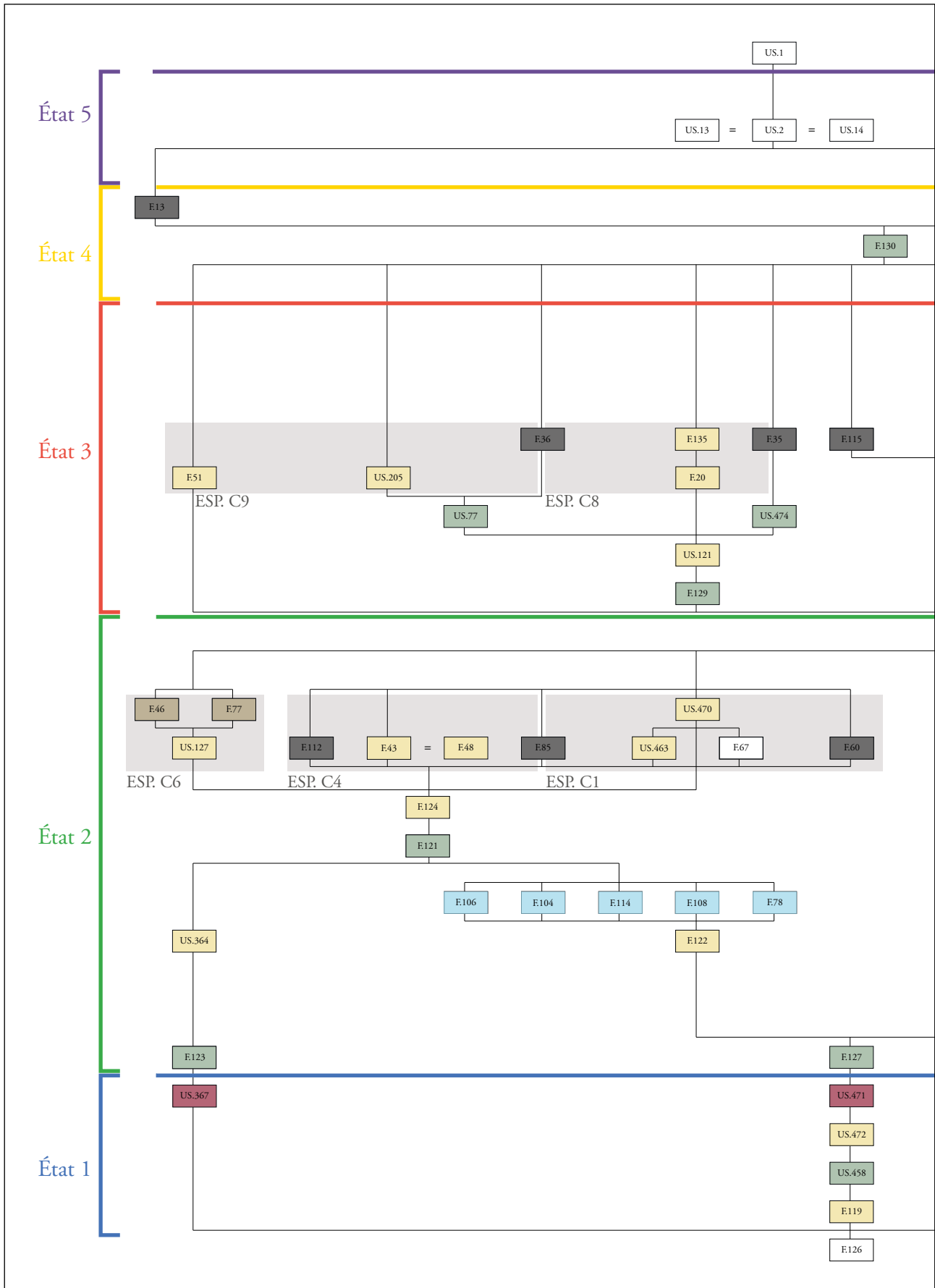
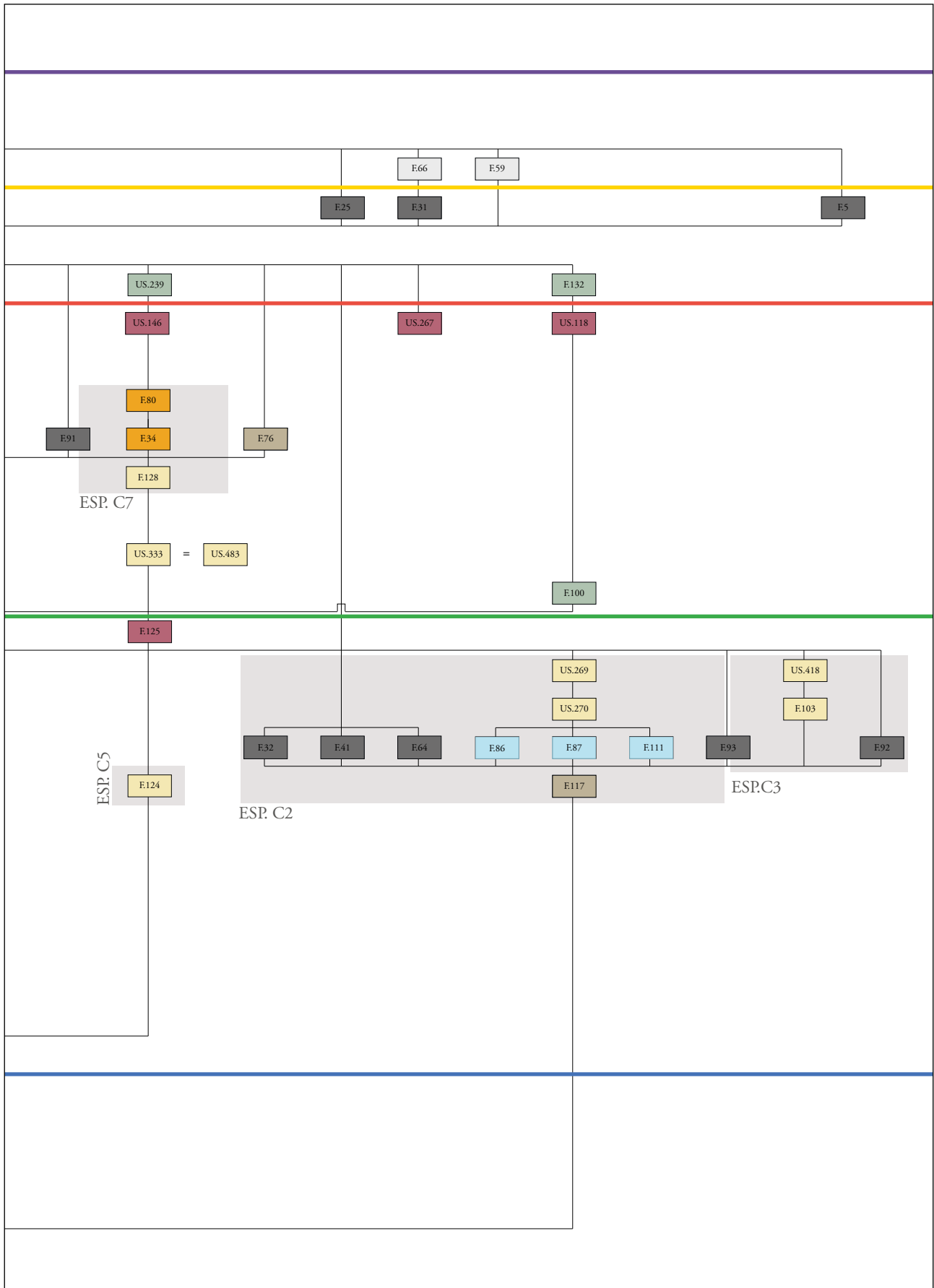


Fig. 15 - Stratigraphie du site 2/3 : l'ensemble ENS.C. (DAO : M. Rodriguez).



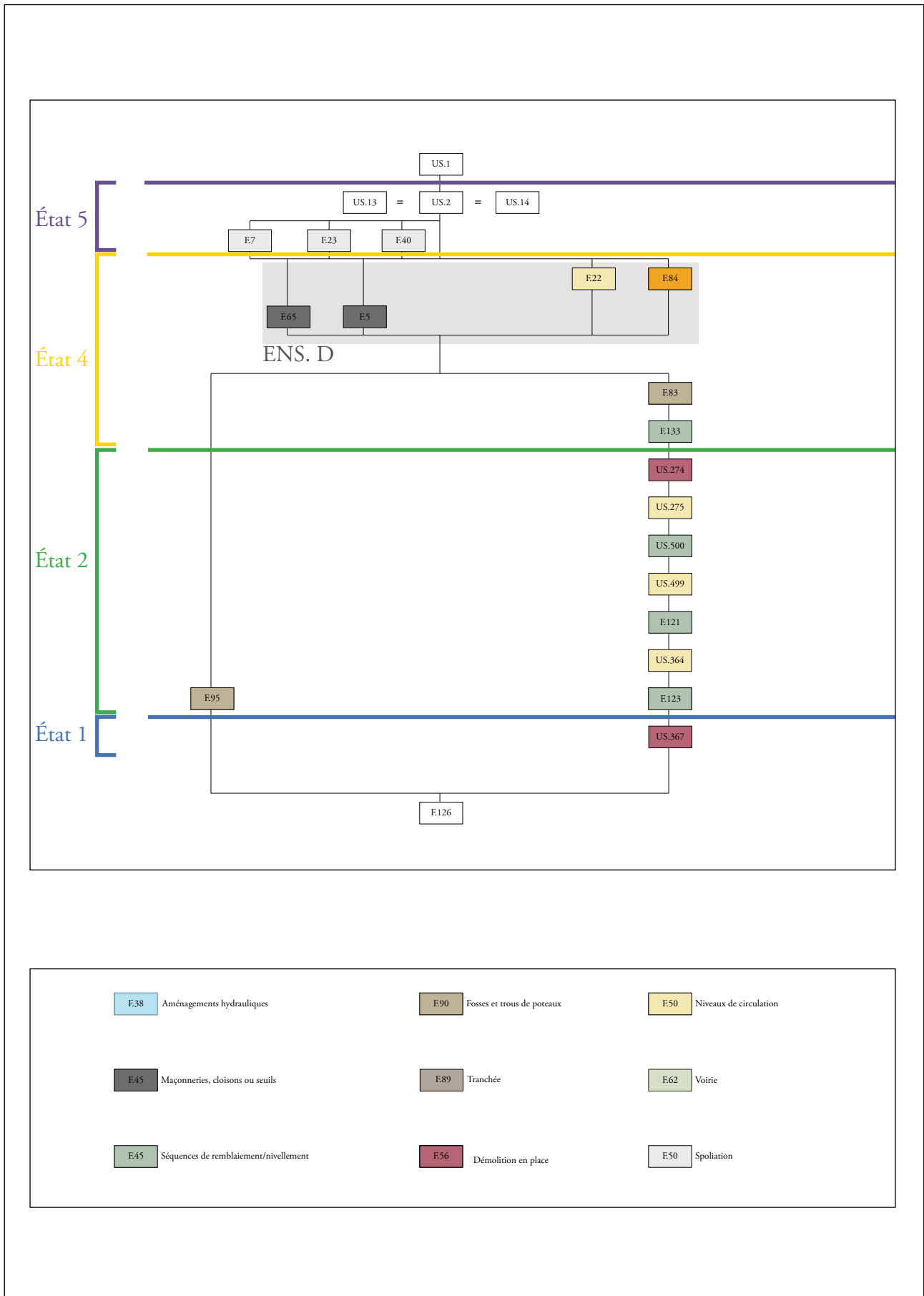


Fig. 16 - Stratigraphie du site 3/3 : l'ensemble ENS.D et légende graphique des trois diagrammes (DAO : M. Rodriguez).



Fig. 17 - Plan phasé (DAO : M. Rodriguez).

- **État 4 (deuxième moitié du II^e s. - IV^e s. ?)** : ce quatrième état paraît correspondre à un réagencement majeur de l'espace étudié. Son installation semble précédée par une importante phase de rehaussement et de nivellement qui est sans doute à l'origine de la détérioration de l'état précédent. Les vestiges de l'état 4, apparus à seulement vingt centimètres sous la terre végétale, ont eux-mêmes été très impactés par l'érosion et les labours. Il s'agit vraisemblablement du dernier état d'occupation antique. Sa datation, peu précise, ne peut s'appuyer que sur un corpus mobilier limité principalement issu de remblais ;

- **État 5 (IV^e s. – époques moderne et contemporaine ?)** : cet ultime état, qui correspond à la phase de sédimentation post-abandon, est le plus impacté par l'érosion. L'indigence du mobilier prélevé ne permet pas de distinguer les éventuelles phases de fréquentation/occupation du Bas-Empire de celles des périodes ultérieures.

5.3. L'état 1

5.3.1. La phase 1a

Le fait F.119 regroupe quatre niveaux, sans doute équivalents, installés directement sur le substrat naturel F.126 : l'US.313, observée dans les sondages SD.16 et SD.45 (**Fig. 18** et **Fig. 19**) ; l'US.412, observée dans le sondage SD.29 (**Fig. 20**) ; l'US.449, observée dans les sondages SD.29 et SD.30 (**Fig. 20** et **Fig. 21**) et l'US.476, observée dans le sondage SD.24. Leur niveau d'apparition est compris entre 261,20 et 261,66 m NGF. Elles se présentent sous la forme d'épaisses couches de sédiment argileux ou argilo-limoneux de couleur olive, marron ou jaune, compact et homogène, comprenant des inclusions de charbons et de gravillons en quantité variables. À l'exception de l'US.412 (épaisseur : 11 cm), leur épaisseur est supérieure ou égale à 20 cm. Trois d'entre elles ont uniquement livré du mobilier céramique en quantité limitée. L'US.313 en revanche a livré un mobilier plus conséquent constitué de céramique (NR = 12), de faune (NR = 30), de TCA (NR = 9), de quelques éléments en fer (NR = 28) dont une fibule de type Feugère 4c2 (inv.1275) ainsi que huit potins au sanglier (inv.1187, 1247, 1251, 1281, 1282, 1306, 1386 et 1387).

Ce mobilier était majoritairement concentré sur la partie supérieure de ces quatre couches où se trouvaient également des éléments à plat. Ces indices, ainsi que la compacité de ces niveaux, suggèrent une fonction de niveau de sol ou de niveau de circulation. Cette dimension fonctionnelle pourra être confirmée ou infirmée après le rendu de l'étude micromorphologique des prélèvements réalisés dans les US.313 et US.449. Une datation fiable de cette première phase de fréquentation ne pourra être proposée qu'à la suite du rendu de l'étude céramique. La datation actuelle (première moitié du I^{er} siècle de notre ère) repose sur un unique fragment de pot ou de gobelet issu de l'US.412. On note, à titre indicatif, que la présence de la fibule filiforme et des potins au sanglier pourrait impliquer une datation plus ancienne, possiblement centrée sur La Tène finale.

5.3.2. La phase 1b

Dans la partie nord de l'emprise, la phase 1b est caractérisée par l'implantation de trois trous de poteaux : F.88, F.98, F.105. Deux autres structures de même nature (F.99 et F.110), possiblement contemporaines, sont néanmoins assez rapidement recouverte par le niveau de circulation US.342/388. Une dernière structure, F.109, pourrait être considérée comme un trou de poteau implanté dans le même axe que F.99. Il n'a cependant été observé que dans la coupe CP43, où il est presque totalement oblitéré par le creusement F.89. L'installation du niveau US.342/388 entretient par ailleurs une possible relation avec le bloc US.433. Dans la partie sud de l'emprise, la phase 1b se manifeste également par la mise en place d'un sol (US.472) installé sur un épais remblai (US.458) (**Fig. 22** et **Fig. 23**).

Les trous de poteau sont localisés dans les sondages SD.16 (F.88 et F.109 ?), SD.29 (F.110) et SD.45 (F.98, F.99 et F.105) où ils s'implantent directement dans le sol F.119 (**Fig. 24** et **Fig. 25**). L'alignement d'orientation sud-ouest/nord-est formé par F.88, F.98 et F.105 pourrait suggérer la présence d'un ensemble structuré de type bâtiment, mais les fenêtres d'observation sont trop restreintes pour l'attester avec certitude. Ces aménagements sont caractérisés par un plan circulaire ou sub-circulaire (F.88 n'a été observé qu'en coupe ; F.110 n'a été que partiellement appréhendé) d'un diamètre compris entre 26 et 58 cm, et par un profil en cuvette, d'une profondeur comprise entre 6 et 30 cm

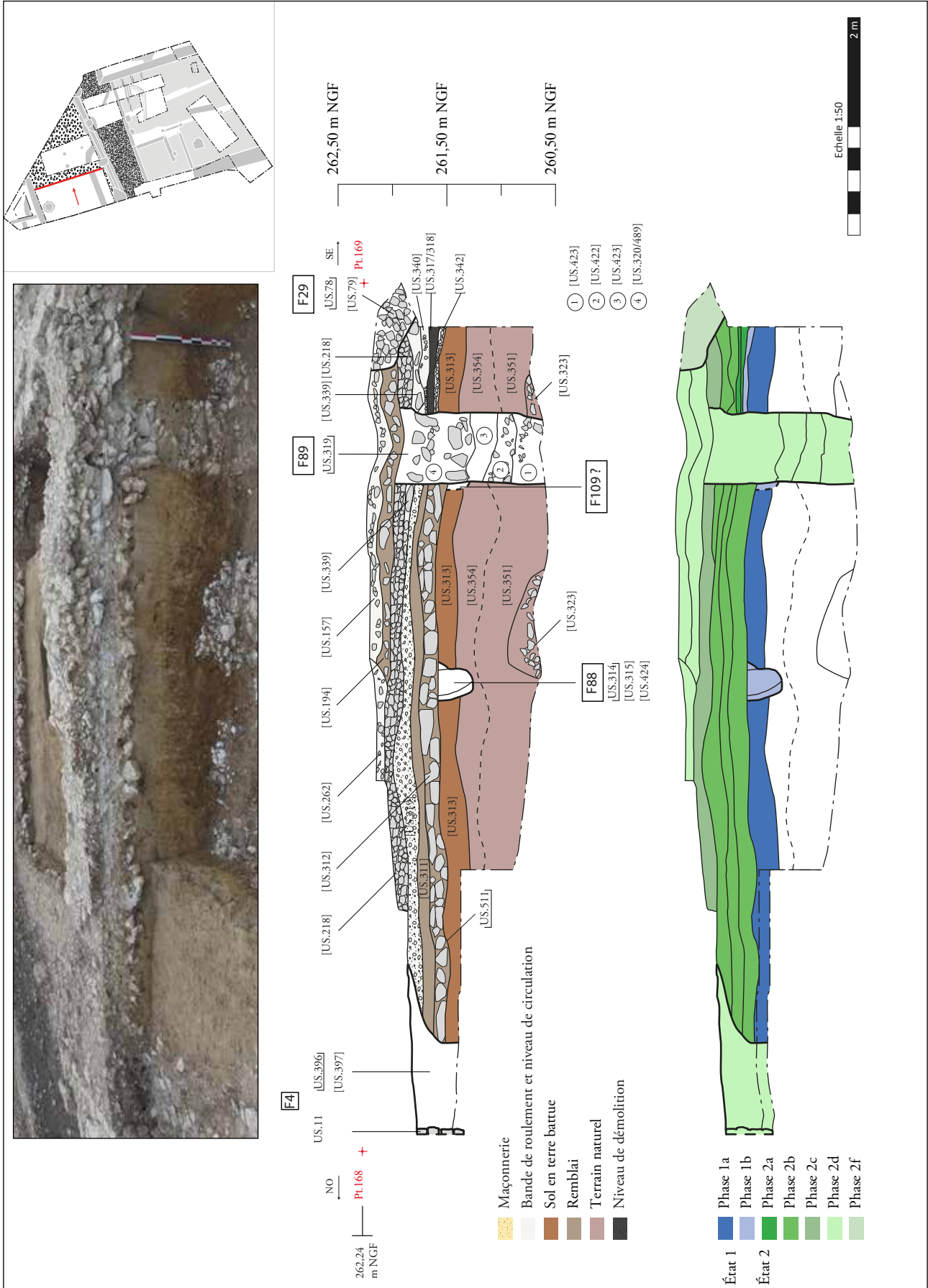


Fig. 18 - Coupe CP.43 du sondage SD.16 (Relevé : E. Mathieu, M. Aubry. DAO : E. Mathieu. Infographie : L. Darmon).



Fig. 19 - Coupe CP.46 du sondage SD.45 (Relevé : M. Delagnes. DAO : E. Mathieu. Infographie : L. Darmon).

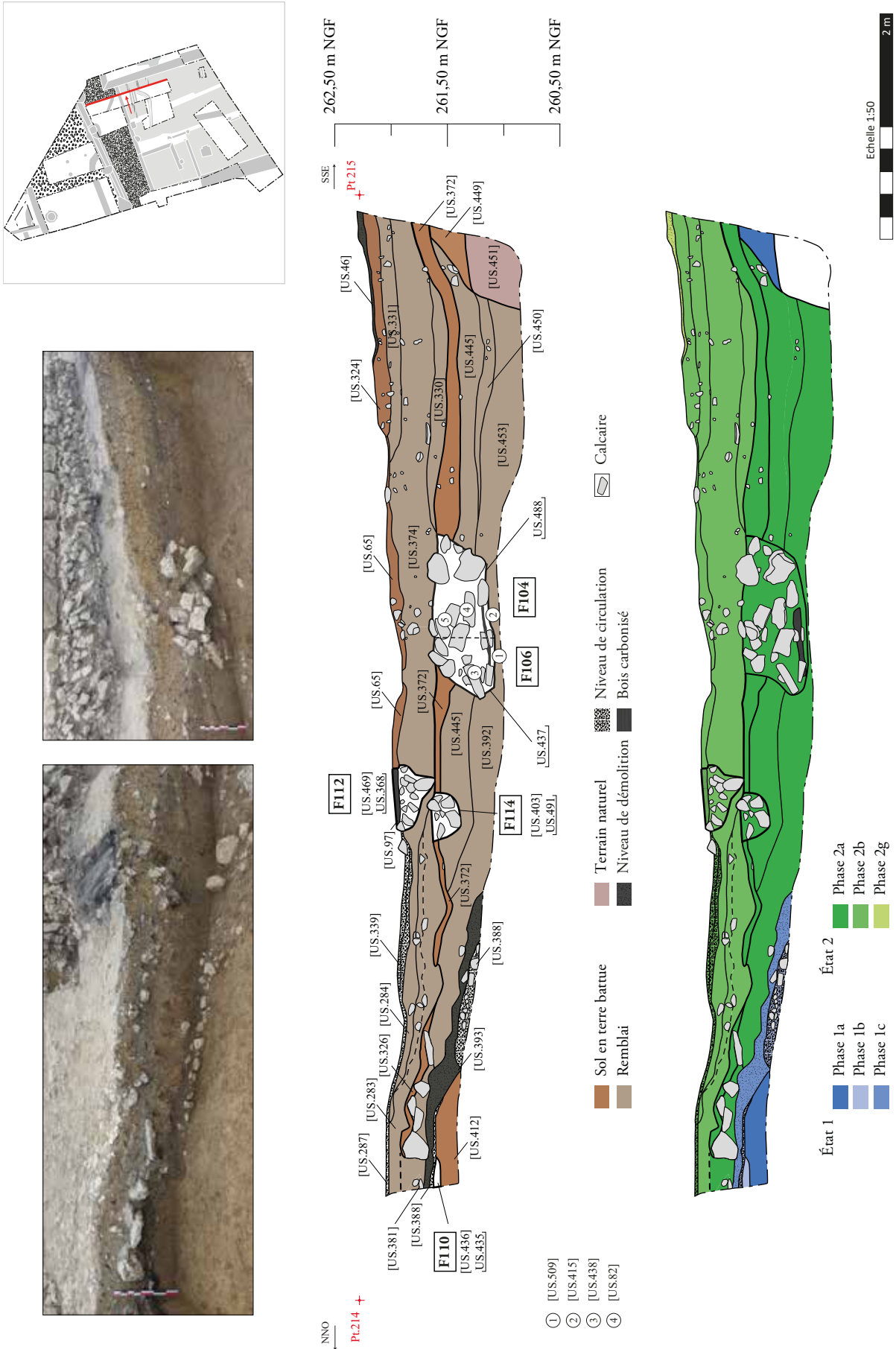


Fig. 20 - Coupe CP.33 du sondage SD.29 (Relevé : L. Guyonvarc'h, C. Mailly. DAO : M. Setan. Infographie : M. Rodriguez).

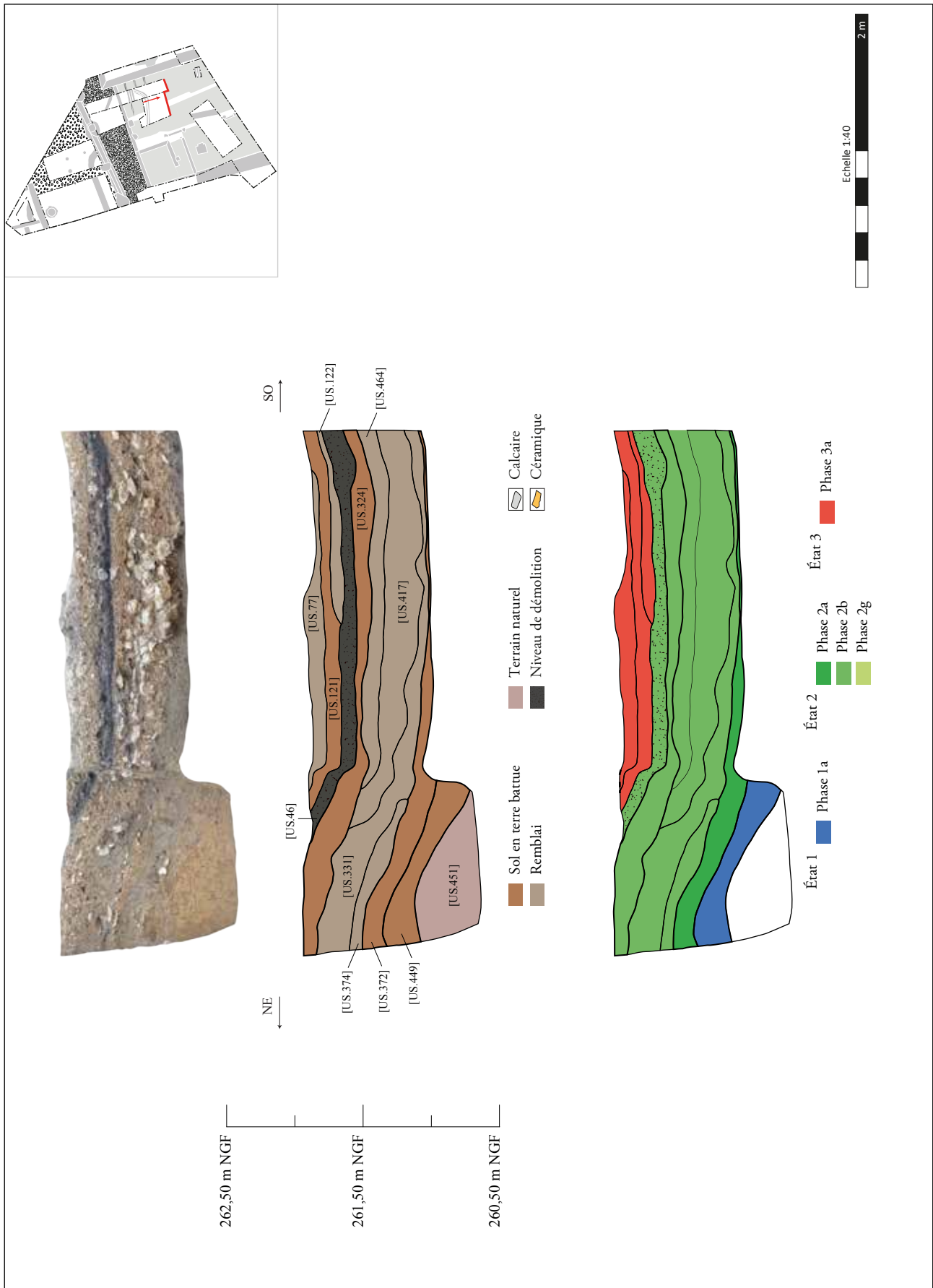


Fig. 21 - Coupe CP.36 des sondage SD.29 et SD.30 (Relevé : S. Février, M. Aubry. DAO : M. Setan. Infographie : M. Rodriguez).



Fig. 22 - Localisation des structures de la phase 1b : les trous de poteau F.88, F.98, F.99, F.105 et F.110 ainsi que le sol US.472 (DAO : M. Rodriguez).

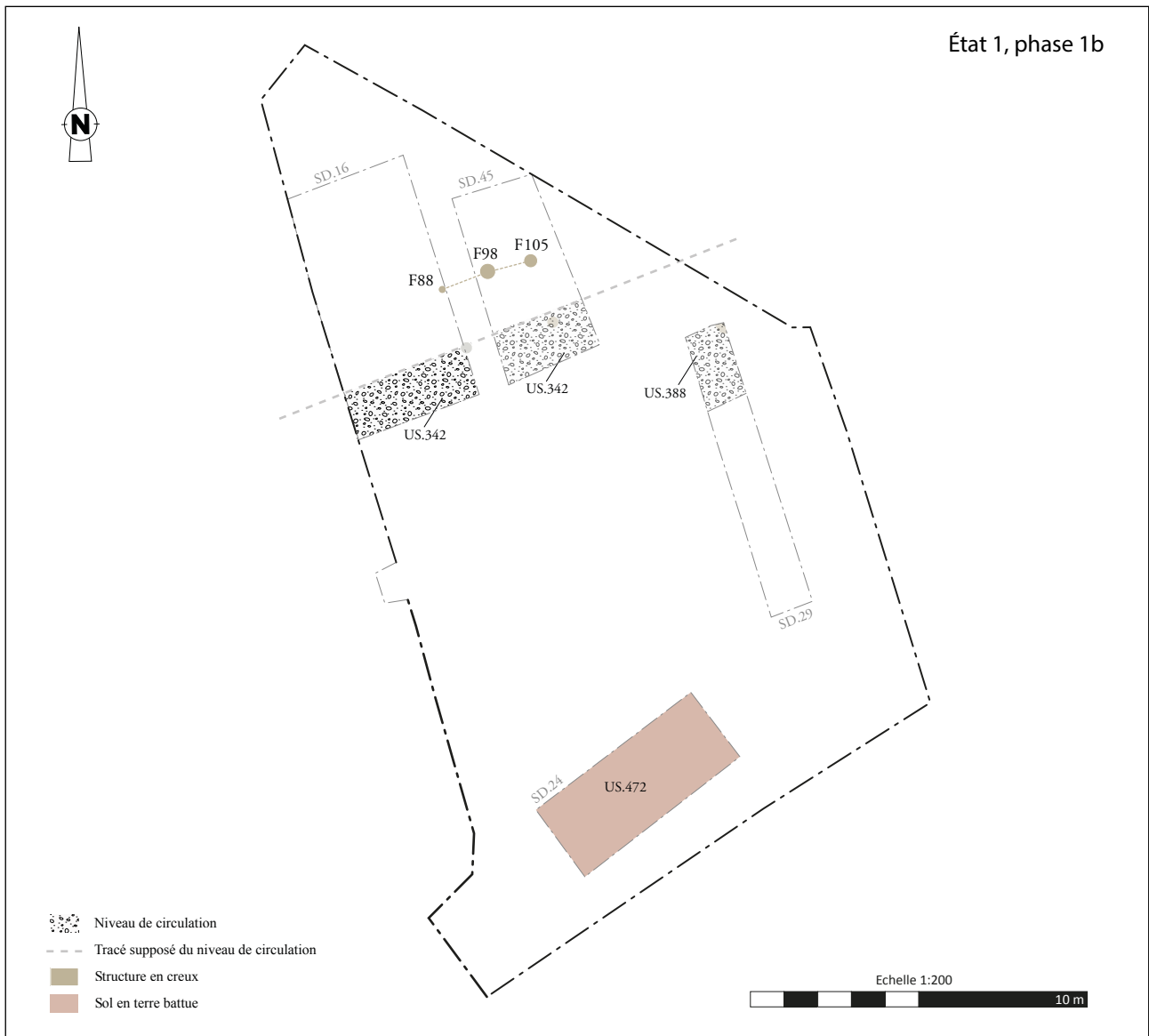


Fig. 23 - Localisation des structures de la phase 1b : le niveau de circulation US.342/388 (DAO : M. Rodriguez).



Fig. 24 - Vue zénithale du sondage SD.45 et des trous de poteaux F.98, F.99 et F.105 en cours de fouille.



Fig. 25 - Vue zénithale du trou de poteau F.110 dans le sondage SD.29.

N° fait	Plan	Profil	Dimensions (cm)	Profondeur (cm)	Alti. sup. (m NGF)	Alti. inf (m NGF)
F.88	indéterminé	cuvette	36	30	261,56	261,26
F.98	circulaire	cuvette	58 x 52	28	261,52	261,26
F.99	circulaire	cuvette	33 x 34	22	261,55	261,33
F.105	circulaire	cuvette	45 x 36	22	261,56	261,34
F.110	circulaire	cuvette	26 x 26	6	261,63	261,56

Fig. 26 - Caractéristiques principales des trous de poteaux de la phase 1b.

(**Fig. 26**). Leur remplissage est un niveau argileux ou argilo-limoneux gris ou brun foncé, compact et homogène, comprenant ponctuellement des inclusions de torchis et de charbons. Le négatif du poteau paraît conservé sur les structures F.88, F.98 et F.105, où il se présente sous la forme d'une concentration charbonneuse sise au centre du comblement et large de 10 à 20 cm (**Fig. 27**). Ces complements ont livré un mobilier relativement conséquent et diversifié. Il est constitué de fragments de faune (32 restes au total), de fragments de torchis (sept restes au total), d'éléments fragmentaires en fer (six restes) ou en alliage cuivreux (17 restes au total), d'un potin (inv.1265) ainsi que de céramique (63 restes au total). Cette dernière fait l'objet d'une étude préliminaire qui suggère, sur la base d'un corpus toutefois restreint, une datation centrée sur la première moitié du 1^{er} siècle de notre ère. Des tessons issus du trou de poteau F.99 semblent impliquer une datation resserrée sur la période augusto-tibérienne.

L'US.342, observée dans les sondages SD.16 et SD.45, ainsi que son équivalent l'US.388, observée dans le sondage SD.29, sont respectivement apparues à 261,79 m NGF et 261,61 m NGF. Elles se présentent sous la forme d'un niveau de cailloutis constitué de blocs de calcaire lithographiques bruts de petit module, ponctuellement associés à des éléments en calcaire oolithique ou marneux de module similaire ainsi qu'à des fragments de TCA, pris dans une matrice limono-argileuse brune, compacte et homogène, comprenant de rares charbons. Chacun de ces blocs ou fragments présente des arêtes émoussées (**Fig. 28**). On note par ailleurs un important effet d'affaissement des deux couches vers le sud (**Fig. 18**, **Fig. 19** et **Fig. 19**). Ce niveau possède ainsi les caractéristiques d'un niveau de circulation dont l'axe, d'orientation sud-ouest/nord-est, serait parallèle à celui dessiné par les trous de poteau F.88, F.98 et F.105. La taille réduite des fenêtres d'observation a logiquement limité la quantité de mobilier prélevé. Celui-ci se limite à

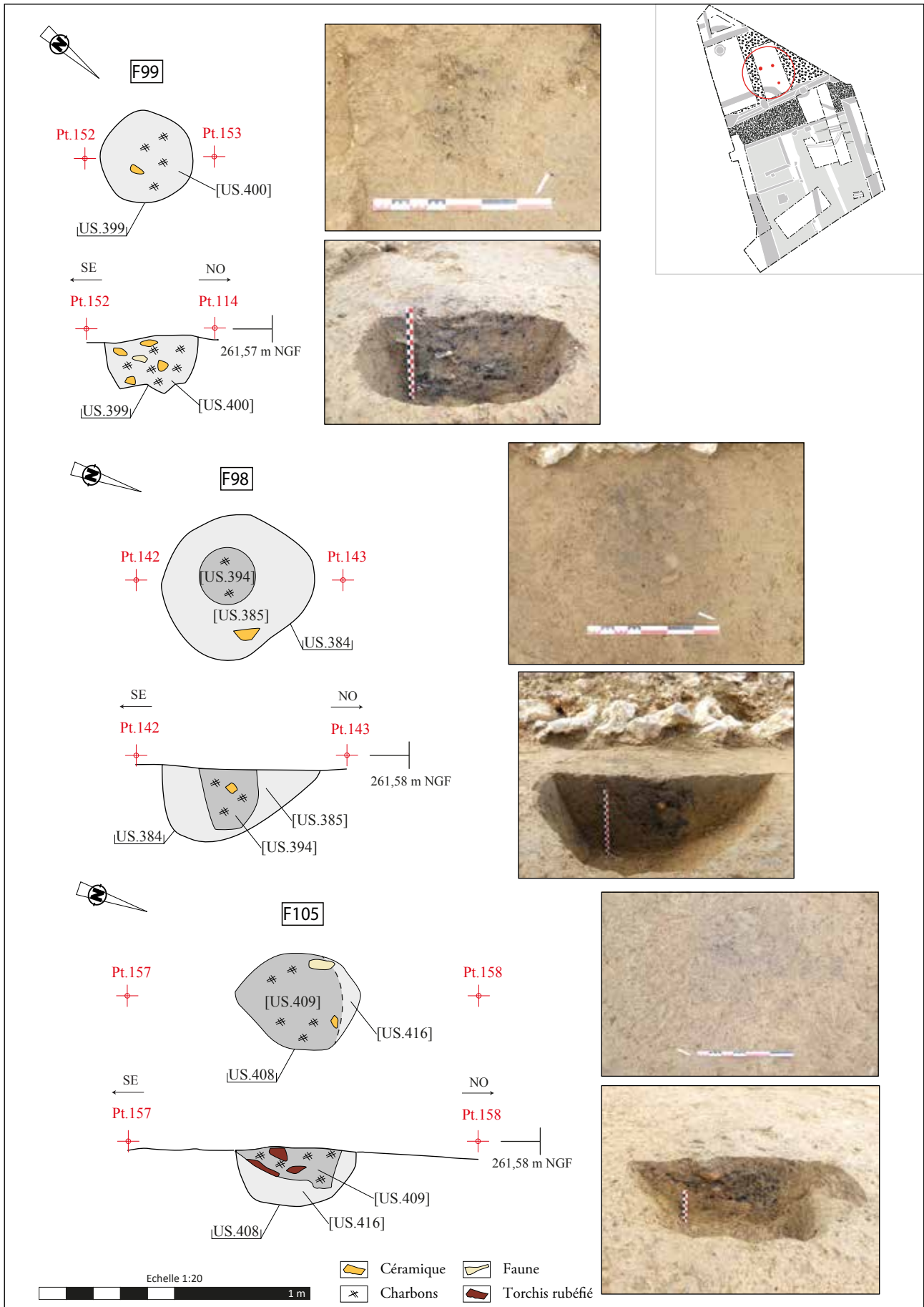


Fig. 27 - Trous de poteaux de la phase 1b (Infographie : M. Rodriguez).



Fig. 28 - Vue oblique de l'US.388 dans le sondage SD.14.



Fig. 29 - Vue en coupe du bloc US.433 dans la coupe occidentale du sondage SD.16.

quelques scories, éléments de faune (sept restes) ou de quincaillerie (47 restes), ainsi qu'à quelques tessons de céramique. Parmi ces derniers se trouvaient un fragment d'assiette de type Drag. 27b, permettant de proposer une datation centrée sur les années 40/80 de notre ère.

L'US.433 a été mise au jour dans la coupe occidentale du sondage SD.16, au niveau de l'extrémité méridionale de l'US.342. Elle se présente sous la forme d'un bloc brut en calcaire oolithique reposant directement sur l'US. 354, couché sur le flanc (**Fig. 29**). Il est apparu à 261,99 m NGF et mesure 108 cm de longueur pour 34 cm de hauteur. Son origine anthropique semble probable en raison de l'absence d'éléments lithiques dans l'US.354 (substrat naturel ou colluvionnement ancien constitué d'une matrice sédimentaire argilo-limoneuse jaune, compacte, homogène et dépourvue d'inclusions).

L'US.458 et l'US.472 ont été uniquement observées dans le sondage SD.24 (**Fig. 30** et **Fig. 31**). La première est apparue à 261,08 m NGF sous la forme d'un niveau d'argile brune, compacte et homogène, associée à de nombreux charbons ainsi qu'à des inclusions de ferromanganèse. Elle a livré un mobilier relativement abondant constitué de fragments de céramique (deux restes), de faune (118 restes), de scories ainsi que d'éléments métalliques (34 restes) dont une hache en fer (inv.1424). La vaisselle identifiée suggère une chronologie centrée sur la période 40/70 de notre ère. Son épaisseur importante (environ 40 cm) est com-

patible avec une fonction de remblai de nivellement. Une fonction de niveau de circulation ne peut toutefois être totalement exclue. Apparue à 261,13 m NGF et épais d'à peine 5 cm, la seconde est un niveau d'argile de couleur olive, compacte, homogène et comprenant de rares charbons. Elle n'a livré qu'un unique clou ainsi que de rares tessons de céramique, par ailleurs peu datant. Sa morphologie rend probable l'interprétation de niveau de sol. Bien qu'associés à la phase 1b, il n'est pas exclu que ces deux niveaux constituent en fait des recharges ponctuelles de F.119.

5.3.3. La phase 1c

Cette dernière phase de l'état 1 est perceptible grâce à la présence de niveaux d'incendie et/ou de démolition venant recouvrir de manière systématique les vestiges de la phase précédente : l'US.367 (sondage SD.12), l'US.317/318 (SD.16), l'US.386 (sondage SD.45), l'US.393 (sondage SD.29) et l'US.471 (sondage SD.24) (**Fig. 32** et **Fig. 33**).

Ces couches, apparues entre 261,31 m NGF et 261,68 m NGF et épaisses de 10 à 26 cm, ne semblent pas constituées d'une trame sédimentaire uniforme. Alors que l'US.317/318 et l'US.367 sont argileuses ou argilo-limoneuses, l'US.386 et l'US.393 sont plutôt caractérisées par un sédiment limoneux ou limoneux-sableux, tandis que l'US.471 est entièrement sableuse. Leur densité est également variable : les US.317/318, 367 et 393 sont ainsi plutôt compactes tandis que les US.386 et 471 sont plutôt meubles.

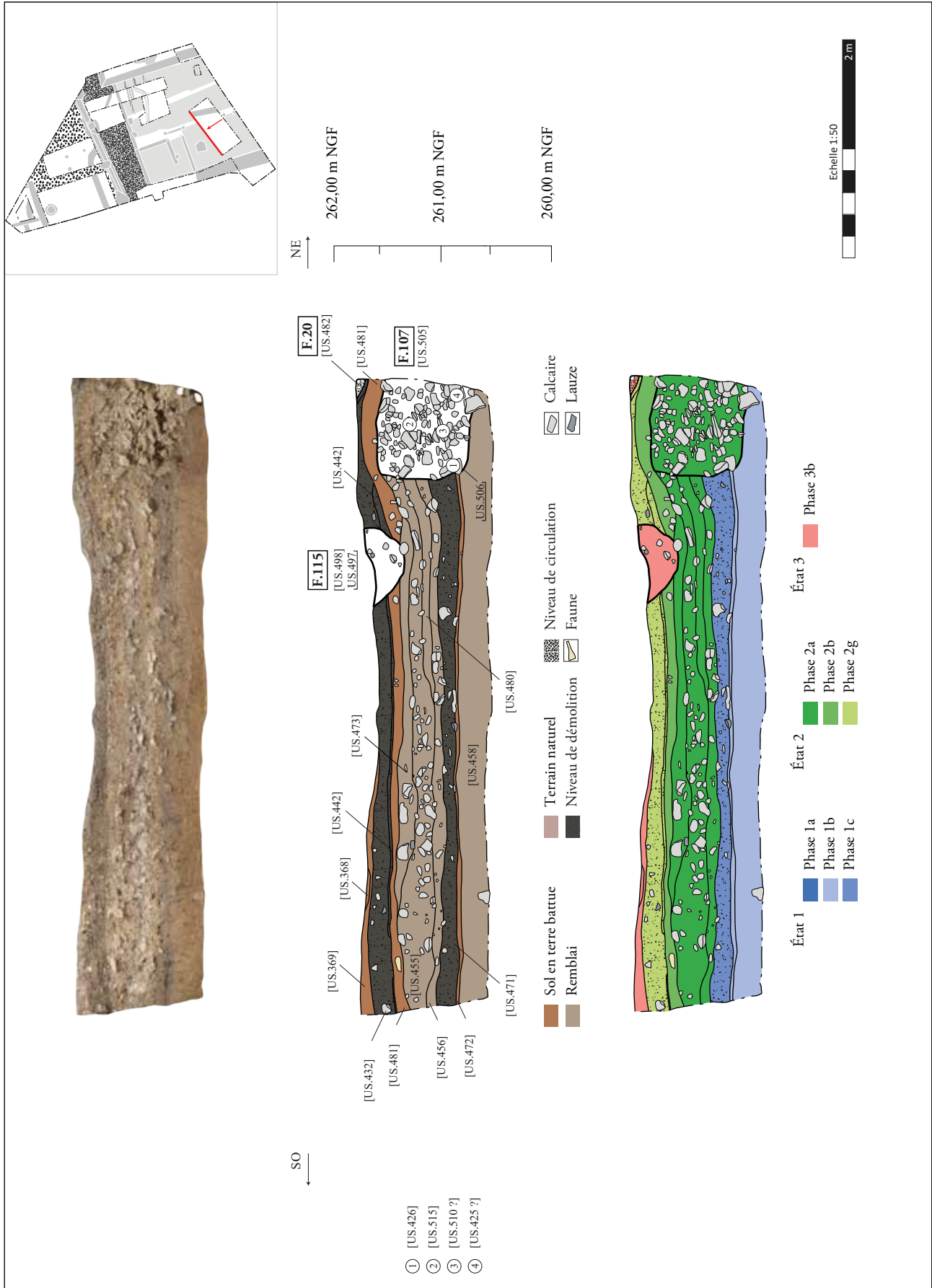


Fig. 30 - Coupe CP.38 du sondage SD.24 (Relevé : M. Leroy, M. Setan, J. Tomczyk. DAO : M. Setan. Infographie : M. Rodriguez).

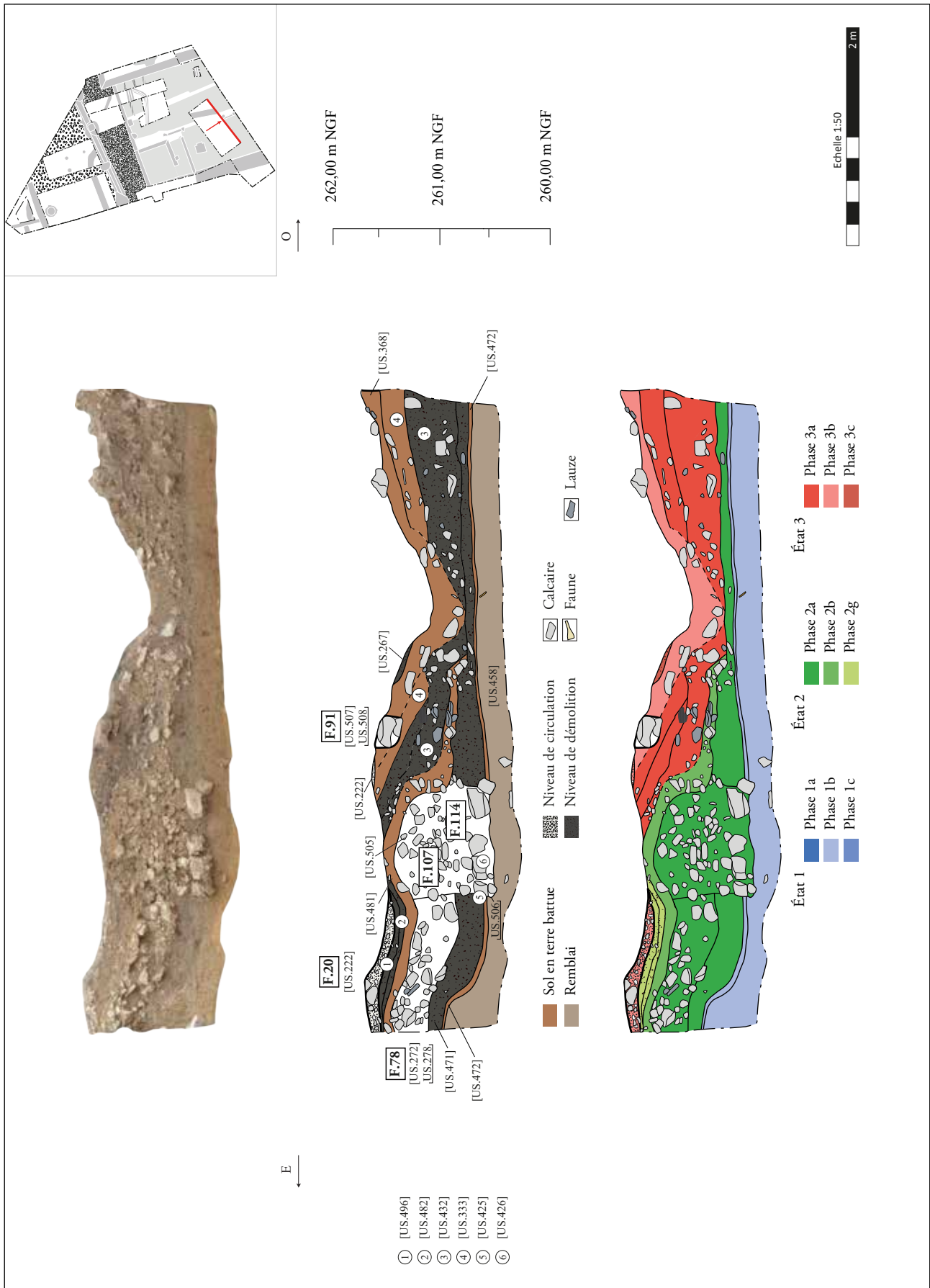
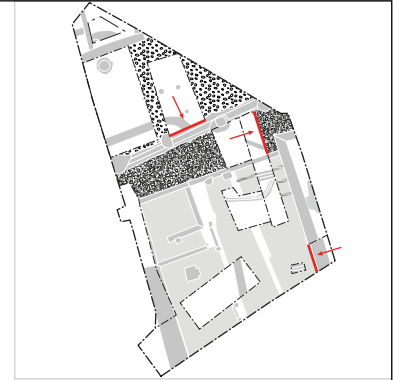


Fig. 31 - Coupe CP.40 du sondage SD.24 (Relevé & DAO : M. Setan. Infographie : M. Rodriguez).



US.386 dans le sondage SD.45

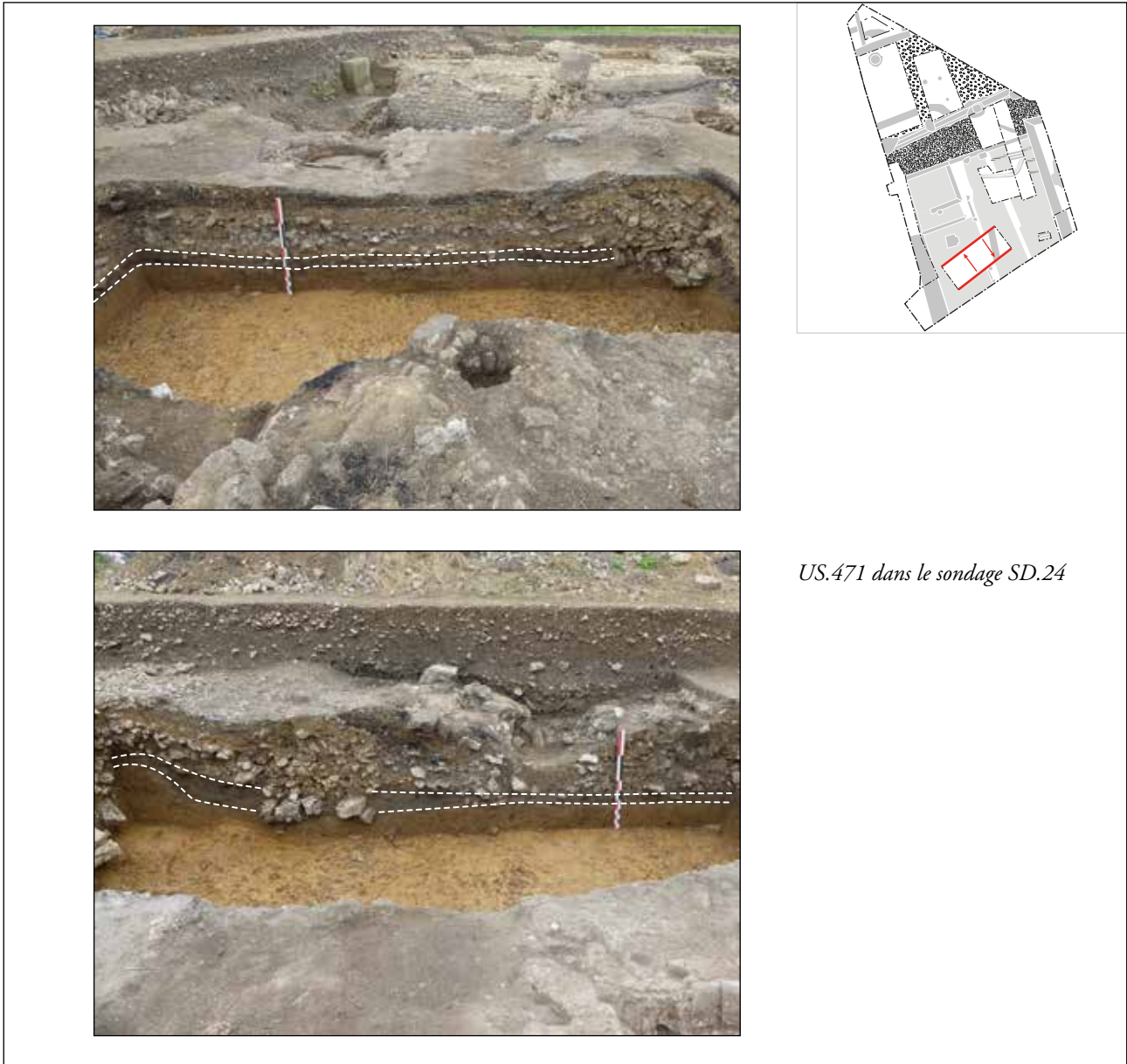


US.367 dans le sondage SD.12



US.393 dans le sondage SD.29

Fig. 32 - Mise en évidence des niveaux de démolition de la phase 1c : US.367, US.386 et US.393 (DAO : M. Rodriguez).



US.471 dans le sondage SD.24

Fig. 33 - Mise en évidence des possibles niveaux de démolition de la phase 1c : US.471 (DAO : M. Rodriguez).

Cependant, elles ont en commun une teinte grise très probablement due à une présence importante et récurrente de charbons, de cendres ainsi que d'autres matériaux de démolition, notamment des nodules hétérométriques de torchis. La présence de mobilier est elle aussi inégale. L'US.317/318, l'US.367 et l'US.386 ont livré peu ou pas de mobilier alors qu'à l'inverse, l'US.393 a livré un mobilier abondant, dont plusieurs

tessons de céramique (18 restes au total) datés de la première moitié du 1^{er} siècle de notre ère. L'US.471 n'a été observée qu'en coupe, mais elle a toutefois livré du mobilier céramique daté de la même période. Précisons par ailleurs que cette phase d'incendie est cohérente avec la nature du comblement des trous de poteaux (négatifs très charbonneux et présence récurrente de nodules de torchis rubéfié).

5.4. L'état 2

5.4.1. La phase 2a

- Les remblais F.120, F.123 et F.127

L'entame de l'état 2 est marquée par une importante séquence de remblaiement. Elle a été observée à trois endroits : à l'est de l'emprise (sondage SD.29), au sud-est de l'emprise (sondage SD.12) et au sud de l'emprise (sondage SD.24).

Dans le sondage SD.29, cette séquence est matérialisée par le fait F.120, lui-même constitué de sept niveaux : l'US.381, l'US.382, l'US.387, l'US.392, l'US.445, l'US.450 et l'US.453. Ces derniers correspondent vraisemblablement aux différents litages accumulés durant la formation de F.120 et, malgré leurs caractéristiques parfois divergentes (**Fig. 34**), sont très certainement contemporains. Ils forment un remblai apparu à 261,88 m NGF et épais d'environ 70 cm (**Fig. 20**). Cette épaisseur importante semble destinée à combler une dépression naturelle dans laquelle se sont affaissées les couches antérieures. Ce remblai a livré un mobilier abondant constitué de céramique, de fragments de vaisselle en verre, de faune, d'élé-

ments métalliques (fer, alliage cuivreux et plomb), de scories ainsi que de rares éléments lithiques dont des tesselles. Deux niveaux, l'US.387 et l'US.392, ont livré du mobilier céramique respectivement daté du 1^{er} siècle de notre ère et de la première moitié du 1^{er} siècle de notre ère. L'US.392 a également livré un potin malheureusement illisible (inv.1327).

Dans le sondage SD.12, cette séquence est matérialisée par le fait F.123, qui est constitué de deux niveaux : l'US.365 et l'US.366. La même logique constatée supra semble pouvoir être appliquée ici : ces couches matérialisent les différents litages d'un même remblai, en dépit des divergences parfois sensibles de leurs principales caractéristiques (**Fig. 35**). Ledit remblai, apparu à 261,99 m NGF et épais de 15 à 40 cm, se distingue par un net pendage vers le nord-ouest (**Fig. 36**). Le mobilier prélevé dans ces niveaux est rare, sans doute en raison de l'étroitesse de la fenêtre d'observation. Il se limite à de rares tessons de céramique (NR = 4) malheureusement non datant.

Enfin, dans le sondage SD.24, cette séquence est matérialisée par le fait F.127, qui est constitué de quatre niveaux : l'US.455, l'US.456, l'US.473 et l'US.480. À nouveau, la création de couches distinctes paraît davantage refléter l'existence de différents apports

Numéro d'US	Composante principale	Composante secondaire	Dureté	Homogénéité	Couleur	Inclusions	Épaisseur (cm)	Alti. sup. (m NGF)	Alti. inf. (m NGF)
US.381	limon	argile	compact	hétérogène	marron	blocs de calcaire ; rares charbons	28	261,56	261,28
US.382/387/445	argile	graviers	compact	hétérogène	jaune/brun	graviers ; fréquents charbons	7	216,4	216,33
US.392/453	argile	-	compact	homogène	rouge/marron	rares charbons	35	261,88	260,87
US.450	limon	sable	friable	homogène	olive	rares charbons	12	261,25	261,13

Fig. 34 - Caractéristiques principales des remblais de F.120.

Numéro d'US	Composante principale	Composante secondaire	Dureté	Homogénéité	Couleur	Inclusions	Épaisseur (cm)	Alti. sup. (m NGF)	Alti. inf. (m NGF)
US.365	argile	sable	compact	homogène	brun	fragments de TCA ; charbons fréquents	15	261,94	261,71
US.366	argile	-	compact	homogène	brun	fragments de TCA ; charbons fréquents	31	261,99	261,68

Fig. 35 - Caractéristiques principales des remblais de F.123.

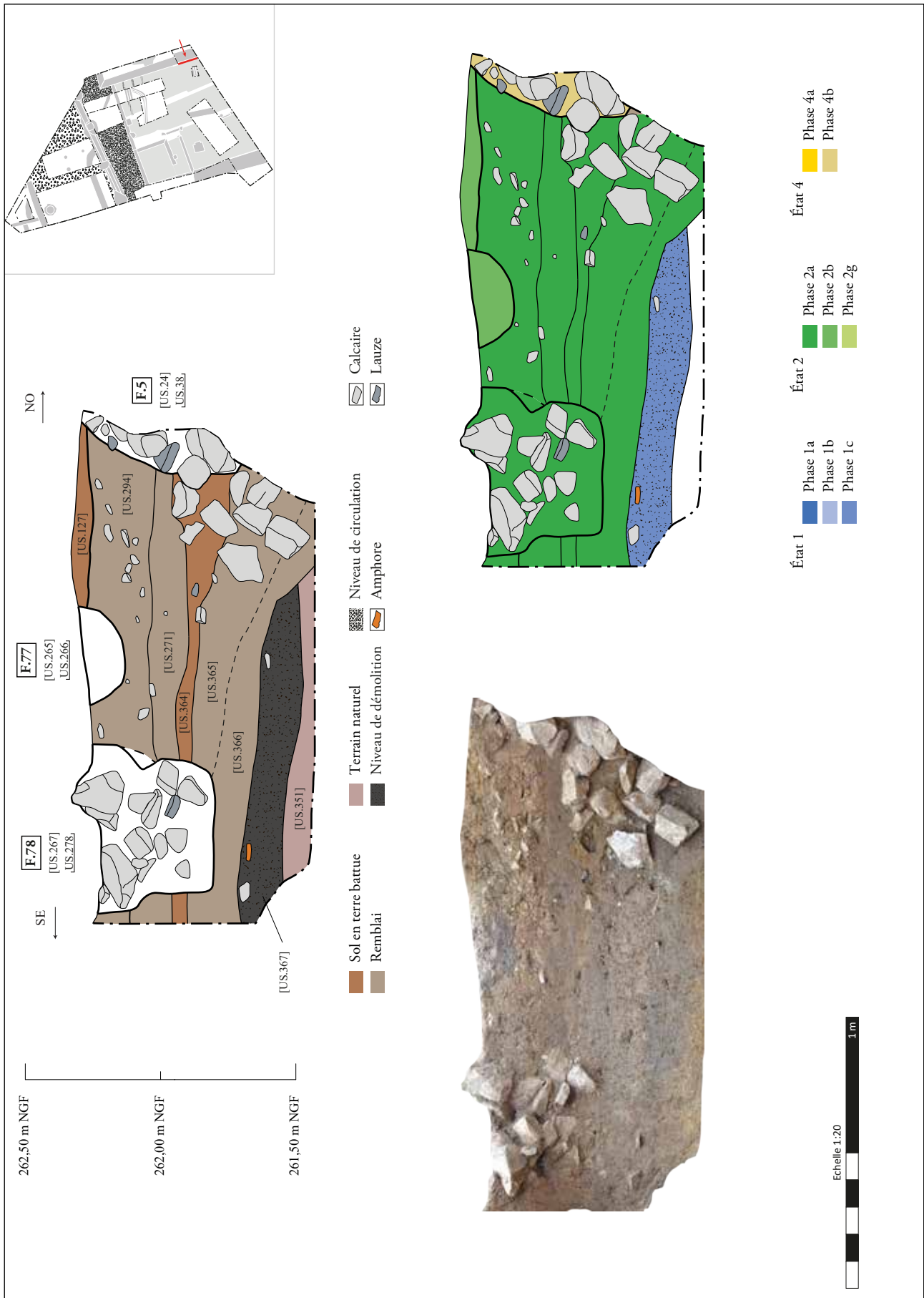


Fig. 36 - Coupe CP.17 du sondage SD.12 (DAO : M. Setan. Infographie : M. Rodriguez).

Numéro d'US	Composante principale	Composante secondaire	Dureté	Homogénéité	Couleur	Inclusions	Épaisseur (cm)	Alti. sup. (m NGF)	Alti. inf. (m NGF)
US.455	argile	sable	meuble	hétérogène	gris	blocs calcaire ; charbons fréquents	23	261,74	261,51
US.456	argile	-	compact	homogène	jaune	rare charbons	20	261,51	261,31
US.473	limon	sable	meuble	hétérogène	gris	rare charbons	7	261,78	261,71
US.480	sable	limon	meuble	homogène	gris	charbons	4	261,61	261,57

Fig. 37 - Caractéristiques principales des remblais de F.127.

sédimentaires durant la mise en place du même remblai plutôt que l'installation de phénomènes successifs (**Fig. 37**). Le remblai ainsi constitué apparaît à 261,95 m NGF et mesure près de 50 cm d'épaisseur (**Fig. 30**). Comme F.127 n'a été observé qu'en coupe, le mobilier prélevé est limité. Il comprend six restes de faune, trois restes d'éléments en fer et trois tessons de céramique. Ces derniers sont compatibles avec une datation au 1^{er} siècle de notre ère.

- Les niveaux F.122 et US.364

Cette séquence de remblaiement semble suivie par un horizon d'occupation et/ou de circulation également perceptible dans plusieurs points de l'emprise de fouille. Il est incarné par le fait F.122 ainsi que par le niveau US.364.

Observé dans les sondages SD.14 et SD29, le fait F.122 regroupe deux niveaux équivalents : l'US.326, l'US.363, respectivement apparus à 261,77 et 261,78 m NGF et mesurant 8 et 21 cm d'épaisseur. Ces derniers possèdent une trame sédimentaire constituée d'argile limoneuse ou de limon de couleur olive à gris, compact et homogène, riche en charbons et comportant de nombreuses inclusions de nodules millimétriques de terre crue et/ou de TCA (**Fig. 20** ; **Fig. 38** et **Fig. 39**). Le mobilier issu de F.122 est quantitativement conséquent et comporte 217 restes de faune (dont 1 fragment d'épingle), 130 fragments d'éléments ferreux (dont de nombreux clous et scories), six restes d'objets en alliage cuivreux (dont deux fragments cohésifs d'une rouelle et une agrafe de ceinture), dix fragments de vaisselle en verre, 356 tessons de céramique ainsi que quelques rares fragments d'enduits peints et une tesselle. En l'état actuel de l'étude céramique, seul un tesson datant du 1^{er}-II^e siècle de notre ère a pu être identifié.



Fig. 38 - Vue en plan de l'US.326 dans le sondage SD.14.

L'US.364, observée dans le sondage SD.12, est apparue à 262,05 m NGF. Elle est constituée d'un niveau argileux marron, homogène et induré, comprenant de fréquents charbons et épais de 5 à 20 cm (**Fig. 36**). Aucun mobilier n'a pu être prélevé dans ce niveau uniquement observé en coupe.

- Les drains F.78, F.104, F.106, F.107, F.114 et F.134 ainsi que les structures F.89 et F.95

L'horizon d'occupation mentionné ci-dessus semble fonctionner avec la mise en place d'un réseau de drains dont six tronçons ont pu être observés dans la partie orientale de l'emprise : F.78, F.104, F.106, F.107, F.114 et F.134. Deux autres structures linéaires, F.89 et F.95, sont également susceptibles d'appartenir à ce même réseau bien que leur interprétation fonctionnelle soit soumise à davantage de réserves (**Fig. 40**).

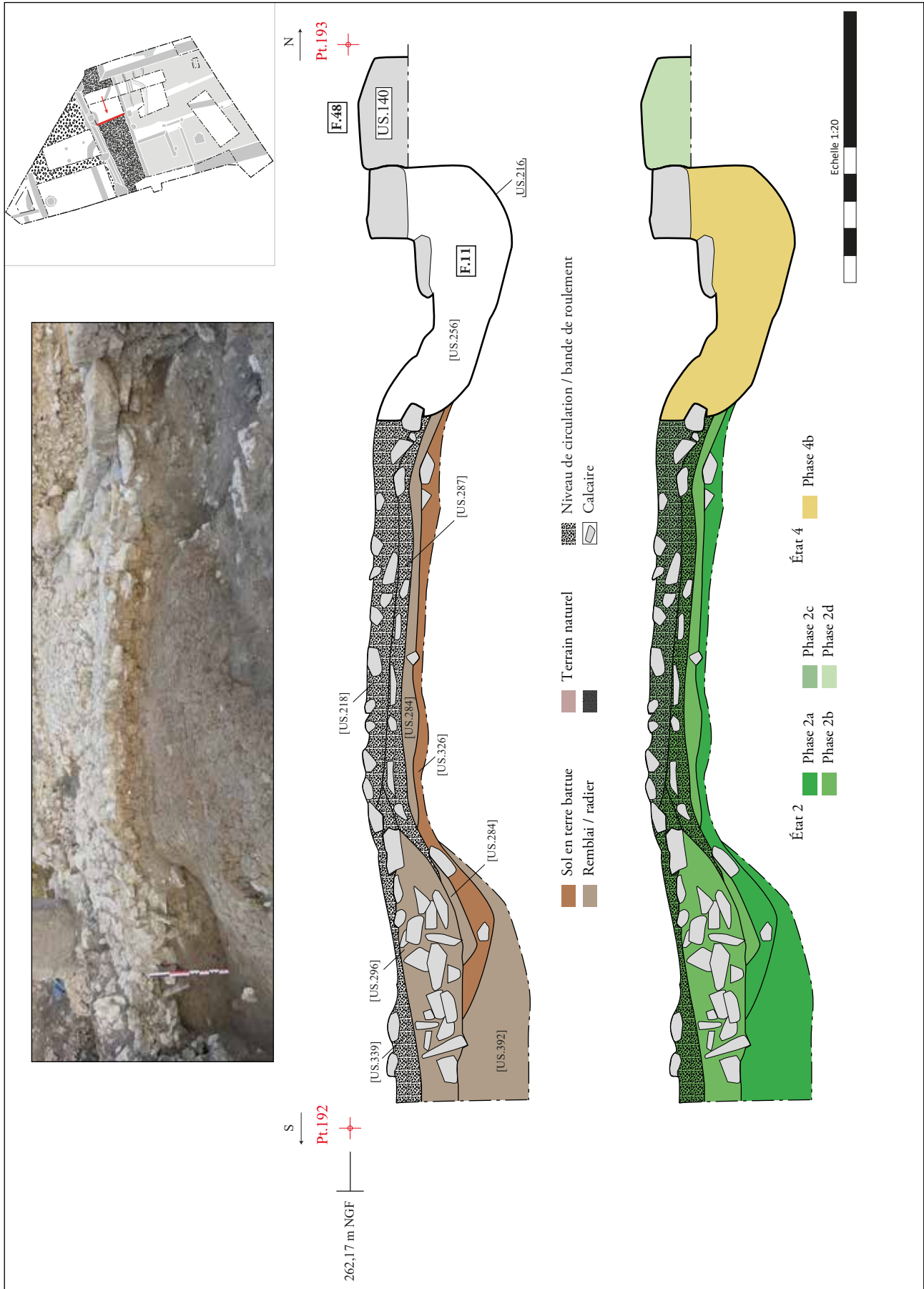


Fig. 39 - Coupe CP.47 du sondage SD.14 (Relevé : C. Corolle, E. Mathieu. DAO : E. Mathieu. Infographie : M. Rodriguez).



Fig. 40 - Localisation des drains de la phase 2a (DAO : M. Rodriguez).

Numéro de fait	Plan	Profil	Pendage	Largeur (cm)	Hauteur (cm)	Alti. sup. (m NGF)	Alti. inf. (m NGF)
F.78	linéaire rectiligne	auge	est/ouest	63	45	262,29	261,84
F.104	linéaire curviligne	auge	sud-est/nord-ouest	56	27	261,32	261,05
F.106	linéaire rectiligne	U	est/ouest	74	58	261,64	261,06
F.107	linéaire rectiligne	U	sud/nord	85	65	261,82	261,17
F.114	linéaire rectiligne	cuvette	sud-est/nord-ouest	30	35	261,9	261,60
F.134	indéterminé	U	ouest/est ?	46	75	261,96	261,18

Fig. 41 - Caractéristiques principales des drains de la phase 2a.

En dépit de l'étroitesse des fenêtres d'observation, qui ne permet pas d'appréhender le réseau dans son ensemble, plusieurs observations peuvent toutefois être réalisées, à commencer par son organisation. Cette dernière semble adopter un schéma en arêtes de poisson. Un drain d'orientation nord/sud (F.107) paraît faire office de collecteur principal recueillant l'eau distribuée par plusieurs collecteurs secondaires d'orientation est/ouest ou ouest/est (F.78, F.106 et, éventuellement, F.134). Ces derniers sont susceptibles d'être reliés à des antennes (F.104) d'orientation similaire et potentiellement destinées à étendre et/ou augmenter la capacité de captage du réseau. Un dernier type de structure, incarné par F.114 et caractérisé par une mise en œuvre sensiblement plus sommaire, pourrait correspondre à des extensions postérieures du réseau initial. Il est par ailleurs possible que les aménagements F.89 et F.95 jouent également le rôle de collecteurs principaux.

Malgré des différences importantes dans le niveau de conservation des structures ainsi que dans la superficie fouillée (seuls F.104 et F.106 ont pu être partiellement traités en plan), les six tronçons de drain observés paraissent présenter une mise en œuvre relativement standardisée (**Fig. 41 à Fig. 50**). Ils se présentent sous la forme de creusements de plan linéaire rectiligne (seul F.104 possède un plan en partie curviligne au niveau de sa jonction avec F.106), larges de 30 à 74 cm, hauts de 27 à 65 cm et dotés de profils en U ou en auge ou en cuvette. Le fond du creusement, préalablement aplani, semble, au moins dans certains cas, recouvert d'une pièce de bois légèrement concave. C'est en tout cas ce que paraît suggérer la découverte d'éléments de bois carbonisé dans le fond de la structure F.104 (**Fig. 42**). Cette planche est encadrée par deux piédroits, installés contre les parois du creusement et constitués de blocs de calcaire lithographique bruts ou grossièrement équarris de moyen module (10-30 cm de long) et probablement liés à la terre. Ils définissent un espace large de 5 à 15 cm destiné à l'écoulement de l'eau. La couverture de cet aménagement est assurée par des dalles de calcaire lithographique grossièrement équarrées de moyen module (10-30 cm de long). Le reste du creusement est ensuite comblé par un niveau de blocs de calcaire lithographique bruts et hétérométriques pris dans une matrice sédimentaire limono-argileuse représentant environ deux tiers de la hauteur de la structure et vraisemblablement destiné à assurer la captation de l'eau. On note qu'en sus des blocs de calcaire lithographique bruts communs à l'ensemble de ces comblements supérieurs, l'US.82 de F.104 a livré un fût de colonne (inv. 669) ain-

si qu'un chapiteau toscan (inv.275) (**Fig. 43**). F.114 constitue le seul aménagement caractérisé par une mise en œuvre originale (**Fig. 44 et Fig. 20**). Ce dernier aménagement possède en effet un comblement simple matérialisé par un niveau de blocs de calcaire lithographiques bruts hétérométriques pris dans une matrice sédimentaire limono-argileuse, brune, com-



Fig. 42 - Vue zénithale de F.104.



Fig. 43 - Vue en élévation du chapiteau toscan inv.660 dans l'US.82 du drain F.104.



Fig. 44 - Vue zénithale de F.114.

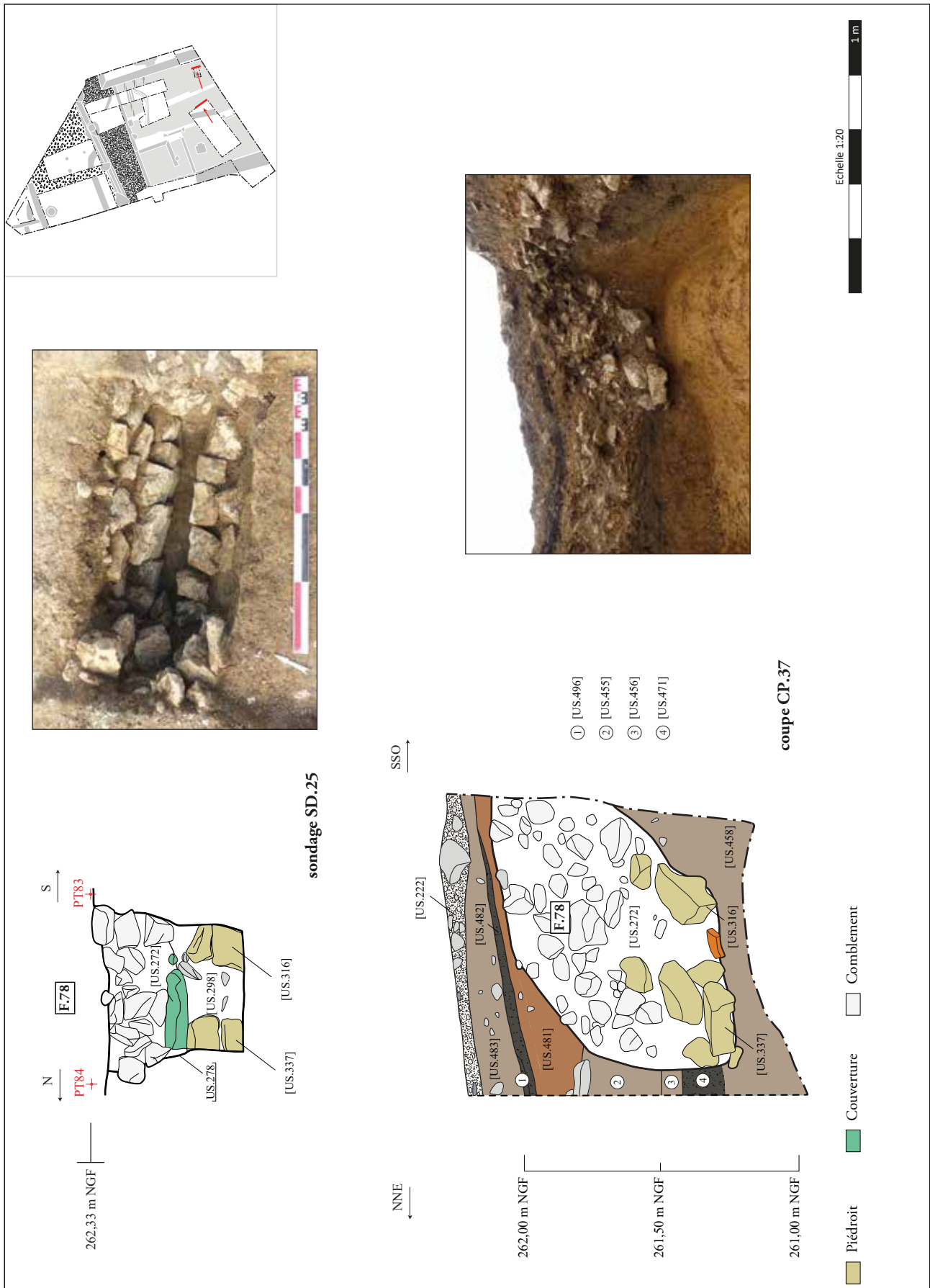


Fig. 45 - Coupes de F.78 dans le sondage SD.25 et extrait de la coupe CP.37 du sondage SD.24 (Relevé : C. Mailly, M. Leroy, M. Setan, J. Tomczyk. DAO : M. Setan. Infographie : M. Rodriguez).



Fig. 46 - Orthophotographie et relevé planimétrique de F.104 et de F.106 (DAO : M. Rodriguez).

pacte et homogène. Seuls les comblements de F.78, F.104 et F.106 ont livré du mobilier. Ce dernier comprend 24 restes de faune, sept éléments ferreux (clous et scories), 27 tessons de céramique, trois fragments de vaisselle en verre ainsi que deux perles également en verre (inv.1347 et inv.1357).

Localisée dans la partie nord de l'emprise de fouille, la structure F.89 est apparue à 261,96 m NGF. Elle se manifeste par un creusement linéaire rectiligne et d'orientation sud-ouest/nord-est dans sa partie occidentale, et curviligne dans sa partie orientale. Ce creusement, observé sur une longueur totale de

569 cm, est caractérisé par un profil en U, large de 75 cm et haut de 155 cm. Il possède un comblement complexe constitué de quatre niveaux distincts : l'US.320/489, l'US.421, l'US.422 et l'US.423 (**Fig. 51**). Cette dernière constitue la partie inférieure dudit comblement. Elle se présente sous la forme d'un niveau de blocs et de cailloux de calcaire lithographique de module hétérométriques pris dans une matrice sédimentaire argileuse marron, compacte et homogène (niveau d'apparition : 260,87 m NGF). Dans le sondage manuel réalisé au droit de la coupe CP.5, on constate que certains de ces blocs, caractérisés par un module plus important, semblent organisés selon

une disposition qui n'est pas sans rappeler celle des piédroits des drains évoqués supra (**Fig. 52**). Ce premier niveau est recouvert par l'US.422, un comblement intermédiaire également en partie constitué de blocs calcaire bruts (avec une densité moindre) pris dans une matrice limoneuse grise, assez meuble et homogène (niveau d'apparition : 261,48 m NGF). Il est lui-même recouvert par l'US.421, un autre comblement intermédiaire composé d'argile limoneuse grise, compacte et homogène, associée à des inclusions de nodules centimétriques de torchis ainsi qu'à

quelques blocs calcaire bruts et de rares charbons (niveau d'apparition : 261,72 m NGF). Le comblement supérieur, l'US.320/489, apparaît comme une trame dense de blocs de calcaire bruts de module hétérométrique pris dans une matrice sédimentaire limono-sableuse marron, meuble et homogène (niveau d'apparition : 262,22 m NGF). Le mobilier issu de cet aménagement provient intégralement de ce dernier niveau. Il comporte deux restes de faune, 19 scories ainsi que dix tessons de céramique. Deux hypothèses ont été successivement envisagées pour répondre à la

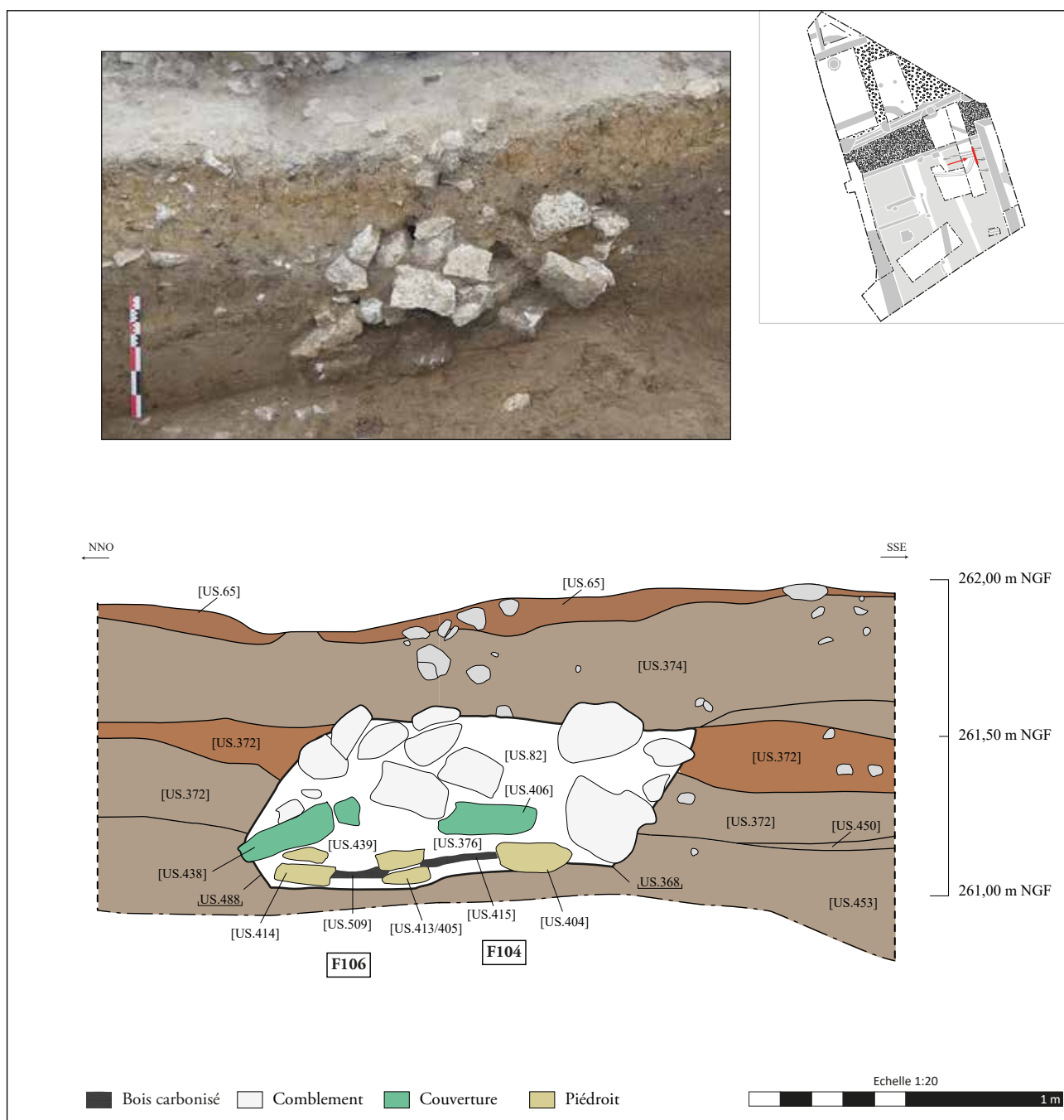


Fig. 47 - Coupe de F.104 et de F.106 extraite de la coupe CP.33 (Relevé : L. Guyonvarc'h, C. Mailly. DAO : M. Setan. Infographie : M. Rodriguez).

question de la détermination fonctionnelle de F.89. La première d'entre elle, basée sur la métrologie et la morphologie du creusement, propose de voir dans cet aménagement une tranchée de récupération d'une maçonnerie. Cette interprétation permet notamment d'expliquer la présence de couches distinctes au nord (US.312, US.219 et US.339) et au sud (US.342, US.318, US.317 et US.340) du creusement dans la coupe de la voie ENS.B. (Fig. 18). Cette séparation semble en effet être le résultat de la présence d'un aménagement en élévation au moment de l'installa-

tion de ces couches. Cependant, cette première option s'accorde mal avec le caractère curviligne du plan de la partie orientale de F.89. La seconde hypothèse propose d'interpréter cette dernière comme un collecteur récupérant les eaux des drains décrits ci-dessus. Elle permet d'expliquer ce plan particulier (l'extrémité de F.89 se trouve d'ailleurs dans le même axe que F.107) ainsi que la mise en œuvre du comblement inférieur. La présence des couches distinctes de part et d'autre de la partie supérieure du creusement sup-



Fig. 48 - Coupe de F.104 extraite de la coupe CP.50. Relevé : L. Trommenschlager (DAO : M. Setan. Infographie : M. Rodriguez).

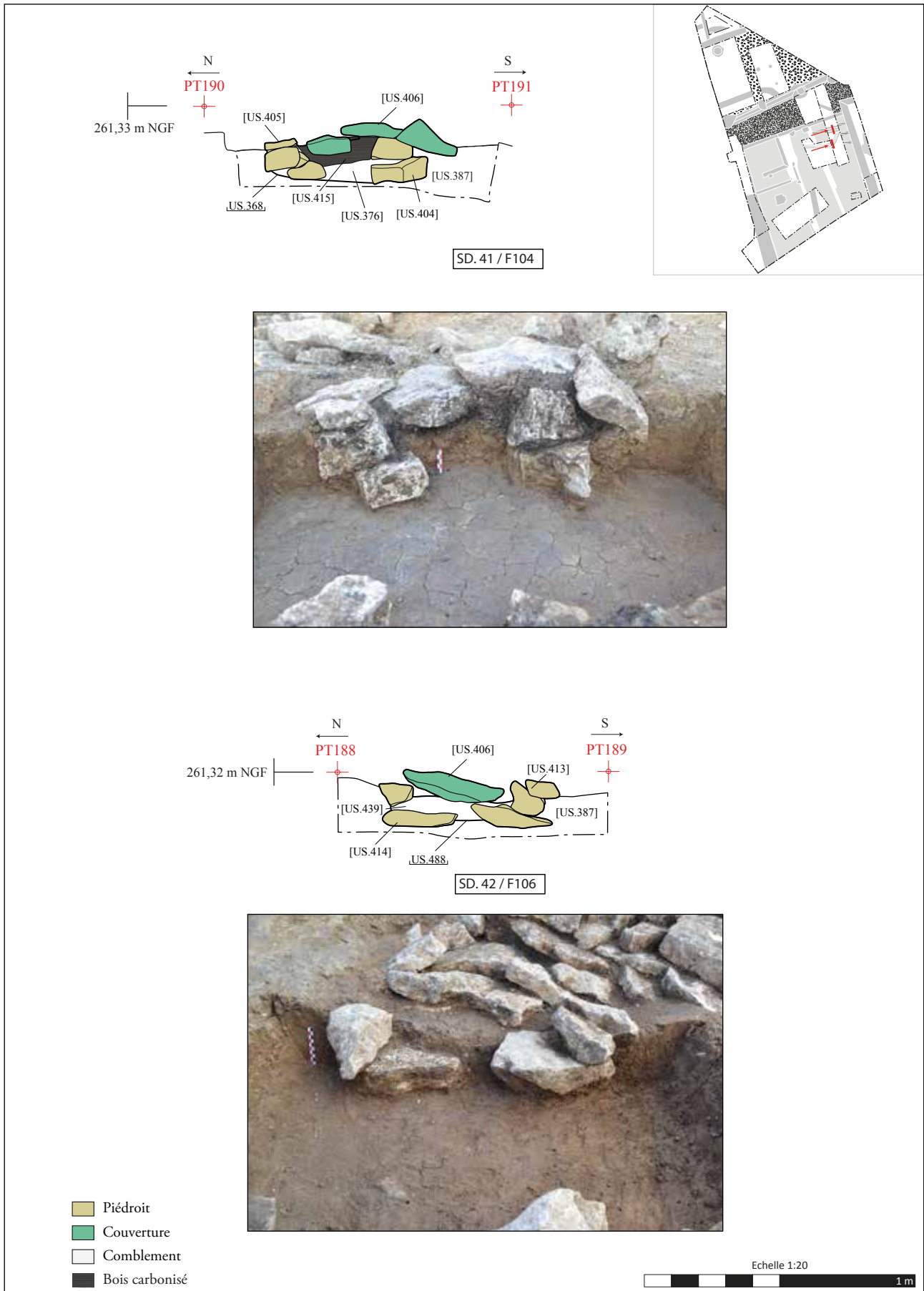


Fig. 49 - Coupes de F.104 et F.106 dans les sondages SD.41 et SD.42 (Relevé : C. Mailly, M. Setan. DAO : M. Setan. Infographie : M. Rodriguez).

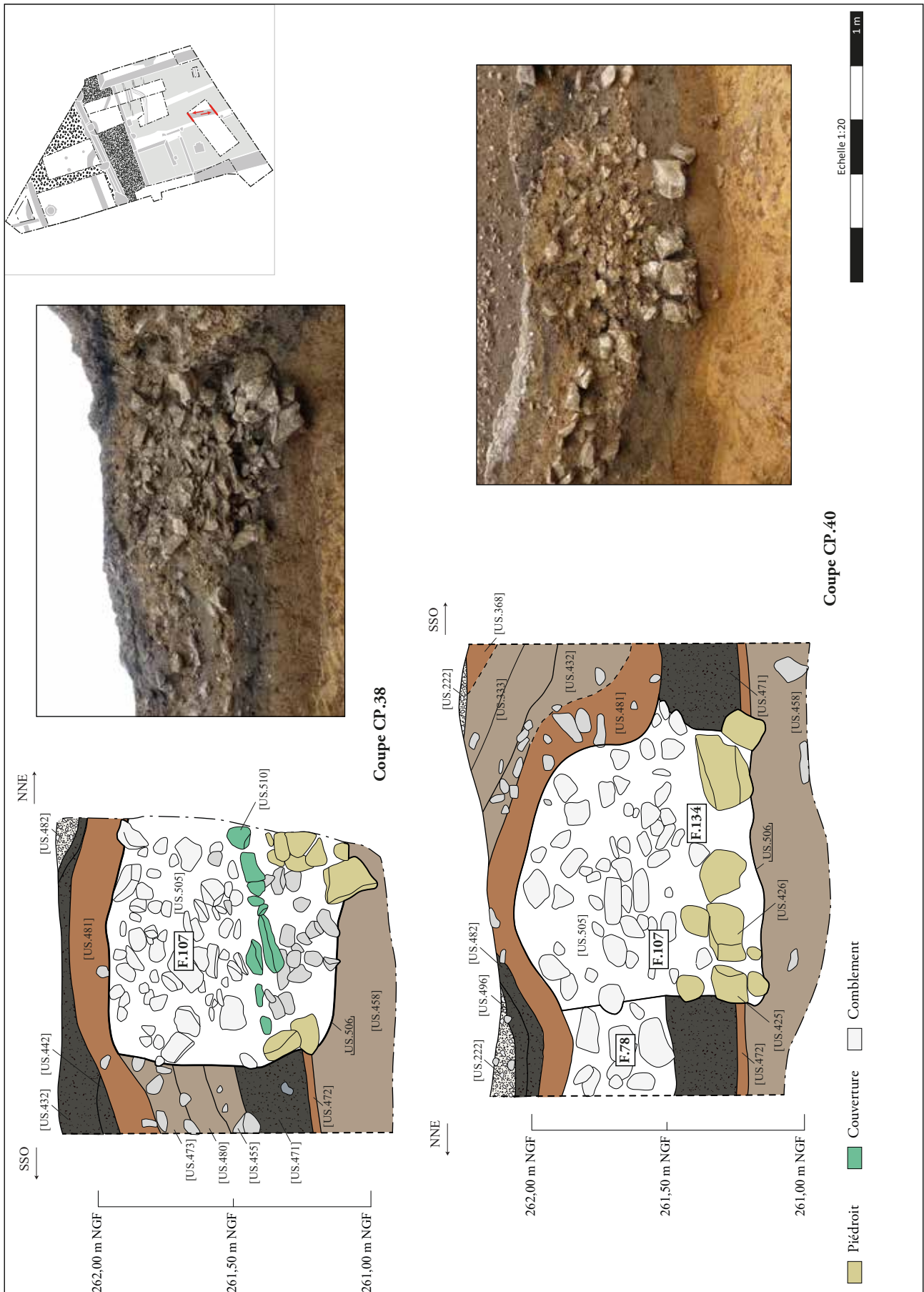


Fig. 50 - Coupes de F.107 et de F.134 extraites des coupes CP.38 et CP.40 du sondage SD.24 (Relevé : M. Leroy, M. Setan, J. Tomczyk. DAO : M. Setan. Infographie : M. Rodriguez).

pose toutefois l'existence d'une partie en élévation, possiblement récupérée au moment de l'installation de la voirie F.52.

La structure F.95 n'a pu être observée que partiellement dans le sondage SD.12. En raison de son étroitesse, la profondeur de celui-ci a en effet été limitée à 1,50 m, ce qui n'a permis de documenter que la partie supérieure de son comblement (Fig. 54). Apparu à 261,57 m NGF, F.95 possède un creusement [US.352] possiblement linéaire rectiligne observé sur environ

200 cm et orienté nord/sud. Son profil, indéterminé, est large de 103 cm et profond d'au moins 75 cm. L'unique comblement observé [US.353] est une trame dense de blocs de calcaire lithographique bruts et hétérométriques pris dans une matrice argileuse marron, compacte et homogène. Il n'a livré aucun mobilier. On note la présence, sur les deux parois, de dalles de calcaire lithographique longues d'environ 20 cm. Elles ne sont pas sans évoquer les dalles de couvertures observées sur les drains F.104 et F.106.

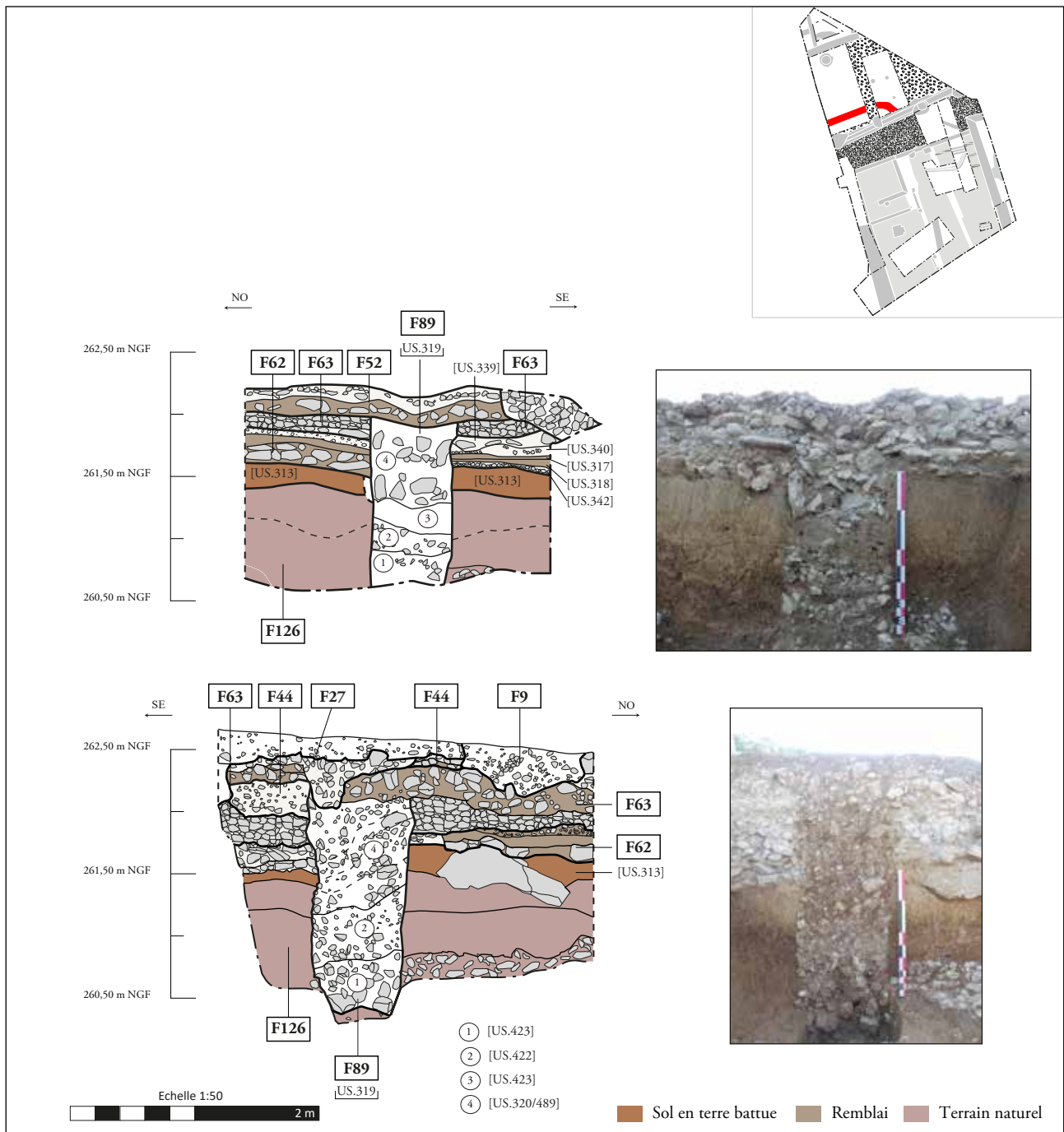


Fig. 51 - Coupes de F.89 extraites des coupes CP.5 et CP.43 du sondage SD.16 (Relevé : M. Aubry, E. Mathieu. DAO : E. Mathieu. Infographie : L. Darmon).



Fig. 52 - Mise en évidence des possibles piédroits dans le fond de l'US.423 (F.89, coupe CP.5).

5.4.2. La phase 2b

- L'ensemble ENS.B

La phase 2b débute par la mise en place de l'axe de circulation ENS.B qui reprend l'orientation sud-ouest/nord-est de l'US.342. Il a été observé sur une longueur de 14 m et mesure environ 11,5 m de largeur. Sa limite nord pour cette phase n'est pas connue, tandis que sa bordure méridionale est matérialisée par l'ensemble ENS.C. Dans son état initial, il est composé de deux espaces : un espace de voirie carrossable (ESP.B1) et un espace dédié à la circulation piétonne (ESP.B2). La séparation entre ces deux zones semble matérialisée, au moins dans la partie orientale de l'ENS.B, par l'élévation de la structure F.89 (dont aucun vestige n'est conservé) (**Fig. 55** ; **Fig. 18** et **Fig. 19**).

L'espace ESP.B1 occupe la partie septentrionale de l'ensemble ENS.B. Il a été observé sur une longueur de 12 m et mesure environ 7,5 m de largeur. Il est intégralement occupé par la chaussée F.62. L'installation de cette dernière semble avoir débuté avec une phase de terrassement (US.511). Les niveaux de circulation antérieurs (US.313, US.342) ont ainsi été creusés et aplanis avant que soit déposé un radier (US.312). Apparu à 261,65 m NGF, ce dernier est constitué de blocs de calcaire bruts et de module décimétrique pris

dans une matrice limono-argileuse brune, compacte et homogène. Il est épais d'environ 15 cm et est recouvert par le niveau de préparation US.311, apparu à 261,75 m NGF. Épaisse de 10 cm, cette nouvelle couche est constituée de graviers et de sable, sans doute issus d'un dépôt alluvionnaire. Elle est manifestement destinée à niveler le sol avant la mise en place de la bande de roulement US.219. Celle-ci est constituée d'un assemblage de cailloux en calcaire lithographiques de petit module (longueur inférieure à 5 cm) et de graviers de module centimétrique pris dans une matrice faiblement dense de limon argileux brun (niveau d'apparition : 261,82 m NGF). La chaussée ainsi constituée présente un profil bombé sans doute destiné à faciliter l'écoulement des eaux (**Fig. 56**). Sa vocation carrossable est confirmée par la mise au jour de deux ornières (**Fig. 53**). Le mobilier prélevé dans cette structure comprend 40 tessons de céramique, sept restes de faune, 32 restes d'éléments en fer, onze fragments de TCA ainsi que sept éléments en alliage cuivreux dont deux potins au sanglier (inv.1139 et inv.1172). Certains tessons de céramique sont cohérents avec une datation centrée sur la première moitié du 1^{er} siècle de notre ère.

L'espace ESP.B2 connaît probablement un développement parallèle à celui de l'espace ESP.B1. Il a été observé sur une longueur de 14 m et mesure 3,8 m de largeur. Sa vocation piétonne se traduit par une mise en œuvre plus légère que celle de son voisin carrossable. Le premier niveau de circulation observé, l'US.287/340, est installé directement sur les niveaux de démolition de l'état 1 (niveau d'apparition : 261,90 m NGF). Il se présente sous la forme d'un niveau de cailloutis liés par une trame sédimen-



Fig. 53 - Détail d'une ornière de la bande de roulement US.219.

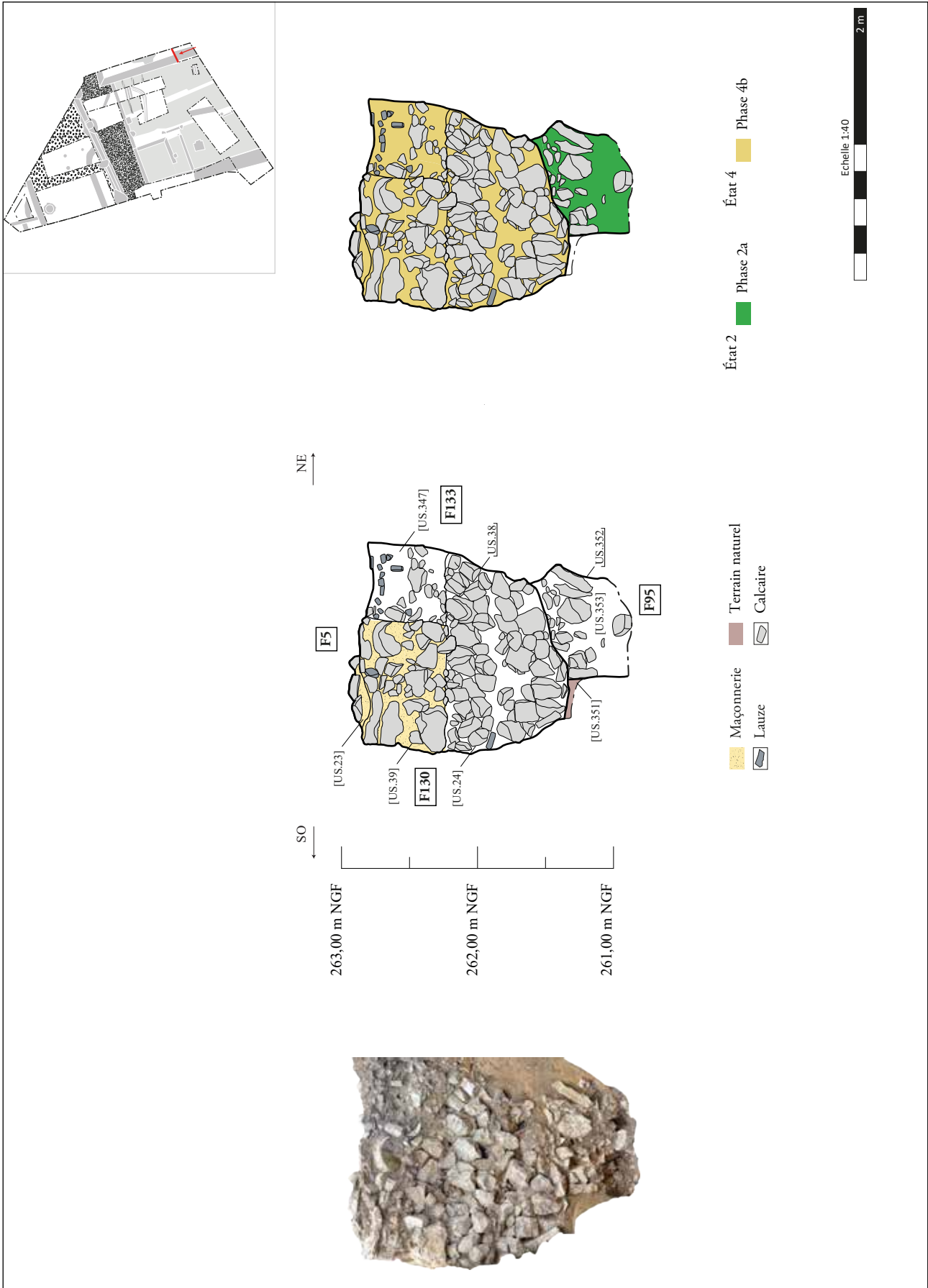


Fig. 54 - Coupe CP.18 du sondage SD.12 (DAO : M. Setan. Infographie : M. Rodriguez).



Fig. 55 - Localisation des ensembles de la phase 2b (DAO : M. Rodriguez).

taire limono-argileuse brune, compacte et homogène, d'une épaisseur d'environ 5 cm. Ce niveau, observé uniquement dans les coupes CP.43 et CP.46 des sondages SD.16 et SD.45, n'a pas livré de mobilier. La présence du possible trou de piquet F.81 (**Fig. 57**) pourrait sous-entendre l'existence d'aménagements légers, éventuellement en lien avec les activités pratiquées dans l'ensemble ENS.C. La durée d'utilisation de l'US.287/340 semble limitée. Elle est dans un second temps recouverte par l'US.296, un niveau de blocs de calcaire bruts et de fragments de dalles de calcaire oolithique pris dans une matrice argileuse marron, compacte et homogène, épaisse par endroits de 24 cm (niveau d'apparition : 261,87 m NGF). Le mobilier associé, assez conséquent, est constitué de

119 tessons de céramique, de 38 restes de faune, de huit éléments ferreux, de deux fragments de TCA ainsi qu'un fragment de verre et un fragment d'enduit peint. Cette nouvelle couche semble faire office de niveau de préparation ou de radier en vue de l'installation de l'US.339 (**Fig. 58**). Celle-ci constitue vraisemblablement le dernier niveau de circulation de l'espace ESP.B2. Elle est matérialisée par une couche épaisse d'environ 5 cm d'épaisseur et dont la mise en œuvre implique des blocs en calcaire décimétriques et émoussés pris dans une matrice limoneuse brune, compact, homogène et peu dense (niveau d'apparition : 261,92 m NGF). Le mobilier prélevé dans ce niveau se limite à trois tessons de céramique et un reste d'élément ferreux.



Fig. 56 - Vue zénithale et oblique de F.62 dans l'écorché de la voirie ENS.B (DAO : M. Rodriguez).



Fig. 57 - Vue zénithale du possible trou de piquet F.81.



Fig. 58 - Détail de l'US.339.

- L'ensemble ENS.C

L'ensemble ENS.C est délimité au nord par l'ensemble ENS.B et au sud par la limite d'emprise. Bien que ses limites occidentales et orientales n'aient été que peu ou pas observées, il est très probable qu'elles correspondent de manière presque exacte à l'emplacement des murs F.13 et F.5 (état 4). Ainsi délimité, ce nouvel ensemble mesure 13 m de longueur pour 11 m de largeur et occupe une superficie d'environ 145 m².

- Le remblai F.121

Dans l'ensemble ENS.C, cette même phase débute par une nouvelle séquence de remblaiement désignée F.121. Elle a principalement été observée au niveau de la moitié orientale de l'emprise, dans les sondages SD.14, SD.29, SD.30 ainsi que, dans une moindre mesure, dans les sondages SD.45 et SD.12. Il est à noter que son observation dans la coupe CP.55 de ce dernier sondage laisse à penser que F.121 s'étend potentiellement au-delà des limites de l'ensemble ENS.C.

Le fait F.121 est constitué de dix niveaux : l'US.283/361, l'US.284/374, l'US.291, l'US.330, l'US.331, l'US.370, l'US.373, l'US.377, l'US.417 et l'US.464. Comme précédemment, ces derniers correspondent vraisemblablement aux différents litages accumulés durant la formation de F.121 et, malgré

leurs caractéristiques parfois divergentes (**Fig. 59**), sont très certainement contemporains. Ils forment un remblai apparu à 262,05 m NGF et dont l'épaisseur maximale est d'environ 50 cm (**Fig. 18 ; Fig. 19 ; Fig. 20 et Fig. 39**). Bien que des niveaux limoneux ou limono-sableux aient été identifiés, on constate que la trame sédimentaire est très majoritairement argileuse, compacte et homogène. À l'exception des US.291, 361, 373, et 464, qui ont livré peu ou pas de mobilier, le corpus issu de ce remblai est abondant. Il est constitué de 21 éléments en alliage cuivreux (dont une épingle (inv.950), trois fibules (inv.1080, inv.1103 et inv.1487), un fragment de miroir (inv.1130) et un doigtier (inv.1240)), 1174 tessons de céramique, 586 restes de faune, 190 éléments en fer et 26 fragments de verre. L'US.331 et l'US.417 ont livré des tessons datés de la première moitié du I^{er} siècle de notre ère tandis que l'US.373 a livré des tessons du I^{er}/II^e siècle de notre ère. La fibule issue de l'US.331 (inv.1103) semble correspondre au type Gaspar 28, attesté depuis la période augustéenne jusqu'au milieu du II^e siècle.

Construction du bâtiment et installation du sol F.124
La construction des murs gouttereaux (non observés) et des murs pignons est probablement intervenue entre la mise en place du remblaiement F.121 et l'installation du sol F.124. Il est d'ailleurs tentant de supposer que le fin liseré de mortier de chaux (US.499) observé dans la coupe CP.55 du sondage SD.12 (**Fig.**

Numéro d'US	Composante principale	Composante secondaire	Dureté	Homogénéité	Couleur	Inclusions	Épaisseur (cm)	Alti. sup. (m NGF)	Alti. inf. (m NGF)
US.283/361	argile	-	compact	homogène	olive	rare charbons	30	262,02	261,72
US.284/374	argile	-	compact	homogène	marron	-	45	262,03	261,58
US.291	argile	-	compact	homogène	marron	charbons fréquents ; nodules de torchis	22	262,05	261,83
US.330	limon	-	meuble	hétérogène	gris	charbons fréquents	19	261,68	261,49
US.331	argile	-	meuble	hétérogène	gris	charbons fréquents ; blocs calcaire	30	261,44	261,14
US.370	limon	sable	meuble	homogène	olive	rare charbons	21	261,72	261,51
US.373	argile	-	compact	homogène	marron	blocs calcaire	20	261,86	261,66
US.377	limon	-	meuble	homogène	brun	charbons	12	261,80	261,68
US.417	limon	argile	compact	hétérogène	marron	rare charbons ; blocs calcaire	44	261,40	290,96
US.464	sable	-	meuble	homogène	gris	charbons fréquents ; blocs calcaire	15	261,6	261,46

Fig. 59 - Caractéristiques principales des remblais de F.121.

60) correspond à un niveau de chantier relatif à la construction du mur gouttereau oriental. Cette succession d'évènements semble correctement illustrée dans la coupe CP.33 où l'on distingue clairement que le creusement de la sablière F.112 a pour encaissant l'US.284/374 (F.121). On constate sur cette même coupe que le l'US.65/135 (F.124) prend appui contre la sablière F.112 (Fig. 20).

Le fait F.124 illustre vraisemblablement l'étape immédiatement postérieure à la construction des murs. Il rassemble quatre niveaux équivalents voire égaux : l'US.65/135 (SD.29 et SD.30), l'US.294 (SD.12), l'US.324 (SD.29), et l'US.454/481 (SD.24). Ils se présentent sous la forme de couches de sédiments argileux jaunes, compacts à indurés, homogènes et généralement dotés d'inclusions de graviers/cail-

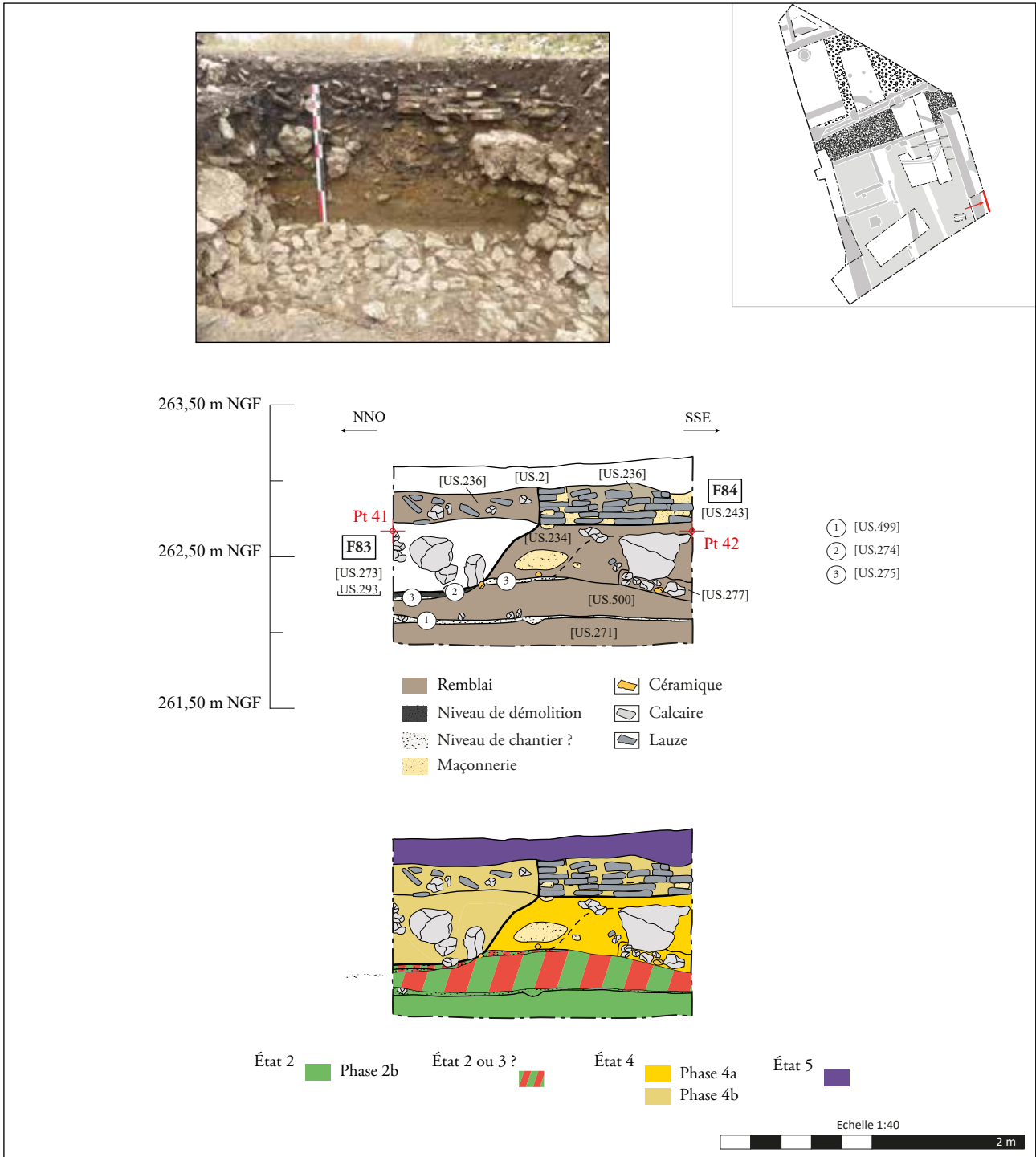


Fig. 60 - Coupe CP.55 du sondage SD.12 (Relevé : A. Poumirau. DAO : M. Setan. Infographie : M. Rodriguez).

loutis denses et de charbons rares à fréquents. Ces couches, épaisses de 12 à 32 cm, apparaissent entre 261,94 m NGF et 262,14 m NGF (**Fig. 20** ; **Fig. 30** ; **Fig. 31** et **Fig. 36**). Le mobilier issu de F.124 est relativement abondant. Il est constitué de 65 tessons de céramiques, 57 restes de faune, 35 restes d'éléments ferreux (essentiellement des clous et des scories), deux fragments de vaisselle en verre, un fragment de TCA et un jeton en céramique (inv.1186).

Considérant sa présence sur l'intégralité de la surface occupée par l'ensemble ENS.C, il est probable que le fait F.124 joue le rôle de sol de terre battue. On constate toutefois des variations dans son revêtement qui semblent liées à la fonction des différents espaces.

- L'espace ESP.C1

L'espace ESP.C1 occupe la partie centrale de l'ensemble ENS.C. Il est fermé au nord par la tranchée de sablière F.112, à l'ouest par les espaces ESP.C2 et ESP.C3 et à l'est par l'espace ESP.C4 (**Fig. 63**). Sa limite sud n'est pas connue. De plan rectangulaire étroit, il a été observé sur environ 4,7 m de longueur et mesure 2,5 m de largeur (soit une superficie observée de 11,8 m²). Considérant sa position dans l'ensemble ENS.C ainsi sa relation spatiale directe avec l'intégralité des autres espaces identifiés, la fonction d'espace de desserte de type couloir semble plausible. On note par ailleurs que les deux flancs de l'espace ESP.C1 ont subi un affaissement relativement important.

La tranchée de sablière F.112 matérialise la façade nord de l'ensemble ENS.C. Il s'agit d'un creusement linéaire rectiligne, parallèle à l'axe de la voie (ensemble ENS.B), observé sur une longueur de 640 cm et mesurant 42 cm de largeur. Son profil, d'une hauteur de 38 cm, possède une forme en cuvette (niveau d'apparition : 262,00 m NGF). Son comblement est constitué d'un unique niveau (US.469) de blocs bruts en calcaire lithographique de module hétérométrique pris dans une matrice argilo-limoneuse marron à jaune, peu dense et sans inclusions (**Fig. 20**). Ce comblement semble faire office de solin destiné à stabiliser et isoler de l'humidité une sablière (US.97). Cette dernière s'est avérée partiellement conservée (**Fig. 61** et **Fig. 62**). Elle semble se composer d'une unique pièce de bois épaisse de 6 cm et occupant toute la largeur du creusement (US.468). Selon toute vraisemblance, cette sablière devait elle-même supporter une élévation en matériaux périssables. Dans l'emprise de l'espace ESP.C1, il est cependant probable que cette



Fig. 61 - Vue zénithale de la partie orientale de la tranchée de sablière F.112.



Fig. 62 - Détail du bois conservé de l'US.97.

élévation ait été interrompue pour laisser la place à une baie (porte) dont l'US.503 pourrait constituer l'ultime vestige.

L'US.513 est située au niveau de l'extrémité septentrionale de l'espace ESP.C1, où elle prend appui contre la tranchée de sablière F.112 (**Fig. 64**). Elle est constituée d'un unique bloc équarri de calcaire lithographique de forme quadrangulaire. Ce bloc mesure 48 cm de longueur, 22 cm de largeur et a été observé sur une hauteur d'environ 15 cm (niveau d'apparition : 261,71 m NGF). La présence sur sa face supérieure d'un orifice circulaire pourrait impliquer une fonction de crapaudine qui serait cohérente avec l'emplacement de l'US.513.

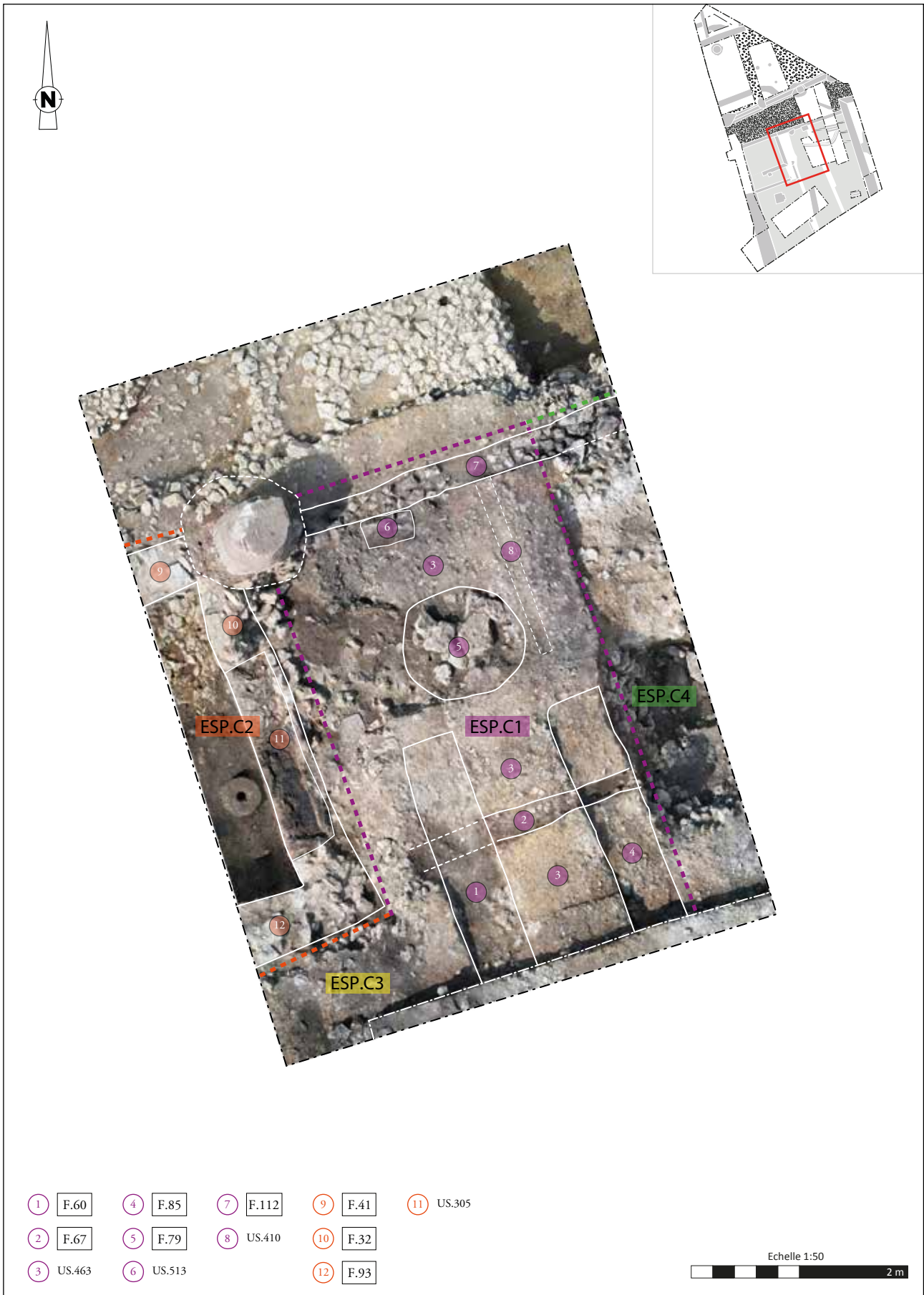


Fig. 63 - Orthophotographie interprétée de l'espace ESP.C1 (DAO : M. Rodriguez).



Fig. 64 - Vue oblique de l'US.513.



Fig. 65 - Détail du sol US.463.

Le niveau de circulation de l'espace ESP.C1 est matérialisé par le sol maçonné US.463, qui est installé directement sur F.124 et prend appui contre la sablière F.112. Il revêt la forme d'un niveau de mortier de chaux blanc-jaune, induré, associé à des inclusions de graviers et de cailloux de module décimétrique déposés à plat (**Fig. 65**). Il est épais d'environ 10 cm et son niveau d'apparition est situé à 262,00 m NGF. Ce sol US.463 semble avoir été utilisé suffisamment longtemps pour que se forme sur sa surface un fin niveau d'occupation, l'US.470. Ce dernier a été uniquement observé dans la coupe CP.23 (**Fig. 66**) où il prend la forme d'une couche de sédiment limoneux gris, meuble, homogène et épais d'environ 2 cm (niveau d'apparition : 261,97 m NGF). Trois aménagements semblent fonctionner avec ces deux sols : les structures F.60, F.85 et F.67.

F.60 et F.85 sont des aménagements caractérisés par une morphologie et une métrologie similaires. Ils se présentent sous la forme de creusements d'orientation sud-sud-est / nord-nord-ouest et possédant un plan rectangulaire doté d'un fond plat et de parois droites (US.193 et US.490). Ils ont été respectivement observés sur une longueur de 180 et 185 cm, une largeur de 46 et 34 cm ainsi qu'une hauteur de 9 cm. Ils sont apparus à 261,90 et 262,04 m NGF (**Fig. 67**). Les parois desdits creusements sont recouvertes d'un enduit de mortier de chaux blanc épais d'environ 2 cm (US.136 et US.512) (**Fig. 68**). Ce dernier servait possiblement à assurer le maintien d'une pièce de bois de type madrier. Les restes calcinés de l'une d'entre elles (US.402) a ainsi été découverte en position fonctionnelles dans la structure F.85 (**Fig. 69**). Dans la structure F.60, cette pièce de bois a sans doute fait l'objet d'une récupération. Elle était comblée par l'US.184 (**Fig. 70**), un niveau limono-sableux mar-

ron, meuble, hétérogène et contenant de nombreuses inclusions d'éléments de démolition (charbons, nodules de torchis et d'agile rubéfiés) et qui constitue vraisemblablement une égalité du niveau d'incendie F.125 (voir *infra*, 3.4.7). L'emplacement de F.60, au niveau de la jonction entre le couloir ESP.C1 et l'escalier F.103 de l'espace ESP.C3, pourrait indiquer une fonction de seuil qui pourrait donc également s'appliquer à F.85. On note par ailleurs la présence d'un creusement linéaire rectiligne (US.410) d'orientation similaire à F.60 et F.85 et situé entre l'extrémité septentrionale de cette dernière et F.112. Ce creusement, observé sur une longueur de 160 cm, mesure à peine 10 cm de largeur et est apparu à 261,82 m NGF. Il est caractérisé par un profil en U profond de seulement 5 cm. Cet aménagement, mal caractérisé, constitue potentiellement l'empreinte d'une cloison destinée à séparer l'espace ESP.C1 de l'espace ESP.C4 mais il est également possible que cette même empreinte appartienne plutôt à un élément du plancher mis au jour dans ce dernier espace (voir *infra*).

La structure F.67 possède des caractéristiques comparables à celles de F.60 et F.85, dont elle se distingue en premier lieu par son orientation sud-ouest/nord-est. Son creusement (US.209) est ainsi également caractérisé par un plan rectangulaire doté d'un fond plat et de parois droites (**Fig. 71**). Sa métrologie s'illustre toutefois par un gabarit nettement inférieur : la longueur observée de ce même creusement est d'environ 90 cm, sa largeur est de 25 cm et sa hauteur est d'environ 10 cm (niveau d'apparition : 261,98 m NGF). Quant à son comblement (US.185), il est constitué d'un niveau unique de limon marron, compact et hétérogène qui n'est pas sans évoquer l'US.184. Il n'a livré aucun mobilier. Là encore, la présence d'une de bois (de type tasseau ?) est largement envisageable.

La relation chronologique entre F.60 et F.85 d'une part et F.67 d'autre part est ambiguë et n'a pu être déterminée avec certitude durant la phase de terrain. Au premier abord, il apparaît plausible que le creusement de F.67 vienne couper F.60 et F.85 (**Fig. 72**). Cependant, l'absence de réponse claire à la problématique fonctionnelle ne permet pas d'exclure une utilisation simultanée.

• Les espaces ESP.C2 et ESP.C3

L'espace excavé ESP.C2 occupe l'angle nord-ouest de l'ensemble ENS.C. De plan quadrangulaire simple, il est délimité au nord par le mur F.41, à l'est par le mur F.32, au sud par le mur F.93 et à l'ouest par le mur F.64. L'espace ESP.C3 est immédiatement contre sa bordure septentrionale. Il se présente sous la forme d'un escalier en L limité à l'ouest par le mur F.64,

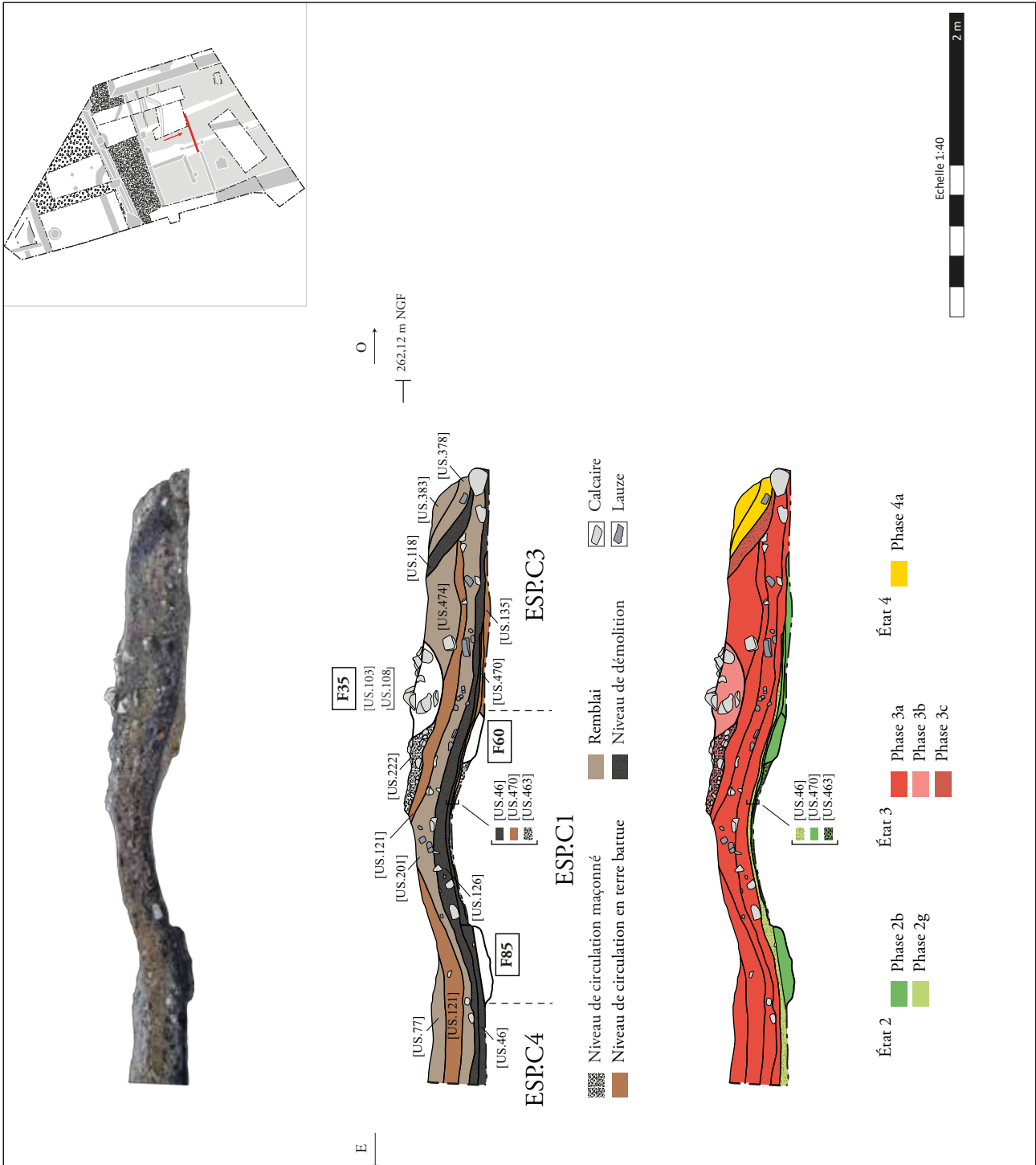


Fig. 66 - Coupe CP.23 (Relevé et DAO : M. Setan. Infographie : M. Rodriguez).



Fig. 67 - Vue oblique des tranchées F.60 (gauche) et F.85 (droite) en fin de fouille.



Fig. 70 - Détail du comblement US.184 de F.60.



Fig. 68 - Détail de l'enduit de chaux US.136 dans la tranchée F.60.



Fig. 71 - Vue du creusement US.209 de F.67.



Fig. 69 - Vue zénithale de la pièce de bois carbonisée US.402 dans la tranchée F.85.



Fig. 72 - Vue de détail de la jonction entre F.67 et F.85.

au nord par le mur F.93 et bordé au sud par le mur F.92. Il permet de rejoindre le couloir ESP.C1 au niveau du possible seuil F.60. (Fig. 73). L'espace ESP.C2 mesure 3,5 m de longueur pour 3 m de largeur, soit une superficie d'environ 11 m², et son élévation est conservée sur une hauteur de presque 2 m. L'espace ESP.C3 mesure quant à lui 4,30 m de longueur pour 1,20 m de largeur, soit une superficie d'environ 5 m².

Le creusement d'implantation des deux espaces (US.514) semble avoir volontairement cherché à purger les niveaux naturels US.354 et US.351, très argileux, pour se poser sur le socle rocheux US.323. Le fond dudit creusement est situé à 260,20 m NGF, soit environ 1,80 m sous le niveau de circulation du couloir ESP.C1. La présence, dans le mur F.41, d'un soubassement (US.302) dont le sommet est situé à 261,60 m NGF sous-entend que la véritable profondeur de

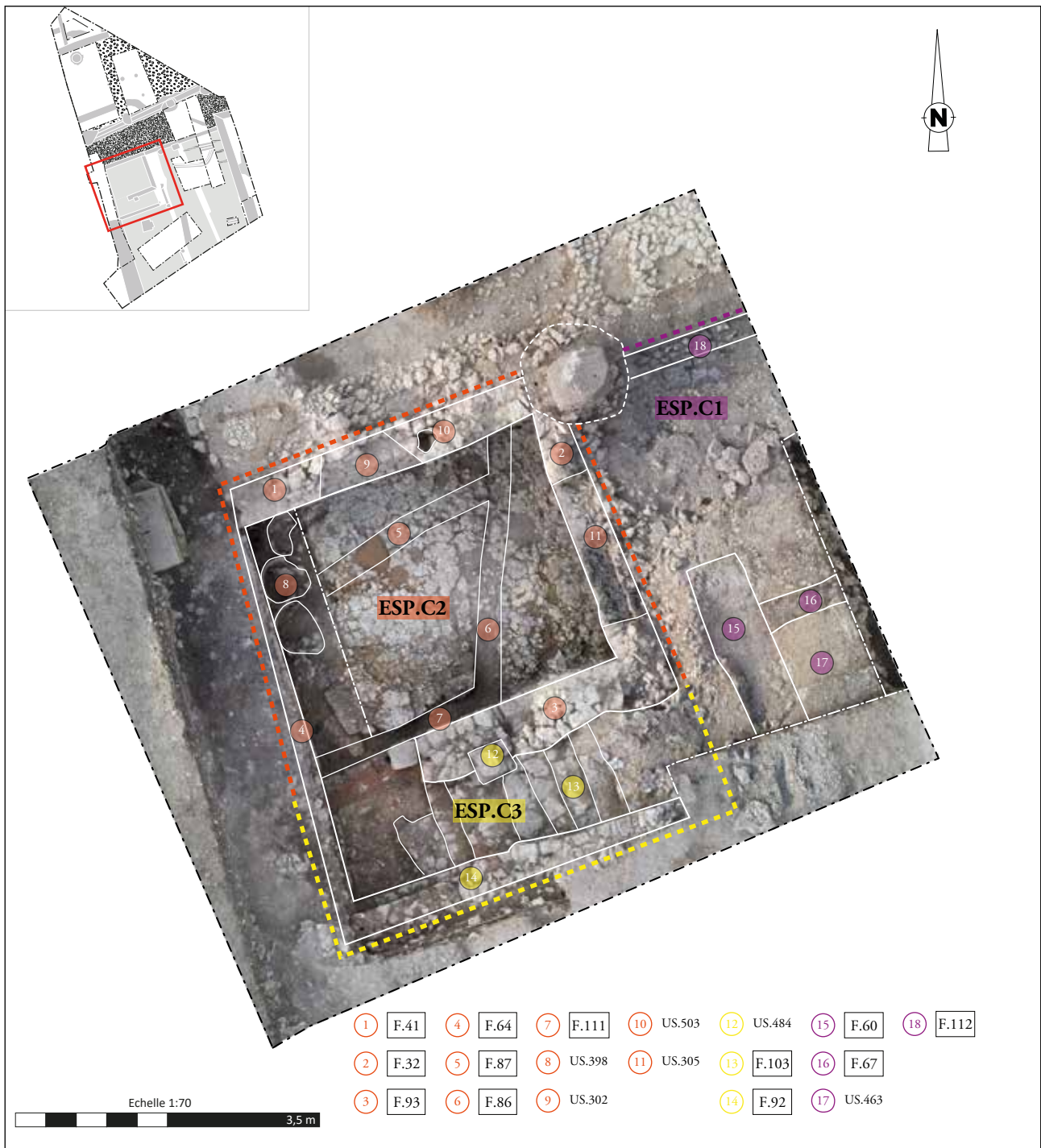


Fig. 73 - Orthophotographie interprétée des espaces ESP.C2 et ESP.C3 (DAO : M. Rodriguez).

l'excavation est plus proche de 1,60 m et que l'espace ESP.C2 devait être partiellement en élévation et donc semi-enterré. On note par ailleurs que l'impossibilité de réaliser des coupes transversales dans les parois du creusement, inhérente à la fouille programmée, ne permet pas d'assurer avec une parfaite fiabilité la chronologie relative du creusement.

Le drainage de cet espace semble avoir été pris en compte dès sa construction. Trois canalisations connectées, F.86, F.87 et F.111, sont ainsi implantées directement dans le substrat rocheux. F.87 et F.111 sont caractérisées par une orientation grossièrement sud-ouest /nord-est et sont donc parallèles aux murs F.41 et F.93 (F.111 est installée au droit de ce dernier). Apparues à 260,16 et 260,24 m NGF, elles possèdent un creusement linéaire rectiligne et mesurent respectivement 190 et 155 cm de longueur pour 20 et 15 cm de largeur. Le profil de ces creusements, profond de 12 et 15 cm, est en cuvette. F.87 et F.111 se déversent dans F.86, une canalisation d'axe sud/nord dont la morphologie est similaire aux aménagements précédents (**Fig. 77**). Elle est apparue à 260,24 m NGF, mesure 140 cm de longueur, 28 cm de largeur et 11 cm de profondeur. Elle est connectée à une évacuation (US.515), large de 40 cm et haute de 50 cm, située à l'angle des murs F.32 et F.41 et aménagée dans le parement de ce dernier (**Fig. 74**). Ces trois canalisations ont été mises à jour comblées par des éléments de démolition, et leur système de couverture n'a donc pas été observé. Il est cependant possible que leur recouvrement ait été assuré par des dalles de lauze. Plusieurs fragments de ces derniers ont en effet été découverts dans le comblement inférieur de l'espace ESP.C2 (**Fig. 75**).



Fig. 74 - Vue en élévation de l'US.515 dans le parement du mur F.41.

Les murs F.32, F.41, F.64, F.92 et F.93 font montre d'une mise en œuvre homogène. Leur installation débute par la construction d'une fondation maçonnée haute de 22 à 60 cm et constituée d'une à quatre assises (adaptées en fonction de la hauteur des plaquettes de calcaire du substrat) elles-mêmes formées de blocs de calcaire lithographique ou marneux grossièrement équarris de gros module (20-40 cm de longueur). Ces blocs sont liés par un mortier de chaux blanc, induré et riches en inclusions de sable et de nodules de chaux (**Fig. 76**). Le lit de mortier séparant les assises de fondation des assises d'élévation est, par endroit, particulièrement épais, sans doute pour rattraper les légères différences d'altitude des blocs de la fondation et ainsi mieux accueillir l'élévation. Cette dernière est bâtie en petit appareil et est conservée sur une hauteur maximale de 150 cm, soit 13 assises. Les



Fig. 75 - Vue de détail d'une dalle de lauze posée sur le fond de l'espace ESP.C2.



Fig. 76 - Détail de l'US.304 (fondation maçonnée) du mur F.32.

moellons, rectangulaires, sont très majoritairement issus de calcaire lithographique, plus rarement de calcaire marneux. Ils mesurent 10 à 28 cm de longueur et 8 à 12 cm de hauteur et sont liés par un mortier de chaux blanc-beige compact qui se distingue de celui des niveaux de fondation par la présence d'inclusions

plus grossières de sable et de graviers ainsi que par la présence de charbons et de nodules millimétriques de TCA. Un certain soin semble avoir été apporté au traitement du parement. La face visible des moellons est grossièrement aplanie et les joints sont tirés au fer (Fig. 78 et Fig. 79).

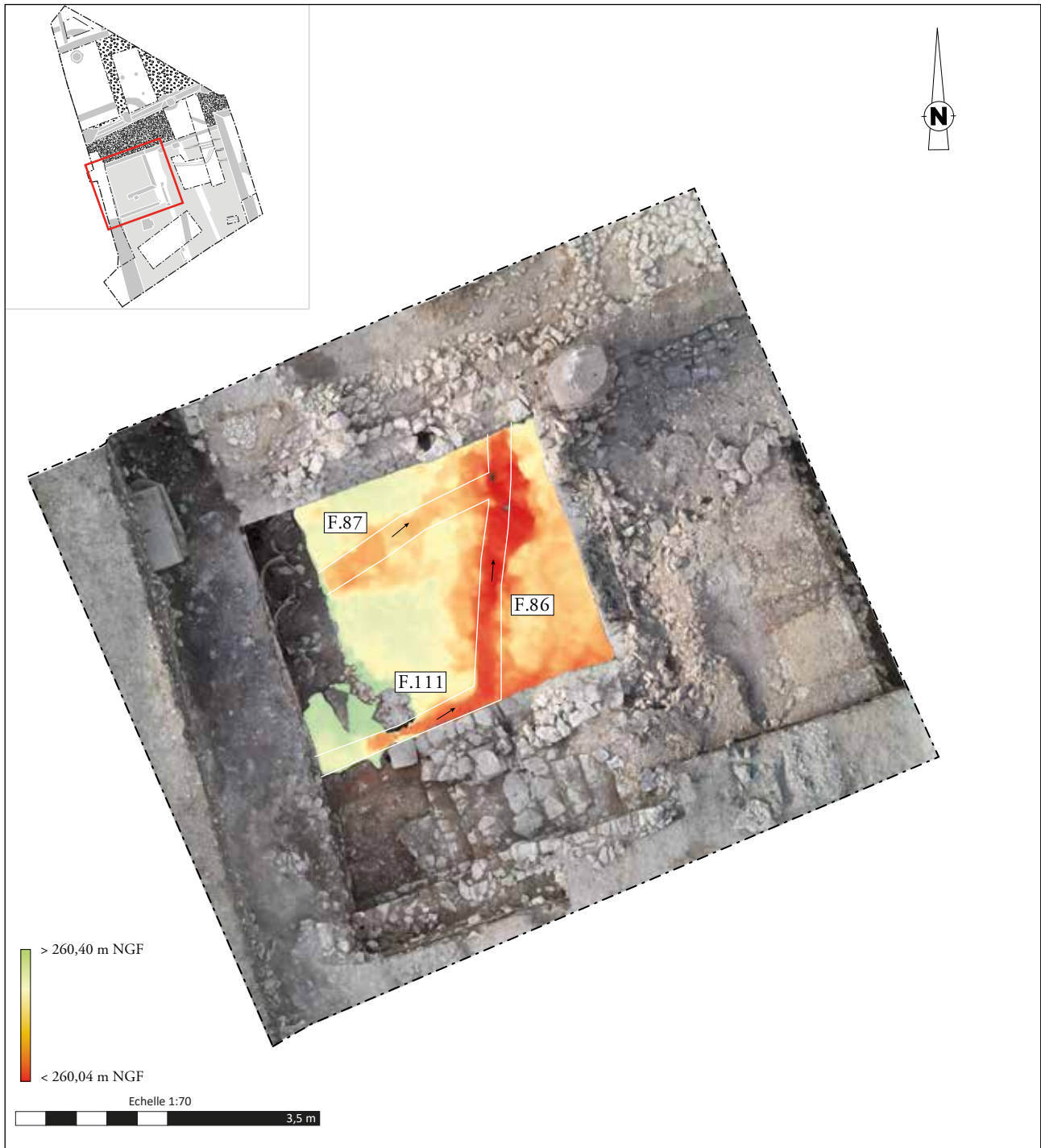


Fig. 77 - Modèle Numérique d'Élévation du fond de l'espace ESP.C2 montrant l'emplacement du creusement et du pendage des canalisations F.86, F.87 et F.111 (DAO : M. Rodriguez).



Fig. 78 - Vue en élévation du mur F.32 et du mur F.93.



Fig. 80 - Vue en élévation du mur F.41 et du soupirail US.302.



Fig. 79 - Détail de l'US.93 (élévation) du mur F.32.



Fig. 81 - Vue zénithale du mur F.41 et de l'aménagement US.303.

Les parois de l'espace ESP.C2 ne sont restreintes à leur fonction de soutènement et sont à l'inverse équipées de plusieurs aménagements.

Le mur F.41 est ainsi percé par un soupirail (US.302) qui ouvre sur la rue et assure l'éclairage et l'aération. Sa partie basse est située au niveau de la sixième assise de l'élévation, soit à environ 90 cm du substrat naturel. L'ouverture interne, d'une hauteur conservée d'environ 85 cm, est à sa base large d'environ 120 cm. Cette largeur se réduit à environ 80 cm au niveau de l'ouverture externe. La couverture n'est pas conservée. (**Fig. 80**). Ce même mur F.41 est également doté d'un orifice vertical (US.303), accolé au piédroit oriental du soupirail US.302 et aménagement dans l'épaisseur de la maçonnerie (**Fig. 81**). De plan approximativement circulaire, il mesure 20 cm de longueur pour 15 cm de largeur et sa profondeur semble

être équivalente à la hauteur du mur (170 cm attestés). La fonction de cet aménagement particulier n'a pas été identifiée durant la phase terrain. Il est possible qu'il s'agisse d'un emplacement destiné à accueillir un montant, ce qui pourrait impliquer une surélévation en matériaux périssables.

Le mur F.32 est quant à lui équipé d'une niche (US.305) aménagée au niveau de la huitième assise d'élévation, soit à environ 120 cm du substrat naturel. Elle est large de 175 cm, profonde de 40 cm et se trouve conservée sur une hauteur légèrement inférieure à 25 cm. Sa surface interne est recouverte d'un coffrage en bois (US.306) mis au jour en position fonctionnelle. Ce dernier est constitué d'au moins quatre éléments. Le premier est une planche posée horizontalement sur l'arase du mur tandis que les trois autres sont installés verticalement contre le

fond et les piédroits de la niche (**Fig. 82** et **Fig. 83**). La couverture de la niche n'est pas conservée. Un prélèvement (PR.21) a été réalisé dans l'US.306 en vue d'une étude anthracologique et, éventuellement, d'une datation par carbone 14.

Le dernier aménagement observé a été mis au jour dans le parement du mur F.93 situé dans l'espace ESP.C3. Il est constitué d'un bloc de colonne engagée à chapiteau rudimentaire (US.484) sans doute non terminé et non mis en œuvre avant son remploi (Février 2023 : 201). Apparue à 261,45 m NGF, il est haut de 57 cm, long de 42 cm et large de 35 cm. Il a été inséré de manière assez grossière dans l'élévation US.485 du mur F.93 en utilisant le sommet du chapiteau comme base et en laissant apparent le côté sensé être engagé, en complète opposition avec sa fonction originelle (**Fig. 84** et **Fig. 85**). Il est possible qu'il soit ici utilisé comme support de maintien pour un montant en matériaux périssables.

Le sol de l'espace ESP.C2 s'est avéré difficile à caractériser. Le premier niveau observé sur le substrat rocheux (US.270) ne semble pas posséder les caractéristiques d'un niveau de circulation. Il se présente sous la forme d'une couche de sédiment sablo-limoneux de couleur beige à grise, meuble, homogène et contenant quelques charbons et graviers (niveau d'apparition : 260,04 m NGF). Cette couche semble



Fig. 82 - Vue en élévation de la niche US.305 et de son coffrage US.306.



Fig. 83 - Vue oblique de la niche US.305 et de son coffrage US.306.



Fig. 84 - Vue générale de l'US.484 dans le parement méridional du mur F.93.



Fig. 85 - Vue en élévation de l'US.484.

présente sur l'ensemble de la surface de l'espace excavée mais plusieurs lacunes ponctuelles ont été constatées. De même, son épaisseur (environ 10 cm) fait l'objet de variations parfois importantes (**Fig. 89**). Enfin, l'US.270 n'a livré aucun mobilier. Au vu de ces caractéristiques particulières, il semble plus prudent de considérer cette couche comme un niveau de sédimentation naturel, peut-être lié à la présence d'un vide sanitaire disparu au moment du comblement de cet espace. Elle est recouverte par l'US.269, un niveau très fin (2 cm d'épaisseur) de limon gravillonneux jaune, compact et homogène, essentiellement observé dans la partie occidentale de la cave (niveau d'apparition : 260,06 m NGF). À l'inverse de l'US.270, ce dernier a livré un mobilier assez conséquent constitué de 26 restes de faune, de quatre restes d'éléments ferreux (dont un poids (inv.879), de trois restes de vaisselle en verre, de quelques fragments de torchis ainsi que d'un fragment de lampe à huile (inv.884), d'un jeton en terre cuite (inv.1468), d'un poids en pierre (inv.878), d'un bouchon en pierre (inv.1302) et enfin deux éléments lapidaire (inv.1303 et inv.1316) (**Fig. 86**). En raison de son caractère ponctuel, il est difficile de considérer l'US.269 comme le véritable sol de

l'espace ESP.C2. Elle peut toutefois être considérée comme un niveau d'occupation. La découverte d'une série de trois amphores (US.398) adossées au mur F.64 et enchâssées dans l'US.270 (niveau inférieur : 260,38 m NGF) permet en tout cas de situer approximativement le niveau de circulation de l'espace ESP. C2 tout en confirmant sa fonction de stockage (**Fig. 87**).

Le sol de l'espace ESP.C3 est matérialisé par l'escalier F.103. Il s'agit d'un escalier coudé comportant deux volées de marches (**Fig. 88**). La volée supérieure, longue de 252 cm et large de 80 à 100 cm, compte sept marches dont la hauteur varie de 10 à 15 cm. Chaque marche est formée de plusieurs blocs de calcaire lithographique grossièrement équarris, relativement calibrés (possible réemploi d'anciens moellons ou d'éléments excédentaires ?) et liés par un mortier de limon brun. La marche sensée être située au droit du bloc de colonne engagée US.484 semble avoir été récupérée, ce qui pose la question de la présence, à cet emplacement, d'un élément spécifique (un seuil ?). Ce questionnement est d'ailleurs renforcé par la morphologie singulière de la marche supé-



Fig. 86 - Vue *in situ* du fût de colonne réemployé inv.1316 dans l'US.269.



Fig. 87 - Vue oblique des amphores en place de l'US.398.



Fig. 88 - Vue générale de l'escalier F.130 dans l'espace ESP.C3.

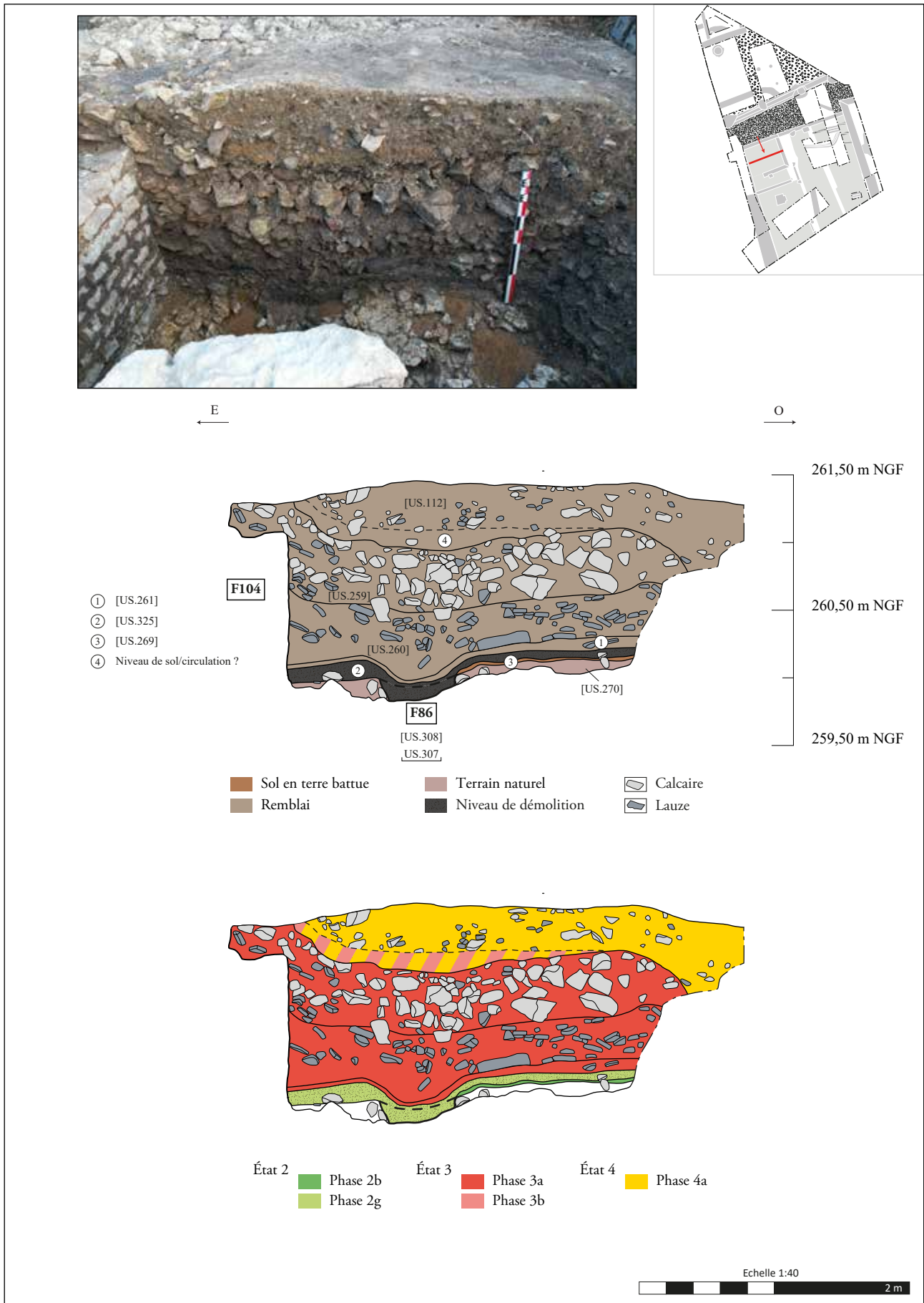


Fig. 89 - Coupe sud-est/nord-ouest de l'espace ESP.C2 (Relevé : L. Wissemberg. DAO : M. Setan. Infographie : M. Rodriguez).

rière, qui est constituée de deux larges blocs de calcaire lithographique très grossièrement équarris (**Fig. 90** et **Fig. 91**). La seconde partie de l'escalier paraît avoir été en grande partie spoliée. Ce palier d'une longueur de 154 cm pour 110 cm de large n'a conservé que deux marches agencées avec deux à quatre blocs de calcaire lithographique grossièrement équarris et de module hétérométrique (**Fig. 92**). La dalle de lauze mise au jour sur la dernière marche du palier inférieur pourrait constituer un vestige de la couverture du drain F.111. Un possible niveau d'occupation, l'US.418, a été mis au jour sur les marches de l'escalier F.103 (**Fig. 93**). Il se présente sous la forme d'une matrice limono-sableuse grise, homogène, meuble et associée à de fréquents charbons. Elle est apparue à 261,22 m NGF et est épaisse de 8 cm. Le mobilier issu de cette couche se limite à deux tessons de céramique, trois restes de faune et trois éléments ferreux (clous).

- L'espace ESP.C4

L'espace ESP.C4 occupe l'angle nord-est de l'ensemble ENS.C. Il est fermé au nord par la tranchée de sablière F.112 (voir *supra*) et à l'ouest par l'alignement US.410/F.85 (*ibid*). Sa limite orientale était vraisemblablement matérialisée par le mur gouttereau de l'ensemble ENS.C mais celui-ci semble avoir été oblitéré par la construction du mur F.5 (voir *infra*, 3.4). Il semble toutefois légitime de considérer que ce dernier reprend, à peu de choses près, un axe similaire. Enfin, seule la nature des revêtements des sols permet de distinguer la limite entre l'espace ESP.C4 et l'espace ESP.C6 (**Fig. 94**). Ainsi délimité, ESP.C4 a été observé sur une longueur de 6,19 m et une largeur de 4,85 m, soit une superficie de 30,45 m².

Comme dans l'espace ESP.C1, le soubassement de cette nouvelle pièce est matérialisé par F.124 (ou plus exactement par l'US.65). L'affaissement très marqué du centre de secteur implique une différence de niveau d'apparition allant jusqu'à 70 cm (de 262,30 m NGF à 261,58 m NGF). F.124 fait ici office de remblai préparatoire pour l'installation du plancher F.43. Celui-ci est constitué d'au moins trois lambourdes placées dans des tranchées régulièrement espacées et aménagées directement dans l'US.65. Les tranchées d'installation des lambourdes (US.211) possèdent des caractéristiques identiques. Elles sont orientées selon un axe sud-ouest/nord-ouest et sont disposées parallèlement à la façade du bâtiment. Leur plan est linéaire rectiligne et leur profil est en U. Leur longueur maximale observée est de 389 cm, pour une largeur



Fig. 90 - Vue oblique depuis l'est de la volée de marches supérieure de l'escalier F.103.



Fig. 91 - Détail de la cinquième marche de la volée de marches supérieure de l'escalier F.103.



Fig. 92 - Vue oblique depuis le nord de la volée de marches inférieure de l'escalier F.103.

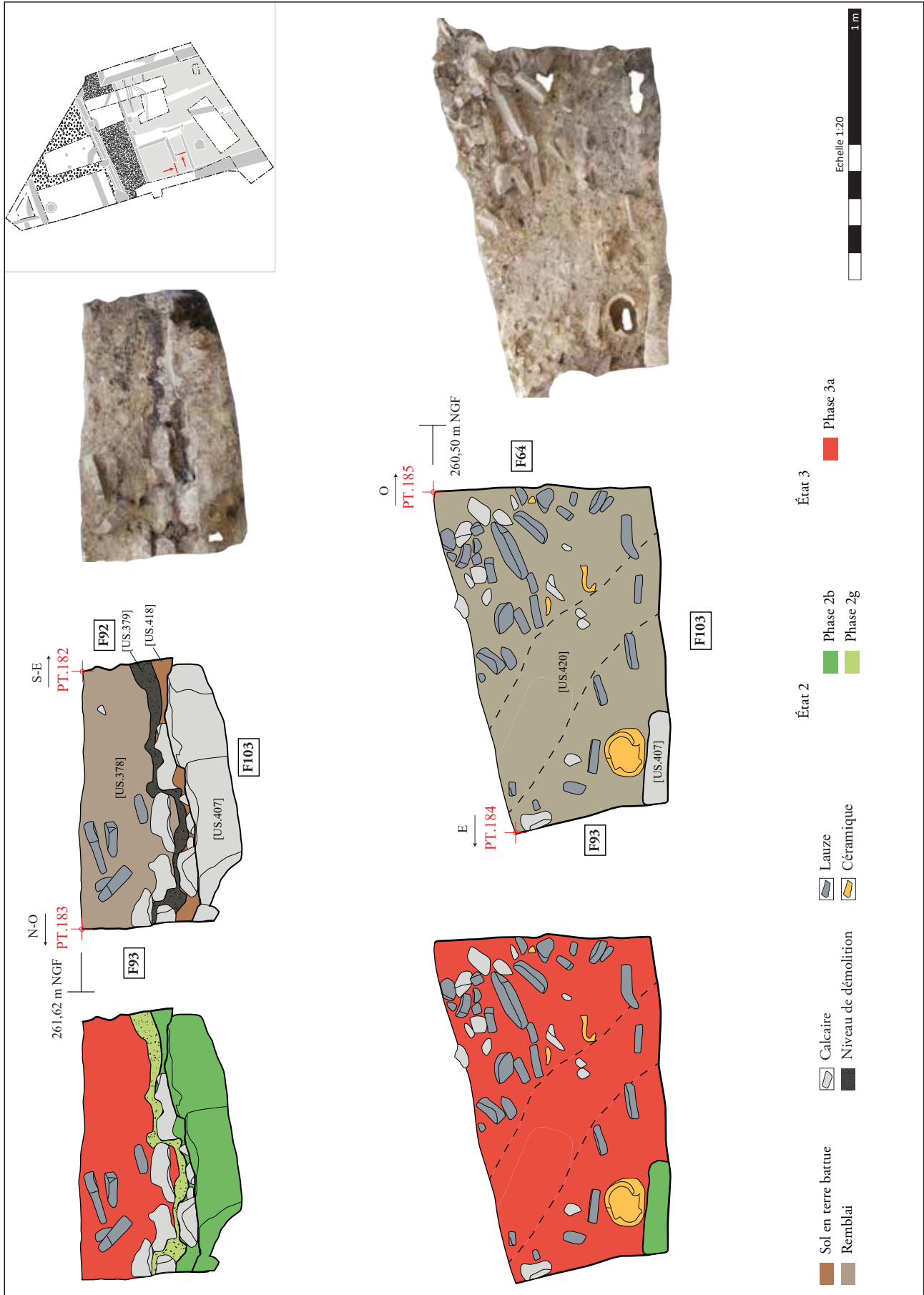


Fig. 93 - Coupes nord-ouest/sud-est et est/ouest de l'espace ESP.C3 (Relevé : A. Poumireau. DAO : M. Setan. Infographie : M. Rodriguez).



Fig. 94 - Orthophotographie interprétée de l'espace ESP.C4. DAO : M. Rodriguez.

d'environ 20 cm et une profondeur d'environ 10 cm. Enfin, elles sont espacées d'environ 80 cm. Les lambourdes elles-mêmes (US.62, US.74 et US.75) sont partiellement conservées (**Fig. 95** et **Fig. 96**) et leurs dimensions peuvent être déduites de celles de leurs tranchées d'installation. Elles ont fait l'objet de prélèvement (PR.2 et PR.4) en vue d'une étude anthropologique et de datations par carbone 14. Les lames jointives qui devaient être fixées sur les lambourdes ne sont en revanche pas conservées.

- L'espace ESP.C5 et l'espace ESP.C6

Les espaces ESP.C5 et ESP.C6 sont situés respectivement à l'angle sud-ouest et à l'angle sud-est de l'emprise de fouille. Le premier est limité au nord par le mur F.93 et à l'est par l'espace ESP.C1. Sa limite



Fig. 95 - Vue générale de l'espace ESP.C4.



Fig. 96 - Détail de l'US.74 (restes de lambourde en place).

occidentale, non observée, était probablement matérialisée par le mur gouttereau ouest de l'ensemble ENS.C. Ce dernier a sans doute été au moins partiellement détruit par l'installation du mur F.13 (voir infra, 3.4). Sa limite méridionale n'est pas connue. Le second est fermé à l'ouest par l'espace ESP.C1 et au nord par l'espace ESP.C4. Comme pour ce dernier, sa limite orientale a, de manière plausible, été oblitérée par l'installation du mur F.5 qui reprend sans doute son tracé. Sa limite méridionale n'est pas non plus connue. Ainsi défini, l'espace ESP.C5 mesure 7,5 m de long pour 5 m de large, soit une superficie de 34 m². Pour sa part, l'espace ESP.C6 mesure 3,9 m de long pour 3,7 m de large, soit une superficie d'environ 14,5 m². Seul l'espace ESP.C6 a pu être observé en plan durant la campagne 2021 (**Fig. 97**).

À nouveau, les niveaux argileux F.124 jouent, dans les deux espaces, le rôle de couche de soubassement. Dans l'espace ESP.C6, ce soubassement est recouvert par un sol en terre battue (US.127). Il se présente sous la forme d'un niveau argileux jaune-orange, homogène, induré et dépourvu d'inclusions. Il est apparu à 262,38 m NGF et son épaisseur ne dépasse pas 5 cm (**Fig. 36**). Ce niveau a livré un mobilier relativement abondant constitué de onze restes de faune, huit restes d'éléments en alliage cuivreux (dont un potin au sanglier (inv.528) ainsi qu'un couvercle de boîte à sceau circulaire (inv.846)), cinq tessons de céramique, deux fragments de vaisselle en verre ainsi qu'une possible tesselle. L'étude céramique a permis de proposer une datation au II^e siècle de notre ère. La présence de boîte à sceau similaires à l'inventaire 846 dans des contextes compris entre le milieu du I^{er} siècle et le milieu du II^e siècle (fiche Artefacts BTS-4017) semble corroborer cette chronologie.

Trois structures viennent percer ce niveau de circulation : la tranchée F.78 et les trous de poteaux F.46 et F.77.

La tranchée F.78 a déjà fait l'objet d'une description supra (voir 3.4.1). La réalisation d'un sondage manuel (SD.25) a permis la mise aux jours de vestiges permettant de rattacher cette structure au réseau de drains installé durant la phase 2a. Pourtant, son creusement paraît venir couper l'US.127, laquelle est indéniablement postérieure audit réseau (**Fig. 98**). Deux explications semblent envisageables : soit le drain F.78 fait l'objet d'une réfection postérieurement à l'installation de l'US.127, soit une partie de ses aménagements font l'objet d'une spoliation.



Fig. 97 - Orthophotographie interprétée de l'espace ESP.C6 (DAO : M. Rodriguez).



Fig. 98 - Vue générale de l'espace ESP.C6. On distingue au premier plan la tranchée F.78 installée dans l'US.127.

Les trous de poteau F.46 et F.77 sont des aménagements comparables. Ils possèdent ainsi tout deux un creusement de plan circulaire ainsi qu'un profil en cuvette, dont les dimensions sont comparables (**Fig. 99**). Ils possèdent également un comblement unique dont la trame sédimentaire est constituée de limon brun gravillonneux peu compact voire meuble, assez homogène et contenant des charbons. Leurs niveaux d'apparition (respectivement 262,48 et 262,31 m NGF) présentent toutefois une différence sensible. Il est cependant probable que l'ouverture de F.77 ait été partiellement tronquée lors de la construction du mur F.5, ce qui pourrait également expliquer pourquoi les pierres de calage de F.46 sont conservées alors que F.77 ne semble pas en posséder.

L'espace ESP.C5 n'a pu être documenté que par le biais des coupes du sondage SD.24. Dans ce dernier, seul le soubassement F.124 (US.481) a été observé pour la phase 2b. Ce constat, basé sur une fenêtre d'observation restreinte, n'exclut pas la présence d'un revêtement de sol non conservé dans l'emprise du sondage SD.24.

- Les autres aménagements

La coupe CP.55 du sondage SD.12 constitue l'unique fenêtre d'observation permettant de documenter l'évolution d'une zone extérieure à l'ensemble ENS.C durant les phases 2b à 2g (**Fig. 60**). Deux niveaux distincts ont ainsi été identifiés : l'US.500 et l'US.275.

L'US.500 repose directement sur le probable niveau de chantier US.499 évoqué ci-dessus. Elle se présente sous la forme d'un niveau d'argile marron, compact et homogène, comprenant de nombreuses inclusions de blocs calcaire et de graviers ainsi que de nombreux charbons. Elle n'a livré aucun mobilier. Ce niveau est apparu à 262,37 m NGF et mesure 39 cm d'épaisseur. Il s'agit probablement d'un remblai de nivellement. L'US.275 possède des caractéristiques très similaires à celles de l'US.499. Ce niveau se limite à un liseré de mortier de chaux jaune et compact comprenant de nombreuses inclusions de graviers de module centimétrique. Il est apparu à 262,38 m NGF et mesure

2 cm d'épaisseur. Il semble en outre s'affaisser vers le nord. Considérant ces caractéristiques spécifiques, il est possible que l'US.275 constitue un nouveau niveau de chantier formé à la suite de la construction d'un aménagement non observé.

5.4.3. La phase 2c

- L'espace ESP.B3

Au cours de la phase 2c, la construction d'un nouvel état de voirie entraîne le rassemblement des anciens espaces ESP.B1 et ESP.B2 dans un nouvel espace nommé ESP.B3 (**Fig. 100**). Ce changement provoque concrètement la disparition probable de la zone dédiée à la circulation piétonne au profit de la chaussée carrossable qui occupe désormais la totalité de l'ensemble ENS.B (soit environ 110 m²). Il est toutefois possible qu'une élévation liée à la structure F.89 soit encore visible au cours de la phase 2c.

L'installation de la voirie F.63 semble débuter par l'installation d'un remblai US.439 dans une partie de l'emprise de l'ancien espace ESP.B1. Il se présente sous la forme d'un niveau de limon brun, hétérogène, compact, associé à des inclusions de blocs calcaire ainsi qu'à de nombreux charbons. Il est apparu à 261,93 m NGF et son épaisseur ne dépasse pas la dizaine de centimètre (**Fig. 101**). Il n'a livré aucun mobilier. Il est possible que cet apport sédimentaire ait été destiné à mettre à niveau l'espace ESP.B2 et l'espace ESP.B1, le niveau de circulation de ce dernier étant sensiblement plus bas que celui du premier. La bande de roulement US.218/167 est ensuite posée directement sur le sommet de la voirie F.62. Il s'agit d'un cailloutis constitué de cailloux calcaire hétérométriques (5 à 15 cm de longueur) pris dans une trame sédimentaire limoneuse brune, peu dense, très compacte, homogène et épaisse d'une quinzaine de centimètres (niveau d'apparition : 261,85 m NGF). L'aspect émoussé des éléments calcaire témoigne vraisemblablement d'une circulation intense (**Fig. 102 ; Fig. 103 et Fig. 104**). Ce niveau de voirie a livré une quantité moyenne de mobilier : un élément indéterminé en alliage cuivreux, 17 restes de faune, huit

Numéro de fait	Plan	Profil	Dimensions (cm)	Profondeur (cm)	Alti. sup. (m NGF)	Alti. inf (m NGF)
F.46	circulaire	cuvette	35x34	20	262,48	262,28
F.77	circulaire ?	cuvette	30x?	17	262,31	262,14

Fig. 99 - Caractéristiques principales des trous de poteau de l'espace ESP.C6.



Fig. 100 - Localisation des ensembles de la phase 2c (DAO : M. Rodriguez).

tessons de céramiques ainsi que 43 éléments ferreux dont un nombre conséquent de clous de chaussure. Le TPQ issu de l'étude céramique est situé aux 1^{er}-II^e siècles de notre ère.

L'US.264, qui repose directement sur cette bande de roulement, a été observée dans une zone longue d'environ 70 cm et large d'environ 55 cm. Elle se présente sous la forme d'un niveau de cailloutis émoussé, peu épais et pris dans une couche de mortier de chaux friable jaune (Fig. 105). Il est apparu à 262,05 m NGF et est épais de 4 cm. Il s'agit probablement d'une recharge ou d'une réfection ponctuelle de l'US.218. Elle n'a livré aucun mobilier.

5.4.4. La phase 2d

La phase 2d est caractérisée par une nouvelle réorganisation de la voie ainsi que par l'installation d'un nouveau bâtiment (Fig. 106).

- L'ensemble ENS.A

Situé à l'extrême nord de l'emprise de fouille, l'ensemble ENS.A matérialise la première occurrence d'aménagement bordier sur le flanc septentrional de la chaussée. Il est probable que, dès son premier état, celle-ci se soit appuyée ou ait fonctionnée avec un système de terrasse permettant de compenser le pendage naturel de cette partie du plateau. L'installation

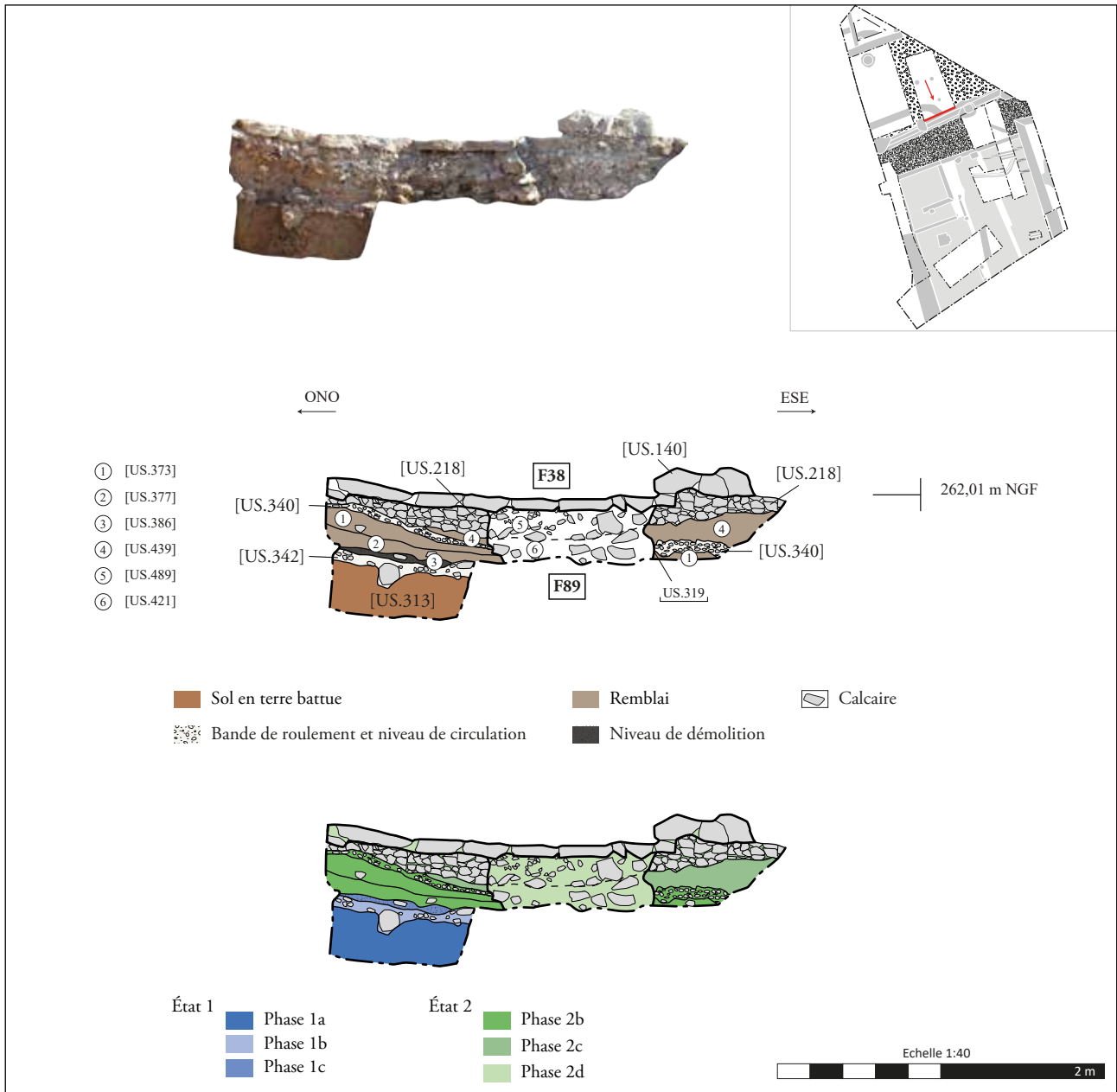


Fig. 101 - Coupe CP.48 du sondage SD.16 (Relevé : M. Compère. DAO : E. Mathieu. Infographie : L. Darmon).

au cours de la phase 2d de l'ensemble ENS.A a toutefois vraisemblablement oblitéré les éventuels vestiges antérieurs. Ce nouvel ensemble est délimité au sud par le mur F.4 et à l'est par le mur F.39. Ses limites occidentales et septentrionales, situées hors emprise, ne sont pas connues (**Fig. 107**). L'ensemble ENS.A a été observé sur une longueur de 4,93 m et une largeur de 3,48 m, ce qui représente une superficie d'environ 10,52 m². Son cloisonnement interne délimite au minimum trois pièces : l'espace ESP.A1, l'espace ESP.A2 et un troisième espace trop lacunaire pour faire l'objet d'une caractérisation.

- Les structures F.90 et F.94

Uniquement observées dans le sondage SD.13, les structures F.90 et F.94 constituent peut-être les dernières traces d'une occupation antérieure à la phase 2d dans l'extrême nord de l'emprise de fouille. Dans l'attente de l'étude céramologique exhaustive, on ne peut toutefois exclure la possibilité que leur installation soit liée à la construction de l'ensemble ENS.A. F.90 est la plus ancienne des deux structures. Il s'agit d'une fosse de plan indéterminé, apparue à 260,52 m NGF et probablement dotée d'un profil en



Fig. 102 - Vue zénithale et oblique de F.63 dans l'écorché de la voirie ENS.B (DAO : M. Rodriguez).



Fig. 103 - Vue zénithale de la bande de roulement US.218 dans le sondage SD.16.



Fig. 104 - Détail de la bande de roulement US.218.



Fig. 105 - Vue en plan de la recharge US.264.

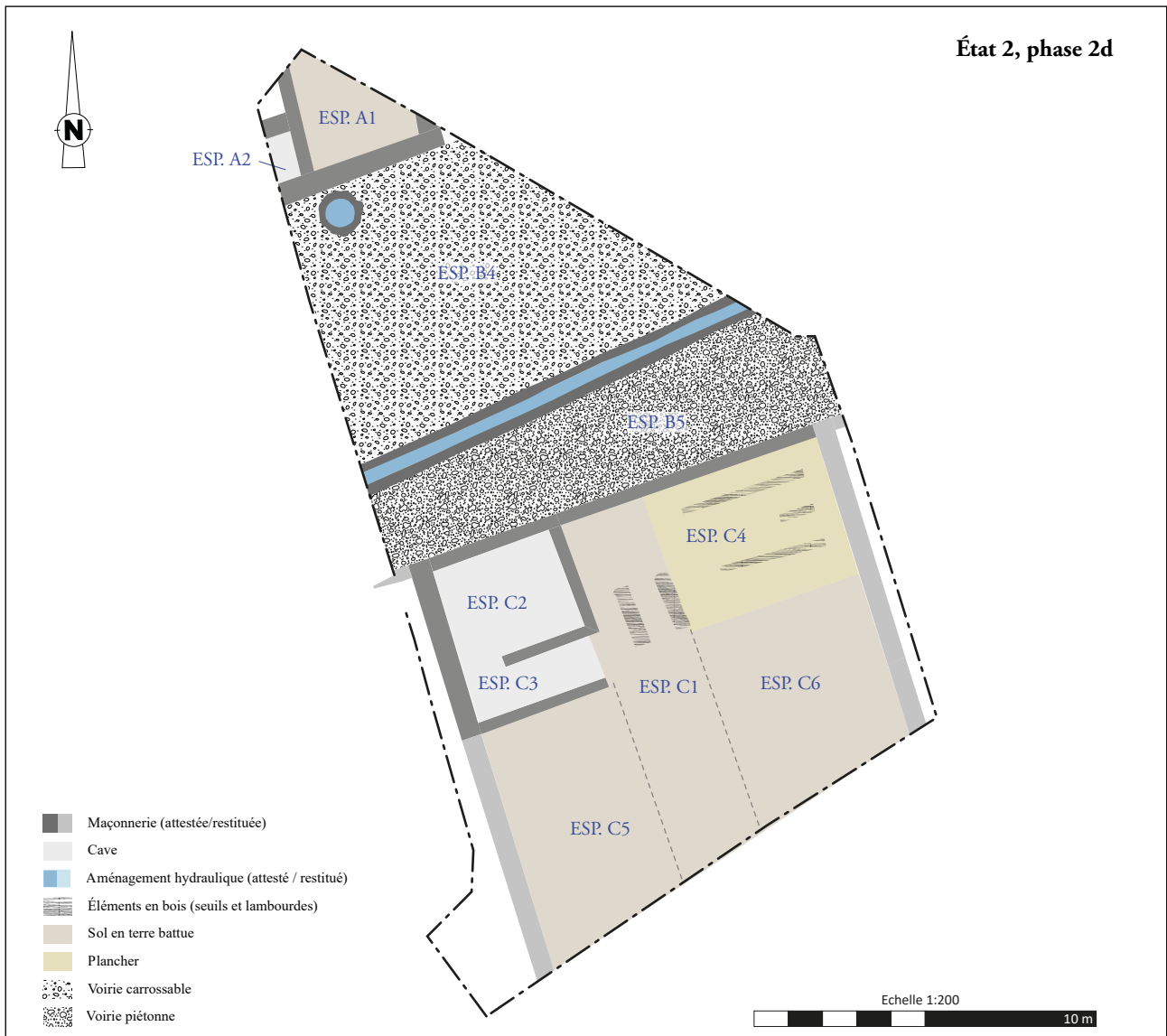


Fig. 106 - Localisation des ensembles de la phase 2d (DAO : M. Rodriguez).

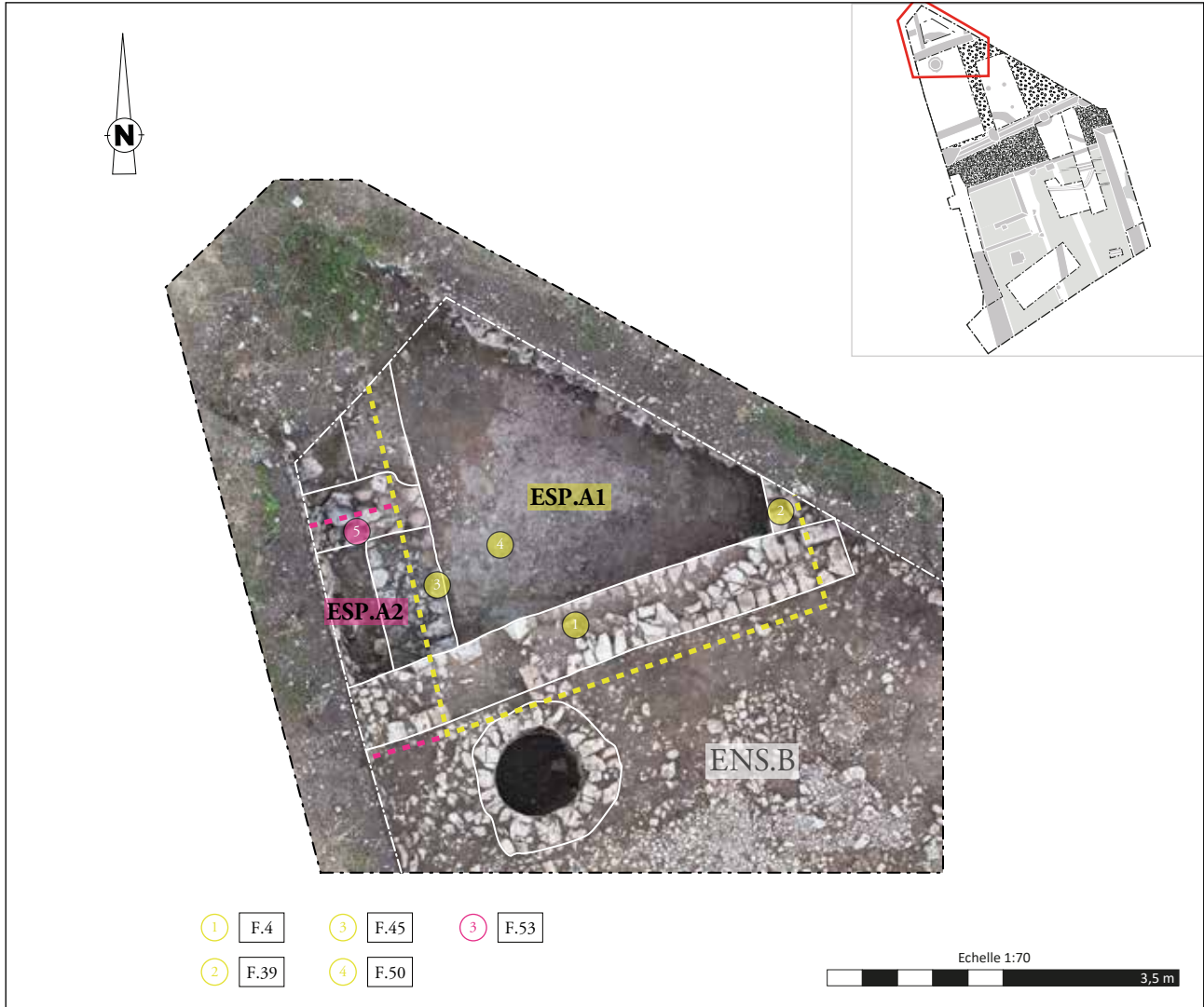


Fig. 107 - Orthophotographie interprétée de l'ensemble ENS.A (DAO : M. Rodriguez)

cuvette, bien que ce dernier soit en partie tronqué par l'installation d'un mur postérieur (**Fig. 108**). Elle a été observée sur 148 cm de longueur, 57 cm de largeur et mesure 63 cm de profondeur. Elle possède un comblement complexe constitué de quatre niveaux :

- l'US.334 constitue le comblement inférieur de F.90. Il s'agit d'un niveau argileux brun, compact et homogène ayant livré quatorze scories ferreuses ainsi que trois tessons de céramique et deux restes de faune ;

- l'US.297 est un comblement intermédiaire composé de limon argileux brun-gris, meuble, hétérogène et comportant des inclusions de blocs calcaire. Il a également livré un nombre important de scories ferreuses (NR = 56) ainsi que deux restes indéterminés en alliage cuivreux, 16 restes de faune, onze tessons de céramique et un unique clou en fer ;

- l'US.359 est un second comblement intermédiaire exclusivement constitué de mortier jaune, friable et homogène. Il est possible que ce niveau ait été formé consécutivement à la construction des maçonneries de l'ensemble ENS.A ;

- l'US.332 constitue le comblement supérieur de F.90. Il s'agit d'un niveau argilo-limoneux brun, compact, hétérogène et associé à de rares charbons. Il a également livré de nombreuses scories ainsi que 21 restes de faune et dix restes de céramique.

Ce dernier niveau constitue l'encaissant primaire de la fosse F.94. Le creusement de cette dernière (US.348) semble être de forme circulaire ou sub-circulaire. Il a été observé sur 49 cm de longueur et 30 cm de largeur (niveau d'apparition : 240,43 m NGF). Il possède un profil en cuvette, profond de 43 cm, et comblé par deux niveaux distincts :

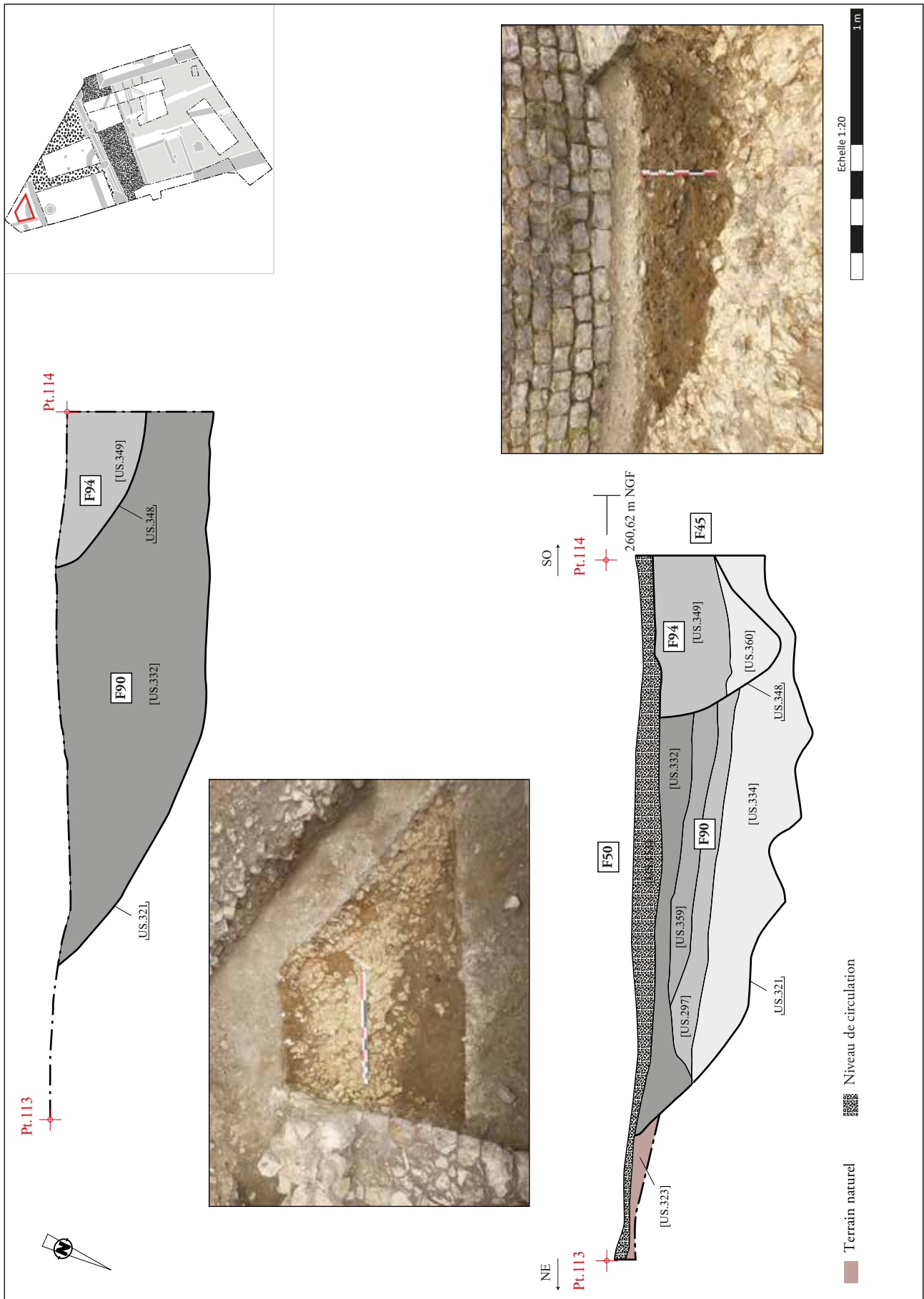


Fig. 108 - Relevés et vues en plan et en coupe des structures F.90 et F.94 dans le sondage SD.13 (Relevé : Quentin Bruncher. DAO : E. Mathieu. Infographie : M. Rodriguez).

- le comblement inférieur (US.360) est un niveau argilo-limoneux brun, compact, hétérogène et associé à de rares charbons. Il n'a livré aucun mobilier ;

- le comblement supérieur (US.349) est un niveau similaire à l'US.360 dont il se distingue toutefois par une trame sédimentaire argilo-gravillonneuse. Il n'a pas livré davantage de mobilier.

- L'espace ESP.A1

L'espace ESP.A1 constitue le cœur visible de l'ensemble mis au jour au nord de la voie, dont il occupe l'essentiel de la superficie. Il est délimité au sud par le mur F.4 et à l'est par le mur F.39, tandis que son flanc occidental est bordé par le mur F.45. Sa limite septentrionale, située hors emprise, n'a pas été observée. L'espace ainsi délimité est long de 3,38 m, large de 3,35 m et occupe une surface de 11,32 m².

Le mur F.4, d'orientation sud-ouest/nord-est, semble occuper simultanément les fonctions de mur de façade et de mur de soutènement. Il a été observé sur 445 cm de longueur et mesure près de 70 cm de large (niveau d'apparition : 261,70 m NGF). Sa tranchée de fondation (US.396) vient sabrer les niveaux de voirie F.62 et F.63 (**Fig. 18**). Le fort arasement des niveaux archéologiques dans ce secteur de l'emprise ayant détruit les éventuelles relations entre ce creusement et les niveaux de voirie postérieurs à F.63, il n'est pas impossible que l'installation de F.4 soit postérieure à la phase 2d. L'élévation interne de cette maçonnerie (face nord) a pu être renseignée sur une hauteur de 131 cm (**Fig. 111**). Elle est assise sur une fondation maçonnée (US.204) constituée de trois assises construites en moellons de calcaire lithographique de moyen module, grossièrement équarris et joints par un mortier de chaux blanc. L'élévation (US.11) se distingue par une mise en œuvre plus soignée. Elle est matérialisée par sept assises conservées de moellons en calcaire lithographiques liés par un mortier de chaux blanc-jaune comprenant des inclusions de graviers millimétriques. Les joints semblent avoir été laissés apparents mais certaines traces de mortier pourraient impliquer la présence d'un enduit non conservé. La face sud semble être également parementée (**Fig. 109**), malgré son enfouissement sous le comblement de la tranchée d'implantation (US.397). Ce dernier est composé d'un niveau de limon sableux marron, hétérogène et meuble. Il contient également de nombreuses inclusions de charbons et d'argile orange. Il a livré un reste de faune ainsi que deux tessons de céramique.

Apparu à 261,61 m NGF, la maçonnerie F.39 semble constituer le mur de refend de F.4, avec lequel il est chaîné perpendiculairement (**Fig. 110**). Seule sa face occidentale, conservée sur une hauteur d'environ 130 cm, a pu être observée. La mise en œuvre de cette dernière apparaît en tous points similaire à celle décrite ci-dessus pour le mur F.4.

Contrairement aux deux aménagements précédents, la maçonnerie F.45 paraît avoir une fonction de cloisonnement. Ce mur rectiligne d'orientation sud-sud-est/nord-nord-ouest vient s'appuyer directement contre la façade nord de F.4 (**Fig. 112**). Il est apparu à 260,73 m NGF et mesure au minimum 280 cm pour un peu moins de 70 cm de largeur. Son élévation (US.132) est formée de deux parements en moellons de calcaire lithographique équarris et joints par un mortier de chaux blanc. À mi-longueur de la maçonnerie, cette élévation, conservée sur trois assises, semble constituer un montant doté d'un angle



Fig. 109 - Vue en élévation de la face sud du mur F.4.



Fig. 110 - Vue depuis l'ouest du chaînage entre les murs F.4 et F.39.



Fig. 111 - Orthophotographie de la face nord du mur F.4 (DAO : E. Mathieu. Infographie : M. Rodriguez).

chanfreiné (**Fig. 113**). Cet élément pourrait indiquer la présence d'un accès. Ce dernier serait par ailleurs cohérent avec l'arasement très régulier du tronçon de F.45 compris entre ce montant et le mur F.4. Cette particularité constitue en effet un indice probable de la présence d'un seuil récupéré.

Le sol F.50 de l'espace ESP.A1 est matérialisé par un niveau de mortier de chaux blanc associé à des inclusions de graviers millimétriques (US.153). Il a été observé sur une longueur de 340 cm et une largeur de 300 cm. Il épais de 12 cm et est apparu à 260,51 m NGF. Son nettoyage a permis la mise au jour d'un tesson de céramique ainsi que d'une épingle en alliage cuivreux (inv.649) (**Fig. 114**). L'installation de ce niveau semble intervenir directement après l'édification des maçonneries et recouvre le sommet des fosses F.90 et F.949. En raison de son mauvais état de conservation, il est malaisé de déterminer si ce niveau constitue un aménagement préparatoire pour un revêtement disparu ou s'il s'agit du niveau de circulation réel de cet espace.



Fig. 112 - Vue oblique du mur F.45 et du mur F.53.



Fig. 113 - Vue en élévation depuis l'est de l'angle chanfreiné observé dans l'US.132.

- L'espace ESP.A2

L'espace ESP.A2 est située dans l'angle nord-ouest de l'emprise observée de l'ensemble ENS.A. Il est délimité au nord par le mur F.53, à l'est par le mur F.45 et au sud par le mur F.4. Sa limite occidentale est positionnée hors emprise. Ainsi délimité, il mesure 1,30 m de longueur et 0,76 m de largeur, ce qui représente une superficie d'environ 1 m².

Le mur F.53 est le seul aménagement propre à l'espace ESP.A2. Cette structure d'orientation sud-ouest/nord-est vient s'appuyer directement contre F.45. Apparue à 261,09 m NGF, elle a été observée sur 36 cm de long, mesure 68 cm de large et est conservée sur une hauteur d'environ 30 cm. Sa maçonnerie (US.163) se compose de blocs équarris en calcaire lithographique de module variable (10 à 45 cm de longueur), grossièrement assisés et joints par un mortier de chaux blanc et friable.

- L'ensemble ENS.B

Récupération de F.89 et construction de F.38

Au cours de la phase 2d, la structure F.89 semble faire l'objet d'une récupération qui précède son comblement définitif (**Fig. 18**). Le caniveau F.38, qui reprend en partie son tracé, semble être ensuite aménagé directement sur la bande de roulement de F.63 (**Fig. 18** et **Fig. 101**). Cet aménagement linéaire rectiligne suit une orientation sud-ouest/nord-est légèrement divergente de celle de la façade de l'ensemble ENS.C (**Fig. 115** et **Fig. 116**). Il a été observé sur une longueur d'environ 12 m et mesure jusqu'à 80 cm de large pour une hauteur conservée de 50 cm (niveau d'apparition : 262,12 m NGF).



Fig. 114 - Détail de l'US.153 montrant l'épingle en alliage cuivreux inv.603 en cours de fouille.



Fig. 115 - Vue oblique depuis l'ouest de l'ensemble ENS.B et du caniveau F.48.



Fig. 116 - Vue oblique depuis le nord de l'ensemble ENS.B et du caniveau F.48.

Le creusement du caniveau F.38, sans doute doté d'un profil en U à fond plat, n'a pas été observé (**Fig. 119**). Le fond de la structure (US.253) est constitué de dalles cohésives et grossièrement équarris de calcaire lithographique et de calcaire marneux. Elles présentent des modules et des formes irrégulières (souvent 30 à 40 cm de longueur moyenne pour une épaisseur ne dépassant pas 6 cm) et paraissent liées par un mortier de sédiment argilo-limoneux jaune-orange, compact et homogène. Elles semblent par ailleurs présenter un léger pendage vers l'ouest (**Fig. 117**). Les deux piédroits (US.139 et US.140) sont caractérisés par une mise en œuvre identique. Ils sont formés de deux assises de blocs de calcaire lithographique de module hétérométrique (25-40 cm de longueur moyenne) équarris et liés par un niveau de sédiment argileux. Certains des blocs de l'assise supérieure présentent des arrêtes émoussées. On note par ailleurs la présence de blocs d'un gabarit plus important (50-60 cm de longueur) au niveau de l'installation de la structure F.11. La couverture de F.38 (US.164) n'a été conservée que de manière très ponctuelle (**Fig. 118**). Les



Fig. 117 - Détail de la mise en œuvre du caniveau F.48.



Fig. 118 - Détail de la couverture en place US.164 du caniveau F.48.

rare éléments encore en place sont comparables à l'US.253. Il s'agit de dalles de calcaire lithographique grossièrement équarris, possiblement de taille et de forme variables. Enfin, le comblement de cet aménagement (US.141) est composé d'un limon gravillonneux brun-gris, meuble, homogène et comprenant de fréquents charbons. Il a livré un mobilier abondant constitué de 53 restes de faune, neuf restes d'éléments ferreux (dont plusieurs clous de chaussure), un jeton en os ainsi que 223 tessons de céramique. Ces derniers ont livré une datation comprise entre 60 et 150 de notre ère.

Outre sa fonction hydraulique, il semble manifeste que l'installation du caniveau F.38 réponde également à la nécessité de matérialiser à nouveau la distinction entre circulation carrossable (espace ESP.B4) et circulation piétonne (espace ESP.B5).

- L'espace ESP.B4

L'espace ESP.B4 occupe une emprise peu ou prou comparable à celle de l'ancien espace ESP.B1, dans la partie septentrionale de l'ensemble ENS.B. Il est délimité au nord par l'ensemble ENS.A et au sud par le caniveau F.38. La zone ainsi circonscrite mesure environ 12 m de longueur pour 6,5 m de largeur, soit une superficie d'environ 66,5 m².

Cette surface est intégralement occupée par la chaussée F.52 (**Fig. 18** et **Fig. 120**). Apparue à 262,32 m NGF, cette dernière observe la même orientation sud-ouest/nord-est caractéristique de l'ensemble de la voirie. Son installation débute vraisemblablement par la pose d'un radier (US.194/195) épais d'une vingtaine de centimètres et constitué de blocs de calcaire bruts de petit (10-15 cm de longueur) à moyen (10-15 cm) de longueur pris dans une matrice sédimentaire limono-argileuse marron, compacte et homogène. Il a livré 106 éléments ferreux (dont plusieurs caboches), 36 restes de faune, 26 tessons ainsi qu'un élément indéterminé en alliage cuivreux. Les formes céramiques identifiables ont été datées du II^e siècle. Ce radier semble, quoique de manière ponctuelle, recouvert par un niveau argilo-limoneux marron, homogène et compact (US.149). Ce dernier a livré 67 tessons de céramique (non datant) et huit restes de faune. Il est lui-même recouvert par la bande de roulement US.157, qui se présente sous la forme d'un cailloutis de petits blocs de calcaire lithographique pris dans un mortier de chaux blanc. Une mise en œuvre plus sommaire où le cailloutis, épais de 5 cm, était pris dans une matrice limoneuse remplaçant le mortier a également été observée. Elle pourrait peut-être

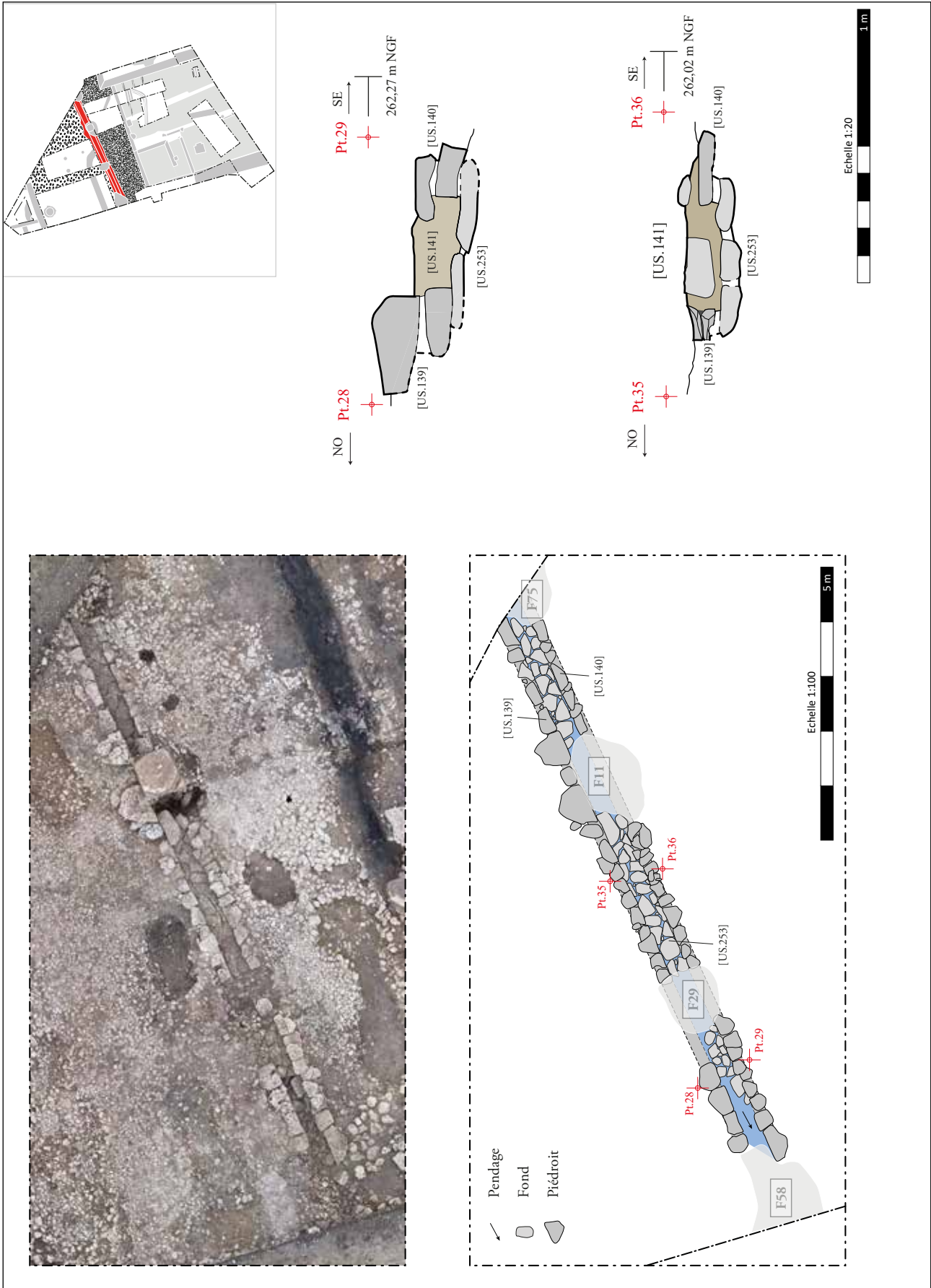


Fig. 119 - Orthophotographie interprétée et coupes du caniveau F.48 (Relevés : C. Dorolle, M. Poinignon. DAO : E. Mathieu. Infographie : M. Rodriguez).



Fig. 120 - Vue zénithale et oblique de F.52 dans l'écorché de la voirie ENS.B (DAO : M. Rodriguez).

correspondre à des réfections localisées. Les arêtes émoussées des éléments constitutifs de cette bande de roulement semblent attester d'une circulation répétée. Le mobilier prélevé dans ce niveau se compose de 44 tessons de céramique, de huit reste de faune, de 8 éléments ferreux ainsi que d'une fibule en alliage cuivreux (inv.894). Cette dernière semble correspondre au type Riha 5.13, lequel est attesté entre 40 et 80 de notre ère. Cet horizon chronologique est cohérent avec la datation issue de l'étude céramique, laquelle est axée sur la seconde moitié du 1^{er} siècle de notre ère. L'US.157 est par la suite recouverte par le niveau de recharge US.262 qui est constitué d'un cailloutis de blocs bruts de calcaire lithographique pris dans une matrice limoneuse compacte et homogène (**Fig. 121**). Cette nouvelle couche de circulation présente une mise en œuvre moins soignée que précédemment,



Fig. 121 - Détail de la mise en œuvre de l'US.262.

ce qui se traduit notamment par la présence de blocs de module très variable. Les arêtes de ces derniers sont par ailleurs sensiblement moins émoussées que celles des blocs de l'US.157. L'US.262 a livré douze tessons de céramique, quatre éléments ferreux (dont au moins une caboche), deux restes fauniques et deux fragments de plomb. On notera que le décalage entre la datation du radier (II^e siècle) et celle de la bande de roulement (seconde moitié du I^{er} siècle), assurée par un NR plus important, peut s'expliquer par une éventuelle origine intrusive de certains tessons.

Les niveaux supérieurs du puits F.3 paraissent avoir été totalement détruits par les effets conjugués de l'érosion et de la récupération de matériaux. De fait, il n'est guère possible de situer avec exactitude son installation dans le phasage général du site. On se bornera ici à préciser qu'il ne peut être antérieur à la phase 2d.

Le puits F.3 est situé à l'angle formé par le mur F.4 et la limite d'emprise occidentale (**Fig. 122**), dans la partie nord de l'ensemble ENS.B (niveau d'apparition : 261,82 m NGF). Pour des raisons de sécurité, sa fouille a été limitée à 1 m de profondeur. Son creusement (US.43), de plan grossièrement circulaire, vient couper le comblement de la tranchée d'implantation du mur F.4 (**Fig. 123**). Son diamètre important (près de 210 cm) est probablement destiné à faciliter le montage de son parement (US.12) (**Fig. 125**). Ce dernier, d'un diamètre de 160 cm, est constitué de blocs de calcaire lithographiques de moyen module (10-20 cm de long pour 5-10 cm de large en moyenne), grossièrement équarris et probablement liés à la terre (**Fig. 124**). Le comblement de la tranchée d'implantation (US.44), déposé après l'installation de la maçonnerie, semble être un niveau unique de blocs calcaire bruts de moyen module (10-20 cm de long) pris dans une matrice sédimentaire limoneuse brune, compacte et homogène. Son nettoyage de surface n'a livré aucun mobilier.

Deux niveaux de comblement permettent de documenter en partie l'abandon du puits F.3 (**Fig. 126**). Le niveau inférieur (US.18) est épais d'au moins 75 cm. Il se présente sous la forme d'un niveau brun argilo-limoneux, d'aspect ponctuellement organique, associé à quelques inclusions de cailloutis et de poches de charbons ainsi qu'à des fragments de dalles sciées et de TCA. Son caractère organique est apparu suffisamment marqué pour justifier la réalisation d'un prélèvement en vue d'une étude carpologique. L'US.18 a livré un mobilier abondant constitué de 75 restes de



Fig. 122 - Vue oblique de l'ouverture du puits F.3.



Fig. 123 - Vue zénithale illustrant la relation entre le creusement du puits F.3 et la tranchée d'implantation du mur F.4.



Fig. 124 - Vue oblique depuis le nord du parement US.12 du puits F.3.

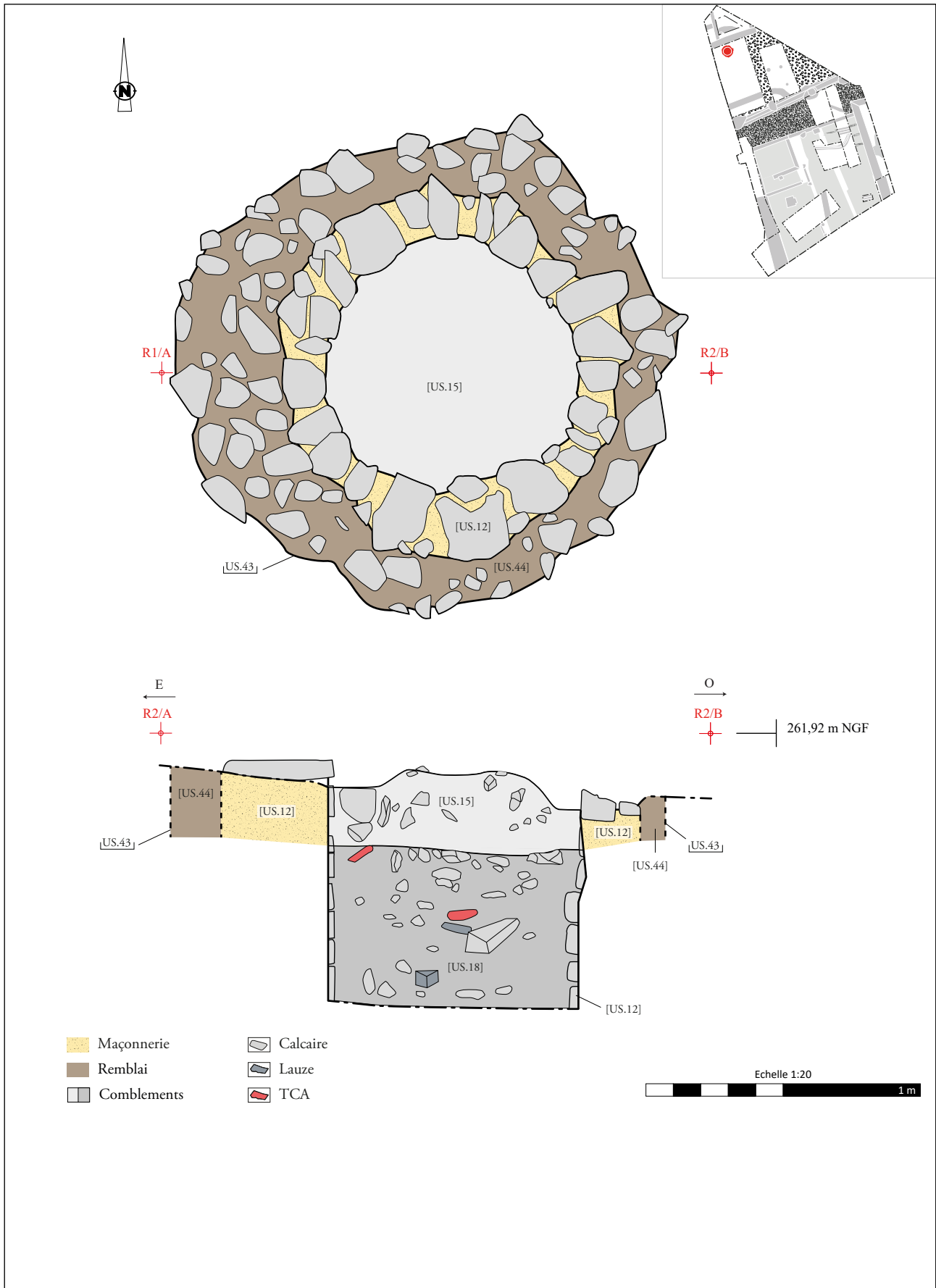


Fig. 125 - Relevé en plan et en coupe du puits F.3 (Relevé : J. Véber et A. Heinmann. DAO : E. Mathieu).



Fig. 126 - Vue oblique depuis le sud du comblement du puits F.3.



Fig. 127 - Vue zénithale du niveau de circulation US.165 et de son radier US.166.

faune, 53 tessons de céramique, 34 fragments de verre (dont plusieurs tesselles (inv.105)), 30 restes d'éléments en fer, quatre fragments d'éléments en alliage cuivreux (dont des scories et un déchet de production), trois restes de lithique (dont une tesselle) ainsi qu'une boucle de harnachement en fer (inv.152) et deux monnaies en alliage cuivreux (inv.123 et inv.134). L'étude céramique souligne la présence de plusieurs formes datées du IV^e siècle tandis que l'étude numismatique a permis l'identification d'un antoninien. Le niveau supérieur (US.15) est une couche d'argile limoneuse brune, compacte, homogène et associée à de nombreuses inclusions de graviers ainsi qu'à de rares charbons. Sa fouille a permis de prélever 19 tessons de céramique, six restes d'éléments ferreux, cinq restes de faune, trois fragments de verre ainsi qu'un anneau en alliage cuivreux (inv.71) et une monnaie du même matériau (inv.73). La datation céramique a établi un TPQ situé aux II^e-III^e siècles, ce qui semble cohérent avec l'identification de la monnaie (un antoninien à tête radiée à droite).

- L'espace ESP.B5

L'espace ESP.B5 est délimité au nord par le caniveau F.38 et au sud par la façade septentrionale de l'ensemble ENS.C. Sa longueur observée est de 14 m pour une largeur de 3,5 m, ce qui représente une superficie observée de 40 m². Cet espace est sans doute dédié à la circulation piétonne et il est probable que son installation ait été réalisée concurrentement à celle de la chaussée carrossable.

Le fait F.54 rassemble les trois niveaux rattachés à cet espace piéton (niveau d'apparition : 262,10 m NGF). Ce dernier dispose ainsi d'un radier (US.166) qui constitue de fait un équivalent du radier (US.194/195) de l'espace carrossable. Ce niveau épais d'une dou-



Fig. 128 - Vue zénithale de l'US.120.

zaine de centimètres se présente sous la forme de blocs bruts de calcaire lithographique de gros module (20 à 40 cm de long) pris dans une matrice limoneuse brune, compacte et homogène. Ce radier est ponctuellement recouvert par l'US.452. Probable équivalent du niveau préparatoire US.149 observé dans l'espace ESP.B4, cette dernière est matérialisée par un sédiment argilo-limoneux marron, compact, homogène et épais de 8 cm. Il est possible que ce sédiment soit ponctuellement utilisé pour niveler les irrégularités du radier sous-jacent. Enfin, le niveau de circulation de F.54 est incarné par l'US.165. Il s'agit d'un sol maçonné épais de 5 cm et constitué de mortier de chaux blanc induré et de cailloutis calcaire (**Fig. 127**). Il n'a été observé que sur une fenêtre de fouille restreinte et n'a pas livré de mobilier. L'US.120, apparue à 262,13 m NGF, est susceptible de représenter un autre type de mise en œuvre rattachable à ce même horizon de circulation. Elle se présente sous la forme d'un cailloutis pris dans une matrice limoneuse compacte, homogène, d'une épaisseur de 10 cm (**Fig. 128**). Sa fouille a conduit au prélèvement de douze scories ferreuses, de quatre restes de faune, de quatre tessons de céramique ainsi que d'un élément lapidaire (inv.483).

5.4.5. La phase 2e

Au cours de la phase 2e, la voirie connaît une nouvelle réfection qui paraît entraîner une seconde réunion de la chaussée et de son trottoir consécutivement au comblement du caniveau F.38 (**Fig. 129**). Le nouvel espace ainsi formé, ESP.B6, a été observé sur une longueur de 12 m et mesure 7,5 m de largeur, ce qui représente une superficie observée d'environ 66,36 m².

- La chaussée F.44

L'installation de la chaussée F.44, qui occupe l'intégralité de cette surface, débute par un radier (US.133) épais de 40 cm et dont la pose semble avoir détruit et/ou brassé en partie les niveaux antérieurs (**Fig. 130**). Il se compose de blocs de calcaire bruts de module hétérométrique pris dans une matrice argilo-limoneuse

marron, compacte et homogène. Le mobilier issu de ce premier niveau du fait F.44 est abondant. Il se compose de 154 tessons de céramique, 43 restes de faune, 40 éléments ferreux et 2 fragments de vaisselle en verre. L'étude céramique situe son installation entre 60 et 160 de notre ère.

Apparue à 262,43 m NGF, la bande de roulement US.131/235 est installée directement sur le radier US.133. Elle est épaisse de 15 cm et est constituée de blocs bruts de calcaire lithographique de petit (5-10 cm de long) à moyen module (20-30 cm de long) pris dans un mortier de chaux blanc et induré (**Fig. 131**). Les arêtes émoussées de ces blocs ainsi que la mise au jour de deux ornières paraissent témoigner d'une circulation fréquente et répétée. Le nettoyage de surface de l'US.131/235 a permis de prélever 19 éléments ferreux (essentiellement des scories et des

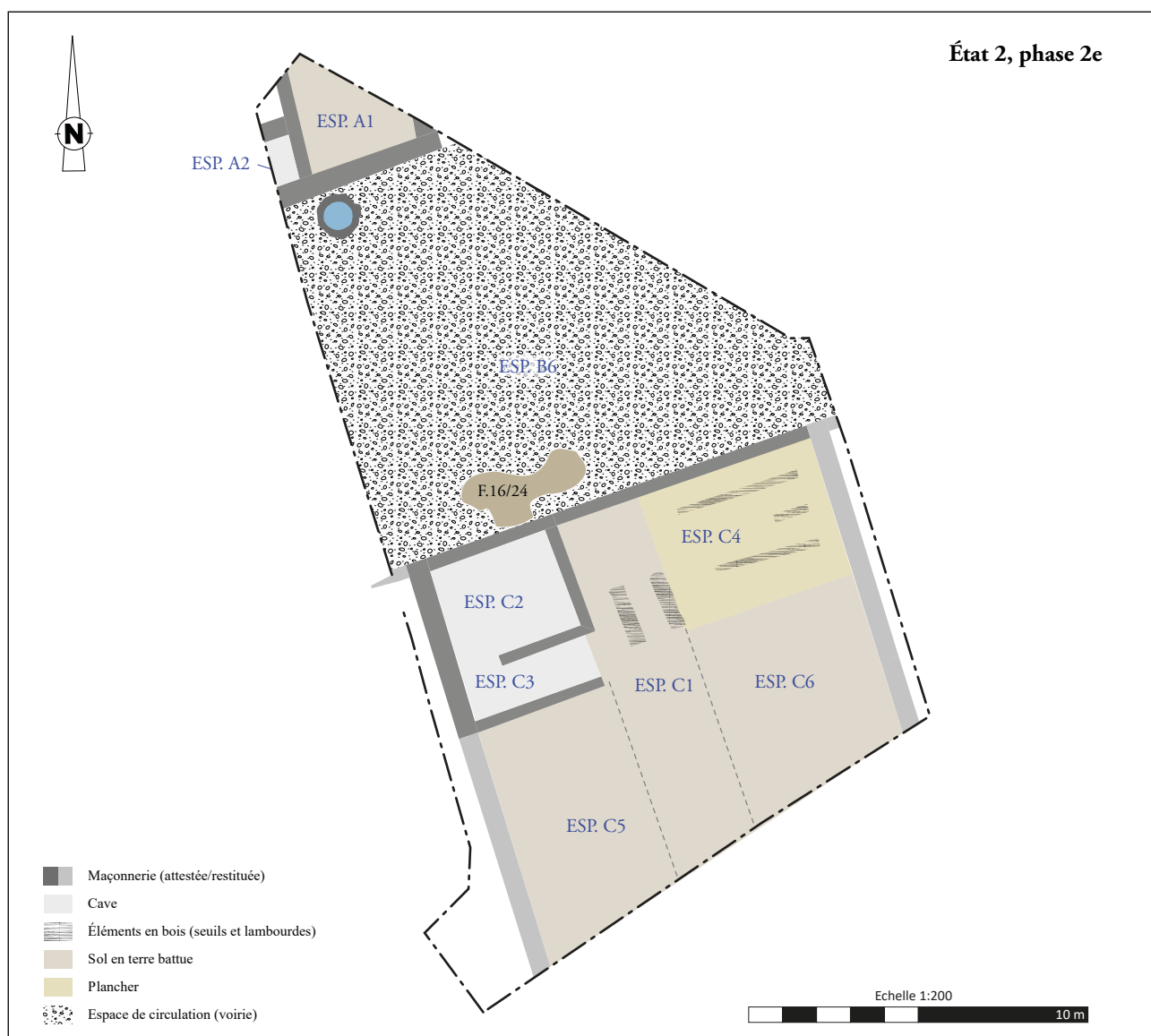


Fig. 129 - Localisation des ensembles de la phase 2e (DAO : M. Rodriguez).

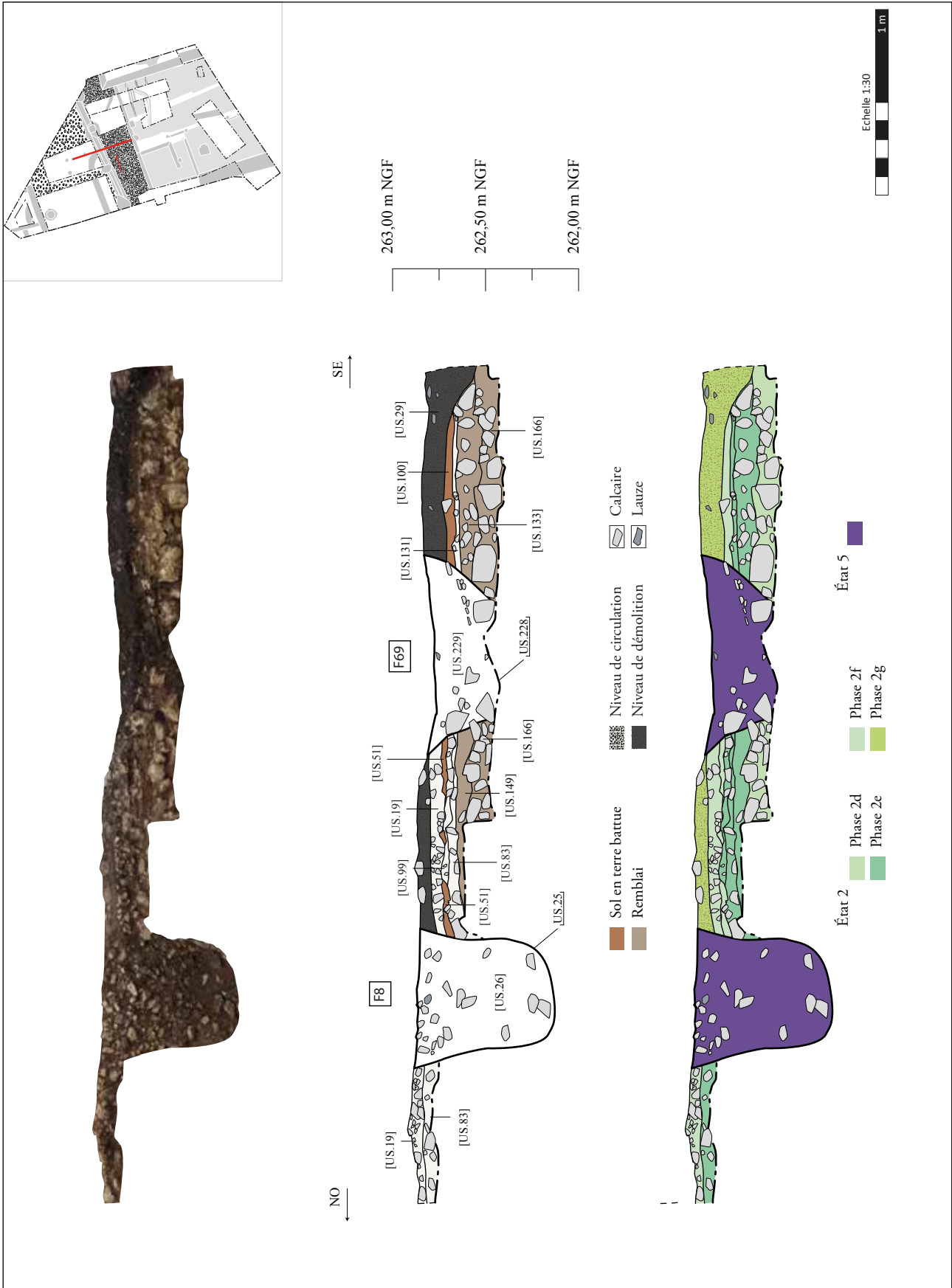


Fig. 130 - Coupe de référence nord/sud des espaces ESP.B4, B5, B6, B7 et B8 (DAO : E. Mathieu. Infographie : M. Rodriguez).



Fig. 131 - Vue oblique depuis l'est de l'US.131.



Fig. 132 - Vue oblique depuis l'est de l'US.263.

clous), 16 tessons de céramique, dix restes de faune ainsi qu'une fibule en alliage cuivreux (inv.570). Cette dernière s'est révélée trop abîmée pour être caractérisée. La datation du mobilier céramique est centrée sur le II^e et le III^e siècle de notre ère. L'US.263 est probablement à considérer soit comme une égalité de l'US.131/235, soit comme une réfection ponctuelle de cette dernière. Apparue à 262,23 m NGF et épaisse d'une vingtaine de centimètre, elle est caractérisée par une mise en œuvre similaire impliquant un cailloutis de blocs de calcaire bruts de petit module maintenus par un mortier de chaux blanc et compact (**Fig. 132**).

La bande de roulement US.131/235 comporte un aménagement (US.232) lui-même constitué d'un alignement de sept blocs de calcaire grossièrement équarris et de module décimétrique (**Fig. 133**). Cet alignement adopte un axe sud-ouest/nord-est identique à celui de la chaussée qu'il paraît diviser en deux parties. La fouille n'a pas permis de préciser davantage sa fonction. Il est possible qu'il s'agisse d'une forme de « balisage » effectivement destinée à scinder la voirie en deux parties distinctes ou, plus prosaïquement, d'un simple affleurement d'apparence linéaire du radier US.133.

L'usage prolongé de cet état de voirie semble avoir conduit à une phase de réfection impliquant la pose d'une nouvelle bande de roulement. L'installation de cette dernière a sans doute été précédée d'une préparation que pourrait illustrer l'US.231, un probable remblai utilisé pour niveler la dépression causée par l'affaissement des niveaux antérieurs dans le caniveau F.38 (**Fig. 133**). Il se présente sous la forme d'un niveau limoneux marron, compact et ho-



Fig. 133 - Vue oblique depuis l'ouest de l'US.232.

mogène associé à de fréquentes inclusions de petits blocs calcaire bruts. Il est épais de 10 cm et est apparu à 262,32 m NGF. Son mobilier est constitué de 37 tessons de céramique, 13 restes de faune ainsi que d'une monnaie (inv.754). La nouvelle bande de roulement (US.83) est caractérisée par un cailloutis de blocs bruts de calcaire lithographique de petit module (5-10 cm de long) pris dans une trame sédimentaire peu dense de limon gris, compact et homogène associé à de fréquents charbons (**Fig. 137**). Elle est apparue à 262,25 m NGF, mesure 8 cm d'épaisseur et a livré 4 tessons de céramique (non datant) ainsi que trois restes d'éléments ferreux (principalement des scories). Cette seconde bande fait elle-même l'objet d'une recharge ultérieure (US.99). Cette dernière est apparue à 262,44 m NGF et mesure entre 6 et 21 cm d'épaisseur. Elle prend la forme d'un niveau de blocs bruts de calcaire lithographique de moyen module

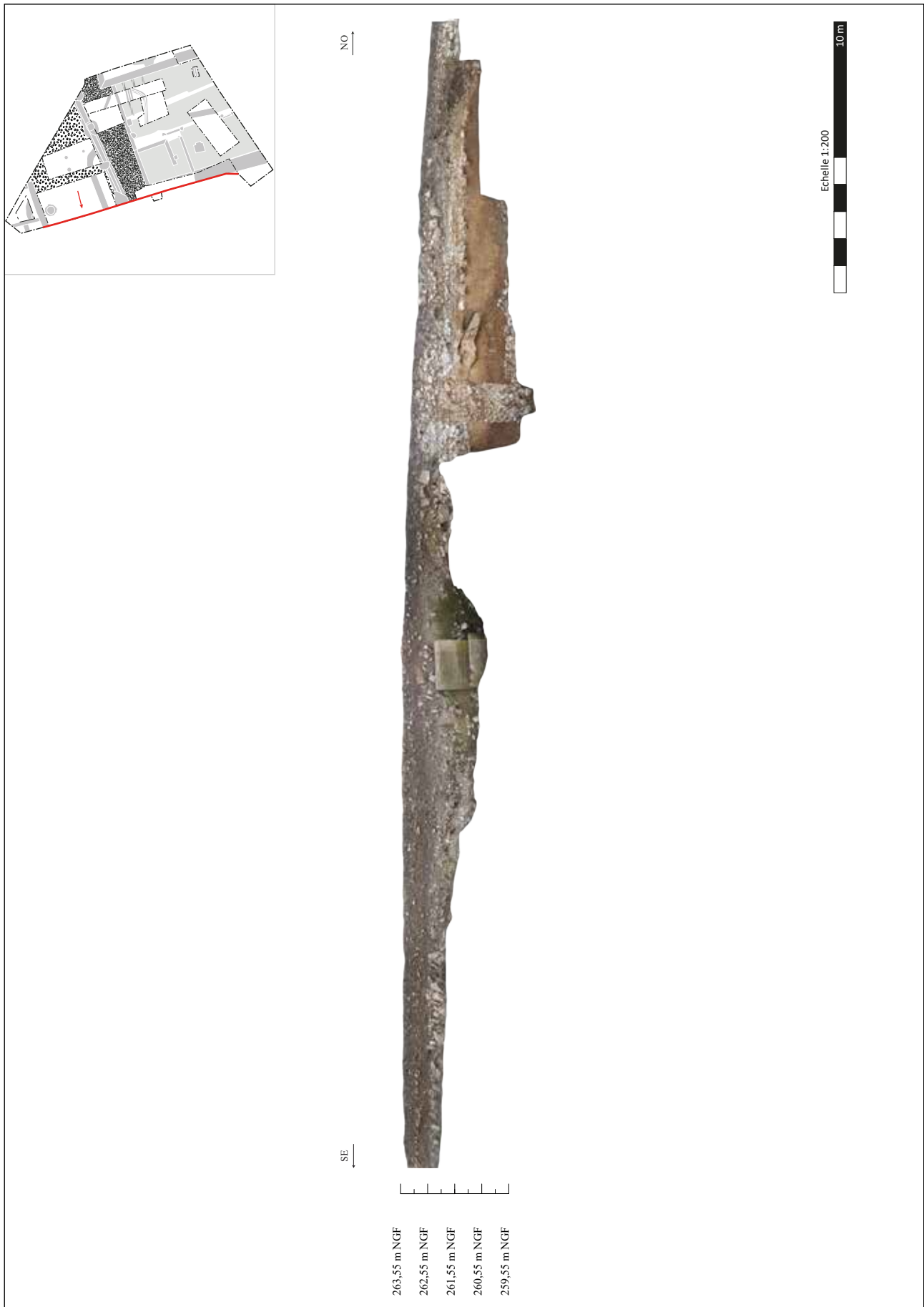


Fig. 134 - Coupe CP.5, 1/3 (Relevé : Q. Bruncher, E. Mathieu, M. Poinignon. DAO : E. Mathieu, M. Setan. Infographie : L. Darmon).

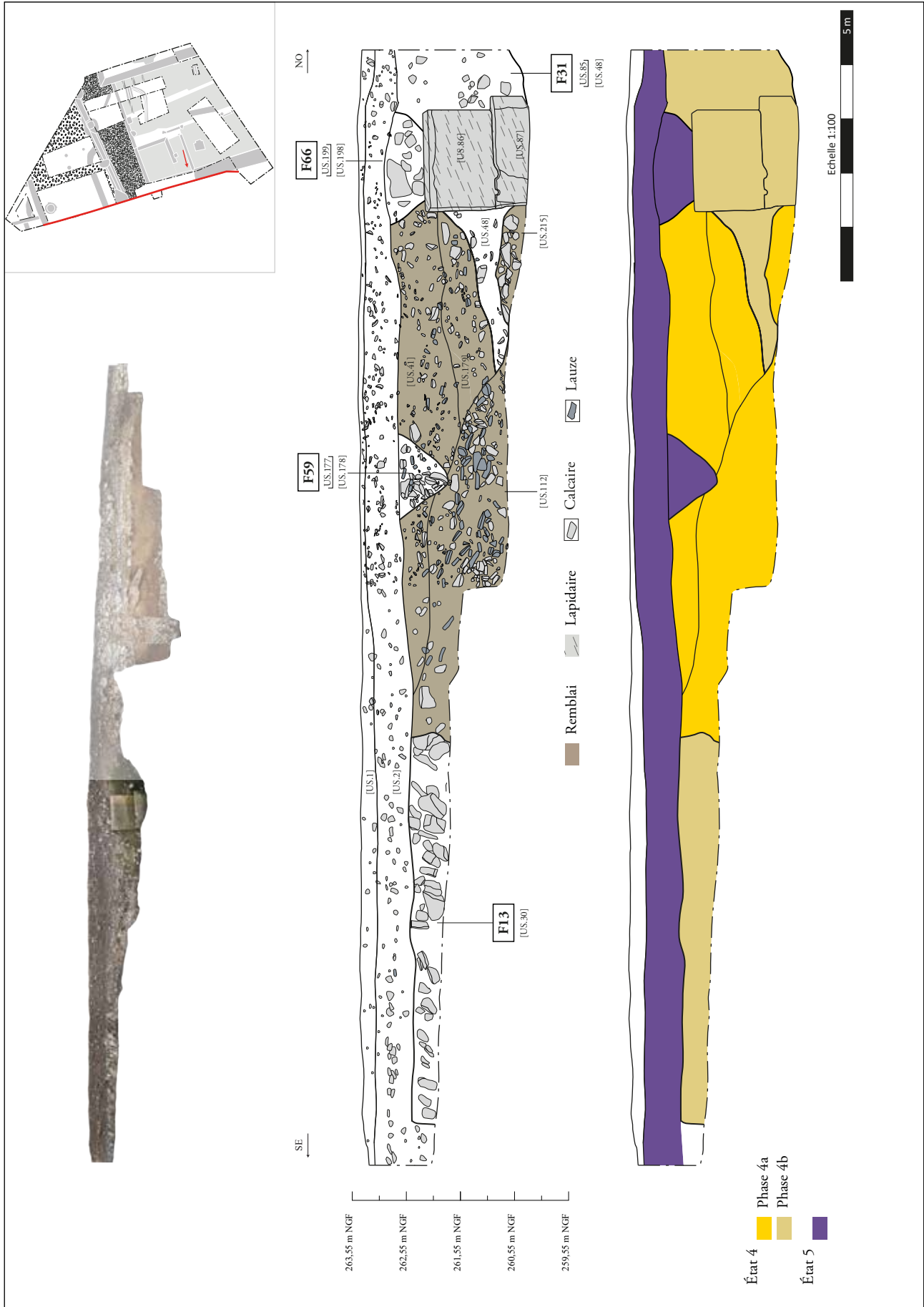


Fig. 135 - Coupe CP.5, 2/3 (Relevé : Q. Bruncher, E. Mathieu, M. Poinignon. DAO : E. Mathieu, M. Setan. Infographie : L. Darmon).

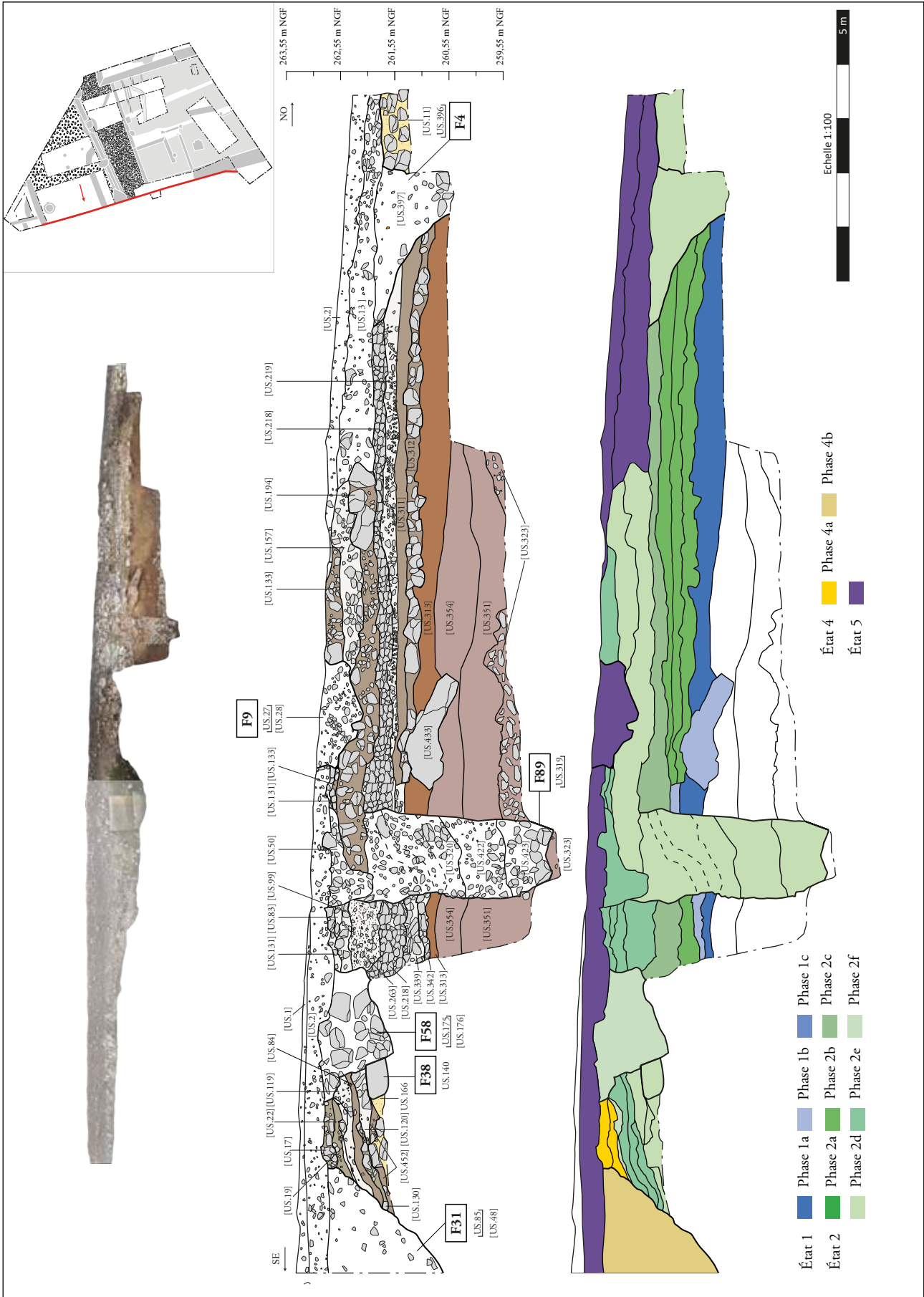


Fig. 136 - Coupe CP.5, 3/3 (Relevé : Q. Bruncher, E. Mathieu, M. Poinsignon. DAO : E. Mathieu, M. Setan. Infographie : L. Darmon).



Fig. 137 - Vue oblique de l'angle sud-ouest de l'espace ESP.B6.

Numéro d'US	Composante principale	Composante secondaire	Dureté	Homogénéité	Couleur	Inclusions	Épaisseur (cm)	Alti. sup. (m NGF)	Alti. inf. (m NGF)
US.84	argile	-	compact	homogène	jaune	-	8	262,40	262,32
US.119	gravier	limon	compact	homogène	jaune	-	5	262,40	262,35

Fig. 138 - Caractéristiques principales des réparations ponctuelles de l'US.131.

(5-15 cm de long en moyenne) pris dans une trame limoneuse grise, peu dense, compacte et homogène. Le mobilier prélevé au cours de sa fouille se compose de 113 tessons de céramique, de 54 restes de faune, et 39 éléments ferreux (clous et scories). La céramique a été datée de la période 50/150 de notre ère.

Plusieurs réfections plus ponctuelles (US.84 et US.119) ont également été observées dans une portion en partie affaissée de l'ensemble ENS.B. Malgré des caractéristiques morphologiques parfois distinctes

(**Fig. 138**), ces dernières présentent des similitudes dans leur altimétrie, leur épaisseur ainsi que leur localisation à proximité de la façade nord de l'ensemble ENS.C. Il est ainsi possible que ces niveaux jouent un rôle dans la circulation piétonne en plus de leur fonction d'entretien. Ils ont livré ensemble 116 tessons de céramique, 119 éléments ferreux (dont deux clous de chaussure), 42 restes de faune, un fragment d'aiguille ou d'épingle en os (inv.408) ainsi qu'une monnaie (inv.433). La céramique située chronologiquement l'US.84 entre 60 et 150 de notre ère.

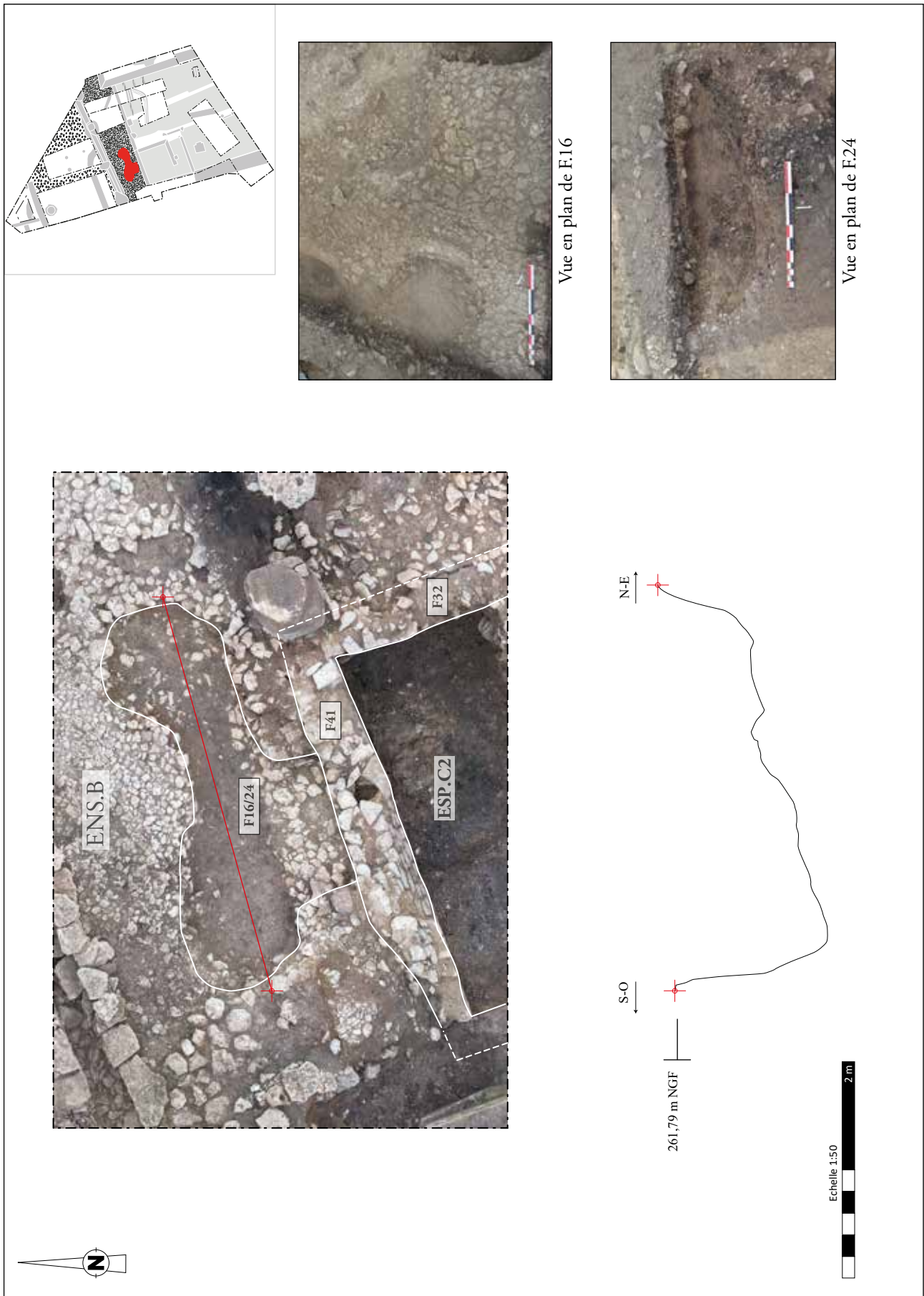


Fig. 139 - Orthophotographie, profil et vues en plan de F.16/24 (Infographie : M. Rodriguez).

- Le creusement F.16/24

Le fait F.16/24 est localisé dans l'angle sud-ouest de l'espace ESP.B6 et face au soupirail du mur F.41. Il s'agit d'un aménagement de plan polylobé, initialement interprété comme deux creusements circulaires (**Fig. 139**). Il mesure 377 cm de longueur pour 168 cm de largeur et mesure jusqu'à 35 cm de profondeur (niveau d'apparition : 261,85 m NGF). Son creusement (US.54) est comblé par un niveau argilo-limoneux marron (US.129), compact, hétérogène et comportant de nombreuses inclusions de blocs calcaire bruts de petit module. Ce comblement a livré 71 tessons de céramique, 25 restes de faune, 19 éléments ferreux (essentiellement des scories et des clous) ainsi qu'un fragment de vaisselle en verre. La céramique a été

datée du I^{er} siècle de notre ère. La phase terrain n'a pas permis de parvenir à une caractérisation fonctionnelle indéniable de cette structure qui, du reste, s'est avérée délicate à traiter en raison de l'affaissement de niveaux postérieurs dans son comblement. Il semble toutefois probable, au vu de sa position, qu'elle entretienne une relation avec l'espace ESP.C2 par le biais du soupirail US.302.

5.4.6. 3.4.6 La phase 2f

La phase 2f est caractérisée par une nouvelle réorganisation de l'ensemble ENS.B. La construction probable d'un portique induit un retour matériel de la bipartition entre une chaussée carrossable (ESP.B7) et un espace de circulation piéton (ESP.B8) (**Fig. 140**).

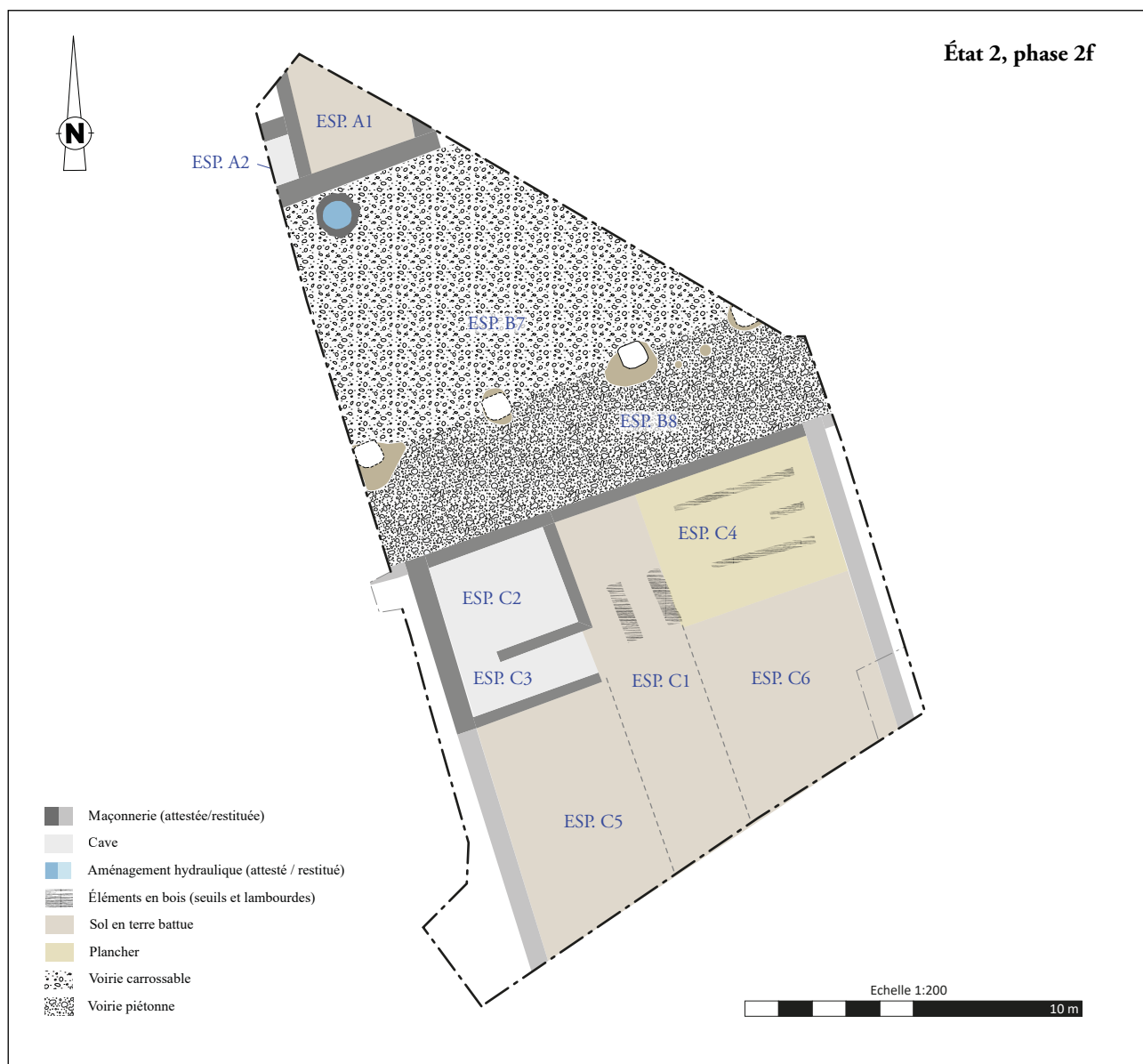


Fig. 140 - Localisation des ensembles de la phase 2f. DAO : M. Rodriguez.

- Le portique

- **La base de colonne F.11**

La structure F.11, apparue à 262,76 m NGF, est installée sur le caniveau F.38, où elle semble profiter d'un aménagement particulier (regard ?) pour renforcer son assise. Son creusement (US.216), possède un plan irrégulier à l'ouverture et apparement caractérisé par des dimensions très importantes (près de 170 cm de longueur). Sa forme et ses dimensions réelles n'ont pu être correctement appréhendées qu'après sa fouille intégrale (**Fig. 141**). De plan ovoïde, cette fosse d'implantation mesure en fait 122 cm de longueur pour 96 cm de largeur (niveau d'apparition : 262,36 m NGF). Elle possède un profil en cuvette irrégulière, profond de 90 cm et comblé par deux niveaux distincts (**Fig. 144**). Le comblement inférieur (US.256), épais de 30 cm, est constitué de blocs bruts de calcaire lithographique de gros module (jusqu'à 40 cm de longueur) pris dans une trame limoneuse brune, peu dense, meuble et homogène. Le comblement supérieur (US.217) est quant à lui épais

de 72 cm. Il se présente sous la forme d'un niveau de blocs bruts de calcaire lithographique de plus petite dimension (15-20 cm de longueur moyenne) pris dans une matrice limoneuse brune, peu dense, meuble et homogène. Le sommet de l'US.217 semble avoir été aménagé pour recevoir l'US.35 (**Fig. 142**). Elle a livré quatorze restes de faune, dix scories ainsi que 31 tessons de céramique, lesquels ont fournis une datation comprise entre 60 et 110 de notre ère.

L'US.256 et l'US.217 semblent jouer le rôle de fondation permettant d'assainir et de stabiliser le sol avant l'installation d'une colonne en pierre dont ne subsiste que la base US.35 (**Fig. 145**). Cette dernière est constitué d'un unique bloc de calcaire oolithique (inv.664) de plan carré qui semble être issu d'un élément plus ancien modifié et retourné (Février 2023 : 202). Cette base (et, par extension, l'intégralité de la colonne) était vraisemblablement enduite d'une couche de mortier de chaux blanc (US.36) dont une partie a été mise au jour effondrée en place (**Fig. 143**).



Fig. 141 - Vue zénithale de la fosse d'implantation de F.11 en fin de fouille.



Fig. 142 - Vue zénithale du sommet de l'US.217.



Fig. 143 - Détails de l'US.36.



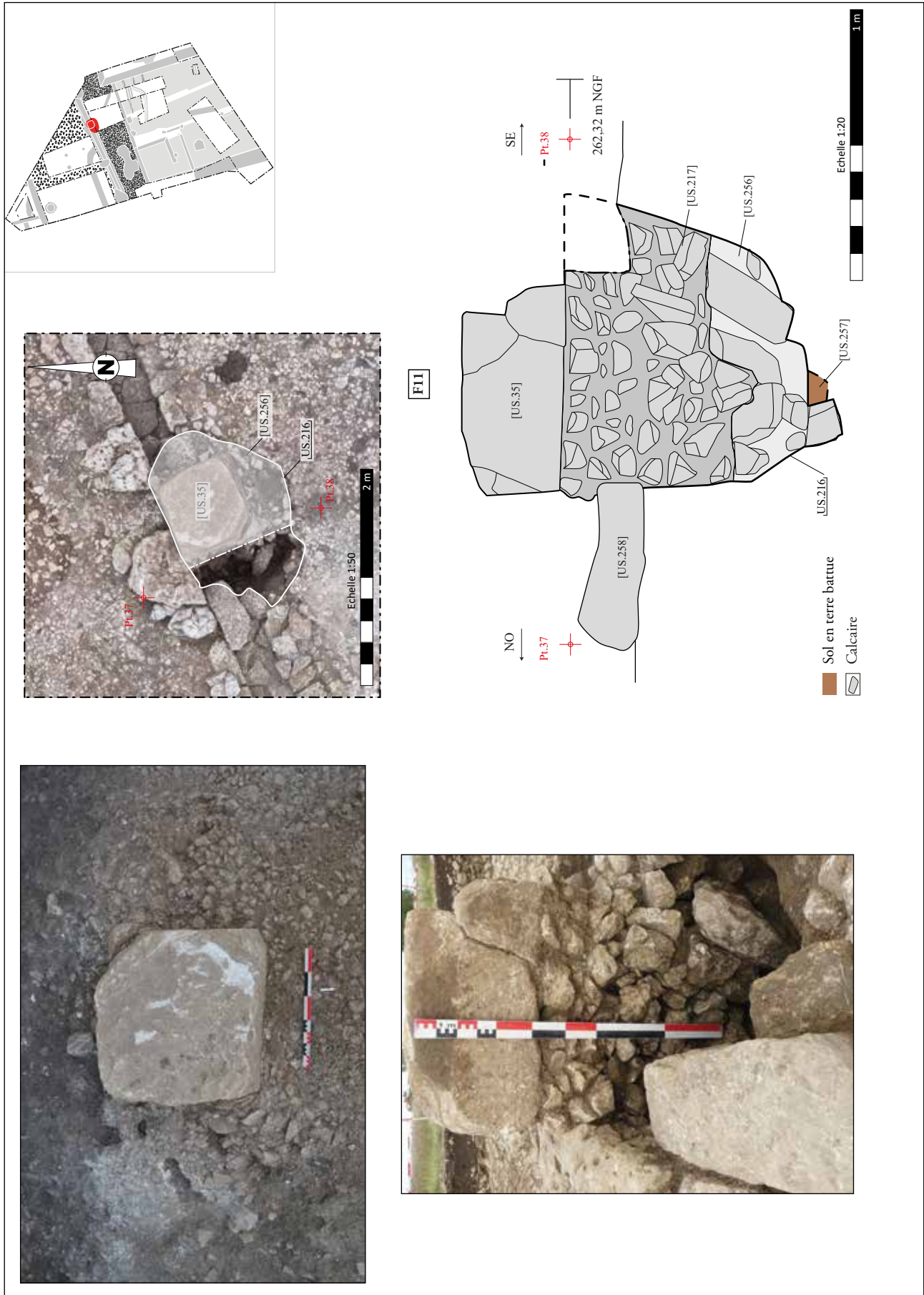


Fig. 144 - Orthophotographie, profil et vues en plan de F.16/24 (Relevé : M. Compère, M. Poinignon. DAO : E. Mathieu. Infographie : M. Rodriguez).

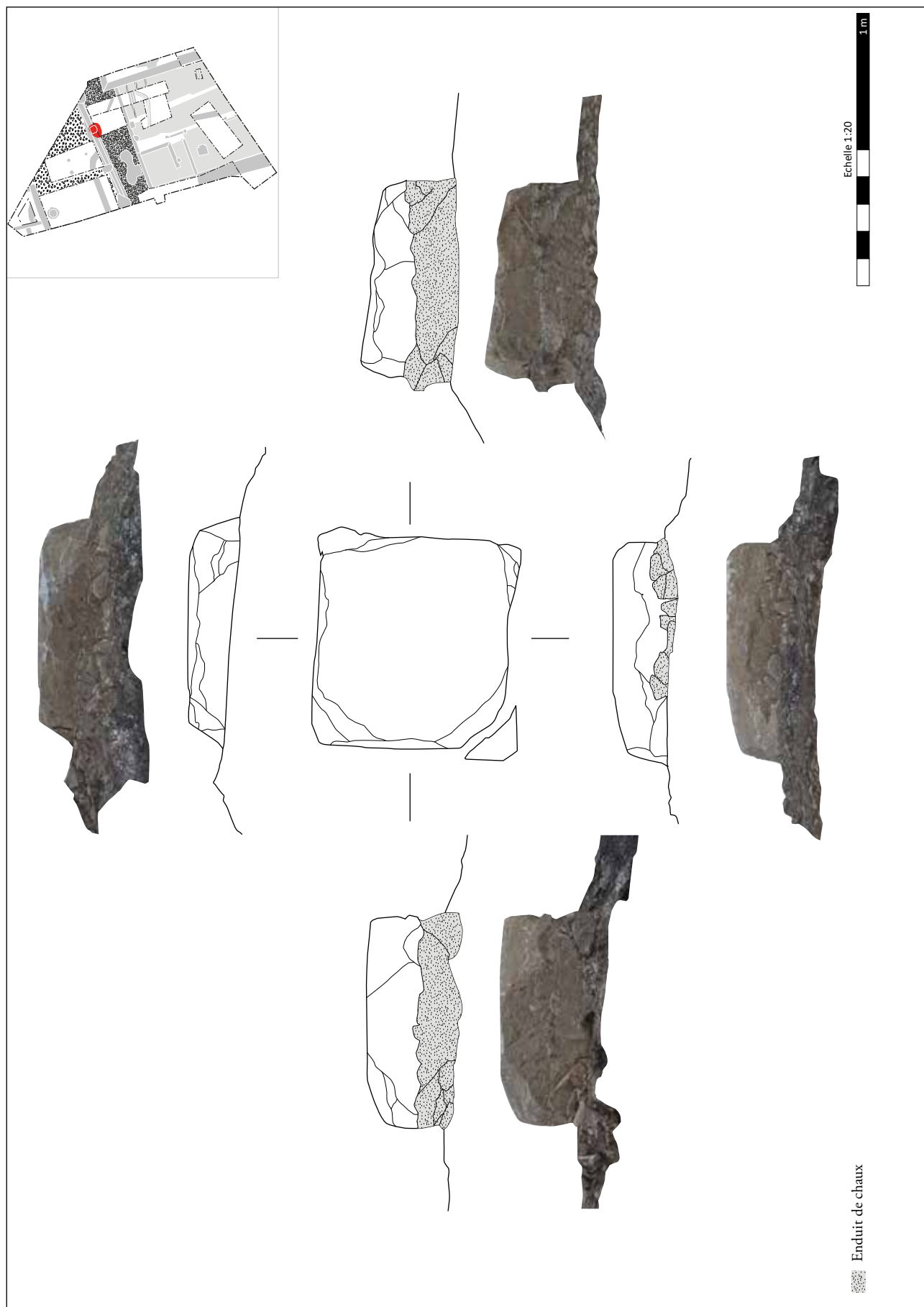


Fig. 145 - Orthophotographies et relevés de l'US.35 de la structure F.11 (DAO : E. Mathieu).

- Les fosses F.29, F.58 et F.75

Les fosses F.29, F.58 et F.75 sont toutes implantées sur le tracé du caniveau F.38 et sont donc situées sur le même axe que la structure F.11 (**Fig. 147**). Malgré certaines irrégularités dans leur plan, ces trois structures présentent des similarités dans leurs caractéristiques métrologiques et altimétriques (**Fig. 146**). Leur comblement, observé ou attesté, est strictement identique. Il s'agit dans les trois cas d'un niveau de limon brun ou gris, meuble, homogène, comprenant de nombreux blocs bruts de calcaire lithographique de module hétérométrique associé à de plus rares fragments de dalles en calcaire oolithique. Le comblement de F.29 (la seule des trois fosses à avoir été fouillée à 100%) a également livré des nodules de terre cuite ainsi qu'un fragment de mortier de tuileau. Ces éléments viennent s'ajouter à un mobilier constitué de cinq restes de déchets ferreux, de cinq restes de faune ainsi que de quatre tessons datés du I^{er}-II^e siècle de notre ère. Il semble probable que ces trois structures, dont le creusement est comparable à celui de F.11, soient à considérer comme des fosses de récupération.

L'observation planimétrique de ces quatre structures partageant le même axe montre un écartement régulier avec un entraxe moyen de 4,25 m. Cette régularité, ainsi que les similitudes mentionnées ci-dessus, tendent à indiquer que ces aménagements participent à un même ensemble. La présence de la base de colonne de F.11 suggère que cet ensemble a pu avoir une fonction de portique.

- L'espace ESP.B8

Durant la phase 2f, l'espace ESP.B8 occupe la moitié sud de l'ensemble ENS.B. Il se déploie entre le portique et la façade nord de l'ensemble ENS.C. Il a été observé sur une longueur de 14 m et mesure 3,25 m de largeur, ce qui représente une superficie observée de 45,5 m². Sa mise en œuvre semble impliquer une vocation de circulation piétonne.

- Le niveau de circulation US.51/100

Le niveau de circulation US.51/100 semble recouvrir une grande partie, si ce n'est la totalité, de l'espace ESP.B8 (niveau d'apparition : 262,75 m NGF). Il est installé sans préparation sur la dernière bande de roulement de F.44 (US.131) et ses réfections (US.84) (**Fig. 148** et **Fig. 149**). Il s'agit d'une couche d'argile et/ou de limon sableux jaune, compacte, hétérogène et associée à de rares charbons. Son épaisseur varie de 4 à 10 cm (**Fig. 130** et **Fig. 150**). Le mobilier prélevé durant la fouille des reliquats de l'US.51/100 est particulièrement abondant. Il est constitué de 139 tessons de céramique, de 144 restes de faune, de 112 restes d'éléments ferreux (dont plusieurs clous de chaussure), de quatre fragments de vaisselle en verre ainsi que de sept éléments en alliage cuivreux. Ce dernier groupe matériau comporte notamment une monnaie (inv.392), une fibule (inv.424) et une applique fragmentaire (inv.391). L'analyse des différents éléments datant semble particulièrement cohérente :

l- a céramique suggère une plage chronologique comprise entre 50 et 120 de notre ère ;

l- a fibule (type Gaspar 30) suggère une chronologie comprise entre la période claudio-néronienne et la première moitié du II^e siècle de notre ère ;

- la monnaie est un as néronien émis à partir de 42 de notre ère.

- Les trous de poteau F.72 et F.73

Les trous de poteaux F.72 et F.73 n'ont été observés qu'à partir des niveaux de circulation appartenant au fait F.54 (voir supra). Il apparaissait toutefois probable, dès la phase de terrain, que ces structures soient postérieures à la phase 2d. Cette probabilité a été renforcée par l'observation attentive des orthophotographies des niveaux de circulation de la phase 2f. Leur rattachement à cette phase conserve toutefois un caractère hypothétique.

Numéro de fait	Plan	Profil	Dimensions (cm)	Profondeur (cm)	Alti. sup. (m NGF)	Alti. inf. (m NGF)
F.11	ovalaire	cuvette	122x96	90	262,36	261,58
F.29	ovalaire	cuvette	140x135	54	262,32	261,78
F.58	ovalaire	U	100x80	60	262,30	261,70
F.75	ovalaire ?	indéterminé	120x60 (observé)	25 (observée)	262,21	261,96

Fig. 146 - Caractéristiques principales des structures F.11, F.29, F.58 et F.75.

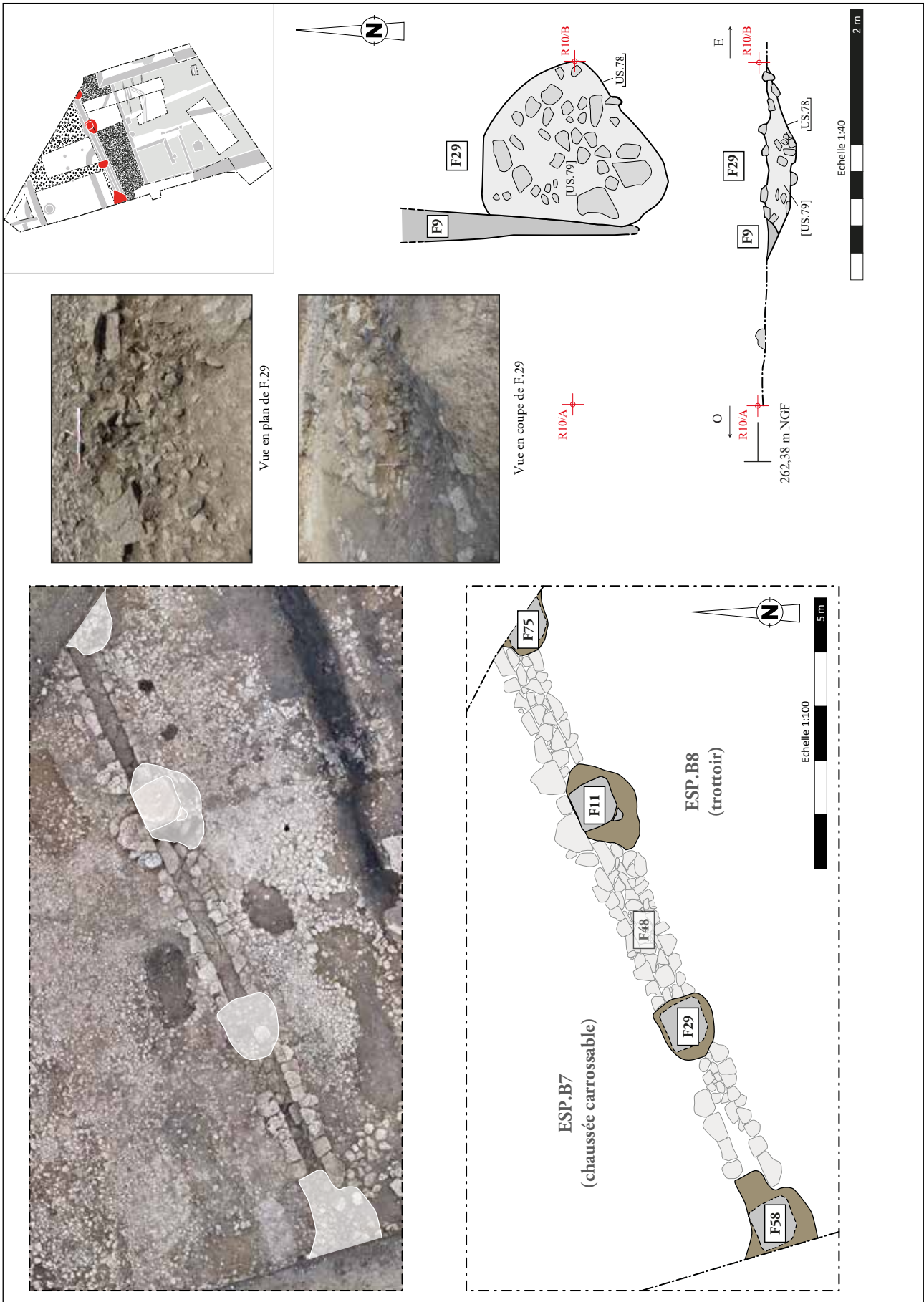


Fig. 147 - Orthophotographie interprétée de F.11, F.29, F.58 et F.75 (gauche) ainsi que relevés et photographies de F.29 (droite) (Relevé : J. Véber, M. Poinignon, B. Salles. DAO : E. Mathieu. Infographie : E. Mathieu, M. Rodriguez).

Ils se présentent sous la forme de creusements de petite dimensions situés dans la partie orientale de l'espace ESP.B7, à proximité immédiate de la structure F.11 (**Fig. 151**). Le creusement du trou de poteau F.72 (niveau d'apparition observé : 262,13 m NGF) est de plan sub-circulaire et mesure 32 cm de longueur



Fig. 148 - Vue zénithale de l'US.51 et de l'US.84 depuis le sud.



Fig. 149 - Vue oblique de l'US.100 et de l'US.83 depuis l'est.

pour 26 cm de largeur. Celui de F.73 (niveau d'apparition observé : 262,09 m NGF) est de plan circulaire et mesure 28 cm de diamètre. Leur profil, en forme de cuvette, est respectivement profond de 12,5 et de 25 cm. Il est comblé par un niveau unique limoneux ou argilo-limoneux assez meuble, homogène et comprenant des inclusions de cailloutis ainsi que de fréquents charbons. Seul F.73 a livré du mobilier, constitué de deux restes de faune ainsi que de trois scories. Le comblement de F.72 a cependant livré une quantité notable de graines, lesquelles ont justifié la réalisation d'un prélèvement (PR.20) en vue d'une étude carpologique.

- L'espace ESP.B7

L'espace ESP.B7 occupe la moitié nord de l'ensemble ENS.B. Il a été observé sur une longueur de 12,3 m et mesure 8 m de largeur, ce qui représente une superficie observée d'environ 98 m².

La chaussée F.27, apparue à 262,71 m NGF, semble occuper la totalité de l'espace ESP.B7 et au moins une partie de l'espace ESP.B8. À l'inverse de ses prédécesseuses, son installation ne débute pas par la pose d'un radier et/ou d'un niveau de préparation. Elle semble au contraire se limiter à l'aménagement de la bande de roulement US.19 (niveau d'apparition : 262,65 m NGF), laquelle paraît intervenir immédiatement après la pose des niveaux de circulation piéton US.51/100 qu'elle paraît recouvrir en partie (**Fig. 130** et **Fig. 150**). Elle recouvre de même le comblement de la fosse d'implantation de F.11. Très inégalement conservée, l'US.19 est composée d'un cailloutis damé, épais de 9 cm et maintenu par une matrice limoneuse grise, homogène et compacte. Les éléments constitutifs du cailloutis sont des blocs bruts de calcaire lithographique de petit module (env. 5 cm de longueur). Leurs arêtes sont faiblement émoussées, ce qui pourrait supposer une circulation peu intense ou limitée dans la durée (**Fig. 152**). Le mobilier issu de cette bande de roulement se limite à trois tessons de céramique (datation peu précise), quatre restes de faune et six clous. L'US.19 semble avoir été, au moins ponctuellement, rechargée ou réparée par l'US.16. Apparue à 262,71 m NGF, cette dernière est constituée d'un cailloutis de fragments hétérométriques de dalles de lauze associés à de rares blocs bruts de calcaire lithographique de petit module (env. 5 cm de longueur) pris dans une matrice limoneuse brune, peu dense, compacte et homogène (**Fig. 153**). Elle n'a pas livré de mobilier.



Fig. 150 - Coupe de référence sud/nord des espaces ESP.B4, B5, B6, B7 et B8 (DAO : E. Mathieu. Infographie : M. Rodriguez).

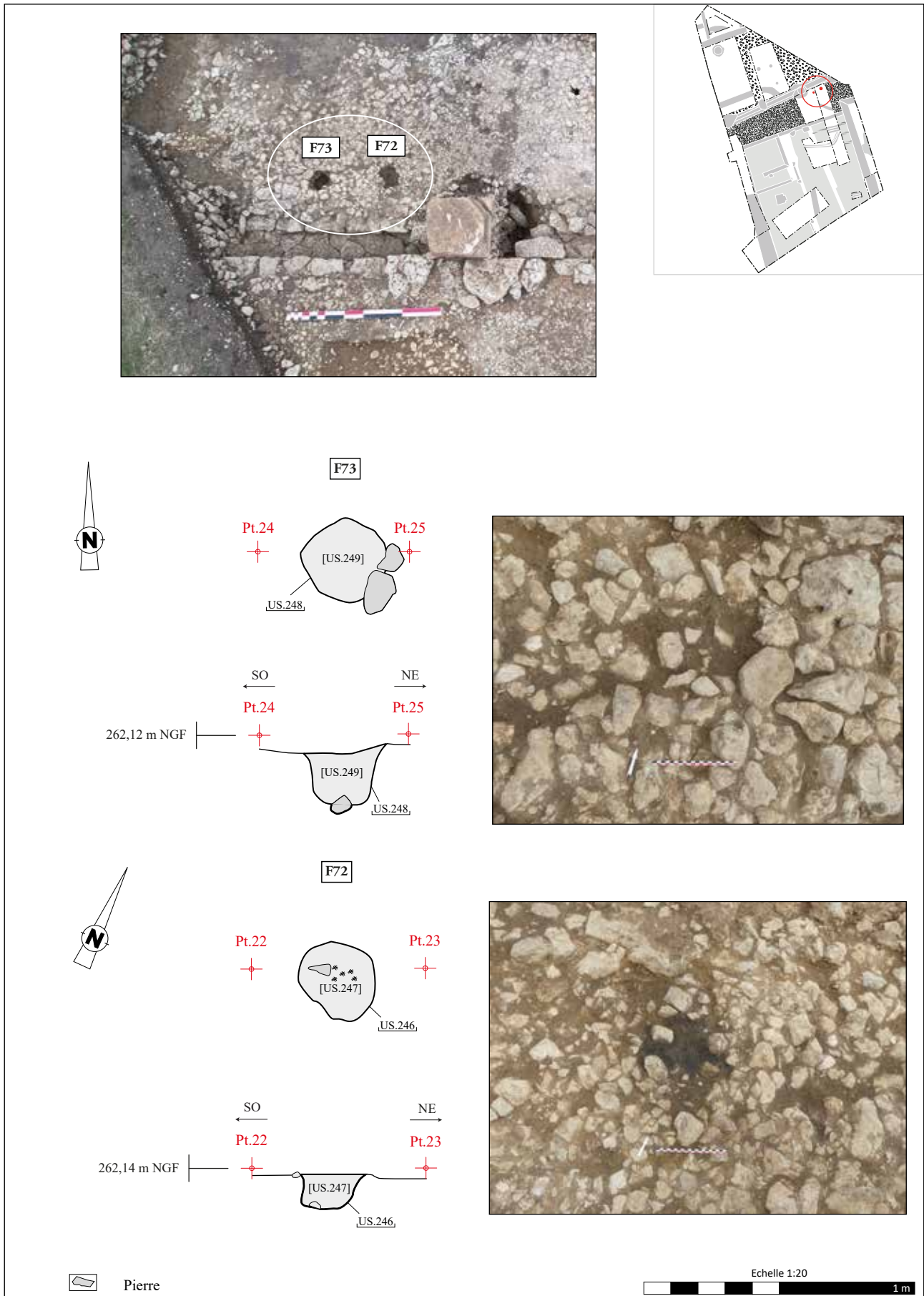


Fig. 151 - Relevés et photographies des trous de poteau F.72 et F.73 (Relevés : M. Aubry, L. Guyonvarc'h, A. Franchini. DAO : E. Mathieu. Infographie : M. Rodriguez).



Fig. 152 - Détail de l'US.19 dans l'espace ESP.B7.



Fig. 153 - Détail de l'US.16 au niveau de la colonne F.11.



Fig. 154 - Détail du niveau d'incendie US.29 recouvrant la bande de roulement US.19.

5.4.7. 3.4.7 La phase 2g

Le fait F.125 rassemble les niveaux d'incendie et de démolition observés dans plusieurs secteurs de l'emprise de fouille. Malgré certaines différences morphologiques qui renvoient sans doute à particularités micro-locales, il apparaît hautement probable que ces niveaux renvoient à un événement commun marquant la fin de cet état d'occupation.

Le niveau d'incendie US.29 a été observé dans l'ensemble ENS.B, et plus particulièrement sur l'emprise de l'espace de circulation piétonne. Il s'agit d'une couche limoneuse noire, compacte et homogène comportant une grande quantité de charbons (**Fig. 130**, **Fig. 150** et **Fig. 154**). Elle est apparue à 262,65 m NGF et mesure jusqu'à 15 cm d'épaisseur. L'US.29 a livré un mobilier abondant constitué de 93 tessons de céramique, de 42 restes de faune, de 86 éléments ferreux, un élément indéterminé en alliage cuivreux ainsi qu'une monnaie non identifiée (inv.703) et une perle en verre (inv.336). L'étude céramique de cette série a fourni un TPQ situé à 60/150 de notre ère. À ces premiers éléments viennent s'ajouter de nombreux matériaux de construction dont des fragments de mortier, d'enduits peints ainsi que des nodules de torchis rubéfié. Par ailleurs, une quantité considérable de graines carbonisées a été observée et prélevée (PR.18) lors du dégagement de ce niveau.

Au niveau de la structure F.11, l'US.29 est recouverte par l'US.37. Cette dernière a été observée, avec un niveau de conservation inégale, sur un périmètre d'environ 1 m autour de la base monolithe US.35 (**Fig. 155**). Elle est apparue à 262,63 m NGF, mesure jusqu'à 8 cm d'épaisseur et se présente comme une trame sédimentaire limoneuse grise peu dense associée à de très nombreux fragments de mortier de chaux blanc et friable. Ces derniers semblent parfaitement similaires à l'US.36 (enduit de chaux recouvrant l'US.35). Il apparaît probable que l'US.37 soit le reliquat effondré de l'enduit recouvrant la colonne F.11 lorsque celle-ci était en élévation.

Le niveau d'incendie US.46/295 a été observé à l'intérieur de l'ensemble ENS.C, et notamment au niveau des espace ESP.C1 et ESP.C4, où les éléments en bois carbonisés appartenant à F.60, F.67 et F.85 ainsi qu'à la sablière F.112 et le plancher F.43 témoignent également d'un passage au feu (**Fig. 156** et **Fig. 157**). Il constitue très probablement une équivalence de l'US.29 dont il reprend les principales caractéristiques. Apparue à 262,18 m NGF et épaisse d'environ 10 cm, l'US.46/295 est un niveau limoneux noire,

plutôt meuble et homogène, associé à de très nombreux charbons et matériaux de construction (notamment des fragments d'enduits peints et des nodules de torchis rubéfiés) (**Fig. 158**). Le mobilier prélevé est à nouveau abondant. Il est constitué de 29 tessons de céramique, de 35 restes de faune, de 60 éléments ferreux, de trois restes indéterminés en alliage cuivreux ainsi que d'un fragment de vaisselle en verre, d'une épingle en os (inv.316) et d'une monnaie (inv. 211). Cette dernière a été identifiée comme un as de Trajan et a été émise à partir de 99-100 de notre ère. La datation du mobilier céramique, centrée sur la première moitié du II^e siècle de notre ère, confirme cette assertion chronologique.

Les niveaux d'incendie US.126 et US.379 ont été observés sur la totalité de l'escalier F.103 dans l'espace ESP.C3. Bien qu'il s'agisse probablement de couches à la fois équivalentes entre elles et équivalentes à l'US.46/295, leur fouille a révélé des différences qui pourraient être liées à la nature des aménagements impactés par l'incendie. L'US.126 (niveau d'apparition : 261,81 m NGF) est un niveau sablo-limoneux

noir, meuble et homogène. Il mesure jusqu'à 17 cm d'épaisseur et a été initialement observé au niveau du palier supérieur de l'escalier F.103 (**Fig. 159**). Outre 27 éléments ferreux, et cinq restes de faune, ce niveau a livré une quantité non négligeable de fragments d'enduits peints polychromes (**Fig. 160**)



Fig. 157 - Vue d'ensemble de l'US.46 dans l'espace ESP.C4 en cours de fouille.



Fig. 155 - Vue d'ensemble du niveau de démolition US.37.



Fig. 156 - Vue d'ensemble de l'US.46 dans l'espace ESP.C1 en cours de fouille.

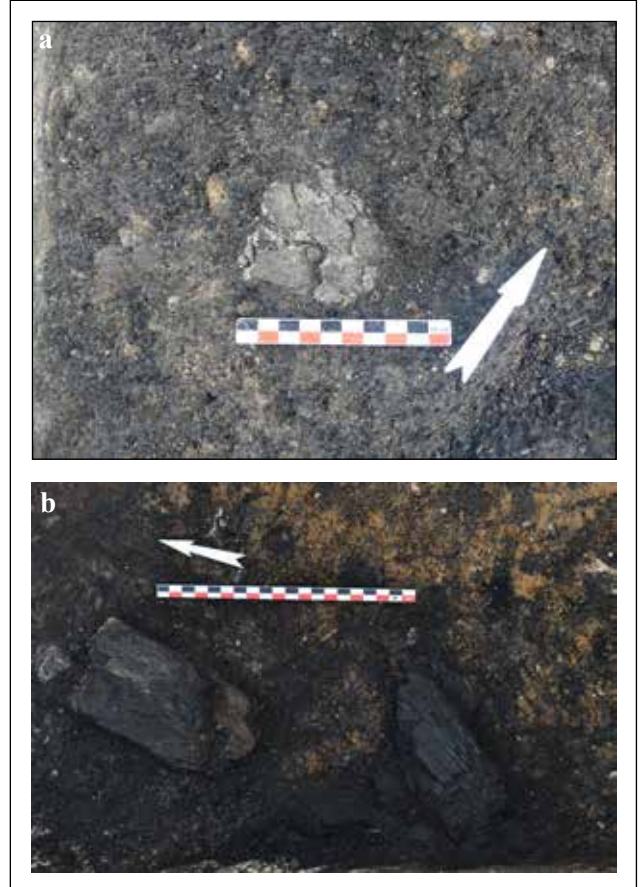


Fig. 158 - Détails de l'US.46 : fragment d'enduit peint (a) et élément en bois carbonisé (b).

L'US.379 possède une matrice sédimentaire comparable. Elle est constituée d'une trame limono-sableuse noire, épaisse de 14 cm, meuble, homogène et très charbonneuse (niveau d'apparition : 261,36 m NGF) (**Fig. 93**). Elle n'a cependant livré aucune inclusion de mortier ou de torchis, ni aucun enduits, graviers ou blocs. Cette absence d'éléments de démolition, très présents dans les niveaux décrits ci-dessus, pourrait indiquer que l'US.379 a été uniquement formée par la combustion d'éléments en bois (le coffrage des marches de l'escalier ?). Le mobilier prélevé est toutefois aussi abondant que précédemment. Il se compose de 96 restes de céramique, neuf restes de faune et sept éléments ferreux. Ce lot de céramique n'a pas encore été étudié.

Le niveau d'incendie US.325 a été observé sur la totalité de la surface de l'espace excavé ESP.C2, où le passage du feu est également perceptible grâce à la combustion du coffrage US.306 de la niche du mur F.32 et à l'éclatement des amphores US.398. Il semble également venir combler en partie les drains F.86, F.87 et F.111 (**Fig. 89**). Cette couche de démolition, épaisse de 12 cm, est de nature comparable à ses équivalents mentionnés supra : elle est caractérisée par une trame sablo-limoneuse grise foncée à noire, meuble, homogène et très charbonneuse (niveau d'apparition : 260,18 m NGF). Elle a livré 28 tessons de céramique (encore non étudiés) ainsi qu'un fragment de vaisselle en verre.

Deux niveaux liés à la phase 2g et correspondant à l'espace ESP.C5 ont pu être observés dans les coupes du sondage SD.24 (**Fig. 20** et **Fig. 21**). La plus ancienne de ces deux couches est l'US. 442/482 (niveau d'apparition : 262,03 m NGF). Il s'agit d'un niveau d'incendie, épais de 2 à 9 cm constitué de sable limoneux noir, meuble, homogène, très charbonneux et associé à des inclusions de torchis. Sa fouille en coupe n'a pas conduit au prélèvement de mobilier. Cette première couche est recouverte par l'US.432/496 (niveau d'apparition : 262,07 m NGF). Il s'agit vraisemblablement d'un niveau de démolition formé consécutivement à l'incendie. Épais de 4 à 22 cm, il est constitué de limon et d'argile gris, meuble et hétérogène. Il paraît contenir une quantité importante de matériaux de démolition : nodules de torchis rubéfiés, fragments de mortiers, charbons et blocs de calcaire de module hétérométrique. Le mobilier issu de ce niveau se compose de 68 tessons de céramique (encore non étudiés,

de trois restes de faune ainsi que 5 éléments ferreux (dont un gond (inv.1449)). L'absence de visibilité en plan n'a pas permis de déterminer si l'US.432/496 constitue une démolition en place scellant l'état 2 ou un remblai chargé en matériau de démolitions inaugurant l'état 3.

Bien qu'aucun niveau d'incendie ou de démolition n'ait été identifié dans l'emprise de l'espace ESP.C6, plusieurs traces de rubéfaction ont été observées sur la surface du sol US.127 (**Fig. 161**). Ces dernières constituent un probable nouveau témoignage de l'incendie documenté dans l'ensemble ENS.B et dans le reste de l'ensemble ENS.C. Elles indiquent également que cet événement a sans doute impacté l'ensemble ENS.C de manière différenciée.



Fig. 159 - Vue zénithale de l'US.126 sur le palier supérieur de l'escalier F.103.



Fig. 160 - Détail de l'US.126.



Fig. 161 - Détail des traces de rubéfaction sur l'US.127.

5.5. L'état 3

5.5.1. La phase 3a

- Les structures de spoliation

Plusieurs indices laissent à penser que l'incendie de la phase 2g est suivi d'une phase de récupération de matériaux architecturaux dont l'importance est difficile à estimer. Cette activité de spoliation est très probablement à l'origine de la récupération des éléments de colonne appartenant aux structures F.29, F.58 et F.75. Il est également possible que la récupération partielle du drain F.78 intervienne durant cette phase, de même que le creusement de la structure F.79 (Fig. 162). Cette dernière se présente sous la forme d'une fosse de plan sub-circulaire irrégulier, longue de 118 cm pour 90 cm de large (niveau d'apparition : 232,35 m NGF). Son comblement (US.280) a livré une quantité notable de matériaux de démolition (nodules de torchis, fragments de dalles de lauze, blocs de calcaire et charbons).

- Les remblais

- **L'ensemble ENS.B**

L'US.22 et l'US.56 sont les seuls remblais de la phase 3a mis au jour dans l'emprise de l'ensemble ENS.B. Ils présentent la particularité d'être constitués d'une concentration particulièrement importante de ma-



Fig. 162 - Vue en plan (a) et en coupe (b) de la fosse de récupération F.79.

tériaux de démolition. Ils sont ainsi potentiellement porteurs d'informations relatives à la mise en œuvre architecturale des secteurs qu'ils recouvrent.

L'US.22 a été observée dans la partie orientale de l'ancien espace ESP.B8, où elle vient recouvrir le niveau d'incendie US.29 (**Fig. 163**). Elle est visible sur une largeur d'environ 3,30 m le long du mur F.41 et pourrait correspondre à une paroi effondrée ou volontairement abattue en matériaux périssables. Elle se présente sous la forme d'un niveau limono-sableux brun-gris compact, homogène et associé à importante concentration de nodules de torchis rubéfié. Elle est apparue à 262,62 m NGF et est épaisse d'une dizaine de centimètres. L'US.22 a livré un mobilier abondant constitué de 208 tessons de céramiques, de 257 restes de faune, de deux éléments indéterminés en alliage cuivreux, de 36 éléments ferreux (dont plusieurs clous de chaussure) ainsi que d'un fragment de meule (inv.210) et d'un bloc architectural (inv.282).



Fig. 163 - Vue oblique du remblai US.22 sur le niveau d'incendie US.29.



Fig. 164 - Vue oblique du remblai US.56 sur le niveau d'incendie US.29.

La datation du mobilier céramique est centrée sur le III^e siècle de notre ère, ce qui pourrait impliquer que l'US.22 est assez largement remaniée et/ou qu'elle inclut du mobilier d'origine intrusive.

L'US.56 a été observée dans la partie occidentale de l'ancien espace ESP.B8, où elle vient recouvrir le niveau d'incendie US.29 sur une longueur d'environ 7 m et une épaisseur de 30 cm. Elle semble uniquement présente le long de la sablière F.112 (**Fig. 164**). Elle est constituée de blocs bruts ou grossièrement équarris de calcaire marneux, de moyen module (10-30 cm de longueur) pris dans une matrice limoneuse grise, homogène, indurée et particulièrement riche en nodules de mortier de chaux (niveau d'apparition : 262,50 m NGF). Elle a livré un mobilier constitué de 53 tessons de céramique, de deux restes de faune ainsi que de huit clous. La datation du mobilier céramique de l'US.56 a donné une plage assez large centrée sur le II^e et le III^e siècle de notre ère.

- L'ensemble ENS.C

Le remblaiement F.129 recouvre la partie nord-ouest de l'ensemble ENS.C, où il vient en partie combler la dépression formée par l'affaissement de l'espace ESP.C1 (**Fig. 66**) et celle, beaucoup plus marquée, de la pièce de façade ESP.C4. Il est constitué de six niveaux : l'US.91, l'US.122, l'US.124, l'US.174/201, l'US.208 et l'US.210/214.

Bien que présentant des différences morphologiques et métrologiques certaines (**Fig. 165**), ces derniers appartiennent sans doute à la même séquence de sédimentation dont ils constituent simplement des litages distincts. Le remblaiement ainsi formé atteint une épaisseur maximale de 74 cm (niveau d'apparition supérieur : 262,32 m NGF). Il a livré un mobilier abondant constitué de 151 tessons de céramique, 56 restes de faune, 67 éléments ferreux (essentiellement des pièces de quincaillerie), trois fragments de vaisselle en verre, un élément indéterminé en alliage cuivreux ainsi qu'une perle (inv.1069) et une monnaie (inv.597) issus du même matériau. À ces premiers éléments viennent s'ajouter une quantité considérable de matériaux de démolition dont de nombreux nodules de torchis rubéfié, des fragments d'enduits peints et deux blocs architecturaux (inv.1085 et inv.1099). La monnaie, un sesterce de Trajan, a été émise à partir de 114-117 de notre ère. Ce TPQ semble cohérent avec la datation du mobilier céramique, lequel situe la formation de F.129 entre 100 et 150 de notre ère.

N° d'US	Composante principale	Composante secondaire	Dureté	Homogénéité	Couleur	Inclusions	Épaisseur (cm)	Alti. sup. (m NGF)	Alti. inf. (m NGF)
US.91	limon	argile	meuble	homogène	brun	blocs calcaire	9	261,67	261,58
US.122	limon	sable	meuble	homogène	gris	charbons fréquents ; blocs calcaire	11	262,20	262,09
US.124	argile	limon	meuble	hétérogène	marron	charbons fréquents ; blocs calcaire	6	261,87	261,81
US.174/201	limon	sable	meuble	hétérogène	gris	charbons fréquents	16	262,07	261,86
US.208	limon	-	compact	homogène	brun	-	11	262,32	262,21
US.210/214	argile	blocs	compact	hétérogène	brun	charbons fréquents	22	262,26	262,04

Fig. 165 - Caractéristiques principales du remblaiement F.129.

N° d'US	Composante principale	Composante secondaire	Dureté	Homogénéité	Couleur	Inclusions	Épaisseur (cm)	Alti. sup. (m NGF)	Alti. inf. (m NGF)
US.105	limon	sable	meuble	hétérogène	brun-gris	charbons fréquents	35	262,12	261,77
US.259	blocs	argile	meuble	hétérogène	marron	rare charbons	54	260,71	260,17
US.260	argile	sable	compact	hétérogène	gris	charbons fréquents ; blocs calcaire	44	260,27	259,83
US.261	argile	sable	compact	hétérogène	gris	charbons fréquents	9	260,27	260,18
US.378/420	limon	sable	meuble	hétérogène	marron	charbons fréquents ; nodules de torchis ; blocs calcaire	86	261,59	259,64

Fig. 166 - Caractéristiques principales du remblaiement F.100.

L'installation du remblaiement F.100 semble répondre à la volonté claire de combler l'ancien espace excavé ESP.C2 ainsi que son accès ESP.C3. Il est constitué de cinq niveaux : l'US.105, l'US.259, l'US.260, l'US.261 et l'US.378/420 (Fig. 89 et Fig. 93).

Il semble à nouveau logique de considérer ces différentes couches comme des litages distincts participant à un même événement (Fig. 166). Le comblement de ces deux espaces excavés a nécessité un apport de matériaux particulièrement important. L'épaisseur totale de F.100, apparue à 262,12 m NGF, avoisine ainsi 2,50 m. Bien que son contexte de dépôt explique la présence d'une grande quantité de matériaux architecturaux, il semble probable, *a minima* pour l'espace ESP.C2, qu'une partie de ces matériaux provienne d'un effondrement local, voire peut-être de la pièce située au-dessus. Ce type d'effondrement pourrait, notamment, justifier la présence de vases archéologiquement intacts dans des niveaux postérieurs à aux couches d'occupation et d'incendie de ces deux espaces (Fig. 167). Il pourrait de même expliquer l'impressionnante quantité de mobilier prélevé dans ces niveaux : 1182 tessons de céramique, 181 éléments ferreux, 58 restes de faune et sept fragments de vaisselle en verre. Plusieurs objets remarquables s'ajoutent à ces éléments plus communs. On peut ainsi mentionner la présence d'une épingle en os (inv.1388),

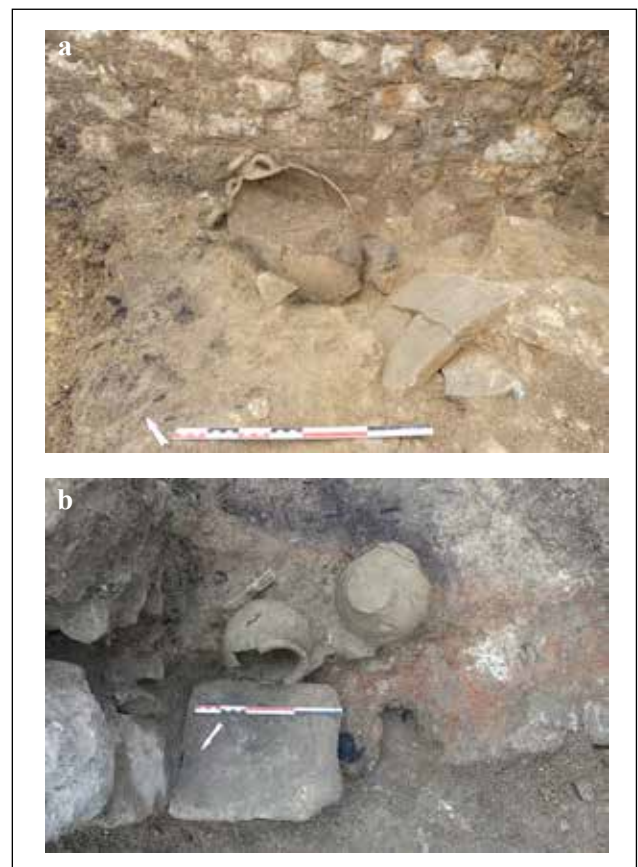


Fig. 167 - Détails du remblaiement F.100 : vases archéologiquement complets issus de l'US.259 (a) et de l'US.378/420 (b).

d'un couteau (inv.1430), d'un stylet (inv.1389) et d'un fléau de balance (inv.1415) en fer, d'un polissoir (inv.1431) ainsi que d'un possible lest de clapet de pompe à piston en plomb (inv.864). La découverte d'un pied (inv.1315) ainsi que d'un plateau de table (inv.852) en calcaire oolithique clôture ce conséquent inventaire. Les matériaux architecturaux, également prélevés, sont représentés dans le remblaiement F.100 par un piton en fer (inv.862), un bloc architectural (inv.1363) ainsi que de nombreux nodules de torchis et fragments de dalles de lauze. À l'heure actuelle, seul le mobilier céramique de l'US.105 a fait l'objet d'une étude. Cette dernière fait état d'une datation centrée sur le II^e siècle de notre ère.

5.5.2. La phase 3b

Après une phase initiale de récupération des matériaux architecturaux et de nivellement, le bâtiment ENS.C semble être reconstruit selon une configuration relativement proche de son organisation originelle (**Fig. 170**).

- L'US.121 et les US.333/483/369

L'US.121 a principalement été observée sur l'emprise des anciens espaces ESP.C1 et ESP.C4 (**Fig. 21** ; **Fig. 66** et **Fig. 171**). Elle se présente sous la forme d'une couche argileuse jaune, compacte et homogène associée à des inclusions centimétriques de fragments de calcaire marneux, de charbons et de nodules de mortier de chaux (**Fig. 168**). Elle est apparue à 261,98 m NGF et mesure 19 cm d'épaisseur. Son mobilier se compose de 24 tessons de céramique, de 32 restes de faune, de quinze éléments ferreux, de

huit éléments indéterminés en alliage cuivreux, d'un fragment de vaisselle en verre ainsi que d'un poinçon en fer (inv.467). La datation du mobilier céramique situe l'installation de ce niveau entre 150 et 230 de notre ère.

L'US.333, l'US.483 et l'US.369 ont été observés sur les coupes du sondage SD.24 (**Fig. 30** et **Fig. 31**). Leur position stratigraphique et de fait équivalente, ce que confirme l'observation de leurs caractéristiques métrologiques et morphologiques. Il s'agit dans les trois cas de niveaux constitués d'une trame argileuse jaune foncée, très compacte, homogène et comprenant des inclusions de nodules centimétriques de mortier de chaux et de petits graviers associés à de rares charbons. Ils sont apparus entre 261,50 et 262,22 m NGF et mesurent entre 11 et 21 cm d'épaisseur. Seule l'US.369 a livré du mobilier, à savoir douze tessons de céramique (pour l'instant non étudiés) ainsi que deux restes de faune.

Ces niveaux correspondent probablement à plusieurs occurrences du même phénomène. La pose de cet épais niveau d'argile jaune et compacte n'est d'ailleurs pas sans évoquer l'installation de la préparation de sol F.124 durant la phase 2b.

- L'US.474 et l'US.77

Comme les niveaux antérieurs, le soubassement mentionné ci-dessus paraît s'affaisser à son tour (**Fig. 66** et **Fig. 169**). Cela entraîne la pose de nouveaux remblais de nivellement : l'US.77 et l'US.474.



Fig. 168 - Vue de détail planimétrique de l'US.121 en cours de fouille.



Fig. 169 - Vue générale de la coupe CP.23/36 (premier plan). On distingue clairement les affaissements vers l'est et vers l'ouest des niveaux installés après l'incendie. D'autres affaissements (contemporains ?) sont également visibles à l'arrière-plan.

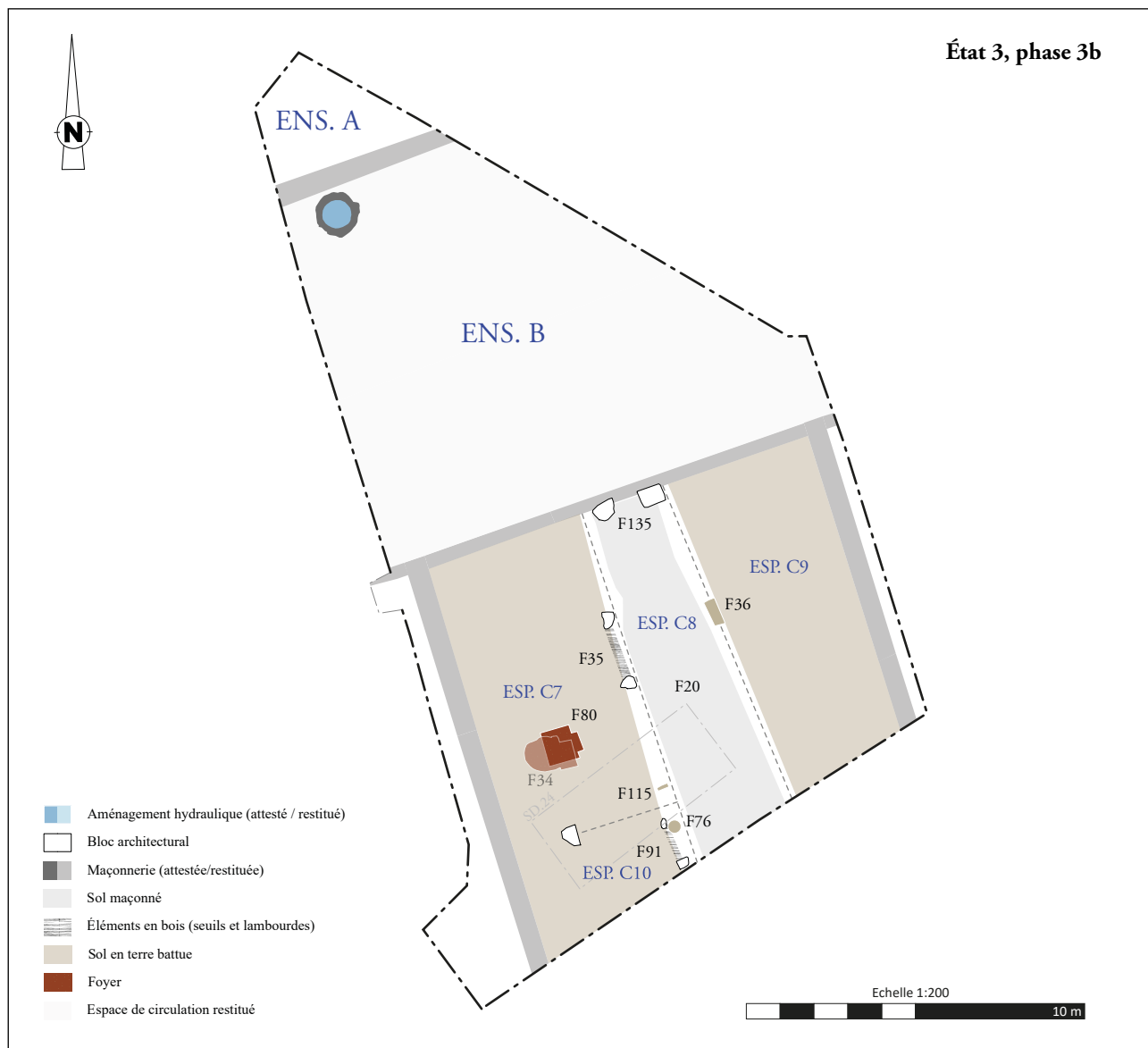


Fig. 170 - Localisation des ensembles de l'état 3 (DAO : M. Rodriguez).

L'US.77 semble avoir été installée dans une partie de l'ensemble ENS.C correspondant grossièrement au nord de l'ancien espace ESP.C6 et à l'espace ESP.C4. Il s'agit d'un remblai apparu à 262,14 m NGF et épais de 15 cm constitué de blocs de calcaire marneux pris dans une matrice argileuse jaune, homogène et très compacte. Elle comporte également de nombreuses poches de mortier de chaux jaune et sableux associé à des nodules millimétriques de graviers. Elle a livré 55 tessons de céramique, 29 restes de faune, dix éléments ferreux ainsi qu'une monnaie (inv. 266). La datation du mobilier de l'US.77 est resserrée sur la période 100/150 de notre ère, ce qui paraît cohérent avec l'identification de la monnaie, un dupondius de Trajan émis avant 114.

L'US.474 est apparue à 261,98 m NGF et mesure 23 cm d'épaisseur. Il s'agit d'un remblai limoneux marron, meuble, hétérogène et riche en charbons. Il n'a pas livré de mobilier.

- L'espace ESP.C8

L'espace ESP.C8 occupe la partie centrale de l'ensemble ENS.C. Il occupe approximativement la même position que l'ancien espace ESP.C1 dont il reprend sans doute la fonction de circulation et de distribution des espaces secondaires (pièces). Il est limité au nord par le probable seuil US.45/66 à l'ouest par l'alignement formé par les structures F.35 et F.91, à l'est par la structure F.36 et enfin au sud par la berme

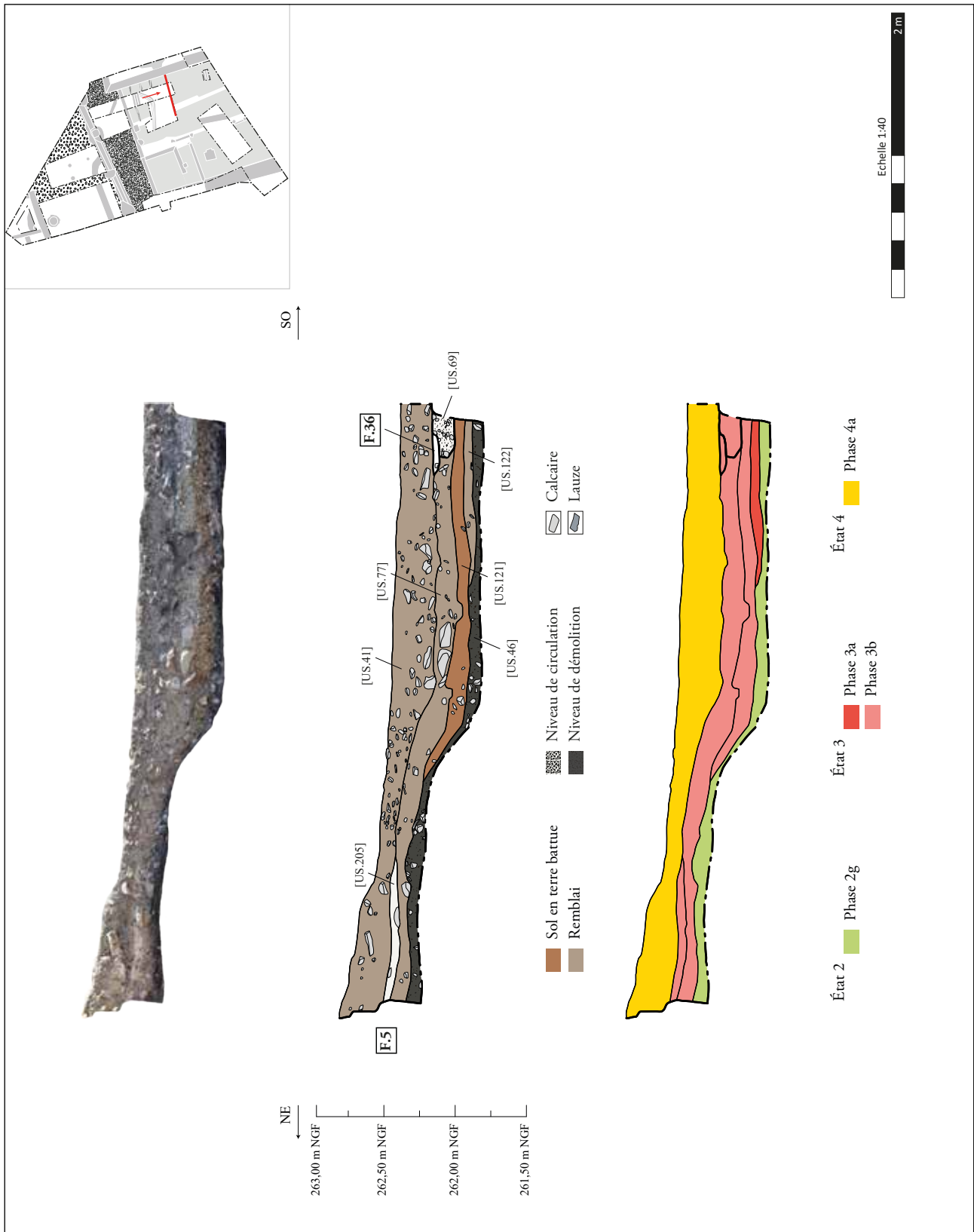


Fig. 171 - Coupe (2020) nord-est/sud-ouest de l'espace ESP.C9.

méridionale (**Fig. 174**). Ainsi délimité, l'espace ESP.C8 mesure 11 m pour 2,3 m de largeur, soit une superficie observée de 25,3 m².

- Le sol F.20

L'aménagement F.20 est un sol maçonné, apparu à 262,45 m NGF et dont l'épaisseur maximale se situe autour de 25 cm. Il occupe l'intégralité de l'espace ESP.C8 dont il épouse les limites. Il est installé directement sur le soubassement US.121 (et ses équivalents) ainsi que sur les remblais de nivellement US.77 et US.474 (**Fig. 66**). Il fait l'objet de deux types de préparations différentes et apparemment non équivalentes. Dans sa partie méridionale, les niveaux de circulation sont simplement précédés par un radier (US.268/391) constitué de blocs bruts de calcaire lithographique de moyen module (15-20 cm de longueur en moyenne) insérés dans une matrice limoneuse brune, peu dense, compacte et homogène. Dans la partie septentrionale de l'espace ESP.C8, les niveaux de circulation sont précédés d'une préparation maçonnée de 15 cm d'épaisseur (US.69/213). Cette dernière se présente sous la forme d'un niveau de blocs bruts et de cailloutis calcaire de petit module (inférieur à 5 cm de longueur) liés par un mortier de chaux blanc-rose, compact et sans inclusions. Il est possible que cette préparation maçonnée ait été installée ponctuellement afin de stabiliser les niveaux de circulation de F.20 dans les zones les plus impactées par les affaissements affectant toute la partie nord de l'ensemble ENS.C. Pour sa part, le premier niveau de circulation (US.222), épais d'environ 5 cm, est composé d'un mortier de chaux blanc, lisse, compact et sans inclusions (niveau d'apparition : 262,35 m NGF). Il s'est révélé mal préservé et n'a pu être observé et documenté que de manière limitée (**Fig. 174**). Cette détérioration est sans doute, au moins en partie, présente dès la période antique puisqu'au moins deux recharges ont été attestées. Ces dernières témoignent d'un changement de mise en œuvre. La plus ancienne (US.240) ne possède pas de surface lissée mais est au contraire caractérisée par un niveau de cailloutis calcaire aux arêtes émoussées pris dans un mortier de chaux blanc, induré et comportant des inclusions millimétriques de graviers (**Fig. 172**). Ce niveau apparu à 262,40 m NGF ne semble pas dépasser 5 cm d'épaisseur. La recharge suivante (US.241/242) présente un aspect plus grossier. Elle est constituée de blocs de calcaire bruts de moyen module (10-15 cm de long en moyenne) et de cailloutis de plus petit module (5 cm de longueur maximale) maintenus par un mortier de chaux blanc, induré et comportant des nodules de chaux millimétrique ainsi que des inclusions



Fig. 172 - Détail de la recharge US.240.



Fig. 173 - Détail de la recharge US.241/242.

de graviers de même gabarit (**Fig. 173**). Apparue à 262,45 m NGF, cette dernière recharge ne semble pas non plus dépasser 5 cm d'épaisseur. Le mobilier prélevé dans ces différents niveaux compte 56 restes de faune, 57 éléments ferreux, sept tessons de céramique, un fragment de vaisselle en verre ainsi que quatre éléments en alliage cuivreux, dont une fibule (inv.496) non identifiée. L'étude céramique n'a pu dater que l'US.242, qui semble être installée entre 60 et 160 de notre ère.

- Le seuil F.135

Le probable seuil F.135 est situé à l'extrémité septentrionale du sol F.20, dont il matérialise la séparation avec la voirie (ensemble ENS.B). Il est apparu à 262,51 m NGF et mesure 215 cm de longueur pour 56 cm de largeur et 36 cm de hauteur. Cet aménagement est constitué d'au moins deux blocs calcaire : l'US.45 et l'US.66 (**Fig. 175**). Ces dernières sont installées directement sur le niveau de préparation US.69/213 de F.20, ce qui implique un fonction-

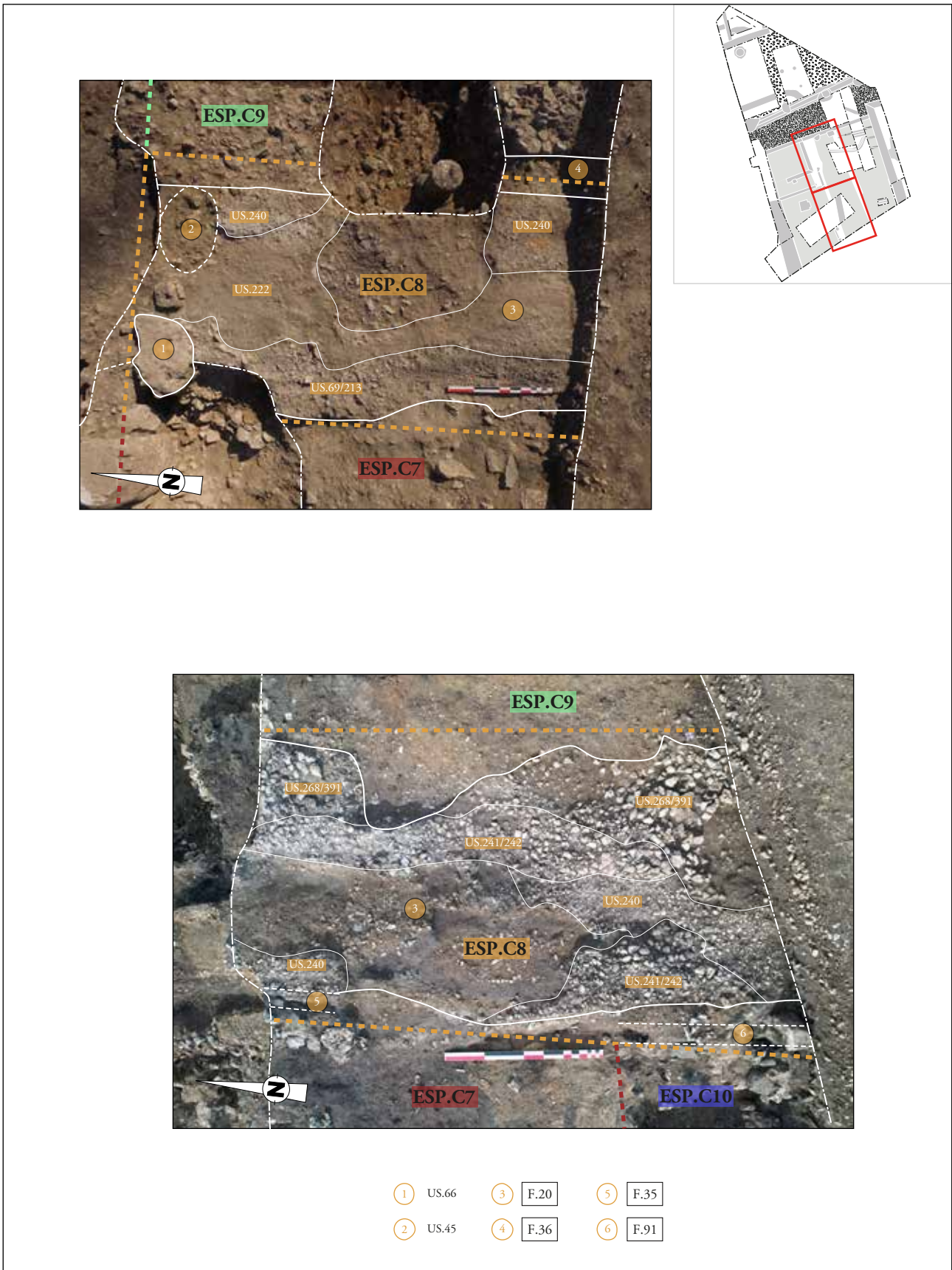


Fig. 174 - Vues zénithales interprétées de l'espace ESP.C8 (DAO : M. Rodriguez).



Fig. 175 - Vue oblique de F.135 en cours de fouille.



Fig. 177 - Détail du creusement de la tranchée de F.36.



Fig. 176 - Détail de l'US.66 et de la possible crapaudine.

nement commun planifié dès l'installation de deux structures. Les blocs architecturaux inv.611 (mesurant 60x50x20 cm) et inv.663 (80x60x20 cm) qui constituent respectivement l'US.45 et l'US.66 sont issus d'un calcaire dur impropre à la taille. Leur face supérieure montre une usure vraisemblablement due à un passage répété. La découverte d'une probable crapaudine (**Fig. 176**) tend à confirmer la fonction de seuil attribuée à F.135.

- Les tranchées F.36 et F.115

La tranchée F.36 a initialement été observée accolée au flanc oriental du sol F.20, où le fond de son creusement venait perturber le remblai F.77 (**Fig. 177**). Ce creusement (US.107), de plan linéaire rectiligne, a ainsi pu être documenté sur une longueur d'environ 80 cm. Il est apparu à 262,18 m NGF et mesure 31 cm de large. Son profil, en forme de cuvette, n'est profond que de 17 cm (**Fig. 171**). Il est comblé par un niveau unique (US.106) de sédiment sablo-limoneux jaune, compact et homogène associé à de nombreuses inclusions de graviers ainsi qu'à quelques charbons. Il n'a pas livré de mobilier.

La structure F.115 a uniquement été observée dans la coupe CP.38 du sondage SD.24 (**Fig. 30**), où elle semble installée en vis-à-vis de F.91 sur un axe longeant le flanc occidental du sol F.20. Son creusement (US.497), apparu à 261,95 m NGF, adopte un profil en cuvette, large de 26 cm et profond de 13 cm. Son comblement est composé d'un unique niveau de limon brun foncé, meuble, hétérogène et relativement riche en inclusions de charbons. Il comporte également quelques blocs bruts de calcaire lithographique de petites dimensions, mais aucun mobilier.

Ces deux aménagements sont simultanément caractérisés par un mauvais état de conservation et une fenêtre de fouille limitée, ce qui limite les possibilités d'interprétation. Cependant, en raison de leur position le long des flancs du sol F.20 ainsi que, dans le cas de F.91, leur relation avec les structures F.35 et F.36 (voir ci-dessous), il semble possible que ces deux creusements constituent les reliquats de tranchées d'implantation de sablières basses.

- Les structures F.35, F.91 et le trou de poteau F.76

Les structures F.35 et F.91 sont implantées sur le même axe que la tranchée F.115 et respectent donc la même orientation nord-ouest/sud-est. Elles présentent des caractéristiques morphologiques et métrologiques comparables (**Fig. 181** et **Fig. 182**).

La structure F.35 est située le long de la partie septentrionale du flanc ouest du sol F.20 (niveau d'apparition : 262,18 m NGF). Elle mesure 191 cm de longueur pour 38 cm de largeur et possède un plan linéaire rectiligne et un profil en cuvette profond de 25 cm. Le fond de ce creusement est recouvert par un solin (US.291) constitué d'un alignement de blocs de calcaire lithographique bruts de moyen module (20 cm de longueur moyenne). Deux blocs (US.516 et US.517) de grandes dimensions (respectivement 49x32x15 cm et 59x51x36 cm) sont ensuite installés à chaque extrémité de la tranchée. Si le bloc de l'US.516 semble être constitué du même calcaire dur que celui des éléments du seuil F.135, celui de l'US.517 (inv.457) est en revanche en calcaire oolithique (**Fig. 178**). Il s'agit vraisemblablement d'un bloc équarri utilisé en remploi et possiblement retaillé. Le sommet du solin semble être égalisé par l'adjonction d'une semelle épaisse de 5 cm d'un mortier jaune, friable et riche en inclusions de cailloutis (US.292). Ce dernier sert visiblement à asseoir une pièce de bois mise au jour carbonisée (US.104/289) (**Fig. 179**). Bien que très abîmée, celle-ci a été observée sur 41 cm de longueur et mesure 15 cm de large pour 7 cm de hauteur (niveau d'apparition : 262,18 m NGF). Elle a fait l'objet d'un prélèvement (PR.23) en vue d'une étude anthracologique. Enfin, un comblement d'abandon (US.113) recouvre l'ensemble de ces éléments. Il s'agit d'un niveau argilo-limoneux marron, meuble et hétérogène. Il comporte de nombreuses inclusions de charbons et a livré un mobilier abondant constitué de 100 tessons de céramique, de 38 restes de faune, de 20 éléments ferreux ainsi que de quelques fragments de torchis rubéfié. L'étude céramique date ce niveau de la période 160/250 de notre ère.

La structure F.91 est quant à elle située le long de la partie méridionale du flanc ouest du sol F.20 (niveau d'apparition : 262,15 m NGF). Elle mesure 165 cm de longueur pour 40 cm de largeur et possède un plan linéaire rectiligne et un profil en cuvette profond de 25 cm. Sa mise en œuvre est en tous points comparable à celle de F.35. Son creusement est recouvert par un solin (US.518) qui semble lui aussi constitué de blocs de calcaire lithographique bruts. Les blocs installés aux extrémités (US.519 et US.520) sont cette fois tout



Fig. 178 - Détail de l'US.517 à l'extrémité nord du fait F.35.



Fig. 179 - Détail de l'extrémité sud de F.35.



Fig. 180 - Vue zénithale de F.91.

deux en calcaire oolithique et sont tout deux des éléments architecturaux en remploi. La semelle de mortier (US.336) possède des caractéristiques similaires à celle de l'US.292 tandis que la pièce de bois qu'elle maintient (US.335) possède une altimétrie et une métrologie très proches de celles de l'US.104/289 (**Fig. 180**). Elle a au même titre fait l'objet d'un prélèvement en vue d'une étude anthracologique (PR.45). Le comblement d'abandon (US.507) n'a pas été fouillé.

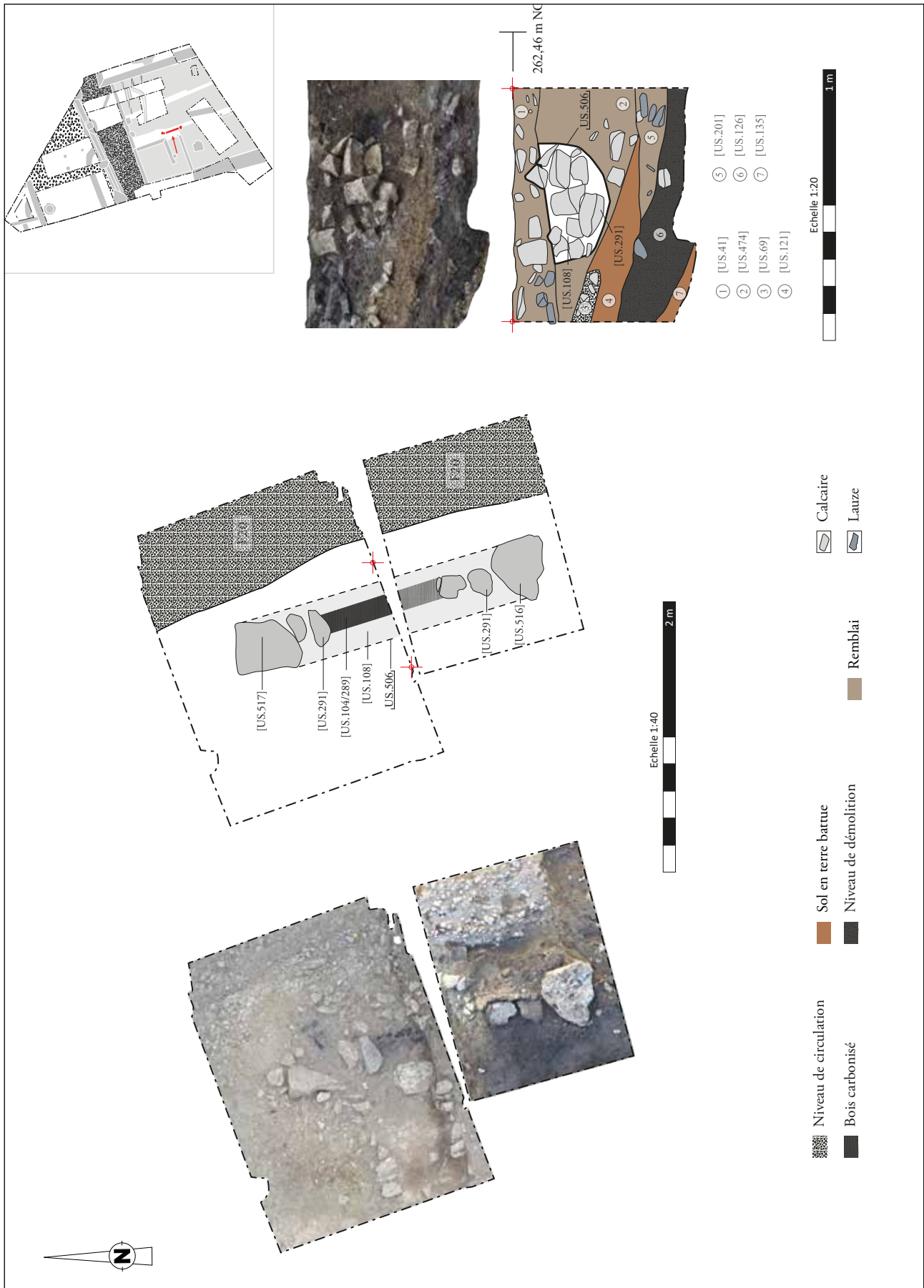


Fig. 181 - Orthophotographie interprétée et coupe de F.35 (DAO : M. Rodriguez).

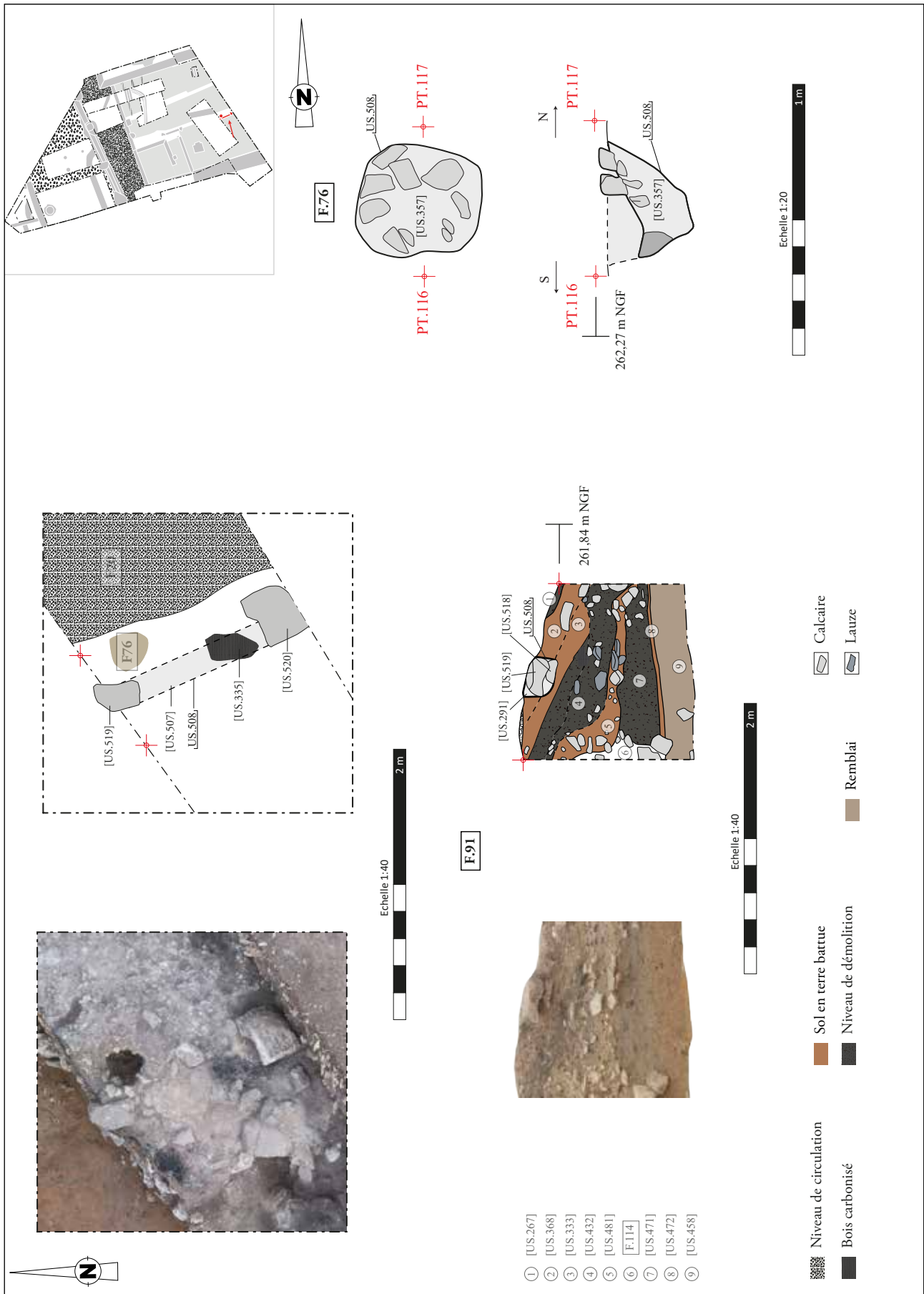


Fig. 182 - Orthophotographie interprétée et coupe de F.91 (DAO : M. Rodriguez).

La présence du trou de poteau F.76 à proximité immédiate de l'US.519 de F.91 pose la question d'une éventuelle relation fonctionnelle entre les deux structures. Cet aménagement de plan circulaire est apparu à 262,22 m NGF et mesure 43 cm de diamètre (**Fig. 183**). Son creusement (US.356) est doté d'un profil en cuvette profond de 56 cm et comblé par un niveau unique (US.357) de limon brun, meuble, homogène associé à quelques charbons. Le sommet de ce comblement comporte une couronne de pierres de calage constituée de blocs de calcaire bruts de petit module (env. 5 cm de long). Sa fouille a permis la mise au jour de deux tessons de céramique, de quatre clous ainsi que d'un fragment de torchis.

La morphologie et l'agencement des éléments constitutifs de F.35 et F.91 paraissent compatibles avec une fonction de seuil ; laquelle serait du reste assez logique si la structure F.115 correspond bien à une tranchée de sablière. Dans cette perspective, il est tentant de considérer les blocs situés à chaque extrémité comme des bases pour l'installation de montants en bois non conservés.

- L'espace ESP.C7

L'emprise de l'espace ESP.C7 correspond à celle des anciens espaces ESP.C2, ESP.C3 et à une partie de celle de ESP.C5. Pour rappel, les contours de ces derniers étaient matérialisés par le tracé supposé du mur gouttereau ouest, par le mur de façade nord et par le côté ouest du couloir ESP.C1. Les deux premiers représentent toujours les bordures théoriques occidentale et septentrionale de l'espace ESP.C7 tandis que l'axe matérialisé par les structures F.35, F.91 et F.115, l'unique limite attestée, représente sa bordure occidentale. La fermeture méridionale, mitoyenne de l'espace ESP.C10, est restituée d'après l'axe formé par la limite sud de l'US.267, entre l'US.362 et la tranchée F.115. Ainsi délimité, l'espace ESP.C7 mesure 8,5 m de longueur pour 4,1 m de largeur, soit une superficie de 36,29 m².

L'espace ESP.C7 a été traité en deux temps. La fouille de sa moitié nord a lieu en 2020 et n'a pas permis de mettre au jour d'aménagements spécifiques. Un potentiel niveau de sol argileux, d'ailleurs plus susceptible de correspondre à une équivalence de l'US.121, a cependant pu être observé dans le comblement de l'espace excavé ESP.C2 (**Fig. 89**). La moitié sud, dont la fouille a débuté par le sondage SD.4 en 2020, a été principalement explorée en 2021. Elle a mis en évidence le rôle central des structures foyères F.34 et F.80 (**Fig. 184**).



Fig. 183 - Vue en plan (a) et en coupe (b) du trou de poteau F.76.

- **Le sol F.128**

Le fait F.128 rassemble des niveaux sans connexion stratigraphique directe mais qui appartiennent au même horizon d'occupation. Ces niveaux sont installés directement sur l'US.121 (ou l'un de ses équivalents).

L'US.368 n'a été observée que dans les coupes CP38 et CP39 du sondage SD.24. Il s'agit d'une couche d'occupation ou d'un remblai limono-argileux marron, hétérogène et meuble. Il est installé directement sur le niveau US.369, qu'il recouvre sur une épaisseur maximale de 21 cm (niveau d'apparition : 262,12 m NGF). Il n'a livré que deux tessons de céramique, 1 reste de faune ainsi qu'un fragment de lame en fer.

L'US.281/282 a uniquement été observée aux abords immédiats du four F.80, ce qui pourrait suggérer une relation fonctionnelle (possible niveau de fonctionnement ?). Il s'agit d'une couche de mortier de chaux blanc, induré, ponctuellement rubéfié et comprenant

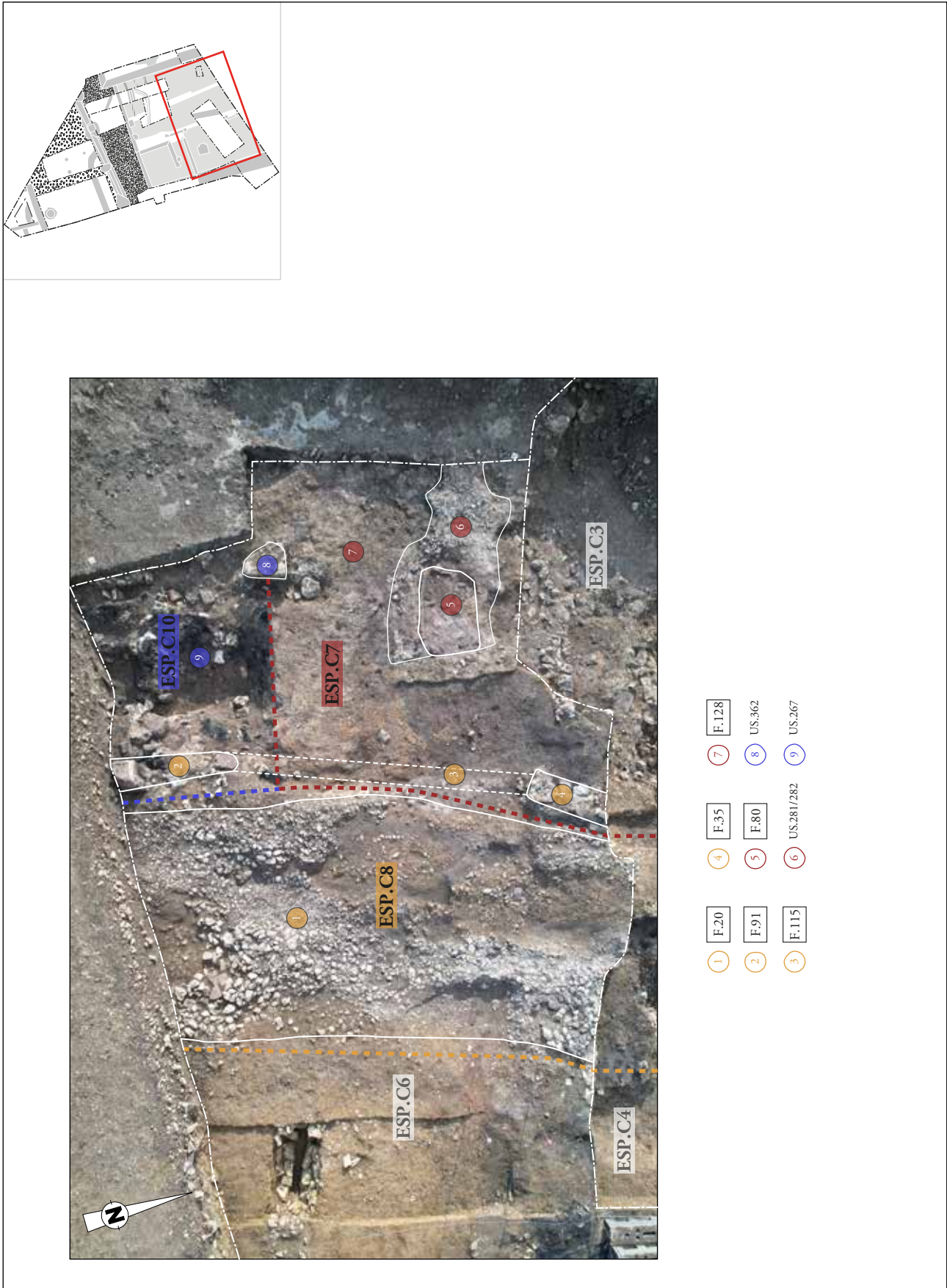


Fig. 184 - Vue zénithale interprétée de l'espace ESP.C7 et de l'espace ESP.C10 (DAO : M. Rodriguez).

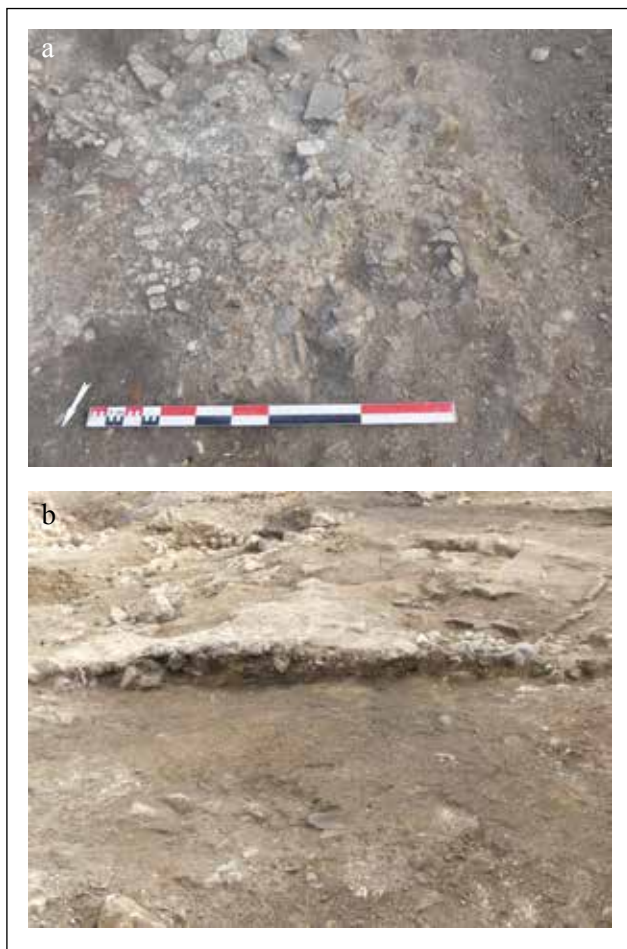


Fig. 185 - Vue en plan (a) et en coupe (b) du possible niveau de circulation US.281/282.

des inclusions de TCA, de charbons, de nodules d'argiles et de cailloutis calcaire (niveau d'apparition 262,03 m NGF). Elle est associée à de nombreux blocs de calcaire bruts de module hétérométrique et à des fragments de dalles de lauze de calibre similaire (**Fig. 185**). La fouille partielle de ce possible niveau de circulation a permis le prélèvement de 25 tessons de céramique, de cinq restes de faune et de quatre clous.

- Le four F.80

La structure F.80 est apparue à 262,05 m NGF. Il s'agit très probablement d'un foyer (domestique ?) dont le mauvais état de conservation a paru justifier la mise en place d'un protocole lourd impliquant une fouille par passes progressives et ainsi qu'un traitement vertical en quinconce. Cette approche a permis une restitution fine de la mise en œuvre – rudimentaire – de cet aménagement (**Fig. 186** à **Fig. 188**). Le foyer F.80 possède ainsi en creusement (US.521) de plan rectangulaire aux angles abattus, long de 114 cm

et large de 100 cm. Son profil, en forme de U, est profond d'environ 20 cm. Son fond semble matérialisé par un niveau de sol maçonné antérieur (US.486) uniquement observé dans cette étroite fenêtre d'observation (**Fig. 189**). Ledit fond est recouvert d'un premier comblement (US.522) constitué d'une couche épaisse de 10 à 18 cm de sédiment limoneux brun, meuble et homogène. Ce dernier comprend de nombreuses inclusions de charbons, de fragments de dalles de lauze rubéfiés et de nodules de mortier (mais aucun mobilier prélevé). Ce premier comblement semble faire office de préparation permettant d'asseoir un coffrage (US.327) constitué de dalles de lauze entières ou éventuellement retailées, posées de champ et plaquées contre les parois du creusement. L'US.522 sert également de support à un probable radier (US.443) composé d'un maillage dense fragments de dalles de lauze et de tessons de céramique de module hétérométrique posés à plat et pris dans une trame sédimentaire limoneuse brune (**Fig. 190**). Cette dernière présente de nombreuses traces de rubéfaction. Sa fouille a permis le prélèvement de 147 tessons de céramique. Le radier est lui-même recouvert par la sole (US.441) du foyer. Il est possible que cette dernière ait occupé l'intégralité de la surface de F.80 mais elle n'a été observée que dans la moitié occidentale de ce dernier. Elle prend la forme d'un niveau de dalles de lauze posée à plat et dont la cohérence paraît avoir été totalement altérée sous l'effet de la chaleur (**Fig. 191**). Cette altération ne permet de restituer le module original des dalles employées. Enfin, cet ensemble d'éléments est scellé par un comblement d'abandon (US.290) dont la trame sédimentaire est limoneuse, brune, meuble et hétérogène. Ce comblement comporte en outre de nombreuses inclusions de fragments de dalles de lauze (peut-être issues de la démolition de la sole), de charbons ainsi que de nodules de torchis rubéfié. Il a livré 33 tessons de céramique, cinq restes de faune, et sept restes d'éléments ferreux. Le mobilier céramique issu de F.80 n'a pas encore fait l'objet d'une étude.

- Le foyer F.34

L'aménagement F.34, apparu à 262,30 m NGF, est installé directement sur le comblement d'abandon du foyer F.80. Cette seconde structure foyère, mesurant 150 cm de longueur pour 100 cm de largeur, est caractérisée par une mise sensiblement plus sophistiquée que celle de son prédécesseur. Cette sophistication a de nouveau impliqué un protocole de fouille particulier impliquant cette fois une fouille planimétrique graduelle ainsi qu'un traitement vertical en quinconce (**Fig. 192** et **Fig. 193**).

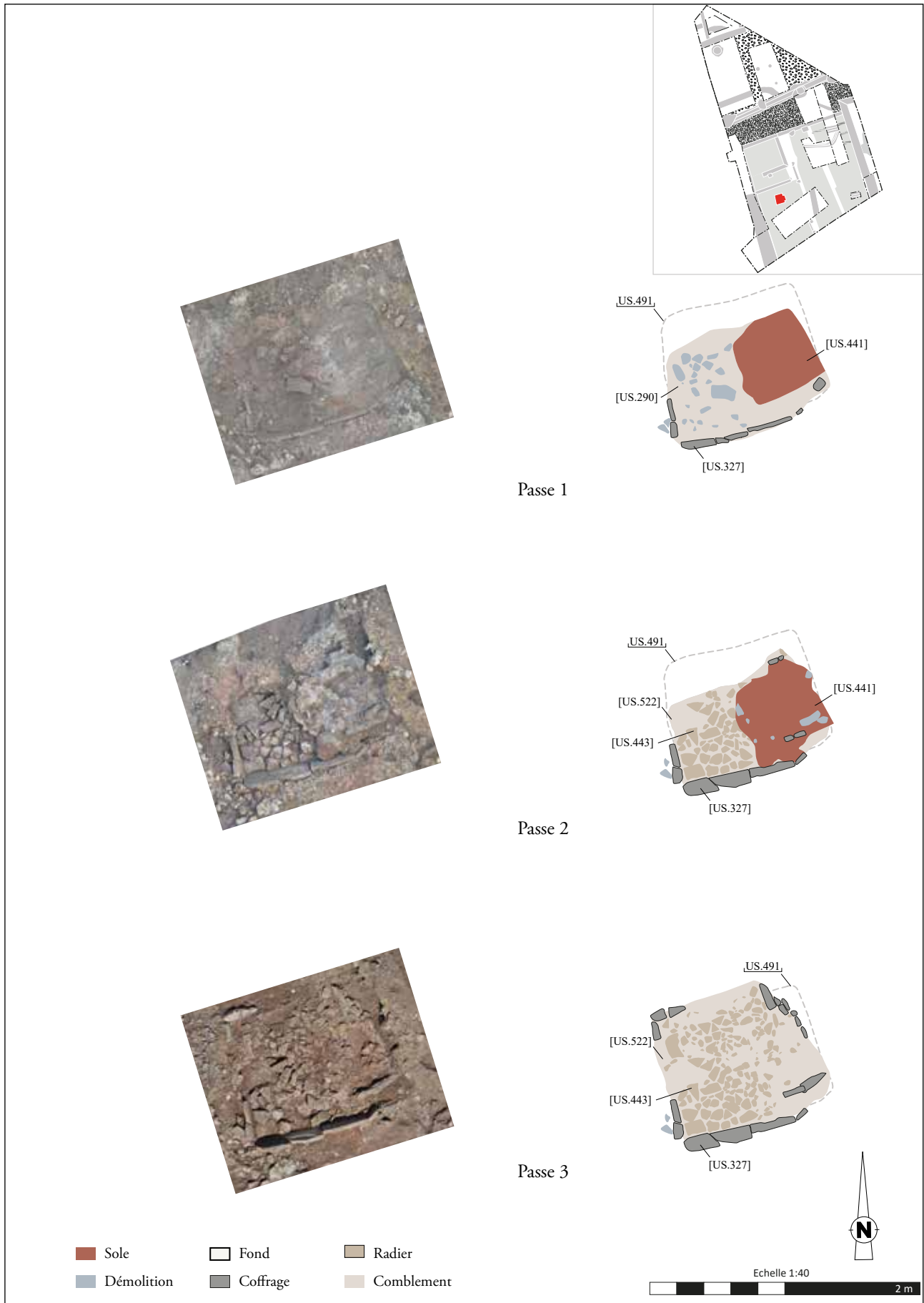


Fig. 186 - Orthophotographies interprétées du foyer F.80, passes 1 à 3 (Prises de vue : J. Véber. DAO : M. Setan. Infographie : M. Rodriguez).

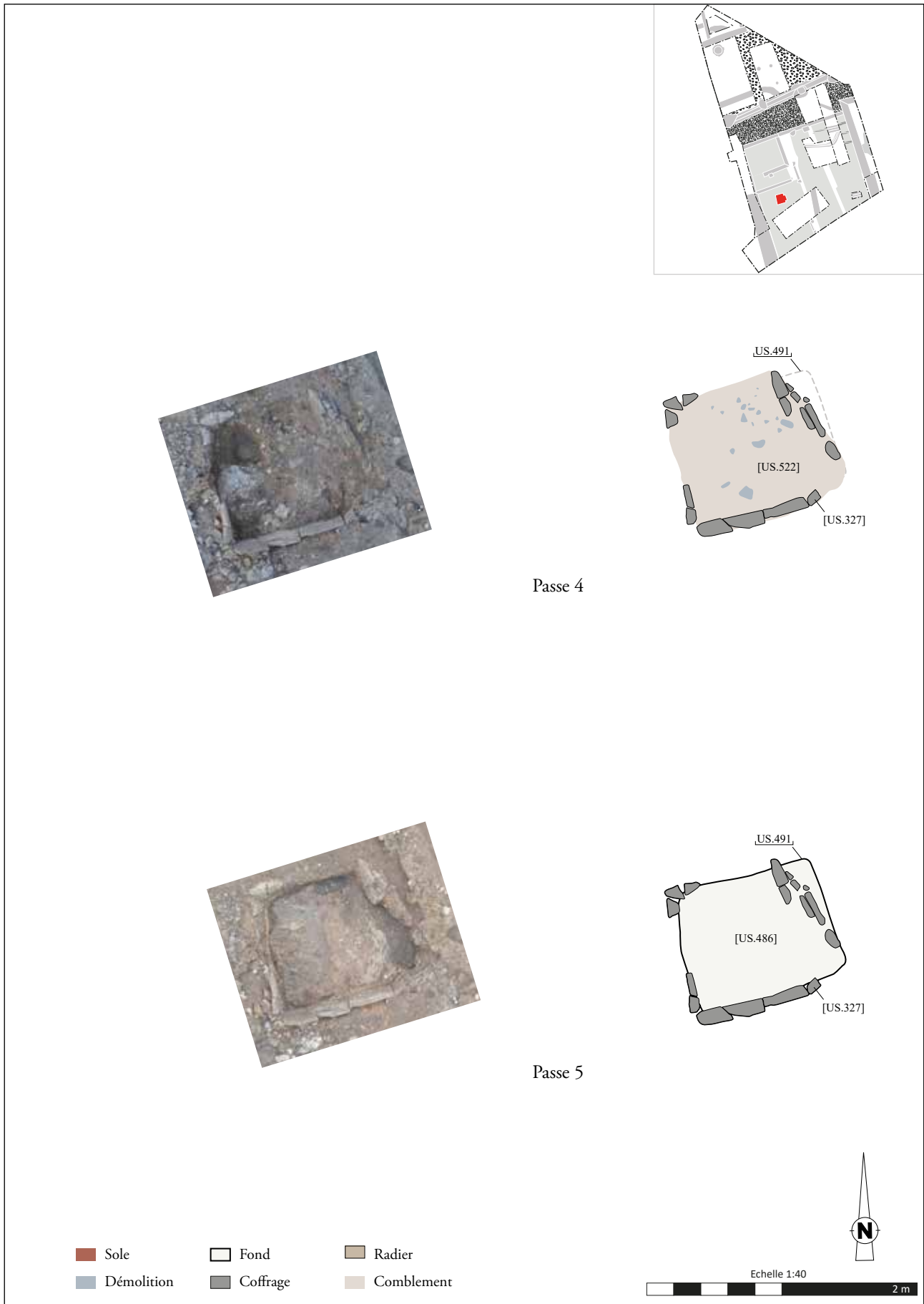


Fig. 187 - Orthophotographies interprétées du foyer F.80, passes 4 et 5 (Prises de vue : J. Véber. DAO : M. Setan. Infographie : M. Rodriguez).

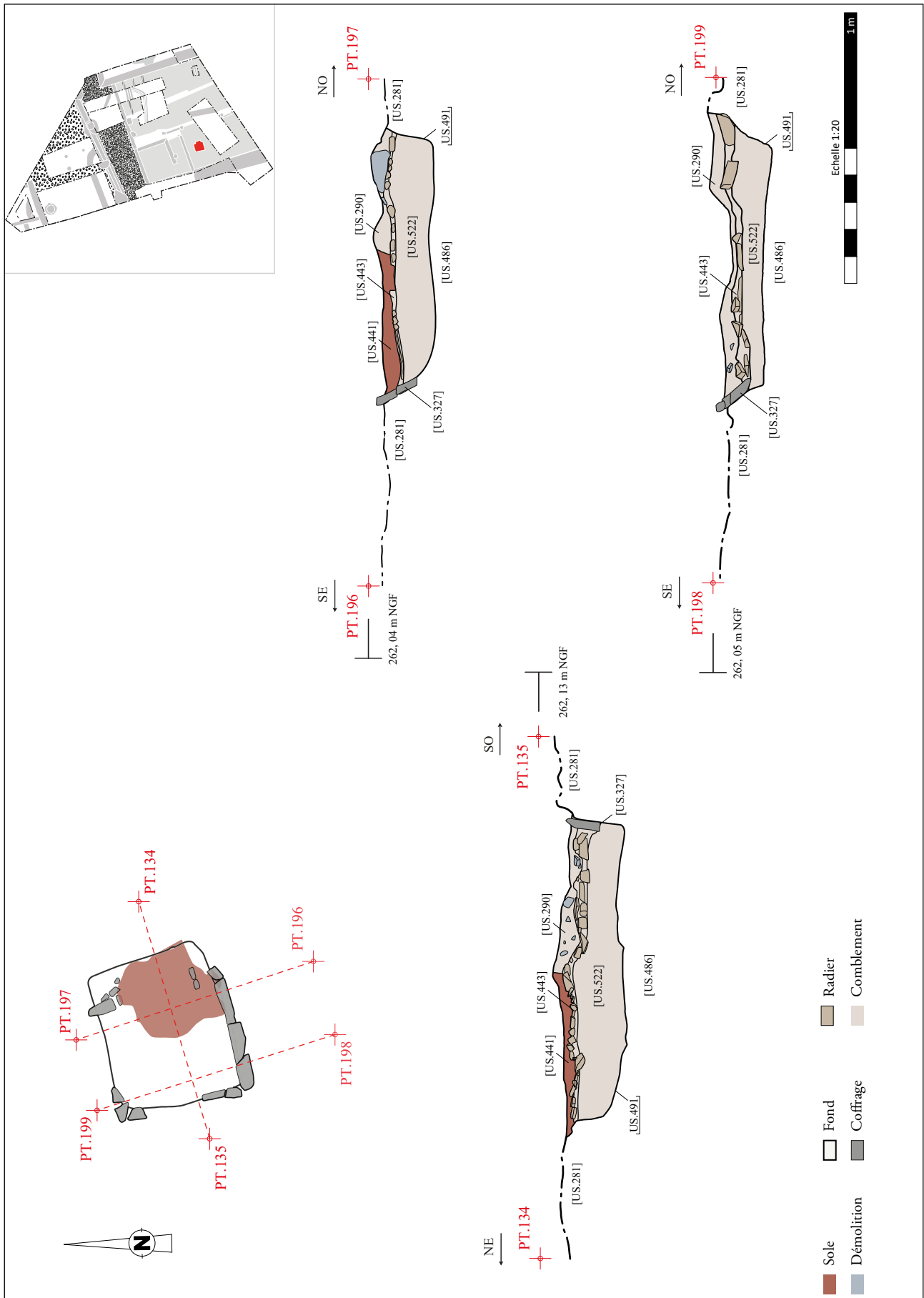


Fig. 188 - Coupes longitudinale et transversales du foyer F.80. Relevés : M. Poinignon, J. Véber. DAO : M. Setan. Infographie : M. Rodriguez.



Fig. 189 - Vue oblique du fond du foyer F.80 et de l'US.486.



Fig. 190 - Vue oblique du possible radier US.443.



Fig. 191 - Vue oblique de la sole US.441.

La fosse d'implantation de F.34 n'a été que partiellement observée. Son creusement (US.172) possède un plan de forme irrégulière et un profil en cuvette. Le premier niveau de comblement (US.171/180) est constitué d'une matrice sédimentaire sur laquelle les éléments maçonnés de F.34 viennent prendre appui. Elle se présente sous la forme d'une couche argileuse brune, compacte et hétérogène associée une matrice sablonneuse meuble, hétérogène de couleur brun-jaune. La surface du comblement est rubéfiée et de nombreuses inclusions de lauze pulvérulentes sont observables. La chaleur dégagée par l'utilisation de la structure semble ainsi avoir altérée l'état du sédiment se trouvant en contrebas. Ce niveau a livré 23 tessons de céramique six éléments ferreux (clous) ainsi que 5 restes de faune. La sole (US.160) est installée directement sur le comblement inférieur. Elle mesure 100 cm de long pour 92 cm de largeur, et a une épaisseur de 5 cm. Elle est composée de fragments de dalles de lauze de moyen module (de 15 à 25 cm de longueur) agencés de manière à créer une structure ovale (**Fig. 194**). Le côté oriental de la maçonnerie n'est pas fermé afin de pouvoir installer le seuil [US.159]. Les dalles au centre de la structure présentent un caractère très fragmentaire et pulvérulent (**Fig. 195**). Le foyer reposait probablement à cet emplacement. Les fortes températures dégagées par le feu ont calciné les dalles et ont rubéfiés le support sédimentaire de la structure. La suite de la mise en œuvre consiste en l'ajout d'un ceinturage (US.101) et d'un seuil (US.159). Le ceinturage US.101 poursuit à sa base le tracé ovale entamé par le sommier US.160. Les dalles qui le composent sont ici installées à plat. L'élévation circulaire comportait un minimum de quatre assises. L'assise inférieure est constituée de trois dalles rectangulaires d'une longueur de 55 à 58 cm et d'une largeur de 19 à 20 cm. Elles étaient respectivement placées sur le sommier au nord, au sud et à l'ouest (**Fig. 196**). Aux extrémités nord-ouest et sud-est, deux fragments de lauze (US. 159) ont été observés. Le premier mesure 14 cm de longueur pour 13 cm de largeur. Le second, mesure 20 cm de longueur pour 17 cm de largeur. L'un des côtés de ces éléments devait être arrondie afin de parfaire le ceinturage du four. Quatre supports de calage (US.202) sont ajoutés aux angles du ceinturage interne, possiblement dans le but de maintenir l'élévation. Ils sont taillés dans des dalles carrés divisées en deux et dont l'extrémité est taillée en arc de cercle. Chaque support mesure 11 cm de côté (**Fig. 197**). Les assises suivantes sont composées de dalles quadrangulaires de moyen module (15-20 cm de longueur) empilées les unes sur les autres. Les faces latérales orientées vers l'avant et l'arrière de la ma-

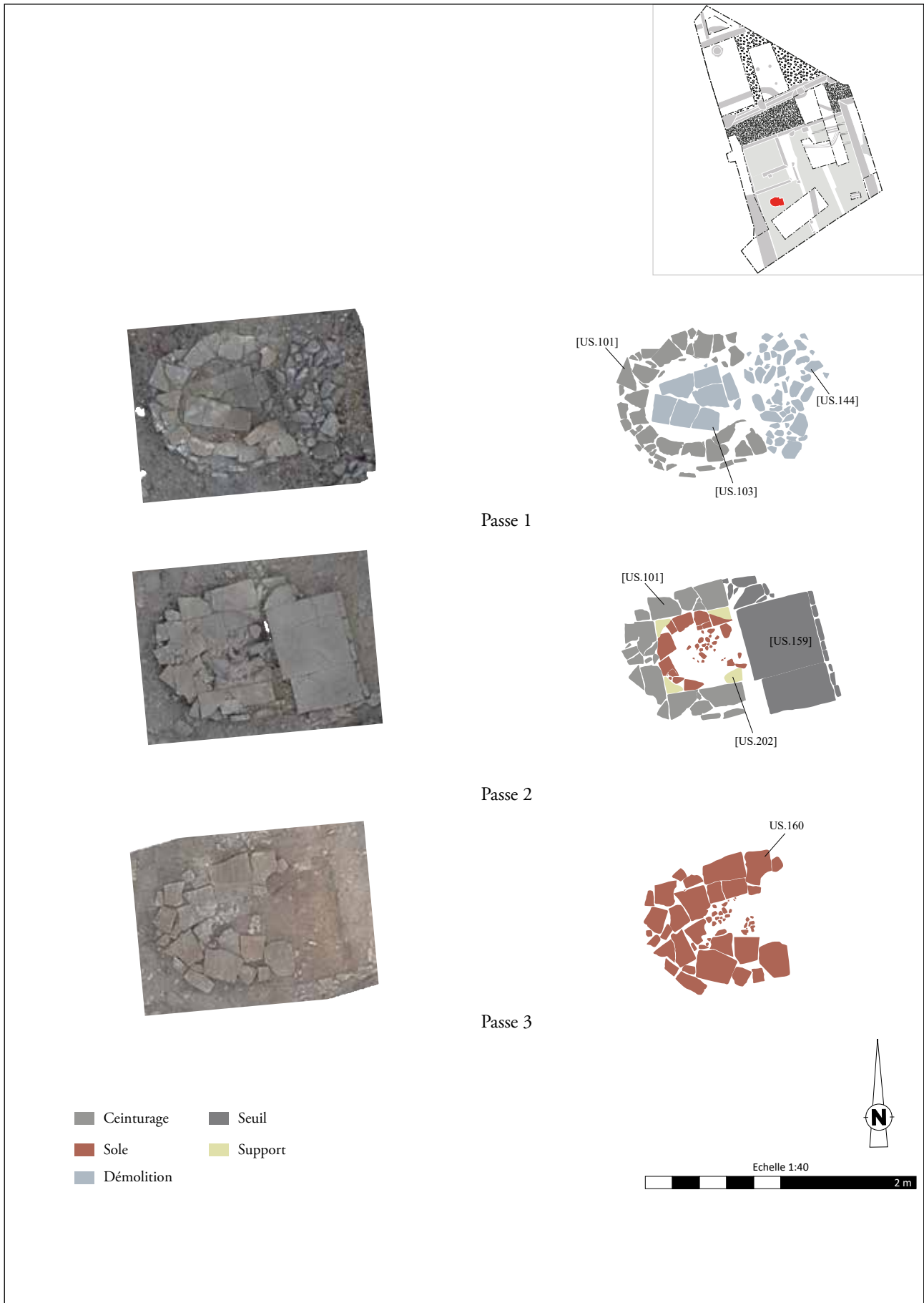


Fig. 192 - Orthophotographies interprétées du foyer F.34 (Prises de vue : J. Véber. DAO : M. Rodriguez).

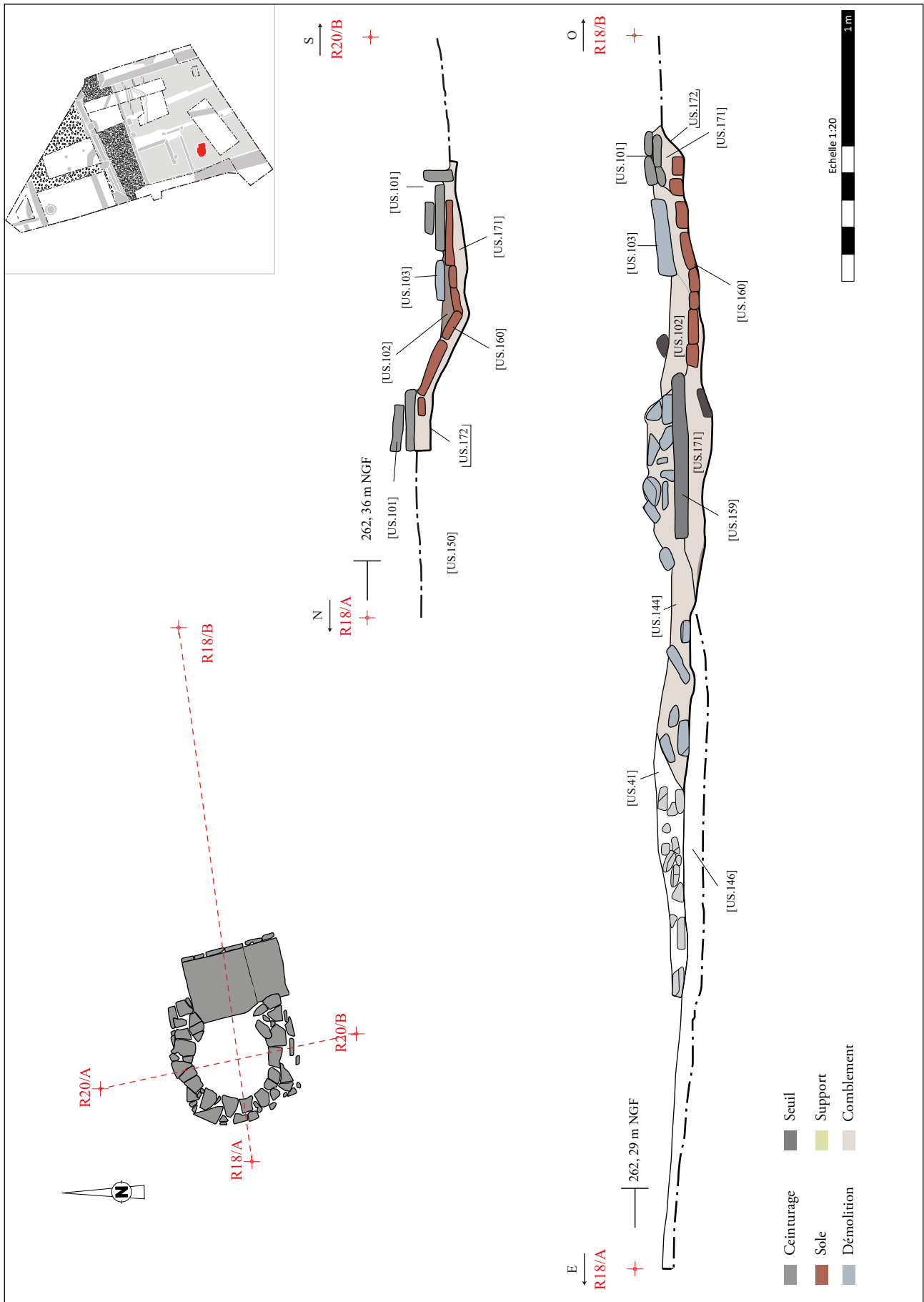


Fig. 193 - Coupe transversale et longitudinale du foyer F.34 (Relevé : B. Bonaventure, J. Véber. DAO : M. Setan. Infographie : M. Rodriguez).



Fig. 194 - Vue oblique de la sole US.160 en fin de fouille.



Fig. 197 - Détail de l'US.202.



Fig. 195 - Détail de la sole US.160.



Fig. 198 - Vue oblique du comblement d'abandon de F.34.



Fig. 196 - Vue oblique de la maçonnerie constituant F.34.



Fig. 199 - Vue oblique de l'US.159.

çonnerie sont taillées en arc de cercle. Certaines présentent des traces de rubéfaction. Elles sont liées par une argile indurée de couleur brune (**Fig. 198**). Des fragments de deux types de mortier de chaux ont été identifiés. Le premier est un mortier de chaux jaune, friable et sableux comportant des inclusions millimétriques de graviers. Le second est un mortier de chaux jaune comprenant des inclusions de graviers et de nodules de chaux. Enfin, quelques dalles sont disposées verticalement dans la matrice sédimentaire de l'encaissant. Hautes de 5 à 10 cm, elles devaient vraisemblablement avoir une fonction de calage. Seuls les éléments du pourtour sud sont conservés. Le seuil (US.159) est situé à l'extrémité est de la maçonnerie. Il est constitué de deux larges dalles : La dalle centrale est la plus volumineuse, elle mesure 53 par 54 cm. La seconde à l'est, correspond à une demi-dalle rectangulaire de 49 par 29 cm. La périphérie du seuil est bordée par des dalles de moyen module (15-20 cm de long) installées verticalement comme élément de calage (**Fig. 199**). La bouche du four semble décalée par rapport à la maçonnerie principale. Ce phénomène résulte vraisemblablement de la disparition de la dalle nord du seuil et du léger déplacement de la dalle méridionale vers l'est. F.34 semble comblé immédiatement après son abandon. Ce comblement (US.102) est constitué de limon argileux brun-noir, homogène et compact. Un nombre important de dalles fragmentaires, d'inclusions de torchis, d'enduit et de mortier a été observé. Lors de l'abandon de la structure, la démolition environnante a probablement été utilisée comme comblement. Apparue à 262,21 m NGF, une large dalle (US.103) dans un état fragmentaire culmine sur le comblement US.102. D'une dimension similaire au seuil (soit 51 par 45 cm), la pose (volontaire ?) de cette dalle semble marquer la fin de l'utilisation de la structure. Enfin, F.34 est recouvert par un niveau de démolition (US.144). Ce dernier est constitué d'une matrice limoneuse brune, meuble et hétérogène associée à de nombreux matériaux issus d'une possible démolition (niveau d'apparition : 262,28 m NGF). Une importante quantité de dalles irrégulières de petit à moyen module (1-15 cm de long) et de charbon de bois a été observé. Le comblement d'abandon US.102 ainsi que le niveau de démolition US.144 ont livré ensemble 28 tessons de céramique et 24 éléments ferreux.

L'étude céramique date le comblement inférieur de 70 à 120 de notre ère. Le mobilier issu des niveaux d'abandon est quant à lui daté du I^{er}-II^e siècle.

- L'espace ESP.C9

L'espace ESP.C9 rassemble tous les aménagements situés à l'est de l'espace ESP.C8. Sa seule limite attestée est l'axe nord-ouest/sud-est formé par la possible tranchée de sablière F.36 ou, en l'absence de cette dernière, le flanc oriental du sol F.20. Ainsi circonscrit, l'espace ESP.C9 mesure 10,1 m de longueur pour 4,6 m de largeur, soit une superficie de 46,5 m². Bien qu'il soit possible que cette vaste partie de l'ensemble ENS.C soit cloisonnée, aucun vestige ne permet de l'attester de manière formelle. Le seul indice potentiel réside dans le traitement différencié des niveaux de sol.

- **L'US.205**

L'US.205, installée directement sur le remblai US.77, a uniquement été observée sur une longueur de 89 cm dans la coupe de référence de l'espace ESP.C9 (**Fig. 171** et **Fig. 200**), son emprise réelle est donc inconnue (niveau d'apparition : 262,45 m NGF). Elle se présente sous la forme d'un niveau de mortier de chaux blanc, friable et associé à des inclusions de graviers. Elle est épaisse d'environ 8 cm. Malgré l'absence de visibilité en plan, ce niveau constitue le seul indice de l'existence d'un horizon de circulation dans la partie nord de l'espace ESP.C9. Il pourrait constituer un vestige d'un éventuel sol maçonné.

- **Le sol F.51**

Le sol F.51 a été observé dans la partie sud de l'espace ESP.C9 et son emprise semble chevaucher partiellement celle de l'ancien espace ESP.C6. L'absence de niveaux intermédiaires entre l'US.127 et l'US.147 semble d'ailleurs traduire une véritable continuité entre les deux espaces. Cet aménagement est apparu à 262,50 m NGF et est installé directement sur le niveau de sol en terre battue US.127 (**Fig. 203** et **Fig. 204**). Il est constitué de deux niveaux : l'US.147 et l'US.123.

L'US.147 s'apparente à un radier ou à un niveau de préparation. Il s'agit d'un niveau de graviers et de cailloux calcaire de module centimétrique pris dans



Fig. 200 - Détail de l'US.205 dans la coupe de référence de l'espace ESP.C9.

une matrice limoneuse jaune, indurée et homogène (niveau d'apparition : 262,42 m NGF). Il est épais de 7 cm (**Fig. 201**). Il est cependant possible que, en dépit de la grossièreté de sa mise en œuvre, l'US.147 constitue en fait le premier niveau de sol du fait F.51. Elle a livré un mobilier constitué de huit tessons de céramique, de trois restes de faune ainsi que de huit éléments ferreux (scories et clous). L'étude céramique date ce niveau d'une période comprise entre 50 et 150 de notre ère.

L'US.123 est installée directement sur l'US.147 (niveau d'apparition : 262,43 m NGF). Elle peut donc être considérée soit comme le véritable niveau de circulation de F.51, soit comme une recharge de l'US.147. Épaisse de 6 cm, elle se présente sous la forme d'un niveau de limon jaune, homogène et in-

duré, associé à trame dense de cailloutis anguleux de petit module (moins de 5 cm de long) et de graviers calcaire (**Fig. 202**). Une concentration de fragments hétérométriques de TCA, correspondant potentiellement à un aménagement non identifié, a été observée



Fig. 201 - Vue zénithale de l'US.147.



Fig. 202 - Vue oblique du niveau de sol en terre battue US.123.

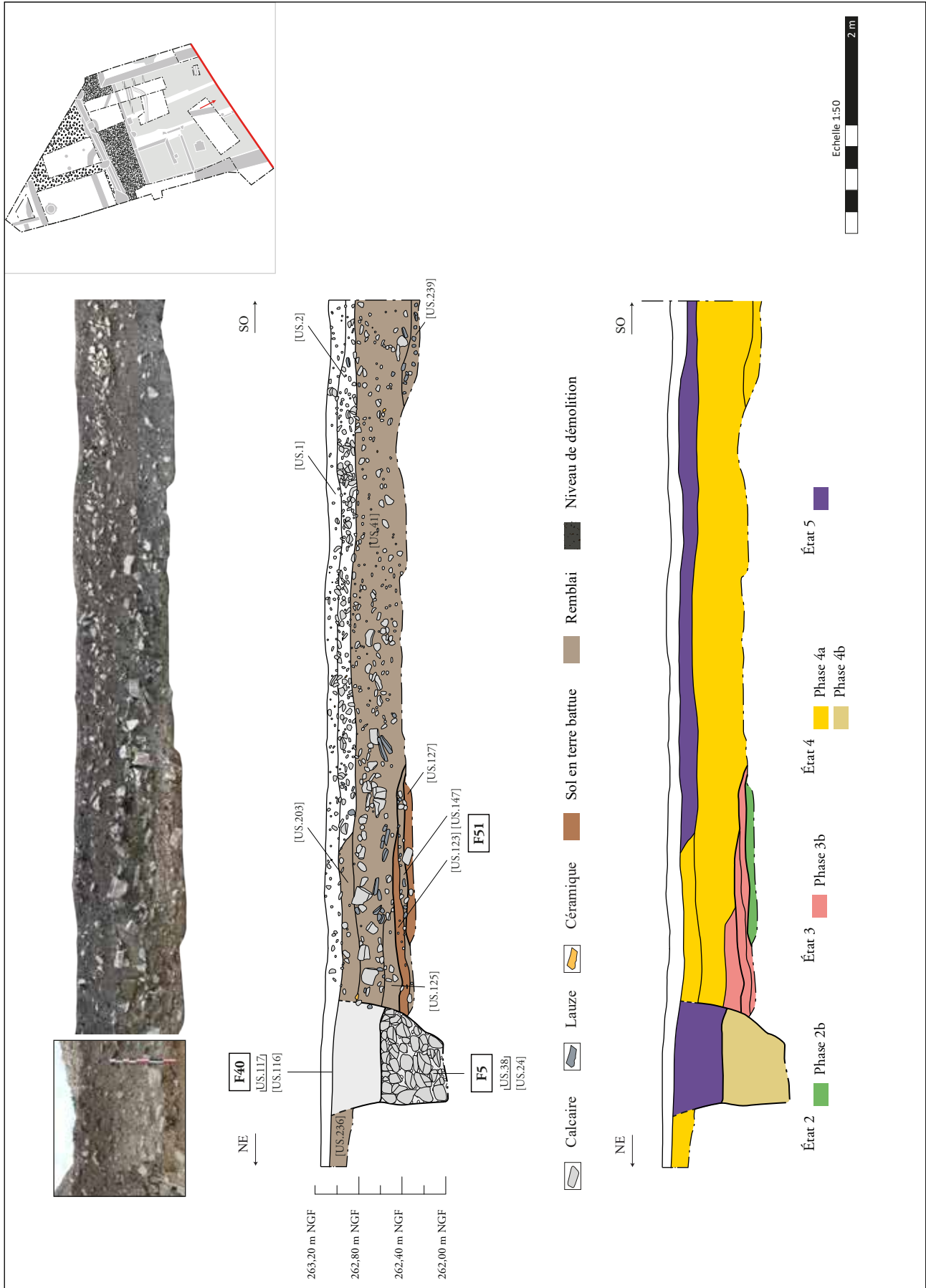


Fig. 203 - Coupe CP.5 (berme méridionale) (Relevé : A. Martel. DAO : M. Setan. Infographie : L. Darmon).

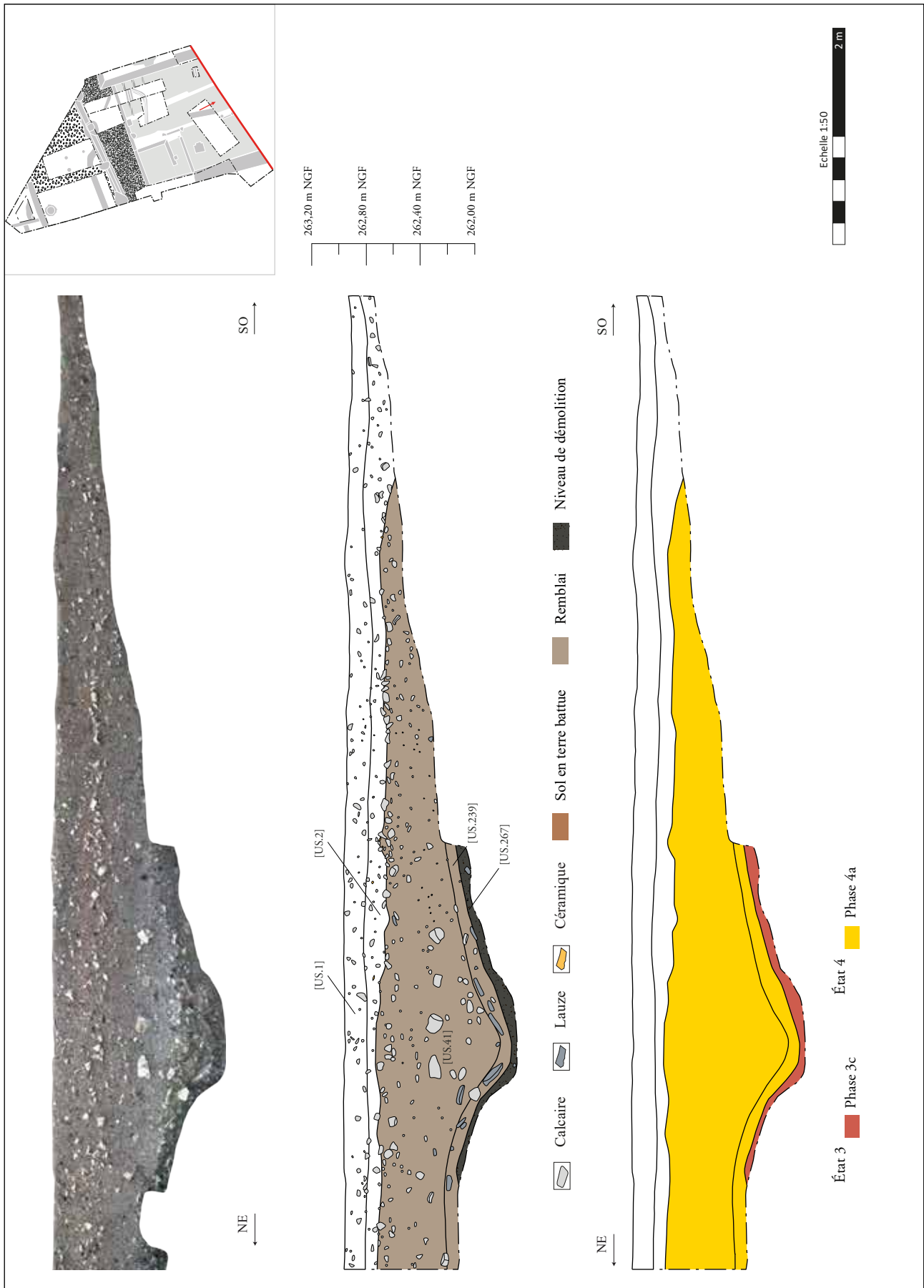


Fig. 204 - Coupe CP.5 (berme méridionale), suite (Relevé : A. Martel. DAO : M. Setan. Infographie : L. Darmon).



Fig. 205 - Détail de la concentration de fragments de TCA sur l'US.123.

sur la surface de l'US.123 (**Fig. 205**). La présence de ce matériau est suffisamment rare pour être soulignée. Ce niveau a livré dix tessons de céramique, seize restes de faune et quinze éléments ferreux (dont une charnière (inv.494)). La céramique a été datée de 100/150 de notre ère.

- L'espace ESP.C10

L'espace ESP.C10 est délimité au nord par l'espace ESP.C7, à l'est par l'espace ESP.C8 (avec lequel il semble communiquer via le possible seuil F.91) et au sud par la berme méridionale. Sa limite occidentale n'est pas connue (**Fig. 184**). Son emprise observée, longue de 3 m pour une largeur de 2,66 m, est légèrement inférieure à 8 m².

Cet espace n'a fait l'objet que d'observations limitées. Faute de temps, sa fouille en plan s'est limitée au dégagement de son niveau de démolition (voir infra). Sa fouille en coupe (**Fig. 31**) montre qu'il partage avec l'espace ESP.C7 un horizon d'occupation commun incarné par le niveau US.168 (à moins que ce dernier soit en fait un remblai antérieur à la mise en place des deux espaces).

L'US.362, le seul élément observé durant la phase de terrain, est un bloc de calcaire oolithique équarris et de forme rectangulaire reposant directement sur l'US.333 (**Fig. 206**). Il est apparu à 262,21 m NGF et mesure 58 cm de longueur, 46 cm de largeur et 18 cm de hauteur. L'absence d'aménagements associés de manière évidente pourrait suggérer que cet élément a été découvert en position secondaire. Il est toutefois possible qu'il remplisse la même fonction que les blocs découverts à chaque extrémité des possibles seuils F.35 et F.91, à savoir celui de base pour un éventuel montant en bois.



Fig. 206 - Vue zénithale (a) et vue oblique (b) du bloc US.362.

5.5.3. La phase 3c

L'état 3 paraît prendre fin à l'issue d'un nouvel incendie. Cette fois, celui-ci semble impacter à la fois l'ensemble ENS.C et l'ensemble ENS.A.

- L'ensemble ENS.A

Dans l'espace ESP.A1, le sol maçonné F.50 est recouvert par l'US.155 (niveau d'apparition : 260,56 m NGF), un fin niveau limoneux noir, meuble, homogène et caractérisé par la présence de nombreux charbons. Ce possible niveau d'incendie est recouvert par l'US.154 (niveau d'apparition : 260,57 m NGF), un probable niveau de démolition constitué d'une matrice sédimentaire argileuse, compacte, homogène et associée à de nombreux blocs calcaire de module hétérométrique (**Fig. 207**). Ces deux niveaux, rattachés au fait F.56, ont livré dix tessons de céramique, cinq restes de faune et neuf éléments ferreux. L'étude céramique situe cet horizon de démolition au III^e siècle (sur la base d'un NMI très faible, ce qui n'exclue pas la présence d'éléments intrusifs).



Fig. 207 - Vue oblique de l'horizon de démolition F.56.

- L'ensemble ENS.C

- L'US.134/146 et l'US.150

L'US.134/146 (niveau d'apparition : 262,07 m NGF) a été observée de manière ponctuelle dans l'espace ESP.C7. Il s'agit d'un niveau limoneux noir, épais de 10 cm, compact, homogène et fortement charbonneux. Il est associé à des poches plus argileuses ainsi qu'à nombreux fragments de torchis et de mortier de chaux blanc.

Ce possible niveau d'incendie semble immédiatement antérieur à l'US.150 (niveau d'apparition : 262,07 m NGF), un probable niveau de démolition dont la trame sédimentaire limoneuse, compacte et homogène, charrie de nombreux éléments architecturaux (blocs en calcaire lithographique, fragments de dalles de lauze, nodules de torchis rubéfié,) associés à de fréquents charbons.

Ces trois niveaux, sans doute rattachable au même évènement, ont livré ensemble 72 tessons de céramique, 60 restes de faune, 97 éléments ferreux ainsi qu'une bague (inv.921) et deux anneaux (inv.564 et inv.654) en alliage cuivreux. L'étude céramique situe ce corpus au II^e siècle de notre ère.

- L'US.267

L'US.267 a été observée dans l'espace ESP.C10, qu'elle recouvre intégralement. Il s'agit d'un probable niveau d'incendie (niveau d'apparition : 262,20 m NGF), épais de 7 cm et constitué d'une trame sédimentaire argilo-limoneuse marron à noire, meuble et hétérogène. Il est associé à de nombreux charbons ainsi qu'à une quantité importante de nodules de torchis rubéfiés. Outre de nombreux matériaux architecturaux (principalement blocs de calcaire

lithographique et fragments de dalles de lauze), l'US.267 a livré un mobilier particulièrement abondant (**Fig. 208**). Celui-ci comporte 128 tessons de céramique (pour l'instant non étudiés), 105 restes de faune, 268 éléments ferreux (dont plusieurs objets appartenant à la quincaillerie architecturale), six fragments de vaisselle en verre et cinq éléments en alliage cuivreux. À ces premiers éléments viennent s'ajouter une clé en fer (inv. 870), un jeton en os (inv. 941) ainsi que trois monnaies (inv.899, inv.936 et inv.974) (**Fig. 209**). Ces dernières (un dupondius et deux as) ont été émises durant les règnes de Vespasien (inv. 899) et de Trajan (inv. 936 et 974), soit un TPQ situé autour de 114-117 de notre ère.

On note par ailleurs que ce niveau est caractérisé par un important affaissement et dont l'ampleur exacte est sans doute dissimulée par la limite de fouille. Un écart de près de 60 cm a ainsi été observé entre le bord et le centre de l'espace ESP.C10 (**Fig. 31**).



Fig. 208 - Détail de l'US.267.



Fig. 209 - Détail de l'US.267.

5.6. L'état 4

5.6.1. La phase 4a

L'état 4 débute par une séquence de remblaiement massive perceptible dans l'ensemble de l'emprise de fouille. Elle conduit d'une part au comblement intégral des espaces présentant un caractère dépressionnaire (ensemble ENS.A et, dans une moindre mesure, espace ESP.C7) et d'autre part à un rehaussement de presque 1 m des niveaux de sols et de circulation.

Quatre principaux remblais ont été distingués dans cette séquence : F.118, F.132, F.130 et F.133. Ces derniers sont très probablement équivalents ou à tout le moins contemporains. La raison d'être de cette distinction est essentiellement spatiale dans la mesure où différencier ces regroupements d'US permet de souligner certaines particularités micro-locales.

Le fait F.118 est constitué de cinq niveaux : l'US.49, l'US.109, l'US.110, l'US.111/137 et l'US.152. Ils forment un remblai de 78 cm d'épaisseur et apparu à 261,75 m NGF (Fig. 212 et Fig. 213). Malgré des caractéristiques parfois dissemblables (Fig. 210), ces couches semblent toutes participer au comblement de l'ensemble ENS.A (ou du moins sa partie semi-excavée). En plus de matériaux architecturaux (notamment des blocs et des nodules de torchis), elles ont livré 676 tessons de céramique, 382 restes de faune, 174 éléments ferreux, 98 éléments en alliage cuivreux, 39 fragments de vaisselle en verre ainsi qu'un fragment de meule (inv.386) et un jeton (inv.420) en pierre. Deux blocs architecturaux (inv.385 et inv.647) ont égale-

ment été mis au jour. Le bloc inv.647 (Fig. 211) revêt un intérêt particulier. Il s'agit d'un bloc sommital de pilier vraisemblablement fracturé par une chaleur intense et susceptible d'avoir appartenu à un pilier quadrangulaire. L'étude céramique met en évidence une variabilité relativement importante dans les datations des différents niveaux de F.118. Une première série (la plus nombreuse) est caractérisée par une chronologie centrée sur le II^e siècle tandis qu'une seconde série est plutôt centrée sur le III^e siècle.



Fig. 211 - Vue oblique du bloc architectural inv.647.

N° d'US	Composante principale	Composante secondaire	Dureté	Homogénéité	Couleur	Inclusions	Épaisseur (cm)	Alti. sup. (m NGF)	Alti. inf. (m NGF)
US.49	limon	sable	compact	homogène	gris	rare charbons ; blocs calcaire	8	261,50	261,42
US.109	limon	blocs	compact	homogène	brun	-	30	261,42	261,12
US.110	argile	-	compact	homogène	marron	blocs calcaire	40	261,46	261,06
US.111/137	limon	argile	compact	hétérogène	brun	charbons ; nodules de torchis	35	261,32	260,97
US.152	blocs	limon	compact	homogène	brun	-	40	261,75	261,35

Fig. 210 - Caractéristiques principales du remblaiement F.118.

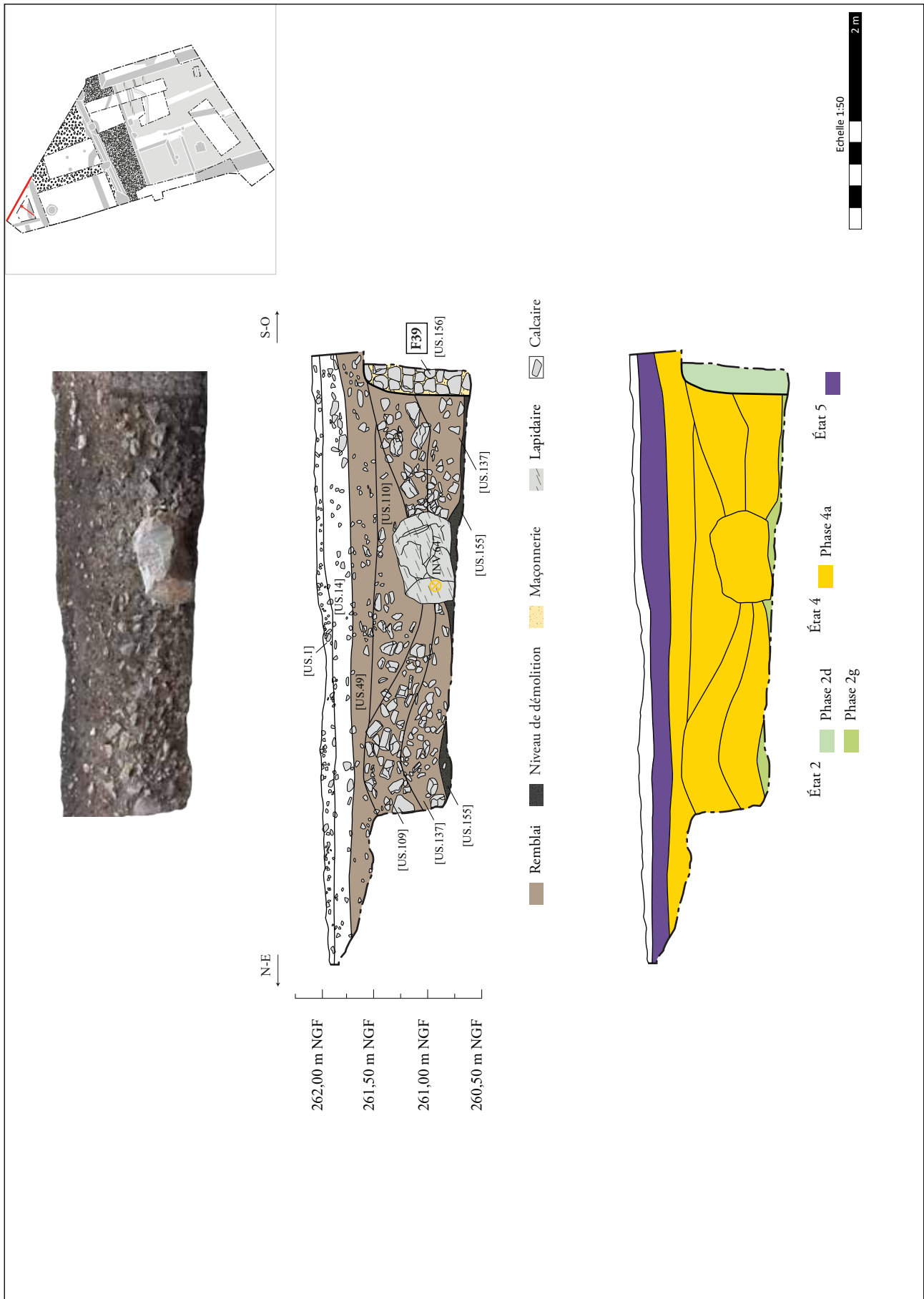


Fig. 212 - Coupe nord-orientale de l'ensemble ENS.A (DAO : M. Rodriguez, L. Darmon. Infographie : M. Rodriguez).

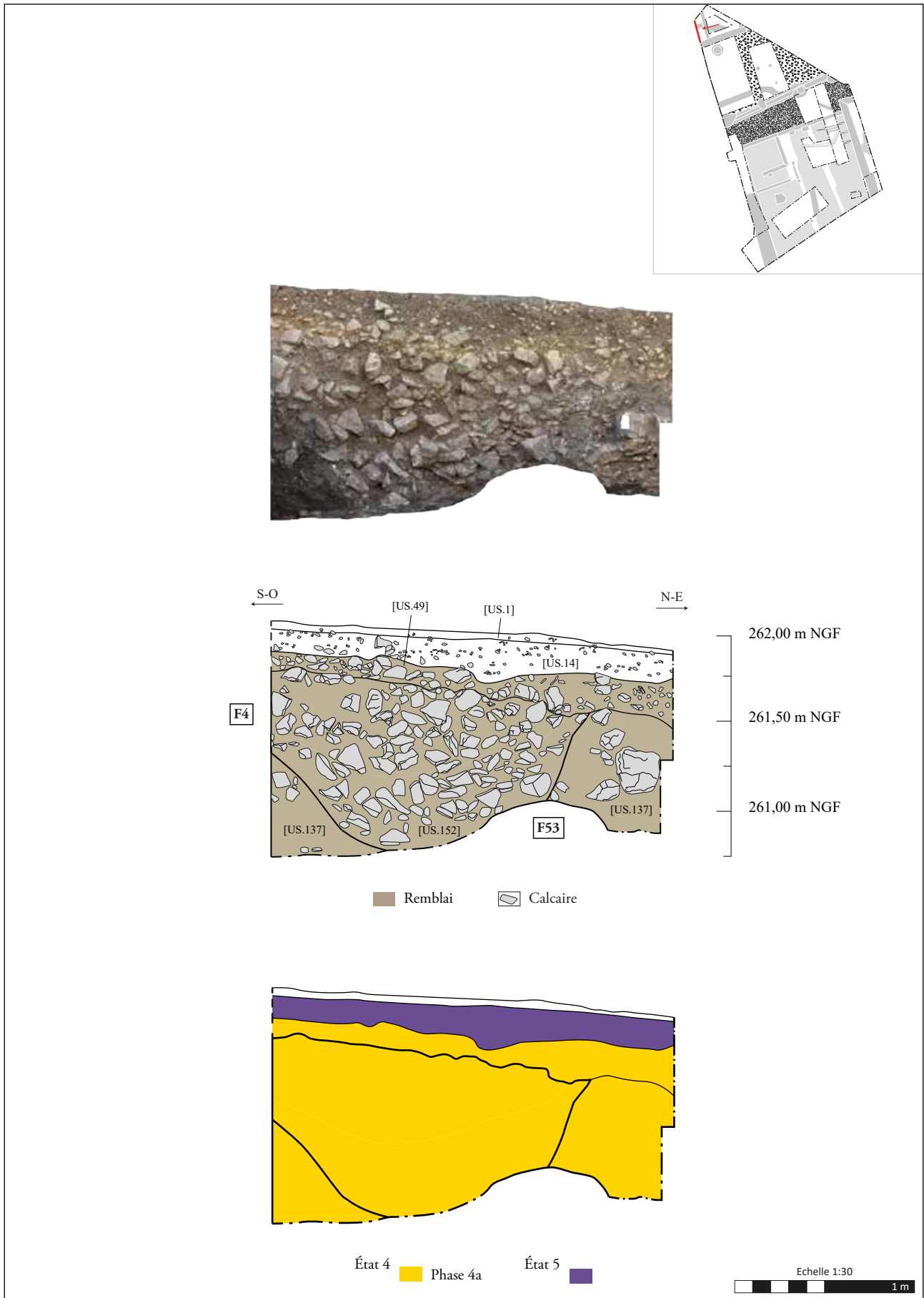


Fig. 213 - Coupe occidentale de l'ensemble ENS.A (DAO : M. Rodriguez, L. Darmon. Infographie : M. Rodriguez).

Le fait F.132 est constitué de deux niveaux : l'US.47/179 et l'US.112. Ces dernières forment un remblai dont l'épaisseur cumulée est de 112 cm (niveau d'apparition : 261,25 m NGF). Elles ont uniquement été observées dans l'emprise des anciens espaces excavés ESP.C2 et ESP.C3. Leur dépôt permet sans doute opportunément de niveler l'affaissement du comblement initial F.100 (**Fig. 133** et **Fig. 216**). Ces deux niveaux présentent des similitudes morphologiques et métrologiques évidentes (**Fig. 214**) mais leur principale convergence est l'importante quantité de matériaux architecturaux (enduits peints, dalles de lauze, bois carbonisé, nodules de torchis) présente dans leur matrice sédimentaire. Ils ont livré 648 tessons de céramique, 421 restes de faune, 547 éléments ferreux, 17 éléments en alliage cuivreux, six éléments lithiques, quatorze fragments de vaisselle en verre et trois blocs architecturaux. Plusieurs éléments remarquables figurent dans ce corpus. On peut notamment mentionner la découverte d'un fragment de porte-vase en pierre (inv.1185) ainsi que celle d'un poids

(inv.425) du même matériau, auxquels s'ajoutent deux lampes à huile (inv. 805 et inv.1021). L'étude céramique fait état d'une chronologie centrée sur la période 150/250.

Le fait F.130 est constitué de sept niveaux : l'US.10/17, l'US.22, l'US.34/41, l'US.64, l'US.125, l'US.203 et l'US.239. Ils forment un remblai apparu à 262,96 m NGF et épais d'environ 1 m (**Fig. 133** ; **Fig. 203** ; **Fig. 204**). Ce remblai présente la particularité de posséder des niveaux inférieurs particulièrement chargés en matériaux de architecturaux (dalles de lauze, enduits peints, blocs calcaire, éléments lapidaire, nodules de torchis), lesquels semble provenir (au moins pour certains d'entre eux) de la démolition consécutive à l'incendie de l'état 3 (**Fig. 217**). En dehors de ce train commun, les différentes composantes de F.130 s'illustrent par leur grande hétérogénéité (**Fig. 215**). Ce remblai a livré 2378 tessons de céramique, 1257 restes de faune, 1663 éléments ferreux, 37 fragments de vaisselle en verre, 31 éléments en alliage cuivreux,

N° d'US	Composante principale	Composante secondaire	Dureté	Homogénéité	Couleur	Inclusions	Épaisseur (cm)	Alti. sup. (m NGF)	Alti. inf. (m NGF)
US.47/179	limon	argileux	compact	hétérogène	marron	charbons ; torchis	49	262,37	261,88
US.112	argile	limoneux	compact	hétérogène	marron	charbons ; blocs calcaire	40	261,65	261,25

Fig. 214 - Caractéristiques principales du remblaiement F.118.

N° d'US	Composante principale	Composante secondaire	Dureté	Homogénéité	Couleur	Inclusions	Épaisseur (cm)	Alti. sup. (m NGF)	Alti. inf. (m NGF)
US.10/17	limon	sable	meuble	hétérogène	gris	rare charbons ; blocs calcaire	15	262,41	262,26
US.22	limon	sable	compact	homogène	brun	charbons fréquents	10	262,62	262,40
US.34/41	limon	argile	meuble	hétérogène	brun noir	charbons fréquents	68	262,65	261,97
US.64	sable	limon	compact	hétérogène	jaune	-	35	262,35	262,00
US.125	argile	limon	compact	hétérogène	jaune	-	12	262,50	262,38
US.203	limon	-	compact	homogène	brun	charbons	21	262,90	262,69
US.239	blocs	limon	meuble	hétérogène	brun	nodules de torchis	11	262,27	262,16

Fig. 215 - Caractéristiques principales du remblaiement F.130.

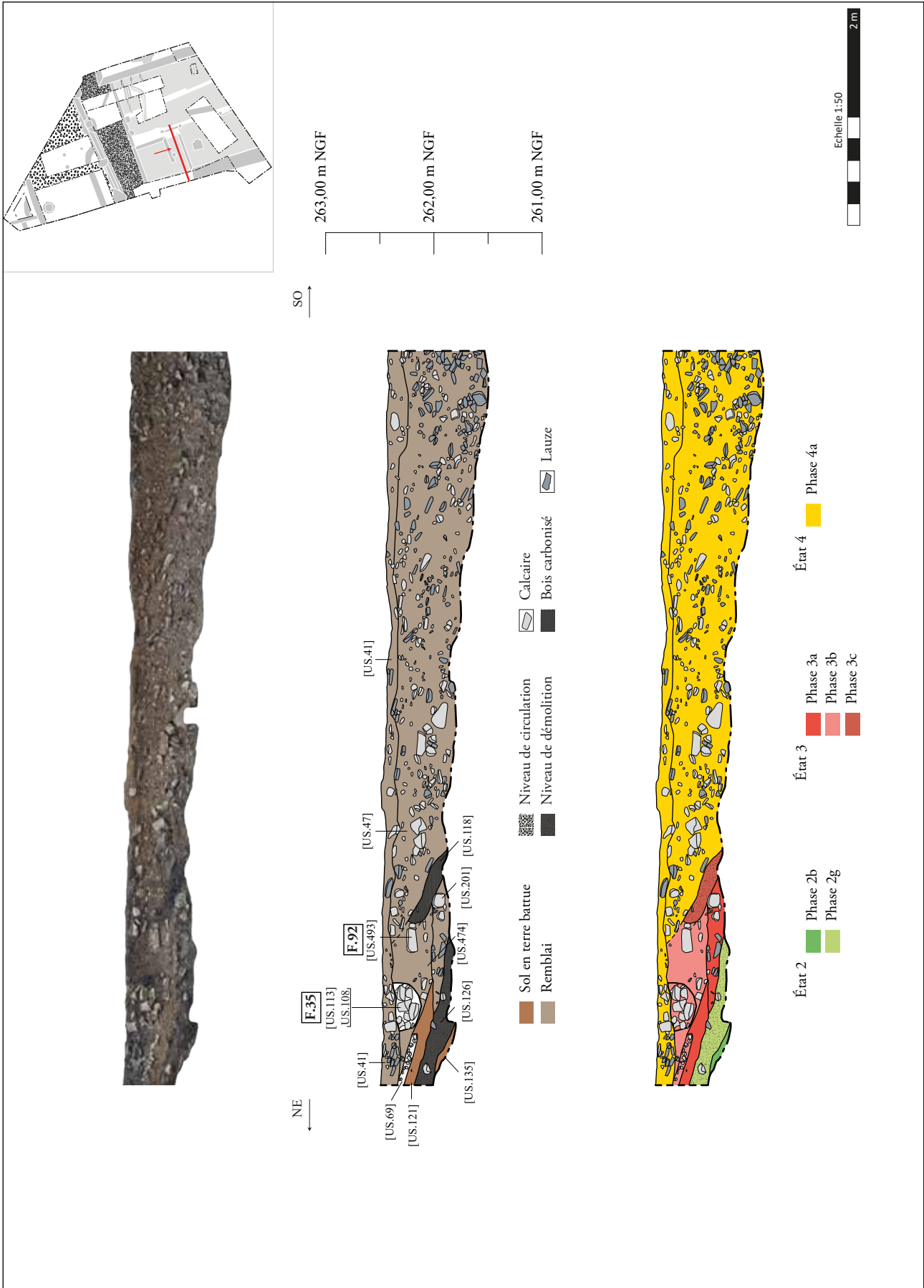


Fig. 216 - Coupe de référence nord-est/sud-ouest de l'espace ESP.C7.



Fig. 217 - Vue zénithale de l'US.203 dans les espaces ESP.C7 et ESP.C10.

treize éléments lapidaire et onze éléments lithiques. Ce corpus, déjà quantitativement significatif, comporte également de nombreux objets remarquables parmi lesquels on peut citer un fragment de brûle-parfum en pierre (inv.349), deux clefs en fer (inv.57 et inv.508), cinq monnaies (inv.137, inv. 237, inv.333, inv.357 et inv. 919), trois fibules en alliage cuivreux (inv.426, inv. 627 et inv. 720), une fusaïole en fer (inv.249), une seconde fusaïole en pierre (inv.430), deux lampes à huile archéologiquement complètes (inv.177 et inv.1020) ainsi que de nombreux fragments d'épingles en os. On peut également mentionner la découverte d'un bloc (inv.609) présentant la particularité d'avoir servi de banc de sciage (**Fig. 218**). L'étude céramique met à nouveau en avant une importante variabilité chronologique. Une première série de vases semble ainsi clairement issue du II^e siècle. Une seconde série, beaucoup plus nombreuse, semble plutôt axée sur la seconde moitié du II^e siècle et la première moitié du III^e siècle. Pour leur part, les deux monnaies formellement identifiées, des dupondii d'Antonin le Pieux, fournissent un TPQ situé à 155-156 de notre ère, ce qui coïncide avec le second TPQ fourni par une fibule skeuomorphe (Feugère 28ab2) attestée entre 100 et 260 de notre ère. La datation de la vaisselle en verre semble soumise à la même variabilité que la vaisselle en céramique. Certains éléments identifiés possèdent des décors mosaïqués plutôt produits au I^{er} siècle. Les éléments plus tardifs, plus nombreux, sont datés du milieu du II^e siècle au milieu du III^e siècle (coupe AR82) et de la fin du II^e siècle au IV^e siècle (gobelets IS.85a et AR 98.1).



Fig. 218 - Objets mis au jour durant la fouille du remblai F.130 : clef inv.57 (a), bloc architectural inv.609 (b).

Le fait F.133 est constitué de six niveaux : l'US.114, l'US.234, l'US.277, l'US.236, l'US.345 et l'US.350. Ces dernières forment un remblai apparu à 262,96 m NGF et épais d'environ 79 cm (**Fig. 60**). En dépit de caractéristiques parfois discordantes (**Fig. 219**), celui-ci représente l'équivalent du remblaiement F.130 dans l'emprise du futur ensemble ENS.B (voir ci-dessous) où il se développe directement sur l'US.274, un probable niveau d'incendie sans doute à mettre en relation avec la fin de l'état 3 (ou, éventuellement, avec la fin de l'état 2). Il a été essentiellement documenté en coupe, ce qui explique sans doute le prélèvement d'un corpus mobilier beaucoup plus restreint que dans les remblaiements contemporains. Ce corpus est constitué de 44 tessons de céramique, de douze restes de faune et de sept éléments ferreux (clous). Le mobilier céramique étudié jusqu'ici est daté de 180/250 de notre ère.

N° d'US	Composante principale	Composante secondaire	Dureté	Homogénéité	Couleur	Inclusions	Épaisseur (cm)	Alti. sup. (m NGF)	Alti. inf. (m NGF)
US.114	limon	gravier	meuble	hétérogène	gris	-	20	262,95	262,75
US.234	limon	argile	meuble	hétérogène	marron	charbons ; terre crue	35	262,72	262,37
US.236	limon	-	meuble	hétérogène	brun	rare charbons ; blocs calcaire	25	262,96	262,71
US.277	limon	argile	meuble	hétérogène	brun	charbons ; blocs calcaire	20	262,42	262,22
US.345	limon	argile	meuble	hétérogène	brun	TCA	7	262,75	262,68
US.350	limon	-	meuble	homogène	noir	-	35	262,68	262,33

Fig. 219 - Caractéristiques principales du remblaiement F.133.

5.6.2. La phase 4b

• L'ensemble ENS.B

Seuls deux niveaux de circulation, F.10 et F.17, attestent de l'existence potentielle de l'ensemble ENS.B durant le dernier état d'occupation antique (**Fig. 220**).

Le fait F.10 a été observé au nord-ouest du mur F.5, où il apparaît à une altitude de 262,56 m NGF. Il est constitué d'un niveau de cailloutis calcaire émoussé lié par un mortier de chaux blanc (US.31) et observé sur une surface restreinte de 50 cm de longueur pour 30 cm de largeur (**Fig. 221**).

Le fait F.17 est quant à lui situé dans l'angle sud-ouest de l'ensemble ENS.B, où il apparaît à 262,35 m NGF. Il est également constitué d'un niveau de cailloutis (US.52) mais il intègre cette fois des éléments de plus gros module (blocs calcaire de 5 cm de longueur maximale). Le cailloutis et les blocs sont maintenus par une matrice limoneuse grise, compacte et homogène associée de manière ponctuelle à des poches de mortier de chaux gris. F.17 a été observé sur une surface également limitée d'environ 80 cm de côté. Il mesure 10 cm d'épaisseur (**Fig. 221**).

• L'ensemble ENS.D

L'ensemble ENS.D se développe le long de la bordure orientale de l'emprise de fouille. Il est délimité au nord par la maçonnerie F.65 et à l'ouest par le mur F.5. Ses limites méridionale et orientale, situées hors emprise, sont inconnues. L'ensemble ENS.D a été observé sur une longueur de 11 m et une largeur de 1,6 m, ce qui représente une superficie de 17,6 m².

- La fosse F.83

La structure F.83 n'a été observée que dans la coupe CP.55 où elle apparaît à 262,71 m NGF (**Fig. 60**). Elle se présente sous la forme d'un creusement (US.293) de plan indéterminé, long de 96 cm et doté d'un profil en cuvette profond de 50 cm. Ce creusement est comblé par un niveau unique (US.273) d'argile jaune, compacte, homogène et associée à de nombreux charbons et à plusieurs blocs de calcaire bruts. Il a livré 34 tessons de céramique, dix restes de faune ainsi que sept éléments ferreux. La céramique est datée de 150/200 de notre ère.

- Les maçonneries F.5 et F.65

Les structures F.5 et F.65 sont deux maçonneries linéaires dont le chaînage matérialise l'angle nord-ouest de l'ensemble ENS.B.

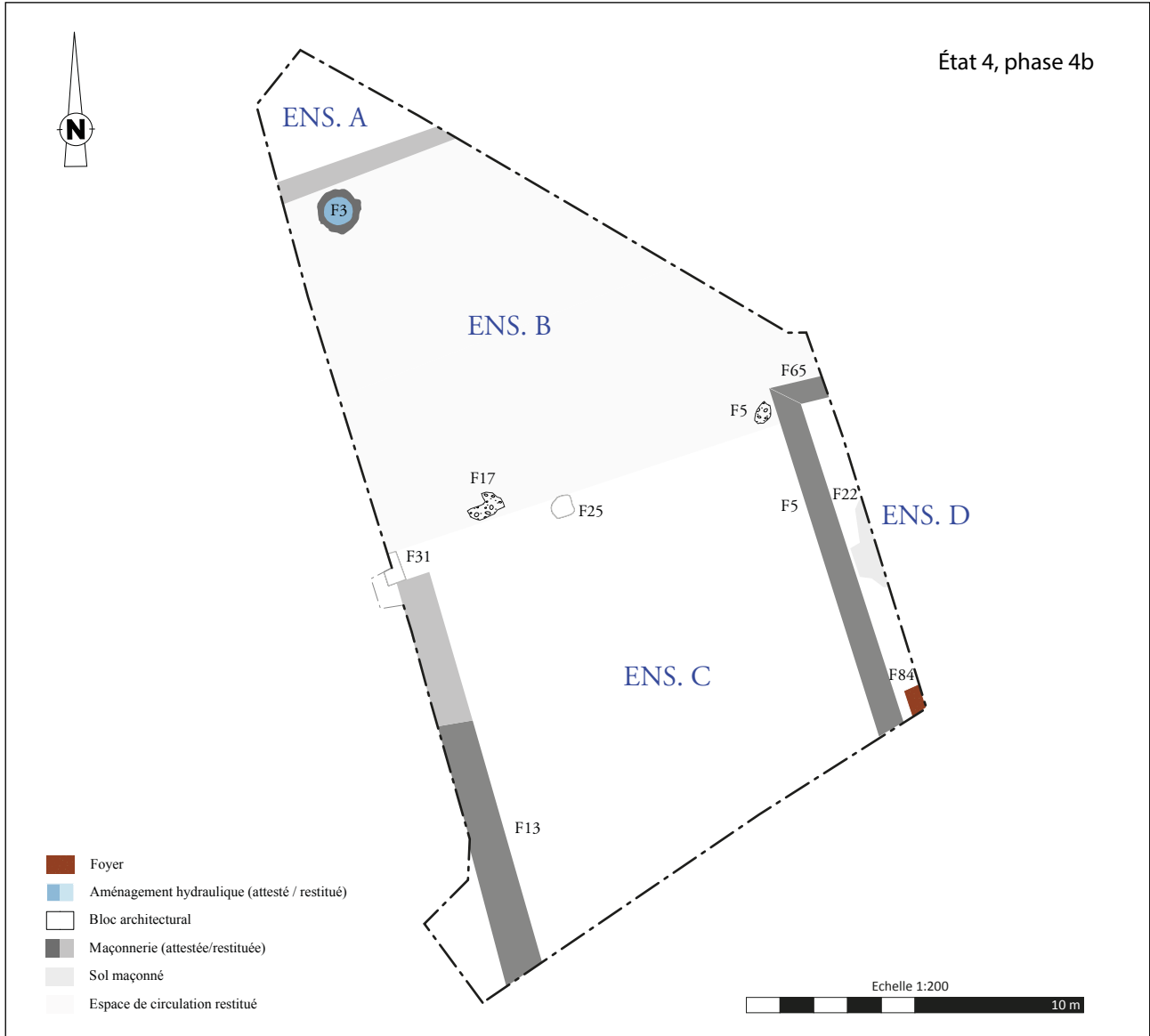


Fig. 220 - Localisation des ensembles de l'état 4 (DAO : M. Rodriguez).

Le mur F.5, qui constitue le mur gouttereau de l'ensemble ENS.D, est apparu à 262,91 m NGF et a été observé sur environ 9 m de longueur (**Fig. 222**). Il s'agit d'une maçonnerie d'orientation nord-ouest/sud-est installée directement dans les remblais F.130 et F.133 (**Fig. 54**). Son creusement (US.38), qui coupe en partie la fosse F.83, est caractérisé par un profil en cuvette large de 157 cm et profond de 148 cm. Il est comblé sur la moitié de sa hauteur par un puissant radier (US.24) épais de 86 cm et constitué de blocs de calcaire lithographique bruts de module hétérométrique associé à des fragments de dalles de lauze. Ces éléments sont liés par une matrice sédimentaire limoneuse très peu dense (**Fig. 223**). Ce radier permet d'asseoir une fondation maçonnée (US.39), laquelle se compose de deux parements de blocs de calcaire lithographique grossièrement équarris de module

moyen à gros (15 à 60 cm de longueur), liés par un mortier de chaux blanc induré comprenant des nodules de chaux millimétriques et encadrant un blocage de blocs de calcaire lithographique bruts de module hétérométrique pris dans une matrice sédimentaire limoneuse brune. Cette fondation maçonnée, large de 91 cm, n'occupe qu'une partie de la tranchée de fondation de F.5. L'autre partie est comblée par un niveau (US.347) de limon brun foncé, meuble, hétérogène et comprenant des inclusions de blocs calcaire (**Fig. 224**). Un possible aménagement de seuil (US.57) a également été observée sur le sommet du radier (**Fig. 225**). Il semble composé d'un unique bloc équarri de grand appareil (inv.666) lui-même issu d'un calcaire très dur et sans doute impropre à la taille. Il comporte des traces d'usures compatibles avec un passage répété. Il est toutefois possible que cet élément lapidaire

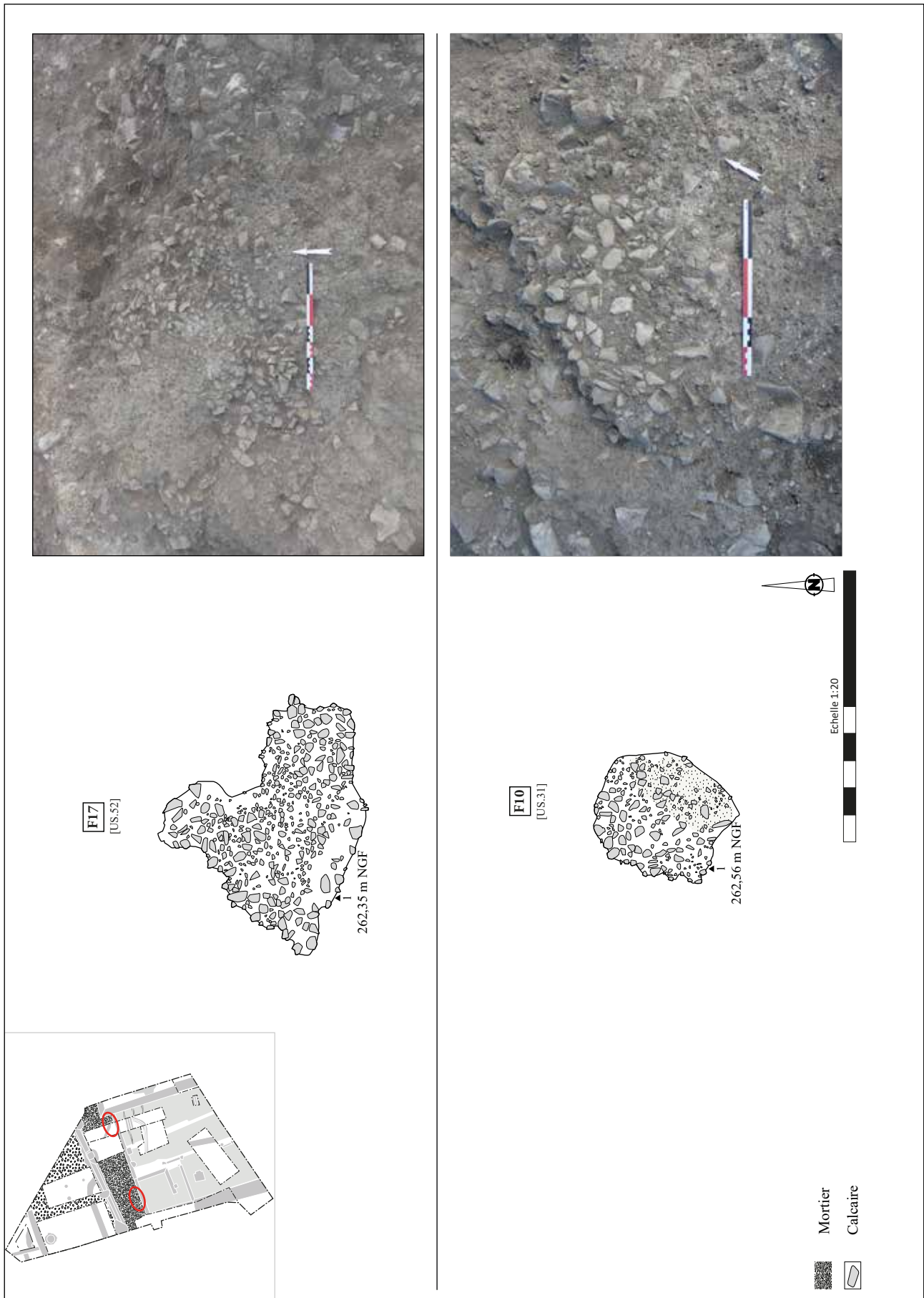


Fig. 221 - Relevés et vues planimétriques des niveaux de circulation F.10 (en bas) et F.17 (en haut) (DAO et infographie : E. Mathieu).

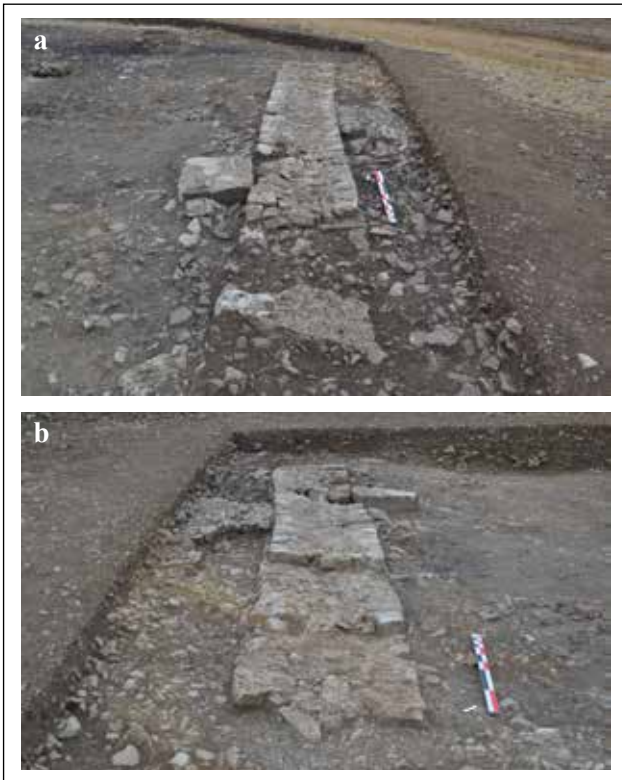


Fig. 222 - Vue oblique du mur F.5 depuis le sud (a) et depuis le nord (b).



Fig. 223 - Vue en coupe du mur F.5.

ait été utilisé sans dimension fonctionnelle dans l'élévation maçonnée. L'élévation (US.23) est conservée sur deux assises. Ces dernières sont construites à partir de moellons de calcaire lithographique équarris et rectangulaire de moyen module (15 à 20 cm de longueur moyenne) maintenus par un mortier de chaux blanc et induré comprenant des inclusions de nodules millimétriques de chaux ainsi que, beaucoup plus rarement, d'éléments plus grossier comme des tessons de céramique (**Fig. 226**). Ces derniers, associés aux éléments mis au jour dans le radier, permettent de proposer un TPQ pour la construction de F.5 situé au III^e-IV^e siècle.



Fig. 224 - Détail de la coupe du mur F.5 montrant la fondation maçonnée US.39 et le comblement US.347 de la tranchée d'implantation.



Fig. 225 - Vue zénithale du possible seuil US.57.



Fig. 226 - Détail de l'élévation US.23 du mur F.5.

La structure F.65 est apparue à 262,36 m NGF et a été observée sur environ 160 cm de longueur. Il s'agit d'une maçonnerie linéaire orientée sud-ouest/nord-est et qui constitue très probablement le retour méridional du mur F.5, avec lequel elle semble chaînée. Dans cet optique, elle incarnerait également le mur de façade de l'ensemble ENS.D. Cette structure semble avoir l'objet d'une récupération importante et seuls une partie de sa tranchée de fondation et son radier ont pu être observés (**Fig. 227**). Le profil de la tranchée (US.221) n'a pu être déterminé durant la phase terrain, bien qu'il semble probable qu'il adopte une forme de cuvette (**Fig. 230**). Il est comblé par un radier (US.220) très similaire à l'US.24. Il s'agit d'un niveau de blocs de calcaire lithographique bruts de module hétérométrique associés à quelques fragments de dalles de lauze. Ces éléments sont pris dans une matrice sédimentaire limoneuse brune et peu dense. La fouille de ce dernier niveau a permis de prélever sept tessons de céramique (non datant), quatre restes de faune et un élément ferreux.

- Le sol F.22

Le fait F.22 a été observé sur une longueur d'environ 230 cm le long du mur F.5, où il est installé directement sur l'US.347 et le fait F.133 (**Fig. 225**). Il s'agit vraisemblablement d'un sol maçonné dont le revêtement ne semble pas conservé (niveau d'apparition : 262,86 m NGF). Son radier (US.60) est constitué de blocs bruts de calcaire lithographique de moyen module (10-15 cm) pris dans une matrice limoneuse brune, meuble et homogène. Il est recouvert par un probable niveau de préparation (US.61) caractérisé par un assemblage de cailloutis et de blocs de calcaire lithographique de petit module (0-5 cm de longueur) pris dans une matrice de mortier de chaux blanc, compact et comportant des inclusions millimétriques de graviers.



Fig. 227 - Vue oblique du radier US.221 de la maçonnerie F.65.



Fig. 228 - Vue zénithale du sol F.22.

- L'aménagement F.84

L'aménagement F.84 est localisé dans l'angle sud-est de l'emprise de fouille, où il a été observé sur 104 cm de longueur et 64 cm de largeur (niveau d'apparition : 262,90 m NGF). Il s'agit d'une structure maçonnée constituée de fragment hétérométriques de dalles de lauze posés à plat et maintenues par un mortier de chaux jaune, friable et comportant des inclusions de sable, de gravier et de nodules millimétriques de chaux (**Fig. 60** et **Fig. 229**). L'emplacement de la structure en bordure d'emprise n'a pas permis une appréhension optimale de sa structure interne. Elle semble aménagée dans l'US.236 (F.133) et son creusement (US.524), de plan indéterminé, semble posséder un profil en U. Le fond de la structure (US.523) paraît constitué de deux assises de fragments de dalles de lauze et de dalles de lauze complètes maintenues par le même mortier jaune présent dans le reste de la maçonnerie. Son épaisseur totale est d'environ 10 cm. Certaines dalles présentent des traces de rubéfac-



Fig. 229 - Vue zénithale de l'aménagement F.84.

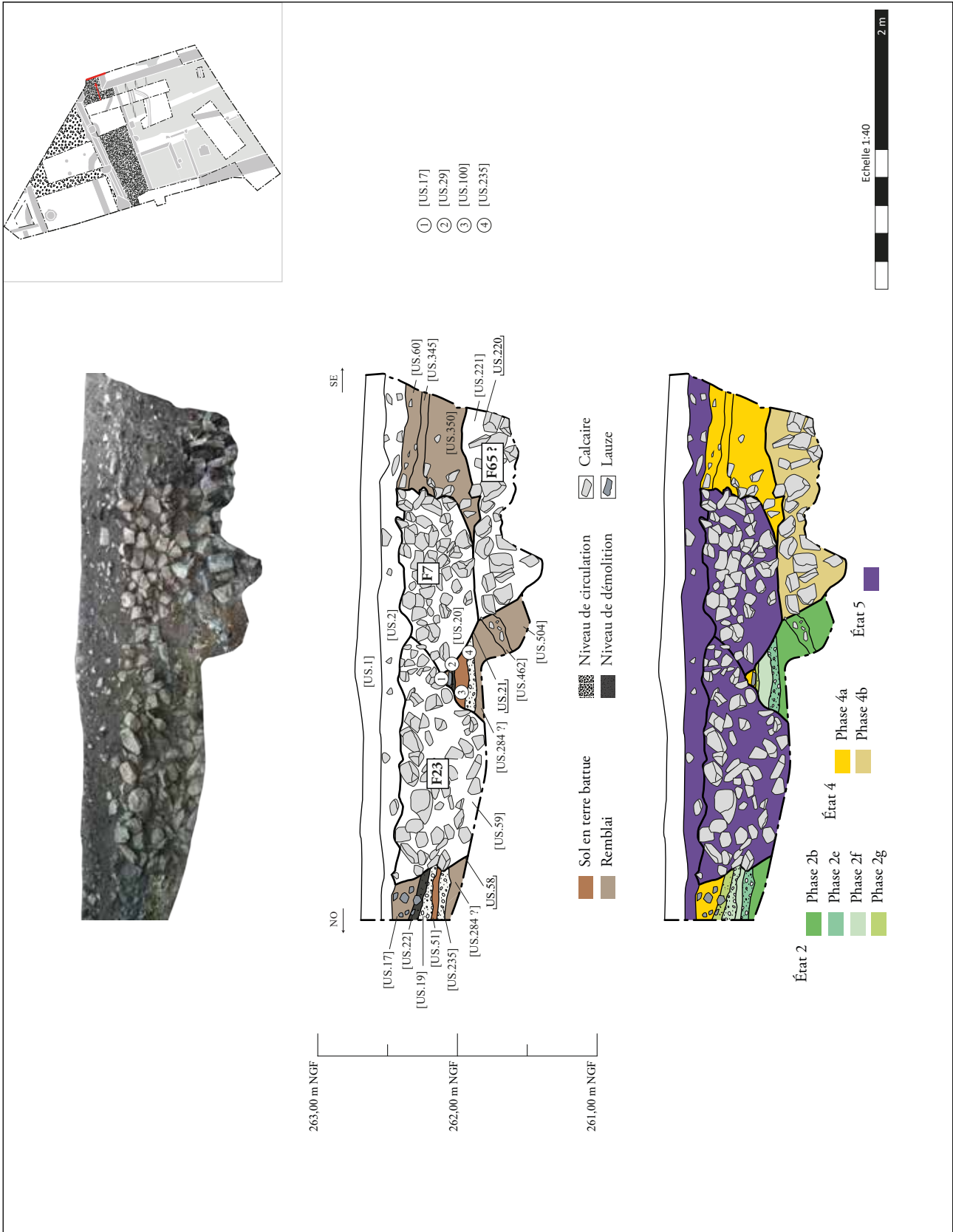


Fig. 230 - Coupe CP.8 (Relevé : M. Poinignon, M. Delagnes. DAO : E. Mathieu. Infographie : M. Rodriguez).

tion. L'absence de mortier dans la partie centrale de la structure pourrait impliquer l'existence de deux de deux piédroits (US.243), hauts d'environ 25 cm, encadrant les bordures nord et sud et dont la mise en œuvre implique à nouveau un empilement de fragments de dalles de lauze liées par un mortier jaune (**Fig. 231**). Enfin, le comblement d'abandon de la structure (US.525) est constitué de fragments de dalles de lauze prises dans une matrice limoneuse brune, homogène et compacte. L'aspect pulvérulent de certaines dalles découvertes évoque les effets des fortes chaleurs constatés sur les foyers F.80 et F.34, deux structures dont la mise en œuvre implique également l'emploi (ou plutôt le recyclage) de dalles de lauze. La fonction de foyer pourrait ainsi être également envisagée pour l'aménagement F.84.

- Les structures F.13, F.31 et F.25

- La tranchée F.13

La tranchée F.13 a été observée dans la partie sud-ouest de l'emprise. Il s'agit d'un creusement implanté selon une orientation nord-ouest/sud-est directement dans le remblai F.130 et visiblement très arasé. Il a été observé sur une longueur d'environ 6,5 m et mesure 180 cm de largeur pour 45 cm de hauteur (niveau d'apparition : 262,51 m NGF). Son comblement est constitué de blocs de calcaire lithographique bruts ou très grossièrement équarris de module hétérométrique (de 15 à 80 cm de longueur) pris dans une matrice limoneuse grise foncée, meuble et homogène (**Fig. 232**). Au vu de ces éléments, il apparaît probable que ce creusement et son comblement constituent la tranchée d'implantation et le radier d'une maçonnerie parallèle à F.5.

- Les bases F.31 et F.25

Située à l'angle des murs F.41 et F.64 (état 2), la structure F.31 se présente sous la forme d'un creusement de plan irrégulier dans lequel ont été superposées deux blocs de grand appareil maintenus en place par un à deux comblements sédimentaires. Son creusement (US.85) possède un plan grossièrement circulaire associé à un profil en cuvette (**Fig. 133** et **Fig. 233**). Il a été observé sur une longueur de 320 cm et une largeur de 120 cm et mesure 88 cm de hauteur. Le bloc inférieur (US.87 / inv.668) repose directement sur le fond du creusement, matérialisé par le



Fig. 231 - Détails de l'aménagement F.84 en cours de fouille.



Fig. 232 - Vue oblique de la tranchée F.13.

mur F.64 (**Fig. 234**). Il s'agit d'un bloc parallélépipédique en calcaire oolithique, long de 104 cm, large de 80,5 cm et haut de 66,5 cm. Il présente plusieurs trous de bardage sans doute destinés à ajuster le bloc supérieur (US.86 / inv.667). Ce dernier est constitué du même matériau et possède la même forme. Il mesure 91,5 cm de longueur, 59 cm de largeur et 62 cm de hauteur. Il s'illustre par une face de parement latérale très lisse et par un lit d'attente parfaitement dressé (**Fig. 235**). Le comblement inférieur (US.182) de F.31 est un niveau limoneux, brun, compact et homogène, associé à de nombreuses inclusions de charbon. Il est recouvert par un second comblement (US.48), lequel possède une trame sédimentaire très sableuse et un peu limoneuse, meuble et homogène. La fouille des comblements a permis la mise au jour de 142 tessons de céramique, 122 restes de faune, 85 éléments ferreux, cinq éléments en alliage cuivreux ainsi que deux fragments de vaisselle en verre. Une large majorité des datations du mobilier céramique convergent vers le III^e siècle.



Fig. 234 - Vue cavalière des blocs US.86 et US.87 en cours de fouille.



Fig. 235 - Vue cavalière du lit d'attente du bloc US.86.

Apparu à 262,60 m NGF, la structure F.25 est localisée à l'angle des murs F.41 et F.32 (état 2). Elle se présente sous la forme d'un creusement de plan grossièrement circulaire dans lequel est installé un bloc architectural maintenu par un comblement de nature sédimentaire (**Fig. 233**). Son creusement (US.89), installé dans le remblai F.130, a été principalement observé en coupe. Il est caractérisé par un profil en cuvette long de 202 cm et profond de 70 cm. Le bloc monumental (US.80 / inv. 665) est déposé directement sur le fond de l'excavation, matérialisé en l'occurrence par la maçonnerie du mur F.32 (**Fig. 236**). Il s'agit d'un bloc de remploi en calcaire oolithique, de dimensions imposantes (65 cm de longueur, 63 cm de largeur et 67 cm de hauteur), et sans doute issu du démantèlement d'un monument en grand appareil sans qu'il soit possible d'identifier précisément sa fonction. Il est recouvert jusqu'à mi-hauteur par un comblement (US.90) constitué de sédiment limoneux brun, compact, homogène et associé à de nombreux graviers. Ce niveau a livré douze tessons de céramique, un reste de faune, 44 éléments ferreux et un fragment de vaisselle en verre. L'étude céramique propose une datation centrée sur I^{er} et le II^e siècles, mais il convient de noter qu'elle repose sur un nombre très faible d'individus. Elle repose ainsi potentiellement sur des éléments intrusifs qui ne suffisent pas à eux seuls à invalider la chronologie relative suggérée par l'analyse stratigraphique.

Il semble probable que ces deux aménagements, dotés d'une mise en œuvre comparable, aient fait office de bases ou dés de support, possiblement pour des montants/poteaux en bois.



Fig. 236 - Vue oblique du bloc US.80 installé sur les murs F.41 et F.32.

5.7. L'état 5

5.7.1. Les structures de spoliation

- Les fosses

Six fosses viennent témoigner de la poursuite de la fréquentation du site après l'état 4 : F.7, F.8, F.23, F.59, F.66 et F.70 (**Fig. 239**). À l'exception de F.59, elles semblent essentiellement implantées dans la partie sud de l'emprise de fouille. Il s'agit d'aménagement isolés qui ne présentent aucune organisation particulière et qui n'appartiennent manifestement à aucun ensemble cohérent. Elles possèdent un plan généralement circulaire ou sub-circulaire associé à un profil en cuvette (**Fig. 240 ; Fig. 241 ; Fig. 242**). À l'exception de F.8, elles possèdent un comblement unique généralement limono-argileux ou limoneux. Certaines de ces structures (F.7, F.23 et F.66) peuvent être directement mises en relation avec une activité de spoliation. Par ailleurs, Trois fosses (F.7, F.8 et F.70) contenait du mobilier et deux d'entre elles (F.7 et F.8) ont livré des tessons de céramique datant (en quantité toutefois restreinte). Ce dernier semble impliquer une chronologie centrée sur le III^e-IV^e siècle.

- La tranchée F.40

La tranchée F.40 a été observée dans l'angle sud-est de l'emprise, où elle vient couper la maçonnerie du mur F.5 ne laissant de celui-ci que son radier (**Fig. 203** et **Fig. 237**). Son creusement (US.117) adopte un plan linéaire rectiligne orienté nord-ouest/sud et observé sur 142 cm de longueur et 90 cm de largeur (niveau d'apparition : 262,95 m NGF). Son profil, en forme de cuvette, est profond de 46 cm. Il est comblé par un niveau unique (US.116) de limon argileux brun, compact et homogène, associé à de nombreuses inclusions de blocs de calcaire lithographique, de fragments de dalles de lauze et de nodules de mortier blanc.

- La tranchée F.9

La structure F.9 est un creusement linéaire rectiligne orienté nord-ouest/sud-est implantée dans l'emprise de l'ensemble ENS.B (niveau d'apparition : 262,41 m NGF). Elle a été observée sur près de 5,30 m de longueur et mesure 80 cm de largeur (**Fig. 238**). Son comblement, identique au colluvionnement US.2, n'a pas livré de mobilier. Sa fonction demeure indéterminée (sillon de labour ? fossé parcellaire ?).

5.7.2. Les colluvions

Les vestiges antiques sont recouverts par une succession de niveaux de colluvionnement (US.2 et US.13/14). Ces derniers présentent une morphologie similaire. Il s'agit de couches de sédiment limoneux brun, gris ou marron, compact et homogène. Elles



Fig. 237 - Vue en coupe de la tranchée F.40 sur le radier du mur F.5.



Fig. 238 - Vue oblique de la tranchée F.9 (fin de fouille).

comportent une quantité importante de blocs de calcaire lithographique bruts de petit (1 à 5 cm de longueur moyenne) à moyen (5 à 15 cm de longueur moyenne) ainsi que de rares charbons. Leur altimétrie (de 262,96 m NGF au sud à 261,89 m NGF au nord) ainsi que leur épaisseur (de 65 cm au sud à 19 cm

au nord) reflètent l'important pendage sud-est/nord-ouest qui caractérise aujourd'hui cette partie du plateau. Bien que ces niveaux soient stériles en mobilier (ou peu s'en faut), il semble probable que le liard de Léopold I^{er} (1679-1729) mis au jour durant le nettoyage des vestiges soit à rapprocher de cet horizon.



Fig. 239 - Localisation des principales structures de l'état 5. DAO : M. Rodriguez.

N° de fait	Plan	Profil	Dimensions (cm)	Profondeur (cm)	Alti. sup. (m NGF)	Alti. inf. (m NGF)
F.7	circulaire	cuvette	100x90	75	262,45	261,70
F.8	ovalaire	cuvette	206x116	82	262,44	261,62
F.23	circulaire ?	cuvette	110x30	20	262,51	262,31
F.59	indéterminé	cuvette	78x?	46	262,56	262,10
F.66	indéterminé	cuvette	140x?	33	262,65	262,32
F.70	ovalaire	indéterminé	192x131	?	262,11	?

Fig. 240 - Caractéristiques principales des fosses de spoliation.

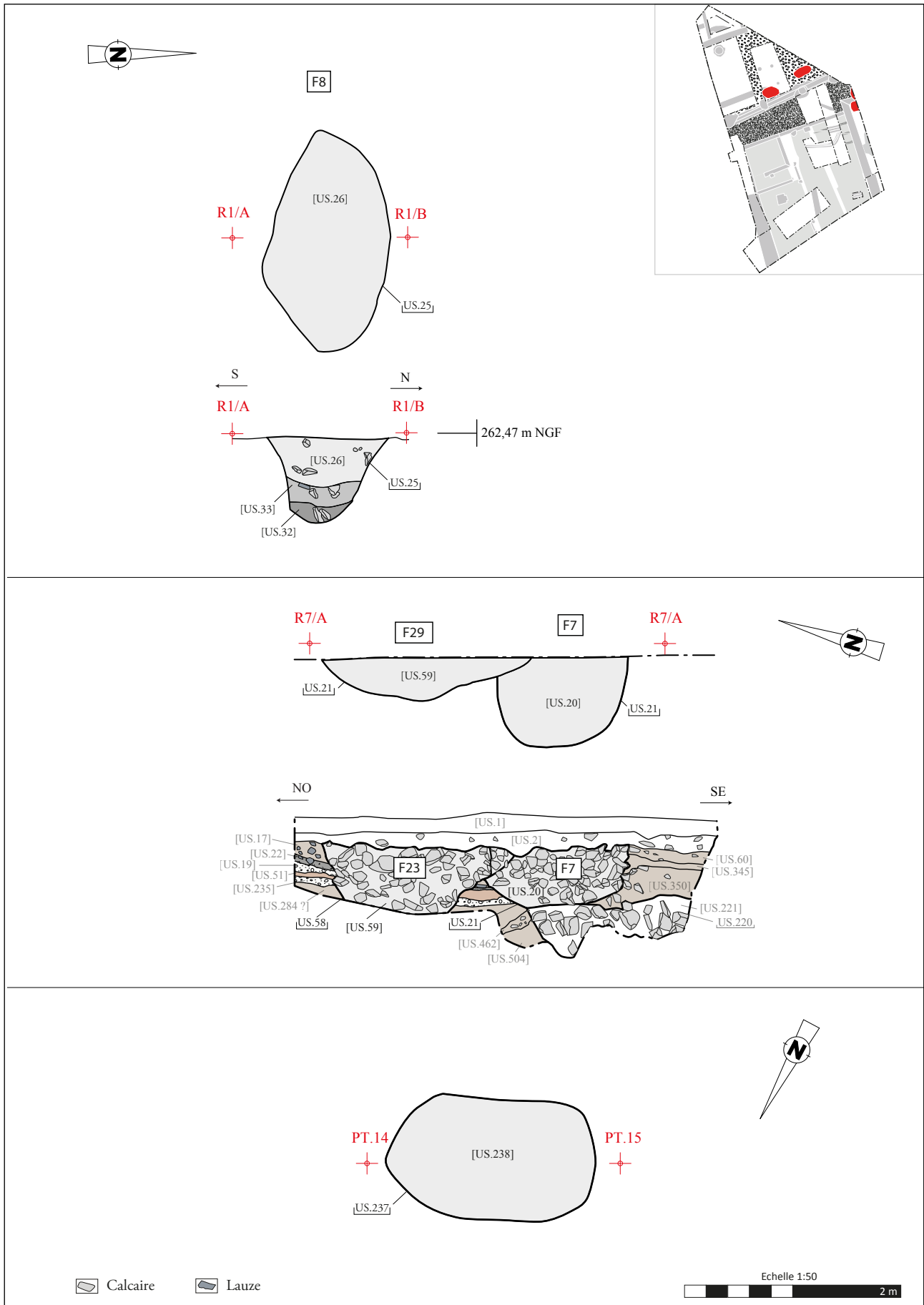


Fig. 241 - Relevés des fosses F.7, F.8, F.23 et F.70. Relevés : C. Dorolle, L. Josse, E. Mathieu, L. Wissemberg. DAO : E. Mathieu, M. Setan. Infographie : M. Rodriguez.



Fig. 242 - Photographies des fosses F.7, F.8, F.23 et F.70.

6. Études spécialisées

6.1. La céramique

Marion Legagneux

6.1.1. Introduction

L'étude céramique des Grandes Corvées a été amorcée dès 2022, en parallèle avec celle des Soylières. Elle concerne ainsi la fouille programmée des Grandes Corvées, réalisée entre les années 2020 et 2021, sous la responsabilité de Miguel Rodriguez.

6.1.2. Les données quantitatives

Le mobilier céramique est actuellement réparti dans 32 caisses, dont 18 ont été traitées à ce jour : comptage, pesée, tri par catégorie et dessins. Ainsi, près de 117 kilogrammes ont été traités. Le nombre total de restes est de 7840 tessons pour un NMI de 751, basé sur les éléments de formes.

Le tableau présenté en annexe (9.5.2) comporte cinq premières colonnes d'inventaire indiquant le Fait, l'US, le sondage, le numéro de caisse et le numéro d'ordre ou inventaire du lot ; la sixième colonne concerne les catégories de pâtes identifiées. S'en suivent les parties morphologiques des tessons : bord (B), fond (F), anse (A), décor (D), marque/estampille/graffiti (M) et panse (P) ; le nombre de restes (NR) ; le nombre minimum d'individus par élément de forme (NMI), ainsi que le poids en grammes. Une colonne de texte est ajoutée ; elle permet de préciser les typologies identifiées, mais également les éléments tra-céologiques reconnus sur les tessons. Enfin, une colonne de datation précise la chronologie des éléments identifiés.

6.1.3. Les catégories céramiques

Ce sont près de 70 catégories qui ont été identifiées sur le chantier des Grandes Corvées. Les catégories sont conformes - à peu de choses près - à celles découvertes sur les sites de Mazerioie et des Soylières. Les différences de faciès identifiées à ce jour se trouvent dans les proportions de certaines des catégories ainsi que la chronologie.

- Le service de table

Ce répertoire concerne à ce jour 3721 tessons (soit 47 % du corpus total inventorié à ce jour) et un NMI de 438 (soit 58 % du corpus). Ces premières données sont à prendre avec une certaine prudence ; en effet, seules 18 caisses ont été comptées sur les 32 qui composent le total des céramiques du corpus. Le tableau (Fig. 243) présente les différentes catégories du service de table et leurs abréviations.

Abréviation	Catégorie céramique
TSSG	Terre sigillée sud gauloise
TSGC	Terre sigillée Gaule du Centre
TSGE	Terre sigillée Gaule de l'Est
Plomb.	Céramique plombifère
P.F.Lx.	Céramique à paroi fine de Lezoux
P.F.Co.	Céramique à paroi fine de Cologne
P.F.Tr.	Céramique à paroi fine de Trèves
P.F.Arg.	Céramique à paroi fine d'Argonne
P.F.Eng-	Céramique à paroi fine engobée brun (Br.), rouge (Rg.)
P.F.A	Céramique à paroi fine claire
P.F.B	Céramique à paroi fine sombre
P.F.Mic.	Céramique à paroi fine claire micacée
Met.Lx.	Céramique métallescente de Lezoux
Met.Tr.	Céramique métallescente de Trèves
Met.Arg.	Céramique métallescente d'Argonne
T.N.	Céramique terra nigra
T.R.	Céramique terra rubra
E.R.I.	Céramique à engobe rouge interne (imitation R.Pomp.)
Eng-	Céramique claire engobée blanc (Bl.), brun (Br.), micacé (Mic.), noir (Nr.), orange (Org.), rouge (Rg.)
F-	Céramique fine claire (Cl.), claire enfumée (Cl. Enf.), sombre (Sb.), micacée (Mic.), kaolinitique (Kao.),

Fig. 243 - Tableau des catégories du service de table.

- La vaisselle culinaire

La vaisselle culinaire (**Fig. 244**) concerne 3169 tessons (soit 40 % du corpus déjà comptabilisé) pour 290 individus (soit 38 % du corpus).

- La vaisselle de transport et de stockage

Cette famille peut être divisée en deux ensembles : la vaisselle de transport (amphores) et la vaisselle de stockage (*dolia*) (**Fig. 245**). Au total, ce sont 928 restes qui ont été comptabilisés, pour seulement 22 individus. Suite à une observation totale des caisses, la part des amphores semble en réalité beaucoup plus importante.

Abréviation	Catégorie céramique
R.Pomp.	Céramique à vernis rouge pompéien
Bes.	Céramique de type Besançon
Com.C.B.	Céramique champenoise « craquelée bleutée »
Com.Rug.	Céramique rugueuse (production de l'Eifel)
Com.Cl.Mor.	Mortier en céramique claire
Com.Cl-	Céramique commune claire, claire enfumée (Enf.), micacée (Mic.), sableuse (Sa.)
Com.Kao.	Céramique commune kolinitique
Com.Sb.	Céramique commune sombre
G.Com-	Céramique grossière claire (Cl.), sombre (Sb), micacée (Mic.), sableuse (Sa.), siliceuse (Sil.)
G.Com.Coq.	Céramique grossière à dégraissant coquillier claire (A) et sombre (B)

Fig. 244 - Tableau des catégories de vaisselle culinaire.

6.1.4. Conclusion

Ce rapide aperçu des céramiques des Grandes corvées n'a d'autres visées que de montrer l'avancement du travail sur cet abondant corpus, dont le traitement s'élève à ce jour à 56 %. Cet inventaire a permis de fournir de précieux éléments de datation pour caler le phasage du site (**Fig. 246**), tandis que les dessins, classés ci-dessous par US, illustrent ces propositions de datation (**Fig. 247** à **Fig. 264**). L'année 2024 sera consacrée à la finalisation de la quantification et de l'illustration de ces céramiques, pour fournir une étude exhaustive de ce corpus qui viendra enrichir et compléter le faciès de consommation sur le site de *Nasium*, en apportant notamment des données inédites sur le IV^e siècle, période encore très peu abordée sur le site.

Abréviation	Catégorie céramique
Amph.It.	Amphore italique
Amph.Bet.	Amphore bétique
Amph.Gau.	Amphore gauloise
Amph.Reg.	Amphore régionale
Amph.	Amphore indéterminée
Dol.Gn.	<i>Dolium</i> type Goebange-Nospelt
Dol.Coq.	<i>Dolium</i> local à dégraissant coquillé

Fig. 245 - Tableau des catégories de vaisselle de transport et de stockage.

Fig. 246 - Quantification des céramiques par unité stratigraphique.

Fait	US	Sondage	N° d'inv.	Contenant	NR	NMI	Poids (g.)	Datation
/	3	/	136	C.1	161	17	1436,5	III ^e s.
/	4	/	9	C.1	755	83	9186,5	IV ^e s.
F.130	4	/	56	C.1	1	1	92,4	60/150 ap.
/	5	/	18	C.2	20	3	256	TPQ XII ^e siècle
/	6	/	264	C.2	47	7	329,2	III ^e s.
/	8	/	34	C.2	62	10	838,7	III ^e s.
/	9	/	54	C.2	8	3	125,4	III ^e s.
F.130	10	/	160	C.2	379	18	7830,9	III ^e s.
F.3	15	/	88	C.2	19	1	71,6	II ^e -III ^e s.
F.130	17	/	117	C.3	50	8	788,7	II ^e s.
F.130	17	/	117	C.3	5	3	77,2	60/160 ap.
F.3	18	/	93	C.3	2	0	9,3	Antique
F.3	18	/	93	C.3	49	6	275,6	IV ^e s.
F.27	19	/	281	C.3	2	0	6,6	Antique
F.7	20	/	180	C.3	3	0	3	III ^e s.

Mutations urbaines à Nasium (Meuse) | Rapport intermédiaire 2023

Fait	US	Sondage	N° d'inv.	Contenant	NR	NMI	Poids (g.)	Datation
F.125	22	/	106	C.3	76	8	1228,6	III ^e s.
F.125	22	/	740	C.3	15	2	203,2	Antique
F.5	24	/	443	C.3	15	2	641,7	III ^e -IV ^e s.
F.5	24	/	713	C.3	12	0	36,4	II ^e -III ^e siècles
F.8	26	/	121	C.3	9	2	51,3	190/260 ap.
F.9	28	/	199	C.3	5	0	11,1	I ^{er} -II ^e s.
F.125	29	/	111	C.3	42	5	1051,8	60/150 ap.
F.125	29	/	704	C.3	39	3	493,9	II ^e s.
F.13	30	/	796	C.3	4	0	15,4	70/120 ap.
F.8	32	/	147	C.3	6	1	26,5	15/60 ap.
F.8	33	/	173	C.3	7	1	25	III ^e -IV ^e s.
F.130	34	/	153	C.4/5	602	47	14809,5	150/200 ap.
F.11	37	/	301	C.6	42	4	257,4	15/60 ap.
F.5	39	/	301	C.6	1	1	35,5	III ^e -IV ^e s.
F.130	41	/	187	C.6	562	60	6676,5	II ^e -III ^e s.
F.130	41	/	187	C.7	530	48	8348,5	150/250 ap.
/	42	/	188	C.7	23	1	412,2	II ^e s.
F.125	46	/	454	C.7	5	2	88,4	60/150 ap.
F.125	46	/	718	C.7	25	2	208,1	II ^e s.
F.132	47	/	325	C.8	227	24	3305,8	200/250
F.132	47	/	808	C.8	268	27	4769,5	200/250 ap.
F.31	48	/	290	C.9	106	15	859,2	III ^e s.
F.31	48	/	697	C.9	39	6	343,1	II ^e s.
F.118	49	/	369	C.9	139	22	2214,6	100/200 ap.
F.27	50	/	230	C.9	3	0	7,2	Antique
F.27	51	/	267	C.9	33	4	764,4	60/100 ap.
F.28	53	/	252	C.9	97	6	1518	II ^e s.
/	56	/	304	C.9	56	7	2307,5	II ^e -III ^e s.
F.130	64	/	241	C.9	32	6	335,1	II ^e -III ^e s.
F.124	65	/	259	C.9	37	3	318,3	I ^{er} s.
F.43	74	/	462	C.10	1	0	11,7	Antique
F.43	75	/	318	C.10	1	0	46,8	Antique
/	77	/	295	C.10	57	3	486,9	100/150 ap.
F.29	79	/	341	C.10	4	0	152,4	I ^{er} -II ^e s.
F.25	81	/	274	C.10	12	0	59,9	I ^{er} -II ^e s.
F.104	82	/	285	C.10	79	9	842,1	100/150 ap.
F.44	83	/	556	C.10	4	0	3,7	Antique
/	84	/	401	C.10	115	9	844,6	60/150 ap.
F.129	91	/	590	C.10	41	3	428,1	80/150 ap.
F.112	97	/	1181	C.10	3	0	21,9	Antique
F.27	99	/	505	C.10	103	7	712,9	50/150 ap.
F.27	100	/	342	C.10	128	10	920,6	50/120 ap.
F.34	102	/	477	C.10	16	1	81,2	I ^{er} -II ^e s.
F.118	109	/	486	C.10	38	4	493,3	II ^e s.
F.118	109	/	484	C.10	92	1	2890,4	Antique
F.118	110	/	419	C.10	4	0	47,5	II ^e s.
F.118	111	/	437	C.11	179	21	3413,3	100/150 ap.
F.132	112	/	412	C.12	217	24	8010,2	150/200 ap.
F.35	113	/	359	C.11	97	12	525,7	160/250 ap.
/	118	/	1226	C.11	1	1	0,5	II ^e s.
F.44	120	/	555	C.11	4	0	47,9	II ^e -III ^e s.
/	121	/	479	C.11	24	3	212,7	150/230 ap.

Mutations urbaines à Nasium (Meuse) | Rapport intermédiaire 2023

Fait	US	Sondage	N° d'inv.	Contenant	NR	NMI	Poids (g.)	Datation
F.129	122	/	491	C.11	81	3	939,8	100/150 ap.
F.51	123	/	503	C.11	10	1	37,4	100/150 ap.
F.47	124	/	629	C.11	15	1	343,6	100/150 ap.
F.51	125	/	520	C.11	64	9	945	100/150 ap.
F.68	127	/	551	C.11	5	0	26,5	II ^e s.
/	128	/	532	C.11	150	14	2063,4	120/200 ap.
F.16	129	/	542	C.11	67	7	409,5	II ^e s.
F.44	130	/	579	C.11	26	3	155	II ^e -III ^e s.
F.44	131	/	576	C.11	16	0	38,1	II ^e -III ^e s.
F.44	133	/	601	C.13	154	12	1478,2	60/160 ap.
F.131	134	/	595	C.13	18	1	70,4	200/280 ap.
F.118	137	/	598	C.11	3	1	100,2	Antique
F.118	137	/	581	C.13	193	17	1994,6	III ^e s.
F.118	137	/	1500	C.13	13	1	115,6	Antique
F.38	141	/	813	C.13	220	14	2060,5	60/150 ap.
/	143	/	637	C.13	3	0	3,4	II ^e s.
F.34	144	/	612	C.13	9	0	123,9	I ^{er} -II ^e s.
F.28	145	/	626	C.13	3	1	22,2	Antique
F.131	146	/	836	C.13	49	8	179,3	II ^e s.
F.131	146	/	1035	C.13	1	0	2,6	Antique
F.51	147	/	641	C.13	8	2	111,4	50/150 ap.
F.52	149	/	631	C.13	65	4	295,7	Antique
F.50	153	/	1193	C.13	4	0	27,9	Antique
F.56	154	/	957	C.13	5	1	37,4	Antique
F.56	155	/	709	C.13	5	2	31,3	III ^e s.
F.52	157	/	900	C.13	58	4	372,6	60/100 ap.
F.42	162	/	841	C.13	39	0	220,2	I ^{er} -II ^e s.
F.34	171	/	651	C.13	5	1	18,2	Antique
/	174	/	657	C.13	3	0	24,9	I ^{er} s.
/	179	/	685	C.14	1	0	2874,1	I ^{er} -II ^e s.
F.34	180	/	658	C.13	18	4	90,3	70/120 ap.
F.31	182	/	760	C.13	3	0	19,6	Antique
F.52	194	/	926	C.13	26	2	94,2	II ^e s.
/	196	/	969	C.13	2	2	30,6	80/120 ap.
F.11	217	/	838	C.13	33	3	230	60/110 ap.
F.63	218	/	1047	C.13	8	0	17,1	I ^{er} -II ^e s.
F.62	219	/	1072	C.13	33	1	389,6	I ^{er} -II ^e s.
F.65	221	/	1001	C.13	7	4	40,8	Antique
/	223	/	670	C.13	68	7	669,6	III ^e -IV ^e s.
/	224	/	673	C.14	82	11	1387,6	II ^e s.
/	225	/	693	C.14	3	1	124,9	III ^e -IV ^e s.
F.117	227	/	761	C.14	10	1	27,6	III ^e -IV ^e s.
F.69	229	/	801	C.14	4	0	18,5	I ^{er} -II ^e s.
F.69	230	/	778	C.14	7	0	7,5	I ^{er} -II ^e s.
F.44	231	/	762	C.14	36	4	450,2	100/150 ap.
F.83	233	/	790	C.14	33	7	306,8	150/200 ap.
F.133	234	/	768	C.14	7	3	92,1	180/250 ap.
F.130	236	/	769	C.14	31	3	289,4	II ^e s.
F.130	239	/	793	C.14	3	0	4,4	Antique
F.20	242	/	1132	C.14	6	3	16	60/160 ap.
F.96	252	/	814	C.14	71	7	389,4	III ^e s.
F.100	259	/	1270	C.14	38	3	386,2	II ^e s.
F.100	259	/	1333	C.31	178	1	3520	II ^e s.

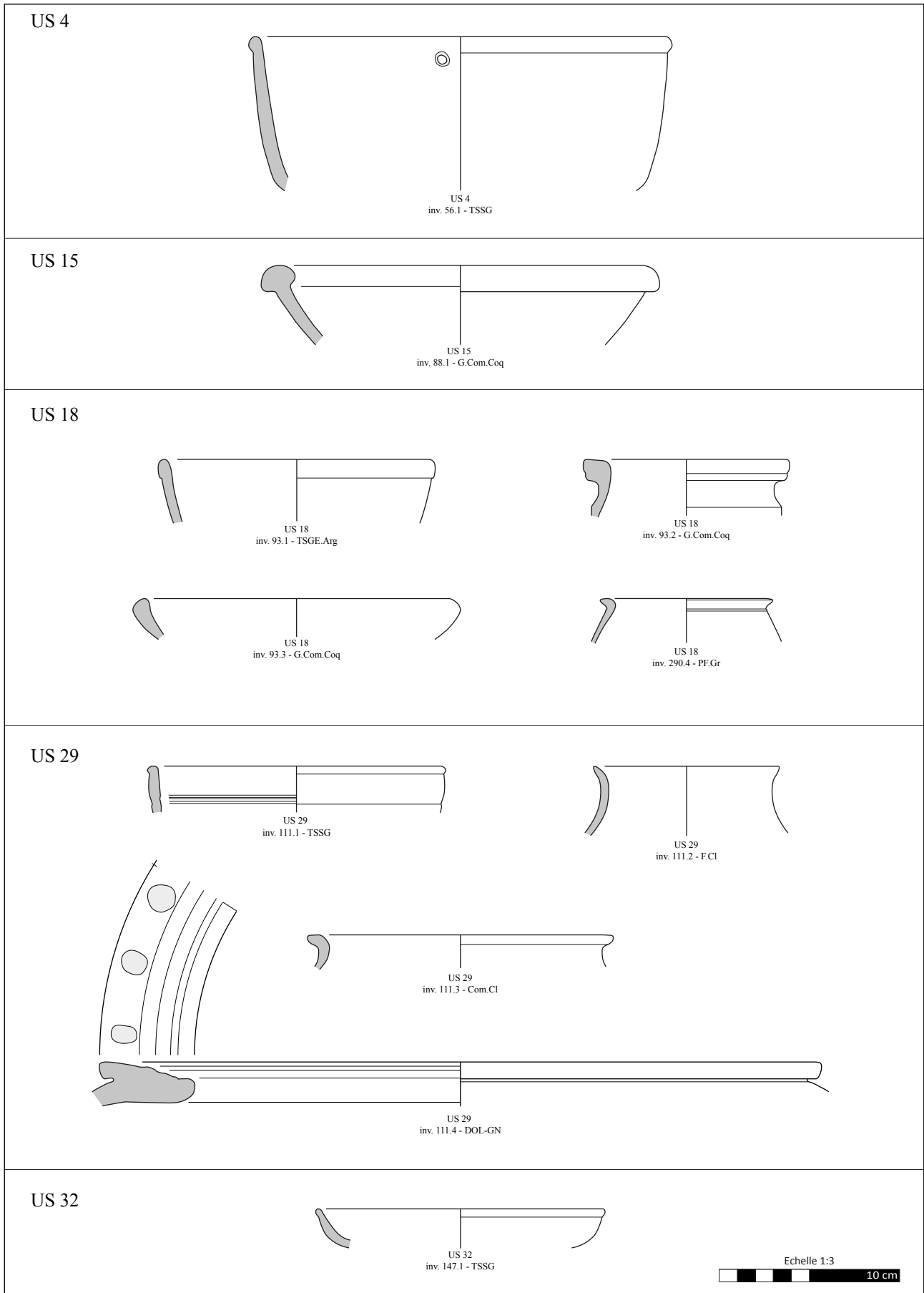
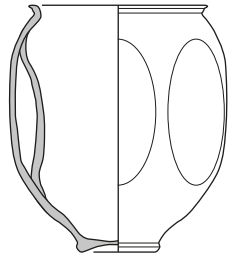
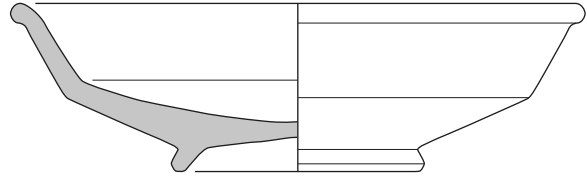


Fig. 247 - Les céramiques (1/18) : US 4 à US 32 (DAO : M. Legagneux, B. Bonaventure).

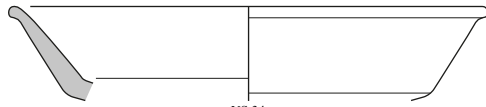
US 34



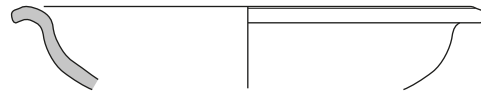
US 34
inv. 153.14 - PF.Arg



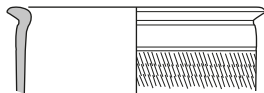
US 34
inv. 153.14 - TSSG



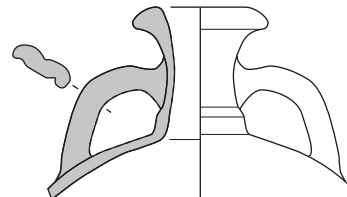
US 34
inv. 153.15 - TSGE



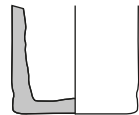
US 34
inv. 153.16 - TSGE



US 34
inv. 153.18 - TR



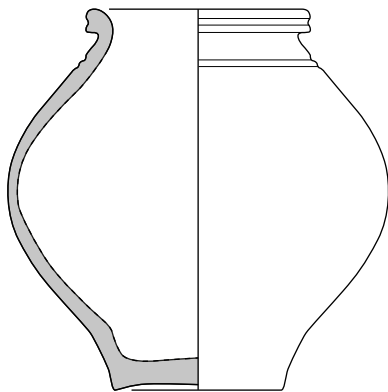
US 34
inv. 153.19 - Com.Cl



US 34
inv. 153.20 - C.Com.Coq



US 34 - inv. 153.21



US 34
inv. 153.22 - Com.Sb



US 34
inv. 153.25 - COM

Echelle 1:3
10 cm

Fig. 248 - Les céramiques (2/18) : US 34 (DAO : M. Legagneux, B. Bonaventure).

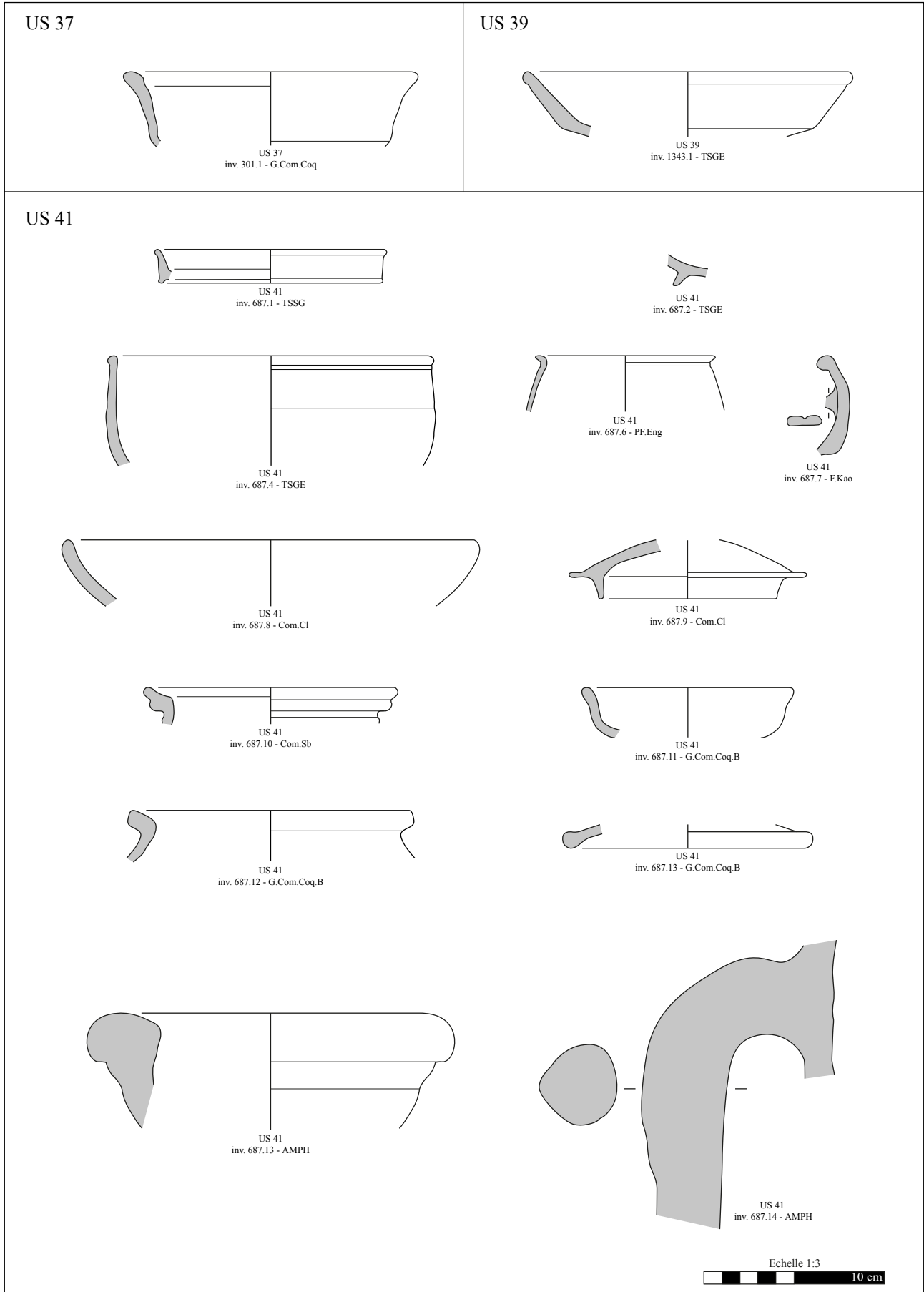


Fig. 249 - Les céramiques (3/18) : US 37 à US 41 (DAO : M. Legagneux, B. Bonaventure).

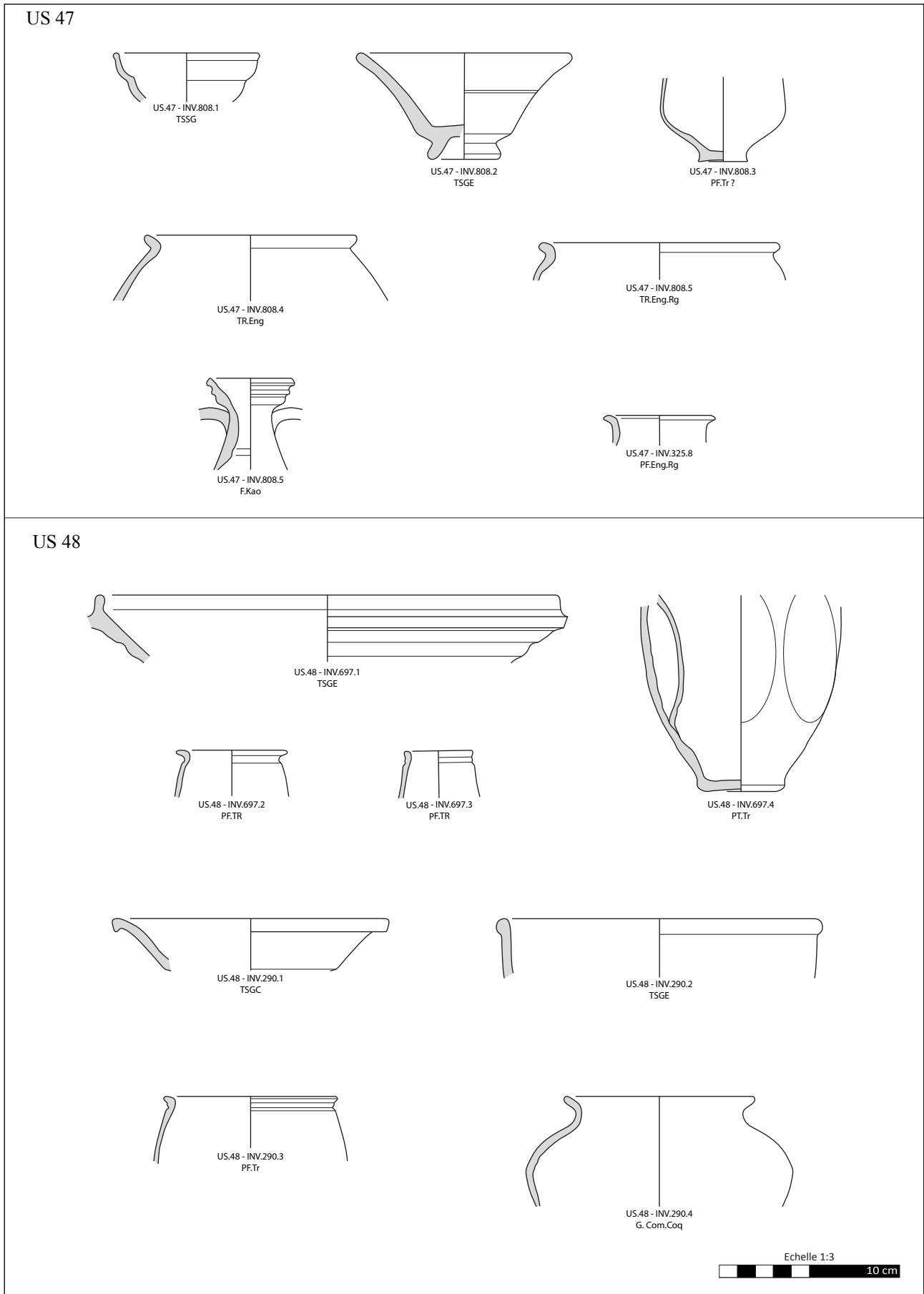


Fig. 250 - Les céramiques (4/18) : US 47 et US 48 (DAO : M. Legagneux, B. Bonaventure).

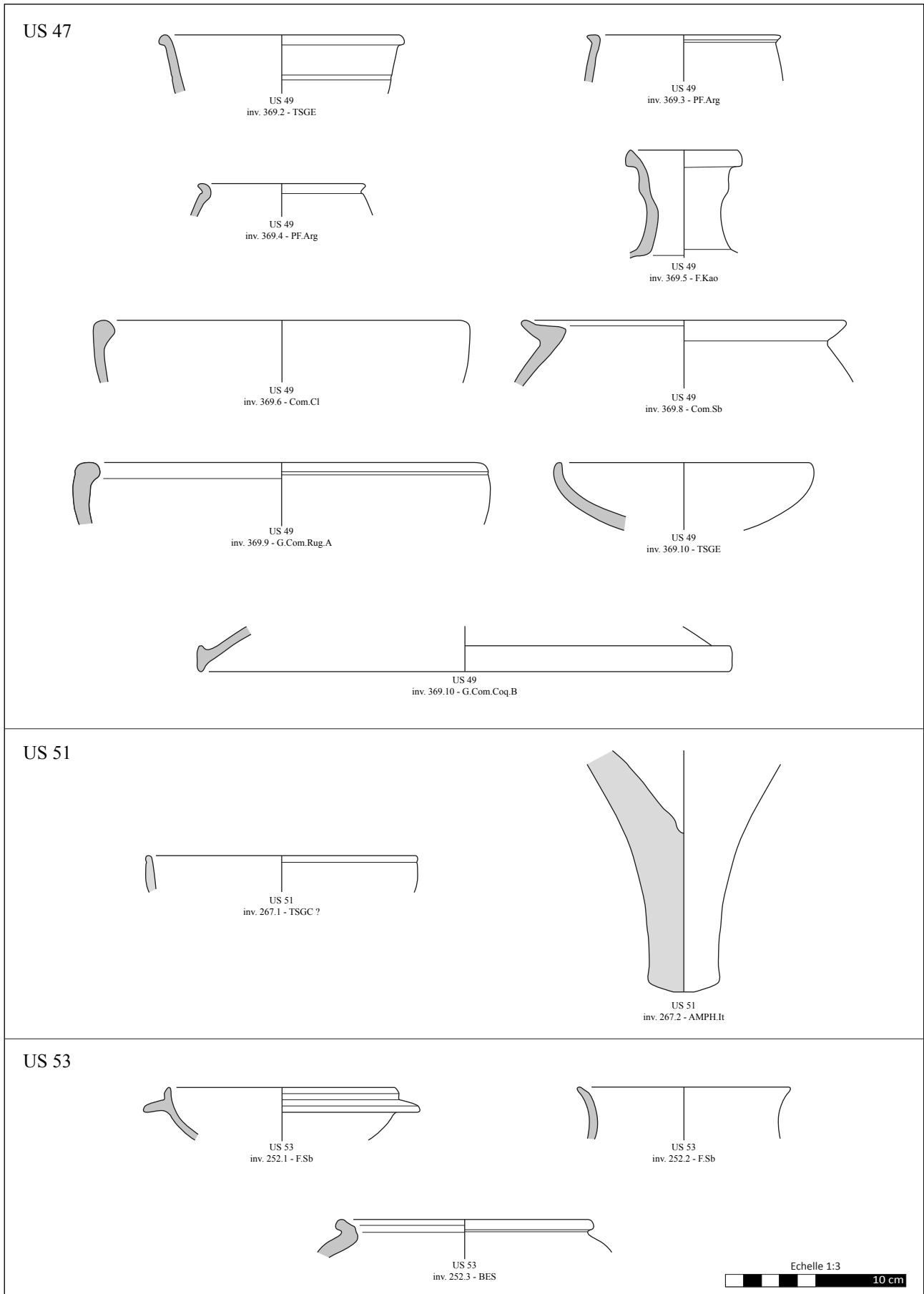


Fig. 251 - Les céramiques (5/18) : US 47 à US 53 (DAO : M. Legagneux, B. Bonaventure).

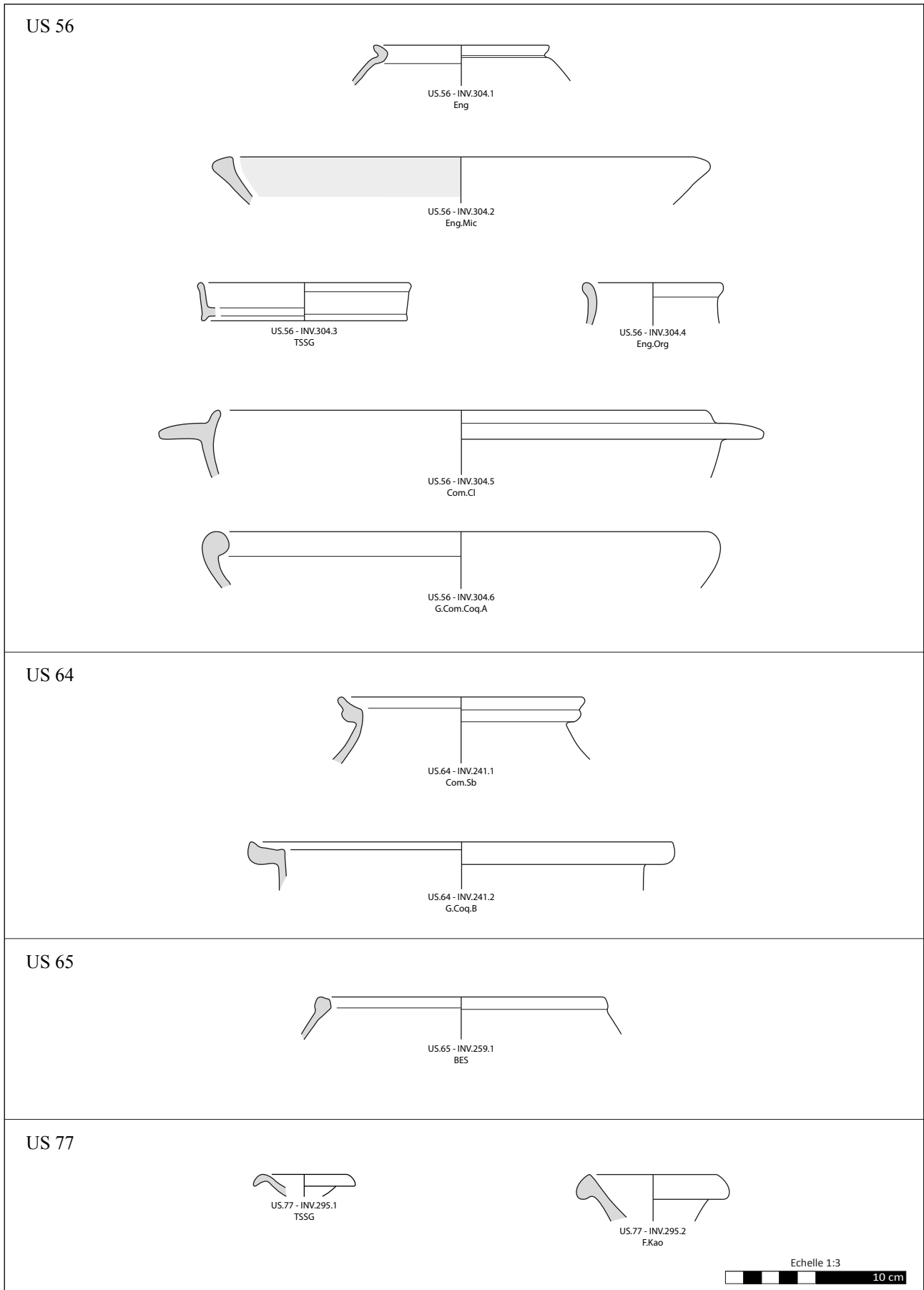


Fig. 252 - Les céramiques (6/18) : US 56 à US 77 (DAO : M. Legagneux, B. Bonaventure).

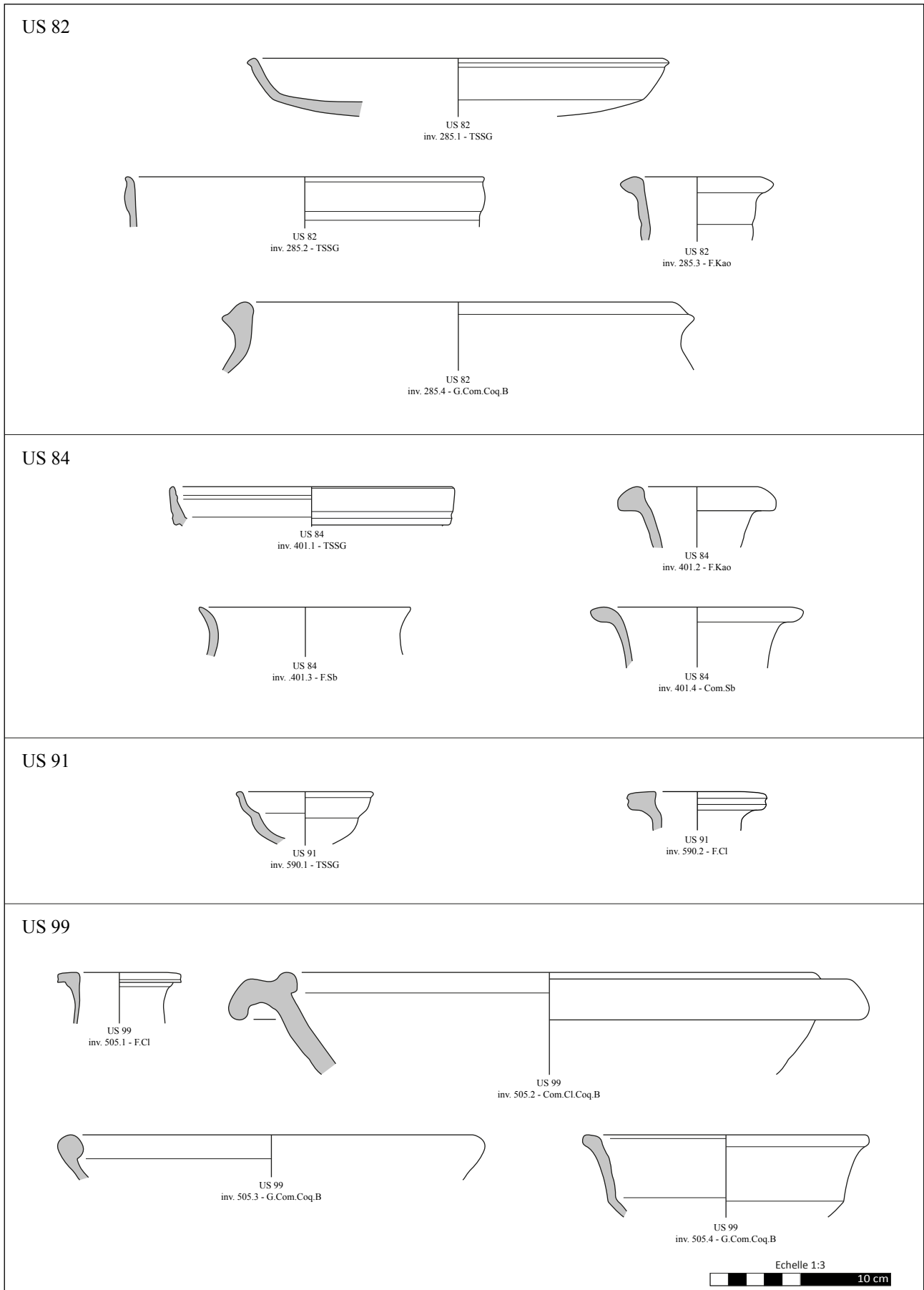


Fig. 253 - Les céramiques (7/18) : US 56 à US 77 (DAO : M. Legagneux, B. Bonaventure).

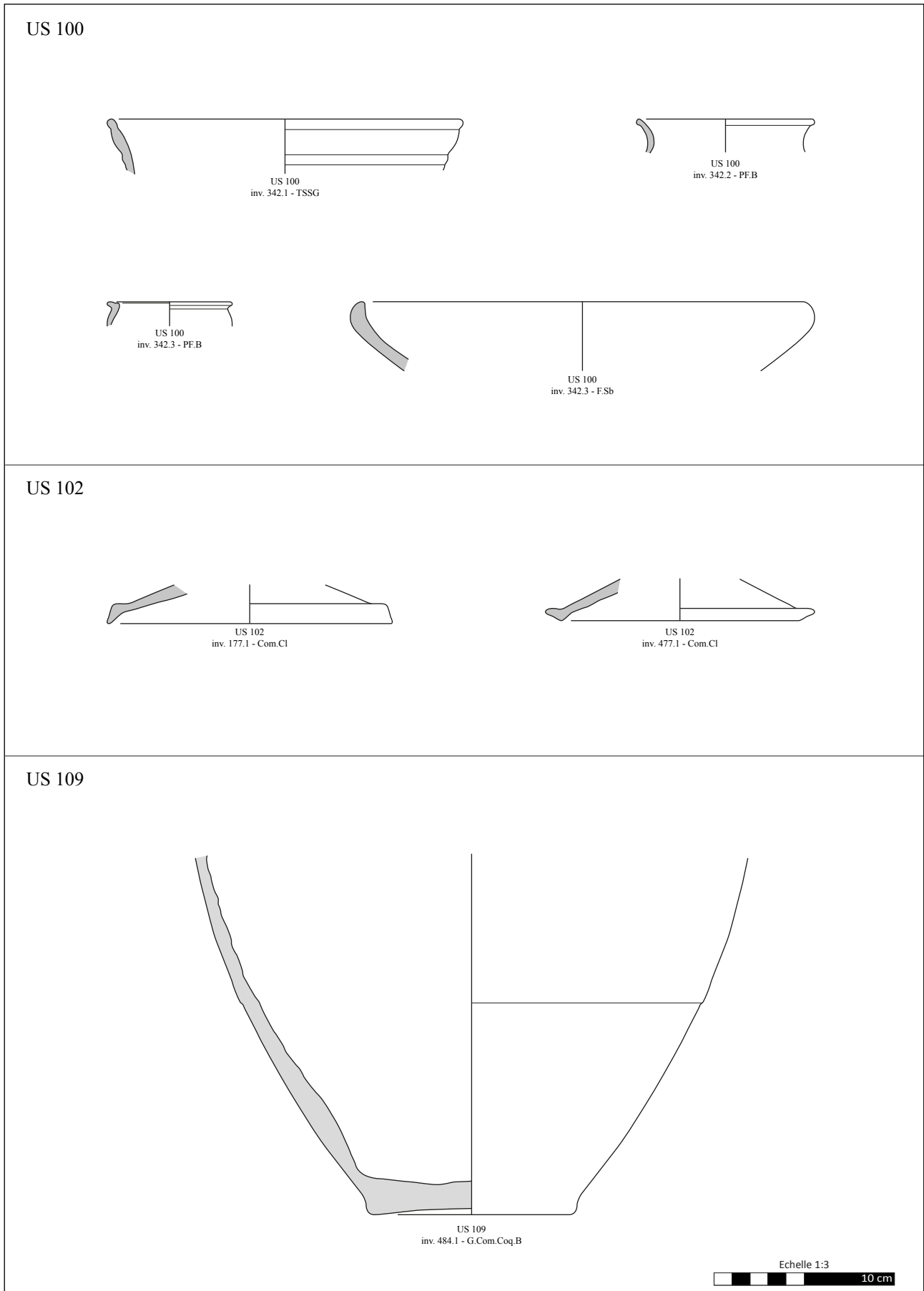
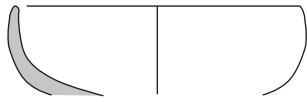
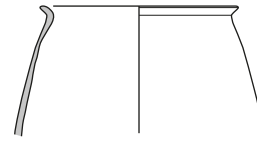


Fig. 254 - Les céramiques (8/18) : US 100 à US 109 (DAO : M. Legagneux, B. Bonaventure).

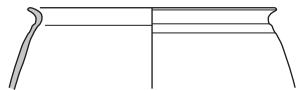
US 111



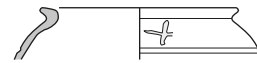
US 111
inv. 437.1 - TSGE



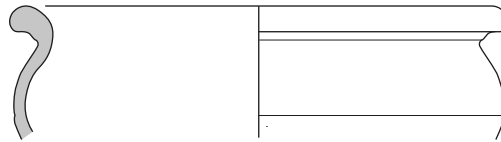
US 111
inv. 437.2 - PF.Arg



US 111
inv. 437.3 - PF.Arg



US 111
inv. 937.4 - PF.Arg



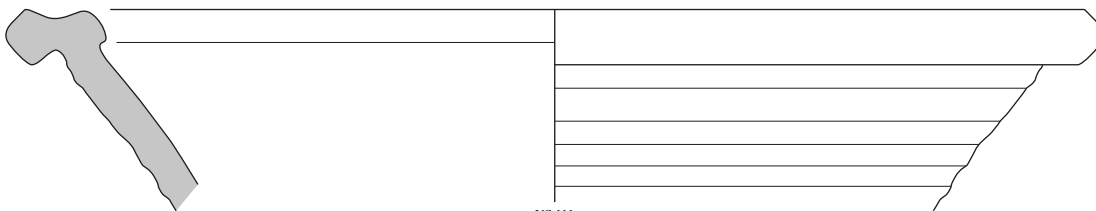
US 111
inv. 437.5 - F.Mic



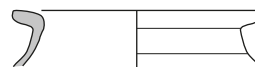
US 111
inv. 437.6 - F.Sb



US 111
inv. 437.7 - F.Sb



US 111
inv. 437.8 - Com.Cl.Mor



US 111
inv. 437.9 - G.Com.Coq.A

Echelle 1:3
10 cm

Fig. 255 - Les céramiques (9/18) : US 111 (DAO : M. Legagneux, B. Bonaventure).

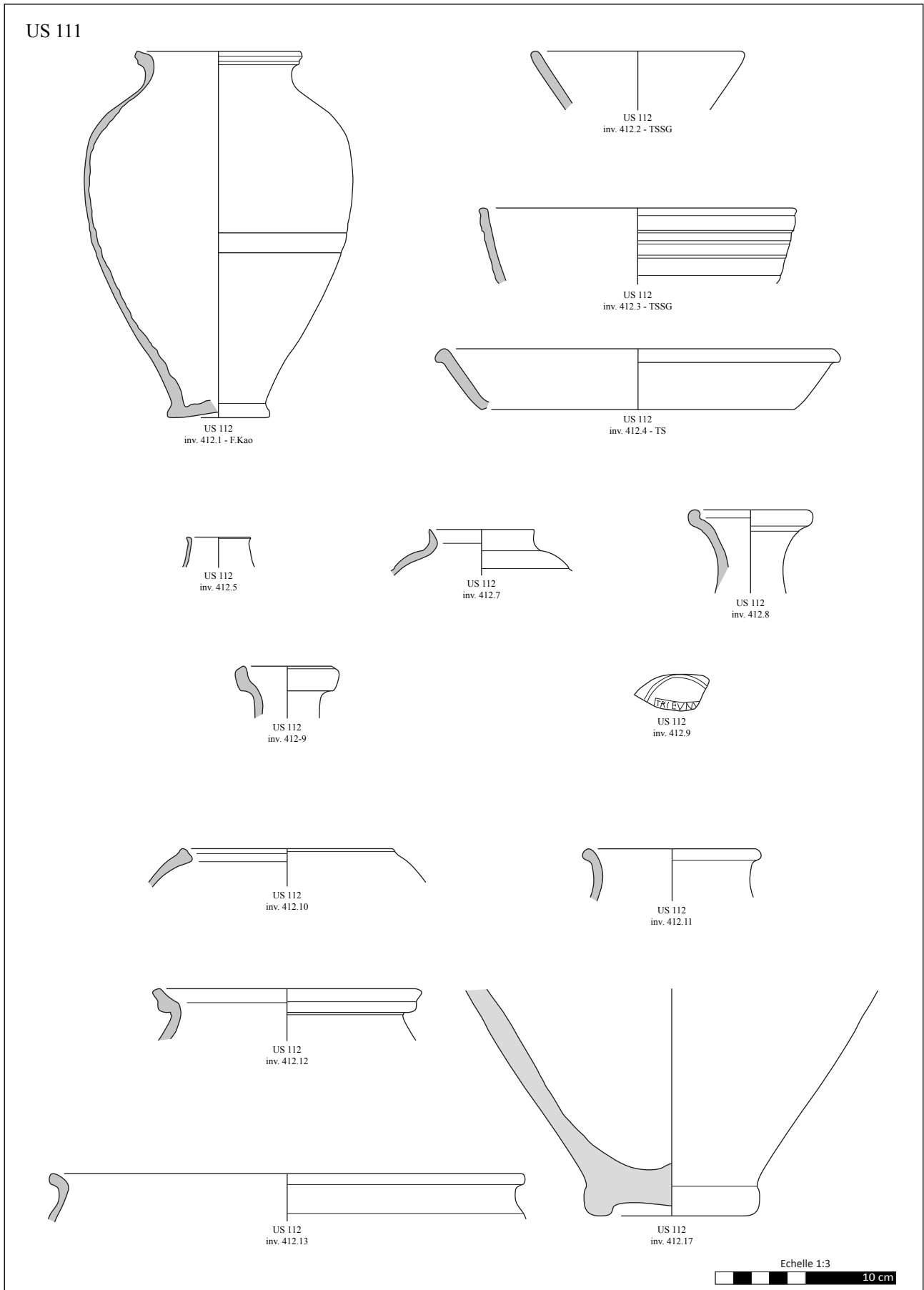


Fig. 256 - Les céramiques (10/18) : US 111 (DAO : M. Legagneux, B. Bonaventure).

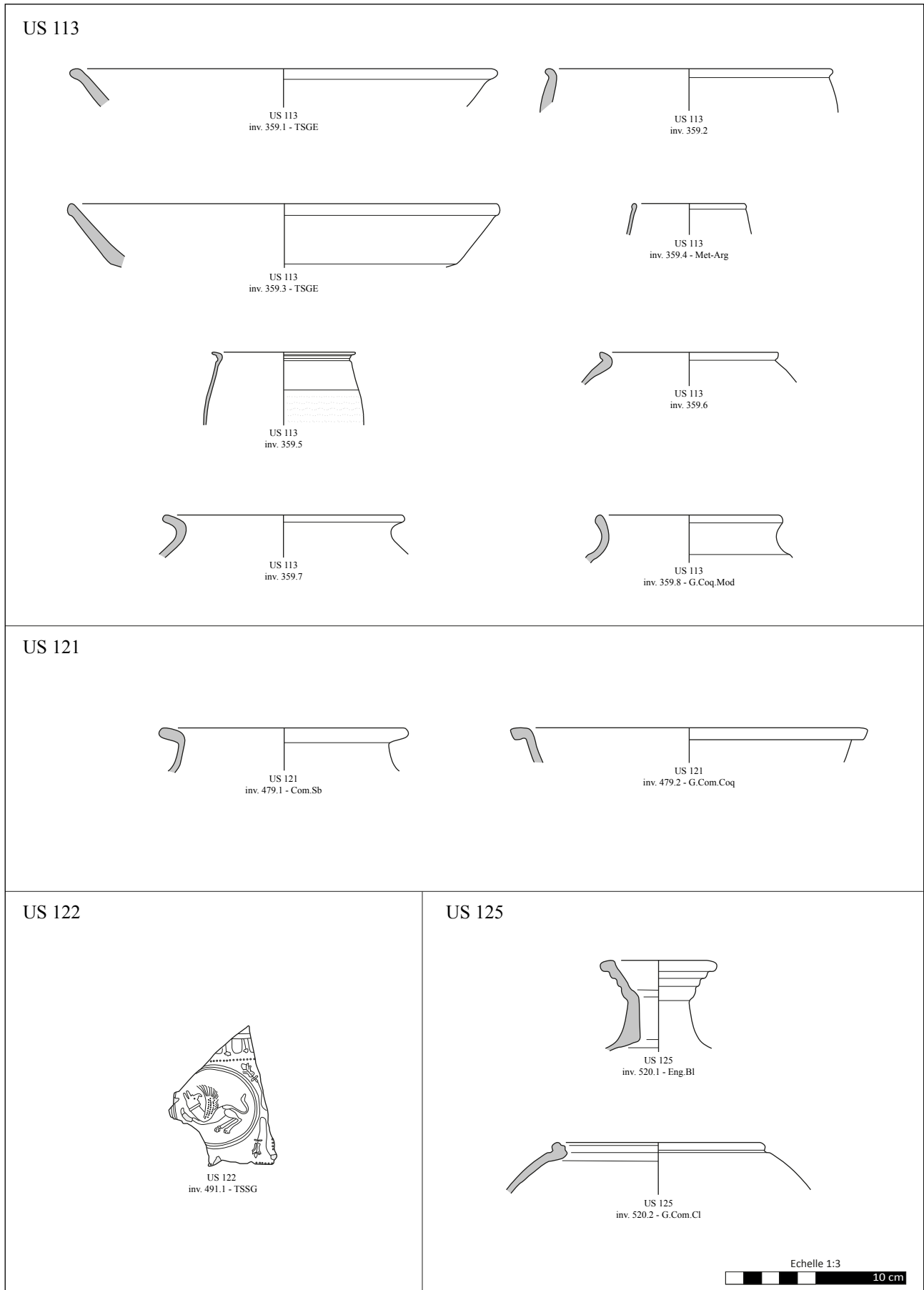


Fig. 257 - Les céramiques (11/18) : US 113 à US 125 (DAO : M. Legagneux, B. Bonaventure).

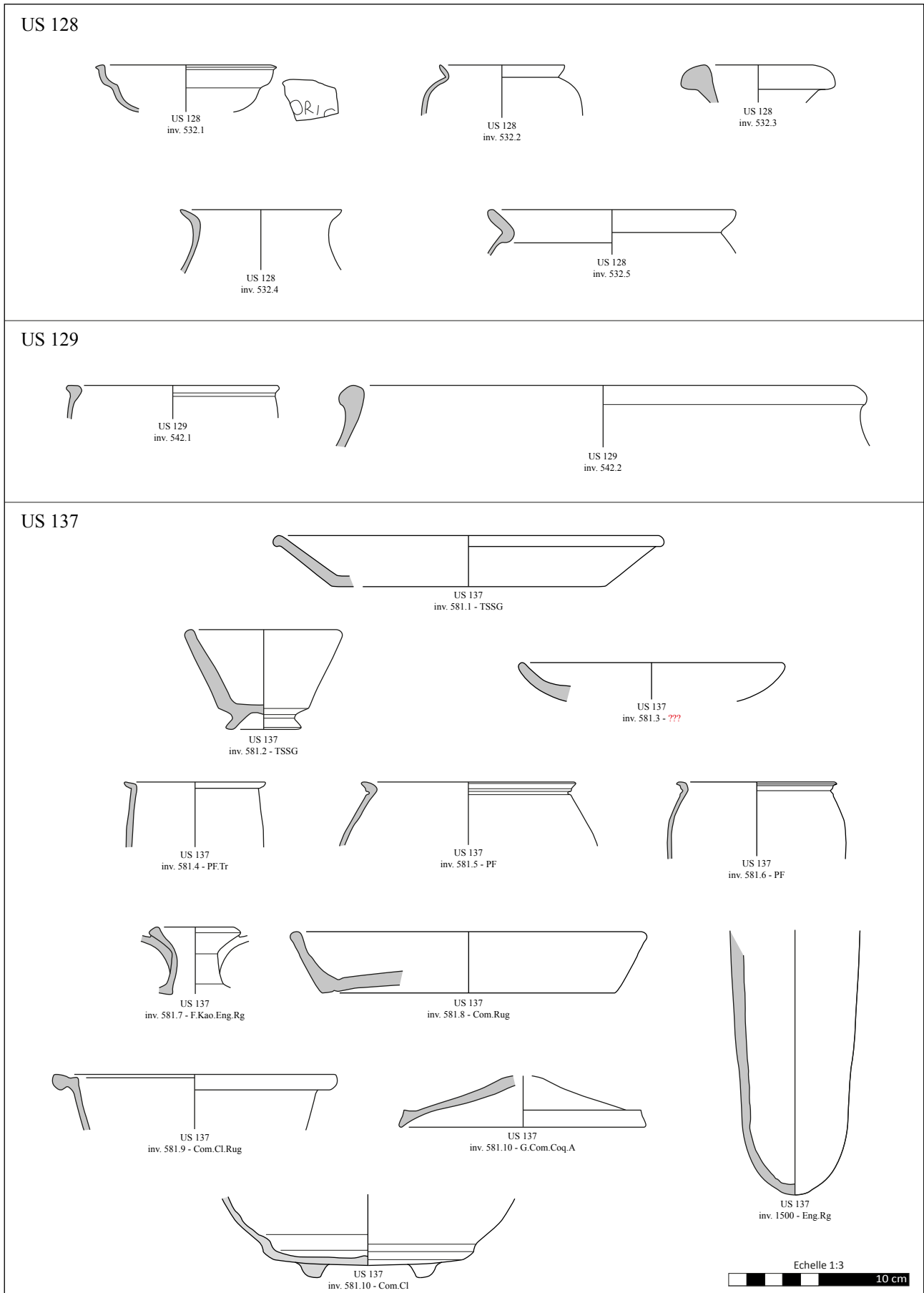


Fig. 258 - Les céramiques (12/18) : US 128 à US 137 (DAO : M. Legagneux, B. Bonaventure).

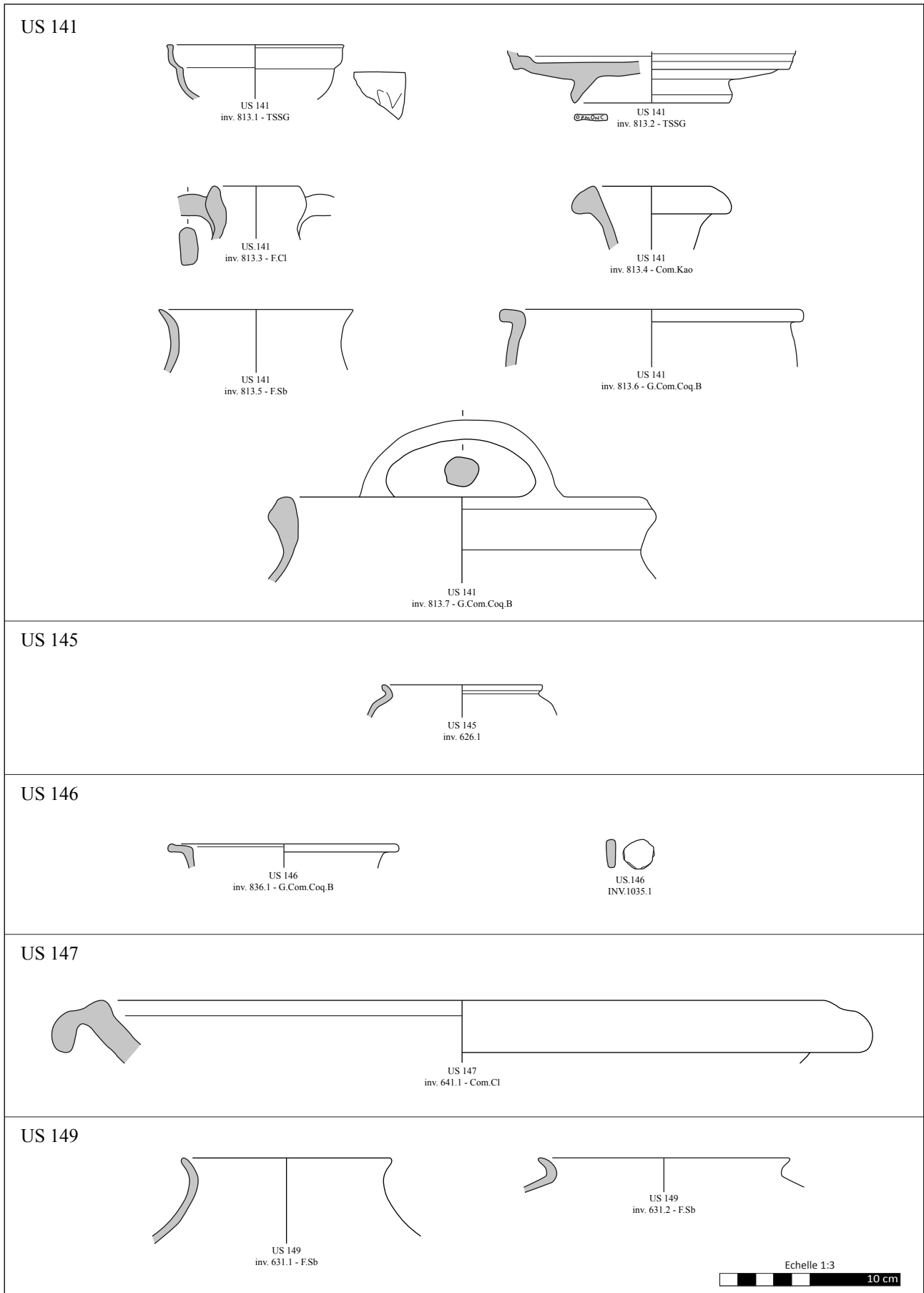


Fig. 259 - Les céramiques (13/18) : US 141 à US 149 (DAO : M. Legagneux, B. Bonaventure).

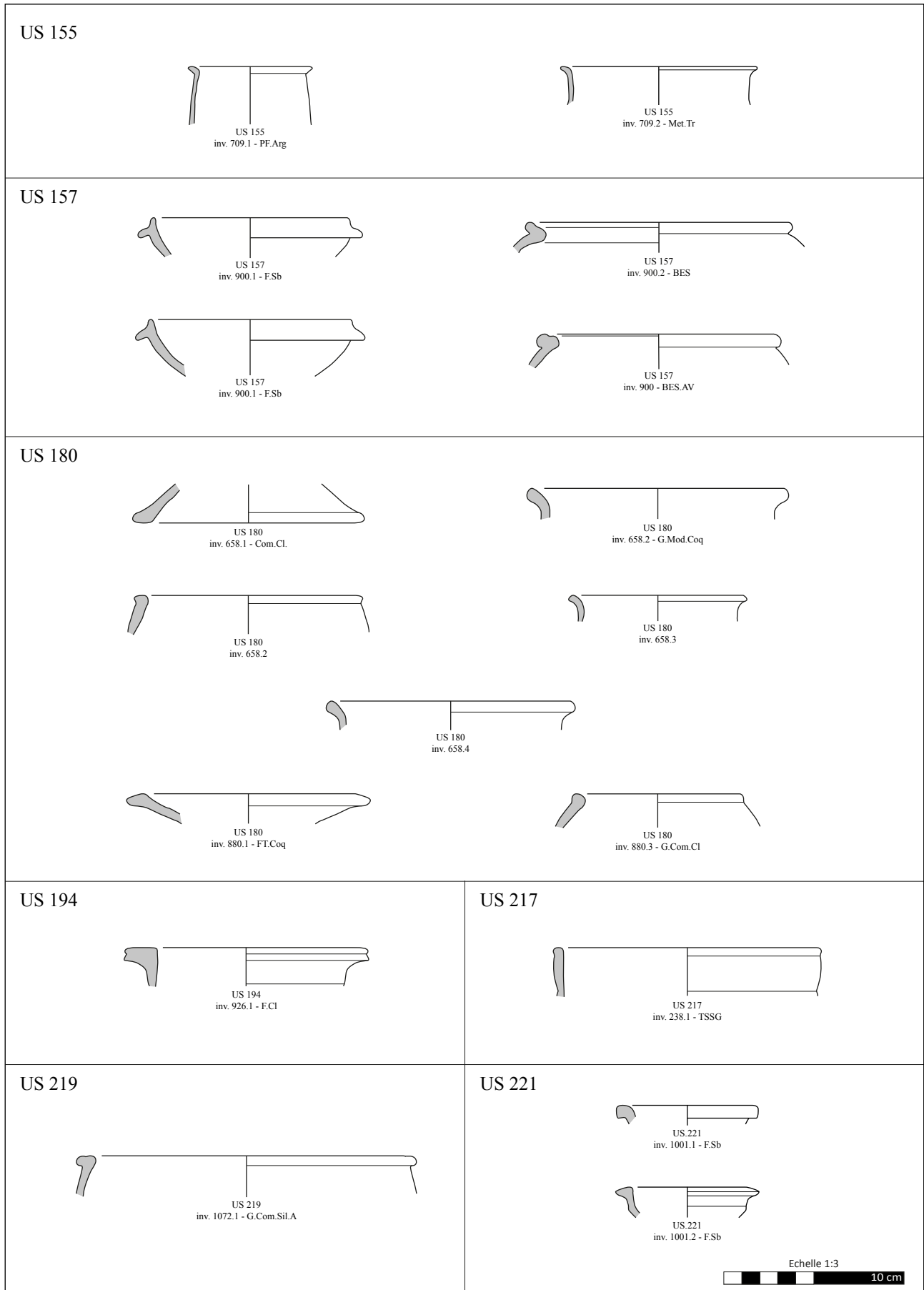


Fig. 260 - Les céramiques (14/18) : US 155 à US 221 (DAO : M. Legagneux, B. Bonaventure).

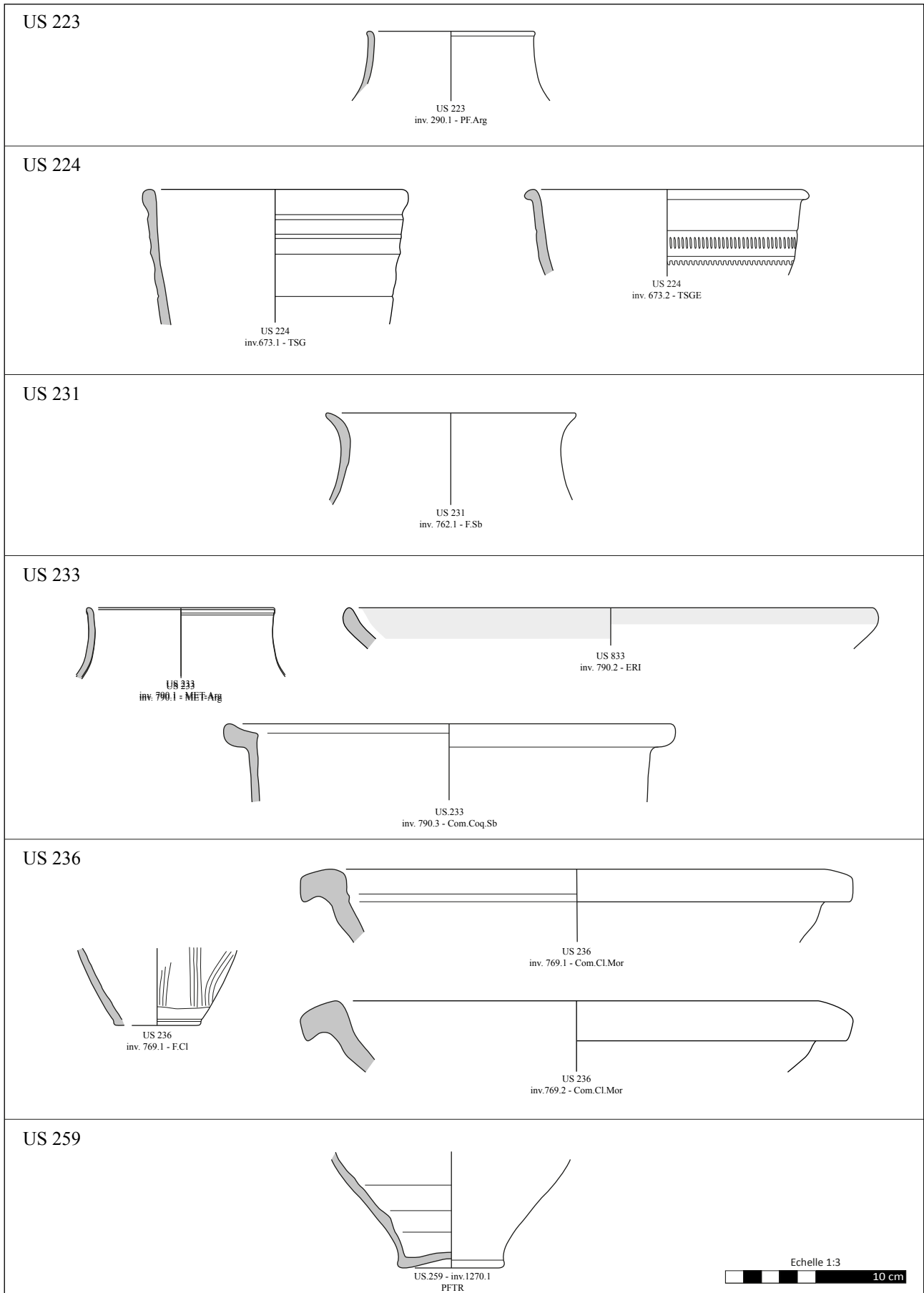


Fig. 261 - Les céramiques (15/18) : US 223 à US 259 (DAO : M. Legagneux, B. Bonaventure).

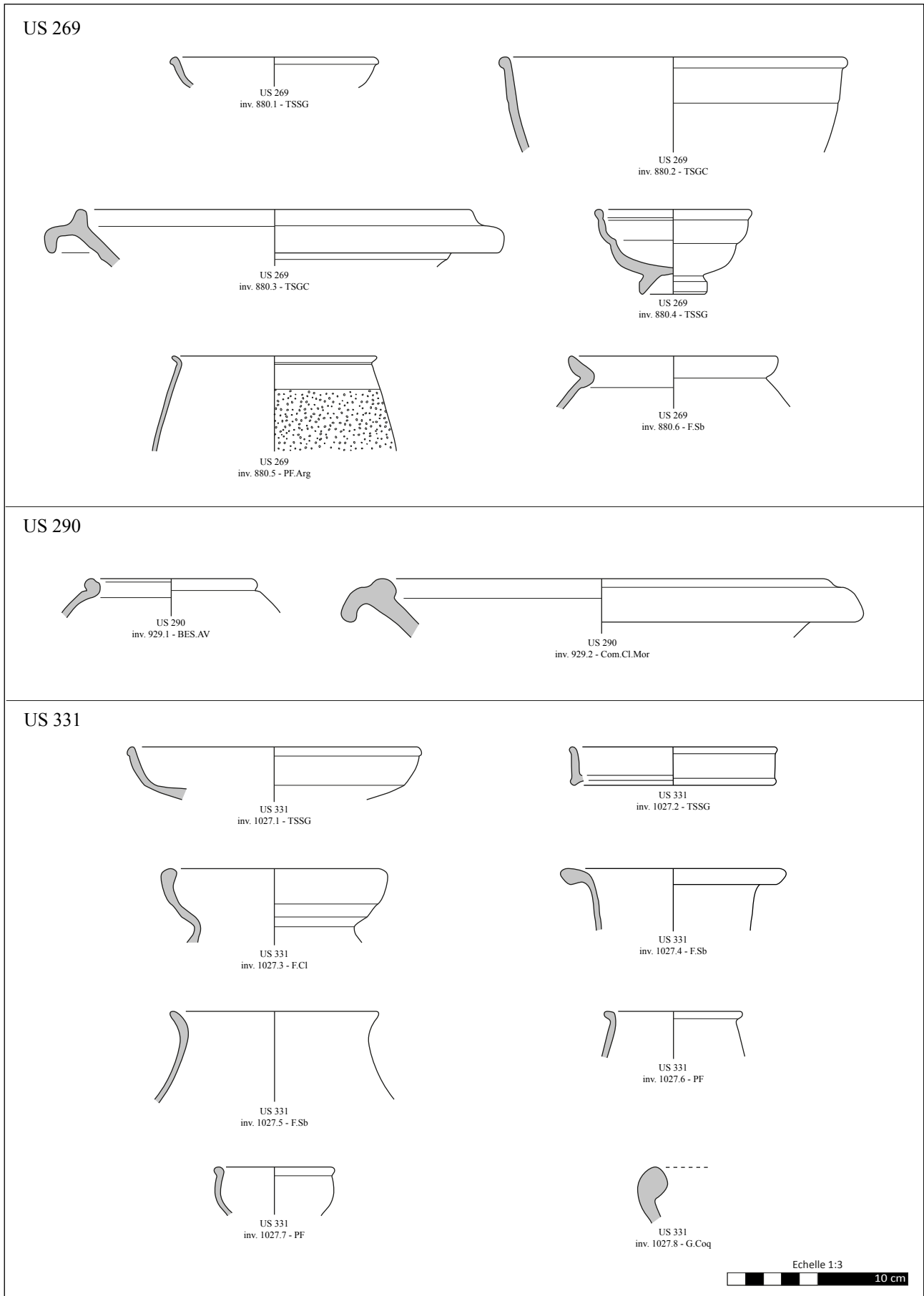


Fig. 262 - Les céramiques (16/18) : US 269 à US 331 (DAO : M. Legagneux, B. Bonaventure).

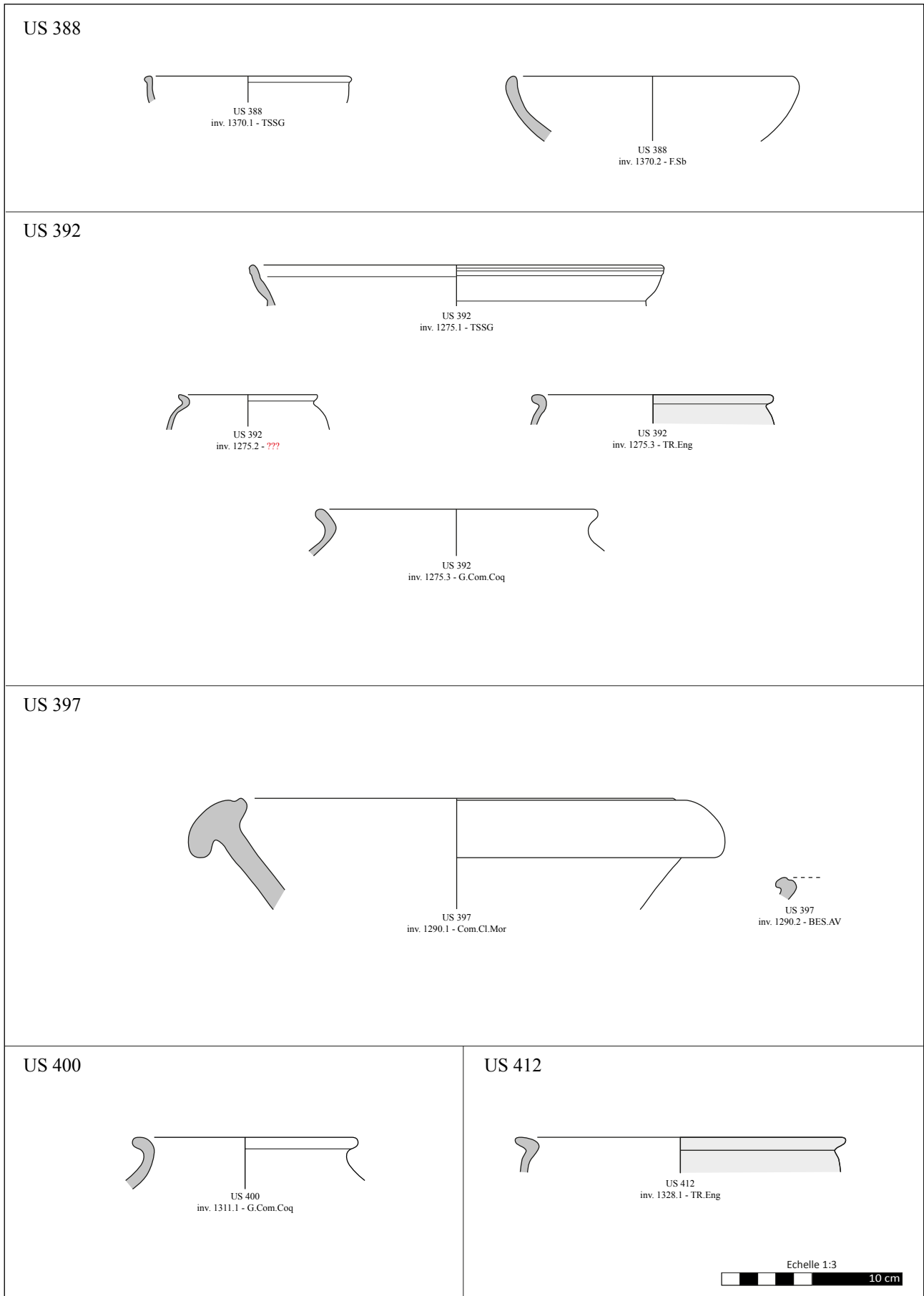


Fig. 263 - Les céramiques (17/18) : US 388 à US 412 (DAO : M. Legagneux, B. Bonaventure).

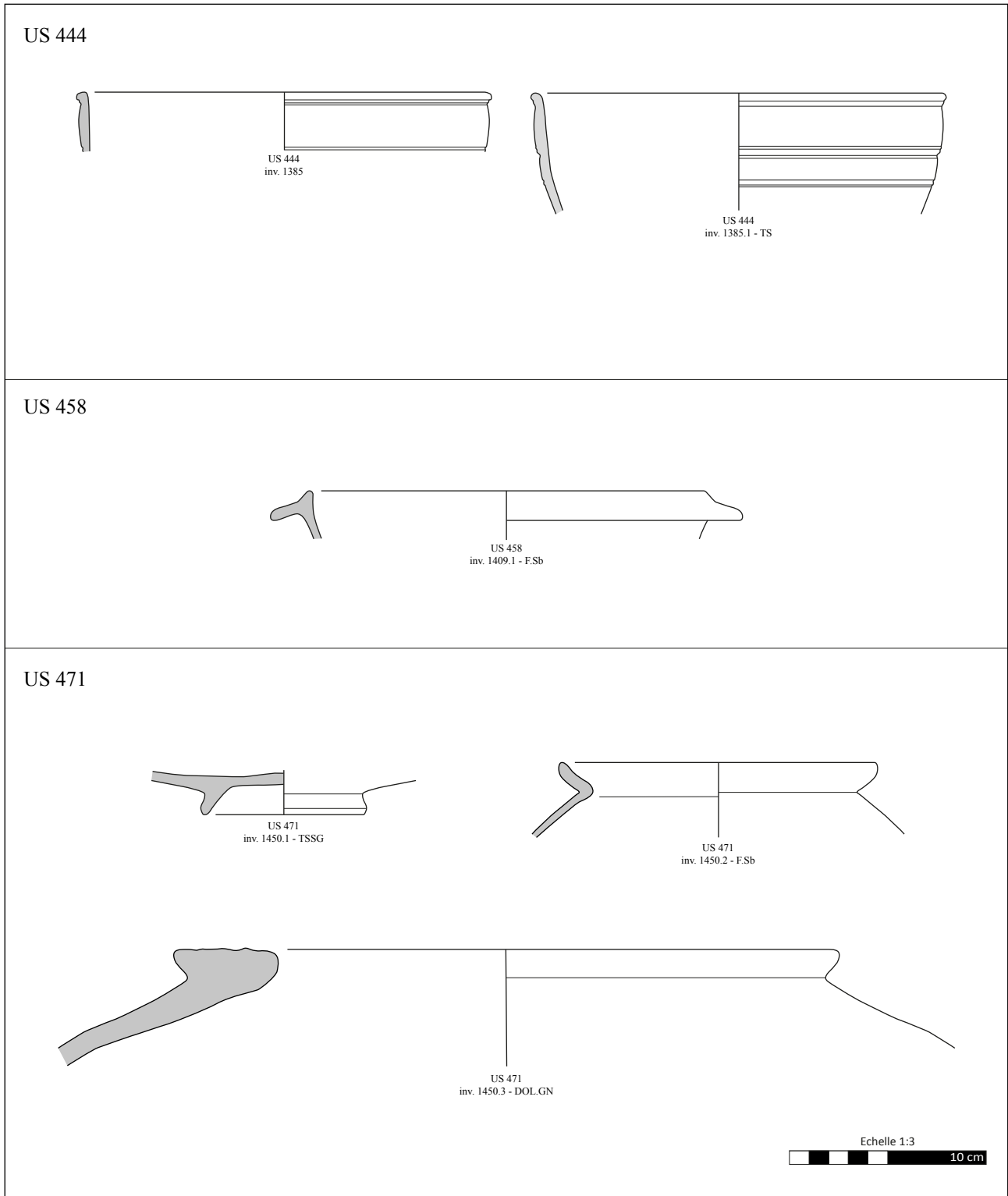


Fig. 264 - Les céramiques (18/18) : US 444 à US 471 (DAO : M. Legagneux, B. Bonaventure).

6.2. Le petit mobilier

Antoine Franchini

Le site des Grandes Corvées a fait l'objet d'un mémoire de première année de Master à l'université de Bourgogne-Franche-Comté (Dijon) qui a traité le mobilier d'*instrumentum* du site (Franchini 2023). Ce travail, mis en place sous la direction de P. Nouvel et les tutorats de B. Bonaventure et M. Rodriguez, a pour objectif la mise en place d'un faciès général du site. Dans l'ensemble, ce mémoire se divise en deux volumes, le texte (105 pages) et les annexes, regroupant les planches de mobilier associées à un catalogue pour un total de 369 pages. Nous proposons ici un résumé de ce mémoire soutenu le 15 septembre 2023 à Dijon, qui sera poursuivi au cours de la deuxième année du master ACTE. L'ensemble du mobilier n'a pu être étudié en accord avec le phasage du site, principalement par manque de temps. Cependant, chaque objet ou reste a fait l'objet d'une fiche individuelle dans une base de données FileMaker. Pour produire une étude générale du mobilier, le remplissage de cette base de données bien que long et laborieux (dessin, photo, description...) était nécessaire. Nous proposons ici un résumé de ce travail se découpant en deux parties, la première revient sur la méthodologie mise en place et la seconde sur l'étude en elle-même et les résultats acquis.

6.2.1. Méthodologie

- Domaines et catégories (Fig. 265)

Avant tout chose, il est essentiel de revenir sur les travaux ayant traité des catégories fonctionnelles et des méthodes de quantification (Demierre et al. 2013, p. 10-14), qui sont la base de la discipline. Les différents rapports, qu'ils soient d'opérations préventives ou programmés, reprennent un ordre de présentation et d'étude en catégories fonctionnelles et domaines pour l'*instrumentum*. Dans le cadre de ce travail sur le site des Grandes Corvées, chaque objet (isolat ou lot) est associé à un domaine précis et à une catégorie fonctionnelle. Cette compilation permet à la suite de divers calculs et réflexions de mettre en avant le faciès du site.

Le modèle présenté ici (Briand et al. 2013), nous est apparu le plus adapté à ce travail. En effet, les domaines et les catégories présentés dans cette publication compilent la plupart des fonctions associées au mobilier retrouvé en fouille :

- **production** : le domaine de production correspond aux activités artisanales et agro-pastorales. La plupart des objets en lien avec ce domaine sont des outils ou des déchets de fabrication. La catégorie agro-pastorale comprend l'exploitation des sols, l'entretien du paysage et des espaces, l'agriculture et l'élevage. La catégorie suivante (chasse et pêche), est définie par des outils ou des armes dédiés. Aux Grandes Corvées, seul un possible hameçon semble pouvoir être associé à cette catégorie. L'artisanat regroupe l'extraction, la fabrication et la transformation des ressources naturelles et des produits agro-pastoraux. Il se définit principalement par les outils en lien avec ces activités et les divers déchets. Plusieurs types d'artisanats se distinguent : les métaux (fer, plomb, alliage cuivreux...), matière dure animale, bois, textiles et cuirs. Chacune de ces productions conduisent à des déchets intégrés dans la catégorie « divers productions » ;

- **domestique** : les activités culinaires, l'éclairage, le chauffage et l'ameublement sont regroupés dans le domaine domestique. Les activités culinaires s'associent au mobilier de la préparation et de la consommation des produits. L'éclairage est ici représenté par les lampes à huile. Le chauffage se définit par les objets produisant de la chaleur. L'ameublement regroupe les meubles, décorations, éléments d'assemblages et fermetures (Guillaumet et Laude, 2009). Il s'agit des éléments les plus diversifiés, que ce soit sur la forme ou les matériaux (fer, alliage cuivreux, plomb) ;

- **immobilier** : le domaine de l'immobilier associe l'ensemble des restes en lien avec le gros-œuvre, les huisseries et l'hydraulique. Sont compris dans la première catégorie la clouterie et autres pièces de quincaillerie que l'on observe dans la construction. Les clous sont traités en fonction des critères exposés par J.-P. Guillaumet (Guillaumet 2003, p. 132-133). Compte tenu de la diversité des types de clous, l'intégralité de ces lots sont exposés dans le domaine inclassable. L'hydraulique regroupe les canalisations et autres éléments liés au transport de l'eau dans la cité. Cette catégorie ne se retrouve pas dans notre corpus ;

- **personnel** : les catégories associées au domaine personnel sont la parure, les vêtements et les soins du corps. Les épingles, fibules, boutons, boucles, clous de chaussure et autres artefacts sont liés à la parure et aux vêtements. Ces éléments sont essentiels à la vie civile et peuvent être un indice du statut social. De ce fait, plus le matériau est précieux, plus il indique

l'aisance économique de son porteur. C'est le même principe pour les décors. Aucun élément de vêtement n'est observable sur le site des Grandes Corvées ;

- **transport** : le domaine du transport regroupe les éléments de véhicule et d'attelage, l'équipement de l'animal et les objets associés à la navigation. Ces équipements peuvent être des pièces d'attelage, char, chariot, divers ferrures et pièces en lien avec les animaux comme les mors ou les clous de ferrures. La dernière catégorie (navigation), ne trouve aucune occurrence dans ce corpus ;

- **échanges** : ce domaine correspond à la seule catégorie fonctionnelle de l'écriture. Cependant, il correspond à un ou plusieurs objets de notre corpus comme les éléments de balance (chaînette et tige). Si on reprend l'écriture, un certain nombre de stylets témoigne de cette activité pouvant être associée au domaine des échanges ;

- **vie sociale** : le domaine de la vie sociale regroupe les activités d'écriture, de divertissement ainsi que la musique. La première est plutôt bien représentée par les stylets. Ce type de mobilier, dans le contexte actuel des Grandes Corvées, ne peut être véritablement associé avec certitude à ce domaine ou au précédent. Pour l'instant, les stylets sont présentés dans ce domaine, sans pour autant geler l'idée d'une utilisation commerciale. Le divertissement rassemble toutes les pièces de jeu, jouets et autres objets comme les pipes. Au cours de la fouille, un certain nombre de jetons en os témoigne de cette activité. La musique regroupe tous les instruments, mais aucune pièce en lien avec ces derniers n'a été trouvée ;

- **militaire et spirituel** : les deux domaines suivants ne trouvent aucune occurrence aux Grandes Corvées. Par soucis d'exhaustivité nous avons tout de même décidé de les développer. Le premier est bien décrit dans le mémoire de première année M. Rodriguez sur le site du Cul de Breuil (Rodriguez 2013, p. 28). Il s'agit des activités en lien avec le domaine militaire qui peut se diviser en quatre catégories : l'armement offensif, l'armement défensif, le harnachement et les vêtements et accessoires (ces deux dernières dépendent grandement du contexte archéologique). Dans le cadre du Cul de Breuil, le contexte militaire permettait d'associer les deux dernières catégories au domaine militaire. Aucun mobilier ne se retrouve dans le domaine du spirituel qui comprend les catégories de la statuaire, des croyances et du funéraire. La

statuaire définit ici les représentations en ronde-bosse (Briand et al. 2013, p. 17). La seconde activité, plus complexe, regroupe divers éléments mobiliers qu'il est possible de rapprocher de la divination, magie, rites, pratiques culturelles et funéraires. Elle aussi dépend grandement du contexte de découverte (temple, sanctuaire) ;

- **inclassable et indéterminé** : l'avant-dernier domaine (divers, polyvalent), regroupe tous les éléments dont l'association à un domaine précis est complexe. Il permet de classer tous les objets identifiés dont la fonction peut être rapprochée à plusieurs activités comme des couteaux, viroles, plaques et autres. Dans le cadre de cette étude de mobilier, la plupart des éléments rangés dans ce domaine sont les viroles, douilles, maillons rapides, anneaux et tôles ;

- **indéterminés** : on peut distinguer dans notre corpus deux types d'indéterminés. Les premiers pourront sans doute trouver une identification à la suite d'un travail de sablage ou de restauration. Le second groupe est constitué d'éléments trop fragmentés ou de dimension très faible, comme une grande partie des lots d'alliage cuivreux.

La compilation de l'intégralité du mobilier à ces divers domaines d'activités permet dans un premier temps une présentation plus concrète du corpus, pour ensuite définir un faciès général du site des Grandes Corvées. Une partie de cette classification est à adapter au site car, même si elle est essentielle, on ne peut pas toujours y intégrer l'ensemble du mobilier. Mais avant de passer à cette étape, il est essentiel d'évoquer les moyens mis en place pour les quantifications (NMI et NMO).

- Quantification et méthode statistique

- **Le NR**

Le NR (Nombre de Restes) est le premier élément de quantification du mobilier archéologique. Il permet d'appréhender la quantité réelle d'éléments découverts sur un site (Rodriguez et al. 2021, p. 68). Le NMI (Nombre Minimum d'Individu) permet d'obtenir un résultat plus concret et scientifiquement interprétable (Demierre et al. 2013, p. 10-14). Le NMI, quant à lui, est assujéti aux notions d'objet simple et complexe. Un objet simple n'est constitué que d'une seule pièce (clous, agrafes...). Tandis qu'un objet complexe se compose de deux ou plusieurs pièces, à l'exemple des fibules (arc, ressort ou charnière, ardillon).

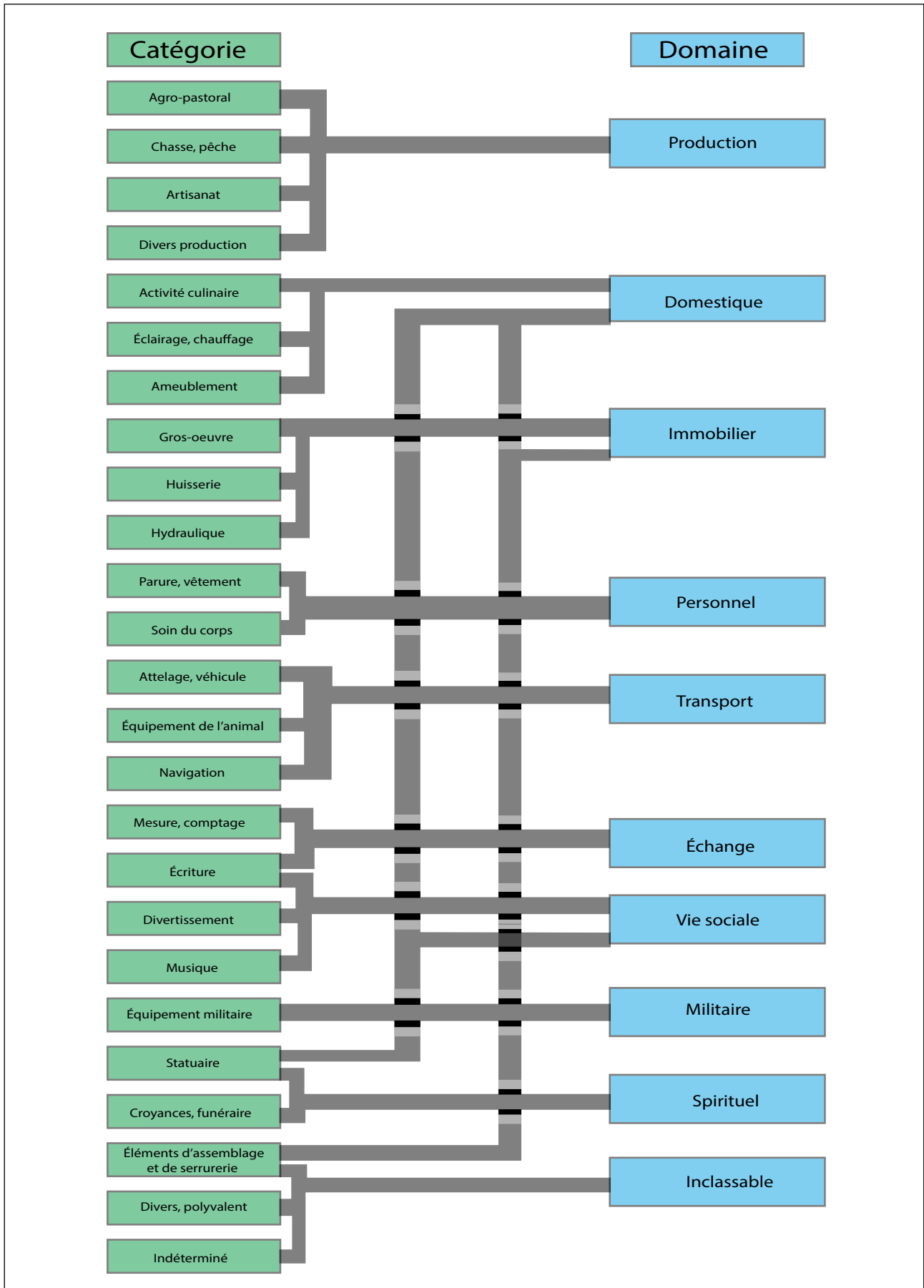


Fig. 265 - Schéma des domaines et catégories fonctionnelles (DAO A. Franchini, d'après Demierre).

- Le NMI

Le calcul du NMI se fait donc selon le nombre le plus élevé d'éléments déterminant (exemple des têtes de clou). Le même principe s'applique aux fibules : si l'on a trois ressorts et deux arcs, alors on compte trois fibules. Un extrait de l'article de Demierre (Demierre et al. 2013, p. 11) développe parfaitement la notion de nombre réel d'objet ; « en ce sens, un clou, une penture ou un gond ne sont que des pièces constitutives d'un système complexe : ils sont dénombrés comme des individus mais non comme des objets réels. ». Les éléments liés à la quincaillerie, les indéterminés et les matériaux artisanaux sont considérés comme individus, mais pas comme des objets réels. Le NMI permet de mettre en avant le taux de fragmentation du mobilier par rapport au nombre de reste. Il met en avant le nombre d'individus d'un site.

- Le NMI pondéré

Le NMI pondéré ou minimal, est un regroupement réduit en fonction de la stratigraphie, de la spatialité ou de la chronologie. Il consiste principalement en la création de plusieurs catégories à adapter en fonction de chaque site. Dans le cadre des Grandes Corvées, nous avons repris et adapté les catégories mises en place par M. Rodriguez pour le site du Cul de Breuil (Rodriguez 2013, p. 31).

> *objet réel simple (ORS)* : il s'agit des objets constitués d'une seule pièce métallique, ou d'une pièce métallique et d'une autre en matériaux périssable (que l'on ne retrouve pas sur le site de notre corpus) comme les marteaux, les haches... ;

> *objet réel simple fragmentaire (ORSF)* : représentent les fragments des précédents ;

> *objet réel complexe (ORC)* : il s'agit d'objets constitués de plusieurs pièces métalliques auxquelles on peut parfois associer des pièces organiques ;

> *ébauches d'objet (EO)* : cette catégorie comprends plusieurs éléments de notre corpus. On peut les associer à de futurs objets, ce sont des artefacts dont la fabrication a été abandonnée. Nous y avons aussi ajouté les éléments liés au recyclage ;

> *objet hors pondération (OHP)* : correspondent à la quincaillerie, principalement des clous ;

> *objets retirés de la pondération (ORP)* : il s'agit des déchets artisanaux (scories), où la masse et le NR constituent des données suffisantes.

- Le NMO

Le NR comme le NMI sont essentiels à tout type d'étude mobilier, mais ils ne permettent pas de traiter intégralement le corpus d'un site. Un des autres outils permettant une plus grande exhaustivité est le NMO (Nombre Minimum d'Objet réel). Il s'agit ici de retirer les individus précédemment présentés comme hors des objets réels (quincaillerie, matériaux artisanaux et indéterminés). On obtient alors uniquement les objets de la vie quotidienne et outils de l'artisanat. Bien que notre corpus ne soit pas des plus importants, cette approche quantitative est nécessaire pour mettre en valeur les objets d'*instrumentum* et les isoler des nombreux autres restes.

- Indice et taux de fragmentation

Pour ce mémoire, deux méthodes d'évaluation ont été choisies (Rodriguez 2013, p. 33). L'indice de fragmentation présenté ci-dessus est obtenu de la façon suivante : on divise le NR par le NMI. Le taux de fragmentation est calculé en multipliant par 100 le résultat du précédent calcul. L'ensemble des éléments présentés dans cette partie permettront de mieux définir le faciès des Grandes Corvées.

• Présentation de la base de données

Afin de mener au mieux ce travail, il a été nécessaire de mettre en place une base de données compilant tous les inventaires (lots et isolats), photos, dessins... Celle-ci est un modèle réalisé sur le logiciel FileMakerPro par M. Rodriguez pour l'étude du mobilier d'*instrumentum* sur le site de *Nasium*. Le seul ajout réside dans la création d'une catégorie pour les matériaux lithiques. Cette base de données intègre l'ensemble des US et Faits du site des Grandes Corvées. Ces informations ont été récupérées sur la base de données de l'opération faite sur le même logiciel.

La section *Instrumentum* regroupe tous les objets étudiés. La page d'accueil permet la navigation entre tous les inventaires et d'avoir rapidement un état de l'avancement du travail. Pour chaque numéro une ligne est associée, compilant les informations suivantes :

- numéro d'inventaire attribué durant la fouille allant de 1 à n ;
- numéro d'étude : chaque lot ou isolat possède un numéro d'étude allant de 1 à n ;
- numéro d'US ;
- numéro de Fait ;

- domaine : production, domestique, personnel, militaire, transport, échange et commerce, vie sociale, architecture, inclassable, indéterminé ;
- catégorie fonctionnelle : artisanat, divers productions, activité culinaire, ameublement, parure et vêtement, soin du corps, armement défensif, armement offensif, harnachement, vêtement et accessoire, attelage et véhicule, équipement animal, écriture, compte/mesure/échange, divertissement, hydraulique, gros-œuvre, divers/polyvalent, indéterminé ;
- détermination : clef, gond, charnière... ;
- groupe matériel : objet *instrumentum*, quincaillerie, matériaux artisanaux et indéterminé ;
- matériaux : fer, alliages cuivreux, plomb, poly. métaux (plusieurs métaux associés), argent, or, os (tabletterie), lithique (catégorie ajoutée dans la base) ;
- NR déterminé pendant la fouille et les post-fouille ;
- NMI ;
- poids déterminé durant les phases de post-fouille ;
- type : lot ou isolat déterminé au cours de la fouille ;
- commentaire : texte libre ;
- état : documentation, photo et dessin.

Le code couleur permet de distinguer les fiches ayant des dessins et des photos (vert), de celles qui n'en ont pas (bleu), le plus souvent des lots (**Fig. 266**). Chaque ligne correspond à un inventaire unique, sauf quelques rares doublons dans des lots de clous et de scories, qui n'ont pas encore pu être traités durant les phases de post-fouille.

Ces lignes sont constituées de cinq fiches regroupant tous les éléments nécessaires à l'étude du mobilier archéologique. Pour la première, on retrouve l'identification et quelques éléments pour une description générale : prise ou non du point topographique, existence d'une fiche Artefact et l'état de l'objet (lavage, restauration). La catégorisation précédemment vue se retrouve de nouveau ici avec l'ajout des domaines et fonctions Syslat que j'ai décidé de ne pas compléter. En effet, les précédents domaines et catégories fonctionnelles suffisent à la bonne définition des restes des Grandes Corvées. La chronologie est découpée en quatre catégories, avec le phasage du site, la datation relative de l'objet, datation absolue et pour finir une "datation" qui associe l'objet à une structure (puits, fosses...). La dernière partie, consacrée à la métrologie et la quantification, regroupe toutes les mesures de l'objet, le NR et NMI (**Fig. 267**).

La fiche suivante peut regrouper un ensemble d'informations bibliographiques, qui devront être complétées au cours de la deuxième année de master. La troisième reprend les données de métrologie avec deux encarts pour la description et les informations (**Fig. 268**). Il y a aussi un espace champ dédié à la référence Artefact. Enfin, les deux dernières fiches intègrent les dessins et les photos des objets qui sont mis en place dans la section enregistrement.

• Traitement et état du mobilier

- **Traitement des lots**

Avant de décrire en précision le mode d'étude de la donnée que sont les artefacts des Grandes Corvées, il semble important d'évoquer son traitement durant la fouille et la post-fouille (Rodriguez 2021 p. 159 ; Bonaventure et al. 2022 p. 69). Chaque lot ou isolat se voit attribuer un numéro d'identifiant allant de 1 à n sur l'ensemble de l'opération. Le mobilier est conditionné dans des minigraps percés pour éviter la condensation. Les lots métalliques sont traités dans un premier temps par séchage, puis à la brosse à dent sèche afin de retirer le restant de substrat. Ce nettoyage commencé en 2020 s'est achevé en 2022 au cours de la post-fouille estivale (Franchini 2023, p. 182).

- **Traitement des isolats**

Les isolats sont traités différemment. Le mobilier métallique isolé est nettoyé par le responsable du mobilier. Chaque artefact a été brossé avec une brosse à dent sèche puis reconditionné, au même titre que les lots. Enfin, les autres isolats (lithique et tabletterie), ont été nettoyés à la brosse à dent humide, puis séchés avant d'être reconditionnés. Les étiquettes permettant d'identifier le mobilier sont pour la plupart conservées, sauf si les informations indiquées ne correspondent plus.

- **État général du mobilier**

Le comptage a été en grande partie réalisé par le responsable mobilier. Nous avons donc repris ces résultats à la lumière de ce mémoire, limitant ainsi les erreurs faites ces trois derniers étés. Le pesage est effectué au cours des diverses opérations de post-fouille (2021-2022) à l'aide d'une balance de précision millimétrique.

INV.59	346	US.4		Production	Artisanat	Aiguille	Objets d'instrumentum	Os (tableterie)
INV.58	17	US.4		Domestique	Ameublement	Crampon	Quincaillerie	Fer
INV.62	13	US.4		Inclassable	Divers, polyvalents	Tige	Indéterminés	Fer
INV.63	39	US.4		Inclassable	Divers, polyvalents	Plaque	Indéterminés	Fer
INV.64	19	US.4		Inclassable	Divers, polyvalents	Plaque	Indéterminés	Fer
INV.65	67	US.4		Vie sociale	Ecriture	Styler	Objets d'instrumentum	Fer

Fig. 266 - Aperçu de l'interface de la base de données *instrumentum* du site des Grandes Corvées.

Fig. 267 - Aperçu de la première fiche regroupant les informations principales.

Fig. 268 - Aperçu de la troisième fiche regroupant la métrologie, description, information et code Artefact.

D'une manière générale, le mobilier des Grandes Corvées est plutôt bien conservé, le sérieux des fouilleuses et fouilleurs bénévoles a permis un traitement souvent rapide de celui-ci. L'intégralité du mobilier a été rangé dans un espace clos (minigrip), limitant ainsi son usure. L'oxydation des métaux est plus ou moins importante et rares sont les objets à ne pas pouvoir être identifiés à cause de celle-ci. Les lots de clous sont pour la plupart dotés d'un ou plusieurs exemplaires facilement identifiables (menuiserie, construction...). Certains objets (pitons, gonds et crochets principalement) qui sont normalement isolés se retrouvent parfois dans ces lots. Ajoutons que cette étude s'est faite sur du mobilier non restauré, ce qui limite les possibilités d'identification. Cependant, des radios seront réalisées en 2024.

- Étude du mobilier

- Les lots de clous

Chaque lot a fait l'objet de recomptage. Les clous étaient traités selon les critères mis en place par J.-P. Guillaumet (Guillaumet 2003, p. 49-50), incluant la différenciation entre forme et taille. Ainsi, notre corpus est divisé entre les clous de menuiserie, de construction, de chaussure, etc. Les clous de menuiserie, sont d'une longueur allant de 20 à 80 mm et possèdent des sections comprises entre 4 et 8 mm. La tête plate peut être ronde, carrée, rectangulaire ou en huit. Les clous de constructions sont plus massifs (longueur : 90 à 290 mm ; section supérieure à 8 mm), la tête est semblable à celle des précédents. Les clous de chaussures, très fréquents en contexte de voirie, sont d'une longueur inférieure à 15 mm et dotés d'une section ne dépassant pas les 4 mm, les têtes sont en volume, le plus souvent hémisphériques. Les clous de tapisserie reprennent les caractéristiques des clous de chaussure en termes de dimensions, la distinction se faisant sur la forme de la tête, qui ici est hémisphérique et creuse. Quelques clous de ferrure se retrouvent dans notre corpus de type 1 et 2. Le premier (type 1) a une forme de T, le collet et la lame du clou sont de la même épaisseur. Le type 2 est en forme de clef de violon, la tête et la lame ont une fois de plus la même épaisseur et de section rectangulaire.

- Les scories

Les scories ont fait l'objet d'une étude particulière avec l'utilisation d'un aimant, en reprenant les définitions de C. Loiseau dans sa thèse (Loiseau 2013, p. 279-284). Plusieurs types de scories sont donc identifiables :

> *Scories riches en oxyde de fer* : elles ont un aspect terreux voir rouillé, une densité forte qui est un marqueur de la post-réduction avec une forte réaction à l'aimant ;

> *Scories grises* : de couleur sombre, avec un aspect vitreux, plus ou moins dense et une faible réaction à l'aimant ;

> *Scories argilo-sableuses* : elles sont aussi nommées scories en goutte, larges et irrégulières, aspect vitreux et avec une surface poreuse ;

> *Scories en calotte ou culot de forge* : grossièrement hémisphérique, elles dénotent une accumulation de déchet au fond du foyer (marqueur d'artisanat).

Dans ces lots, on trouve parfois des éléments devant être isolés. C'est le cas des plaques et autres éléments indéterminés, pour lesquels une photo est prise. Le reste de ces individus, normalement isolés, est traité comme les isolats (dessin et photo).

- Les isolats

Le travail sur les isolats ne se veut pas forcément plus complexe, mais différent ; il faut dans un premier temps reprendre les informations de la base de données initiale pour les transférer dans celle du mémoire, tout en prenant le temps de les vérifier. Débute alors l'étude proprement dite, avec la prise des mesures (longueur, largeur, diamètre, épaisseur, hauteur, section). Toutes ces mesures ne peuvent pas toujours être effectuées du fait de la corrosion (section). La description de l'objet est essentielle. Il a fallu pour mener à bien ce travail reprendre les travaux de plusieurs archéologues, que ce soit dans des rapports de fouille, thèses (Girard-Millereau 2013), ou dans des bases de données générales (Artefact). Viennent ensuite les calculs du NR, NMI et NMO (la phase de quantification). Pour terminer, chaque isolat a fait l'objet d'un dessin sur papier millimétré à l'aide d'un critérium avec une mine de 0,5 mm (**Fig. 269**). Plusieurs photographies ont été prises à l'aide d'un appareil photo 4k sur fond blanc, avec une règle ou mètre dépliant en guise de mire. La multiplicité des clichés a permis une sélection des meilleures photographies.

Toutes les planches de dessins sont numérisées afin de vectoriser chaque isolat à l'aide du logiciel Adobe Illustrator. Certains isolats, du fait de leur fragmen-

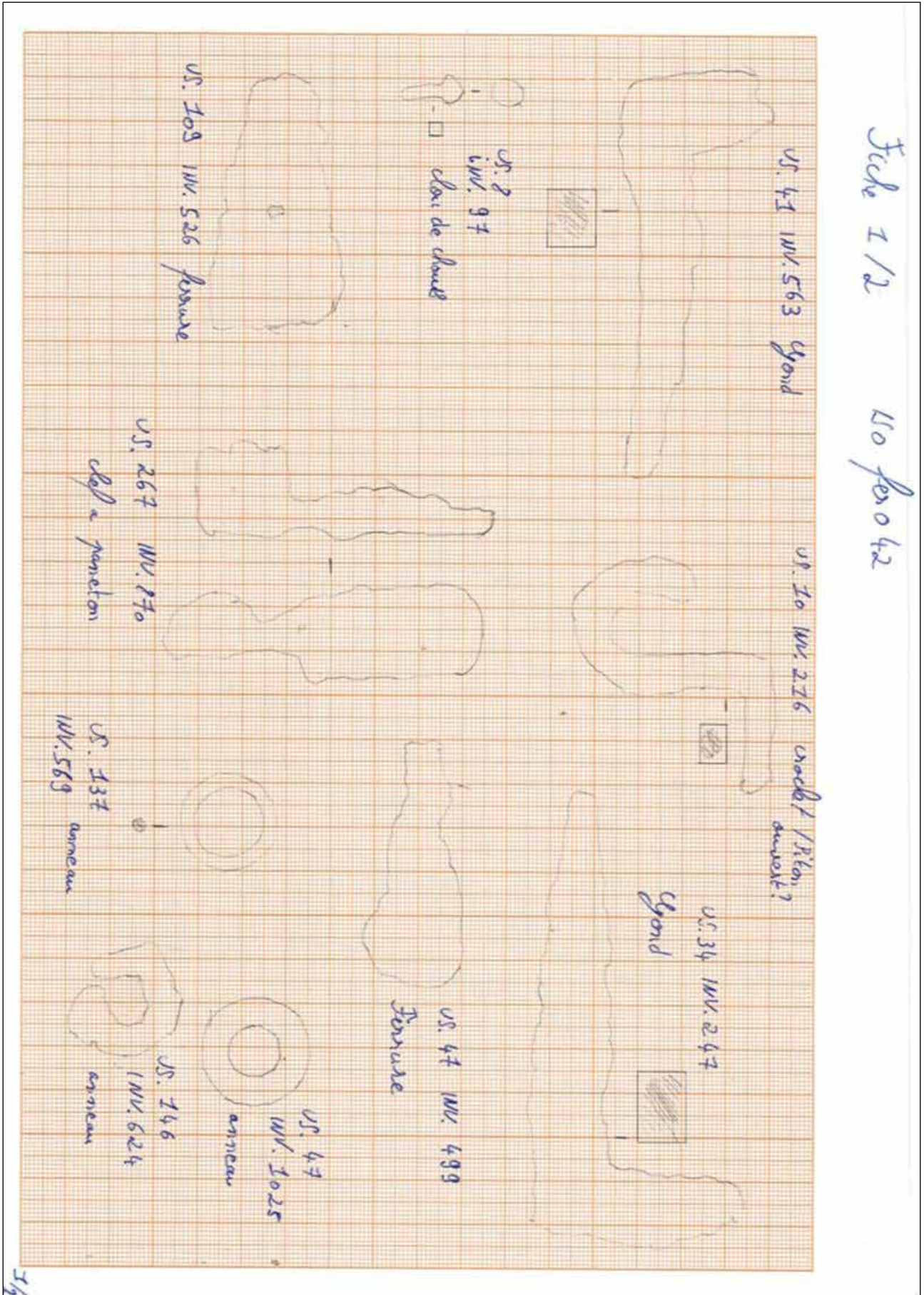


Fig. 269 - Exemple de fiche de dessin.

tation, de leur forme ou bien de certains détails, ont été dessinés à la suite d'un traitement par Photoshop. Ce traitement permet une mise à l'échelle à l'aide de plusieurs outils : recadrage de l'image et de sa taille à l'aide de la mire, puis on retire le fond. Pour finir, chaque isolat a été transféré dans un dossier numéroté (photo, dessin individuel sous deux formats) pour faciliter la création des planches par domaines et catégories fonctionnelles. Seuls quelques rares individus n'ont fait l'objet que de photos comme les artefacts lithiques.

6.2.2. Le phasage des Grandes Corvées

Pour donner suite à ce travail d'enregistrement du mobilier des Grandes Corvées, il a fallu définir un faciès en accord avec le phasage du site. Ce phasage étant incomplet, une sélection des objets à traiter en fonction des US a été faite. Ainsi, l'intégralité du mobilier abordé au cours de ce mémoire de première année ne correspond pas à l'ensemble des objets des Grandes Corvées. Ils sont cependant tous abordés et compilés dans la base de données. Le phasage du site permet mettre en avant quatre états d'occupation¹ :

- **le premier état** se concentre durant la première moitié du 1^{er} siècle ap. J.-C. Il s'agit d'une période d'installation faible en mobilier. Le traitement de l'intégralité du mobilier permettra sans doute d'éclaircir les activités se développant au cours de cette période ;

- **le deuxième état** (seconde moitié du 1^{er} ap. J.-C.) qui regroupe le premier état du bâtiment en pierre, terre et bois est riche en mobilier qui permet une étude complète. Une sélection a donc été faite par manque de temps pour aborder l'ensemble des objets des autres états. Cette étude se concentre donc les ensembles ENS.A, ENS.B et ENS.C ;

- **le troisième état** (première moitié du 11^e siècle ap. J.-C.) voit le comblement de la cave, une simplification de l'habitat recouvert à la fin de cette période par un niveau d'effondrement et un niveau de comblement, dont nous étudierons l'importance. Bien que ces niveaux soient à prendre avec précaution, ils sont riches en mobilier à l'inverse de la plupart des niveaux de sol ;

- **le quatrième état** est pauvre en mobilier si l'on ne considère pas les US de remblaiement et de démolition (US 10, 17, 22 et 29). Cette sélection du mobilier à étudier s'est faite dans le cadre d'un mémoire de première année. Le mémoire de deuxième année abordera l'intégralité de celui-ci.

C'est donc un total de 6545 restes qui constitue l'ensemble de notre corpus. Ce total regroupe 292 isolats pour 366 lots (scories et clous principalement) avec un NMI de 2796. Dans l'ensemble, le fer est majoritaire avec 6133 restes, suivi des alliages cuivreux (NR = 342) puis, la tabletterie (NR = 43) le petit mobilier lithique (NR = 18) et le plomb avec neuf restes (**Fig. 270**).

¹ Pour des raisons de calendrier, cette étude s'appuie sur le phasage présenté lors du précédent rapport de PCR (M. Rodriguez, in Bonaventure et al. 2023, p. 170-181) et ne prend pas en compte les modifications et précisions présentées en détail plus haut. Ces éléments de phasage seront mis à jour dans le rapport final du PCR.

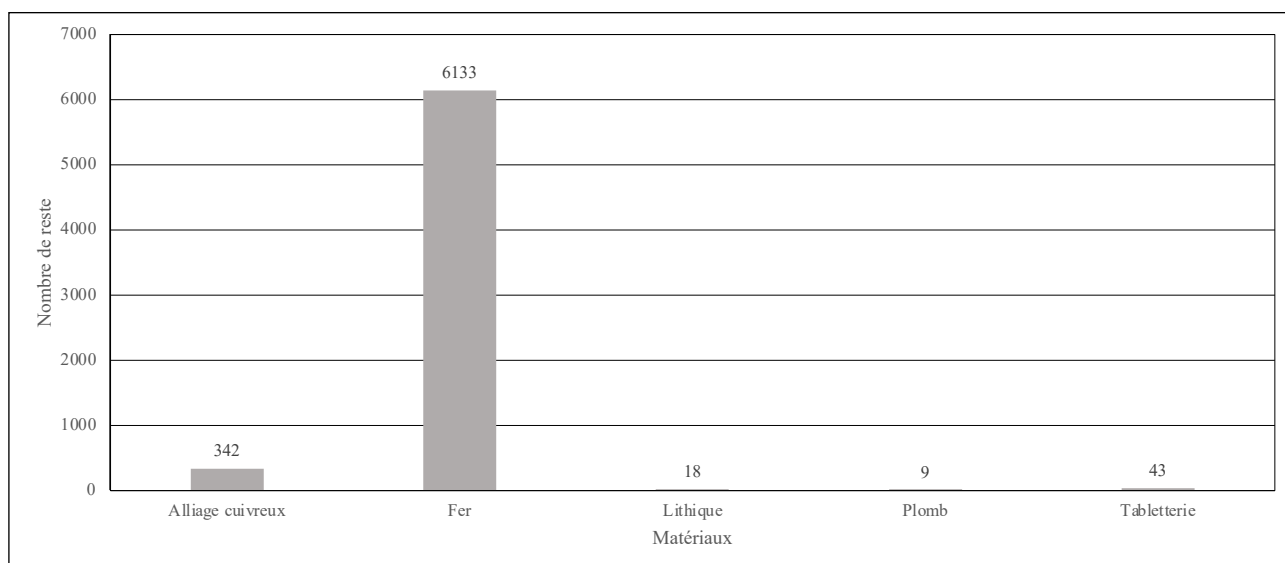


Fig. 270 - Répartition du petit mobilier par matériau.

- **État 1 (Fig. 287)**

Il s'agit pour l'instant de l'état le plus pauvre en mobilier. Ce sont principalement des trous de poteaux qui sont mis au jour associés aux premiers niveaux de voirie. Dans ce résumé nous ne tiendrons pas compte des lots de clous qui faussent la lecture du NMI pour les catégories fonctionnelles, comme pour les domaines. Un total de douze individus constitue cet état représentant cinq catégories fonctionnelles (divers productions, culinaire, soin du corps, inclassable et indéterminé).

La plupart des éléments liés à la catégorie divers productions sont des scories, retrouvées le plus souvent dans des niveaux de démolition et de remblais. Elles ne permettent pas d'attester avec certitude d'une présence d'un artisanat du fer sur le site. Le domaine domestique est recensé par un élément de doigtier en alliage cuivreux fragmentaire (n° 1 ; **Fig. 271**). Cet individu peut être associé à de la vaisselle culinaire comme une passoire ou divers récipients (Kappeller 2003). L'inventaire 1057 (n° 2) est un fragment de sonde en fer relié à la catégorie soins du corps (Wilmouth 2014, p. 555-556, Artefact : SSP-4013). Il s'agit d'un objet en fer semi circulaire avec une face plate concave lisse, à l'extrémité duquel on observe une tige de section circulaire. Les catégories inclassable et indéterminée regroupent des fragments de tôle et de petits éléments millimétriques non identifiable en alliage cuivreux.

- **État 2 (Fig. 288 à Fig. 293)**

Après l'état 3, l'état 2 est le plus riche en mobilier et en informations sur les activités représentées au sein du site des Grandes Corvées. Si dans mon mémoire il se divise en plusieurs parties, permettant d'aborder plusieurs espaces séparément, pour ce résumé j'ai décidé de regrouper tous ces éléments ensemble. Nous

avons donc un total de 1017 restes, avec un NMI de 72 sans les clous, pour douze objets. Le NR est d'ailleurs toujours donné avec les lots de clous et de scories.

Des éléments en lien avec l'artisanat apparaissent durant cet état. On a notamment une tête de marteau en triangle épais, dont l'œil d'emmanchement est circulaire (diamètre : 27 mm) tandis que la panne comme la table sont rectangulaires et larges (n° 1). Il semble s'agir d'un outil en lien avec le gros-œuvre (Kasprzyk, Tisserand 2023, p. 197). L'inventaire 1182 est pour l'instant associé à cette catégorie comme enclumette. Dotée d'une fiche permettant son enfoncement dans le bois, elle est en forme de T avec chacune de ses extrémités brisées. Sa partie supérieure doit correspondre à la table de frappe. C'est dans la cave que l'on retrouve les autres éléments associés à l'artisanat. Le premier est un polissoir en gneiss de couleur gris-vert, sur lequel on observe quelques traces d'outils sur sa surface poreuse. Cet outil semble être utilisé dans l'artisanat du métal (Pieters 2013). Enfin, un possible poids en calcaire coquillé clos les individus liés à cette catégorie. Le reste du domaine de la production est représenté par des scories, sur lesquelles nous ne nous attarderons pas.

Le domaine domestique regroupe ici des éléments en lien avec l'ameublement et les activités culinaires. Plusieurs appliques d'ameublement en alliage cuivreux se retrouvent dans l'ensemble A. Sur les quatre appliques, trois sont brisées en plusieurs fragments, tandis que la dernière est dans un meilleur état de conservation. L'objet inv. 571 (n° 16 ; **Fig. 272**) possède une tête circulaire creusée en son centre, moulurée d'un cercle concentrique. De cette tête partent deux plaques rectangulaires fines sur lesquelles on observe plusieurs pointes pour la fixation au meuble. Les deux plaques forment un L, il semble donc cor-



Fig. 271 - État 1, inv. 1240 : doigtier (Prise de vue : A. Franchini).



Fig. 272 - État 2, inv. 571 : applique (Prise de vue A. Franchini).

rect d'associer cette applique à un coin de meuble (coffre, commode ?). Deux charnières, l'une en fer et l'autre en os sont à noter. Le modèle en os n'est pas encore bien défini (n° 6). La seconde, fortement corrodée, est une charnière à fiche, brisée au niveau de l'œil (permettant sa rotation sur le gond). Enfin, une plaque décorative en fer et un fragment de miroir en alliage cuivreux viennent clore les objets d'ameublement. Deux fragments de lame se trouvent dans les US de l'état 2, le premier d'une longueur de 64 mm pour une largeur maximale de 39 mm est de forme triangulaire. L'inventaire 1430 (**Fig. 293**, n° 25) est un couteau droit de section rectangulaire avec un dos de lame droit et plat. Cette lame se recourbe à son extrémité. Le dernier individu a été désigné comme un pied de vaisselle en plomb, bien qu'il puisse également s'agir d'un support d'anse de chaudron (n° 26 ; **Fig. 273**).

Un unique objet de cet état est en lien avec le domaine du transport. Il s'agit d'une boucle de harnachement en fer (n° 8 ; **Fig. 274**). En forme de D, elle possède un axe droit dont les deux extrémités sont conservées. La corrosion ne permet pas d'observer correctement le système de fermeture.



Fig. 273 - État 2, inv. 864 : pied de récipient ? (Prise de vue A. Franchini).



Fig. 274 - État 2, inv. 152 : boucle de harnachement (Prise de vue A. Franchini).

La parure et le divertissement, qui représentent les objets en lien avec le domaine du personnel et de la vie sociale, affichent un total de dix individus. La parure regroupe l'ensemble des clous de chaussure, qui à l'inverse des travaux sur le Cul de Breuil (Rodriguez 2013) sont ici intégrés à ce domaine et non aux *militaria*. Il semble plus cohérent dans un contexte civil d'associer ces éléments au domaine personnel. On retrouve également deux anneaux, l'un en fer, l'autre en alliage cuivreux. Le second (n° 7) est d'un diamètre de 22 mm et de section circulaire, celui en fer fortement corrodé est de même dimension avec une section équivalente. Les épingle (deux en os et une en alliage cuivreux) sont de détermination incertaine ; en effet ces tiges s'affinant vers la pointe peuvent aussi être des aiguilles. La présence de chas (aiguille) n'est attestée pour aucune, mais l'on ne voit également pas de dos pour aucun des modèles de l'état 2. Le dernier objet est un jeton en os de type Béal A XXXIII.2 daté entre 50 et 150 ap. J.-C. (JTN-4004). Il s'agit d'un jeton circulaire, plat, lisse et sans aucun décors, la tranche est biseautée (n° 9).

La cave a livré pour l'état 2 des objets que l'on peut rapprocher de la catégorie fonctionnelle compte, mesure et échange. Il s'agit d'un trébuchet de balance et une partie de sa chaînette en fer (n° 21), un poids circulaire lui aussi en fer (n° 22) et un possible bouchon en calcaire coquillé. Les deux derniers éléments se trouvent au niveau d'un sol de la cave (US. 269) et le bouchon pourrait être associé aux amphores retrouvées dans le fond de cet espace (**Fig. 275**). Le poids, quant à lui, peut être en lien avec le trébuchet de balance. Toutefois, le trébuchet a été trouvé dans un remblais, il est donc difficile d'assurer de sa fonction au niveau de la cave, comme à l'échelle du site.



Fig. 275 - État 2, inv. 1302 : bouchon (Prise de vue J. Véber).

Dans ce cadre, deux stylets peuvent être associés au domaine du commerce. Il s'agit des isolats inv. 885 et inv. 1389. Le premier (n° 24) est un stylet droit avec une palette large en forme de lyre, la pointe n'est pas conservée et la corrosion ne permet pas de se faire une idée de la forme de sa section. Ce stylet a été trouvé dans la même couche (US.269) que le bouchon et le poids, on peut donc le rapprocher d'une activité de commerce. Le second stylet est lui aussi droit, de section circulaire, le fût n'est pas séparé de la pointe (n° 23). La palette brisée est en forme de triangle rectangle plat.

Le gros-œuvre est représenté par divers éléments de quincaillerie dont la taille ne permet pas de les associer à de l'ameublement. Il s'agit de deux gonds et deux agrafes (n° 17 à 20). Les deux gonds ont une longueur de 95 et 128 mm et des sections de 18 mm. Il semble donc cohérent de les associer à une possible porte ou trappe compte tenu de leur emplacement au niveau de la cave. Les deux agrafes en fer sont en U. Il s'agit d'éléments permettant de lier deux pièces d'architectures (bois, pierre ; Girard-Millereau 2010) provenant ici d'une US technique.

Pour finir, on retrouve quelques restes inclassables. Un possible fragment de charnière fortement corrodé, cet état de corrosion empêche de certifier sa détermination. L'isolat inv. 902 est une longue pièce en fer de 314 mm pour une section carrée de 7 mm. Enfin une douille d'emmanchement (inv. 1201 ; **Fig. 276**) de taille importante pouvait être utilisée pour des outils de taille importante. S'en suivent tous les fragments de plaque et de tôle en fer et en alliage cuivreux. Enfin le domaine indéterminé est constitué d'un possible fragment de faux (inv. 80) et de plusieurs petits fragments d'alliage cuivreux difformes.



Fig. 276 - État 2, inv. 1201 : douille (Prise de vue A. Franchini).

- **État 3 (Fig. 294 à Fig. 300)**

Comme l'état 2, l'état 3 est divisé dans le texte en deux parties. La première reprend le mobilier en lien avec les différentes structures (murs, sols), la seconde partie regroupe les US de recouvrement de l'état 3. Les unités stratigraphiques US.34 et US.41 du fait de leur statut (démolition et remblais) sont à prendre avec précaution, mais leur richesse en mobilier donne des résultats plus importants et développés. Ces deux parties seront abordées en une seule ici. Dans l'ensemble on dénombre un total de 1933 restes, pour un NMI sans les clous de 81 et 19 NMO. La richesse des catégories fonctionnelles et des domaines est à noter comme dans l'état 2.

Le domaine de la production, pauvre dans les états précédents, semble se développer durant cette période. En effet, on observe dans les US de recouvrement un certain nombre d'outils en lien avec un possible artisanat du métal. L'inventaire 182 est un fragment de tôle replié plusieurs fois sur elle-même (recyclage ?). En plus de ce probable déchet, on retrouve un grand nombre de scories, dont certaines en alliage cuivreux sont associées à divers fragments de taille diverse (inv. 219). Enfin, l'inventaire 365 est un fragment de tôle du même matériau replié. Ces éléments se trouvent dans le niveau d'effondrement (US. 41), il faut donc les interpréter avec prudence. Trois outils en lien avec l'artisanat, deux pinces et un poinçon ou alène, ont également été mis au jour. La pince inv. 712 (n° 44 ; **Fig. 277**) est à mors triangulaire, les deux branches de section quadrangulaire sont maintenues ensemble par un rivet situé avant le mors. L'une des deux branches se termine par un pied facilitant le maintien. La seconde pince (n° 45) diffère par la forme de son mors qui ici est plat, les branches sont de



Fig. 277 - État 3, inv. 712 : pince (Prise de vue A. Franchini).

même section et l'une d'elle est aussi dotée d'un pied de maintien. Elle possède le même type de pied, celle de droite est brisée à sa moitié. Ces deux outils ont pu être utilisés dans le travail du métal (Duvauchelle 1990 ; Artefacts : PIN-4001). Enfin, un poinçon ou alène (n° 46) termine cette partie dédiée aux outils en fer. Il s'agit d'un objet possédant une pointe effilée incomplète dans notre cas, avec un plan de frappe carré (**Fig. 278**). Ce type d'outils est attesté dans les travaux du bois ou du métal comme à Bliesbruck (Wilmouth 2014, p. 125). On retrouve aussi dans la couche US.41 plusieurs morceaux d'ambre. Un dernier outil, une aiguille en os dont on ne conserve que le chas et une partie de la tige peut attester d'un travail du textile (n° 37). Dans le contexte actuel des Grandes Corvées il est difficile d'attribuer précisément ce type d'outils à de l'artisanat. En effet, les aiguilles se retrouvent aussi dans l'habitat (Wilmouth 2014, p. 342). Pour achever cette partie sur les activités de production on observe une sonnaille en tôle de fer (n° 47), le système d'accroche comme le battant ne sont pas conservés. Les dimensions des sonnailles peuvent indiquer les espèces animales concernées par cet élevage (Kasprzyk et Tisserand 2023, p. 117). Notre modèle d'une longueur de 55 mm, semble convenir à un ovin ou à un caprin.

Dans l'ameublement, on retrouve trois appliques d'ameublement, trois crochets, une charnière à encasturer, un clou décoratif et un maillon rapide. Ces appliques sont fragmentaires, deux sont en alliage cuivreux et une en fer. La première de forme circulaire est plate avec à son revers une partie de la tige de sec-

tion carrée permettant de l'enfoncer dans un meuble, la seconde est quadrangulaire de section plate. Enfin, la dernière (en fer) trouvée dans le four est fortement corrodée, son identification est encore incertaine. S'en suivent les éléments liés à la catégorie fonctionnelle culinaire. L'inventaire 1112 en alliage cuivreux est un possible bord ou pied de petit récipient. On note la présence d'une partie d'un cuilleron de type Béal A.XXV.1 daté entre l'an 1 et 200 ap. J.-C. (**Fig. 279**). Cet objet partiellement bien conservé possède un manche brisé de section circulaire précédant le creux en cercle de l'ustensile. Au revers de l'objet on observe deux incisions convergentes en chevron marquant la transition avec le manche. Enfin, une agrafe en plomb (n° 53 ; Artefacts : AGV-4003) dotée d'une baguette associée à deux tiges de section circulaire semble appartenir à un vase de datation large, entre 50 av. J.-C. et 500 ap. J.-C.



Fig. 279 - Photographie du cuilleron inv. 381 (Prise de vue A. Franchini).



Fig. 278 - État 3, inv. 716 : poinçon (Prise de vue A. Franchini).



Fig. 280 - État 3, inv. 246 : épingle (Prise de vue A. Franchini).

Le domaine du personnel est le plus riche en mobilier avec 24 individus, la plupart sont des clous de chaussure. Pour le reste, on dénombre un anneau en alliage cuivreux de section circulaire et quatre épingles en os. Toutes les épingles sont de section circulaire, pour l'instant une seule peut être véritablement identifiée comme une épingle (n° 54 ; **Fig. 280**). Sa tête est légèrement bombée, la partie conservée de la tige s'affine vers une pointe non conservée. En reprenant le modèle de tête on semble s'approcher du type Béal A.XX.3 daté en 1 et 300 ap. J.-C.

La vie sociale est bien représentée avec deux jetons, un stylet et un couvercle de boîte à sceau. Les deux jetons sont de type Béal A.XXXIII.8 (Artefacts : JTN-4002) dotés de plusieurs cercles concentriques avec au centre une cupule, une tranche biseautée et un revers lisse. Ce type de jeton circulaire peut être daté en 1 et 350 ap. J.-C. La seule différence est le nombre de cercles concentriques : cinq pour inv.284 (n° 38) et trois pour inv.1012 (n° 57). L'objet le plus étonnant de notre corpus est un couvercle de boîte à sceau trouvé sur un niveau de la voie (Feugère et Abauzit 1995, p. 41-57). Il s'agit d'un modèle de boîte à sceau circulaire en alliage cuivreux avec un décor animalier riveté représentant un aigle, ce qui permet de le dater d'après cet article entre la fin du 1^{er} siècle ap. J.-C. et le début du 1^{er} siècle (n° 43 ; **Fig. 281**). Ce type d'objet très répandu en Gaule romaine est un contenant pour la cire permettant de créer le scellement d'un document.

Les éléments de gros œuvres sont nombreux dans les couches de démolition et de remblaiement. On note la présence de trois gonds, deux fiches, un crochet et un piton (n° 58 à 63). Pour les gonds et le crochet, ce sont leurs dimensions qui permettent de les associer à ce domaine et plus particulièrement à la catégorie architecture. Les deux fiches sont de section quadrangulaire s'affinant vers la pointe pour une longueur supérieure à 100 mm.

De nombreux restes en alliage cuivreux (plaques, tôles) constituent le domaine inclassable pour l'état 3. Certaines sont des plaques quadrangulaires de fine épaisseur, pouvant s'apparenter à de possibles fragments d'applique d'ameublement ou des éléments de décors. Deux possibles épingles ou aiguilles en os font aussi partie de notre corpus. Brisées au niveau de la tête ou de la pointe, de section circulaire, les deux restes ne sont pas suffisamment grands pour pouvoir

définir leur type avec précision, raison pour laquelle on les retrouve dans ce domaine. L'inventaire 1135 (n° 36) est une possible soie de préhension en fer quadrangulaire, s'affinant vers une partie permettant son maintien avec une pince. Enfin le dernier élément de ce domaine (inv. 397) est une plaque mise au jour à proximité du four, fragmentée en plusieurs morceaux (**Fig. 282**). On observe également deux viroles (système d'emmanchement) deux soies de section quadrangulaire et des maillons rapides.

Le dernier domaine regroupe ici plusieurs fragments en alliage cuivreux difformes de petite dimension difficilement identifiable.



Fig. 281 - État 3, inv. 846 : couvercle de boîte à sceau (Prise de vue J. Véber).



Fig. 282 - État 3, inv. 397 : plaque (Prise de vue A. Franchini).

- États 4 et 5

Il s'agit des états les plus pauvres en mobilier si l'on prend uniquement en compte les structures associées. Il a donc fallu comme pour la fin de l'état 3 compter sur les US de recouvrement (démolition et remblais) pour fournir quelques éléments. Bien que ceux-ci soient à prendre avec encore plus de précaution du fait des labours qui remanient les couches de surface. On observe un total de 225 restes, pour 31 individus et cinq objets.

Le domaine de la production est uniquement représenté par des scories. Ces restes d'activité métallurgique sont fréquents dans les niveaux de voiries (Girard-Millereau 2013) mais aussi dans les remblais comme observé aux Grandes Corvées. Il est donc difficile de les associer avec un artisanat du fer sur place sans la présence de structures associées (four, zone de frappe).

Le transport est défini par un unique clou de ferrure présent dans un radier en lien avec le mur 5. De type 2, ce clou possède une tête en forme de clé de violon, la tige présente la même épaisseur que la tête (Guillaumet 2003, p. 132).

L'ameublement n'est visible que dans les niveaux de l'état 5. Deux clefs, un gond et un crochet en forme de S sont à noter. La première des deux clefs est massive (inv. 57 ; Fig. 20). Il s'agit d'une clé à translation avec un manche plat de section rectangulaire percé dans sa partie supérieure (trou de suspension), une tige de section circulaire forme la transition entre le manche et la platine. Cette platine en forme de L possède trois dents rectangulaires parallèles, et des perforations géométriques. Ce type d'objet est datable entre 200 et 300 ap. J.-C. (Artefacts : CLE-4010). La seconde clef est aussi à translation mais d'un modèle différent (Artefacts : CLE-4064 ; **Fig. 284**). Doté d'un manche de section carré lui aussi percé, une tige de section indéterminée du fait de la corrosion qui assure la transition entre le manche et le paneton recourbé avec deux dents rectangulaires en partie conservées (Guillaumet, Laude 2009).

La parure est pour l'ensemble des strates étudiées dans cette partie associée aux clous de chaussure.

La vie sociale est représentée par un stylet et deux jetons. Le stylet est un objet servant à l'écriture pouvant être associé en fonction du contexte à ce domaine, ou à celui du commerce comme évoqué plus tôt dans notre résumé. L'inventaire 798 est donc un stylet de section



Fig. 283 - État 4/5, inv.57 : clef à translation (Prise de vue A. Franchini).



Fig. 284 - État 4/5, inv. 508 : clef à translation (Prise de vue A. Franchini).

circulaire s'épaississant avant la pointe (soutien au maintien ?) la palette n'est pas conservée, à l'inverse de la pointe parfaitement visible. Le jeton (inv. 236) se rapproche du type Béal A.XXXIII.3 (1-200 ap. J.-C.). Comme les précédents, il est formé à l'aide d'un dispositif de découpe tournant laissant au centre une cupule. La tranche est biseautée et le revers est lisse, mais il ne possède aucun cercle concentrique. Le second de type Béal A.XXXIII.8 (inv. 255) est un modèle à quatre cercles concentriques, une cupule centrale, une tranche biseautée et un revers lisse. Ce type de jeton est quant à lui datable entre 1 et 350 ap. J.-C.

Les lots de clous sont les éléments majeurs de ce domaine mais n'ont pas été abordés plus tôt. En effet il s'agit plus la plus grande partie de clous dit de menuiserie, parfois associées à quelques clous de construction et ou de tapisserie (Guillaumet 2003, p. 132-133). On observe cependant ici un fragment de lame à dos droit et tranchant convexe, son système d'emmanchement n'est pas conservé. Un fragment de douille et

deux fragments de tôle en alliage cuivreux viennent clore ce domaine. Le suivant est constitué d'un possible ardillon de fibule (inv. 238) et d'éléments en fer indéterminés.

6.2.3. Synthèse sur le mobilier des Grandes Corvées

L'échantillon de mobilier abordé au cours de cette étude permet de se faire une première idée sur les catégories les plus représentées, à savoir l'ameublement, la parure et le vêtement (**Fig. 285**). En dépit de l'identification théorique de l'ensemble ENS.C (maison longue) l'artisanat est sporadique si l'on retire l'ensemble des scories ferrugineuses provenant pour la plupart des remblais et des niveaux de voies. Quelques traces d'échanges sont toutefois observables durant l'état 2 et seront à confirmer. Comme démontré au cours des dernières parties, il semble essentiel d'aborder les unités stratigraphiques de remblais et de

démolition. Les couches de démolition piègent une partie importante du mobilier et sont les marqueurs de la fin d'un état. À l'inverse, les remblais d'où proviennent un mobilier de contextes variés indiquent le commencement d'un nouvel état. En effet, ce sont des niveaux qui livrent les quantités de mobilier les plus abondantes, autorisant une approche quantitative et statistique. Mais il faut les aborder avec la prudence que leur contexte d'origine impose (remblais). Ces éléments permettront sans doute d'affiner la recherche sur les activités présentes aux Grandes Corvées.

L'état 1 correspond à l'installation d'un possible bâtiment sur poteau marquant le début de l'occupation antique. Les remblais, facilitant l'aménagement, contiennent en partie des restes liés à une activité de forge (lots de scories : 72 restes). Ils peuvent cependant provenir d'activités distantes.

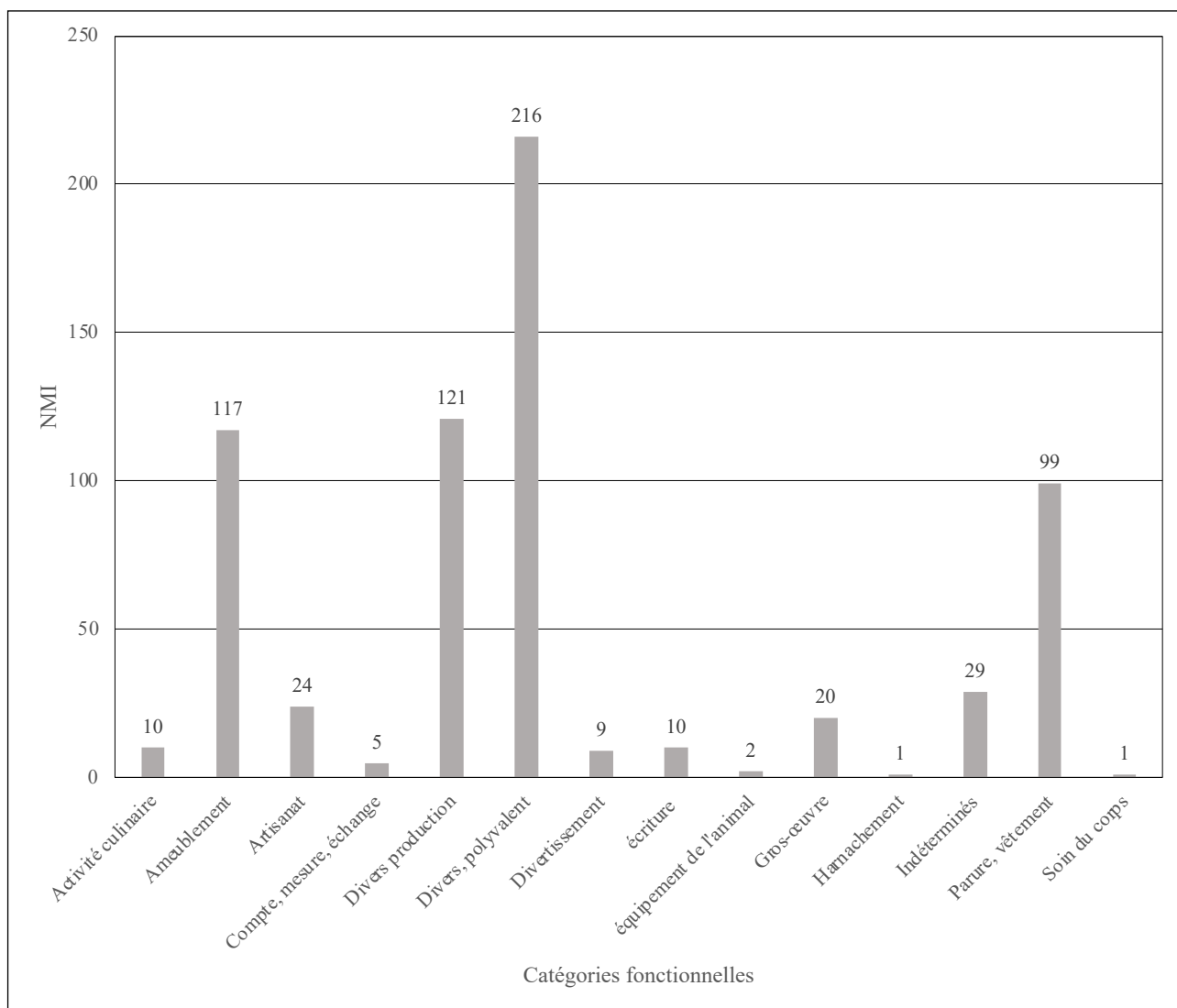


Fig. 285 - Répartition du petit mobilier par catégories fonctionnelles, hors lots (DAO : A. Franchini).

L'état 2, le plus riche en structures conservées et en mobilier, est principalement représenté par les activités d'échange et de commerce, mais aussi par le divertissement, auxquels on peut ajouter des restes liés à l'ameublement plus nombreux. Si l'ensemble ENS.A ne semble pas lié à un quelconque artisanat, il se distingue cependant du reste du site par la présence de plusieurs appliques d'ameublement en plus ou moins bon état de conservation. Au cours de cette période, l'ensemble du mobilier démontre une installation plus pérenne associée à un artisanat supposé domestique (tête de marteau) étant donné le manque de structure immobilière (forge, four de potier...). On note toutefois l'apparition d'un possible espace de vente au-dessus de la cave. Quelques restes d'objets sont visibles dans un niveau de sol et un remblai. Les restes d'un trébuchet de balance et de sa chaîne (inventaire 1415), bien que fragmentaires, sont une preuve de ces activités d'échange et de commerce. Les deux stylets retrouvés dans ces couches (inventaire 885 et 1389) peuvent aussi appartenir à cette catégorie. D'autres exemples, comme les inventaires 879 et 1302, respectivement un poids en fer et un bouchon en calcaire coquillé, appuient cette hypothèse. Les amphores retrouvées en place dans la cave peuvent, dans une certaine mesure, appuyer ce propos (**Fig. 286**). La pré-

sence de cet espace de vente au niveau de la façade du bâtiment est susceptible de renforcer l'interprétation d'une maison longue (Lantheimann, 2013, p. 40-41).

L'état 3, marqué par un important effondrement, est le premier à démontrer une possible activité artisanale. Les indices de cette activité artisanale (ou plutôt activité de production), se trouvent pour la plupart dans les couches d'effondrement de l'état 3. Les deux pinces (inventaires 248 et 712) sont des marqueurs de cette possible activité. Par ailleurs, la première est utilisée dans le cadre d'une activité de forge (fiche Artefact PIN-4001, Duvauchelle 1990, p. 85-86). Un autre témoin de ce travail du métal est le poinçon ou alène (inventaire 716). Une fois encore ces rares objets, sans la présence de structures artisanales, ne nous permettent que de supposer la présence d'un artisanat du métal. De plus une partie de ces objets proviennent du remblaiement de la fin de l'état 3. Il faudra donc les intégrer à l'état 4. Encore une fois, les indices d'activités artisanales (notamment textiles) revêtent probablement un caractère domestique.

Pour l'état 4, le plus pauvre en structure, l'ajout des couches de recouvrement a permis d'étudier plus de restes. Ces unités stratigraphiques appartenant à l'état



Fig. 286 - Aperçu des amphores de la cave (Prise de vue B. Bonaventure).

5 sont plus riches en mobilier. Mais, les informations fournies par le mobilier provenant de ces couches est à relativiser du fait des activités agricoles et du colluvionnement. Malgré le peu de mobilier, une occupation de l'espace est attestée.

Dans l'ensemble, le petit mobilier des Grandes Corvées permet de mettre en avant certaines activités et spécificités. Les résultats obtenus à l'aide de cette première étude, recoupés avec les données de fouille et des différents rapports permettent de proposer un premier faciès des activités.

Le corpus de petit mobilier et d'éléments de paléoméallurgie des Grandes Corvées est quantitativement important. Afin de réduire les délais d'étude, tout

en produisant un faciès fonctionnel correspondant à chaque état, une première sélection a été réalisée. Bien que ce processus de sélection montre désormais ses limites, certains résultats intéressants sont apparus et ils correspondent à la proposition de phasage présentée dans le dernier rapport intermédiaire du PCR (Rodriguez 2023).

Le phasage complet du site des Grandes rend désormais possible la réalisation d'un faciès intégrale. La consolidation de la bibliographie permettra de chasser les quelques zones de flou persistantes sur quelques objets de notre corpus. Ce travail de consolidation faisant l'objet d'un master 2 ACTE à l'université Bourgogne-Franche-Comté doit atteindre son terme en septembre 2024.

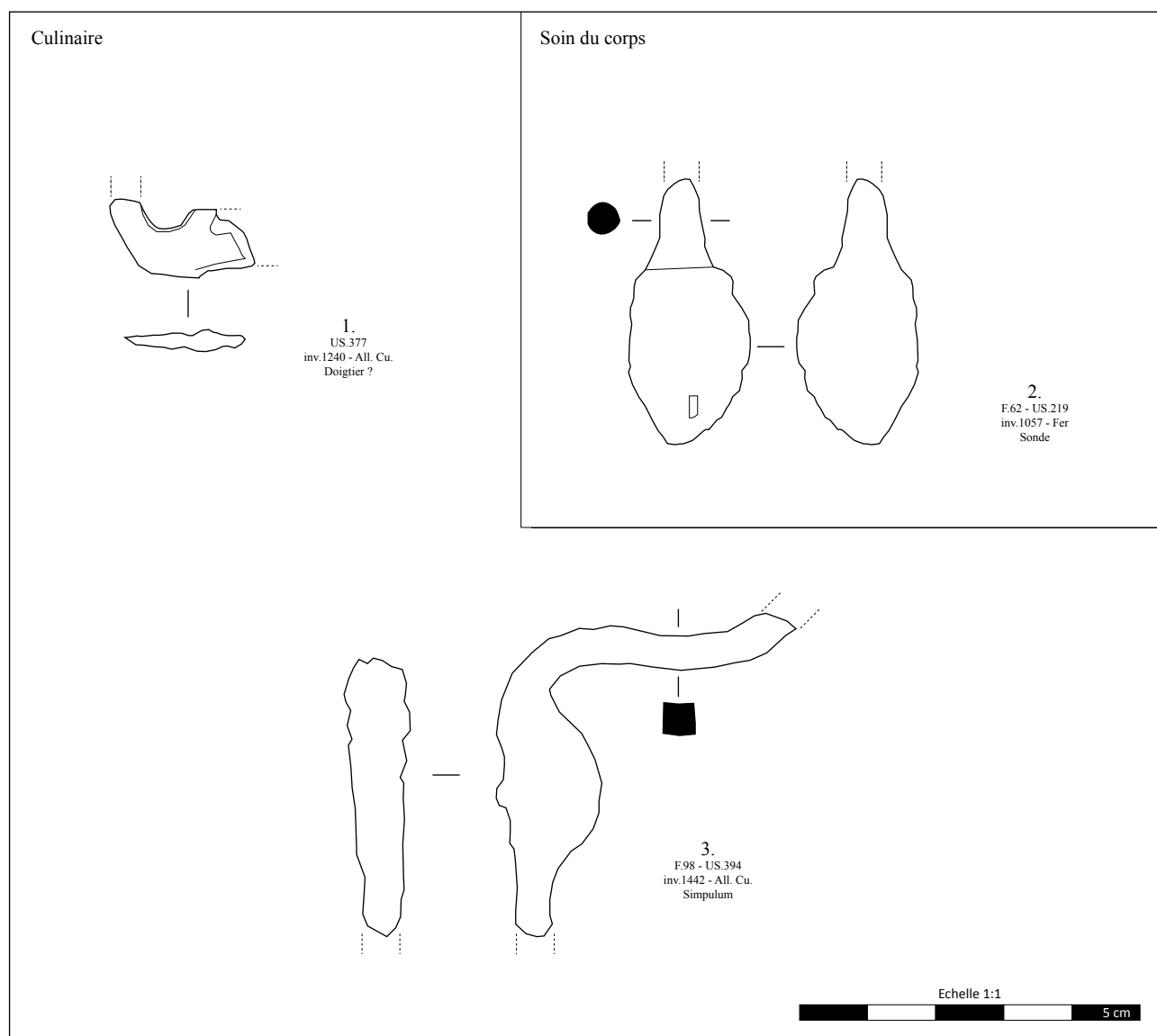


Fig. 287 - Le petit mobilier de l'état 1 (DAO : A. Franchini).

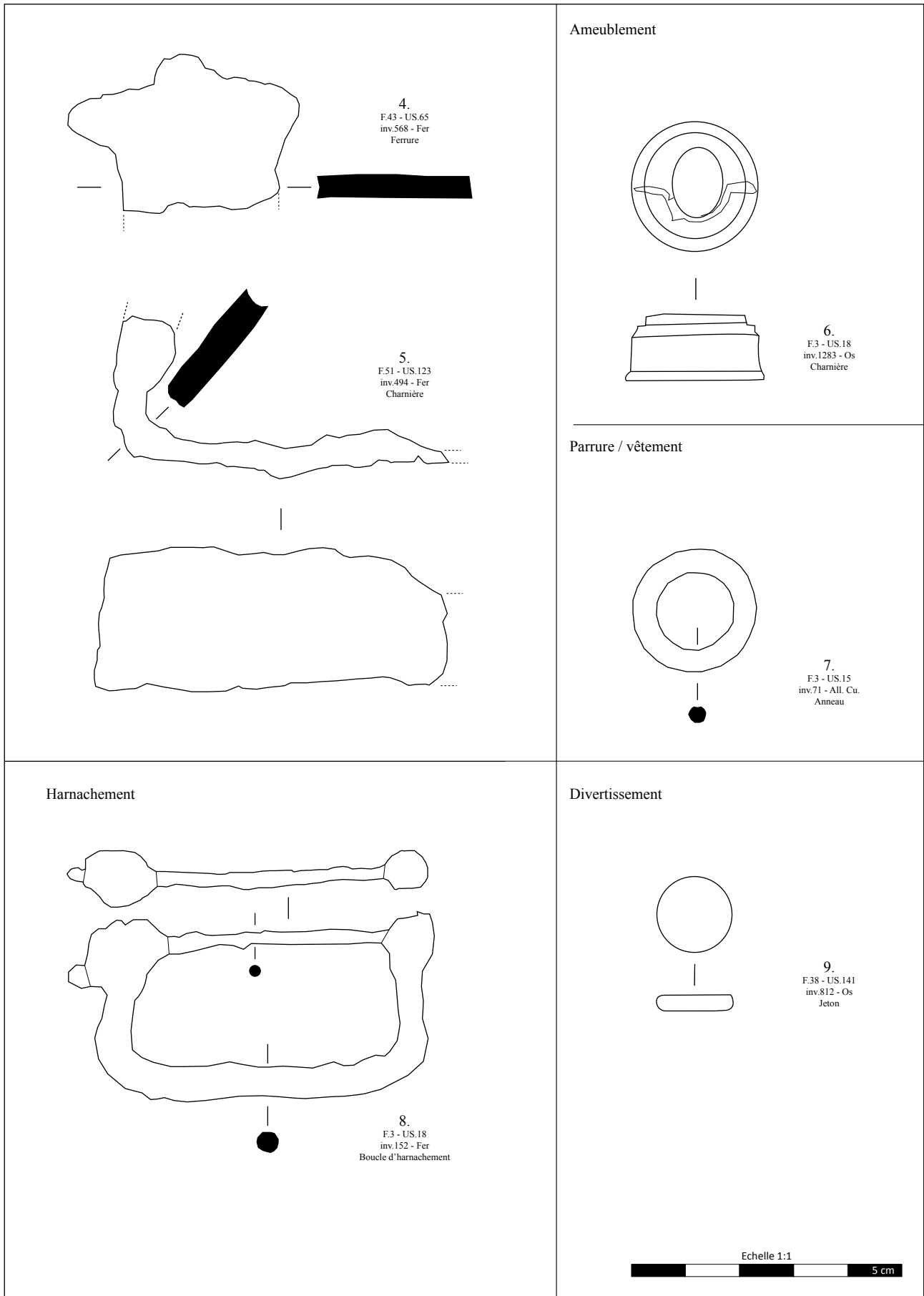


Fig. 288 - Le petit mobilier de l'état 2, 1/2 (DAO : A. Franchini).

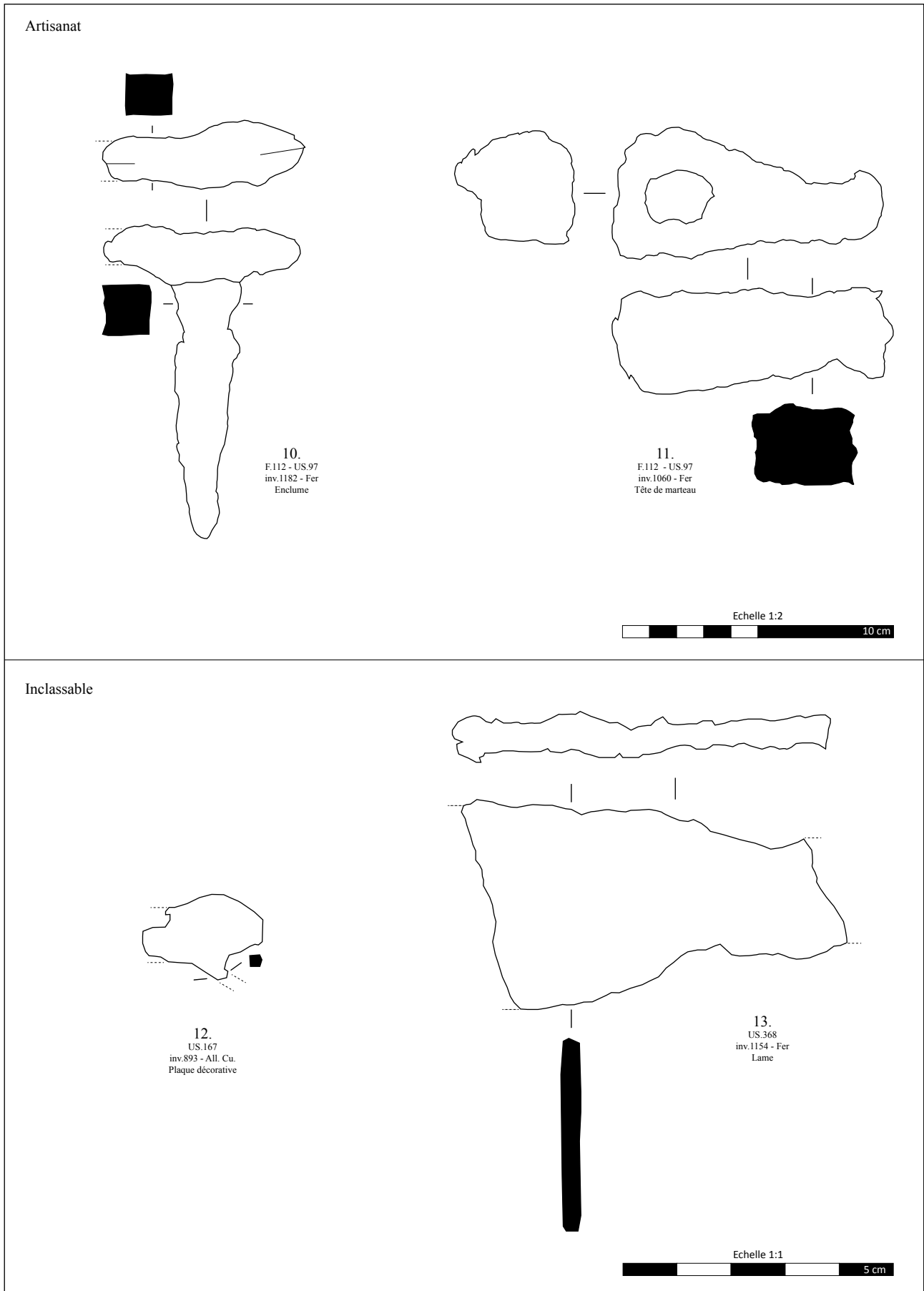


Fig. 289 - Le petit mobilier de l'état 2, 2/2 (DAO : A. Franchini).

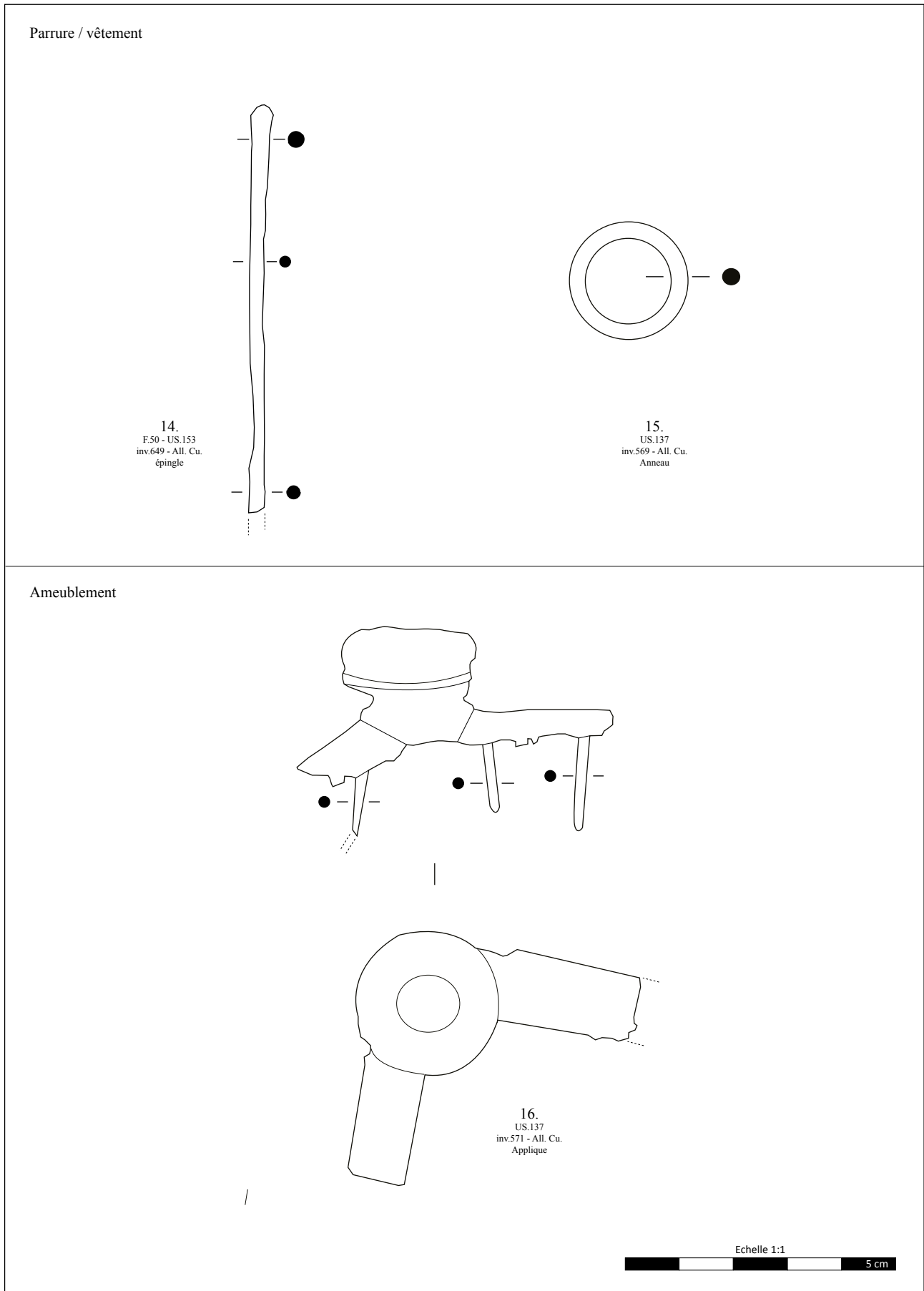


Fig. 290 - Le petit mobilier de l'état 2 - ENS.A (DAO : A. Franchini).

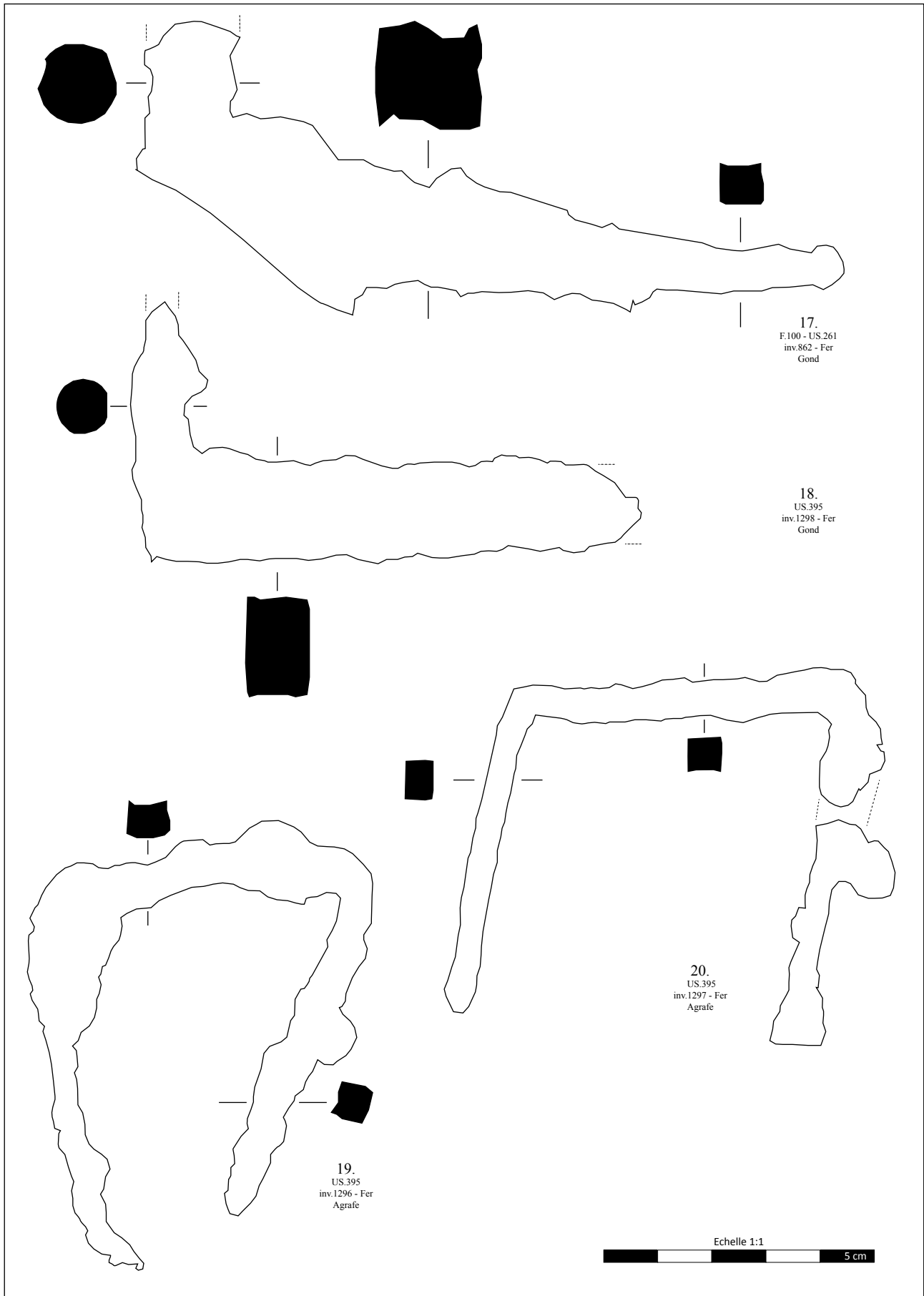


Fig. 291 - Le petit mobilier de l'état 2 - cave : gros-œuvre (DAO : A. Franchini).

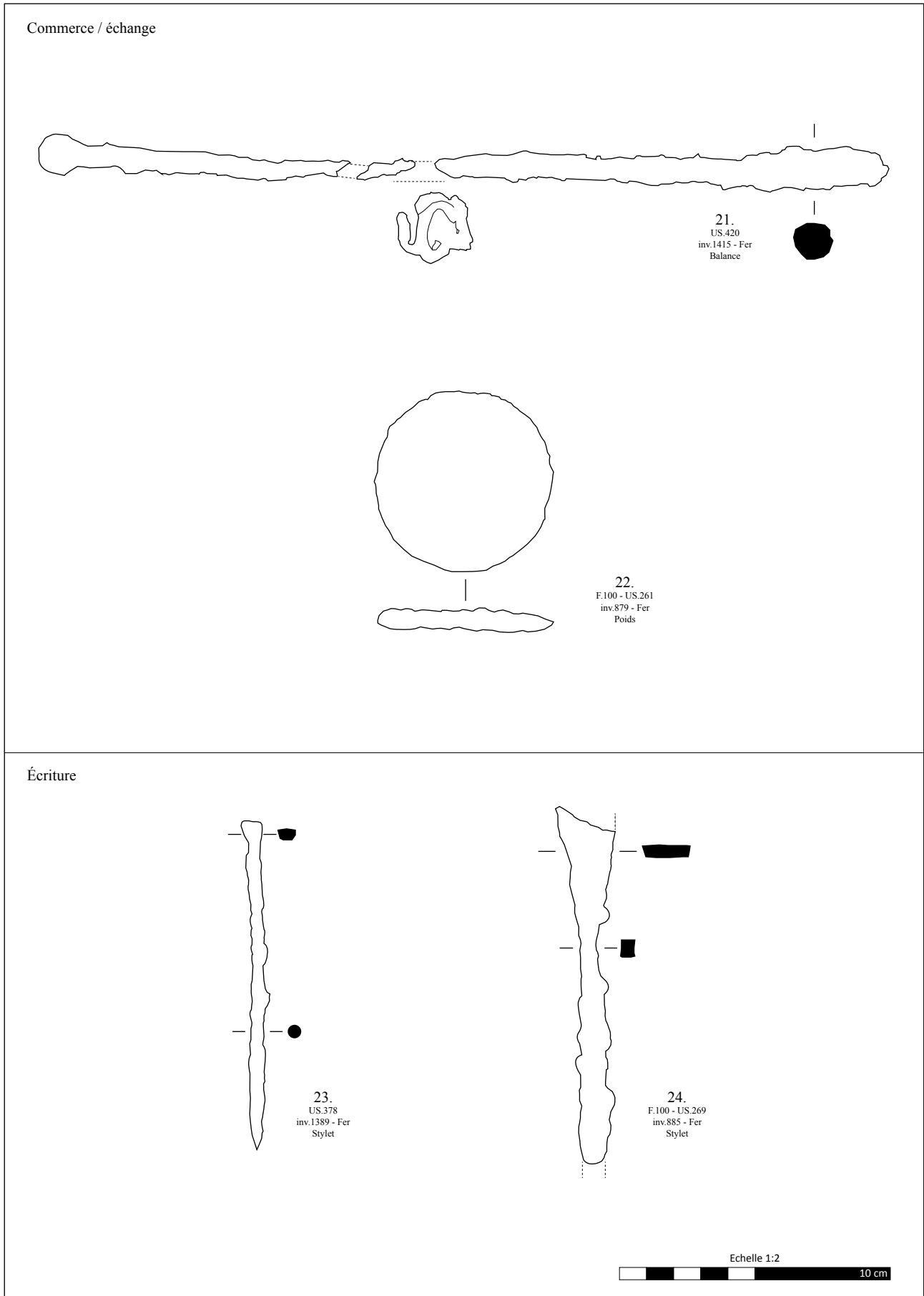


Fig. 292 - Le petit mobilier de l'état 2 - cave : écriture et commerce (DAO : A. Franchini).

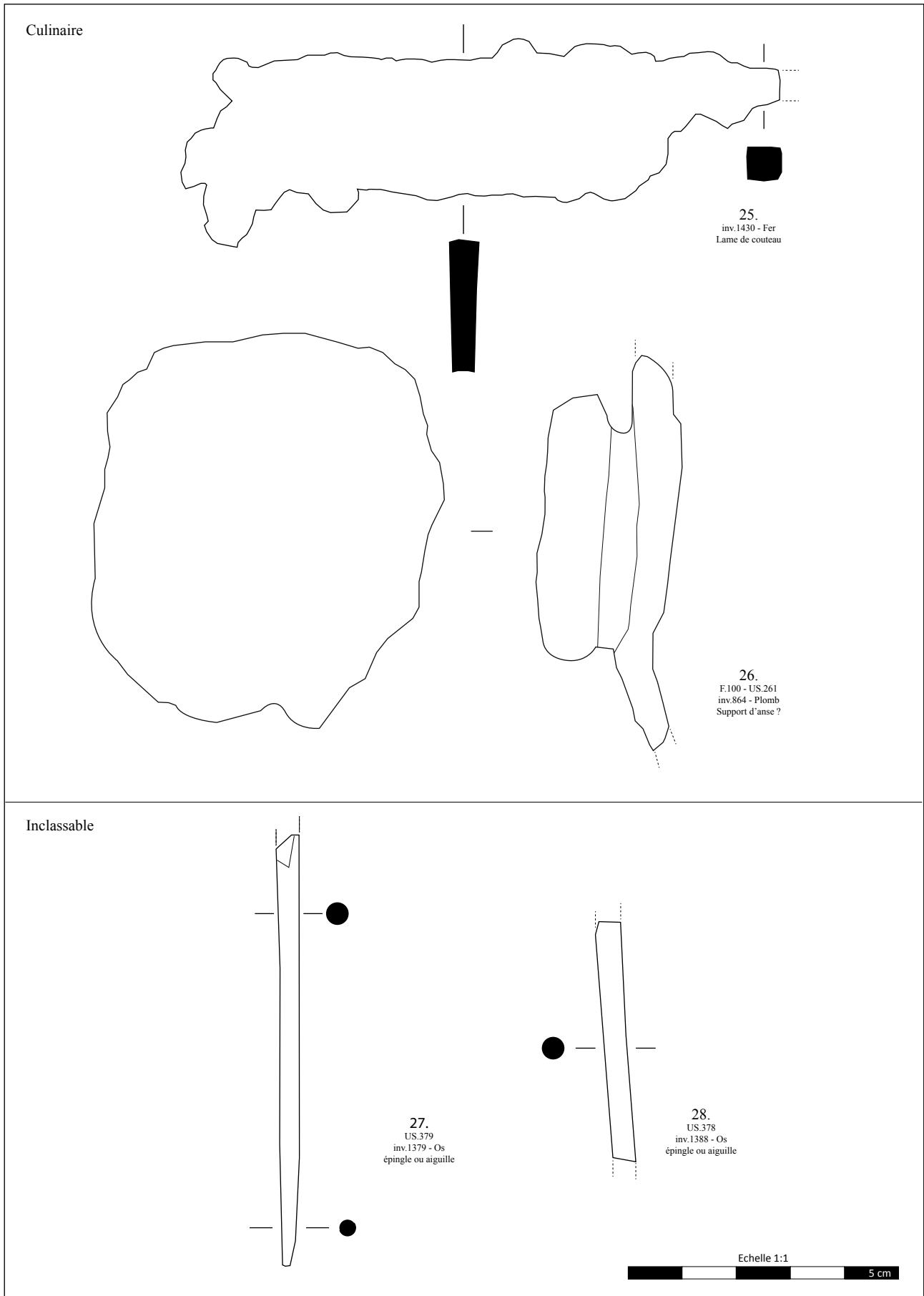


Fig. 293 - Le petit mobilier de l'état 2 - cave : culinaire et inclassable (DAO : A. Franchini).

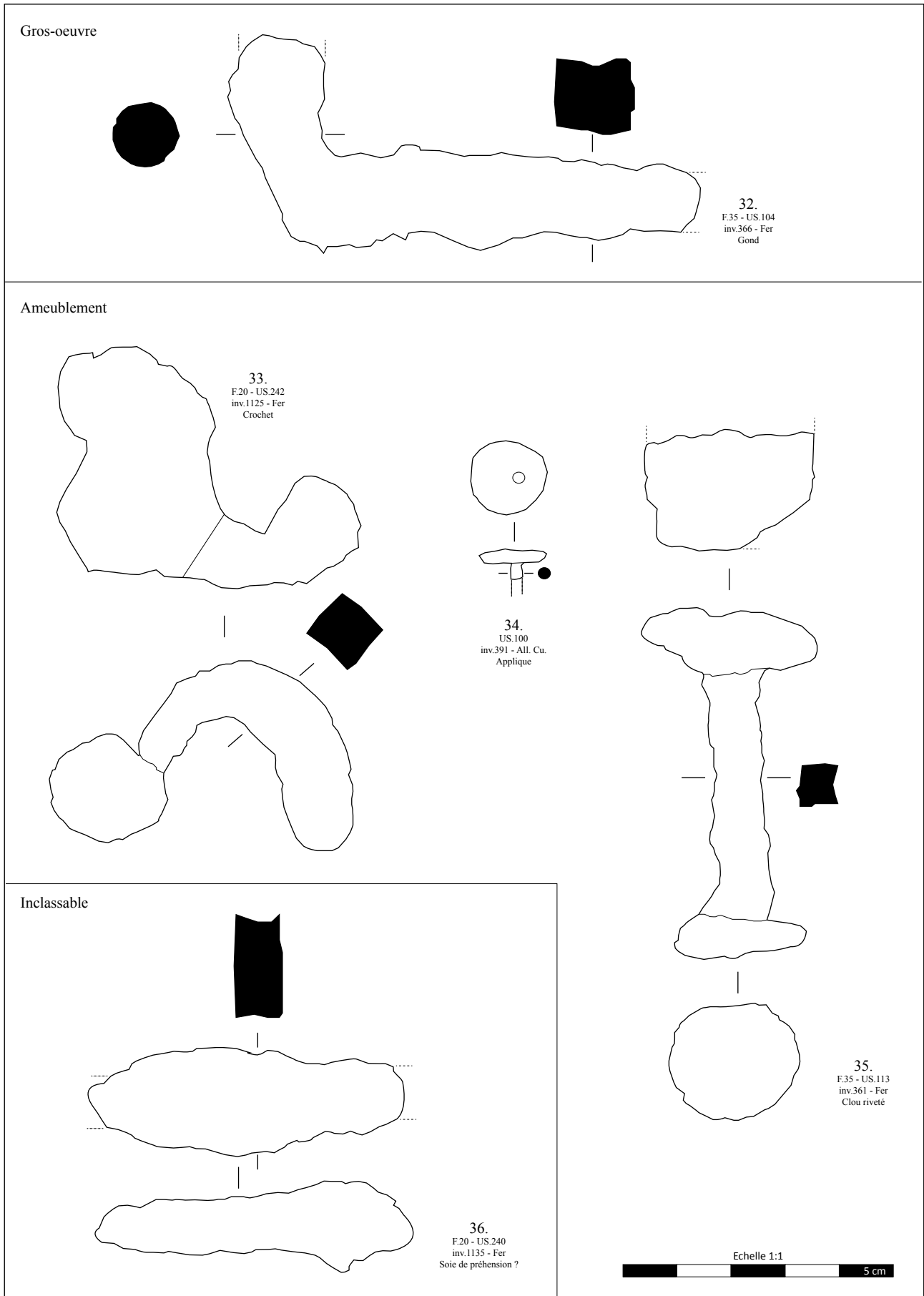


Fig. 294 - Le petit mobilier de l'état 3, 1/2 (DAO : A. Franchini).

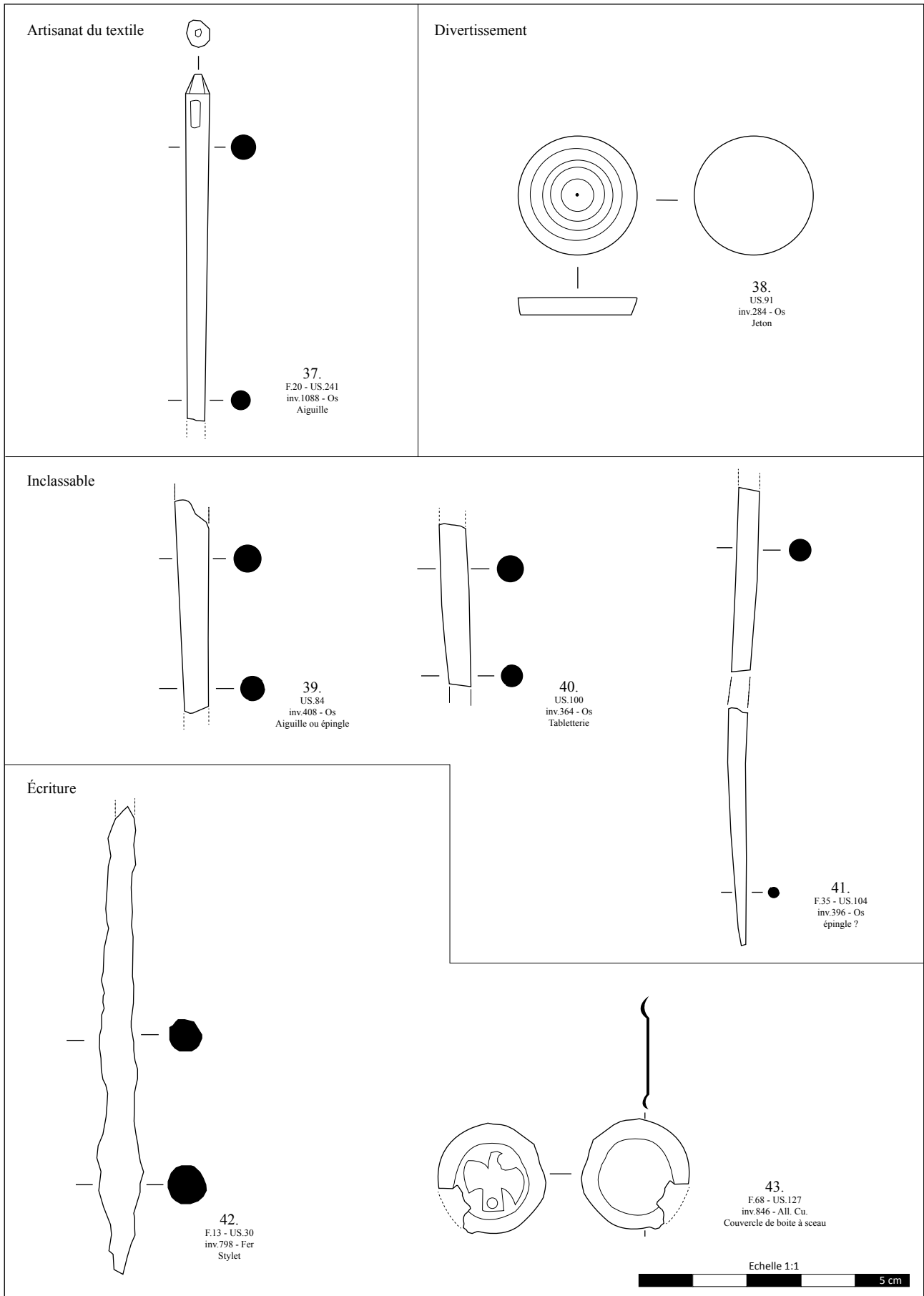


Fig. 295 - Le petit mobilier de l'état 3, 2/2 (DAO : A. Franchini).

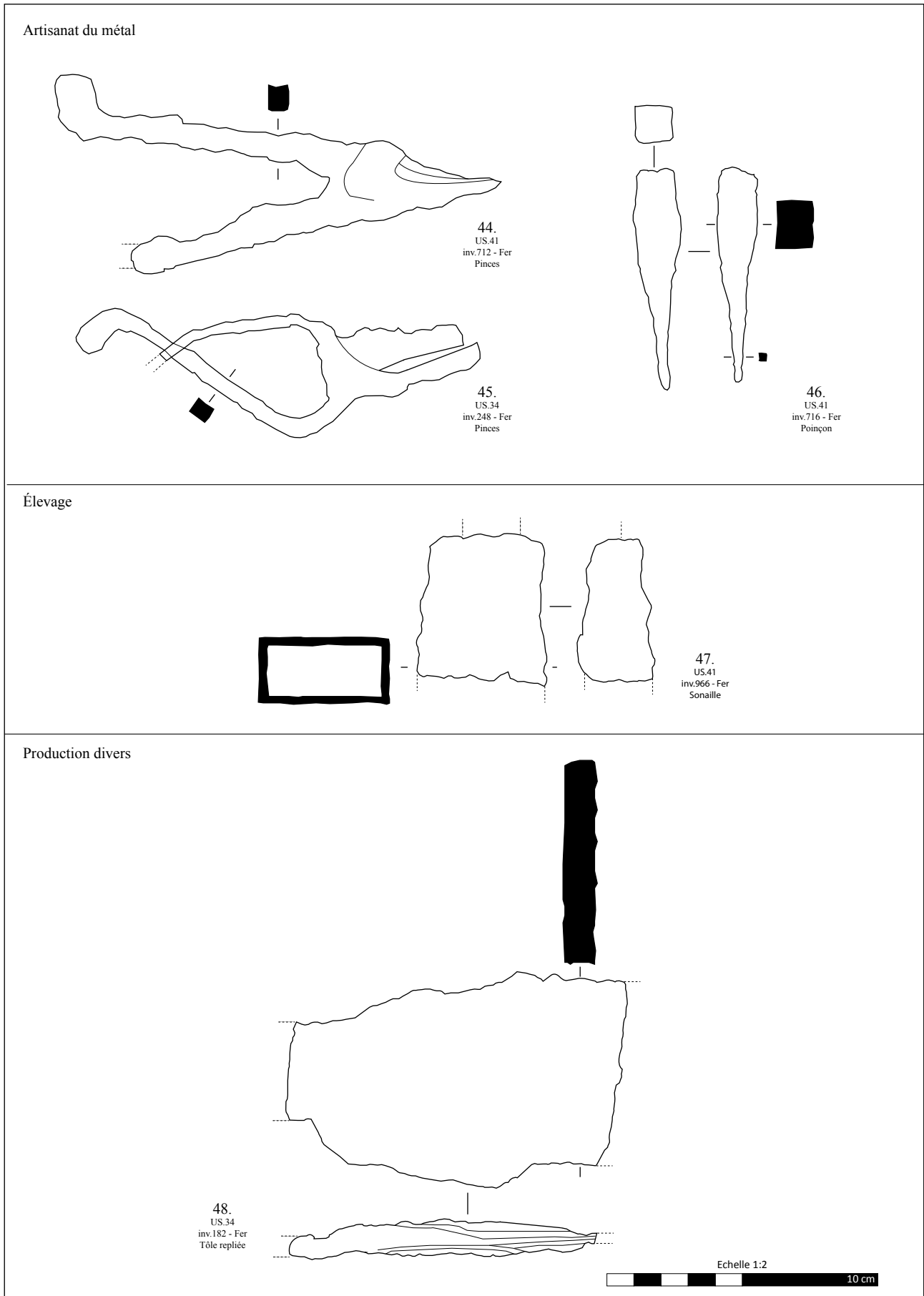


Fig. 296 - Le petit mobilier de l'état 3 - US.34 et US.41 : artisanat (DAO : A. Franchini).

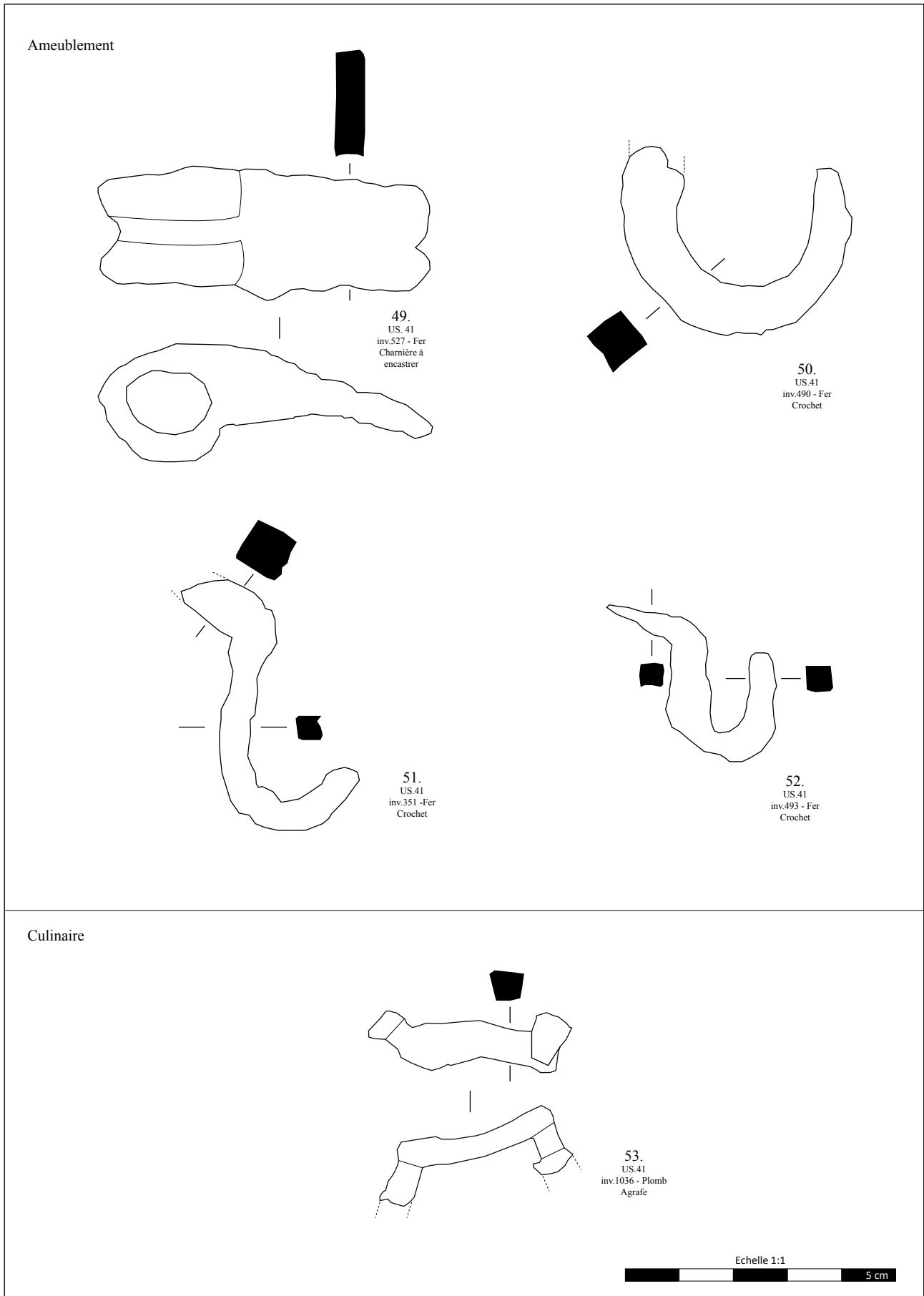


Fig. 297 - Le petit mobilier de l'état 3 - US.34 et US.41 : ameublement et culinaire (DAO : A. Franchini).

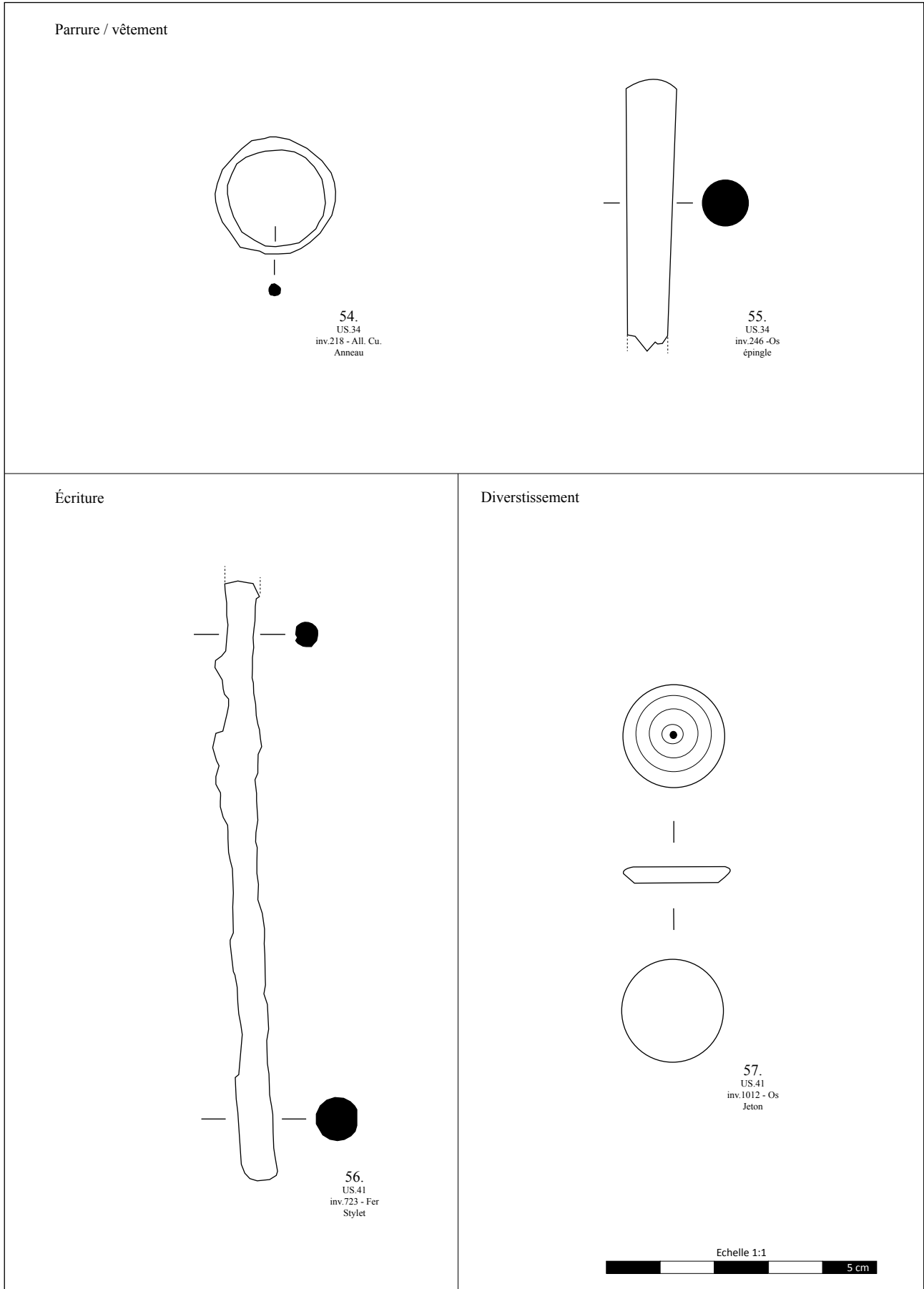


Fig. 298 - Le petit mobilier de l'état 3 - US.34 et US.41 : parure/vêtement, écriture et divertissement (DAO : A. Franchini).

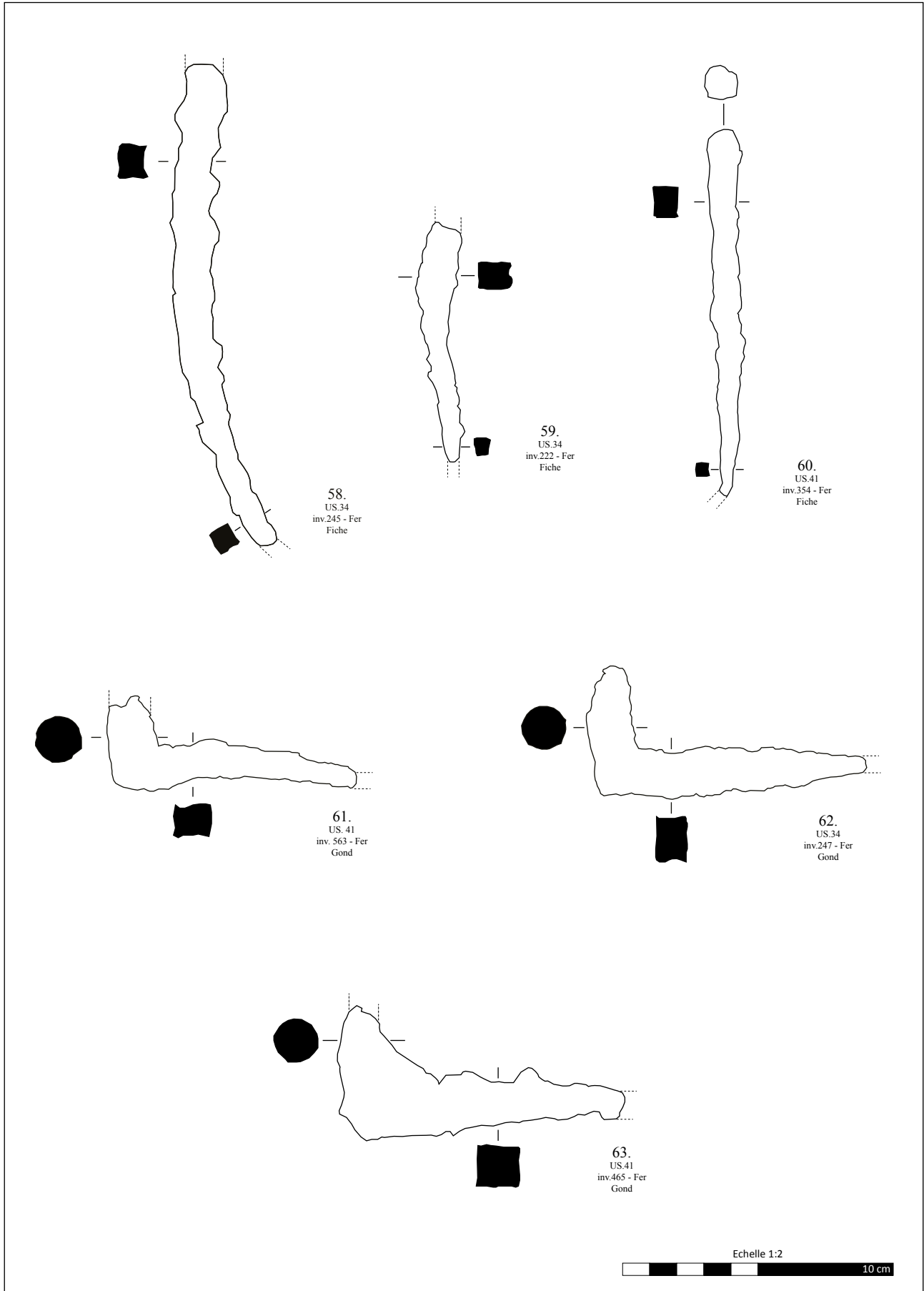


Fig. 299 - Le petit mobilier de l'état 3 - US.34 et US.41 : gros-œuvre (DAO : A. Franchini).

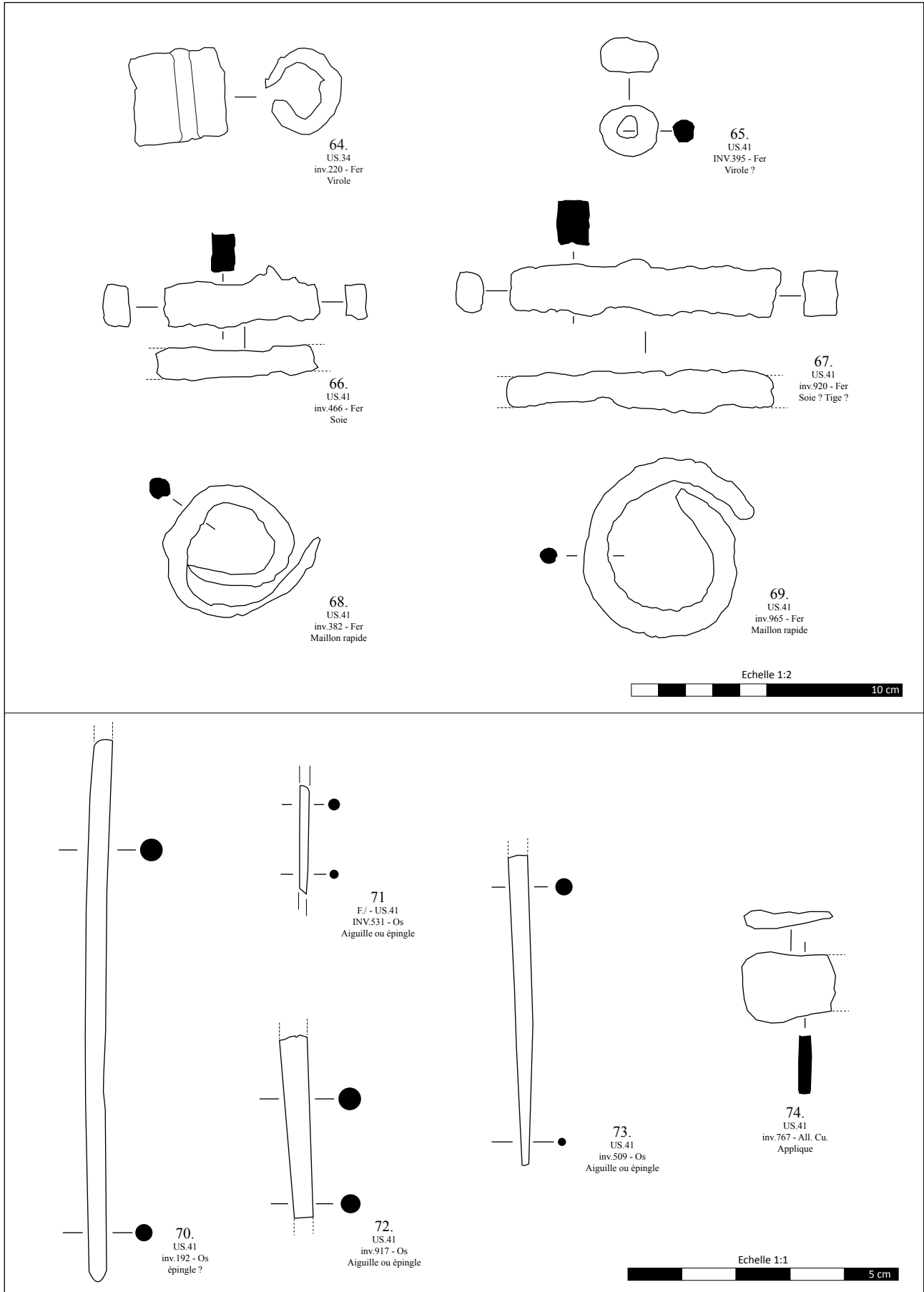


Fig. 300 - Le petit mobilier de l'état 3 - US.34 et US.41 : inclassable (DAO : A. Franchini).

6.3. Le mobilier en verre

Lucile Catté

L'étude menée sur le mobilier en verre a constitué en un inventaire exhaustif des fragments, préalablement conditionnés par US. Ont été pris en considération dans un premier temps la nature (bord) ainsi que les teintes (naturelles, incolores ou colorées) de manière à définir un nombre minimum d'individus (NMI). Dans un deuxième temps, la prise en considération d'autres aspects technologiques (technique de réalisation, décors) et typologiques (fond, anse, col) a permis d'établir un nombre total d'individus (NTI). L'ensemble des fragments a fait l'objet d'un comptage et les formes particulières (bord, anse, fond) ont donné matière à une présentation détaillée et à une comparaison aux typologies connues (Isings 1957 ; Rütli 1991 ; Robin 2016 ; VEINAR 2018). Les éléments présentant un intérêt particulier ont été dessinés et pour certains photographiés.

Le mobilier en verre recueilli lors des campagnes 2020 et 2021 est peu abondant. Il comptabilise 330 fragments dont 326 fragments sont datés de l'époque antique et quatre de l'époque contemporaine (panse indéterminées incolores et goulot de bouteille). Parmi les 330 fragments recensés, 291 sont rattachés à de la vaisselle, 36 appartiennent au domaine architectural, deux sont des éléments de parure. Pour finir, une scorie est identifiée (9.5.3).

6.3.1. La vaisselle en verre

Au total, 291 fragments (NR) sont rattachés au domaine de la vaisselle. Les restes de teinte naturelle bleu-vert sont les plus nombreux avec 161 fragments, suivis par les teintes incolore-verdâtre (80 NR) et colorées (50 NR). L'écrasante majorité est réalisée selon la technique du verre soufflé à la volée. La technique du verre moulé est tout de même attestée (6 NR au minimum) ainsi que le verre soufflé dans un moule (5 NR minimum). L'étude du lot a permis l'identification de 35 individus (NMI) auxquels viennent s'ajouter treize autres vases, distingués par leur teinte ou particularités typologiques autre que le bord (NTI).

• État 1

Seuls dix fragments proviennent de niveaux datés de l'état 1. Deux formes ouvertes sont recensées. Un exemplaire de coupe Is. 44 / AR 109.1 est mis au jour, reconnaissable grâce à sa lèvre en bandeau, repliée vers l'extérieur (**Fig. 301**, INV.1249.001).

Leur production débute à partir du milieu du 1^{er} siècle apr. J.-C et perdure jusqu'aux flaviens. Leur diffusion s'étend à l'ensemble de l'Empire. Un deuxième bord à lèvre adoucie bleu-vert est mis au jour, sans pouvoir en préciser la forme (INV.1259-001). Les formes fermées ne comptent qu'un fond apode bleu cobalt (INV.1221-001).

• État 2

À l'état 2, 73 fragments sont rattachés, dont 5 NMI. Une coupe moulée Is. 3 / AR 2 est recensée, de teinte bleu-vert (INV.1257-001). Ces coupes côtelées sont très communes dans l'ensemble de l'Empire. Leur production débute à partir de la période augustéenne et jusqu'au règne de Trajan. Une deuxième coupe de type Is. 17 / AR 28 est mise au jour (**Fig. 301**, INV.1354-001), identifiée grâce à son fond et départ de panse finement côtelée. Ces coupes soufflées à la volée présentent traditionnellement un décor de filets rapportés blanc opaque. Elles sont produites du règne de Tibère/Claude jusqu'à Néron et attestées dans toutes les provinces. À cela viennent s'ajouter quatre autres bols ou gobelets, dont la petitesse des fragments ne permet pas l'identification. Parmi eux se trouvent deux fonds, l'un formé par repli de la paraison (**Fig. 301**, INV.883-001) et l'autre apode (**Fig. 301**, INV.639-001) ainsi que deux bords, l'un légèrement évasé (**Fig. 301**, INV.1143-001) et l'autre à bord droit (**Fig. 301**, INV.94-001). L'exemplaire INV.94-001 est de teinte vert olive très foncé, presque noir opaque. La vaisselle d'aspect noir est connue dans l'ensemble des provinces nord-occidentales, du 1^{er} au 5^e siècle apr. J.-C. Lors du 1^{er} siècle, la coloration du verre s'applique à une pluralité de formes dédiées au service de la table et semble être plus esthétique que fonctionnelle (Cosyns, Fontaine 2017 : 80). Sur le site du Cul de Breuil à *Nasium*, des fragments sont aussi recensés dans des contextes datés de 80-120 apr. J.-C. (Colombier-Gougouzian 2022 : 238).

Les formes fermées sont attestées par la présence de vases à verser ainsi que par des vases liés au domaine de la toilette. Deux cruches Is. 13/15 sont mises au jour, de teinte bleu cobalt (**Fig. 301**, INV.1079.001) ou bleu-vert (**Fig. 301**, INV.1079-002). Toutes deux ont un bord évasé à lèvre repliée vers l'intérieur. L'exemplaire INV.1079-001 présente une anse fixée sur un col conique. Produites du règne de Tibère jusqu'aux

flaviens et diffusées dans la plupart des provinces de l'Empire, ces amphoriques semblent être produites dans le nord de l'Italie, à Avenches, ainsi qu'à Lyon dans l'atelier de la Montée de la Butte (Robin 2008 : 30). Une bouteille Is. 50 / AR 156 est recueillie, attestée par un fond apode à décor soufflé-moulé de trois cercles concentriques et d'un point central (**Fig. 301**, INV.231-001). Très communes, ces bouteilles sont produites du règne d'Auguste jusqu'au III^e siècle apr. J.-C. Finalement plusieurs fragments de balsamiques sont recueillis. Deux fonds apodes sont comptabilisés. Le premier en forme de goutte rappelle la forme Is. 8 (**Fig. 301**, INV.1143-002) produite à partir du règne d'Auguste et jusqu'au II^e siècle apr. J.-C. Le deuxième balsamique présente une panse tronconique (**Fig. 301**, INV.76-001) pouvant correspondre aux types Is. 28b ou Is. 82b1 / AR 135, la petitesse du fragment rendant l'identification incertaine. La production de ces deux types débute à partir du règne de Claude² et perdure jusqu'au II^e siècle apr. J.-C. pour le type Is. 28b et jusqu'à la première moitié du III^e siècle pour le type Is. 82b1. Très répandus dans l'ensemble de la Gaule, aucun centre de production n'est encore attesté. Finalement, un fond apode reste indéterminé, trop fragmenté pour pouvoir le rapprocher d'une forme ouverte ou fermée (**Fig. 301**, INV. 1354-002).

- État 3

Quarante et un fragments proviennent de niveaux datés de la phase 3 et cinq individus sont comptabilisés (NMI). Plusieurs formes ouvertes sont recensées, en particulier au sein du niveau de démolition US.47 où quatre vases sont identifiés. Parmi eux un exemplaire de bol cylindrique AR 38 est mis au jour (**Fig. 301**, INV.990-001). Incolore, il présente un décor de rainures externes, placées sur et sous la lèvre ainsi que sur la panse. Ces bols sont produits à partir du règne de Néron et jusqu'au deuxième tiers du III^e siècle de notre ère. Un gobelet incolore Is. 85a / AR 98.1 est découvert précocement (**Fig. 301**, INV.338-001). Produits à partir de la fin du II^e siècle de notre ère et jusqu'au IV^e siècle³, ils sont connus dans l'ensemble de l'Empire, rendant difficile d'établir un centre de production. Un gobelet à lèvre coupée et panse sphérique est aussi mis à jour, rappelant le type AR 53.2 / IN 34 (**Fig. 301**, INV.338-002). Ce type se distingue par une panse sphérique, essentiellement signalée dans les régions septentrionales (VEINAR 2017 : vol.

2 C. Isings fait débiter la production du type Is. 82b1 lors de la fin du I^{er} s. apr. J.-C.

3 La datation proposée par Rütli débute dès le deuxième quart/milieu du II^e s. apr. J.-C. et continue jusqu'à la fin du III^e s.

2, 43). Leur datation reste incertaine, basée sur les contextes de découverte des objets, allant de la fin du I^{er} siècle au II^e siècle apr. J.-C. Finalement, un dernier bol à lèvre arrondie brun foncé, presque noir est recueilli (**Fig. 301**, INV.990-002).

Trois formes fermées sont aussi attestées. Le niveau de remblai US.112 de l'espace D livre deux individus dont un fond apode bleu-vert avec étranglement en bas de la panse (**Fig. 301**, INV.1077-001). Un décor de rainure incisée externe est visible. Ce type de fond est particulièrement connu des cruches de type Is. 13/15 (seconde moitié du I^{er} siècle apr. J.-C.). Un bord bleu-vert, à lèvre repliée vers l'intérieur et aplatie est aussi mis au jour (**Fig. 301**, INV.1077-002). Associé à plusieurs vases à verser, ce type de bord est notamment observé sur les cruches Is. 13/15. Un troisième vase à verser est identifié au sein de l'US.121, représenté par une anse à crête prononcée bleu-vert (INV.514-001). Bien que la phase 3 présente un panel de formes proche de celui du I^{er} siècle de notre ère, la nature des niveaux (remblais de démolition) peut expliquer la présence d'éléments plus anciens.

- État 4

Les niveaux datés de l'état 4 recensent 76 fragments parmi lesquels 9 NMI sont identifiés. À l'instar des autres phases, les formes ouvertes sont les plus nombreuses. Un fragment de bord mosaïqué bleu cobalt, constitué de sections de baguettes à cœur jaune et blanc est découvert dans le remblai US.41 (**Fig. 302**, INV.734-001). Ces décors mosaïqués, produits à partir de l'époque augustéenne et dans la première moitié du I^{er} siècle apr. J.-C. se retrouvent particulièrement sur les coupes Is. 3 ainsi que sur les vases moulées à imitation de profil céramique. Ici, la petitesse du fragment ne permet pas de l'identifier. Une coupe AR 82 est recensée, reconnaissable à son bord évasé à l'horizontal et à son décor de filet rapporté sous la lèvre (**Fig. 302**, INV.157-001). Ce type est produit du milieu du II^e siècle au milieu du III^e siècle apr. J.-C. Peu de vases sont recensés, ne permettant pas de proposer un centre de production. Des exemplaires sont connus à Autun (Colombier-Gougouzien 2014 : 242), en Suisse à Augst (Rütli 1991 : 85) ou à Avenches (Martin-Pruvost 1999 : 194). Deux gobelets Is. 85a / AR 98.1 sont identifiés (fin du II^e siècle de notre ère - IV^e siècle). Les deux exemplaires présentent un bord évasé et une panse cylindrique, légèrement plus renflée pour l'individu INV.371-001 (**Fig. 302**, INV.371-001 et INV.734-002).

Plusieurs formes fermées sont aussi attestées, comprenant des vases à verser et de stockage. Plusieurs éléments de bouteilles sont mis au jour : deux bords évasés et cols cylindriques (**Fig. 302**, INV.157-002 et INV.367-001), un fond à décor d'au moins un cercle (**Fig. 302**, INV.471-001) ainsi qu'une anse peignée déformée par le feu (**Fig. 302**, INV.565-001). Le type des bouteilles – carré ou hexagonale – n'a pas pu être définie. Pour l'un comme pour l'autre, la production débute au milieu du 1^{er} siècle apr. J.-C. et perdure jusqu'au 3^{ème} siècle pour le type hexagonal AR 158 et jusqu'au début du 4^{ème} siècle pour le modèle carré Is. 50 / AR 156. À cela s'ajoute un pot à lèvre en bandeau Is. 67b/c / AR 118.1/2 (**Fig. 302**, INV.208-001). Leur production selon la datation de B. Rütli s'étend du règne de Tibère/Claude jusqu'au 2^{ème} siècle apr. J.-C. À Avenches, les pots AV V 106.2 correspondent à un variante de plus petit module dont l'exemplaire INV.208-001 pourrait faire partie (Bonnet-Borel 1997 : 44). Une concentration dans le nord de la Gaule de ces pots est observée (Robin 2016 : 262).

Finalement, quatre individus restent indéterminés car trop fragmentés : un bord (INV.888-001) et trois fonds (INV.157-003, INV.371-002 et INV.471-002).

- Le mobilier hors phase

Pour finir, 88 fragments n'ont pas pu être rattachés à une phase. Ils proviennent des niveaux de nettoyage/décapage de différents espaces. Au sein de l'espace A et de la voie (US.5), le nettoyage livre un fond annulaire de bol ou gobelet, formé par repli de la paraison de teinte vert olive, presque noir (**Fig. 302**, INV.19-001). La suite du nettoyage de la voie (US.8) met au jour un gobelet Is. 85 / AR 98 (**Fig. 302**, INV.52-001) ainsi qu'un fond apode de forme fermée (**Fig. 302**, INV.52-002). Le nettoyage de l'espace C (US.4) a permis la mise au jour de quatre gobelets. Deux d'entre eux sont de types Is. 85a / AR 98.1 (**Fig. 302**, INV.13-001 et INV.13-002). Le troisième pourrait se rattacher au même type, néanmoins la petitesse du fragment rend l'identification incertaine (INV.13-003). Un cruche Is. 13/15 polychrome est recensée (**Fig. 303**, INV.13-004). Elle se compose d'une anse bleu-vert fixée sur une panse fine bleu cobalt. Un deuxième fragment d'anse bleu-vert (INV.13-005) est mis au jour. Un bord replié vers l'intérieur et col cylindrique court appartient à un vase à verser ou de stockage (**Fig. 303**,

INV.13-006). L'US.395, correspondant au nettoyage de l'espace D, recense un bol cylindrique AR 38 à décor de rainures externes (**Fig. 303**, INV.1284-001) produit du règne de Néron jusqu'au deuxième tiers du 3^{ème} siècle de notre ère. Un gobelet AR 53 est aussi mis au jour (**Fig. 303**, INV.1284-002), présentant lui aussi un décor de stries externes mais une panse ovoïde. Ces gobelets sont datés de la fin du 2^{ème} siècle au deuxième quart du 3^{ème} siècle apr. J.-C. Finalement, le décapage du sondage 24 (US.380) livre deux coupes côtelées Is. 3 / AR 2 (**Fig. 303**, INV.1257-001 et INV.1257-002) ainsi qu'un fond de cruche Is. 13/15, caractérisé par un étranglement en bas de la panse (**Fig. 303**, INV.1257-003).

6.3.2. Le verre architectural

Au total, 36 fragments appartiennent au domaine architectural. Se trouvent parmi eux treize éléments de vitrages ainsi que vingt-trois tesselles. Concernant le verre à vitre, les fragments recensés présentent une teinte bleu-vert. Ils sont obtenus en coulant du verre en fusion dans un moule, ou sur un support plan. La matière était ensuite étirée par les artisans verriers à l'aide d'outils, créant ainsi des plaques planes quadrangulaires et d'épaisseur variable. Il présente comme à l'accoutumé une inégalité de surface. Alors que l'une des faces est lisse, brillante et légèrement bombée, l'autre est plane, mate et granuleuse. Les fragments conservés ici présentent une épaisseur de 2 à 4 cm d'épaisseur. La technique de fabrication coulée/étirée ainsi que l'opacité du verre correspondent aux productions verrières des trois premiers siècles de notre ère, avant l'arrivée de nouvelles techniques de fabrication au 4^{ème} siècle (Foy 2010 : 453).

Le verre architectural est complété par la mise au jour de tesselles en pâte de verre vert, vert olive, bleu, bleu cobalt et rouge. Ces tesselles sont utilisées dans la réalisation de mosaïques pariétales ou de sol. Les décors mosaïqués sont attestés en Gaule à partir de l'époque julio-claudienne, prenant part à la romanisation de l'Empire. En Gaule Belgique, la présence de décor mosaïqué est attestée dès la première moitié du 1^{er} siècle apr. J.-C., notamment à Reims au sein de la maison du Mercure, rue Desteuque (Balmelle, Darmon 2017 : 95). La faiblesse numérique du lot comme le contexte de découverte des tesselles (comblement de puits, remblai, fossé) ne permet pas d'émettre d'hypothèse concernant la présence de décor mosaïqué. Le même constat s'applique aux éléments de vitrage.

6.3.3. Conclusion

Le verre mis au jour lors de cette opération se révèle peu abondant. L'étude typologique présente un faciès de consommation commun mais varié, composé de formes très largement répandues dans l'ensemble de l'Empire. La présence de vaisselle en verre est attestée sur le site dès l'état 1 (milieu du 1^{er} siècle apr. J.-C.) et perdure tout au long de l'activité du site. L'étude du mobilier permet d'observer l'évolution de la vaisselle sur le site, reprenant l'évolution typologique connue de la vaisselle en verre antique. Alors que les niveaux les plus anciens (milieu du 1^{er} siècle apr. J.-C.) présentent des formes moulées mosaïquées ou soufflées à la volée de teintes vives ou naturelles,

la vaisselle incolore est attestée à partir du début du 11^e siècle apr. J.-C. avec des formes caractéristiques de l'époque, notamment les gobelets à lèvre coupée. Des éléments caractéristiques du 1^{er} siècle apr. J.-C. se retrouvent dans l'ensemble des phases, pouvant s'expliquer par les contextes de découvertes des vases (remblais). La présence de verre à apparence noire, d'un gobelet AR 53.2 ou encore d'un pot Is. 67b/c rend ce lot assez caractéristique du nord de la Gaule où ces éléments sont particulièrement recensés. Le lot, bien que ressemblant au mobilier en verre recueilli sur le site des Soylières (Catté 2023, à paraître), se distingue néanmoins par l'absence d'éléments luxueux.

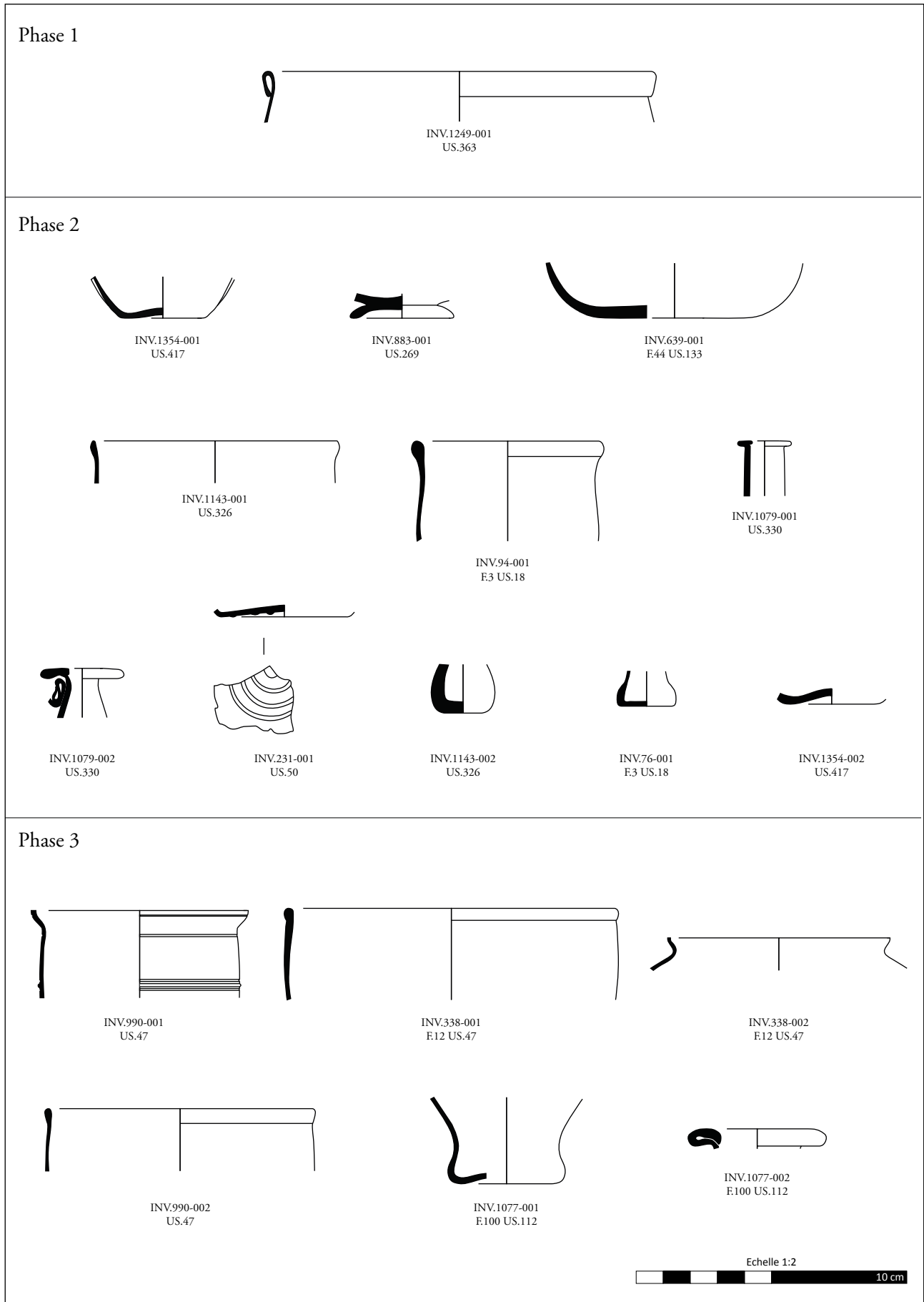


Fig. 301 - La vaisselle antique : phase 1, 2 et 3 (DAO : L. Catté).

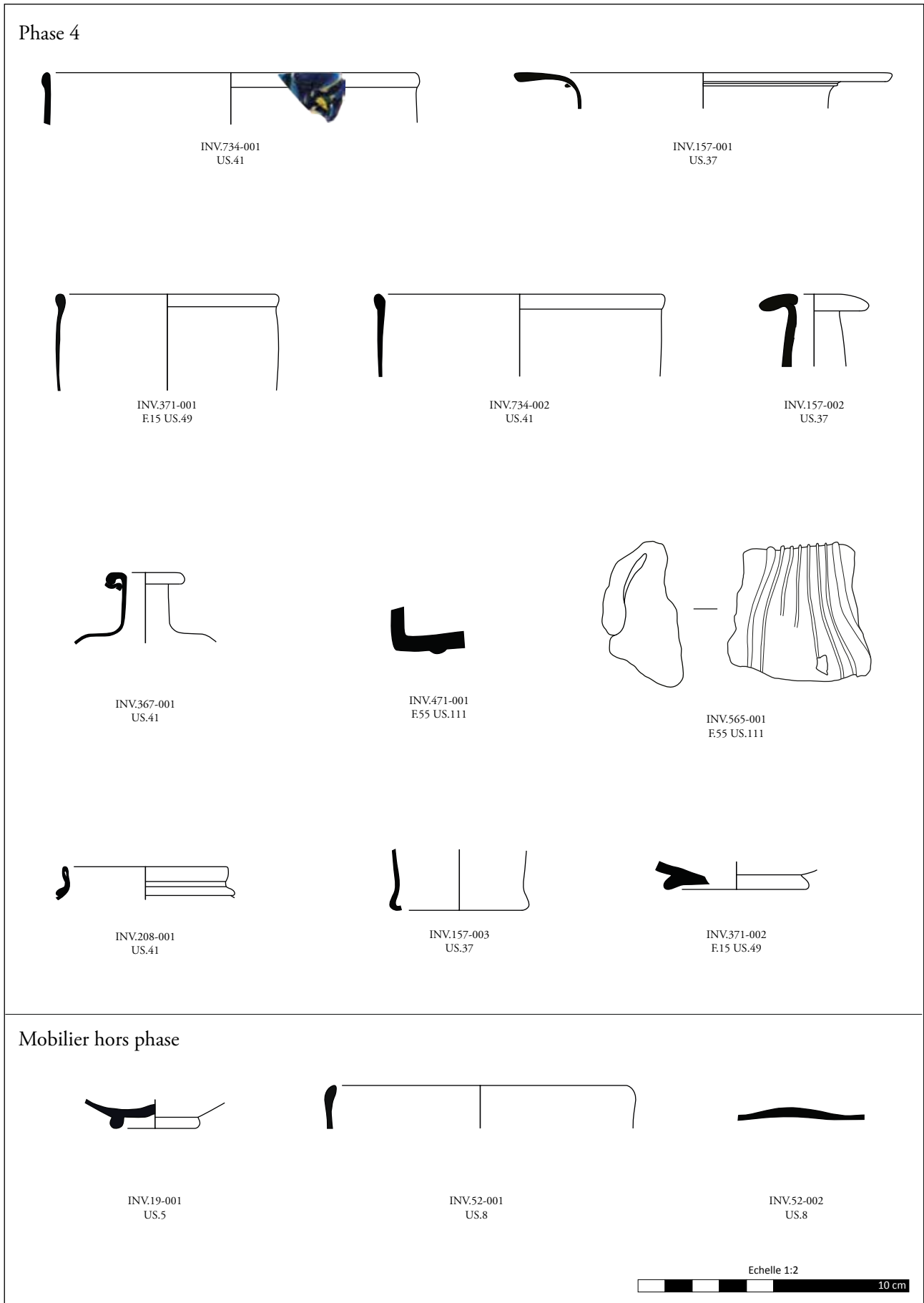
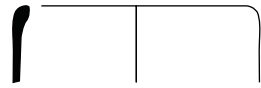
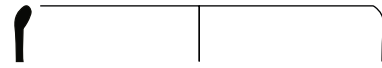


Fig. 302 - La vaisselle antique : phase 4 et mobilier hors phase (DAO : L. Catté).

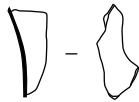
Mobilier hors phase



INV.13-002
US.4



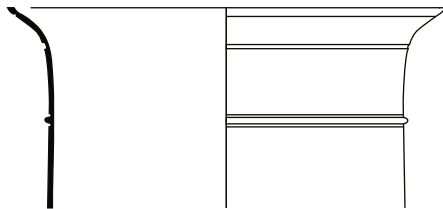
INV.13-003
US.4



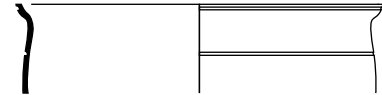
INV.13-004
US.4



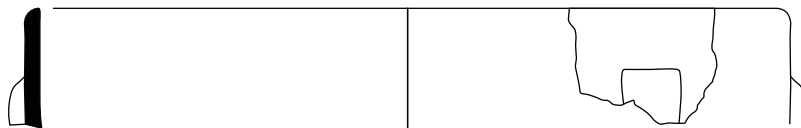
INV.13-006
US.4



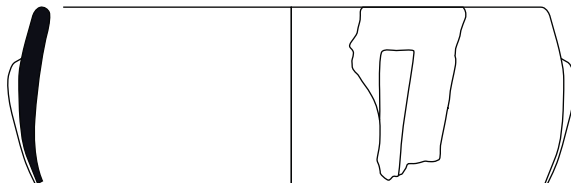
INV.1284-001
US.395



INV.1284-002
US.395



INV.1257-001
US.380



INV.1257-002
US.380



INV.1257-003
US.380



Fig. 303 - La vaisselle antique : mobilier hors phase (DAO : L. Catté).

7. Synthèse

À l'issue de la campagne de fouille 2021, le bilan de l'intervention réalisée au lieu-dit les Grandes Corvées s'avère plus que satisfaisant. D'une part, le choix de mécaniser une partie des opérations de terrain a permis de multiplier les fenêtres d'observations sur la partie basse de la stratigraphie, ce qui a donné lieu à la fouille de plusieurs structures précoces et au prélèvement d'éléments susceptibles de dater avec précision le début de l'occupation antique. D'autre part, la qualité et la quantité des aménagements étudiés ont dépassé de loin les espérances initiales. Ces vestiges offrent un aperçu remarquablement détaillé de l'évolution de deux portions d'îlots d'habitation (îlot 7 et îlot 3, Mourot 2006 : 57) entre le I^{er} siècle et le III^e/IV^e siècle.

Malgré des progrès constants, les études mobilières n'ont pas encore été totalement menées à leur terme (l'étude céramique et l'étude du petit mobilier le seront courant 2024). Il n'est donc pas encore temps de présenter la synthèse scientifique exhaustive de cette opération archéologique. Le rapport final du PCR (prévu pour fin 2024/début 2025) fournira le cadre approprié pour ce rendu. Cela n'empêche pas, dans l'intervalle, de proposer ici un condensé des principaux acquis scientifiques mis en évidence durant la rédaction du présent rapport.

7.1. État 1 (première moitié I^{er} s. ?)

Avant toute forme d'occupation, le secteur des Grandes Corvées semble avoir connu une première phase de fréquentation matérialisée par une couche d'argile pédogénisée observée de manière systématique en fond de sondage (phase 1a). La chronologie de ce premier niveau anthropisé demeure mal appréhendée. L'étude céramique, pour l'instant partielle, laisse entrevoir une datation centrée sur le début du I^{er} siècle de notre ère. Toutefois, la présence de plusieurs potins au sanglier ainsi que d'une fibule filiforme à arc coudé (Feugère 4c2) pourrait impliquer une origine plus ancienne, peut-être contemporaine ou immédiatement antérieure à la période augustéenne, qu'il serait tentant de rapprocher de la construction du second état du temple de Mazeroie à la fin du I^{er} siècle avant notre ère (Bonaventure, Encelot 2021 : 101-102).

Les balbutiements de l'occupation antique (phase 1b) semblent caractérisés par un enchaînement d'installation peu pérennes. On observe en effet que se succèdent dans un laps de temps sans doute assez court (moins d'un demi-siècle) un ou plusieurs aménagements sur poteau (des bâtiments ?) et un premier axe de circulation. Il est intéressant de constater que l'organisation de ces structures, notamment leur orientation nord-ouest/sud-est, préfigure largement celle des constructions ultérieures. Cela pourrait bien sûr être le fait de l'influence d'une structuration antérieure non perçue durant la fouille mais il est également possible que cette préfiguration reflète la mise en application d'une planification urbaine dès l'origine de l'implantation romaine dans cette partie du plateau.

Cette première occupation, apparemment caractérisée par une architecture en matériaux périssables, est détruite dans un incendie vers le milieu du I^{er} siècle (phase 1c). Les traces de cet événement sont loin d'être cantonnées à la partie méridionale de l'emprise, où ont été aperçus les signes d'aménagement les plus tangibles. Elles sont au contraire visibles dans l'intégralité des sondages ayant atteint les niveaux concernés. Cela pourrait suggérer que les quelques trous de poteaux attestés ne représentent pas nécessairement la densité réelle de l'occupation précoce.

7.2. État 2 (première moitié I^{er} s.–début II^e s. ?)

La réoccupation consécutive à ce premier incendie traduit un véritable changement d'approche. Après une première phase de remblaiement massive, sans doute destinée à compenser en partie les irrégularités du terrain, intervient la construction d'un réseau de drainage (phase 2a). Celle-ci semble révélatrice de la nécessité d'assainir le secteur concerné en amont de toute installation plus significative. Cette opération de viabilisation est, a minima, porteuse de sens quant à la nature géomorphologique du substrat, lequel est vraisemblablement caractérisé par une hydromorphie importante.

Cette étape d'urbanisme préliminaire est suivie par la construction d'une chaussée empierrée (phase 2b) parallèle à l'ancien axe viaire. Elle est, dès sa fonda-

tion, accompagnée d'un espace de circulation piéton qui se développe le long de son flanc sud. Ainsi configuré, cet espace de voirie (ensemble ENS.B) mesure près de 11,5 m de largeur. De nouveaux bâtiments viennent compléter ce dispositif urbanistique. L'étroitesse de la fenêtre de fouille ainsi que la destruction probable des vestiges précoces au cours des états postérieurs empêche la restitution des premiers aménagements de l'îlot 7. En revanche, ceux de l'îlot 3 sont beaucoup mieux appréhendés. Au moins un ensemble architectural (ensemble ENS.C) paraît ainsi se dégager du plan général des vestiges. Il s'agit vraisemblablement d'un bâtiment rectangulaire se développant perpendiculairement à la rue à laquelle il oppose une façade étroite. Sa moitié nord est intégralement comprise dans l'emprise de fouille. Elle est divisé en six espaces :

- au nord-est se trouve une pièce de façade dotée d'un plancher et probablement séparée de la rue par une élévation en terre et bois sur sablière basse (espace ESP.C4) ;
- le nord-ouest est occupé par une cave maçonnée dotée de murs en moellons de calcaire lithographique (espace ESP.C2) et accessible par un escalier en L également construit en pierre (espace ESP.C3) ;
- le sud-ouest et le sud-est sont occupés par deux pièces sans équipement remarquable (espaces ESP.C5 et ESP.C6) ;
- enfin, un couloir (espace ESP.C1) est positionné au centre de l'ensemble et est manifestement destiné à desservir ces différents espaces.

À l'exception du plancher de l'espace de façade occidental (et peut-être du sol de la cave), tous les niveaux de circulation sont en terre battue. La configuration et les dimensions de cet ensemble sont compatibles avec une interprétation de maison longue (Auvertin 2018 : 32-251). Cette interprétation ne saurait toutefois être pleinement validée en l'absence de véritables structures artisanales et d'autres catégories d'habitat peuvent être considérées (Coquelet 2011 : 178-182).

Les évolutions ultérieures impliquent de manière presque exclusive l'espace de voirie et témoignent d'un urbanisme dynamique. On observe ainsi l'installation sans doute assez rapide d'une nouvelle bande de roulement (phase 2c) qui englobe cette fois à la fois la chaussée et son trottoir.

Cette nouvelle version de l'axe viaire est à son tour recouverte à l'issue d'une autre réorganisation globale (phase 2d). Au cours de cette dernière, un mur de près de 70 cm de large est installé le long de la bordure septentrionale de la voie. Sa construction acte la mise en place d'un système de terrasse destiné à compenser la topographie naturelle de cette partie du plateau. Outre cette fonction de soutènement, cette maçonnerie est vraisemblablement intégrée à un ensemble architectural fermé (ensemble ENS.A), comme semble le montrer la présence de plusieurs cloisons installées directement contre sa paroi septentrionale ainsi que d'un niveau de sol en terre battue. Cette partie du site a été particulièrement exposée à l'érosion, rendant difficile sa mise en relation stratigraphique avec le reste des vestiges. Aussi, la chronologie relative de cette zone doit être considérée avec une prudence particulière. Dans l'emprise de la voie, la construction d'un caniveau maçonné vient matérialiser physiquement la distinction entre la partie carrossable et la partie piétonne. Sur cette dernière, le niveau de circulation se caractérise par un traitement différent de celui de la bande de roulement ainsi que par un rythme d'entretien/réfection distinct. De manière générale, cette phase d'occupation semble caractérisée par un fort développement des espaces dédiés à la circulation piétonne au détriment de la voirie carrossable. L'implantation potentielle d'un puits quasiment au droit du mur de terrasse pourrait constituer une autre illustration de ce phénomène d'empiètement.

L'utilisation du caniveau semble, elle aussi, limitée dans le temps. Il est en effet partiellement récupéré et totalement comblé au cours d'une nouvelle phase de réfection de la voirie (phase 2e). Cette réfection entraîne, pour la seconde fois, la pose d'une bande de roulement recouvrant la totalité de l'espace de circulation.

Un ultime remaniement (phase 2f) a lieu entre la fin du I^{er} siècle et le début du II^e siècle, lorsque la séparation entre chaussée carrossable et trottoir piéton est matérialisée derechef. Elle est alors incarnée par un portique monumental dont seules subsistent une base constituée d'un bloc de plan carré, vraisemblablement issu d'un élément plus ancien réemployé, ainsi que les fosses de récupération des éléments disparus.

Un nouvel incendie (phase 2g) met fin à ce deuxième état. L'impact de cet événement est particulièrement visible au niveau des espaces des façades de l'ensemble ENS.C, où les éléments en bois (sablères, lambourdes, seuils et coffrages) ont été découverts carbonisés. De même, la plupart des niveaux de sol portent des traces de rubéfaction nettement visibles sur leur surface. Dans l'espace excavé, les vases de stockage encore en place semblent avoir éclatés à cause de la chaleur. La totalité des vestiges de cette période est scellée par un épais niveau charbonneux, lequel a également été observé dans l'emprise du portique. On note à cet égard que l'importante quantité de graines mise au jour dans ce niveau semble concentrée à cet emplacement. Cette découverte ouvre une double perspective. D'un point de vue architectural, d'abord, elle souligne l'existence potentielle de combles ou d'un véritable étage en partie supporté par la colonnade du portique. D'un point de vue fonctionnel, ensuite, cette importante concentration de graines ouvre l'hypothèse de l'artisanat de bouche (Demarolle, Petit 2011 : 313). Le mobilier céramique étudié jusqu'ici ainsi que l'étude numismatique situent conjointement cet événement au début du II^e siècle.

7.3. État 3 (II^e s. ?)

Le second incendie ne paraît pas entraîner de restructuration architecturale majeure. On constate en effet qu'après une séquence de remblaiement et de nivellement (phase 3a), l'ensemble ENS.C est reconstruit dans une configuration proche de son état d'origine (phase 3b). Le plan général du bâtiment demeure ainsi sensiblement inchangé. Certes, l'espace excavé est intégralement comblé et aucune distinction ne semble désormais visible entre les deux pièces orientales (espaces ESP.C4 et ESP.C6). Mais les nouvelles pièces (espaces ESP.C7, C9 et C10) s'articulent toujours autour d'un couloir central (espace ESP.C8) qui en distribue l'accès. Le sol de ce dernier est cette fois maçonné, peut-être sous la forme d'un terrazzo. Le reste des pièces est presque exclusivement doté de sols en terre battue. Les traces du cloisonnement interne

sont rares mais l'existence de celui-ci est perceptible grâce à la découverte de probables seuils associés à de potentiels supports de montants en bois. Les seuls équipements particuliers rattachables à ce nouvel état sont deux foyers successifs mis au jour dans l'espace ESP.C7. Le premier est un simple aménagement quadrangulaire qui illustre déjà le remploi opportuniste de dalles de lauze. Ce même phénomène est répété lors de la construction du second foyer, à l'aplomb du premier, qui possède cette fois une maçonnerie hémisphérique intégralement constituée de ce matériau. Aucun niveau de voirie n'a pu être formellement rattaché à l'état 3. Il semble pourtant peu probable que la chaussée ne soit plus en fonction ou qu'elle n'ait fait l'objet d'aucun entretien au cours de la période concernée. De même, aucun élément ne permet de restituer l'évolution du bâtiment mis au jour dans l'îlot 3. Les effets cumulés du pendage sud-est/nord-ouest du site et de l'érosion semblent ici responsables de la troncature si particulière des vestiges.

Un incendie est à nouveau à l'origine d'une rupture dans la continuité du bâti (phase 3c). Ses traces sont moins évidentes qu'à la fin de l'état 2 mais demeurent distinctives grâce à la carbonisation des éléments en bois. La chronologie de ces niveaux de démolition demeure tributaire de l'achèvement de l'étude du mobilier céramique. Les éléments actuellement disponibles suggèrent une datation centrée sur le II^e siècle sans davantage de précision.

7.4. État 4 (deuxième moitié II^e s. – IV^e s. ?)

Après ce second incendie, l'intégralité de la zone est massivement remblayée (phase 4a) entraînant une hausse de près d'un mètre des différents niveaux de circulation. La présence de céramique datée du II^e et surtout du III^e siècle dans le comblement de la pièce semi-excavée de l'ensemble ENS.A suggère que ce remblaiement n'est pas restreint au périmètre de l'ensemble ENS.C. Le mobilier découvert dans le comblement du puits situé au droit du mur de terrasse semble confirmer cette proposition.

Cette nouvelle – et probablement dernière – phase d'urbanisme, (phase 4b) qui semble avoir largement pâti de l'érosion naturelle et des labours contemporains, est très mal préservée. Cependant, les vestiges qui lui sont associés suggèrent la construction d'au moins un nouvel ensemble architectural (ensemble ENS.D) doté de murs en pierre installés sur un très puissant radier. Le sol, partiellement conservé, est

également maçonné et semble fonctionner avec un possible foyer dont la mise en œuvre évoque largement celle des foyers de l'état 3. La présence d'un autre radier à l'extrémité opposée de l'emprise suggère l'existence d'un autre bâtiment presque totalement oblitéré. Ces structures demeurent inscrites dans la trame urbaine des états précédents et témoignent d'une véritable continuité dans l'occupation de ce secteur.

À nouveau, aucun niveau de voirie ne peut être associé aux nouveaux bâtiments. La découverte de cailoutis damés en bordure de l'ancien trottoir pourrait toutefois révéler la persistance de la distinction entre l'espace de circulation carrossable et l'espace de circulation piéton. Les deux bases réalisées à partir de blocs en grand appareil participent d'ailleurs possiblement à cette distinction et pourraient impliquer la construction d'un nouveau portique à partir de matériaux de récupération et d'éléments en bois.

Bien que leur indigence appelle à maintenir une forme de retenue dans leur interprétation, ces vestiges ne paraissent pas correspondre à la phase de déclin et de rétractation de l'habitat observée pour des périodes contemporaines sur d'autres secteurs de l'agglomération.

7.5. État 5 (IV^e s. – époques moderne et contemporaine ?)

Ce dernier état englobe sans distinction les différentes phases de récupérations qui paraissent avoir impacté le site après son abandon. Il se matérialise principalement par l'implantation de plusieurs fosses et tranchées manifestement creusées dans le but de prélever les matériaux architecturaux recyclables. Dans leur grande majorité, ces structures ne livrent aucun mobilier ou élément susceptibles de proposer une datation, que l'on ne saurait dans tous les cas généraliser aveuglément. On note néanmoins que le mobilier datant, lorsqu'il est présent, suggère que cette activité de spoliation a pu débuter dès la fin de l'Antiquité. Il est d'ailleurs probable qu'elle ait, au moins partiellement, revêtu un caractère organisé et systématique. Mais il paraît difficile d'imaginer que cette phase initiale ait suffi à venir à bout de l'immense quantité de matériaux nécessaires à l'édification du bâti antique. Des récupérations opportunistes se sont sans doute poursuivies ponctuellement durant le Moyen-Âge et l'époque moderne, voire jusqu'au début de la période contemporaine.

8. Bibliographie

8.1. Rapports de PCR

Bonaventure et al. 2018 : BONAVENTURE B., ENCELOT G., LEGAGNEUX M., MANISSE P.-D., RODRIGUEZ M., THIOT J., *Mutations urbaines à Nasium, Rapport intermédiaire 2017*, Charleville-Mézières : Centre ardennais de recherche archéologique, 242 p.

Bonaventure et al. 2021 : BONAVENTURE B., ENCELOT G., FÉVRIER S., LEGAGNEUX M., MALIGORNE Y., MANISSE P.-D., RODRIGUEZ M., THIOT J., *Mutations urbaines à Nasium, Rapport intermédiaire 2020-1. Sondages sur le temple 15 de Mazerioie (Saint-Amand-sur-Ornain, 55)*, Charleville-Mézières : Centre ardennais de recherche archéologique, 165 p.

Bonaventure et al. 2022 : BONAVENTURE B., ENCELOT G., FRANCHINI A., LEGAGNEUX M., POUMIRAU A., RODRIGUEZ M., *Mutations urbaines à Nasium, Document final de synthèse 2021*, Charleville-Mézières : Centre ardennais de recherche archéologique, 84 p.

Bonaventure et al. 2023 : BONAVENTURE B., COLOMBIER-GOUGOUZIAN A., ENCELOT G., FÉVRIER S., FRANCHINI A., GARNIER N., LEGAGNEUX M., MANISSE P.-D., MATHIEU E., POUMIRAU A., RODRIGUEZ M., SETAN M., *Mutations urbaines à Nasium, Rapport intermédiaire 2022*, Charleville-Mézières : Centre ardennais de recherche archéologique, 452 p.

Encelot 2019 : ENCELOT G., *Mutations urbaines à Nasium, Rapport intermédiaire 2018-1. Sondages archéologiques à Boviolles (55) - Au Prillot*, Charleville-Mézières : Centre ardennais de recherche archéologique, 27 p.

Legagneux et al. 2019 : LEGAGNEUX M., RODRIGUEZ M., SALLES B., WISSEMBERG L., TOMCZYK J., MANISSE P.-D., *Mutations urbaines à Nasium, Rapport intermédiaire 2018-2. La fouille des Soylières (Naix-aux-Forges, 55)*, Charleville-Mézières : Centre ardennais de recherche archéologique, 272 p.

Legagneux et al. 2020 : LEGAGNEUX M., RODRIGUEZ M., MATHIEU E., SALLES B., WISSEMBERG L., BONAVENTURE B., *Mutations urbaines à Nasium, Rapport intermédiaire 2019-1. La fouille des Soylières (Naix-aux-Forges, 55)*, Charleville-Mézières : Centre ardennais de recherche archéologique, 419 p.

Rodriguez et al. 2021 : RODRIGUEZ M., MATHIEU E., STEAN M., FÉVRIER S., FRANCHINI A., *Mutations urbaines à Nasium, Rapport intermédiaire 2020-2. La fouille des Grandes Corvées (Naix-aux-Forges, 55)*, Charleville-Mézières : Centre ardennais de recherche archéologique, 273 p.

8.2. Travaux universitaires

Franchini 2023 : FRANCHINI A., *Le petit mobilier des Grandes Corvées*, Mémoire de Master 1, Dijon : Université de Bourgogne-Franche-Comté, 2 volumes.

Poumirau 2021 : POUMIRAU A., *Archéologie de la construction : mise en oeuvre et mortiers. Étude de cas de la domus des Soylières de Nasium, Meuse (55)*, Mémoire de Master 1, Paris : Université Paris 1 Panthéon-Sorbonne, 2 volumes.

8.3. Autres références

Auvertin 2018 : AUVERTIN R. – *Habiter dans les agglomérations du nord de la Gaule (I^{er}-III^e s.). Analyse architecturale de la maison romaine*, thèse de doctorat, sous la direction de J. Arce et X. Deru, Lille : Université de Lille, 2018, 637 p.

Balmelle, Darmon 2017 : BALMELLE C., DARMON J.-P., *La Mosaïque dans les Gaules romaines*, Paris : Picard.

Béal 1984 : BÉAL J.C. – *Les objets de tabletterie antique du Musée archéologique de Nîmes*, musée d'art et d'histoire de Nîmes, 1984, 120 p.

- Berranger et al. 2014** : BERRANGER M., DUVAL A., SERNEELS V. – L'organisation des ateliers de travail du fer (VII^e-I^{er} av. J.-C.), in : *Étude sur Bibracte*, tome 24, Collection Bibracte, 2014, p. 275-314.
- Bertrand 2007** : BERTRAND I. – Les mobiliers domestiques en contexte urbain dans le Centre-Ouest des Gaules (Fin I^{er} s. av. J.-C. – III^e s. ap. J.-C.) : problématiques et exemples, *Anales de prehistoria y arqueología*, volume 23-24 2007-2008, Université de Madrid, 2007, p.161-197.
- Bonnet-Borel 1997** : BONNET-BOREL F., *Le verre d'époque romaine à Avenches-Aventicum, Typologie générale*, Avenches : Musée romain.
- Briand et al. 2013** : BRIAND A., DUBREUCQ E., DUCREUX A., FEUGÈRE M., GALTIER C., GIRARD B., JOSSET D., MULOT A., TAILLANDIER V., TISSERAND N. – Le classement fonctionnel des mobiliers d'instrumentum, *Les nouvelles de l'archéologie*, n°131, Paris : Editions de la Maison des Sciences de l'Homme, Editions Errance, 2013. p. 14-19.
- Colombier-Gougouzian 2014** : COLOMBIER-GOUGOUZIAN A., *Le verre gallo-romain en Gaule du Centre-Est du I^{er} s. av. n. è. Au IV^e s. de n. ère, Production, circulation, usages en contexte urbain et rural*, Thèse de doctorat, (Université Lyon 2).
- Colombier-Gougouzian 2022** : COLOMBIER-GOUGOUZIAN A., Étude du mobilier en verre, in : BONAVENTURE B. (dir.), *Mutations urbaines à Nasium. Rapport intermédiaire 2022*, Charleville-Mézières, Centre Ardennais de Recherches Archéologiques.
- Coquelet 2011** : COQUELET C., *Les capitales de cité des provinces de Belgique et de Germanie - Étude urbanistique*, Louvain-la-Neuve : Presses Universitaires de Louvain, 366 p.
- Cosyns, Fontaine 2009** : COSYNS P., FONTAINE S., La vaisselle en verre d'apparence noire au I^{er} siècle apr. J.-C. en Occident, *Annales du 17e congrès de l'Association Internationale pour l'Histoire du Verre (Anvers 2006)*, Anvers : University Press Antwerp, p. 80-87.
- Dechezleprêtre 2011** : DECHEZLEPRÊTRE Th., *Nasium, de l'oppidum à l'agglomération antique*, Bilan du Projet Collectif de Recherche, Metz : Service Régional d'Archéologie de Lorraine, 493 p.
- Demarolle, Petit 2011** : DEMAROLLES J.-M., PETIT J.-P., Réflexions sur les structures architecturales et techniques des métiers de bouche en Gaule Belgique et dans les Germanies, in : *Macella, Tabernae, Portus. Les structures matérielles de l'économie en Gaule romaine et dans les régions voisine*, s.l. : s.n., coll. « Caesarodunum », XLIIIXLIV, pp. 297322.
- Demierre et al. 2013** : DEMIERRE M., DUBREUCQ E., GIRARD B., ROUX E. - La quantification des mobiliers d'instrumentum, *Dossier des Nouvelles de l'Archéologie*, Paris : Editions de la Maison des Sciences de l'Homme, Editions Errance, 2013, p. 10-14.
- Duvauchelle 1990** : DUVAUCHELLE A. – Les outils en fer du Musée romain d'Avenches, *Bulletin de l'association Pro Aventico*, Avenches, 1990, 115 p.
- Février 2023** : FÉVRIER S., Le lapidaire, in : *Mutations urbaines à Nasium. Rapport intermédiaire 2022*, Charleville-Mézières : Centre Ardennais de Recherche Archéologique, pp. 192220.
- Feugère, Abauzit 1995** : FEUGÈRE M., ABAUZIT P. – Les boîtes à sceau circulaires à décor zoomorphe riveté d'époque romaine, *Revue archéologique de l'est*, volume 46, 1995, p. 41-57.
- Feugère 2000** : Feugère M.) – *Outillage et quincaillerie antique de Valentine (F, Haute Garonne)*, 2000, p.169-178.

- Foy 2010** : FOY D., *Les verres antiques d'Arles*, Paris : Errance.
- Foy, Nenna 2003** : FOY D., NENNA M.-D., *Tout feu tout sable, mille ans de verre antique dans le midi de la France*, Aix-en-Provence : Edisud.
- Girard 2010** : GIRARD B. – *Le mobilier métallique de l'Age du Fer en Provence (VI^e – I^{er} s. av. J.-C.) : contribution à l'étude des Celtes de France méditerranéenne*, thèse de doctorat soutenue à l'Université de Dijon sous la direction de J.-P. Guillaumet et D. Garcia, 2010, 722 p.
- Grasso 2018** : GRASSO J. ANCEL M.-J., CENZON-SALVAYRE C., CLÉMENT B., COLLOMBET J., COLOMBIER-GOUGOCUZIAN A., DUCREUX A., FLOTTES L., FOUCRAS S., GARNIER N., GÉREZ J., JAVELLE J., LATOUR C., LEBLÉ G., LEGAGNEUX M., POLONSKI A., *Vaulx-Milieu, ZAC du parc technologique II, les Brosses et les Croisettes tranche 1, Région Auvergne-Rhône-Alpes, département de l'Isère (38)*, Archeodunum, 2018, p. 303-369.
- Guillaumet 2003** : GUILLAUMET J.-P. – Paléomanufacture métallique : méthode d'étude, Gollion : Editions Infolio, 2003, 156 p.
- Guillaumet, Laude 2009** : GUILLAUMET J.-P., LAUDE G. – *L'art de la serrurerie gallo-romaine. L'exemple de l'agglomération de Vertault (France, Côte-d'Or)*, éditions universitaires de Dijon, 2009, 158 p.
- Higelin 2016** : HIGELIN M. – Le mobilier métallique et l'instrumentum, in : *Fermes et villa sur les pentes de l'Altenberg : exploitation d'un terroir des collines sous-vosgiennes de la Protohistoire à nos jours*, Rapport de fouille préventive volume 4, Pôle d'Archéologie Interdépartemental Rhénan, 2016, p. 85-127.
- Isings 1957** : ISINGS C., *Roman Glass from dated finds*, Groningen : J. B. Wolters
- Kasprzyk, Tisserand 2023** : KASPRZYK M., TISSERAND N. – *L'outillage agropastoral en Gaule (I^{er} av. – VI^e s. ap.)*, éditions universitaires de Dijon, 2023, 419 p.
- Kappeller 2003** : KAPPELLER A. – La vaisselle en bronze d'Avenches/Aventicum, *Bulletin de l'Association Pro Aventico*, Avenches, 2003, 65 p.
- Lanthemann 2007** : LANTHEMANN F. – *La maison longue gallo-romaine et ses habitants, origine, environnement et organisation interne*, Mémoire universitaire, Université de Lausanne, 2007, volume I 112 p., volume II 128 p.
- Lanthemann 2013** : LANTHEMANN F. – Archéologie des espaces commerciaux. L'exemple des « maisons longues » durant le Haut-Empire. Panorama historique et implications politiques, *Les annales de la recherche urbaine*, tome 108, 2013, p. 36-45.
- Leconte 2013** : LECONTE L. – L'instrument métallique lié à la cuisine en Gaule romaine, *Gallia*, numéro 70, volume 1, 2013, p. 1-19.
- Loiseau 2009** : LOISEAU CH. – *Le métal dans l'architecture publique de l'ouest de la Gaule Lyonnaise : approches méthodologiques, techniques de constructions et structures de production (I^{er}-III^e siècles après J.-C.)*, Université du Maine, U.F.R. lettres, langues et sciences humaines, école doctorale 360 – Laboratoire CESAM, 2009, 284 p.
- Loiseau 2013** : LOISEAU CH. – Le métal dans la construction des édifices publics de l'Antiquité sanctuaires et thermes), *Les nouvelles de l'archéologie*, n°131, 2013, p. 48-53.
- Martin-Pruvost 1999** : MARTIN-PRUVOST C., Le verre, in : CASTELLA D. et al, *Découverte d'un habitat mérovingien à Payerne VD. Quelques données nouvelles sur la céramique domestique du haut Moyen âge en Pays de Vaud*, ASSPA 82, pp. 167-295.
- Mölders 2010** : MÖLDERS D. – *L'outillage en fer de Bibracte. Une contribution à l'étude de l'artisanat celtique d'après les travaux de Jacques-Gabriel Bulliot et Joseph Déchelette*, Collections Bibracte, 2010, 203 p.
- Mourot 2006** : MOUROT F. – La ville gallo-romaine de Nasium : bilan des recherches 2006, in : DECHEZLEPRETRE Th. (dir.) – *Nasium, de l'oppidum à l'agglomération antique*. Rapport intermédiaire 2006, 160 p.

- Nouvel 2022** : NOUVEL P., PERRUCHER., THIVET M., ET LES CONTRIBUTIONS DE : ANDROIN L., BÉCARD L., CHARRIER K., DEHAN P., FÉVRIER S., GAUTHIER E., GOUDENEZ S., HAJNALOVA M., LEDIER J., MOUTON-VENAULT S., DUJAN-COURT C., PICOT L., *Le sanctuaire du dieu Cobannus, Couan commune de Saint-Aubin-des-Chaumes-Nièvre*, rapport de fouille programmée pluriannuelle dernière année de triennale 2019-2022, 2022, p. 137-147, p.242-252.
- Pagès 2008** : PAGÈS G. – *La métallurgie du fer en France méditerranéenne de l'Antiquité au début du Moyen Âge : jalons d'une approche interdisciplinaire*, Thèse de l'université de Montpellier III, 2008, 300 p.
- Paunier, Luginbühl 2004** : PAUNIER D., LUGINBÜHL TH. – *Bibracte le site de la maison 1 du Parc aux chevaux (PCI) des origines de l'oppidum au règne de Tibère*, Collections Bibracte, numéro 8, 2004, 472 p.
- Pieters 2013** : PIETERS M. – *Les outils comme traceurs des activités de transformation des métaux ? Supports de frappe, abrasifs et brunissoirs, outils d'aiguisage et outils de broyage*, thèse, Université de Bourgogne, 2013, 172 p.
- Pieters 2021** : PIETERS M. – *Du clou à la charpente : fabrication, mise en œuvre et tracéologie des clous de murus gallicus. L'exemple de Boviolles*, AFEAF, tome 43, 2021, p. 115-118.
- Rivet 2010** : RIVET L. – *Recherches archéologiques au cœur de forum Iulii. Les fouilles dans le groupe épiscopal de Fréjus et à ses abords (1979-1989)*, éditions errance, Paris, 2010, 420 p.
- Robin 2008** : ROBIN L., *L'atelier de verrier de la montée de la Butte à Lyon (milieu 1^{er} siècle apr. J-C. - début 11^e siècle apr. J-C.)*. Aspects techniques et typologiques, *Bulletin de l'Avav*, pp. 28-32.
- Robin 2016** : ROBIN L., *Le verre à Lyon, production et consommation durant le Haut-Empire (Lugdunum)*. Autun : Editions Mergoïl, coll « Monographie Instrumentum », 53, série « lyonnaise », 1.
- Rodriguez 2014** : RODRIGUEZ M. - *Identification des implantations militaires tardo-républicaines et augustéennes de Gaule du nord-est. Faciès instrumentum, définition et usage des marqueurs*, Mémoire de master 2, Lyon : Université Louis Lumière - Lyon 2, 2014, 119 p.
- Roussel-Ode 2014** : ROUSSEL-ODE J., *Le verre antique dans les chefs-lieux de la moyenne vallée du Rhône*, Autun : Éditions Mergoïl, « Monographie Instrumentum », 49.
- Saint-Didier 2017** : SAINT-DIDIER G., *La métallurgie dans le Poitou, extraction, réduction, forgeage III^e siècle av. J.-C. – XVI^e siècle*, Presse universitaire de Rennes, 2017, 354 p.
- Tereygeol 2012** : TEREYGEOL F. – *Comprendre les savoir-faire métallurgiques antiques et médiévaux. L'expérimentation archéologique et archéométrique sur la plate-forme expérimentale de Melle*, éditions errance, Paris, 2012, 246 p.
- Tisserand 2001** : TISSERAND N. – *L'outillage en fer du vicus de Vertault*, volume I, Université de Bourgogne, 2001, 75 p.
- VEINAR 2018** : VEINAR : *Verres incolores de l'antiquité romaine en Gaule et aux marges de la Gaule*, Oxford : Archaeopress roman archaeology, 42
- Wilmouth 2014** : WILMOUTH A. - *Caractérisation du mobilier métallique des quartiers artisanaux est et ouest du vicus gallo-romain de Bliesbruck (Moselle)*, volume 1, Université de Bourgogne, 2014, 658 p.

9. Annexes

9.1. Inventaire des faits

N° fait	Secteur	Ensembles	Liste des US	Identification	
F.1	Secteur 1			Annulé	
F.2	Secteur 2			Annulé	
F.3	Secteur 2	Espace B4 ; Ensemble B	US.12 ; US.15 ; US.18 ; US.43 ; US.44	Puit	
F.4	Secteur 2	Ensemble A ; Ensemble B ; Espace A1 ; Espace A2	US.11 ; US.204 ; US.396 ; US.397	Mur	
F.5	Secteur 1	Ensemble D	US.23 ; US.24 ; US.38 ; US.39 ; US.57 ; US.346 ; US.347	Mur	
F.6	Secteur 1			Annulé	
F.7	Secteur 2		US.20 ; US.21	Fosse	
F.8	Secteur 2	Ensemble B	US.25 ; US.26 ; US.32 ; US.33	Fosse	
F.9	Secteur 2		US.27 ; US.28	Fossé	
F.10	Secteur 2	Ensemble B	US.31	Niveau de circulation	
F.11	Secteur 2	Ensemble B ; Espace B7 ; Espace B8	US.35 ; US.36 ; US.216 ; US.217 ; US.256	Colonne	
F.12	Secteur 1		US.40	Annulé	
F.13	Secteur 1		US.30	Mur	
F.14	Secteur 1			Annulé	
F.15	Secteur 2	Espace A		Annulé	
F.16	Secteur 2	Ensemble B	US.54 ; US.55 ; US.129	Fosse	
F.17	Secteur 2	Ensemble B	US.52	Niveau de circulation	
F.18	Secteur 1		US.71 ; US.72	Annulé	
F.19	Secteur 1		US.70	Annulé	
F.20	Secteur 1	Ensemble C ; Espace C8	US.69 ; US.213 ; US.222 ; US.240 ; US.241 ; US.242 ; US.268 ; US.391	Maçonnerie	
F.21	Secteur 1			Annulé	
F.22	Secteur 1	Ensemble D	US.60 ; US.61	Sol	

Mutations urbaines à Nasium (Meuse) | Rapport intermédiaire 2023

	Description
	Axe viaire d'orientation sud-ouest/nord-est.
	Puits implanté sur l'emprise de la voie, à proximité immédiate du mur F.4 (afin de limiter l'empiètement sur l'espace viaire ?). Le puit est postérieur ou contemporain au mur F.4, soit postérieur au Haut-Empire.
	Mur orienté ouest-est et bordant la voie F.2 au nord. Niveau d'élévation attesté, possible assise de fondation observée mais reste à confirmer
	Mur orienté Nord-Sud situé près de la coupe Est de l'emprise de fouille. Le mur délimite l'espace B et C du secteur I, il n'est pas droit dans son ensemble. Il se compose de deux assises d'élévation (US.23) dont une seule est observable dans sa moitié Nord. L'assise de fondation (US.39) se compose de blocs en calcaire lithographique équarris où quelques traces de mortier de chaux blanc sont observable. Les blocs sont irréguliers et de tailles variables : Entre 15 et 50 cm. Le radier de fondation (US.24) se constitue de blocs en calcaire lithographique bruts et irréguliers, et de rares morceaux de lauze disposés en vrac. La tranchée de fondation (US.38) est observable dans le quart Sud-Est sur le tracé de F.5 et à l'extrémité Sud de F.5. Vidé dans son extrémité Sud, son plan linéaire possède un profil en U. Un bloc de calcaire lithographique (US.57) massif et équarris a été installé sur le radier (US.24). Ce dernier a été interprété comme un potentiel seuil. Son radier a été observé dans la coupe Nord du sondage SD.12 à une plus grande profondeur.
	Niveau de démolition de l'état 1 composé de niveaux de toiture incendiée, de démolition de matériaux périssables (torchis) et de charbons. Il repose sur l'état de voie le plus récent observé (F.27) et sur le niveau de plancher F.43 (esp. E).
	Probable fosse de récupération (post-antique ?) implantée à l'angle des murs F5 et F65 qu'elle coupe partiellement. Elle est vraisemblablement contemporaine de la fosse F23 située immédiatement au nord. US.20 (Positive / Comblement) : Comblement de la fosse F17. Couche compacte de blocs et de limon marron légèrement argileux. Relativement pauvre en mobilier. Le comblement contenait également quelques dalles sciées incendiées. Des inclusions éparées de TCA sont également présentes. US.21 (Négative / Creusement) : Creusement de la fosse F7 de forme circulaire sur la partie visible. Creusement coupé par la coupe est de l'emprise.
	Fosse implantée dans la limite sud de la bande carrossable de la voie, au niveau de la jonction avec le possible portique. Apparition sous la TV. Elle coupe la démolition du secteur 2 (F.6) ainsi que plusieurs états de voirie. Elle peut être contemporaine de l'US.50 (niveau de perturbation au sud-ouest de la voie). => Probable perturbation post-antique. US.25 (Négative / Creusement) : Creusement de fosse à plan plus ou moins ovalaire et profil en cuvette. Le creusement traverse le niveau de démolition (US 17, F6). US.26 (Positive / Comblement) : Comblement supérieur de la fosse F8 composé de limon gris compact avec des inclusions de cailloux calcaire (6 à 12cm) anguleux pour certains et émoussés pour d'autres. Présence rare de torchis dans la limite inférieure de l'US. Comblement présentant des niveaux de voirie traversés par la fosse. US.32 (Positive / Comblement) : Niveau inférieur du comblement de la fosse F8. Il se compose d'un limon argileux avec des blocs calcaires anguleux. Niveau de démolition par le creusement de la fosse et suivi du comblement. Sédiment noir et charbonneux avec des rares inclusions de torchis US.33 (Positive / Comblement) : Comblement intermédiaire de la fosse F8 constitué de blocs calcaires jaunes (10 à 20 cm et plus) dans un limon argileux jaune. Des dalles sciées sont également présentes. Comblement avec un niveau de démolition + géol (?) traversé par le creusement de la fosse.
	Creusement linéaire rectiligne d'axe nord-ouest/sud-est, probablement moderne ou contemporain, perturbant les niveaux supérieurs de la partie occidentale de la voie. Possible sillon de charrue. Fossé creusé par la charrue d'Eric. Elle perfore la voie et l'US 50, l'US 51 et l'US 19.
	Niveau de circulation lacunaire situé à proximité immédiate de l'extrémité septentrionale du mur F5. Constitue possiblement un reliquat de l'état de voirie contemporain de l'espace B.
	Bloc de pierre taillé et enduit se situant au niveau de la limite de la voie et du portique présumé. Probablement une colonne supportant un portique. un niveau de démolition d'enduit blanchâtre provenant de la colonne se situe directement à l'est/sud-est de la colonne. La colonne repose sur le niveau de roulement US.83 de l'état 2 de la voie. Elle s'installe en même temps que l'état le plus récent de la voie observé F.27. Elle est antérieure à la démolition F.6. La fosse d'implantation de la colonne, d'une profondeur de 90cm, a perforée le caniveau F.38.
	Séquence de remblaiement très chargée en matériaux de démolition, observée uniquement dans l'emprise de l'espace D (initialement interprétée comme un creusement) et venant sceller les aménagements associés à l'état 1 (maçonnerie F.32, F.41 et F.64). Elle semble antérieure à l'implantation de la base F.31.
	Importante maçonnerie linéaire rectiligne dont seul le radier semble conservé. Ses limites sud et ouest ne sont pas connues. Possible mur de terrasse ? Est contemporain des murs F.5 et F.65 observable dans l'espace B.
	Niveau de démolition le plus récent s'étendant sur l'entièreté du secteur 1 et sur l'espace 1 du secteur 2. Il se caractérise par un sédiment hétérogène sombre avec des inclusions diverses et nombreuses dont du torchis, du mortier et du charbon. Se compose presque intégralement de dalles de lauze calcinées, déposées en vrac.
	Niveau de démolition situé dans l'espace A composé de démolition de mur (F.4) et de niveau de toiture en dalles sciées incendiées. Le long de la coupe ouest, le mur F.4 n'est pas conservé. Il est probable néanmoins que la démolition soit postérieure au mur F.4.
	Fosse située au sud du secteur 2, espace C, recoupant le niveau de voie F.30. Elle possède un comblement argileux limoneux jaune. Son plan est circulaire et son profil en cuvette. La fonction de la fosse est indéterminée (fosse de récupération ?). Les niveaux de démolition F.6 recouvrent physiquement la fosse (niveaux de démolition accusant une dépression à cause de l'affaissement du comblement de la fosse). [Correction MR : correspond potentiellement à la récupération d'un aménagement en lien avec le soupirail US.302 du mur F.41]
	Niveau de cailloutis reposant sur F.6, situé au sud/sud-ouest de la voie F.2. Relatif à un état de circulation terminal du bâtiment ? => Dernier état d'occupation.
	Sol maçonné d'orientation nord-sud constituant le couloir de circulation du bâtiment état 2 et implanté dans l'axe longitudinal du secteur. Ce niveau de circulation est hétérogène et lacunaire. Il possède des traitements différents et n'est pas conservé sur sa partie centrale. Le centre de cet espace est le plus arasé. Il apparaît en écorché. Est conservé sporadiquement et de façon irrégulière sur une bande linéaire d'orientation N-S. Au moins deux niveaux de recharge (US.241/us.242), un radier US.268 et une bande de roulement (US.240) ont été identifiés :
	Démolition de l'espace B. US.114 (Positive / Démolition) : Niveau de démolition composé majoritairement d'une matrice limoneuse meuble hétérogène de couleur grise dans laquelle se trouve des cailloux et des dalles sciées. Est localisé entre le mur F5 et la coupe est de l'emprise de fouille. De manière ponctuelle, le niveau d'apparition de l'US 114 semble apparaître plus bas que le niveau d'apparition du sol F22. Cela pourrait potentiellement indiquer que ce dernier a été au moins partiellement récupéré avant l'effondrement du bâtiment.
	Possible sol maçonné ponctuellement conservé dans l'espace B. Seuls son radier ainsi qu'une partie d'un niveau de préparation grossier semblent être conservés en place. Mise en oeuvre de type terrazzo.

Mutations urbaines à Nasium (Meuse) | Rapport intermédiaire 2023

N° fait	Secteur	Ensembles	Liste des US	Identification	
F.23	Secteur 2	Ensemble B	US.58 ; US.59	Fosse	
F.24	Secteur 2		US.63	Annulé	
F.25	Secteur 1		US.80 ; US.81 ; US.89 ; US.90	Colonne	
F.26	Secteur 2		US.67 ; US.68	Annulé	
F.27	Secteur 2	Ensemble B ; Espace B7	US.16 ; US.19	Voie	
F.28	Secteur 1		US.53 ; US.73 ; US.145	Annulé	
F.29	Secteur 2	Espace B7 ; Espace B8	US.78 ; US.79	Fosse	
F.30	Secteur 2	Ensemble B		Voie	
F.31	Secteur 2		US.48 ; US.85 ; US.86 ; US.87 ; US.88 ; US.182	Fosse	
F.32	Secteur 1	Ensemble C ; Espace C2	US.93 ; US.304	Mur	
F.33	Secteur 1		US.94 ; US.96	Annulé	
F.34	Secteur 1	Ensemble C ; Espace C7	US.101 ; US.102 ; US.103 ; US.144 ; US.159 ; US.160 ; US.171 ; US.172 ; US.180 ; US.202	Foyer	
F.35	Secteur 1	Ensemble C ; Espace C8	US.104 ; US.108 ; US.113 ; US.289 ; US.291 ; US.292 ; US.516 ; US.517	Seuil ?	
F.36	Secteur 1	Ensemble C ; Espace C8	US.106 ; US.107	Tranchée	
F.37	Secteur 2	Espace A	US.115	Annulé	
F.38	Secteur 2	Ensemble B ; Espace B4 ; Espace B5	US.139 ; US.140 ; US.141 ; US.164 ; US.253 ; US.258	Caniveau	
F.39	Secteur 2	Ensemble A ; Espace A1	US.156	Mur	
F.40	Secteur 1	Ensemble D	US.116 ; US.117	Tranchée de récupération	
F.41	Secteur 1	Ensemble C ; Espace C2	US.206 ; US.301 ; US.302 ; US.303 ; US.515	Mur	
F.42	Secteur 2	Ensemble B	US.158 ; US.161 ; US.162 ; US.288	Caniveau	
F.43	Secteur 1	Ensemble C ; Espace C4	US.62 ; US.74 ; US.75 ; US.76 ; US.95 ; US.98 ; US.138 ; US.211	Plancher	
F.44	Secteur 2	Ensemble B ; Espace B6	US.50 ; US.83 ; US.84 ; US.99 ; US.119 ; US.130 ; US.131 ; US.133 ; US.231 ; US.232 ; US.235 ; US.263	Voie	
F.45	Secteur 2	Ensemble A ; Espace A2 ; Espace A1	US.132	Mur	
F.46	Secteur 1	Espace C6	US.142 ; US.143	Trou de poteau	
F.47	Secteur 1			Annulé	
F.48	Secteur 1	Ensemble C ; Espace C4	US.183 ; US.188 ; US.190	Plancher	

Mutations urbaines à Nasium (Meuse) | Rapport intermédiaire 2023

Description
<p>Petite fosse située le long de la berme ouest de l'emprise de fouille. L'emprise de la fouille ne permet pas d'observer la totalité de la fosse.</p> <p>US.58 (Négative / Creusement) : Creusement de la fosse F23. Son plan n'est pas observable en raison des limites de l'emprise de fouille, même s'il semble ovale ou circulaire.</p> <p>US.59 (Positive / Comblement) : Comblement de la fosse F23, constitué de blocs calcaires dans une matrice limono argileuse brune compacte.</p>
<p>Base de colonne en calcaire oolithique localisée au nord-est du sondage 1. Sa fosse d'implantation US.89 détruit partiellement le mur F.32 appartenant à un état antérieur.</p> <p>[Correction MR : relation avec US.41 modifiée. La relation initiale renseignée d'après G.40 était sans doute faussée (niveau humide et/ou de piétinement). Nouvelle proposition : F.25 coupe US.41]</p>
<p>Voirie état 6.</p> <p>Séquence stratigraphique de l'état de la voie la plus récente observée. En l'état, il se compose d'un niveau de circulation (US.19) reposant sur les niveaux de préparation (US.51, US.84 et US.100).</p> <p>Au niveau de la colonne F.11, une possible bande piétonne en calcaire oolithique concassé et damé semble présente de manière lacunaire (US.16). Les niveaux de nivellement reposent soit sur le radier préparatoire (US.99) soit directement sur l'état de voirie antérieur (F.30). La voie dispose d'un traitement différent entre l'espace G (niveau de circulation piéton) et l'espace F (niveau carrossable).</p> <p>[Correction MR : les US 16, 84 et 100 ont été sorties du fait F.27, qui est exclusivement dédié à la voirie carrossable. Les US en question sont plutôt à rapprocher de l'espace de circulation piéton]</p>
<p>Anomalie située au centre de l'espace E, coupant F.20. Composée de divers niveaux de remblais dont certains comblés par de larges blocs calcaires, d'un chapiteau toscan (inv. 275) et d'un tambour. Une poutre carbonisée (US.75) est tombée à plat dans le fond du creusement.</p>
<p>Creusement de forme approximativement circulaire situé sous la première bande de roulement observée de la voie. Possible fosse de récupération d'une base de colonne ?</p> <p>US.78 (Négative / Creusement) : Creusement de F29 caractérisé par un plan ovale et un profil en cuvette.</p> <p>US.79 (Positive / Comblement) : Comblement de la fosse F29 constitué d'un sédiment limoneux gris meuble et des blocs en calcaire lithographique, ainsi que quelques fragments de dalles en calcaire oolithique. On note également des inclusions de graviers et des petits nodules de terre cuite. Un fragment de mortier de tuileau a aussi été découvert dans ce niveau.</p>
<p>Voirie état 4b</p> <p>Deuxième état de la voie visible en plan en écorché et situé sous l'état de la voie le plus récent observé (F.27). Il ne présente pas de différence de traitement dans sa mise en œuvre entre l'espace F et G.</p> <p>[observation MR : simple recharge de l'état antérieur : fait annulé]</p>
<p>Fosse d'implantation d'une possible base monumentale. La fosse recoupe le mur septentrional et occidental (F.41 et F.93) de la cave (ESP.D). Le creusement de la fosse d'implantation est étroit à l'ouest d'après les observations faites dans la coupe N du SD.54.</p> <p>[Correction MR : relation avec F.130/US.41 modifiée. F.31 (comme F.25) vient couper cette séquence de remblaiement, n'est pas antérieur]</p>
<p>Maçonnerie très mal conservée coupée par la fosse d'implantation de la base de colonne F.25. Il est orienté nord/sud. Est chaîné avec F.41, l'ensemble forme une potentielle cave.</p> <p>Maçonnerie d'axe nord-sud formant le mur est de la cave, percée par une niche.</p>
<p>Creusement non caractérisé venant partiellement couper la fosse d'implantation de la colonne F.25. Aménagement non observé en plan, possiblement contemporain de F.24 et F.16.</p>
<p>Maçonnerie circulaire [US.101] en dalle de lauze (rose-blanche). Au minimum deux niveaux de dalles en élévation (US 103) constituent cet ensemble avec du mortier apparent. Ouverture à une des extrémités de la structure où se trouve un amas de blocs de lauze calcaires placées pelle-melle (démolition US 144). Se compose d'un comblement sombre où se trouvent des dalles de lauze conservées sur leurs longueurs (US 103, US 102 et US 171). Potentiellement un four ou un foyer.</p> <p>Sous la démolition du four (US 144) se trouve un alandier composé de deux dalles de lauze à plat (US 159). A l'intérieur, on trouve un comblement sombre de limon joint à un comblement de dalles sciées. Au fond, sous les us comblements se trouve la sole en dalles de lauze (US 160). Le tout est lié par de l'argile. L'argile permet aussi de caler le four dans sa fosse d'implantation (US 172).</p> <p>La fouille 2020 s'est arrêtée sur le démontage du four F34, en dessous apparaît une maçonnerie quadrangulaire non caractérisée.</p>
<p>Tranchée de sablière d'orientation N-S localisée à la jonction sud des SD.1 et SD.4. Fouillée de moitié en 2020 et en 2021.</p> <p>La première moitié de cette dernière, fouillée en 2020, permet l'observation de la sablière carbonisée (US.104, PR. 8) dans un creusement (US.108) en cuvette, bordé par des blocs calcaires dont un bloc architectural (inv.457) à son extrémité nord.</p> <p>La fouille de la berne E-O entre le SD.1 et le SD.4 a permis de mettre au jour la suite de la structure. Elle se constitue d'une poutre carbonisée US.289 agencée sur un solin US.291 et appuyée contre une bande de mortier jaune US.292.</p> <p>Un gond de porte (inv.366) associé à la poutre US.104 (fouille 2020) et l'agencement de la sablière laisse à penser à un seuil.</p>
<p>Possible creusement linéaire rectiligne parallèle à F20 et observé entre l'US.69 et l'US.77. Il pourrait potentiellement correspondre à une tranchée de sablière (chronologiquement équivalente à F.35).</p>
<p>Fosse implantée à l'angle des murs F.4 et F.39. La fosse se poursuit dans la coupe Nord. Probable fosse de récupération.</p>
<p>Caniveau traversant le secteur 2 d'ouest en est. Il est composé d'au moins deux assises de blocs en calcaires triangulaires ou quadrangulaires liés par de la terre. Une dalle de couverture est conservée à l'extrémité est de la fenêtre d'observation. Le caniveau semble faire la jonction avec une autre maçonnerie dans la partie est du secteur 2 de l'autre côté de la berme N-S.</p>
<p>Maçonnerie linéaire (?) orientée N/S. Probable retour du mur F.4 avec lequel elle est chaînée.</p> <p>Niveau d'élévation attesté, possibles assise de fondation observées ; à confirmer</p>
<p>Tranchée de récupération du mur F.5 venant couper ce dernier au niveau du seuil [US.57].</p> <p>US.116 (Positive / Comblement) : Comblement de F40. Niveau unique de limon argileux compact homogène de couleur marron, associé à de nombreux blocs de calcaire lithographiques et de nombreux fragments dalles sciées.</p> <p>US.117 (Négative / Creusement) : Creusement de F40. Ce creusement est linéaire rectiligne suivant le prolongement du mur dans l'espace F et possède un profil en cuvette observable dans la coupe sud de l'emprise de fouille.</p>
<p>Maçonnerie mal conservée dans la berme E/O séparant le secteur 1 et 2. Mur chaînée avec le mur F.32 (coupé par la fosse d'implantation de F25) et possédant un retour à l'Ouest (F 64) coupé par la fosse d'implantation F31 (US 86 et US 87) . Cinq assises sont conservées plus un soupirail.</p> <p>Maçonnerie d'axe est-ouest formant le mur nord de la cave, un soupirail (us 302) est aménagé.</p>
<p>Maçonnerie composée de deux alignements parallèles de blocs quadrangulaires séparés par un espace vide comblé par des blocs et du limon. L'espace entre les deux alignements (piédroits) est recouvert, par endroit, par des dalles sciées posées à plat. Il s'agit probablement d'un caniveau s'articulant avec l'un des états de la voie (état 4).</p>
<p>Plancher incendié sous la démolition F.6 la plus ancienne. Poutres et/ou planches en négatif et en résiduel (charbon) sur l'US.65. Un minimum de 6 planches sont observables dont l'US.95 est conservée sur son intégrité. Les autres sont coupées par F.28. Les planches sont espacées d'environ 60-80 cm. Deux d'entre elles reposent sur le niveau de voirie F.44. Les planches US.75 et US.95 sont conservées en longueur.</p>
<p>Voirie état 4a.</p> <p>Etat de voie composé d'une bande de roulement et d'un radier. Il s'agit de l'état conservé de meilleur qualité. Il semble également être l'état de voirie le plus monumental. Un affaissement de la chaussée est visible à l'endroit du caniveau F. 38/42, causé potentiellement par l'absence de ses dalles de couverture. Aucune différence visible dans la mise en œuvre du niveau de circulation US.131 entre l'espace F et G. Elle peut induire une réfection totale de la voie (carrossable + piéton ?). La partie centrale de la bande carrossable (ESP. F) dispose d'une mise en oeuvre soignée constituée de bloc décimétrique et d'un petit cailloutis damé. Un alignement de bloc est également perçue.</p> <p>[Note MR : présence de multiples recharges sur la probable partie «piétonne» de cet état de voirie : US.84, US.100 et US.130]</p>
<p>Maçonnerie linéaire à l'ouest de l'espace A, orienté N/S. Il s'appuie contre le mur F.4</p>
<p>Trou de poteau</p> <p>[Correction MR : structure annulée en 2020 et désannulée pendant post-fouille : relation possible avec F.77]</p> <p>US.142 (Négative / Creusement) : Creusement de F.46. Creusement circulaire, profil en cuvette.</p> <p>US.143 (Positive / Comblement) : Comblement de F.46. limon brun, meuble et homogène avec inclusions de gravier. Charbons présents.</p>
<p>Phase de démolition suite à l'incendie de la charpente/plancher, résultant de l'effondrement de cette dernière, au Sud-Est de l'espace D. Seule une petite partie de la surface est conservée dont un angle est identifiable, délimité par un premier liseré d'enduit blanc compacte (US 185) à l'est, un parallèle à l'ouest (US 188) et un au Sud formant un angle (US.193).</p>
<p>Ensemble de négatifs de poutre carbonisées (certaines sont encore en place), orientés sud-ouest/nord-est (parallèles à la voirie) et espacées d'environ 80 cm. Probable plancher sur lambourdes.</p>

Mutations urbaines à *Nasium* (Meuse) | Rapport intermédiaire 2023

N° fait	Secteur	Ensembles	Liste des US	Identification	
F.49	Secteur 2	Espace A	US.151	Annulé	
F.50	Secteur 2	Ensemble A	US.153	Sol	
F.51	Secteur 1	Ensemble C ; Espace C9	US.123 ; US.147	Sol	
F.52	Secteur 2	Ensemble B ; Espace B4	US.149 ; US.157 ; US.194 ; US.195 ; US.262	Voie	
F.53	Secteur 2	Ensemble A ; Espace A2 ; Espace A1	US.163	Mur	
F.54	Secteur 2	Ensemble B ; Espace B5	US.120 ; US.165 ; US.166 ; US.452	Sol	
F.55	Secteur 2	Espace A		Annulé	
F.56	Secteur 2	Ensemble A ; Espace A2 ; Espace A1	US.154 ; US.155	Démolition	
F.57	Secteur 2		US.170	Annulé	
F.58	Secteur 2	Ensemble B ; Espace B7 ; Espace B8	US.175 ; US.176	Fosse	
F.59	Secteur 1		US.177 ; US.178	Fosse	
F.60	Secteur 1	Ensemble C ; Espace C1	US.136 ; US.184 ; US.193	Seuil ?	
F.61	Secteur 2		US.186 ; US.187	Annulé	
F.62	Secteur 2	Ensemble B ; Espace B1	US.219 ; US.311 ; US.312 ; US.511	Voie	
F.63	Secteur 2	Ensemble B ; Espace B3	US.167 ; US.218 ; US.264 ; US.439	Voie	
F.64	Secteur 1	Ensemble C ; Espace C2	US.207 ; US.492	Mur	
F.65	Secteur 1	Ensemble D	US.220 ; US.221	Mur	
F.66	Secteur 1		US.198 ; US.199	Fosse	
F.67	Secteur 1	Ensemble C ; Espace C1	US.185 ; US.209	Seuil ?	
F.68	Secteur 1		US.127 ; US.168	Annulé	
F.69	Secteur 2	Ensemble B	US.228 ; US.229 ; US.230	Fosse	
F.70	Secteur 2		US.237 ; US.238	Fosse	
F.71	Secteur 2	Ensemble B	US.244 ; US.245	Trou de poteau	

Mutations urbaines à Nasium (Meuse) | Rapport intermédiaire 2023

	Description
	Fosse présente dans l'angle sud-ouest de l'espace A. Probable fosse de récupération qui serait venu récupérer l'éventuel aménagement implanté face à l'ouverture de F.45. Correction MR : fait annulé, correspond en fait très probablement
	Niveau de sol en mortier de chaux. Il peut également être associé à un niveau de préparation ou un niveau de travail relatif à la construction des murs de l'espace A
	Niveau de sol observé dans le sondage 3 comprenant deux traitements différents : deux niveaux de cailloutis (US.123 et US.147). Dû à un fort pendage nord/ouest, le sol est rechargé par un niveau de mortier et de cailloux (US.69).
	Voirie état 3. Etat de voie composée d'une bande de roulement et d'un possible niveau de préparation (pas présent sous la totalité de la bande de roulement). Cet état est partiellement conservé. [Correction MR : cet horizon d'occupation (sol F.54, caniveau F.38/42 et voirie F.52 est caractérisé par l'installation préliminaire d'un épais radier nommé US.194/195 côté voirie et US.166 côté circulation piétonne)]
	Retour maçonné orienté est/ouest F.45. La relation stratigraphique reste floues ? Les blocs (10 à 45 cm) sont scellés avec un mortier de chaux de façon non ordonné.
	Niveau de circulation (sol ou bande de circulation piétonne (possible équivalente à F.52 accolée à la voirie) observé uniquement dans la partie sud-ouest du secteur 2. L'ensemble pourrait également appartenir à un aménagement de type porche empiétant sur l'espace G. [Correction MR : fait converti en circulation piétonne contemporaine à F.52 et F.38/42] [Correction MR : cet horizon d'occupation (sol F.54, caniveau F.38/42 et voirie F.52 est caractérisé par l'installation préliminaire d'un épais radier nommé US.194/195 côté voirie et US.166 côté circulation piétonne)]
	Séquence de remblaiement comblant l'espace A.
	Niveaux de démolition recouvrant l'ensemble des niveaux de sol conservés de l'espace A et marquant probablement le premier abandon d'un bâtiment associé. La démolition se caractérise par le même type de séquence stratigraphiques (niveau de démolition très chargé en restes de matériaux périssables et niveau d'incendie) que les niveaux de démolition de l'état 1 du secteur 1.
	Alignement de blocs possiblement maçonné et formant un angle droit avec F.38 et orienté N/S pouvant constituer un retour du caniveau F.38.
	Creusement comblé de blocs situé à l'extrémité ouest du secteur 2 et poursuivant dans la coupe ouest. Il coupe le caniveau F.38. Sa cote d'apparition se situe sous l'US.17. La phase de récupération du portique pourrait donc être située à la fin de l'état 5 de la voie. US.175 (Négative / Creusement) : Creusement ovalaire dont le profil en U correspond à la fosse F58, situé à l'extrémité du secteur 2 et venant couper F38 (caniveau) et F57 (possible reste de caniveau). US.176 (Positive / Comblement) : Comblement de la fosse F58 composé de blocs dans une matrice limoneuse meuble brune.
	Creusement doté d'un profil en cuvette uniquement observé dans la coupe ouest de l'espace D. Non documenté en plan. US.177 (Négative / Creusement) : Creusement de F59 en forme de U uniquement observé en coupe dans la coupe ouest de l'espace D. Le plan est non observable. Est comblé par l'US 178. US.178 (Positive / Comblement) : Comblement de F59 observé uniquement dans la coupe ouest. Celui-ci se compose d'un limon brun/gris, meuble et hétérogène avec la présence de large blocs en calcaire (15-30 cm). On observe des inclusions de charbons récurrentes, de mortier de chaux et de torchis.
	Tranchée orientée est-ouest posé perpendiculairement à une des lambourdes de F.48 (US.183). Possible soubassement de cloison/tranchée de sablière ou seuil ? État donné le faible écartement (80 cm) entre F.60 et F.85, l'interprétation de seuil semble être à privilégier.
	Possible sol maçonné ou bande de circulation piétonne observé uniquement dans l'angle formé par F.57 et F.38 (à associer à l'état 4 de voirie))
	Niveau de voirie état 1 matérialisant l'implantation de l'axe viaire. Niveau de voirie composé d'un radier, d'un niveau de préparation et d'un niveau de circulation de trois recharges observées. La mise en œuvre est très soignée.
	Niveau de voie situé sur F.62 et sous F.52. Pas de radier observé, mais seulement une couche de cailloutis et de blocs dont le sommet est émoussé. Le niveau de voirie F.62 a servi de radier en raison de sa mise en œuvre soignée et solide. Le niveau se poursuit de manière uniforme dans l'espace G (observation faite à l'Ouest de l'Espace G). L'épaisseur varie de 10 à 15 cm.
	Maçonnerie linéaire d'orientation nord-ouest/sud-est. Elle constitue le retour occidental de F41. Mur le moins bien conservé de la cave, il a en partie été endommagé par F31. Préservé au maximum sur 100cm de hauteur (3 assises d'élévation, 2-3 assises de fondation) dans l'angle sud à la jonction de F64 et F92. En moyenne seule la fondation (3-4 assises /60cm de hauteur) est préservée. Les moellons utilisés sont grossièrement équarris, en calcaire lithographique de dimensions variées (10-15cm de hauteur pour 15-20cm de longueur). Le tout semble lié par un mortier de chaux blanc relativement lacunaire par endroit. Les moellons de la fondations sont de dimensions légèrement plus importante que l'élévation. Chaînée avec F41 et F93. US.207 (Construite / élévation) : Elevation du mur F64 constitué de moellons en calcaire lithographique, grossièrement équarris de petit appareil aux dimensions variables (10-15cm de hauteur pour 15-20cm de longueur). Le tout est lié par un mortier de chaux blanc, lacunaire et mal préservé. Il n'est pas possible de déterminer si les joints ont été tirés au fer comme sur les autres maçonneries de la cave. Un maximum de trois assises disposées grossièrement ont été conservé à la jonction de F93. Le reste de la maçonnerie ne préserve pas ou qu'une seule assise. US.492 (Construite / Fondation) : Fondation de F.64 caractérisé par 3 à 4 assises de petit appareils en calcaire lithographique et en très rare calcaire marneux. Les dimensions des moellons varient entre 20-30 cm de longueur pour 15-20cm de hauteur. Le tout est lié par un mortier de chaux blanc lacunaire.
	Maçonnerie linéaire d'orientation sud-ouest/nord-est constituant le retour septentrional du mur F5. Seul son radier, très mal conservé, a pu être observé durant la campagne 2020.
	Creusement non caractérisé observé uniquement dans la coupe Nord-Sud de l'espace D. Il se caractérise par un profil en cuvette comblé par de larges blocs en calcaire (15-30 cm) dans une matrice limoneuse sombre. Localisé sous US 41 et sur F31 (blocs architecturaux). Peut correspondre à la fosse de récupération d'un bloc lapidaire venant compléter la structure de US 86 (INV. 667) et US 87 (INV. 668). US.198 (Positive / Comblement) : Comblement de la potentielle fosse de récupération F66. Observé uniquement dans la coupe Nord-Sud de l'espace D. Se caractérise par une matrice limoneuse dans laquelle on observe de larges blocs en calcaires (15-30cm) en vrac dont certains sont posés à quelques centimètres du bloc US 86. US.199 (Négative / Creusement) : Creusement de la possible fosse de récupération F66 dont le profil en cuvette est observable dans la coupe Nord-Sud de l'espace D. Son plan n'a pas été observé pendant la fouille. Est comblé par une matrice limoneuse sombre et de larges blocs calcaires (US 198). Le creusement vient s'appuyer directement sur la face supérieure du bloc monumental US. 86.
	Tranchée située dans le même axe que la lambourde [US.183]. Possible seuil ou cloison ?
	Sol constitué d'un radier [US.168] de blocs en calcaire lithographique dans une matrice limoneuse brune sur lequel se trouve le niveau de circulation [US.127]. [Correction MR : l'existence du radier, créé en 2020, est douteuse car non observé dans les coupes réalisées en 2021 : niveau annulé ce qui enlève l'intérêt d'associer un fait au niveau de circulation US.127]
	Fosse perçue sur l'Esp.G. Elle traverse l'état 5 de la voie. Elle est scellée par l'US charbonneuse US.29 dont des résidus sont visibles dans le comblement supérieur de la fosse US.229. Probable fosse de récupération de matériaux ou fosse relatif aux activités de l'habitat limitrophe. [Correction MR : cf "ortho_gen2" sur SIG : structure qui vient en fait percer le niveau de démolition F.125 (ici US29) (ce qui explique d'ailleurs la présence de US29 remaniée dans le comblement de la structure) et la dernière bande de roulement de F.27. Semble toutefois antérieure à la séquence de remblaiement F.130 mais impossible à attester formellement. Hypothèse : fosse de récupération postérieure à F.125. Modification des relations strati : "sous F.130" au lieu de "sous US.29"] US.228 (Négative / Creusement) : Creusement de plan ovalaire pourvu d'un profil en auge de la fosse F.69. Limites difficiles à observer en plan. US.229 (Positive / Comblement) : Comblement supérieur de la fosse caractérisé par son hétérogénéité. Présence d'une couche charbonneuse et de limon argileux marron correspondant potentiellement au ruissellement des couches limitrophes (US.51, US.29, US.100). Fosse sûrement ouverte lors de la démolition probable du portique. US.230 (Positive / Comblement) : Comblement inférieur de la fosse F.69. Limon sableux marron compact et homogène comprenant quelques blocs et cailloux émoussés
	Fosse potentiellement post-antique (visible sur l'ortho_gen1) où elle recoupe le niveau de voirie F.27. Traitée lors de la campagne 2021. Elle recoupe le niveau de voie F.52. Fosse de plan sub-rectangulaire avec un profil en cuvette US.237 (Négative / Creusement) : Creusement de la fosse. Son plan est sub-rectangulaire et son profil en cuvette. US.238 (Positive / Comblement) : Niveau de comblement limono-argileux hétérogène de couleur marron comprenant cailloutis et petits galets. Absence de mobilier.
	Creusement circulaire comblé par du limon noir avec présence de nombreuses graines carbonisées. Possible trou de poteau ou perturbation charbonneuse dans fosse d'implantation de la base de colonne F.11. Si c'est un trou de poteau, il coupe F.52. TP douteux.

Mutations urbaines à *Nasium* (Meuse) | Rapport intermédiaire 2023

N° fait	Secteur	Ensembles	Liste des US	Identification	
F.72	Secteur 2	Ensemble B ; Espace B8	US.246 ; US.247	Trou de poteau	
F.73	Secteur 2	Ensemble B ; Espace B8	US.248 ; US.249	Trou de poteau	
F.74	Secteur 2	Espace G	US.250 ; US.251	Annulé	
F.75	Secteur 2	Espace B7 ; Ensemble B ; Espace B8	US.254 ; US.255	Fosse	
F.76	Secteur 1	Ensemble C ; Espace C8	US.356 ; US.357 ; US.375	Trou de poteau	
F.77	Secteur 1	Ensemble C ; Espace C6	US.265 ; US.266	Trou de poteau	
F.78	Secteur 1		US.272 ; US.278 ; US.298 ; US.316 ; US.337	Drain	
F.79	Secteur 1		US.279 ; US.280	Fosse	
F.80	Secteur 1	Ensemble C ; Espace C7	US.290 ; US.327 ; US.358 ; US.440 ; US.441 ; US.443 ; US.444 ; US.521 ; US.522	Foyer	
F.81	Secteur 2		US.285 ; US.286	Trou de poteau	
F.82	Secteur 1	Espace I	US.328 ; US.329	Annulé	
F.83	Secteur 1	Ensemble D	US.233 ; US.273 ; US.293	Fosse	
F.84	Secteur 1	Ensemble D	US.243 ; US.523 ; US.524 ; US.525	Maçonnerie	
F.85	Secteur 1	Ensemble C ; Espace C1 ; Espace C4	US.402 ; US.490 ; US.512	Seuil ?	
F.86	Secteur 1	Ensemble C ; Espace C2	US.307 ; US.308	Canalisation	
F.87	Secteur 1	Ensemble C ; Espace C2	US.309 ; US.310	Canalisation	
F.88	Secteur 2		US.314 ; US.315 ; US.424	Trou de poteau	
F.89	Secteur 2	Ensemble B	US.319 ; US.320 ; US.421 ; US.422 ; US.423 ; US.489	Tranchée de récupération	
F.90	Secteur 2	Ensemble A	US.297 ; US.321 ; US.332 ; US.334 ; US.359 ; US.371	Fosse	

Mutations urbaines à Nasium (Meuse) | Rapport intermédiaire 2023

	Description
	Creusement circulaire comblé par du limon noir avec présence de nombreuses graines carbonisées. Probable trou de poteau. US.246 (Négative / Creusement) : Creusement TP F.72 US.247 (Positive / Comblement) : Limon noir contenant du charbon et de nombreuses graines carbonisées, comble le creusement US.246. Comblement TP F.72
	TP rassemblant les US. 248(creusement) et 249 (comblement) se présentant sous la forme d'un sédiment fait d'argile et de limon, entouré de pierres de taille moyenne. Tp probable. US.248 (Négative / Creusement) : Creusement TP F.73 US.249 (Positive / Comblement) : Comblement TP F.73 Couché argilo-limoneuse avec de rares inclusions de petit cailloutis et quelques charbons
	Trou de poteau
	Fosse de plan incomplet visible dans la berme est du secteur 2. Elle est alignée avec les fosses F.11, F.58 et F.29. Possiblement contemporaines de ces dernières et liée à une fosse d'implantation ou de récupération d'une colonne. Le caractère arasé du secteur 2 ne permet pas d'édifier précisément la phase de récupération. US.254 (Négative / Creusement) : Creusement de la fosse d'implantation ou de récupération d'une colonne. L'absence de colonne à son sommet induit une récupération bien que la colonne ait pu faire l'objet d'un arrachage consécutif aux travaux agricoles contemporains. US.255 (Positive / Comblement) : limon et argile gris, meuble et homogène avec inclusions de blocs. Charbons rares.
	Trou de poteau circulaire au sud de l'espace K dans le secteur 1. Il est composé d'un creusement en cuvette (US.356) et de son comblement limoneux (US.357). Il coupe la toiture en lauze (US.239). Possède un calage de blocs calcaire de moyen module (5-10cm). US.356 (Négative / Creusement) : Creusement du trou de poteau (F.76) se situant au sud de l'espace K, secteur 1. Il coupe la toiture en lauze (US.239) et est comblé par une couche limoneuse (US.357). US.357 (Positive / Comblement) : Comblement du trou de poteau (F.76) se trouvant au sud de l'espace K, du secteur 1. limon marron, meuble et homogène. Charbons présents. Une poche de sable est observable dans la coupe. US.375 (Construite / Annulé) : Pierres de calage se trouvant au sud de l'espace K, secteur 1. Elles viennent s'appuyer autour du trou de poteau F.76.
	Reliquat d'un Trou de poteau circulaire localisé à l'est de l'espace H. Observé lors de la réalisation du SD.12. Est comblé d'un unique sédiment limoneux brun et meuble. Coupe le sol US.127 et est coupé par la tranchée de fondation de F.5. Seul 1/3 de la structure est conservée. US.265 (Positive / Comblement) : Comblement du trou de poteau F.77, limon brun, meuble et hétérogène. Charbons fréquents. US.266 (Négative / Creusement) : Creusement probablement circulaire, profil en cuvette. Mauvais état de conservation de la structure (arrachée du côté de la coupe ouest du sondage S.12 de l'espace B)
	Canalisation d'orientation est-ouest localisée dans l'espace H du secteur 1. Coupant le sol US.127, la structure se compose de deux piédroits en bloc calcaire comblé par du remblais. Quelques dalles de couverture ont été observé dans le comblement. A ce jour, la canalisation se poursuit sous le niveau de circulation F20. Elle est coupé par l'installation du mur F.5. Néanmoins, elle ne se prolonge pas dans la coupe est du SD.12. Se poursuit vraisemblablement dans la coupe est CP37 de SD24 du secteur 1 où son déploiement en plan n'a pas été observé.
	Fosse de récupération non fouillée localisée dans la berme centrale du secteur 1. Observé en plan et dans la coupe est de la berme centrale. Coupe les niveaux de remblais US.124, US.208, Us.210, US.214 et US.91. Le niveau de circulation F.20 de l'état 2 vient s'implanter par-dessus ce niveau. Est caractérisé par un plan circulaire et un profil en U (à confirmer). Est comblée par un sédiment hétérogène sombre dans lequel un grand nombre de fragments de TCA et d'amphores ont été observés.
	Structure foyère localisée au sud ouest du secteur 1 dans le SD.4. Est constitué d'une maçonnerie quadrangulaire en lauze dont seule la partie sud est conservée. Les dalles (15-20 cm de long) sont posées sur la tranche et forment un angle à l'extrémité sud ouest de la structure (US.327). Est comblé par un sédiment limoneux rubéfié (US.290) chargé en mobilier. Le four s'appuie contre le sol US.281? Sous les four F.34 de l'état 3, F.80 semble appartenance à l'état 2 et montre une occupation continue des espaces dans le temps.
	Creusement circulaire rempli d'un argile noir très charbonneux observé en plan. Probablement un trou de piquet. Elle coupe Le niveau de remblai US.283. Sa cote d'apparition, en raison de la mauvaise conservation du secteur ne peut être définie. Fonctionnement de la structure avec un niveau de voirie reste indéterminé. [Structure douteuse et non fouillée. Néanmoins replacée sur le diagramme de Harris sur US.287 (niveau de circulation) plutôt que sur US.283 (remblai)]
	Fosse localisée non caractérisé au sud de l'espace I dans le secteur 1. Coupe le niveau de circulation F.20. Semble posséder un plan circulaire. Non fouillée. [Correction MR : structure annulée, correspond vraisemblablement à un arrachement du sol maçonné F.20]
	Creusement état 3 observé dans la coupe nord et est du SD.12. Est composé d'un remblai hétérogène et de larges blocs de calcaire. Coupe le radier US.252. Son quart a été vidé lors de la fouille du SD.12.
	Structure maçonnée visible dans la coupe est du sondage SD.12. Est constituée de lauzes quadrangulaires à plats liées par un mortier de chaux jaune. Deux piédroits sont identifiables de part et d'autres de la partie centrale. Une partie des dalles sciées utilisées sont calcinées. De plus, une zone rubéfiée a été observée en plan au sein de la structure, sur l'us.234. Lord du décapage de la structure, il s'est avéré que la maçonnerie constituait une bande maçonnée de lauzes à plats sur une surface quadrangulaire d'une largeur d'une 60ne de cm. Possible foyer ?
	Tranchée de sablière d'orientation E-O localisée au sud ouest de l'espace E du secteur 1. Parallèle à F.60 (fouillé en 2020) et lié à cette dernière par la lambourde F.67. F.85 est aménagé de la même manière que F.60. La surface était couverte par le niveau d'incendie US.46 qui a montré des alignements de clous (topo PT_clou). Tranchée de sablière ou seuil.
	Canalisation d'axe nord-sud creusée grossièrement dans le substrat localisé au fond de la cave. D'un plan linéaire, la canalisation se jette dans la canalisation sud F.111. La canalisation F.87 prend son départ depuis le centre de F.86 (à env. 100 cm depuis le mur F41). Afin d'installer la canalisation, la fondation (2 assises) et l'élévation (3 assises) de F41 ont en parti été percé sur une cinquantaine de cm. En résulte un orifice grossièrement circulaire dont sommet forme un arc de cercle, la profondeur n'a pu être mesurée : Récupération? Jonction avec le collecteur située à l'avant du bâtiment? [Correction MR : les US de comblement des trois canalisation (= abandon) sont équivalentes.]
	Canalisation d'axe est-ouest creusée grossièrement dans le substrat au fond de la cave, elle semble se jeter dans la canalisation F.86 [Correction MR : les US de comblement des trois canalisation (= abandon) sont équivalentes.]
	Trou de poteau visible dans la coupe du sondage mécanique de la voie. Son implantation semble contemporaine du paléosol US.313. Zsup SD.16 = 262,23 m. US.314 (Négative / Creusement) : Creusement du TP F.88. Visible dans la coupe est du sondage mécanisé de la voie (SD.16). Plan du creusement indéterminé, profil en cuvette. US.315 (Positive / Comblement) : argile et limon gris, compact et homogène avec inclusions de Torchis . Charbons présents. Constitue le comblement du TP. US.424 (Positive / Fantôme de poteau) : Fantôme du TP F.88 observé dans la coupe est du SD.16. Couche argile-limoneuse grise avec des inclusions forte de torchis et de charbons.
	Creusement linéaire rectiligne orienté ouest/est parallèle au portique et caniveau de la voie. Tranchée de récupération probable ou fossé bordier ? La tranchée recoupe l'état 2 F.63 et est scellée par l'état 3 F.63. Le mur originel récupéré a pu être contemporain de l'état 1 F.62 (=>traitement différencié de la voirie de part et d'autre de la tranchée). La tranchée bifurque ensuite au sud vers le secteur 1. Prise altimétrique GPS pour pendage : Zinf coupe ouest SD.16 = 260,36 Zinf coupe est SD.16 = 260,70 Zsup SD.16 = 261,96 m ; Zinf SD.16 = 260,41 m Zinf SD.45 = 262,08 ; Zinf SD.45 = NR [Correction MR : fonction de spoliation plus que probable : semble venir couper le deuxième état de voie (F63) mais constitue en même temps une limite pour les niveaux de circulation antérieurs (cf G86)]
	Fosse creusée dans le terrain naturel au sud de l'espace A, elle apparaît contre le mur F.45.

Mutations urbaines à Nasium (Meuse) | Rapport intermédiaire 2023

N° fait	Secteur	Ensembles	Liste des US	Identification	
F.91	Secteur 1	Ensemble C ; Espace C7 ; Espace C8 ; Espace C10	US.335 ; US.336 ; US.507 ; US.508 ; US.518 ; US.519 ; US.520	Seuil ?	
F.92	Secteur 1	Ensemble C ; Espace C3	US.493 ; US.494	Mur	
F.93	Secteur 1	Ensemble C ; Espace C2 ; Espace C3	US.484 ; US.485 ; US.495	Mur	
F.94	Secteur 2	Ensemble A	US.348 ; US.349 ; US.360	Fosse	
F.95	Secteur 1		US.352 ; US.353	Tranchée	
F.96	Secteur 1		US.252 ; US.338 ; US.355	Annulé	
F.97	Secteur 1			Annulé	
F.98	Secteur 2		US.384 ; US.385 ; US.394	Trou de poteau	
F.99	Secteur 2		US.399 ; US.400	Trou de poteau	
F.100	Secteur 1	Espace C2 ; Ensemble C ; Espace C3	US.105 ; US.259 ; US.260 ; US.261 ; US.378 ; US.383 ; US.420	Comblement	
F.101	Secteur 1	Ensemble C ; Espace C2	US.305 ; US.306 ; US.401	Niche	
F.102	Secteur 1		US.411	Annulé	
F.103	Secteur 1	Ensemble C ; Espace C3	US.407 ; US.419	Escalier	
F.104	Secteur 1		US.82 ; US.376 ; US.404 ; US.405 ; US.406 ; US.415 ; US.437	Drain	
F.105	Secteur 2		US.408 ; US.409 ; US.416	Trou de poteau	
F.106	Secteur 1		US.413 ; US.414 ; US.434 ; US.438 ; US.488 ; US.509	Drain	
F.107	Secteur 1		US.425 ; US.426 ; US.505 ; US.506 ; US.510	Drain	
F.108	Secteur 1		US.428 ; US.429	Drain	
F.109	Secteur 2		US.430 ; US.431	Trou de poteau	
F.110	Secteur 2		US.435 ; US.436	Trou de poteau	
F.111	Secteur 1	Ensemble C ; Espace C2	US.465 ; US.466	Canalisation	
F.112	Secteur 1	Ensemble C ; Espace C4 ; Espace C1	US.97 ; US.468 ; US.469	Sablère	

Mutations urbaines à Nasium (Meuse) | Rapport intermédiaire 2023

	Description
	<p>Sablrière d'orientation nord sud localisée dans le prolongement de la sablière F35 dans l'espace K. Caractérisée par une poutre carbonisée (US.335) en partie conservée dans sa longueur, reposant sur un mortier jaune (US.336) et bordée par de larges blocs en calcaire oolithique. Cloisonne l'est de l'espace K et le couloir du bâtiment.</p>
	<p>Mur d'orientation est-ouest constituant le mur méridional de la cave. Il se compose de 4 assises d'élévation en calcaire lithographique de petit appareil et de trois assises de fondation avec ressaut, en petit appareil de calcaire lithographique. L'élévation est conservée sur env. 50 cm de hauteur et la fondation sur 40 cm. L'ensemble est lié par un mortier de chaux blanc. La construction vacille vers l'est. Il forme avec F.93, l'accès (F103) à la cave.</p>
	<p>Mur méridionale formant avec F.92 l'accès à la cave. Constitué en petit appareil de moellons calcaire. La fondation semble être préservée sur un maximum de trois assises (45 cm de hauteur) de dimensions irrégulières (10-15 cm de hauteur pour une longueur comprise entre 20-40cm), équarries, quadrangulaires et taillées dans un calcaire lithographique. La première assises est la plus grossière, faite de blocs bruts. L'élévation est préservée sur 7 assises (103 cm de haut env) en petit appareil. Les moellons sont grossièrement équarris, quadrangulaire et de dimensions variables (10-15 cm de haut pour 15-20 cm de long). Le parement n'est pas harmonieusement aménagé comme c'est le cas de F.41 et F.32. L'ensemble est lié par un mortier de chaux blanc lacunaire.</p>
	<p>Fosse présente au sud ouest du SD.13. Elle coupe F.90.</p>
	<p>Tranchée de fonction indéterminée uniquement observée dans le sondage SD.12 où elle s'ouvre dans le TN US.351. Tranchée de récupération ou drain. Aménagement possiblement contemporain de la tranchée F.89 (secteur 2).</p>
	<p>Radier et sa tranchée d'implantation, uniquement observé dans le sondage SD.12. Annulé car très probable radier massif utilisé pour préparer l'implantation de la fondation maçonnée du mur F5.</p>
	<p>Creusement partiellement observé dans la coupe 17 du sondage SD.12. Il semble s'ouvrir dans l'US.365 mais il est également possible qu'il coupe l'US.364. Cette dernière semble en tout perturbée au dessus de son emprise. La partie visible du creusement présente une forme en cuvette et son comblement est constitué d'une matrice argileuse hétérogène, brune à marron, comportant de nombreux blocs de calcaire lithographique bruts de moyen module (10-20 cm de long). Relation stratigraphique avec F.96 difficile à déterminer. Possiblement coupé par mais il n'est pas exclu que F.97 constitue en fait l'extrémité d'un aménagement antérieur à F.96 et postérieur à F.95. [Correction MR : correspond en fait probablement au début de l'affaissement de l'US.366. Les blocs quant à eux peuvent très vraisemblablement être considérés comme des reliquats du radier du mur F.5.]</p>
	<p>Le fait présente un creusement (US 384) puis comblement (US 385) dans un probable niveau de sol argileux (US 313). Il présente des inclusions de charbons, laissant suggérer qu'il s'agit d'un trou de poteau. Le fait est peut-être contemporain d'autres trous de poteaux (F.88 et F.105) alignés selon un axe Est/Ouest avec un espacement oscillant entre 1,40m et 1,50m. Ces faits ont été mis au jour suite au décapage du radier de la voirie de l'état 1 (F.62, US 312). US.384 (Négative / Creusement) : Creusement dans le possible état de sol argileux (US 313). Il est comblé par un fantôme de poteau (US 394) et une terre argileuse présentant des inclusions de charbons, de céramiques et de restes d'alliages cuprifères (US 385). US.385 (Positive / Comblement) : Terre argileuse de comblement du creusement US 384. Il comporte de inclusions de charbons, céramiques et d'inclusions d'alliages cuprifères. US.394 (Positive / Fantôme de poteau) : Fantôme de poteau carbonisé, constitué d'argile et de charbons. Présence de charbons et de tessons de céramiques ainsi que de nodules de torchis. Le fantôme semble être incliné vers l'est (la coupe nord /sud n'a pas pu le mettre en évidence). Une fibule y est présente.</p>
	<p>Creusement (US.399) destiné à accueillir un poteau désormais réduit à l'état de charbons parcellaires, puis comblement (US.400). US.399 (Négative / Creusement) : Creusement du trou de poteau F.99, venant couper un probable niveau de sol argileux (US.313), puis comblé (US.400) US.400 (Positive / Comblement) : Terre grise argileuse de comblement du trou de poteau F.99. Comporte de petites inclusions d'alliages cuivreux et du charbon en abondance.</p>
	<p>Comblement de la cave espace D, composé du probable résidu de sol ou de sédimentation du vide sanitaire (us.270), du niveau d'abandon (us.269) et des remblais/démolition supérieurs. Correction MR : ajout des US.378 et 420 (comblement escalier). Le fait F.100 est utilisé pour le comblement général de la cave et de son accès.</p>
	<p>Niche agencée sur la 8e assise d'élévation du mur oriental F.32 de la cave. Cet aménagement n'est pas axé au centre de la maçonnerie F.32. L'ensemble de forme quadrangulaire (173x40 cm) possède un coffrage en bois (US.306 et US.401), étudié en deux temps lors des deux phases de fouille de l'espace D. Carbonisées, les planches de bois sont très bien conservées. Elles sont agencées verticalement et horizontalement au sein de la niche et sur ses cotés. Le piédroit nord a été aménagé par un coup de sabre vertical et sans doute lissé par une petite couche de mortier (reliquat visible). La niche d'une profondeur de 24 cm (épaisseur du coffrage carbonisé : 2cm) a été comblé par un remblai US.259.</p>
	<p>Niveau de circulation antérieur à F.20 (espace I) du secteur 1. D'orientation nord sud il se compose d'un cailloutis prit dans une argile jaune. [Correction MR : fait annulé au profit de l'US.463 (égalité US.411)]</p>
	<p>Escalier en coudé, maçonné desservant la cave espace D. Est composé de deux volées de marche, chacune comptant plusieurs blocs en calcaire servant de marche. La première volée se compose d'un minima sept marches dans un espace large entre 80 et 100 cm et sur une longueur de 252 cm observé. La hauteur des marches oscille entre 10-15cm. De forme quadrangulaire, elles sont formées de deux ou plusieurs blocs en calcaire, grossièrement équarris disposés dans un limon brun. Un fort pendage est-ouest fait basculer les marches. Une première marche devait exister en bois (voir reste de charbon). La 5e marche semble avoir été récupérée. La seconde partie de l'escalier semble avoir été en grande partie récupérée. Ce palier d'une longueur de 154cm sur 110cm de largeur n'a conservé que deux marches agencées avec 2 à 4 blocs calcaire, équarris. La longueur linéaire de l'escalier est de 413 cm. Le Z sup de la première marche : 261,65 m NGF, Z inf de la dernière marche : 260,48 m NGF, Z du palier : 260,51 m NGF US.407 (Construite / Marche) : Blocs de calcaire agencés de sorte à formé des marches quadrangulaire dans l'escalier à deux volés menant à l'espace D. Au moins 8 marches sont observables. La plupart sont constituées de blocs équarris (réemploi de moellons?) agencés horizontalement afin de formé une marche quadrangulaire d'une largeur variant entre 69 et 91 cm. La marche n4 dans l'axe de INV.1465, est composé de deux larges blocs, irréguliers détonnant avec le reste de l'aménagement. Le palier et la seconde volée ont été en majorité récupéré. Il ne reste que deux marches.</p>
	<p>Canalisation maçonnée d'orientation est ouest observée dans le SD.29 du secteur 1. Est caractérisée par deux piédroits constitués de blocs calcaires alignés sans mortier et d'une couverture en blocs calcaires équarris.</p>
	<p>Trou de poteau présent dans le paléosol de l'espace F composé d'un creusement (US.408) destiné à accueillir un poteau observé en fantôme dans la coupe (US.409). Ce trou de poteau est aligné avec les trous de poteau F.88 et F.98 suivant un axe Est-Ouest avec un espacement d'environ 1m40 et sont peut-être contemporains. US.408 (Négative / Creusement) : Creusement circulaire en cuvette du trou de poteau F.105 dans le paléosol US.313. US.409 (Positive / Fantôme de poteau) : Fantôme du poteau ayant été accueilli par F.105. Se compose d'un argile brun noir avec de très nombreux charbons, des morceaux de torchis et de faune fragmentée. US.416 (Positive / Comblement) : Comblement du trou de poteau F.105 composé d'argileux similaire à l'encaissant (US.313) et d'inclusions de charbon.</p>
	<p>Canalisation maçonnée d'orientation est ouest observée dans le SD29 du secteur 1. Elle est constituée de deux piédroits en blocs calcaires équarris non liés par du mortier. Quelques dalles de couverture sont préservées. Remplit par un unique comblement limono argileux brun.</p>
	<p>Canalisation maçonnée observée dans la coupe nord CP 38 du SD24 du secteur 1. Les piédroits ainsi que la couverture semble préservé en plan. Le comblement de la tranchée d'implantation recouvre la canalisation. Possiblement la même canalisation que F108.</p>
	<p>Canalisation d'orientation nord-ouest sud-est observée dans la coupe sud Cp40 du SD.24. Ensemble maçonné sans mortier visible composé de deux piédroits et potentiellement de couverture. Cheminement en plan non perceptible pour le moment. Même canalisation que F.107? Il semble que le fond de la canalisation n'est pas dallée.</p>
	<p>Anomalie présente dans la coupe nord-ouest sud-est du sondage 16, comprise entre le paléosol argileux (US. 313) et le comblement de l'US. 421. Il pourrait s'agir d'un trou de poteau ou d'une bioturbation. S'il s'agit d'un trou de poteau, il formerait un alignement cohérent avec le trou de poteau F.99. Sur la coupe 43 du sondage 16, on peut aussi noter l'alignement qu'il semble y avoir entre le trou de poteau F. 88 et F. 109.</p>
	<p>TP partiellement observé dans le sondage SD.14. US.435 (Négative / Creusement) : Creusement du TP.F.110 visible dans la CP.33. Son plan et son profil sont indéterminés. TP arasé par le creusement accueillant le cailloutis US.388. Localisé dans l'angle NE du SD.14. US.436 (Positive / Comblement) : Comblement charbonneux du TP.110</p>
	<p>Canalisation d'axe est-ouest localisée au sud de la cave et creusée dans le substrat US.323. Son plan linéaire suit le tracé du mur F.93 sur au moins 155 cm, il est néanmoins possible qu'elle se poursuive encore sur une dizaine de cm jusqu'au mur occidental de la cave. Vient dans la continuité de la canalisation F86 d'axe nord-sud. [Correction MR : les US de comblement des trois canalisation (= abandon) sont équivalentes.]</p>
	<p>Sablrière d'orientation est ouest soutenant le plancher F.43. Est caractérisée par un creusement en cuvette sur lequel s'appuie un solin de blocs calcaires permettant l'installation d'une poutre Us.97. Cette dernière a en partie été prélevée en 2020 puis en 2021.</p>

Mutations urbaines à Nasium (Meuse) | Rapport intermédiaire 2023

N° fait	Secteur	Ensembles	Liste des US	Identification	
F.113	Secteur 1		US.487	Annulé	
F.114	Secteur 2		US.403 ; US.491	Drain	
F.115	Secteur 1	Ensemble C ; Espace C7 ; Espace C8	US.497 ; US.498	Tranchée	
F.116	Secteur 1			Annulé	
F.117	Secteur 1	Ensemble C ; Espace C2	US.226 ; US.227	Cave	
F.118	Secteur 2	Espace A1 ; Espace A2 ; Ensemble A	US.49 ; US.109 ; US.110 ; US.111 ; US.137 ; US.152	Remblaiement	
F.119	Secteur 2		US.313 ; US.412 ; US.449 ; US.476	Sol	
F.120	Secteur 1		US.381 ; US.382 ; US.387 ; US.392 ; US.445 ; US.450 ; US.453	Remblaiement	
F.121	Secteur 1		US.271 ; US.283 ; US.284 ; US.330 ; US.331 ; US.361 ; US.370 ; US.373 ; US.374 ; US.377 ; US.417 ; US.427 ; US.464 ; US.467	Remblaiement	
F.122	Secteur 1		US.326 ; US.363 ; US.372	Sol	
F.123	Secteur 1		US.365 ; US.366	Remblaiement	
F.124	Secteur 1	Ensemble C ; Espace C5 ; Espace C1 ; Espace C4 ; Espace C6	US.65 ; US.135 ; US.294 ; US.324 ; US.454 ; US.481	Niveau de circulation	
F.125	Secteur 1		US.29 ; US.37 ; US.46 ; US.126 ; US.148 ; US.295 ; US.325 ; US.343 ; US.379 ; US.432 ; US.442 ; US.482 ; US.496	Démolition	
F.126	Secteur 0		US.322 ; US.323 ; US.351 ; US.354 ; US.451 ; US.459	Terrain naturel	
F.127	Secteur 1		US.455 ; US.456 ; US.473 ; US.480	Remblaiement	
F.128	Secteur 1	Ensemble C ; Espace C7	US.281 ; US.282 ; US.368	Sol	
F.129	Secteur 1	Ensemble C	US.91 ; US.122 ; US.124 ; US.174 ; US.201 ; US.208 ; US.210 ; US.214	Remblaiement	
F.130	Secteur 1		US.10 ; US.17 ; US.22 ; US.34 ; US.41 ; US.42 ; US.64 ; US.125 ; US.203 ; US.239	Remblaiement	
F.131	Secteur 1	Ensemble C ; Espace C7	US.134 ; US.146 ; US.150	Annulé	
F.132	Secteur 1		US.47 ; US.112 ; US.179	Remblaiement	
F.133	Secteur 2	Ensemble C	US.114 ; US.234 ; US.236 ; US.277 ; US.345 ; US.350	Remblaiement	
F.134	Secteur 1			Drain	
F.135	Secteur 1	Ensemble C ; Espace C8	US.45 ; US.66	Seuil ?	

Mutations urbaines à Nasium (Meuse) | Rapport intermédiaire 2023

Description
<p>Creusement coupant les premiers niveaux de remblais du bâtiment et venant s'implanter sur un vaste espace entre le bâtiment et la bande piétonne. Aménagement non caractérisé mais pouvant être associé à l'implantation d'une première voie (chemin creux ?).</p> <p>US.445 (Positive / Remblai) : Argile limoneuse jaune compacte, avec nombreux microcharbons. Appartient avec les US446, US447 et US448 à une même séquence de remblai = regrouper au sein de l'us.445.</p> <p style="padding-left: 40px;">US.450 (Positive / Remblai ?) : Limon argilo sableux verdâtre, très rares charbons et graviers, texture friable</p> <p style="padding-left: 40px;">US.453 (Positive / Remblai) : Remblai caractérisé par une argile compacte, homogène, rouge avec de rares charbons.</p> <p>US.487 (Négative / Creusement) : Creusement en auge venant s'implanter entre la bande piétonne du secteur 2 et le bâtiment du secteur 1. Identifié en PF, son plan n'a pu être caractérisé. Coupe le TN US.451 et un premier état de remblai US.449 sur 0.79 m. La profondeur totale n'a pu être observée sur sa totalité en raison d'un important pendage N-S. Semble accueillir le premier état de la voie.</p>
<p>Drain constitué de pierres calcaire, de forme linéaire rectiligne orienté NO-SE. Il recoupe le niveau de sol potentiel [US.363].</p>
<p>Tranchée de sablière d'orientation N-S observée dans la CP38 lors du dégagement du sondage mécanique SD24. Constitue le prolongement de F35 (246 cm env de distance entre les deux).</p>
<p>Mur antérieur à F5 [CREATION POSTFOUILLE : Modifier la doc en conséquence]</p>
<p>Cave maçonnée et son accès (escalier en L).</p>
<p>Séquence de remblaiement de l'ensemble A.</p>
<p style="text-align: center;">Niveaux de circulations antérieurs à la voie et vraisemblablement formés par pédogénéisation.</p> <p>US.313 (Positive / Niveau de sol ?) : Niveau d'argile limoneuse olive chamarré de gris. Paléosol antérieur à la voie ? Observation en coupe dans sondage de la voie (SD.16) et fouillé en partie en plan dans le sondage SD.45. Sert d'encaissant à plusieurs trous de poteau (F.88, 98, 99 et 105).</p> <p style="padding-left: 40px;">Zsup SD.45 = 261,58 m. / Zinf SD.45 = NR</p> <p style="padding-left: 40px;">Zsup SD.16 = 261,60 m. / Zinf SD.16 = 260,40 m</p> <p>US.412 (Positive / Niveau de préparation ?) : Niveau d'argile limoneux jaune compact et homogène.</p> <p style="padding-left: 40px;">Probablement le niveau de préparation du niveau de circulation US. 388.</p> <p style="padding-left: 40px;">Très affaissé, il n'est que partiellement recouvert par l'US. 388.</p> <p style="padding-left: 40px;">[Correction MR : correspond stratigraphiquement à l'US.313 : niveau pédogénisé servant d'encaissant pour les TP précoces].</p> <p>US.449 (Positive / Remblai) : Argile limoneuse brune panachée de jaune, compacte, hétérogène, très rare gravillons, charbons peu nombreux. Localisée aux angles des SD.29 et SD.30, elle semble être coupé par un important creusement US 487 traversant une partie du bâtiment et de la bande piétonne de la voie.</p> <p style="padding-left: 40px;">[Correction MR : équivalent US.313]</p> <p>US.476 (Positive / Sol ?) : Argile marron, induré et homogène avec inclusions de blocs de calcaire brut de module décimétrique. Charbons absents. Présence importante de ferromanganèse.</p> <p style="padding-left: 40px;">Possible paléosol (présence de mobilier posé à plat) observé sur la quasi totalité du fond du sondage 24.</p>
<p>Séquence de remblaiement intermédiaire observée entre les niveaux de circulation US.342/388 et US.366/372/363, très probablement destinée à niveller la dépression causée par l'affaissement du terrain naturel (initialement interprété comme F.113 / chemin creux).</p>
<p>Séquence de remblaiement massive déposée consécutivement au réseau de drainage et antérieurement à l'installation des premiers états maçonnés, initialement observée dans les sondages SD.29 et SD.30 (est de l'emprise de fouille). Sa présence n'est potentiellement pas systématique dans l'emprise de l'ensemble C et il est possible qu'elle soit en réalité restreinte à certains secteurs dont l'affaissement important a nécessité un nivellement supplémentaire avant l'installation de F.124 (premier horizons de circulations de l'ensemble C).</p>
<p>Ensemble de niveaux de sol/circulation immédiatement postérieurs au comblement de F.113 (possible chemin creux). Ces niveaux correspondent à l'horizon d'occupation associé aux aménagements hydrauliques F.114, F.104 et F.106.</p>
<p>Séquence de remblaiement comprise entre les US.351 (substrat ou équivalent du paléosol ?) et 364 (niveau de sol/circulation très probablement équivalent à F.122) et observée dans la coupe CP.17 du sondage SD.12 (angle sud-est de l'emprise). Sans doute équivalente à F.120.</p>
<p>Apport sédimentaire immédiatement consécutif à la séquence de remblaiement F.121 et vraisemblablement déposé sur la quasi totalité de l'emprise de l'ensemble C (bâtiment de type maison longue). Il semble systématiquement constitué d'un épais niveau d'argile jaune riche en inclusions de mortier. Dans certains pièces, sa surface constitue le niveau de circulation tandis que dans d'autres (couloir et pièce de façade), il reçoit un revêtement de sol (sol maçonné ou plancher) et se voit donc attribuer une fonction de niveau de préparation.</p>
<p>Horizon de démolition du premier état de bâti observé dans l'emprise. Il concerne a priori uniquement le bâtiment C, bien que la question de son équivalence avec F.56 (bâtiment A) se pose et ne pourra être résolue qu'en fonction des résultats des différentes études, notamment céramologique.</p>
<p>Regroupement des niveaux non anthropisés.</p>
<p>Séquence de remblaiement immédiatement postérieure à l'horizon de démolition US.393/367/471 observé dans le sondage SD.24.</p>
<p>Fait regroupant les niveaux de circulations (et leurs recharges) associés à l'espace ESP.C7 et faisant office d'encaissant du premier foyer (F.80). Les US.281 et 282 constituent potentiellement un revêtement particulier aux abords immédiats de ce dernier.</p>
<p>Séquence de remblaiement immédiatement postérieure au premier incendie du bâtiment ENS.C. Elle semble destinée à niveller la partie méridionale du couloir ainsi que l'ensemble de la pièce de façade à plancher. Elle constitue potentiellement une forme de préparation destinée à recevoir le niveau de circulation US.121.</p>
<p style="text-align: center;">Séquence de remblaiement consécutive au second incendie du bâtiment. Est principalement incarnée par l'US.41.</p> <p style="padding-left: 40px;">À noter la présence dans ce fait de l'épandage de dalles de lauze fragmentées et carbonisées (potentielle toiture effondrée) US.239.</p> <p style="padding-left: 40px;">Note : F.132 constitue en fait une probable équivalence à F.130</p>
<p>Recharge du sol F.128 correspondant à l'installation du second foyer F.34. L'US.146, initialement créée pour décrire les abords immédiats du foyer, correspond sans doute à son niveau de fonctionnement.</p> <p style="text-align: center;">[Correction MR : US.146 et 134 sont égales et correspondent en fait à l'incendie état 3. US.150 est plutôt l'encaissant du four F.34. Fait non pertinent à annuler.]</p>
<p>Séquence de remblaiement propre à l'emprise de la cave et de son accès. Elle semble correspondre à une entreprise de nivellement postérieure au second incendie du bâtiment et potentiellement immédiatement antérieure à F.130.</p> <p style="padding-left: 40px;">Observation MR : chronologie relative difficile à distinguer. Peut également correspondre à une égalité/équivalence avec la séquence de remblaiement F.100. À voir après étude céramo.</p> <p style="padding-left: 40px;">Observation MR : Semble constituer une séquence de remblaiement distincte de F.100 (mais sans doute liée à l'affaissement de ce dernier).</p>
<p>Séquence de remblaiement contemporaine de F.130 observée dans l'emprise de l'ensemble ENS.D. L'US.203, vraisemblablement commune aux deux faits (F.130 et F.133) paraît confirmer leur équivalence.</p>
<p>Probable drain venant se connecter à F.107 au niveau de la coupe CP.40 du sondage SD.38. [Création post-fouille]</p>
<p>Possible seuil constitué de deux blocs calcaire (US.45 et US.66). La probable crapaudine mise à jour entre les deux blocs semble confirmer cette interprétation.</p>

9.2. Inventaire des US

N° US	Fait	Ensembles	Type	Identification	Description
US.1			Positive	Terre végétale	Terre végétale brune homogène, meuble et sans présence de charbons.
US.2			Positive	Recouvrement	Niveau limoneux brun, légèrement argileux, compact et homogène. Observé uniquement dans l'emprise des espaces B et C, notamment dans la partie sud. Il semble se pincer au niveau de la voie, où il disparaît complètement. Il comporte un nombre important de pierres en calcaire gélif de petite (0 à 5 cm de long) et moyenne (5 à 15 cm) taille. Une partie de ces dernières paraissent organisées de manière linéaire, ce qui trahit possiblement la présence de deux couches de colluvionement distinctes.
US.3			Technique	Nettoyage	Ancien niveau de démolition associé à F1 et transformé en US technique suite à l'annulation de ce dernier. Son emprise correspond à celles de F14 et F6.
US.4			Technique	Nettoyage	Niveau regroupant le mobilier issu du décapage mécanique et du nettoyage manuel de l'espace C.
US.5			Technique	Nettoyage	Niveau regroupant le mobilier issu du décapage mécanique et manuel de la voie et de l'espace A.
US.6			Technique	Nettoyage	Niveau regroupant le mobilier issu du décapage mécanique et du nettoyage manuel de l'espace B.
US.7			Technique	Annulé	US technique regroupant le mobilier issu du décapage mécanique et du nettoyage manuel de la partie nord de la venelle (entre le possible sol maçonné et la berme sud).
US.8			Technique	Nettoyage	Niveau regroupant le mobilier issu du nettoyage manuel de la voie (espace véhicule et espace piéton)
US.9			Technique	Nettoyage	Niveau regroupant le mobilier issu du nettoyage manuel de l'espace A.
US.10	F.130		Positive	Remblai	Niveau argilo-limoneux brun-noir, meuble et hétérogène, associé à de nombreuses inclusions de charbons et de fragment de dalles de lauze. Sauf exceptions, ces dernières sont très fragmentées et disposées sans organisation apparente, ce qui pourrait indiquer qu'il s'agit de matériaux de démolition en position secondaire. Présence de torchis.
US.11	F.4	Ensemble A ; Ensemble B ; Espace A1 ; Espace A2	Construite	Élévation	Maçonnerie orientée sud-ouest/nord-est en élévation F4, orientée sud-ouest/nord-est et composée d'assises de moellons en calcaire lithographique liés par un mortier de chaux blanc-jaune, compact avec des graviers dans le mortier. Elle est parallèle à la voirie dont elle constitue la limite septentrionale.
US.12	F.3	Espace B4 ; Ensemble B	Construite	Parement	Parement en calcaire lithographique d'un puits coupant la voie (F2). Absence de mortier mais légères inclusions de chaux : monté en pierre sèche.
US.13			Positive	Colluvion	Niveau limono-sableux gris avec une présence de cailloux (6 à 12 c) occasionnelle. Interface entre la terre végétale et les niveaux archéologiques, principalement observée dans la partie ouest du secteur 2, constituée de matériaux de démolition issus des niveaux de voirie récents non conservés. [Correction MR : ajout équivalence US.14]
US.14			Positive	Colluvion	Niveau limoneux marron apparaissant au nord du mur MR 4 et se déployant jusqu'à la limite nord de l'emprise. Principal constituant du recouvrement de la partie septentrionale de l'emprise.
US.15	F.3	Espace B4 ; Ensemble B	Positive	Comblement	Terre brune foncée compacte avec de nombreux cailloutis et quelques blocs de calcaire lithographique. Inclusion de rares charbons et présence de plusieurs dalles sciées et quelques morceaux de TCA. (Traces de démolition du bâtiment [esp. A] ?).
US.16	F.27	Ensemble B ; Espace B7	Positive	Bande de roulement ?	Niveau induré de petits modules de pierres savonnière et de pierres calcaires. Niveau lacunaire de circulation (bande piétonne ?) le plus récent ? [correction MR : très probable équivalence ou recharge de l'US.19]
US.17	F.130		Positive	Remblai	Niveau constitué de nombreux matériaux de démolition (fragments de dalles sciées, blocs calcaire bruts ou équarris, fragments de mortier, fragments de TCA,...) pris dans une matrice limoneuse brune. Il a été observé entre F11 et la limite ouest de l'emprise et se développe jusqu'à la limite sud du secteur 1 de l'emprise. Recouvre l'US 22 à l'ouest et le niveau de cailloutis US 19 à l'ouest du pilier F11. Au niveau de la coupe sud-ouest du secteur 2, elle repose à même les niveaux de remblais de l'état 2b (us.22) et s'appuie contre la colonne F.25 (état 2c). Description des éléments architecturaux : Présence de fragments de blocs de mortier de tuileau de gros nodules (10 cm de long sur 5 cm d'épaisseur). Mortier de chaux friable rose avec des inclusions millimétriques à centimétriques de TCA. Présence de divers éléments architecturaux en calcaire oolithique (tuiles, moellons,...).
US.18	F.3	Espace B4 ; Ensemble B	Positive	Comblement	Niveau brun, argilo-limoneux, présentant quelques inclusions de cailloutis ainsi que quelques poches de charbon. On relève également la présence de quelques dalles sciées et de morceaux de TCA. (L'US n'a été observée que sur 75cm pour des raisons de sécurité.) Un prélèvement carpologique a été effectué au fond du puit.

Mutations urbaines à *Nasium* (Meuse) | Rapport intermédiaire 2023

	Sous	Égale/équivalente	Sur	Mobilier	
			Sur F.15 ; Sur F.2 ; Sur F.8 ; Sur F.9 ; Sur US.13 ; Sur US.176 ; Sur US.2 ; Sur US.26 ; Sur US.28 ; Sur US.5 ; Sur US.50 ; Sur US.7		
	Sous US.1		Sur F.10 ; Sur F.12 ; Sur F.13 ; Sur F.14 ; Sur F.17 ; Sur F.21 ; Sur F.23 ; Sur F.25 ; Sur F.31 ; Sur F.40 ; Sur F.58 ; Sur F.66 ; Sur F.7 ; Sur F.70 ; Sur F.75 ; Sur F.84 ; Sur US.116 ; Sur US.176 ; Sur US.178 ; Sur US.198 ; Sur US.20 ; Sur US.236 ; Sur US.238 ; Sur US.255 ; Sur US.3 ; Sur US.30 ; Sur US.31 ; Sur US.34 ; Sur US.397 ; Sur US.4 ; Sur US.41 ; Sur US.45 ; Sur US.52 ; Sur US.525 ; Sur US.55 ; Sur US.59 ; Sur US.6 ; Sur US.90		Annulé ; Verre
	Sous US.2	Équivalente à US.4		Céramique ; Faune ; Fer ; Lithique ; Terre crue ; Terre cuite ; Verre	
	Sous US.2	Équivalente à US.3		Alliage cuivreux ; Céramique ; Enduits peints ; Faune ; Fer ; Lithique ; Plomb ; Terre crue ; Terre cuite ; Verre	
	Sous US.1		Sur US.8 ; Sur US.9	Céramique ; Faune ; Fer ; Lithique ; Verre	
	Sous US.2		Sur F.21 ; Sur F.40	Céramique ; Faune ; Fer	
	Sous US.1				
	Sous US.5		Sur US.29	Alliage cuivreux ; Céramique ; Faune ; Fer ; Verre	
	Sous US.5				
	Coupée par US.38	Égale à US.17	Sur US.46	Alliage cuivreux ; Céramique ; Enduits peints ; Faune ; Fer ; Lapidaire ; Matière dure animale ; Terre crue ; Terre cuite ; Verre	
	Sert d'appui à US.132 ; Sert d'appui à US.153 ; Sert d'appui à US.155 ; Sert d'appui à US.173 ; Sous US.397	Chainée avec US.156	Sur US.204		
	Sous US.14		Coupe F.2 ; Sur US.43		
	Sous US.1	Égale à US.14	Sur F.3 ; Sur US.14		
	Sous US.13	Égale à US.13	Sur F.118 ; Sur F.15 ; Sur F.37 ; Sur F.39 ; Sur F.4 ; Sur US.11 ; Sur US.12 ; Sur US.156 ; Sur US.49		
	Sous US.44		Sur US.18	Alliage cuivreux ; Céramique ; Faune ; Fer ; Verre	
	Sous US.17		Sur US.19		
	Coupée par F.58 ; Coupée par US.175 ; Coupée par US.21 ; Coupée par US.25 ; Coupée par US.27 ; Coupée par US.58 ; Sous F.17 ; Sous US.31 ; Sous US.52	Égale à US.10 ; Égale à US.41	Sur F.11 ; Sur US.16 ; Sur US.22 ; Sur US.37	Alliage cuivreux ; Annulé ; Céramique ; Faune ; Fer ; Lapidaire ; Terre crue	
	Sous US.15		Sur US.44	Alliage cuivreux ; Céramique ; Faune ; Fer ; Lithique ; Verre	

Mutations urbaines à Nasium (Meuse) | Rapport intermédiaire 2023

N° US	Fait	Ensembles	Type	Identification	Description
US.19	F.27	Ensemble B ; Espace B7	Positive	Bande de roulement	Niveau de circulation le plus récent observé. Visible au niveau de la base F11 et se déployant au sud vers le secteur 1. Pendage vers le sud observé. Recouvert par US 29. Au sud, le niveau de circulation est conservé jusqu'à 2.25m au nord de la berne E/O. A partir de 3.90m au nord de la berne E/O, le niveau de circulation repose sur l'US 51, qui s'étend vers le Sud et le niveau de circulation de l'état antérieur. Il est composé d'un cailloutis damé dans un limon gris compact. Les pierres sont faiblement émoussées (niveau de voie peu fréquenté). Il recouvre le radier/fosse de récupération de la colonne (F29) (?). Le niveau de circulation carrossable est associé à une bande piétonne US.16 observée de manière lacunaire autour de la colonne F.11. Etat tardif, recouvert par la démolition F.125, correspondant au dernier état, contemporain de l'état 1 de l'ensemble ENS.C. Ce même niveau de circulation a été observé au nord est de la colonne (F29) : 2m x 1.80 m.
US.20	F.7		Positive	Comblement	Comblement de la fosse F17. Couche compacte de blocs et de limon marron légèrement argileux. Relativement pauvre en mobilier. Le comblement contenait également quelques dalles sciées incendiées. Des inclusions éparses de TCA sont également présentes.
US.21	F.7		Négative	Creusement	Creusement de la fosse F7 de forme circulaire sur la partie visible. Creusement coupé par la coupe est de l'emprise.
US.22	F.130		Positive	Remblai ?	Niveau limoneux brun-gris, compact et homogène, associé à de nombreuses inclusions de cailloux de petit module (1-5 cm de long) et de torchis. Possible niveau de démolition d'un aménagement en matériau périssable ou remblai chargé en matériaux de démolition ? Il a été observé dans le sud du secteur 2 et dans l'espace E. [Correction MR : anciennement F6, rattachée au fait F.125] [Correction MR2 : l'US.22 correspond potentiellement à l'élévation effondrée du mur F.41] [Correction MR3 : la datation céramique (basée sur 8 individus) situe cette couche au IIIe siècle + présence d'un mobilier conséquent et diversifié qui semble exclure l'interprétation de démolition en place : passage du F.125 au F.130 ; passage de «niveau de démolition» à «remblai» mais dans sa description doit souligner cette concentration ponctuelle de torchis rubéfié qui pourrait correspondre à la démolition d'une élévation en matériaux périssables de l'état 2 ou de l'état 3]
US.23	F.5	Ensemble D	Construite	Élévation	Élévation du mur F.5 constitué d'un minimum de deux assises (observables). Celles-ci sont assemblées avec des moellons de calcaire lithographique équarris, quadrangulaires et entre 15-20 cm de longueur. Ils sont scellés par un mortier de chaux blanc/gris duré comportant des nodules de chaux millimétriques. Un tesson de céramique a également été pris dans le mortier des assises supérieures. Le mur est partiellement détruit et arasé. Une seule assise est préservée dans la partie septentrionale, pour deux assises dans la partie méridionale.
US.24	F.5	Ensemble D	Construite	Radier	Radier de fondation du mur F.5. La largeur du radier n'est observable que du côté ouest du mur. Il est constitué de blocs de calcaire lithographique bruts et irréguliers (5-20 cm). On note également la présence de quelques rares fragments de lauze, équarris et régulier. Aucun mortier n'est visible. L'extrémité sud du radier a été démonté afin de compléter les données sur la fondation de la maçonnerie.
US.25	F.8	Ensemble B	Négative	Creusement	Creusement de fosse à plan plus ou moins ovalaire et profil en cuvette. Le creusement traverse le niveau de démolition (US 17, F6).
US.26	F.8	Ensemble B	Positive	Comblement	Comblement supérieur de la fosse F8 composé de limon gris compact avec des inclusions de cailloux calcaire (6 à 12cm) anguleux pour certains et émoussés pour d'autres. Présence rare de torchis dans la limite inférieure de l'US. Comblement présentant des niveaux de voirie traversés par la fosse.
US.27	F.9		Négative	Creusement	Creusement au plan linéaire rectiligne et au profil en cuvette. Il traverse la voie F2 et l'US 50. Il apparaît sous la terre végétale.
US.28	F.9		Positive	Comblement	Comblement du creusement de charrue F9. Se compose de blocs calcaires et de limon marron compact. Quelques plaques de pierres de savonnière concassée et agglomérées avec du mortier (correspond possiblement à un état de la charrue). Traces de torchis au fond du creusement F9, correspond possiblement à l'US 22 qui passerait sous l'US 19 perforée par F9. Au fond du creusement, on trouve aussi des pierres émoussées qui correspondraient peut-être à un état de la voie antérieure à l'US 19. Situé sous la terre végétale (US 1). Composé de cailloux émoussés détachés par la charrue.
US.29	F.125		Positive	Niveau d'incendie	Niveau limoneux noir, compact et homogène, très charbonneux. A l'ouest, le niveau de démolition du torchis (US 22) recouvre l'US 29. A l'est et au sud-ouest, elle est recouverte par la démolition de la toiture US 17. La couche suit un pendage sud-nord en direction du secteur 1.
US.30	F.13		Construite	Radier	Radier en hérisson constitué de blocs de calcaire lithographique bruts ou grossièrement équarris, de gros module (entre 15 et 80 cm de long), disposés en hérisson et pris dans une matrice limoneuse grise foncée. Pas de mortier. Le radier a été évidé sur 135 cm de longueur dans le sondage 4.
US.31	F.10	Ensemble B	Positive	Niveau de circulation	Niveau lacunaire, probablement de circulation composé de petits cailloutis émoussés liés par un mortier de chaux blanc-gris. Niveau conservé au nord du mur F.5 sur 50 x 30 cm.
US.32	F.8	Ensemble B	Positive	Comblement	Niveau inférieur du comblement de la fosse F8. Il se compose d'un limon argileux avec des blocs calcaires anguleux. Niveau de démolition par le creusement de la fosse et suivi du comblement. Sédiment noir et charbonneux avec des rares inclusions de torchis
US.33	F.8	Ensemble B	Positive	Comblement	Comblement intermédiaire de la fosse F8 constitué de blocs calcaires jaunes (10 à 20 cm et plus) dans un limon argileux jaune. Des dalles sciées sont également présentes. Comblement avec un niveau de démolition + géol (?) traversé par le creusement de la fosse.

Mutations urbaines à *Nasium* (Meuse) | Rapport intermédiaire 2023

	Sous	Égale/équivalente	Sur	Mobilier
	Coupée par F.71 ; Coupée par F.72 ; Coupée par F.73 ; Coupée par US.228 ; Coupée par US.237 ; Coupée par US.244 ; Coupée par US.246 ; Coupée par US.248 ; Coupée par US.254 ; Coupée par US.27 ; Sous US.16 ; Sous US.29 ; Sous US.50		Sur US.247 ; Sur US.51 ; Sur US.79	Céramique ; Faune ; Fer
	Sous US.2		Sur US.21	Céramique ; Fer
	Sous US.20		Coupe US.17 ; Coupe US.221	
	Sous US.17 ; Sous US.45		Sur US.29 ; Sur US.46	Alliage cuivreux ; Céramique ; Faune ; Fer ; Ladaire ; Lithique ; Terre crue
	Coupée par US.117 ; Sert d'appui à US.61		Sur US.39	
	Sous US.39 ; Sous US.57	Chaînée avec US.221 ; Égale à US.252 ; Équivalente à US.347	Sur US.38	Céramique ; Faune ; Fer ; Terre cuite
	Sous US.32		Coupe US.17	
	Sous US.1		Sur US.33	Céramique ; Faune ; Fer ; Terre crue ; Verre
	Sous US.28		Coupe US.17 ; Coupe US.19 ; Coupe US.50 ; Coupe US.51 ; Coupe US.79	
	Sous US.1		Sur US.27	Alliage cuivreux ; Céramique ; Faune ; Fer ; Plomb
	Sous US.22 ; Sous US.37 ; Sous US.56 ; Sous US.64 ; Sous US.8	Égale à US.46	Sur F.29 ; Sur F.69 ; Sur F.71 ; Sur F.72 ; Sur US.100 ; Sur US.19 ; Sur US.229 ; Sur US.245 ; Sur US.249 ; Sur US.35 ; Sur US.36 ; Sur US.97	Alliage cuivreux ; Céramique ; Enduits peints ; Faune ; Fer ; Matériaux de construction ; Terre crue ; Terre cuite architecturale ; Verre
	Sous US.2		Coupe F.130	Alliage cuivreux ; Céramique ; Faune ; Fer ; Terre crue ; Terre cuite
	Sous US.2	Équivalente à US.52	Sur US.17	
	Sous US.33		Sur US.25	Céramique ; Faune ; Fer
	Sous US.26		Sur US.32	Céramique ; Faune ; Fer

Mutations urbaines à Nasium (Meuse) | Rapport intermédiaire 2023

N° US	Fait	Ensembles	Type	Identification	Description
US.34	F.130		Positive	Remblai	Remblai hétérogène très chargé en éléments de démolition. Il est constitué d'un niveau limoneux, meuble, homogène, marron associé à de nombreux cailloux, dalles sciées calcinées (variation de couleur entre le bleu, le jaune et le rose) et des inclusions de torchis et de charbons. On notera également la présence de fragments de modules de mortier centimétriques à décimétriques d'au moins deux types différents: Un mortier légèrement rosé/jaune, très friable, peu dense et comportant de nombreuses inclusions millimétriques de nodules de chaux. Un second mortier, blanc, compact, comportant des inclusions millimétriques de charbons et de gravier. Présence d'éléments issus de la démolition d'éléments en matériaux périssables (torchis, terre crue cuite). Le mobilier était présent en grande quantité.
US.35	F.11	Ensemble B ; Espace B7 ; Espace B8	Construite	Colonne	Bloc de calcaire oolithique équarri, de forme quadrangulaire. Localisé entre l'espace de voirie et l'espace de la ruelle. Deux angles ont subi une cassure. Cette base de colonne était recouverte par un enduit (US 36) en place lors de la fouille. Une photogrammétrie de la base a été réalisée avant le prélèvement des enduits.
US.36	F.11	Ensemble B ; Espace B7 ; Espace B8	Construite	Enduit	Plaque d'enduit verticale composée d'un mortier de chaux blanc, appliqué contre la colonne (US 35). Ces enduits blancs ont été photographiés et prélevés.
US.37	F.125		Positive	Niveau de démolition	Limon gris, compact hétérogène comportant de nombreuses inclusions de mortier de chaux et des fragments d'enduits. Ce niveau s'appuie en partie contre la colonne US 35 sur laquelle résidait une plaque d'enduit (US 36). Les enduits de l'US 37 sont les reliquats de l'enduit qui devait recouvrir l'entièreté de la colonne. [Observation MR : Niveau peut être plutôt à rattacher à F. 125 (au lieu de F.11)]
US.38	F.5	Ensemble D	Négative	Tranchée de fondation	Creusement de la tranchée de fondation (US.38) du mur F.5. Possède une forme linéaire rectiligne. Le profil observable correspond à une forme en cuvette.
US.39	F.5	Ensemble D	Construite	Fondation	Assise de fondation du mur F.5, située entre le radier de fondation (US.24) et son élévation (US.23). Se compose de blocs taillés en calcaire lithographique et de moellons en calcaire lithographique, équarris, rectangulaires et de taille variable (15-60 cm). Du mortier de chaux blanc dans lequel se loge des rares nodules de chaux millimétriques est observable.
US.40	F.12		Négative	Annulé	Creusement de F12, comblé par le remblai (US 34). Le creusement est de forme irrégulière en plan, l'emprise de fouille empêche de connaître ses limites exactes. Son profil se dessine en cuvette sur la coupe ouest du secteur D.
US.41	F.130		Positive	Remblai	Remblai cendreuse caractérisé par un sédiment limoneux et argileux hétérogène noir et meuble avec une forte concentration de charbon. Il est composé de matériaux de démolition. Présence de nombreux éléments d'architecture dont des fragments de mortier de tuileau de gros modules; des fragments de mortier de chaux rose, friable avec des inclusions millimétriques à centimétriques de TCA, des inclusions de graviers et de nodules de chaux; des fragments d'enduits peints (face peinte rouge, jaune) liés par un mortier de chaux blanc/jaune, compact avec des inclusions de gravier; du lapidaire en calcaire oolithique (dont le lot INV.353). Des fragments de torchis (0-5 cm) ont également été observés. La démolition recouvre l'intégralité du secteur 1.
US.42	F.130		Positive	Niveau de démolition	Probable niveau de démolition constitué d'un sédiment limoneux compact avec des inclusions de charbons, de mortier et de torchis. Initialement créé pour caractériser le recouvrement de F.33 (creusement annulé)
US.43	F.3	Espace B4 ; Ensemble B	Négative	Creusement	Fosse d'implantation de forme circulaire s'appuyant contre le mur MR 4. Sa forme est légèrement aplaniée au niveau de F4. Cette fosse coupe la voie F2. La relation stratigraphique entre un niveau de voirie précis et la fosse d'implantation du puit est pour l'instant impossible à établir en raison de l'arasement de la voie.
US.44	F.3	Espace B4 ; Ensemble B	Positive	Comblement	Comblement de la fosse d'implantation de F3. Se constitue de blocs calcaire entre L 20-10 et l entre 5-10 cm. Permet de soutenir les blocs de la maçonnerie du puits (US 12).
US.45	F.135	Ensemble C ; Espace C8	Construite	Bloc de calcaire	Bloc de calcaire lithographique très dégradé par l'eau (?), de forme vaguement rectangulaire, posé à plat sur l'US 22 mais probablement déplacé lors du décapage du site. Lien non perceptible entre US 45 et le seuil US.66 et la colonne F.25. Relation impossible à établir avec l'US 17.
US.46	F.125		Positive	Niveau d'incendie	Niveau d'incendie charbonneux constitué de fragments et de plaques de charbons dans une matrice limono-sableuse, voir sableuse au nord de l'espace E (zone située sur l'état 6 de la voirie). Ce niveau subit un fort pendage N-E.
US.47	F.132		Positive	Démolition	Niveau limono-argileux marron, compact et hétérogène. Présence d'inclusions de calcaire marneux délité, de poches d'argile orange et de nodules de charbons (jusqu'à 5-7 cm). Très nombreux fragments de torchis. Probable démolition.
US.48	F.31		Positive	Comblement	Comblement supérieur de F31. Il est constitué d'un sédiment sablo-limoneux gris-jaune, meuble et homogène.
US.49	F.118	Espace A1 ; Espace A2 ; Ensemble A	Positive	Remblai	Niveau limono-sableux compact, meuble, hétérogène de couleur gris/jaune, sans inclusion de charbon. Présence de blocs de calcaire lithographique, de dalles sciées incendiées vauquées. Correspond potentiellement à la démolition du mur F4 et de la toiture du bâtiment de l'espace A ou, plus probablement, à un remblai utilisant les éléments de la démolition. Dernier niveau de remblai propre à l'espace A. À partir de l'US.14 : recouvrement commun à toute l'emprise.

Mutations urbaines à *Nasium* (Meuse) | Rapport intermédiaire 2023

	Sous	Égale/équivalente	Sur	Mobilier
	Coupée par US.177 ; Coupée par US.199 ; Coupée par US.89 ; Sous US.2	Égale à US.41	Sur F.100 ; Sur US.112 ; Sur US.179 ; Sur US.47	Alliage cuivreux ; Céramique ; Faune ; Fer ; Lapidaire ; Terre crue ; Verre
	Sert d'appui à US.36 ; Sert d'appui à US.37 ; Sous US.29		Sur US.217	Lapidaire
	Sous US.29		S'appuie contre US.35	
	Sous US.17		S'appuie contre US.35 ; Sur US.29	Alliage cuivreux ; Céramique ; Enduits peints ; Fer ; Lapidaire ; Matière dure animale ; Verre
	Sous US.24	Égale à US.355 ; Équivalente à US.220 ; Équivalente à US.346	Coupe US.10 ; Coupe US.123 ; Coupe US.125 ; Coupe US.46	
	Coupée par US.117 ; Sert d'appui à US.60 ; Sous US.23		Sur US.24	Céramique ; Enduits peints
			Sur F.47	
	Coupée par F.59 ; Coupée par US.108 ; Coupée par US.220 ; Coupée par US.85 ; Coupée par US.89 ; Sous F.10 ; Sous US.2 ; Sous US.203	Égale à US.17 ; Égale à US.34 ; Égale à US.42 ; Équivalente à US.114 ; Équivalente à US.236	Sur F.34 ; Sur F.35 ; Sur F.36 ; Sur F.51 ; Sur F.76 ; Sur F.82 ; Sur US.104 ; Sur US.106 ; Sur US.125 ; Sur US.144 ; Sur US.169 ; Sur US.196 ; Sur US.205 ; Sur US.239 ; Sur US.289 ; Sur US.357 ; Sur US.362 ; Sur US.368 ; Sur US.47 ; Sur US.56 ; Sur US.66	Alliage cuivreux ; Annulé ; Céramique ; Faune ; Fer ; Lapidaire ; Lithique ; Matériaux de construction ; Plomb ; Terre crue ; Terre cuite ; Terre cuite architecturale ; Verre
		Égale à US.41		Céramique ; Faune ; Fer ; Verre
	Sous US.12		Coupe F.2	
	Sous US.18		Sur US.15	
	Sous US.2	Équivalente à US.66	Sur US.22	Lapidaire
	Coupée par US.38 ; Sous US.10 ; Sous US.122 ; Sous US.126 ; Sous US.22	Égale à US.29 ; Égale à US.295	Sur F.112 ; Sur F.124 ; Sur US.324 ; Sur US.470 ; Sur US.62 ; Sur US.65 ; Sur US.74 ; Sur US.75 ; Sur US.76 ; Sur US.95 ; Sur US.98	Alliage cuivreux ; Céramique ; Enduits peints ; Faune ; Fer ; Verre
	Coupée par F.35 ; Coupée par US.85 ; Sous US.34 ; Sous US.41	Équivalente à US.179	Sur US.105 ; Sur US.118 ; Sur US.215	Alliage cuivreux ; Céramique ; Enduits peints ; Faune ; Fer ; Lapidaire ; Lithique ; Terre crue ; Verre
	Sous US.179		Sur US.182	Alliage cuivreux ; Céramique ; Faune ; Fer ; Verre
	Coupée par US.115 ; Sous US.14		Sur US.109 ; Sur US.110 ; Sur US.152	Alliage cuivreux ; Céramique ; Faune ; Fer ; Lapidaire ; Lithique ; Verre

Mutations urbaines à Nasium (Meuse) | Rapport intermédiaire 2023

N° US	Fait	Ensembles	Type	Identification	Description
US.50	F.44	Ensemble B ; Espace B6	Positive	Niveau de recharge	Niveau de blocs bruts en calcaire lithographique de petit (moins de 5 cm de long) à moyen module (10 à 20 cm de long) disposés sans organisation apparente et pris dans une matrice limoneuse grise, homogène et compacte. Plusieurs de ces éléments sont émoussés. Ses limites reprennent celles de la tranchée de récupération F.89. En coupe, le niveau est hétérogène et épais. Le niveau semble contemporain de l'état F.27 de la voie => niveau de recharge localisée suite à l'affaissement du comblement de F.89 impliquant une réfection pour la remise à niveau de la voie. [Correction MR : égalité avec US.13 supprimée] [Correction MR 2 : la coupe CP5 montre plutôt une équivalence avec l'US.131. Rattachement au fait F.44]
US.51			Positive	Niveau de circulation ?	Probable niveau de nivellement accueillant la bande de roulement (US 19), localisé ou sud/S-O de la voie. Apparaît à 3.90 m au N de la berne E/O. Se caractérise par un limon sableux gris/jaune compact. [Correction MR : niveau qui a également pu potentiellement faire office de niveau de circulation. Constitue potentiellement à ce titre la dernière recharge piétonne de la voirie F.44] [Correction MR 2 : ne correspond pas à un niveau de préparation et n'a été observé que dans la partie ouest de l'espace piéton. Correspond plus vraisemblablement à un niveau de circulation peut-être équivalent à US.100 -> modification identification : de "niveau de préparation" à "niveau de circulation" + sortie du fait F.27]
US.52	F.17	Ensemble B	Positive	Niveau de circulation	Pierres de petit module (env. 1 cm) prises dans une matrice limoneuse grise compacte et par endroit prises dans un mortier de chaux, le tout formant un cailloutis. Pourrait correspondre à un niveau de circulation. Néanmoins, les pierres ne sont pas émoussées.
US.53	F.28		Positive	Remblai	Niveau argilo limoneux meuble rouge/orange caractérisé par de nombreuses poches de mortier de chaux, des poches d'argile orange et des inclusions fréquentes de charbon et de torchis. Traces de rubéfaction observées. Le mortier de chaux observé est blanc, induré avec des inclusions millimétriques de nodules de chaux et de graviers. Dans ce niveau, de larges blocs de calcaires lithographiques (entre 20-50cm de longueur) ont été retrouvés. Ils étaient fortement abimés à cause de l'érosion/de l'eau leur donnant un aspect alvéolé.
US.54	F.16	Ensemble B	Négative	Creusement	Creusement circulaire à profil en cuvette recoupant l'état 2 de la voie.
US.55	F.16	Ensemble B	Positive	Annulé	Comblement de la fosse rempli par les niveaux de démolition de la toiture (US 17).
US.56			Positive	Remblai ?	Niveau constitué de blocs de calcaire marneux (10-30 cm) bruts ou grossièrement équarris pris dans une matrice limoneuse grise et indurée riche en nodules de mortier de chaux. Dans le secteur 2, ce niveau repose sur du torchis (US 22) et le niveau charbonneux (US 29). [Correction MR : probable remblai chargé en matériaux de démolition ? Modification identification : de "niveau de démolition" à "remblai"] [Correction MR2 : annulation de l'égalité entre US.56 et US.77]
US.57	F.5	Ensemble D	Construite	Seuil	Large bloc brut en calcaire lithographique situé dans le prolongement sud du mur F.5. La surface du bloc est lissée liée à l'usure de passages répétitifs. Son emplacement et ses caractéristiques permettent de l'interpréter comme un seuil. Cet accès serait secondaire car il n'est pas lié à la voie.
US.58	F.23	Ensemble B	Négative	Creusement	Creusement de la fosse F23. Son plan n'est pas observable en raison des limites de l'emprise de fouille, même s'il semble ovulaire ou circulaire.
US.59	F.23	Ensemble B	Positive	Comblement	Comblement de la fosse F23, constitué de blocs calcaires dans une matrice limono argileuse brune compacte.
US.60	F.22	Ensemble D	Construite	Radier	Radier situé sous le niveau de préparation F.22 (US.61). Se caractérise par des blocs de calcaire lithographique réguliers et bruts sans mortier.
US.61	F.22	Ensemble D	Construite	Niveau de préparation	Cailloutis et blocs en calcaire lithographique bruts et irréguliers, de petit (0-5cm) à moyen (5-10 cm) module pris dans une matrice de mortier de chaux blanc, compact comportant des inclusions millimétriques de graviers.
US.62	F.43	Ensemble C ; Espace C4	Positive	Poutre carbonisée	Poutre carbonisée
US.63	F.24		Négative	Annulé	Creusement de la fosse F24.
US.64	F.130		Positive	Remblai	Niveau sablo-limoneux jaune, compact et hétérogène, contenant de nombreuses inclusions de mortier de chaux. Ancien comblement de F24 (annulé), probablement un remblai déposé pour niveler les affaissements de la partie sud-ouest du secteur 2.
US.65	F.124	Ensemble C ; Espace C5 ; Espace C1 ; Espace C4 ; Espace C6	Positive	Niveau de préparation	Niveau argileux jaune compact caractérisé par la présence de nombreuses inclusions de mortier de chaux blanc/jaune et des poches d'argile orange. Il sert d'encasement pour l'installation des négatifs des poutres incendiées (F43 : US 62; 75; 74). [anciennement F.43] Niveau fin de fouille 2020 [observation MR : niveau sans doute égale à US.135 et US.324. Correspond sans doute au sommet de la séquence de remblaiement F.121 mais semble prendre la forme d'un épais niveau de préparation vraisemblablement destiné à accueillir les sols des différents espaces]
US.66	F.135	Ensemble C ; Espace C8	Construite	Bloc de calcaire	Bloc de calcaire brut quadrangulaire de gros module dont la face supérieure est très lisse (surface de circulation ?). Possible seuil à mettre en relation avec le sol maçonné F20 ?
US.67	F.26		Négative	Annulé	Creusement de F26.
US.68	F.26		Positive	Annulé	Comblement de F26.
US.69	F.20	Ensemble C ; Espace C8	Construite	Niveau de préparation	Niveau induré blanc, composé de mortier de chaux blanc et rose, sans inclusion. Le niveau est également composé de cailloutis bruts, irréguliers (1-4 cm), solidement liés ensemble. Correspondrait à un niveau de circulation, un cloisonnement en matériaux périssables ou à un niveau de préparation de sol.

Mutations urbaines à *Nasium* (Meuse) | Rapport intermédiaire 2023

	Sous	Égale/équivalente	Sur	Mobilier
	Coupée par US.27 ; Sous US.1	Équivalente à US.131	Sur US.19	Céramique ; Faune ; Verre
	Coupée par US.27 ; Sous US.19	Équivalente à US.100	Sur US.130 ; Sur US.235 ; Sur US.83 ; Sur US.84	Alliage cuivreux ; Céramique ; Faune ; Fer
	Sous US.2	Équivalente à US.31	Sur US.17	
	Sous US.82		Sur US.138	Alliage cuivreux ; Céramique ; Faune ; Fer ; Lapidaire ; Terre crue
	Sous US.129 ; Sous US.55		Coupe US.83	
	Sous US.2	Équivalente à US.64	Sur US.54	
	Sous US.41		Sur F.125 ; Sur US.29	Céramique ; Faune ; Fer ; Terre crue
	Sous F.40		Sur US.24	Lithique
	Sous US.59		Coupe US.131 ; Coupe US.17 ; Sur US.149	
	Sous US.2		Sur US.58	
	Sous US.61		S'appuie contre US.39 ; Sur US.345 ; Sur US.347	
	Sous F.21		S'appuie contre US.23 ; Sur US.60	
	Sous US.46		Sur US.211 ; Sur US.65	
		Équivalente à US.55	Sur US.29	Céramique ; Faune ; Fer
	Coupée par F.28 ; Coupée par US.188 ; Coupée par US.209 ; Sert d'appui à US.74 ; Sert d'appui à US.75 ; Sert d'appui à US.76 ; Sert d'appui à US.95 ; Sert d'appui à US.98 ; Sert d'appui à US.99 ; Sous US.211 ; Sous US.46 ; Sous US.62	Égale à US.135 ; Égale à US.145 ; Égale à US.344	Sur US.131	Céramique ; Faune ; Fer ; Verre
	Sous US.41	Équivalente à US.45	Sur US.69	Lapidaire
	Sous US.222 ; Sous US.66	Égale à US.213	Sur US.121	Alliage cuivreux

Mutations urbaines à Nasium (Meuse) | Rapport intermédiaire 2023

N° US	Fait	Ensembles	Type	Identification	Description
US.70	F.19		Construite	Annulé	
US.71	F.18		Négative	Annulé	
US.72	F.18		Positive	Annulé	
US.73	F.28		Négative	Annulé	Creusement de la supposée fosse/anomalie F28.
US.74	F.43	Ensemble C ; Espace C4	Positive	Poutre carbonisée	Négatif d'une planche/poutre carbonisée contenant du charbon. Celui-ci a été prélevé (PR. 4). L'empreinte de la poutre s'appuie contre un niveau argileux jaune compact (US 65).
US.75	F.43	Ensemble C ; Espace C4	Positive	Poutre carbonisée	Négatif d'une lambourde carbonisée d'orientation est-ouest dont seule la partie supérieure a été préservée. PR.5 réalisé mais erroné car correspond à F.104.
US.76	F.43	Ensemble C ; Espace C4	Positive	Annulé	Négatif d'une planche/poutre carbonisée contenant du charbon, situé près de la tranchée de fondation (US 38) de MR 5. Celui-ci a été prélevé (PR. 6). L'empreinte de la poutre s'appuie contre un niveau argileux jaune compact (US 65).
US.77			Positive	Niveau de démolition	Blocs de calcaire marneux pris dans une matrice argileuse compacte de couleur jaune. Ces blocs sont bruts et de module moyen (15-30 cm de longueur). Associés à des poches de mortier de chaux jaune, sableux avec des nodules millimétriques de graviers. Observé au sud-ouest du sondage 2. Est équivalent au calcaire marneux [US.56] localisé au sud-ouest du secteur 2.
US.78	F.29	Espace B7 ; Espace B8	Négative	Creusement	Creusement de F29 caractérisé par un plan ovalaire et un profil en cuvette.
US.79	F.29	Espace B7 ; Espace B8	Positive	Comblement	Comblement de la fosse F29 constitué d'un sédiment limoneux gris meuble et des blocs en calcaire lithographique, ainsi que quelques fragments de dalles en calcaire oolithique. On note également des inclusions de graviers et des petits nodules de terre cuite. Un fragment de mortier de tuileau a aussi été découvert dans ce niveau.
US.80	F.25		Construite	Base de colonne	Base de colonne taillée dans du calcaire oolithique, de forme cylindrique et placée dans le même alignement que le niveau de seuil. Pas de mortier.
US.81	F.25		Construite	Radier	Possible radier destiné à accueillir la base de colonne US. 80. Il est constitué de blocs en calcaire lithographique bruts et de moellons (blocs archis ?), issus potentiellement du mur F. 32 sur lequel vient s'implanter la fosse d'implantation de F. 25.
US.82	F.104		Positive	Comblement	Niveau limoneux brun meuble et hétérogène. On observe des fragments de mortier de chaux et de TCA. Au moins deux types de mortier différents ont été observés : Le premier est un mortier de chaux rose compact et pulvérulent constitué d'inclusions millimétriques de nodules de chaux et de graviers. Le second est un mortier de chaux blanc durci, pulvérulent, composé de nodules de chaux millimétriques et de rares graviers millimétriques (mortier semblable à celui de l'US53). [correction MR : comblement supérieur du drain F.104 : blocs hétérométriques dans matrice sédimentaire sans doute destinée à assurer la captation de l'eau de surface]
US.83	F.44	Ensemble B ; Espace B6	Positive	Bande de roulement	Bande de roulement de l'état 4b de la voie. Se caractérise par d'un cailloutis (modules de 2-5cm) compact et émoussé dans une matrice limoneuse. Ce cailloutis est également observable dans un niveau de limon incendié. Il se poursuit de manière lacunaire dans l'espace G. [Correction MR : anciennement F.30, constitue un niveau de recharge de la bande de roulement de F.44]
US.84	F.44	Ensemble B ; Espace B6	Positive	Remblai	Niveau argileux jaune, compact et homogène, associé à de nombreux nodules de mortier de chaux blanc. Il n'a été observé que dans la partie sud-ouest du secteur 2. Remblai préparatoire ou possible niveau de circulation piéton ? Il se localise dans l'espace G. [Note MR : ce niveau constitue une recharge de F.44 uniquement localisée dans sa partie piétonne]
US.85	F.31		Négative	Creusement	Creusement de la fosse F31 se caractérisant par un plan ovalaire et un profil en cuvette. Ce creusement se poursuit derrière la berne E/O délimitant le secteur 1 et 2. Se fait couper par F.66 et coupe la maçonnerie F
US.86	F.31		Construite	Bloc architectural	Bloc architectural taillé dans du calcaire oolithique. De forme quadrangulaire. Des traces de couteaux en arêtes de poisson sur sa face supérieure et les côtés. sont observables. Est posé sur un bloc plus petit (US 87).
US.87	F.31		Construite	Bloc architectural	Bloc architectural en calcaire oolithique, grossièrement taillé de forme quadrangulaire sur lequel repose un bloc architectural plus large (US 86). Possède probablement deux trous de louve dans face supérieure.
US.88	F.31		Construite	Annulé	
US.89	F.25		Négative	Creusement	Creusement d'implantation de la colonne n'ayant pas été observé en plan. Son profil en forme de cuvette semble couper le mur F32.
US.90	F.25		Positive	Comblement	Comblement de la fosse d'implantation (F25) de la base de colonne (US 80). Se caractérise par un limon brun compact et homogène où se trouve de nombreux graviers. [Correction MR : relation avec US.41 modifiée. La relation initiale renseignée d'après G.40 était sans doute faussée (niveau humide et/ou de piétinement). Nouvelle proposition : F.25 coupe US.41]
US.91	F.129	Ensemble C	Positive	Remblai	Niveau limoneux brun, meuble et homogène, dépourvu de charbon. Il se caractérise par la présence récurrente de blocs calcaires de moyen à gros module (15-30 cm de long). Il constitue l'encastrement de la partie occidentale de la fosse d'implantation de la base de colonne F.25. Niveau fin de fouille 2020.
US.92			Positive	Annulé	

Mutations urbaines à *Nasium* (Meuse) | Rapport intermédiaire 2023

	Sous	Égale/équivalente	Sur	Mobilier
			Sur F.36	
	Sous US.46		S'appuie contre US.65 ; Sur US.211	Céramique ; Faune
	Sous US.46	Égale à US.138 ; Équivalente à US.183	S'appuie contre US.65 ; Sur US.211	Céramique
	Sous US.46		S'appuie contre US.65 ; Sur US.211	
	Coupée par F.36 ; Sous F.14 ; Sous US.205		Sur US.121	Alliage cuivreux ; Céramique ; Faune ; Fer
	Sous US.79		Coupe US.131 ; Coupe US.133 ; Coupe US.139	
	Coupée par US.27 ; Sous US.19		Sur US.78	Céramique ; Faune ; Fer
	Sert d'appui à US.90		Sur US.81	Lapidaire
	Sous US.80		Sur US.89	Alliage cuivreux ; Céramique ; Faune ; Fer ; Lithique ; Verre
	Sous US.145 ; Sous US.417	Équivalente à US.212 ; Équivalente à US.376	Sur US.406 ; Sur US.53	Alliage cuivreux ; Céramique ; Enduits peints ; Faune ; Fer ; Lapidaire
	Coupée par US.216 ; Coupée par US.54 ; Sous US.51 ; Sous US.84 ; Sous US.99		Sur US.131 ; Sur US.231 ; Sur US.232	Céramique ; Fer
	Sous US.51	Équivalente à US.130	Sur US.119 ; Sur US.120 ; Sur US.128 ; Sur US.129 ; Sur US.165 ; Sur US.83	Alliage cuivreux ; Céramique ; Faune ; Fer
	Sous US.87		Coupe US.120 ; Coupe US.41 ; Coupe US.47	Faune
	Sous US.199		Sur US.87	Lapidaire
	Sert d'appui à US.182 ; Sous US.86		Sur US.85	Lapidaire
	Sous US.81		Coupe F.130 ; Coupe US.34 ; Coupe US.41 ; Coupe US.91 ; Coupe US.93	
	Sous US.2		S'appuie contre US.80	
	Coupée par F.25 ; Coupée par US.89 ; Sous US.214		Sur US.122	Alliage cuivreux ; Céramique ; Enduits peints ; Faune ; Fer ; Lapidaire ; Terre crue ; Terre cuite architecturale ; Verre

Mutations urbaines à Nasium (Meuse) | Rapport intermédiaire 2023

N° US	Fait	Ensembles	Type	Identification	Description
US.93	F.32	Ensemble C ; Espace C2	Construite	Élévation	Fondation de la colonne (US 80) constitué en calcaire lithographique. Les moellons sont de forme quadrangulaires et servent d'appui à F25. Du mortier de chaux compact de couleur jaune avec des inclusions de graviers et de nodules de chaux est observable. Assises d'élévation du mur est de la cave, conservée sur 13 assises (150 cm de hauteur au plus haut) principalement de moellons de calcaire lithographique et quelques moellons de marne. Les moellons ont une face de parement grossièrement plane. Ils ont une longueur variant de 10 à 28 cm. Hauteur d'assises de 8/10 cm mais alternance avec une assise de 12/15 cm pour celle formant la base de la niche. Les joints sont soigneusement tirés au fer avec du mortier de chaux blanche-beige différente du mortier de la maçonnerie, avec des inclusions de sable et de gros nodules de TCA
US.94	F.33		Négative	Annulé	Creusement de F33 observé uniquement en coupe. Profil en cuvette. Plan indéterminé.
US.95	F.43	Ensemble C ; Espace C4	Positive	Annulé	Négatif d'une planche/poutre carbonisée contenant du charbon. Celui-ci a été prélevé (PR. 10 anthraco et carpologie et 12 anthraco). L'empreinte de la poutre s'appui contre un niveau argileux jaune compact (US 65).
US.96	F.33		Positive	Annulé	Limon meuble brun hétérogène comprenant des dalles sciées, des inclusions de TCA, de charbons et des graviers. Prolongement de US 34 ?
US.97	F.112	Ensemble C ; Espace C4 ; Espace C1	Positive	Poutre carbonisée	Planche/poutre carbonisée contenant du charbon. Celui-ci a été prélevé (PR. 14). Conservée en partie sur sa longueur et entièrement sur sa largeur. Elle se poursuit sous le mur F.5. Repose sur un solin de blocs calcaire US.469 dont le creusement coupe le niveau argileux jaune compact (US 65). Mieux conservée à l'est, elle subit un affaissement dans sa partie centrale.
US.98	F.43	Ensemble C ; Espace C4	Positive	Annulé	Planche/poutre carbonisée contenant du charbon. Celle-ci a été prélevé (PR. 13). Constituait une planche dans l'ama charbonneux US 76. L'empreinte de la poutre s'appui contre un niveau argileux jaune compact (US 65).
US.99	F.44	Ensemble B ; Espace B6	Positive	Radier	Radier préparatoire de l'état 6 de la voie. Il se compose de blocs (5-15 cm) et se situe sous le niveau de nivellement (US.51). Le radier n'est pas présent sur l'ensemble de l'état 5 de la voie. Le radier semble présent le plus au nord de la voie conservée, sous l'hypothétique bande carrossable de la voie. Sous le présumé portique, le radier n'a pas été rencontré (radier non nécessaire pour la bande piétonne ?). [Correction MR : la mise en oeuvre de l'US.99 ne semble pas compatible avec celle d'un radier. Il s'agit plus vraisemblablement de l'ultime recharge de la bande de roulement de F.44.] [Correction MR2 : rattachement de US.99 à F.44 (anciennement F.27)]
US.100			Positive	Niveau de circulation ?	Niveau argilo sableux brun, compact et homogène. Possible remblai de nivellement destiné à compenser l'affaissement des niveaux de voirie antérieurs, au nord du mur F5. Il est présent dans l'espace G et peut correspondre à un possible niveau de circulation piétonnier en terre battue. [Note MR : ce niveau constitue une recharge de F.27 uniquement localisée dans sa partie piétonne] [Correction MR : très probable niveau de circulation piéton : modification identification (de "remblai" à "niveau de circulation" + sortie de F.27. L'US.100 est sans doute équivalente à l'US.51 et contemporaine de la bande de roulement US.19]
US.101	F.34	Ensemble C ; Espace C7	Construite	Ceinturage	Ceinture circulaire caractérisé par de dalles de lauze quadrangulaires posées à plats. Deux types de mortier de chaux ont été retrouvés: Le premier est un mortier sableux orange/jaune, friable avec des inclusions millimétriques de sable. Le second est un mortier jaune avec des inclusions de gravier et des nodules de chaux, il est moins friable que le premier. Un minimum de quatre assises en lauze sont identifiables, soutenues par des dalles posées verticalement au sud de la maçonnerie. L'argile entre la première et la deuxième assise montre des traces de rubéfaction. Ce sédiment très induré lis les dalles entre elles.
US.102	F.34	Ensemble C ; Espace C7	Positive	Comblement	Comblement inférieur de F.34 constitué d'un limon argileux brun/noir compact et de dalles de lauze sous US 103. On remarque des inclusions de mortier de chaux orange et rose et de torchis. Le mortier de chaux orange est induré et comporte des inclusions millimétriques de graviers. Le mortier de chaux rose est pulvérulent, composé de rares inclusions millimétriques de sable, de nodules de chaux et de TCA. Parmi les échantillons collectés de ce dernier mortier, on observe une paroi lisse non peinte correspondant à de l'enduit.
US.103	F.34	Ensemble C ; Espace C7	Construite	Sole ?	Comblement supérieur du four F.34, constitué d'un limon sombre [US.102] et deux dalles de lauze préservées dans leurs largeurs et leurs longueurs. D'autres niveaux de comblement en dalles sciées à plats sont observables, dont le laboratoire du feu avant d'arriver sur la sole (US 160).
US.104	F.35	Ensemble C ; Espace C8	Positive	Poutre carbonisée	Poutre carbonisée (PR. 8) en place. D'orientation nord-sud , elle semble se prolonger dans le sondage 3. Dans l'alignement de la poutre, plusieurs blocs en calcaire marneux de module variable (1-30 cm) sont posés de champs Un de ces blocs possède un aspect monumental (inv.547). Il semblerait s'agir de la poutre d'une tranchée de sablière.
US.105	F.100	Espace C2 ; Ensemble C ; Espace C3	Positive	Remblai	Remblai limono sableux friable brun, hétérogène avec des inclusions fréquente de charbon. Présence également d'inclusions de torchis et des inclusions minimes d'argile orange. Niveau linéaire E-O au nord de l'espace D concentré près du mur F41. Mobilier caractérisé par une surreprésentation de scories et de paroi de forge. [Correction MR : équivalence avec US.112 annulée et rattaché à F.100]
US.106	F.36	Ensemble C ; Espace C8	Positive	Comblement	Sédiment limono sableux jaune compact composé d'inclusions de graviers (moins 1 cm) constituant le comblement de la tranchée de sablière F36.
US.107	F.36	Ensemble C ; Espace C8	Négative	Creusement	Creusement de la tranchée de sablière (F36). Le profil observé est en cuvette. Le plan est linéaire rectiligne d'une longueur de 80cm. S'appui contre le calcaire marneux US 77.

Mutations urbaines à *Nasium* (Meuse) | Rapport intermédiaire 2023

	Sous	Égale/équivalente	Sur	Mobilier
	Coupée par US.89	Chaînée avec US.206	Sur US.304	
	Sous US.46		S'appuie contre US.65 ; Sur US.211	
	Sous US.29		Sur US.469	Céramique ; Fer
	Sous US.46		S'appuie contre US.65 ; Sur US.211	
	Coupée par US.216 ; Sous US.100		S'appuie contre US.65 ; Sur US.83	Céramique ; Faune ; Fer
	Sous US.29	Équivalente à US.51	Sur US.99	Alliage cuivreux ; Céramique ; Faune ; Fer ; Verre
	Sert d'appui à US.202 ; Sous US.144		Sur US.160	
	Sous US.103		Sur US.159 ; Sur US.202	Céramique ; Fer
	Sous US.144		Sur US.102	Lithique
	Sous US.41	Équivalente à US.289	Sur US.113	Faune ; Fer ; Terre cuite
	Sous US.130 ; Sous US.47		Sur US.206 ; Sur US.207	
	Sous US.41		Sur US.107	
	Sous US.106			

Mutations urbaines à Nasium (Meuse) | Rapport intermédiaire 2023

N° US	Fait	Ensembles	Type	Identification	Description
US.108	F.35	Ensemble C ; Espace C8	Négative	Creusement	Creusement linéaire rectiligne dont le profil est en cuvette. Les limites de ce creusement ne sont pas nettes.
US.109	F.118	Espace A1 ; Espace A2 ; Ensemble A	Positive	Niveau de démolition	Blocs bruts en calcaire lithographique (5-30 cm de long) dans une matrice limoneuse brune compact et homogène, associée à des inclusions récurrentes de mortier de chaux blanc (centimétrique) friable et comportant des inclusions millimétriques de graviers. Possible remblai de démolition associé à F56?
US.110	F.118	Espace A1 ; Espace A2 ; Ensemble A	Positive	Remblai	Niveau argileux marron, compact et homogène, associé à des blocs de calcaire lithographique brut (5-20 cm de long)
US.111	F.118	Espace A1 ; Espace A2 ; Ensemble A	Positive	Remblai	Remblai limoneux brun, compact et hétérogène comprenant de nombreuses inclusions d'éléments de démolition (TCA, charbons, argile, graviers et torchis).
US.112	F.132		Positive	Remblai	Remblai argilo limoneux compact, hétérogène de couleur marron composé de matériaux de démolition. Le mobilier est relativement peu abondant comparé aux niveaux supérieurs. Il se compose de dalles sciées vraquées posées horizontalement sur le niveau, d'inclusions et de morceaux de charbons (1-5 cm), de blocs en calcaire lithographiques, d'inclusions de torchis et de poches d'argile rouge. [Observation MR : possibilité que cette US et son équivalent US.47 appartiennent à une séquence de remblaiement postérieure à F.100, possiblement postérieure au second état du bâtiment. Proposition à confronter à étude céramo]
US.113	F.35	Ensemble C ; Espace C8	Positive	Comblement	Comblement argilo-limoneux marron, meuble et hétérogène comportant des inclusions de charbons. Possible comblement d'une tranchée de sablière. Quelques blocs en calcaires marneux ont été observés dans la couche. Un bloc monumental avec un trou de louve (inv.457), plongeant à travers le creusement [US.108] a également été observé.
US.114	F.133	Ensemble C	Positive	Remblai	Niveau de démolition caractérisé par une matrice limoneuse meuble hétérogène grise, dans laquelle des blocs de calcaire lithographique de petit module (0-10 cm) et des fragments dalles de couverture incendiés ont été observés. De manière ponctuelle, le niveau d'apparition de l'US.114 semble apparaître plus bas que le niveau d'apparition du sol F.22. Cela pourrait potentiellement indiquer que ce dernier a été au moins partiellement récupéré avant l'effondrement du bâtiment. [Correction MR : US114 constitue en fait plus probablement une équivalence de l'US41 et fait donc probablement partie de la séquence de remblaiement F130 qui précède l'installation de l'ensemble ENSD (ce qui explique avec plus de cohérence qu'il apparaisse sous F.22). Identification modifiée en remblai (au lieu de niveau de démolition)]
US.115	F.37	Espace A	Négative	Annulé	Creusement de F37 dont le plan est circulaire et le profil est en cuvette.
US.116	F.40	Ensemble D	Positive	Comblement	Comblement de la tranchée de récupération F.40. Niveau unique de limon argileux compact homogène de couleur marron, associé à de nombreux blocs de calcaire lithographique et des fragments de dalles sciées.
US.117	F.40	Ensemble D	Négative	Creusement	Creusement de la tranchée de récupération du mur F.5. Ce creusement est linéaire rectiligne suivant le prolongement du mur et possède un profil en cuvette observable dans la coupe sud de l'emprise de fouille.
US.118			Positive	Niveau d'incendie	Niveau d'incendie. [Observation MR : l'équivalence avec US.379 est capitale. Si valide, cela signifie que la cave est détruite par le second incendie. Si non valide, cela signifie que la cave est détruite par le premier incendie. Les observations réalisées sur le terrain ne permettent pas de trancher avec certitude. Dans l'attente du résultat des études mobilier (notamment céramique), cette équivalence est suspendue et l'US.379 est associée à F.125 (destruction du premier état). De même, faute de preuve du contraire, l'US.118 est associée à l'incendie du second état du bâtiment]
US.119	F.44	Ensemble B ; Espace B6	Positive	Niveau de circulation	Niveau de cailloutis composé de petits cailloux et de gravier dans une matrice limoneuse compacte homogène jaune, observé uniquement à l'angle sud-ouest du secteur 2. Possible niveau de circulation à rattacher à la partie piétonne de la voirie, recharge de l'US.120. [correction MR : pas sous US.17 mais sous US.84] [Correction MR : recharge de l'US.120, qui constitue sans doute la bande de roulement de F.44, est donc à rattacher au même fait.]
US.120	F.54	Ensemble B ; Espace B5	Positive	Niveau de circulation	Niveau de cailloutis émoussé pris dans une matrice limoneuse, observé uniquement au sud-ouest du secteur. Probable niveau de circulation piéton. Il est installé sur un remblai non caractérisé durant la campagne 2020. Probablement contemporain de l'état 4 (4a ou 4b ?) de la voie. [Correction MR : l'US.120 constitue en fait très certainement, avec l'US.263, un reliquat de la bande de roulement de F.44 (US.131) -> modification identification : de "niveau de circulation" à "bande de roulement" [Correction MR2 : sa mise en oeuvre et son niveau d'apparition semblent plutôt correspondre au fait F.54]
US.121			Positive	Remblai	Couche argileuse compacte, homogène et jaune avec des inclusions de calcaires marneux (moins de 1 cm), des inclusions de mortier de chaux et des inclusions de charbons. Niveau probablement équivalent à l'US.127 du sol F.68 (SD.3). [Observations MR : épais remblai argileux qui semble commun à plusieurs espaces du second état du bâtiment (pièce façade est ; couloir, cave (?). Semble avoir le même rôle mixte de nivellement/support de revêtement de sol que F.124 pour l'état précédent. Si dans le couloir il accueille directement les niveaux de circulation de F.20, il semble recouvert de nouveaux apports sédimentaires à l'est et à l'ouest du bâtiment suite à de probables affaissements]

Mutations urbaines à *Nasium* (Meuse) | Rapport intermédiaire 2023

	Sous	Égale/équivalente	Sur	Mobilier
	Sous US.113 ; Sous US.516 ; Sous US.517		Coupe US.41	
	Coupée par US.115 ; Coupée par US.151 ; Sous US.110 ; Sous US.49		S'appuie contre US.156 ; Sur US.111 ; Sur US.137	Céramique ; Faune ; Fer ; Lithique ; Verre
	Sous US.49		Sur US.109	
	Coupée par US.151 ; Sous US.109	Équivalente à US.137	S'appuie contre US.156 ; Sur US.132 ; Sur US.155	Alliage cuivreux ; Céramique ; Faune ; Fer ; Terre crue ; Verre
	Sous US.34		Sur F.100 ; Sur US.259 ; Sur US.378 ; Sur US.420 ; Sur US.485	Alliage cuivreux ; Céramique ; Composite ; Enduits peints ; Faune ; Fer ; Lapidaire ; Lithique ; Matériaux de construction ; Terre cru ; Terre cuite architecturale ; Verre
	Sous US.104		Sur US.108	Céramique ; Faune ; Fer ; Terre crue
	Coupée par US.117 ; Sous F.5 ; Sous F.65	Équivalente à US.234 ; Équivalente à US.277 ; Équivalente à US.41		
			Coupe US.109 ; Coupe US.49 ; S'appuie contre F.4	
	Sous US.2		Sur US.117	
	Sous US.116		Coupe US.114 ; Coupe US.23 ; Coupe US.39	
	Sous US.378 ; Sous US.47			Céramique ; Faune ; Fer
	Sous US.84		Sur US.120	Fer
	Coupée par US.85 ; Sous US.119 ; Sous US.130 ; Sous US.84	Équivalente à US.165	Sur US.452	Céramique ; Faune ; Fer ; Lapidaire
	Sous US.474 ; Sous US.69 ; Sous us.77	Équivalente à US.333 ; Équivalente à US.483	Sur F.129 ; Sur US.122 ; Sur US.201 ; Sur US.208	Alliage cuivreux ; Céramique ; Faune ; Fer ; Verre

Mutations urbaines à Nasium (Meuse) | Rapport intermédiaire 2023

N° US	Fait	Ensembles	Type	Identification	Description
US.122	F.129	Ensemble C	Positive	Remblai	Niveau de limon sableux gris, très charbonneux, meuble et homogène associé à de nombreux blocs bruts en calcaire lithographique (module variable) et des dalles sciées. Visible uniquement au sud de l'espace E, entre la berne est-ouest et nord-sud. Equivalence avec US201? [Correction MR : Probable remblai de nivellement constitué de matériaux de démolition]
US.123	F.51	Ensemble C ; Espace C9	Positive	Niveau de circulation	Niveau de circulation caractérisé par un limon jaune homogène et induré, constitué de cailloutis anguleux de petit module (moins de 5 cm de long) et de graviers. On note la présence d'un ensemble de nombreux fragments de TCA de forme irrégulières et de dimensions variées (0-15 cm de long). Potentiellement égal à l'US.324 observé dans l'esp.E/SD.2 et dans l'espace H sous le cailloutis F20. [Correction MR : suppression équivalence US.121]
US.124	F.129	Ensemble C	Positive	Remblai	Niveau argileux meuble et très hétérogène, associé à de nombreux éléments de démolition d'architecture en matériaux périssables (fragments de torchis, rubéfaction, charbons, fragments d'enduits peints). Possible démolition ou remblai chargé en éléments de démolition. [Correction MR : anciennement F.47, associé à F.125 + équivalence avec US.22 supprimée] [Correction MR2 : finalement rattachée à F129]
US.125	F.130		Positive	Remblai ?	Couche à composante majoritaire argileuse et une faible présence limoneuse, compact et jaune localisé au sud-ouest du mur F.5. Des traces concentriques rouges correspondant à de la rubéfaction sont observables en plan. On relève également la présence de graviers éparses et de rares inclusions de TCA. Recharge du niveau US.123 ? [Observation MR : cette description correspond en fait à l'US.127, qui appartient à l'état précédent. Niveau enlevé de F.51 et transféré dans F.130, et donc transformé en remblais]
US.126	F.125		Positive	Démolition	Niveau sablo limoneux meuble charbonneux noir situé près de la berne N-S à l'est de l'espace E. On note la présence de fragments d'enduits peints en vrac de petites dimensions (0-15 cm). [Observation MR : ajout égalité avec US.379 + rattachement au fait F.125 + identification : de "remblai" à "niveau de démolition".]
US.127	F.68		Positive	Niveau de circulation	Argile compacte homogène jaune/orange sans inclusion de charbon localisé sur presque l'ensemble du SD.3. Comme le niveau précédent, cette couche possède des traces rouges correspondant à des résidus de rubéfaction. Correspond à un niveau de sol en terre battue. Niveau probablement équivalent à l'US.121 (SD.2). Observé dans la coupe ouest du sondage S.12, sur une hauteur de 31cm. Présente des inclusions de mortier régulières localisées dans sa partie nord ainsi qu'une présence de blocs (5 à 10cm) alignés sur deux niveaux formant des possibles lisérais. Altis observées dans la coupe ouest du sondage S.12 : Zsup : 262,35 / Zinf : 262,04
US.128			Positive	Remblai	Remblai hétérogène sous l'état de voirie le plus récent, observé dans la partie ouest du secteur 2. Il se compose de blocs de calcaire lithographique bruts pris dans une matrice limoneuse friable hétérogène brune. Possible égalité avec US.166.
US.129	F.16	Ensemble B	Positive	Comblement	Niveau argilo limoneux hétérogène compact marron et rouge comportant de nombreuses inclusions de pierres (20-25cm). Correspond au comblement de la fosse F16.
US.130	F.44	Ensemble B ; Espace B6	Positive	Remblai	Niveau d'argile brun-jaune, compacte, homogène. Il a été observé de manière continue entre la fosse d'implantation de la base F31 jusqu'au creusement F16 de manière. Probable remblai équivalent à l'US.84 et US.100. [correction MR : US. rattachée à F.44 : apport sédimentaire destiné à combler l'affaissement de l'US.120 (recharge de l'US.131) envue de l'installation de US.119] [Note MR : ce niveau constitue une recharge de F.44 uniquement localisée dans sa partie piétonne]
US.131	F.44	Ensemble B ; Espace B6	Positive	Bande de roulement	Blocs émoussés tenus entre eux par un mortier de chaux induré. Nombreux blocs de module de 2 à 10cm, mais aussi des blocs de module plus important (20-30 cm). Il s'agit de la bande roulement de l'état 3 de la voie. Cette bande de roulement n'est pas présente partout mais est très bien conservée à certains endroits. Deux ornières sont visibles, larges d'environ 15 cm. Il est visible dans l'espace F et G. Le niveau est présent partiellement dans la berne E/O entre l'Esp. G et le SD.1, à l'Est de F.31.
US.132	F.45	Ensemble A ; Espace A2 ; Espace A1	Construite	Élévation	Maçonnerie en "T" partant du mur (US 11) dont les moellons sont équarris. L'us 132 est scellée par du mortier de chaux au croisement des deux axes du mur, une "pile" subsiste sur environ 40 cm de haut (profil carré, 60x60 cm).
US.133	F.44	Ensemble B ; Espace B6	Positive	Radier	Radier (voirie état 4) observé ponctuellement et composé d'une couche argilo-limoneuse marron compacte, de nombreux blocs jaunes non émoussés en vrac et de modules variables (2 à 20 cm). Ponctuellement, des blocs de grosses dimensions sont employés (visibles proche de la berne ouest). Il est visible dans l'espace F et G.
US.134	F.131	Ensemble C ; Espace C7	Positive	Niveau de circulation ?	Niveau d'argile compact, homogène, associé à de nombreux charbons. Niveau possiblement égal au niveau de circulation US.150 ou possible niveau d'occupation (contemporain de F.34) ou de démolition (postérieur à F.34).
US.135	F.124	Ensemble C ; Espace C5 ; Espace C1 ; Espace C4 ; Espace C6	Positive	Niveau de préparation	Niveau argileux orange, compact et homogène observé dans l'angle sud-est de l'espace D. Il fait vraisemblablement office d'encaisant pour l'installation des lambourdes (égalité avec US 65). [anciennement F.48] Pendage : Z inf : 261,72 m NGF. Niveau fin de fouille 2021. [observation MR : niveau sans doute égale à US.65 et US.324. Correspond sans doute au sommet de la séquence de remblaiement F.121 mais semble prendre la forme d'un épais niveau de préparation vraisemblablement destiné à accueillir les sols des différents espaces]
US.136	F.60	Ensemble C ; Espace C1	Construite	Enduit	Enduit de mortier de chaux blanc, compact et d'environ 2 centimètres d'épaisseur. Il est posé contre les parois de l'aménagement F.60.

Mutations urbaines à *Nasium* (Meuse) | Rapport intermédiaire 2023

	Sous	Égale/équivalente	Sur	Mobilier
	Sous US.121 ; Sous US.91		Sur US.46	Alliage cuivreux ; Céramique ; Faune ; Fer ; Terre crue ; Verre
	Coupée par US.38 ; Sous US.125		Sur US.147	Céramique ; Faune ; Fer ; Terre cuite
		Équivalente à US.201 ; Équivalente à US.210	Sur US.148	Céramique ; Faune ; Fer
	Coupée par US.38 ; Sous US.41		Sur F.77 ; Sur F.78 ; Sur US.123 ; Sur US.265 ; Sur US.272	Céramique ; Faune ; Fer ; Terre cuite
	Sous US.148 ; Sous US.201 ; Sous US.210	Égale à US.379	Sur F.60 ; Sur US.135 ; Sur US.184 ; Sur US.185 ; Sur US.46	Enduits peints ; Faune ; Fer
	Coupée par F.46 ; Coupée par F.78 ; Coupée par US.142 ; Coupée par US.266 ; Coupée par US.278 ; Sous US.147		Sur US.294	Alliage cuivreux ; Céramique ; Faune ; Fer ; Lithique ; Verre
	Sous US.165 ; Sous US.84	Égale à US.166		Alliage cuivreux ; Céramique ; Faune ; Fer ; Terre crue ; Verre
	Sous US.84		Sur US.54	Céramique ; Faune ; Fer ; Verre
	Sous US.51	Équivalente à US.84	Sur F.57 ; Sur US.105 ; Sur US.120 ; Sur US.170	Céramique ; Faune ; Fer
	Coupée par US.175 ; Coupée par US.216 ; Coupée par US.58 ; Coupée par US.78 ; Sous US.231 ; Sous US.65 ; Sous US.83	Égale à US.235 ; Équivalente à US.232 ; Équivalente à US.50	Sur US.133	Alliage cuivreux ; Céramique ; Faune ; Fer
	Sert d'appui à US.153 ; Sert d'appui à US.154 ; Sert d'appui à US.155 ; Sert d'appui à US.163 ; Sert d'appui à US.173 ; Sous US.111		S'appuie contre US.11	
	Coupée par US.175 ; Coupée par US.78 ; Sous US.131 ; Sous US.232		Sur US.141 ; Sur US.157 ; Sur US.158 ; Sur US.161 ; Sur US.162 ; Sur US.195 ; Sur US.262	Céramique ; Faune ; Fer ; Verre
		Égale à US.146		Alliage cuivreux ; Céramique ; Faune ; Fer
	Coupée par US.188 ; Coupée par US.193 ; Sous US.126 ; Sous US.470	Égale à US.65 ; Équivalente à US.324	S'appuie contre F.48 ; Sur US.212 ; Sur US.411	Céramique
	Sous US.184		Sur US.193	

Mutations urbaines à Nasium (Meuse) | Rapport intermédiaire 2023

N° US	Fait	Ensembles	Type	Identification	Description
US.137	F.118	Espace A1 ; Espace A2 ; Ensemble A	Positive	Remblai	Remblai limoneux meuble homogène de couleur marron composé d'inclusions de mortier de chaux, de graviers, d'argile et de charbons.
US.138	F.43	Ensemble C ; Espace C4	Positive	Poutre carbonisée	Négatif de poutre (?) carbonisée située dans le prolongement occidental de l'US.75. Probablement prolongement de lambourde observé dans la partie affaissée du sol F.43.
US.139	F.38	Ensemble B ; Espace B4 ; Espace B5	Construite	Piédroit	Piédroit du caniveau F38 composé de blocs en calcaire de forme quadrangulaire. Au moins deux assises sont observables. Piédroit coupé à l'ouest par F58 et à l'est par F29. Il continu probablement dans la coupe nord de l'espace. A l'ouest, entre F.29 et F.58, l'assise supérieure est composée de blocs de plus gros modules et émousés (intégrés à l'espace de circulation ?).
US.140	F.38	Ensemble B ; Espace B4 ; Espace B5	Construite	Piédroit	Piédroit du caniveau F38 composé de blocs de calcaires quadrangulaires grossiers et équarris. Au moins deux assises sont observables. Le piédroit est coupé à l'ouest par F58 et au centre du secteur par F29 (interruption de 90 cm) mais se poursuit vers l'est après cette interruption. Ce piédroit forme un possible retour à angle droit vers le sud avec F57 mais la jonction est perturbée par la fosse F58.
US.141	F.38	Ensemble B ; Espace B4 ; Espace B5	Positive	Comblement	Comblement supérieur du caniveau F38 composé d'un limon meuble brun gris et de blocs de taille moyenne. De nombreux tessons de céramiques sont visibles dans ce comblement. Il s'agit sans doute d'un comblement post utilisation après la récupération des dalles de couverture.
US.142	F.46	Espace C6	Négative	Creusement	Creusement de F.46. Creusement circulaire, profil en cuvette.
US.143	F.46	Espace C6	Positive	Comblement	Comblement de F.46. limon brun, meuble et homogène avec inclusions de gravier. Charbons présents.
US.144	F.34	Ensemble C ; Espace C7	Positive	Niveau de démolition	Matrice limoneuse brune, meuble et hétérogène comportant de nombreuses dalles de lauze fragmentaires, des inclusions de charbon et des traces de rubéfaction. Niveau de démolition de F.34 recouvrant le ceinturage [US.101] et se prolongeant à l'extérieur du four.
US.145	F.28		Positive	Niveau de circulation	Niveau d'argile orange à jaune, compact et homogène, observé dans la partie affaissée du sol F.43. Probable niveau de circulation équivalent à l'US.65. Niveau fin de fouille 2020.
US.146	F.131	Ensemble C ; Espace C7	Positive	Niveau d'incendie	Limon compact noir et charbonneux, homogène, associé à de nombreux fragments de torchis et de mortier de chaux blanc, friable et sans inclusions. Niveau de fonctionnement associé au four F.34. Equivalent de l'[US.150]. Niveau fin de fouille 2020.
US.147	F.51	Ensemble C ; Espace C9	Positive	Radier	Nombreux graviers et cailloux pris dans une matrice limoneuse jaune indurée et homogène. Les cailloux sont roulés et de petite taille (0-5cm)
US.148	F.125		Construite	Enduits peints	Couche de fragments d'enduits et d'enduits peints déposés en accordéons entre le remblai/niveau de démolition (US 124) et le niveau charbonneux (US 126). On peut identifier des enduits blancs avec des traces de clayonnage et des enduits peints colorés (rouge, orange et beige). On observe deux à trois couches de préparations et de mortiers (dont un mortier de chaux gris/jaune compact composé de graviers) derrière les enduits, il est certain que la dernière encore visible correspond à une paroi en matériau périssable. Les enduits ont été prélevés en lot, non avec du paraloïde et reconditionnés à plat dans des bacs.
US.149	F.52	Ensemble B ; Espace B4	Positive	Niveau de préparation	Niveau argilo-limoneux marron, homogène et compact. Bien qu'il n'ait pas été observé systématiquement sous la bande de roulement de F.52, il correspond potentiellement à un niveau de préparation de l'état 3 de la voirie.
US.150	F.131	Ensemble C ; Espace C7	Positive	Démolition	Limon marron foncé, compact et homogène comprenant de nombreux éléments de démolition (blocs en calcaire lithographique, dalles sciées, inclusions de torchis, éléments métalliques). Il constitue l'encaissant du four F.34. Niveau identifié tardivement, le mobilier ayant été trouvé dans les premiers temps de fouille autour de F.34 ont été incorporés dans [US.41]. [Correction MR : ajout équivalence US.146 qui est un probable niveau d'incendie]
US.151	F.49	Espace A	Négative	Annulé	Creusement de F.49. Plan indéterminé et profil en cuvette.
US.152	F.118	Espace A1 ; Espace A2 ; Ensemble A	Positive	Remblai	Remblai constitué de blocs en calcaire lithographique (10-30cm) dans une matrice limoneuse brune meuble avec des inclusions de gravier. Constitue vraisemblablement le comblement/nivellement de l'accès à l'espace excavé ou semi-excavé. Initialement interprété comme comblement de F49 (faussement considérée comme fosse de récupération).
US.153	F.50	Ensemble A	Positive	Sol	Sol, niveau de préparation de sol ou niveau de travail recouvrant en grande partie l'espace A. Celui-ci est composé d'un mortier de chaux blanc associé à des inclusions millimétriques de gravier et d'éclats de calcaire lithographique (fragments dus à la retaille des moellons ayant servis à la construction des murs de l'espace A ?
US.154	F.56	Ensemble A ; Espace A2 ; Espace A1	Positive	Niveau de démolition	Niveau d'argile compact, homogène et brun observé dans l'angle nord-est de l'espace A.
US.155	F.56	Ensemble A ; Espace A2 ; Espace A1	Positive	Niveau d'incendie	Fin niveau limoneux noir meuble homogène noire qui se développe sur la totalité du sol conservé (US 153). Probable niveau d'incendie
US.156	F.39	Ensemble A ; Espace A1	Construite	Élévation	Retour du mur F4 composé de moellons en calcaire lithographique. Celui-ci est chaîné avec le mur F11; scellé par du mortier de chaux blanc/jaune. Le mur continue hors de l'emprise vers le nord. On observe deux niveaux distincts par la taille. La partie basse du mur dispose d'un bloc brut, ce qui n'est pas forcément le cas avec le mur F11 au même niveau d'assise.
US.157	F.52	Ensemble B ; Espace B4	Positive	Bande de roulement	Bande de roulement de l'état 3 dont la mise en oeuvre est caractérisée par l'emploi de blocs de calcaire lithographique bruts (et émousés) pris dans un mortier de chaux blanc ou dans une matrice limoneuse.

Mutations urbaines à *Nasium* (Meuse) | Rapport intermédiaire 2023

	Sous	Égale/équivalente	Sur	Mobilier
	Coupée par US.151 ; Sous US.109	Équivalente à US.111	Sur US.155 ; Sur US.163 ; Sur US.173	Alliage cuivreux ; Céramique ; Faune ; Fer ; Lapidaire ; Terre cuite ; Verre
	Sous US.53	Égale à US.75	Sur US.145	
	Coupée par US.175 ; Coupée par US.78 ; Sous F.44 ; Sous US.141 ; Sous US.164	Équivalente à US.140 ; Équivalente à US.258	Sur US.253	
	Coupée par US.175 ; Sert d'appui à US.170 ; Sert d'appui à US.186 ; Sert d'appui à US.187 ; Sous US.141 ; Sous US.164	Équivalente à US.139	Sur US.253	
	Coupée par US.175 ; Sous US.133		Remplit US.258 ; Sur US.139 ; Sur US.140 ; Sur US.164	Céramique ; Faune ; Fer
	Remplie par US.143		Coupe US.127	
	Sous US.147		Remplit US.142	Céramique ; Fer
	Sous US.41		Sur US.101 ; Sur US.103 ; Sur US.159	Céramique ; Fer ; Terre crue
	Sous US.138	Égale à US.65	Sur US.82	Céramique ; Faune
	Coupée par US.172 ; Sous US.197 ; Sous US.291	Égale à US.134 ; Équivalente à US.150		Alliage cuivreux ; Céramique ; Faune ; Fer
	Sous US.123		Sur US.127 ; Sur US.143	Céramique ; Faune ; Fer
	Sous US.124		Sur US.126	
	Sous F.23 ; Sous US.157 ; Sous US.58	Équivalente à US.452	Sur US.194	Céramique ; Faune
		Équivalente à US.146		
	Sous US.152		Coupe US.109 ; Coupe US.111 ; Coupe US.137	
	Sous US.49		Sur US.151	
	Sous US.154		S'appuie contre US.11 ; S'appuie contre US.132 ; S'appuie contre US.156 ; Sur F.90 ; Sur US.349	Alliage cuivreux ; Céramique
	Sous US.155		S'appuie contre US.132 ; Sur US.153	Céramique ; Faune ; Fer
	Sous US.111 ; Sous US.137		S'appuie contre US.11 ; S'appuie contre US.132 ; S'appuie contre US.156 ; Sur US.154	Céramique ; Faune ; Fer
	Sert d'appui à US.109 ; Sert d'appui à US.111 ; Sert d'appui à US.153 ; Sert d'appui à US.155 ; Sert d'appui à US.156 ; Sous US.14	Chaînée avec US.11	Sur F.94 ; Sur US.323	
	Sous US.133 ; Sous US.262		S'appuie contre US.158 ; S'appuie contre US.161 ; Sur US.149 ; Sur US.195	Alliage cuivreux ; Céramique ; Faune ; Fer

Mutations urbaines à Nasium (Meuse) | Rapport intermédiaire 2023

N° US	Fait	Ensembles	Type	Identification	Description
US.158	F.42	Ensemble B	Construite	Piédroit	Piédroit nord du caniveau F42 constitué d'un alignement de blocs relativement quadrangulaires, assemblés avec de la terre (pas d'utilisation de mortier).
US.159	F.34	Ensemble C ; Espace C7	Construite	Seuil	Alandier de deux grandes dalles sciées rectangulaires, posées à plat et taillées sur 54.5 cm et 30 cm de long et chacune pour 58.8 cm de large. A son extrémité est se trouve une rangée de petites dalle de calage posées verticalement (5 cm de haut). Les dalles semblent décalées par rapport à la bouche du four : possibilité qu'un morceau ne soit pas conservé au niveau de l'extrémité méridionale.
US.160	F.34	Ensemble C ; Espace C7	Construite	Sommier	Sommier du four F.34 constitué de dalle de lauze. Des traces de rubéfaction sont observables sur quelques dalles. Les dalles sont dans un état fragmentaires dont un grand nombre sont pulvérulentes. Elles se caractérisent par une couleur grise.
US.161	F.42	Ensemble B	Construite	Piédroit	Piédroit le plus au sud du caniveau F42. Se compose d'un alignement de blocs en calcaire oolithique (30-40cm)relativement quadrangulaires, assemblés à la terre (pas de présence de mortier de chaux).
US.162	F.42	Ensemble B	Positive	Comblement	Comblement de F42 caractérisé par des blocs dans un limon meuble brun.
US.163	F.53	Ensemble A ; Espace A2 ; Espace A1	Construite	Élévation	Retour maçonné en calcaire lithographique s'appuyant contre le mur US 132. Les blocs irréguliers le composant sont scellés par un mortier de chaux. Ils sont légèrement équarris. La maçonnerie semble se continuer sous l'emprise de fouille vers l'ouest.
US.164	F.38	Ensemble B ; Espace B4 ; Espace B5	Construite	Dalle de couverture	Dalles de couverture en calcaire recouvrant le caniveau F38. Il s'agit d'un bloc de calcaire lithographique grossièrement équarri de forme quadrangulaire. On observe qu'il s'appuie sur le piédroit sud du caniveau (US 140) mais nous ne possédons pas les éléments nécessaires pour établir son lien avec le piédroit sud (sous la coupe nord). [Correction MR : US annulée remise en "dalle de couverture"]
US.165	F.54	Ensemble B ; Espace B5	Construite	Niveau de circulation	Sol maçonné composé de mortier de chaux blanc induré et de cailloutis (3-5cm) observé sur une faible surface à l'extrême sud du secteur 2, le long de la berne de séparation avec le secteur 1.
US.166	F.54	Ensemble B ; Espace B5	Construite	Radier	Blocs de calcaire lithographique bruts de gros module (20 à 40 cm de long) disposés sur un niveau et pris dans une matrice limoneuse brune, compacte et homogène. Probable radier posé en vue de l'installation du niveau de circulation [US.165]. Il n'a été observé que sur une étroite bande comprise entre le caniveau F.38 et la berne de référence est/ouest septentrionale. On note que la limite ouest du radier est matérialisée par une rangée de blocs de gabarit sensible supérieur (de 30 à 40 cm de long). [Correction MR : l'US.166 constitue très probablement l'équivalent du radier US.194/195 qui constitue lui-même le radier de préparation de la voirie F.52]
US.167	F.63	Ensemble B ; Espace B3	Positive	Niveau de circulation	Niveau de circulation composé de cailloutis blancs émoussés dans une matrice limoneuse beige/gris. Niveau très fragile, les cailloux blancs se déchaussent très facilement. Il est épais de 5 à 10 cm. Le niveau apparaît directement sous le radier de l'état 3. Il est égal à l'US.218 de l'état 2 (aucune distinction dans la mise en œuvre).
US.168	F.68		Positive	Annulé	Blocs en calcaire lithographique (10-15 cm) bruts pris dans une matrice limoneuse meuble de couleur brune. Probable radier du sol F.68. Niveau fin de fouille 2020 [Observation MR : présence de ce niveau douteuse, non observé dans la coupe CP.17 du sondage SD.12, à annuler]
US.169			Positive	Remblai ?	Niveau limoneux brun compact et homogène longeant l'US.127 et la berne est/ouest au nord du sondage 3. Observé en plan et non fouillé, il semble contemporain ou immédiatement postérieur à F.68. Possiblement équivalent à l'US.77 Niveau fin de fouille 2020.
US.170	F.57		Construite	Annulé	Alignement nord-sud de blocs en calcaire lithographique grossièrement équarris, venant s'appuyer sur le piédroit sud du caniveau F38 et formant un angle droit avec celui-ci (possible retour du caniveau vers le sud ?).
US.171	F.34	Ensemble C ; Espace C7	Positive	Comblement	Argile brune, compacte et homogène, utilisée comme blocage pour l'installation du sommier et du ceinturage. Matrice sédimentaire supportant la "maçonnerie" du four et ayant été altérée par la chaleur de ce dernier.
US.172	F.34	Ensemble C ; Espace C7	Négative	Creusement	Creusement de la fosse d'implantation du four F.34. Possède en plan une forme irrégulière. Le profil observé est en forme de cuvette.
US.173			Positive	Niveau de travail	Niveau de travail caractérisé par une couche limoneuse homogène compacte marron avec des inclusions de charbons. Probable niveau de préparation destiné à accueillir un sol aujourd'hui disparue. Fonctionne certainement avec les murs (US 11; US 132 et US 163).
US.174	F.129	Ensemble C	Positive	Remblai	Niveau limoneux hétérogène marron meuble dans lequel on observe la présence de nombreux coquillages. Ceux-ci n'ont pas été prélevés. Néanmoins certains exemplaires ont été collectés et incorporés dans le lot faune (INV. 655 ou INV. 656). Présent sur une petite surface près de la coupe nord-sud (vers l'est) du sondage 1.
US.175	F.58	Ensemble B ; Espace B7 ; Espace B8	Négative	Creusement	Creusement ovalaire dont le profil en U correspond à la fosse F58, situé à l'extrémité du secteur 2 et venant couper F38 (caniveau) et F57 (possible reste de caniveau).
US.176	F.58	Ensemble B ; Espace B7 ; Espace B8	Positive	Comblement	Comblement de la fosse F58 composé de blocs dans une matrice limoneuse meuble brune.
US.177	F.59		Négative	Creusement	Creusement de F59 en forme de U uniquement observé en coupe dans la coupe ouest de l'espace D. Le plan est non observable. Est comblé par l'US 178.
US.178	F.59		Positive	Comblement	Comblement de F59 observé uniquement dans la coupe ouest. Celui-ci se compose d'un limon brun/gris, meuble et hétérogène avec la présence de large blocs en calcaire (15-30 cm). On observe des inclusions de charbons récurrentes, de mortier de chaux et de torchis.

Mutations urbaines à *Nasium* (Meuse) | Rapport intermédiaire 2023

	Sous	Égale/équivalente	Sur	Mobilier
	Sert d'appui à US.157 ; Sert d'appui à US.162 ; Sous US.133	Équivalente à US.161		
	Sous US.102 ; Sous US.144		Sur US.180	Lithique
	Sous US.101		Sur US.171 ; Sur US.180	
	Sert d'appui à US.157 ; Sert d'appui à US.162 ; Sous US.133	Équivalente à US.158		
	Sous US.133		S'appuie contre US.158 ; S'appuie contre US.161	Céramique ; Faune ; Fer
	Sert d'appui à US.173 ; Sous US.137		S'appuie contre US.132	
	Sous US.141		Sur US.139 ; Sur US.140	
	Sous US.452 ; Sous US.84	Équivalente à US.120	Sur US.128 ; Sur US.166	
	Sous US.165	Égale à US.128 ; Égale à US.186 ; Équivalente à US.194 ; Équivalente à US.195	Sur US.167	
	Sous F.61 ; Sous US.166 ; Sous US.186	Égale à US.218	Sur US.339	Alliage cuivreux ; Fer
	Sous US.41			
	Coupée par F.58 ; Coupée par US.175 ; Sous US.130		S'appuie contre US.140	
	Sous US.160	Équivalente à US.180	Sur US.172	Céramique ; Faune
	Sous US.171 ; Sous US.180		Coupe US.146	
	Sous US.137		S'appuie contre F.4 ; S'appuie contre US.11 ; S'appuie contre US.132 ; S'appuie contre US.163	
		Égale à US.201		Céramique ; Faune
	Sous US.176		Coupe US.131 ; Coupe US.133 ; Coupe US.139 ; Coupe US.140 ; Coupe US.141 ; Coupe US.17 ; Coupe US.170	
	Sous US.1 ; Sous US.2	Équivalente à US.255	Sur US.175	
	Sous US.178		Coupe US.34	
	Sous US.2		Sur US.177	

Mutations urbaines à Nasium (Meuse) | Rapport intermédiaire 2023

N° US	Fait	Ensembles	Type	Identification	Description
US.179	F.132		Positive	Remblai	Remblai caractérisé par un sédiment limono-sableux jaune friable et hétérogène. On observe des inclusions fréquentes de charbons, des blocs de calcaire mameux de modules variables (entre 5 et 30cm) et des fragments de dalles de lauze. Niveau observé uniquement en coupe. [Correction MR : ajout de l'équivalence avec US.47. Fait très certainement partie de la séquence de remblaiement marquant le début de l'état 4]
US.180	F.34	Ensemble C ; Espace C7	Positive	Rubéfaction	Sédiment sablonneux brun/jaune meuble et hétérogène comportant de nombreuses poches de limon brun/jaune (dalles de lauze pulvérulentes ?) et des traces de rubéfaction. Des dalles sciées calcinées sont déposées à plat. Les plus remarquables sont alignées verticalement. Placées sous le dernier niveau maçonné du four F.34, les dalles semblent suivre sur un même axe une structure maçonnée circulaire en dalle de lauze (non identifiée). Cette structure a été observé dans la partie est du four évidé. Niveau de fin de fouille 2020.
US.181				Annulé	Limon brun possédant des inclusions de larges blocs de pierre dans l'espace D.
US.182	F.31		Positive	Comblement	Comblement inférieur de F31, se caractérise par un sédiment limoneux compacte homogène de couleur brune avec de fortes inclusions de charbons. Observable dans la coupe nord-sud (R28) et dans la coupe est-ouest de l'espace D.
US.183	F.48	Ensemble C ; Espace C4	Positive	Poutre carbonisée	Lambourde carbonisée d'orientation est ouest localisée dans l'espace E du secteur 1. Elle permet de joindre F60 et F85. Subit en fort pendage est ouest.
US.184	F.60	Ensemble C ; Espace C1	Positive	Comblement	Comblement de F.60. Il se caractérise par un sédiment limono-sablonneux meuble, hétérogène de couleur marron. On observe une des inclusions de charbon récurrentes, de torchis et de poches d'argile rubéfiées. Possible dépôt postérieur à la récupération du madrier de F.60.
US.185	F.67	Ensemble C ; Espace C1	Positive	Comblement	Comblement de la tranchée F.67. Niveau argilo-limoneux marron, compact et hétérogène associé à des blocs de calcaire lithographique bruts. Niveau possiblement équivalent au remblai US.210.
US.186	F.61		Construite	Annulé	
US.187	F.61		Construite	Annulé	
US.188	F.48	Ensemble C ; Espace C4	Négative	Creusement	Creusement d'installation des lambourdes du plancher F.48.
US.189			Positive	Annulé	Niveau d'argile jaune, compacte, et hétérogène jaune, associé à de nombreuses traces de rubéfaction et des inclusions de charbon. Ce niveau fait office d'encaissant pour l'installation du madrier F.60 et est probablement équivalent à l'US.65/135 qui constitue l'encaissant des lombardes du plancher F.48. Il s'agit donc potentiellement d'une forme de préparation de sol/remblai déposée en vue de l'installation des sols et des cloisons d'un espace encore mal délimité. Niveau de fin de fouille 2020.
US.190	F.48	Ensemble C ; Espace C4	Positive	Annulé	Niveau limono sableux meuble, hétérogène, gris composé de fortes inclusions de charbon, de mortier de chaux et de torchis. Pourrait se poursuivre comme comblement de F60.
US.191			Construite	Annulé	Possible niveau de préparation pour un sol maçonné à l'est dans l'espace D. Se compose de cailloux anguleux (0-5cm), de mortier de chaux blanc, friable avec des inclusions de graviers et des nodules de chaux. Ces éléments sont dans une matrice argileuse jaune et indurée. Il n'est conservé que sur une petite partie, d'à peine 20cm de longueur sur une dizaine de largeur.
US.192			Construite	Annulé	Niveau de préparation de sol composé d'un argile orange et de cailloux (5-7cm) anguleux, sans présence de mortier. N'est conservé que sur une vingtaine de cm de longueur et une dizaine de largeur au sud-est de l'espace D.
US.193	F.60	Ensemble C ; Espace C1	Négative	Creusement	Creusement d'installation de l'aménagement F.60 (possible mise en place d'un madrier lié à F.48).
US.194	F.52	Ensemble B ; Espace B4	Positive	Radier	Radier constitué de blocs de calcaire bruts, jaunes, de petits (5-10cm) à moyens (10-15cm) modules, pris dans une matrice sédimentaire limono-argileuse marron, compacte et homogène. Remarque: Même mise en oeuvre que US 133 de l'état 3.
US.195	F.52	Ensemble B ; Espace B4	Construite	Radier	Radier constitué de blocs de calcaire lithographique bruts de gros module (plus de 20cm) pris dans un mortier beige, friable. Observé uniquement au sud du caniveau F38. Possible équivalent "piéton" du radier US 194, observé au nord de F38 et préservé à l'ouest de l'Esp. G
US.196			Positive	Niveau de circulation	Niveau de circulation composé d'une matrice argileuse jaune, compacte et homogène, comprenant des inclusions de blocs en calcaire lithographique de petit module (2-3 cm de long). N'a été observé qu'en coupe.
US.197			Positive	Niveau de circulation	Limon gris, induré et homogène, uniquement observé dans la coupe est du sondage 4. De nombreuses inclusions de charbon de bois sont perceptibles. Sa composition se rapproche de l'[US.146].
US.198	F.66		Positive	Comblement	Comblement de la potentielle fosse de récupération F66. Observé uniquement dans la coupe Nord-Sud de l'espace D. Se caractérise par une matrice limoneuse dans laquelle on observe de larges blocs en calcaires (15-30cm) en vrac dont certains sont posés à quelques centimètres du bloc US 86.
US.199	F.66		Négative	Creusement	Creusement de la possible fosse de récupération F66 dont le profil en cuvette est observable dans la coupe Nord-Sud de l'espace D. Son plan n'a pas été observé pendant la fouille. Est comblé par une matrice limoneuse sombre et de larges blocs calcaires (US 198). Le creusement vient s'appuyer directement sur la face supérieure du bloc monumental US. 86.

Mutations urbaines à *Nasium* (Meuse) | Rapport intermédiaire 2023

	Sous	Égale/équivalente	Sur	Mobilier
	Sous US.34	Équivalente à US.47	Sur US.48	Céramique
	Sous US.159 ; Sous US.160	Équivalente à US.171	Sur US.172	Céramique ; Faune ; Fer
	Sous US.48		S'appuie contre US.87	Céramique ; Faune ; Fer
		Équivalente à US.75	Sur US.188	
	Sous US.126		Sur US.136	
	Sous US.126		Sur US.209	
	Sous US.187	Égale à US.166	S'appuie contre US.140 ; Sur US.167	
			S'appuie contre US.140 ; Sur US.186	
	Sous US.183	Équivalente à US.211	Coupe US.135 ; Coupe US.65	
	Sous US.136		Coupe US.135	
	Sous US.149	Équivalente à US.166 ; Équivalente à US.195	Sur US.218 ; Sur US.320	Alliage cuivreux ; Céramique ; Faune ; Fer
	Sous US.133 ; Sous US.157	Équivalente à US.166 ; Équivalente à US.194	Sur US.218 ; Sur US.264	
	Sous US.41		Sur US.197	Céramique ; Fer
	Sous US.196		Sur US.146	
	Sous US.2		Sur US.199	
	Sous US.198		Coupe US.34 ; Sur US.86	

Mutations urbaines à Nasium (Meuse) | Rapport intermédiaire 2023

N° US	Fait	Ensembles	Type	Identification	Description
US.200			Positive	Annulé	Niveau sablonneux brun possédant des inclusions de torchis. Observé lors des derniers jours de fouille de la campagne 2020 en plan au sud de l'espace D et dans la coupe est-ouest. Vient se poser sur la planche carbonisée US. 118.
US.201	F.129	Ensemble C	Positive	Remblai	Niveau limono-sableux charbonneux gris uniquement observé dans la coupe sud du SD.1. Présence de lauzes et de blocs calcaires (5-10cm). Remblai constitué de matériaux de démolition. [MR : rattachement au fait F.129]
US.202	F.34	Ensemble C ; Espace C7	Construite	Supports	Quatre supports en lauze façonné dans des dalles carrés cassées en leur centre pour créer un arc de cercle avec une extrémité triangulaire. Devaient soutenir la sole [US.103].
US.203	F.130		Positive	Remblai	Remblai limoneux brun, homogène et compact, associé à quelques blocs de calcaire lithographique bruts de module variable. Ce niveau semble prendre appui contre le mur F.5 avant d'être perturbé par la tranchée de spoliation de celui-ci. Son extrémité ouest paraît interrompue par un creusement (comblé par le recouvrement colluvionnaire). Possible reliquat du sol de l'état d'occupation contemporain de F.5 et F.13. Observé uniquement dans la coupe de référence sud en post-fouille. [Correction MR : le "creusement" observé au niveau de l'extrémité ouest de ce niveau correspond sans doute à l'érosion] [Correction MR 2 : la présence de cette US à l'est comme à l'ouest du mur F.5 tend à prouver que la phase de remblaiement F130 est commune aux bâtiments ENSC et ENSD]
US.204	F.4	Ensemble A ; Ensemble B ; Espace A1 ; Espace A2	Construite	Fondation	Possible fondation de F4, observée sur deux à trois assises durant la campagne 2020. Elle se distingue de l'élévation (US.11) par une disposition moins régulière et l'emploi de blocs de module plus important. On observe également une moins bonne conservation des joints, susceptible de trahir un traitement différencié.
US.205			Construite	Niveau de circulation ?	Poche de mortier blanc appartenant à l'US.41 premièrement observé en coupe puis en plan dans le démontage de la berne séparant le SD.2 et le SD.3. [Observation MR : Sol ?? Ce niveau semble correspondre en coupe à un horizon de circulation contemporain de F.20. Modification identification : de "remblai" à "niveau de circulation ?"]
US.206	F.41	Ensemble C ; Espace C2	Construite	Élévation	Assises d'élévation du mur est de la cave, conservée sur 13 assises (145 cm de hauteur au plus haut) principalement de moellons de calcaire lithographique et quelques moellons de marne. Les moellons ont une face de parement grossièrement plane. Ils ont une longueur variant de 10 à 28 cm. Hauteur d'assises de 8 à 12 cm. Les joints sont soigneusement tirés au fer avec du mortier de chaux blanche-beige différente du mortier de la maçonnerie, avec des inclusions de sable et de gros nodules de TCA.
US.207	F.64	Ensemble C ; Espace C2	Construite	Élévation	Elevation du mur F64 constitué de moellons en calcaire lithographique, grossièrement équarris de petit appareil aux dimensions variables (10-15cm de hauteur pour 15-20cm de longueur).Le tout est lié par un mortier de chaux blanc, lacunaire et mal préservé. Il n'est pas possible de déterminer si les joints ont été tirés au fer comme sur les autres maçonneries de la cave. Un maximum de trois assises disposées grossièrement ont été conservé à la jonction de F93. Le reste de la maçonnerie ne préserve pas ou qu'une seule assise.
US.208	F.129	Ensemble C	Positive	Remblai	Niveau de limon brun, homogène et compact, fortement chargé en inclusions de fragments de mortier blanc et friable de petit module ainsi que de blocs de calcaire lithographique bruts de petit (0-5 cm de long) à moyen module (10-15 cm de long). Observé uniquement en coupe. Possible remblai appartenant à la même séquence de remblaiement que les US 124 et 210. [Correction MR : modification : "sous US.121" au lieu de "sous US.124" + rattachement à F.129]
US.209	F.67	Ensemble C ; Espace C1	Négative	Creusement	Creusement de la tranchée F.67. Creusement linéaire rectiligne, profil en U. [Correction MR : creusement coupe US.65 au lieu de US.126]
US.210	F.129	Ensemble C	Positive	Remblai	Niveau très hétérogène constitué d'une matrice sédimentaire limono-argileuse brune associée à de nombreux blocs de calcaire lithographique bruts de petit (0-10 cm de long) à moyen module (10-20 cm de long), ainsi qu'à de nombreuses inclusions de poches de rubéfaction et/ou de cendre et à de fréquents charbons. Possible remblai appartenant à la même séquence de remblaiement que les US 124 et 210. [Correction MR : équivalent à US.124 + équivalent US.201 (entre US.126 et US.121)]
US.211	F.43	Ensemble C ; Espace C4	Négative	Creusement	Creusement d'installation des lambourdes du plancher F.43. Ces tranchées d'installation étant toutes similaires, la métrologie donnée correspond aux dimensions d'un exemplaire.
US.212			Positive	Remblai	Blocs de calcaire lithographique bruts ou grossièrement équarris de petit (0-5 cm de long) à très gros module (plus de 40 cm de long) pris dans une trame sédimentaire limoneuse brune, homogène et compacte associée à des fragments décimétriques de lauze. Remblai, sans doute équivalent à l'US.82, antérieur aux aménagements identifiés de l'état 1. Niveau fin de fouille 2020.
US.213	F.20	Ensemble C ; Espace C8	Construite	Niveau de préparation	Niveau de préparation constitué d'une épaisse couche de mortier de chaux blanc à gris, compact et chargé en inclusions grossière de graviers et de cailloux en calcaire lithographique. [MR : égalité avec US.69]
US.214	F.129	Ensemble C	Positive	Remblai	Niveau limoneux brun, compact et homogène associé à de nombreux fragments de torchis de module centimétrique ainsi qu'à de nombreux charbons. Remblai chargé en matériaux de démolition, possiblement équivalent à US.210. [MR : niveau égal à US.210]

Mutations urbaines à *Nasium* (Meuse) | Rapport intermédiaire 2023

	Sous	Égale/équivalente	Sur	Mobilier
	Sous US.121	Égale à US.174 ; Équivalente à US.124 ; Équivalente à US.210	Sur US.126	
	Sous US.102		S'appuie contre US.101	
	Coupée par F.40	Égale à US.236	Sur US.41	
	Sous US.11		Remplit US.396	
	Sous US.41	Équivalente à F.51	Sur US.77	
	Sous US.105	Chaînée avec US.207 ; Chaînée avec US.93 ; Équivalente à US.302 ; Équivalente à US.303	Sur US.301	
	Sous US.105	Chaînée avec US.206 ; Chaînée avec US.493	Sur US.492	
	Sous US.121		Sur US.210	
	Sous US.185		Coupe US.65	
	Sous US.208	Égale à US.214 ; Équivalente à US.124 ; Équivalente à US.201	Sur US.126	
	Sous US.62 ; Sous US.74 ; Sous US.75 ; Sous US.76 ; Sous US.95 ; Sous US.98	Équivalente à US.188	Sur US.65	
	Sous US.135	Équivalente à US.82		Lapidaire
		Égale à US.69	Sur US.214	
	Sous US.213	Égale à US.210	Sur US.91	

Mutations urbaines à Nasium (Meuse) | Rapport intermédiaire 2023

N° US	Fait	Ensembles	Type	Identification	Description
US.215			Positive	Remblai	Niveau de remblai uniquement observé dans la coupe ouest de l'espace D, sous les US.48 et 47. Il est constitué de limon et blocs brun, compact et homogène. Charbons absents. Probable équivalent à US.47 ou radier de F.31.
US.216	F.11	Ensemble B ; Espace B7 ; Espace B8	Négative	Creusement	Creusement d'implantation de la colonne F.11.
US.217	F.11	Ensemble B ; Espace B7 ; Espace B8	Positive	Comblement	Comblement supérieur de la fosse d'implantation de la colonne F.11 composé de pierres de taille moyenne (module 15-20cm) moins grandes que celles du comblement inférieur (US.256). Niveau probablement destiné à assurer la stabilité de la base monumentale.
US.218	F.63	Ensemble B ; Espace B3	Positive	Bande de roulement	Niveau de cailloutis (5-15 cm) en calcaire damé et émoussé pris dans une matrice limon-argileux brun, compact et homogène. Le niveau supérieur émoussé constitue le niveau de circulation. Il présente deux niveaux de recharge.
US.219	F.62	Ensemble B ; Espace B1	Positive	Bande de roulement	Bande de roulement de l'état 1 de voirie. D'après les premières observations en plan, la bande de roulement dispose d'un assemblage de cailloux en calcaire lithographique émoussés (inf. 5cm) et de graviers installés au sein d'un limon argileux brun. Un niveau originel et deux recharges sont observées. Un troisième niveau de recharge lacunaire à forte concentration de scories est renseigné dans l'angle N-O du SD.16. La mise en Suvre générale est soignée.
US.220	F.65	Ensemble D	Négative	Creusement	Tranchée d'implantation du mur F.65.
US.221	F.65	Ensemble D	Construite	Radier	Radier de fondation du mur F.65. Il se compose de blocs de calcaire lithographique bruts et irréguliers. On note également la présence de quelques morceaux mineurs de lauze de forme équilibrée régulière dans le radier de fondation visible dans le SD.2.
US.222	F.20	Ensemble C ; Espace C8	Construite	Niveau de circulation	Possible niveau de circulation de F.20 constitué d'un mortier de chaux blanc, compact et sans inclusions notables. [observation MR : niveau de référence pour désigner surface de circulation de F.20]
US.223			Technique	Nettoyage	Nettoyage Secteur 1
US.224			Technique	Nettoyage	Nettoyage secteur 2.
US.225			Technique	Nettoyage	Nettoyage du sondage 2.
US.226	F.117	Ensemble C ; Espace C2	Négative	Creusement	Creusement d'implantation de la cave F.117. Observée partiellement au niveau de la berme E/O entre l'Espace G et le SD.1. Elle recoupe le niveau de voirie
US.227	F.117	Ensemble C ; Espace C2	Positive	Comblement	Comblement de l'implantation de la cave F.117.
US.228	F.69	Ensemble B	Négative	Creusement	Creusement de plan ovalaire pourvu d'un profil en auge de la fosse F.69. Limites difficiles à observer en plan.
US.229	F.69	Ensemble B	Positive	Comblement	Comblement supérieur de la fosse caractérisé par son hétérogénéité. Présence d'une couche charbonneuse et de limon argileux marron correspondant potentiellement au ruissellement des couches limitrophes (US.51, US.29, US.100). Fosse sûrement ouverte lors de la démolition probable du portique.
US.230	F.69	Ensemble B	Positive	Comblement	Comblement inférieur de la fosse F.69. Limon sableux marron compact et homogène comprennent quelques blocs et cailloux émoussés. [Correction MR :]
US.231	F.44	Ensemble B ; Espace B6	Positive	Remblai	Niveau de remblais limoneux, marron, compact et homogène avec inclusion fréquente de blocs. Remblai pour niveler la dépression de l'état de voirie antérieur (état 4a, F.44) causé par la récupération des dalles de couverture du caniveau. Remblai accueillant la recharge US 83 (état 4b, F.30). Non observé sur toute la longueur et largeur. Elle est épaisse d'environ 10 cm. [anciennement F.30, constitue une probable réparation de la bande de roulement US.131 avant la pose de US.83]
US.232	F.44	Ensemble B ; Espace B6	Positive	Aménagement	Alignement de blocs décimétriques très grossièrement équarris de manière plus ou moins rectangulaire pris dans la chaussée F.44. Matérialise un compartimentage de la chaussée ou l'arpentage primitif de la voie ? Elles sont enchâssées dans le niveau de circulation US. 131. L'alignement est linéaire et orienté E/O. Possible recharge ??
US.233	F.83	Ensemble D	Positive	Remblai	Sédiment limoneux, meuble, hétérogène, noir et charbonneux présent sous [US.236] dans le sondage réalisé au sud de l'espace B. Contient des blocs de calcaire lithographique de gros modules (30-40cm) ainsi que des blocs moyens décimétriques. La couche semble présenter un affaissement ainsi qu'un niveau d'interface avec l'[us 234] hétérogène de limon argileux brun très charbonneux avec des inclusions fréquentes de mortier et torchis millimétriques à centimétriques. Présence de gravillons centimétriques fréquents. Sur le remblais [US.234] et contre la maçonnerie en lauze non identifiée [US.243].
US.234	F.133	Ensemble C	Positive	Remblai	Remblai localisé sous l'[US.233] dans le sondage s.12 réalisé au sud de l'ensemble D. Sédiment caractérisé par une matrice argileuse à faible composante limoneuse, marron, meuble et hétérogène comportant des inclusions de terre crue cuite et des inclusions de charbon centimétriques et fréquents. On remarque dans la coupe une plus forte concentration de charbon du côté sud de la coupe ainsi qu'une poche de mortier conséquente (environ 30x10cm) en son centre. Contient des blocs décimétriques épars.

Mutations urbaines à *Nasium* (Meuse) | Rapport intermédiaire 2023

	Sous	Égale/équivalente	Sur	Mobilier
	Sous US.47			
	Rempie par US.256		Coupe US.131 ; Coupe US.257 ; Coupe US.83 ; Coupe US.99	
	Sous US.35		Sur US.256	Céramique ; Faune ; Fer
	Coupée par US.319 ; Coupée par US.396 ; Sous US.194 ; Sous US.195 ; Sous US.253 ; Sous US.264	Égale à US.167	Sur US.219 ; Sur US.339 ; Sur US.439	Céramique ; Faune ; Fer
	Coupée par US.319 ; Sous US.218 ; Sous US.339		Sur US.311	Alliage cuivreux ; Céramique ; Faune ; Fer
	Sous US.221	Équivalente à US.38	Coupe US.41	
	Coupée par US.21	Chaînée avec US.24	Sur US.220	Céramique ; Faune ; Fer
	Sous US.240		Sur US.268 ; Sur US.391 ; Sur US.69	
				Alliage cuivreux ; Céramique ; Faune ; Fer ; Verre
				Alliage cuivreux ; Céramique ; Faune ; Fer ; Verre
				Céramique ; Faune ; Fer
	Sous US.227			
	Sous US.301		Sur US.226	Céramique
	Rempie par US.229 ; Rempie par US.230		Coupe US.19	
	Sous US.29		Remplit US.228 ; Sur US.230	Céramique ; Faune ; Fer
	Sous US.229		Remplit US.228	Alliage cuivreux ; Céramique ; Faune ; Fer
	Sous US.83		Sur US.131	Alliage cuivreux ; Céramique ; Faune ; Fer
	Sous US.83	Équivalente à US.131	Sur US.133	
	Sous US.236 ; Sous us.243	Égale à US.273 ; Équivalente à US.350	Sur US.293	Céramique ; Faune ; Fer
	Coupée par F.83 ; Coupée par US.293	Équivalente à US.114	Sur US.252 ; Sur US.277	Céramique ; Faune ; Fer

Mutations urbaines à Nasium (Meuse) | Rapport intermédiaire 2023

N° US	Fait	Ensembles	Type	Identification	Description
US.235	F.44	Ensemble B ; Espace B6	Positive	Niveau de circulation	Niveau de circulation composé d'un niveau de mortier jaune et de petits cailloux fréquents. Il a été fouillé en 2020. Niveau localisé au sud-est de l'espace G et visible dans la coupe est. Il est contemporain de l'état 4a? Il semble constituer un niveau piétonnier. [Correction MR : niveau rattaché à F.44, recharge au niveau de l'aire de circulation piétonne] [Correction MR 2 : probable égalité de l'US.131 -> modification des relations stratis (anciennement sur 131 et sous 83)]
US.236	F.133	Ensemble C	Positive	Remblai	Équivalence du remblais de démolition [US.41] dans le sondage effectué au sud de l'espace B. Localisé sous les colluvions [US.2] et sur le sédiment sombre [US.233]. Sédiment limoneux brun, meuble et hétérogène comportant de rares inclusions de charbons. Des blocs calcaires de 10-15 cm de long ainsi que de fragments de lauze irréguliers ont également été observés sur la partie nord de la coupe est du sondage SD.12.
US.237	F.70		Négative	Creusement	Creusement de la fosse. Son plan est sub-rectangulaire et son profil en cuvette.
US.238	F.70		Positive	Comblement	Niveau de comblement limono-argileux hétérogène de couleur marron comprenant cailloutis et petits galets. Absence de mobilier.
US.239	F.130		Positive	Remblai	Épandage de dalles sciées posées à plat sous le remblais US.41 afin de niveler les affaissements du terrain. Observé en 2021 sur une grande partie du secteur 1 après le dégagement des bernes témoins. Des zones concentriques de torchis incendiés ont pu être observé. Fréquents fragments de mortier jaune, friable, sableux avec de rares inclusions de nodules de graviers millimétriques. Subit un lourd affaissement dans son extrémité sud-ouest sous lequel le niveau de circulation F.20 disparaît. [Note MR : niveau finalement non rattaché à F.130 car semble illustrer un phénomène particulier et propre à une partie seulement du bâtiment]
US.240	F.20	Ensemble C ; Espace C8	Construite	Niveau de circulation	Niveau de circulation dans l'espace C du secteur 1. Se retrouve sur quelques cm de long sous la recharge US.242 près du seuil US.66 et sur une plus grande longueur près de F.76. Est caractérisé par un niveau de cailloutis roulé et émoussé de 1-5 cm de long pris dans un mortier de chaux blanc, induré et comportant des nodules de gravier millimétriques. Est posé sur le radier US.268 et sous la recharge US.242. Témoigne du niveau de circulation de l'état 2.
US.241	F.20	Ensemble C ; Espace C8	Construite	Niveau de circulation	Second niveau de Recharge de l'espace de circulation F20 de l'état 2 observé lors du dégagement des bernes témoins de l'espace C dans le secteur 1. Caractérisé par un cailloutis de blocs calcaire de moyen module 10-15 cm, roulés et pris dans un mortier de chaux blanc, induré comportant des nodules de chaux et de rares nodules de gravier millimétriques.
US.242	F.20	Ensemble C ; Espace C8	Construite	Niveau de circulation	Recharge de la bande de roulement US.240 localisé dans l'espace C du secteur 1. Niveau épars et mal conservé subissant un pendage E-O et venant disparaître sous la tranchée de sablière F.35. Caractérisé par un cailloutis constitué de blocs calcaires de petits modules (1-5cm) roulés à anguleux, pris dans un mortier de chaux blanc, induré, comportant des nodules de chaux et des nodules millimétriques de gravier. Sous la recharge US.241 et sur la bande de roulement US.240.
US.243	F.84	Ensemble D	Construite	Piédroit	Structure maçonnée non caractérisée dans la coupe CP.8 de l'espace B. Piédroit maçonné avec des lauzes quadrangulaires et du mortier de chaux jaune comportant des nodules de chaux, du sable et des nodules de gravier millimétriques à centimétriques (<1). Lauzes empilées avec du mortier et de façon régulière. Seul le piédroit de la structure est visible hors de la coupe et forme un angle avec le reste de la maçonnerie. - Lauze exclusif, taille régulière, forme rectangulaire - mortier : mortier de chaux, friable, jaune. Inclusions de sable nodules de chaux , gravier millimétriques. - enduit : sans enduit - joints : sans joint
US.244	F.71	Ensemble B	Négative	Creusement	Creusement coupant l'US.157. Possible creusement du TP F.71, s'il s'agit bien d'un TP (cf fiche F.71).
US.245	F.71	Ensemble B	Positive	Comblement	Limon noir contenant du charbon et de nombreuses graines carbonisées, comble le creusement US. 244. Comblement du TP F.71 (s'il existe toujours). Sinon, ferait partie de l'US.217?.
US.246	F.72	Ensemble B ; Espace B8	Négative	Creusement	Creusement TP F.72
US.247	F.72	Ensemble B ; Espace B8	Positive	Comblement	Limon noir contenant du charbon et de nombreuses graines carbonisées, comble le creusement US.246. Comblement TP F.72
US.248	F.73	Ensemble B ; Espace B8	Négative	Creusement	Creusement TP F.73 Comblement US. 249 Niveau d'argile beige avec des inclusions de nodule de pierre de taille moyenne
US.249	F.73	Ensemble B ; Espace B8	Positive	Comblement	Comblement TP F.73 Couché argilo-limoneuse avec de rares inclusions de petit cailloutis et quelques charbons
US.250	F.74	Espace G	Négative	Annulé	
US.251	F.74	Espace G	Positive	Annulé	

Mutations urbaines à *Nasium* (Meuse) | Rapport intermédiaire 2023

	Sous	Égale/équivalente	Sur	Mobilier
	Sous US.51	Égale à US.131	Sur US.284	
	Coupée par US.524 ; Sous F.22 ; Sous US.2	Égale à US.203 ; Équivalente à US.345 ; Équivalente à US.41	Sur F.83 ; Sur US.233 ; Sur US.243 ; Sur US.273	Céramique ; Faune ; Fer
	Sous US.238		Coupe F.52 ; Coupe US.19	
	Sous US.2		Sur US.237	Fer
	Coupée par F.76 ; Coupée par US.356 ; Sous US.41		Sur US.241 ; Sur US.242 ; Sur US.267	Céramique ; Faune ; Fer ; Terre crue
	Sous US.241 ; Sous US.242		Sur US.222	Fer
	Sous US.239	Égale à US.242	Sur US.240	Alliage cuivreux ; Faune ; Fer
	Sous US.239	Égale à US.241	Sur US.240	Alliage cuivreux ; Céramique ; Faune ; Fer ; Verre
	Sous US.236 ; Sous US.525		Sur US.233 ; Sur US.523	
	Remplie par US.245		Coupe US.19	
	Sous US.29		Remplit US.244	Alliage cuivreux ; Fer
	Remplie par US.247		Coupe US.19	
	Sous US.19		Remplit US.246	
	Remplie par US.249		Coupe US.19	
	Sous US.29		Remplit US.248	Faune ; Fer

Mutations urbaines à Nasium (Meuse) | Rapport intermédiaire 2023

N° US	Fait	Ensembles	Type	Identification	Description
US.252	F.96		Construite	Annulé	Radier observé dans le sondage sud de l'espace B, en partie dans la coupe CP.8. Constitué de blocs irréguliers en calcaire lithographique de 10-15cm de long. Se constitue également de blocs de plus gros module sur son côté sud (20cm). Installation hétérogène. Présence d'un bloc de calcaire lithographique de grande taille (25x50cm observés) dans la partie sud de la coupe CP.8 dans le sondage sud de l'espace B. Présence d'un autre bloc de calcaire lithographique de grande taille (25x40cm observés) dans la coupe nord du sondage sud de l'espace B (perpendiculaire à F.5). - calcaire lithographique exclusif, taille irrégulière majoritairement décimétrique, forme rectangulaire - mortier : sans mortier - enduit : sans enduit - joints : sans joint Radier de F5.
US.253	F.38	Ensemble B ; Espace B4 ; Espace B5	Construite	Fond de caniveau	Dallage situé au fond du caniveau F.38. Les dalles sont composées de calcaire lithographique et de calcaire marneux. Elles sont de taille et de forme irrégulières (entre 30 et 40cm de longueur en moyenne), grossièrement équarries. Le dallage s'insère sous les parements du caniveau. On ne note pour le moment aucune présence de mortier. Le sédiment qui scelle les dalles semble argilo-limoneux, de couleur jaune/orange. Le dallage est lacunaire à l'ouest du secteur. Le dallage se pose à même le niveau antérieur F.63. Sa bande de roulement US.218 est partiellement arrachée par l'implantation du caniveau.
US.254	F.75	Espace B7 ; Ensemble B ; Espace B8	Négative	Creusement	Creusement de la fosse d'implantation ou de récupération d'une colonne. L'absence de colonne à son sommet induit une récupération bien que la colonne ait pu faire l'objet d'un arrachage consécutif aux travaux agricoles contemporains.
US.255	F.75	Espace B7 ; Ensemble B ; Espace B8	Positive	Comblement	limon et argile gris, meuble et homogène avec inclusions de blocs. Charbons rares.
US.256	F.11	Ensemble B ; Espace B7 ; Espace B8	Positive	Comblement	Comblement inférieur de la fosse d'implantation de la colonne F.11 composé de blocs de taille plus importante (module 40cm) que le comblement supérieur (US.217). Une partie des blocs utilisés dans le radier semble provenir du fond du caniveau perforé par la fosse d'implantation de la colonne.
US.257			Positive	Remblai ?	Niveau d'argile constituant l'encaissement de la fosse d'implantation de la colonne F.11. Possible équivalence avec l'US.313.
US.258	F.38	Ensemble B ; Espace B4 ; Espace B5	Construite	Assise de réglage	Assise de réglage de la colonne F.11
US.259	F.100	Espace C2 ; Ensemble C ; Espace C3	Positive	Remblai	Remblai intermédiaire de la cave constitué de blocs calcaires et dalles sciées de 10 à 30 cm dans sédiment argileux. Le mobilier présent a été enregistré en [US 112]. Blocs et argile marron, meuble et hétérogène. Charbons rares.
US.260	F.100	Espace C2 ; Ensemble C ; Espace C3	Positive	Démolition	Niveau argilo-sableux brun gris très charbonneux, hétérogène et compact, inclusions de nombreux blocs calcaires et de moellons marneux, nombreux cailloutis et petits fragments de dalles de lauze, mobilier abondant. Fines couches très charbonneuses = démolition, incendie en place ?
US.261	F.100	Espace C2 ; Ensemble C ; Espace C3	Positive	Comblement	Niveau argilo-sableux beige avec de nombreux petits graviers centimétriques, hétérogène et compact. Mobilier abondant, concentration de gros fragments d'amphores (dolium ?) avec éléments en fer autour, charbons peu fréquents. Niveau de sol ?
US.262	F.52	Ensemble B ; Espace B4	Positive	Bande de roulement	Bandes de roulement qui recouvrent l'US 157. Il comprend plusieurs recharges (2) du niveau de circulation originelle (US.157). Niveau non perçu en 2020. Il semble conscrit à l'espace F. Cailloutis compact et émoussé compris dans une matrice limoneuse. Le niveau est partiellement composé de gros blocs (15-30 cm), émoussés dont certains sont plus ou moins alignés.
US.263	F.44	Ensemble B ; Espace B6	Positive	Niveau de circulation	Aménagement qui semble contemporain de l'état 4a (F.44). Niveau composé d'argile marneuse et de mortier blanc liant un petit cailloutis. Présence d'un gros bloc dissymétrique. Il n'est visible que partiellement (continue sous l'emprise à l'ouest). Il peut correspondre à une réfection partielle de la chaussée ? Il est recouvert par le cailloutis F.27. Sa hauteur est de 40 cm. La petite fenêtre d'observation, l'érosion, les affaissements ainsi que les recoupements de la structure par des fosses postérieurs empêchent de situer son fonctionnement avec un état de voirie précis (État 4b, 4a, 3 ?) [Correction MR : niveau rattaché à F.44 par défaut mais difficile à rattacher à un état de voirie en particulier. Il semble en tout antérieur à la récupération de la base pilier F.58 et postérieur à la bande de roulement US.218 de F.63. Son niveau d'apparition bien visible dans la coupe CP5 le situe au dessus de l'horizon d'occupation F.52/F.35/F.54]
US.264	F.63	Ensemble B ; Espace B3	Positive	Niveau de circulation	Niveau de cailloutis émoussé pris dans une couche de mortier de chaux friable jaune sur l'espace piéton bordé par le caniveau F.38 au nord et par F.11 au nord est. Associé à l'espace G, il reste lacunaire et repose sur le cailloutis US.218. Réfection occasionnel du niveau de circulation piétonnier à l'état 2 ? [Correction MR : recharge ponctuelle de la bande roulement de F.63]
US.265	F.77	Ensemble C ; Espace C6	Positive	Comblement	Comblement du trou de poteau F.77, limon brun, meuble et hétérogène. Charbons fréquents, présence de gravillons centimétriques réguliers.
US.266	F.77	Ensemble C ; Espace C6	Négative	Creusement	TP localisé à la jonction de l'espace H et du SD.12 dans le secteur 1. Creusement probablement circulaire, profil en cuvette. Mauvais état de conservation de la structure (arrachée du côté de la coupe sud-nord du sondage S.12 de l'espace B) Coupe le sol US.127. Et est coupé par la tranchée de fondation de F.5

Mutations urbaines à *Nasium* (Meuse) | Rapport intermédiaire 2023

	Sous	Égale/équivalente	Sur	Mobilier
	Coupée par F.83 ; Coupée par US.293 ; Sous US.234	Égale à US.24 ; Équivalente à US.338	Coupe F.95 ; Coupe US.274 ; Coupe US.275 ; Coupe US.294 ; Sur US.355	Céramique ; Faune ; Fer
	Sous US.139 ; Sous US.140 ; Sous US.258		Sur US.218	
	Remplie par US.255		Coupe US.19	
	Sous US.2	Équivalente à US.176	Remplit US.254	
	Sous US.217		Remplit US.216	
	Coupée par F.11 ; Coupée par US.216	Équivalente à US.313		
	Remplie par US.141	Équivalente à US.139	Sur US.253	
	Sous US.112		Sur F.101 ; Sur US.260 ; Sur US.306 ; Sur US.401	Céramique ; Faune
	Sous US.259		Sur US.261 ; Sur US.398	Céramique ; Faune ; Fer ; Laponnaire ; Lithique ; Terre crue ; Terre cuite architecturale ; Verre
	Sous US.260		Sur US.325	Céramique ; Faune ; Fer ; Plomb ; Terre crue ; Verre
	Sous US.133		Sur US.157	Céramique ; Faune ; Fer ; Plomb
	Coupée par F.58 ; Sous F.27		Sur F.52	
	Sous US.195		Sur US.218	
	Sous US.125		Sur US.266	
	Sous US.265		Coupe US.127 ; Coupe US.271	

Mutations urbaines à Nasium (Meuse) | Rapport intermédiaire 2023

N° US	Fait	Ensembles	Type	Identification	Description
US.267			Positive	Niveau d'incendie	Remblai argilo-limoneux hétérogène meuble et marron observé dans le secteur 1 sous US.239. Interface sédimentaire entre les lauzes US.239 servant à niveler les affaissements du bâtiment et sur l'espace de circulation F.20 et la pièce de l'espace K. Très fort affaissement : z sup de 262,20 à 261,66 m NGF [Correction MR : correspond en fait très probablement au niveau d'incendie de ce secteur, éventuellement associé au dernier niveau d'occupation recouvrant l'horizon de circulation F.128]
US.268	F.20	Ensemble C ; Espace C8	Positive	Radier	Radier de la bande de roulement US.240 constituant l'espace de circulation F20 de l'état 2 du secteur 1. Le radier est seulement observable au sud du secteur 1. Se compose de blocs en calcaire de 15-20 cm de long posés en vrac dans une matrice limoneuse marron. Sous la bande de roulement US.240. [MR : très probablement sur US.483 (équivalent US.121)]
US.269			Positive	Sol ?	Niveau fin très compact jaune-beige présent uniquement côté ouest de la coupe sud de la cave. Peut être lié à la dégradation d'un vide sanitaire ?
US.270			Positive	Sol	Niveau présent au fond de la cave uniquement côté ouest de la coupe sud. Niveau sablo-limoneux beige-gris présent directement sur argile stérile. Niveau de préparation de sol ? BB 24/08/21 : niveau sans doute présent sur tout le fond de la cave, mais plus ou moins épais et avec des lacunes. Il pourrait s'agir d'un niveau de sédimentation lié à la présence d'un vide sanitaire disparu. Les amphores en place ainsi que le segment de fut de colonne reposent dessus. [Correction MR : problème prise d'altis ?]
US.271	F.121		Positive	Remblai	Matrice argileuse marron homogène compacte présentant des inclusions de charbon millimétriques fréquentes. Présence d'inclusions de torchis (mm à cm) dans la coupe ouest du sondage S12. Également perceptible dans la portion de la coupe CP.8 présente dans l'espace B (coupe est), bien que l'absence d'inclusions de torchis dans cette coupe soit notable. Les inclusions de charbon millimétriques sont également fréquentes dans cette coupe. Absence de blocs et de gravillons visibles dans les deux coupes. Possiblement équivalente à l'US.326. [Correction MR : modification identification : de "niveau de préparation" à "remblai" + associé à F.121]
US.272	F.78		Positive	Comblement	Comblement supérieur de tranchée de récupération de la canalisation F78 traversant l'espace H du secteur 1. Est caractérisé par un sédiment limono argileux brun meuble et hétérogène, présence régulière de charbons (mm), de blocs (10 à 40 cm pour les plus gros modules) et de mortier (nœuds millimétriques épars). Présence d'une unique Lauze dans la partie nord inférieure de la tranchée observable dans la coupe ouest du sondage S.12. On note également la présence de dalles de couverture du caniveau dans le comblement. Observable dans CP37 du SD24.
US.273	F.83	Ensemble D	Positive	Comblement	Niveau de remblai argileux orange hétérogène compact contenant des inclusions fréquentes de torchis (mm), charbons (mm) ainsi que de mortier (nœuds centimétriques). Uniquement visible dans la coupe est du sondage S.12, non perçu en plan.
US.274			Positive	Niveau d'incendie	Niveau d'incendie se présentant sous la forme d'un liseré argileux charbonneux hétérogène noir. Visible uniquement dans la partie nord de la coupe ouest du sondage SD.12, non perçu en plan.
US.275			Construite	Niveau de chantier ?	Liseré de mortier de chaux jaune compact liant des gravillons majoritairement centimétriques. Observé dans la coupe est du sondage S.12, très visible dans sa partie nord, puis perturbé en son centre et difficilement perceptible du côté sud de la coupe. Pendage sud-nord observé dans la coupe est du sondage S.12. Non observé en plan. Possible niveau de chantier ?
US.276			Construite	Annulé	Liseré de mortier de chaux jaune hétérogène compact liant des gravillons majoritairement centimétriques. Visible dans la coupe est du sondage S.12 majoritairement dans sa partie nord et de manière plus éparse dans sa partie sud. Non observé en plan. Pas de pendage perceptible en coupe. Annulé car probable partie supérieure du niveau de chantier [us 271].
US.277	F.133	Ensemble C	Positive	Remblai	Niveau de limon argileux brun meuble hétérogène comprenant des inclusions de charbon régulières (mm), mortier (nœuds centimétriques réguliers) ainsi qu'une grande concentration de blocs décimétriques
US.278	F.78		Négative	Creusement	Tranchée d'installation de F78 à plan linéaire rectiligne et à profil en auge. Coupe le sol US.127. Observable en coupe CP37. Z inf 261,74 m NGF observé dans le SD.25
US.279	F.79		Négative	Creusement	Fosse circulaire localisée près de F31 dans le secteur 1 dont le profil observé semble en U.
US.280	F.79		Positive	Comblement	Remblai hétérogène brun, meuble constituant le comblement de F79. Nombreux matériaux de démolition (torchis, lauze, blocs, charbons) en vrac.
US.281	F.128	Ensemble C ; Espace C7	Construite	Niveau de circulation ?	Possible niveau de circulation en mortier induré de chaux blanc du niveau de circulation de l'US 282. On note des inclusions de TCA, charbon, argile et cailloutis. Le niveau, rubéfié, prend une couleur rose par endroits.
US.282	F.128	Ensemble C ; Espace C7	Construite	Niveau de circulation	Niveau de circulation composé de galets émoussés de petit module qui prend place sur le niveau de préparation US 281. Situé sur le côté ouest du foyer F80. [Correction MR : la distinction US.281/282 a peu de sens : création égalité]

Mutations urbaines à *Nasium* (Meuse) | Rapport intermédiaire 2023

	Sous	Égale/équivalente	Sur	Mobilier
	Sous US.239	Égale à US.503	Sur F.91 ; Sur US.368	Alliage cuivreux ; Céramique ; Faune ; Fer ; Lithique ; Verre
	Sous US.222	Égale à US.391	Sur US.483	
	Sous US.325	Équivalente à US.418	Sur US.270	Céramique ; Faune ; Fer ; Lapidaire ; Lithique ; Terre crue ; Verre
	Sous US.269 ; Sous US.398		Sur F.111 ; Sur F.86 ; Sur F.87 ; Sur US.308 ; Sur US.310 ; Sur US.322 ; Sur US.466	
	Coupée par US.266 ; Coupée par US.278 ; Sous F.116 ; Sous US.294 ; Sous US.499		Sur F.97 ; Sur US.364	
	Sous US.125		Sur US.298	Céramique ; Faune ; Fer ; Verre
	Sous US.236	Égale à US.233	Sur US.293	
	Coupée par F.83 ; Coupée par US.252 ; Sous F.133 ; Sous US.277		Sur US.275	
	Coupée par US.252 ; Sous US.274		Sur US.500	
	Sous US.234	Équivalente à US.114	Sur us.274	
	Sous US.316 ; Sous US.337		Coupe US.127 ; Coupe US.271 ; Coupe US.366	
	Remplie par US.280		Coupe US.470	
			Remplit US.279	Céramique ; Faune ; Fer
	Coupée par US.521 ; Sert d'appui à F.80	Égale à US.282	Sur US.343	Céramique ; Faune ; Fer ; Matériaux de construction
		Égale à US.281		

Mutations urbaines à Nasium (Meuse) | Rapport intermédiaire 2023

N° US	Fait	Ensembles	Type	Identification	Description
US.283	F.121		Positive	Remblai	Couche d'argile olive-grise compacte présente sous tout ou partie de l'état 2 de la bande piétonne (US.287). A probablement servi à remblayer les affaissements du niveau de sol US.326. Zsup SD.14/29 = 262,02 m / Zinf SD.14/29 = 261,72 m
US.284	F.121		Positive	Remblai	Couche d'argile marron-orangé présente sous une partie de l'état 1 de la voie. Elle comprend la partie inférieure du radier de l'état 1 (US.296) qui s'est enfoncé dedans. Elle n'est pas présente sous la totalité de l'état de voie 2 et semble avoir servi à niveler le terrain afin d'accueillir l'état 1, suite à des affaissements de l'état antérieur. Elle sert de repos au cailloutis piéton US.287. Zsup SD.14 = 262,03 m / Zinf SD.14 = 261,95 m Zsup SD.14/29 (CP33) = 262,03 m / Zinf SD.14/29 (CP33) = 261,59 m
US.285	F.81		Négative	Creusement	Creusement circulaire, probablement d'un trou de piquet. Structure non fouillée. Elle coupe le niveau de remblai US.283. Sa cote d'apparition, en raison de la mauvaise conservation du secteur ne peut être définie. Fonctionnement de la structure avec un niveau de voirie reste indéterminé.
US.286	F.81		Positive	Comblement	Comblement du probable trou de piquet F.81 composé de charbon et d'argile. Son utilisation avec un niveau de voirie quelconque ne peut être défini en raison de la mauvaise conservation du secteur.
US.287			Positive	Niveau de circulation	blocs et argile jaune, compact et homogène. Charbons absents. Observé dans le SD.14. Niveau de circulation piétonnier de l'état 1 équivalent à l'US. 340 du SD.16. Le cailloutis est très partiellement conservé dans la partie est de l'ESP. G (absent de la coupe est de l'emprise). Zsup SD.14/29 (CP33) = 262,05 m / Zinf SD.14/29 (CP33) = 262 m Zsup SD.14 = 262,025m / Zinf SD.14/29 = 262 m
US.288	F.42	Ensemble B	Construite	Fond de caniveau	Fond de caniveau F.42, cf fond de caniveau F.38.
US.289	F.35	Ensemble C ; Espace C8	Positive	Poutre carbonisée	Reliquat de la poutre carbonisée appartenant à la tranchée de sablière F35, localisé à la jonction est du SD.1 et du SD.4. Équivalente à l'US.104, fouiller en 2020. Pourrait correspondre à un seuil qui segmenterait l'espace à l'ouest du niveau de circulation de l'état 2 F.20.
US.290	F.80	Ensemble C ; Espace C7	Positive	Comblement	Comblement du foyer F80 caractérisé par un limon brun, meuble et hétérogène. Il se trouve à l'extérieur du compartiment délimité par les dalles pulvérulentes de l'US 441.
US.291	F.35	Ensemble C ; Espace C8	Construite	Solin	Solin de la sablière F.35 en pierre sous l'US 289 (planche carbonisée) pour éviter l'infiltration d'humidité. Appartient au F35 et situé entre la jonction est du SD1 et du SD4. 2 cailloux : - 17L 201 6H - 23L 171 4H
US.292	F.35	Ensemble C ; Espace C8	Construite	Mortier	Mortier de chaux jaune adossé à la sablière carbonisée US.289 localisé à la jonction des SD.1 et SD.4. Sert de coffrage à la poutre qui s'appuie sur ce dernier. Forme une bande linéaire dans la partie est de la structure.
US.293	F.83	Ensemble D	Négative	Creusement	Fosse au plan non identifié (circulaire ?) et au profil en auge de F.83 visible dans la coupe nord et est du SD.12. Coupe le radier US.252.
US.294	F.124	Ensemble C ; Espace C5 ; Espace C1 ; Espace C4 ; Espace C6	Positive	Niveau de préparation	Niveau de préparation caractérisé par une argile jaune, compacte, hétérogène comportant des inclusions récurrentes de blocs calcaire, de torchis, de charbons, de gravillons centimétriques réguliers. Concentration de blocs calcaire de 5-10 cm de longueur et de mortier au nord de la coupe ouest du SD.12. Une anomalie circulaire de 13x13cm caractérisée par une argile marron homogène et compacte est visible dans la partie nord du sédiment. Il pourrait s'agir d'une canalisation transperçant le niveau. Néanmoins elle ne se retrouve pas dans la coupe ouest. Possiblement équivalente à l'US.284 (S2)
US.295	F.125		Positive	Niveau d'incendie	Niveau d'incendie recouvrant la sablière F85 et le couloir (espace I) du secteur 1. Des clous alignés ont été observés et pris en topo. Équivalent au niveau d'incendie de l'espace E US.46.
US.296			Positive	Radier	Radier de la bande piétonne de l'état 1 de la voie. Constitué essentiellement de blocs non taillés de calcaire lithographique et marneux. On peut également retrouver quelques blocs taillés de calcaire oolithique (lauzes). Ce radier était en vrac dans la partie supérieure et pris dans de l'argile marron (US.284) dans sa partie inférieure. Il n'est pas présent sous la totalité de la bande piétonne et semble avoir servi à niveler le terrain en vue de l'installation du niveau de circulation US.339.
US.297	F.90	Ensemble A	Positive	Comblement	Comblement de la fosse F90. Composé de limon brun-gris et d'argile marron. On note la présence récurrente de morceaux de charbon ainsi que quelques éléments de mobilier (faune, céramique, scories). Sédiment meuble malgré la présence de quelques cailloux.
US.298	F.78		Positive	Comblement	Comblement inférieur de la tranchée de récupération F78 traversant d'est en ouest l'espace H du secteur 1. Est caractérisé par un sédiment argile-limoneux brun compact et hétérogène, présence régulière de charbon (mm), gravier et de quelques blocs calcaire (de 5 à 20 cm de long). La fouille s'est arrêtée sur ce niveau. [Correction MR : comblement d'abandon]
US.299			Construite	Annulé	Poches de mortier de chaux blanc observé dans la coupe nord G64 et dans la coupe sud lors de la fouille de la berne centrale d'axe nord sud du secteur 1. Ce niveau ne correspond en plan qu'à quelques éparses poches de mortier en vrac.
US.300			Construite	Annulé	Cailloutis de quelques centimètres pris dans une matrice limoneuse grise foncée observé uniquement dans la coupe sud (G62) de l'espace I du secteur 1.

Mutations urbaines à *Nasium* (Meuse) | Rapport intermédiaire 2023

	Sous	Égale/équivalente	Sur	Mobilier
	Coupée par F.81 ; Coupée par US.285 ; Sous US.284	Égale à US.361 ; Équivalente à US.370	Sur US.326	Céramique ; Enduits peints ; Faune ; Fer
	Sous US.235 ; Sous US.287	Égale à US.374 ; Équivalente à US.373	Sur US.283 ; Sur US.370 ; Sur US.462	Alliage cuivreux ; Céramique ; Enduits peints ; Faune ; Fer ; Verre
	Rempie par US.286		Coupe US.283	
			Remplit US.285	
	Sous US.296 ; Sous US.339	Égale à US.340	Sur F.81 ; Sur US.284	
	Sous US.41	Équivalente à US.104	S'appuie contre US.292 ; S'appuie contre US.516 ; S'appuie contre US.517	
		Égale à US.440	Sur US.441	Céramique ; Faune ; Fer ; Terre crue
	Sous US.292		Sur US.146	
	Sert d'appui à US.289		Sur US.291	
	Sous US.233 ; Sous US.273		Coupe US.234 ; Coupe US.252	
	Coupée par F.77 ; Coupée par F.78 ; Coupée par US.252 ; Sous US.127	Équivalente à US.324 ; Équivalente à US.481	Sur US.271	Céramique ; Faune ; Fer ; Terre cuite architecturale
		Égale à US.46	Sur F.85 ; Sur US.402	Céramique ; Faune ; Fer
	Sous US.339		Sur US.287	Céramique ; Enduits peints ; Faune ; Fer ; Terre cuite architecturale ; Verre
	Coupée par US.348 ; Sous US.359		Sur US.334	Alliage cuivreux ; Céramique ; Composite ; Faune ; Fer
	Sous US.272		Sur US.316 ; Sur US.337	

Mutations urbaines à Nasium (Meuse) | Rapport intermédiaire 2023

N° US	Fait	Ensembles	Type	Identification	Description
US.301	F.41	Ensemble C ; Espace C2	Construite	Fondation	Assises de fondation du mur est-ouest de la cave. Formées d'une ou deux assises adaptées en fonction de la hauteur des plaquettes de calcaire du substrat. Ces assises sont formées de blocs de calcaire (40/45 cm x 13/16 cm de hauteur d'assise) plus grosses et plus grossièrement équarries que les assises d'élévation. Le lit de mortier séparant les assises de fondation à celles d'élévation est épais à certains endroits et assez gras, pour rattraper les légères différences de niveau des blocs de fondations et ainsi mieux accueillir les assises d'élévation.
US.302	F.41	Ensemble C ; Espace C2	Construite	Soupirail	Soupirail naissant à la 6e assise d'élévation, à 90 cm de hauteur du substrat. Formé uniquement de moellons équarris en calcaire lithographique sans joints (mais il y a des résidus de mortier indiquant que la partie inclinée était peut-être noyée). La naissance des piédroits formant les ébrasements sont conservés en partie basse. Sa partie basse est large d'1,20 m, sa partie intermédiaire (maximum de la partie observable) se réduit à 1,05 m de largeur. La hauteur totale du soupirail n'est pas conservé, 85 cm de partie inclinée observable.
US.303	F.41	Ensemble C ; Espace C2	Négative	Aménagement circulaire	Trou approximativement circulaire (20x15 cm) présent dans l'épaisseur de la maçonnerie est-ouest de la cave, au niveau du piédroit est du soupirail 302. Il semble avoir été aménagé volontairement ? Ou le mortier intérieur s'est délité. La profondeur totale de l'ouvrage semble être au moins équivalente à la hauteur totale du mur.
US.304	F.32	Ensemble C ; Espace C2	Construite	Fondation	Assises de fondation du mur nord-sud de la cave. Formées d'une assise de blocs de calcaire (22/26 cm x 22/24 cm de hauteur d'assise) plus grosses et plus grossièrement équarries que les assises d'élévation. Le lit de mortier séparant les assises de fondation à celles d'élévation est épais à certains endroits et assez gras (et tiré au fer), pour rattraper (?) les légères différences de niveau des blocs de fondations et ainsi mieux accueillir les assises d'élévation.
US.305	F.101	Ensemble C ; Espace C2	Négative	Niche	Niche aménagée au niveau de la 8e assise d'élévation du mur nord-sud, à 1,20 m de hauteur du substrat. Elle détenait un coffrage en bois (US 306). Le piédroit nord a été aménagé par un coup de sabre vertical et sans doute lissé par une petite couche de mortier (reliquat visible)
US.306	F.101	Ensemble C ; Espace C2	Positive	Coffrage	Coffrage en bois situé dans la niche 305. Il est composé de deux planches en bois perpendiculaires, une horizontalement posée sur l'arase du mur et la seconde verticalement sur le fond de la niche (contre l'us 91?)
US.307	F.86	Ensemble C ; Espace C2	Négative	Creusement	Creusement du caniveau nord-sud dans le substrat au fond de la cave. Il a été creusé grossièrement dans les plaquettes de calcaire et provient du mur F41 (aménagement/sappe dans le mur). Longiligne irrégulier et fond plat.
US.308	F.86	Ensemble C ; Espace C2	Positive	Comblement	Comblement de la canalisation caractérisé par un limon argileux brun-gris homogène compact avec inclusions de sable et de quelques cailloutis, charbons fréquents, nodules de terre cuite, peu de mobilier assez fragmenté.
US.309	F.87	Ensemble C ; Espace C2	Négative	Creusement	Creusement du caniveau est-ouest dans le substrat calcaire 323 au fond de la cave. Il a été creusé grossièrement dans les plaquettes de calcaire et semble mener un écoulement jusqu'au caniveau 86. Longiligne irrégulier et fond plat. Pas une grande hauteur visible (10/12 cm), largeur de 20 à 30 cm, s'évase en redescendant sur l'autre caniveau.
US.310	F.87	Ensemble C ; Espace C2	Positive	Comblement	Comblement de la canalisation d'axe est ouest localisé dans l'espace D. Non caractérisé.
US.311	F.62	Ensemble B ; Espace B1	Positive	Niveau de préparation	Niveau de préparation accueillant la bande de roulement US.219. Niveau compact et ferrugineux composé de graviers et de sable. Probable importation d'alluvions pour la mise en œuvre.
US.312	F.62	Ensemble B ; Espace B1	Positive	Radier	Radier de l'état 1 de la voie. Caractérisé par des blocs décimétriques en calcaire dans une matrice limono-argileuse brune. Niveau ferrugineux dû à de la stagnation d'eau lié au niveau d'argile inférieur.
US.313	F.119		Positive	Niveau de sol ?	Niveau d'argile limoneuse olive chamarré de gris. Paléosol antérieur à la voie ? Observation en coupe dans sondage de la voie (SD.16) et fouillé en partie en plan dans le sondage SD.45. Sert d'encaissant à plusieurs trous de poteau (F.88, 98, 99 et 105). Zsup SD.45 = 261,58 m. / Zinf SD.45 = NR Zsup SD.16 = 261,60 m. / Zinf SD.16 = 261,40 m
US.314	F.88		Négative	Creusement	Creusement du TP F.88. Visible dans la coupe est du sondage mécanisé de la voie (SD.16). Plan du creusement indéterminé, profil en cuvette.
US.315	F.88		Positive	Comblement	argile et limon gris, compact et homogène avec inclusions de Torchis . Charbons présents. Constitue le comblement du TP.
US.316	F.78		Construite	Piédroit	Piédroit sud du caniveau maçonné F78 localisé dans l'espace H du secteur 1. Possède le même traitement que le piédroit nord US337: Maçonnerie composées d'un alignement de blocs calcaire empilés les uns sur les autres sans mortier visible.
US.317			Positive	Niveau de démolition ?	Niveau de remblai argilo-limoneux marron perçu dans le sondage mécanique de l'espace F SD.16. Équivalent à US.284 du SD.14 ? [correction MR : égale à US.318 et équivalente à US.386 (parfaite correspondance altimétrique). Modification de l'identification : passe de remblai ? à niveau de démolition ? Équivalence avec US.284 supprimée]
US.318			Positive	Niveau de démolition ?	Couche d'argile limono-sableuse grise olive, compacte et homogène. Nodule de TC rares et charbons fréquents. Niveau de remblai perçu dans le sondage mécanique de la voie (SD.16) au sud de la tranchée F.89. Équivalent à l'US.326 (SD.14) ? [Correction MR : suppression équivalence US.326 et US.284, ajout égalité avec US.317. Modification identification : passe de remblai à niveau de démolition ?]
US.319	F.89	Ensemble B	Négative	Creusement	Tranchée linéaire rectiligne de 45 cm de largeur à profil en U. Récupération d'un mur ? Zsup SD.16 = 261,96 m ; Zinf SD.16 = 260,41 m Zinf SD.45 = 262,08 ; Zinf SD.45 = NR

Mutations urbaines à *Nasium* (Meuse) | Rapport intermédiaire 2023

	Sous	Égale/équivalente	Sur	Mobilier
	Sous US.206		Sur US.227	
		Équivalente à US.206		
		Équivalente à US.206		
	Sous US.93			
	Sous US.306			
	Sous us.259	Égale à US.401	Sur US.305	
	Sous US.308	Équivalente à US.515	Coupe US.323	
	Sous US.270	Équivalente à US.466	Sur US.307	Céramique ; Faune ; Fer
	Sous US.310		Coupe US.323	
	Sous US.270	Équivalente à US.466	Sur US.309	Céramique ; Faune ; Fer ; Verre
	Coupée par US.319 ; Sous US.219 ; Sous US.339		Sur US.312	Fer
	Coupée par US.319 ; Sous US.311		Sur F.99 ; Sur US.315 ; Sur US.342 ; Sur US.385 ; Sur US.400 ; Sur US.416 ; Sur US.431 ; Sur US.433 ; Sur US.511	Alliage cuivreux ; Céramique ; Faune ; Fer ; Terre cuite architecturale
	Coupée par F.105 ; Coupée par F.88 ; Coupée par F.98 ; Coupée par F.99 ; Coupée par US.314 ; Coupée par US.319 ; Coupée par US.384 ; Coupée par US.399 ; Coupée par US.408 ; Coupée par US.430 ; Coupée par US.511 ; Sous US.342	Équivalente à US.257 ; Équivalente à US.412 ; Équivalente à US.449	Sur US.354	Alliage cuivreux ; Céramique ; Faune ; Fer ; Terre cuite architecturale
	Sous US.424		Coupe US.313	
	Sous US.312		Sur US.424	
	Sous US.298	Équivalente à US.337	Sur US.278	
	Coupée par US.319 ; Sous US.340	Égale à US.318 ; Équivalente à US.386	Sur US.318	Céramique
	Sous US.317	Égale à US.317	Sur US.342 ; Sur us.379	
	Remplie par US.423		Coupe US.218 ; Coupe US.219 ; Coupe US.311 ; Coupe US.312 ; Coupe US.313 ; Coupe US.317	

Mutations urbaines à Nasium (Meuse) | Rapport intermédiaire 2023

N° US	Fait	Ensembles	Type	Identification	Description
US.320	F.89	Ensemble B	Positive	Comblement	Comblement supérieur de la tranchée F89, composée de blocs en calcaire, de cailloux dans une matrice sédimentaire faible de limon sableux marron. Présence de cailloux et blocs provenant des niveaux de voirie traversés par le creusement.
US.321	F.90	Ensemble A	Négative	Creusement	Creusement de la fosse F 90.
US.322	F.126		Positive	Substrat	Couche d'argile naturelle stérile brune-orangée très compacte présente sur le niveau de calcaire en plaquettes, peu de manganèse (ou juste petites poches plus concentrées) = présente dans le fond de la cave (espace D)
US.323	F.126		Positive	Substrat	Roche naturelle, terrasse calcaire se délitant légèrement en surface, forme des petites cavités naturelles.
US.324	F.124	Ensemble C ; Espace C5 ; Espace C1 ; Espace C4 ; Espace C6	Positive	Sol ?	Argile orange, homogène et compacte comportant des inclusions de graviers calcaires et de petits cailloutis calcaire. Observé sous US.46 dans le SD29. [observation MR : niveau sans doute égale à US.135 et US.65. Correspond sans doute au sommet de la séquence de remblaiement F.121 mais semble prendre la forme d'un épais niveau de préparation vraisemblablement destiné à accueillir les sols des différents espaces, voire à servir de sol de terre battue]
US.325	F.125		Positive	Niveau d'abandon	Niveau limoneux du fond de la cave, dans la continuité du comblement us 308 de la canalisation F.86. Limon sableux gris-brun homogène meuble avec inclusions de fréquente charbons. Probable niveau d'abandon de la cave, riche en mobilier
US.326	F.122		Positive	Niveau d'occupation	Limon gris compact, homogène et riche en charbons. Probable niveau de remblai antérieur à l'état 1 de la voie visant à l'installation du niveau piétonnier. Zsup. SD.14 = 261,77 m / Zinf. SD.14 = 261,69 m Zsup SD.14/29 = 261,78 m / Zinf SD.14/29 = 261,70 m
US.327	F.80	Ensemble C ; Espace C7	Construite	Coffrage	Coffrage de la structure foyer F80 caractérisé par un aménagement quadrangulaire de dalles et de fragments de calcaire coquillé sur une largeur globale de 74 cm pour une longueur globale de 125 cm (Nord: 114cm Sud: 125 cm Est: 88cm Ouest: 56cm de longueur pour une épaisseur d'env. 3cm). Une grande partie de la maçonnerie semble avoir été récupérée ou détruite (effets de parois). Seul l'angle est préservé : Le pan ouest conserve une dalle fragmentaire longue de 31cm. Elle forme avec le pan sud un angle presque droit. Le pan sud est conservé sur 93 cm, il est constitué de 4 dalles. Les trois premières mesurent respectivement 21, 23 et 63 cm. La dernière (9cm) ne suit pas l'alignement et est légèrement de biais. Son agencement permet de rétrécir la structure. Une dalle d'une trentaine de cm devait terminer la rangée. Le coffrage semble posséder la même orientation que F34, sa partie sud correspond parfaitement avec les limites internes de F34.
US.328	F.82	Espace I	Négative	Creusement	Fosse circulaire
US.329	F.82	Espace I	Positive	Comblement	Comblement non caractérisé de F82.
US.330	F.121		Positive	Remblai	Limon argileux gris, hétérogène, meuble comportant de fréquents charbons (mm et cm), quelques inclusions de torchis, de rares blocs calcaires et fragments de lauzes (quelques cm >10 ; peut être un mélange provenant de la couche supérieure). Observé dans la tranchée nord sud de l'espace E du secteur 1. Est égale à l'US.326 de l'espace G. [correction MR]
US.331	F.121		Positive	Remblai	possible niveau d'occupation (mobilier majoritaire au fond ou Remblais argileux grise hétérogène et compacte avec de nombreuses inclusions charbonneuses (mm et cm), présence de poches argileuses oranges, de cailloutis calcaire, quelques cailloux calcaire (>10cm) présents à l'interface de l'us supérieure. Observé dans la tranchée de l'espace E du secteur 1. Localisé sous le niveau de circulation US324 et sur le remblai US330.
US.332	F.90	Ensemble A	Positive	Comblement	Comblement supérieur de la fosse F.90. Couche argileuse composée de limon et de charbon. Coupée par F.94
US.333			Positive	Remblai ?	Niveau de circulation mal conservée au sud ouest de l'US.242 dans l'espace I du secteur 1. Est caractérisée par de petits cailloux 1-2 cm anguleux pris dans une matrice limono-argileuse orange. Mises en œuvre semblable à US324 et US123. [Correction MR : au vue de sa position sur la coupe CP40, correspond sans doute plutôt à un remblai, identification modifiée (remblai au lieu de niveau de circulation)]
US.334	F.90	Ensemble A	Positive	Comblement	Comblement inférieur de la fosse F.90. Couche argileuse qui repose sur le terrain naturel. Coupée par F.94. Présence importante de scories de fer.
US.335	F.91	Ensemble C ; Espace C7 ; Espace C8 ; Espace C10	Positive	Poutre carbonisée	Poutre carbonisée en partie conservée orientée nord-sud de F35 dans l'espace K. Repose sur le mortier US336.
US.336	F.91	Ensemble C ; Espace C7 ; Espace C8 ; Espace C10	Construite	Mortier	Niveau de mortier jaune se trouvant sous la sablière carbonisée (US.335). Dans l'axe nord-sud elle mesure 160cm de longueur et dans l'axe est-ouest 110cm de longueur, cela fait suite à un affaissement ayant fait couler le mortier dans sa partie sud.
US.337	F.78		Construite	Piédroit	Piédroit nord de la canalisation F78 possédant le même traitement que le piédroit sud US.316. Est caractérisé par un alignement et un empilement de bloc calcaire rectangulaire, sans mortier apparent.
US.338	F.96		Construite	Annulé	Radier effectuant un retour au mur F5 postérieur et équivalent au radier US 252
US.339			Positive	Niveau de circulation	Niveau de blocs en calcaire oolithique décimétriques et émoussés postérieur de la bande de roulement US.219. Elle repose sur le niveau de circulation US.340. Il est perçu au sud de la coupe du SD.16 et en plan sur l'écorché opéré à l'est de l'Esp.F. La mesure de sa largeur a été prise dans la coupe est de l'écorché de la voie.
US.340			Positive	Niveau de circulation	Niveau de circulation composé d'un cailloutis lié à une matrice limons-argileuse brune. Des blocs plus importants peuvent constituer un radier préparatoire. Observé au sud de la tranchée F.89 du SD.16 et dans la coupe ouest de l'écorché de la voie

Mutations urbaines à *Nasium* (Meuse) | Rapport intermédiaire 2023

	Sous	Égale/équivalente	Sur	Mobilier
	Sous US.194	Équivalente à US.489	Sur US.421	Céramique ; Faune ; Fer
	Remplie par US.334		Coupe US.323	
	Sous F.32 ; Sous F.41 ; Sous F.64 ; Sous F.92 ; Sous F.93 ; Sous US.270 ; Sous US.351 ; Sous US.492 ; Sous US.494 ; Sous US.495	Égale à US.459	Sur US.323	
	Coupée par F.111 ; Coupée par F.86 ; Coupée par F.87 ; Coupée par US.307 ; Coupée par US.309 ; Coupée par US.321 ; Coupée par US.465 ; Sous F.39 ; Sous F.90 ; Sous US.156 ; Sous US.322 ; Sous US.371 ; Sous US.451 ; Sous US.461 ; Sous US.514			
	Coupée par US.490 ; Sous US.46 ; Sous US.463	Équivalente à US.135 ; Équivalente à US.294	Sur US.464	Céramique ; Faune ; Fer
	Sous US.261	Équivalente à US.379	Sur US.269	Céramique ; Verre
	Sous US.283 ; Sous US.370	Équivalente à US.372	Sur US.381	Céramique ; Enduits peints ; Faune ; Fer ; Verre
	Sert d'appui à US.443	Égale à US.358	Sur US.522	
	Sous US.374 ; Sous US.475		Sur US.372 ; Sur US.382	Alliage cuivreux ; Céramique ; Faune ; Fer ; Terre crue ; Verre
	Sous US.417 ; Sous US.467		Sur US.363 ; Sur US.374 ; Sur US.427	Alliage cuivreux ; Céramique ; Enduits peints ; Faune ; Fer ; Verre
	Coupée par US.348 ; Sous F.50		Sur US.359	Céramique ; Faune ; Fer
	Coupée par F.76 ; Coupée par US.356 ; Sous F.128 ; Sous US.362 ; Sous US.368	Équivalente à US.121 ; Équivalente à US.369 ; Équivalente à US.483	Sur US.432	
	Coupée par US.348 ; Sous US.297		Remplit US.321	Céramique ; Faune ; Fer
	Sous US.507		Sur US.336	
	Sous US.335		Sur US.518	
	Sous US.298	Équivalente à US.316	Sur US.278	
	Sous US.350	Équivalente à US.252		
	Sous US.167 ; Sous US.218		Sur US.219 ; Sur US.287 ; Sur US.296 ; Sur US.311 ; Sur US.340	Céramique ; Fer
	Coupée par F.109 ; Sous US.339 ; Sous US.439	Égale à US.287	Sur US.317 ; Sur US.373	

Mutations urbaines à Nasium (Meuse) | Rapport intermédiaire 2023

N° US	Fait	Ensembles	Type	Identification	Description
US.341			Technique	Décapage	Décapage du radier de F5
US.342			Positive	Niveau de circulation	Niveau de circulation composé d'un petit cailloutis émousé dans une matrice limono-argileuse brune. Observé au sud de la tranchée F.89 dans le SD.16. Constitue potentiellement le niveau de voirie le plus ancien. Il apparaît au sud de la tranchée F.89 et est recouvert par les niveaux piétonniers contemporains de l'état 1. Particulièrement visible dans le SD.45, le cailloutis accuse un pendage vers le sud (alti. sup. max. = 261,79 m ; alti. sup. min. = 261,67 m). Zsup SD.16 = 261,64 m / Zinf SD.16 = 261,60 m
US.343	F.125		Positive	Niveau de démolition ?	Argile brune hétérogène et meuble observée de façon irrégulière dans l'espace J. Chargée en inclusions de torchis et de poches d'argile. Nombreuses zones rubéfiées laissant penser à un niveau d'occupation. Chargé en mobilier. Zone rubéfiée circulaire à l'est de F80. Alti observées de la coupe G.68.
US.344			Construite	Niveau de préparation	Petits blocs et cailloux (dizaine de cm) informes et liés par un sédiment argileux limoneux orange / gris hétérogène, sert de préparation à la réception du solin US.97.
US.345	F.133	Ensemble C	Positive	Remblai	Remblai limono-argileux hétérogène brun à inclusions.
US.346	F.5	Ensemble D	Négative	Creusement	Creusement parabolique du radier soutenant le mur F5.
US.347	F.5	Ensemble D	Positive	Comblement	Comblement du creusement US 346 constituant la tranchée de fondation du mur F.5. Il est composé d'un limon noir à inclusions ponctuelles et blocs calcaires.
US.348	F.94	Ensemble A	Négative	Creusement	Creusement de la fosse F.94 qui coupe la fosse F.90. Dans les coupes visibles, elle semble adopter une forme de cuvette.
US.349	F.94	Ensemble A	Positive	Comblement	Comblement supérieur de la fosse F.94.
US.350	F.133	Ensemble C	Positive	Remblai	Remblai de limon noir meuble homogène coupé par le creusement US 346 avec la présence de gros blocs calcaires architecturaux
US.351	F.126		Positive	Substrat	Niveau argileux faiblement limoneux marron, homogène et compact. Très forte concentration de manganèse. Repose sur le niveau argileux plastique US.322 recouvrant le substrat calcaire US.323. Relatif à un niveau ancien de colluvionnement de terre végétale ? Présent à Z sup 261,36 m NGF: Z inf: 261, 24 m NGF dans SD12 d'après G70 Présent Z sup à 261,55 m NGF et Z inf 261,40 m NHG dans SD12 d'après G73
US.352	F.95		Négative	Creusement	Creusement de F.95, plan sans doute linéaire rectiligne, profil indéterminé.
US.353	F.95		Positive	Comblement	Comblement de F.95. Blocs et argile brun, compact et homogène avec inclusions de cailloutis. Charbons absents.
US.354	F.126		Positive	Substrat	Niveau argilo-limoneux jaune compact et homogène observé sur l'US.351 dans le sondage mécanisé de l'espace F. Relatif à un niveau de colluvionnement ancien ? [Correction MR : probable équivalence avec US.451].
US.355	F.96		Négative	Annulé	Creusement de F.96. Plan linéaire rectiligne, profil en cuvette.
US.356	F.76	Ensemble C ; Espace C8	Négative	Creusement	Creusement du trou de poteau (F.76) se situant au sud de l'espace K, secteur 1. Il coupe la toiture en lauze (US.239) et est comblé par une couche limoneuse (US.357).
US.357	F.76	Ensemble C ; Espace C8	Positive	Comblement	Comblement du trou de poteau (F.76) se trouvant au sud de l'espace K, du secteur 1. limon marron, meuble et homogène. Charbons présents. Une poche de sable est observable dans la coupe.
US.358	F.80	Ensemble C ; Espace C7	Construite	Coffrage mortier	Coffrage en mortier venant soutenir le ceinturage en lauzes (US 327) du foyer F80. Localisé uniquement près de la paroi sud, il est caractérisé par un mortier de chaux blanc avec des nodules de chaux mm. Sa surface extérieure semble avoir été lissée. [Correction MR : US non pertinente, création égalité avec US.327]
US.359	F.90	Ensemble A	Positive	Mortier	Couche de mortier présente dans la fosse F.90 entre l'US.332 et l'US.297. Présence de mobilier dont principalement des scories. Observation MR : possible niveau de chantier ?
US.360	F.94	Ensemble A	Positive	Comblement	Comblement inférieur de la fosse F.94 situé sous l'US.349 et sur l'US 348.
US.361	F.121		Positive	Remblai	Niveau d'argile compact de couleur brune homogène sous US 326, plongeant sous US 370 et reposant sur US 363. Possible niveau de sol ou remblai. Il n'est pas présent sur la totalité de la bande piétonne. La fouille occidentale du SD.14 s'est arrêtée sur ce niveau. Epaisseur de l'US non renseignée. [Correction MR : niveau égal à US.283]
US.362			Construite	Bloc architectural	Bloc architectural en calcaire lithographique localisé dans l'espace K du secteur 1. Possible seuil. [MR : ajout relation strati avec US.333 d'après photos]
US.363	F.122		Positive	Remblai ?	Limon sableux gris métallique, meuble et homogène avec inclusions de petits cailloux (quelques cm). Charbons fréquents de taille variable (mm à quelques cm). Rares petites inclusions de nodules de TC. Présence de bioturbations, sans doute de percolations. Zsup SD.14/29 = 261,78 m / Zinf SD.14/29 = 261,57 m
US.364			Positive	Niveau de circulation	Niveau argileux marron homogène et induré faisant possiblement office de niveau de circulation. Possiblement équivalente à l'US.361. [Correction MR : ajout de l'équivalence avec F.122]
US.365	F.123		Positive	Remblai	Remblai argilo-sableux brun, homogène et compact, comportant de nombreuses traces d'hydromorphie, ainsi que de nombreuses inclusions millimétriques de chaux et de TCA. Charbons fréquents. Possible niveau de préparation ou de nivellement précédant l'installation du sol US.364.

Mutations urbaines à *Nasium* (Meuse) | Rapport intermédiaire 2023

	Sous	Égale/équivalente	Sur	Mobilier
				Alliage cuivreux ; Céramique ; Faune ; Fer ; Verre
	Coupée par US.511 ; Sous US.312 ; Sous US.318 ; Sous US.386	Équivalente à US.388	Sur US.313	
	Sous US.281	Égale à US.432		Alliage cuivreux ; Céramique ; Faune ; Fer
		Égale à US.65		
	Coupée par US.346 ; Sous US.60	Équivalente à US.236	Sur US.350	
	Remplie par US.347	Équivalente à US.38	Coupe US.345	
	Sous US.60	Équivalente à US.24	Remplit US.346	
	Remplie par US.360		Coupe US.297 ; Coupe US.332 ; Coupe US.334 ; Coupe US.359	
	Sous F.50 ; Sous US.153		Sur US.360	
	Sous US.345	Équivalente à US.233	Sur US.338	Annulé
	Coupée par F.95 ; Coupée par US.352 ; Sous US.354 ; Sous US.367		Sur US.322	
	Sous US.353		Coupe US.351	
	Coupée par US.355		Sur US.352	
	Sous US.313 ; Sous US.433	Équivalente à US.451	Sur US.351	
	Sous US.252	Égale à US.38	Coupe US.353	
	Remplie par US.357		Coupe us.239 ; Coupe us.333	
	Sous US.41		Remplit US.356	Céramique ; Fer ; Terre crue
		Égale à US.327		Céramique ; Faune
	Coupée par US.348 ; Sous US.332		Sur US.297	
	Sous US.349		Remplit US.348	
	Sous US.370	Égale à US.283	Sur F.114 ; Sur US.363	Céramique ; Faune
	Sous US.41		Sur US.333	
	Coupée par F.114 ; Coupée par US.491 ; Sous US.331 ; Sous US.361	Égale à US.372	Sur US.381	Alliage cuivreux ; Céramique ; Faune ; Fer ; Lithique ; Verre
	Coupée par F.97 ; Sous US.271	Équivalente à F.122	Sur F.123 ; Sur US.365	
	Sous US.364		Sur US.366	

Mutations urbaines à Nasium (Meuse) | Rapport intermédiaire 2023

N° US	Fait	Ensembles	Type	Identification	Description
US.366	F.123		Positive	Remblai	Niveau argileux brun clair, compact et homogène. Il comporte des inclusions millimétriques de nodules de chaux blanche et, dans une proportion moins importante, de TCA ou de céramique. Ces inclusions sont comparables à celles du niveau supérieur US.365 mais en quantité moins importante. On note également la présence de traces d'hydromorphie et de charbons assez fréquents. Possible remblai de nivellement / préparation.
US.367			Positive	Niveau de démolition ?	Niveau d'argile compact et homogène brun-gris comportant de nombreux éléments possiblement issu de démolition (charbons fréquents et nombreux nodules millimétriques à centimétriques de torchis). Son interface avec le niveau supérieur US.365 comporte plusieurs tessons posés à plat. Il est également séparé du substrat subséquent (US. 351) par une interface d'environ 5 cm de TN remanié. [cette interface correspond potentiellement à un niveau équivalent au paléosol F.119 observé dans la partie nord de l'emprise]. [L'US.367 est possiblement un niveau de démolition (remanié) susceptible de correspondre à l'US.393 observée dans la partie nord de l'emprise]
US.368	F.128	Ensemble C ; Espace C7	Positive	Niveau de sol ?	Limon argileux marron hétérogène avec des inclusions de mortier et de charbons mm. correspond à un niveau de sol de l'espace J. Arasé il recouvre le niveau US369 qui possède une mise en oeuvre comparable.
US.369			Positive	Niveau de sol ?	Sol constitué d'une argile orange, hétérogène avec de rares inclusions de charbon. Arasé, il est localisé dans l'espace J du secteur 1.
US.370	F.121		Positive	Remblai	Niveau composé de limon sableux meublé de couleur olive avec des poches grises. Comporte quelques inclusions de charbons. Il est situé au sud-est du sondage 14 de l'espace G. Il s'agit très probablement d'un remblai ayant servi à niveler le terrain pour un potentiel nouveau niveau de sol. Zsup SD.14/29 = 262,72 m / Zinf SD.14/29 = 261,51 m
US.371	F.90	Ensemble A	Positive	Comblement	Couche avec de nombreux blocs. Coupé par la fosse F.94. Repose sur l'US 323. Observée sur la coupe CP 21 contrairement aux autres observées sur la coupe CP 20, il est donc impossible de la relier de manière stratigraphique avec les autres US.
US.372	F.122		Positive	Niveau de circulation ?	Argile limoneuse olive avec des inclusions de charbons de bois (mm à cm), de nodules de calcaire et de rares nodules de TCA.
US.373	F.121		Positive	Remblai	Remblai d'argile qui a probablement servi à niveler l'état "0" de la voie, après un éventuel affaissement et avant l'installation de l'état 1. Il est situé au sud de l'espace F, près du caniveau et a été observé en plan et dans la coupe ouest de l'écorché. Équivalent à l'US.317. Semble également se poursuivre de l'autre côté du caniveau dans l'espace G et donc être équivalent à l'US.284. Zsup SD.45 = 261,86 m / Zinf SD.45 = 261,66 m.
US.374	F.121		Positive	Remblai	Remblai homogène argileux compact marron-orangé épais subissant un pendage vers le nord-ouest observé dans le SD.29 du secteur 1. On note la présence de quelques pierres (5 à 15 cm) de longueur et du gravier. Ce niveau prend place sur l'US 330 et sous l'US 331. Elle semble s'arrêter vers l'ouest contre une couche grise limono-cendreuse relativement épaisse. Peu de mobilier dans cette couche. [MS: Équivalence probable avec l'US.284 du secteur 2]. [MR : ajout égalité avec US.284]
US.375	F.76	Ensemble C ; Espace C8	Construite	Annulé	Pierres de calage se trouvant au sud de l'espace K, secteur 1. Elles viennent s'appuyer autour du trou de poteau F.76.
US.376	F.104		Positive	Comblement	Comblement de la tranchée d'installation de F.104 caractérisé par un sédiment limoneux brun, hétérogène et meuble composé de larges blocs calcaire (20 à 50 cm) avec des inclusions de charbon et TCA. Se pose sur la couverture US.406.
US.377	F.121		Positive	Remblai	Niveau de limon brun servant de remblai dans la dépression du niveau de circulation de la voie état 1a pour installer la recharge correspondant à l'état 1b. Observé en plan et en coupe dans l'écorché. Semble de poursuivre de l'autre côté du caniveau dans l'espace G (probablement équivalent à l'US.326). Zsup SD.45 = 261,80 m / Zinf SD.45 = 261,68m.
US.378	F.100	Espace C2 ; Ensemble C ; Espace C3	Positive	Remblai	Niveau de remblai situé dans le sud de l'espace D visible entre les maçonneries F.92 et F.93 en plan et dans la coupe nord-sud également située à cet emplacement. Matrice limono-sableuse marron meuble hétérogène comportant de fréquentes lauzes en vrac, ainsi que des nodules de mortier, charbon et torchis centimétriques tous très fréquents. Présence très éparse de blocs décimétriques de calcaire lithographique décimétriques et moins. [Correction MR : sur US.118 au lieu de US.678]
US.379	F.125		Positive	Niveau d'incendie	Niveau d'incendie situé dans le sud de l'espace D observable entre les maçonneries F.92 et F.93 dans la coupe nord-sud et recouvrant le niveau d'occupation US418 déposé sur les marches F103. Matrice noire homogène friable très charbonneuse. Pas d'inclusions de mortier ou de torchis, graviers et blocs absents. Mobilier céramique abondant. Possible équivalence avec le niveau d'incendie [US. 118] [Observation MR : l'équivalence avec US.118 est capitale. Si valide, cela signifie que la cave est détruite par le second incendie. Si non valide, cela signifie que la cave est détruite par le premier incendie. Les observations réalisées sur le terrain ne permettent pas de trancher avec certitude. Dans l'attente du résultat des études mobilier (notamment céramique), cette équivalence est suspendue et l'US.379 est associée à F.125 (destruction du premier état)]
US.380			Technique	Décapage	Décapage du sondage 24 du secteur 1 en vue d'atteindre le TN.

Mutations urbaines à *Nasium* (Meuse) | Rapport intermédiaire 2023

	Sous	Égale/équivalente	Sur	Mobilier
	Coupée par F.78 ; Coupée par US.278 ; Sous US.365		Sur US.367	Céramique
	Sous F.123 ; Sous US.366	Équivalente à US.393	Sur US.351	Céramique
	Coupée par F.91 ; Coupée par US.508 ; Sous US.267 ; Sous US.41		Sur US.333 ; Sur US.369	Céramique ; Faune ; Fer
	Sous US.368	Équivalente à US.333 ; Équivalente à US.483	Sur US.432	Céramique ; Faune
	Sous US.284	Équivalente à US.283	Sur F.114 ; Sur US.326 ; Sur US.361 ; Sur US.403	Céramique ; Faune ; Fer ; Lithique ; Verre
	Sous F.50		Sur US.323	
	Coupée par F.114 ; Sous F.121 ; Sous US.330	Égale à US.363 ; Équivalente à US.326	Sur F.113 ; Sur US.382 ; Sur us.445	Alliage cuivreux ; Céramique ; Faune ; Fer ; Verre
	Sous US.340	Équivalente à US.284	Sur US.377	Céramique ; Faune
	Coupée par F.112 ; Coupée par US.468 ; Sous us.331 ; Sous US.427	Égale à US.284 ; Égale à US.427	Sur F.104 ; Sur F.106 ; Sur US.330 ; Sur US.475	Céramique ; Faune ; Fer ; Verre
		Équivalente à US.82	Sur US.406	Céramique ; Composite ; Faune ; Fer
	Sous US.373	Égale à US.381	Sur US.386	Alliage cuivreux ; Céramique ; Faune ; Fer ; Verre
	Sous US.112	Égale à US.420 ; Équivalente à US.383	Sur US.118	Céramique ; Faune ; Fer ; Verre
	Sous US.318	Égale à US.126 ; Équivalente à US.325	Sur us.418	Céramique ; Faune ; Fer
		Égale à US.389		Alliage cuivreux ; Argent ; Céramique ; Faune ; Fer ; Lapidaire ; Lithique ; Matière dure animale ; Verre

Mutations urbaines à Nasium (Meuse) | Rapport intermédiaire 2023

N° US	Fait	Ensembles	Type	Identification	Description
US.381	F.120		Positive	Remblai	Niveau de remblai limono-argileux hétérogène meuble lié à des blocs calcaires lithographique bruts de module 15-20 cm. Accuse un léger pendage vers le sud. Zsup SD.14/29 = 261,56 m / Zinf SD.14/29 = 261,28 m [Correction MR : associé au fait F.120, égalité avec US.377 à revoir car associé au fait F.121]
US.382	F.120		Positive	Remblai	Remblai hétérogène argilo-limoneux de couleur marron avec des inclusions de charbon et gravier. Cette couche se trouve dans la tranchée SD29 nord-sud de l'espace E. Le niveau comporte à sa surface quelques poches cendreuses bleues avec des petites inclusions de charbon également. Il prend place sur une couche argileuse compacte jaune qui semble être présente dans l'espace G avec un fort pendage. Ce remblai fait probablement parti du même épisode de nivellement suite à un affaissement, que l'US 372 (olive) et l'US 330 (grise) qui lui sont postérieures. La couche est riche en mobilier céramique.
US.383	F.100	Espace C2 ; Ensemble C ; Espace C3	Positive	Remblai	Remblai hétérogène brun limono-sableux meuble situé au sud de l'espace D, sur la maçonnerie F.92. Contient des inclusions de blocs de calcaire lithographique (10-15cm) fréquentes ainsi que des charbons réguliers, des nodules de mortier centimétriques ainsi que des inclusions de torchis millimétriques à centimétriques plus éparées. Présence régulière de lauzes fragmentaires en vrac.limon et sable brun, meuble et hétérogène avec inclusions de blocs. Charbons présents. [Correction MR : ajout équivalence US.378 et rajout au fait F.100]
US.384	F.98		Négative	Creusement	Creusement dans le possible état de sol argileux (US 313). Il est comblé par un fantôme de poteau (US 394) et une terre argileuse présentant des inclusions de charbons, de céramiques et de restes d'alliages cuprifères (US 385).
US.385	F.98		Positive	Comblement	Terre argileuse de comblement du creusement US 384. Il comporte de inclusions de charbons, céramiques et d'inclusions d'alliages cuprifères.
US.386			Positive	Niveau de démolition ?	Limon charbonneux bleu-gris situé en dessous du niveau de limon brun de l'US 377 au sud de l'espace F, près du caniveau, sur l'état 1 de la voie. Niveau meuble et plutôt homogène. Probablement équivalent à l'US 363 observée dans l'espace G. [correction MR : non, plutôt équivalent à US.393] Zsup SD.45 = 261,57 m / Zinf SD.45 = 261,47 m (CP.46) Zsup SD.45 = 261,78 m / Zinf SD.45 = 261,68 m (CP.48) [Observation MR : possible niveau d'incendie/de démolition (modification de l'identification : de "remblai" à "niveau de démolition")]
US.387	F.120		Positive	Remblai	Argile jaune avec de fortes inclusions de charbons venant sous US372.
US.388			Positive	Niveau de circulation	Cailloutis irrégulier de petit module composé en grande partie de calcaire lithographique. Il comprend aussi un peu de calcaire marneux et oolithique ainsi que des galets et des inclusions de scories métalliques et de tessons de céramique. Il n'est pas lié au mortier mais semble pris dans une argile marron compacte. Il correspondrait au tout premier état de circulation de la voie. Il s'est affaissé et ne recouvre qu'une partie du sondage 14. Il accuse un pendage du nord vers le sud. Le fait qu'il appartienne à la bande de roulement ou à la bande de circulation piétonne n'est pas encore déterminé. au nord du sondage : Zsup SD.14/29 = 261,61 m / Zinf SD.14/29 = 261,51 m au sud du sondage : Zsup SD.14/29 = 261,30 m / Zinf SD.14/29 = 261,20 m
US.389			Positive	Remblai	Remblai argilo sableux gris,meuble et hétérogène observée dans la coupe nord du SD.24. Sous le niveau d'argile jaune et sur un niveau de circulation argileux avec des cailloutis. [Correction MR : documentation de cette US trop lacunaire, transformée en égalité avec l'US. technique de nettoyage]
US.390			Positive	Annulé	Niveau de circulation argileux orange homogène avec de nombreux graviers et cailloux anguleux de petits modules 1-2cm). Observée dans la coupe ouest de SD24. [Correction MR : niveau annulé car documentation trop lacunaire]
US.391	F.20	Ensemble C ; Espace C8	Construite	Radier	Radier du niveau de circulation F20 observé dans la coupe est du SD24. Radier antérieur à l'aménagement de l'espace de circulation et réutilisé pour ce dernier. Caractérisé par des blocs calcaires de moyens à gros modules (15-60cm) vracés dans une matrice limoneuse brune. Au moins une monnaie a été découverte dans le radier lors du redressage des coupes et isolée en US.380. [MR : égalité avec US.268]
US.392	F.120		Positive	Remblai	Couche argileuse marron compacte. Rares charbons et présence de manganèse. Poches de rubéfaction. La couche accuse un pendage du nord vers le sud. Probable remblai situé entre l'état 0 et l'état 1 de la voie. Au nord du sondage : Zsup SD.14/29 = 261,88 m / Zinf SD.14/29 = 261,56 m. Au sud du sondage : Zsup SD.14/29 = 261,32 m / Zinf SD.14/29 = 261,00 m. [Correction MR : US. équivalente/égale à US.453]
US.393			Positive	Remblai	Limon sableux gris compact avec nombreuses inclusions de charbons. Phosphaté. Couche détritique. Très riche en mobilier. Possible niveau d'abandon du niveau de circulation de l'état 0 (US.388). Il est uniquement situé sur le cailloutis et n'est pas présent sur la totalité de la surface du sondage. au nord du sondage : Zsup SD.14/29 = 261,68 m / Zinf SD.14/29 = 261,42 m au sud du sondage : Zsup SD.14/29 = 261,28 m / Zinf SD.14/29 = 261,02 m [Observations MR n°1 : niveau équivalent/égal à US.386 observée dans SD.45] [Observation MR n° 2 : possible niveau d'incendie/de démolition]
US.394	F.98		Positive	Fantôme de poteau	Fantôme de poteau carbonisé, constitué d'argile et de charbons. Présence de charbons et de tessons de céramiques ainsi que de nodules de torchis. Le fantôme semble être incliné vers l'est (la coupe nord /sud n'a pas pu le mettre en évidence). Une fibule y est présente.
US.395			Technique	Décapage	Décapage mécanique de la cave ESP.C2.

Mutations urbaines à *Nasium* (Meuse) | Rapport intermédiaire 2023

	Sous	Égale/équivalente	Sur	Mobilier
	Sous US.326 ; Sous US.363	Égale à US.377	Sur US.392	Alliage cuivreux ; Céramique ; Faune ; Fer ; Plomb
	Sous US.330 ; Sous US.372	Équivalente à US.445	Sur US.392	Céramique ; Composite ; Faune ; Fer ; Verre
		Équivalente à US.378		Céramique ; Faune ; Fer ; Lapidaire ; Terre cuite architecturale ; Verre
	Remplie par US.385 ; Remplie par US.394		Coupe US.313	
	Sous US.312		Remplit US.384 ; S'appuie contre US.394	Alliage cuivreux ; Céramique ; Fer
	Sous US.377	Équivalente à US.317 ; Équivalente à US.393	Sur US.342	
		Égale à us.445		Céramique ; Faune ; Fer ; Lithique
	Sous US.393	Équivalente à US.342	Sur F.110 ; Sur US.412 ; Sur US.436	Céramique ; Faune ; Fer
		Égale à US.380	Sur US.390	Alliage cuivreux
	Sous US.389			
	Sous US.222	Égale à US.268		Fer
	Sous US.381 ; Sous US.382	Égale à US.453	Sur US.393	Alliage cuivreux ; Céramique ; Faune ; Fer ; Lithique ; Terre cuite architecturale ; Verre
	Sous F.120 ; Sous US.392	Équivalente à US.367 ; Équivalente à US.386 ; Équivalente à US.471	Sur US.388	Alliage cuivreux ; Céramique ; Faune ; Fer
	Sert d'appui à US.385		Remplit US.384	Alliage cuivreux ; Céramique ; Faune
				Alliage cuivreux ; Annulé ; Céramique ; Faune ; Fer ; Lapidaire ; Lithique ; Terre crue ; Terre cuite ; Terre cuite architecturale ; Verre

Mutations urbaines à Nasium (Meuse) | Rapport intermédiaire 2023

N° US	Fait	Ensembles	Type	Identification	Description
US.396	F.4	Ensemble A ; Ensemble B ; Espace A1 ; Espace A2	Négative	Creusement	Tranchée de fondation du mur F.4. Elle coupe les niveaux de voie de l'état 1 (F.62) et de l'état 2 (F.63). La relation avec les niveaux de voirie postérieurs ne sont pas renseignés à cause de l'érosion des niveaux archéologiques au sud de l'ESP. F. Son plan est linéaire rectiligne et son profil indéterminé. L'observation partielle en coupe semble toutefois indiquer que son profil est en V, pour sa cote d'apparition haute, avant de se finir en tranchée étroite.
US.397	F.4	Ensemble A ; Ensemble B ; Espace A1 ; Espace A2	Positive	Comblement	Comblement de la tranchée de fondation (US.396) du mur F.4. Le comblement est composé d'un limon sableux marron et meuble. Il contient également des inclusions de charbons et d'argile orange. Comblement hétérogène de manière générale.
US.398			Positive	Amphores en place	Ensemble de 3 amphores adossées au mur occidental F.64 de la cave.
US.399	F.99		Négative	Creusement	Creusement du trou de poteau F.99, venant couper un probable niveau de sol argileux (US.313), puis comblé (US.400)
US.400	F.99		Positive	Comblement	Terre grise argileuse de comblement du trou de poteau F.99. Comporte de petites inclusions d'alliages cuivreux et du charbon en abondance.
US.401	F.101	Ensemble C ; Espace C2	Positive	Planche	Coffrage en bois de la niche F.101 équivalente à US.306.
US.402	F.85	Ensemble C ; Espace C1 ; Espace C4	Positive	Poutre carbonisée	Planche carbonisée correspondant à la sablière de F.85. Longueur et largeur en partie préservée.
US.403	F.114		Positive	Comblement	Pierres de module 20-30 cm environ, de taille brute et de forme irrégulière. Essentiellement du calcaire lithographique. Ensemble composé d'un alignement de pierres de champs (orienté NO-SE), d'un autre alignement parallèle à ce dernier plus incertain (au nord du premier alignement, peut-être pas en place, pierres pas de champs) et d'une petite zone de gros cailloutis (au sud du premier alignement, pierres posées à plat comme un dallage). Éventuel drain, ou simple remblai de grosses pierres (équivalent à 381).
US.404	F.104		Construite	Piédroit	Piédroit sud de la canalisation F104 du SD29. Caractérisé par une mise en œuvre similaire à US.405: Un alignement de blocs calcaire équarris et grossièrement rectangulaire sans mortier apparent.
US.405	F.104		Construite	Piédroit	Piédroit nord de la canalisation F.104 observé en plan et en coupe dans le SD29 du secteur 1. Caractérisé par un alignement de blocs calcaire grossièrement équarris sans mortier apparent.
US.406	F.104		Construite	Dalle de couverture	Couverture de la canalisation F.104 observée dans le SD.29. Caractérisée par des blocs équarris de calcaire d'une épaisseur de env. 10 cm pour une longueur de 20-30 cm. En partie conservée sur les piédroits de la canalisation.
US.407	F.103	Ensemble C ; Espace C3	Construite	Marche	Blocs de calcaire agencé de sorte à formé des marches quadrangulaire dans l'escalier à deux volés menant à l'espace D. Au moins 8 marches sont observables. La plupart sont constituées de blocs équarris (réemploi de moellons?) agencés horizontalement afin de formé une marche quadrangulaire d'une largeur variant entre 69 et 91 cm. La marche n4 dans l'axe de INV.1465, est composé de deux larges blocs, irréguliers détonnant avec le reste de l'aménagement. Le palier et la seconde volée ont été en majorité récupéré. Il ne reste que deux marches.
US.408	F.105		Négative	Creusement	Creusement circulaire en cuvette du trou de poteau F.105 dans le paléosol US.313.
US.409	F.105		Positive	Fantôme de poteau	Fantôme du poteau ayant été accueilli par F.105. Se compose d'un argile brun noir avec de très nombreux charbons, des morceaux de torchis et de faune fragmentée.
US.410			Négative	Creusement	Creusement linéaire rectiligne d'orientation nord sud observé dans l'espace I du secteur 1. Dans le prolongement de F.85 et perpendiculaire à US.183. Semble constitué un élément du plancher F.43 ou de l'espace de circulation F. [Correction MR : associé à l'espace ESP.C4, probable élément de plancher (support des solives ?)] [Correction MR2 : également associé à ESP.C1 : vestige de cloison ?]
US.411	F.102		Construite	Niveau de circulation	Niveau de circulation antérieur à F20 de l'espace I du secteur 1. Caractérisé par des blocs calcaires anguleux de 5-15cm pris dans une matrice argileuse orange. Est Recouvert par US.135 et tapisse le fond des sablières F.60 et F.85. [Correction MR : ajout de l'égalité avec US.463 + annulation du fait F.102]
US.412	F.119		Positive	Niveau de sol ?	Niveau d'argile limoneux jaune compact et homogène. Probablement le niveau de préparation du niveau de circulation US. 388. Très affaissé, il n'est que partiellement recouvert par l'US. 388. [Correction MR : correspond stratigraphiquement à l'US.313 : niveau pédogénisé servant d'encaissant pour les TP précoces. Modification de l'identificatoïn (initialement "Niveau de préparation ?").
US.413	F.106		Construite	Piédroit	Piédroit sud de la canalisation maçonnée F.106 observée dans le SD.29 du secteur 1. Possède la même mise en œuvre que US.414 : Un alignement de blocs calcaire grossièrement équarris (15-20 cm) sans mortier visible.
US.414	F.106		Construite	Piédroit	Piédroit nord de la canalisation F.106 observé dans le SD.29 du secteur 1. Est caractérisé par la même mise en œuvre que US.413 : un alignement de blocs calcaire grossièrement équarris et sans mortier visible.
US.415	F.104		Positive	Poutre carbonisée	Planche carbonisée correspondant au fond du caniveau de F.104 dans le SD.29 du secteur 1. Un prélèvement a été réalisé en 2020 (PR.5). Inégalement observée sous les dalles de couvertures US.406. Semble être l'unique comblement de F.104.
US.416	F.105		Positive	Comblement	Comblement du trou de poteau F.105 composé d'argileux similaire à l'encaissant (US.313) et d'inclusions de charbon.
US.417	F.121		Positive	Remblai	Remblai limono argileux compact, brun clair, avec de nombreuses inclusions de calcaire, depuis le gravier jusqu'au bloc décimétrique. Beaucoup de mobilier. Dalles sciées Alti observé dans le SD30.

Mutations urbaines à *Nasium* (Meuse) | Rapport intermédiaire 2023

	Sous	Égale/équivalente	Sur	Mobilier
	Remplie par US.204 ; Remplie par US.397		Coupe F.63 ; Coupe US.218	
	Sous US.2		Remplit US.396 ; Sur US.11	Céramique ; Faune
	Sous US.260		Sur US.270	Céramique ; Fer ; Terre crue
	Remplie par US.400		Coupe US.313	
	Sous US.312		Remplit US.399	Alliage cuivreux ; Céramique ; Faune
	Sous US.259	Égale à US.306		Terre crue
	Sous US.295		S'appuie contre US.463 ; Sur US.512	
	Sous US.370		Sur US.491	
	Sert d'appui à US.415	Équivalente à US.405	Sur US.437	
	Sert d'appui à US.415	Équivalente à US.404	Sur US.437	
	Sous US.376 ; Sous US.82		Sur US.415	
	Sous US.418	Égale à US.419		
	Remplie par US.409		Coupe US.313	
	Sous US.416		Remplit US.408	Céramique ; Faune ; Terre crue
	Sous F.125		Coupe F.124	
	Sous US.135	Égale à US.463		
	Coupée par F.110 ; Coupée par US.435 ; Sous US.388	Équivalente à US.313		Céramique
	Sous US.434	Égale à US.414	Sur US.488 ; Sur US.509	
	Sous US.434	Égale à US.413	Sur US.488 ; Sur US.509	Verre
	Sous US.406	Équivalente à US.509	S'appuie contre US.404 ; S'appuie contre US.405	
	Sous US.312		Sur US.409	
	Sous US.464		Sur US.331 ; Sur US.82	Céramique ; Faune ; Fer ; Verre

Mutations urbaines à Nasium (Meuse) | Rapport intermédiaire 2023

N° US	Fait	Ensembles	Type	Identification	Description
US.418			Positive	Niveau d'occupation	Potentiel niveau d'occupation conservés sur les marches de l'escalier F.103. Caractérisé par une matrice limono-sableuse, grise, homogène et meuble. [Correction MR : ajout d'une équivalence potentielle avec US.269]
US.419	F.103	Ensemble C ; Espace C3	Construite	Marche	Blocs de calcaire agencé de sorte à formé des marches quadrangulaire dans l'escalier à deux volés menant à l'espace D. Au moins 8 marches sont observables. La plupart sont constituées de blocs équarris (réemploi de moellons?) agencés horizontalement afin de formé une marche quadrangulaire d'une largeur variant entre 69 et 91 cm. La marche n4 dans l'axe de INV.1465, est composé de deux larges blocs, irréguliers détonnant avec le reste de l'aménagement. Le palier et la seconde volée ont été en majorité récupéré. Il ne reste que deux marches.
US.420	F.100	Espace C2 ; Ensemble C ; Espace C3	Positive	Remblai	Remblai présent dans la coupe cp32, du comblement de l'escalier de la cave. Consiste en une matrice marron-jaune sablo limoneuse meuble hétérogène, comprenant de régulières poches de sédiment plus compact, toujours avec la même composante (Lauze fondue par la chaleur ?). Contient des inclusions de torchis éparses, ainsi que des charbons fréquents (dont des modules décimétriques épars). Inclusions de blocs décimétriques réguliers ainsi que de mortier (modules millimétriques à décimétriques épars). Présence également de lauzes fréquentes ainsi que d'un mobilier abondant. [MR : égalité avec US.378]
US.421	F.89	Ensemble B	Positive	Comblement	Comblement intermédiaire composé d'argile limoneuse grise avec des inclusions rares de torchis, de blocs et de torchis.
US.422	F.89	Ensemble B	Positive	Comblement	Comblement intermédiaire composé de blocs et de cailloutis dans une matrice faiblement limoneuse.
US.423	F.89	Ensemble B	Positive	Comblement	Comblement inférieur de la fosse composé d'argile marron compact et homogène avec des inclusions de blocs et cailloux calcaire. Correspond à du substrat mélangé traversé par le creusement.
US.424	F.88		Positive	Fantôme de poteau	Fantôme du TP F.88 observé dans la coupe est du SD.16. Couche argile-limoneuse grise avec des inclusions forte de torchis et de charbons.
US.425	F.107		Construite	Piédroit	Piédroit est de la canalisation F.107 observé dans la CP38 du SD24 du secteur 1. Semble se prolonger en plan. Constitué de blocs calcaires quadrangulaires équarris de 15-20 cm. Ne semble pas être lié par du mortier.
US.426	F.107		Construite	Piédroit	Piédroit ouest de la canalisation F107 observée dans la coupe nord de SD29. Mise en œuvre similaire au piédroit est US.425.
US.427	F.121		Positive	Niveau d'incendie	Dépôt de charbon sans organisation planimétrique apparente, sans doute lié à la proximité de matériaux de construction en bois carbonisés. [Observation MR : probable planche carbonisée jetée dans le remblai F.121 et sans doute égale à US.374]
US.428	F.108		Construite	Piédroit	Piédroit est de la canalisation F108 observé dans la coupe sud Cp40 du SD24 du secteur 1. Est caractérisé par un alignement de blocs calcaire rectangulaires (15-20cm) sans mortier visible. Observable dans la CP40 du SD24.
US.429	F.108		Construite	Piédroit	Piédroit ouest de la canalisation F.108 observé dans la coupe CP40 du SD.24 du secteur 1. Possède la même mise en œuvre que US.428: Un alignement de blocs calcaire, équarris et rectangulaire (15-20 cm) sans mortier visible.
US.430	F.109		Négative	Creusement	Creusement avec un profil irrégulier et un plan indéterminé. Il pourrait s'agir du creusement d'un possible trou de poteau.
US.431	F.109		Positive	Comblement	Comblement composé d'une argile limoneuse jaune compacte qui comporte quelques charbons. Il pourrait s'agir du comblement d'un trou de poteau.
US.432	F.125		Positive	Niveau de démolition ?	Niveau de démolition observé dans la coupe ouest du SD24. Se compose de fragments de torchis centimétriques, de poches d'argile et de fragments de mortier dans une matrice argilo sableuse meuble et grise. Niveau chargé en mobilier. Sur un niveau d'incendie non inventorié. Localisé dans la pièce J. Remblai constitué de démolition en vrac ?? [Correction MR : probable remblai correspondant à la démolition étalée consécutive à l'incendie perceptible via l'US.442, ajout association F.125]
US.433			Positive	Bloc	Bloc en calcaire oolithique qui s'inscrit dans le paléosol de l'US. 313. Situé en marge du cailloutis US.342, il pourrait correspondre à un bloc de parcellaire ou bornage ?
US.434	F.106		Positive	Comblement	Comblement limoneux marron, meuble, homogène observé entre les piédroits (US 414 et 413) et sous les dalles de couverture US.406.
US.435	F.110		Négative	Creusement	Creusement du TP F.110 visible dans la CP.33. Son plan et son profil sont indéterminés. TP arasé par le creusement accueillant le cailloutis US.388. Localisé dans l'angle NE du SD.14.
US.436	F.110		Positive	Comblement	Comblement charbonneux du TP.110
US.437	F.104		Négative	Creusement	Creusement de l'installation de la canalisation F.104 observable dans le SD29 du secteur 1. Semble être caractérisé par un plan linéaire et un profil irrégulier.
US.438	F.106		Construite	Dalle de couverture	Dalle de couverture du caniveau F.106 situé dans le SD 42 et SD29. Dalles de calcaire équarris d'une épaisseur d'une dizaine de cm. Elles sont lacunaires et reposent sur les piédroits de la canalisation (US 413 et US 414).
US.439	F.63	Ensemble B ; Espace B3	Positive	Remblai	Niveau de limon brun avec quelques petits blocs (7-8cm) et des inclusions de charbon. Il est possiblement lié à un remblai au-dessus du niveau de circulation US.340 ou à une action de récupération du niveau de circulation US.339 suivie d'un remblai. Cette US n'a été qu'observée dans la moitié Ouest de la coupe sud du sondage 45 (coupe 48). Zsup SD.45 = 261,93 m / Zinf SD.45 = 261,85 m

Mutations urbaines à *Nasium* (Meuse) | Rapport intermédiaire 2023

	Sous	Égale/équivalente	Sur	Mobilier
	Sous US.379	Équivalente à US.269	Sur F.103 ; Sur US.407	Céramique ; Faune ; Fer
	Sous US.420	Égale à US.407		
	Sous us.112	Égale à US.378	Sur US.419	Céramique ; Faune ; Fer ; Lithique ; Verre
	Sous US.320 ; Sous US.489		Sur US.422	
	Sous US.421		Sur US.423	
	Sous US.422		Remplit US.319	
	Sous US.315		Sur US.314	
	Sous US.510	Égale à US.426		
	Sous US.510	Égale à US.425		
	Sous US.331	Égale à US.374	Sur US.374	
		Égale à US.429		
		Égale à US.428		
	Remplie par US.431		Coupe US.313	
	Sous US.312		Remplit US.430	
	Sous US.333 ; Sous us.369	Égale à US.343 ; Équivalente à US.496	Sur US.442	Céramique ; Faune ; Fer ; Matériaux de construction
	Sous US.312		Sur US.354	
	Sous US.438		Sur US.413 ; Sur US.414	Céramique
	Remplie par US.436		Coupe US.412	
	Sous US.388		Remplit US.435	
	Sous US.404 ; Sous US.405 ; Sous US.509		Coupe us.453	
			Sur US.434	
	Sous US.218		Sur US.340	

Mutations urbaines à Nasium (Meuse) | Rapport intermédiaire 2023

N° US	Fait	Ensembles	Type	Identification	Description
US.440	F.80	Ensemble C ; Espace C7	Positive	Comblement	Comblement du foyer F80, à l'intérieur d'une supposée structure en lauze incendiées (US 441), qui correspondrait au compartimentage intérieur du foyer. Il est composé d'un mélange de lauzes pulvérulentes roses, gris clair et de limon marron. [Correction MR : égalité avec US.290 (au lieu de équivalence)]
US.441	F.80	Ensemble C ; Espace C7	Construite	Sole	Compartimentage interne de la structure foyer F80 mesurant au minimum 54 cm de largeur pour un minimum de 114 cm de longueur (soit une superficie de 0.318m2).. Est caractérisé par un assemblage en demi-cercle de dalles de calcaire coquillé de 15-30 cm de longueur. Les dalles sont posées de champ, sur leur tranche. Toutes possèdent un caractère pulvérulent montrant les fortes températures provenant du foyer. Est en partie comblé par l'US.440 (lauzes pulvérulentes et volatiles : plafond effondré ?) Leur pulvérulence est de 3 sur l'échelle de la pulvérulence qui va de 1 (pas pulvérulent, bloc) à 5 (très pulvérulent, fondu). [Correction MR : niveau qui correspond très probablement à la sole]
US.442	F.125		Positive	Niveau d'incendie	Niveau d'incendie observé en coupe de CP38 et CP39 dans le SD24 du secteur 1. Liseré de charbons localisé sous la démolition US.432. Ne semble pas se poursuivre sous tout le niveau de démolition. [Observation MR : distinction entre niveau d'incendie et niveau de démolition uniquement observée dans le sondage SD.24. À conserver malgré rattachement des deux US au fait F.125]
US.443	F.80	Ensemble C ; Espace C7	Construite	Radier	Épandage de fragments de lauzes déposé à plat sur la surface centrale de la structure foyer F.80. Elles sont irrégulières, équarries et mesurent entre 10 et 15 cm de long. Aucune n'est complète. Toutes sont posées grossièrement à plat et sans aménagement visible. L'espace circulaire localisé sous US.441 ne semble pas avoir été dallé. Abîmées mais peu pulvérulentes. Constituerait le niveau de sol de la structure. [Correction MR : probable radier ou niveau de préparation destiné à supporter la sole du foyer]
US.444	F.80	Ensemble C ; Espace C7	Positive	Comblement	Fine couche limoneuse brune meuble et homogène entre l'US 440 et l'US 443. Niveau fortement chargé en tessons de céramiques. Est égale à l'US 290 (concordance des tessons). [Correction MR : égalité probable avec radier US.443]
US.445	F.120		Positive	Remblai	Argile limoneuse jaune compacte, avec nombreux microcharbons. Appartient avec les US446, US447 et US448 à une même séquence de remblai = regrouper au sein de l'us.445.
US.446			Positive	Remblai	Limon argileux brun, assez meuble, nombreux graviers et charbons, petits cailloux calcaire anguleux infradécimétrique.
US.447			Positive	Remblai	Niveau égale à US.445.
US.448			Positive	Remblai	Limon sableux gris d'aspect cendreuse, très meuble, nombreux charbons, quelques graviers métalliques
US.449	F.119		Positive	Remblai	Argile limoneuse brune panachée de jaune, compacte, hétérogène, très rare gravillons, charbons peu nombreux. Localisée aux angles des SD.29 et SD.30, elle semble être coupé par un important creusement US 487 traversant une partie du bâtiment et de la bande piétonne de la voie. [Correction MR : équivalent US.313]
US.450	F.120		Positive	Remblai ?	Limon argilo sableux verdâtre, très rares charbons et graviers, texture friable
US.451	F.126		Positive	Substrat	Argile compacte jaune brun, oxydations Fe Mg, correspondant certainement aux altérités du substrat géologique. Substrat observé dans les SD29 et SD30, coupé par un creusement US 487 aménagé de part et d'autre du secteur 1 et 2.
US.452	F.54	Ensemble B ; Espace B5	Positive	Niveau de nivellement	Niveau de nivellement argilo limoneux marron, compact et homogène servant de niveau de nivellement pour accueillir le cailloutis US.120. Il est observé seulement à l'ouest de l'Esp.G et de manière partiel. Son emprise totale originelle n'est pas connue. Le niveau subit une pendage vers le sud. [Observation MR : niveau rattaché à F.54 : ensembles de niveaux de circulation et de recharges contemporains du fonctionnement du caniveau F.38/42 et du niveau de voirie F.52] [Observation MR 2 : ajout équivalence avec US.149]
US.453	F.120		Positive	Remblai	Remblai caractérisé par une argile compacte, homogène, rouge avec de rares charbons. [Correction MR : US. équivalente/égale à US.392]
US.454	F.124	Ensemble C ; Espace C5 ; Espace C1 ; Espace C4 ; Espace C6	Positive	Niveau de circulation	Niveau de sol constitué d'une matrice argileuse jaune, compacte, homogène avec des inclusions récurrentes de graviers, petits cailloux (0-2cm) (cailloutis ?) et de blocs calcaires de petits à moyens modules (5-15cm). Observé uniquement dans la coupe CP38:39 du SD.29. Observé de façon très lacunaire en plan à cause des pendages et des arasements dans le secteur 1.
US.455	F.127		Positive	Remblai	Remblai détritique argilo sableux gris, hétérogène, meuble comportant des inclusions récurrentes de charbons mm à cm. On note également la présence de nombreux blocs calcaire de petits et moyens modules, de fragments de lauze et du mortier vracés mm à cm. Il est possible qu'il y est deux phases de remblais dont le premier serait plus clair. Un liseré d'argile vert est observable dans la coupe mais semble s'interrompre. Même séquence de remblaiement que US.473 et US.481.
US.456	F.127		Positive	Remblai ?	Niveau de circulation en argile jaune compacte uniquement observé dans la coupe CP39 du SD24. Nombreux graviers et cailloutis agencés dans une matrice argileuse jaune compacte, homogène avec de rares inclusions de charbons mm. Mise en œuvre similaire à US.454. Z sup : 261,51 m NGF Z inf 261,31 m NGF d'après CP37. [Correction MR : interprétation initiale de niveau de circulation douteuse ; probable remblai]
US.457			Positive	Annulé	Limon sableux gris, homogène, meuble présentant de fréquents charbons mm à cm; observé dans la coupe CP39:38 du SD24. Remblai ou niveau d'occupation présentant un abondant mobilier. Égale à au niveau gris cendreuse du SD29 ?

Mutations urbaines à *Nasium* (Meuse) | Rapport intermédiaire 2023

	Sous	Égale/équivalente	Sur	Mobilier
		Égale à US.290		Céramique
	Sous US.290		Sur US.443	
	Sous US.432	Équivalente à US.482	Sur US.454	
	Sous US.441	Égale à US.444	S'appuie contre US.327 ; Sur US.522	
		Égale à US.443		Céramique
	Sous US.372	Égale à US.387 ; Égale à US.447 ; Équivalente à US.382 ; Équivalente à US.446 ; Équivalente à us.448	Sur US.450	
		Équivalente à US.445	Sur US.447	
	Sous US.446	Égale à US.445	Sur US.448	
	Sous US.447	Équivalente à US.445	Sur US.450	
	Coupée par F.113 ; Coupée par US.487	Équivalente à US.313	Sur US.451	
	Sous US.445 ; Sous US.448		Sur US.453	Céramique
	Coupée par F.113 ; Coupée par US.487 ; Sous US.449	Équivalente à US.354	Sur US.323	
	Sous US.120	Équivalente à US.149	Sur US.165	
	Coupée par F.104 ; Coupée par F.106 ; Coupée par US.437 ; Coupée par US.488 ; Sous US.450	Égale à US.392	Sur US.487	Céramique
	Coupée par F.115 ; Coupée par US.497 ; Sous US.442	Égale à US.481	Sur US.473	Céramique ; Faune ; Fer
	Coupée par F.115 ; Coupée par US.497 ; Sous US.473 ; Sous US.481		Sur US.471 ; Sur US.480	Céramique ; Faune ; Fer
	Sous US.480		Sur US.471	Céramique

Mutations urbaines à Nasium (Meuse) | Rapport intermédiaire 2023

N° US	Fait	Ensembles	Type	Identification	Description
US.458			Positive	Remblai	Remblai caractérisé par une argile brune, compacte et homogène. Charbons fréquents. Présence de ferromanganèse.
US.459	F.126		Positive	Substrat	Terrain naturel
US.460			Technique	Sondage manuel	Sondage profond dans le sondage 30 Ludo et Simon. Recoupe les US 372 374 445 446 447 448 449 450 451 453. Le mobilier semble largement provenir de 453
US.461				Annulé	
US.462			Positive	Remblai	Niveau argileux, compact et hétérogène. On note la présence de cailloutis de calcaire marneux, de taille variable (3-7cm). Le niveau est visible dans la coupe ouest de l'emprise, dans le sondage de fouille du radier F96 mais la fenêtre d'observation est réduite. Uniquement observé dans fond du sondage SD.15. [Observation MR : appartenance potentielle au fait F.121 ou F.120]
US.463			Construite	Sol	Niveau de mortier de chaux, blanc, induré avec des nodules de chaux, de sables et de gravier destiné à l'installation de la sablière F.85. [Correction MR : probable premier niveau de sol maçonné du couloir très ponctuellement conservé.]
US.464	F.121		Positive	Remblai	Remblai composé en majorité de cendre, hétérogène avec de nombreux blocs de calcaire.
US.465	F.111	Ensemble C ; Espace C2	Négative	Creusement	Creusement au plan linéaire et au creusement en U irrégulier.
US.466	F.111	Ensemble C ; Espace C2	Positive	Comblement	Comblement caractérisé par un limon jaune, friable et homogène. Charbons absents.
US.467	F.121		Positive	Annulé	Niveau argileux marron induré et relativement homogène. [Correction MR : US annulée]
US.468	F.112	Ensemble C ; Espace C4 ; Espace C1	Négative	Creusement	Creusement linéaire rectiligne au profil en cuvette lié à l'installation de la sablière F.112.
US.469	F.112	Ensemble C ; Espace C4 ; Espace C1	Construite	Solin	Solin constitué de blocs en calcaire lithographique de 5-20 cm de long observé dans l'espace E et dans le SD29. Les blocs sont pris dans une matrice argilo limoneuse marron jaune sans inclusion.
US.470			Positive	Niveau de circulation	Niveau d'occupation de l'état 1 identifier sous l'incendie US.46 observé dans la coupe est ouest du SD1. Se caractérise par un fin liseré cendreuse gris avec des inclusions mm de charbons. Non identifié en plan. [correction MR : niveau de circulation incendié]
US.471			Positive	Niveau de démolition ?	Sable gris, meuble et homogène avec inclusions de cailloutis et de matériaux de démolition. Charbons fréquents. Probable niveau de préparation pour le sol US.456 composé en partie de la démolition d'un état antérieur. Z sup: 261,31 m NGF Z inf 261,08 m NGF d'après CP37 [Correction MR : présence sur G104 et G105 d'un horizon d'incendie au milieu de l'US.471 : foyer ponctuel ou indice d'un phénomène de plus grande ampleur ?] [Correction MR 2 : niveau potentiellement équivalent à l'US.393 et à l'US.367]
US.472			Positive	Sol	Argile olive, compact et homogène. Charbons rares. Probable niveau de circulation.
US.473	F.127		Positive	Remblai	Niveau limono sableux gris, hétérogène avec quelques rares inclusions de charbons mm. remblai Même séquence de remblaiement que US.455 et US.481.
US.474			Positive	Remblai	Remblai hétérogène gris marron avec inclusions de torchis dans cp est ouest du secteur 1. [Observations MR : ce niveau pourrait correspondre à un apport sédimentaire propre à la partie occidentale du bâtiment, vraisemblablement destiné à compenser un affaissement (du comblement de la cave ?) et qui est susceptible de correspondre à la séquence d'occupation correspondant à l'installation du four F.34]
US.475			Positive	Remblai	Interface argileuse hétérogène jaune avec des inclusions mm de charbons et de mortier concentrée entre l'US 374 et l'US 330.
US.476	F.119		Positive	Sol ?	Argile marron, induré et homogène avec inclusions de blocs de calcaire brut de module décimétrique. Charbons absents. Présence importante de ferromanganèse. Possible paléosol (présence de mobilier posé à plat) observé sur la quasi totalité du fond du sondage 24.
US.477			Positive	Remblai	Niveau de remblai argileux faiblement limoneuse marron avec des inclusions de charbons fréquents. Encaissant de la fosse F.31. Observé dans le SD.54.
US.478			Positive	Remblai	Niveau de remblai limono-sableux hétérogène avec des inclusions de charbons et de rares graviers millimétriques. Niveau de remblai détritrique. Observé dans le SD.54
US.479			Positive	Remblai	Importante séquence de remblai argileux marron compact et homogène présentant de rares inclusions de cailloux et des charbons millimétriques fréquents. Observé dans le SD.54.
US.480	F.127		Positive	Remblai	sable et limon gris, meuble et homogène. Charbons présents. Niveau présentant de nombreuses traces d'hydromorphie, immédiatement postérieur au sol en terre battue US.456 : remblai ou niveau d'abandon ?
US.481	F.124	Ensemble C ; Espace C5 ; Espace C1 ; Espace C4 ; Espace C6	Positive	Sol	Argile jaune, induré et homogène avec inclusions de cailloutis. Charbons absents. Probable niveau de circulation constituant sans doute le premier état de l'espace I. Correspond dans la pièce J au niveau de circulation US.454
US.482	F.125		Positive	Niveau d'incendie	sable et limon noir, meuble et homogène avec inclusions de Torchis . Charbons fréquents. Niveau d'incendie du premier état de l'espace I possiblement équivalent à l'US.46; Equivaut à L'US 442 pour l'espace J.

Mutations urbaines à *Nasium* (Meuse) | Rapport intermédiaire 2023

	Sous	Égale/équivalente	Sur	Mobilier
	Coupée par f.107 ; Coupée par F.134 ; Coupée par F.78 ; Sous US.471 ; Sous US.472		Sur US.476	Alliage cuivreux ; Céramique ; Faune ; Fer
	Sous US.476	Égale à US.322		
				Céramique ; Faune ; Fer
			Sur US.323	
	Sous US.284		Sur US.504	
	Sert d'appui à US.402 ; Sous US.470	Égale à US.411	S'appuie contre US.513 ; Sur US.324	
	Coupée par F.48 ; Sous US.324		Sur US.417 ; Sur US.467	
	Sous US.466		Coupe us.323	
	Sous US.270	Équivalente à US.308 ; Équivalente à US.310	Sur US.465	Alliage cuivreux ; Céramique ; Faune ; Fer ; Verre
	Sous US.464		Sur US.331	
	Sous US.469		Coupe us.374	
	Sous US.97		Sur US.468	
	Coupée par F.79 ; Coupée par US.279 ; Sous US.46		Sur US.135 ; Sur US.463	
	Sous F.127 ; Sous US.455 ; Sous US.456	Équivalente à US.393	Sur US.458 ; Sur US.472	Céramique ; Faune ; Fer
	Sous US.471		Sur US.458	Céramique ; Fer
	Sous US.454		Sur US.455	
	Coupée par F.35		Sur US.121	
	Sous US.374		Sur US.330	
	Sous US.458	Équivalente à F.119	Sur US.459	Céramique
	Coupée par F.31		Sur US.478	
	Sous US.477		Sur US.479	
	Sous US.478			
	Sous US.455		Sur US.456	
	Sous US.482	Égale à US.454 ; Équivalente à US.294	Sur F.107 ; Sur F.127 ; Sur F.134 ; Sur F.78 ; Sur US.455	
	Sous US.496	Équivalente à us.442	Sur US.481	

Mutations urbaines à Nasium (Meuse) | Rapport intermédiaire 2023

N° US	Fait	Ensembles	Type	Identification	Description
US.483			Positive	Niveau de circulation	argile jaune, induré et homogène avec inclusions de blocs. Charbons rares. Niveau de circulation ou niveau de préparation immédiatement antérieur à l'état F20 de l'espace I. [Correction MR : niveau très probablement comparable à l'US.121 (équivalence ajoutée) et qui semble faire office de préparation de sol]
US.484	F.93	Ensemble C ; Espace C2 ; Espace C3	Construite	Colonne	Éléments de colonne engagée (base + fût) utilisés en remploi dans le mur F.93 42 cm de hauteur pour le fût et une quinzaine de cm pour la base.
US.485	F.93	Ensemble C ; Espace C2 ; Espace C3	Construite	Élévation	Élévation du mur F.93 en petit appareil constitué de 7 assises en calcaire lithographique grossièrement équarris. Maçonnerie moins harmonieuse que F.32 et F.41. Le mortier utilisé pour la jointure des blocs est lacunaire et mal conservé (joint tiré au fer ?). Chaque assise est grossièrement quadrangulaire et de dimensions variables (10-15 cm de haut pour 15-20 cm de long). - calcaire exclusif, taille équarri, forme rectangulaire - mortier : mortier de chaux, compact, gris. Inclusions de gravier - enduit : sans enduit
US.486			Construite	Sol	Niveau de sol localisé et concentré sous le four F80 dans le secteur 1. Est caractérisé par un mortier induré, blanc dont la face extérieure est lissée. N'a pas été prélevé. Apparaît dans la coupe de F92 mais non relevée. [Correction MR : probable sol maçonné de l'espace ESP.C5, non observé en plan]
US.487	F.113		Négative	Annulé	Creusement en auge venant s'implanter entre la bande piétonne du secteur 2 et le bâtiment du secteur 1. Identifié en PF, son plan n'a pu être caractérisé. Coupe le TN US.451 et un premier état de remblai US.449 sur 0.79 m. La profondeur totale n'a pu être observée sur sa totalité en raison d'un important pendage N-S. Semble accueillir le premier état de la voie.
US.488	F.106		Négative	Creusement	Creusement au plan linéaire et au profil en auge de la tranchée d'installation de la canalisation F.106.
US.489	F.89	Ensemble B	Positive	Comblement	Comblement supérieur de la structure F.89 perçu dans l'angle sud-ouest de SD.24. Référéncée dans la CP.48. Niveau composé majoritairement de blocs et cailloux calcaire en vrac dans une matrice faiblement limoneuse brune. Composition majoritairement de pierres pour asseoir le caniveau F.38 ? Equivalente au comblement supérieur F.89 observé dans le SD.16 (US.320).
US.490	F.85	Ensemble C ; Espace C1 ; Espace C4	Négative	Creusement	Creusement linéaire au profil en U destiné à l'installation de la sablière F.85 dans le couloir I du bâtiment.
US.491	F.114		Négative	Creusement	Creusement linéaire rectiligne orienté NO-SE destiné à l'implantation d'un drain en pierres calcaire [US.403]. Son profil esquisse une cuvette légèrement irrégulière. Fenêtre d'observation situé au sud de l'espace G, dans SD.14. L'implantation du drain recoupe le niveau de sol potentiel [US.363].
US.492	F.64	Ensemble C ; Espace C2	Construite	Fondation	Fondation de F.64 caractérisé par 3 à 4 assises de petit appareils en calcaire lithographique et en très rare calcaire marneux. Les dimensions des moellons varient entre 20-30 cm de longueur pour 15-20cm de hauteur. Le tout est lié par un mortier de chaux blanc lacunaire.
US.493	F.92	Ensemble C ; Espace C3	Construite	Élévation	Elevation en petit appareil conservé sur 4 assises. Constitué de moellons grossièrement équarris, en grande majorité de calcaire lithographique et rarement de calcaire marneux. Les dimensions sont variables : 10-15 cm de hauteur pour 20-25 cm de longueur. L'ensemble est lié par un mortier de chaux, blanc, induré.
US.494	F.92	Ensemble C ; Espace C3	Construite	Fondation	Fondation en petit appareil conservée sur un minimum de trois assises et le ressaut de fondation en calcaire lithographique. Les assises mesurent entre 30-40 cm de long pour env 20 cm de haut, le tout assemblé par un mortier de chaux blanc.
US.495	F.93	Ensemble C ; Espace C2 ; Espace C3	Construite	Fondation	La fondation semble être préservée sur un maximum de trois assises (45 cm de hauteur) de dimensions irrégulières (10-15 cm de hauteur pour une longueur comprise entre 20-40cm), équarries, quadrangulaires et taillées dans un calcaire lithographique. La première assises est la plus grossière, faite de blocs bruts et irréguliers. L'ensemble est lié par un mortier de chaux blanc, lacunaire (joints tirés au fer?).
US.496	F.125		Positive	Niveau de démolition	Fin niveau de démolition localisé dans la CP37. Constitué d'un limon gris mêlé à des blocs calcaire inférieurs à 5cm et des fragments centimétriques de mortier. [Observations MR : remblai constitué en partie de démolition étalée ? semble appartenir stratigraphiquement à la séquence de remblaiement postérieure à la démolition F.125] [Correction MR : ajout équivalence US.432]
US.497	F.115	Ensemble C ; Espace C7 ; Espace C8	Négative	Creusement	Plan non observé mais semble être linéaire avec un profil en cuvette.
US.498	F.115	Ensemble C ; Espace C7 ; Espace C8	Positive	Comblement	Comblement de la tranchée de sablière F115 constitué d'un limon sombre, hétérogène, meuble avec des inclusions de charbons. Blocs 5-10 cm de long en calcaire sont également observables. Uniquement perçu dans la coupe CP38.
US.499			Positive	Niveau de chantier ?	Fin niveau de mortier de chaux uniquement observé dans la coupe CP.55. [Correction MR : possible niveau de chantier à mettre potentiellement en lien avec la construction du mur gouttereau oriental de l'ensemble ENS.C]
US.500			Positive	Remblai	Argile marron, compact et homogène avec inclusions de gravier et de blocs. Charbons fréquents. Épais remblais argileux ayant possiblement une fonction de nivellement ou de réhaussement avant l'installation du niveau de circulation US.274/275.
US.501				Annulé	
US.502				Annulé	
US.503			Positive	Annulé	US créée en post-fouille pour désigner le niveau d'incendie observé dans l'emprise de l'espace K. [Annulé car correspond en fait à l'US.267]

Mutations urbaines à *Nasium* (Meuse) | Rapport intermédiaire 2023

	Sous	Égale/équivalente	Sur	Mobilier
	Sous F.128 ; Sous F.20 ; Sous US.268	Équivalente à US.121 ; Équivalente à US.333 ; Équivalente à US.369	Sur US.496	
		Équivalente à US.485		Lapidaire
	Sous us.112	Équivalente à US.484	Sur US.495	
	Coupée par US.521 ; Sous F.80			céramique ; Fer
	Sous US.453		Coupe US.449 ; Coupe US.451	
	Sous US.413 ; Sous US.414		Coupe US.453	
	Sous F.38	Équivalente à US.320	Sur US.421	
	Sous US.512		Coupe US.324	
	Sous US.403		Coupe US.363	
	Sous US.207	Chainée avec US.494	Sur US.322	
		Chainée avec US.207	Sur US.494	
	Sous US.493	Chainée avec US.492	Sur US.322	
	Sous US.485		Sur US.322	
	Sous US.483	Équivalente à US.432	Sur US.482	
	Sous US.498		Coupe US.454 ; Coupe us.455	
	Sous F.20		Sur US.497	
	Sous US.500		Sur US.271	
	Sous US.275		Sur US.499	
	Sous F.130	Égale à US.267	Sur F.128	

Mutations urbaines à Nasium (Meuse) | Rapport intermédiaire 2023

N° US	Fait	Ensembles	Type	Identification	Description
US.504			Positive	Remblai ?	Niveau créé en post-fouille Matrice d'argile marron, compacte et homogène. Pas de charbons observés. N'a été observé que dans le fond du sondage SD.15. Susceptible de correspondre soit à un remblai, soit à un niveau de substrat naturel. [Observation MR : appartenance potentielle au fait F.121 ou F.120]
US.505	F.107		Positive	Comblement	Comblement de F.107
US.506	F.107		Négative	Creusement	Creusement de F.107
US.507	F.91	Ensemble C ; Espace C7 ; Espace C8 ; Espace C10	Positive	Comblement	Comblement de F.91.
US.508	F.91	Ensemble C ; Espace C7 ; Espace C8 ; Espace C10	Négative	Creusement	Creusement de F.91
US.509	F.106		Positive	Poutre carbonisée	Pièce de bois carbonisée constituant le fond du drain F.106. Uniquement observée dans la coupe CP33.
US.510	F.107		Construite	Dalle de couverture	Dalles de couverture de F.107. Uniquement observées dans la coupe CP38 où elles semblent s'être affaissées/effondrées.
US.511	F.62	Ensemble B ; Espace B1	Négative	Creusement	Creusement correspondant au terrassement précédant l'installation de la chaussée F.62. Creusement linéaire, profil en U.
US.512	F.85	Ensemble C ; Espace C1 ; Espace C4	Construite	Enduit	
US.513			Construite	Crapaudine ?	Possible crapaudine installée contre la sablière F.112 au niveau de l'extrémité septentrionale de l'espace ESP.C1. Bloc équarri de calcaire lithographique de forme quadrangulaire percé d'un orifice circulaire ayant fonction de crapaudine. Découverte en place, elle constitue vraisemblablement un vestige de la baie (porte) permettant la transition entre l'ensemble ENS.B et l'ensemble ENS.C.
US.514			Négative	Creusement	Creusement d'implantation des espaces ESP.C2 (cave) et ESP.C3 (escalier d'accès).
US.515	F.41	Ensemble C ; Espace C2	Négative	Évacuation	Orifice destiné à l'évacuation de l'eau drainée par F.86.
US.516	F.35	Ensemble C ; Espace C8	Positive	Base	Bloc calcaire constituant une probable base pour un montant en bois non conservé. Matérialise l'extrémité sud de F.35.
US.517	F.35	Ensemble C ; Espace C8	Positive	Base	Bloc calcaire constituant une probable base pour un montant en bois non conservé. Matérialise l'extrémité nord de F.35.
US.518	F.91	Ensemble C ; Espace C7 ; Espace C8 ; Espace C10	Construite	Solin	Solin de F.91 (uniquement observé dans la coupe CP.40).
US.519	F.91	Ensemble C ; Espace C7 ; Espace C8 ; Espace C10	Construite	Base	Bloc calcaire constituant une probable base pour un montant en bois non conservé. Matérialise l'extrémité nord de F.91.
US.520	F.91	Ensemble C ; Espace C7 ; Espace C8 ; Espace C10	Construite	Base	Bloc calcaire constituant une probable base pour un montant en bois non conservé. Matérialise l'extrémité sud de F.91.
US.521	F.80	Ensemble C ; Espace C7	Négative	Creusement	Creusement de F.80. Creusement rectangulaire, profil en U.
US.522	F.80	Ensemble C ; Espace C7	Positive	Comblement	Comblement inférieur de F.80 (antérieur au radier US.443). limon brun, meuble et homogène avec inclusions de cailloutis. Charbons présents.
US.523	F.84	Ensemble D	Construite	Fond	Fond de la structure F.84. - lauze exclusif, taille équarri, forme rectangulaire - mortier : mortier de chaux, friable, jaune. Inclusions de sable, gravier, nodules de chaux - enduit : sans enduit - joints : sans joint
US.524	F.84	Ensemble D	Négative	Creusement	Creusement de F.84. Creusement indéterminé, profil en U.
US.525	F.84	Ensemble D	Positive	Comblement	Comblement d'abandon de F.84. limon brun, compact et homogène avec inclusions de mortier. Charbons absents.

Mutations urbaines à *Nasium* (Meuse) | Rapport intermédiaire 2023

	Sous	Égale/équivalente	Sur	Mobilier
	Sous US.462			
			Remplit US.506 ; Sur US.510	
	Rempie par US.505		Coupe F.127	
			Sur US.335 ; Sur US.518	
	Rempie par US.518		Coupe US.368	
	Sous US.413 ; Sous US.414	Équivalente à US.415	Sur US.437	
	Sous US.505		Sur US.425 ; Sur US.426	
	Sous US.312		Coupe US.313 ; Coupe US.342	
	Sous US.402		Sur US.490	
	Sert d'appui à US.463		S'appuie contre F.112 ; Sur F.124	
	Sous F.103 ; Sous F.32 ; Sous F.41 ; Sous F.64 ; Sous F.92 ; Sous F.93		Coupe F.126 ; Sur US.323	
		Équivalente à US.307		
	Sert d'appui à US.289		Sur US.108	
	Sert d'appui à US.289		Sur US.108	Lapidaire
	Sous US.336 ; Sous US.507 ; Sous US.519 ; Sous US.520		Remplit US.508	
			Sur US.518	
			Sur US.518	
	Rempie par US.522		Coupe US.281 ; Coupe US.486	
	Sous US.327 ; Sous US.443		Remplit US.521	
	Sous US.243 ; Sous US.525		Sur US.524	
	Sous US.523		Coupe US.236	
	Sous US.2		Sur US.243 ; Sur US.523	

9.3. Inventaire des ensembles

N° Ensemble	Identification	Description	Liste des faits et US
Ensemble A	Bâtiment	Ensemble comprenant l'intégralité des aménagements observés au nord du mur F4. La fenêtre observée durant la campagne 2020 est trop réduite pour espérer une caractérisation précise. On note la présence, dans les niveaux de comblement supérieurs, d'éléments mobilier (céramique métallescente) caractéristiques du IIIe siècle de notre ère. Note : ancien espace ESP. A	F.118 ; F.39 ; F.4 ; F.45 ; F.50 ; F.53 ; F.56 ; F.90 ; F.94 US.9 ; US.173 ; US.49 ; US.109 ; US.110 ; US.111 ; US.137 ; US.152 ; US.156 ; US.11 ; US.204 ; US.396 ; US.397 ; US.132 ; US.163 ; US.154 ; US.155 ; US.297 ; US.321 ; US.332 ; US.334 ; US.359 ; US.371 ; US.348 ; US.349 ; US.360
Ensemble B	Voirie	Ensemble comprenant l'espace de voirie carrossable et l'espace de circulation piéton. Il est délimité au nord par l'ensemble ENS. A et au sud par l'ensemble ENS. C. Note : anciens espaces ESP. F (voirie) et ESP. G (piéton).	F.10 ; F.11 ; F.16 ; F.17 ; F.23 ; F.27 ; F.3 ; F.30 ; F.38 ; F.4 ; F.42 ; F.44 ; F.52 ; F.54 ; F.58 ; F.62 ; F.63 ; F.69 ; F.71 ; F.72 ; F.73 ; F.75 ; F.8 ; F.89 US.51 ; US.339 ; US.296 ; US.340 ; US.287 ; US.100 ; US.504 ; US.35 ; US.36 ; US.216 ; US.217 ; US.256 ; US.54 ; US.55 ; US.129 ; US.52 ; US.16 ; US.19 ; US.139 ; US.140 ; US.141 ; US.164 ; US.253 ; US.258 ; US.11 ; US.204 ; US.396 ; US.397 ; US.158 ; US.161 ; US.162 ; US.288 ; US.131 ; US.133 ; US.232 ; US.263 ; US.119 ; US.83 ; US.231 ; US.130 ; US.235 ; US.99 ; US.50 ; US.149 ; US.157 ; US.194 ; US.195 ; US.262 ; US.165 ; US.166 ; US.452 ; US.120 ; US.175 ; US.176 ; US.219 ; US.311 ; US.312 ; US.511 ; US.167 ; US.218 ; US.439 ; US.264 ; US.228 ; US.229 ; US.230 ; US.244 ; US.245 ; US.246 ; US.247 ; US.248 ; US.249 ; US.254 ; US.255 ; US.25 ; US.26 ; US.32 ; US.33 ; US.319 ; US.320 ; US.421 ; US.422 ; US.423 ; US.489
Ensemble C	Bâtiment	Bâtiment de type maison délimité au nord par l'ensemble B (voirie), à l'est par l'ensemble B (bâtiment mitoyen) et à l'ouest par l'axe formé par les murs F.13 et F.64 (non contemporains).	F.100 ; F.101 ; F.103 ; F.111 ; F.112 ; F.115 ; F.117 ; F.124 ; F.128 ; F.129 ; F.131 ; F.133 ; F.135 ; F.20 ; F.32 ; F.34 ; F.35 ; F.36 ; F.41 ; F.43 ; F.48 ; F.51 ; F.60 ; F.64 ; F.67 ; F.76 ; F.77 ; F.80 ; F.85 ; F.86 ; F.87 ; F.91 ; F.92 ; F.93 US.418 ; US.270 ; US.269 ; US.470 ; US.463 ; US.483 ; US.121 ; US.56 ; US.77 ; US.205 ; US.474 ; US.333 ; US.369 ; US.486 ; US.267 ; US.513 ; US.410 ; US.514 ; US.105 ; US.259 ; US.260 ; US.261 ; US.420 ; US.378 ; US.383 ; US.305 ; US.306 ; US.401 ; US.407 ; US.419 ; US.465 ; US.466 ; US.97 ; US.468 ; US.469 ; US.497 ; US.498 ; US.226 ; US.227 ; US.65 ; US.135 ; US.294 ; US.324 ; US.481 ; US.454 ; US.281 ; US.282 ; US.368 ; US.91 ; US.122 ; US.201 ; US.124 ; US.174 ; US.210 ; US.214 ; US.208 ; US.134 ; US.146 ; US.150 ; US.114 ; US.234 ; US.277 ; US.345 ; US.350 ; US.45 ; US.66 ; US.69 ; US.213 ; US.222 ; US.240 ; US.241 ; US.242 ; US.268 ; US.391 ; US.93 ; US.304 ; US.101 ; US.102 ; US.103 ; US.144 ; US.159 ; US.160 ; US.171 ; US.172 ; US.180 ; US.202 ; US.104 ; US.108 ; US.113 ; US.289 ; US.291 ; US.292 ; US.516 ; US.517 ; US.106 ; US.107 ; US.206 ; US.301 ; US.302 ; US.303 ; US.515 ; US.62 ; US.74 ; US.75 ; US.76 ; US.95 ; US.98 ; US.138 ; US.211 ; US.183 ; US.188 ; US.190 ; US.123 ; US.147 ; US.136 ; US.184 ; US.193 ; US.207 ; US.492 ; US.185 ; US.209 ; US.127 ; US.356 ; US.357 ; US.375 ; US.265 ; US.266 ; US.290 ; US.327 ; US.358 ; US.440 ; US.441 ; US.443 ; US.444 ; US.521 ; US.522 ; US.402 ; US.490 ; US.512 ; US.307 ; US.308 ; US.309 ; US.310 ; US.335 ; US.336 ; US.507 ; US.508 ; US.518 ; US.519 ; US.520 ; US.493 ; US.494 ; US.484 ; US.485 ; US.495
Ensemble D	Bâtiment	Bâtiment mitoyen de l'ensemble ENS. C. Il est délimité au nord par la voirie ENS. B et à l'ouest par l'ensemble ENS. C. Ses limites orientales et méridionales sont inconnues. Note : ancien espace ESP. B	F.22 ; F.40 ; F.5 ; F.65 ; F.83 ; F.84 US.6 ; US.60 ; US.61 ; US.23 ; US.24 ; US.38 ; US.39 ; US.57 ; US.346 ; US.347 ; US.220 ; US.221 ; US.273 ; US.293 ; US.243 ; US.523 ; US.524 ; US.525
Espace A1	Espace semi-excavé	Espace semi-excavé limité au nord par le mur F.4, à l'est par F.39 et à l'ouest par F.45. Sa limite sud, hors emprise, est inconnue.	F.118 ; F.39 ; F.4 ; F.45 ; F.53 ; F.56 US.49 ; US.109 ; US.110 ; US.111 ; US.137 ; US.152 ; US.156 ; US.11 ; US.204 ; US.396 ; US.397 ; US.132 ; US.153 ; US.163 ; US.154 ; US.155
Espace A2	Accès ?	Possible cage d'escalier permettant l'accès à l'espace ESP.A1. Il est limité au nord par F.53, à l'est par F.45 et au nord par F.4. Sa limite occidentale, hors emprise, est inconnue.	F.118 ; F.4 ; F.45 ; F.53 ; F.56 US.49 ; US.109 ; US.110 ; US.111 ; US.137 ; US.152 ; US.132 ; US.163 ; US.154 ; US.155
Espace B1	Voirie carrossable	Premier état de voirie carrossable.	F US.219 ; US.311 ; US.312 ; US.511 6 2
Espace B2	Voirie piétonne	Premier état de voirie piétonne.	US.339 ; US.296 ; US.340 ; US.287
Espace B3	Voirie carrossable	Second état de voirie carrossable. La bande de roulement empiète sur les anciens espaces ESP. B1 et B2 et recouvre donc l'intégralité de l'espace de circulation. Pas de matérialisation de la séparation entre espace carrossable et espace piéton.	F US.167 ; US.218 ; US.439 ; US.264 6 3
Espace B4	Voirie carrossable	Troisième état de voirie carrossable.	F.3 ; F.38 ; F.52 US.149 ; US.157 ; US.194 ; US.195 ; US.262
Espace B5	Voirie piétonne	Espace de circulation piétonne contemporain de la chassée ESP.B4 dont il est séparé par le caniveau F.38.	F.38 ; F.54 US.165 ; US.166 ; US.452 ; US.120

Mutations urbaines à *Nasium* (Meuse) | Rapport intermédiaire 2023

N° Ensemble	Identification	Description	Liste des faits et US
Espace B6	Voirie carrossable	Espace de voirie formé par la réunion des anciens espaces ESP.B4 (chaussée) et ESP.B5 (trottoir).	F.4 US.83 ; US.119 ; US.130 ; US.131 ; US.133 ; US.231 ; US.232 ; US.235 ; US.263 ; US.99 ; US.50
Espace B7	Voirie carrossable	Chaussée carrossable.	F.11 ; F.27 ; F.29 ; F.58 ; F.75 US.100 ; US.16 ; US.19
Espace B8	Voirie piétonne	Espace de circulation piéton.	F.11 ; F.29 ; F.58 ; F.72 ; F.73 ; F.75 US.51 ; US.100 ; US.35 ; US.36 ; US.216 ; US.217 ; US.256 ; US.16 ; US.78 ; US.79 ; US.175 ; US.176 ; US.246 ; US.247 ; US.248 ; US.249 ; US.254 ; US.255
Espace C1	Couloir	Espace central du bâtiment ENS. C dont la fonction semble être de desservir les espaces latéraux. Il est délimité au nord par l'ensemble ENS. B, à l'ouest par les espaces EPS. C2, C3 et C5, à l'est par les espaces ESP. C4 et C6. Son extension méridionale est inconnue. Note : ancien espace ESP. I.	F.112 ; F.124 ; F.60 ; F.67 ; F.85 US.463 ; US.470 ; US.513 ; US.410 ; US.411 ; US.65 ; US.135 ; US.294 ; US.324 ; US.481 ; US.454 ; US.185 ; US.209 ; US.402 ; US.490 ; US.512
Espace C10	Pièce	Ancien espace K	F.9 US.267 ; US.362 ; US.335 ; US.336 ; US.507 ; US.508 ; US.518 ; US.519 ; US.520
Espace C2	Cave	Espace excavé inscrit entre les murs F.41 au nord, F.64 à l'ouest, F.32 à l'est et par l'espace ESP. C3 au sud. Note : ancien espace ESP. D.	F.100 ; F.101 ; F.111 ; F.117 ; F.32 ; F.41 ; F.64 ; F.86 ; F.87 ; F.93 US.269 ; US.270 ; US.395 ; US.514 ; US.398 ; US.105 ; US.259 ; US.260 ; US.261 ; US.420 ; US.378 ; US.383 ; US.305 ; US.306 ; US.401 ; US.465 ; US.466 ; US.226 ; US.227 ; US.93 ; US.304 ; US.206 ; US.301 ; US.302 ; US.303 ; US.515 ; US.207 ; US.492 ; US.307 ; US.308 ; US.309 ; US.310 ; US.485 ; US.495
Espace C3	Accès	Accès matérialisé par un escalier maçonné permettant d'accéder à la cave ESP. C2. Note : ancien espace ESP. L.	F.100 ; F.103 ; F.92 ; F.93 US.418 ; US.514 ; US.105 ; US.259 ; US.260 ; US.261 ; US.420 ; US.378 ; US.383 ; US.407 ; US.419 ; US.493 ; US.494 ; US.484 ; US.485 ; US.495
Espace C4	Pièce de façade	Espace non caractérisé doté d'un planché en bois dont les lambourdes sont encore conservées. Son emprise, observée de manière limitée, semble couvrir la quasi totalité du SD.2 et une partie du SD.1. Elle est délimitée au nord par la poutre US.97, par la tranchée F.60 à l'ouest, par le mur F.5 à l'est et par la berme de référence est/ouest septentrionale au nord. Note : ancien espace ESP. E.	F.112 ; F.124 ; F.43 ; F.48 ; F.85 US.410 ; US.97 ; US.469 ; US.65 ; US.135 ; US.294 ; US.324 ; US.481 ; US.454 ; US.183 ; US.188 ; US.190 ; US.402 ; US.490 ; US.512
Espace C5	Pièce	Espace situé dans la partie sud-ouest de l'ensemble ENS. C. Il est délimité au nord par l'espace ESP. C3 et à l'est par l'espace ESP. C1. Son emprise méridionale et occidentale n'est pas connue. Note : ancien espace ESP. J et K.	F.124 US.486 ; US.65 ; US.135 ; US.294 ; US.324 ; US.481 ; US.454
Espace C6	Pièce	Pièce non caractérisée, située au sud-ouest du secteur 1. Elle est délimitée au nord par la pièce de façade ESP. C4, à l'ouest par le couloir ESP. C1. Son extension orientale et septentrionale n'est pas connue. Note : ancien espace ESP. H	F.124 ; F.46 ; F.77 US.142 ; US.143 ; US.127 ; US.265 ; US.266
Espace C7	Pièce	Pièce occidentale du second état du bâtiment ENS. C.	F.115 ; F.128 ; F.131 ; F.34 ; F.80 ; F.91 US.333 ; US.369 ; US.497 ; US.498 ; US.281 ; US.282 ; US.368 ; US.134 ; US.146 ; US.150 ; US.101 ; US.103 ; US.159 ; US.160 ; US.172 ; US.202 ; US.290 ; US.327 ; US.358 ; US.440 ; US.441 ; US.443 ; US.444 ; US.521 ; US.522 ; US.335 ; US.336 ; US.507 ; US.508 ; US.518 ; US.519 ; US.520
Espace C8	Couloir	Couloir central du second état du bâtiment ENS. C.	F.115 ; F.135 ; F.20 ; F.35 ; F.36 ; F.76 ; F.91 US.497 ; US.498 ; US.45 ; US.66 ; US.69 ; US.240 ; US.241 ; US.242 ; US.268 ; US.104 ; US.108 ; US.113 ; US.289 ; US.291 ; US.292 ; US.516 ; US.517 ; US.106 ; US.107 ; US.356 ; US.357 ; US.375 ; US.335 ; US.336 ; US.507 ; US.508 ; US.518 ; US.519 ; US.520
Espace C9	Pièce	Pièce orientale du second état du bâtiment ENS. C.	F.51 US.205 ; US.123 ; US.147

9.4. Inventaire des sondages et coupes

N° sondage/coupe	Type	Liste des faits et US	Remarques
CP.17	Coupe stratigraphique	F.5 US.23 ; US.39 ; US.24 ; US.57 ; US.351 ; US.38	Coupe ouest du sondage SD.12.
CP.18	Coupe stratigraphique	F.5 ; F.95 US.353 ; US.352 ; US.23 ; US.39 ; US.24 ; US.57 ; US.38	Coupe nord du sondage SD.12.
CP.19	Coupe stratigraphique	F.5 US.338 ; US.347 ; US.346 ; US.61 ; US.60 ; US.2 ; US.345 ; US.350	Coupe sud de l'espace B
CP.20	Coupe stratigraphique	F.90 ; F.50 US.297 ; US.332 ; US.334 ; US.321 ; US.153	Coupe sud du sondage SD.13 (espace A).
CP.21	Coupe stratigraphique	F.90 ; F.50 US.297 ; US.332 ; US.334 ; US.321 ; US.153	Coupe ouest du SD.13 de l'ESP.A
CP.22	Annulé		
CP.23	Coupe stratigraphique	F.35 ; F.20 US.113 ; US.108 ; US.126 ; US.292 ; US.470 ; US.104 ; US.289 ; US.474 ; US.121 ; US.291	Coupe est/ouest de l'espace I
CP.26	Annulé	F.80 US.327 ; US.358 ; US.290	Coupe Nord Sud 1 foyer F80
CP.27	Annulé	F.80 US.327 ; US.358 ; US.290	Coupe Nord Sud 2 foyer F80
CP.28	Annulé	F.80 US.327 ; US.358 ; US.290	Coupe Est Ouest foyer F80
CP.31	Coupe stratigraphique	F.103 US.407 ; US.419 ; US.379 ; US.418 ; US.378	Coupe nord sud de F.103 du secteur 1.
CP.32	Coupe stratigraphique	F.103 US.407 ; US.419 ; US.378 ; US.420	Coupe de l'accès de la cave ESP.D du secteur 1.
CP.33	Coupe stratigraphique	F.43 ; F.112 ; F.104 ; F.113 ; F.121 US.76 ; US.95 ; US.98 ; US.487 ; US.487 ; US.82 ; US.376 ; US.211 ; US.468 ; US.437 ; US.406 ; US.65 ; US.412 ; US.404 ; US.405 ; US.62 ; US.74 ; US.75 ; US.97 ; US.138 ; US.97 ; US.415 ; US.374 ; US.445 ; US.446 ; US.447 ; US.448 ; US.453 ; US.449 ; US.284 ; US.392 ; US.469 ; US.451	Coupe est du SD29.
CP.34	Coupe stratigraphique	F.43 US.76 ; US.95 ; US.98 ; US.211 ; US.65 ; US.62 ; US.74 ; US.75 ; US.97 ; US.138	Coupe ouest du sondage SD.29.
CP.35	Annulé	US.410 ; US.135	Coupe nord du SD30.
CP.36	Coupe stratigraphique	F.121 US.467 ; US.410 ; US.46 ; US.372 ; US.135 ; US.374 ; US.417 ; US.447 ; US.449 ; US.464 ; US.451	Coupe sud du sondage SD.30.
CP.37	Coupe stratigraphique	F.78 US.272 ; US.298 ; US.278 ; US.482 ; US.483 ; US.496 ; US.471 ; US.316 ; US.337 ; US.458 ; US.456 ; US.481	Coupe est du sondage SD.24
CP.38	Coupe stratigraphique	F.107 ; F.115 US.498 ; US.497 ; US.482 ; US.442 ; US.454 ; US.471 ; US.369 ; US.368 ; US.425 ; US.426 ; US.449 ; US.458 ; US.473 ; US.480 ; US.456 ; US.481 ; US.451	Coupe nord du sondage SD.24.
CP.39	Coupe stratigraphique	US.442 ; US.454 ; US.432 ; US.343 ; US.471 ; US.368 ; US.369 ; US.41 ; US.455 ; US.458 ; US.456 ; US.472	Coupe ouest du sondage SD.24.
CP.40	Coupe stratigraphique	US.482 ; US.483 ; US.471 ; US.428 ; US.429 ; US.458 ; US.456 ; US.333 ; US.481	Coupe sud du sondage SD.24.
CP.43	Coupe stratigraphique	F.88 ; F.89 US.315 ; US.320 ; US.421 ; US.422 ; US.423 ; US.314 ; US.319 ; US.424	Coupe est du sondage SD.16.
CP.46	Coupe stratigraphique	F.62 ; F.63 ; F.38 US.219 ; US.218 ; US.141 ; US.164 ; US.253 ; US.339 ; US.340 ; US.342 ; US.311 ; US.139 ; US.140 ; US.312 ; US.373 ; US.377	Coupe est du sondage SD.45.
CP.47	Coupe stratigraphique	F.11 ; F.38 ; F.121 ; F.122 US.218 ; US.326 ; US.339 ; US.287 ; US.296 ; US.370 ; US.284 ; US.392 ; US.361	Coupe ouest du sondage SD.14 (ensemble ENSB).
CP.48	Coupe stratigraphique	F.89 ; F.42 ; F.63 US.218 ; US.320 ; US.340 ; US.342 ; US.386 ; US.313 ; US.373 ; US.377 ; US.439	Coupe sud du sondage SD.45.
CP.5	Coupe stratigraphique	F.13 ; F.31 ; F.58 ; F.9 ; F.59 ; F.66 ; F.62 ; F.63 ; F.52 ; F.51 US.131 ; US.176 ; US.28 ; US.178 ; US.198 ; US.48 ; US.397 ; US.175 ; US.27 ; US.177 ; US.199 ; US.47 ; US.11 ; US.342 ; US.339 ; US.263 ; US.50 ; US.313 ; US.2 ; US.34 ; US.179 ; US.215 ; US.351 ; US.354 ; US.323 ; Us.1	Coupe ouest de l'emprise de fouille. [proposition : associer coupe ENS.A pour avoir profil complet du site ?]

Mutations urbaines à Nasium (Meuse) | Rapport intermédiaire 2023

N° sondage/coupe	Type	Liste des faits et US	Remarques
CP.50	Coupe stratigraphique	F.85 ; F.104 US.467 ; US.82 ; US.82 ; US.376 ; US.437 ; US.406 ; US.135 ; US.404 ; US.405 ; US.464 ; US.417 ; US.324	Coupe ouest du sondage SD.30.
CP.51	Annulé		
CP.52	Annulé	US.432 ; US.486	Coupe sud de l'espace L. [minute non créée ; à voir pendant post-fouille]
CP.55	Coupe stratigraphique	F.83 ; F.84 ; F.68 US.168 ; US.273 ; US.293 ; US.274 ; US.275 ; US.499 ; US.127 ; US.294 ; US.243 ; US.2 ; US.233 ; US.236 ; US.271 ; US.234 ; US.277 ; US.500	Coupe est du sondage SD.12.
CP.6	Coupe stratigraphique	F.20 ; F.68 ; F.5 ; F.40 US.116 ; US.117 ; US.23 ; US.39 ; US.267 ; US.123 ; US.24 ; US.147 ; US.2 ; US.203 ; US.41 ; US.125 ; US.57 ; US.1 ; US.38	Coupe sud de l'emprise de fouille.
CP.7	Annulé	F.62 ; F.63 ; F.52 ; F.30 ; F.44	Coupe nord de l'emprise de fouille. [aucun apport archéologique notable]
CP.8	Coupe stratigraphique	F.23 ; F.7 ; F.65 US.338 ; US.83 ; US.131 ; US.59 ; US.20 ; US.58 ; US.21 ; US.29 ; US.287 ; US.100 ; US.311 ; US.2 ; US.17 ; US.284 ; US.462 ; US.504 ; US.1	Coupe est du secteur 2.
SD.1	Sondage manuel	F.66 ; F.59 ; F.31 ; F.25 ; F.20 ; F.35 ; F.67 ; F.64 ; F.41 ; F.32 ; F.48 ; F.60 ; F.101 ; F.86 ; F.92 ; F.93 ; F.100 US.398 ; US.306 ; US.484 ; US.113 ; US.261 ; US.466 ; US.308 ; US.310 ; US.227 ; US.261 ; US.108 ; US.465 ; US.307 ; US.309 ; US.226 ; US.47 ; US.126 ; US.260 ; US.260 ; US.206 ; US.207 ; US.493 ; US.485 ; US.136 ; US.148 ; US.301 ; US.492 ; US.494 ; US.495 ; US.305 ; US.325 ; US.325 ; US.118 ; US.42 ; US.69 ; US.135 ; US.104 ; US.34 ; US.179 ; US.41 ; US.112 ; US.214 ; US.215 ; US.130 ; US.105 ; US.91 ; US.124 ; US.208 ; US.210 ; US.201 ; US.174 ; US.259 ; US.270 ; US.270 ; US.269 ; US.302	Sondage manuel dans le quart nord-ouest de l'espace C.
SD.10	Sondage manuel	F.38 US.141 ; US.164 ; US.253 ; US.139 ; US.140	Sondage manuel dans le caniveau F.38. Correspond à «Coupe CD» sur plaque photo.
SD.11	Sondage manuel	F.11 ; F.38 US.35 ; US.217 ; US.141 ; US.216 ; US.164 ; US.36 ; US.253 ; US.37 ; US.139 ; US.140	Sondage manuel dans le caniveau F.38 et la fosse F.11
SD.12	Sondage manuel	F.77 ; F.78 ; F.83 ; F.95 ; F.96 ; F.97 ; F.68 ; F.123 US.276 ; US.168 ; US.273 ; US.265 ; US.272 ; US.353 ; US.266 ; US.278 ; US.352 ; US.341 ; US.23 ; US.274 ; US.275 ; US.499 ; US.127 ; US.364 ; US.127 ; US.367 ; US.294 ; US.243 ; US.24 ; US.277 ; US.271 ; US.234 ; US.236 ; US.233 ; US.365 ; US.366 ; US.271 ; US.500 ; US.351 ; US.38	Sondage manuel implanté dans l'angle sud-est de l'emprise de fouille afin de documenter la coupe de F.5 et la partie de l'espace B présente dans l'emprise.
SD.13	Sondage manuel	F.90 ; F.94 ; F.50 US.297 ; US.332 ; US.334 ; US.349 ; US.360 ; US.321 ; US.348 ; US.359 ; US.153	Sondage manuel réalisé dans l'espace A.
SD.14	Sondage manuel	F.11 ; F.38 ; F.121 ; F.122 US.218 ; US.326 ; US.287 ; US.339 ; US.296 ; US.284 ; US.361	Sondage manuel de l'espace piéton G renseignant les niveaux de circulation contemporains et antérieurs à l'état 2 (phasage Esp F).
SD.15	Sondage manuel	F.5 ; F.65 US.220 ; US.39 ; US.24 ; US.221 ; US.462 ; US.504 ; US.38	Sondage manuel du mur F.5 et F.65.
SD.16	Sondage mécanique	F.52 ; F.62 ; F.63 ; F.89 ; F.88 ; F.29 US.157 ; US.219 ; US.218 ; US.320 ; US.315 ; US.79 ; US.319 ; US.314 ; US.78 ; US.340 ; US.342 ; US.339 ; US.263 ; US.317 ; US.318 ; US.149 ; US.311 ; US.313 ; US.194 ; US.195 ; US.312 ; US.354 ; US.351 ; US.322 ; US.323	Sondage mécanisé de l'Esp F. Zsup SD.16 = 262,23 m.
SD.2	Sondage manuel	F.20 ; F.36 ; F.43 US.82 ; US.106 ; US.107 ; US.126 ; US.29 ; US.46 ; US.127 ; US.145 ; US.205 ; US.42 ; US.77 ; US.69 ; US.41 ; US.121 ; US.122 ; US.53 ; US.56	Sondage manuel dans le quart nord-est de l'espace C.
SD.24	Sondage mécanique	F.107 ; F.108 ; F.115 ; F.127 US.457 ; US.498 ; US.497 ; US.380 ; US.482 ; US.442 ; US.454 ; US.483 ; US.496 ; US.432 ; US.471 ; US.369 ; US.368 ; US.426 ; US.428 ; US.429 ; US.425 ; US.389 ; US.455 ; US.458 ; US.473 ; US.480 ; US.333 ; US.456 ; US.472 ; US.481 ; US.476 ; US.459	Sondage mécanisé du secteur 1.
SD.25	Sondage manuel	F.78 US.272 ; US.298 ; US.278 ; US.316 ; US.337	Sondage manuel de la canalisation F78 du secteur H.
SD.29	Sondage manuel	F.106 ; F.104 ; F.78 ; F.112 ; F.113 ; F.110 ; F.120 ; F.121 US.390 ; US.487 ; US.487 ; US.376 ; US.82 ; US.272 ; US.298 ; US.436 ; US.278 ; US.437 ; US.435 ; US.406 ; US.438 ; US.372 ; US.412 ; US.414 ; US.404 ; US.405 ; US.316 ; US.337 ; US.415 ; US.415 ; US.97 ; US.374 ; US.475 ; US.330 ; US.382 ; US.445 ; US.446 ; US.447 ; US.448 ; US.453 ; US.449 ; US.387 ; US.324 ; US.451	Sondage manuel dans la partie ouest de l'espace E.

Mutations urbaines à *Nasium* (Meuse) | Rapport intermédiaire 2023

N° sondage/coupe	Type	Liste des faits et US	Remarques
SD.3	Sondage manuel	F.51 ; F.68 US.168 ; US.69 ; US.203 ; US.41 ; US.125 ; US.169	Sondage manuel dans le quart sud-est de l'espace C.
SD.30	Sondage manuel	F.60 ; F.43 ; F.121 US.76 ; US.95 ; US.98 ; US.487 ; US.184 ; US.193 ; US.211 ; US.490 ; US.136 ; US.427 ; US.65 ; US.62 ; US.74 ; US.75 ; US.97 ; US.138 ; US.330 ; US.445 ; US.446 ; US.447 ; US.448 ; US.453 ; US.449 ; US.464 ; US.463 ; US.451	Sondage manuel dans espace I et espace E.
SD.4	Sondage manuel	F.34 ; F.35 US.101 ; US.171 ; US.102 ; US.113 ; US.172 ; US.108 ; US.150 ; US.146 ; US.196 ; US.197 ; US.134 ; US.144 ; US.104 ; US.41 ; US.180 ; US.159 ; US.103 ; US.160 ; US.202	Sondage manuel dans le quart sud-ouest de l'espace C.
SD.41	Sondage manuel	F.104 US.406 ; US.404 ; US.405 ; US.415	Sondage manuel du caniveau F.104.
SD.42	Sondage manuel	F.106 US.488 ; US.413 ; US.414	Sondage manuel de F.106
SD.44	Annulé	US.417	
SD.45	Sondage manuel	F.98 ; F.99 ; F.105 ; F.62 ; F.63 US.218 ; US.219 ; US.219 ; US.218 ; US.385 ; US.400 ; US.416 ; US.384 ; US.399 ; US.408 ; US.394 ; US.409 ; US.339 ; US.340 ; US.342 ; US.339 ; US.386 ; US.311 ; US.311 ; US.313 ; US.312 ; US.312 ; US.377 ; US.373 ; US.377	Zsup SD.45 = 261,96 m.
SD.49	Annulé		
SD.53	Annulé		
SD.54	Sondage manuel	US.478 ; US.479	Sondage manuel réalisé à l'ouest de l'espace B afin de documenter l'implantation de la base F.11.
SD.9	Sondage manuel	F.38 US.141 ; US.164 ; US.253 ; US.139 ; US.140	Sondage manuel dans le caniveau F.38. Correspond à «Coupe AB» sur plaque photo.

9.5. Inventaire du mobilier

9.5.1. Inventaire général

N° inv.	Type	Fait	US	Sondage	Matériau	Identification	NR	PR	Remarques	Contenant
INV.1	Isolat		US.4		Alliage cuivreux	aiguille	1	3,6		
INV.2	Isolat		US.4		Alliage cuivreux	fibule				Boîte 092
INV.3	Isolat		US.4		Alliage cuivreux	monnaie	1	24,8		Boîte 047
INV.4	Isolat		US.4		Faune	aiguille, épingle	1	0,1	Aiguille ou épingle	
INV.5			us fdg		Alliage cuivreux	pb			inventaire supprimé	
INV.6					Annulé	Annulé			déchet	
INV.7	Isolat		US.4		Alliage cuivreux	applique	1	11,3	Applique ?	
INV.8	Lot		US.4		Faune	os	579	4704,1	Deux sachets de faune	
INV.9	Lot		US.4		Céramique	vaisselle	725	10409		Bac 001
INV.10	Lot		US.4		Fer	clous	406	2008,1	Une partie reste à laver, BIS	
INV.11	Lot				Annulé					
INV.12	Lot		US.4		Fer	scories	29	542		Bac 035
INV.13	Lot		US.4		Verre	vaisselle	40	41		
INV.14	Lot		US.4		Alliage cuivreux	déchets	6	3	all cuivreux	
INV.15	Isolat		US.4		Lithique	Peson	1	188		Boîte 076
INV.16	Isolat		US.4		Lithique	encensoir	1	251		Boîte 076
INV.17					Annulé	Annulé			inventaire supprimé	
INV.18	Lot		US.5		Céramique	vaisselle	17	260,5		Bac 002
INV.19	Lot		US.5		Verre	vaisselle	2	15,5		
INV.20	Lot		US.5		Fer	clous	16	197,3		
INV.21	Isolat		US.5		Lithique	indéterminé	1	1275		
INV.22	Lot				Annulé					
INV.23	Lot		US.5		Faune	os	13	86,3		
INV.24	Lot		US.6		Fer	clous de ferrure	2	3,6		
INV.25	Isolat		US.4		Faune	épingle	1	0,1		
INV.26	Isolat		US.34		Lapidaire	bloc architectural	1	4537		
INV.27					Annulé	Annulé			inventaire supprimé	
INV.28	Lot		US.4		Faune	malaco	4	6,3		
INV.29	Lot		US.4		Faune	micro-faune	8			
INV.30	Lot		US.8		Fer	clous	46	167,2		
INV.31	Isolat		US.4		Fer	agrafe	1	11		
INV.32	Isolat		US.4		Alliage cuivreux	monnaie	1	5		Boîte 047
INV.33	Isolat		US.4		Fer	plaque	1	10		
INV.34	Lot		US.8		Céramique	vaisselle	34	830		Bac 002
INV.35	Isolat		US.4		Fer	indéterminé	1	79		
INV.36	Isolat		US.4		Plomb	indéterminé	1	30,2		
INV.37	Isolat		US.4		Fer	poignée	1	36		
INV.38	Lot		US.8		Faune	os	28	264,8		
INV.39	Isolat		US.4		Alliage cuivreux	indéterminé	5	6,1	5 fragments	
INV.40					Annulé	Annulé			inventaire supprimé	
INV.41	Isolat		US.4		Lithique	jeton	1	142		
INV.42	Lot		US.4		Lithique	plaque décorative	1	38		
INV.43	Lot		US.8		Fer	indéterminé	4			
INV.44	Lot		US.8		Fer	scories	7	39		Bac 035
INV.45					Annulé	Annulé			inventaire supprimé	
INV.46					Annulé	Annulé			inventaire supprimé	
INV.47					Annulé	Annulé			inventaire supprimé	
INV.48	Isolat		US.4		Alliage cuivreux	monnaie	1	0,6		Boîte 047
INV.49	Isolat		US.8		Fer	clou de chaussure	1	1		
INV.50	Isolat		US.4		Alliage cuivreux	tige	1	1,2		

Mutations urbaines à Nasium (Meuse) | Rapport intermédiaire 2023

N° inv.	Type	Fait	US	Sondage	Matériau	Identification	NR	PR	Remarques	Contenant
INV.51	Lot		US.8		Fer	clou de chaussure	1	1		
INV.52	Lot		US.8		Verre	vaisselle	5	11,7		
INV.53	Lot				Annulé	Annulé	3	15,4		
INV.54	Lot		US.8		Céramique	vaisselle	8	130,9		Bac 002
INV.55	Lot		US.4		Fer	clou de chaussure	10	16,3		
INV.56	Isolat		US.10		Céramique	tesson céramique avec réparation en plomb	1	98,4		Bac 001
INV.57	Isolat		US.10		Fer	clef	1	246		
INV.58	Isolat		US.4		Fer	poids	1	147		
INV.59	Isolat		US.4		Faune	épingle	1	0,1		
INV.60	Isolat		US.4		Fer	crampon	1	11		
INV.61	Lot		US.4		Terre crue	torchis	32	363,3		
INV.62	Isolat		US.4		Fer	tige	1	1		
INV.63	Isolat		US.4		Fer	plaque	1	10		
INV.64	Isolat		US.4		Fer	plaque	1	4		
INV.65	Lot		US.4		Enduits peints	enduit et mortier	1			
INV.66	Isolat		US.4		Fer	stylet	1	11		
INV.67	Isolat		US.8		Alliage cuivreux	monnaie	1	6,2		Boîte 047
INV.68	Isolat		US.8		Fer	clou de chaussure	1	1		
INV.69	Isolat		US.8		Fer	clou de chaussure	1	1		
INV.70	Isolat		US.4		Fer	stylet	1	12		
INV.71	Isolat	F.3	US.15		Alliage cuivreux	anneau	1	4,3		
INV.72	Isolat		US.8		Alliage cuivreux	applique	1	1,5		
INV.73	Isolat	F.3	US.15		Alliage cuivreux	monnaie	1	2,3		Boîte 047
INV.74	Isolat		US.4		Faune	épingle	3	2,3	Trois éclats	
INV.75	Isolat		US.4		Fer	clou de chaussure	1	1		
INV.76	Isolat	F.3	US.18		Verre	pieds de vaisselle	1	4,5		
INV.77	Isolat		US.8		Fer	clou de chaussure	1	1		
INV.78	Isolat	F.3	US.18		Verre	indéterminé	1	0,4		
INV.79					Annulé	Annulé			inventaire annulé	
INV.80	Isolat	F.3	US.18		Fer	indéterminé	1	74		
INV.81					Annulé	Annulé				
INV.82	Isolat		US.4		Fer	ferrure	1	2		
INV.83	Isolat		US.8		Fer	clou de chaussure	1	1		
INV.84	Isolat		US.8		Fer	clou de chaussure	1	1		
INV.85	Isolat		US.4		Alliage cuivreux	indéterminé	1	0,6		
INV.86	Isolat		US.8		Alliage cuivreux	monnaie	1	0,8		Boîte 047
INV.87	Lot				Annulé	Annulé				
INV.88	Lot	F.3	US.15		Céramique	vaisselle	19			Bac 002
INV.89	Lot	F.3	US.15		Fer	clous	6	17,4		
INV.90	Lot	F.3	US.15		Verre	indéterminé	3	2,6		
INV.91	Lot	F.3	US.15		Faune	os	5	62,4		
INV.92	Lot	F.3	US.18		Faune	os	71	352,5		
INV.93	Lot	F.3	US.18		Céramique	vaisselle	53			Bac 003
INV.94	Lot	F.3	US.18		Verre	indéterminé	14	18,8		
INV.95	Lot	F.3	US.18		Fer	clous	23	100,6		
INV.96	Isolat				Fer	clou de chaussure	1	1		Boîte 042
INV.97	Isolat		US.8		Fer	clou de chaussure	1	1		Boîte 042
INV.98	Isolat		US.8		Fer	clou de chaussure	1	1		
INV.99	Lot		US.17		Fer	clous	14	73,2		
INV.100	Isolat	F.6	US.22		Fer	clou de chaussure	1	0,1		
INV.101	Lot	F.6	US.22		Faune	os	20	241		Bac 034
INV.102	Lot	F.6	US.22		Fer	clous	25	144		Bac 040
INV.103	Isolat		US.4		Fer	douille	7	55	7 fragments	
INV.104	Lot		US.4		Terre cuite	TCA	1			Bac 033
INV.105	Lot	F.3	US.18		Verre	tesselles	18	15,1		

Mutations urbaines à *Nasium* (Meuse) | Rapport intermédiaire 2023

N° inv.	Type	Fait	US	Sondage	Matériau	Identification	NR	PR	Remarques	Contenant
INV.106	Lot	F.6	US.22		Céramique	vaisselle	14	208		Bac 003
INV.107	Isolat	F.6	US.22		Fer	clou de chaussure	1	1		
INV.108	Isolat		US.29		Alliage cuivreux	indéterminé	1	48	Des graines sont prises dans l'alliage cuivreux	
INV.109	Lot	F.8	US.26		Fer	clou de chaussure	4	7,4		
INV.110	Lot	F.8	US.26		Verre	tesselles	3	1,4		
INV.111	Lot		US.29		Céramique	vaisselle	93	1570		Bac 003
INV.112	Lot		US.29		Fer	clous	37	106		Bac 040
INV.113	Lot		US.29		Faune	os	28	134,6		
INV.114	Isolat	F.6	US.22		Fer	clou de chaussure				
INV.115	Lot		US.17		Terre crue	torchis	15	239,5		
INV.116	Isolat		US.4		Fer	plaque	1	6		
INV.117	Lot		US.17		Céramique	vaisselle	54	884,3		Bac 003
INV.118	Lot		US.17		Faune	os	12	46,5		
INV.119	Lot	F.8	US.26		Fer	clous	14	60		
INV.120	Lot	F.8	US.26		Faune	os	27	84,7		
INV.121	Lot	F.8	US.26		Céramique	vaisselle	12	57,8		Bac 003
INV.122	Lot				Annulé	Annulé				
INV.123	Isolat	F.3	US.18		Alliage cuivreux	monnaie	2	1		Boîte 047
INV.124	Isolat		US.4		Alliage cuivreux	fibule			Gaspar 59 (Ier-IVe AD)	Boîte 092
INV.125	Lot		US.10		Fer	clous	76	449,9		
INV.126	Isolat		US.3		Fer	gond	1	42		
INV.127	Lot	F.3	US.18		Alliage cuivreux	scories	2	13,9		
INV.128	Isolat		US.3		Fer	indéterminé	1	18		
INV.129	Isolat		US.3		Fer	Foncet	1	91		
INV.130	Isolat		US.3		Céramique	lampe à huile miniature	1	37		Boîte 058
INV.131	Isolat		US.29		Fer	clou de chaussure	1	2		
INV.132	Lot		US.2		Annulé					
INV.133	Lot	F.9	US.28		Plomb	coulure de plomb	1	53,6		
INV.134	Isolat	F.3	US.18		Alliage cuivreux	monnaie	1	1,1		Boîte 047
INV.135	Isolat		US.4		Fer	plaque	2	4	Elle est en deux parties	
INV.136	Lot		US.3		Céramique	vaisselle	163	1446		Bac 001
INV.137	Isolat		US.17		Alliage cuivreux	monnaie	1	13,5		Boîte 047
INV.138	Lot		US.3		Terre cuite	TCA	2			Bac 033
INV.139	Lot		US.3		Faune	os	79	332,1		
INV.140	Lot		US.3		Verre	vaisselle	4	16		
INV.141	Lot	F.3	US.18		Lithique	tesselles	2	3,9		
INV.142	Isolat		US.4		Fer	indéterminé	2	18	2 fragments	
INV.143	Lot		US.3		Fer	clous	82	404,9		
INV.144	Lot		US.3		Terre crue	torchis	7	251,4		
INV.145	Isolat		US.3		Fer	clou et plaque	1	7		
INV.146	Isolat		US.3		Lithique	tesselles	1	7		
INV.147	Lot	F.8	US.32		Céramique	vaisselle	6	22,1		Bac 003
INV.148	Lot	F.8	US.32		Fer	clous	4	20		
INV.149	Isolat		US.4		Fer	douille	1	9		
INV.150	Isolat		US.3		Fer	indéterminé	1	184		
INV.151	Isolat		US.3		Fer	lame de couteau	1	37		
INV.152	Isolat	F.3	US.18		Fer	boucle d'anachement	1	14		
INV.153	Lot		US.34		Céramique	vaisselle	615	12351	deux sachets	Bac 004 ; Bac 005
INV.154	Lot		US.34		Fer	clous	363	2397,5		
INV.155	Lot		US.34		Faune	os	230	1630,8		
INV.156	Lot		US.34		Fer	clou de chaussure	3	5,4		
INV.157	Lot		US.34		Verre	vaisselle	15	62,1		
INV.158	Lot				Annulé					
INV.159	Lot		US.10		Faune	os	218	1367,7		

Mutations urbaines à *Nasium* (Meuse) | Rapport intermédiaire 2023

N° inv.	Type	Fait	US	Sondage	Matériau	Identification	NR	PR	Remarques	Contenant
INV.160	Lot		US.10		Céramique	vaisselle	378		3 sacs	Bac 002
INV.161	Isolat		US.34		Fer	plaque	1	11		
INV.162	Isolat		US.3		Lithique	brûle-encens	1	189		
INV.163	Isolat		US.29		Fer	douille	1	6		
INV.164	Lot		US.29		Fer	scories	8	282		Bac 035
INV.165	Isolat		US.3		Verre	indéterminé	1	1,9		
INV.166	Isolat	F.3	US.18		Fer	plaque	1	8		
INV.167	Lot	F.11	US.37		Enduits peints	enduits peints	14			
INV.168	Lot		US.34		Terre crue	torchis	19	868,5		
INV.169	Lot		US.34		Fer	scories	17	730		Bac 035
INV.170	Lot		US.34		Faune	malaco	6	36,8		
INV.171	Isolat		US.34		Alliage cuivreux	indéterminé	1	3,6		
INV.172	Lot		US.10		Verre	vaisselle	2	1,5		
INV.173	Lot	F.8	US.33		Céramique	vaisselle	7	31		Bac 003
INV.174	Lot	F.8	US.33		Faune	os	3	40,7		
INV.175	Lot	F.8	US.33		Fer	clous	3	19,7		
INV.176	Lot	F.8	US.26		Terre crue	torchis	1	64,4		
INV.177	Isolat		US.34		Céramique	lampe à huile miniature	1	32		Boîte 058
INV.178	Isolat	F.3	US.18		Alliage cuivreux	déchet	1	101		
INV.179	Isolat	F.6	US.22		Alliage cuivreux	tige	1	4,3		
INV.180	Lot	F.7	US.20		Céramique	vaisselle	79	1251		Bac 003
INV.181	Lot	F.7	US.20		Fer	clous	1	14,3		
INV.182	Isolat		US.34		Fer	tôle repliée (déchet)	1	191		
INV.183	Lot	F.6	US.22		Terre crue	torchis	12	311,6		
INV.184	Lot	F.8	US.32		Faune	os	2	11,9		
INV.185	Lot		US.41		Fer	clous	477	2429,4	Une partie du mobilier n'est pas lavé, un BIS	
INV.186	Lot		US.41		Faune	os	134	2554,7		
INV.187	Lot		US.41		Céramique	vaisselle	1175	15253	2 sacs	Bac 006 ; Bac 007
INV.188	Lot		US.42		Céramique	vaisselle	26	421		Bac 007
INV.189	Lot		US.42		Faune	os	28	192,5		
INV.190	Lot		US.42		Fer	clous	8	58,7		
INV.191	Lot		US.42		Verre	vaisselle	1	5		
INV.192	Isolat		US.41		Faune	épingle	1	2,2		
INV.193	Isolat		US.17		Lapidaire	bloc architectural				Bac 054
INV.194	Isolat	F.3	US.18		Lithique	dalle sciée taillée	1	418		
INV.195	Isolat		US.34		Céramique	lampe à huile	1	18		Boîte 058
INV.196	Isolat		US.34		Fer	piton	1	18		
INV.197	Isolat		US.10		Matière dure animale	lignite	1	3		
INV.198	Lot	F.9	US.28		Faune	os	9	29,6		
INV.199	Lot	F.9	US.28		Céramique	vaisselle	5	11,3		Bac 003
INV.200	Isolat	F.9	US.28		Fer	fibule				Boîte 092
INV.201	Lot		US.8		Fer	clou de chaussure	1	5,6		
INV.202	Lot		US.29		Fer	scories				
INV.203	Lot				Annulé	Annulé				
INV.204	Lot		US.10		Terre crue	torchis	13	471,9		
INV.205	Lot		US.10		Enduits peints	enduits peints	1			
INV.206	Isolat	F.6	US.22		Fer	charnière	1	17		
INV.207	Lot		US.10		Alliage cuivreux	indéterminé	2	0,6		
INV.208	Lot		US.41		Verre	vaisselle	8	6,2		
INV.209	Lot				Annulé					
INV.210	Lot	F.6	US.22		Lithique	meule	1	325,1		
INV.211	Isolat		US.46		Fer	monnaie	1	10,1		Boîte 047
INV.212	Isolat	F.9	US.28		Alliage cuivreux	tige	1	0,1		
INV.213	Lot	F.9	US.28		Fer	clous	1	0,7		

Mutations urbaines à Nasium (Meuse) | Rapport intermédiaire 2023

N° inv.	Type	Fait	US	Sondage	Matériau	Identification	NR	PR	Remarques	Contenant
INV.214	Lot		US.10		Fer	scories	1	124		Bac 035
INV.215	Isolat		US.10		Fer	indéterminé	1	21		
INV.216	Isolat		US.10		Fer	indéterminé	1	21		Boîte 042
INV.217	Isolat		US.10		Fer	indéterminé	1	26		
INV.218	Isolat		US.34		Alliage cuivreux	anneau	1	0,9		
INV.219	Isolat		US.34		Alliage cuivreux	indéterminé	4	40		
INV.220	Isolat		US.34		Fer	douille	1	59		
INV.221	Isolat		US.34		Fer	macillon	1	18		
INV.222	Isolat		US.34		Fer	soie	1	23		
INV.223	Isolat		US.34		Céramique	lampe à huile	1	13	inventaire supprimé	Boîte 058
INV.224					Annulé	Annulé			inventaire supprimé	
INV.225					Annulé	Annulé			inventaire supprimé	
INV.226					Annulé	Annulé				
INV.227					Annulé	Annulé			inventaire supprimé	
INV.228	Isolat		US.4		Fer	boucle	1	16		
INV.229	Lot	F.15	US.50		Faune	os	2	4,8		
INV.230	Lot	F.15	US.50		Céramique	vaisselle	3	7,2		Bac 009
INV.231	Lot	F.15	US.50		Verre	vaisselle	1	2,6		
INV.232	Isolat		US.10		Lapidaire	bloc architectural			Resté sur le terrain	
INV.233	Isolat		US.34		Lapidaire	bloc architectural				
INV.234	Isolat		US.34		Lapidaire	bloc architectural	1	3743		
INV.235	Isolat		US.34		Lapidaire	bloc architectural	1	2111		
INV.236	Isolat		US.10		Faune	jeton	1	1,6		
INV.237	Isolat		US.10		Alliage cuivreux	monnaie	1	12		Boîte 047
INV.238	Isolat		US.10		Alliage cuivreux	indéterminé	1	0,1		
INV.239	Isolat		US.10		Lapidaire	bloc architectural	1	7914		
INV.240	Isolat		US.10		Lapidaire	bloc architectural	1	5931		
INV.241	Lot		US.64		Céramique	vaisselle	44	354		Bac 009
INV.242	Lot		US.64		Faune	os	14	139,6		
INV.243	Lot		US.64		Fer	clous	21	183,6		
INV.244	Isolat		US.64		Faune	jeton	1	1		
INV.245	Isolat		US.34		Fer	fiche	1	97		
INV.246	Isolat		US.34		Faune	épingle	1	2,3		
INV.247	Isolat		US.34		Fer	gond	1	74		Boîte 042
INV.248	Isolat		US.34		Fer	pincés	4	80		Boîte 042
INV.249	Isolat		US.64		Fer	fusaïole	1	21		
INV.250	Lot	F.28	US.53		Fer	clous	49	413		Bac 040
INV.251	Lot	F.28	US.53		Faune	os	25	100,3		
INV.252	Lot	F.28	US.53		Céramique	vaisselle	95	1532		Bac 009
INV.253					Annulé	Annulé			Dalle sciée arrondi	
INV.254					Annulé	Annulé				
INV.255	Isolat		US.10		Faune	jeton	1	1,8		
INV.256	Lot	F.28	US.53		Terre crue	torchis	5	469		
INV.257					Annulé	Annulé				
INV.258	Lot	F.124	US.65		Fer	clous	9	28		Bac 040
INV.259	Lot	F.124	US.65		Céramique	vaisselle	38	338		Bac 009
INV.260	Lot	F.124	US.65		Faune	os	33	194		
INV.261	Lot		US.64		Faune	malaco	1	10,4		
INV.262	Lot		US.6		Faune	os	17	101,8		
INV.263	Lot		US.6		Fer	clous	18	184,6		
INV.264	Lot		US.6		Céramique	vaisselle	47	353,1		Bac 002
INV.265	Isolat	F.6	US.22		Lithique	indéterminé	1	28		
INV.266	Isolat		US.77		Alliage cuivreux	monnaie	1	12,1		Boîte 047
INV.267	Lot	F.27	US.51		Céramique	vaisselle	10	773		Bac 009
INV.268	Lot	F.29	US.79		Fer	clous	4	18		Bac 040
INV.269	Lot	F.29	US.79		Faune	os	5	29		Bac 034

Mutations urbaines à *Nasium* (Meuse) | Rapport intermédiaire 2023

N° inv.	Type	Fait	US	Sondage	Matériau	Identification	NR	PR	Remarques	Contenant
INV.270	Lot	F.27	US.51		Faune	os	47	524		Bac 034
INV.271	Lot	F.27	US.51		Fer	clou de chaussure				
INV.272	Isolat	F.25	US.81		Alliage cuivreux	monnaie	1	10,8		Boîte 047
INV.273	Lot	F.25	US.81		Fer	clous	44	386,1		
INV.274	Lot	F.25	US.81		Céramique	vaisselle	12	64		Bac 010
INV.275	Isolat		US.82		Lapidaire	chapiteau			Conservé dans le grenier de la cité des Leuques	
INV.276	Isolat		US.82		Fer	lame de couteau	1	673		
INV.277	Lot	F.27	US.19		Faune	os	4	9		Bac 034
INV.278	Lot	F.27	US.19		Fer	clous	6	16		Bac 040
INV.279	Lot	F.31	US.85		Faune	os	18	102,2		
INV.280	Isolat		US.82		Alliage cuivreux	fragment de miroir	1	2,3		
INV.281	Lot	F.27	US.19		Céramique	vaisselle	3			Bac 003
INV.282	Isolat	F.6	US.22		Lapidaire	bloc architectural	2	1591		
INV.283	Isolat	F.31	US.48		Alliage cuivreux	tôle	1	0,4		
INV.284	Isolat	F.25	US.81		Faune	jeton	1	2,2		
INV.285	Lot		US.82		Céramique	vaisselle	80	896		Bac 010
INV.286	Lot		US.82		Enduits peints	enduits peints	1			
INV.287	Lot		US.82		Fer	clous	37	204,6		
INV.288	Isolat		US.77		Fer	plaque	1	10		
INV.289	Isolat	F.25	US.81		Alliage cuivreux	plaque	1	0,1		
INV.290	Lot	F.31	US.48		Céramique	vaisselle	139			Bac 009
INV.291	Lot	F.31	US.48		Faune	os	88	579,4		
INV.292	Lot	F.31	US.48		Fer	clous	41	186,1		
INV.293	Lot	F.31	US.48		Fer	scories	30	322		Bac 035
INV.294	Lot	F.31	US.48		Verre	vaisselle	2	1,6		
INV.295	Lot		US.77		Céramique	vaisselle	55	493,6		Bac 010
INV.296	Lot		US.77		Faune	os	29	60,4		
INV.297	Lot		US.77		Fer	clous	8	56,7		
INV.298	Isolat	F.25	US.81		Verre	paroi de forge	1	2,4		
INV.299	Lot	F.25	US.81		Lithique	dalle sciée	1	736,1		
INV.300	Lot	F.31	US.48		Alliage cuivreux	indéterminé	3	4,8		
INV.301	Lot	F.11	US.37		Céramique	vaisselle	12			Bac 006
INV.302	Lot	F.11	US.37		Fer	clous	3	28,3	Une partie reste à laver, BIS	
INV.303	Isolat	F.11	US.37		Lapidaire	élément de colonne				Bac 054
INV.304	Lot		US.56		Céramique	vaisselle	53	2331		Bac 009
INV.305	Lot				Annulé	Annulé				
INV.306	Lot		US.56		Terre crue	torchis	12	235		
INV.307	Lot		US.56		Fer	clous	1	7		Bac 040
INV.308	Lot		US.56		Faune	os	1	1		Bac 034
INV.309	Isolat	F.31	US.48		Alliage cuivreux	cabochon	1	2		Boîte 077
INV.310	Lot		US.82		Faune	os	8	139		Bac 034
INV.311	Lot	F.31	US.48		Faune	malaco	5	4,2		
INV.312	Lot				Annulé					
INV.313	Isolat	F.11	US.37		Matière dure animale	lignite	1	1		
INV.314	Lot		US.34		Faune	os	9	82		Bac 034
INV.315	Lot	F.11	US.37		Verre	vaisselle	1	1,3		
INV.316	Isolat		US.46		Faune	épingle	1	3,3		
INV.317	Isolat	F.28	US.53		Lapidaire	bloc architectural	1	2255		
INV.318	Lot	F.43	US.75		Céramique	vaisselle	1	46,8		Bac 010
INV.319	Lot				Annulé					
INV.320	Isolat		US.34		Alliage cuivreux	tôle	1	0,2		
INV.321	Isolat	F.28	US.53		Alliage cuivreux	fibule				Boîte 092
INV.322					Annulé	Annulé				
INV.323					Annulé	Annulé				
INV.324					Annulé	Annulé				

Mutations urbaines à *Nasium* (Meuse) | Rapport intermédiaire 2023

N° inv.	Type	Fait	US	Sondage	Matériau	Identification	NR	PR	Remarques	Contenant
INV.325	Lot	F.12	US.47		Céramique	vaisselle	428	4685		Bac 008
INV.326	Lot	F.12	US.47		Fer	clous	146	858,4	Une partie reste à laver, BIS	
INV.327	Lot	F.12	US.47		Faune	os	162	961,4		
INV.328	Lot	F.43	US.97		Fer	clous	1	4		Bac 040
INV.329	Lot	F.11	US.37		Fer	scories	2	43		Bac 035
INV.330	Lot	F.11	US.37		Alliage cuivreux	indéterminé	1	0,9		
INV.331	Lot	F.13	US.30		Terre crue	torchis	4	72,3		
INV.332	Lot	F.13	US.30		Terre cuite	TCA	1			Bac 033
INV.333	Isolat		US.34		Alliage cuivreux	monnaie	1	9,7		Boîte 047
INV.334					Annulé	Annulé				
INV.335	Isolat		US.4		Fer	boucle	1	7,3		
INV.336	Isolat		US.29		Verre	perle	1	1,4		
INV.337	Lot		US.41		Terre crue	torchis	6	53,9		
INV.338	Lot	F.12	US.47		Verre	vaisselle	7	18,8		
INV.339	Lot				Annulé					
INV.340	Isolat	F.12	US.47		Fer	indéterminé	1	21,2		
INV.341	Lot	F.29	US.79		Céramique	vaisselle	4	161,1		Bac 010
INV.342	Lot	F.27	US.100		Céramique	vaisselle	129	990		Bac 010
INV.343	Lot	F.27	US.100		Faune	os	82	727		Bac 034
INV.344	Lot	F.27	US.100		Fer	clous	21	79		Bac 040
INV.345	Lot	F.27	US.100		Verre	vaisselle	4	3,6		
INV.346	Lot	F.27	US.100		Fer	scories	35	863		Bac 035
INV.347	Lot	F.34	US.102		Céramique	vaisselle				
INV.348	Lot		US.41		Lithique	indéterminé	4	1775		Bac 100
INV.349	Isolat		US.41		Lithique	brûle parfum	1	180		
INV.350	Lot	F.5	US.39		Enduits peints	enduits peints	1			
INV.351	Isolat		US.41		Fer	crochet	2	4,9		
INV.352			US.41		Plomb	indéterminé	1	10,1		
INV.353	Lot		US.41		Lithique	bloc architectural	13	10674		Bac 085
INV.354	Isolat		US.41		Fer	fiche	1	69,5		
INV.355	Isolat	F.12	US.47		Fer	gond	1	40,2		
INV.356	Lot		US.17		Lapidaire	bloc architectural	3	5710		Bac 102
INV.357	Isolat		US.41		Alliage cuivreux	monnaie	1	9,9		Boîte 047
INV.358	Lot				Annulé					
INV.359	Lot	F.35	US.113		Céramique	vaisselle	100	537		Bac 011
INV.360	Lot	F.35	US.113		Faune	os	31	72,4		
INV.361	Lot	F.35	US.113		Fer	clous	20	140		Bac 040
INV.362	Isolat		US.41		Lithique	poids	1	79		
INV.363	Isolat	F.12	US.47		Alliage cuivreux	cabochon	1	0,1		
INV.364	Isolat	F.27	US.100		Faune	tableterie	1	0,6		
INV.365	Isolat		US.41		Alliage cuivreux	tôle repliée (déchet)	1	10,9		
INV.366	Isolat	F.35	US.104		Fer	gond	1	77		
INV.367	Isolat		US.41		Verre	vaisselle	1	4,6		
INV.368	Lot	F.15	US.49		Faune	os	198	1732,2		
INV.369	Lot	F.15	US.49		Céramique	vaisselle	141	2240		Bac 009
INV.370	Lot				Annulé					
INV.371	Lot	F.15	US.49		Verre	vaisselle	11	27		
INV.372	Lot	F.15	US.49		Fer	clous	32	194		Bac 040
INV.373	Lot	F.15	US.49		Fer	scories	34	301		Bac 035
INV.374	Lot	F.15	US.49		Alliage cuivreux	indéterminé	5	0		
INV.375	Lot		HC		Fer	clous	19	141,5	HC -> hors contexte Une partie reste à laver, BIS	
INV.376	Lot	F.12	US.47		Alliage cuivreux	indéterminé				
INV.377	Lot	F.12	US.47		Faune	malaco	12	8,8		
INV.378	Lot	F.12	US.47		Terre crue	torchis	2	63,7		
INV.379	Lot	F.12	US.47		Fer	scories	129	1548		Bac 035

Mutations urbaines à Nasium (Meuse) | Rapport intermédiaire 2023

N° inv.	Type	Fait	US	Sondage	Matériau	Identification	NR	PR	Remarques	Contenant
INV.380	Isolat	F.12	US.47		Faune	sabot	1	2,8		
INV.381	Isolat	F.35	US.104		Faune	cuilleron	1	2,5		
INV.382	Isolat		US.41		Fer	maillon rapide	1	25,9		
INV.383	Lot				Annulé					
INV.384	Lot	F.35	US.104		Terre cuite	TCA	1			Bac 033
INV.385	Lot	F.15	US.49		Lapidaire	bloc architectural	1	1477,5		
INV.386	Lot	F.15	US.49		Lithique	meule	1	582		Bac 085
INV.387	Lot		US.41		Matériaux de construction	mortier de chaux	1	5		
INV.388	Lot		US.41		Fer	clou de chaussure	7	8,7		
INV.389	Lot		US.41		Fer	scories	97	778		Bac 035
INV.390	Lot		US.41		Verre	vaisselle				
INV.391	Isolat	F.27	US.100		Alliage cuivreux	applique	1	0,9		
INV.392	Isolat	F.27	US.51		Alliage cuivreux	monnaie	1	10,5		Boîte 047
INV.393	Isolat	F.27	US.100		Fer	caboché	6	13		Bac 040
INV.394	Lot	F.27	US.100		Alliage cuivreux	indéterminé	2	2,1		
INV.395	Isolat		US.41		Fer	virole	1	7		
INV.396	Isolat	F.35	US.104		Faune	épingle	3	1,5		
INV.397	Isolat		US.41		Fer	plaque	12	181		Boîte 042
INV.398	Lot		US.41		Terre cuite	TCA	7	1581		Bac 033
INV.399	Isolat	F.12	US.47		Alliage cuivreux	indéterminé	2	1,9		
INV.400	Lot	F.27	US.51		Fer	scories	38	664		Bac 035
INV.401	Lot	F.27	US.84		Céramique	vaisselle	116	857		Bac 010
INV.402	Lot	F.27	US.84		Fer	scories	108	961		Bac 035
INV.403	Lot	F.27	US.84		Faune	os	42	396		Bac 034
INV.404	Lot	F.27	US.84		Fer	clous	9	59		Bac 040
INV.405	Lot	F.27	US.51		Fer	clous	11	54		Bac 040
INV.406										
INV.407	Lot	F.35	US.113		Faune	malaco	7	14,6		
INV.408	Isolat	F.27	US.84		Faune	tableterie	1	0,5		
INV.409	Lot				Annulé					
INV.410	Lot		US.112		Fer	clous	53	310		Bac 040
INV.411	Lot		US.112		Faune	malaco	4	14,8		
INV.412	Lot		US.112		Céramique	vaisselle	217	11236		Bac 012
INV.413	Lot		US.112		Faune	os	68	629		Bac 034
INV.414	Lot	F.27	US.100		Faune	malaco	1	10,2		
INV.415	Isolat		US.4		Alliage cuivreux	monnaie	1	2,1		Boîte 047
INV.416					Annulé	Annulé			Numéro annulé	
INV.417	Lot	F.35	US.113		Terre crue	torchis	1	16,2		
INV.418	Lot	F.12	US.47		Lapidaire	bloc architectural	6	1764		Bac 100
INV.419	Lot	F.55	US.109		Céramique	vaisselle	4	51	Lot à annuler (anciennement US 110, modifiée après annulation F.37)	Bac 010
INV.420	Isolat	F.55	US.109		Lithique	jeton	1	120		
INV.421	Lot		US.112		Matériaux de construction	mortier	2	36		
INV.422	Lot				Annulé	Annulé				
INV.423	Lot	F.29	US.79		Fer	scories	1	300		Bac 035
INV.424	Isolat	F.27	US.51		Alliage cuivreux	fibule	2		Gaspar 30 (claude-néron / première moitié Ile AD)	Boîte 092
INV.425	Isolat		US.112		Lithique	poids	1	100		
INV.426	Isolat		US.41		Alliage cuivreux	fibule	2		Fibule skeuomorphe Artefact FIB-4462 : Feugère 28a2b, 100/260 AD	Boîte 092
INV.427	Isolat		US.41		Lithique	jeton	1	124		
INV.428	Isolat	F.55	US.111		Fer	indéterminé	1	239		
INV.429	Isolat	F.55	US.111		Fer	soie	1	20		
INV.430	Isolat		US.41		Lithique	fusaïole	1	254		

Mutations urbaines à Nasium (Meuse) | Rapport intermédiaire 2023

N° inv.	Type	Fait	US	Sondage	Matériau	Identification	NR	PR	Remarques	Contenant
INV.431	Isolat	F.12	US.47		Fer	gond	1	219		
INV.432	Isolat	F.12	US.47		Fer	charnière	1	195		
INV.433	Isolat	F.27	US.84		Alliage cuivreux	monnaie	1	5,8		Boîte 047
INV.434	Lot	F.27	US.51		Alliage cuivreux	indéterminé	1	0,3		
INV.435	Isolat	F.12	US.47		Fer	charnière	1	40,1		
INV.436	Lot	F.55	US.111		Faune	os	161	1211		Bac 034
INV.437	Lot	F.55	US.111		Céramique	vaisselle	184	3466		Bac 011
INV.438	Lot	F.55	US.111		Fer	scories	9	585		Bac 035
INV.439	Lot	F.55	US.111		Fer	clous	64	126		Bac 040
INV.440	Lot		US.17		Alliage cuivreux	indéterminé	6	3,4		
INV.441	Isolat		HC		Lithique	indéterminé	1	64		
INV.442	Lot				Annulé	Annulé				
INV.443	Lot	F.5	US.24		Céramique	vaisselle	20	685		Bac 003
INV.444	Lot	F.5	US.24		Terre cuite	TCA	1			Bac 033
INV.445	Lot	F.6	US.22		Fer	scories	4	160		Bac 035
INV.446	Isolat	F.55	US.111		Faune	tabletterie	1	28		
INV.447	Isolat	F.55	US.111		Alliage cuivreux	poignée de passoire	1	10,6		
INV.448	Lot	F.55	US.111		Terre crue	torchis	4	114,3		
INV.449					Annulé	Annulé			Numéro d'inventaire annulé	
INV.450	Lot	F.55	US.111		Verre	tesselles	1	0,6		
INV.451	Lot	F.55	US.111		Verre	vaisselle				
INV.452	Lot				Annulé	Annulé				
INV.453	Lot		US.46		Faune	os	4	33		Bac 034
INV.454	Lot		US.46		Céramique	vaisselle	29	297		Bac 007
INV.455	Lot		US.46		Fer	clous	19	10		Bac 040
INV.456	Isolat	F.55	US.111		Faune	charnière	1	35		
INV.457	Isolat	F.35	US.113		Lapidaire	bloc architectural			Resté sur le terrain	
INV.458	Isolat	F.55	US.111		Fer	piton	1	15,1		
INV.459	Isolat	F.55	US.111		Fer	indéterminé	2	33,4		
INV.460	Isolat	F.12	US.47		Alliage cuivreux	monnaie	1	4		Boîte 047
INV.461	Lot	F.43	US.74		Faune	os	1	3		Bac 034
INV.462	Lot	F.43	US.74		Céramique	vaisselle	1	11		Bac 010
INV.463					Annulé	Annulé				
INV.464					Annulé	Annulé				
INV.465	Isolat		US.41		Fer	gond	1	109,5		
INV.466	Isolat		US.41		Fer	soie	1	35,3		
INV.467	Isolat		US.121		Fer	Poinson	1	38		Boîte 042
INV.468	Isolat	F.12	US.47		Fer	crochet	1	54,8		
INV.469	Lot	F.55	US.111		Faune	malaco	1	18,7		
INV.470	Lot	F.55	US.111		Alliage cuivreux	indéterminé	48	40,3		
INV.471	Lot	F.55	US.111		Verre	vaisselle	10	22,1		
INV.472	Lot	F.55	US.111		Céramique	amphore				
INV.473	Lot		US.119		Fer	clou de chaussure	2	3		Bac 040
INV.474	Isolat		US.41		Fer	plaque	1	17,3		
INV.475	Lot	F.12	US.47		Fer	clou de chaussure	3	7		Bac 040
INV.476					Annulé	Annulé				
INV.477	Lot	F.34	US.102		Céramique	vaisselle	16			Bac 010
INV.478	Lot	F.34	US.102		Fer	clous	5	17		Bac 040
INV.479	Lot		US.121		Céramique	vaisselle	24	97,2		Bac 011
INV.480	Lot		US.121		Fer	clous	5	36		Bac 040
INV.481	Lot		US.121		Faune	os	1	44		Bac 034
INV.482	Lot		US.121		Alliage cuivreux	indéterminé	1	0,9		
INV.483	Isolat		US.120		Lapidaire	bloc architectural			Récupéré par Serge pour analyse	Bac 054
INV.484	Isolat	F.55	US.109		Céramique	céramique écrasée	70	2721,4		Bac 010
INV.485	Isolat	F.34	US.103		Lithique	dalle sciée	9	9701		Bac 101
INV.486	Lot	F.55	US.109		Céramique	vaisselle	65	754		Bac 010

Mutations urbaines à Nasium (Meuse) | Rapport intermédiaire 2023

N° inv.	Type	Fait	US	Sondage	Matériau	Identification	NR	PR	Remarques	Contenant
INV.487	Lot	F.55	US.109		Verre	vaisselle	2	5,4		
INV.488	Lot	F.55	US.109		Fer	clous	2	11		Bac 040
INV.489					Annulé	Annulé				
INV.490	Isolat		US.41		Fer	crochet	1	18		Boîte 042
INV.491	Lot		US.122		Céramique	vaisselle	88	6,6		Bac 011
INV.492	Lot		US.122		Alliage cuivreux	indéterminé	1	0		
INV.493	Isolat		US.41		Fer	crochet	1	5		Boîte 042
INV.494	Isolat	F.51	US.123		Fer	charnière	1	57		Boîte 042
INV.495					Annulé	Annulé				
INV.496	Isolat	F.20	US.69		Alliage cuivreux	fibule				Boîte 092
INV.497	Isolat	F.55	US.111		Céramique	lampe à huile	1	53		Boîte 058
INV.498	Isolat	F.55	US.111		Alliage cuivreux	cabochon	1	1,4		
INV.499	Isolat	F.12	US.47		Fer	ferrure	1	11		Boîte 042
INV.500	Lot	F.51	US.123		Fer	clous	11	63		Bac 040
INV.501	Lot	F.51	US.123		Faune	os	15	55		Bac 034
INV.502	Lot	F.51	US.123		Terre cuite	TCA	16			Bac 033
INV.503	Lot	F.51	US.123		Céramique	vaisselle	10	37,5		Bac 011
INV.504	Lot	F.27	US.99		Faune	os	54	402,1		
INV.505	Lot	F.27	US.99		Céramique	vaisselle	113	726		Bac 010
INV.506	Lot	F.27	US.99		Fer	clous	15	49		Bac 040
INV.507	Lot	F.27	US.99		Fer	scories	24	787		Bac 035
INV.508	Isolat		US.17		Fer	clef	2	25		Boîte 042
INV.509	Isolat		US.41		Faune	épingle	1	0,7		
INV.510	Isolat	F.55	US.111		Fer	indéterminé	1	110		Boîte 042
INV.511	Lot	F.12	US.47		Enduits peints	enduits peints	3			
INV.512	Lot		US.126		Enduits peints	enduits peints	8			
INV.513	Lot		US.126		Fer	clous	26	88,1		
INV.514	Lot		US.121		Verre	vaisselle	1	3,6		
INV.515	Lot		US.122		Fer	clous	2	18		Bac 040
INV.516	Lot		US.122		Faune	os	1	3		Bac 034
INV.517	Lot		US.125		Fer	scories	17	762		Bac 035
INV.518	Lot		US.125		Faune	os	105	505,8		
INV.519	Lot		US.125		Terre cuite	TCA	2			Bac 033
INV.520	Lot		US.125		Céramique	vaisselle	64	965		Bac 011
INV.521	Lot		US.125		Fer	clous	35	151		Bac 040
INV.522	Isolat		US.125		Fer	poids	1	71		Boîte 042
INV.523	Lot		US.126		Faune	malaco	2	4,5		
INV.524	Lot	F.55	US.109		Faune	os	2	19		Bac 034
INV.525	Isolat	F.55	US.109		Fer	indéterminé	1	66		Boîte 042
INV.526	Isolat	F.55	US.109		Fer	indéterminé	1	15		Boîte 042
INV.527	Isolat		US.41		Fer	charnière	1	64		Boîte 042
INV.528	Isolat	F.68	US.127		Alliage cuivreux	potin	1	4,2		Boîte 047
INV.529	Isolat	F.55	US.111		Fer	indéterminé	1	22		Boîte 042
INV.530	Isolat	F.55	US.111		Fer	gond	1	78		Boîte 042
INV.531	Isolat		US.41		Faune	épingle	1	0,1		
INV.532	Lot		US.128		Céramique	vaisselle	143	2092		Bac 011
INV.533	Lot		US.128		Verre	vaisselle	1	2		
INV.534	Lot		US.128		Faune	os	86	802,5		
INV.535	Lot		US.128		Fer	scories	36	1188		Bac 035
INV.536	Isolat	F.55	US.111		Alliage cuivreux	indéterminé	1	7,4		
INV.537	Lot		US.125		Fer	clou de chaussure	2	3,4		
INV.538	Isolat		US.125		Fer	indéterminé	1	22		Boîte 042
INV.539	Lot	F.16	US.129		Fer	scories	15	819		Bac 035
INV.540	Lot	F.16	US.129		Fer	clous	4	21		Bac 040
INV.541	Lot	F.16	US.129		Faune	os	25	177		Bac 034
INV.542	Lot	F.16	US.129		Céramique	vaisselle	71	417		Bac 011

Mutations urbaines à Nasium (Meuse) | Rapport intermédiaire 2023

N° inv.	Type	Fait	US	Sondage	Matériau	Identification	NR	PR	Remarques	Contenant
INV.543	Isolat	F.55	US.111		Alliage cuivreux	applique	1	23		
INV.544	Lot	F.68	US.127		Lithique	tesselles	1	5,3		
INV.545	Isolat		US.125		Fer	indéterminé	1	3		Boîte 042
INV.546	Isolat		US.125		Fer	plaque	1	63		Boîte 042
INV.547	Isolat	F.12	US.47		Alliage cuivreux	rivet	1	2,8		
INV.548	Lot		US.128		Terre crue	torchis	2	175,6		
INV.549	Isolat	F.55	US.111		Fer	indéterminé	2	305		Boîte 042
INV.550	Lot	F.68	US.127		Verre	vaisselle	1	0,3		
INV.551	Lot	F.68	US.127		Céramique	vaisselle	5	26		Bac 011
INV.552	Lot	F.68	US.127		Faune	os	3	7		Bac 034
INV.553	Lot		US.120		Faune	os	4	19		Bac 034
INV.554	Lot		US.120		Fer	scories	12	168		Bac 035
INV.555	Lot		US.120		Céramique	vaisselle	4	51		Bac 011
INV.556	Lot	F.30	US.83		Céramique	vaisselle	4			Bac 010
INV.557	Lot	F.30	US.83		Fer	scories	2	103		Bac 035
INV.558	Lot	F.30	US.83		Fer	clous	1	4		Bac 040
INV.559	Isolat		US.134		Fer	charnière	3	191		Boîte 042
INV.560	Isolat		US.46		Alliage cuivreux	cabochon	3	14,3		
INV.561	Isolat		US.137		Alliage cuivreux	applique	12	16,6		
INV.562	Isolat		US.137		Alliage cuivreux	applique	3	14		
INV.563	Isolat		US.41		Fer	gond	1	24		Boîte 042
INV.564	Isolat		US.134		Alliage cuivreux	anneau	1	4,9		
INV.565	Isolat		US.137		Verre	déchet	1	35,3		
INV.566					Annulé	Annulé				
INV.567	Isolat		US.134		Faune	charnière	1	23		
INV.568	Isolat	F.124	US.65		Fer	ferrure	1	6		Boîte 042
INV.569	Isolat		US.137		Fer	anneau	1	3		Boîte 042
INV.570	Isolat	F.44	US.131		Alliage cuivreux	fibule				Boîte 092
INV.571	Isolat		US.137		Alliage cuivreux	applique	1	37,3		
INV.572	Isolat		US.137		Alliage cuivreux	applique	13	9,5		
INV.573	Lot		US.128		Alliage cuivreux	indéterminé	1	1,6		
INV.574	Lot	F.47	US.124		Fer	clous	15	53		Bac 040
INV.575	Lot	F.44	US.131		Fer	scories	14	107		Bac 035
INV.576	Lot	F.44	US.131		Céramique	vaisselle	16	43		Bac 011
INV.577	Lot	F.44	US.131		Faune	os	10	71		Bac 034
INV.578	Lot		US.130		Fer	scories	14	165		Bac 035
INV.579	Lot		US.130		Céramique	vaisselle	26	162		Bac 011
INV.580	Lot	F.38	US.141		Céramique	vaisselle				
INV.581	Lot		US.137		Céramique	vaisselle	208	2145		Bac 013
INV.582	Lot		US.137		Fer	clous	17	100		Bac 040
INV.583	Lot		US.137		Verre	vaisselle	14	49,3		
INV.584	Lot		US.137		Faune	os	18	125		Bac 034
INV.585	Lot				Annulé					
INV.586	Lot		US.112		Composite	paroi de forge	1	10		Bac 035
INV.587	Lot		US.112		Fer	scories	22	756		Bac 035
INV.588	Lot		US.112		Alliage cuivreux	indéterminé	7	5,5		
INV.589	Lot		US.91		Faune	os	6	36		Bac 034
INV.590	Lot		US.91		Céramique	vaisselle	44	502		Bac 010
INV.591	Lot		US.91		Fer	clous	11	58		Bac 040
INV.592	Lot	F.124	US.65		Fer	scories	20	1189		Bac 035
INV.593	Lot		US.134		Fer	clous	25	252		Bac 040
INV.594	Lot		US.134		Faune	os	11	19		Bac 034
INV.595	Lot		US.134		Céramique	vaisselle	19	78,7		Bac 013
INV.596	Isolat		US.137		Alliage cuivreux	monnaie	1	9		Boîte 075
INV.597	Isolat		US.91		Alliage cuivreux	monnaie	1	25,7		Boîte 047
INV.598	Isolat		US.137		Céramique	Fond de vaisselle	3	105		

Mutations urbaines à Nasium (Meuse) | Rapport intermédiaire 2023

N° inv.	Type	Fait	US	Sondage	Matériau	Identification	NR	PR	Remarques	Contenant
INV.599	Isolat		US.137		Alliage cuivreux	indéterminé	1	5,2		
INV.600	Lot	F.44	US.133		Fer	clous	10	50		Bac 040
INV.601	Lot	F.44	US.133		Céramique	vaisselle	152	1701		Bac 013
INV.602	Lot	F.44	US.133		Faune	os	29	214		Bac 034
INV.603	Lot	F.12	US.47		Lithique	tesselles	1	6,6		
INV.604	Isolat	F.51	US.123		Fer	indéterminé	1	9		Boîte 042
INV.605	Lot	F.38	US.141		Faune	os	13	143		Bac 034
INV.606	Lot		US.128		Fer	clous	6	43		Bac 040
INV.607	Lot	F.51	US.123		Fer	scories	2	27		Bac 035
INV.608	Lot	F.51	US.123		Faune	malaco	1	1,1		
INV.609	Isolat		US.41		Lapidaire	bloc architectural			Resté sur le terrain	
INV.610	Isolat		US.128		Alliage cuivreux	attache	1	1,8		
INV.611	Isolat	F.20	US.45		Lapidaire	bloc architectural			Resté sur le terrain	
INV.612	Lot	F.34	US.144		Céramique	vaisselle	12	132		Bac 013
INV.613	Lot	F.34	US.144		Fer	clous	19	124		Bac 040
INV.614	Lot	F.34	US.144		Terre crue	torchis	11	110,5		
INV.615	Lot	F.5	US.24		Fer	clous	3	12		Bac 040
INV.616	Lot	F.5	US.24		Faune	os	3	29		Bac 034
INV.617	Lot		US.137		Alliage cuivreux	indéterminé	10	15,3		
INV.618	Lot		US.137		Fer	indéterminé	2	61		Bac 035
INV.619	Lot		US.130		Faune	os	12	101		Bac 034
INV.620	Lot		US.130		Fer	clous	2	3		Bac 040
INV.621	Lot	F.44	US.131		Fer	clous	5	18		Bac 040
INV.622	Lot	F.44	US.133		Fer	scories	2	23		Bac 035
INV.623	Lot		US.41		Faune	malaco	7	0,1		
INV.624	Isolat		US.146		Fer	anneau	1	10		Boîte 042
INV.625	Lot	F.28	US.145		Faune	os	10	102,8		
INV.626	Lot	F.28	US.145		Céramique	vaisselle	3	22		Bac 013
INV.627	Isolat		US.41		Alliage cuivreux	fibule	2			Boîte 092
INV.628	Lot	F.47	US.124		Faune	os	1	5		Bac 034
INV.629	Lot	F.47	US.124		Céramique	vaisselle	16	329		Bac 011
INV.630	Lot	F.124	US.65		Verre	vaisselle	2	2,1		
INV.631	Lot	F.52	US.149		Céramique	vaisselle	67	303		Bac 013
INV.632	Lot	F.5	US.24		Faune	malaco	19	1,9		
INV.633	Lot		US.146		Céramique	vaisselle	1	3		
INV.634	Lot				Annulé	Annulé				
INV.635	Lot	F.5	US.24		Fer	clous de ferrure	1	4		Bac 040
INV.636	Lot		US.143		Fer	clous	2	3		Bac 040
INV.637	Lot		US.143		Céramique	vaisselle	3	4		Bac 013
INV.638	Lot	F.52	US.149		Faune	os	8	34		Bac 034
INV.639	Lot	F.44	US.133		Verre	vaisselle	1	4,6		
INV.640	Lot	F.51	US.147		Faune	os	3	13		Bac 034
INV.641	Lot	F.51	US.147		Céramique	vaisselle	8	119		Bac 013
INV.642	Lot	F.16	US.129		Verre	vaisselle	1	0,1		
INV.643	Lot	F.51	US.147		Fer	scories	4	6		Bac 035
INV.644	Lot		US.126		Faune	os	3	8		
INV.645	Lot	F.34	US.159		Lithique	dalle sciée de l'alendier	15	20202	Deux caisses à cause du poids	Bac 084 ; Bac 100
INV.646	Lot	F.34	US.159		Lithique	dalle sciée de l'alendier	7	4734		Bac 102
INV.647	Lot		US.137		Lapidaire	bloc architectural				
INV.648	Lot	F.51	US.147		Fer	clous	4	28		Bac 040
INV.649	Isolat	F.50	US.153		Alliage cuivreux	épingles	1	2,8		
INV.650	Lot		US.126		Fer	scories	1	47		Bac 035
INV.651	Lot	F.34	US.171		Céramique	vaisselle	5	22		Bac 013
INV.652	Lot	F.34	US.171		Faune	os	3	26,4		
INV.653	Lot	F.34	US.180		Fer	clous	3	19		Bac 040

Mutations urbaines à Nasium (Meuse) | Rapport intermédiaire 2023

N° inv.	Type	Fait	US	Sondage	Matériau	Identification	NR	PR	Remarques	Contenant
INV.654	Isolat		US.146		Alliage cuivreux	anneau	1	4,8		
INV.655	Lot		US.174		Faune	malaco	24	55		
INV.656	Lot		US.174		Faune	os	2	19		Bac 034
INV.657			US.174		Céramique	vaisselle	3	25		Bac 013
INV.658	Lot	F.34	US.180		Céramique	vaisselle	18	89		Bac 013
INV.659	Lot	F.34	US.180		Fer	clous				
INV.660	Lot	F.34	US.180		Faune	os	2	16		Bac 034
INV.661	Isolat	F.12	US.47		Lapidaire	bloc architectural			Récupéré par Serge pour étude	Bac 054
INV.662					Annulé	Annulé				
INV.663	Isolat	F.20	US.66		Lapidaire	seuil				
INV.664	Isolat	F.11	US.35		Lapidaire	base de colonne				
INV.665	Isolat	F.25	US.80		Lapidaire	base de colonne			Non prélevé 2020	
INV.666	Isolat	F.5	US.57		Lithique	seuil			Non prélevé 2020	
INV.667	Isolat	F.31	US.86		Lapidaire	bloc architectural			Non prélevé 2020	
INV.668	Isolat	F.31	US.87		Lapidaire	bloc architectural			Non prélevé 2020	
INV.669	Isolat		US.82		Lapidaire	fût de colonne				
INV.670	Lot		US.223		Céramique	vaisselle	72	688		Bac 013
INV.671	Lot		US.223		Fer	clous	33	181		Bac 046 ; Bac 081
INV.672	Lot		US.223		Faune	os	60	426		Bac 044 ; Bac 088
INV.673	Lot		US.224		Céramique	vaisselle	85	1417		Bac 014
INV.674	Lot		US.224		Fer	clous	33	161		Bac 046 ; Bac 081
INV.675	Lot		US.224		Faune	os	38	173		Bac 044 ; Bac 088
INV.676	Lot		US.224		Alliage cuivreux	indéterminé	6	3		Boîte 053
INV.677	Lot		US.224		Verre	vaisselle	2	10		Boîte 039 ; Boîte 049
INV.678	Lot		US.224		Fer	scories	42	151		Bac 045 ; Bac 060
INV.679	Isolat		US.223		Fer	piton	1	12		Boîte 042
INV.680	Isolat		US.223		Fer	ferrure	5	213		Boîte 056
INV.681	Isolat		US.223		Alliage cuivreux	monnaie	1	1		Boîte 075
INV.682	Isolat		US.223		Alliage cuivreux	monnaie	1	2,7		Boîte 075
INV.683	Isolat		US.224		Fer	crochet	1	1,1		Boîte 056
INV.684	Isolat		US.223		Alliage cuivreux	applique	1	0,6		
INV.685	Lot		US.179		Céramique	amphore	1	2880	Morceau d'amphore récupéré dans la coupe nord sur du sondage 1	Bac 014
INV.686	Isolat		US.41		Fer	Virole	2	5		Boîte 042
INV.687	Lot		US.41		Annulé	Annulé				
INV.688	Lot		US.41		Fer	clous	380	2721		Bac 046 ; Bac 081
INV.689	Lot		US.41		Faune	os	436	2643		Bac 038 ; Bac 044
INV.690	Isolat		US.41		Lithique	meule	1	3513		
INV.691	Isolat		US.41		Lapidaire	bloc architectural	1	3930		
INV.692	Lot		US.225		Fer	clous	2	7		Bac 046
INV.693	Lot		US.225		Céramique	vaisselle	3	129		Bac 014
INV.694	Lot		US.225		Faune	os	1	12		Bac 044
INV.695	Lot	F.31	US.48		Faune	os	7	77		Bac 044
INV.696	Lot	F.31	US.48		Fer	clous	5	34		Bac 046
INV.697	Lot	F.31	US.48		Céramique	vaisselle				
INV.698	Lot		US.56		Fer	clous	7	56		Bac 046
INV.699	Lot		US.56		Céramique	Vaisselle				
INV.700	Lot		US.56		Faune	os	1	17		Bac 044
INV.701	Isolat		US.17		Lapidaire	bloc architectural				
INV.702	Isolat		US.17		Annulé	bloc architectural				
INV.703	Isolat		US.29		Alliage cuivreux	monnaie	1	0,5		Boîte 075

Mutations urbaines à Nasium (Meuse) | Rapport intermédiaire 2023

N° inv.	Type	Fait	US	Sondage	Matériau	Identification	NR	PR	Remarques	Contenant
INV.704	Lot		US.29		Céramique	Vaisselle				
INV.705	Lot		US.29		Fer	clous	29	126		Bac 046 ; Bac 081
INV.706	Lot		US.29		Faune	os	14	39		Bac 038 ; Bac 044
INV.707	Isolat		US.224		Alliage cuivreux	monnaie	1	2,4		Boîte 075
INV.708	Lot		US.41		Fer	scories	15	512		Bac 060
INV.709	Lot	F.56	US.155		Céramique	vaisselle	5	33		Bac 013
INV.710	Lot	F.56	US.155		Fer	clous	9	105		Bac 081
INV.711	Lot	F.56	US.155		Faune	os	2	62		Bac 044
INV.712	Isolat		US.41		Fer	pincés	1	91		Boîte 042
INV.713	Lot	F.5	US.24		Céramique	vaisselle	12	36		
INV.714	Lot	F.5	US.24		Faune	os	3	12		Bac 044
INV.715	Lot	F.5	US.24		Fer	clous	2	16		Bac 046 ; Bac 081
INV.716	Isolat		US.41		Fer	Poinçon	1	64		Boîte 042
INV.717	Lot		US.46		Fer	clous	31	126		Bac 081
INV.718	Lot		US.46		Céramique	vaisselle				
INV.719	Lot		US.46		Faune	os	31	174		Bac 044 ; Bac 088
INV.720	Isolat		US.41		Alliage cuivreux	fibule			Gaspar 24d / Aucissa (auguste - Ile AD)	Boîte 092
INV.721	Isolat		US.224		Alliage cuivreux	épingle	1	4		
INV.722	Isolat		US.77		Fer	indéterminé	1	60		Boîte 056
INV.723	Isolat		US.41		Fer	stylet	1	17		Boîte 042
INV.724	Lot		US.64		Céramique	vaisselle				
INV.725	Lot		US.64		Faune	os	3	133		Bac 044
INV.726	Lot		US.64		Fer	clous	3	26		Bac 046 ; Bac 081
INV.727	Lot		US.64		Fer	scories	2	86		Bac 060
INV.728	Lot		US.41		Faune	malaco	7	17		
INV.729	Lot				Annulé					
INV.730	Lot	F.31	US.48		Fer	scories	2	50		Bac 045
INV.731	Lot				Annulé					
INV.732	Lot				Annulé					
INV.733	Lot	F.31	US.182		Faune	os	4	7		Bac 044
INV.734	Lot		US.41		Verre	vaisselle	10	17		Boîte 049
INV.735	Lot		US.17		Céramique	vaisselle				
INV.736	Lot		US.17		Faune	os	1	9		Bac 044
INV.737	Lot		US.17		Fer	clous	5	48		Bac 046
INV.738	Isolat		US.17		Annulé	bloc architectural				
INV.739	Lot	F.6	US.22		Fer	clous	3	15		Bac 046
INV.740	Lot	F.6	US.22		Céramique	vaisselle				
INV.741	Lot	F.6	US.22		Faune	os	8	16		Bac 044 ; Bac 088
INV.742	Lot	F.27	US.100		Fer	clous	1	21		Bac 045
INV.743	Lot	F.27	US.100		Faune	os	13	99		Bac 038 ; Bac 044
INV.744	Lot	F.27	US.100		Céramique	vaisselle				
INV.745	Isolat		US.125		Fer	piton	1	51		Boîte 056
INV.746	Isolat		US.121		Fer	Chaîne	5	44		Boîte 056
INV.747	Lot		US.121		Céramique	vaisselle				
INV.748	Lot		US.121		Fer	scories	2	140		Bac 060
INV.749	Lot		US.121		Fer	clous	3	19		Bac 081
INV.750	Lot		US.121		Alliage cuivreux	indéterminé	7	0,1		Boîte 053
INV.751	Lot		US.121		Faune	os	31	164		Bac 044
INV.752	Isolat	F.13	US.30		Alliage cuivreux	monnaie	1	2		Boîte 075
INV.753	Isolat		US.41		Faune	épingle	1	1		Boîte 062
INV.754	Isolat	F.30	US.231		Alliage cuivreux	monnaie	1	2,8	Pas de topo, trouvé dans déblais.	Boîte 075

Mutations urbaines à *Nasium* (Meuse) | Rapport intermédiaire 2023

N° inv.	Type	Fait	US	Sondage	Matériau	Identification	NR	PR	Remarques	Contenant
INV.755	Isolat		US.223		Alliage cuivreux	applique	1	13,1		
INV.756					Annulé					
INV.757					Annulé					
INV.758	Lot	F.31	US.182		Fer	scories	1	50		Bac 045
INV.759	Lot	F.31	US.182		Fer	clous	6	38		Bac 046
INV.760	Lot	F.31	US.182		Céramique	vaisselle	3	22		Bac 013
INV.761	Lot	F.41	US.227		Céramique	vaisselle	10	29,3		Bac 014
INV.762	Lot	F.30	US.231		Céramique	vaisselle	37	456		Bac 014
INV.763	Lot	F.30	US.231		Faune	os	13	168		Bac 044
INV.764	Lot	F.30	US.231		Fer	clous	5			Bac 081
INV.765	Lot	F.44	US.133		Faune	os	14	169		Bac 044
INV.766	Lot	F.44	US.133		Céramique	vaisselle				
INV.767	Isolat		US.41		Alliage cuivreux	applique	1	1,4		
INV.768	Lot		US.234		Céramique	vaisselle	11	96		Bac 014
INV.769	Lot		US.236		Céramique	vaisselle	33			Bac 014
INV.770	Lot		US.236		Faune	os	7	30		Bac 044
INV.771	Lot		US.236		Fer	clous	3	39		Bac 046
INV.772	Lot		US.2		Verre	vaisselle	4			Boîte 049
INV.773	Isolat	F.69	US.230		Alliage cuivreux	attache	1	0,9		
INV.774	Lot	F.69	US.230		Faune	os	9	70		Bac 044
INV.775	Lot		US.125		Céramique	vaisselle				
INV.776	Lot		US.125		Faune	os	4	68		Bac 044
INV.777	Lot		US.125		Fer	clous	1	10		Bac 081
INV.778	Lot	F.69	US.230		Céramique	vaisselle	7	7		Bac 014
INV.779	Lot	F.69	US.230		Fer	scories	1	12		Bac 045
INV.780	Lot	F.69	US.230		Fer	clous	1	9		Bac 046
INV.781	Lot		US.223		Verre	vaisselle	1			Boîte 049
INV.782	Lot		US.223		Fer	scories	3	79		Bac 045
INV.783	Lot	F.44	US.133		Fer	caboches	1	2		Bac 081
INV.784	Lot	F.44	US.133		Fer	scories	21	558		Bac 045
INV.785	Isolat		US.236		Faune	épingles	1	1		Boîte 062
INV.786	Lot	F.6	US.22		Alliage cuivreux	indéterminé	1	1		Boîte 053
INV.787	Lot	F.6	US.22		Terre crue	torchis	2	53,6		
INV.788	Lot	F.44	US.133		Fer	clous	6	22		Bac 046
INV.789	Lot		US.233		Faune	os	10	31		Bac 044
INV.790	Lot		US.233		Céramique	vaisselle	34	319		Bac 014
INV.791	Lot		US.239		Fer	scories	1	22		Bac 060
INV.792	Lot		US.239		Faune	os	3	17		Bac 088
INV.793	Lot		US.239		Céramique	vaisselle	3	4		Bac 014
INV.794	Lot		US.239		Fer	clous	21	116		Bac 081
INV.795	Lot		US.233		Fer	clous	7	44		Bac 046
INV.796	Lot	F.13	US.30		Céramique	vaisselle	4			Bac 003
INV.797	Lot	F.13	US.30		Faune	os	1	4		Bac 044
INV.798	Isolat	F.13	US.30		Fer	stylet	1	11		Boîte 042
INV.799	Isolat	F.31	US.48		Alliage cuivreux	tôle				
INV.800	Lot	F.69	US.229		Faune	os				
INV.801	Lot	F.69	US.229		Céramique	vaisselle	4	18		Bac 014
INV.802	Lot	F.69	US.229		Fer	scories	6	25		Bac 060
INV.803					Annulé	Annulé				
INV.804	Lot		US.10		Terre cuite	TCA	1			Bac 033
INV.805	Isolat	F.12	US.47		Céramique	lampe à huile	1	7		Boîte 058
INV.806	Lot		US.234		Fer	clous	4	19		Bac 046
INV.807	Lot		US.234		Faune	os	4	41		Bac 044
INV.808	Lot	F.12	US.47		Céramique	vaisselle				
INV.809	Lot	F.12	US.47		Faune	os	137	1776		Bac 044 ; Bac 088

Mutations urbaines à Nasium (Meuse) | Rapport intermédiaire 2023

N° inv.	Type	Fait	US	Sondage	Matériau	Identification	NR	PR	Remarques	Contenant
INV.810	Lot	F.12	US.47		Fer	clous	71	484		Bac 081
INV.811	Lot	F.12	US.47		Verre	vaisselle	1			Boîte 049
INV.812	Isolat	F.38	US.141		Faune	jeton	1	1		Boîte 062
INV.813	Lot	F.38	US.141		Céramique	vaisselle	223	2100		Bac 013
INV.814	Lot		US.252		Céramique	vaisselle	75	410		Bac 014
INV.815	Lot		US.252		Faune	os	15			Bac 061
INV.816	Lot		US.252		Fer	clous	7	52		Bac 081
INV.817	Lot	F.71	US.245		Fer	scories	1	8		Bac 060
INV.818	Lot	F.71	US.245		Alliage cuivreux	indéterminé	3	0,1		Boîte 053
INV.819	Lot	F.73	US.249		Faune	os	2	1		Bac 044
INV.820	Lot	F.12	US.47		Alliage cuivreux	indéterminé	1	0,1		Boîte 053
INV.821	Lot	F.44	US.133		Verre	vaisselle	1	1		Boîte 039 ; Boîte 049
INV.822	Lot	F.68	US.127		Céramique	vaisselle				
INV.823	Lot	F.68	US.127		Faune	os	8	155		Bac 044
INV.824	Lot	F.73	US.249		Fer	scories	3	13		Bac 060
INV.825	Isolat		US.112		Lapidaire	bloc architectural				
INV.826	Lot	F.38	US.141		Fer	clous	2	21		Bac 081
INV.827	Isolat	F.38	US.141		Fer	caboches	1	10		Bac 081
INV.828	Lot	F.38	US.141		Faune	os	39	600		Bac 044
INV.829	Lot		US.112		Fer	scories	50	2316		Bac 045
INV.830			US.112		Alliage cuivreux	indéterminé	4	5,4		Boîte 053
INV.831	Lot		US.112		Composite	tesselles	4	33		
INV.832	Lot	F.38	US.141		Fer	scories	6	7		Bac 045 ; Bac 060
INV.833	Lot	F.70	US.238		Fer	scories	1	7		Bac 060
INV.834	Lot	F.70	US.238		Fer	clous	1	1		Bac 081
INV.835	Lot		US.146		Fer	clous	59	290		Bac 081
INV.836	Lot		US.146		Céramique	vaisselle	51	196		Bac 013
INV.837	Lot		US.146		Faune	os	49	22		Bac 061 ; Bac 088
INV.838	Lot	F.11	US.217		Céramique	vaisselle	31	69		Bac 013
INV.839	Lot	F.11	US.217		Faune	Os	14	240		Bac 038 ; Bac 044
INV.840	Lot	F.11	US.217		Fer	scories	10	145		Bac 045
INV.841	Lot	F.42	US.162		Céramique	vaisselle	39	218		Bac 013
INV.842	Lot	F.42	US.162		Faune	os	82	342		Bac 044
INV.843	Isolat		US.239		Fer	clou de chaussure	1	1		Bac 046
INV.844	Lot	F.42	US.162		Fer	clous	1	6		Bac 081
INV.845	Isolat	F.38	US.141		Céramique	Vaisselle			Tessons appartenant à une céramique unitaire à reconstituer	
INV.846	Isolat	F.68	US.127		Alliage cuivreux	applique	1	2		Boîte 077
INV.847	Isolat		US.41		Lithique	Ambre	8	1,6		Boîte 076
INV.848	Lot		US.260		Céramique	vaisselle	131	3664		Bac 015
INV.849	Lot		US.260		Faune	os	1	43		Bac 038
INV.850	Lot		US.260		Terre crue	torchis	42	2109,3		
INV.851	Lot		US.260		Terre cuite architecturale	TCA	4	279		Bac 033
INV.852	Lot		US.260		Lithique	Table			Nombreux fragments d'un seuil (?) en lauze brûlé, présence d'une crapaudine En fait c'est une table	Bac 082
INV.853	Lot		US.260		Fer	clous	22	200		Bac 046
INV.854	Lot		US.260		Verre	vaisselle	1			Boîte 049 ; Boîte 092
INV.855	Lot		US.112		Céramique	vaisselle				
INV.856	Lot		US.112		Fer	clous	54	448		Bac 046 ; Bac 081
INV.857	Lot		US.112		Faune	os	37	379		Bac 044 ; Bac 088

Mutations urbaines à *Nasium* (Meuse) | Rapport intermédiaire 2023

N° inv.	Type	Fait	US	Sondage	Matériau	Identification	NR	PR	Remarques	Contenant
INV.858	Lot		US.261		Céramique	vaisselle	351	27672		Bac 016 ; Bac 017
INV.859	Lot		US.261		Fer	clous	53	548		Bac 046 ; Bac 081
INV.860	Lot		US.261		Verre	vaisselle	2			Boîte 049
INV.861	Lot		US.224		Fer	clou de chaussure	4	11		Bac 081
INV.862	Isolat		US.261		Fer	piton	2	132	Piton retrouvé à l'intérieur d'un amas de fragments d'amphores	Boîte 056
INV.863	Lot		US.41		Fer	clou de chaussure	1	1		Bac 081
INV.864	Isolat		US.261		Plomb	Pied de récipient	1	326,7		
INV.865	Lot		US.262		Céramique	vaisselle	12	47		Bac 015
INV.866	Lot		US.239		Terre crue	torchis	7	402		Bac 036
INV.867	Lot		US.239		Fer	Clou	2	25		Bac 081
INV.868	Lot	F.124	US.65		Céramique	vaisselle				
INV.869	Lot		US.267		Fer	indéterminé	8	139		Bac 081
INV.870	Isolat		US.267		Fer	clef	1	43		Boîte 042
INV.871	Isolat		US.262		Fer	caboches	1	2		Bac 081
INV.872	Lot		US.267		Fer	clous	238	1508		Bac 046 ; Bac 081
INV.873	Lot		US.267		Céramique	Vaisselle	128	1611		Bac 015
INV.874	Lot		US.267		Faune	os	104	565		Bac 044
INV.875	Lot		US.267		Fer	clou de chaussure	1	3		Bac 046
INV.876	Lot		US.261		Faune	os	14	111		Bac 038 ; Bac 044
INV.877	Lot		US.267		Lithique	dalle sciée	2	277		Boîte 076
INV.878	Isolat		US.269		Lithique	poids	1	148		Boîte 076
INV.879	Isolat		US.269		Fer	poids	1	164		Boîte 042
INV.880	Lot		US.269		Céramique	vaisselle		1653		Bac 015
INV.881	Lot		US.269		Faune	os	26	304		Bac 044 ; Bac 088
INV.882	Lot		US.269		Fer	clous	24	220		Bac 046 ; Bac 081
INV.883	Lot		US.269		Verre	vaisselle	3			Boîte 049
INV.884	Isolat		US.269		Céramique	lampe à huile	1	18		Boîte 058
INV.885	Isolat		US.269		Fer	indéterminé	1	36		Boîte 056
INV.886	Isolat		US.261		Fer	indéterminé	3	48		
INV.887			US.260		Fer	indéterminé	5	117		Bac 081
INV.888	Lot		US.267		Verre	vaisselle	6			Boîte 049
INV.889	Lot		US.262		Faune	os	2	14		Bac 038
INV.890	Lot		US.262		Fer	clous	1	15		Bac 081
INV.891	Lot		US.262		Fer	scories	2	12		Bac 060
INV.892	Lot		US.262		Plomb	couleur de plomb	2	34		Boîte 053
INV.893	Isolat		US.167		Alliage cuivreux	clous	1	2,5	Potentiel clou décoratif hémisphérique	
INV.894	Isolat	F.52	US.157		Alliage cuivreux	fibule			Fiche Artefact FIB-41558 Riha 1979, type 5.13 : 40-80 AD	
INV.895	Lot	F.63	US.218		Fer	scories	23	391		Bac 045 ; Bac 060
INV.896	Lot		US.267		Alliage cuivreux	indéterminé	2	0,1		Boîte 053
INV.897	Lot		US.267		Fer	scories	13	316		Bac 060
INV.898	Lot		US.167		Fer	clou de chaussure	1	6		Bac 081
INV.899	Isolat		US.267		Alliage cuivreux	monnaie	1	10,5		Boîte 075
INV.900	Lot	F.52	US.157		Céramique	Vaisselle	44	385		Bac 013
INV.901	Isolat		US.267		Alliage cuivreux	crochet	1	0,1		
INV.902	Isolat		US.269		Fer	tige	1	81		Boîte 042
INV.903	Lot		US.112		Terre crue	torchis	7	540		Bac 036
INV.904	Lot	F.52	US.157		Fer	clous	6	31		Bac 081
INV.905	Lot		US.281		Fer	clous	2	24		Bac 046
INV.906	Lot		US.281		Céramique	Vaisselle				

Mutations urbaines à Nasium (Meuse) | Rapport intermédiaire 2023

N° inv.	Type	Fait	US	Sondage	Matériau	Identification	NR	PR	Remarques	Contenant
INV.907	Lot	F.52	US.157		Faune	os	8	84		Bac 038 ; Bac 061
INV.908	Lot	F.121	US.283		Céramique	vaisselle	88	625		Bac 015
INV.909	Lot	F.121	US.283		Fer	clous	3	18		Bac 081
INV.910	Isolat	F.15	US.49		Fer	plaque	1	6		Boîte 042
INV.911	Isolat		US.267		Faune	tabletterie	1	2		Boîte 062
INV.912	Isolat	F.34	US.180		Fer	indéterminé	3	38		Boîte 042
INV.913	Lot		US.146		Fer	indéterminé	8	19		Bac 081
INV.914	Isolat		US.146		Fer	indéterminé	1	15		Boîte 056
INV.915		F.79	US.280		Céramique	vaisselle	11	314		Bac 015
INV.916	Isolat		US.41		Faune	tabletterie	1	0,5		
INV.917	Isolat		US.41		Faune	tabletterie	1	0,1		
INV.918	Isolat	F.121	US.283		Fer	plaque				
INV.919	Isolat		US.41		Alliage cuivreux	monnaie	1	28		Boîte 075
INV.920	Lot		US.41		Fer	tige	1	81		Bac 081
INV.921	Isolat		US.146		Alliage cuivreux	Bague	1	12,6		
INV.922	Lot				Annulé					
INV.923	Lot	F.52	US.194		Fer	scories	81	1171		Bac 045
INV.924	Lot	F.52	US.194		Faune	os	36	302		Bac 038 ; Bac 061
INV.925	Lot	F.52	US.194		Fer	caboche	3	9		Bac 081
INV.926	Lot	F.52	US.194		Céramique	vaisselle	26	97		Bac 013
INV.927	Lot		US.46		Enduits peints	enduits peints	7	81		Boîte 048
INV.928	Lot		US.41		Lithique	dalle sciée taillée	8	1657		Bac 102
INV.929	Lot	F.80	US.290		Céramique	vaisselle		1968		Bac 018
INV.930	Lot	F.80	US.290		Fer	clous	1	9		Bac 081
INV.931	Isolat		US.267		Fer	indéterminé	1	21		Boîte 056
INV.932	Isolat		US.267		Alliage cuivreux	plaque	2	8,9		
INV.933	Isolat		US.267		Fer	anneau	1	15		Boîte 056
INV.934	Lot	F.5	US.24		Fer	clou de chaussure	1	1		Bac 046
INV.935	Lot	F.5	US.24		Fer	scories	4	6		Bac 045
INV.936	Isolat		US.267		Alliage cuivreux	monnaie	1	13,2		Boîte 075
INV.937	Lot	F.47	US.124		Céramique	Vaisselle				
INV.938	Lot		US.82		Céramique	vaisselle				
INV.939	Isolat		US.267		Fer	anneau	1	29		Boîte 056
INV.940	Lot		US.223		Faune	malaco	1	0,1		
INV.941	Isolat		US.267		Faune	jeton	1	4		Boîte 062
INV.942	Lot	F.85	US.295		Fer	clous	10	35		Bac 081
INV.943	Lot		US.82		Alliage cuivreux	tôle	1	0,1		Boîte 039 ; Boîte 053
INV.944	Lot	F.85	US.295		Faune	os	3	3		Bac 088
INV.945	Lot	F.85	US.295		Céramique	vaisselle	6	29		Bac 018
INV.946	Lot	F.85	US.295		Fer	indéterminé	2	18		Bac 081
INV.947	Lot	F.121	US.284		Céramique	vaisselle	286	2258		Bac 018
INV.948	Lot	F.121	US.284		Faune	os	91	1389		Bac 038
INV.949	Lot	F.121	US.284		Fer	indéterminé	5	67		Bac 081
INV.950	Isolat	F.121	US.284		Alliage cuivreux	épingle	1	1,2		
INV.951	Lot	F.78	US.272		Verre	vaisselle	3	4		Boîte 039 ; Boîte 049
INV.952	Lot	F.68	US.127		Fer	clous	1	18		Bac 081
INV.953	Lot	F.68	US.127		Alliage cuivreux	indéterminé	6	0,1		Boîte 053
INV.954	Lot	F.78	US.272		Fer	clous	3	18		Bac 081
INV.955	Lot	F.78	US.272		Céramique	vaisselle	20	109		Bac 015
INV.956	Lot	F.56	US.154		Faune	os	3	17		Bac 088
INV.957	Lot	F.56	US.154		Céramique	vaisselle	5	32,3		Bac 013
INV.958	Lot	F.78	US.272		Faune	os	19	238		Bac 088
INV.959	Lot	F.56	US.154		Fer	clous				
INV.960	Lot		US.296		Céramique	vaisselle	119	1480		Bac 018

Mutations urbaines à Nasium (Meuse) | Rapport intermédiaire 2023

N° inv.	Type	Fait	US	Sondage	Matériau	Identification	NR	PR	Remarques	Contenant
INV.961	Lot		US.296		Faune	os	38	262		Bac 038
INV.962	Lot		US.296		Fer	indéterminé	4	293		Bac 081
INV.963	Lot		US.297		Composite	scories	56	1351		Bac 099
INV.964	Lot		US.297		Céramique	vaisselle	16	74		Bac 018
INV.965	Isolat		US.41		Fer	anneau	1	64		Boîte 056
INV.966	Isolat		US.41		Fer	Sonnaile	1	95		Boîte 056
INV.967	Isolat		US.267		Fer	crampon	1	38		Boîte 056
INV.968	Lot		US.196		Fer	scories	3	65		Bac 060
INV.969	Lot		US.196		Céramique	vaisselle	2	32		Bac 013
INV.970	Lot		US.261		Terre crue	torchis	3	190		Bac 036
INV.971	Lot	F.52	US.194		Fer	clous	22	97		Bac 046 ; Bac 081
INV.972	Lot	F.47	US.124		Céramique	vaisselle				
INV.973	Isolat		US.267		Fer	anneau	1	53		Boîte 056
INV.974	Isolat		US.267		Alliage cuivreux	monnaie	1	10,9		Boîte 047
INV.975	Isolat		US.267		Fer	indéterminé	1	62		Boîte 056
INV.976	Isolat		US.267		Fer	anneau	1	34		Boîte 056
INV.977	Lot	F.86	US.308		Céramique	vaisselle	13	72		Bac 018
INV.978	Lot	F.86	US.308		Faune	os	9	95		Bac 088
INV.979	Lot	F.86	US.308		Fer	clous	1	9		Bac 081
INV.980	Isolat		H.C.		Alliage cuivreux	fibule			Gaspar 44c1 ? (Tibère - Ile AD)	Boîte 092
INV.981	Lot	F.87	US.310		Céramique	vaisselle	24	141		Bac 018
INV.982	Lot	F.87	US.310		Faune	os	8	27		Bac 038
INV.983	Lot	F.87	US.310		Verre	Vitre	2	10		Boîte 039 ; Boîte 049
INV.984	Lot	F.87	US.310		Fer	clous	4	17		Bac 081
INV.985	Lot		US.296		Terre cuite architecturale	TCA	2	355,6		Bac 033
INV.986	Lot		US.296		Verre	vaisselle	1	1		Boîte 039 ; Boîte 049
INV.987	Lot		US.296		Enduits peints	enduits peints	2	1		Boîte 048
INV.988	Isolat		US.41		Alliage cuivreux	indéterminé	1	3,3		
INV.989	Lot		US.297		Faune	os	11	121		Bac 038
INV.990	Lot	F.12	US.47		Verre	vaisselle	3	18		Boîte 049
INV.991	Lot	F.121	US.283		Fer	scories	11	85		Bac 060
INV.992	Lot	F.121	US.284		Faune	malaco	1	2		Boîte 039
INV.993	Lot		US.122		Fer	clous	21	103		Bac 081
INV.994	Lot		US.122		Verre	Vaisselle	2	4		Boîte 039 ; Boîte 049
INV.995	Lot	F.65	US.221		Fer	scories	1	70		Bac 060
INV.996	Lot		US.122		Céramique	Vaisselle				
INV.997	Lot		US.122		Fer	indéterminé	7	104		Bac 081
INV.998			US.122		Faune	os	10	3		Bac 038 ; Bac 061
INV.999	Lot	F.65	US.221		Faune	os	4	26		Bac 038
INV.1000	Isolat		US.122		Faune	jeton	1	1		Boîte 062
INV.1001	Lot	F.65	US.221		Céramique	Vaisselle	7	44		Bac 013
INV.1002	Isolat		US.41		Alliage cuivreux	indéterminé	1	0,1		
INV.1003	Lot	F.121	US.284		Alliage cuivreux	indéterminé	3	2		Boîte 053
INV.1004	Lot	F.121	US.284		Enduits peints	enduits peints	9	8		Boîte 048
INV.1005	Lot	F.124	US.294		Céramique	vaisselle	9	110		Bac 018
INV.1006	Lot	F.124	US.294		Terre cuite architecturale	TCA	1			Bac 033
INV.1007	Lot		US.313		Céramique	vaisselle	107	574		Bac 013
INV.1008	Lot	F.124	US.294		Faune	os	8	55		Bac 038
INV.1009	Lot	F.124	US.294		Fer	scories	1	7		Bac 060
INV.1010	Lot	F.124	US.294		Fer	clous	2	14		Bac 081
INV.1011	Lot	F.89	US.320		Céramique	vaisselle	10			Bac 018
INV.1012	Isolat		US.41		Faune	jeton	1	5		Boîte 062

Mutations urbaines à Nasium (Meuse) | Rapport intermédiaire 2023

N° inv.	Type	Fait	US	Sondage	Matériau	Identification	NR	PR	Remarques	Contenant
INV.1013	Lot		US.317		Céramique	amphore	1	174,3		Bac 018
INV.1014	Lot	F.12	US.47		Lithique	dalle sciée taillée	10	2229		
INV.1015	Lot		US.313		Terre cuite architecturale	TCA	9	547		Bac 033
INV.1016	Lot		US.313		Faune	os	30	237		Bac 038 ; Bac 044
INV.1017	Isolat		US.313		Alliage cuivreux	Scorie	2	3,3		
INV.1018	Lot	F.89	US.320		Fer	scories	19	143		Bac 060
INV.1019			US.313		Fer	scories	24	435		Bac 060
INV.1020	Isolat		US.41		Céramique	lampe à huile miniature	1	28		Boîte 058
INV.1021	Isolat	F.12	US.47		Céramique	lampe à huile	1	26		Boîte 058
INV.1022	Isolat	F.121	US.284		Alliage cuivreux	Ardillon	1	1		Boîte 077
INV.1023	Lot	F.121	US.284		Alliage cuivreux	Ardillon	1	0,4		
INV.1024	Lot	F.121	US.284		Fer	scories	21	223		Bac 060
INV.1025	Isolat		US.47		Fer	anneau	1	5	Rondelle de chez casto ? (Trouvé à la pioche)	Boîte 042
INV.1026	Isolat		US.267		Fer	clou de chaussure	1	2,4		Boîte 056
INV.1027	Lot	F.121	US.331		Céramique	vaisselle	139	2101		Bac 019
INV.1028	Lot	F.121	US.331		Faune	os	109	1476		Bac 088
INV.1029	Lot	F.121	US.331		Fer	clous	23	176		Bac 081
INV.1030	Lot	F.121	US.331		Fer	scories	23	344		Bac 099
INV.1031	Lot		US.41		Terre cuite architecturale	TC A	1	303		Bac 033
INV.1032	Lot	F.43	US.97		Fer	clous	8	91		Bac 081
INV.1033	Lot	F.121	US.284		Fer	clous	10	61		Bac 081
INV.1034	Isolat	F.121	US.284		Alliage cuivreux	indéterminé	2	1		Boîte 039 ; Boîte 077
INV.1035	Isolat		US.146		Céramique	jeton	1	2,6		Bac 013
INV.1036	Isolat		US.41		Plomb	Agrafe	1	10,2		
INV.1037			US.41							
INV.1038	Lot	F.68	US.127		Verre	vaisselle	1	1		Boîte 039 ; Boîte 049
INV.1039	Lot	F.121	US.283		Faune	os	12	178		Bac 088
INV.1040	Lot	F.121	US.283		Enduits peints	enduits peints	3	1		Boîte 048
INV.1041	Lot		US.122		Terre crue	torchis	13	284		Bac 036
INV.1042	Lot	F.121	US.331		Verre	vaisselle	7	8		Boîte 049
INV.1043		F.90	US.297		Alliage cuivreux	indéterminé	2	0,1		Boîte 053
INV.1044	Lot	F.121	US.330		Faune	os	134	1395		Bac 061 ; Bac 088
INV.1045	Lot	F.121	US.330		Céramique	vaisselle	335	6956		Bac 019
INV.1046	Lot	F.63	US.218		Faune	os	17	217		Bac 088
INV.1047	Lot	F.63	US.218		Céramique	vaisselle	8	21		Bac 013
INV.1048	Lot	F.63	US.218		Fer	clous	15	78		Bac 081
INV.1049	Lot	F.52	US.157		Fer	scories	2	17		Bac 060
INV.1050	Lot		US.29		Fer	scories	6	25		Bac 045
INV.1051	Lot		US.112		Enduits peints	enduits peints	1	27		Boîte 048
INV.1052	Isolat		US.91		Fer	clou de chaussure	1	2		Boîte 070
INV.1053	Lot		US.91		Terre crue	torchis	51	712		Bac 036
INV.1054	Lot		US.91		Céramique	Vaisselle				
INV.1055	Lot		US.91		Fer	scories	1	22		Bac 060
INV.1056	Lot		US.91		Faune	os	11	31		Bac 038
INV.1057	Isolat	F.62	US.219		Fer	Sonde	1	4		Boîte 070
INV.1058	Lot		US.326		Céramique	Vaisselle	191			Bac 018
INV.1059	Lot		US.326		Faune	os	64	778		Bac 044 ; Bac 088
INV.1060	Isolat	F.43	US.97		Fer	Tête de marteau ?	1	632		Boîte 070
INV.1061	Lot	F.90	US.332		Fer	scories	53	1087		Bac 099
INV.1062	Lot		US.326		Fer	clous	22	106		Bac 081
INV.1063	Lot	F.90	US.332		Faune	os	21	73		Bac 088

Mutations urbaines à Nasium (Meuse) | Rapport intermédiaire 2023

N° inv.	Type	Fait	US	Sondage	Matériau	Identification	NR	PR	Remarques	Contenant
INV.1064	Lot	F.90	US.332		Céramique	Vaisselle	10			Bac 019
INV.1065	Lot		US.326		Faune	malaco	3	10		
INV.1066	Lot	F.90	US.334		Fer	scories	14	396		Bac 060
INV.1067	Lot		US.91		Fer	clous	8	48		Bac 081
INV.1068	Lot	F.90	US.334		Céramique	Vaisselle	3	3,3		Bac 019
INV.1069	Isolat		US.91		Alliage cuivreux	perle	1	4,8		
INV.1070	Lot	F.63	US.218		Fer	clou de chaussure	4	13		Bac 081
INV.1071	Lot	F.62	US.219		Fer	scories	8	262		Bac 060
INV.1072	Lot	F.62	US.219		Céramique	vaisselle	26	399		Bac 013
INV.1073	Lot				Annulé					
INV.1074	Lot	F.62	US.219		Fer	clous	5	28		Bac 081
INV.1075	Lot	F.62	US.219		Faune	os	2	16		Bac 088
INV.1076	Lot	F.62	US.219		Alliage cuivreux	tôle	5	0,1		Boîte 053
INV.1077	Lot		US.112		Verre	vaisselle	3	14		Boîte 049
INV.1078	Isolat		US.350		Annulé	bloc architectural				
INV.1079	Lot	F.121	US.330		Verre	vaisselle	7	21		Boîte 049
INV.1080	Isolat	F.121	US.330		Alliage cuivreux	fibule				Boîte 092
INV.1081	Lot	F.121	US.330		Alliage cuivreux	tôle	4	2		Boîte 053
INV.1082	Lot	F.121	US.331		Faune	os	117	1212	INV. 1028	Bac 088
INV.1083	Isolat		US.326		Faune	épingle	1	2		Boîte 062
INV.1084	Lot		US.91		Enduits peints	enduits peints	2	9		Boîte 048
INV.1085	Isolat		US.91		Lapidaire	bloc architectural				
INV.1086		F.52	US.194		Alliage cuivreux	indéterminé	1	1		Boîte 077
INV.1087	Lot	F.20	US.241		Faune	os	11	58		Bac 038
INV.1088	Isolat	F.20	US.241		Faune	aiguille	1	2		Boîte 062
INV.1089	Lot	F.20	US.241		Fer	Clou	8	66		Bac 081
INV.1090	Isolat		US.47		Fer	douille	1	70		Boîte 070
INV.1091	Lot		US.47		Fer	scories	4	151		Bac 060
INV.1092	Lot		US.29		Terre crue	torchis	12	58		Bac 036
INV.1093	Lot		US.29		Matériaux de construction	mortier	12	57		Boîte 048
INV.1094	Lot		US.29		Fer	scories	4	18		Bac 060
INV.1095	Lot		US.29		Terre cuite architecturale	TCA	1	44		Bac 033
INV.1096	Lot		US.341		Alliage cuivreux	indéterminé	1	1		Boîte 039 ; Boîte 053
INV.1097	Lot		US.341		Céramique	vaisselle	12	364		Bac 020
INV.1098	Lot		US.29		Enduits peints	enduits peints	6	4		Boîte 048
INV.1099	Isolat		US.91		Lapidaire	bloc architectural				
INV.1100	Isolat		US.341		Fer	Pique bœuf				
INV.1101	Lot	F.121	US.331		Enduits peints	enduits peints	1	2		Boîte 048
INV.1102	Lot	F.121	US.331		Alliage cuivreux	indéterminé	4	3		Boîte 053
INV.1103	Isolat	F.121	US.331		Alliage cuivreux	fibule			Gaspar 28 ? (auguste - mil. Ile AD)	Boîte 092
INV.1104	Lot	F.80	US.290		Faune	os	5	19		Bac 088
INV.1105	Lot	F.121	US.330		Fer	indéterminé	2	18		Bac 081
INV.1106	Lot	F.121	US.330		Verre	scories	1	1		Boîte 049
INV.1107	Lot	F.90	US.334		Faune	os	2	2		Bac 088
INV.1108	Lot	F.121	US.284		Verre	vaisselle	2	2		Boîte 039 ; Boîte 049
INV.1109	Lot		US.343		Céramique	vaisselle	48	107		Bac 020
INV.1110	Lot		US.343		Faune	os	30	122		Bac 088
INV.1111	Lot	F.6	US.22		Fer	Scorie	1	7		Bac 060
INV.1112	Isolat	F.20	US.241		Alliage cuivreux	Vaisselle?	1	5,4		
INV.1113	Lot		US.341		Faune	os	2	13,4		Bac 088
INV.1114	Lot		US.341		Verre	vaisselle	2	27		Boîte 049
INV.1115	Isolat		US.47		Fer	plaque	4	64		Boîte 070
INV.1116	Lot	F.121	US.330		Fer	scories	18	446		Bac 060

Mutations urbaines à Nasium (Meuse) | Rapport intermédiaire 2023

N° inv.	Type	Fait	US	Sondage	Matériau	Identification	NR	PR	Remarques	Contenant
INV.1117	Isolat		US.343		Alliage cuivreux	Ardillon	3	1		Boîte 077
INV.1118	Lot		US.343		Fer	clous	2	15		Bac 081
INV.1119	Lot		US.91		Verre	Vaisselle	1			Boîte 039 ; Boîte 049
INV.1120	Isolat	F.20	US.242		Alliage cuivreux	indéterminé	1	3,8		
INV.1121	Isolat	F.121	US.330		Alliage cuivreux	indéterminé	1	1,4		
INV.1122	Lot	F.20	US.242		Faune	Os	44	292		Bac 088
INV.1123	Lot	F.20	US.242		Verre	vaisselle	1	1		Boîte 039 ; Boîte 049
INV.1124	Lot	F.20	US.242		Fer	Clou	44	240		Bac 081
INV.1125	Isolat	F.20	US.242		Fer	crochet	1	55		Boîte 070
INV.1126					Annulé	Annulé				
INV.1127					Annulé	Annulé				
INV.1128	Isolat		US.47		Fer	indéterminé	1	82		Boîte 070
INV.1129	Isolat		US.47		Fer	stylet	1	13		Boîte 070
INV.1130	Isolat	F.121	US.330		Alliage cuivreux	fragment de miroir	1	2,9		
INV.1131	Isolat	F.20	US.242		Alliage cuivreux	indéterminé	1	7,6		
INV.1132	Lot	F.20	US.242		Céramique	Vaisselle	7	19,3		Bac 014
INV.1133	Lot	F.80	US.290		Fer	Bois fossilisé	6	1		
INV.1134	Lot	F.62	US.312		Terre cuite architecturale	TCA	11	485		Bac 033
INV.1135	Lot	F.20	US.240		Fer	indéterminé	1	39		Bac 081
INV.1136	Isolat	F.121	US.330		Faune	charnière	1	50		Boîte 062
INV.1137	Lot	F.62	US.312		Céramique	vaisselle	11	1		Bac 018
INV.1138	Lot	F.121	US.330		Fer	clous	18	101		Bac 081
INV.1139	Isolat	F.62	US.219		Alliage cuivreux	potin	1	5,3		Boîte 075
INV.1140	Isolat	F.121	US.330		Alliage cuivreux	indéterminé	1	2,6		
INV.1141	Lot	F.121	US.330		Terre crue	torchis	1	9		
INV.1142	Lot		US.326		Fer	scories	19	181		Bac 060
INV.1143	Lot		US.326		Verre	Vaisselle	5	12		Boîte 039 ; Boîte 049
INV.1144	Lot		US.326		Enduits peints	enduits peints	3	3		Boîte 048
INV.1145	Lot	F.62	US.311		Fer	scories	7	524		Bac 060
INV.1146					Annulé					
INV.1147	Lot				Annulé					
INV.1148					Annulé	Annulé				
INV.1149	Lot		US.361		Faune	os	4	6		Bac 038
INV.1150	Lot		US.361		Céramique	Vaisselle	4	30,7		Bac 020
INV.1151	Lot		US.363		Faune	os	45	652		Bac 088
INV.1152	Lot		US.363		Céramique	Vaisselle	153	1423		Bac 020
INV.1153	Lot		US.47		Terre crue	torchis	184	4224		
INV.1154	Isolat		US.368		Fer	Lame?	1	27		Boîte 070
INV.1155	Lot	F.121	US.370		Faune	os	67	696		Bac 038
INV.1156	Lot	F.121	US.370		Céramique	Vaisselle	117	21		Bac 020
INV.1157	Lot	F.121	US.370		Fer	scories	8	600		Bac 060
INV.1158	Lot	F.121	US.370		Faune	malaco	3	6		Boîte 039
INV.1159	Lot	F.121	US.370		Verre	Vaisselle	4	10		Boîte 039 ; Boîte 049
INV.1160	Lot		US.372		Céramique	vaisselle	12	71		Bac 020
INV.1161	Lot		US.372		Faune	os	104	1606		Bac 038 ; Bac 044
INV.1162	Lot		US.363		Fer	scories	72	2157		Bac 099
INV.1163	Lot		US.374		Fer	scories	3	118		Bac 060
INV.1164	Lot		US.374		Faune	os	22	317		Bac 038
INV.1165	Lot	F.121	US.373		Céramique	vaisselle				Bac 020
INV.1166	Lot		US.374		Céramique	Vaisselle	20	303		Bac 020
INV.1167	Lot		US.374		Fer	clous	4	8		Bac 081
INV.1168	Lot	F.121	US.373		Faune	os	4	122		Bac 038
INV.1169	Lot	F.62	US.339		Céramique	vaisselle	3	4,3		Bac 019

Mutations urbaines à Nasium (Meuse) | Rapport intermédiaire 2023

N° inv.	Type	Fait	US	Sondage	Matériau	Identification	NR	PR	Remarques	Contenant
INV.1170	Lot	F.62	US.339		Fer	indéterminé	1	8		Bac 081
INV.1171	Lot	F.47	US.124		Fer	clous	1	8		Bac 081
INV.1172	Isolat	F.62	US.312		Alliage cuivreux	potin	1	5,4		Boîte 075
INV.1173	Lot	F.76	US.357		Fer	Clou	4	17		Bac 081
INV.1174	Lot	F.76	US.357		Céramique	vaisselle	2	2		Bac 020
INV.1175	Lot	F.62	US.312		Fer	scories	4	99		Bac 060
INV.1176	Lot	F.62	US.312		Fer	clous	6	80		Bac 081
INV.1177	Lot	F.62	US.312		Faune	os	5	46		Bac 088
INV.1178	Lot		US.376		Céramique	vaisselle	9	168		Bac 020
INV.1179	Lot		US.376		Fer	Clou	1	7		Bac 081
INV.1180	Lot	F.89	US.320		Faune	os	2	2		Bac 044 ; Bac 088
INV.1181	Lot	F.43	US.97		Céramique	vaisselle	3	26		Bac 010
INV.1182	Isolat	F.43	US.97		Fer	indéterminé	1	184		Boîte 070
INV.1183	Lot	F.43	US.97		Fer	Clous	27	197		Bac 081
INV.1184	Lot		US.46		Fer	indéterminé	9	67		Bac 081
INV.1185	Isolat		US.112		Lithique	Porte-vase	3	390		Bac 054
INV.1186	Isolat	F.124	US.135		Céramique	jeton	1	7		
INV.1187	Isolat		US.313		Alliage cuivreux	potin	1	3,9		Boîte 075
INV.1188	Lot	F.121	US.377		Céramique	vaisselle	146			Bac 021
INV.1189	Lot	F.121	US.377		Fer	scories	34	2240		Bac 099
INV.1190	Lot	F.121	US.377		Faune	os	24	502		Bac 088
INV.1191	Lot	F.121	US.377		Fer	Clou	3	20		Bac 081
INV.1192	Lot	F.121	US.377		Verre	vaisselle	1	2		Boîte 039 ; Boîte 049
INV.1193	Lot	F.50	US.153		Céramique	vaisselle	4	30		Bac 013
INV.1194	Lot	F.121	US.370		Fer	Clou	1	18		Bac 081
INV.1195	Lot		US.376		Faune	os	5	79		Bac 088
INV.1196	Lot		US.363		Fer	Clou	2	18		Bac 081
INV.1197	Lot	F.90	US.332		Fer	clous	8	44		Bac 081
INV.1198	Isolat	F.43	US.97		Fer	indéterminé	17	75		Bac 081
INV.1199	Lot		US.376		Fer	scories	1	79		Bac 060
INV.1200	Lot		US.376		Composite	scories	2	50		Bac 060
INV.1201	Isolat		US.379		Fer	douille	1	118		Boîte 070
INV.1202	Lot		US.379		Céramique	vaisselle	96	316		Bac 021
INV.1203	Isolat		US.372		Fer	monnaie	2	2,7		Boîte 075
INV.1204	Lot		US.379		Faune	os	8	28		Bac 088
INV.1205	Lot		US.378		Céramique	vaisselle	123	853		Bac 021
INV.1206	Lot		US.378		Fer	Clou	35	265		Bac 081
INV.1207	Lot		US.378		Faune	os	15	69		Bac 038 ; Bac 044
INV.1208	Lot	F.79	US.280		Fer	Clou	5	19		Bac 081
INV.1209	Lot	F.79	US.280		Faune	os	2	4		Bac 088
INV.1210	Lot	F.79	US.280		Faune	malaco	1	1		Boîte 039
INV.1211	Lot		US.380		Céramique	Vaisselle	595	6482		Bac 022
INV.1212	Lot		US.380		Faune	Os	377	4210		Bac 038
INV.1213	Lot		US.380		Fer	scories	82	3056		Bac 099
INV.1214	Lot		US.367		Céramique	Vaisselle				Bac 020
INV.1215	Lot		US.366		Céramique	vaisselle	4	26,6		Bac 020
INV.1216	Isolat	F.121	US.330		Fer	piton	1	12		Boîte 070
INV.1217	Lot		US.382		Faune	os	57	533		Bac 088
INV.1218	Lot		US.382		Céramique	vaisselle	109	1422,6		Bac 022
INV.1219	Lot		US.382		Fer	Clou	6	50		Bac 081
INV.1220	Lot		US.46		Verre	vaisselle	1			Boîte 049
INV.1221	Lot		US.372		Verre	vaisselle	3	2		Boîte 049
INV.1222	Lot		US.372		Fer	Clou	5	58		Bac 081
INV.1223	Lot		US.372		Fer	scories	7	285		Bac 060

Mutations urbaines à Nasium (Meuse) | Rapport intermédiaire 2023

N° inv.	Type	Fait	US	Sondage	Matériau	Identification	NR	PR	Remarques	Contenant
INV.1224	Isolat		US.380		Fer	stylet	1	12		Boîte 070
INV.1225	Lot		US.118		Faune	Os	2	4		Bac 088
INV.1226	Lot		us.118		Céramique	vaisselle	1	0,4		Bac 011
INV.1227	Lot		US.118		Fer	Clou	4	23		Bac 081
INV.1228	Lot		US.381		Céramique	Vaisselle	51	506,4		Bac 022
INV.1229	Lot		US.381		Fer	clous	10	71		Bac 081
INV.1230	Lot		US.381		Fer	scories	5	82		Bac 060
INV.1231	Isolat		US.381		Plomb	indéterminé	1	14		
INV.1232	Lot		US.381		Alliage cuivreux	indéterminé	1	2		Boîte 053
INV.1233	Lot		US.381		Faune	os	37	281		Bac 088
INV.1234	Lot		US.383		Verre	vaisselle	1	5		Boîte 049
INV.1235	Lot		US.383		Faune	os	7	22		Bac 088
INV.1236	Lot		US.383		Céramique	vaisselle	31	275		Bac 022
INV.1237	Lot		US.383		Fer	clous	1	13		Bac 081
INV.1238	Lot		US.383		Lapidaire	dalle sciée	1	1776		Bac 101
INV.1239	Lot		US.378		Verre	vaisselle	3	14		Boîte 049
INV.1240	Lot	F.121	US.377		Alliage cuivreux	indéterminé	1	2		Boîte 053
INV.1241	Lot		US.383		Terre cuite architecturale	TCA	1	1172		Bac 033
INV.1242	Lot		US.383		Fer	scories	1	30		Bac 060
INV.1243	Isolat		US.383		Fer	indéterminé	1	56		Boîte 070
INV.1244	Lot		US.47		Lithique	indéterminé	1	1671		Bac 054
INV.1245	Isolat		US.363		Alliage cuivreux	Rouelle	2	5,1		
INV.1246	Lot	F.90	US.297		Fer	clous	1	16		Bac 081
INV.1247	Isolat		US.313		Alliage cuivreux	potin	1	4,4		Boîte 075
INV.1248	Isolat		US.380		Alliage cuivreux	aiguille	1	2,3		
INV.1249	Lot		US.363		Verre	vaisselle	2	8		Boîte 039 ; Boîte 049
INV.1250	Isolat		US.372		Alliage cuivreux	agrafe de ceinture	1	20,1		
INV.1251	Isolat		US.313		Alliage cuivreux	potin	1	3,4		Boîte 075
INV.1252	Lot		US.363		Lithique	tesselles	1	12		
INV.1253	Lot		US.393		Faune	os	17	157		Bac 088
INV.1254	Lot		US.380		Céramique	vaisselle				
INV.1255	Lot		US.380		Fer	clous	68	473		Bac 081
INV.1256	Lot		US.380		Céramique	TCA	10	486		
INV.1257	Lot		US.380		Verre	Vaisselle	4	25		Boîte 049
INV.1258	Lot		US.380		Faune	Malaco	1	0,1		Boîte 039
INV.1259	Lot		US.382		Verre	vaisselle	1	1		Boîte 049
INV.1260	Isolat		US.380		Matière dure animale	lignite	1	12		
INV.1261	Lot		US.382		Composite	scories	6	125		Bac 060
INV.1262	Isolat		US.380		Alliage cuivreux	indéterminé	1	1		Boîte 077
INV.1263	Lot	F.98	US.385	SD.45	Céramique	vaisselle	12	145		Bac 022
INV.1264	Lot	F.98	US.385	SD.45	Fer	clous	6	49		Bac 081
INV.1265	Isolat	F.98	US.385	SD.45	Alliage cuivreux	potin	1	5		Boîte 075
INV.1266	Lot	F.20	US.391		Fer	clous	2	7		Bac 081
INV.1267	Isolat		US.380		Alliage cuivreux	monnaie	1	11,7		Boîte 075
INV.1268	Lot		US.380		Faune	os	5	6		Bac 088
INV.1269	Isolat		US.392		Alliage cuivreux	fibule				Boîte 092
INV.1270	Isolat		US.259		Céramique	Vaisselle	38	386,2		Bac 014
INV.1271	Lot		US.393		Céramique	Vaisselle	18	228,7		Bac 023
INV.1272	Lot		US.393		Alliage cuivreux	indéterminé	2	1		Boîte 053
INV.1273	Lot		US.392		Fer	clous	12	35		Bac 081
INV.1274	Lot		US.392		Fer	scories	27	845		Bac 099
INV.1275	Lot		US.392		Céramique	Vaisselle	48	450		Bac 022

Mutations urbaines à Nasium (Meuse) | Rapport intermédiaire 2023

N° inv.	Type	Fait	US	Sondage	Matériau	Identification	NR	PR	Remarques	Contenant
INV.1276	Isolat		US.313		Fer	fibule			Fiche Artefact FIB-4036 : Fibule à porte-ardillon ajouré, arc filiforme coudé en angle droit vers la tête, corde interne. Feugère 4c2 : -80/-30	Boîte 092
INV.1277	Lot		US.395		Faune	os	25	151		Bac 038
INV.1278	Lot		US.395		Fer	Clou	120	1070		Bac 081
INV.1279	Lot		US.395		Céramique	vaisselle	283	7432		Bac 023
INV.1280	Isolat		US.380		Alliage cuivreux	monnaie	1	10,5		Boîte 075
INV.1281	Isolat		US.313		Alliage cuivreux	potin	1	4,8		Boîte 075
INV.1282	Isolat		US.313		Alliage cuivreux	potin	1	4,7		Boîte 075
INV.1283	Isolat	F.3	US.18		Faune	tableterie	3	6		Boîte 062
INV.1284	Lot		US.395		Verre	vaisselle	33	177		Boîte 049
INV.1285	Lot		US.395		Terre crue	torchis	37	1528		Bac 036
INV.1286	Lot		US.392		Faune	os	49	619		Bac 038
INV.1287	Lot		US.393		Fer	scories	4	157		Bac 060
INV.1288	Isolat		US.395		Alliage cuivreux	indéterminé	2	1		Boîte 077
INV.1289	Isolat		US.395		Lapidaire	Table ?	1	1249		Bac 054
INV.1290	Lot	F.4	US.397		Céramique	Vaisselle				Bac 023
INV.1291	Lot	F.4	US.397		Faune	os	1	2		Bac 088
INV.1292	Lot		US.398		Céramique	Amphore sud	298	11376		Bac 024
INV.1293	Lot		US.398		Céramique	Amphore mediane	110	8229		Bac 025
INV.1294	Lot		US.398		Céramique	Amphore nord				Bac 025
INV.1295	Lot		US.398		Céramique	Tessons amphore indifférenciés	151	14922		Bac 026 ; Bac 027
INV.1296	Isolat		US.395		Fer	agrafe	1	46		Boîte 070
INV.1297	Isolat		US.395		Fer	agrafe	2	42		Boîte 070
INV.1298	Isolat		US.395		Fer	piton	1	80		Boîte 070
INV.1299	Lot		US.325		Céramique	vaisselle	28	138		Bac 018
INV.1300	Lot		US.313		Fer	Clou	4	27		Bac 081
INV.1301	Lot	F.100	US.269		Terre crue	torchis	5	235		Bac 036
INV.1302	Isolat	F.100	US.269		Lithique	Bouchon	1	186		Boîte 073 ; Boîte 076 ; Bac 079
INV.1303	Isolat	F.100	US.269		Lapidaire	bloc architectural				
INV.1304	Isolat	F.121	US.377		Céramique	vaisselle	63	736,2	Céramique complète ?	Bac 021
INV.1305	Isolat		US.380		Alliage cuivreux	monnaie	1	7,5		Boîte 075
INV.1306	Isolat		US.313		Alliage cuivreux	potin	1	2,5		Boîte 075
INV.1307	Lot		US.372		Alliage cuivreux	indéterminé	3	1		Boîte 053
INV.1308	Isolat		US.395		Lapidaire	Fragment de table	1	2014		Bac 054
INV.1309	Isolat		US.395		Annulé	indéterminé				
INV.1310	Lot		US.395		Terre cuite architecturale	Tuile				
INV.1311	Lot	F.99	US.400		Céramique	vaisselle	46	454		Bac 028
INV.1312	Lot	F.99	US.400		Faune	os	23	49		Bac 038
INV.1313	Lot	F.99	US.400		Alliage cuivreux	indéterminé	16	3		Boîte 053
INV.1314	Isolat		US.380		Alliage cuivreux	monnaie	1	10,4		Boîte 075
INV.1315	Isolat		US.395		Lithique	Pieds de table				
INV.1316	Isolat	F.100	US.325		Lithique	meule				
INV.1317	Isolat		US.212		Lapidaire	bloc architectural				
INV.1318	Lot	F.3	US.18		Céramique	Vaisselle				
INV.1319	Lot	F.3	US.18		Faune	os	1	1		Bac 088
INV.1320	Lot	F.3	US.18		Fer	scories	3	50		Bac 060
INV.1321	Lot	F.3	US.18		Fer	Clou	1	9		Bac 081
INV.1322	Lot		US.380		Alliage cuivreux	miroir	1	4,3		
INV.1323	Isolat		US.380		Lithique	poids	1	31		Boîte 073 ; Boîte 076
INV.1324	Lot	F.101	US.401		Terre crue	torchis	16	36	Bois adhérent	
INV.1325	Isolat		US.380		Argent	monnaie	1	2		Boîte 075

Mutations urbaines à Nasium (Meuse) | Rapport intermédiaire 2023

N° inv.	Type	Fait	US	Sondage	Matériau	Identification	NR	PR	Remarques	Contenant
INV.1326	Isolat		US.380		Alliage cuivreux	cabochon	1	10,1		
INV.1327	Isolat		US.392		Alliage cuivreux	potin	1	2,7		Boîte 075
INV.1328	Lot		US.412		Céramique	vaisselle				Bac 028
INV.1329	Isolat		US.380		Alliage cuivreux	fibule				Boîte 092
INV.1330	Lot	F.105	US.409		Terre crue	torchis	7	55		Bac 036
INV.1331	Lot	F.105	US.409		Faune	os	7	12		Bac 038
INV.1332	Lot	F.105	US.409		Céramique	vaisselle	5	47,7		Bac 028
INV.1333	Isolat	F.100	US.259		Céramique	amphore	178	3520		Bac 031
INV.1334	Lot	F.100	US.259		Faune	os	15	82		Bac 088
INV.1335	Isolat		US.420		Céramique	vaisselle	23	718	Céramique archéologique ment complète en place dans la coupe cp32.	Bac 028
INV.1336	Lot		US.395		Fer	indéterminé	7	112		Bac 081
INV.1337	Isolat	F.121	US.370		Lithique	Pigment	1	5		Boîte 073 ; Boîte 076
INV.1338	Lot		US.380		Verre	Vaisselle	1			Boîte 049
INV.1339	Isolat		US.389		Alliage cuivreux	fibule			Gaspar 24 / Aucissa (auguste - Ile AD)	Boîte 092
INV.1340	Lot		US.380		Lapidaire	bloc architectural				
INV.1341	Isolat		US.432		Fer	ferrure	4	121		Boîte 070
INV.1342	Isolat		US.380		Céramique	Vaisselle			À remettre dans l'US.432.	
INV.1343	Lot	F.5	US.39		Céramique	vaisselle				Bac 006
INV.1344	Lot	F.121	US.331		Faune	malaco	1	1		
INV.1345					Annulé	Annulé				
INV.1346					Annulé					
INV.1347	Isolat	F.106	US.414		Verre	perle	1	1		Boîte 087
INV.1348					Annulé					
INV.1349	Lot	F.121	US.417		Verre	Vaisselle	1			Boîte 049
INV.1350	Isolat	F.121	US.417		Fer	fiche				
INV.1351	Lot	F.121	US.417		Céramique	vaisselle				Bac 028
INV.1352	Lot	F.121	US.417		Fer	scories	3	166		Bac 060
INV.1353	Lot	F.121	US.417		Faune	os	22	225		Bac 088
INV.1354	Lot	F.121	US.417		Verre	vaisselle	3	12		Boîte 049
INV.1355	Lot	F.121	US.417		Fer	Clou	5	54		Bac 081
INV.1356	Lot		US.379		Fer	Clou	6	45		Bac 081
INV.1357	Isolat	F.106	US.414		Verre	perle				
INV.1358	Lot	F.124	US.324		Céramique	vaisselle	17	295		Bac 018
INV.1359	Lot	F.124	US.324		Faune	os	15	215		Bac 088
INV.1360	Lot	F.124	US.324		Fer	Clou	1	14		Bac 081
INV.1361	Lot	F.104	US.82		Fer	scories	2	13		Bac 060
INV.1362	Isolat	F.100	US.112		Lithique	Pavé usé				Bac 090
INV.1363	Isolat	F.100	US.260		Lapidaire	bloc architectural				
INV.1364	Isolat		HC		Lithique	Dalle				Bac 090
INV.1365	Lot		US.432	SD.24	Céramique	vaisselle	68	1375		Bac 030
INV.1366	Lot		US.281		Faune	os	5	18		Bac 044 ; Bac 088
INV.1367	Lot		US.387		Céramique	vaisselle				Bac 022
INV.1368	Lot		US.387		Faune	os	5	39		Bac 088
INV.1369	Lot		US.387	SD.29	Fer	scories	3	23		Bac 060
INV.1370	Lot		US.388		Céramique	Vaisselle				Bac 022
INV.1371	Lot	F.106	US.434	SD.29	Céramique	vaisselle	7	55		Bac 030
INV.1372	Lot		US.388		Fer	clous	4	45		Bac 081
INV.1373	Lot		US.388		Faune	Os	7	66		Bac 038
INV.1374					Annulé					
INV.1375	Lot		US.388		Fer	scories	43	1064		Bac 060
INV.1376	Lot		US.432		Faune	os	3	17		Bac 088
INV.1377	Lot		US.432		Matériaux de construction	mortier	2	3		Boîte 048
INV.1378	Lot		US.374		Verre	vaisselle	1	1		Boîte 049

Mutations urbaines à Nasium (Meuse) | Rapport intermédiaire 2023

N° inv.	Type	Fait	US	Sondage	Matériau	Identification	NR	PR	Remarques	Contenant
INV.1379	Isolat		US.379		Faune	épingle	1	1		Boîte 062
INV.1380	Lot		US.418		Céramique	vaisselle	2	42,5		Bac 028
INV.1381	Lot		US.418		Fer	clous	3	25		Bac 081
INV.1382	Lot		US.418		Faune	os	3	12		Bac 088
INV.1383	Isolat		US.380		Alliage cuivreux	indéterminé	1	10		
INV.1384	Isolat		US.392		Fer	ferrure	1	12		Boîte 056
INV.1385	Lot	F.80	US.444		Céramique	vaisselle	147	1535		Bac 030
INV.1386	Isolat		US.313		Alliage cuivreux	potin	1	4,5		Boîte 075
INV.1387	Isolat		US.313		Alliage cuivreux	potin	1	5,4		Boîte 075
INV.1388	Isolat		US.378		Faune	épingle	1	2		Boîte 062
INV.1389	Isolat		US.378		Fer	stylet	1	11,6		Boîte 056
INV.1390					Annulé					
INV.1391	Lot		US.392		Terre cuite architecturale	Tuile	2	508		Bac 033
INV.1392					Annulé					
INV.1393	Lot	F.121	US.331		Fer	indéterminé	1	11		Bac 081
INV.1394	Lot	F.80	US.358		Faune	os	4	7		Bac 088
INV.1395	Lot	F.80	US.358		Céramique	vaisselle	1	1		Bac 020
INV.1396	Lot	F.80	US.440		Céramique	vaisselle	33	151,1		Bac 030
INV.1397	Lot		US.392		Verre	vaisselle	2	7		Boîte 049
INV.1398	Lot	80	US.281		Céramique	vaisselle	25	117		Bac 015
INV.1399	Lot	80	US.281		Fer	clous	2	7		Bac 081
INV.1400	Lot	80	US.281		Matériaux de construction	mortier	2	109		Boîte 048
INV.1401	Lot	F.80	US.290		Terre crue	torchis	12	70		Bac 036
INV.1402	Isolat		HC		Alliage cuivreux	monnaie	1	3,2		Boîte 075
INV.1403	Isolat		HC		Alliage cuivreux	monnaie	1	4,4		Boîte 075
INV.1404	Isolat		HC		Fer	déchet	1	23	Soie de préhension.	Boîte 070
INV.1405	Isolat		HC		Fer	indéterminé	1	78		Boîte 070
INV.1406	Lot		US.392		Lithique	tesselles	1	7		Boîte 076
INV.1407			US.458	SD.24	Fer	scories	31	844		Bac 099
INV.1408			US.458	SD.24	Faune	Os	118	5167	2 sachets	Bac 038 ; Bac 088
INV.1409	Lot		US.458	SD.24	Céramique	vaisselle	2	531		Bac 030
INV.1410	Lot		US.453		Céramique	vaisselle	12	46		Bac 030
INV.1411	Lot		US.450		Céramique	vaisselle	4	19		Bac 030
INV.1412	Lot		US.460		Céramique	vaisselle	22	231		Bac 030
INV.1413	Lot		US.460		Faune	Os	6	304		Bac 088
INV.1414	Lot		US.460		Fer	scories	2	152		Bac 060
INV.1415	Isolat		US.420		Fer	Balance	1	102		Boîte 056
INV.1416	Lot		US.420		Verre	vaisselle	8	35		Boîte 049
INV.1417	Lot		US.380		Lithique	Dalle	1	120		Boîte 076
INV.1418	Isolat		US.420		Verre	indéterminé	2	77		Boîte 087
INV.1419	Lot		US.458	SD.24	Fer	Clou	2	27		Bac 081
INV.1420	Lot		US.380		Faune	malaco	6	9		
INV.1421	Lot		US.458	SD.24	Alliage cuivreux	indéterminé	2	3		Boîte 053
INV.1422					Annulé	Annulé				
INV.1423	Isolat		US.420		Céramique	vaisselle	328	7608	Céramique retournée posée (?) sur les marches de l'escalier	Bac 029
INV.1424	Isolat		US.458		Fer	Hache	1	352		Boîte 070
INV.1425	Lot		US.369		Faune	os	2	26		Bac 088
INV.1426	Lot		US.369		Céramique	Vaisselle	12	1407		Bac 020
INV.1427	Lot		US.420		Fer	Clou	56	425		Bac 081
INV.1428	Lot		US.420		Faune	os	13	159		Bac 038
INV.1429	Isolat		US.420		Fer	indéterminé	1	146		Boîte 056
INV.1430	Isolat		US.420		Fer	Couteau	1	46		Boîte 070
INV.1431	Isolat		US.420		Lithique	Polissoir	1	41		Boîte 073 ; Boîte 076

Mutations urbaines à Nasium (Meuse) | Rapport intermédiaire 2023

N° inv.	Type	Fait	US	Sondage	Matériau	Identification	NR	PR	Remarques	Contenant
INV.1432	Lot		US.420		Fer	Scorie	5	67		Bac 060
INV.1433	Isolat		US.420		Céramique	vaisselle	10	819		Bac 028
INV.1434		F.104	US.82		Faune	os	5	47		Bac 088
INV.1435	Isolat	F.111	US.466		Alliage cuivreux	monnaie	1	23,5		Boîte 075
INV.1436	Lot	F.104	US.82		Fer	Clou	2	8		Bac 081
INV.1437	Lot	F.111	US.466		Céramique	vaisselle	30	499,2		Bac 030
INV.1438	Lot	F.111	US.466		Faune	Os	13	59		Bac 038
INV.1439	Lot	F.111	US.466		Fer	Clou	3	29		Bac 081
INV.1440	Lot	F.111	US.466		Verre	vaisselle	1	1		Boîte 049
INV.1441	Isolat		HC		Faune	jeton	1	1		Boîte 062
INV.1442	Isolat	F.98	US.394	SD.45	Alliage cuivreux	indéterminé	1	15,6		
INV.1443	Lot	F.100	US.398		Céramique	Amphore sud	68	6783	4e amphore en place la plus au sud (peu visible sur photos)	Bac 027
INV.1444	Lot	F.98	US.394	SD.45	Faune	os	2	2		Bac 088
INV.1445	Lot	F.98	US.394	SD.45	Céramique	vaisselle				Bac 023
INV.1446	Lot	F.100	US.398		Fer	Clou	4	36		Bac 081
INV.1447	Lot		US.395		Terre cuite	TCA	1	1368	Marque digitée, petite patoune de chat, retrouvée au fond de la cave calée dans la roche naturelle.	Bac 033
INV.1448	Lot		US.476		Céramique	vaisselle				
INV.1449	Isolat		US.432		Fer	gond	1	84,3		Boîte 056
INV.1450	Lot		US.471		Céramique	vaisselle				Bac 030
INV.1451	Lot		US.471		Faune	os	19	402		Bac 088
INV.1452	Lot		US.471		Fer	Clou	1	23		Bac 081
INV.1453	Lot		US.471		Fer	scories	10	503		Bac 099
INV.1454	Lot		US.472		Céramique	vaisselle				Bac 030
INV.1455	Lot		US.472		Fer	Clou	1	27		Bac 081
INV.1456	Lot		US.368		Céramique	vaisselle	2	26,5		Bac 020
INV.1457	Lot		US.368		Faune	os	1	2		Bac 088
INV.1458	Lot		US.456		Céramique	vaisselle				Bac 030
INV.1459	Lot		US.455		Céramique	vaisselle				Bac 030
INV.1460	Lot		US.455		Faune	os	6	60		Bac 088
INV.1461	Lot		US.455		Fer	Clou	3	15		Bac 081
INV.1462	Lot	F.124	US.454		Céramique	vaisselle	1	18		Bac 030
INV.1463	Lot	F.124	US.454		Fer	scories	1	9		Bac 060
INV.1464	Lot	F.124	US.454		Faune	Os	1	244		Bac 088
INV.1465	Isolat				Lapidaire	bloc architectural				
INV.1466		F.93	US.484		Lapidaire	Base				

Mutations urbaines à *Nasium* (Meuse) | Rapport intermédiaire 2023

N° inv.	Type	Fait	US	Sondage	Matériau	Identification	NR	PR	Remarques	Contenant
INV.1467		F.93	US.484		Lapidaire	Fût				
INV.1468	Isolat	F.100	US.269		Céramique	Jeton	1	36,2		Bac 015
INV.1469	Isolat		US.380		Lithique	Plaquette	2	117		
INV.1470	Lot	F.100	US.325		Verre	Vaisselle	1	0,1		Boîte 049
INV.1471	Isolat		US.387		Lithique	plaque	1	12,9		
INV.1472	Isolat		US.486		Fer	indéterminé	2	102		Boîte 070
INV.1473	Isolat		US.486		Fer	indéterminé	3	237		Boîte 070
INV.1474	Lot		US.486		céramique	vaisselle	47	299		Bac 030
INV.1475	Lot		US.486		Fer	indéterminé	5	76		Bac 060
INV.1476	Lot	F.69	US.229		Fer	Clou	2			Bac 081
INV.1477	Lot		US.46		Fer	Scorie	1	44		Bac 060
INV.1478	Lot		US.363		Fer	Indéterminé	1	35		Bac 081
INV.1479	Lot		US.296		Fer	Clou	4	26		Bac 081
INV.1480	Lot	F.112	US.97		Fer	Scorie	5	58		Bac 060
INV.1481	Lot		US.380		Fer	Caboche	1	7		Bac 081
INV.1482	Lot	F.20	US.242		Fer	Scorie	1	31		Bac 060
INV.1483	Lot		US.122		Terre crue	torchis	16	398,7		
INV.1484	Lot	F.76	US.357		Terre crue	torchis	1	16		
INV.1485	Isolat		US.395		Fer	plaque décorative	1	18		
INV.1486	Isolat		US.125		Fer	indéterminé	1	16		
INV.1487	Isolat	F.121	US.330		Alliage cuivreux	fibule	1	4		
INV.1488	Isolat	F.112	US.97		Fer	indéterminé	1	1		Boîte 070
INV.1489	Isolat		US.420		Verre	indéterminé	1	24		Boîte 087
INV.1490	Lot		US.378		Verre	Vaisselle	2	5		Boîte 049
INV.1491	Lot		US.313		Alliage cuivreux	indéterminé	2	1		Boîte 053
INV.1492	Lot		US.380		Alliage cuivreux	indéterminé	1	1		Boîte 053
INV.1493	Lot		H.C		Terre cuite architecturale	TCA	22	1033	Décapage mécanique espace F niveau de circulation	Bac 033
INV.1494	Isolat		H.C		Alliage cuivreux	Scorie	1	10		
INV.1495	Lot		US.398		Céramique	Vaisselle	2	17		Bac 027
INV.1496	Lot		US.398		Terre crue	torchis	5	187,6		
INV.1497	Isolat		US.41		Céramique	Figurine				Boîte 074
INV.1498	Lot		US.91		Terre cuite architecturale	TCA	3			
INV.1499	Isolat	F.100	US.112		Terre cuite architecturale	TCA	1			
INV.1500	Isolat		US.137		Terre cuite	Phallus ?			Possible bec de lampe à huile ?? (aucun parallèle identifié sur Artefacts).	Bac 013

9.5.2. Inventaire du mobilier céramique

Fait	US	Sondage	Inv.	Contenant	Catégorie	B	F	A	D	M	P
/	3	/	136	C.1	TSGC						3
/	3	/	136	C.1	TSGE	4		1			
/	3	/	136	C.1	Met.Arg.	2					2
/	3	/	136	C.1	P.F.Arg.	4	1				12
/	3	/	136	C.1	Eng.Bl.						3
/	3	/	136	C.1	Eng.Rg.	2					
/	3	/	136	C.1	Eng.Br.	1					2
/	3	/	136	C.1	F.Cl.Kao.		2				11
/	3	/	136	C.1	F.Cl.	1		1			9
/	3	/	136	C.1	F.Sb.						5
/	3	/	136	C.1	Com.Cl.Mor.	1					
/	3	/	136	C.1	Com.Cl.	1	1				57
/	3	/	136	C.1	Com.Sb.		2				14
/	3	/	136	C.1	G.Com.Coq.A	2					
/	3	/	136	C.1	G.Com.Coq.B	1	1				9
/	3	/	136	C.1	Amph.Bet.						2
/	3	/	136	C.1	Dol.Gn.		1				3
/	4	/	9	C.1	Glaç.			1			2
/	4	/	9	C.1	TSSG	11	5		6		20
/	4	/	9	C.1	TSGC	1			2		5
/	4	/	9	C.1	TSGE	11	3		2		8
/	4	/	9	C.1	TSGE	1			1		
/	4	/	9	C.1	P.F.Lx.	2			1		16
/	4	/	9	C.1	P.F.Tr.						3
/	4	/	9	C.1	P.F.Arg.	16	8		1		99
/	4	/	9	C.1	P.F.Eng.						2
/	4	/	9	C.1	P.F.Eng.		1				
/	4	/	9	C.1	Met.Tr.	1			6		4
/	4	/	9	C.1	Met.Arg.	3	1		14		12
/	4	/	9	C.1	T.R.Eng.						1
/	4	/	9	C.1	E.R.I.	2					1
/	4	/	9	C.1	Eng.Br.						1
/	4	/	9	C.1	Eng.Bl.						1
/	4	/	9	C.1	F.Cl.	4	3	1	1		19
/	4	/	9	C.1	F.Cl.Enf.						3
/	4	/	9	C.1	F.Kao.	3	3	2			24
/	4	/	9	C.1	F.Sb.	6	3	1	7		20
/	4	/	9	C.1	Bes.	1					
/	4	/	9	C.1	Com.Cl.Mor.	6					3
/	4	/	9	C.1	Com.Cl.	15	3				182
/	4	/	9	C.1	Com.Sb.	6	1				39
/	4	/	9	C.1	G.Com.Cl.	1					13
/	4	/	9	C.1	G.Com.Sb.	2					3
/	4	/	9	C.1	G.Com.Coq.A	4					4
/	4	/	9	C.1	G.Com.Coq.B	12	7				31
/	4	/	9	C.1	Amph.Gaul.		1				32
/	4	/	9	C.1	Amph.						14
/	5	/	18	C.2	Fer.						1
/	5	/	18	C.2	TSSG	1					1

Mutations urbaines à *Nasium* (Meuse) | Rapport intermédiaire 2023

	NR	NMI	Poids	Identification, Remarques, tracéologie	Datation
	3	0	12,9		
	5	2	112	1 assiette Drag.18/31 (136.1), 1 coupelle Drag.35	150/250
	4	2	25,8	2 gobelets Nied.33 à dépression (136.2)	IIIe siècle
	17	3	36,6	3 gobelets Hees.2 (136.3), 1 anneau de fond	IIe siècle
	3	0	22,2		
	2	0	11,3	2 pots type TR (136.4) ; engobe surf. Ext.	
	3	1	53,5	1 coupe imitation Ritt.12	
	13	1	111,7	1 fond annulaire	
	11	1	57,9	1 cruche à lèvres en bourrelet tombante, 1 anse bifide	
	5	0	17		
	1	1	41	1 mortier à lèvres tombante (136.5), surface ext. Eng d'orange	
	59	1	455,2	1 pot à lèvres tombante, 1 fond plat	
	16	2	105,5	2 fonds annulaires	
	2	1	14,5	1 pot à lèvres éversée	
	11	1	79,9	1 pot à lèvres éversée, 1 fond plat	
	2	0	17,3		
	4	1	262,2	1 fond plat présentant une importante couche de dégraissant	
	3	0	12		Moderne
	42	8	501,2	3 Drag.37, 1 Drag.35/36 (60-160), 3 assiettes Drag.18b (60-150), 1 assiette Drag.15b (60-120) ; plusieurs fragments brûlés	60/120 ap.
	8	1	63	1 Drag. 37, 2 décors moulés, plusieurs fragments brûlés	IIe siècle
	24	7	266,7	1 assiette Drag.32, 3 Drag.37, 2 assiettes Drag.18, 1 indé., 2 fonds annulaire dont 1 de mortier, décors moulés	IIIe-IVe siècles
	2	1	6,4	Pâte orange, engobe chocolat ; 1 Drag.37, 1 décor moulé	IVe siècle
	19	1	46,9	1 gobelet type Hees.2, panse de gobelet à dépressions ; 1 décor guilloché	70/150
	3	0	16,5		IIe siècle
	124	9	378,7	9 gobelets type Hees.2 dont 1 crémé ; 8 décors guillochés, nombreuses parois sablées	IIe siècle
	2	0	12	Pâte orange, engobe rouge brique ; panse d'un gobelet à dépression	
	1	1	5,9	Pâte grise, engobe noir externe ; fond plat débordant ; 1 gobelet	
	11	1	23	6 décors guillochés, 1 gobelet Nied.31	IIIe siècle
	30	2	113,2	2 gobelets Nied.31 ; décors guillochés	IIIe siècle
	1	0	1	Traces de poix interne	
	3	2	109,9	2 plats à bord rentrant	Ier-IIe siècles
	1	0	0,9		
	1	0	1,5		
	28	4	95,2	Décor de molette, 1 gobelet à lèvres pincé éversé, 1 cruche, 2 coupes à lèvres en bourrelet éversée et panse oblique	
	3	0	28	Surface externe enfumée	
	32	3	270,7	1 cruche CL-REC1, 1 cruche CL-REC5b ; 3 fonds annulaires	
	37	6	236,1	1 imitation SIG-IT12, 1 cruche CL-REC5, 3 gobelets à lèvres pincée éversée sur col court, 1 gobelet à lèvres en bourrelet, décors de molette	
	1	1	8,4	1 pot type 2	
	9	4	328	4 mortiers CL-REC21	50 / 200 ap.
	200	10	1476,2	2 jattes à bord rentrant, 1 marmite à colerette, 1 marmite à lèvres en méplat, 5 pots à lèvres en bourrelet, 3 fonds annulaires	
	46	6	563	1 jatte à bord rentrant épaisse, 1 jatte à bord rentrant pincé, 1 marmite à lèvres colerette, 3 pots à lèvres épaisse, 1 fond plat légèrement mouluré	
	14	1	61,5	1 pot de cuisson avec lèvres en méplat	
	5	2	79,8	1 pot à lèvres en bourrelet, 1 pot à lèvres en méplat, traces de coup de feu	
	8	2	50,4	2 pots à lèvres en bourrelet	
	50	10	399	3 jattes à bord rentrant, 7 pots ; 4 fonds plats débordants, 1 fond en couronne, 1 fond plat, 1 pied de marmite mouluré	
	33	1	3487		
	14	0	544,4		
	1	0	2,3	Céramique à glaçure ferrugineuse interne	TPQ XIIe siècle
	2	1	4,8	1 assiette Drag. 18	Ier-IIe siècles

Mutations urbaines à *Nasium* (Meuse) | Rapport intermédiaire 2023

Fait	US	Sondage	Inv.	Contenant	Catégorie	B	F	A	D	M	P	
/	5	/	18	C.2	P.F.Arg.						2	
/	5	/	18	C.2	Com.Cl.						3	
/	5	/	18	C.2	Com.Sb.	2	1				1	
/	5	/	18	C.2	Amph.It.						7	
/	5	/	18	C.2	Amph.Bet.						1	
/	6	/	264	C.2	TSSG				1		1	
/	6	/	264	C.2	TSGC	1					1	
/	6	/	264	C.2	TSGE		1				2	
/	6	/	264	C.2	TS-	1	1		1		2	
/	6	/	264	C.2	P.F.Arg.	1	1		1		5	
/	6	/	264	C.2	Met.Tr.	1			3		8	
/	6	/	264	C.2	Met.Arg.						1	
/	6	/	264	C.2	E.R.I.		1					
/	6	/	264	C.2	Com.Sb.						2	
/	6	/	264	C.2	G.Com.Coq.A		2					
/	6	/	264	C.2	G.Com.Coq.B						6	
/	6	/	264	C.2	Amph.						3	
/	8	/	34	C.2	TSSG	2	2				1	
/	8	/	34	C.2	TSGE	2					4	
/	8	/	34	C.2	Met.Arg.						1	
/	8	/	34	C.2	Met.Tr.						1	
/	8	/	34	C.2	P.F.Arg.	1					2	
/	8	/	34	C.2	Eng.Bl.						1	
/	8	/	34	C.2	F.Cl.Kao.						3	
/	8	/	34	C.2	F.Cl.	1					3	
/	8	/	34	C.2	F.Sb.						3	
/	8	/	34	C.2	Com.Cl.Mor.	2						
/	8	/	34	C.2	Com.Cl.						13	
/	8	/	34	C.2	Com.Sb.			1			4	
/	8	/	34	C.2	G.Com.Coq.A	1					1	
/	8	/	34	C.2	G.Com.Coq.B						1	
/	8	/	34	C.2	Amph.						9	
/	8	/	34	C.2	Dol.Gn.	1					2	
/	9	/	54	C.2	Met.Tr.	2						
/	9	/	54	C.2	P.F.Arg.	1					1	
/	9	/	54	C.2	Com.Cl.Mor.	1						
/	9	/	54	C.2	Com.Cl.						3	
F.130	10	/	56	C.1	TSSG	1						
F.130	10	/	160	C.2	TSSG	2	1		1		5	
F.130	10	/	160	C.2	TS-						1	
F.130	10	/	160	C.2	P.F.Tr.	2					18	
F.130	10	/	160	C.2	P.F.Arg.						2	
F.130	10	/	160	C.2	P.F.Eng.Rg.		1					
F.130	10	/	160	C.2	P.F.Eng.Br.						1	
F.130	10	/	160	C.2	T.N.				1		3	
F.130	10	/	160	C.2	T.R.	1					2	
F.130	10	/	160	C.2	Eng.Bl.						1	
F.130	10	/	160	C.2	F.Cl.Kao.		1				10	
F.130	10	/	160	C.2	F.Cl.	2	3	1			49	
F.130	10	/	160	C.2	F.Sb.	3	1				9	
F.130	10	/	160	C.2	Com.Cl.		2				65	
F.130	10	/	160	C.2	Com.Sb.		1				21	
F.130	10	/	160	C.2	G.Com.Sa.A						12	
F.130	10	/	160	C.2	G.Com.Sa.B						1	
F.130	10	/	160	C.2	G.Com.Coq.B	3	1				6	

Mutations urbaines à *Nasium* (Meuse) | Rapport intermédiaire 2023

	NR	NMI	Poids	Identification, Remarques, tracéologie	Datation
	2	0	2,8		IIIe siècle
	3	0	11,3		IIIe siècle
	4	2	42,9	2 pots, 1 fond annulaire	IIIe siècle
	7	0	115,7	Production de Brindes	IIIe siècle
	1	0	76,2		IIIe siècle
	2	0	11,4		Ier-IIe siècles
	2	1	12,5		IIe siècle
	3	1	16,9		IIIe-IVe siècles
	5	1	31,6	Brûlés	
	8	1	48,3		IIe siècle
	12	1	26,8		IIIe siècle
	1	0	2,4		IIIe siècle
	1	1	9,8	Brûlés	
	2	0	28,8		
	2	1	68,3		
	6	0	8,5		
	3	0	63,9		
	5	2	33,5	2 assiettes Drag.18, 1 ond annulaire guilloché	15/60
	6	2	76,3	1 coupe Drag.37, 1 assiette Drag.3§ (34.1)	150/250
	1	0	1		IIIe siècle
	1	0	1,3		IIIe siècle
	3	1	15,3	1 gobelet Hees 2	IIe siècle
	1	0	11,5		IIIe siècle
	3	0	19,3	1 col de cruche	IIIe siècle
	4	1	15,8	1 pot à décor guilloché (TR)	IIIe siècle
	3	0	14,4	Surface enfumée	IIIe siècle
	2	2	23	2 mortiers à lèvres tombante, brûlés	IIIe siècle
	13	0	76,4		IIIe siècle
	5	0	26,5	1 anse simple plate	IIIe siècle
	2	1	18	1 pot à lèvres éversée	IIIe siècle
	1	0	2,8		IIIe siècle
	9	0	398,4		IIIe siècle
	3	1	105,2	1 avatar de dolium Goebange-Nospelt (34.2) ; desquamation totale de la surface interne	IIIe siècle
	2	1	5	1 gobelet Nied.31 (54.1)	IIIe siècle
	2	1	8,1	1 gobelet Hees 2	IIIe siècle
	1	1	83,1	1 mortier à lèvres pendante (54.2) ; sablage constitué de sable et gros nodule de mica	IIIe siècle
	3	0	29,2		IIIe siècle
	1	1	92,4	1 Drag.37 avec trous de perforation et agraffe en plomb (photo)	
	9	2	99,1	1 assiette Drag.22a (160.1), 1 assiette Drag.36, 1 décor moulé de Drag.37 ; plusieurs fragments présentent des traces de coup de feu	60/160
	1	0	2,1	1 fragment complètement brûlé non-identifiable.	
	20	2	42,1	2 gobelets Hees.2, majorité des parois sablées, 1 paroi à dépression	IIe siècle
	2	0	1,8		IIe siècle
	1	1	3,8	1 fond plat débordant de gobelet ; pâte orange, engobe rouge, surf. Sablée	IIe siècle
	1	0	8,1	Pâte orange zonée, eng.brnun, surf. Sablée	IIe siècle
	4	0	12,3	1 décor de molette	IIe-IIIe siècles
	3	1	22,8	1 gobelet à lèvres épaissie éversée (160.4)	IIIe siècle
	1	0	2		IIIe siècle
	11	1	74	1 fond annulaire	
	55	3	611,8	1 coupe imitation Ritt.12 (160.5), 1 cruche en lèvres poulie, 2 fonds annulaires, 1 fond plat, 1 anse bifide	IIIe siècle
	13	2	97	1 bouteille à lèvres éversée éfilée (160.3), 1 gobelet à panse globulaire et lèvres en bourrelet (160.4)	IIIe siècle
	67	1	493,3	1 fond plat	
	22	1	202,4	1 fond annulaire	
	12	0	100,9		
	1	0	15,5	Dégraissant quartz et mica, engobe micacée de la surface	IIe-IIIe siècles
	10	3	75,8	3 jattes à bord rentrant	IIIe siècle

Mutations urbaines à *Nasium* (Meuse) | Rapport intermédiaire 2023

Fait	US	Sondage	Inv.	Contenant	Catégorie	B	F	A	D	M	P	
F.130	10	/	160	C.2	Amph.						13	
F.130	10	/	160	C.2	Amph.Bet.	1		3			121	
F.130	10	/	160	C.2	Amph.Reg.						1	
F.130	10	/	160	C.2	Dol.Gn.						7	
F.3	15	/	88	C.2	P.F.Eng.						3	
F.3	15	/	88	C.2	P.F.A				1			
F.3	15	/	88	C.2	P.F.B						3	
F.3	15	/	88	C.2	T.N.						1	
F.3	15	/	88	C.2	F.Cl.						7	
F.3	15	/	88	C.2	Com.Cl.						3	
F.3	15	/	88	C.2	G.Com.Coq.B	1						
F.130	17	/	117	C.3	TSSG	2	1				2	
F.130	17	/	117	C.3	P.F.Arg.						5	
F.130	17	/	117	C.3	T.R.Eng.	1					3	
F.130	17	/	117	C.3	F.Kao.						5	
F.130	17	/	117	C.3	Com.Cl.	2					16	
F.130	17	/	117	C.3	Com.Cl.	1						
F.130	17	/	117	C.3	Com.Sb.	1					2	
F.130	17	/	117	C.3	G.Com.Cl.						1	
F.130	17	/	117	C.3	G.Com.Sb.						1	
F.130	17	/	117	C.3	G.Com.Coq.A						1	
F.130	17	/	117	C.3	G.Com.Coq.B						1	
F.130	17	/	117	C.3	Amph.Gaul.	3						
F.130	17	/	117	C.3	Amph.Bet.						1	
F.130	17	/	117	C.3	Dol.Gn.2						1	
F.130	17	/	117	C.3	TSSG	1						
F.130	17	/	117	C.3	F.Kao.						2	
F.130	17	/	117	C.3	G.Com.Coq.A	1						
F.130	17	/	117	C.3	G.Com.Coq.B	1						
F.3	18	/	93	C.3	TSGE	1					2	
F.3	18	/	93	C.3	Met.Arg.				1		10	
F.3	18	/	93	C.3	Met.Tr.						2	
F.3	18	/	93	C.3	F.Cl.			1			8	
F.3	18	/	93	C.3	Com.C.B.						1	
F.3	18	/	93	C.3	Com.Cl.						16	
F.3	18	/	93	C.3	Com.Sb.	2						
F.3	18	/	93	C.3	G.Com.Coq.A	1						
F.3	18	/	93	C.3	G.Com.Coq.B	2					2	
F.3	18	/	93	C.3	Com.Cl.						1	
F.3	18	/	93	C.3	Com.Sb.						1	
F.27	19	/	281	C.3	Com.Cl.						2	
F.7	20	/	180	C.3	Met.Tr.				1		2	
F.125	22	/	106	C.3	TSSG	4					4	
F.125	22	/	106	C.3	TSGE				1			
F.125	22	/	106	C.3	F.Cl.		1	2			5	
F.125	22	/	106	C.3	F.Kao.						2	
F.125	22	/	106	C.3	F.Sb.	1					2	
F.125	22	/	106	C.3	Com.Cl.Mic.		1					
F.125	22	/	106	C.3	Com.Cl.	2	1				35	
F.125	22	/	106	C.3	Com.Sb.	1					5	
F.125	22	/	106	C.3	G.Com.Coq.A						1	
F.125	22	/	106	C.3	G.Com.Coq.B	1	2					
F.125	22	/	106	C.3	Amph.						3	
F.125	22	/	106	C.3	Dol.GN.1						1	
F.125	22	/	106	C.3	Dol.GN2						1	

Mutations urbaines à *Nasium* (Meuse) | Rapport intermédiaire 2023

NR	NMI	Poids	Identification, Remarques, tracéologie	Datation
13	0	277,6	Amphore brûlée, pâte grise. Probablement italique	
125	1	5307,6	1 amphore Dr.20 (160.6), 2 anses simples ; majorité des tessons brûlés	Ier-IIe siècles
1	0	47,3	Pâte orange zonée	IIIe siècle
7	0	333,6	Avatar Goebblange-Nospelt, pâte orange zonée, engobe blanc de la surface ext.	Ier-IIe siècles
3	0	1,2	Engobe rouge/brun sur pâte orange	IIe siècle
1	0	2,4	Probable décor à la barbotine, il est possible que ce tesson appartienne à un lampe à huile	
3	0	5,7	Pâte grise, engobe noir	IIe-IIIe siècles
1	0	1,8	Pâte kao., enf. Des surfaces	IIIe siècle
7	0	8,8		
3	0	9		
1	1	42,7	1 jatte (88.1) avec desquamations à vacuole sur la surface interne (réaction chimique sodique ?). Surf. Ext. Est oxydée hétérogène : probable traces de coup de feu.	IIIe siècle
5	2	65,7	1 assiette Drag.18b (60-150), 1 Ritt.12 (40-70), 1 fond de plat annulaire à décor guilloché de plat brûlé	60/100 ap.
5	0	7,3		IIe siècle
4	1	13,9		
5	0	67,8	1 col de cruche	
18	1	241,3	1 marmite imit. Ritt.12	Ier-IIe siècles
1	1	64,8	1 jatte à bord arrondie tombante	
3	1	12,2	1 pot à lèvres en bourrelet	
1	0	12,5		
1	0	20,9	Surface externe cannelée ; mortier brûlé ?	
1	0	15,1		
1	0	10,4		
3	2	152,8	1 amphore Dr.20	
1	0	83,4		
1	0	20,6		
1	1	4,2	1 assiette Drag.36	60/160 ap.
2	0	30,3		
1	1	6,9	1 pot à lèvres horizontale	
1	1	35,8	1 pot à lèvres horizontale	
3	1	21,1	1 Drag.37 ; probable production argonnaise	IVe siècle
11	0	24,5	1 décor guilloché, 2 parois de gobelet à dépression	IIIe-IVe siècles
2	0	2,5	1 paroi sablée	IIIe siècle
9	0	26,8	1 anse simple en bourrelet	
1	0	7,9	Pâte tardive, aspect de surface sans craquelure	Bas-Empire
16	0	100,4		
2	2	33	1 marmite, 1 plat à bord épaissi horizontale	IIIe siècle
1	1	2,8	1 pot à lèvres en poulie	IIIe siècle
4	2	56,6	1 couvercle, 1 pot à lèvres en poulie	IIIe siècle
1	0	5,8		
1	0	3,5		
2	0	6,6		
3	0	3	Décor guilloché	
8	3	41,6	1 assiette Drag.18a (15/60), 1 coupe Drag.22a (40/100), 1 Drag.37a (60/100)	60/100 ap.
1	0	1	Décor moulé	IIIe-IVe siècles
8	0	66,4	1 fond annulaire, 1 anse bifide	
2	0	27,7		
3	1	12,1	1 gobelet à lèvres pincée éversée	
1	1	54,1	1 fond plat débordant, pâte orange engobée de mica sur les surfaces	IIe siècle
38	1	501	1 marmite imit. Ritt.12, 1 fond annulaire	IIe-IIIe siècles
6	1	69,8	1 marmite imit. Ritt.12	IIe-IIIe siècles
1	0	9,2		
3	1	30,4	1 pot à lèvres en bourrelet éversé, 1 fond plat avec traces de coups de feu externes	
3	0	176,1		
1	0	1,3		
1	0	237,9	Pâte non-zonée, peu épaisse (0,9 cm)	

Mutations urbaines à *Nasium* (Meuse) | Rapport intermédiaire 2023

Fait	US	Sondage	Inv.	Contenant	Catégorie	B	F	A	D	M	P	
F.125	22	/	106	C.3	F.Kao.						1	
F.125	22	/	106	C.3	Com.Cl.	1					7	
F.125	22	/	106	C.3	Com.Sb.						2	
F.125	22	/	106	C.3	G.Com.Cl.	1						
F.125	22	/	106	C.3	G.Com.Coq.B						1	
F.125	22	/	106	C.3	Amph.Gaul.						2	
F.5	24	/	443	C.3	TSGE		1					
F.5	24	/	443	C.3	Met.Tr.						1	
F.5	24	/	443	C.3	F.Sb.				1			
F.5	24	/	443	C.3	F.Sb.		1					
F.5	24	/	443	C.3	Com.Cl.						1	
F.5	24	/	443	C.3	G.Com.Coq.B						1	
F.5	24	/	443	C.3	Amph.Gaul.						4	
F.5	24	/	443	C.3	Amph.Reg.						2	
F.5	24	/	443	C.3	Dol.GN.2						3	
F.5	24	/	713	C.3	P.F.Arg.						3	
F.5	24	/	713	C.3	P.F.Eng.						1	
F.5	24	/	713	C.3	F.Kao.						1	
F.5	24	/	713	C.3	Com.Cl.						2	
F.5	24	/	713	C.3	Com.Sb.						1	
F.5	24	/	713	C.3	G.Com.Coq.B						4	
F.8	26	/	121	C.3	TS-	1	1				1	
F.8	26	/	121	C.3	Com.Sb.						3	
F.8	26	/	121	C.3	G.Com.Rug.B		1					
F.8	26	/	121	C.3	G.Com.Coq.A	1						
F.8	26	/	121	C.3	Amph.Bet.						1	
F.9	28	/	199	C.3	P.F.						1	
F.9	28	/	199	C.3	Com.Cl.						1	
F.9	28	/	199	C.3	Com.Sb.						1	
F.9	28	/	199	C.3	G.Com.Cl.						2	
F.125	29	/	111	C.3	TSSG	1					9	
F.125	29	/	111	C.3	T.N.2				1		5	
F.125	29	/	111	C.3	Eng.Bl.						2	
F.125	29	/	111	C.3	F.Cl.	1					7	
F.125	29	/	111	C.3	F.Sb.		1				4	
F.125	29	/	111	C.3	Com.Cl.	1					1	
F.125	29	/	111	C.3	Com.Sb.						2	
F.125	29	/	111	C.3	G.Com.Coq.B						1	
F.125	29	/	111	C.3	Amph.It.						1	
F.125	29	/	111	C.3	Amph.Gaul.			2			1	
F.125	29	/	111	C.3	Dol.G.N.1	1					1	
F.125	29	/	704	C.3	TSSG				1		2	
F.125	29	/	704	C.3	P.F.Arg.						2	
F.125	29	/	704	C.3	P.F.Mic.			1				
F.125	29	/	704	C.3	Eng.Bl.						2	
F.125	29	/	704	C.3	F.Kao.						2	
F.125	29	/	704	C.3	F.Sb.	1					5	
F.125	29	/	704	C.3	Com.Cl.	1						
F.125	29	/	704	C.3	Com.Sb.						4	
F.125	29	/	704	C.3	Amph.Reg.	1			1		15	
F.125	29	/	704	C.3	Amph.Reg.	1						
F.13	30	/	796	C.3	P.F.Lx.						1	
F.13	30	/	796	C.3	Com.Cl.						2	
F.13	30	/	796	C.3	G.Com.Cl.						1	
F.8	32	/	147	C.3	TSSG	1						
F.8	32	/	147	C.3	Eng.Rg.						1	

Mutations urbaines à *Nasium* (Meuse) | Rapport intermédiaire 2023

	NR	NMI	Poids	Identification, Remarques, tracéologie	Datation
	1	0	22,9		
	8	1	74,5	1 pot de cuisson (740.1)	
	2	0	17,4		
	1	1	8,6		
	1	0	6		
	2	0	73,8		
	1	1	27,7	1 fond annulaire à décor moulé	IIIe siècle
	1	0	1		IIIe-IVe siècles
	1	0	14,9	1 décor de molette	
	1	1	14	1 fond annulaire	
	1	0	17,8		
	1	0	4,5		
	4	0	412,9		
	2	0	63,7		
	3	0	85,2		
	3	0	3,3		IIe siècle
	1	0	1,1	Pâte grise, eng. Gris	IIe-IIIe siècles
	1	0	3,7		
	2	0	8		
	1	0	4,9		
	4	0	15,4		
	3	1	15,8	1 assiette Drag.18b, 1 fond annulaire ; céramique brûlée	60/150 ap.
	3	0	6,4		IIIe siècle
	1	0	8,3	1 fond plat de céramique rugueuse d'Urmitz	190/260 ap.
	1	1	6,3	1 pot à lèvres épaissies éversées	IIIe siècle
	1	0	14,5		IIIe siècle
	1	0	0,4	Pâte orange, dég. Mic. Savonneuse	Ier-IIe siècles
	1	0	1,4		
	1	0	1,1		
	2	0	8,2		
	10	1	22	1 assiette Drag.18 ? (111.1)	60/150 ap.
	6	0	14,5	Pâte zonée à cœur orange ; décor de molette	IIe-IIIe siècles
	2	0	18,3		
	8	1	55,6	1 bouteille à lèvres éversées (111.2)	
	5	1	43,7	1 fond annulaire	
	2	1	8,4	1 pot de cuisson (111.3)	
	2	0	18		
	1	0	6,8		
	1	0	99,5		
	3	0	367,2	Brûlés	
	2	1	397,8	1 dolium à lèvres horizontales avec décor d'impressions digités (111.4)	LTD2/ Augustéen
	3	0	14,4	1 décor moulé avec perforation et accroche en plomb	Ier-IIe siècles
	2	0	2,3		IIe siècle
	1	0	0,8	1 décor de molette	IIe siècle
	2	0	2		
	2	0	21,3		
	6	1	46,9		
	1	1	10,4	1 pot	
	4	0	60,2		
	17	0	306,5	1 amphorette (704.1)	
	1	1	29,1	1 amphorette (704.2)	
	1	0	2,3		70/120 ap.
	2	0	10,9		
	1	0	2,2		
	1	1	5,5	1 assiette Drag.18a (147.1) ; Brûlé	15/60 ap.
	1	0	6,1		

Mutations urbaines à Nasium (Meuse) | Rapport intermédiaire 2023

Fait	US	Sondage	Inv.	Contenant	Catégorie	B	F	A	D	M	P
F.8	32	/	147	C.3	F.Kao.						1
F.8	32	/	147	C.3	Com.Cl.						1
F.8	32	/	147	C.3	Amph.Gaul.						2
F.8	33	/	173	C.3	TSGC						1
F.8	33	/	173	C.3	TSGE	2					
F.8	33	/	173	C.3	Com.Cl.						4
F.130	34	/	153	C.4	TSSG	9	2		1		5
F.130	34	/	153	C.4	TSGC	4	2				4
F.130	34	/	153	C.4	TSGE	8	3		4		11
F.130	34	/	153	C.4	TS-	6					10
F.130	34	/	153	C.4	Met.Tr.	1					
F.130	34	/	153	C.4	P.F.Lx.						1
F.130	34	/	153	C.4	P.F.Arg.	5	5				20
F.130	34	/	153	C.4	P.F.Tr.	3	1		1		5
F.130	34	/	153	C.4	P.F.Eng.Rg.		1				2
F.130	34	/	153	C.4	T.N.Kao.						1
F.130	34	/	153	C.4	T.R.				2		
F.130	34	/	153	C.4	T.R.	1			6		5
F.130	34	/	153	C.4	Eng.Bl.		1				5
F.130	34	/	153	C.4	F.Kao.	1		2			17
F.130	34	/	153	C.4	F.Cl.	3	4	3			52
F.130	34	/	153	C.4	F.Sb.	10	1				39
F.130	34	/	153	C.4	Com.Cl.Mor.	3	1				1
F.130	34	/	153	C.4	Com.Cl.	8	6				64
F.130	34	/	153	C.4	Com.Sb.	4	2				39
F.130	34	/	153	C.4	Com-	3	1				12
F.130	34	/	153	C.4	G.Com.Mic.A	3					1
F.130	34	/	153	C.4	G.Com.Coq.A	6	3				20
F.130	34	/	153	C.4	G.Com.Coq.B	9	1				20
F.130	34	/	153	C.5	Amph.	1	1	1			116
F.130	34	/	153	C.5	Dol.G.N.1						1
F.130	34	/	153	C.5	Dol.Gn.2						5
F.11	37	/	301	C.6	TSSG	1	1				9
F.11	37	/	301	C.6	T.N.Kao.		1				9
F.11	37	/	301	C.6	F.Kao.						2
F.11	37	/	301	C.6	F.Sb.		1				4
F.11	37	/	301	C.6	Com.Cl.						4
F.11	37	/	301	C.6	G.Com.Coq.B	5					5
F.5	39	/	1343	C.6	TSGE	1					
F.130	41	/	187	C.6	TSGC	7	5		8		10
F.130	41	/	187	C.6	TSGE	4	1				10
F.130	41	/	187	C.6	TS-	2	2				
F.130	41	/	187	C.6	Met.Arg.				1		1
F.130	41	/	187	C.6	P.F.Arg.	12	3				32
F.130	41	/	187	C.6	P.F.Tr.	1					1
F.130	41	/	187	C.6	P.F.Co.		1		3		1
F.130	41	/	187	C.6	F.Cl.Kao.	4	4	4			74
F.130	41	/	187	C.6	Eng.Bl.			1			2
F.130	41	/	187	C.6	F.Cl.	1		1			25
F.130	41	/	187	C.6	F.Cl.Enf.						4
F.130	41	/	187	C.6	F.Sb.	7	1				44
F.130	41	/	187	C.6	R.Pomp.						1
F.130	41	/	187	C.6	Com.Cl.Mic.						1
F.130	41	/	187	C.6	Com.Cl.Mor.	1					

Mutations urbaines à Nasium (Meuse) | Rapport intermédiaire 2023

NR	NMI	Poids	Identification, Remarques, tracéologie	Datation
1	0	4,1		
1	0	3,3	Brûlé	
2	0	7,5		
1	0	1,9		IIe-IIIe siècles
2	1	9,1	1 coupelle Drag.36 ; engobe brun-violet (173.1) : probable sigillée BE de Trèves	IIIe-IVe siècles
4	0	14		IIIe siècle
17	5	180	3 assiettes Drag.18b (153.14) , 1 coupe Drag.28	60/150 ap.
10	2	139,3	1 mortier Bet.96/97 (panse cannelée-153.1), 1 assiette Bet.43p (153.2), 2 coupes Drag.33 avec une coloration différentielle (brûlée - 153.15)	150/200 ap.
26	6	222,2	1 assiette Bet.43p, 1 coupelle ou gobelet Dech.72 ? (153.3), 1 indé.	150/200 ap.
16	2	133,5	Complètement brûlé, probablement TSGC ; 1 coupe Drag.33, 1 coupelle Drag.35 (153.16)	
1	1	1,1	1 gobelet Nied (31)	IIIe siècle
1	0	2,2		
30	3	175,8	3 gobelet Hees.2 (153.4 et 153.17), 2 fonds débordants	IIe siècle
10	1	31,2	1 gobelet Hees.2 (153.5), 1 décor guilloché	IIe siècle
3	1	6,2	1 fond débordant de gobelet ; pâte orange, engobe rouge	IIIe siècle
1	0	17,3		
2	0	15,6	1 décor ondé	
12	1	50,7	1 gobeket à décor guilloché, complètement brûlée (153.18)	
6	1	62,9	1 fond annulaire	IIIe siècle
20	1	479,4	1 cruche (153.6), 2 anses bifides ; mobilier majoritairement brûlé	IIIe siècle
62	2	278,8	1 fond plat, 2 anses bifides, 1 cruche (153.19), 1 gobelet	IIIe siècle
50	3	382,3	2 pots à lèvres éfilées éversées (156.7), 1 gobelet Hees.2 à décor guilloché, (156.8) 1 fond plat débordant,	IIe siècle
5	1	428	1 mortier imit.Curle21 (156.9), 2 mortiers à lèvres tombante (CL-REC 21)	IIIe siècle
78	5	907,5	1 mortier imit.Curle21, 1 pot à lèvres en méplat, 1 pot biseauté, (156.10), 1 élément de colerette, 1 pot à lèvres épaisses sans col, 1 amphorette, 2 fonds plats	IIIe siècle
45	1	346,4	1 jatte à bord rentrant, 3 marmites à colerette, 2 fonds annulaires	IIIe siècle
16	2	111,2	1 pot raté de cuisson (153.23), 1 bouchon (153.24)	
4	1	48,4	1 pot sans col (153.11)	IIIe siècle
29	3	421,8	2 pots (156.12), 1 couvercle (153.21), 2 fonds plats (153.20)	IIIe siècle
30	4	372,7	3 pots (156.13), 1 jatte, 1 fond plat, 1 plat à lèvres horizontale	IIIe siècle
119	0	9684,6	1 départ d'anse ; grande majorité des tessons cramés, 1 anse, 1 Dr.20	IIIe siècle
1	0	27,3		
5	0	88,5	Avatar Goebloge-Nospelt, pâte orange zonée, engobe blanc de la surface ext.	IIIe siècle
11	1	29,2	1 assiette Drag.18a	15/60 ap.
10	1	129,8	1 fond annulaire	
2	0	6,1		
5	1	16,3	1 fond annulaire	
4	0	8		
10	1	68	5 pots	
1	1	35,5	1 assiette brûlée (1343.1)	
30	5	247,5	1 coupelle Drag.36, 1 assiette Drag.35, 1 indé., 1 Drag.18 (187.11), 1 Ritt.8	100/250 ap.
15	4	95,6	1 assiette Bet.267, une assiette Drag.18 (187.3), 1 assiette Drag.35, 1 indé., 1 fond annulaire	IIIe siècle
4	2	37,6	1 assiette Drag.18, 1 coupe Drag.37, 2 fonds annulaires dont 1 avec décor guilloché ; céramique brûlée	IIIe siècle
2	0	1,6	1 décor de guillochis	IIIe siècle
47	11	135,9	11 gobelet Hees.2 (187.1-2), 2 fonds plats débordants	IIe siècle
2	1	3,3	1 goblet Hees.2 ; pâte quasi métallescente	IIe-IIIe siècles
5	1	23,9	1 fond de gobelet débordant, 1 décor animalier à la barbotine	IIe siècle
86	2	652	2 cruches dont à deux anses (amphorette - 187.4)	IIIe siècle
3	0	16,5	1 anse bifide	IIIe siècle
27	1	61,4	1 cruche à lèvres en bourrelet ; 1 anse trifide	IIIe siècle
4	0	11,2		IIIe siècle
52	5	348,8	2 coupes Ritt.12 (187.9), 1 gobelet type Hees.2 (187.10), 1 gobelet à lèvres épaisses, 1 pot à lèvres éfilées, 1 fond plat débordant de forme fermée	IIe siècle
1	0	7,1		Augustéen
1	0	1,8	Surfaces engobées au mica	IIIe siècle
1	1	69,3	1 mortier à lèvres tombante	IIIe siècle

Mutations urbaines à *Nasium* (Meuse) | Rapport intermédiaire 2023

Fait	US	Sondage	Inv.	Contenant	Catégorie	B	F	A	D	M	P
F.130	41	/	187	C.6	Com.Cl.	7	8				80
F.130	41	/	187	C.6	Com.Sb.	1	1				2
F.130	41	/	187	C.6	Com.Cl.Sa.	1					8
F.130	41	/	187	C.6	G.Com.Rug.A			2			
F.130	41	/	187	C.6	G.Com.Rug.B						2
F.130	41	/	187	C.6	G.Com.Mic.A						1
F.130	41	/	187	C.6	G.Com.Sa.A		1				15
F.130	41	/	187	C.6	G.Com.Coq.A	1					1
F.130	41	/	187	C.6	G.Com.Coq.B	16	6				79
F.130	41	/	187	C.6	Amph.Bet.	6	1	5			27
F.130	41	/	187	C.6	Amph.Reg.	1		1			8
F.130	41	/	187	C.6	Dol.Coq.		1				
F.130	41	/	187	C.7	TSSG	6	3		12	1	9
F.130	41	/	187	C.7	TSGC	1			1		1
F.130	41	/	187	C.7	TSGE	8			4		8
F.130	41	/	187	C.7	Met.Tr.						1
F.130	41	/	187	C.7	Met.Arg.						1
F.130	41	/	187	C.7	P.F.Tr.	2	5				21
F.130	41	/	187	C.7	P.F.Arg.	5					41
F.130	41	/	187	C.7	P.F.Eng.						2
F.130	41	/	187	C.7	T.N.Kao.						1
F.130	41	/	187	C.7	T.N.				2		
F.130	41	/	187	C.7	T.R.Enf.				2		
F.130	41	/	187	C.7	T.R.Eng.						3
F.130	41	/	187	C.7	T.R.				1		
F.130	41	/	187	C.7	Eng.Bl.						8
F.130	41	/	187	C.7	F.Kao.	8	2				42
F.130	41	/	187	C.7	F.Cl.	7					29
F.130	41	/	187	C.7	F.Sb.	4	2				15
F.130	41	/	187	C.7	Com.Cl.Mor.						7
F.130	41	/	187	C.7	Com.Cl.	7	2				87
F.130	41	/	187	C.7	Com.Sb.	3	2				34
F.130	41	/	187	C.7	G.Com.Cl.	6					10
F.130	41	/	187	C.7	G.Com.Coq.A		2				11
F.130	41	/	187	C.7	G.Com.Coq.B	10	5				38
F.130	41	/	187	C.7	Amph.Gaul.	4		2			37
F.130	41	/	187	C.7	Dol.G.N.2	1					4
/	42	/	188	C.7	TSSG				1		
/	42	/	188	C.7	Met.Arg.				1		
/	42	/	188	C.7	Eng.Mic.						1
/	42	/	188	C.7	F.Kao.						1
/	42	/	188	C.7	F.Cl.		1				9
/	42	/	188	C.7	Com.Cl.						5
/	42	/	188	C.7	Com.Sb.						1
/	42	/	188	C.7	G.Com.Coq.B						1
/	42	/	188	C.7	Amph.Gaul.						1
/	42	/	188	C.7	Dol.GN.2						1
F.125	46	/	454	C.7	TSSG	1	1				
F.125	46	/	454	C.7	F.Sb.						1
F.125	46	/	454	C.7	Com.Cl.Mic.		1				
F.125	46	/	454	C.7	Amph.						1
F.125	46	/	718	C.7	P.F.Arg.						1
F.125	46	/	718	C.7	F.Kao.		1				
F.125	46	/	718	C.7	Com.Cl.						2
F.125	46	/	718	C.7	Com.Sb.	1	1				

Mutations urbaines à Nasium (Meuse) | Rapport intermédiaire 2023

NR	NMI	Poids	Identification, Remarques, tracéologie	Datation
95	7	580,2	2 marmites, 2 pots à lèvre en bourrelet, 2 pots à lèvre en bandeau (187.12), 3 fonds plats, 1 fond plat débordant	IIIe siècle
4	1	59	1 opercule (187.5), 1 fond annulaire	IIIe siècle
9	1	34,5	1 pot à cuire à lèvre épaisse éversée ; traces de coup de feu	IIIe siècle
2	0	50,2	1 anse de pichet ; production de l'Eifel	IIIe-IVe siècles
2	0	22	Production d'Urmitz	IIIe siècle
1	0	6,3	Avatar Besançon	Ier-IIe siècles
16	1	148,2	1 fond plat	IIIe siècle
2	1	9,7	1 pot à lèvre en bourrelet	IIIe siècle
101	10	774,7	1 jatte à bord rentrant avec caramel de cuisson conservé (187.6), 4 marmites (187.7), 1 couvercle (187.8), 5 pots à lèvre en bourrelet éversée (187.9), 3 fonds plats débordants	IIIe siècle
39	4	2840,2	4 amphores Dr.20	IIIe siècle
10	1	287,2	Pâte orange zonée savonneuse, 1 petite amphore	IIIe siècle
1	1	150,8	1 fond plat	IIIe siècle
31	4	245,4	Recollage avec F.34, assiette 153.14 (associé dans le sac), 2 assiettes Drag.18, 1 assiette Drag.17b (687.1 - 25/60 ap.), 1 coupelle Drag.35, 1 fond estampillé (687.2), 1 estampille (687.3), mobilier partiellement brûlé	60/160 ap.
3	1	18,9	1 Drag.37, 1 décor moulé	IIe siècle
20	5	155	2 assiettes Drag.18, 2 coupes Drag.37 (687.4), 1 Drag.43, 2 décors moulés dont un cerf (687.5), 2 décors guillochés	IIIe siècle
1	0	1,5		IIIe siècle
1	0	2,5		IIIe siècle
28	2	141,5	2 gobelets Hees 2 (687.6)	IIe siècle
46	3	125,7	3 gobelets Hees.2	IIe siècle
2	0	8,8	Eng. Rouge	
1	0	7,6		Ier-IIe siècles
2	0	38,6	Décor de molette	IIIe-IVe siècles
2	0	4,4	Décor de guillochis	
3	0	10,2	Engobe rouge externe	
1	0	6,3	Pâte jaune savonneuse, décor de molette	
8	0	85		
52	4	401	3 cruches à lèvre en bourrelet (687.7), 1 cruche à lèvre en poulie	
36	4	116,2	2 cruches à lèvre en bandeau mouluré, 1 cruche à lèvre en bourrelet, 1 gobelet à lèvre éversée	
21	3	147	3 bouteilles ou gobelet à lèvre pincée éversée sur col tronconique	
7	0	225,2		
96	5	869,4	1 jatte à bord rentrant (687.8), 2 pots, 2 couvercles (687.9)	
39	3	424,8	1 marmite à colerette, 1 pot à lèvre en bourrelet, 1 pot à lèvre en poulie (C.B. ? - 687.10)	
16	2	215,8		
13	0	109,5	1 fond plat débordant, 1 fond plat	
53	10	491,9	2 jattes (687.11), 6 pots (687.12), 2 couvercles (687.13)	
43	1	4211,4	1 amphore Dr.20 (687.13), 1 anse estampillée (687.14) ; nombreux tessons brûlés	Ier-IIe siècles
5	1	284,9		
1	0	5,6	1 décor moulé de médaillon de lion	IIe siècle
1	0	8,2		IIIe siècle
1	0	12,4		IIe siècle
1	0	4,2		
10	1	194,2	1 fond de cruche	
5	0	53		
1	0	12,2		
1	0	17,5		
1	0	80,4		Ier-IIe siècles
1	0	24,5		Ier siècle
2	1	6,2	1 assiette Drag.18b, 1 anneau de fond	60/150 ap.
1	0	20,2		
1	1	46,9	1 fond plat débordant	
1	0	15,1		
1	0	2		IIe siècle
1	1	36	1 fond annulaire	
2	0	8,3		
2	1	19,3	1 pot, 1 fond annulaire	

Mutations urbaines à Nasium (Meuse) | Rapport intermédiaire 2023

Fait	US	Sondage	Inv.	Contenant	Catégorie	B	F	A	D	M	P
F.125	46	/	718	C.7	G.Com.Coq.B						19
F.132	47	/	325	C.8	TSSG	3			1		4
F.132	47	/	325	C.8	TSGC	2					8
F.132	47	/	325	C.8	TSGE	3					5
F.132	47	/	325	C.8	Plomb.						1
F.132	47	/	325	C.8	P.F.Lx.						1
F.132	47	/	325	C.8	P.F.Arg.	3	2				12
F.132	47	/	325	C.8	P.F.Tr.						1
F.132	47	/	325	C.8	P.F.Eng.Rg.	1					5
F.132	47	/	325	C.8	Eng.Br.	1					
F.132	47	/	325	C.8	Eng.Rg.	1					
F.132	47	/	325	C.8	F.Kao.		2				21
F.132	47	/	325	C.8	F.Cl.	1					12
F.132	47	/	325	C.8	F.Sb.	1	2		2		20
F.132	47	/	325	C.8	Com.Cl.Mic.	1					
F.132	47	/	325	C.8	Com.Cl.	1	1				25
F.132	47	/	325	C.8	Com.Cl.	2					
F.132	47	/	325	C.8	Mod.Cl.Enf.						5
F.132	47	/	325	C.8	Com.Sb.	2	3				25
F.132	47	/	325	C.8	G.Com.Coq.B	3	2				25
F.132	47	/	325	C.8	Amph.Gaul.						14
F.132	47	/	325	C.8	Dol.G.N.2						3
F.132	47	/	808	C.8	TSSG	1					
F.132	47	/	808	C.8	TSSG	7			3		5
F.132	47	/	808	C.8	TSGE	6	1		2		4
F.132	47	/	808	C.8	TS-	3	2				9
F.132	47	/	808	C.8	P.F.Tr.	2					2
F.132	47	/	808	C.8	P.F.Arg.	3	2				5
F.132	47	/	808	C.8	P.F.Eng.						5
F.132	47	/	808	C.8	P.F.B				1		
F.132	47	/	808	C.8	T.R.Enf.	1			1		1
F.132	47	/	808	C.8	T.R.Eng.	1					1
F.132	47	/	808	C.8	T.N.Arg.				1		
F.132	47	/	808	C.8	T.N.Enf.	1					7
F.132	47	/	808	C.8	Eng.Bl.		1				
F.132	47	/	808	C.8	F.Cl.	2	1				16
F.132	47	/	808	C.8	F.Kao.	4	2	4			15
F.132	47	/	808	C.8	F.Sb.	3	4				11
F.132	47	/	808	C.8	Com.Cl.	2	3	1			30
F.132	47	/	808	C.8	Com.Sb.		1				1
F.132	47	/	808	C.8	Com.Sb.	3	2				32
F.132	47	/	808	C.8	G.Com.Cl.	2					5
F.132	47	/	808	C.8	G.Com.Coq.A						5
F.132	47	/	808	C.8	G.Com.Coq.B	4					12
F.132	47	/	808	C.8	Amph.						25
F.31	48	/	290	C.9	TSSG	5			1		5
F.31	48	/	290	C.9	TSGE	1					4
F.31	48	/	290	C.9	P.F.Arg.	2	1				23
F.31	48	/	290	C.9	Eng.Rg.	2					
F.31	48	/	290	C.9	F.Cl.	1					11
F.31	48	/	290	C.9	F.Kao.						3
F.31	48	/	290	C.9	F.Sb.	1			1		5
F.31	48	/	290	C.9	G.Rug.Eif.		1				1
F.31	48	/	290	C.9	Com.Cl.		2				5
F.31	48	/	290	C.9	Com.Sb.		1				17
F.31	48	/	290	C.9	G.Com.Cl.		1				1

Mutations urbaines à Nasium (Meuse) | Rapport intermédiaire 2023

	NR	NMI	Poids	Identification, Remarques, tracéologie	Datation
	19	0	142,5		
	8	1	17,7	1 assiette Drag.18b (60-150)	60/150 ap.
	10	2	42,6	1 mortier Drag.45 et 1 assiette Bet.45a	150/200
	8	3	53,3	1 coupe Drag.36, 1 coupe Drag.37, 1 assiette Drag.18/31 (325.1)	150/250
	1	0	0,3		20/70 ap.
	1	0	0,6		70/120 ap.
	17	3	79,9	2 gobelets de type Hees.2, 1 gobelet type Hees.4 (325.2)	IIe siècle
	1	0	2,6		IIe siècle
	6	1	15,8		
	1	1	9,9	1 pot d'aspect terra rubra (325.3) ; engobe de la surf. Ext.	
	1	1	9,8	1 pot à lèvres en bourrelet très abîmé	
	18	2	458,1	1 fond de cruche complètement brûlé, 1 fond nnulaire de cruche avec traces de poix de la surface interne	
	13	1	64,6	1 cruche à lèvres en bandeau mouluré (325.4)	
	25	2	129,9	2 fonds annulaires, 2 décors de molette (TN d'Argonne), 1 gobelet	IIIe siècle
	1	1	12,5	1 pot à lèvres rentrante moulurée sans col (325.5)	
	27	1	174,7	1 pot à lèvres en bourrelet 1 fond plat	
	2	0	97,3	Recolle avec 153.22	
	5	0	25,8	Pâte orange, semble modelée. Probables reliquats période gauloise ou augustéenne	
	22	2	262,9	1 pot à lèvres bourrelet éversé, 1 pot à lèvres en poulie apparenté à la forme Chossenot 730 (325.6), 2 fonds annulaires	IIIe siècle
	30	3	419,5	2 pots à lèvres en bourrelet éversé (325.7), 1 pot à lèvres légèrement épaissie éversée, 2 fonds plats	
	14	0	1377,6		
	3	0	50,4	Avatar Goebloge-Nospelt, pâte orange zonée, engobe blanc de la surface ext.	
	1	0	29,3	Recolle avec 153.14	60/150 ap.
	15	6	76,2	1 coupelle Drag.27 (808.1), 1 coupe Ritt.12, 2 assiettes Drag.18, 1 coupelle Drag.35, 1 Drag.37	50/150 ap.
	13	4	232,1	2 Drag.37, 1 Drag.45 (808.2)	IIIe-IVe siècles
	14	0	181,8	Recollage avec US.34	
	4	1	17,9	1 gobelet type Hees.2	IIe siècle
	10	0	95,9	1 fond (808.3)	IIe siècle
	5	0	24,7	Pâte orange, engobe rouge brique ; panse d'un gobelet à dépression	IIe siècle
	1	0	3,3	1 décor guilloché	
	3	1	23,2	1 gobelet (808.4), 1 décor guilloché	IIe siècle
	2	1	12,8	1 gobelet	
	1	0	17,2	1 décor de molette	IIIe-IVe siècles
	8	1	91,9	1 imit. Ritt.12	
	1	1	26,2	1 fond annulaire	
	19	1	118,1	1 cruche à bandeau mouluré	
	25	2	464,1	1 pot à lèvres en poulie, 1 cruche à bandeau mouluré (808.5)	
	18	0	143,6	Recollage avec US.34	
	36	2	534,3	1 jatte à bord rentrant, 1 couvercle	
	2	0	221,3	Recolle avec 153.22	
	37	2	473,6	2 marmites Ritt.12	
	7	1	102,6	1 pot à lèvres horizontale, recollage avec US.34	
	5	0	122,3		
	16	4	171,4	1 plat à lèvres horizontale, 2 pots à lèvres éversée, 1 couvercle	
	25	0	1585,7	Nombreux tessons brûlés	
	11	2	31,9	1 assiette Drag.36 (60/160), 1 coupe Drag.46 (60/150 - 290.1), 1 assiette Drag.18b (60/150), plusieurs tessons brûlés	60/150 ap.
	5	1	28,8	1 coupe Drag.37 (290.2)	IIe-IIIe siècles
	26	2	112,7	2 gobelets Hees.2 (290.3)	IIe siècle
	2	1	7,5	1 gobelet, pâte beige sableuse (calcaire + quartz), engobe rouge	
	12	1	41,1	Indé.	
	3	0	10		
	7	1	21,9	1 gobelet (290.4), 1 décor de molette	
	2	1	17,7	1 fond plat	IIIe-IVe siècles
	7	2	44,1	1 fond plat avec traces de coup de feu, 1 fond plat débordant	
	18	1	295,8	1 fond plat débordant	
	2	1	23,7	1 fond plat débordant	

Mutations urbaines à Nasium (Meuse) | Rapport intermédiaire 2023

Fait	US	Sondage	Inv.	Contenant	Catégorie	B	F	A	D	M	P	
F.31	48	/	290	C.9	G.Com.Coq.A						1	
F.31	48	/	290	C.9	G.Com.Coq.B	2	1				4	
F.31	48	/	290	C.9	Amph.Gaul.						3	
F.31	48	/	697	C.9	TSSG		1		1			
F.31	48	/	697	C.9	TSGE	2					1	
F.31	48	/	697	C.9	P.F.Arg.	2	2				7	
F.31	48	/	697	C.9	P.F.Eng.		4				6	
F.31	48	/	697	C.9	Eng.Rg.						1	
F.31	48	/	697	C.9	F.Kao.						1	
F.31	48	/	697	C.9	Com.Cl.						8	
F.31	48	/	697	C.9	Com.Sb.						3	
F.118	49	/	369	C.9	TSSG				1		1	
F.118	49	/	369	C.9	TSGC						2	
F.118	49	/	369	C.9	TSGE	5			2		6	
F.118	49	/	369	C.9	P.F.Co.						3	
F.118	49	/	369	C.9	P.F.Arg.	1	3				17	
F.118	49	/	369	C.9	P.F.Tr.	1	1				3	
F.118	49	/	369	C.9	P.F.Eng.	1						
F.118	49	/	369	C.9	F.Kao.	2					9	
F.118	49	/	369	C.9	F.Cl.	1		1			7	
F.118	49	/	369	C.9	Com.Cl.Mor.						1	
F.118	49	/	369	C.9	Com.C.B.	1						
F.118	49	/	369	C.9	Com.Cl.	4		1			15	
F.118	49	/	369	C.9	Com.Sb.	2					9	
F.118	49	/	369	C.9	G.Com.Rug.A	1					3	
F.118	49	/	369	C.9	G.Com.Coq.B	4	1				9	
F.118	49	/	369	C.9	Amph.Gaul.			1			15	
F.118	49	/	369	C.9	Amph.Bet.						2	
F.118	49	/	369	C.9	Dol.GN.1						2	
F.118	49	/	369	C.9	Dol.GN.2						1	
F.27	50	/	230	C.9	Com.Cl.						3	
F.27	51	/	267	C.9	TSSG	3			1		2	
F.27	51	/	267	C.9	T.R.Enf.				1			
F.27	51	/	267	C.9	F.Kao.	1						
F.27	51	/	267	C.9	F.Sb.						7	
F.27	51	/	267	C.9	Com.Cl.						3	
F.27	51	/	267	C.9	Com.Sb.	1					9	
F.27	51	/	267	C.9	Amph.It.		1				4	
F.28	53	/	252	C.9	TSSG	1	1		1		1	
F.28	53	/	252	C.9	TSSG				1		1	
F.28	53	/	252	C.9	T.R.Eng.						3	
F.28	53	/	252	C.9	F.Sb.	4	1				8	
F.28	53	/	252	C.9	F.Kao.						8	
F.28	53	/	252	C.9	Bes.	1						
F.28	53	/	252	C.9	Com.Cl.		1	2			52	
F.28	53	/	252	C.9	Com.Kao.						2	
F.28	53	/	252	C.9	Com.Sb.		1				6	
F.28	53	/	252	C.9	G.Com.Coq.B						1	
F.28	53	/	252	C.9	Amph.Gaul.						1	
/	56	/	304	C.9	TSSG	3			1		1	
/	56	/	304	C.9	TS-						1	
/	56	/	304	C.9	Eng.Org.	1					1	
/	56	/	304	C.9	Eng-	1						
/	56	/	304	C.9	Eng.Mic.	1						
/	56	/	304	C.9	F.Kao.						2	
/	56	/	304	C.9	F.Cl.						4	

Mutations urbaines à Nasium (Meuse) | Rapport intermédiaire 2023

	NR	NMI	Poids	Identification, Remarques, tracéologie	Datation
	1	0	11		
	7	2	95,3	1 pot (290.5), 1 pot lèvres angulaire	
	3	0	117,7	Brûlés	Ier-IIe siècles
	2	1	20,7	1 fond annulaire	Ier-IIe siècles
	3	2	35,1	1 mortier Bet.96/97 (697.1), 1 Drag.37 avec graffiti (697.2)	IIe siècle
	11	2	52,3	2 gobelets type Hees.2 (697.3)	IIe siècle
	10	1	152	Pâte grise, surface enfumée ; 1 fond de gobelet à dépression très usé (697.4)	
	1	0	0,9		
	1	0	2,9		
	8	0	31,4		
	3	0	47,8		
	2	0	6,3	1 Coupe Drag.29c	80/120 ap.
	2	0	14,4	Brûlé	IIe siècle
	13	4	137,1	1 assiette à bord rentrant (369.1), 3 coupes Drag.37 (369.2)	IIIe-IVe siècles
	3	0	7,7		80/200 ap.
	21	2	101,4	1 gobelet Hees.2 (369.3), 2 fond plat débordant	IIe siècle
	5	1	41,4	1 gobelet type Hees.2	IIe siècle
	1	1	5,5	Pâte orange engobée rouge, 1 gobelet type Hees.2 (369.4)	IIe siècle
	11	1	149,8	1 cruche (369.5)	IIe siècle
	9	1	40,9	1 bord en bourrelet, 1 anse bifide	
	1	0	18,9		
	1	1	5,9	1 pot Reims P5	IIe siècle
	20	4	159,6	1 jatte à bord rentrant avec coup de feu externe (369.6), 3 pots à lèvres en bourrelet	IIe siècle
	11	2	216,8	1 plat (369.7), 1 pot à lèvres biseauté (369.8)	IIe siècle
	4	1	56,3	Production l'Eifel, 1 plat (369.9)	IIIe-IVe siècles
	14	4	146,4	1 pot à lèvres en bourrelet, 2 pots à lèvres en méplat, 1 couvercle (369.10)	IIe siècle
	16	0	980,3	1 anse Dr.20 ?	IIe siècle
	2	0	32,8		
	2	0	88,1	Traces de poix externe	IIe siècle
	1	0	5		
	3	0	7,2		
	6	2	17,8	2 assiette Drag.18b (267.1)	60/150 ap.
	1	0	1,7	1 décor guilloché	Ier siècle
	1	1	30	1 cruche	
	7	0	44,2		
	3	0	8,2		
	10	1	30	1 pot	
	5	0	632,5	1 fond d'amphore Dr.1(267.2)	LTD2
	4	1	51,7	1 coupe Drag.29c, 1 fond de coupelle Drag.22b	40/100 ap.
	2	0	8,4	Pâte sud mais engobe marron ; brûlé	IIe siècle
	3	0	14,5	Engobe rouge externe	IIe siècle
	13	2	139,4	1 bol imit. Ritt.12 (252.1), 1 goblet à lèvres pincée éversée (252.2)	IIIe siècle
	8	0	86,3		
	1	1	15,2	1 pot type 2 (252.3)	LTD2/ Augustéen
	55	1	1007,4	1 fond annulaire	
	2	0	38,1		
	7	1	73,1	1 fond annulaire	IIe siècle
	1	0	6		
	1	0	77,9		Ier-IIe siècles
	5	2	16,9	1 coupelle Drag.27, 1 coupelle Drag.17b (304.3), brûlés	25/60 ap.
	1	0	2		
	2	1	12,5	1 gobelet ou bouteille (304.4)	
	1	1	11,3	1 pot type TR brûlé (304.1)	
	1	1	15,5	1 plat avec engobe micacé interne (304.2)	IIe-IIIe siècles
	2	0	7,7		
	4	0	11	Brûlé	

Mutations urbaines à Nasium (Meuse) | Rapport intermédiaire 2023

Fait	US	Sondage	Inv.	Contenant	Catégorie	B	F	A	D	M	P
/	56	/	304	C.9	F.Sb.				1		3
/	56	/	304	C.9	Com.Cl.	2					11
/	56	/	304	C.9	Com.Sb.						4
/	56	/	304	C.9	Com-		2				
/	56	/	304	C.9	G.Com.Cl.	1					4
/	56	/	304	C.9	G.Com.Coq.A	1					
/	56	/	304	C.9	Amph.Gaul.						9
/	56	/	304	C.9	Dol.G.N.2						2
F.130	64	/	241	C.9	TSSG	1					
F.130	64	/	241	C.9	TS-	1					
F.130	64	/	241	C.9	P.F.Lx.						1
F.130	64	/	241	C.9	F.Kao.						1
F.130	64	/	241	C.9	Com.Cl.	3					9
F.130	64	/	241	C.9	Com.Sb.	2					8
F.130	64	/	241	C.9	G.Com.Coq.B	1	1				4
F.124	65	/	259	C.9	TSSG	1	1		6		2
F.124	65	/	259	C.9	T.R.Eng.						2
F.124	65	/	259	C.9	T.N.Arg.				2		
F.124	65	/	259	C.9	F.Kao.			1			3
F.124	65	/	259	C.9	F.Cl.						2
F.124	65	/	259	C.9	F.Cl.						1
F.124	65	/	259	C.9	F.Sb.						4
F.124	65	/	259	C.9	Bes.	1					
F.124	65	/	259	C.9	Com.Cl.						4
F.124	65	/	259	C.9	Com.Sb.						1
F.124	65	/	259	C.9	G.Com.Coq.A						1
F.124	65	/	259	C.9	G.Com.Coq.B		2				3
F.43	74	/	462	C.10	G.Com.Coq.B						1
F.43	75	/	318	C.10	Eng.Bl.			1			
/	77	/	295	C.10	TSSG	1	6		8		2
/	77	/	295	C.10	P.F.Tr.	1	1				3
/	77	/	295	C.10	T.N.Enf.				3		
/	77	/	295	C.10	F.Kao.	1			1		12
/	77	/	295	C.10	Com.Cl.						8
/	77	/	295	C.10	G.Com.Cl.						1
/	77	/	295	C.10	G.Com.Coq.B						1
/	77	/	295	C.10	Amph.						8
F.29	79	/	341	C.10	TSSG						1
F.29	79	/	341	C.10	F.Sb.						1
F.29	79	/	341	C.10	Com.Cl.						1
F.29	79	/	341	C.10	Amph.Gau.						1
F.25	81	/	274	C.10	TSSG				1		
F.25	81	/	274	C.10	F.Sb.						3
F.25	81	/	274	C.10	Com.Cl.						2
F.25	81	/	274	C.10	Com.Sb.						5
F.25	81	/	274	C.10	G.Com.Coq.B						1
F.104	82	/	285	C.10	TSSG	4					2
F.104	82	/	285	C.10	P.F.Tr.	1					1
F.104	82	/	285	C.10	T.R.Eng.						5
F.104	82	/	285	C.10	Eng.Mic.			1			17
F.104	82	/	285	C.10	F.Cl.						2
F.104	82	/	285	C.10	F.Kao.	1					4
F.104	82	/	285	C.10	F.Sb.	2	1				13
F.104	82	/	285	C.10	Bes.						1
F.104	82	/	285	C.10	Com.Cl.Mor.						1
F.104	82	/	285	C.10	Com.Cl.						8

Mutations urbaines à *Nasium* (Meuse) | Rapport intermédiaire 2023

	NR	NMI	Poids	Identification, Remarques, tracéologie	Datation
	4	0	57	1 décor d'épines	Ile siècle
	13	0	221,9	Brûlé, 1 marmite en colerette (304.5)	
	4	0	31,7		
	2	0	20,1	1 fond annulaire complètement brûlé ; raté de cuisson recollant avec US.34 ?	
	5	1	47,3	1 jatte (304.6)	
	1	1	32,9		
	9	0	1697,4		
	2	0	122,3		Ier-IIe siècles
	1	1	2	1 coupe Drag.33	60/120 ap.
	1	1	3,2	Brûlé, 1 assiette Drag.18b	60/150 ap.
	1	0	7,1		70/120 ap.
	1	0	12,7		
	12	1	88,6	Recollage avec US.34 (raté de cuisson ou forme cramée), 1 jatte à bord rentrant	
	10	2	109,6	1 pot à lèvre en bourrelet, 1 pot à lèvre moulurée imit. C.B. (241.1)	Ile-IIIe siècles
	6	1	111,9	1 plat à lèvre horizontale (241.2), 1 fond annulaire	
	10	1	38,3	1 coupe Drag.30a	10/40 ap.
	2	0	2,3		Ier siècle
	2	0	14,8	Pâte gris foncé, surface lustrée, décor de molette	Ier-IIe siècles
	4	0	66	1 anse bifide	
	2	0	23,8		
	1	0	8,4	Surface enfumée	
	4	0	56,4	Pâte zonée à cœur orange ; TN ?	
	1	1	4,5	Avatar Besançon, 1 pot type 2 (259.1)	
	4	0	25,6		
	1	0	4,7		
	1	0	8,5		
	5	1	65	1 fond plat débordant	
	1	0	11,7		
	1	0	46,8	1 anse	
	17	1	148,6	1 coupelle Drag.35 (295.1)	60/160 ap.
	5	1	10,9	1 gobelet Hees.2	Ile siècle
	3	0	11,8	1 décor de molette	
	14	1	157	1 cruche (295.2)	
	8	0	16,3		
	1	0	8,1		
	1	0	15,4		
	8	0	118,8		
	1	0	3		Ier-IIe siècles
	1	0	5,4		
	1	0	4,2		
	1	0	139,8		Ier-IIe siècles
	1	0	4,9	1 décor moulé	Ier-IIe siècles
	3	0	14,1		
	2	0	5,4		
	5	0	30,8		
	1	0	4,7		
	6	3	54,3	2 assiettes Drag.18b (285.1), 1 coupe Drag.29c (285.2)	80/150 ap.
	2	1	7,9	1 gobelet Hees.2	Ile siècle
	5	0	14,1	1 tesson avec poix interne	Ier-IIe siècles
	18	0	175,9	1 cruche à engobe micacée ; mica mal conservé	Ile siècle
	2	0	15,2		
	5	1	42	1 cruche (285.3), brûlée	
	16	1	272,9	1 bouteille à lèvre éversée pincée, 1 jatte recolle avec US100, (342.3), 1 fond annulaire	
	1	0	16,1		LTD2/ Augustéen
	1	0	6,8		
	8	0	40,5	Plusieurs tessons brûlés	

Mutations urbaines à Nasium (Meuse) | Rapport intermédiaire 2023

Fait	US	Sondage	Inv.	Contenant	Catégorie	B	F	A	D	M	P
F.104	82	/	285	C.10	Com.Sb.		2				5
F.104	82	/	285	C.10	G.Com.Coq.B	1					5
F.104	82	/	285	C.10	Amph.Gaul.						1
F.104	82	/	285	C.10	Dol.G.N.2						1
F.44	83	/	556	C.10	F.Cl.						4
/	84	/	401	C.10	TSSG	3	6		6	1	4
/	84	/	401	C.10	T.R.Eng.	1			1		9
/	84	/	401	C.10	Eng.Bl.						10
/	84	/	401	C.10	F.Kao.	1		1			11
/	84	/	401	C.10	F.Sb.	2	3		2		12
/	84	/	401	C.10	Com.Cl.						7
/	84	/	401	C.10	Com.Sb.	6	2				22
/	84	/	401	C.10	G.Com.Coq.B	1					
/	84	/	401	C.10	Amph.Gaul.						3
/	84	/	401	C.10	Dol.G.N.2						1
F.129	91	/	590	C.10	TSSG	1					2
F.129	91	/	590	C.10	P.F.Arg.				1		
F.129	91	/	590	C.10	T.N.Arg.				1		
F.129	91	/	590	C.10	T.R.Eng.						1
F.129	91	/	590	C.10	F.Cl.	1					6
F.129	91	/	590	C.10	F.Kao.						5
F.129	91	/	590	C.10	F.Sb.	1					2
F.129	91	/	590	C.10	Com.Cl.						7
F.129	91	/	590	C.10	Com.Kao.						4
F.129	91	/	590	C.10	Com.Sb.						3
F.129	91	/	590	C.10	G.Com.Coq.B						2
F.129	91	/	590	C.10	Amph.Gau.						2
F.129	91	/	590	C.10	Amph.It.						2
F.112	97	/	1181	C.10	F.Cl.						2
F.112	97	/	1181	C.10	G.Com.Coq.A						1
F.27	99	/	505	C.10	TSSG		3		11		6
F.27	99	/	505	C.10	T.N.Arg.				2		
F.27	99	/	505	C.10	F.Cl.	1					13
F.27	99	/	505	C.10	F.Kao.	1					1
F.27	99	/	505	C.10	F.Sb.		1				5
F.27	99	/	505	C.10	Com.Cl.Mor.	1					
F.27	99	/	505	C.10	Com.Cl.		1				27
F.27	99	/	505	C.10	Com.Sb.	1					7
F.27	99	/	505	C.10	G.Com.Coq.B	3					7
F.27	99	/	505	C.10	G.Com.Coq.B	1					
F.27	99	/	505	C.10	Amph.It.						4
F.27	99	/	505	C.10	Amph.						4
F.27	99	/	505	C.10	Dol.G.N.2						3
F.27	100	/	342	C.10	TSSG	6	4				13
F.27	100	/	342	C.10	P.F.Lx.						1
F.27	100	/	342	C.10	P.F.A						1
F.27	100	/	342	C.10	P.F.B	2					
F.27	100	/	342	C.10	T.N.Kao.	1		1			19
F.27	100	/	342	C.10	F.Cl.						3
F.27	100	/	342	C.10	F.Kao.		2	3			10
F.27	100	/	342	C.10	F.Sb.	2					13
F.27	100	/	342	C.10	Com.Cl.						9
F.27	100	/	342	C.10	Com.Sb.		1				15
F.27	100	/	342	C.10	G.Com.Cl.	1					2
F.27	100	/	342	C.10	G.Com.Coq.B	4					14
F.27	100	/	342	C.10	Dol.G.N.1						1

Mutations urbaines à *Nasium* (Meuse) | Rapport intermédiaire 2023

	NR	NMI	Poids	Identification, Remarques, tracéologie	Datation
	7	2	37,9	2 fonds annulaires	
	6	1	45	1 pot (285.4)	
	1	0	69,7		Ier-IIe siècles
	1	0	43,8		Ier-IIe siècles
	4	0	3,7		
	20	2	109,8	1 assiette Drag.17b (401.1), 1 assiette Drag.18b, 2 décors guillochés, 4 décors moulés, 1 estampille «...RONL...»	60/150 ap.
	11	1	30,7	1 gobelet à lèvres en bourrelet, 1 décor de point blanc	
	10	0	36		
	13	1	138,8	1 cruche (401.2)	
	19	2	83,4	2 bouteilles à lèvres pincées éversées (401.3), 3 fonds annulaires, 2 décors de molette	
	7	0	41,2		
	30	3	291,1	2 pots à lèvres éversées (401.4), 1 marmite à colerette	
	1	0	7	1 pot à lèvres en bourrelet	
	3	0	98,5		
	1	0	8,1		Ier-IIe siècles
	3	1	7,5	1 coupe Drag.27c (590.1)	80/120 ap.
	1	0	8,8	1 Décor d'écaillés guillochés	IIe siècle
	1	0	4,1	Décor de molette	IIIe siècle
	1	0	3,1		
	7	1	39,3	1 cruche (590.2)	
	5	0	82,3		
	3	1	25,3	Ipot	
	7	0	35,1		
	4	0	20,9		
	3	0	5,8		
	2	0	3,5		
	2	0	145,3		Ier-IIe siècles
	2	0	47,1		LTD2
	2	0	20		
	1	0	1,9		
	20	0	54,8	1 décor moulé, 1 fond annulaire	Ier siècle
	2	0	5,6	Pâte zonée à cœur rouge, décor de molette	IIIe-IVe siècles
	14	1	42,4	1 cruche (505.1)	
	2	1	10	1 cruche à lèvres triangulaire	
	6	0	17,7	1 fond annulaire	
	1	1	87,9	1 mortier CL-REC.21 (505.2)	50/200 ap.
	28	0	130,9	1 fond plat	
	8	1	33,3	1 pot à lèvres éversée	
	10	2	74,6	1 jatte à bord en bourrelet rentrant (505.3), 1 plat à lèvres horizontale,	
	1	1	11,6	1 pot (505.4) ; Recollage avec US.100	
	4	0	91,3		LTD2
	4	0	101,8		
	3	0	51		Ier-IIe siècles
	23	4	55,9	2 assiettes Drag.18b, 1 coupe Drag.30 (342.1), 1 assiette Drag.36	60/160 ap.
	1	0	1,5		70/120 ap.
	1	0	1,2		Ier-IIe siècles
	2	2	6,5	2 gobelets (342.2-3)	Ier-IIe siècles
	21	1	92,7	1 cruche à lèvres en bourrelet	Ier-IIe siècles
	3	0	11,8		
	15	0	291,5	3 anses bifides, 1 fond annulaire	
	15	1	94,5	1 écuelle (342), 1 bouteille recolle avec US84 (401.3)	
	9	0	39		
	16	0	82,4	1 fond annulaire	
	3	1	39,2	1 pot à lèvres en bourrelet	
	18	1	162,3	1 jatte à bord en bourrelet rentrant, 1 jatte recollage US99 (505.3); 1 pot recollage avec US99 (505.4)	
	1	0	42,1		Ier-IIe siècles

Mutations urbaines à Nasium (Meuse) | Rapport intermédiaire 2023

Fait	US	Sondage	Inv.	Contenant	Catégorie	B	F	A	D	M	P	
F.34	102	/	477	C.10	Com.Cl.	1					13	
F.34	102	/	477	C.10	G.Com.Coq.A						1	
F.34	102	/	477	C.10	Dol.G.N.1						1	
F.118	109	/	486	C.10	TSGC	1						
F.118	109	/	486	C.10	P.F.Tr.	1					3	
F.118	109	/	486	C.10	F.Cl.	1	1				3	
F.118	109	/	486	C.10	F.Kao.		2	1			20	
F.118	109	/	486	C.10	Bes.	1						
F.118	109	/	486	C.10	Com.Cl.Mor.						2	
F.118	109	/	486	C.10	G.Com.Coq.A						2	
F.118	109	/	484	C.10	G.Com.Coq.B	1	4				87	
F.118	110	/	419	C.10	P.F.Arg.						1	
F.118	110	/	419	C.10	Com.Cl.						3	
F.118	111	/	437	C.11	TSSG	2			1		1	
F.118	111	/	437	C.11	TSGE	1	1				5	
F.118	111	/	437	C.11	TS-	2	1				2	
F.118	111	/	437	C.11	P.F.Tr.						2	
F.118	111	/	437	C.11	P.F.Arg.	9	6				39	
F.118	111	/	437	C.11	P.F.Eng.				2			
F.118	111	/	437	C.11	P.F.B						6	
F.118	111	/	437	C.11	Eng-						4	
F.118	111	/	437	C.11	Eng.Bl.						2	
F.118	111	/	437	C.11	Eng.Mic.	7					1	
F.118	111	/	437	C.11	F.Cl.			1			7	
F.118	111	/	437	C.11	F.Kao.		1				8	
F.118	111	/	437	C.11	F.Sb.	2					7	
F.118	111	/	437	C.11	Com.Cl.Mor.	4						
F.118	111	/	437	C.11	Com.Cl.						21	
F.118	111	/	437	C.11	G.Com.Coq.A	2	1				3	
F.118	111	/	437	C.11	G.Com.Coq.B	2	1				19	
F.118	111	/	437	C.11	Amph.Gau.						6	
F.132	112	/	412	C.12	TSSG	5			5		3	
F.132	112	/	412	C.12	TSGE	1			1		2	
F.132	112	/	412	C.12	TS-	5	2			1	4	
F.132	112	/	412	C.12	Met.Arg.	1						
F.132	112	/	412	C.12	P.F.Arg.						1	
F.132	112	/	412	C.12	P.F.Tr.	1					3	
F.132	112	/	412	C.12	P.F.B	1						
F.132	112	/	412	C.12	Eng.Nr.						1	
F.132	112	/	412	C.12	Eng.Bl.						7	
F.132	112	/	412	C.12	F.Kao.	5	1				25	
F.132	112	/	412	C.12	F.Cl.	1	1	1			5	
F.132	112	/	412	C.12	F.Kao.	1	1				10	
F.132	112	/	412	C.12	F.Sb.	2	1				7	
F.132	112	/	412	C.12	F-		1	2			6	
F.132	112	/	412	C.12	Bes.	3						
F.132	112	/	412	C.12	Com.Cl.Mor.	1						
F.132	112	/	412	C.12	Com.Cl.	1					22	
F.132	112	/	412	C.12	Com.Sb.	2	3				14	
F.132	112	/	412	C.12	G.Com.Cl.						13	
F.132	112	/	412	C.12	G.Com.Coq.A	1					3	
F.132	112	/	412	C.12	G.Com.Coq.B	1	2				5	
F.132	112	/	412	C.12	Amph.Gaul.		3				29	
E.35	113	/	359	C.11	TSSG	2					1	
E.35	113	/	359	C.11	TSGE	3						

Mutations urbaines à *Nasium* (Meuse) | Rapport intermédiaire 2023

	NR	NMI	Poids	Identification, Remarques, tracéologie	Datation
	14	1	70,5	1 couvercle (477.1)	
	1	0	5,7		
	1	0	5		Ier-IIe siècles
	1	1	4,2	1 coupe Drag.33	IIe siècle
	4	1	21	1 gobelet type Hees.2	IIe siècle
	5	1	45,4	1 coupe ; Complètement brûlée et desquamée	
	23	0	287,5	1 fond de cruche annulaire ; complètement brûlée	
	1	1	11,8	Avatar Besançon, 1 pot type 2	Ier-IIe siècles
	2	0	104,6		
	2	0	18,8		
	92	1	2890,4	1 fond de dolium (484.1)	
	1	0	5,1		IIe siècle
	3	0	42,4		
	4	1	15,7	1 coupelle Drag.27c	80/120 ap.
	7	1	200,8	1 écuelle (437.1), 1 fond annulaire à décor guilloché	III-IVe siècles
	5	2	102,5	1 jatte à bord rentrant, 1 coupe Drag.33, 1 bord annulaire ; complètement brûlé, recollage US.34	IIe siècle
	2	0	7,2		
	54	6	245,9	6 gobelets Hees.2 (437.2-3), dont un avec un graffiti (437.4)	IIe siècle
	2	0	4,7	Pâte orange, engobe variant de l'orange au marron, légèrement métalléscent, à décor de croisillons	
	6	0	35,5	Pâte grise, engobe noir	
	4	0	49,8	Brûlés	
	2	0	38,2	Brûlés	
	8	1	81	Brûlés, 1 pot (437.5)	IIe siècle
	8	0	43,9	Complètement brûlés, 1 anse bifide	
	9	1	143,8	1 fond plat débordant, brûlés, recollage avec US112	
	9	2	98,5	Plusieurs tessons brûlés ; 2 bouteilles à lèvres pincées éversées (437.6-7)	
	4	3	465,5	2 mortiers à lèvres pendantes (437.8), brûlés	
	21	0	232,7	Nombreux tessons brûlés	
	6	2	114,2	1 plat à lèvres horizontales, 1 pot à lèvres en bourrelet (437.9)	
	22	2	264,3	1 jatte à bord en bourrelet rentrant, 1 couvercle, 1 fond plat débordant - plusieurs tessons brûlés	
	6	0	1269,1		Ier-IIe siècles
	13	5	91,8	2 coupes Drag.33 (412.2), 2 Drag.37 (412.3), 1 assiette Drag.18b	100/160 ap.
	4	1	39,9	1 assiette Drag.36, décor moulé	IIIe-IVe siècles
	12	3	272,6	Brûlés, 2 assiettes Drag.18 (412.4), 1 coupe Drag.33, 2 fonds annulaires dont 1 avec estampille, 1 estampille (412.6) ; Recolle avec US.47	
	1	1	2,3	1 gobelet Nied.31 (412.5)	IIIe siècle
	1	0	2		IIe siècle
	4	1	28,5	1 gobelet Hees.2 (412.7)	IIe siècle
	1	1	12,5		
	1	0	4,1	Pâte blanche ; engobe noir	
	7	0	81,8		
	31	1	397,6	1 pot/bouteille avec traces de vins, brûlé sur place (412.1)	
	8	1	40,8	1 cruche (412.9), 1 fond plat débordant ; plusieurs tessons brûlés	
	12	1	121,5	1 cruche ; plusieurs tessons brûlés	
	10	1	143,8	1 cruche (412.8), 1 fond annulaire, 1 décor de molette	
	9	0	81,5	1 fond annulaire, plusieurs tessons brûlés	
	3	1	32,7	1 pot type 2 (412.10)	Ier siècle
	1	1	30,1	1 mortier à lèvres tombante CL-REC21	50/200 ap.
	23	1	257	1 pot avec traces de coup de feu (412.11)	
	19	1	215,5	1 pot, 1 pot imit. C.B. (412.12)	
	13	0	300,2		
	4	1	83,2	1 plat à lèvres biseauté	
	8	1	119,1	1 pot (412.13), 1 fond plat	
	32	2	5651,7	1 fond arrondi, 1 fond annulaire (412.14)	
	3	2	4,5	1 coupelle Drag.35, 1 coupelle Drag.24/25a	60/160 ap.
	3	3	24,6	3 assiettes (359.1-3)	III-IVe siècles

Mutations urbaines à Nasium (Meuse) | Rapport intermédiaire 2023

Fait	US	Sondage	Inv.	Contenant	Catégorie	B	F	A	D	M	P
F.35	113	/	359	C.11	Met.Arg.	1					
F.35	113	/	359	C.11	P.F.Arg.	1					5
F.35	113	/	359	C.11	T.N.				2		2
F.35	113	/	359	C.11	F.Kao.						4
F.35	113	/	359	C.11	F.Sb.						2
F.35	113	/	359	C.11	Com.Cl.		1				10
F.35	113	/	359	C.11	Com.Kao.						1
F.35	113	/	359	C.11	Com.Sb.						1
F.35	113	/	359	C.11	G.Com.Cl.	1					4
F.35	113	/	359	C.11	G.Com.Coq.B	6	4				44
F.35	113	/	359	C.11	Amph.Gaul.						1
F.35	113	/	359	C.11	Amph.It.						1
/	118	/	1226	C.11	P.F.Arg.						1
F.44	120	/	555	C.11	TSGC						1
F.44	120	/	555	C.11	F.Sb.						1
F.44	120	/	555	C.11	Amph.						2
/	121	/	479	C.11	TSSG				1		
/	121	/	479	C.11	TSGC	1					
/	121	/	479	C.11	Com.Cl.						10
/	121	/	479	C.11	Com.Sb.	1					2
/	121	/	479	C.11	G.Com.Cl.						3
/	121	/	479	C.11	G.Com.Coq.B	3					2
/	121	/	479	C.11	Dol.G.N.2						1
F.129	122	/	491	C.11	TSSG	2			1		1
F.129	122	/	491	C.11	TS-						1
F.129	122	/	491	C.11	P.F.Eng.						1
F.129	122	/	491	C.11	P.F.B						1
F.129	122	/	491	C.11	F.Kao.						7
F.129	122	/	491	C.11	F.Cl.		1				55
F.129	122	/	491	C.11	F.Sb.						5
F.129	122	/	491	C.11	Com.Cl.						2
F.129	122	/	491	C.11	Com.Sb.						1
F.129	122	/	491	C.11	G.Com.Coq.A						1
F.129	122	/	491	C.11	G.Com.Coq.B						1
F.129	122	/	491	C.11	Dol.G.N.1	1					
F.51	123	/	503	C.11	TSSG	1					1
F.51	123	/	503	C.11	P.F.Arg.						1
F.51	123	/	503	C.11	Com.Cl.						2
F.51	123	/	503	C.11	Com.Kao.						2
F.51	123	/	503	C.11	Com.Sb.						3
F.47	124	/	629	C.11	F.Cl.		2	2			4
F.47	124	/	629	C.11	F.Kao.						2
F.47	124	/	629	C.11	F.Sb.						3
F.47	124	/	629	C.11	Com.Sb.						1
F.47	124	/	629	C.11	G.Com.Coq.B						1
F.51	125	/	520	C.11	TSSG	1	1		1		4
F.51	125	/	520	C.11	TSGC		2				5
F.51	125	/	520	C.11	P.F.Lx.						2
F.51	125	/	520	C.11	P.F.Arg.	2					3
F.51	125	/	520	C.11	T.N.Arg.				1		
F.51	125	/	520	C.11	E.R.I.						2
F.51	125	/	520	C.11	Eng.Bl.	1					4
F.51	125	/	520	C.11	F.Kao.						3
F.51	125	/	520	C.11	F.Sb.						4
F.51	125	/	520	C.11	Com.Cl.	1					10
F.51	125	/	520	C.11	G.Com.Cl.	1					2

Mutations urbaines à *Nasium* (Meuse) | Rapport intermédiaire 2023

NR	NMI	Poids	Identification, Remarques, tracéologie	Datation
1	1	1	1 gobelet Nied.31(359.4)	IIIe siècle
6	1	16,6	1 gobelet Hees.2 (359.5)	IIIe siècle
4	0	4,2	1 décor de molette, 1 décor guilloché	
4	0	6,6		
2	0	1,9		
11	1	27,9	1 fond plat débordant	
1	0	9	Surfaces enfumées	
1	0	8,8		
5	1	25,9	1 pot à lèvres en bourrelet (359.6)	
54	3	341,3	3 pots (359.7-8)	
1	0	45,2		
1	0	8,2		LTD2
1	0	0,5		
1	0	3,7		IIe-IIIe siècles
1	0	7		
2	0	37,2		
1	0	2,4	1 décor moulé	Ier-IIe siècles
1	1	4,1	1 assiette Drag.18	150/230 ap.
10	0	71,8		
3	1	30,3	1 pot à lèvres en amande éversée (479.1)	
3	0	64		
5	1	26	1 plat (479.2)	
1	0	14,1		Ier-IIe siècles
4	2	37,8	2 assiettes Drag.18b, 1 décor moulé de griffon (491.1), 1 tesson brûlé	60/150 ap.
1	0	10,4	Brûlé, recollage avec US.34 ?	
1	0	2,1	Pâte orange, engobe orange	IIe siècle
1	0	1,8	Pâte grise, surface enfumée	
7	0	82,6	Brûlés	
56	0	497,6	Recolle avec US.124	
5	0	19,9	2 tessons brûlés	
2	0	38,8		
1	0	2,7		
1	0	9,7		
1	0	18,5		
1	1	217,9	1 dolium à lèvres horizontale	Ier-IIe siècles
2	1	5	1 assiette Drag.18b	60/150 ap.
1	0	1,8		IIe siècle
2	0	7		
2	0	9,4		
3	0	14,2		
8	1	264,7	1 fond annulaire de gobelet, 1 fond annulaire concave	
2	0	26,8	1 tessons complètement brûlé	
3	0	10,1	Brûlés	
1	0	11,2		
1	0	30,8		
7	1	32,9	1 coupe Drag.37, 1 fond annulaire	100/150 ap.
7	1	32,4	1 fond annulaire	IIe-IIIe siècles
2	0	1,8		70/120
5	2	16,3	2 gobelets Hees.2	IIe siècle
1	0	1,9	1 décor de molette	IIe-IIIe siècles
2	0	19,8	Brûlé ? Utilisé sur foyer ?	
5	1	122,7	1 cruche à lèvres moulurée (520.1)	
3	0	17,4		
4	0	12,7		
11	1	39,4	1 pot à lèvres en bourrelet, nomb. Tessons brûlés	
3	1	39,3	1 pot imit. Bes. (520.2)	Ier-IIe siècles

Mutations urbaines à Nasium (Meuse) | Rapport intermédiaire 2023

Fait	US	Sondage	Inv.	Contenant	Catégorie	B	F	A	D	M	P	
F.51	125	/	520	C.11	G.Com.Coq.B	2	1				5	
F.51	125	/	520	C.11	Amph.Gau.			1			3	
F.51	125	/	520	C.11	Dol.G.N.2						2	
F.68	127	/	551	C.11	TSGC						1	
F.68	127	/	551	C.11	P.F.Lx.						1	
F.68	127	/	551	C.11	Eng.Bl.			1				
F.68	127	/	551	C.11	F.Cl.						1	
F.68	127	/	551	C.11	F-						1	
/	128	/	532	C.11	TSSG	1	1				4	
/	128	/	532	C.11	TSGC	2						
/	128	/	532	C.11	T.N.Kao.	1					1	
/	128	/	532	C.11	T.R.Enf.						2	
/	128	/	532	C.11	Eng.Bl.	1					8	
/	128	/	532	C.11	F.Kao.	1		3			2	
/	128	/	532	C.11	F.Sb.	3	2				26	
/	128	/	532	C.11	Com.Cl.						13	
/	128	/	532	C.11	Com.Sb.	1	2				57	
/	128	/	532	C.11	G.Com.Cl.		1				5	
/	128	/	532	C.11	G.Com.Coq.B	1					7	
/	128	/	532	C.11	Amph.Gaul.	1		2			1	
/	128	/	532	C.11	Amph.Ib.						1	
F.16	129	/	542	C.11	TSSG		2		1		1	
F.16	129	/	542	C.11	T.R.Eng.	2	1				8	
F.16	129	/	542	C.11	T.N.Arg.				7		7	
F.16	129	/	542	C.11	Eng.Bl.						6	
F.16	129	/	542	C.11	F.Kao.						3	
F.16	129	/	542	C.11	F.Sb.		1				10	
F.16	129	/	542	C.11	Com.Cl.		1				1	
F.16	129	/	542	C.11	Com.Sb.	2	1				10	
F.16	129	/	542	C.11	G.Com.Cl.		1					
F.16	129	/	542	C.11	G.Com.Coq.B	1						
F.16	129	/	542	C.11	Dol.G.N.2						1	
F.44	130	/	579	C.11	TSGC	1					1	
F.44	130	/	579	C.11	T.R.Eng.						1	
F.44	130	/	579	C.11	Eng.Bl.						4	
F.44	130	/	579	C.11	F.Sb.		1				13	
F.44	130	/	579	C.11	Com.Sb.						4	
F.44	130	/	579	C.11	G.Com.Coq.B	1						
F.44	131	/	576	C.11	TSGC						2	
F.44	131	/	576	C.11	T.N.Enf.				1		2	
F.44	131	/	576	C.11	F.Kao.			1				
F.44	131	/	576	C.11	Com.Cl.						10	
F.44	133	/	601	C.13	TSSG	3		6			3	
F.44	133	/	601	C.13	T.R.Eng.		1				2	
F.44	133	/	601	C.13	Eng.Bl.						1	
F.44	133	/	601	C.13	F.Sb.	2	1	1			14	
F.44	133	/	601	C.13	F.Sb.Enf.	1					5	
F.44	133	/	601	C.13	Com.Kao.		1				1	
F.44	133	/	601	C.13	Com.Cl.		5	1			69	
F.44	133	/	601	C.13	Com.Sb.		5				19	
F.44	133	/	601	C.13	G.Com.Coq.A		1					
F.44	133	/	601	C.13	G.Com.Coq.B						1	
F.44	133	/	601	C.13	Amph.						4	
F.44	133	/	601	C.13	Amph.Gau.			2			4	
F.44	133	/	601	C.13	Dol.G.N.2						1	
F.131	134	/	595	C.13	TSSG				1			

Mutations urbaines à *Nasium* (Meuse) | Rapport intermédiaire 2023

	NR	NMI	Poids	Identification, Remarques, tracéologie	Datation
	8	2	32,8	2 pots à lèvre en bourrelet, 1 fond plat	
	4	0	557,8		
	2	0	17,8		Ier-IIe siècles
	1	0	1,9		IIe-IIIe siècles
	1	0	2,1	Brûlés	70/120 ap.
	1	0	18,5		
	1	0	1,6		
	1	0	2,4	Brûlé	
	6	1	24,3	1 coupelle Drag.27c estampillée «...ORIC...» (532.1)	80/120 ap.
	2	2	15,3	1 gobelet (532.2), 1 assiette Drag.18	150/230 ap.
	2	1	6,8	1 bouteille à lèvre pincée éversée	Ier siècle
	2	0	14,9		
	9	1	50,9	1 coupe imit. Ritt.12	
	6	1	178,5	1 cruche (532.3)	
	31	3	346	2 bouteilles à lèvre pincée éversée (532.4), 2 fonds annulaires	
	13	0	69,8		
	60	2	759,1	1 pot à lèvre en bourrelet, 2 fonds annulaires	
	6	1	77,5	1 fond plat avec traces de coup de feu	
	8	1	55,4	1 jatte à bord en bourrelet rentrant	
	4	1	412,3	1 amphore Dr.20	
	1	0	52,6		
	4	1	46,1	1 fond annulaire d'assiette	Ier-IIe siècles
	11	1	34,4	1 gobelet à bord en bourrelet (542.1)	IIe-IIIe siècles
	14	0	52,2	7 décors de molette ; pâte grise	IIIe siècle
	6	0	45,9		
	3	0	21,3		
	11	1	49,3	1 fond annulaire	
	2	1	23	1 fond annulaire	
	13	2	94,9	2 marmites à colerette, 1 fond annulaire	
	1	0	7	1 fond plat	
	1	1	16,4	1 pot	
	1	0	19		Ier-IIe siècles
	2	1	2,5	1 bord en bourrelet	IIe-IIIe siècles
	1	0	5,1		IIe-IIIe siècles
	4	0	28,6		
	14	1	67,6	1 fond annulaire	
	4	0	30,1		
	1	1	21,1	1 couvercle (477.1)	
	2	0	3,4		IIe-IIIe siècles
	3	0	9,8	1 décor de molette	
	1	0	7,8	1 anse bifide	
	10	0	17,1		
	12	1	30,9	1 coupe Drag.35	60/160 ap.
	3	1	9,7	1 anneau de fond	
	1	0	12,1		
	18	1	88,1	1 bouteille à lèvre pincée éversée, 1 anneau de fond, 1 décor de molette	
	6	1	14,5	1 gobelet à lèvre pincée éversée	
	2	1	28	1 fond annulaire	
	75	3	597,1	2 fonds annulaires, 1 fond plat	
	24	3	240,4	3 fonds annulaires	
	1	1	32,7	1 fond plat	
	1	0	2,8		
	4	0	83	Pâte orange sableuse	
	6	0	333,1		Ier-IIe siècles
	1	0	5,8		Ier-IIe siècles
	1	0	10,3	1 décor moulé	Ier-IIe siècles

Mutations urbaines à Nasium (Meuse) | Rapport intermédiaire 2023

Fait	US	Sondage	Inv.	Contenant	Catégorie	B	F	A	D	M	P	
F.131	134	/	595	C.13	TSGC						2	
F.131	134	/	595	C.13	TSGE						2	
F.131	134	/	595	C.13	P.F.Co.				1		2	
F.131	134	/	595	C.13	P.F.Arg.						2	
F.131	134	/	595	C.13	F.Kao.	1					1	
F.131	134	/	595	C.13	Com.Cl.						6	
F.118	137	/	598	C.11	Com.Cl.		1				1	
F.118	137	/	598	C.11	Com-						1	
F.118	137	/	581	C.13	TSSG	1					1	
F.118	137	/	581	C.13	TS-	6	4				1	
F.118	137	/	581	C.13	TS-	1	2				2	
F.118	137	/	581	C.13	P.F.Tr.	1					1	
F.118	137	/	581	C.13	P.F.-	9	1				33	
F.118	137	/	581	C.13	E.R.I.	2	2				7	
F.118	137	/	581	C.13	F.Sb.				2		1	
F.118	137	/	581	C.13	F.Kao.	1		1			21	
F.118	137	/	581	C.13	F.Mic.	1						
F.118	137	/	581	C.13	F.Cl.	1					7	
F.118	137	/	581	C.13	Com.Cl.Mor.	4					3	
F.118	137	/	581	C.13	Com.Rug-	10	1				4	
F.118	137	/	581	C.13	Com.Cl.		3				22	
F.118	137	/	581	C.13	Com-		3				22	
F.118	137	/	581	C.13	G.Com-			1				
F.118	137	/	581	C.13	G.Com.Coq.A	2					9	
F.118	137	/	1500	C.13	Eng.Rg.		2				11	
F.38	141	/	813	C.13	TSSG	4	4		6		7	
F.38	141	/	813	C.13	T.R.Enf.						1	
F.38	141	/	813	C.13	T.N.Enf.		2					
F.38	141	/	813	C.13	Eng.Bl.	1	1				13	
F.38	141	/	813	C.13	F.Cl.	4						
F.38	141	/	813	C.13	F.Kao.	2	1	2			7	
F.38	141	/	813	C.13	F.Sb.	3	1		1		43	
F.38	141	/	813	C.13	Com.Cl.Mor.	1					1	
F.38	141	/	813	C.13	Com.Cl.	1		3			14	
F.38	141	/	813	C.13	Com.Sb.						26	
F.38	141	/	813	C.13	G.Com.Coq.B	4	3	4			59	
F.38	141	/	813	C.13	Dol.G.N.2						1	
/	143	/	637	C.13	P.F.Arg.						2	
/	143	/	637	C.13	F.Cl.						1	
F.34	144	/	612	C.13	Com.Cl.						7	
F.34	144	/	612	C.13	Amph.Gau.						2	
F.28	145	/	626	C.13	P.F.Eng.Br.	1						
F.28	145	/	626	C.13	Com.Sb.						1	
F.28	145	/	626	C.13	Com.Cl.						1	
F.131	146	/	836	C.13	TSSG						1	
F.131	146	/	836	C.13	TSGC						1	
F.131	146	/	836	C.13	TSGE	2					6	
F.131	146	/	836	C.13	P.F.Arg.	1					1	
F.131	146	/	836	C.13	T.R.Eng.	1					3	
F.131	146	/	836	C.13	F.Cl.						3	
F.131	146	/	836	C.13	Bes.	1						
F.131	146	/	836	C.13	Com.Cl.		2				15	
F.131	146	/	836	C.13	Com.Sb.						5	
F.131	146	/	836	C.13	G.Com.Cl.	1					2	
F.131	146	/	836	C.13	G.Com.Coq.B	1					1	
F.131	146	/	836	C.13	Dol.G.N.2						2	

Mutations urbaines à *Nasium* (Meuse) | Rapport intermédiaire 2023

	NR	NMI	Poids	Identification, Remarques, tracéologie	Datation
	2	0	10,2		IIe-IIIe siècles
	2	0	12		IIIe-IVe siècles
	3	0	15,6	Décor moulé	80/280 ap.
	2	0	2,9		IIe siècle
	2	1	3,6	1 cruche à lèvres en bourrelet	
	6	0	15,8		
	2	1	79,8	1 fond plat	
	1	0	20,4	Complètement brûlé	
	2	1	16,2	1 assiette Drag. 18b (581.1)	60/150 ap.
	11	2	254,1	1 assiette, 1 coupe Drag. 33 (581.2) Brûlé	IIe siècle
	5	1	100,1	1 assiette à bord rentrant (581.3), Brûlé	
	2	0	7,9	1 gobelet Hees.2 (581.4)	IIe siècle
	43	3	198,5	Brûlé ; 3 gobelets Hees 2 (581.5-6)	IIe siècle
	11	1	226,6	Brûlé ; 1 plat à bord rentrant	
	3	0	13,5	2 décors guillochés	
	23	1	213,7	1 cruche (581.7)	
	1	1	18,4	1 pot à lèvres en bourrelet, brûlé et desquamé	
	8	1	53,1	1 gobelet desquamé, et brûlé	
	7	1	152,8	1 mortier à lèvres pendante CL-REC21	50/200 ap.
	15	2	183,5	1 plat Pierling 127 brûlé (581.8), 1 plat Nied.110 (581.9)	IIIe siècle
	25	1	204,6	1 fond de marmite tripode (581.10) ; brûlé et desquamé	
	25	1	251,6	1 fond annulaire ; brûlé et desquamé	
	1	0	19	1 anse en bourrelet ; brûlé	
	11	1	81	1 couvercle (581.11)	
	13	1	115,6	1 brûlé parfum ou phallus	
	21	3	252,7	1 assiette Drag. 18b, 1 coupe Drag. 27 avec graffiti « SV » (813.2), 4 fonds annulaires dont 1 avec estampille (813.1)	60/150 ap.
	1	0	3,6		
	2	1	26,8	1 fond annulaire	
	15	1	58,8	1 cruche, 1 fond annulaire	
	4	2	41,5	2 cruches (813.3)	
	12	2	339,1	2 cruches à lèvres en bourrelet (813.4)	
	48	1	288,3	1 bouteille (813.5), 1 fond annulaire, 1 décor de molette	
	2	1	28,5	1 mortier à lèvres tombante CL-REC21	50 / 200 ap.
	18	1	280,9	1 cruche à lèvres en bourrelet, 1 anse bifide	
	26	0	259,9		
	70	2	460,7	1 marmite (813.6), 1 pot à anse sommitale (813.7)	
	1	0	19,7		
	2	0	2,9		IIe siècle
	1	0	0,5		
	7	0	19,9	Brûlé et desquamé	
	2	0	104	Brûlé	Ier-IIe siècles
	1	1	2,5	1 gobelet	
	1	0	6,7		
	1	0	13		
	1	0	1,9		Ier-IIe siècles
	1	0	3,8		IIe-IIIe siècles
	8	2	31,6	1 Drag. 33	IIIe siècle
	2	1	3,7	1 gobelet type Hees.2	IIe siècle
	4	1	7,8	1 gobelet à lèvres en bourrelet	
	3	0	8,2		
	1	1	4	1 imit. Bes.	Ier-IIe siècles
	17	1	67,6	1 fond annulaire	
	5	0	17,5		
	3	1	11,9	1 pot imit. Bes.	Ier-IIe siècles
	2	1	5,4	1 petit pot (836.1)	
	2	0	15,9		Ier-IIe siècles

Mutations urbaines à Nasium (Meuse) | Rapport intermédiaire 2023

Fait	US	Sondage	Inv.	Contenant	Catégorie	B	F	A	D	M	P	
F.131	146	/	1035	C.13	G.Com.Sil.A						1	
F.51	147	/	641	C.13	TSSG						1	
F.51	147	/	641	C.13	T.R.Eng.						1	
F.51	147	/	641	C.13	F.Sb.						1	
F.51	147	/	641	C.13	Com.Cl.Mor.	1					1	
F.51	147	/	641	C.13	Com.Cl.						2	
F.51	147	/	641	C.13	G.Com.Coq.B	1						
F.52	149	/	631	C.13	F.Cl.Enf.						2	
F.52	149	/	631	C.13	F.Sb.	8	4		2		46	
F.52	149	/	631	C.13	Com.Sb.						2	
F.52	149	/	631	C.13	Amph.Gau.						1	
F.50	153	/	1193	C.13	Eng.Bl.						4	
F.56	154	/	957	C.13	T.N.Enf.						1	
F.56	154	/	957	C.13	Com.Cl.						1	
F.56	154	/	957	C.13	Com.Kao.						1	
F.56	154	/	957	C.13	G.Com.Sa.A	1						
F.56	154	/	957	C.13	G.Com.Coq.B						1	
F.56	155	/	709	C.13	P.F.Tr.	1					1	
F.56	155	/	709	C.13	P.F.B						2	
F.56	155	/	709	C.13	Met.Tr.	1						
F.52	157	/	900	C.13	TSSG	1			2		1	
F.52	157	/	900	C.13	F.Kao.						5	
F.52	157	/	900	C.13	F.Sb.	4					15	
F.52	157	/	900	C.13	Bes.	3						
F.52	157	/	900	C.13	Com.Cl.						17	
F.52	157	/	900	C.13	Com.Sb.						4	
F.52	157	/	900	C.13	G.Com.Coq.B						4	
F.52	157	/	900	C.13	Amph.						3	
F.52	157	/	900	C.13	Dol.G.N.2						7	
F.42	162	/	841	C.13	TSSG				3		2	
F.42	162	/	841	C.13	T.N.Enf.				1		2	
F.42	162	/	841	C.13	F.Cl.						2	
F.42	162	/	841	C.13	F.Kao.						1	
F.42	162	/	841	C.13	F.Sb.				2		6	
F.42	162	/	841	C.13	Com.Cl.						15	
F.42	162	/	841	C.13	Com.Sb.						1	
F.42	162	/	841	C.13	G.Com.Sa.B						3	
F.42	162	/	841	C.13	Amph.Gau.						1	
F.34	171	/	651	C.13	Com.Cl.		1				2	
F.34	171	/	651	C.13	Com.Sb.						1	
F.34	171	/	651	C.13	G.Com.Cl.						1	
/	174	/	657	C.13	F.Kao.						2	
/	174	/	657	C.13	Bes.						1	
/	179	/	685	C.14	Amph.Gau.						1	
F.34	180	/	658	C.13	P.F.Lx.						2	
F.34	180	/	658	C.13	F.Kao.						2	
F.34	180	/	658	C.13	F.Sb.						3	
F.34	180	/	658	C.13	Com.Cl.Enf.	2					4	
F.34	180	/	658	C.13	G.Com.Sa.A	1						
F.34	180	/	658	C.13	G.Com.Coq.B	2					1	
F.34	180	/	658	C.13	Amph.Gau.						1	
F.31	182	/	760	C.13	Com.Sb.						2	
F.31	182	/	760	C.13	G.Com.Sa.A						1	
F.52	194	/	926	C.13	TSSG				1		2	
F.52	194	/	926	C.13	T.N.Arg.	1			1		2	
F.52	194	/	926	C.13	F.Kao.						2	

Mutations urbaines à *Nasium* (Meuse) | Rapport intermédiaire 2023

	NR	NMI	Poids	Identification, Remarques, tracéologie	Datation
	1	0	2,6	1 jeton (1035.1)	
	1	0	0,7		Ier-IIe siècles
	1	0	2,8		
	1	0	5,9		
	2	1	89,7	1 mortier à lèvre tombante CL-REC21 (641.1)	50/200 ap.
	2	0	4,9		
	1	1	7,4	1 plat à lèvre en marli	
	2	0	9,5	1 col de cruche	
	60	4	269	1 écuelle à bord rentrant, 2 bouteilles à lèvre éversée pincée (631.1), 1 pot (631.2), 2 fonds annulaires, 2 décors de molette	
	2	0	9		
	1	0	8,2		
	4	0	27,9		
	1	0	4,9		
	1	0	5,4		
	1	0	8,9		
	1	1	10,5	1 imit. Bes.	
	1	0	7,7		
	2	1	10,2	1 gobelet Hees.2 (709.1)	IIe siècle
	2	0	14,5	gobelet à dépression	
	1	1	6,6	1 gobelet Nied. 31 (709.2)	IIIe siècle
	4	1	44,8	1 coupe Drag.35	60/160 ap.
	5	0	14,4		
	19	2	67,1	1 coupe imit. Ritt.12 (900.1), 1 bouteille à lèvre pincée	
	3	1	17,5		LTD2/Augustéen
	17	0	68,2		
	4	0	7,4		
	4	0	12,5		
	3	0	89,8		
	7	0	50,9		Ier-IIe siècles
	5	0	18,7	Décors moulés	Ier-IIe siècles
	3	0	15,8	1 décor de molette	
	2	0	7,4		
	1	0	10,7		
	8	0	33	1 décor de molette, 1 décor guilloché	
	15	0	86,6		
	1	0	4,3		
	3	0	15		
	1	0	28,7		Ier-IIe siècles
	3	1	13,3	1 fond annulaire avec concrétions calcaires	
	1	0	2		
	1	0	2,9		
	2	0	17,9		
	1	0	7		
	1	0	2874,1		
	2	0	6,5		70/120 ap.
	2	0	4,2		
	3	0	16		
	6	1	34,4	1 couvercle (658.1)	
	1	1	6	1 pot imit. Bes. (658.2)	Ier-IIe siècles
	3	2	12,8		
	1	0	10,4	Brûlé	
	2	0	9,5		
	1	0	10,1		
	3	0	8,5	1 décor moulé	Ier-IIe siècles
	4	1	31,5	1 pot à lèvre en amande éversée, 1 décor guillochés	IIe-IIIe siècles
	2	0	4,7		

Mutations urbaines à *Nasium* (Meuse) | Rapport intermédiaire 2023

Fait	US	Sondage	Inv.	Contenant	Catégorie	B	F	A	D	M	P
F.52	194	/	926	C.13	F.Cl.	1					5
F.52	194	/	926	C.13	F.Sb.						1
F.52	194	/	926	C.13	Com.Cl.						3
F.52	194	/	926	C.13	Com.Sb.						4
F.52	194	/	926	C.13	G.Com.Cl.						1
F.52	194	/	926	C.13	G.Com.Coq.B						2
/	196	/	969	C.13	TSSG		1				
/	196	/	969	C.13	Com.Cl.		1				
F.11	217	/	838	C.13	TSSG	2			1		
F.11	217	/	838	C.13	F.Cl.			1			9
F.11	217	/	838	C.13	Com.Cl.						14
F.11	217	/	838	C.13	Com.Sb.						2
F.11	217	/	838	C.13	G.Com.Sil.A		1				
F.11	217	/	838	C.13	G.Com.Coq.B						1
F.11	217	/	838	C.13	Amph.						1
F.11	217	/	838	C.13	Dol.G.N.2						1
F.63	218	/	1047	C.13	TSSG						2
F.63	218	/	1047	C.13	T.N.Enf.				1		1
F.63	218	/	1047	C.13	Com.Cl.						2
F.63	218	/	1047	C.13	Com.Sb.						1
F.63	218	/	1047	C.13	G.Com.Coq.B						1
F.62	219	/	1072	C.13	T.N.Kao.						1
F.62	219	/	1072	C.13	Eng.Bl.						1
F.62	219	/	1072	C.13	F.Kao.						1
F.62	219	/	1072	C.13	Com.Sb.						2
F.62	219	/	1072	C.13	G.Com.Sil.A	1					
F.62	219	/	1072	C.13	Amph.Gau.						27
F.65	221	/	1001	C.13	T.R.Eng.						1
F.65	221	/	1001	C.13	F.Cl.	1					
F.65	221	/	1001	C.13	F.Sb.	2					2
F.65	221	/	1001	C.13	G.Com.Coq.A	1					
/	223	/	670	C.13	TSSG		1		1		2
/	223	/	670	C.13	TSGE	1	1				4
/	223	/	670	C.13	Met.Arg.				1		
/	223	/	670	C.13	Met.Arg.				1		1
/	223	/	670	C.13	P.F.Arg.						3
/	223	/	670	C.13	P.F.B		1				2
/	223	/	670	C.13	T.R.Eng.						2
/	223	/	670	C.13	F.Sb.	1			1		3
/	223	/	670	C.13	F.Kao.		1				13
/	223	/	670	C.13	Eng.Bl.						2
/	223	/	670	C.13	Com.Cl.		1				14
/	223	/	670	C.13	Com.Sb.						3
/	223	/	670	C.13	G.Com.Coq.A						1
/	223	/	670	C.13	G.Com.Coq.B	1					4
/	223	/	670	C.13	Dol.G.N.2	1					1
/	224	/	673	C.14	TSSG	1			2		
/	224	/	673	C.14	TSGE	1			1		
/	224	/	673	C.14	TS-	1					
/	224	/	673	C.14	P.F.Arg.	1					2
/	224	/	673	C.14	P.F.Tr.	1					
/	224	/	673	C.14	Eng.Bl.	4					8
/	224	/	673	C.14	F.Sb.	1					8
/	224	/	673	C.14	F.Cl.	1					3
/	224	/	673	C.14	F.Kao.						5
/	224	/	673	C.14	Bes.	1					

Mutations urbaines à *Nasium* (Meuse) | Rapport intermédiaire 2023

	NR	NMI	Poids	Identification, Remarques, tracéologie	Datation
	6	1	34,9	1 cruche à lèvres en corniche	
	1	0	2,2		
	3	0	4,1		
	4	0	5,1		
	1	0	1,6	Amphore ?	
	2	0	1,6		
	1	1	10,7	1 fond annulaire de Drag.27c	80/120 ap.
	1	1	19,9	1 fond plat avec coup de feu externe	
	3	2	10,9	1 coupe Drag.30b (838.1), 1 coupe Drag.33a2	60/110 ap.
	10	0	81,3	1 anse bifide	
	14	0	46		
	2	0	9		
	1	1	26,1	1 fond annulaire, coup de feu externe	
	1	0	2,1		
	1	0	29,6	Pâte verdâtre	
	1	0	25	Traces d'impression de vannerie sur la surface interne	Ier-IIe siècles
	2	0	5		Ier-IIe siècles
	2	0	3,6		
	2	0	5,9		
	1	0	1,4		
	1	0	1,2		
	1	0	4,5		Ier siècle
	1	0	2,5		
	1	0	10,8		
	2	0	5,3		
	1	1	5,2	1 pot imit. Bes. (1072.1)	
	27	0	361,3	Nombreux éclats et tessons brûlés	Ier-IIe siècles
	1	0	3	1 pied	
	1	1	3,1	1 gobelet à lèvres en corniche (1001.1)	
	4	2	26	1 cruche (1001.2), 1 pot à lèvres en amande	
	1	1	8,7	1 couvercle	
	4	1	14,6		Ier-IIe siècles
	6	1	53,6	1 Drag.37, 1 fond annulaire	IIIe-IVe siècles
	1	0	2,4	1 décor guilloché	IIIe siècle
	2	0	9,6	1 décor guilloché	IIIe-Ive s
	3	0	8,6		IIe siècle
	3	0	8,2	1 fond de gobelet débordant	
	2	0	4,6	Poix sur la surface interne	
	5	1	30,4	1 gobelet à lèvres éversée pincée, 1 décor de molette	
	14	1	48,9	1 fond annulaire	
	2	0	40,5		
	15	1	134,7	1 fond plat débordant	
	3	0	26,6		
	1	0	10,7		
	5	1	80,6	1 pot à lèvres en bourrelet	
	2	1	195,6	1 dolium à lèvres horizontale	Ier-IIe siècles
	3	1	36,4	1 Drag.29b (673.1)	40/100 ap.
	2	1	11,3	1 Drag. 37 à décor guilloché	IIIe siècle
	1	1	4,5	Brûlé	
	3	1	15,7	1 gobelet Hees.2	IIe siècle
	1	1	0,9	1 gobelet Hees.2	IIe siècle
	12	1	102,1	1 cruche à col mouluré	
	9	1	33,4	1 gobelet à lèvres pincée éversée	
	4	1	18	1 cruche	
	5	0	38,5		
	1	1	10,8	1 por imit. Bes. type 2	

Mutations urbaines à Nasium (Meuse) | Rapport intermédiaire 2023

Fait	US	Sondage	Inv.	Contenant	Catégorie	B	F	A	D	M	P
/	224	/	673	C.14	Com.Cl.						15
/	224	/	673	C.14	Com.Sb.	1	2				8
/	224	/	673	C.14	Com.Kao.			1			1
/	224	/	673	C.14	G.Com.Coq.B						7
/	224	/	673	C.14	Amph.Gau.						3
/	224	/	673	C.14	Amph.						2
/	224	/	673	C.14	Dol.G.N.1						1
/	225	/	693	C.14	TSGE	1					
/	225	/	693	C.14	Eng.Bl.		1				
/	225	/	693	C.14	Amph.Gau.						1
F.117	227	/	761	C.14	TSSG	1					1
F.117	227	/	761	C.14	TSGE						1
F.117	227	/	761	C.14	T.N.Arg.				1		
F.117	227	/	761	C.14	F.Kao.						1
F.117	227	/	761	C.14	Com.Cl.						3
F.117	227	/	761	C.14	Com.Sb.						2
F.69	229	/	801	C.14	TSSG						1
F.69	229	/	801	C.14	Com.Cl.						1
F.69	229	/	801	C.14	Com.Sb.						2
F.69	230	/	778	C.14	TSSG						1
F.69	230	/	778	C.14	F.Sb.						4
F.69	230	/	778	C.14	Com.Sb.						1
F.69	230	/	778	C.14	G.Com.Coq.B						1
F.44	231	/	762	C.14	TSGC				1		
F.44	231	/	762	C.14	TS-		1				
F.44	231	/	762	C.14	T.N.Enf.						2
F.44	231	/	762	C.14	Eng.Bl.						1
F.44	231	/	762	C.14	F.Cl.						7
F.44	231	/	762	C.14	F.Sb.	1					1
F.44	231	/	762	C.14	Com.Cl.		1				8
F.44	231	/	762	C.14	Com.Sb.						4
F.44	231	/	762	C.14	G.Com.Coq.B		3				3
F.44	231	/	762	C.14	Amph.Gau.						1
F.44	231	/	762	C.14	Dol.GN.2						2
F.83	233	/	790	C.14	TS-						2
F.83	233	/	790	C.14	P.F.Tr.						5
F.83	233	/	790	C.14	Met.Arg.						3
F.83	233	/	790	C.14	P.F.Arg.	1					
F.83	233	/	790	C.14	E.R.I.	1					
F.83	233	/	790	C.14	F.Sb.		1		1		2
F.83	233	/	790	C.14	F.Kao.		1				
F.83	233	/	790	C.14	Com.Cl.		1				4
F.83	233	/	790	C.14	G.Com.Cl.	1					
F.83	233	/	790	C.14	G.Com.Coq.B	1					3
F.83	233	/	790	C.14	Amph.Gau.						6
F.133	234	/	768	C.14	Met.Arg.	1					
F.133	234	/	768	C.14	F.Sb.						1
F.133	234	/	768	C.14	Com.Cl.	1					1
F.133	234	/	768	C.14	Com.Sb.						4
F.133	234	/	768	C.14	G.Com.Coq.B	1					1
F.133	234	/	768	C.14	Amph.It.						1
F.130	236	/	769	C.14	TS-				1		1
F.130	236	/	769	C.14	P.F.Arg.						3
F.130	236	/	769	C.14	P.F-						10
F.130	236	/	769	C.14	F.Cl.	1	1				
F.130	236	/	769	C.14	Com.Cl.Mor.	1					

Mutations urbaines à *Nasium* (Meuse) | Rapport intermédiaire 2023

	NR	NMI	Poids	Identification, Remarques , tracéologie	Datation
	15	0	142,6		
	11	2	102	1 coupe à collerette, 1 fond plat, 1 fond annulaire	
	2	0	119,7	1 anse bifide d'amphorette	
	7	0	58,4		
	3	0	470		
	2	0	213,4	Amphore pâte verdâtre	
	1	0	9,9		Ier-IIe siècles
	1	1	9,3	Engobe chocolat ; 1 Drag.37	IIIe-IVe siècles
	1	0	76,2		
	1	0	39,4		
	2	1	1,6	1 bord en bourrelet	Ier-IIe siècles
	1	0	0,8		IIIe-IVe siècles
	1	0	6,8	1 décor de molette	IIIe-IVe siècles
	1	0	2		
	3	0	7,2		
	2	0	9,2		
	1	0	1,1	1 lobe de Drag.27	Ier-IIe siècles
	1	0	3,8		
	2	0	13,6		
	1	0	0,4		
	4	0	2,9		
	1	0	2,7		
	1	0	1,5		
	1	0	4	Atelier LX3, décor moulé	100/150 ap.
	1	1	18,1	Brûlé	
	2	0	6,4		
	1	0	2,8		
	7	0	15,5		
	2	1	12,6	1 bouteille à lèvres pincée éversée (762.1)	
	9	1	248,8	1 fond annulaire (d'amphore ?)	
	4	0	14,9		
	6	1	25,2	1 fond plat débordant	
	1	0	68,6		
	2	0	33,3		
	2	0	5,9	Brûlé	
	5	0	7,1		IIe siècle
	3	0	5,9		180/250 ap.
	1	1	13	1 gobelet Nied.31 (790.1)	IIe siècle
	1	1	14,9	1 plat à bord rentrant utilisé pour la cuisson, coup de feu externe (790.2)	
	4	1	78,2	1 fond plat débordant	
	1	1	9,5	1 fond annulaire	
	5	1	25,1	1 fond plat	
	1	1	4	1 petit pot	
	4	1	85,4		
	6	0	57,8		
	1	1	2,1	1 gobelet Nied.31	180/250 ap.
	1	0	4,7		
	2	1	7,5	1 petit pot	
	4	0	34,1		
	2	1	21,1	1 por	
	1	0	22,6		LTD2
	2	0	29,9	Décor moulé, brûlé	
	3	0	12,7		IIe siècle
	10	0	26	Brûlé	
	2	1	16,2	1 gobelet (236.1)	
	1	1	65,8	1 mortier à lèvres tombante (236.2)	

Mutations urbaines à Nasium (Meuse) | Rapport intermédiaire 2023

Fait	US	Sondage	Inv.	Contenant	Catégorie	B	F	A	D	M	P	
F.130	236	/	769	C.14	Com.Cl.						5	
F.130	236	/	769	C.14	Com.Sb.		1				3	
F.130	236	/	769	C.14	G.Com.Coq.B		1				2	
F.130	236	/	769	C.14	Amph.Gau.						1	
F.130	239	/	793	C.14	F.Cl.						2	
F.130	239	/	793	C.14	Com.Cl.						1	
F.20	242	/	1132	C.14	TSSG	1						
F.20	242	/	1132	C.14	Com.Cl.	1					2	
F.20	242	/	1132	C.14	G.Com.Coq.B	1					1	
F.96	252	/	814	C.14	TSGC						2	
F.96	252	/	814	C.14	TSGE	1					1	
F.96	252	/	814	C.14	P.F.Tr.	1					1	
F.96	252	/	814	C.14	P.F.Arg.						8	
F.96	252	/	814	C.14	P.F.Eng.				1			
F.96	252	/	814	C.14	Met.Arg.						1	
F.96	252	/	814	C.14	Mer.Lx.						3	
F.96	252	/	814	C.14	T.R.Eng.						1	
F.96	252	/	814	C.14	E.R.I.						1	
F.96	252	/	814	C.14	T.N.Arg.				2		1	
F.96	252	/	814	C.14	F.Kao.						2	
F.96	252	/	814	C.14	F.Cl.	1					7	
F.96	252	/	814	C.14	F-						3	
F.96	252	/	814	C.14	Com.Cl.	1	1				6	
F.96	252	/	814	C.14	Com.Sb.	1					10	
F.96	252	/	814	C.14	G.Com.Cl.						1	
F.96	252	/	814	C.14	G.Com.Coq.A						3	
F.96	252	/	814	C.14	G.Com.Coq.B	2	1				4	
F.96	252	/	814	C.14	Amph.It.						2	
F.96	252	/	814	C.14	Dol.G.N.2						2	
F.100	259	/	1270	C.14	P.F.Tr.		2				16	
F.100	259	/	1270	C.14	F.Sb.				1		3	
F.100	259	/	1270	C.14	F.Kao.		1				13	
F.100	259	/	1270	C.14	G.Com.Coq.B	1					1	
F.100	259	/	1333	C.31	Amph.Gau.	1	2	1			174	
F.130					Com.Sb.	1					2	

Mutations urbaines à *Nasium* (Meuse) | Rapport intermédiaire 2023

	NR	NMI	Poids	Identification, Remarques, tracéologie	Datation
	5	0	19,8		
	4	0	73,9	1 fond plat concave	
	3	1	25,1	1 fond plat débordant	
	1	0	20		
	2	0	1,6		
	1	0	2,8		
	1	1	0,8	1 Drag.35	60/160 ap.
	3	1	3,9	1 pot	
	2	1	11,3	1 couvercle	
	2	0	5,9		IIe siècle
	2	1	8	1 coupelle Drag.35	IIe siècle
	2	1	4,4	1 gobelet Hees.2	IIe siècle
	8	0	19,2		IIe siècle
	1	0	3,1	Brûlé, pâte engobée rouge, 1 décor moulé de lion ou griffon avec estampille sur panse « ..VAN.. »	
	1	0	0,6	Brûlé	150/280 ap.
	3	0	18,9		IIIe siècle
	1	0	2,5		
	1	0	6,5	Brûlé ou coups de feu	Ier-IIe siècles
	3	0	18,2	Décor de molette	
	2	0	3,5		
	8	1	12,7	1 cruche	
	3	0	13,1	Eclats, brûlés	
	8	1	69,8	1 jatte à bord rentrant, 1 fond plat	
	11	1	68	1 marmite à lèvres en collerette	
	1	0	3,5		
	3	0	19,8		
	7	2	60,4	1 plat à lèvres en bourrelet, 1 pot, 1 fond plat débordant	
	2	0	33,7		LTD2
	2	0	17,6		Ier-IIe siècles
	18	1	183,6	1 fond de gobelet	IIe siècle
	4	0	24		
	14	1	162,2	1 fond annulaire de cruche	
	2	1	16,4	1 couvercle	
	178	1	3520	1 Dr.2	
	3	1	194,6	1 pot à lèvres en poulie -(153,22)	

9.5.3. Inventaire du mobilier en verre

Fait / US	Inv.	N° objet	Datation	NR	NMI	NTI	Description	Teinte
Us 4	13	13-001	Antique	38	3	1	Deux anses dont une de cruche polychrome (Is.13/15), gobelet Is.85/AR98, lèvre aplatie, panses indéterminées dont une côtelée	Bleu-vert (27)
		13-002						Incolore (7)
		13-003						Vert (2)
		13-004						Jaune (2)
		13-005						
		13-006						
Us 5	19	19-001	Antique	2		1	Fond annulaire, panse indéterminée	Vert foncé Incolore
Us 8	52	52-001	Antique	5	1		Tesselle, fond apode, gobelet Is.85 / AR 98, panses indéterminées	Bleu-vert (2)
		52-002						Bleu (1)
								Incolore (1) Jaunâtre (1)
F3, Us 18	76	76-001	Antique	1	1		Fond de balsamaire (Is. 28b / Is.82b1 ?)	Verdâtre
F3, Us 18	78		Antique	1			Indéterminé	Bleu foncé
F3, Us 15	90		Antique	3			Micro fragments indéterminés, verre fondu	Bleu-vert (2) Incolore (1)
F3, Us 18	94	94-001	Antique	14	1		Panses indéterminées, fond apode, bord à lèvre épaissie et panse cylindrique, anse	Vert olive foncé (2)
								Bleu-vert (4) Bleuté (6)
								Incolore (2)
F3, Us 18	105		Antique	18			Tesselles	Bleu, turquoise, vert, vert olive, rouge
F8, Us 26	110		Antique	3			Tesselles	Bleu, vert
Us 3	140		Antique	4			Verre à vitre (1), panses indéterminées	Bleu-vert (1) Incolore (2)
Us 34	157	157-001	Antique	15	2		Verre à vitre (4) dont un bord, col de bouteille, coupe AR 82, fond apode	Bleu-vert (6)
		157-002						Bleu cobalt (2) Incolore (3)
		157-003						
Us 10	172	172-001	Antique	2	1		Bord à lèvre adoucie (Is 85?), panse indéterminée	Verdâtre
Us 42	191		Antique	1			Panse côtelée (Is. 3?)	Bleu-vert
Us 41	208	208-001	Antique	8	1		Bord à lèvre repliée vers l'extérieur (Is.67), panses indéterminées	Bleu-vert (5) Incolore (3)
F15, Us 50	231	231-001	Antique	1		1	Fond de bouteille Is.50 avec cercles concentriques	Bleu-vert
F31, Us 48	294		Antique	2			Fragments indéterminés	Bleu-vert
F25, Us 81	298		Antique	1			Paroi de forge vitrifiée	
F11, Us 37	315		Antique	1			Panse indéterminée	Bleu-vert
Us 29	336		Antique	1			Perle	Bleu nuit
F27 Us 100	345		Antique	3			Panses indéterminées	Bleu-vert
Us 41	367	367-001	Antique	1	1		Bouteille à une anse et col court	Bleu-vert
F15, Us 49	371	371-001	Antique	11	1		Gobelet Is. 85 / AR 98, fond annulaire, verre à vitre, panses indéterminées	Bleu-vert (9) Incolore (2)
		371-002						
F12, Us 47	338	338-001	Antique	7	2		Gobelet Is. 85a / AR 98.1, bord à lèvre coupée (AR 53?), verre à vitre (1), panses indéterminées	Bleuté (1)
		338-002						Verdâtre (1) Incolore (4)
								Vert olive foncé (1)
F55, Us 111	450		Antique	1			Tesselle	Turquoise
F55, Us 111	471	471-001	Antique	10			Fond de bouteille, fond et panses indéterminés dont un déformé par le feu,	Bleu-vert (6)
		471-002						Vert (1)
								Incolore (3)
F55, Us 109	487		Antique	2	1		Panses indéterminées	Bleu-vert
Us 121	514	514-001	Antique	1			Anse avec attache sur panse	Bleu-vert
Us 128	533		Antique	1			Panse indéterminée	Vert-olive

Mutations urbaines à *Nasium* (Meuse) | Rapport intermédiaire 2023

Fait / US	Inv.	N° objet	Datation	NR	NMI	NTI	Description	Teinte
F68, Us 127	550		Antique	1			Panse indéterminée	Bleu-vert
F55, Us 111	565	565-001	Antique	1		1	Bouteille à anse nervurée déformée par le feu	Bleu-vert
Us 137	583		Antique	15	1		Dix fragments déformés par le feu, panses indéterminées	Bleu-vert (14) Incolore (1)
F43, Us 65	630		Antique	2			Panse indéterminées dont une côtelée	Jaune Vert
Us 146	633		Antique	1			Bas de panse indéterminée	Incolore
F44, Us 133	639	639-001	Antique	1			Forme ouverte à fond apode	Bleu-vert
F16, Us 129	642		Antique	1			Panse indéterminée	Incolore
Us 224	677		Moderne / Contemporain	1			Panse indéterminée	Incolore
Us 41	734	734-001	Antique	10	3		Bol mosaïqué, bol Is.85/AR 98, panses indéterminées	Bleu-vert (4) Incolore (4)
		734-002						Mosaïqué (1) Vert sombre (1)
Us 223	781		Antique	1			Panse	Vert
Us 2	772		Moderne / Contemporain	3	1		Bouteille	Vert-jaune
Us 47	811		Antique	1			Panse indéterminée avec décor de lignes incisées	Incolore
F44, Us 133	821		Antique	1			Indéterminé	Bleu-vert
F100, Us 260	854		Antique	1			Panse indéterminée légèrement déformée	Bleu-vert
F100, Us 260	860		Antique	2			Panses indéterminées déformées par le feu	Bleu-vert
Us 269	883	883-001	Antique	3		1	Deux fragments de fond annulaire, panse indéterminée légèrement déformée	Bleu-vert
Us 267	888	888-001	Antique	6	1		Deux fragments de verre à vitre, panses indéterminées, un bord à lèvres adoucie (verre très altéré)	Bleu-vert (5) Incolore (1)
F78, Us 272	951		Antique	3			Panses indéterminées	Bleu-vert
F87, Us 310	983		Antique	2			Verre à vitre	Bleu-vert
Us 296	986		Antique	1			Panse côtelée (Is 3)	Bleu-vert
Us 47	990	990-001	Antique	3	2		Bol AR38, assiette/bol à lèvres adoucie, verre déformé par le feu	Bleu-vert Incolore Brun foncé
		990-002						
Us 122	994		Antique	2			Panses indéterminées dont un fragment déformé par le feu	Bleu-vert
Us 127	1038		Antique	1			Panse indéterminée	Bleu-vert
Us 324	1042	1042-001	Antique	7			Is. 3 / AR 2, panses indéterminées	Bleu-vert (4) Bleu cobalt (1) Verdâtre (1) Incolore (1)
F100, Us 112	1077	1077-001	Antique	3	1	1	Bord replié vers l'intérieur, fond apode (Is.13/15), panse déformée par le feu	Bleu-vert (2) Incolore (1)
		1077-002						
Us 330	1079	1079-001	Antique	7	2		Cruches Is. 13/14/15, panses indéterminées	Bleu-vert (2) Bleu cobalt (1) Vert foncé (1) Verdâtre (3)
		1079-002						
Us 330	1106		Antique	1			Scorie	
Us 284	1108		Antique	2			Panses indéterminées	Bleu-vert
Us 341	1114		Antique	2			Panses indéterminées	Vert-olive Bleu-vert
Us 91	1119		Antique	1			Panse indéterminée	Bleu-vert
F20, Us 242	1123		Antique	1			Panse indéterminée	Bleu-vert

Mutations urbaines à Nasium (Meuse) | Rapport intermédiaire 2023

Fait / US	Inv.	N° objet	Datation	NR	NMI	NTI	Description	Teinte	
Us 326	1143	1143-001	Antique	6	1	1	Fond de balsamaire, panses indéterminées, bord à lèvres arrondie	Bleu-vert	
		1143-002						Bleu-nuit	
								Vert olive (2)	
Us 370	1159		Antique	4			Panses indéterminées dont une bleu cobalt côtelée	Bleu-vert (2)	
								Bleu cobalt (1) Jaune (1)	
Us 377	1192		Antique	1		1	Fragment de panse de balsamaire	Bleu-vert	
Us 46	1220		Antique	1			Agglomérat de verre fondu	Bleu-vert	
Us 372	1221	1221-001	Antique	3		1	Fond apode, panses indéterminées	Bleu-vert (1)	
									Bleu cobalt (1) verdâtre (1)
Us 383	1234		Antique	1			Verre à vitre	Bleu-vert	
F100, Us 378	1239		Antique	3		1	Fond apode, panse et col	Bleu-vert (1) Incolore (2)	
Us 363	1249	1249-001	Antique	2	1	1	Coupe/Assiette Is. 44/45, panse indéterminée	Bleu-vert	
									Bleu mosaïqué
Us 380	1257	1257-001	Antique	4	2		Coupes côtelées Is. 3 / AR 2, fond de cruche Is. 13/15, panse indéterminée	Bleu-vert (2)	
		1257-002						Bleu cobalt (2)	
		1257-003							
Us 382	1259	1259-001	Antique	1	1		Forme ouverte à bord droite et lèvres adoucies	Bleu-vert	
Us 395	1284	1284-001	Antique	34	2	1	Amas de verre fondu dont un fond de bouteille, possible balsamaire, gobelet AR53, bol AR38, fond apode	Bleu-vert (16), incolore (18)	
		1284-002							
Us 380	1338		Antique	1			Panse indéterminée	Bleu cobalt	
F106, Us 414	1347		Antique	1	1		Perle	Jaunâtre	
Us 417	1349	1349-001	Antique	1		1	Fond apode avec étranglement	Bleu cobalt	
Us 417	1354	1354-001	Antique	3			Verre à vitre bleu-vert, coupe Is.17 / AR28, fond apode	Bleu-vert	
		1354-002							
Us 374	1378		Antique	1			Panse indéterminée	Bleu-vert	
Us 392	1397		Antique	3			Panses indéterminées	Incolore (1)	
									Bleu-nuit (1)
									Brun (1)
F100, Us 420	1418		Antique	2	1		Fragments de bouteille en verre fondu et agglomérés suite à l'action du feu (bord ourlé et panse)	Bleu-vert	
F100, Us 420	1416		Antique	8			Verre déformé par le feu, fonds apodes, panses indéterminées, verre à vitre bleu-vert, panse de bouteille,	Bleu-vert (3), incolore (3), verdâtre (2)	
F111, Us 466	1440		Antique	1			Panse côtelée indéterminée	Bleu-vert	
F100, Us 325	1470		Antique	1			Panse indéterminée	Incolore	
F100 Us 378	1490		Antique	2			Panses indéterminées dont une avec décors de lignes incisées	Incolore	
F100, Us 420	1416		Antique	1			Fragment déformé par le feu (+ concrétions)	Bleu-vert	

9.6. Inventaire des prélèvements

N° prélèvement	Fait	US	Sondage	Nature	Quantité	Analyse	Date	Contenant
PR.1	F.3	US.18		Sédiment	10 litres	Carpologie	8/28/2020	
PR.2	F.43	US.62		Charbons	1 sac	Anthracologie	8/28/2020	059
PR.3		US.29		Sédiment	10 litres	carpologie et anthracologie	8/28/2020	
PR.4	F.43	US.74		Charbons	1 sac	Anthracologie	8/28/2020	059
PR.5	F.104	US.415	SD.29	Charbons	1 sac	Anthracologie	8/28/2020	059
PR.6		US.46		Charbons	1 sac	Anthracologie	8/28/2020	
PR.7				Annulé			8/28/2020	
PR.8	F.35	US.104		Charbons	1 sac	Anthracologie	8/28/2020	059
PR.9		US.46		Charbons	10 litres	Anthracologie	8/28/2020	
PR.10		US.46		Sédiment	10 litres	Carpologie et anthracologie	8/28/2020	059
PR.11	F.55	US.111		Sédiment	10 litres	Anthracologie	8/28/2020	
PR.12	F.43	US.95		Charbons	1 sac	Anthracologie	8/28/2020	
PR.13	F.43	US.98		Charbons	1 sac	Anthracologie	8/28/2020	059
PR.14	F.43	US.97		Charbons	1 sac	Anthracologie	8/28/2020	059
PR.15	F.5	US.24		Sédiment	10 litres	Carpologie	8/28/2020	
PR.16		US.126		Charbons	1 sac	Anthracologie	8/28/2020	059
PR.17	F.13	US.30		Sédiment	10 litres	Carpologie	8/30/2020	
PR.18		US.29		Sédiment	10 litres	Carpologie	7/29/2021	
PR.19	F.71	US.245		Sédiment	1 sac	Carpologie	8/4/2021	
PR.20	F.72	US.247		Sédiment	1 sac	Carpologie	8/4/2021	
PR.21	F.32	US.306		Charbons	1 sac	Anthracologie	8/10/2021	059
PR.22		US.112		Charbons	1 sac	Radiocarbone	8/10/2021	059
PR.23	F.35	US.289		Charbons	1 sac	Anthracologie	8/11/2021	059
PR.24		US.46		Charbons	10 litres	Radiocarbone	8/12/2021	
PR.25		US.46		Matière organique	1 sac	Carpologie	8/12/2021	059
PR.26	85	295		Charbons	1 sac	Anthracologie	8/12/2021	
PR.27	F.85						8/12/2021	
PR.28	F.43	US.97		Charbons	1 sac	Anthracologie	8/13/2021	059
PR.29	F.43	US.97		Charbons	1 sac	Radiocarbone	8/13/2021	059
PR.30	F.98	US.385		Charbons	1 sac	Radiocarbone	8/20/2021	065
PR.31		US.259		Sédiment	1 sac	Anthracologie	8/20/2021	
PR.32		US.398		Sédiment	1 sac	Carpologie	8/21/2021	
PR.33	F.86	US.308		Sédiment	10 litres	Carpologie	8/21/2021	066
PR.34	F.53	US.163		Mortier	1 sac	Etude des mortiers	8/23/2021	067
PR.35	F.99	US.400		Charbons	1 sac	Radiocarbone	8/23/2021	066
PR.36	F.45	US.132		Mortier	1 sac	Etude des mortiers	8/23/2021	067
PR.37	F.39	US.156		Mortier	1 sac	Etude des mortiers	8/23/2021	067
PR.38	F.85	US.402		Charbons	1 sac	Anthracologie	8/23/2021	059
PR.39	F.85	US.402		Charbons	1 sac	Radiocarbone	8/23/2021	
PR.40	F.4	US.11		Mortier	1 sac	Etude des mortiers	8/23/2021	067
PR.41	F.84	US.243		Mortier	1 sac	Etude des mortiers	8/23/2021	067
PR.42	F.80	US.358		Mortier	1 sac	Etude des mortiers	8/23/2021	067
PR.43	F.105	US.409		Charbons	1 sac	Radiocarbone	8/23/2021	071
PR.44	F.48	US.183		Charbons	1 sac	Anthracologie	8/23/2021	
PR.45	F.91	US.335		Charbons	1 sac	Anthracologie	8/24/2021	059
PR.46	F.91	US.335		Charbons	1 sac	Radiocarbone	8/24/2021	059
PR.47	F.104	US.415	SD.41	Charbons	1 sac	Radiocarbone	8/24/2021	059
PR.48	F.104	US.415	SD.41	Charbons	1 sac	Anthracologie	8/24/2021	059
PR.49		US.427		Charbons	1 sac	Anthracologie	8/24/2021	086
PR.50	F.110	US.436		Sédiment	1 sac	Radiocarbone	8/25/2021	066

Mutations urbaines à *Nasium* (Meuse) | Rapport intermédiaire 2023

N° prélèvement	Fait	US	Sondage	Nature	Quantité	Analyse	Date	Contenant
PR.51		US.379		Charbons	1 sac	Anthracologie	8/25/2021	086
PR.52		US.420		Charbons	1 sac	Carpologie	8/26/2021	086
PR.53	F.88	US.424		Charbons	1 sac	Radiocarbone	8/27/2021	086
PR.54		US.313		Sédiment	1 bloc	Micromorphologie	8/27/2021	091
PR.55		US.77		Sédiment	1 bloc	Micromorphologie	8/27/2021	091
PR.56		US.449		Sédiment	1 bloc	Micromorphologie	8/27/2021	091
PR.57		US.374		Sédiment	1 bloc	Micromorphologie	8/27/2021	091
PR.58		US.330		Sédiment	1 bloc	Micromorphologie	8/27/2021	091
PR.59		US.471		Sédiment	1 bloc	Micromorphologie	8/27/2021	091
PR.60	F.93			Mortier	1 sac	Etude des mortiers	8/27/2021	067
PR.61							8/27/2021	
PR.62	F.92			Mortier	1 sac	Etude des mortiers	8/27/2021	067
PR.63	F.5	US.23		Mortier	1 sac	Etude des mortiers	8/27/2021	067
PR.64	41			Mortier	1 sac	Etude des mortiers	8/27/2021	067
PR.65	32			Mortier	1 sac	Etude des mortiers	8/27/2021	067
PR.66	F.5	US.23		Mortier	1 sac	Etude des mortiers	8/27/2021	067
PR.67	64			Mortier	1 sac	Etude des mortiers	8/27/2021	067
PR.68		US.331		Sédiment	1 bloc	Micromorphologie	8/27/2021	091
PR.69		US.284		Sédiment	1 bloc	Micromorphologie	8/27/2021	091
PR.70		US.432		Sédiment	1 bloc	Micromorphologie	8/27/2021	091
PR.71		US.370		Sédiment	1 bloc	Micromorphologie	8/27/2021	091
PR.72		US.46		Sédiment	1 bloc	Micromorphologie	8/27/2021	091
PR.73		US.393	14	Sédiment	1 bloc	Micromorphologie	8/27/2021	091
PR.74		US.326	14	Sédiment	1 bloc	Micromorphologie	8/27/2021	091
PR.75		US.331	29	Sédiment	1 bloc	Micromorphologie	8/27/2021	091
PR.76		US.330	29	Sédiment	1 bloc	Micromorphologie	8/27/2021	091
PR.77		US.41		Sédiment	1 bloc	Micromorphologie	8/27/2021	091
PR.78		US.450		Sédiment	1 bloc	Micromorphologie	8/27/2021	091
PR.79		US.372		Sédiment	1 bloc	Micromorphologie	8/27/2021	091
PR.80	F.100	US.112		Céramique	Isolat	Analyse chimique	8/23/2023	
PR.81				Annulé			8/25/2023	

9.7. Inventaire des contenants

N° contenant	Contenu	Liste
Bac 001	Céramique	INV.136 ; INV.56 ; INV.9
Bac 002	Céramique	INV.18 ; INV.264 ; INV.34 ; INV.54 ; INV.88 ; INV.160
Bac 003	Céramique	INV.117 ; INV.93 ; INV.281 ; INV.180 ; INV.106 ; INV.443 ; INV.121 ; INV.199 ; INV.111 ; INV.796 ; INV.147 ; INV.173
Bac 004	Céramique	INV.153
Bac 005	Céramique	INV.153
Bac 006	Céramique	INV.301 ; INV.1343 ; INV.187
Bac 007	Céramique	INV.188 ; INV.454 ; INV.187
Bac 008	Céramique	INV.325
Bac 009	Céramique	INV.290 ; INV.369 ; INV.230 ; INV.267 ; INV.252 ; INV.304 ; INV.241 ; INV.259
Bac 010	Céramique	INV.462 ; INV.318 ; INV.295 ; INV.341 ; INV.274 ; INV.285 ; INV.556 ; INV.401 ; INV.590 ; INV.1181 ; INV.505 ; INV.342 ; INV.477 ; INV.484 ; INV.486 ; INV.419
Bac 011	Céramique	INV.437 ; INV.359 ; INV.1226 ; INV.555 ; INV.479 ; INV.491 ; INV.503 ; INV.629 ; INV.520 ; INV.551 ; INV.532 ; INV.542 ; INV.579 ; INV.576
Bac 012	Céramique	INV.412
Bac 013	Mobilier divers	INV.601 ; INV.595 ; INV.581 ; INV.813 ; INV.637 ; INV.612 ; INV.626 ; INV.836 ; INV.641 ; INV.631 ; INV.957 ; INV.709 ; INV.900 ; INV.841 ; INV.651 ; INV.657 ; INV.658 ; INV.760 ; INV.926 ; INV.969 ; INV.1193 ; INV.838 ; INV.1047 ; INV.1072 ; INV.1001 ; INV.670 ; INV.1007 ; INV.1035 ; INV.1500
Bac 014	Céramique	INV.673 ; INV.693 ; INV.761 ; INV.801 ; INV.685 ; INV.768 ; INV.790 ; INV.762 ; INV.769 ; INV.778 ; INV.793 ; INV.1132 ; INV.814 ; INV.1270
Bac 015	Céramique	INV.848 ; INV.865 ; INV.873 ; INV.880 ; INV.955 ; INV.915 ; INV.1398 ; INV.908 ; INV.1468
Bac 016	Céramique	INV.858
Bac 017	Céramique	INV.858
Bac 018	Céramique	INV.947 ; INV.929 ; INV.1005 ; INV.945 ; INV.960 ; INV.964 ; INV.977 ; INV.1137 ; INV.1013 ; INV.1011 ; INV.981 ; INV.1358 ; INV.1299 ; INV.1058
Bac 019	Céramique	INV.1045 ; INV.1027 ; INV.1064 ; INV.1068 ; INV.1169
Bac 020	Céramique	INV.1097 ; INV.1109 ; INV.1174 ; INV.1395 ; INV.1150 ; INV.1152 ; INV.1215 ; INV.1214 ; INV.1456 ; INV.1426 ; INV.1156 ; INV.1160 ; INV.1165 ; INV.1166 ; INV.1178
Bac 021	Céramique	INV.1188 ; INV.1304 ; INV.1205 ; INV.1202
Bac 022	Céramique	INV.1228 ; INV.1218 ; INV.1236 ; INV.1263 ; INV.1367 ; INV.1370 ; INV.1275 ; INV.1211
Bac 023	Céramique	INV.1271 ; INV.1445 ; INV.1290 ; INV.1279
Bac 024	Céramique	INV.1292
Bac 025	Céramique	INV.1294 ; INV.1293
Bac 026	Céramique	INV.1295
Bac 027	Céramique	INV.1495 ; INV.1295 ; INV.1443
Bac 028	Céramique	INV.1311 ; INV.1332 ; INV.1328 ; INV.1380 ; INV.1351 ; INV.1335 ; INV.1433
Bac 029	Céramique	INV.1423
Bac 030	Céramique	INV.1365 ; INV.1371 ; INV.1396 ; INV.1385 ; INV.1411 ; INV.1410 ; INV.1462 ; INV.1459 ; INV.1458 ; INV.1409 ; INV.1412 ; INV.1437 ; INV.1450 ; INV.1454 ; INV.1474
Bac 031	Céramique	INV.1333
Bac 032		
Bac 033	Mobilier divers	INV.519 ; INV.804 ; INV.104 ; INV.384 ; INV.138 ; INV.502 ; INV.384 ; INV.398 ; INV.332 ; INV.444 ; INV.1006 ; INV.1134 ; INV.985 ; Inv.1015 ; Inv.851 ; Inv.1095 ; Inv.1031 ; Inv.1391 ; Inv.1241 ; Inv.1447 ; INV.1493
Bac 034	Faune	INV.270 ; INV.628 ; INV.413 ; INV.656 ; INV.101 ; INV.660 ; INV.501 ; INV.277 ; INV.269 ; INV.524 ; INV.553 ; INV.343 ; INV.602 ; INV.516 ; INV.577 ; INV.552 ; INV.481 ; INV.640 ; INV.594 ; INV.308 ; INV.616 ; INV.453 ; INV.541 ; INV.638 ; INV.314 ; INV.403 ; INV.619 ; INV.310 ; INV.605 ; INV.436 ; INV.589 ; INV.584 ; INV.461
Bac 035	Composite ; Fer	INV.293 ; INV.44 ; INV.12 ; INV.169 ; INV.214 ; INV.389 ; INV.535 ; INV.400 ; INV.379 ; INV.517 ; INV.592 ; INV.346 ; INV.402 ; INV.373 ; INV.650 ; INV.445 ; INV.622 ; INV.575 ; INV.643 ; INV.618 ; INV.607 ; INV.557 ; INV.554 ; INV.423 ; INV.539 ; INV.438 ; INV.587 ; INV.329 ; INV.507 ; INV.586 ; INV.578 ; INV.164
Bac 036	Terre crue	INV.1285 ; Inv.1301 ; Inv.1053 ; Inv.1330 ; INV.1041 ; Inv.1401 ; Inv.1092 ; Inv.866 ; INV.970 ; INV.903
Bac 037		
Bac 038	Faune	INV.706 ; Inv.1207 ; Inv.998 ; Inv.1149 ; Inv.989 ; Inv.1056 ; Inv.1286 ; INV.1164 ; Inv.1161 ; INV.1408 ; Inv.743 ; Inv.907 ; Inv.1331 ; Inv.1373 ; Inv.839 ; Inv.1312 ; Inv.1438 ; Inv.1428 ; Inv.1016 ; Inv.1155 ; Inv.1212 ; Inv.1168 ; Inv.1087 ; Inv.1277 ; Inv.689 ; Inv.889 ; INV.999 ; Inv.982 ; Inv.849 ; Inv.876 ; INV.1008 ; Inv.961 ; Inv.924 ; Inv.948
Boîte 039	Mobilier divers	INV.951 ; INV.994 ; INV.1038 ; INV.986 ; INV.943 ; INV.983 ; INV.821 ; INV.1034 ; INV.1108 ; INV.1123 ; INV.677 ; INV.992 ; INV.1119 ; INV.1143 ; INV.1258 ; INV.1249 ; INV.1159 ; INV.1192 ; INV.1158 ; INV.1096 ; INV.1210

Mutations urbaines à Nasium (Meuse) | Rapport intermédiaire 2023

N° contenant	Contenu	Liste
Bac 040	Fer	INV.410 ; INV.439 ; INV.372 ; INV.613 ; INV.250 ; INV.574 ; INV.405 ; INV.521 ; INV.540 ; INV.278 ; INV.268 ; INV.344 ; INV.404 ; INV.591 ; INV.582 ; INV.636 ; INV.506 ; INV.606 ; INV.488 ; INV.620 ; INV.307 ; INV.648 ; INV.328 ; INV.258 ; INV.600 ; INV.515 ; INV.361 ; INV.102 ; INV.558 ; INV.621 ; INV.500 ; INV.635 ; INV.593 ; INV.455 ; INV.480 ; INV.112 ; INV.478 ; INV.473 ; INV.475 ; INV.393 ; INV.653 ; INV.615
Bac 041		
Boîte 042	Fer	INV.563 ; INV.545 ; INV.526 ; INV.522 ; INV.530 ; INV.538 ; INV.529 ; INV.494 ; INV.559 ; INV.546 ; INV.490 ; INV.910 ; INV.216 ; INV.499 ; INV.527 ; INV.549 ; INV.510 ; INV.467 ; INV.397 ; INV.568 ; INV.624 ; INV.247 ; INV.248 ; INV.716 ; INV.879 ; INV.493 ; INV.525 ; INV.508 ; INV.97 ; INV.604 ; INV.569 ; INV.712 ; INV.96 ; INV.902 ; INV.798 ; INV.870 ; INV.723 ; INV.686 ; INV.1025 ; INV.912 ; INV.679
Bac 043		
Bac 044	Faune	INV.689 ; INV.807 ; INV.736 ; INV.770 ; INV.763 ; INV.733 ; INV.700 ; INV.694 ; INV.741 ; INV.743 ; INV.675 ; INV.725 ; INV.823 ; INV.774 ; INV.672 ; INV.706 ; INV.797 ; INV.714 ; INV.765 ; INV.695 ; INV.751 ; INV.809 ; INV.776 ; INV.711 ; INV.828 ; INV.842 ; INV.789 ; INV.819 ; INV.839 ; INV.881 ; INV.874 ; INV.719 ; INV.1180 ; INV.1366 ; INV.1059 ; INV.1207 ; INV.857 ; INV.1016 ; INV.876 ; INV.1161
Bac 045	Fer	INV.678 ; INV.782 ; INV.779 ; INV.742 ; INV.935 ; INV.730 ; INV.923 ; INV.829 ; INV.784 ; INV.895 ; INV.840 ; INV.1050 ; INV.832 ; INV.758
Bac 046	Fer	INV.780 ; INV.692 ; INV.771 ; INV.806 ; INV.788 ; INV.737 ; INV.759 ; INV.739 ; INV.934 ; INV.715 ; INV.698 ; INV.696 ; INV.971 ; INV.875 ; INV.688 ; INV.671 ; INV.872 ; INV.853 ; INV.882 ; INV.856 ; INV.905 ; INV.795 ; INV.705 ; INV.674 ; INV.843 ; INV.859 ; INV.726
Boîte 047	Mobilier divers	INV.597 ; INV.528 ; INV.433 ; INV.460 ; INV.415 ; INV.392 ; INV.357 ; INV.266 ; INV.272 ; INV.333 ; INV.237 ; INV.134 ; INV.67 ; INV.73 ; INV.211 ; INV.137 ; INV.123 ; INV.86 ; INV.48 ; INV.32 ; INV.3 ; INV.974
Boîte 048	Mobilier divers	Inv.1040 ; Inv.987 ; Inv.1144 ; INV.1051 ; Inv.927 ; Inv.1084 ; Inv.1004 ; Inv.1101 ; Inv.1377 ; INV.1093 ; Inv.1098 ; INV.1400
Boîte 049	Verre	INV.781 ; INV.772 ; INV.734 ; INV.888 ; INV.860 ; INV.854 ; INV.883 ; INV.811 ; INV.1220 ; INV.1470 ; INV.1143 ; INV.1079 ; INV.1397 ; INV.1416 ; Inv.1077 ; Inv.1239 ; Inv.1192 ; Inv.821 ; Inv.983 ; Inv.1108 ; Inv.1123 ; Inv.1042 ; Inv.986 ; Inv.994 ; Inv.951 ; Inv.990 ; Inv.1038 ; Inv.1257 ; Inv.1284 ; Inv.1159 ; Inv.1249 ; Inv.1490 ; Inv.1119 ; Inv.677 ; Inv.1349 ; Inv.1440 ; Inv.1338 ; Inv.1106 ; Inv.1114 ; Inv.1234 ; Inv.1221 ; Inv.1259 ; Inv.1378 ; Inv.1354
Bac 050		
Bac 051		
Boîte 052		
Boîte 053	Mobilier divers	INV.750 ; INV.896 ; INV.830 ; INV.820 ; Inv.943 ; INV.1491 ; INV.1096 ; Inv.1081 ; Inv.676 ; Inv.1232 ; Inv.1307 ; Inv.1313 ; Inv.1240 ; INV.1272 ; INV.1492 ; Inv.1421 ; INV.1102 ; Inv.786 ; Inv.953 ; Inv.1003 ; Inv.1043 ; Inv.1076 ; Inv.818 ; Inv.892
Bac 054	Lapidaire ; Lithique	INV.303 ; INV.483 ; INV.661 ; INV.193 ; INV.1185 ; Inv.1308 ; Inv.1244 ; Inv.1289
Bac 055		
Boîte 056	Fer	INV.931 ; INV.965 ; INV.939 ; INV.967 ; INV.966 ; INV.745 ; INV.1026 ; INV.683 ; INV.722 ; INV.885 ; INV.862 ; INV.680 ; INV.914 ; INV.933 ; INV.976 ; INV.973 ; INV.975 ; INV.1384 ; INV.1429 ; INV.1415 ; INV.1389 ; INV.1449 ; INV.746
Bac 057		
Boîte 058	Céramique	INV.884 ; INV.130 ; INV.177 ; INV.805 ; INV.223 ; INV.195 ; INV.1021 ; INV.1020 ; INV.497
Bac 059	Prélèvements divers	PR.22 ; PR.23 ; PR.46 ; PR.8 ; PR.25 ; PR.5 ; PR.4 ; PR.16 ; PR.21 ; PR.10 ; PR.14 ; PR.29 ; PR.28 ; PR.2 ; PR.47 ; PR.45 ; PR.48 ; PR.38 ; PR.13
Bac 060	Composite ; Fer	Inv.1463 ; Inv.678 ; Inv.1091 ; Inv.1352 ; Inv.1163 ; Inv.1375 ; Inv.1071 ; Inv.708 ; Inv.891 ; Inv.824 ; Inv.1116 ; Inv.1242 ; Inv.1024 ; Inv.1175 ; Inv.802 ; Inv.1066 ; Inv.1018 ; Inv.895 ; Inv.1320 ; Inv.1432 ; Inv.1019 ; Inv.1361 ; Inv.1369 ; Inv.1414 ; Inv.1049 ; Inv.832 ; Inv.833 ; Inv.1145 ; Inv.1142 ; Inv.1009 ; Inv.791 ; INV.1477 ; INV.748 ; Inv.727 ; Inv.968 ; Inv.897 ; Inv.1157 ; Inv.817 ; Inv.991 ; Inv.1094 ; Inv.1230 ; Inv.1199 ; Inv.1261 ; INV.1480 ; Inv.1223 ; Inv.1287 ; Inv.1200 ; Inv.1055 ; INV.995 ; Inv.1475 ; INV.1482 ; Inv.1111
Bac 061	Faune	INV.1044 ; INV.907 ; INV.924 ; INV.815 ; INV.998 ; INV.837
Boîte 062	Faune	INV.1000 ; INV.812 ; INV.941 ; INV.1012 ; INV.1136 ; Inv.785 ; Inv.1088 ; Inv.911 ; Inv.1388 ; Inv.1441 ; INV.1283 ; Inv.1083 ; Inv.753 ; Inv.1379
Bac 063		
Bac 064		
Bac 065	Charbons	PR.30
Bac 066	Charbons ; Sédiment	PR.35 ; PR.33 ; PR.50
Bac 067	Mortier	PR.41 ; PR.42 ; PR.40 ; PR.34 ; PR.37 ; PR.36 ; PR.60 ; PR.65 ; PR.66 ; PR.62 ; PR.64 ; PR.67 ; PR.63
Bac 068		
Bac 069		
Boîte 070	Fer	Inv.1224 ; Inv.1057 ; Inv.1052 ; Inv.1125 ; INV.1488 ; Inv.1404 ; Inv.1154 ; Inv.1341 ; Inv.1297 ; Inv.1090 ; INV.1129 ; Inv.1182 ; Inv.1216 ; Inv.1115 ; Inv.1128 ; Inv.1060 ; Inv.1424 ; Inv.1405 ; Inv.1296 ; Inv.1243 ; Inv.1298 ; Inv.1472 ; Inv.1473 ; Inv.1201 ; Inv.1430

Mutations urbaines à Nasium (Meuse) | Rapport intermédiaire 2023

N° contenant	Contenu	Liste
Bac 071	Charbons	PR.43
Boîte 072		
Boîte 073	Lithique	INV.1323 ; INV.1431 ; INV.1337 ; INV.1302
Boîte 074	Céramique	INV.1497
Boîte 075	Mobilier divers	INV.682 ; INV.1251 ; INV.1247 ; INV.1203 ; INV.1187 ; INV.707 ; INV.754 ; INV.681 ; INV.1306 ; INV.752 ; INV.899 ; INV.1139 ; INV.919 ; INV.1172 ; INV.936 ; INV.703 ; INV.1267 ; INV.1327 ; INV.1281 ; INV.1314 ; INV.1325 ; INV.1280 ; INV.1282 ; INV.1305 ; INV.1435 ; INV.1387 ; INV.1403 ; INV.1386 ; INV.1402 ; INV.1265 ; INV.596
Boîte 076	Lithique	Inv.877 ; Inv.1417 ; Inv.1406 ; Inv.1302 ; Inv.1323 ; Inv.1337 ; Inv.1431 ; Inv.16 ; INV.878 ; INV.15 ; INV.847
Boîte 077	Alliage cuivreux	INV.1262 ; Inv.1288 ; Inv.1117 ; Inv.1086 ; Inv.1022 ; Inv.1034 ; Inv.309 ; Inv.846
Bac 078		
Bac 079	Lithique ; Boîte	INV.1302 ; Boîte 073
Bac 080		
Bac 081	Fer	Inv.1452 ; Inv.1278 ; Inv.1446 ; Inv.1439 ; INV.671 ; Inv.1455 ; Inv.872 ; Inv.674 ; Inv.715 ; Inv.971 ; Inv.1074 ; Inv.1336 ; Inv.810 ; Inv.1300 ; Inv.688 ; Inv.1032 ; Inv.1381 ; Inv.1255 ; Inv.1356 ; Inv.1273 ; Inv.1436 ; Inv.1355 ; INV.1372 ; Inv.1321 ; Inv.1419 ; Inv.834 ; Inv.898 ; Inv.954 ; Inv.1048 ; Inv.794 ; Inv.861 ; Inv.844 ; Inv.869 ; Inv.783 ; Inv.925 ; Inv.749 ; Inv.979 ; Inv.909 ; Inv.930 ; Inv.904 ; Inv.867 ; Inv.1170 ; Inv.1264 ; Inv.1461 ; Inv.949 ; Inv.1427 ; Inv.1206 ; Inv.1176 ; Inv.1360 ; Inv.1029 ; Inv.1393 ; Inv.1399 ; Inv.1033 ; Inv.827 ; Inv.1070 ; Inv.887 ; Inv.863 ; Inv.1171 ; INV.984 ; Inv.952 ; Inv.717 ; INV.1184 ; Inv.942 ; Inv.764 ; Inv.816 ; Inv.710 ; INV.1476 ; Inv.946 ; Inv.826 ; Inv.920 ; Inv.777 ; INV.726 ; Inv.993 ; Inv.1105 ; Inv.1010 ; Inv.890 ; Inv.859 ; Inv.1135 ; Inv.1246 ; Inv.871 ; Inv.1227 ; Inv.1191 ; Inv.882 ; Inv.856 ; Inv.1138 ; Inv.1183 ; INV.1198 ; INV.1067 ; Inv.835 ; Inv.1167 ; Inv.1173 ; Inv.1222 ; Inv.1266 ; Inv.1089 ; Inv.1118 ; Inv.1237 ; Inv.1124 ; Inv.1229 ; Inv.1196 ; INV.1478 ; Inv.1197 ; Inv.1194 ; Inv.962 ; INV.1479 ; Inv.705 ; Inv.1219 ; Inv.1062 ; Inv.1208 ; INV.1481 ; INV.997 ; Inv.1179 ; INV.913
Bac 082	Lithique	INV.852
Bac 083		
Bac 084	Lithique	Inv.645
Bac 085	Lithique	Inv.353 ; Inv.386
Bac 086	Charbons	PR.49 ; PR.51 ; PR.52 ; PR.53
Boîte 087	Verre	INV.1489 ; Inv.1418 ; Inv.1347
Bac 088	Faune	INV.1082 ; Inv.1059 ; INV.857 ; Inv.1425 ; Inv.1253 ; Inv.1394 ; Inv.1366 ; Inv.1368 ; INV.1204 ; Inv.1190 ; Inv.1177 ; Inv.1039 ; Inv.1334 ; Inv.1063 ; Inv.1233 ; Inv.1110 ; Inv.1464 ; Inv.1460 ; Inv.1451 ; Inv.1225 ; Inv.1180 ; INV.741 ; INV.1209 ; Inv.675 ; Inv.1104 ; Inv.672 ; Inv.1457 ; Inv.1291 ; Inv.1444 ; Inv.1319 ; Inv.1382 ; INV.809 ; Inv.1028 ; Inv.958 ; Inv.1046 ; Inv.1359 ; Inv.1376 ; INV.1434 ; Inv.1195 ; INV.1113 ; Inv.837 ; Inv.1235 ; Inv.1122 ; Inv.1217 ; INV.719 ; Inv.1268 ; Inv.881 ; Inv.1044 ; Inv.1151 ; Inv.792 ; Inv.1107 ; Inv.1075 ; Inv.956 ; Inv.944 ; Inv.978 ; INV.1408 ; Inv.1353 ; Inv.1413
Bac 089		
Bac 090	Lithique	INV.1362 ; INV.1364
Bac 091	Sédiment	PR.68 ; PR.69 ; PR.70 ; PR.71 ; PR.72 ; PR.73 ; PR.74 ; PR.75 ; PR.76 ; PR.77 ; PR.78 ; PR.79 ; PR.54 ; PR.59 ; PR.58 ; PR.57 ; PR.56 ; PR.55
Boîte 092	Mobilier divers	INV.1080 ; INV.1329 ; INV.1276 ; INV.980 ; INV.124 ; INV.1103 ; INV.627 ; INV.426 ; INV.720 ; INV.496 ; INV.2 ; INV.1339 ; INV.1269 ; INV.424 ; INV.570 ; INV.200 ; INV.854 ; INV.321
Bac 093		
Bac 094		
Bac 095		
Bac 096		
Bac 097		
Bac 098		
Bac 099	Composite ; Fer	INV.1213 ; INV.1189 ; Inv.963 ; Inv.1030 ; Inv.1162 ; Inv.1061 ; Inv.1274 ; Inv.1407 ; Inv.1453
Bac 100	Lapidaire ; Lithique	Inv.645 ; Inv.348 ; Inv.418
Bac 101	Lapidaire ; Lithique	Inv.485 ; Inv.1238
Bac 102	Lapidaire ; Lithique	Inv.646 ; Inv.356 ; Inv.928
Bac 103		

9.8. Inventaire des minutes

N° minute	Support	Sujets	Auteur	Date
G.1	Millimétré A4	F.8 (Plan + coupe ; 1:20) ; US.25 (Plan + coupe ; 1:20) ; US.26 (Plan + coupe ; 1:20) ; US.32 (Plan + coupe ; 1:20) ; US.33 (Plan + coupe ; 1:20)	Josse Lucas	8/5/2020
G.2	Millimétré A4	F.3 (Coupe ; 1:20) ; US.12 (Coupe ; 1:20) ; US.15 (Coupe ; 1:20) ; US.18 (Coupe ; 1:20) ; US.43 (Coupe ; 1:20) ; US.44 (Coupe ; 1:20)	Véber Jeanne	8/5/2020
G.3	Millimétré A4	F.7 (Annulé ; 1:20) ; US.20 (Annulé ; 1:20) ; US.21 (Annulé ; 1:20)	Poumirau Adrien	8/4/2020
G.4	Millimétré A4	F.27 (Croquis ; X) ; F.5 (Croquis ; X) ; F.7 (Croquis ; X) ; F.23 (Croquis ; X) ; F.13 (Croquis ; X) ; F.3 (Croquis ; X) ; F.4 (Croquis ; X) ; US.16 (Croquis ; X) ; US.21 (Croquis ; X) ; US.23 (Croquis ; X) ; Ensemble B (Croquis ; X) ; Ensemble C (Croquis ; X)	Setan Mathilde	8/3/2020
G.5	Millimétré A4	F.5 (Croquis ; X) ; F.7 (Croquis ; X) ; F.3 (Croquis ; X) ; F.4 (Croquis ; X) ; F.11 (Croquis ; X) ; F.25 (Croquis ; X) ; F.9 (Croquis ; X) ; F.13 (Croquis ; X) ; Ensemble B (Croquis ; X) ; Ensemble C (Croquis ; X)	Véber Jeanne	8/4/2020
G.6	Millimétré A4	F.5 (Croquis ; X) ; F.13 (Croquis ; X) ; F.7 (Croquis ; X) ; F.3 (Croquis ; X) ; F.4 (Croquis ; X) ; Ensemble A (Croquis ; X) ; Ensemble B (Croquis ; X) ; Ensemble C (Croquis ; X) ; SD.1 (Croquis ; X) ; SD.2 (Croquis ; X)	Poinsignon Manon	8/6/2020
G.7	Millimétré A4	F.7 (Plan + coupe ; 1:20) ; F.23 (Plan + coupe ; 1:20) ; US.20 (Plan + coupe ; 1:20) ; US.21 (Plan + coupe ; 1:20) ; US.58 (Plan + coupe ; 1:20) ; US.59 (Plan + coupe ; 1:20) ; CP.8 (Coupe ; 1:20)	Wissemberg Lucie	8/6/2020
G.8	Millimétré A4	F.7 (Croquis ; X) ; F.5 (Croquis ; X) ; F.13 (Croquis ; X) ; F.8 (Croquis ; X) ; F.4 (Croquis ; X) ; US.25 (Croquis ; X) ; US.26 (Croquis ; X) ; US.32 (Croquis ; X) ; US.33 (Croquis ; X) ; Ensemble A (Croquis ; X) ; Ensemble B (Croquis ; X) ; Ensemble C (Croquis ; X) ; Ensemble D (Croquis ; X)	Leroy Morgan	8/7/2020
G.9	Millimétré A4	F.13 (Croquis ; X) ; F.5 (Croquis ; X) ; F.8 (Croquis ; X) ; F.7 (Croquis ; X) ; F.12 (Croquis ; X) ; F.11 (Croquis ; X) ; US.30 (Croquis ; X) ; US.45 (Croquis ; X) ; US.10 (Croquis ; X) ; US.24 (Croquis ; X) ; US.22 (Croquis ; X) ; US.50 (Croquis ; X) ; Ensemble A (Croquis ; X) ; Ensemble B (Croquis ; X) ; Ensemble C (Croquis ; X) ; Ensemble D (Croquis ; X)	Setan Mathilde	8/8/2020
G.10	Millimétré A4	F.29 (Plan + coupe ; 1:20) ; F.9 (Plan + coupe ; 1:20) ; US.78 (Plan + coupe ; 1:20) ; US.79 (Plan + coupe ; 1:20) ; US.27 (Plan + coupe ; 1:20) ; US.28 (Plan + coupe ; 1:20)	Véber Jeanne	8/13/2020
G.11	Millimétré A4	F.25 (Croquis ; X) ; F.13 (Croquis ; X) ; F.11 (Croquis ; X) ; F.12 (Croquis ; X) ; US.37 (Croquis ; X) ; US.29 (Croquis ; X) ; US.22 (Croquis ; X) ; US.48 (Croquis ; X) ; US.47 (Croquis ; X)	Compère Mathieu	8/14/2020
G.12	Millimétré A4	F.28 (Coupe ; 1:20) ; F.20 (Coupe ; 1:20) ; US.53 (Coupe ; 1:20) ; US.56 (Coupe ; 1:20) ; US.82 (Coupe ; 1:20) ; US.46 (Coupe ; 1:20) ; US.65 (Coupe ; 1:20) ; US.69 (Coupe ; 1:20) ; SD.2 (Coupe ; 1:20)	Leroy Morgan	8/15/2020
G.13	Millimétré A4	F.28 (Croquis ; X) ; F.11 (Croquis ; X) ; F.3 (Croquis ; X) ; F.4 (Croquis ; X) ; F.29 (Croquis ; X) ; Ensemble A (Croquis ; X) ; Ensemble B (Croquis ; X) ; Ensemble C (Croquis ; X) ; Ensemble D (Croquis ; X) ; SD.1 (Croquis ; X) ; SD.2 (Croquis ; X) ; SD.3 (Croquis ; X)	Poinsignon Manon	11/14/2020
G.14	Millimétré A4	F.4 (Croquis ; 1:20) ; F.8 (Croquis ; 1:20) ; F.29 (Croquis ; 1:20) ; F.12 (Croquis ; 1:20) ; F.5 (Croquis ; 1:20) ; US.111 (Croquis ; X) ; US.51 (Croquis ; X) ; US.83 (Croquis ; X) ; US.47 (Croquis ; X) ; US.112 (Croquis ; X) ; US.41 (Croquis ; X) ; US.82 (à compléter) ; US.53 (à compléter) ; US.46 (à compléter) ; US.24 (à compléter) ; Ensemble A (Croquis ; X) ; Ensemble B (Croquis ; X) ; Ensemble C (Croquis ; X) ; Ensemble D (Croquis ; X)	Poumirau Adrien	8/19/2020
G.15	Millimétré A4	F.23 (Croquis ; X) ; F.5 (Croquis ; X) ; F.40 (Croquis ; X) ; F.13 (Croquis ; X) ; US.77 (Croquis ; X) ; US.46 (Croquis ; X) ; US.121 (Croquis ; X) ; US.65 (Croquis ; X) ; US.41 (Croquis ; X) ; US.119 (Croquis ; X) ; US.120 (Croquis ; X) ; US.47 (Croquis ; X) ; US.84 (Croquis ; X) ; US.111 (Croquis ; X) ; US.109 (Croquis ; X) ; Ensemble A (Croquis ; X) ; Ensemble B (Croquis ; X) ; Ensemble C (Croquis ; X) ; Ensemble D (Croquis ; X)	Josse Lucas	8/20/2020
G.16	Millimétré A4	F.5 (Croquis ; X) ; F.34 (Croquis ; X) ; F.13 (Croquis ; X) ; F.16 (Croquis ; X) ; US.100 (Croquis ; X) ; US.122 (Croquis ; X) ; US.46 (Croquis ; X) ; US.123 (Croquis ; X) ; US.125 (Croquis ; X) ; US.47 (Croquis ; X) ; US.124 (Croquis ; X) ; US.126 (Croquis ; X) ; US.99 (Croquis ; X) ; US.83 (Croquis ; X) ; US.111 (Croquis ; X) ; Ensemble A (Croquis ; X) ; Ensemble B (Croquis ; X) ; Ensemble C (Croquis ; X) ; Ensemble D (Croquis ; X)	Bruncher Quentin	8/21/2020
G.17	Millimétré A4	F.16 (Plan ; 1:20) ; US.54 (Plan ; 1:20) ; US.55 (Plan ; 1:20) ; US.129 (Plan ; 1:20)	Salles Baptiste	8/23/2020
G.18	Millimétré A4	F.34 (Coupe ; 1:20) ; US.101 (Coupe ; 1:20) ; US.102 (Coupe ; 1:20) ; US.103 (Coupe ; 1:20) ; US.144 (Coupe ; 1:20) ; US.159 (Coupe ; 1:20) ; US.160 (Coupe ; 1:20) ; US.171 (Coupe ; 1:20) ; US.172 (Coupe ; 1:20) ; US.41 (Coupe ; 1:20) ; US.146 (Coupe ; 1:20) ; US.180 (Coupe ; 1:20) ; US.150 (Coupe ; 1:20) ; SD.4 (Coupe ; 1:20)	Véber Jeanne	8/25/2020
G.19	Millimétré A4	F.46 (Annulé ; 1:20) ; US.142 (Annulé ; 1:20) ; US.143 (Annulé ; 1:20)	Poinsignon Manon	8/26/2020
G.20	Millimétré A4	F.34 (Coupe ; 1:20) ; US.101 (Coupe ; 1:20) ; US.102 (Coupe ; 1:20) ; US.103 (Coupe ; 1:20) ; US.144 (Coupe ; 1:20) ; US.159 (Coupe ; 1:20) ; US.160 (Coupe ; 1:20) ; US.171 (Coupe ; 1:20) ; US.172 (Coupe ; 1:20) ; US.150 (Coupe ; 1:20) ; SD.4 (Coupe ; 1:20)	Bonaventure Bertrand	8/26/2020
G.21	Millimétré A4	US.46 (Croquis ; X) ; US.76 (Croquis ; X) ; US.145 (Croquis ; X) ; US.75 (Croquis ; X) ; US.98 (Croquis ; X) ; US.62 (Croquis ; X) ; US.75 (Croquis ; X) ; Ensemble C (Croquis ; X) ; Espace C4 (Croquis ; X) ; SD.2 (Croquis ; X)		8/27/2020
G.22	Millimétré A4	F.20 (Coupe ; 1:20) ; F.28 (Coupe ; 1:20) ; US.121 (Coupe ; 1:20) ; US.122 (Coupe ; 1:20) ; US.46 (Coupe ; 1:20) ; US.22 (Coupe ; 1:20) ; US.65 (Coupe ; 1:20) ; US.82 (Coupe ; 1:20) ; US.69 (Coupe ; 1:20) ; US.56 (Coupe ; 1:20) ; Ensemble C (Coupe ; 1:20) ; Espace C1 (Coupe ; 1:20) ; Espace C8 (Coupe ; 1:20) ; SD.2 (Coupe ; 1:20)	Leroy Morgan	8/27/2020
G.23	Millimétré A4	F.4 (Croquis ; X) ; US.156 (Croquis ; 1:20) ; US.132 (Croquis ; 1:20) ; US.153 (Croquis ; 1:20) ; US.154 (Croquis ; 1:20) ; US.163 (Croquis ; 1:20) ; US.173 (Croquis ; 1:20) ; Ensemble A (Croquis ; X)	Mailly Camille	8/27/2020

Mutations urbaines à Nasium (Meuse) | Rapport intermédiaire 2023

N° minute	Support	Sujets	Auteur	Date
G.24	Millimétré A4	F.52 (Croquis ; X) ; F.7 (Croquis ; X) ; F.23 (Croquis ; X) ; F.11 (Croquis ; X) ; F.42 (Croquis ; X) ; US.20 (Croquis ; X) ; US.21 (Croquis ; X) ; US.58 (Croquis ; X) ; US.59 (Croquis ; X) ; US.158 (Croquis ; X) ; US.161 (Croquis ; X) ; US.162 (Croquis ; X) ; US.35 (Croquis ; X) ; US.149 (Croquis ; X) ; US.157 (Croquis ; X) ; US.133 (Croquis ; X) ; US.158 (Croquis ; X) ; US.161 (Croquis ; X) ; US.162 (Croquis ; X) ; Ensemble B (Croquis ; X) ; Espace B4 (Croquis ; X) ; Espace B5 (Croquis ; X)	Guyonvarc'h Léa	8/27/2020
G.25	Millimétré A4	F.58 (Croquis ; X) ; F.38 (Croquis ; X) ; F.57 (Croquis ; X) ; F.31 (Croquis ; X) ; F.16 (Croquis ; X) ; F.29 (Croquis ; X) ; F.44 (Croquis ; X) ; US.175 (Croquis ; X) ; US.176 (Croquis ; X) ; US.139 (Croquis ; X) ; US.140 (Croquis ; X) ; US.141 (Croquis ; X) ; US.164 (Croquis ; X) ; US.165 (Croquis ; X) ; US.186 (Croquis ; X) ; US.167 (Croquis ; X) ; US.170 (Croquis ; X) ; US.130 (Croquis ; X) ; US.78 (Croquis ; X) ; US.79 (Croquis ; X) ; Ensemble B (Croquis ; X) ; Espace B5 (Croquis ; X)		8/27/2020
G.26	Millimétré A4	F.5 (Croquis ; X) ; US.24 (Croquis ; X) ; US.69 (Croquis ; X) ; US.169 (Croquis ; X) ; US.168 (Croquis ; X) ; US.127 (Croquis ; X) ; Ensemble C (Croquis ; X) ; Espace C6 (Croquis ; X) ; SD.3 (Croquis ; X)	Poinsignon Manon	8/27/2020
G.27	Millimétré A4	F.5 (Coupe ; 1:20) ; US.24 (Coupe ; 1:20) ; US.1 (Coupe ; 1:20) ; US.2 (Coupe ; 1:20) ; US.123 (Coupe ; 1:20) ; US.125 (Coupe ; 1:20) ; US.41 (Coupe ; 1:20) ; Ensemble D (Coupe ; 1:20) ; Ensemble C (Coupe ; 1:20) ; SD.3 (Coupe ; 1:20) ; CP.6 (Coupe ; 1:20)	Martel Angélique	8/27/2020
G.28	Millimétré A4	F.31 (Coupe ; 1:20) ; F.12 (Coupe ; 1:20) ; F.66 (Coupe ; 1:20) ; F.59 (Coupe ; 1:20) ; US.1 (Coupe ; 1:20) ; US.2 (Coupe ; 1:20) ; US.86 (Coupe ; 1:20) ; US.87 (Coupe ; 1:20) ; US.34 (Coupe ; 1:20) ; US.112 (Coupe ; 1:20) ; US.179 (Coupe ; 1:20) ; US.47 (Coupe ; 1:20) ; US.178 (Coupe ; 1:20) ; US.48 (Coupe ; 1:20) ; US.198 (Coupe ; 1:20) ; US.199 (Coupe ; 1:20) ; US.177 (Coupe ; 1:20) ; US.182 (Coupe ; 1:20) ; Ensemble C (Coupe ; 1:20) ; Espace C2 (Coupe ; 1:20) ; SD.1 (Coupe ; 1:20) ; CP.5 (Coupe ; 1:20)	Poumirau Adrien	8/27/2020
G.29	Millimétré A4	F.13 (Coupe ; 1:20) ; US.1 (Coupe ; 1:20) ; US.2 (Coupe ; 1:20) ; US.13 (Coupe ; 1:20) ; Ensemble C (Coupe ; 1:20) ; SD.4 (Coupe ; 1:20) ; CP.5 (Coupe ; 1:20)	Heimann Arthur	8/27/2020
G.30	Millimétré A4	F.14 (Coupe ; 1:10) ; US.41 (Coupe ; 1:10) ; US.146 (Coupe ; 1:10) ; US.196 (Coupe ; 1:10) ; US.197 (Coupe ; 1:10) ; Ensemble C (Coupe ; 1:20) ; Espace C7 (Coupe ; 1:20) ; SD.4 (Coupe ; 1:10)	Véber Jeanne	8/27/2020
G.31	Millimétré A4	US.41 (Coupe ; 1:10) ; US.146 (Coupe ; 1:10) ; US.196 (Coupe ; 1:10) ; Ensemble C (Coupe ; 1:20) ; Espace C5 (Coupe ; 1:20) ; SD.4 (Coupe ; 1:10)	Heimann Arthur	8/28/2020
G.32	Millimétré A4	F.14 (Coupe ; 1:20) ; F.6 (Coupe ; 1:20) ; F.28 (Coupe ; 1:20) ; F.44 (Coupe ; 1:20) ; US.56 (Coupe ; 1:20) ; US.53 (Coupe ; 1:20) ; US.65 (Coupe ; 1:20) ; US.131 (Coupe ; 1:20) ; US.46 (Coupe ; 1:20) ; US.82 (Coupe ; 1:20) ; US.41 (Coupe ; 1:20) ; Ensemble C (Coupe ; 1:20) ; Espace C4 (Coupe ; 1:20) ; Espace C9 (Coupe ; 1:20) ; SD.2 (Coupe ; 1:20)	Guyonvarc'h Léa	8/27/2020
G.33	Millimétré A4	F.28 (Coupe ; 1:20) ; F.36 (Coupe ; 1:20) ; US.41 (Coupe ; 1:20) ; US.69 (Coupe ; 1:20) ; US.121 (Coupe ; 1:20) ; US.122 (Coupe ; 1:20) ; US.46 (Coupe ; 1:20) ; US.77 (Coupe ; 1:20) ; US.106 (Coupe ; 1:20) ; US.107 (Coupe ; 1:20) ; US.205 (Coupe ; 1:20) ; Ensemble C (Coupe ; 1:20) ; Espace C4 (Coupe ; 1:20) ; Espace C9 (Coupe ; 1:20) ; SD.2 (Coupe ; 1:20)	Leroy Morgan	8/28/2020
G.34	Millimétré A4	F.14 (Coupe ; 1:20) ; F.20 (Coupe ; 1:20) ; US.41 (Coupe ; 1:20) ; US.69 (Coupe ; 1:20) ; US.125 (Coupe ; 1:20) ; Ensemble C (Coupe ; 1:20) ; Espace C6 (Coupe ; 1:20) ; Espace C9 (Coupe ; 1:20) ; SD.3 (Coupe ; 1:20)	Martel Angélique	8/28/2020
G.35	Millimétré A4	F.31 (Croquis ; X) ; F.41 (Croquis ; X) ; F.64 (Croquis ; X) ; F.32 (Croquis ; X) ; F.25 (Croquis ; X) ; US.86 (Croquis ; X) ; US.87 (Croquis ; X) ; US.112 (Croquis ; X) ; US.91 (Croquis ; X) ; US.136 (Croquis ; X) ; US.135 (Croquis ; X) ; US.183 (Croquis ; X) ; US.184 (Croquis ; X) ; US.185 (Croquis ; X) ; US.174 (Croquis ; X) ; US.189 (Croquis ; X) ; US.190 (Croquis ; X) ; US.191 (Croquis ; X) ; US.192 (Croquis ; X) ; US.186 (Croquis ; X) ; Ensemble C (Croquis ; X) ; Espace C2 (Croquis ; X) ; SD.1 (Croquis ; X)	Martel Angélique	8/28/2020
G.36	Millimétré A4	F.35 (Coupe ; 1:20) ; F.12 (Coupe ; 1:20) ; F.14 (Coupe ; 1:20) ; F.47 (Coupe ; 1:20) ; F.48 (Coupe ; 1:20) ; F.20 (Coupe ; 1:20) ; US.69 (Coupe ; 1:20) ; US.124 (Coupe ; 1:20) ; US.135 (Coupe ; 1:20) ; US.41 (Coupe ; 1:20) ; US.112 (Coupe ; 1:20) ; US.47 (Coupe ; 1:20) ; US.126 (Coupe ; 1:20) ; US.201 (Coupe ; 1:20) ; US.118 (Coupe ; 1:20) ; US.210 (Coupe ; 1:20) ; Ensemble C (Coupe ; 1:20) ; Espace C2 (Coupe ; 1:20) ; Espace C7 (Coupe ; 1:20) ; SD.1 (Coupe ; 1:20)	Bruncher Quentin	8/28/2020
G.37	Millimétré A4	F.7 (Coupe ; 1:20) ; F.5 (Coupe ; 1:20) ; US.20 (Coupe ; 1:20) ; US.21 (Coupe ; 1:20) ; US.24 (Coupe ; 1:20) ; US.74 (Coupe ; 1:20) ; US.41 (Coupe ; 1:20) ; US.29 (Coupe ; 1:20) ; US.133 (Coupe ; 1:20) ; US.131 (Coupe ; 1:20) ; US.100 (Coupe ; 1:20) ; US.56 (Coupe ; 1:20) ; Ensemble C (Coupe ; 1:20) ; Ensemble B (Coupe ; 1:20) ; Espace C4 (Coupe ; 1:20) ; Espace C9 (Coupe ; 1:20)	Février Serge	8/28/2020
G.38	Millimétré A4	F.13 (Croquis ; X) ; F.34 (Croquis ; X) ; US.146 (Croquis ; X) ; US.150 (Croquis ; X) ; US.172 (Croquis ; X) ; US.180 (Croquis ; X) ; Ensemble C (Croquis ; X) ; Espace C7 (Croquis ; X) ; SD.4 (Croquis ; X)	Rodriguez Miguel	8/28/2020
G.39	Photo interprétée	F.67 (Coupe ; 1:20) ; US.209 (Coupe ; 1:20) ; US.185 (Coupe ; 1:20) ; US.209 (Coupe ; 1:20) ; US.208 (Coupe ; 1:20) ; US.210 (Coupe ; 1:20) ; US.212 (Coupe ; 1:20) ; US.214 (Coupe ; 1:20) ; US.213 (Coupe ; 1:20) ; Ensemble C (Coupe ; X) ; Espace C1 (Coupe ; X) ; Espace C8 (Coupe ; X) ; Espace C2 (Coupe ; X) ; SD.1 (Coupe ; 1:20)	Rodriguez Miguel	11/16/2020
G.40	Photo interprétée	F.25 (Coupe ; 1:50) ; F.31 (Coupe ; 1:50) ; F.64 (Coupe ; 1:50) ; F.41 (Coupe ; 1:50) ; F.32 (Coupe ; 1:50) ; US.80 (Coupe ; 1:50) ; US.89 (Coupe ; 1:50) ; US.90 (Coupe ; 1:50) ; US.48 (Coupe ; 1:50) ; US.85 (Coupe ; 1:50) ; US.86 (Coupe ; 1:50) ; US.87 (Coupe ; 1:50) ; US.182 (Coupe ; 1:50) ; US.207 (Coupe ; 1:50) ; US.206 (Coupe ; 1:50) ; US.93 (Coupe ; 1:50) ; US.41 (Coupe ; 1:50) ; US.91 (Coupe ; 1:50) ; US.130 (Coupe ; 1:50) ; US.105 (Coupe ; 1:50) ; Ensemble C (Coupe ; X) ; Espace C2 (Coupe ; X) ; Espace C7 (Coupe ; X) ; SD.1 (Coupe ; 1:50)	Rodriguez Miguel	11/16/2020
G.41	Photo interprétée	F.15 (Coupe ; 1:20) ; F.55 (Coupe ; 1:20) ; F.56 (Coupe ; 1:20) ; F.50 (Coupe ; 1:20) ; US.109 (Coupe ; 1:20) ; US.110 (Coupe ; 1:20) ; US.111 (Coupe ; 1:20) ; US.137 (Coupe ; 1:20) ; US.154 (Coupe ; 1:20) ; US.155 (Coupe ; 1:20) ; US.153 (Coupe ; 1:20) ; US.49 (Coupe ; 1:20) ; US.14 (Coupe ; 1:20) ; Ensemble A (Coupe ; X)	Rodriguez Miguel	11/16/2020
G.42	Photo interprétée	F.49 (Coupe ; 1:20) ; F.55 (Coupe ; 1:20) ; US.151 (Coupe ; 1:20) ; US.152 (Coupe ; 1:20) ; US.137 (Coupe ; 1:20) ; US.14 (Coupe ; 1:20) ; US.49 (Coupe ; 1:20) ; Ensemble A (Coupe ; X)	Rodriguez Miguel	11/16/2020

Mutations urbaines à Nasium (Meuse) | Rapport intermédiaire 2023

N° minute	Support	Sujets	Auteur	Date
G.43	Photo interprétée	F.6 (Coupe ; 1:30) ; F.27 (Coupe ; 1:30) ; F.30 (Coupe ; 1:30) ; F.44 (Coupe ; 1:30) ; F.52 (Coupe ; 1:30) ; US.29 (Coupe ; 1:30) ; US.100 (Coupe ; 1:30) ; US.99 (Coupe ; 1:30) ; US.19 (Coupe ; 1:30) ; US.83 (Coupe ; 1:30) ; US.131 (Coupe ; 1:30) ; US.133 (Coupe ; 1:30) ; US.157 (Coupe ; 1:30) ; US.216 (Coupe ; 1:30) ; US.217 (Coupe ; 1:30) ; Ensemble B (Coupe ; X)	Rodriguez Miguel	11/16/2020
G.44	Photo interprétée	F.6 (Coupe ; 1:30) ; F.27 (Coupe ; 1:30) ; F.30 (Coupe ; 1:30) ; F.8 (Coupe ; 1:30) ; F.44 (Coupe ; 1:30) ; F.52 (Coupe ; 1:30) ; F.69 (Coupe ; 1:20) ; US.17 (Coupe ; 1:30) ; US.22 (Coupe ; 1:30) ; US.29 (Coupe ; 1:30) ; US.19 (Coupe ; 1:30) ; US.51 (Coupe ; 1:30) ; US.99 (Coupe ; 1:30) ; US.84 (Coupe ; 1:30) ; US.83 (Coupe ; 1:30) ; US.131 (Coupe ; 1:30) ; US.133 (Coupe ; 1:30) ; US.149 (Coupe ; 1:30) ; US.157 (Coupe ; 1:30) ; US.195 (Coupe ; 1:30) ; US.167 (Coupe ; 1:30) ; US.166 (Coupe ; 1:30) ; Ensemble B (Coupe ; X)	Rodriguez Miguel	11/16/2020
G.45	Photo interprétée	F.16 (Coupe ; 1:50) ; F.31 (Coupe ; 1:50) ; F.25 (Coupe ; 1:50) ; US.54 (Coupe ; 1:50) ; US.55 (Coupe ; 1:50) ; US.129 (Coupe ; 1:50) ; US.22 (Coupe ; 1:50) ; US.29 (Coupe ; 1:50) ; US.64 (Coupe ; 1:50) ; US.84 (Coupe ; 1:50) ; US.52 (Coupe ; 1:50) ; US.51 (Coupe ; 1:50) ; US.130 (Coupe ; 1:50) ; US.165 (Coupe ; 1:50) ; US.166 (Coupe ; 1:50) ; US.128 (Coupe ; 1:50) ; US.182 (Coupe ; 1:50) ; US.48 (Coupe ; 1:50) ; Ensemble B (Coupe ; X)	Rodriguez Miguel	11/16/2020
G.46	Photo interprétée	F.4 (Coupe ; 1:25) ; US.11 (Coupe ; 1:25) ; US.204 (Coupe ; 1:25)	Mathieu Erwan	12/10/2020
G.47	Millimétré A4	F.69 (Plan + coupe ; 1:20) ; US.228 (Plan + coupe ; 1:20) ; US.229 (Plan + coupe ; 1:20) ; US.230 (Coupe ; 1:20) ; Ensemble B (Coupe ; X)	Piron Camille	7/30/2021
G.48	Millimétré A4	F.70 (Plan + coupe ; 1:20) ; US.237 (Plan + coupe ; 1:20) ; US.238 (Plan + coupe ; 1:20)	Dorolle Corentin	8/2/2021
G.49	Millimétré A4	F.38 (Plan + coupe ; 1:20) ; US.139 (Plan + coupe ; 1:20) ; US.140 (Plan + coupe ; 1:20) ; US.141 (Plan + coupe ; 1:20) ; US.253 (Plan + coupe ; 1:20) ; Ensemble B (Coupe ; 1:20) ; Espace B4 (Coupe ; 1:20) ; Espace B5 (Coupe ; 1:20) ; SD.10 (Coupe ; 1:20) ; SD.9 (Coupe ; 1:20)	Dorolle Corentin	8/6/2021
G.50	Millimétré A4	F.73 (Plan + coupe ; 1:20) ; US.248 (Plan + coupe ; 1:20) ; US.249 (Plan + coupe ; 1:20)	Franchini Antoine	8/6/2021
G.51	Millimétré A4	F.71 (Plan + coupe ; 1:20) ; F.72 (Plan + coupe ; 1:20) ; US.244 (Plan + coupe ; 1:20) ; US.245 (Plan + coupe ; 1:20) ; US.246 (Plan + coupe ; 1:20) ; US.247 (Plan + coupe ; 1:20)	Guyonvarc'h Léa	8/6/2021
G.52	Millimétré A4	F.11 (Plan + coupe ; 1:20) ; US.35 (Plan + coupe ; 1:20) ; US.36 (Plan + coupe ; 1:20) ; US.37 (Plan + coupe ; 1:20) ; US.216 (Plan + coupe ; 1:20) ; US.217 (Plan + coupe ; 1:20) ; Ensemble B (Coupe ; 1:20) ; Espace B6 (Coupe ; 1:20) ; Espace B7 (Coupe ; 1:20) ; SD.11 (Plan + coupe ; 1:20)	Compère Mathieu	8/6/2021
G.53	Millimétré A4	F.83 (Coupe ; 1:20) ; F.84 (Coupe ; 1:20) ; US.271 (Coupe ; 1:20) ; US.273 (Coupe ; 1:20) ; US.274 (Coupe ; 1:20) ; US.275 (Coupe ; 1:20) ; US.277 (Coupe ; 1:20) ; US.233 (Coupe ; 1:20) ; US.236 (Coupe ; 1:20) ; US.243 (Coupe ; 1:20) ; US.127 (Coupe ; 1:20) ; US.234 (Coupe ; 1:20) ; US.276 (Coupe ; 1:20) ; US.293 (Coupe ; 1:20) ; US.499 (Coupe ; 1:20) ; US.500 (Coupe ; 1:20) ; Ensemble D (Coupe ; 1:20) ; SD.12 (Coupe ; 1:20) ; CP.55 (Coupe ; 1:20)	Poumirau Adrien	8/7/2021
G.54	Millimétré A4	F.41 (Coupe ; 1:20) ; F.16 (Coupe ; 1:20) ; US.206 (Coupe ; 1:20) ; US.226 (Coupe ; 1:20) ; US.227 (Coupe ; 1:20) ; US.54 (Coupe ; 1:20) ; US.55 (Coupe ; 1:20) ; US.129 (Coupe ; 1:20)	Guyonvarc'h Léa	8/9/2021
G.55	Millimétré A4	F.78 (Coupe ; 1:20) ; F.77 (Coupe ; 1:20) ; US.271 (Coupe ; 1:20) ; US.272 (Coupe ; 1:20) ; US.272 (Coupe ; 1:20) ; US.278 (Coupe ; 1:20) ; US.265 (Coupe ; 1:20) ; US.266 (Coupe ; 1:20) ; US.294 (Coupe ; 1:20) ; Ensemble D (Coupe ; 1:20) ; SD.12 (Coupe ; 1:20)	Poumirau Adrien	8/9/2021
G.56	Millimétré A4	F.35 (Croquis ; X) ; F.80 (Croquis ; X) ; F.5 (Croquis ; X) ; F.78 (Croquis ; X) ; US.146 (Croquis ; X) ; US.127 (Croquis ; X) ; US.241 (Croquis ; X) ; US.239 (Croquis ; X) ; US.267 (Croquis ; X) ; US.268 (Croquis ; X) ; US.252 (Croquis ; X) ; US.24 (Croquis ; X) ; US.46 (Croquis ; X) ; US.196 (Croquis ; X) ; US.82 (Croquis ; X) ; US.47 (Croquis ; X) ; US.270 (Croquis ; X) ; Ensemble C (Croquis ; X)	Mailly Camille	8/10/2021
G.57	Millimétré A4	F.42 (Croquis ; X) ; F.11 (Croquis ; X) ; F.81 (Croquis ; X) ; US.158 (Croquis ; X) ; US.161 (Croquis ; X) ; US.288 (Croquis ; X) ; US.216 (Croquis ; X) ; US.217 (Croquis ; X) ; US.287 (Croquis ; X) ; US.283 (Croquis ; X) ; US.284 (Croquis ; X) ; US.285 (Croquis ; X) ; US.286 (Croquis ; X) ; Ensemble B (Croquis ; X)	Guyonvarc'h Léa	8/11/2021
G.58	Millimétré A4	F.5 (Coupe ; 1:20) ; F.83 (Coupe ; 1:20) ; US.293 (Coupe ; 1:20) ; US.273 (Coupe ; 1:20) ; US.23 (Coupe ; 1:20) ; US.24 (Coupe ; 1:20) ; US.38 (Coupe ; 1:20) ; US.236 (Coupe ; 1:20) ; US.233 (Coupe ; 1:20) ; US.274 (Coupe ; 1:20) ; Ensemble D (Coupe ; 1:20) ; SD.12 (Coupe ; 1:20)	Poumirau Adrien	8/11/2021
G.59	Millimétré A4	F.35 (Plan ; X) ; US.289 (Croquis ; 1:20)	Bruncher Quentin	8/11/2021
G.60				8/11/2021
G.61	Millimétré A4	F.5 (Croquis ; 1:20) ; US.24 (Croquis ; 1:20) ; US.252 (Croquis ; 1:20) ; Ensemble D (Croquis ; X) ; SD.12 (Croquis ; 1:20)	Poumirau Adrien	8/12/2021
G.62	Millimétré A4	F.20 (Coupe ; 1:20) ; US.299 (Coupe ; 1:20) ; US.300 (Coupe ; 1:20) ; US.45 (Coupe ; 1:20) ; US.66 (Coupe ; 1:20) ; US.69 (Coupe ; 1:20) ; US.213 (Coupe ; 1:20) ; US.222 (Coupe ; 1:20) ; US.240 (Coupe ; 1:20) ; US.241 (Coupe ; 1:20) ; US.242 (Coupe ; 1:20) ; US.268 (Coupe ; 1:20) ; US.46 (Coupe ; 1:20) ; US.135 (Coupe ; 1:20) ; US.300 (Coupe ; 1:20) ; US.121 (Coupe ; 1:20) ; US.212 (Coupe ; 1:20) ; Ensemble C (Coupe ; 1:20) ; Espace C8 (Coupe ; 1:20)	Leroy Morgan	8/12/2021
G.63				8/12/2021
G.64	Millimétré A4	F.20 (Coupe ; 1:20) ; US.45 (Coupe ; 1:20) ; US.66 (Coupe ; 1:20) ; US.69 (Coupe ; 1:20) ; US.213 (Coupe ; 1:20) ; US.222 (Coupe ; 1:20) ; US.240 (Coupe ; 1:20) ; US.241 (Coupe ; 1:20) ; US.242 (Coupe ; 1:20) ; US.268 (Coupe ; 1:20) ; US.91 (Coupe ; 1:20) ; us.46 (Coupe ; 1:20) ; US.214 (Coupe ; 1:20) ; US.122 (Coupe ; 1:20) ; US.299 (Coupe ; 1:20) ; Ensemble C (Coupe ; 1:20) ; Espace C8 (Coupe ; 1:20)	Martel Angélique Ulrick Bouleau	8/12/2021
G.65	Millimétré A4	F.32 (Croquis ; X) ; F.41 (Croquis ; X) ; F.86 (Croquis ; X) ; F.87 (Croquis ; X) ; US.302 (Croquis ; X) ; US.303 (Croquis ; X) ; US.301 (Croquis ; X) ; US.304 (Croquis ; X) ; US.305 (Croquis ; X) ; US.306 (Croquis ; X) ; US.307 (Croquis ; X) ; US.308 (Croquis ; X) ; Ensemble C (Croquis ; X) ; Espace C2 (Croquis ; X)	Wissemberg Lucie	8/13/2021
G.66	Feuille A4	F.32 (Photo annotée ; X) ; F.87 (Photo annotée ; X) ; F.86 (Photo annotée ; X) ; F.100 (Photo annotée ; X) ; US.112 (Photo annotée ; X) ; US.259 (Photo annotée ; X) ; US.260 (Photo annotée ; X) ; US.261 (Photo annotée ; X) ; US.269 (Photo annotée ; X) ; US.307 (Photo annotée ; X) ; US.308 (Photo annotée ; X) ; US.270 (Photo annotée ; X) ; US.325 (Photo annotée ; X) ; Ensemble C (Coupe ; X) ; Espace C2 (Coupe ; X) ; Espace C7 (Coupe ; X)	Wissemberg Lucie	8/14/2021
G.67	Millimétré A4	F.78 (Coupe ; 1:10) ; US.272 (Coupe ; 1:10) ; US.278 (Coupe ; 1:10) ; US.298 (Coupe ; 1:10) ; US.316 (Coupe ; 1:10) ; SD.25 (Coupe ; 1:10)	Mailly Camille	8/16/2021
G.68	Millimétré A4	US.343 (Coupe ; 1:10) ; US.281 (Coupe ; 1:10) ; Ensemble C (Coupe ; 1:20) ; Espace C7 (Coupe ; 1:20)	Février Serge	8/17/2021
G.69	Millimétré A4	F.76 (Plan + coupe ; 1:20) ; US.356 (Plan + coupe ; 1:20) ; US.357 (Plan + coupe ; 1:20) ; US.375 (Plan + coupe ; 1:20)	Tomczyk Justine	8/18/2021

Mutations urbaines à Nasium (Meuse) | Rapport intermédiaire 2023

N° minute	Support	Sujets	Auteur	Date
G.70	Photo interprétée	F.5 (Coupe ; X) ; F.95 (Coupe ; X) ; F.96 (Coupe ; X) ; US.23 (Coupe ; X) ; US.24 (Coupe ; X) ; US.38 (Coupe ; X) ; US.39 (Coupe ; X) ; US.57 (Coupe ; X) ; US.352 (Coupe ; X) ; US.353 (Coupe ; X) ; US.252 (Coupe ; X) ; US.355 (Coupe ; X) ; Ensemble D (Coupe ; X) ; SD.12 (Photo annotée ; X) ; CP.18 (Photo annotée ; X)	Rodriguez Miguel	8/18/2021
G.71	Millimétré A4	F.80 (Croquis ; X) ; US.290 (Croquis ; X) ; US.327 (Croquis ; X) ; US.358 (Croquis ; X) ; US.281 (Croquis ; X) ; US.441 (Croquis ; X)	Véber Jeanne	8/18/2021
G.72	Millimétré A4	F.90 (Coupe ; 1:20) ; F.94 (Coupe ; 1:20) ; US.297 (Coupe ; 1:20) ; US.321 (Coupe ; 1:20) ; US.332 (Coupe ; 1:20) ; US.334 (Coupe ; 1:20) ; US.359 (Coupe ; 1:20) ; US.371 (Coupe ; 1:20) ; US.348 (Coupe ; 1:20) ; US.349 (Coupe ; 1:20) ; US.360 (Coupe ; 1:20) ; Ensemble A (Coupe ; 1:20) ; CP.20 (Coupe ; 1:20) ; SD.13 (Coupe ; 1:20) ; CP.21 (Coupe ; 1:20)	Brucher Quentin	8/18/2021
G.73	Photo interprétée	F.78 (Coupe ; X) ; F.77 (Coupe ; X) ; F.97 (Coupe ; X) ; US.272 (Coupe ; X) ; US.278 (Coupe ; X) ; US.298 (Coupe ; X) ; US.316 (Coupe ; X) ; US.337 (Coupe ; X) ; US.265 (Coupe ; X) ; US.266 (Coupe ; X) ; US.294 (Coupe ; X) ; US.271 (Coupe ; X) ; US.252 (Coupe ; X) ; US.365 (Coupe ; X) ; US.366 (Coupe ; X) ; US.367 (Coupe ; X) ; US.364 (Coupe ; X) ; Ensemble C (Coupe ; X) ; Espace C6 (Coupe ; X) ; SD.12 (Photo annotée ; X) ; CP.17 (Photo annotée ; X)	Rodriguez Miguel	8/19/2021
G.74	Photo interprétée	F.35 (Photo annotée ; X) ; F.20 (Photo annotée ; X) ; US.104 (Photo annotée ; X) ; US.108 (Photo annotée ; X) ; US.113 (Photo annotée ; X) ; US.289 (Photo annotée ; X) ; US.291 (Photo annotée ; X) ; US.292 (Photo annotée ; X) ; US.45 (Photo annotée ; X) ; US.66 (Photo annotée ; X) ; US.69 (Photo annotée ; X) ; US.213 (Photo annotée ; X) ; US.222 (Photo annotée ; X) ; US.240 (Photo annotée ; X) ; US.241 (Photo annotée ; X) ; US.242 (Photo annotée ; X) ; US.268 (Photo annotée ; X) ; US.121 (Photo annotée ; X) ; US.146 (Photo annotée ; X) ; US.210 (Photo annotée ; X) ; US.281 (Photo annotée ; X) ; US.118 (Photo annotée ; X) ; US.121 (Photo annotée ; X) ; US.46 (Photo annotée ; X) ; US.135 (Photo annotée ; X) ; US.29 (Photo annotée ; X) ; US.201 (Photo annotée ; X) ; US.383 (Photo annotée ; 1:20) ; US.379 (Photo annotée ; 1:20) ; US.470 (Photo annotée ; X) ; US.474 (Coupe ; X) ; Ensemble C (Coupe ; X) ; Espace C1 (Coupe ; X) ; Espace C3 (Coupe ; X) ; Espace C7 (Coupe ; X) ; CP.23 (Photo annotée ; X)	Setan Mathilde	8/19/2021
G.75	Millimétré A4	F.98 (Plan + coupe ; 1:20) ; US.384 (Plan + coupe ; 1:20) ; US.385 (Plan + coupe ; 1:20) ; US.394 (Plan + coupe ; 1:20)	Delagnes Maxime	8/20/2021
G.76	Millimétré A4	F.80 (Coupe ; 1:10) ; US.290 (Coupe ; 1:10) ; US.327 (Coupe ; 1:10) ; US.358 (Coupe ; 1:10) ; US.281 (Coupe ; 1:10) ; US.441 (Coupe ; 1:10) ; CP.26 (Coupe ; 1:10)	Véber Jeanne	8/19/2021
G.77	Millimétré A4	F.80 (Coupe ; 1:10) ; US.290 (Coupe ; 1:10) ; US.327 (Coupe ; 1:10) ; US.358 (Coupe ; 1:10) ; US.281 (Coupe ; 1:10) ; CP.27 (Coupe ; 1:10)	Véber Jeanne	8/19/2021
G.78	Millimétré A4	F.80 (Coupe ; 1:10) ; US.290 (Coupe ; 1:10) ; US.281 (Coupe ; 1:10) ; CP.28 (Coupe ; 1:10)	Véber Jeanne	8/20/2021
G.79	Photo interprétée	F.20 (Photo annotée ; 1:20) ; F.78 (Photo annotée ; 1:20) ; F.91 (Plan ; X) ; US.45 (Photo annotée ; 1:20) ; US.66 (Photo annotée ; 1:20) ; US.69 (Photo annotée ; 1:20) ; US.213 (Photo annotée ; 1:20) ; US.222 (Photo annotée ; 1:20) ; US.240 (Photo annotée ; 1:20) ; US.241 (Photo annotée ; 1:20) ; US.242 (Photo annotée ; 1:20) ; US.268 (Photo annotée ; 1:20) ; US.391 (Photo annotée ; 1:20) ; US.272 (Photo annotée ; 1:20) ; US.278 (Photo annotée ; 1:20) ; US.298 (Photo annotée ; 1:20) ; US.316 (Photo annotée ; 1:20) ; US.337 (Photo annotée ; 1:20) ; US.127 (Photo annotée ; X) ; US.503 (Plan ; X) ; Ensemble C (Plan ; X) ; Espace C8 (Plan ; X) ; Espace C7 (Plan ; X) ; Espace C6 (Plan ; X)	Setan Mathilde	8/21/2021
G.80	Millimétré A4	F.99 (Plan + coupe ; 1:20) ; US.399 (Plan + coupe ; 1:20) ; US.400 (Plan + coupe ; 1:20)	Delagnes Maxime	8/23/2021
G.81	Millimétré A4	F.105 (Plan + coupe ; 1:20) ; US.408 (Plan + coupe ; 1:20) ; US.409 (Plan + coupe ; 1:20) ; US.416 (Coupe ; 1:20)	Compère Mathieu	8/23/2021
G.82	Millimétré A3	F.38 (Coupe ; 1:20) ; US.340 (Coupe ; 1:20) ; US.218 (Coupe ; 1:20) ; US.339 (Coupe ; 1:20) ; US.219 (Coupe ; 1:20) ; US.311 (Coupe ; 1:20) ; US.312 (Coupe ; 1:20) ; US.373 (Coupe ; 1:20) ; US.313 (Coupe ; 1:20) ; US.342 (Coupe ; 1:20) ; US.386 (Coupe ; 1:20) ; US.377 (Coupe ; 1:20) ; US.139 (Coupe ; 1:20) ; US.140 (Coupe ; 1:20) ; US.141 (Coupe ; 1:20) ; US.164 (Coupe ; 1:20) ; US.253 (Coupe ; 1:20) ; Ensemble B (Coupe ; 1:20) ; Espace B1 (Coupe ; 1:20) ; Espace B2 (Coupe ; 1:20) ; Espace B3 (Coupe ; 1:20) ; CP.46 (Coupe ; 1:20) ; SD.45 (Coupe ; 1:20)	Delagnes Maxime	8/24/2021
G.83	Millimétré A4	F.80 (Coupe ; 1:10) ; US.290 (Coupe ; 1:10) ; US.327 (Coupe ; 1:10) ; US.358 (Coupe ; 1:10)	Poinsignon Manon	8/24/2021
G.84	Photo interprétée	F.103 (Coupe ; 1:20) ; US.378 (Coupe ; 1:20) ; US.379 (Coupe ; 1:20) ; US.407 (Coupe ; 1:20) ; US.418 (Photo annotée ; 1:20) ; US.419 (Photo annotée ; 1:20) ; Ensemble C (Coupe ; X) ; Espace C3 (Coupe ; X) ; CP.31 (Photo annotée ; X)	Setan Mathilde	8/24/2021
G.85	Photo interprétée	F.103 (Coupe ; 1:20) ; US.420 (Coupe ; 1:20) ; US.419 (Photo annotée ; 1:20) ; US.407 (Coupe ; 1:20) ; Ensemble C (Coupe ; X) ; Espace C3 (Coupe ; X) ; CP.32 (Photo annotée ; X)	Setan Mathilde	8/24/2021
G.86	Millimétré A4	F.4 (Coupe ; 1:20) ; F.88 (Coupe ; 1:20) ; F.89 (Coupe ; 1:20) ; F.109 (Coupe ; 1:20) ; US.11 (Coupe ; 1:20) ; US.397 (Coupe ; 1:20) ; US.396 (Coupe ; 1:20) ; US.311 (Coupe ; 1:20) ; US.312 (Coupe ; 1:20) ; US.313 (Coupe ; 1:20) ; US.323 (Coupe ; 1:20) ; US.351 (Coupe ; 1:20) ; US.314 (Coupe ; 1:20) ; US.315 (Coupe ; 1:20) ; US.424 (Coupe ; 1:20) ; US.354 (Coupe ; 1:20) ; US.262 (Coupe ; 1:20) ; US.218 (Coupe ; 1:20) ; US.157 (Coupe ; 1:20) ; US.194 (Coupe ; 1:20) ; US.319 (Coupe ; 1:20) ; US.320 (Coupe ; 1:20) ; US.421 (Coupe ; 1:20) ; US.422 (Coupe ; 1:20) ; US.423 (Coupe ; 1:20) ; US.78 (Coupe ; 1:20) ; US.79 (Coupe ; 1:20) ; US.317 (Coupe ; 1:20) ; US.318 (Coupe ; 1:20) ; US.339 (Coupe ; 1:20) ; US.342 (Coupe ; 1:20) ; Ensemble B (Coupe ; 1:20) ; Espace B1 (Coupe ; 1:20) ; Espace B2 (Coupe ; 1:20) ; Espace B3 (Coupe ; 1:20) ; Espace B4 (Coupe ; 1:20) ; Espace B5 (Coupe ; 1:20) ; Espace B6 (Coupe ; 1:20) ; Espace B7 (Coupe ; 1:20) ; CP.43 (Coupe ; 1:20) ; SD.16 (Coupe ; 1:20)	Mathieu Erwan	8/24/2021
G.87	Millimétré A4	F.80 (Coupe ; 1:10) ; US.290 (Coupe ; 1:10) ; US.327 (Coupe ; 1:10) ; US.358 (Coupe ; 1:10) ; US.443 (Coupe ; 1:10)	Véber Jeanne	8/24/2021
G.88	Millimétré A4	F.80 (Coupe ; 1:10) ; US.290 (Coupe ; 1:10) ; US.327 (Coupe ; 1:10) ; US.358 (Coupe ; 1:10)	Véber Jeanne	8/24/2021
G.89	Millimétré A4	F.106 (Coupe ; 1:20) ; US.413 (Coupe ; 1:20) ; US.414 (Coupe ; 1:20) ; US.488 (Coupe ; 1:20) ; SD.42 (Coupe ; 1:20)	Setan Mathilde	8/24/2021
G.90	Millimétré A4	F.110 (Plan + coupe ; 1:20) ; US.435 (Plan + coupe ; 1:20) ; US.436 (Plan + coupe ; 1:20)	Delagnes Maxime	8/25/2021
G.91	Millimétré A4	F.11 (Coupe ; 1:20) ; F.120 (Coupe ; 1:20) ; US.361 (Coupe ; 1:20) ; US.370 (Coupe ; 1:20) ; US.283 (Coupe ; 1:20) ; US.284 (Coupe ; 1:20) ; US.287 (Coupe ; 1:20) ; US.296 (Coupe ; 1:20) ; US.339 (Coupe ; 1:20) ; US.218 (Coupe ; 1:20) ; US.140 (Coupe ; 1:20) ; US.326 (Coupe ; 1:20) ; Ensemble B (Coupe ; 1:20) ; Espace B1 (Coupe ; 1:20) ; Espace B2 (Coupe ; 1:20) ; Espace B3 (Coupe ; 1:20) ; Espace B4 (Coupe ; 1:20) ; Espace B5 (Coupe ; 1:20) ; SD.14 (Coupe ; 1:20) ; CP.47 (Coupe ; 1:20)	Dorolle Corentin	8/25/2021
G.92	Millimétré A4	F.104 (Coupe ; 1:20) ; US.82 (Coupe ; 1:20) ; US.376 (Coupe ; 1:20) ; US.404 (Coupe ; 1:20) ; US.405 (Coupe ; 1:20) ; US.406 (Coupe ; 1:20) ; US.415 (Coupe ; 1:20) ; US.437 (Coupe ; 1:20) ; SD.41 (Coupe ; 1:20)	Mailly Camille	8/25/2021

Mutations urbaines à Nasium (Meuse) | Rapport intermédiaire 2023

N° minute	Support	Sujets	Auteur	Date
G.93	Photo interprétée	F.13 (Photo annotée ; X) ; US.1 (Photo annotée ; X) ; US.2 (Photo annotée ; X) ; US.30 (Photo annotée ; X) ; Ensemble C (Coupe ; X) ; CP.5 (Photo annotée ; X)	Bruncher Quentin	8/26/2021
G.94	Photo interprétée	US.1 (Coupe ; X) ; US.2 (Coupe ; X) ; US.41 (Coupe ; X) ; US.239 (Coupe ; X) ; US.267 (Coupe ; X) ; US.203 (Coupe ; 1:50) ; Ensemble C (Coupe ; X) ; Espace C7 (Coupe ; X) ; Espace C9 (Coupe ; X) ; CP.6 (Photo annotée ; X)	Martel Angélique	8/26/2021
G.95	Photo interprétée	F.58 (Photo annotée ; X) ; F.31 (Photo annotée ; X) ; US.175 (Photo annotée ; 1:20) ; US.176 (Photo annotée ; 1:20) ; US.48 (Photo annotée ; X) ; US.85 (Photo annotée ; X) ; US.86 (Photo annotée ; X) ; US.87 (Photo annotée ; X) ; US.88 (Photo annotée ; X) ; US.182 (Photo annotée ; X) ; US.17 (Photo annotée ; X) ; US.119 (Photo annotée ; X) ; US.120 (Photo annotée ; X) ; US.452 (Photo annotée ; X) ; US.166 (Photo annotée ; X) ; US.84 (Photo annotée ; X) ; US.22 (Photo annotée ; X) ; Ensemble C (Coupe ; X) ; Ensemble B (Coupe ; X) ; CP.5 (Photo annotée ; X)	Mathieu Erwan	8/26/2021
G.96	Photo interprétée	F.23 (Photo annotée ; X) ; F.7 (Photo annotée ; X) ; F.96 (Coupe ; 1:20) ; US.58 (Photo annotée ; X) ; US.59 (Photo annotée ; X) ; US.20 (Photo annotée ; X) ; US.21 (Photo annotée ; X) ; US.17 (Photo annotée ; X) ; US.22 (Photo annotée ; X) ; US.235 (Photo annotée ; X) ; US.287 (Photo annotée ; X) ; US.284 (Photo annotée ; X) ; US.1 (Photo annotée ; X) ; US.2 (Photo annotée ; X) ; US.100 (Photo annotée ; X) ; US.462 (Photo annotée ; X) ; US.311 (Photo annotée ; X) ; US.338 (Photo annotée ; X) ; US.252 (Coupe ; 1:20) ; US.338 (Coupe ; 1:20) ; US.355 (Coupe ; 1:20) ; Ensemble D (Coupe ; X) ; CP.8 (Photo annotée ; X)	Poinsignon Manon	8/26/2021
G.97	Photo interprétée	F.89 (Photo annotée ; X) ; F.38 (Photo annotée ; X) ; F.63 (Photo annotée ; X) ; F.62 (Photo annotée ; X) ; US.140 (Photo annotée ; X) ; US.218 (Photo annotée ; X) ; US.340 (Photo annotée ; X) ; US.373 (Photo annotée ; X) ; US.377 (Photo annotée ; X) ; US.386 (Photo annotée ; X) ; US.342 (Photo annotée ; X) ; US.313 (Photo annotée ; X) ; US.320 (Photo annotée ; X) ; US.439 (Photo annotée ; X) ; US.319 (Photo annotée ; X) ; Ensemble B (Coupe ; X) ; Espace B1 (Coupe ; X) ; Espace B2 (Coupe ; X) ; Espace B3 (Coupe ; X) ; CP.48 (Photo annotée ; X) ; SD.45 (Photo annotée ; X)	Compère Mathieu	8/26/2021
G.98	Photo interprétée	F.106 (Photo annotée ; X) ; US.413 (Photo annotée ; X) ; US.414 (Photo annotée ; X) ; US.434 (Photo annotée ; X) ; US.438 (Photo annotée ; X) ; US.46 (Photo annotée ; X) ; US.65 (Photo annotée ; X) ; US.218 (Photo annotée ; X) ; US.339 (Photo annotée ; X) ; US.340 (Photo annotée ; X) ; US.284 (Photo annotée ; X) ; US.370 (Photo annotée ; X) ; Ensemble C (Coupe ; X) ; Espace C4 (Coupe ; X) ; Espace B2 (Coupe ; X) ; CP.34 (Photo annotée ; X)	Poinsignon Manon	8/26/2021
G.99	Photo interprétée	F.89 (Photo annotée ; X) ; F.9 (Photo annotée ; X) ; F.58 (Photo annotée ; X) ; F.62 (Photo annotée ; X) ; F.63 (Photo annotée ; X) ; F.17 (Photo annotée ; X) ; F.44 (Photo annotée ; X) ; F.30 (Photo annotée ; X) ; US.27 (Photo annotée ; X) ; US.28 (Photo annotée ; X) ; US.175 (Photo annotée ; X) ; US.176 (Photo annotée ; X) ; US.219 (Photo annotée ; X) ; US.311 (Photo annotée ; X) ; US.312 (Photo annotée ; X) ; US.339 (Photo annotée ; X) ; US.373 (Photo annotée ; X) ; US.377 (Photo annotée ; X) ; US.218 (Photo annotée ; X) ; US.439 (Photo annotée ; X) ; US.52 (Photo annotée ; X) ; US.131 (Photo annotée ; X) ; US.133 (Photo annotée ; X) ; US.232 (Photo annotée ; X) ; US.83 (Photo annotée ; X) ; US.231 (Photo annotée ; X) ; US.313 (Photo annotée ; X) ; US.342 (Photo annotée ; X) ; US.50 (Photo annotée ; X) ; Ensemble B (Coupe ; X) ; Espace B1 (Coupe ; X) ; Espace B3 (Coupe ; X) ; Espace B6 (Coupe ; X) ; SD.16 (Photo annotée ; X)	Mathieu Erwan	8/26/2021
G.100	Photo interprétée	US.347 (Photo annotée ; X) ; US.2 (Photo annotée ; X) ; US.60 (Photo annotée ; X) ; US.61 (Photo annotée ; X) ; US.346 (Photo annotée ; X) ; US.338 (Photo annotée ; X) ; US.345 (Photo annotée ; X) ; US.350 (Photo annotée ; X) ; Ensemble D (Coupe ; X) ; CP.19 (Photo annotée ; X)	Dorolle Corentin	8/26/2021
G.101	Millimétré A3	F.112 (Coupe ; 1:20) ; F.113 (Coupe ; 1:20) ; F.114 (Coupe ; 1:20) ; US.412 (Coupe ; 1:20) ; US.392 (Coupe ; 1:20) ; US.403 (Coupe ; 1:20) ; US.381 (Coupe ; 1:20) ; US.453 (Coupe ; 1:20) ; US.487 (Coupe ; 1:20) ; US.97 (Coupe ; 1:20) ; US.468 (Coupe ; 1:20) ; US.469 (Coupe ; 1:20) ; US.284 (Coupe ; 1:20) ; US.374 (Coupe ; 1:20) ; US.376 (Coupe ; 1:20) ; US.406 (Coupe ; 1:20) ; US.415 (Coupe ; 1:20) ; US.487 (Coupe ; 1:20) ; US.283 (Coupe ; 1:20) ; US.403 (Coupe ; 1:20) ; US.491 (Coupe ; 1:20) ; US.393 (Coupe ; 1:20) ; US.372 (Coupe ; 1:20) ; Ensemble C (Coupe ; X) ; Espace C4 (Coupe ; X) ; Espace C6 (Coupe ; X) ; SD.29 (Coupe ; 1:20) ; CP.33 (Coupe ; 1:20)	Guyonvarc'h Léa	8/26/2021
G.102	Photo interprétée	F.121 (Coupe ; 1:20) ; US.77 (Photo annotée ; X) ; US.121 (Photo annotée ; X) ; US.46 (Photo annotée ; X) ; US.324 (Photo annotée ; X) ; US.464 (Photo annotée ; X) ; US.417 (Photo annotée ; X) ; US.467 (Photo annotée ; X) ; US.331 (Photo annotée ; X) ; US.374 (Photo annotée ; X) ; US.372 (Photo annotée ; X) ; US.427 (Photo annotée ; X) ; US.449 (Photo annotée ; X) ; US.451 (Photo annotée ; X) ; US.122 (Photo annotée ; X) ; US.417 (Photo annotée ; X) ; Ensemble C (Coupe ; X) ; Espace C6 (Coupe ; X) ; Espace C4 (Coupe ; X) ; SD.30 (Photo annotée ; X) ; CP.36 (Photo annotée ; X)	Février Serge	8/27/2021
G.103	Photo interprétée	F.20 (Coupe ; X) ; F.107 (Coupe ; X) ; F.78 (Coupe ; X) ; US.483 (Coupe ; X) ; US.482 (Coupe ; X) ; US.481 (Coupe ; X) ; US.455 (Coupe ; X) ; US.456 (Coupe ; X) ; US.471 (Coupe ; X) ; US.458 (Coupe ; X) ; US.368 (Coupe ; X) ; US.454 (Coupe ; X) ; US.496 (Photo annotée ; X) ; Ensemble C (Coupe ; X) ; Espace C1 (Coupe ; X) ; Espace C8 (Coupe ; X) ; SD.24 (Photo annotée ; X) ; CP.37 (Coupe ; X)	Setan Mathilde	8/27/2021
G.104	Photo interprétée	F.35 (Coupe ; X) ; F.20 (Coupe ; X) ; F.107 (Coupe ; X) ; F.115 (Photo annotée ; X) ; US.368 (Coupe ; X) ; US.369 (Coupe ; X) ; US.432 (Coupe ; X) ; US.442 (Coupe ; X) ; US.455 (Coupe ; X) ; US.456 (Coupe ; X) ; US.471 (Coupe ; X) ; US.472 (Coupe ; X) ; US.458 (Coupe ; X) ; US.454 (Coupe ; X) ; US.473 (Coupe ; X) ; US.481 (Coupe ; X) ; US.476 (Coupe ; X) ; US.480 (Photo annotée ; X) ; US.497 (Photo annotée ; X) ; US.498 (Photo annotée ; X) ; US.482 (Coupe ; X) ; Ensemble C (Coupe ; X) ; Espace C5 (Coupe ; X) ; Espace C7 (Coupe ; X) ; SD.24 (Photo annotée ; X) ; CP.38 (Coupe ; X)	Setan Mathilde	8/27/2021
G.105	Photo interprétée	US.41 (Coupe ; X) ; US.369 (Coupe ; X) ; US.368 (Coupe ; X) ; US.432 (Coupe ; X) ; US.442 (Coupe ; X) ; US.454 (Coupe ; X) ; US.455 (Coupe ; X) ; US.456 (Coupe ; X) ; US.471 (Coupe ; X) ; US.472 (Coupe ; X) ; US.458 (Coupe ; X) ; Ensemble C (Coupe ; X) ; Espace C5 (Coupe ; X) ; Espace C7 (Coupe ; X) ; CP.39 (Coupe ; X) ; SD.24 (Photo annotée ; X)	Setan Mathilde	8/27/2021
G.106	Photo interprétée	F.20 (Coupe ; X) ; F.108 (Coupe ; X) ; F.107 (Coupe ; X) ; US.471 (Coupe ; X) ; US.472 (Coupe ; X) ; US.458 (Coupe ; X) ; US.476 (Coupe ; X) ; US.432 (Coupe ; X) ; US.483 (Photo annotée ; X) ; US.503 (Coupe ; X) ; US.333 (Coupe ; 1:50) ; Espace C5 (Coupe ; X) ; Ensemble C (Coupe ; X) ; Espace C7 (Coupe ; X) ; SD.24 (Photo annotée ; X) ; CP.40 (Coupe ; X)	Setan Mathilde	8/27/2021
G.107	Photo interprétée	F.85 (Coupe ; X) ; US.67 (Coupe ; X) ; US.463 (Coupe ; X) ; US.324 (Coupe ; X) ; US.464 (Coupe ; X) ; US.417 (Coupe ; X) ; US.82 (Coupe ; X) ; US.135 (Coupe ; X) ; US.490 (Coupe ; 1:20) ; US.65 (Coupe ; 1:20) ; Ensemble C (Coupe ; X) ; Espace C1 (Coupe ; X) ; CP.50 (Photo annotée ; X) ; SD.30 (Photo annotée ; X)	Trommenschlager Ludovic	8/26/2021

9.9. Inventaire des photos

N° photo	Sujets	Description
PN_2020_0001	F.1 ; US.10	détail ; en cours de fouille ; vue du nord-ouest
PN_2020_0002	F.1 ; US.10	détail ; en cours de fouille ; vue du nord-ouest
PN_2020_0003	ENS.D ; F.5 ; INV.666 ; US.114 ; US.57	oblique ; en cours de fouille ; vue du nord-ouest
PN_2020_0004	ENS.D ; F.5 ; INV.666 ; US.114 ; US.57	oblique ; en cours de fouille ; vue du nord-ouest
PN_2020_0005	ENS.D ; F.5 ; US.114 ; US.57	oblique ; en cours de fouille ; vue du sud-est
PN_2020_0006	ENS.D ; F.5 ; US.114 ; US.57	oblique ; en cours de fouille ; vue du sud-est
PN_2020_0007	ENS.A ; F.11 ; F.3 ; F.4	oblique ; en cours de fouille ; vue de l'est
PN_2020_0008	ENS.A ; F.11 ; F.3 ; F.4	oblique ; en cours de fouille ; vue de l'est
PN_2020_0009	ENS.A ; F.11 ; F.3 ; F.4	oblique ; en cours de fouille ; vue de l'est
PN_2020_0010	ENS.A ; F.11 ; F.3 ; F.4	oblique ; en cours de fouille ; vue du nord-ouest
PN_2020_0011	F.13 ; US.30	oblique ; en cours de fouille ; vue du nord-ouest
PN_2020_0012	F.13 ; US.30	oblique ; en cours de fouille ; vue du nord-ouest
PN_2020_0013	F.25	mobilier ; oblique ; en cours de fouille ; vue du sud-ouest
PN_2020_0014	ENS.A ; F.4	oblique ; en cours de fouille ; vue du sud-est
PN_2020_0015	F.20 ; F.25 ; INV.611 ; INV.663 ; US.45 ; US.66	oblique ; en cours de fouille ; vue du nord-est
PN_2020_0016	ENS.A ; F.11 ; F.3 ; F.4	oblique ; en cours de fouille ; vue de l'est
PN_2020_0017	F.20 ; F.25 ; INV.611 ; INV.663 ; US.45 ; US.66	oblique ; en cours de fouille ; vue du sud-ouest
PN_2020_0018	ENS.A ; F.4	oblique ; en cours de fouille ; vue du sud
PN_2020_0019	ENS.A ; F.4	oblique ; en cours de fouille ; vue du sud
PN_2020_0020	F.20 ; INV.611 ; US.45	détail ; en cours de fouille ; vue du sud-ouest
PN_2020_0021	F.20 ; INV.611 ; US.45	détail ; en cours de fouille ; vue du nord-ouest
PN_2020_0022	INV.611 ; US.45	mobilier ; en cours de fouille ; vue du sud-est
PN_2020_0023	US.22	détail ; en cours de fouille ; vue du nord-ouest
PN_2020_0024	INV.663 ; US.22 ; US.66	oblique ; en cours de fouille ; vue du sud-est
PN_2020_0025	F.11 ; INV.664 ; US.35	mobilier ; oblique ; en cours de fouille ; vue du nord-est
PN_2020_0026	F.11 ; INV.664 ; US.35	mobilier ; oblique ; en cours de fouille ; vue du sud-ouest
PN_2020_0027	ENS.B	oblique ; en cours de fouille ; vue de l'ouest
PN_2020_0028	F.5 ; INV.609	oblique ; en cours de fouille ; vue du nord-ouest
PN_2020_0029	ENS.D ; F.5 ; INV.609	oblique ; en cours de fouille ; vue du nord-ouest
PN_2020_0030	ENS.D ; F.5 ; INV.609	oblique ; en cours de fouille ; vue du sud-ouest
PN_2020_0031	ENS.D ; F.21 ; F.22 ; F.5 ; INV.609 ; US.114 ; US.60 ; US.61	oblique ; en cours de fouille ; vue du sud-ouest
PN_2020_0032	ENS.D ; F.21 ; F.22 ; F.5 ; US.114 ; US.60 ; US.61	oblique ; en cours de fouille ; vue du nord-ouest
PN_2020_0033	F.5 ; INV.609	mobilier ; en cours de fouille ; vue du sud-ouest
PN_2020_0034	F.5 ; INV.609	mobilier ; en cours de fouille ; vue du sud-ouest
PN_2020_0035	US.41	oblique ; en cours de fouille ; vue du sud-ouest
PN_2020_0036	US.41	oblique ; en cours de fouille ; vue du nord-ouest
PN_2020_0037	US.41	oblique ; en cours de fouille ; vue du nord-ouest
PN_2020_0038	US.41	oblique ; en cours de fouille ; vue du nord-ouest
PN_2020_0039	US.41	oblique ; en cours de fouille ; vue du nord-est
PN_2020_0040	US.41	détail ; en cours de fouille ; vue du nord-est
PN_2020_0041	US.41	détail ; en cours de fouille ; vue du nord-est
PN_2020_0042	F.5 ; INV.609	mobilier ; en cours de fouille ; vue du nord-est
PN_2020_0043	F.5 ; INV.609	mobilier ; en cours de fouille ; vue du nord-est
PN_2020_0044	ENS.C	oblique ; en cours de fouille ; vue du nord
PN_2020_0045	F.3 ; F.4	oblique ; en cours de fouille ; vue du nord-est
PN_2020_0046	F.5	oblique ; en cours de fouille ; vue du nord-ouest
PN_2020_0047	F.3 ; F.4	oblique ; en cours de fouille ; vue du nord-est
PN_2020_0048	F.3 ; F.4	oblique ; en cours de fouille ; vue du nord-est
PN_2020_0049	F.3 ; F.4	oblique ; en cours de fouille ; vue du nord-est
PN_2020_0050	F.11 ; F.2 ; US.16	détail ; en cours de fouille ; vue du nord-est

Mutations urbaines à Nasium (Meuse) | Rapport intermédiaire 2023

N° photo	Sujets	Description
PN_2020_0051	F.2 ; US.16	détail ; en cours de fouille ; vue du nord-est
PN_2020_0052	F.5 ; INV.666 ; US.24 ; US.57	détail ; en cours de fouille ; vue de l'est
PN_2020_0053	F.5 ; INV.666 ; US.24 ; US.57	détail ; en cours de fouille ; vue du nord-est
PN_2020_0054	F.8 ; US.25 ; US.26	oblique ; en cours de fouille ; vue du nord
PN_2020_0055	F.8 ; US.25 ; US.26	oblique ; en cours de fouille ; vue du nord
PN_2020_0056	F.7 ; US.20 ; US.21	oblique ; en cours de fouille ; vue de l'ouest
PN_2020_0057	F.7 ; US.20 ; US.21	oblique ; en cours de fouille ; vue de l'ouest
PN_2020_0058	F.9 ; US.27 ; US.28	oblique ; en cours de fouille ; vue du nord-ouest
PN_2020_0059	F.9 ; US.27 ; US.28	oblique ; en cours de fouille ; vue du nord-ouest
PN_2020_0060	F.9 ; US.27 ; US.28	oblique ; en cours de fouille ; vue du nord-ouest
PN_2020_0061	F.9 ; US.27 ; US.28	oblique ; en cours de fouille ; vue du sud-est
PN_2020_0062	F.9 ; US.27 ; US.28	oblique ; en cours de fouille ; vue du sud-est
PN_2020_0063	F.9 ; US.27 ; US.28	oblique ; en cours de fouille ; vue du sud-est
PN_2020_0064	US.4	détail ; en cours de fouille ; vue du sud-ouest
PN_2020_0065	US.4	détail ; en cours de fouille ; vue du sud-ouest
PN_2020_0066	US.4	détail ; en cours de fouille ; vue du sud-ouest
PN_2020_0067	F.3 ; US.12 ; US.15 ; US.18	coupe ; en cours de fouille ; vue du sud
PN_2020_0068	F.3 ; US.12 ; US.15 ; US.18	coupe ; en cours de fouille ; vue du sud
PN_2020_0069	F.13 ; US.30	oblique ; en cours de fouille ; vue du nord-ouest
PN_2020_0070	F.13 ; US.30	oblique ; en cours de fouille ; vue du nord-ouest
PN_2020_0071	F.10 ; US.31	détail ; en cours de fouille ; vue du nord-ouest
PN_2020_0072	F.10 ; US.31	détail ; en cours de fouille ; vue du nord-ouest
PN_2020_0073	F.10 ; US.31	détail ; en cours de fouille ; vue du nord-ouest
PN_2020_0074	F.8 ; US.25 ; US.26 ; US.32 ; US.33	coupe ; en cours de fouille ; vue de l'ouest
PN_2020_0075	F.8 ; US.25 ; US.26 ; US.32 ; US.33	coupe ; en cours de fouille ; ouest
PN_2020_0076	F.11 ; US.35 ; US.36	détail ; en cours de fouille ; vue du sud
PN_2020_0077	F.11 ; US.35 ; US.36	détail ; en cours de fouille ; vue du sud
PN_2020_0078	F.11 ; US.35 ; US.36	détail ; en cours de fouille ; vue du sud-ouest
PN_2020_0079	F.11 ; US.35 ; US.36	détail ; en cours de fouille ; vue du sud-ouest
PN_2020_0080	F.11 ; US.35 ; US.36	détail ; en cours de fouille ; vue du sud-ouest
PN_2020_0081	F.11 ; US.35 ; US.36	détail ; en cours de fouille ; vue du sud-ouest
PN_2020_0082	F.11 ; US.35 ; US.36	détail ; en cours de fouille ; vue du sud-ouest
PN_2020_0083	F.11 ; US.35 ; US.36	détail ; en cours de fouille ; vue du sud-ouest
PN_2020_0084	F.11 ; US.35 ; US.36	détail ; en cours de fouille ; vue du sud-ouest
PN_2020_0085	F.7 ; US.20 ; US.21	oblique ; en cours de fouille ; vue de l'ouest
PN_2020_0086	F.7 ; US.20 ; US.21	oblique ; en cours de fouille ; vue du sud-ouest
PN_2020_0087	F.7 ; US.20 ; US.21	coupe ; en cours de fouille ; vue de l'est
PN_2020_0088	F.7 ; US.20 ; US.21	coupe ; en cours de fouille ; vue de l'est
PN_2020_0089	F.11 ; F.6 ; US.35 ; US.36 ; US.37	oblique ; en cours de fouille ; vue du nord-ouest
PN_2020_0090	F.11 ; F.6 ; US.35 ; US.36 ; US.37	oblique ; en cours de fouille ; vue du nord-ouest
PN_2020_0091	F.11 ; US.35 ; US.36	oblique ; en cours de fouille ; vue du sud-ouest
PN_2020_0092	F.11 ; US.35 ; US.36	oblique ; en cours de fouille ; vue du sud-ouest
PN_2020_0093	F.3 ; US.12 ; US.43 ; US.44	oblique ; en cours de fouille ; vue du sud
PN_2020_0094	F.3 ; US.12 ; US.43 ; US.44	oblique ; en cours de fouille ; vue du sud
PN_2020_0095	F.3 ; US.12	élévation ; en cours de fouille ; vue du sud
PN_2020_0096	F.3 ; US.12	élévation ; en cours de fouille ; vue du sud
PN_2020_0097	F.3 ; US.12	élévation ; en cours de fouille ; vue du sud
PN_2020_0098	F.3 ; US.12	élévation ; en cours de fouille ; vue du sud
PN_2020_0099	F.3 ; US.12	élévation ; en cours de fouille ; vue du sud
PN_2020_0100	F.5 ; US.24	plan ; en cours de fouille ; vue du sud
PN_2020_0101	F.5 ; US.24	plan ; en cours de fouille ; vue du sud
PN_2020_0102	F.1 ; US.46	détail ; en cours de fouille ; vue de l'ouest
PN_2020_0103	F.1 ; US.46	détail ; en cours de fouille ; vue de l'ouest
PN_2020_0104	US.50	oblique ; en cours de fouille ; vue de l'est
PN_2020_0105	US.50	oblique ; en cours de fouille ; vue de l'est
PN_2020_0106	F.8 ; F.9 ; US.27 ; US.28	oblique ; en cours de fouille ; vue de l'est

Mutations urbaines à Nasium (Meuse) | Rapport intermédiaire 2023

N° photo	Sujets	Description
PN_2020_0107	US.50	oblique ; en cours de fouille ; vue de l'est
PN_2020_0108	F.9 ; US.27 ; US.28	oblique ; en cours de fouille ; vue du sud-est
PN_2020_0109	F.9 ; US.27 ; US.28	oblique ; en cours de fouille ; vue du sud-est
PN_2020_0110	F.9 ; US.27 ; US.28	oblique ; en cours de fouille, vue du sud-est
PN_2020_0111	F.8 ; F.9 ; US.27 ; US.28	oblique ; en cours de fouille, vue du sud-est
PN_2020_0112	F.9 ; US.27 ; US.28	coupe ; en cours de fouille ; vue de l'ouest
PN_2020_0113	F.9 ; US.27 ; US.28	coupe ; en cours de fouille ; vue de l'ouest
PN_2020_0114	ENS.A ; F.5 ; US.23	détail ; en cours de fouille ; vue du sud-ouest
PN_2020_0115	ENS.A ; F.5 ; US.23	détail ; en cours de fouille ; vue du sud-ouest
PN_2020_0116	ENS.A ; F.5 ; US.23	détail ; en cours de fouille ; vue du sud-ouest
PN_2020_0117	ENS.A ; F.5 ; US.23	détail ; en cours de fouille ; vue du sud-ouest
PN_2020_0118	ENS.A ; F.5 ; US.23	détail ; en cours de fouille ; vue du sud-ouest
PN_2020_0119	ENS.A ; F.5 ; US.23	détail ; en cours de fouille ; vue du sud-ouest
PN_2020_0120	ENS.A ; F.5 ; US.23	détail ; en cours de fouille ; vue du sud-ouest
PN_2020_0121	ENS.A ; F.5 ; US.23	détail ; en cours de fouille ; vue du sud-ouest
PN_2020_0122	ENS.A ; F.5 ; US.23	détail ; en cours de fouille ; vue du sud-ouest
PN_2020_0123	F.2 ; US.52	plan ; en cours de fouille ; vue du nord
PN_2020_0124	F.2 ; US.52	plan ; en cours de fouille ; vue du nord
PN_2020_0125	F.2 ; US.52	plan ; en cours de fouille ; vue du nord
PN_2020_0126	F.2 ; US.52	plan ; en cours de fouille ; vue du nord
PN_2020_0127	F.2 ; US.52	détail ; en cours de fouille ; vue du nord
PN_2020_0128	INV.160 ; US.10	mobilier ; oblique ; en cours de fouille ; vue du nord
PN_2020_0129	INV.160 ; US.10	mobilier ; oblique ; en cours de fouille ; vue du nord
PN_2020_0130	INV.160 ; US.10	mobilier ; oblique ; en cours de fouille ; vue du nord
PN_2020_0131	INV.160 ; INV.609 ; US.10	mobilier ; oblique ; en cours de fouille ; vue du nord-ouest
PN_2020_0132	INV.160 ; INV.609 ; US.10	mobilier ; oblique ; en cours de fouille ; vue du nord-ouest
PN_2020_0133	INV.160 ; INV.609 ; US.10	mobilier ; oblique ; en cours de fouille ; vue du nord-ouest
PN_2020_0134	INV.609 ; US.10	mobilier ; oblique ; en cours de fouille ; vue du nord-est
PN_2020_0135	INV.609 ; US.10	mobilier ; oblique ; en cours de fouille ; vue du nord-est
PN_2020_0136	INV.609 ; US.10	mobilier ; oblique ; en cours de fouille ; vue du nord-est
PN_2020_0137	ESP.C2 ; F.31 ; US.48 ; US.667 ; US.86	détail, en cours de fouille, vue du nord-est
PN_2020_0138	ESP.C2 ; F.31 ; US.48 ; US.667 ; US.86	détail, en cours de fouille, vue du nord-est
PN_2020_0139	ESP.C2 ; F.31 ; US.48 ; US.667 ; US.86	détail, en cours de fouille, vue du nord-est
PN_2020_0140	ESP.C2 ; F.31 ; US.48 ; US.667 ; US.86	détail, en cours de fouille, vue du nord-est
PN_2020_0141	ESP.C2 ; F.31 ; US.48 ; US.667 ; US.86	coupe ; en cours de fouille ; vue du nord
PN_2020_0142	ESP.C2 ; F.31 ; US.48 ; US.667 ; US.86	coupe ; en cours de fouille ; vue du nord
PN_2020_0143	ESP.C2 ; F.31 ; US.48 ; US.667 ; US.86	coupe ; en cours de fouille ; vue du nord
PN_2020_0144	ESP.C2 ; F.31 ; US.48 ; US.667 ; US.86	coupe ; en cours de fouille ; vue du nord
PN_2020_0145	ESP.C2 ; F.31 ; US.48 ; US.667 ; US.86	oblique ; en cours de fouille ; vue du nord
PN_2020_0146	ESP.C2 ; F.31 ; US.48 ; US.667 ; US.86	oblique ; en cours de fouille ; vue du nord-ouest
PN_2020_0147	ESP.C2 ; F.31 ; US.48 ; US.667 ; US.86	oblique ; en cours de fouille ; vue du nord-ouest
PN_2020_0148	ESP.C2 ; F.31 ; US.48 ; US.667 ; US.86	oblique ; en cours de fouille ; vue du nord-ouest
PN_2020_0149	F.23 ; US.58 ; US.59	plan ; en cours de fouille ; vue du sud-ouest
PN_2020_0150	F.23 ; US.58 ; US.59	plan ; en cours de fouille ; vue du sud-ouest
PN_2020_0151	F.23 ; US.58 ; US.59	oblique ; en cours de fouille ; vue du nord-est
PN_2020_0152	F.23 ; US.58 ; US.59	oblique ; en cours de fouille ; vue du nord-est
PN_2020_0153	F.23 ; US.58 ; US.59	oblique ; en cours de fouille ; vue du nord-est
PN_2020_0154	F.23 ; US.58 ; US.59	oblique ; en cours de fouille ; vue du nord-est
PN_2020_0155	ENS.C ; F.16 ; US.54 ; US.55	coupe ; en cours de fouille ; vue du sud
PN_2020_0156	ENS.C ; F.16 ; US.54 ; US.55	coupe ; en cours de fouille ; vue du sud
PN_2020_0157	ENS.C ; F.16 ; US.54 ; US.55	coupe ; en cours de fouille ; vue du sud
PN_2020_0158	ENS.C ; F.16 ; US.54 ; US.55	coupe ; en cours de fouille ; vue du sud
PN_2020_0159	ENS.A ; F.15 ; F.4	oblique ; en cours de fouille ; vue de l'est
PN_2020_0160	ENS.A ; F.15 ; F.4	oblique ; en cours de fouille ; vue de l'est
PN_2020_0161	ENS.A ; F.15 ; F.4	oblique ; en cours de fouille ; vue de l'est
PN_2020_0162	ENS.A ; F.15 ; F.4	oblique ; en cours de fouille ; vue de l'est

Mutations urbaines à *Nasium* (Meuse) | Rapport intermédiaire 2023

N° photo	Sujets	Description
PN_2020_0163	ENS.A ; F.15 ; F.4	oblique ; en cours de fouille ; vue de l'est
PN_2020_0164	ENS.C ; F.20 ; US.69	détail ; en cours de fouille ; vue du nord-est
PN_2020_0165	ENS.C ; F.20 ; US.69	détail ; en cours de fouille ; vue du nord-est
PN_2020_0166	ENS.C ; US.22 ; US.29	oblique ; en cours de fouille ; vue de l'ouest
PN_2020_0167	ENS.C ; US.22 ; US.29	oblique ; en cours de fouille ; vue de l'ouest
PN_2020_0168	ENS.C ; US.22 ; US.29	oblique ; en cours de fouille ; vue de l'ouest
PN_2020_0169	ENS.C ; US.22 ; US.29	oblique ; en cours de fouille ; vue de l'ouest
PN_2020_0170	ENS.C ; US.22 ; US.29	oblique ; en cours de fouille ; vue de l'est
PN_2020_0171	ENS.C ; US.22 ; US.29	oblique ; en cours de fouille ; vue de l'est
PN_2020_0172	ENS.C ; US.19 ; US.29	oblique ; en cours de fouille ; vue du nord
PN_2020_0173	ENS.C ; US.19 ; US.29	oblique ; en cours de fouille ; vue du nord
PN_2020_0174	ENS.C ; US.19 ; US.29	oblique ; en cours de fouille ; vue du nord
PN_2020_0175	ENS.C ; US.19 ; US.29	oblique ; en cours de fouille ; vue du nord
PN_2020_0176	ENS.C ; F.18 ; US.71 ; US.72	oblique ; en cours de fouille ; vue du nord
PN_2020_0177	ENS.C ; F.18 ; US.71 ; US.72	oblique ; en cours de fouille ; vue du nord
PN_2020_0178	F.8 ; US.25	plan ; fin de fouille ; vue du nord
PN_2020_0179	F.8 ; US.25	plan ; fin de fouille ; vue du nord
PN_2020_0180	F.8 ; US.25	plan ; fin de fouille ; vue du nord
PN_2020_0181	ENS.C ; F.18 ; US.71 ; US.72	détail ; en cours de fouille ; vue du nord-ouest
PN_2020_0182	ENS.C ; F.18 ; US.71 ; US.72	détail ; en cours de fouille ; vue du nord-ouest
PN_2020_0183	ENS.C ; F.24 ; US.63 ; US.64	plan ; en cours de fouille ; vue du sud
PN_2020_0184	ENS.C ; F.24 ; US.63 ; US.64	plan ; en cours de fouille ; vue du sud
PN_2020_0185	ENS.C ; F.24 ; US.63 ; US.64	coupe ; en cours de fouille ; vue du sud
PN_2020_0186	ENS.C ; F.24 ; US.63 ; US.64	coupe ; en cours de fouille ; vue du sud
PN_2020_0187	ENS.C ; F.19 ; US.70	plan ; en cours de fouille ; vue de l'ouest
PN_2020_0188	ENS.C ; F.19 ; US.70	plan ; en cours de fouille ; vue de l'ouest
PN_2020_0189	F.20 ; INV.663 ; US.66	oblique ; en cours de fouille ; vue du sud
PN_2020_0190	F.20 ; INV.663 ; US.66	oblique ; en cours de fouille ; vue du sud
PN_2020_0191	F.20 ; INV.663 ; US.66	oblique ; en cours de fouille ; vue du sud
PN_2020_0192	ENS.C ; F.20 ; US.69	détail ; en cours de fouille ; vue de l'est
PN_2020_0193	ENS.C ; F.20 ; US.69	détail ; en cours de fouille ; vue de l'est
PN_2020_0194	ENS.C ; F.20 ; US.69	détail ; en cours de fouille ; vue de l'est
PN_2020_0195	ENS.C ; F.20 ; US.69	détail ; en cours de fouille ; vue de l'est
PN_2020_0196	F.21 ; US.19	détail ; en cours de fouille ; vue du nord
PN_2020_0197	F.21 ; US.19	détail ; en cours de fouille ; vue du nord
PN_2020_0198	ESPC2 ; F.31 ; INV.663 ; INV.667 ; US.48	mobilier ; fin de fouille ; vue du nord-est
PN_2020_0199	ESPC2 ; F.31 ; INV.663 ; INV.667 ; US.48	mobilier ; fin de fouille ; vue du nord-est
PN_2020_0200	ENS.C ; F.18 ; F.19 ; F.20	oblique ; en cours de fouille ; vue du sud
PN_2020_0201	ENS.C ; F.18 ; F.19 ; F.20	oblique ; en cours de fouille ; vue du sud
PN_2020_0202	ENS.C ; US.56	oblique ; en cours de fouille ; vue du sud
PN_2020_0203	ENS.C ; US.56	oblique ; en cours de fouille ; vue du sud
PN_2020_0204	ENS.C ; F.5 ; US.24 ; US.56	oblique ; en cours de fouille ; vue de l'ouest
PN_2020_0205	ENS.C ; F.16 ; US.54 ; US.55	plan ; en cours de fouille ; vue du sud
PN_2020_0206	ENS.C ; F.16 ; US.54 ; US.55	plan ; en cours de fouille ; vue du sud
PN_2020_0207	ENS.D ; ESP.C4 ; F.5 ; US.38	plan ; en cours de fouille ; vue de l'est
PN_2020_0208	ENS.D ; ESP.C4 ; F.5 ; US.38	plan ; en cours de fouille ; vue de l'est
PN_2020_0209	ESPC4 ; US.62 ; US.65 ; US.74 ; US.75	oblique ; en cours de fouille ; vue de l'est
PN_2020_0210	ESPC4 ; US.62 ; US.65 ; US.74 ; US.75	oblique ; en cours de fouille ; vue de l'est
PN_2020_0211	ESPC4 ; US.65 ; US.74	détails ; en cours de fouille ; vue du sud-est
PN_2020_0212	ESPC4 ; US.62 ; US.65 ; US.74 ; US.75	détails ; en cours de fouille ; vue du sud-est
PN_2020_0213	ESPC4 ; US.62 ; US.65 ; US.74 ; US.75	détails ; en cours de fouille ; vue du sud-est
PN_2020_0214	ESPC4 ; US.65 ; US.74	détails ; en cours de fouille ; vue de l'est
PN_2020_0215	ESPC4 ; US.62 ; US.65 ; US.74 ; US.75	plan ; en cours de fouille ; vue du sud-est
PN_2020_0216	ESPC4 ; US.62 ; US.65 ; US.74 ; US.75 ; US.98	plan ; en cours de fouille ; vue du sud-est
PN_2020_0217	ESPC4 ; US.62 ; US.65 ; US.74 ; US.75 ; US.98	plan ; en cours de fouille ; vue du sud-est
PN_2020_0218	ESPC4 ; US.62 ; US.65 ; US.74 ; US.75 ; US.98	plan ; en cours de fouille ; vue du sud-est

Mutations urbaines à Nasium (Meuse) | Rapport intermédiaire 2023

N° photo	Sujets	Description
PN_2020_0219	US.10 ; US.41	coupe ; en cours de fouille ; vue du nord
PN_2020_0220	ENS.C ; F.5 ; F.7 ; US.24	oblique ; en cours de fouille ; vue du sud-ouest
PN_2020_0221	F.29 ; US.79	oblique ; en cours de fouille ; vue du sud-est
PN_2020_0222	F.29 ; US.79	oblique ; en cours de fouille ; vue du sud-est
PN_2020_0223	ESPC4 ; INV.275 ; US.82	meuble ; plan ; en cours de fouille ; vue du nord-est
PN_2020_0224	ESPC4 ; INV.275 ; US.82	meuble ; plan ; en cours de fouille ; vue du nord-est
PN_2020_0225	ESPC4 ; INV.275 ; US.82	meuble ; coupe ; en cours de fouille ; vue du sud-ouest
PN_2020_0226	ESPC4 ; INV.275 ; US.82	meuble ; coupe ; en cours de fouille ; vue du sud-ouest
PN_2020_0227	ESPC4 ; INV.275 ; US.82	meuble ; détail ; en cours de fouille ; vue du sud
PN_2020_0228	ESPC4 ; US.98	plan ; en cours de fouille ; vue du nord-est
PN_2020_0229	ESPC4 ; US.98	plan ; en cours de fouille ; vue du nord-est
PN_2020_0230	ESPC4 ; F.28 ; INV.275	meuble ; oblique ; fin de fouille ; vue du nord
PN_2020_0231	US.19 ; US.51 ; US.84	plan ; en cours de fouille ; zénithale
PN_2020_0232	US.19 ; US.51 ; US.84	plan ; en cours de fouille ; zénithale
PN_2020_0233	INV.664 ; US.19 ; US.52 ; US.84	plan ; en cours de fouille ; zénithale
PN_2020_0234	INV.664 ; US.19 ; US.52 ; US.84	plan ; en cours de fouille ; zénithale
PN_2020_0235	ESPC2	plan ; en cours de fouille ; zénithale
PN_2020_0236	ESPC4	plan ; en cours de fouille ; zénithale
PN_2020_0237	F.20 ; F.25 ; US.56 ; US.66	plan ; en cours de fouille ; zénithale
PN_2020_0238	ENS.D ; ESPC4 ; F.5 ; INV.275 ; INV.609 ; US.56 ; US.77	plan ; en cours de fouille ; zénithale
PN_2020_0239	ENS.D ; ESPC4 ; F.5 ; INV.275 ; INV.609 ; US.56 ; US.77	plan ; en cours de fouille ; zénithale
PN_2020_0240	F.11 ; F.27 ; INV.664 ; US.100	oblique ; en cours de fouille ; vue du sud-ouest
PN_2020_0241	F.27	oblique ; en cours de fouille ; vue du sud-ouest
PN_2020_0242	F.27 ; US.100	détail ; en cours de fouille ; vue du sud-est
PN_2020_0243	F.27 ; US.100	détail ; en cours de fouille ; vue du sud-est
PN_2020_0244	ENS.C ; F.28 ; US.56	coupe ; en cours de fouille ; vue du sud
PN_2020_0245	ENS.C ; F.28 ; US.56	coupe ; en cours de fouille ; vue du sud
PN_2020_0246	F.29	coupe ; en cours de fouille ; vue de l'ouest
PN_2020_0247	F.29	coupe ; en cours de fouille ; vue de l'ouest
PN_2020_0248	ENS.C ; F.35 ; US.104	plan ; en cours de fouille ; vue du nord-ouest
PN_2020_0249	ENS.C ; F.35 ; US.104	plan ; en cours de fouille ; vue du nord-ouest
PN_2020_0250	ENS.C ; F.35 ; US.104	plan ; en cours de fouille ; vue du sud-ouest
PN_2020_0251	F.29	plan ; en cours de fouille ; vue du sud-ouest
PN_2020_0252	F.29	plan ; en cours de fouille ; vue du sud-ouest
PN_2020_0253	ENS.C ; F.35 ; US.104	détail ; en cours de fouille ; vue de l'ouest
PN_2020_0254	ENS.C ; F.35 ; US.104	détail ; en cours de fouille ; vue du sud-ouest
PN_2020_0255	ENS.C ; F.35 ; US.104	détail ; en cours de fouille ; vue du nord-ouest
PN_2020_0256	ENS.C ; F.35 ; US.104	détail ; en cours de fouille ; vue du nord-ouest
PN_2020_0257	ENS.C ; F.35 ; US.104	détail ; en cours de fouille ; vue du nord-ouest
PN_2020_0258	ENS.C ; F.35 ; US.104	détail ; en cours de fouille ; vue du nord-ouest
PN_2020_0259	ENS.C ; F.36 ; US.106 ; US.107	détail ; en cours de fouille ; vue du nord-est
PN_2020_0260	ENS.C ; F.36 ; US.106 ; US.107	détail ; en cours de fouille ; vue du nord-est
PN_2020_0261	F.5 ; US.24 ; US.57	oblique ; en cours de fouille ; vue du nord-ouest
PN_2020_0262	F.5 ; US.24 ; US.57	oblique ; en cours de fouille ; vue du nord-ouest
PN_2020_0263	ENS.C ; F.14 ; US.41	oblique ; en cours de fouille ; vue du nord-est
PN_2020_0264	ENS.C ; F.14 ; US.41	oblique ; en cours de fouille ; vue du nord-est
PN_2020_0265	ENS.A ; F.4 ; US.109 ; US.110 ; US.111	oblique ; en cours de fouille ; vue du sud-est
PN_2020_0266	ENS.A ; F.4 ; US.109 ; US.110 ; US.111	oblique ; en cours de fouille ; vue du sud-est
PN_2020_0267	ENS.B ; F.34 ; US.101 ; US.102 ; US.103	oblique ; en cours de fouille ; vue de l'est
PN_2020_0268	ENS.B ; F.34 ; US.101 ; US.102 ; US.103	oblique ; en cours de fouille ; vue de l'est
PN_2020_0269	ENS.B ; F.34 ; US.101 ; US.102 ; US.103	oblique ; en cours de fouille ; vue du sud-est
PN_2020_0270	ESPC4 ; US.53 ; US.82	plan ; en cours de fouille ; vue du nord-est
PN_2020_0271	ESPC4 ; US.53 ; US.82	plan ; en cours de fouille ; vue du nord-est
PN_2020_0272	F.27 ; US.19	oblique ; en cours de fouille ; vue du sud-ouest
PN_2020_0273	F.27 ; US.19	oblique ; en cours de fouille ; vue du sud-ouest
PN_2020_0274	ESPC4 ; US.97 ;	détail ; en cours de fouille ; vue du sud-est

Mutations urbaines à Nasium (Meuse) | Rapport intermédiaire 2023

N° photo	Sujets	Description
PN_2020_0275	ESPC4 ; US.97 ;	détail ; en cours de fouille ; vue du sud-est
PN_2020_0276	F.27 ; US.19	oblique ; en cours de fouille ; vue du sud-ouest
PN_2020_0277	F.27 ; US.19	oblique ; en cours de fouille ; vue du sud-ouest
PN_2020_0278	ENS.C ; F.14 ; US.41	oblique ; en cours de fouille ; vue du nord-est
PN_2020_0279	ENS.C ; F.14 ; US.41	oblique ; en cours de fouille ; vue du nord-est
PN_2020_0280	ENS.C ; F.14 ; US.41	oblique ; en cours de fouille ; vue du sud-ouest
PN_2020_0281	ENS.C ; F.14 ; US.41	oblique ; en cours de fouille ; vue du sud-ouest
PN_2020_0282	ENS.C ; F.14 ; US.41	oblique ; en cours de fouille ; vue du sud-ouest
PN_2020_0283	ENS.C ; F.14 ; US.41	oblique ; en cours de fouille ; vue du sud-est
PN_2020_0284	ENS.C ; F.14 ; US.41	oblique ; en cours de fouille ; vue du sud-est
PN_2020_0285	ENS.C ; US.82	plan ; en cours de fouille ; vue du nord-est
PN_2020_0286	ENS.C ; US.82	plan ; en cours de fouille ; vue du nord-est
PN_2020_0287	ENS.C ; ESP.C2 ; US.105	oblique ; en cours de fouille ; vue du nord
PN_2020_0288	ENS.C ; ESP.C2 ; US.105	oblique ; en cours de fouille ; vue du nord
PN_2020_0289	ENS.C ; ESP.C2 ; US.105	oblique ; en cours de fouille ; vue du nord-est
PN_2020_0290	ENS.C ; ESP.C2 ; US.105	oblique ; en cours de fouille ; vue du sud
PN_2020_0291	ENS.C ; F.1 ; F.6 ; US.22	oblique ; en cours de fouille ; vue du nord-est
PN_2020_0292	ENS.C ; F.1 ; F.6 ; US.22	oblique ; en cours de fouille ; vue du nord-est
PN_2020_0293	ENS.C ; ESP.C2 ; F.35 ; INV.457 ; US.108 ; US.113	détail ; en cours de fouille ; vue du sud-ouest
PN_2020_0294	ENS.C ; ESP.C2 ; F.35 ; INV.457 ; US.108 ; US.113	détail ; en cours de fouille ; vue du sud-ouest
PN_2020_0295	F.27 ; F.30 ; US.83 ; US.84	oblique ; en cours de fouille ; vue du nord-est
PN_2020_0296	F.27 ; F.30 ; US.83 ; US.84	oblique ; en cours de fouille ; vue du nord-est
PN_2020_0297	F.27 ; F.30 ; US.83 ; US.84	oblique ; en cours de fouille ; vue du sud-ouest
PN_2020_0298	F.27 ; F.30 ; US.83 ; US.84	oblique ; en cours de fouille ; vue du sud-ouest
PN_2020_0299	ENS.A ; F.37 ; F.4	oblique ; en cours de fouille ; vue du sud-ouest
PN_2020_0300	ENS.A ; F.37 ; F.4	oblique ; en cours de fouille ; vue du sud-ouest
PN_2020_0301	ENS.C ; F.1 ; F.6 ; US.46	plan ; en cours de fouille ; vue du nord-est
PN_2020_0302	ENS.C ; F.1 ; F.6 ; US.46	plan ; en cours de fouille ; vue du nord-est
PN_2020_0303	F.27 ; F.5 ; US.19	oblique ; en cours de fouille ; vue de l'ouest
PN_2020_0304	F.27 ; F.5 ; US.19	oblique ; en cours de fouille ; vue de l'ouest
PN_2020_0305	F.27 ; F.5 ; US.19	oblique ; en cours de fouille ; vue de l'ouest
PN_2020_0306	F.27 ; F.5 ; US.19	oblique ; en cours de fouille ; vue de l'ouest
PN_2020_0307	F.23	plan ; en cours de fouille ; vue du sud-ouest
PN_2020_0308	F.23	plan ; en cours de fouille ; vue du sud-ouest
PN_2020_0309	F.14 ; US.41	détail ; en cours de fouille ; vue du nord-est
PN_2020_0310	F.14 ; US.41	détail ; en cours de fouille ; vue du nord-est
PN_2020_0311	ENS.C ; ENS.B ; F.14 ; US.41	oblique ; en cours de fouille ; vue du nord-ouest
PN_2020_0312	ENS.C ; ENS.B ; F.14 ; US.41	oblique ; en cours de fouille ; vue du nord-ouest
PN_2020_0313	ESPC2 ; US.47	détail ; en cours de fouille ; vue du sud-ouest
PN_2020_0314	ESPC2 ; US.47	détail ; en cours de fouille ; vue du sud-ouest
PN_2020_0315	US.119	oblique ; en cours de fouille ; vue du nord-est
PN_2020_0316	US.119	oblique ; en cours de fouille ; vue du nord-est
PN_2020_0317	US.119	oblique ; en cours de fouille ; vue du nord-est
PN_2020_0318	F.23	oblique ; fin de fouille ; vue du sud-ouest
PN_2020_0319	F.23	oblique ; fin de fouille ; vue du sud-ouest
PN_2020_0320	US.120	oblique ; fin de fouille ; vue du sud-est
PN_2020_0321	F.31	oblique ; fin de fouille ; vue du sud-est
PN_2020_0322	ENS.C ; F.14 ; US.41	oblique ; en cours de fouille ; vue du nord-ouest
PN_2020_0323	ENS.C ; F.14 ; US.41	oblique ; en cours de fouille ; vue du nord-ouest
PN_2020_0324	F.27 ; F.30 ; US.120	oblique ; en cours de fouille ; vue du nord-est
PN_2020_0325	F.16 ; F.24 ; F.27 ; F.30 ; F.44 ; F.8 ; US.131 ; US.133 ; US.83	oblique ; en cours de fouille ; vue du nord-est
PN_2020_0326	F.16 ; F.24 ; F.27 ; F.30 ; F.44 ; F.8 ; US.131 ; US.133 ; US.83	oblique ; en cours de fouille ; vue du nord-est
PN_2020_0327	F.24 ; F.31 ; F.44 ; F.58 ; F.61	oblique ; en cours de fouille ; vue du nord-est
PN_2020_0328	ENS.C ; ESP.C4 ; US.121	plan ; en cours de fouille ; vue du nord-ouest
PN_2020_0329	ENS.C ; ESP.C4 ; US.121	plan ; en cours de fouille ; vue du nord-ouest
PN_2020_0330	ENS.C ; ENS.B ; F.34 ; US.102	oblique ; en cours de fouille ; vue du sud-est

Mutations urbaines à Nasium (Meuse) | Rapport intermédiaire 2023

N° photo	Sujets	Description
PN_2020_0331	ENS.C ; ENS.B ; F.34 ; US.102	oblique ; en cours de fouille ; vue du sud-est
PN_2020_0332	ESPC2 ; INV.457 ; US.47	mobilier ; plan ; en cours de fouille ; vue du nord-est
PN_2020_0333	ESPC2 ; INV.457 ; US.47	mobilier ; plan ; en cours de fouille ; vue du nord-est
PN_2020_0334	ESPC2 ; US.47	détail ; en cours de fouille ; vue du sud-ouest
PN_2020_0335	ESPC2 ; US.47	détail ; en cours de fouille ; vue du sud-ouest
PN_2020_0336	F.30 ; US.83	oblique ; en cours de fouille ; vue du sud-ouest
PN_2020_0337	F.16	plan ; en cours de fouille ; vue du sud-ouest
PN_2020_0338	F.16	plan ; en cours de fouille ; vue du nord-ouest
PN_2020_0339	ESPC4 ; US.122	oblique ; en cours de fouille ; vue du nord
PN_2020_0340	ESPC4 ; US.122	oblique ; en cours de fouille ; vue du nord
PN_2020_0341	F.42 ; F.44 ; F.52	oblique ; en cours de fouille ; vue du nord
PN_2020_0342	F.42 ; F.44 ; F.52	oblique ; en cours de fouille ; vue du nord
PN_2020_0343	ESPC4 ; F.6 ; US.46	oblique ; en cours de fouille ; vue du nord
PN_2020_0344	; F.16	coupe ; en cours de fouille ; vue du nord-ouest
PN_2020_0345	; F.16	coupe ; en cours de fouille ; vue du nord-ouest
PN_2020_0346	ESPC4 ; F.6 ; US.46	oblique ; en cours de fouille ; vue du nord-ouest
PN_2020_0347	ESPC4 ; F.6 ; US.46	oblique ; en cours de fouille ; vue du nord-ouest
PN_2020_0348	ESPC4 ; F.6 ; US.46	oblique ; en cours de fouille ; vue du sud-ouest
PN_2020_0349	ESPC4 ; F.6 ; US.46	oblique ; en cours de fouille ; vue du sud-ouest
PN_2020_0350	ESPC4 ; F.6 ; US.46	oblique ; en cours de fouille ; vue du nord-ouest
PN_2020_0351	ESPC4 ; F.43 ; US.95	oblique ; en cours de fouille ; vue du nord-est
PN_2020_0352	ESPC4 ; F.43 ; US.95	oblique ; en cours de fouille ; vue du nord-est
PN_2020_0353	F.30 ; F.44 ; US.131 ; US.83	oblique ; en cours de fouille ; vue de l'est
PN_2020_0354	F.30 ; F.44 ; US.131 ; US.83	oblique ; en cours de fouille ; vue de l'est
PN_2020_0355	F.11 ; F.30 ; F.42 ; F.44 ; INV.664 ; US.131 ; US.83	oblique ; en cours de fouille ; vue du nord-ouest
PN_2020_0356	F.11 ; F.30 ; F.42 ; F.44 ; INV.664 ; US.131 ; US.83	oblique ; en cours de fouille ; vue du nord-ouest
PN_2020_0357	F.11 ; F.30 ; F.42 ; F.44 ; INV.664 ; US.131 ; US.83	oblique ; en cours de fouille ; vue du sud-ouest
PN_2020_0358	F.44 ; US.131	oblique ; en cours de fouille ; vue du sud-ouest
PN_2020_0359	F.44 ; US.131	oblique ; en cours de fouille ; vue du sud-ouest
PN_2020_0360	ESPC4 ; INV.275 ; US.82	mobilier ; oblique ; fin de fouille ; vue du nord-est
PN_2020_0361	F.44 ; US.131	oblique ; en cours de fouille ; vue du sud-ouest
PN_2020_0362	F.44 ; US.131	oblique ; en cours de fouille ; vue du nord-ouest
PN_2020_0363	F.44 ; US.131	oblique ; en cours de fouille ; vue du nord-ouest
PN_2020_0364	F.44 ; US.131	oblique ; en cours de fouille ; vue du nord-ouest
PN_2020_0365	ESPC4 ; INV.275 ; US.82	mobilier ; oblique ; fin de fouille ; vue du nord
PN_2020_0366	ESPC4 ; INV.275 ; US.82	mobilier ; oblique ; fin de fouille ; vue du sud
PN_2020_0367	ESPC4 ; INV.275 ; US.82	mobilier ; oblique ; fin de fouille ; vue du nord
PN_2020_0368	ESPC4 ; INV.275 ; US.82	mobilier ; plan ; fin de fouille ; zénithale
PN_2020_0369	ESPC4 ; INV.275 ; US.82	mobilier ; oblique ; fin de fouille ; vue du sud
PN_2020_0370	ESPC4 ; INV.275 ; US.82	mobilier ; oblique ; fin de fouille ; vue du sud
PN_2020_0371	F.44 ; US.133	oblique ; en cours de fouille ; vue du nord-ouest
PN_2020_0372	F.44 ; US.133	oblique ; en cours de fouille ; vue du nord-ouest
PN_2020_0373	ESPC4 ; INV.275 ; US.82	mobilier ; oblique ; fin de fouille ; vue du sud
PN_2020_0374	ESPC2 ; US.124 ; US.126	plan ; en cours de fouille ; vue du sud-ouest
PN_2020_0375	ESPC2 ; US.124 ; US.126	plan ; en cours de fouille ; vue du sud-ouest
PN_2020_0376	ESPC2 ; US.135 ; US.136	détail ; en cours de fouille ; vue du sud-ouest
PN_2020_0377	ESPC2 ; US.135 ; US.136	détail ; en cours de fouille ; vue du sud-ouest
PN_2020_0378	ESPC2 ; US.135 ; US.136	détail ; en cours de fouille ; vue du nord-est
PN_2020_0379	ESPC2 ; US.135 ; US.136	détail ; en cours de fouille ; vue du nord-est
PN_2020_0380	ESPC2 ; US.135 ; US.136	détail ; en cours de fouille ; vue du nord-est
PN_2020_0381	ESPC2 ; US.135 ; US.136	détail ; en cours de fouille ; vue du nord-est
PN_2020_0382	ESPC2 ; US.135 ; US.136	détail ; en cours de fouille ; vue du nord-est
PN_2020_0383	ESPC2 ; US.124 ; US.126	détail ; en cours de fouille ; vue du nord-est
PN_2020_0384	ESPC2 ; US.124 ; US.126	détail ; en cours de fouille ; vue du nord-est
PN_2020_0385	ESPC2 ; US.124 ; US.126	détail ; en cours de fouille ; vue du nord-est
PN_2020_0386	ESPC2 ; US.124 ; US.126	détail ; en cours de fouille ; vue du nord-est

Mutations urbaines à Nasium (Meuse) | Rapport intermédiaire 2023

N° photo	Sujets	Description
PN_2020_0387	ESP.C4 ; F.28 ; US.138	Annulé
PN_2020_0388	ENS.B. ; F.51 ; INV.502 ; US.123	mobilier ; oblique ; en cours de fouille ; vue du nord-ouest
PN_2020_0389	ENS.B. ; F.51 ; INV.502 ; US.123	mobilier ; oblique ; en cours de fouille ; vue du nord-ouest
PN_2020_0390	ENS.B. ; F.51 ; INV.502 ; US.123	mobilier ; oblique ; en cours de fouille ; vue du sud-est
PN_2020_0391	ENS.B. ; F.51 ; INV.502 ; US.123	mobilier ; oblique ; en cours de fouille ; vue du sud-est
PN_2020_0392	ENS.B. ; F.51 ; US.123	oblique ; en cours de fouille ; vue du nord-est
PN_2020_0393	ENS.B. ; F.51 ; US.123	oblique ; en cours de fouille ; vue du nord-est
PN_2020_0394	ENS.B. ; F.51 ; US.123	oblique ; en cours de fouille ; vue du nord-est
PN_2020_0395	ENS.B. ; F.51 ; US.123	oblique ; en cours de fouille ; vue du nord-est
PN_2020_0396	F.15 ; INV.598 ; US.137	mobilier ; plan ; en cours de fouille ; vue du nord-ouest
PN_2020_0397	ENS.A ; F.15 ; INV.598 ; US.37	mobilier ; plan ; en cours de fouille ; vue du nord-ouest
PN_2020_0398	F.15 ; INV.598 ; US.137	mobilier ; plan ; en cours de fouille ; vue du nord-ouest
PN_2020_0399	ESP.C4 ; F.28	Annulé
PN_2020_0400	ESP.C4 ; F.28	Annulé
PN_2020_0401	ENS.A ; F.55 ; US.137	mobilier ; plan ; en cours de fouille ; vue du nord-ouest
PN_2020_0402	ENS.A ; F.55 ; US.137	mobilier ; plan ; en cours de fouille ; vue du nord-ouest
PN_2020_0403	ENS.A ; F.55 ; US.137	mobilier ; plan ; en cours de fouille ; vue du nord-ouest
PN_2020_0404	ENS.B ; F.34	coupe ; en cours de fouille ; vue du sud
PN_2020_0405	ENS.B ; F.34	coupe ; en cours de fouille ; vue du sud
PN_2020_0406	ENS.B ; F.34	oblique ; en cours de fouille ; vue du sud-est
PN_2020_0407	ESP.C4 ; F.43 ; US.75	plan ; en cours de fouille ; zénithale
PN_2020_0408	ESP.C4 ; F.43 ; US.75	plan ; en cours de fouille ; zénithale
PN_2020_0409	ESP.C4 ; F.43 ; US.65 ; US.75	oblique ; en cours de fouille ; vue du sud-est
PN_2020_0410	ESP.C4 ; F.43 ; US.65 ; US.75	oblique ; en cours de fouille ; vue du sud-est
PN_2020_0411	ESP.C4 ; F.43 ; US.75	oblique ; en cours de fouille ; vue du sud-est
PN_2020_0412	ESP.C4 ; F.43 ; US.75	oblique ; en cours de fouille ; vue du sud-est
PN_2020_0413	ESP.C2 ; US.112	oblique ; en cours de fouille ; vue du nord-est
PN_2020_0414	ESP.C2 ; F.32 ; F.41 ; US.112	oblique ; en cours de fouille ; vue du nord-est
PN_2020_0415	ESP.C2 ; F.32 ; F.41 ; US.112	oblique ; en cours de fouille ; vue du nord-est
PN_2020_0416	ESP.C2 ; F.32 ; F.41 ; US.112	oblique ; en cours de fouille ; vue du nord-est
PN_2020_0417	ESP.C2 ; US.148	détail ; en cours de fouille ; zénithale
PN_2020_0418	ESP.C2 ; US.148	détail ; en cours de fouille ; zénithale
PN_2020_0419	ESP.C2 ; US.148	détail ; en cours de fouille ; zénithale
PN_2020_0420	ENS.B. ; F.46 ; US.142 ; US.143	plan ; en cours de fouille ; vue du sud
PN_2020_0421	ENS.B. ; F.46 ; US.142 ; US.143	plan ; en cours de fouille ; vue du sud
PN_2020_0422	ENS.B ; F.34	oblique ; en cours de fouille ; vue du sud-est
PN_2020_0423	ENS.B ; F.34	oblique ; en cours de fouille ; vue du nord-ouest
PN_2020_0424	ENS.B ; F.34	détail ; en cours de fouille ; vue du nord-ouest
PN_2020_0425	ENS.B ; F.34	oblique ; en cours de fouille ; vue du sud-ouest
PN_2020_0426	ENS.B ; F.34	oblique ; en cours de fouille ; vue du nord-ouest
PN_2020_0427	ENS.B ; F.34	détail ; en cours de fouille
PN_2020_0428	ENS.B ; F.34	détail ; en cours de fouille
PN_2020_0429	F.44 ; US.131	détail ; en cours de fouille ; vue de l'est
PN_2020_0430	F.44 ; US.131	détail ; en cours de fouille ; vue de l'est
PN_2020_0431	F.44 ; US.131	oblique ; en cours de fouille ; vue du sud-est
PN_2020_0432	F.44 ; US.131	oblique ; en cours de fouille ; vue du sud-est
PN_2020_0433	F.44 ; US.131	oblique ; en cours de fouille ; vue du sud-est
PN_2020_0434	F.44 ; US.131	oblique ; en cours de fouille ; vue du sud-est
PN_2020_0435	ESP.C2 ; US.124	détail ; en cours de fouille ; vue du nord-est
PN_2020_0436	ESP.C2 ; US.124	détail ; en cours de fouille ; vue du nord-est
PN_2020_0437	ESP.C2 ; US.124	détail ; en cours de fouille ; vue du nord-est
PN_2020_0438	ESP.C2 ; US.124	détail ; en cours de fouille ; vue du sud-est
PN_2020_0439	ESP.C2 ; US.124	détail ; en cours de fouille ; vue du sud-est
PN_2020_0440	ESP.C2 ; US.124	détail ; en cours de fouille ; vue du sud-est
PN_2020_0441	ESP.C2 ; US.124	détail ; en cours de fouille ; vue du nord-est
PN_2020_0442	ENS.A ; F.15 ; F.4 ; F.45 ; F.50	oblique ; en cours de fouille ; vue du sud-est

Mutations urbaines à Nasium (Meuse) | Rapport intermédiaire 2023

N° photo	Sujets	Description
PN_2020_0443	ENS.A ; F.15 ; F.4 ; F.45 ; F.50	oblique ; en cours de fouille ; vue du sud-est
PN_2020_0444	ENS.A ; F.45 ; US.132	oblique ; en cours de fouille ; vue du nord-ouest
PN_2020_0445	ENS.A ; F.45 ; US.132	oblique ; en cours de fouille ; vue du nord-ouest
PN_2020_0446	ENS.A ; F.45 ; US.132	oblique ; en cours de fouille ; vue du nord-ouest
PN_2020_0447	ENS.A ; F.15 ; F.49	coupe ; en cours de fouille ; vue de l'ouest
PN_2020_0448	ENS.A ; F.15 ; F.49	coupe ; en cours de fouille ; vue de l'ouest
PN_2020_0449	ENS.A ; F.15 ; F.37 ; F.39 ; F.50 ; INV.647	coupe ; en cours de fouille ; vue de l'est
PN_2020_0450	ENS.A ; F.15 ; F.37 ; F.39 ; F.50 ; INV.647	coupe ; en cours de fouille ; vue de l'est
PN_2020_0451	ENS.B. ; F.46 ; US.142 ; US.143	oblique ; en cours de fouille ; vue du sud-est
PN_2020_0452	ENS.B. ; F.46 ; US.142 ; US.143	oblique ; en cours de fouille ; vue du sud-est
PN_2020_0453	ESP.C4 ; F.28 ; US.126 ; US.62 ; US.74 ; US.75	oblique ; en cours de fouille ; vue du sud-ouest
PN_2020_0454	ESP.C4 ; F.28 ; US.126 ; US.62 ; US.74 ; US.75	oblique ; en cours de fouille ; vue du nord-ouest
PN_2020_0455	ESP.C4 ; F.28 ; US.126 ; US.62 ; US.74 ; US.75	oblique ; en cours de fouille ; vue du nord-est
PN_2020_0456	ENS.B. ; F.46	oblique ; en cours de fouille ; vue du sud-est
PN_2020_0457	ENS.B. ; F.46	oblique ; en cours de fouille ; vue du sud-est
PN_2020_0458	ENS.B. ; US.147	oblique ; en cours de fouille ; vue du nord-ouest
PN_2020_0459	ENS.B. ; US.147	oblique ; en cours de fouille ; vue du nord-ouest
PN_2020_0460	ESP.C2 ; US.126	détail ; en cours de fouille ; vue de l'est
PN_2020_0461	ESP.C2 ; US.126	détail ; en cours de fouille ; vue de l'est
PN_2020_0462	ESP.C2 ; US.126	détail ; en cours de fouille ; vue de l'est
PN_2020_0463	ESP.C2 ; US.126	détail ; en cours de fouille ; vue de l'est
PN_2020_0464	ESP.C2 ; US.126	détail ; en cours de fouille ; vue de l'est
PN_2020_0465	ESP.C2 ; US.126	détail ; en cours de fouille ; vue de l'est
PN_2020_0466	ESP.C2 ; US.126	détail ; en cours de fouille ; vue de l'est
PN_2020_0467	ESP.C2 ; US.126	détail ; en cours de fouille ; vue de l'est
PN_2020_0468	ESP.C2 ; US.126	détail ; en cours de fouille ; vue de l'est
PN_2020_0469	ESP.C2 ; US.126	détail ; en cours de fouille ; vue de l'est
PN_2020_0470	ESP.C2 ; US.126	détail ; en cours de fouille ; vue de l'est
PN_2020_0471	ESP.C2 ; US.126	détail ; en cours de fouille ; vue de l'est
PN_2020_0472	ENS.B ; F.34	oblique ; en cours de fouille ; vue du sud-est
PN_2020_0473	ENS.B ; F.34	oblique ; en cours de fouille ; vue du sud-est
PN_2020_0474	ENS.B ; F.34	oblique ; en cours de fouille ; vue du nord-ouest
PN_2020_0475	ENS.B ; F.34	oblique ; en cours de fouille ; vue du sud-ouest
PN_2020_0476	ENS.B ; F.34	détail ; en cours de fouille ; vue du nord-ouest
PN_2020_0477	ESP.C2 ; US.126	détail ; en cours de fouille ; vue de l'est
PN_2020_0478	ESP.C2 ; US.126	détail ; en cours de fouille ; vue de l'est
PN_2020_0479	ENS.A ; F.45 ; F.53	oblique ; en cours de fouille ; vue du nord-est
PN_2020_0480	ESP.C2 ; US.126	détail ; en cours de fouille ; vue du nord-est
PN_2020_0481	ESP.C2 ; US.126	détail ; en cours de fouille ; vue du nord-est
PN_2020_0482	ENS.A ; F.45 ; F.53	oblique ; en cours de fouille ; vue du sud-est
PN_2020_0483	ENS.A ; F.4 ; US.11	élévation ; en cours de fouille ; vue du sud
PN_2020_0484	ENS.A ; F.4 ; US.11	élévation ; en cours de fouille ; vue du sud
PN_2020_0485	ENS.A ; F.45 ; US.132	détail ; en cours de fouille ; vue de l'ouest
PN_2020_0486	ENS.A ; F.45 ; US.132	détail ; en cours de fouille ; vue du nord
PN_2020_0487	ENS.A ; F.45 ; US.132	détail ; en cours de fouille ; vue du nord
PN_2020_0488	ENS.A ; F.45 ; US.132	détail ; en cours de fouille ; vue du nord
PN_2020_0489	ENS.A ; F.45 ; US.132	détail ; en cours de fouille ; vue du sud
PN_2020_0490	ENS.A ; F.4 ; INV.647 ; US.11	élévation ; en cours de fouille ; vue du sud
PN_2020_0491	ENS.A ; F.39 ; US.156	élévation ; en cours de fouille ; vue de l'est
PN_2020_0492	ENS.A ; F.39 ; US.156	élévation ; en cours de fouille ; vue de l'est
PN_2020_0493	ENS.B ; F.34 ; US.101	oblique ; en cours de fouille ; vue du sud-est
PN_2020_0494	ENS.B ; F.34 ; US.101	oblique ; en cours de fouille ; vue du sud-est
PN_2020_0495	ENS.B ; F.34 ; US.101	oblique ; en cours de fouille ; vue du nord-ouest
PN_2020_0496	ENS.B ; F.34 ; US.101	oblique ; en cours de fouille ; vue du nord-ouest
PN_2020_0497	ENS.B ; F.34 ; US.101	oblique ; en cours de fouille ; vue du nord-ouest
PN_2020_0498	ENS.B. ; F.51	oblique ; en cours de fouille ; vue du nord

Mutations urbaines à Nasium (Meuse) | Rapport intermédiaire 2023

N° photo	Sujets	Description
PN_2020_0499	ENS.B. ; F.51	oblique ; en cours de fouille ; vue du nord
PN_2020_0500	ENS.B. ; US.168	oblique ; en cours de fouille ; vue du nord-ouest
PN_2020_0501	ENS.B. ; US.168	oblique ; en cours de fouille ; vue du nord-ouest
PN_2020_0502	F.38 ; F.57 ; US.167	oblique ; en cours de fouille ; vue de l'est
PN_2020_0503	F.38 ; F.57 ; US.167	oblique ; en cours de fouille ; vue de l'est
PN_2020_0504	F.38 ; F.57 ; US.167	oblique ; en cours de fouille ; vue du nord-est
PN_2020_0505	F.38 ; F.57 ; US.167	oblique ; en cours de fouille ; vue du nord-est
PN_2020_0506	F.29 ; F.38	oblique ; en cours de fouille ; vue du sud-est
PN_2020_0507	F.29 ; F.38	oblique ; en cours de fouille ; vue du sud-est
PN_2020_0508	F.38 ; US.164	détail ; en cours de fouille ; vue du sud-est
PN_2020_0509	F.38 ; US.164	détail ; en cours de fouille ; vue du sud-est
PN_2020_0510	F.38 ; US.140	détail ; en cours de fouille ; vue du sud-est
PN_2020_0511	F.38 ; US.140	détail ; en cours de fouille ; vue du sud-est
PN_2020_0512	F.38 ; US.140	détail ; en cours de fouille ; vue du sud-est
PN_2020_0513	F.54 ; US.165	détail ; en cours de fouille ; vue du nord-est
PN_2020_0514	F.54 ; US.165 ; US.166	coupe ; en cours de fouille ; vue de l'ouest
PN_2020_0515	F.54 ; US.165 ; US.166	coupe ; en cours de fouille ; vue de l'ouest
PN_2020_0516	ESPC2 ; US.174	détail ; en cours de fouille ; vue du nord-ouest
PN_2020_0517	ESPC2 ; US.174	détail ; en cours de fouille ; vue du nord-ouest
PN_2020_0518	F.38 ; F.58	oblique ; en cours de fouille ; vue de l'est
PN_2020_0519	F.38 ; F.58	oblique ; en cours de fouille ; vue de l'est
PN_2020_0520	F.58	oblique ; en cours de fouille ; vue de l'est
PN_2020_0521	F.58	oblique ; en cours de fouille ; vue de l'est
PN_2020_0522	ESPC2 ; F.41	oblique ; en cours de fouille ; vue du nord-ouest
PN_2020_0523	ESPC2 ; F.41	oblique ; en cours de fouille ; vue du nord-ouest
PN_2020_0524	ESPC2 ; F.41	oblique ; en cours de fouille ; vue du nord-ouest
PN_2020_0525	ESPC2 ; F.32 ; F.41	oblique ; en cours de fouille ; vue du nord-ouest
PN_2020_0526	ESPC2 ; F.32 ; F.41	oblique ; en cours de fouille ; vue du nord-ouest
PN_2020_0527	ESPC2 ; F.25 ; F.32 ; F.41 ; INV.665	oblique ; en cours de fouille ; vue du nord-ouest
PN_2020_0528	ESPC2 ; F.25 ; F.32 ; F.41 ; INV.665	oblique ; en cours de fouille ; vue du nord-ouest
PN_2020_0529	ESPC2 ; F.32 ; F.41	oblique ; en cours de fouille ; vue du nord-ouest
PN_2020_0530	ESPC2 ; F.32 ; F.41 ; INV.665	oblique ; en cours de fouille ; vue du nord-ouest
PN_2020_0531	ESPC2 ; F.32 ; F.41 ; INV.665	oblique ; en cours de fouille ; vue du nord-ouest
PN_2020_0532	ESPC2 ; F.32 ; F.41 ; INV.665	oblique ; en cours de fouille ; vue du nord-ouest
PN_2020_0533	F.16 ; F.31 ; US.128 ; US.129 ; US.130 ; US.154 ; US.165 ; US.166 ; US.17 ; US.182 ; US.22 ; US.29 ; US.48 ; US.51 ; US.52 ; US.64 ; US.84	coupe ; en cours de fouille ; vue du sud
PN_2020_0534	F.16 ; F.31 ; US.128 ; US.129 ; US.130 ; US.154 ; US.165 ; US.166 ; US.17 ; US.182 ; US.22 ; US.29 ; US.48 ; US.51 ; US.52 ; US.64 ; US.84	coupe ; en cours de fouille ; vue du sud
PN_2020_0535	F.16 ; F.31 ; US.128 ; US.129 ; US.130 ; US.154 ; US.165 ; US.166 ; US.17 ; US.182 ; US.22 ; US.29 ; US.48 ; US.51 ; US.52 ; US.64 ; US.84	coupe ; en cours de fouille ; vue du sud
PN_2020_0536	ESPC4 ; INV.275 ; US.82	mobilier ; fin de fouille ; vue du nord-est
PN_2020_0537	F.23 ; US.58 ; US.59	oblique ; en cours de fouille ; vue du sud-ouest
PN_2020_0538	F.11 ; INV.664	oblique ; en cours de fouille ; vue du nord-ouest
PN_2020_0539	F.29	oblique ; en cours de fouille ; vue de l'ouest
PN_2020_0540	F.11 ; INV.664 ; US.35	détail ; en cours de fouille ; vue du sud
PN_2020_0541	F.11 ; INV.664 ; US.35	détail ; en cours de fouille ; vue du sud
PN_2020_0542	ESPC2 ; INV.667 ; US.48	détail ; en cours de fouille ; vue du nord-est
PN_2020_0543	ESPC2 ; INV.667 ; US.48	détail ; en cours de fouille ; vue du nord-est
PN_2020_0544	ESPC2 ; INV.667 ; US.48	détail ; en cours de fouille ; vue du sud-ouest
PN_2020_0545	ESPC2 ; INV.667 ; US.48	détail ; en cours de fouille ; vue du sud-ouest
PN_2020_0546	ESPC2 ; INV.667 ; US.48	détail ; en cours de fouille ; vue du nord-est
PN_2020_0547	F.23 ; US.58 ; US.59	oblique ; en cours de fouille ; vue du sud-ouest
PN_2020_0548	ESPC2 ; US.124	détail ; en cours de fouille ; vue du nord-est
PN_2020_0549	ESPC2 ; US.124	détail ; en cours de fouille ; vue du nord-est
PN_2020_0550	F.11 ; US.35 ; US.36	détail ; en cours de fouille ; vue du sud-ouest
PN_2020_0551	F.9 ; US.27 ; US.28	coupe ; en cours de fouille ; vue de l'ouest
PN_2020_0552	ENS.A ; F.5 ; US.23	détail ; en cours de fouille ; vue du sud-ouest

Mutations urbaines à Nasium (Meuse) | Rapport intermédiaire 2023

N° photo	Sujets	Description
PN_2020_0553	F.2 ; US.52	détail ; en cours de fouille ; vue du nord
PN_2020_0554	F.20 ; F.25 ; INV.611 ; INV.663 ; US.45 ; US.66	oblique ; en cours de fouille ; vue du sud-ouest
PN_2020_0555	F.30 ; US.83	oblique ; en cours de fouille ; vue du sud-ouest
PN_2020_0556	ESP.C4 ; F.28 ; US.138	détail ; en cours de fouille ; vue du nord-ouest
PN_2020_0557	ENS.B ; F.34	oblique ; en cours de fouille ; vue du sud-est
PN_2020_0558	ENS.B ; F.34	détail ; en cours de fouille ; vue de l'ouest
PN_2020_0559	F.54 ; US.165	détail ; en cours de fouille ; vue du nord-ouest
PN_2021_0001	ambiance	vue d'ensemble ; avant la fouille ; vue vers le nord
PN_2021_0002	ambiance	vue d'ensemble ; avant la fouille ; vue vers le nord-ouest
PN_2021_0003	ambiance	vue d'ensemble ; avant la fouille ; vue vers le sud
PN_2021_0004	US.97	oblique ; avant la fouille ; vue vers le sud
PN_2021_0005	US.97	oblique ; avant la fouille ; vue vers le sud
PN_2021_0006	US.97	oblique ; avant la fouille ; vue vers le sud
PN_2021_0007	ambiance	vue d'ensemble ; en cours de fouille ; vue vers le sud
PN_2021_0008	ambiance	vue d'ensemble ; en cours de fouille ; vue vers le sud
PN_2021_0009	ambiance	vue d'ensemble ; en cours de fouille ; vue vers le sud-est
PN_2021_0010	ambiance	vue d'ensemble ; en cours de fouille ; vue vers le nord
PN_2021_0011	US.97	oblique ; avant la fouille ; vue vers le sud-ouest
PN_2021_0012	US.97	oblique ; avant la fouille ; vue vers le sud-ouest
PN_2021_0013	US.97	oblique ; avant la fouille ; vue vers le sud-ouest
PN_2021_0014	US.97	oblique ; avant la fouille ; vue vers le sud-ouest
PN_2021_0015	ambiance	vue d'ensemble ; en cours de fouille ; vue vers le sud-ouest
PN_2021_0016	ENS.B ; F.69	oblique ; fin de fouille ; vue vers le nord-ouest
PN_2021_0017	ENS.B ; F.69	oblique ; fin de fouille ; vue vers le nord-ouest
PN_2021_0018	ENS.B ; F.69	coupe ; en cours de fouille ; vue vers le nord-est
PN_2021_0019	ENS.B ; F.69	coupe ; en cours de fouille ; vue vers le nord-est
PN_2021_0020	F.35 ; US.113	zénithale ; avant la fouille ; vue vers le nord
PN_2021_0021	F.35 ; US.113	zénithale ; en cours de fouille ; vue vers le nord
PN_2021_0022	F.35 ; US.113	zénithale ; avant la fouille ; vue vers le nord
PN_2021_0023	F.35 ; US.113	zénithale ; avant la fouille ; vue vers le nord
PN_2021_0024	F.41 ; US.120 ; US.226	oblique ; avant la fouille ; vue vers le sud
PN_2021_0025	F.41 ; US.120 ; US.226	oblique ; avant la fouille ; vue vers le sud
PN_2021_0026	F.41 ; US.120 ; US.226	oblique ; avant la fouille ; vue vers le sud
PN_2021_0027	F.41 ; US.120 ; US.226	oblique ; avant la fouille ; vue vers le sud
PN_2021_0028	F.41 ; US.120 ; US.226	oblique ; avant la fouille ; vue vers le sud
PN_2021_0029	ambiance	vue d'ensemble ; en cours de fouille ; vue vers le nord-ouest
PN_2021_0030	ambiance	vue d'ensemble ; en cours de fouille ; vue vers le nord-ouest
PN_2021_0031	ambiance	vue d'ensemble ; en cours de fouille ; vue vers le ouest
PN_2021_0032	ambiance	vue d'ensemble ; en cours de fouille ; vue vers le ouest
PN_2021_0033	F.5	vue partielle ; en cours de fouille ; vue vers le est
PN_2021_0034	ambiance	vue d'ensemble ; en cours de fouille ; vue vers le nord
PN_2021_0035	ambiance	vue d'ensemble ; en cours de fouille ; vue vers le est
PN_2021_0036	F.70 ; US.237 ; US.238	oblique ; avant la fouille ; vue vers le sud
PN_2021_0037	F.70 ; US.237 ; US.238	zénithale ; avant la fouille ; vue vers le sud
PN_2021_0038	F.69 ; US.229 ; US.230	coupe ; en cours de fouille ; vue vers le nord-est
PN_2021_0039	F.69 ; US.229 ; US.230	coupe ; en cours de fouille ; vue vers le nord-est
PN_2021_0040	F.69 ; US.229 ; US.230	coupe ; en cours de fouille ; vue vers le nord-est
PN_2021_0041	ENS.D ; F.83 ; US.233	zénithale ; avant la fouille ; vue vers le nord-est
PN_2021_0042	ENS.D ; F.83 ; US.233	zénithale ; avant la fouille ; vue vers le nord-est
PN_2021_0043	ENS.D ; F.83 ; US.233	zénithale ; avant la fouille ; vue vers le nord-est
PN_2021_0044	ENS.D ; US.234	zénithale ; avant la fouille ; vue vers le nord-est
PN_2021_0045	ENS.D ; US.234	zénithale ; avant la fouille ; vue vers le nord-est
PN_2021_0046	ENS.D ; US.234	zénithale ; avant la fouille ; vue vers le nord-est
PN_2021_0047	US.239	oblique ; avant la fouille ; vue vers le nord-ouest
PN_2021_0048	US.239	oblique ; avant la fouille ; vue vers le nord-ouest
PN_2021_0049	US.239	oblique ; avant la fouille ; vue vers le nord-ouest

Mutations urbaines à Nasium (Meuse) | Rapport intermédiaire 2023

N° photo	Sujets	Description
PN_2021_0050	US.239	oblique ; avant la fouille ; vue vers le nord-ouest
PN_2021_0051	US.239	oblique ; avant la fouille ; vue vers le nord-ouest
PN_2021_0052	US.239	oblique ; avant la fouille ; vue vers le nord-ouest
PN_2021_0053	US.239	oblique ; avant la fouille ; vue vers le nord-ouest
PN_2021_0054	US.239	zénithale ; avant la fouille ; vue vers le nord-ouest
PN_2021_0055	US.239	oblique ; avant la fouille ; vue vers le sud
PN_2021_0056	US.239	oblique ; avant la fouille ; vue vers le sud
PN_2021_0057	US.239	oblique ; avant la fouille ; vue vers le sud
PN_2021_0058	F.20 ; US.69	oblique ; avant la fouille ; vue vers le nord-ouest
PN_2021_0059	ESPC8 ; F.20 ; US.69	oblique ; avant la fouille ; vue vers le ouest
PN_2021_0060	ESPC8 ; F.20 ; US.69	zénithale ; avant la fouille ; vue vers le ouest
PN_2021_0061	F.41 ; US.120 ; US.226	zénithale ; avant la fouille ; vue vers le nord
PN_2021_0062	F.41 ; US.120 ; US.226	zénithale ; avant la fouille ; vue vers le nord
PN_2021_0063	F.41 ; US.120 ; US.226	oblique ; avant la fouille ; vue vers le nord-ouest
PN_2021_0064	ENS.D ; F.84 ; US.243 ; SD.12	zénithale ; fin de fouille ; vue vers le nord-est
PN_2021_0065	ENS.D ; F.84 ; US.243 ; SD.12	zénithale ; fin de fouille ; vue vers le nord-est
PN_2021_0066	ENS.D ; F.84 ; US.243 ; SD.12	coupe ; fin de fouille ; vue vers le est
PN_2021_0067	ENS.D ; F.84 ; US.243 ; SD.12	coupe ; fin de fouille ; vue vers le est
PN_2021_0068	ENS.D ; F.84 ; US.243 ; SD.12	coupe ; fin de fouille ; vue vers le est
PN_2021_0069	ENS.D ; F.84 ; US.243 ; SD.12	coupe ; fin de fouille ; vue vers le sud
PN_2021_0070	ENS.D ; F.84 ; US.243 ; SD.12	coupe ; fin de fouille ; vue vers le sud
PN_2021_0071	F.70	coupe ; en cours de fouille ; vue vers le sud-ouest
PN_2021_0072	F.70	coupe ; en cours de fouille ; vue vers le sud-ouest
PN_2021_0073	F.70	coupe ; en cours de fouille ; vue vers le nord-ouest
PN_2021_0074	F.70	coupe ; en cours de fouille ; vue vers le nord-ouest
PN_2021_0075	F.70	coupe ; en cours de fouille ; vue vers le sud-ouest
PN_2021_0076	F.70	coupe ; en cours de fouille ; vue vers le sud-ouest
PN_2021_0077	F.70	coupe ; en cours de fouille ; vue vers le nord-est
PN_2021_0078	F.70	coupe ; en cours de fouille ; vue vers le nord-est
PN_2021_0079	F.70	coupe ; en cours de fouille ; vue vers le nord-est
PN_2021_0080	ESP.B8 ; F.71 ; US.244 ; US.245	zénithale ; avant la fouille ; vue vers le nord
PN_2021_0081	ESP.B8 ; F.71 ; US.244 ; US.245	zénithale ; avant la fouille ; vue vers le nord
PN_2021_0082	ESP.B8 ; F.72 ; US.246 ; US.247	zénithale ; avant la fouille ; vue vers le nord
PN_2021_0083	ESP.B8 ; F.72 ; US.246 ; US.247	zénithale ; avant la fouille ; vue vers le nord
PN_2021_0084	ESP.B8 ; F.73 ; US.248 ; US.249	zénithale ; avant la fouille ; vue vers le nord
PN_2021_0085	ESP.B8 ; F.73 ; US.248 ; US.249	zénithale ; avant la fouille ; vue vers le nord
PN_2021_0086	ENS.B ; F.74 ; US.250 ; US.251	zénithale ; avant la fouille ; vue vers le nord
PN_2021_0087	ENS.B ; F.74 ; US.250 ; US.251	zénithale ; avant la fouille ; vue vers le nord
PN_2021_0088	ENS.D ; F.96 ; US.252	zénithale ; avant la fouille ; vue vers le ouest
PN_2021_0089	ENS.D ; F.96 ; US.252	zénithale ; avant la fouille ; vue vers le ouest
PN_2021_0090	ENS.D ; F.96 ; US.252	zénithale ; avant la fouille ; vue vers le ouest
PN_2021_0091	ESPC8 ; F.20 ; US.240	zénithale ; avant la fouille ; vue vers le ouest
PN_2021_0092	ESPC8 ; F.20 ; US.240	zénithale ; avant la fouille ; vue vers le ouest
PN_2021_0093	ESPC8 ; F.20 ; US.240	zénithale ; avant la fouille ; vue vers le ouest
PN_2021_0094	ESPC8 ; F.20 ; US.240	oblique ; avant la fouille ; vue vers le ouest
PN_2021_0095	ESPC8 ; F.20 ; US.241	zénithale ; avant la fouille ; vue vers le ouest
PN_2021_0096	ESPC8 ; F.20 ; US.241	oblique ; avant la fouille ; vue vers le ouest
PN_2021_0097	ESPC8 ; F.20 ; US.241	oblique ; avant la fouille ; vue vers le ouest
PN_2021_0098	ESPC8 ; F.20 ; US.241	zénithale ; avant la fouille ; vue vers le nord-ouest
PN_2021_0099	ESPC8 ; F.20 ; US.241	zénithale ; avant la fouille ; vue vers le ouest
PN_2021_0100	ESPC8 ; F.20 ; US.241	zénithale ; avant la fouille ; vue vers le ouest
PN_2021_0101	ESPC8 ; F.20 ; US.241	oblique ; avant la fouille ; vue vers le ouest
PN_2021_0102	ESPC8 ; F.20 ; US.242	oblique ; avant la fouille ; vue vers le ouest
PN_2021_0103	ESPC8 ; F.20 ; US.242	oblique ; avant la fouille ; vue vers le ouest
PN_2021_0104	ESPC8 ; F.20 ; US.242	oblique ; avant la fouille ; vue vers le ouest
PN_2021_0105	ESPC8 ; F.20 ; US.242	oblique ; avant la fouille ; vue vers le ouest

Mutations urbaines à Nasium (Meuse) | Rapport intermédiaire 2023

N° photo	Sujets	Description
PN_2021_0106	ESP.B8 ; F.73 ; US.248	zénithale ; fin de fouille ; vue vers le nord
PN_2021_0107	ESP.B8 ; F.73 ; US.248	zénithale ; fin de fouille ; vue vers le nord
PN_2021_0108	ESP.B8 ; F.73	coupe ; fin de fouille ; vue vers le nord-ouest
PN_2021_0109	ESP.B8 ; F.73	coupe ; fin de fouille ; vue vers le nord-ouest
PN_2021_0110	ENS.B ; F.38	coupe ; fin de fouille ; vue vers le nord-est
PN_2021_0112	ENS.B ; F.38	coupe ; fin de fouille ; vue vers le nord-est
PN_2021_0113	ENS.B ; F.38	coupe ; fin de fouille ; vue vers le nord-est
PN_2021_0114	ENS.B ; F.71	zénithale ; fin de fouille ; vue vers le nord
PN_2021_0115	ENS.B ; F.71	zénithale ; fin de fouille ; vue vers le nord
PN_2021_0116	ESP.B8 ; F.72	oblique ; fin de fouille ; vue vers le nord
PN_2021_0117	ESP.B8 ; F.72	oblique ; fin de fouille ; vue vers le nord
PN_2021_0118	ESPC2 ; F.32 ; F.41 ; US.302 ; US.303	oblique ; en cours de fouille ; vue vers le nord-est
PN_2021_0119	ESPC2 ; F.32 ; F.41 ; INV.825 ; US.302 ; US.303	oblique ; en cours de fouille ; vue vers le nord-est
PN_2021_0120	ESPC2 ; F.32 ; F.41 ; INV.825 ; US.302 ; US.303	oblique ; en cours de fouille ; vue vers le nord-est
PN_2021_0121	ESPC2 ; F.32 ; F.41 ; INV.825 ; US.302 ; US.303	oblique ; en cours de fouille ; vue vers le nord-est
PN_2021_0122	ESPC2 ; F.32 ; F.41 ; INV.825 ; US.302 ; US.303	oblique ; en cours de fouille ; vue vers le nord-est
PN_2021_0123	ESPC2 ; F.32 ; F.41 ; INV.825 ; US.302 ; US.303	oblique ; en cours de fouille ; vue vers le nord-est
PN_2021_0124	ESPC2 ; F.32 ; F.41 ; INV.825 ; US.302 ; US.303	oblique ; en cours de fouille ; vue vers le nord-est
PN_2021_0125	ESPC2 ; F.32 ; F.41 ; INV.825 ; US.302 ; US.303	oblique ; en cours de fouille ; vue vers le nord-est
PN_2021_0126	ESPC2 ; F.32 ; F.41 ; INV.825 ; US.302 ; US.303	oblique ; en cours de fouille ; vue vers le nord-ouest
PN_2021_0127	ESPC2 ; F.32 ; F.41 ; INV.825 ; US.302 ; US.303	oblique ; en cours de fouille ; vue vers le nord
PN_2021_0128	ESPC2 ; F.32 ; F.41 ; INV.825 ; US.302 ; US.303	oblique ; en cours de fouille ; vue vers le nord-est
PN_2021_0129	INV.825 ; US.112	oblique ; en cours de fouille ; vue vers le nord-est
PN_2021_0130	ESPC2 ; INV.825 ; US.112	oblique ; en cours de fouille ; vue vers le nord-est
PN_2021_0131	ESPC2 ; INV.825 ; US.112	oblique ; en cours de fouille ; vue vers le nord-est
PN_2021_0132	ESPC2 ; INV.825 ; US.112	oblique ; en cours de fouille ; vue vers le nord-est
PN_2021_0133	ESPC2 ; INV.825 ; US.112	zénithale ; en cours de fouille ; vue vers le sud-ouest
PN_2021_0134	ESPC2 ; INV.825 ; US.112	zénithale ; en cours de fouille ; vue vers le sud
PN_2021_0135	ESPC2 ; F.41 ; INV.825 ; US.112	oblique ; en cours de fouille ; vue vers le nord-ouest
PN_2021_0136	ESPC2 ; F.41 ; INV.825 ; US.112	oblique ; en cours de fouille ; vue vers le nord-ouest
PN_2021_0137	ESPC2 ; F.41 ; INV.825 ; US.112	oblique ; en cours de fouille ; vue vers le nord-ouest
PN_2021_0138	ESPC2 ; F.41 ; INV.825 ; US.112	oblique ; en cours de fouille ; vue vers l'ouest
PN_2021_0139	ENS.B ; F.38 ; US.253	oblique ; fin de fouille ; vue vers le nord-est
PN_2021_0140	ENS.B ; F.38 ; US.253	oblique ; fin de fouille ; vue vers le nord-est
PN_2021_0141	CP.5 ; SD.16 ; US.64	coupe ; en cours de fouille ; vue vers l'ouest
PN_2021_0142	F.11 ; US.2 ; US.216	coupe ; en cours de fouille ; vue vers le nord-est
PN_2021_0143	F.11 ; US.2 ; US.216	coupe ; en cours de fouille ; vue vers le nord-est
PN_2021_0144	F.11 ; US.2 ; US.216	coupe ; en cours de fouille ; vue vers le nord-est
PN_2021_0145	F.11 ; US.2 ; US.216	oblique ; en cours de fouille ; vue vers le sud
PN_2021_0146	F.11 ; US.2 ; US.216	oblique ; en cours de fouille ; vue vers le sud
PN_2021_0147	ENS.B ; F.3 ; F.38	coupe ; fin de fouille ; vue vers le nord-est
PN_2021_0148	ENS.B ; F.3 ; F.38	coupe ; fin de fouille ; vue vers le nord-est
PN_2021_0149	F.96 ; US.2 ; US.252	zénithale ; avant la fouille ; vue vers le sud-ouest
PN_2021_0150	F.96 ; US.2 ; US.252	zénithale ; avant la fouille ; vue vers le sud-ouest
PN_2021_0151	F.96 ; US.2 ; US.252	zénithale ; avant la fouille ; vue vers le sud-ouest
PN_2021_0152	CP.55 ; ENS.D ; F.68 ; F.84 ; US.2 ; US.23 ; US.233 ; US.234 ; US.236 ; US.24 ; US.243 ; US.271 ; US.274 ; US.275 ; US.277 ; US.294 ; SD.12	coupe ; fin de fouille ; vue vers le est
PN_2021_0153	CP.55 ; ENS.D ; F.68 ; F.84 ; US.2 ; US.23 ; US.233 ; US.234 ; US.236 ; SD.12	coupe ; fin de fouille ; vue vers le est
PN_2021_0154	CP.55 ; ENS.D ; F.68 ; F.84 ; US.2 ; US.23 ; US.233 ; US.234 ; US.236 ; SD.12	coupe ; fin de fouille ; vue vers le est
PN_2021_0155	ENS.D ; F.5 ; US.2 ; US.23 ; US.233 ; US.234 ; US.236 ; US.24 ; US.252 ; US.273 ; US.353 ; US.39 ; CP.18 ; SD.12	coupe ; fin de fouille ; vue vers le sud
PN_2021_0156	ENS.D ; F.5 ; US.2 ; US.23 ; US.233 ; US.234 ; US.236 ; US.24 ; CP.18 ; SD.12	coupe ; fin de fouille ; vue vers le sud
PN_2021_0157	ENS.D ; F.5 ; US.2 ; US.23 ; US.233 ; US.234 ; US.236 ; US.24 ; US.252 ; US.273 ; CP.18 ; SD.12	coupe ; fin de fouille ; vue vers le nord-est
PN_2021_0158	ambiance	vue d'ensemble ; en cours de fouille ; vue vers le nord-est
PN_2021_0159	ambiance	vue d'ensemble ; en cours de fouille ; vue vers le nord-ouest
PN_2021_0160	ENS.B ; F.11 ; F.3 ; F.38	zénithale ; en cours de fouille ; vue vers le nord

Mutations urbaines à Nasium (Meuse) | Rapport intermédiaire 2023

N° photo	Sujets	Description
PN_2021_0161	ENS.A ; ENS.B ; ESP.B4 ; ESP.B5 ; F.3 ; F.38 ; US.232	vue d'ensemble ; en cours de fouille ; vue vers le nord-est
PN_2021_0162	ENS.B ; F.3 ; F.38 ; F.4 ; F.69 ; F.72 ; F.73	vue d'ensemble ; en cours de fouille ; vue vers le sud-est
PN_2021_0163	ENS.B ; F.11 ; F.3 ; F.31 ; F.38 ; F.69 ; F.72 ; F.73 ; US.97	vue d'ensemble ; en cours de fouille ; vue vers le sud
PN_2021_0164	ENS.B ; F.11 ; F.3 ; F.38 ; F.72 ; F.73	oblique ; en cours de fouille ; vue vers le ouest
PN_2021_0165	ENS.B ; F.11 ; F.3 ; F.38 ; F.69 ; F.72 ; F.73	oblique ; en cours de fouille ; vue vers le nord-est
PN_2021_0166	ESP.C7 ; ENS.C ; F.20 ; F.3 ; F.35 ; F.78 ; F.80 ; US.2 ; US.23 ; US.239	zénithale ; en cours de fouille ; vue vers le est
PN_2021_0167	ESP.C8 ; ESP.C7 ; F.20 ; F.3 ; F.35 ; F.80 ; US.2 ; US.23 ; US.239	zénithale ; en cours de fouille ; vue vers le est
PN_2021_0168	ESP.C8 ; ESP.C7 ; F.20 ; F.3 ; F.35 ; F.78 ; US.2 ; US.23 ; US.239 ; US.262	zénithale ; en cours de fouille ; vue vers le nord
PN_2021_0169	ESP.C8 ; ESP.C7 ; F.20 ; F.3 ; F.35 ; F.78 ; US.2 ; US.23 ; US.239 ; US.362	zénithale ; en cours de fouille ; vue vers le nord-ouest
PN_2021_0170	ESP.C8 ; ESP.C7 ; F.20 ; US.2 ; US.23 ; US.239 ; US.362	zénithale ; en cours de fouille ; vue vers le nord-ouest
PN_2021_0171	ESP.C8 ; ESP.C7 ; F.20 ; US.2 ; US.23 ; US.239	oblique ; en cours de fouille ; vue vers le est
PN_2021_0172	ENS.C ; ESP.C6 ; F.20 ; F.5 ; F.78 ; SD.12 ; US.2 ; US.23 ; US.239	zénithale ; en cours de fouille ; vue vers le nord
PN_2021_0173	ESP.C6 ; F.20 ; F.78 ; US.127 ; US.2 ; US.23 ; US.239	zénithale ; en cours de fouille ; vue vers le sud
PN_2021_0174	ESP.C6 ; F.20 ; F.5 ; F.78 ; US.127 ; US.2 ; US.23 ; US.239	zénithale ; en cours de fouille ; vue vers le sud
PN_2021_0175	ambiance	vue d'ensemble ; en cours de fouille ; vue vers le sud
PN_2021_0176	ESP.B3 ; US.264	oblique ; avant la fouille ; vue vers le nord-est
PN_2021_0177	ESP.B3 ; US.264	oblique ; avant la fouille ; vue vers le nord-est
PN_2021_0178	ESP.B3 ; US.264	oblique ; avant la fouille ; vue vers le nord-est
PN_2021_0179	ESP.B3 ; US.264	zénithale ; avant la fouille ; vue vers le nord-est
PN_2021_0180	ENS.B ; US.2 ; US.263	zénithale ; avant la fouille ; vue vers le sud-ouest
PN_2021_0181	ENS.B ; US.2 ; US.263	zénithale ; avant la fouille ; vue vers le sud-ouest
PN_2021_0182	ESP.C8 ; F.20 ; US.2 ; US.23 ; US.239	oblique ; avant la fouille ; vue vers le nord
PN_2021_0183	ESP.C8 ; F.20 ; US.2 ; US.23 ; US.239	oblique ; avant la fouille ; vue vers le nord
PN_2021_0184	ESP.C8 ; F.20 ; US.2 ; US.23 ; US.239	zénithale ; avant la fouille ; vue vers le sud
PN_2021_0185	ESP.C8 ; F.20 ; US.2 ; US.23 ; US.239	oblique ; avant la fouille ; vue vers le sud
PN_2021_0186	ESP.C8 ; F.20 ; US.2 ; US.23 ; US.239	oblique ; avant la fouille ; vue vers le sud
PN_2021_0187	ESP.C8 ; F.20 ; US.2 ; US.23 ; US.239	oblique ; avant la fouille ; vue vers le sud
PN_2021_0188	ESP.C7 ; ESP.C8 ; F.76	zénithale ; avant la fouille ; vue vers le nord
PN_2021_0189	ESP.C7 ; ESP.C8 ; F.76	zénithale ; avant la fouille ; vue vers le nord
PN_2021_0190	ESP.C7 ; ESP.C8 ; F.76	zénithale ; avant la fouille ; vue vers le nord
PN_2021_0191	ENS.B ; US.2 ; US.218	zénithale ; avant la fouille ; vue vers le nord
PN_2021_0192	ENS.B ; US.2 ; US.218	zénithale ; avant la fouille ; vue vers le nord
PN_2021_0193	ESP.C6 ; F.77	oblique ; avant la fouille ; vue vers le est
PN_2021_0194	ESP.C6 ; F.77	oblique ; avant la fouille ; vue vers le est
PN_2021_0195	ESP.C6 ; F.77	oblique ; avant la fouille ; vue vers le est
PN_2021_0196	ESP.C6 ; F.77 ; F.78 ; US.127	coupe ; fin de fouille ; vue vers le est
PN_2021_0197	ESP.C6 ; F.77 ; F.78 ; US.127	oblique ; fin de fouille ; vue vers le ouest
PN_2021_0198	ESP.C6 ; F.77 ; F.78 ; US.127	oblique ; fin de fouille ; vue vers le ouest
PN_2021_0199	ESP.C6 ; F.77	coupe ; fin de fouille ; vue vers le est
PN_2021_0200	ESP.C6 ; F.77	coupe ; fin de fouille ; vue vers le est
PN_2021_0201	ESP.C6 ; F.77	coupe ; fin de fouille ; vue vers le est
PN_2021_0202	ENS.B ; ESP.C2 ; F.117 ; F.16 ; F.41	coupe ; fin de fouille ; vue vers le sud-ouest
PN_2021_0203	ENS.B ; ESP.C2 ; F.117 ; F.16 ; F.41	coupe ; fin de fouille ; vue vers le sud-ouest
PN_2021_0204	ENS.B ; ESP.C2 ; F.117 ; F.16 ; F.41	coupe ; fin de fouille ; vue vers le sud-ouest
PN_2021_0205	ENS.B ; US.2 ; US.219	zénithale ; avant la fouille ; vue vers le nord
PN_2021_0206	ENS.B ; US.2 ; US.219	zénithale ; avant la fouille ; vue vers le nord
PN_2021_0207	ENS.B ; US.2 ; US.262	zénithale ; avant la fouille ; vue vers le nord
PN_2021_0208	ENS.B ; US.2 ; US.262	zénithale ; avant la fouille ; vue vers le nord
PN_2021_0209	ENS.B ; US.2 ; US.262	zénithale ; avant la fouille ; vue vers le nord
PN_2021_0210	ENS.B ; F.11	coupe ; fin de fouille ; vue vers le nord-est
PN_2021_0211	ENS.B ; F.11	coupe ; fin de fouille ; vue vers le nord-est
PN_2021_0212	ENS.B ; F.11	coupe ; fin de fouille ; vue vers le nord-est
PN_2021_0213	ENS.B ; F.11	coupe ; fin de fouille ; vue vers le nord-est
PN_2021_0214	F.79	coupe ; en cours de fouille ; vue vers le est
PN_2021_0215	F.79	coupe ; en cours de fouille ; vue vers le est
PN_2021_0216	F.79	coupe ; en cours de fouille ; vue vers le est

Mutations urbaines à Nasium (Meuse) | Rapport intermédiaire 2023

N° photo	Sujets	Description
PN_2021_0217	ESP.C4 ; F.79 ; US.2 ; US.212 ; US.279 ; US.280	zénithale ; avant la fouille ; vue vers le nord
PN_2021_0218	ESP.C4 ; F.79 ; US.2 ; US.212 ; US.279 ; US.280	zénithale ; avant la fouille ; vue vers le nord
PN_2021_0219	ESP.C4 ; F.79 ; US.2 ; US.212 ; US.279 ; US.280	zénithale ; avant la fouille ; vue vers le nord
PN_2021_0220	ENS.D ; F.5 ; US.2 ; US.24 ; US.252	zénithale ; avant la fouille ; vue vers le ouest
PN_2021_0221	ENS.D ; F.5 ; US.2 ; US.24 ; US.252	zénithale ; avant la fouille ; vue vers le ouest
PN_2021_0222	ENS.D ; F.5 ; US.2 ; US.24 ; US.252	zénithale ; avant la fouille ; vue vers le ouest
PN_2021_0223	ENS.D ; F.5 ; US.2 ; US.24 ; US.252	zénithale ; avant la fouille ; vue vers le ouest
PN_2021_0224	ENS.D ; F.5 ; US.2 ; US.24 ; US.252	zénithale ; avant la fouille ; vue vers le ouest
PN_2021_0225	ENS.D ; F.84 ; US.127 ; US.2 ; US.23 ; US.236 ; US.24 ; US.243 ; US.271	coupe ; fin de fouille ; vue vers le est
PN_2021_0226	ENS.D ; F.84 ; US.127 ; US.2 ; US.23 ; US.236 ; US.24 ; US.243 ; US.271	coupe ; fin de fouille ; vue vers le est
PN_2021_0227	ENS.D ; F.84 ; US.127 ; US.2 ; US.23 ; US.236 ; US.24 ; US.243 ; US.271	coupe ; fin de fouille ; vue vers le est
PN_2021_0228	ENS.C ; ESP.C7 ; US.146	zénithale ; en cours de fouille ; vue vers le nord-est
PN_2021_0229	ENS.D ; F.84 ; US.127 ; US.2 ; US.23 ; US.236 ; US.24 ; US.243 ; US.271	coupe ; fin de fouille ; vue vers le est
PN_2021_0230	US.146	zénithale ; en cours de fouille ; vue vers le nord-est
PN_2021_0231	ENS.C ; ESP.C7 ; US.146	zénithale ; en cours de fouille ; vue vers le nord-est
PN_2021_0232	ENS.C ; ESP.C7 ; US.146	zénithale ; en cours de fouille ; vue vers le nord-est
PN_2021_0233	ENS.C ; ESP.C7 ; US.146	zénithale ; en cours de fouille ; vue vers le nord
PN_2021_0234	ENS.D ; F.5 ; US.2 ; US.23 ; US.234 ; US.236 ; US.24 ; US.252 ; US.273	coupe ; fin de fouille ; vue vers le sud
PN_2021_0235	ENS.D ; F.5 ; US.2 ; US.23 ; US.236 ; US.24 ; US.252	coupe ; fin de fouille ; vue vers le sud
PN_2021_0236	ENS.D ; F.5 ; US.2 ; US.23 ; US.236 ; US.24 ; US.252 ; US.273	coupe ; fin de fouille ; vue vers le sud
PN_2021_0237	F.3 ; F.35 ; US.146	zénithale ; avant la fouille ; vue vers le nord-est
PN_2021_0238	F.3 ; F.35 ; US.146	zénithale ; avant la fouille ; vue vers le nord-est
PN_2021_0239	F.3 ; F.35 ; US.146	zénithale ; avant la fouille ; vue vers le nord-est
PN_2021_0240	F.3 ; F.35 ; US.146	zénithale ; avant la fouille ; vue vers le nord-est
PN_2021_0241	ESP.C6 ; F.77 ; US.127	zénithale ; avant la fouille ; vue vers le est
PN_2021_0242	F.3 ; F.35 ; US.146	zénithale ; avant la fouille ; vue vers le nord-est
PN_2021_0243	ESP.C6 ; F.77 ; US.127	zénithale ; avant la fouille ; vue vers le est
PN_2021_0244	ESP.C6 ; F.77 ; US.127	zénithale ; avant la fouille ; vue vers le est
PN_2021_0245	ESP.C6 ; F.77 ; F.78 ; US.127 ; US.2 ; US.271	coupe ; fin de fouille ; vue vers le est
PN_2021_0246	ESP.C6 ; F.77 ; F.78 ; US.127 ; US.2 ; US.271	coupe ; fin de fouille ; vue vers le est
PN_2021_0247	ESP.C6 ; F.77 ; F.78 ; US.127 ; US.2 ; US.271	coupe ; fin de fouille ; vue vers le est
PN_2021_0248	ESP.C6 ; F.77 ; US.127	coupe ; fin de fouille ; vue vers le est
PN_2021_0249	ESP.C6 ; F.77 ; US.127	coupe ; fin de fouille ; vue vers le est
PN_2021_0250	ESP.C6 ; F.77 ; US.127	coupe ; fin de fouille ; vue vers le est
PN_2021_0251	ESP.C2 ; F.101 ; PR.21 ; US.112 ; US.305 ; US.306	oblique ; en cours de fouille ; vue vers le sud-est
PN_2021_0252	ESP.C2 ; F.101 ; PR.21 ; US.112 ; US.305 ; US.306	oblique ; en cours de fouille ; vue vers le sud-est
PN_2021_0253	ESP.C2 ; F.101 ; PR.21 ; US.112 ; US.305 ; US.306	oblique ; en cours de fouille ; vue vers le sud-est
PN_2021_0254	ESP.C2 ; F.101 ; PR.21 ; US.112 ; US.305 ; US.306	oblique ; en cours de fouille ; vue vers le sud-est
PN_2021_0255	ESP.C2 ; F.101 ; PR.21 ; US.112 ; US.305 ; US.306	zénithale ; en cours de fouille ; vue vers le nord-ouest
PN_2021_0256	ESP.C2 ; F.101 ; PR.21 ; US.112 ; US.305 ; US.306	zénithale ; en cours de fouille ; vue vers le nord-ouest
PN_2021_0257	ESP.C2 ; F.101 ; PR.21 ; US.112 ; US.305 ; US.306	oblique ; en cours de fouille ; vue vers le nord-est
PN_2021_0258	ESP.C2 ; F.101 ; PR.21 ; US.112 ; US.305 ; US.306	zénithale ; en cours de fouille ; vue vers le nord-est
PN_2021_0259	ambiance	vue d'ensemble ; en cours de fouille ; vue vers le sud-ouest
PN_2021_0260	ambiance	vue d'ensemble ; en cours de fouille ; vue vers le sud-ouest
PN_2021_0261	ambiance	vue d'ensemble ; en cours de fouille ; vue vers l'ouest
PN_2021_0262	ambiance	vue d'ensemble ; en cours de fouille ; vue vers le nord
PN_2021_0263	ambiance	vue d'ensemble ; en cours de fouille ; vue vers l'ouest
PN_2021_0264	ambiance	vue d'ensemble ; en cours de fouille ; vue vers l'ouest
PN_2021_0265	ambiance	vue d'ensemble ; en cours de fouille ; vue vers le sud-ouest
PN_2021_0266	ambiance	vue d'ensemble ; en cours de fouille ; vue vers le sud-est
PN_2021_0267	ambiance	vue d'ensemble ; en cours de fouille ; vue vers l'est
PN_2021_0268	ambiance	vue d'ensemble ; en cours de fouille ; vue vers le nord-est
PN_2021_0269	ambiance	vue d'ensemble ; en cours de fouille ; vue vers le sud-ouest
PN_2021_0270	ambiance	vue d'ensemble ; en cours de fouille ; vue vers le sud-ouest
PN_2021_0271	ESP.B2 ; F.81	zénithale ; avant la fouille ; vue vers le nord
PN_2021_0272	ESP.B2 ; F.81	zénithale ; avant la fouille ; vue vers le nord

Mutations urbaines à Nasium (Meuse) | Rapport intermédiaire 2023

N° photo	Sujets	Description
PN_2021_0273	ENS.B ; ESP.B7 ; F.11 ; US.217	oblique ; avant la fouille ; vue vers le sud
PN_2021_0274	ENS.B ; ESP.B7 ; F.11 ; US.217	oblique ; avant la fouille ; vue vers le sud
PN_2021_0275	ENS.B ; ESP.B7 ; F.11 ; US.217	oblique ; avant la fouille ; vue vers le sud
PN_2021_0276	ENS.B ; ESP.B7 ; F.11 ; US.217	oblique ; avant la fouille ; vue vers le nord
PN_2021_0277	ESP.C2 ; F.101 ; PR.21 ; US.112 ; US.305 ; US.306 ; US.401	oblique ; avant la fouille ; vue vers le est
PN_2021_0278	ESP.C2 ; F.101 ; PR.21 ; US.112 ; US.305 ; US.306 ; US.401	oblique ; avant la fouille ; vue vers le est
PN_2021_0279	ESP.C2 ; F.101 ; PR.21 ; US.112 ; US.305 ; US.306 ; US.401	oblique ; avant la fouille ; vue vers le est
PN_2021_0280	ESP.C2 ; F.101 ; PR.21 ; US.305 ; US.306 ; US.401	zénithale ; avant la fouille ; vue vers le est
PN_2021_0281	ESP.C2 ; F.101 ; PR.21 ; US.305 ; US.306 ; US.401	zénithale ; avant la fouille ; vue vers le est
PN_2021_0282	ESP.C2 ; F.101 ; PR.21 ; US.305 ; US.306 ; US.401	zénithale ; avant la fouille ; vue vers le est
PN_2021_0283	ESP.C2 ; F.101 ; PR.21 ; US.305 ; US.306 ; US.401	zénithale ; avant la fouille ; vue vers le est
PN_2021_0284	ESP.C2 ; F.101 ; PR.21 ; US.305 ; US.306 ; US.401	oblique ; avant la fouille ; vue vers le est
PN_2021_0285	ESP.C2 ; F.101 ; PR.21 ; US.305 ; US.306 ; US.401	oblique ; avant la fouille ; vue vers le est
PN_2021_0286	ESP.B2 ; INV.918 ; US.283	zénithale ; en cours de fouille ; vue vers le nord
PN_2021_0287	ESP.B2 ; INV.918 ; US.283	zénithale ; en cours de fouille ; vue vers le nord
PN_2021_0288	ESP.B2 ; INV.918 ; US.283	zénithale ; en cours de fouille ; vue vers le nord
PN_2021_0289	ESP.B2 ; US.287	zénithale ; avant la fouille ; vue vers le sud-ouest
PN_2021_0290	ESP.B2 ; US.287	zénithale ; avant la fouille ; vue vers le est
PN_2021_0291	US.2 ; US.281 ; US.282	zénithale ; avant la fouille ; vue vers le sud
PN_2021_0292	US.2 ; US.281 ; US.282	zénithale ; avant la fouille ; vue vers le nord
PN_2021_0293	US.2 ; US.281 ; US.282	zénithale ; avant la fouille ; vue vers le sud
PN_2021_0294	ENS.B ; US.2 ; US.218	oblique ; avant la fouille ; vue vers le sud
PN_2021_0295	ENS.B ; US.2 ; US.218	oblique ; avant la fouille ; vue vers le sud
PN_2021_0296	ENS.B ; US.2 ; US.218	oblique ; avant la fouille ; vue vers le sud
PN_2021_0297	ENS.B ; US.2 ; US.218	oblique ; avant la fouille ; vue vers le ouest
PN_2021_0298	ENS.B ; US.2 ; US.218	zénithale ; avant la fouille ; vue vers le nord
PN_2021_0299	ENS.B ; F.11 ; US.2 ; US.216	zénithale ; fin de fouille ; vue vers le nord
PN_2021_0300	ENS.B ; F.11 ; US.2 ; US.216	zénithale ; fin de fouille ; vue vers le nord
PN_2021_0301	ENS.B ; US.2 ; US.218	zénithale ; avant la fouille ; vue vers le nord
PN_2021_0302	ENS.B ; US.2 ; US.218	zénithale ; avant la fouille ; vue vers le nord
PN_2021_0303	ENS.B ; US.2 ; US.218	zénithale ; avant la fouille ; vue vers le est
PN_2021_0304	ENS.A ; ENS.B ; F.3	zénithale ; avant la fouille ; vue vers le nord
PN_2021_0305	ENS.B ; US.2 ; US.218	zénithale ; avant la fouille ; vue vers le sud
PN_2021_0306	ENS.B ; US.2 ; US.218	zénithale ; avant la fouille ; vue vers le sud
PN_2021_0307	ENS.B ; US.2 ; US.218	zénithale ; avant la fouille ; vue vers le sud
PN_2021_0308	ENS.B ; US.2 ; US.218	oblique ; avant la fouille ; vue vers le sud
PN_2021_0309	F.80 ; US.2 ; US.281 ; US.282 ; US.290	zénithale ; avant la fouille ; vue vers le sud
PN_2021_0310	F.80 ; US.2 ; US.281 ; US.282 ; US.290	zénithale ; avant la fouille ; vue vers le sud
PN_2021_0311	F.80 ; US.2 ; US.281 ; US.282 ; US.290	zénithale ; avant la fouille ; vue vers le sud
PN_2021_0312	ambiance	vue d'ensemble ; en cours de fouille ; vue vers l'est
PN_2021_0313	ambiance	vue d'ensemble ; en cours de fouille ; vue vers l'est
PN_2021_0314	ambiance	vue d'ensemble ; en cours de fouille ; vue vers l'est
PN_2021_0315	INV.936 ; US.2 ; US.267	zénithale ; en cours de fouille ; vue vers le ouest
PN_2021_0316	INV.936 ; US.2 ; US.267	zénithale ; en cours de fouille ; vue vers le ouest
PN_2021_0317	INV.936 ; US.2 ; US.267	zénithale ; en cours de fouille ; vue vers le ouest
PN_2021_0318	INV.936 ; US.2 ; US.267	zénithale ; en cours de fouille ; vue vers le nord
PN_2021_0319	ESPC4 ; US.46	zénithale ; en cours de fouille ; vue vers l'est
PN_2021_0320	ESPC4 ; US.46	zénithale ; en cours de fouille ; vue vers le est
PN_2021_0321	ESPC4 ; US.46	zénithale ; en cours de fouille ; vue vers le sud-est
PN_2021_0322	ESPC4 ; US.46	zénithale ; en cours de fouille ; vue vers le sud-est
PN_2021_0323	ESPC4 ; US.46	zénithale ; en cours de fouille ; vue vers le nord-est
PN_2021_0324	ESPC4 ; US.46	zénithale ; en cours de fouille ; vue vers le nord-est
PN_2021_0325	ESPC4 ; US.46	zénithale ; en cours de fouille ; vue vers le nord-est
PN_2021_0326	ESPC4 ; US.46	oblique ; en cours de fouille ; vue vers le nord-est
PN_2021_0327	ESPC4 ; US.46	zénithale ; en cours de fouille ; vue vers le nord-est
PN_2021_0328	ESPC4 ; US.46	zénithale ; en cours de fouille ; vue vers le nord-est

Mutations urbaines à Nasium (Meuse) | Rapport intermédiaire 2023

N° photo	Sujets	Description
PN_2021_0329	ESPC4 ; US.46	zénithale ; en cours de fouille ; vue vers le nord-ouest
PN_2021_0330	ESPC4 ; US.46	zénithale ; en cours de fouille ; vue vers le nord-ouest
PN_2021_0331	ESPC4 ; US.46	zénithale ; en cours de fouille ; vue vers le nord-ouest
PN_2021_0332	ESPC4 ; US.46	zénithale ; en cours de fouille ; vue vers le nord-ouest
PN_2021_0333	ESPC4 ; US.46	zénithale ; en cours de fouille ; vue vers le nord-ouest
PN_2021_0334	ESPC4 ; US.46	zénithale ; en cours de fouille ; vue vers le nord-ouest
PN_2021_0335	ESPC4 ; US.46	zénithale ; en cours de fouille ; vue vers le nord-ouest
PN_2021_0336	ESPC4 ; US.46	zénithale ; en cours de fouille ; vue vers le nord-ouest
PN_2021_0337	ESPC4 ; US.46	zénithale ; en cours de fouille ; vue vers le nord-est
PN_2021_0338	ESPC4 ; US.46	zénithale ; en cours de fouille ; vue vers le nord-est
PN_2021_0339	ESPC4 ; US.46	zénithale ; en cours de fouille ; vue vers le nord-ouest
PN_2021_0340	ESPC4 ; US.46	zénithale ; en cours de fouille ; vue vers le nord-ouest
PN_2021_0341	ESPC4 ; US.46	zénithale ; en cours de fouille ; vue vers le nord-ouest
PN_2021_0342	ESPC4 ; US.46	zénithale ; en cours de fouille ; vue vers le nord-ouest
PN_2021_0343	ESPC4 ; US.46	zénithale ; en cours de fouille ; vue vers le nord-est
PN_2021_0344	ESPC4 ; US.46	zénithale ; en cours de fouille ; vue vers le nord-est
PN_2021_0345	ESPC4 ; US.46	zénithale ; en cours de fouille ; vue vers le nord-est
PN_2021_0346	ESPC4 ; US.46	zénithale ; en cours de fouille ; vue vers le nord-est
PN_2021_0347	ESPC4 ; US.46	zénithale ; en cours de fouille ; vue vers le nord-est
PN_2021_0348	ESPC4 ; US.46	zénithale ; en cours de fouille ; vue vers le nord-est
PN_2021_0350	INV939 ; US.2 ; US.267	zénithale ; en cours de fouille ; vue vers le sud
PN_2021_0351	INV939 ; US.2 ; US.267	zénithale ; en cours de fouille ; vue vers le sud
PN_2021_0352	INV939 ; US.2 ; US.267	zénithale ; en cours de fouille ; vue vers le sud
PN_2021_0353	INV939 ; US.2 ; US.267	zénithale ; en cours de fouille ; vue vers le sud-ouest
PN_2021_0354	INV939 ; US.2 ; US.267	zénithale ; en cours de fouille ; vue vers le est
PN_2021_0355	INV939 ; US.2 ; US.267	zénithale ; en cours de fouille ; vue vers le est
PN_2021_0356	INV939 ; US.2 ; US.267	zénithale ; en cours de fouille ; vue vers le est
PN_2021_0357	ESPC4 ; ESP.C1 ; ESP.C8 ; US.121 ; US.41 ; US.46 ; US.69	coupe ; en cours de fouille ; vue vers le sud
PN_2021_0358	ESPC4 ; ESP.C1 ; ESP.C8 ; US.121 ; US.41 ; US.46 ; US.69	coupe ; en cours de fouille ; vue vers le sud
PN_2021_0359	US.122 ; US.2 ; US.213 ; US.69	coupe ; en cours de fouille ; vue vers le sud
PN_2021_0360	US.122 ; US.2 ; US.213 ; US.69	coupe ; en cours de fouille ; vue vers le sud
PN_2021_0361	US.122 ; US.2 ; US.213 ; US.69	coupe ; en cours de fouille ; vue vers le sud
PN_2021_0362	US.122 ; US.2 ; US.213 ; US.69	coupe ; en cours de fouille ; vue vers le sud
PN_2021_0363	US.122 ; US.2 ; US.213 ; US.69	coupe ; en cours de fouille ; vue vers le sud
PN_2021_0364	ENS.B ; F.121 ; US.283 ; US.284	zénithale ; avant la fouille ; vue vers le est
PN_2021_0365	ENS.B ; F.121 ; US.283 ; US.284	zénithale ; avant la fouille ; vue vers le est
PN_2021_0366	ENS.B ; F.121 ; US.283 ; US.284	zénithale ; avant la fouille ; vue vers le est
PN_2021_0367	F.78 ; US.2 ; US.272 ; US.298 ; US.316	oblique ; fin de fouille ; vue vers le sud
PN_2021_0368	F.78 ; US.2 ; US.272 ; US.298 ; US.316	oblique ; fin de fouille ; vue vers le sud
PN_2021_0369	F.78 ; US.2 ; US.272 ; US.298 ; US.316	oblique ; fin de fouille ; vue vers le sud
PN_2021_0370	F.78 ; US.2 ; US.272 ; US.298 ; US.316	zénithale ; fin de fouille ; vue vers le nord-est
PN_2021_0371	F.78 ; US.2 ; US.272 ; US.298 ; US.316	zénithale ; fin de fouille ; vue vers le nord
PN_2021_0372	F.78 ; US.2 ; US.272 ; US.298 ; US.316	zénithale ; fin de fouille ; vue vers le nord
PN_2021_0373	F.78 ; US.2 ; US.272 ; US.298 ; US.316	zénithale ; ; vue vers le nord
PN_2021_0374	F.78 ; US.2 ; US.272 ; US.298 ; US.316	zénithale ; fin de fouille ; vue vers le nord
PN_2021_0375	F.20 ; US.121 ; US.124 ; US.129 ; US.135 ; US.2 ; US.24 ; US.241 ; US.242 ; US.299 ; US.46	coupe ; en cours de fouille ; vue vers le sud
PN_2021_0376	F.20 ; US.121 ; US.124 ; US.129 ; US.135 ; US.2 ; US.24 ; US.241 ; US.242 ; US.299 ; US.46	coupe ; en cours de fouille ; vue vers le sud
PN_2021_0377	F.20 ; US.121 ; US.124 ; US.129 ; US.135 ; US.2 ; US.24 ; US.241 ; US.242 ; US.299 ; US.46	coupe ; en cours de fouille ; vue vers le sud
PN_2021_0378	F.78 ; US.2 ; US.272 ; US.298 ; US.316	oblique ; fin de fouille ; vue vers le nord
PN_2021_0379	F.78 ; US.2 ; US.272 ; US.298 ; US.316	oblique ; fin de fouille ; vue vers le nord
PN_2021_0380	F.78 ; US.2 ; US.272 ; US.298 ; US.316	oblique ; fin de fouille ; vue vers le nord
PN_2021_0381	F.78 ; US.2 ; US.272 ; US.298 ; US.316	oblique ; fin de fouille ; vue vers le nord
PN_2021_0382	F.78 ; US.2 ; US.272 ; US.298 ; US.316	oblique ; fin de fouille ; vue vers le nord
PN_2021_0383	ESP.C1 ; F.67	zénithale ; avant la fouille ; vue vers le nord-est
PN_2021_0384	ESP.C1 ; F.67	zénithale ; avant la fouille ; vue vers le nord-est
PN_2021_0385	ESP.C1 ; ESP.C4 ; F.85	zénithale ; avant la fouille ; vue vers le nord-ouest

Mutations urbaines à Nasium (Meuse) | Rapport intermédiaire 2023

N° photo	Sujets	Description
PN_2021_0386	ESP.C1 ; ESP.C4 ; F.85	zénithale ; avant la fouille ; vue vers le nord-est
PN_2021_0387	ESP.C1 ; ESP.C4	zénithale ; avant la fouille ; vue vers le nord-est
PN_2021_0388	ESP.C1 ; ESP.C4 ; F.67 ; F.85	zénithale ; avant la fouille ; vue vers le nord-est
PN_2021_0389	ESP.C1 ; ESP.C4 ; F.67 ; F.85	zénithale ; avant la fouille ; vue vers le nord-est
PN_2021_0390	ESP.C1 ; ESP.C4 ; F.67 ; F.85	zénithale ; avant la fouille ; vue vers le nord-est
PN_2021_0391	ESP.C1 ; ESP.C4 ; F.67 ; F.85	zénithale ; avant la fouille ; vue vers le nord-est
PN_2021_0392	ESP.C1 ; ESP.C4 ; F.67 ; F.85	zénithale ; avant la fouille ; vue vers le nord-est
PN_2021_0393	ESP.C1 ; ESP.C4 ; F.67 ; F.85	zénithale ; avant la fouille ; vue vers le sud
PN_2021_0394	ESP.C1 ; ESP.C4 ; F.67 ; F.85	zénithale ; avant la fouille ; vue vers le sud-est
PN_2021_0395	ESP.C2 ; F.101 ; F.4 ; F.41 ; F.87 ; US.2 ; US.206 ; US.302 ; US.303	zénithale ; fin de fouille ; vue vers le nord-ouest
PN_2021_0396	ESP.C2 ; F.101 ; F.4 ; F.41 ; F.87 ; US.2 ; US.206 ; US.302 ; US.303	zénithale ; fin de fouille ; vue vers le sud-ouest
PN_2021_0397	ESP.C2 ; F.101 ; F.4 ; F.41 ; F.87 ; US.2 ; US.206 ; US.302 ; US.303	zénithale ; fin de fouille ; vue vers le nord-est
PN_2021_0398	ESP.C2 ; US.112	coupe ; fin de fouille ; vue vers le sud
PN_2021_0399	ESP.C2 ; US.112	coupe ; fin de fouille ; vue vers le sud
PN_2021_0400	ESP.C2 ; US.112	coupe ; fin de fouille ; vue vers le sud
PN_2021_0401	ESP.C2 ; US.112	coupe ; fin de fouille ; vue vers le sud
PN_2021_0402	ESP.C2 ; US.112	coupe ; fin de fouille ; vue vers le sud
PN_2021_0403	ESP.C2 ; US.112	coupe ; fin de fouille ; vue vers le sud
PN_2021_0404	ESP.C2 ; US.112	coupe ; fin de fouille ; vue vers le sud
PN_2021_0405	ambiance	vue d'ensemble ; en cours de fouille ; vue vers le sud-ouest
PN_2021_0406	ESP.C2 ; F.41 ; F.86	oblique ; fin de fouille ; vue vers le sud
PN_2021_0407	ESP.C2 ; F.41 ; F.86	oblique ; fin de fouille ; vue vers le sud
PN_2021_0408	ESP.C2 ; F.111 ; F.86 ; F.87	zénithale ; fin de fouille ; vue vers le nord-est
PN_2021_0409	ESP.C2 ; F.41 ; F.87	zénithale ; fin de fouille ; vue vers le nord-ouest
PN_2021_0410	ESP.C2 ; F.41 ; F.87	zénithale ; fin de fouille ; vue vers le nord-ouest
PN_2021_0411	ESP.C2 ; F.3 ; F.32 ; US.304 ; US.93	oblique ; fin de fouille ; vue vers le est
PN_2021_0412	ESP.C2 ; F.32 ; US.304 ; US.93	oblique ; fin de fouille ; vue vers le sud
PN_2021_0413	ESP.C2 ; F.32 ; US.304 ; US.93	coupe ; fin de fouille ; vue vers le nord-est
PN_2021_0414	ESP.C2 ; F.32 ; US.304 ; US.93	coupe ; fin de fouille ; vue vers le nord-est
PN_2021_0415	ESP.C2 ; F.32 ; US.304 ; US.93	coupe ; fin de fouille ; vue vers le nord-est
PN_2021_0416	ESP.C2 ; F.32 ; US.304 ; US.93	coupe ; fin de fouille ; vue vers le nord-est
PN_2021_0417	ESP.C2 ; F.32 ; US.304 ; US.93	coupe ; fin de fouille ; vue vers le nord-est
PN_2021_0418	ESP.C2 ; F.32 ; US.304 ; US.93	coupe ; fin de fouille ; vue vers le nord-est
PN_2021_0419	ESP.C2 ; F.32 ; US.304 ; US.93	coupe ; fin de fouille ; vue vers le nord-est
PN_2021_0420	ESP.C2 ; US.112	coupe ; fin de fouille ; vue vers le sud
PN_2021_0421	ESP.C2 ; US.112	coupe ; fin de fouille ; vue vers le sud
PN_2021_0422	ESP.C7 ; ESP.C8 ; F.20 ; F.80 ; US.2 ; US.23 ; US.239	zénithale ; avant la fouille ; vue vers le sud
PN_2021_0423	ESP.C7 ; ESP.C8 ; F.20 ; F.3 ; F.35 ; F.80 ; US.2 ; US.23 ; US.239	zénithale ; avant la fouille ; vue vers le est
PN_2021_0424	ESP.C7 ; ESP.C8 ; F.20 ; F.3 ; F.35 ; F.80 ; US.2 ; US.23 ; US.239	zénithale ; avant la fouille ; vue vers l'ouest
PN_2021_0425	ESP.C7 ; ESP.C8 ; F.20 ; F.3 ; F.35 ; F.78 ; F.80 ; US.2 ; US.23 ; US.239	zénithale ; avant la fouille ; vue vers le nord
PN_2021_0426	F.20 ; F.3 ; F.35 ; US.2 ; US.23 ; US.239	zénithale ; avant la fouille ; vue vers le ouest
PN_2021_0427	F.20 ; F.3 ; F.35 ; F.78 ; US.2 ; US.23 ; US.239	oblique ; avant la fouille ; vue vers le nord-est
PN_2021_0428	ESP.C7 ; ESP.C8 ; F.20 ; F.3 ; F.35 ; F.80 ; US.2 ; US.23 ; US.239	zénithale ; avant la fouille ; vue vers le nord-ouest
PN_2021_0429	ESP.C7 ; ESP.C8 ; F.20 ; F.3 ; F.35 ; F.80 ; US.2 ; US.23 ; US.239	zénithale ; avant la fouille ; vue vers le nord-ouest
PN_2021_0430	ESP.C7 ; ESP.C8 ; F.20 ; F.3 ; F.35 ; F.80 ; US.2 ; US.23 ; US.239	zénithale ; avant la fouille ; vue vers le nord-ouest
PN_2021_0431	ENS.A ; SD.13 ; F.90	oblique ; avant la fouille ; vue vers le nord-est
PN_2021_0432	ENS.A ; SD.13 ; F.90	oblique ; avant la fouille ; vue vers le nord-est
PN_2021_0433	ENS.A ; SD.13 ; F.90	zénithale ; avant la fouille ; vue vers le nord-est
PN_2021_0434	ENS.A ; SD.13 ; F.90	zénithale ; avant la fouille ; vue vers le sud
PN_2021_0435	INV.1045 ; US.330 ; F.121	zénithale ; en cours de fouille ; vue vers le nord-est
PN_2021_0436	INV.1045 ; US.330 ; F.121	zénithale ; en cours de fouille ; vue vers le nord-est
PN_2021_0437	INV.1045 ; US.330 ; F.121	zénithale ; en cours de fouille ; vue vers le nord-est
PN_2021_0439	INV.1045 ; US.330 ; F.121	zénithale ; en cours de fouille ; vue vers le nord-est
PN_2021_0440	INV.1045 ; US.330 ; F.121	zénithale ; en cours de fouille ; vue vers le nord-est
PN_2021_0441	INV.1045 ; US.330 ; F.121	zénithale ; en cours de fouille ; vue vers le nord-est
PN_2021_0442	INV.1045 ; US.330 ; F.121	zénithale ; en cours de fouille ; vue vers le nord-est

Mutations urbaines à Nasium (Meuse) | Rapport intermédiaire 2023

N° photo	Sujets	Description
PN_2021_0443	INV.1045 ; US.330 ; F.121	zénithale ; en cours de fouille ; vue vers le nord-ouest
PN_2021_0444	INV.1045 ; US.330 ; F.121	zénithale ; en cours de fouille ; vue vers le nord
PN_2021_0445	INV.1045 ; US.330 ; F.121	zénithale ; en cours de fouille ; vue vers le nord
PN_2021_0446	INV.1045 ; US.330 ; F.121	zénithale ; en cours de fouille ; vue vers le nord
PN_2021_0447	ENS.D ; F.84 ; SD.12	zénithale ; avant la fouille ; vue vers le sud-est
PN_2021_0448	ENS.D ; F.84 ; SD.12	zénithale ; avant la fouille ; vue vers le sud-est
PN_2021_0449	ENS.D ; F.84 ; SD.12	zénithale ; avant la fouille ; vue vers le sud-est
PN_2021_0450	ambiance	vue d'ensemble ; en cours de fouille ; vue vers le sud
PN_2021_0451	ENS.C ; ESP.C8 ; ESP.C7 ; F.20 ; F.3 ; F.35 ; F.78 ; F.80 ; US.2 ; US.23 ; US.239	zénithale ; fin de fouille ; vue vers le sud
PN_2021_0452	ESP.C8 ; ESP.C7 ; F.20 ; F.3 ; F.35 ; US.2 ; US.23 ; US.239	zénithale ; avant la fouille ; vue vers le est
PN_2021_0453	ESP.C8 ; ESP.C7 ; F.20 ; F.3 ; F.35 ; US.2 ; US.23 ; US.239	zénithale ; avant la fouille ; vue vers le est
PN_2021_0454	F.20	zénithale ; avant la fouille ; vue vers le sud-ouest
PN_2021_0455	F.20	zénithale ; avant la fouille ; vue vers le sud-ouest
PN_2021_0456	F.91	zénithale ; avant la fouille ; vue vers le ouest
PN_2021_0457	ESP.C7 ; ESP.C8 ; F.76 ; F.91 ; US.335 ; US.336	zénithale ; avant la fouille ; vue vers le nord
PN_2021_0458	ESP.C7 ; ESP.C8 ; F.76 ; F.91 ; US.335 ; US.336	zénithale ; avant la fouille ; vue vers le nord
PN_2021_0459	ESP.C7 ; ESP.C8 ; F.76 ; F.91 ; US.335 ; US.336	zénithale ; avant la fouille ; vue vers le nord
PN_2021_0460	ESP.C7 ; ESP.C8 ; F.76 ; F.91 ; US.335 ; US.336	zénithale ; avant la fouille ; vue vers le nord
PN_2021_0461	ESP.C7 ; ESP.C8 ; F.76 ; F.91 ; US.335 ; US.336	zénithale ; avant la fouille ; vue vers le nord
PN_2021_0462	F.122 ; US.326	oblique ; avant la fouille ; vue vers le est
PN_2021_0463	F.122 ; US.326	oblique ; avant la fouille ; vue vers le ouest
PN_2021_0464	US.343 ; US.281 ; US.282	coupe ; fin de fouille ; vue vers le est
PN_2021_0465	US.343 ; US.281 ; US.282	coupe ; fin de fouille ; vue vers le est
PN_2021_0466	US.343 ; US.281 ; US.282	coupe ; fin de fouille ; vue vers le est
PN_2021_0467	US.343 ; US.281 ; US.282	coupe ; fin de fouille ; vue vers le est
PN_2021_0468	F.65 ; US.338	zénithale ; avant la fouille ; vue vers le ouest
PN_2021_0469	F.65 ; US.338	zénithale ; avant la fouille ; vue vers le ouest
PN_2021_0470	F.65 ; US.338	zénithale ; avant la fouille ; vue vers le ouest
PN_2021_0471	CP.17 ; ESP.C6 ; F.77 ; F.78 ; US.2 ; US.23 ; US.24 ; US.38 ; US.39 ; US.57 ; SD.12	coupe ; fin de fouille ; vue vers le est
PN_2021_0472	CP.17 ; ESP.C6 ; F.77 ; F.78 ; US.2 ; US.23 ; US.24 ; US.38 ; US.39 ; US.57 ; SD.12	coupe ; fin de fouille ; vue vers le est
PN_2021_0473	CP.17 ; ESP.C6 ; F.77 ; F.78 ; US.2 ; US.23 ; US.24 ; US.38 ; US.39 ; US.57 ; SD.12	coupe ; fin de fouille ; vue vers le est
PN_2021_0474	CP.17 ; ESP.C6 ; F.77 ; F.78 ; US.2 ; US.23 ; US.24 ; US.38 ; US.39 ; US.57 ; SD.12	coupe ; fin de fouille ; vue vers le est
PN_2021_0475	CP.18 ; F.5 ; US.2 ; US.23 ; US.24 ; US.38 ; US.39 ; SD.12	coupe ; fin de fouille ; vue vers le sud
PN_2021_0476	CP.18 ; ENS.D ; F.5 ; US.2 ; US.23 ; US.24 ; US.38 ; US.39 ; SD.12	coupe ; fin de fouille ; vue vers le sud
PN_2021_0477	CP.18 ; ENS.D ; F.5 ; US.2 ; US.23 ; US.24 ; US.38 ; US.39 ; SD.12	coupe ; fin de fouille ; vue vers le sud
PN_2021_0478	CP.19 ; ENS.D ; F.22 ; US.2 ; US.338 ; US.61	coupe ; fin de fouille ; vue vers le sud
PN_2021_0479	CP.19 ; ENS.D ; F.22 ; US.2 ; US.338 ; US.61	coupe ; fin de fouille ; vue vers le sud
PN_2021_0480	ENS.D ; US.338	zénithale ; avant la fouille ; vue vers le sud-ouest
PN_2021_0481	ENS.D ; US.338	zénithale ; avant la fouille ; vue vers le sud-ouest
PN_2021_0482	ESPC4 ; US.344	oblique ; avant la fouille ; vue vers le nord-est
PN_2021_0483	ESPC4 ; US.344	oblique ; avant la fouille ; vue vers le nord-est
PN_2021_0484	ENS.A ; SD.13 ; F.90 ; F.94	coupe ; fin de fouille ; vue vers le est
PN_2021_0485	ENS.A ; SD.13 ; F.90 ; F.94	coupe ; avant la fouille ; vue vers le est
PN_2021_0486	ENS.A ; SD.13 ; F.90 ; F.94	coupe ; fin de fouille ; vue vers le est
PN_2021_0487	ENS.A ; SD.13 ; CP.20 ; F.90 ; F.94	coupe ; fin de fouille ; vue vers le sud-est
PN_2021_0488	ENS.A ; SD.13 ; CP.20 ; F.90 ; F.94	coupe ; fin de fouille ; vue vers le sud-est
PN_2021_0489	ENS.A ; SD.13 ; CP.20 ; F.90 ; F.94	coupe ; fin de fouille ; vue vers le sud-est
PN_2021_0490	ENS.A ; SD.13 ; CP.20 ; F.90 ; F.94	coupe ; fin de fouille ; vue vers le sud-est
PN_2021_0491	ENS.A ; SD.13 ; CP.20 ; F.90 ; F.94	coupe ; fin de fouille ; vue vers le sud-est
PN_2021_0492	F.80	oblique ; en cours de fouille ; vue vers le nord
PN_2021_0493	F.80	oblique ; en cours de fouille ; vue vers l'ouest
PN_2021_0494	F.80	oblique ; en cours de fouille ; vue vers l'ouest
PN_2021_0495	F.80 ; US.2 ; US.290 ; US.327	zénithale ; en cours de fouille ; vue vers le sud-ouest
PN_2021_0496	F.80 ; US.2 ; US.290 ; US.327	zénithale ; en cours de fouille ; vue vers le sud-ouest
PN_2021_0497	F.80 ; US.2 ; US.290 ; US.327	zénithale ; en cours de fouille ; vue vers le nord
PN_2021_0498	F.80 ; US.2 ; US.290 ; US.327	zénithale ; en cours de fouille ; vue vers le nord

Mutations urbaines à Nasium (Meuse) | Rapport intermédiaire 2023

N° photo	Sujets	Description
PN_2021_0499	F.80 ; US.2 ; US.290 ; US.327	zénithale ; en cours de fouille ; vue vers le sud
PN_2021_0500	F.80 ; US.2 ; US.290 ; US.327	zénithale ; en cours de fouille ; vue vers le sud
PN_2021_0501	F.80 ; US.2 ; US.290 ; US.327	zénithale ; en cours de fouille ; vue vers le sud
PN_2021_0502	ESP.C7 ; F.80	oblique ; en cours de fouille ; vue vers le sud-ouest
PN_2021_0503	ESP.C7 ; F.80	oblique ; en cours de fouille ; vue vers le nord-ouest
PN_2021_0504	ESP.C7 ; F.80	oblique ; en cours de fouille ; vue vers le sud-est
PN_2021_0505	ESP.C8 ; ESP.C7 ; F.7 ; F.76	oblique ; en cours de fouille ; vue vers le ouest
PN_2021_0506	ESP.C8 ; ESP.C7 ; F.7 ; F.76	oblique ; en cours de fouille ; vue vers le ouest
PN_2021_0507	ESP.C8 ; ESP.C7 ; F.7 ; F.76	oblique ; en cours de fouille ; vue vers le ouest
PN_2021_0508	ESP.C8 ; ESP.C7 ; F.7 ; F.76	coupe ; en cours de fouille ; vue vers le ouest
PN_2021_0509	ESP.C8 ; ESP.C7 ; F.7 ; F.76	coupe ; en cours de fouille ; vue vers le ouest
PN_2021_0510	ESP.C8 ; ESP.C7 ; F.7 ; F.76	coupe ; en cours de fouille ; vue vers le ouest
PN_2021_0511	ENS.B ; US.339	plan ; avant la fouille ; vue vers le sud-est
PN_2021_0512	ENS.B ; US.339	plan ; avant la fouille ; vue vers le sud-est
PN_2021_0513	ENS.B ; US.219	plan ; en cours de fouille ; vue vers le sud-est
PN_2021_0514	CP.23 ; F.3 ; F.35 ; US.104 ; US.108 ; US.11 ; US.113 ; US.289 ; US.291 ; US.292	coupe ; en cours de fouille ; vue vers le nord
PN_2021_0515	CP.23 ; F.3 ; F.35 ; US.104 ; US.108 ; US.11 ; US.113 ; US.289 ; US.291 ; US.292	coupe ; en cours de fouille ; vue vers le nord
PN_2021_0516	ENS.B ; US.219	plan ; en cours de fouille ; vue vers le sud-est
PN_2021_0517	CP.23 ; F.3 ; F.35 ; US.104 ; US.108 ; US.11 ; US.113 ; US.289 ; US.291 ; US.292	coupe ; en cours de fouille ; vue vers le nord
PN_2021_0518	ESP.C7 ; US.362	plan ; fin de fouille ; vue vers le nord-est
PN_2021_0519	ESP.C7 ; US.362	plan ; fin de fouille ; vue vers le nord-est
PN_2021_0520	ESP.C7 ; US.362	plan ; fin de fouille ; vue vers le sud-est
PN_2021_0521	ESP.C7 ; US.362	oblique ; fin de fouille ; vue vers le nord-est
PN_2021_0522	ESP.C7 ; US.362	coupe ; fin de fouille ; vue vers le nord-est
PN_2021_0523	ESP.C7 ; US.362	coupe ; fin de fouille ; vue vers le nord-est
PN_2021_0524	ESP.C7 ; US.362	oblique ; fin de fouille ; vue vers le nord-est
PN_2021_0525	ESP.C7 ; US.362	oblique ; fin de fouille ; vue vers le est
PN_2021_0526	ESP.C7 ; US.362	oblique ; fin de fouille ; vue vers le est
PN_2021_0527	ESP.C7 ; US.362	oblique ; fin de fouille ; vue vers le est
PN_2021_0528	ESP.C7 ; US.362	oblique ; fin de fouille ; vue vers le est
PN_2021_0529	ESP.C7 ; US.362	oblique ; fin de fouille ; vue vers le est
PN_2021_0530	ESP.C7 ; US.362	oblique ; fin de fouille ; vue vers le est
PN_2021_0531	ESP.C1 ; F.25 ; F.60 ; F.7 ; F.79 ; F.85 ; US.481 ; US.482	plan ; en cours de fouille ; vue vers le est
PN_2021_0532	ESP.C1 ; F.25 ; F.60 ; F.7 ; F.79 ; F.85 ; US.481 ; US.482	plan ; en cours de fouille ; vue vers le est
PN_2021_0533	ESP.C1 ; F.25 ; F.60 ; F.7 ; F.79 ; F.85 ; US.481 ; US.482	oblique ; en cours de fouille ; vue vers le sud
PN_2021_0534	ESP.C1 ; F.25 ; F.60 ; F.7 ; F.79 ; F.85 ; US.481 ; US.482	plan ; en cours de fouille ; vue vers le est
PN_2021_0535	ambiance	vue d'ensemble ; en cours de fouille ; vue vers le est
PN_2021_0536	ambiance	vue d'ensemble ; en cours de fouille ; vue vers le ouest
PN_2021_0537	CP.47	coupe ; en cours de fouille ; vue vers l'ouest
PN_2021_0538	CP.43	coupe ; en cours de fouille ; vue vers le nord-est
PN_2021_0539	CP.43	coupe ; en cours de fouille ; vue vers le nord-est
PN_2021_0540	CP.43	coupe ; en cours de fouille ; vue vers le nord-est
PN_2021_0541	CP.43	coupe ; en cours de fouille ; vue vers le nord-est
PN_2021_0542	CP.43	coupe ; en cours de fouille ; vue vers le nord-est
PN_2021_0543	CP.43	coupe ; en cours de fouille ; vue vers le nord-est
PN_2021_0544	CP.43	coupe ; en cours de fouille ; vue vers le nord-est
PN_2021_0545	CP.46	coupe ; en cours de fouille ; vue vers le nord-est
PN_2021_0546	ENS.B ; F.52 ; F.62 ; F.63 ; SD.45 ; US.313	oblique ; en cours de fouille ; vue vers le sud-est
PN_2021_0547	ENS.B ; F.52 ; F.62 ; F.63 ; US.313	oblique ; en cours de fouille ; vue vers le nord-est
PN_2021_0548	ENS.B ; F.52 ; F.62 ; F.63 ; SD.45 ; US.313	plan ; en cours de fouille ; vue vers le nord-est
PN_2021_0549	ENS.B ; F.52 ; F.62 ; F.63 ; SD.45 ; US.313	plan ; en cours de fouille ; vue vers le nord-est
PN_2021_0550	ENS.B ; F.52 ; F.62 ; F.63 ; SD.45 ; US.313	oblique ; en cours de fouille ; vue vers le nord-est
PN_2021_0551	ENS.B ; F.52 ; F.62 ; F.63 ; SD.45 ; US.313	oblique ; en cours de fouille ; vue vers le nord-est
PN_2021_0552	ENS.B ; F.52 ; F.62 ; F.63 ; SD.45 ; US.313	plan ; en cours de fouille ; vue vers le ouest
PN_2021_0553	ENS.B ; F.52 ; F.62 ; F.63 ; SD.45 ; US.313	plan ; en cours de fouille ; vue vers le nord-ouest
PN_2021_0554	ENS.B ; F.52 ; F.62 ; F.63 ; SD.45 ; US.313	plan ; en cours de fouille ; vue vers le sud-est

Mutations urbaines à *Nasium* (Meuse) | Rapport intermédiaire 2023

N° photo	Sujets	Description
PN_2021_0555	ENS.B ; F.52 ; F.62 ; F.63 ; US.313	oblique ; en cours de fouille ; vue vers le nord-est
PN_2021_0556	ENS.B ; F.52 ; F.62 ; F.63 ; US.313	oblique ; en cours de fouille ; vue vers le nord-est
PN_2021_0557	ENS.B ; F.52 ; F.62 ; F.63 ; US.313	oblique ; en cours de fouille ; vue vers le nord-est
PN_2021_0558	ENS.A ; SD.13 ; F.90 ; US.359	oblique ; en cours de fouille ; vue vers le sud-est
PN_2021_0559	ENS.A ; SD.13 ; F.90 ; US.359	oblique ; en cours de fouille ; vue vers le sud-est
PN_2021_0560	ENS.A ; SD.13 ; F.90 ; US.359	oblique ; en cours de fouille ; vue vers le sud-est
PN_2021_0561	F.98 ; SD.45	plan ; avant la fouille ; vue vers le sud-ouest
PN_2021_0562	F.98 ; SD.45	plan ; avant la fouille ; vue vers le sud-ouest
PN_2021_0563	F.98 ; SD.45	plan ; avant la fouille ; vue vers le sud-ouest
PN_2021_0564	CP.36 ; US.121 ; US.324 ; US.372 ; US.374 ; US.449 ; US.451 ; US.46	coupe ; fin de fouille ; vue vers le sud-est
PN_2021_0565	CP.33 ; US.324 ; US.330 ; US.331 ; US.372 ; US.374	coupe ; fin de fouille ; vue vers l'est
PN_2021_0566	ESP.C7 ; F.80	oblique ; en cours de fouille ; vue vers le sud
PN_2021_0567	ESP.C7 ; F.80	oblique ; en cours de fouille ; vue vers le sud
PN_2021_0568	ESP.C7 ; F.80	oblique ; en cours de fouille ; vue vers le sud
PN_2021_0569	ESP.C7 ; F.80	oblique ; en cours de fouille ; vue vers le sud
PN_2021_0570	F.98	coupe ; en cours de fouille ; vue vers le sud-ouest
PN_2021_0571	F.98	coupe ; en cours de fouille ; vue vers le sud-ouest
PN_2021_0572	F.98	coupe ; en cours de fouille ; vue vers le sud-ouest
PN_2021_0573	ESP.C2 ; INV.1270 ; US.259	détail ; en cours de fouille ; vue vers le nord-est
PN_2021_0574	ESP.C2 ; INV.1270 ; US.259	détail ; en cours de fouille ; vue vers le nord-est
PN_2021_0575	ESP.C2 ; INV.1270 ; US.259	détail ; en cours de fouille ; vue vers le nord-est
PN_2021_0576	ESP.C2 ; INV.1270 ; US.259	détail ; en cours de fouille ; vue vers le nord-est
PN_2021_0577	ESP.C2 ; INV.1270 ; US.259	détail ; en cours de fouille ; vue vers le nord-est
PN_2021_0578	ESP.C2 ; INV.1270 ; US.259	détail ; en cours de fouille ; vue vers le nord-est
PN_2021_0579	ESP.C2 ; INV.1270 ; US.259	détail ; en cours de fouille ; vue vers le nord-est
PN_2021_0580	ESP.C2 ; INV.1270 ; US.259	détail ; en cours de fouille ; vue vers le nord-est
PN_2021_0581	ESP.C2 ; INV.1270 ; US.259	détail ; en cours de fouille ; vue vers le nord-est
PN_2021_0582	ESP.C2 ; INV.1270 ; US.259	détail ; en cours de fouille ; vue vers le nord-est
PN_2021_0583	ESP.C2 ; INV.1270 ; US.259	détail ; en cours de fouille ; vue vers le nord-est
PN_2021_0584	ESP.C2 ; INV.1270 ; US.259	détail ; en cours de fouille ; vue vers le nord-est
PN_2021_0585	ESP.C2 ; INV.1270 ; US.259	détail ; en cours de fouille ; vue vers le nord-est
PN_2021_0586	ESP.C2 ; INV.1270 ; US.259	détail ; en cours de fouille ; vue vers le nord-est
PN_2021_0587	ESP.C2 ; INV.1270 ; US.259	détail ; en cours de fouille ; vue vers le nord-est
PN_2021_0588	ESP.C2 ; INV.1270 ; US.259	détail ; en cours de fouille ; vue vers le nord-est
PN_2021_0589	ESP.C2 ; INV.1270 ; US.259	détail ; en cours de fouille ; vue vers le nord-est
PN_2021_0590	ESP.C2 ; INV.1270 ; US.259	détail ; en cours de fouille ; vue vers le est
PN_2021_0591	ESP.C2 ; INV.1270 ; US.259	détail ; en cours de fouille ; vue vers le est
PN_2021_0592	ESP.C2 ; INV.1270 ; US.259	détail ; en cours de fouille ; vue vers le est
PN_2021_0593	ESP.C2 ; INV.1270 ; US.259	détail ; en cours de fouille ; vue vers le est
PN_2021_0594	ESP.C2 ; INV.1270 ; US.259	détail ; en cours de fouille ; vue vers le est
PN_2021_0595	ESP.C2 ; INV.1270 ; US.259	détail ; en cours de fouille ; vue vers le est
PN_2021_0596	ESP.C2 ; INV.1270 ; US.259	détail ; en cours de fouille ; vue vers le est
PN_2021_0597	ESP.C2 ; INV.1270 ; US.259	détail ; en cours de fouille ; vue vers le est
PN_2021_0598	ESP.C2 ; INV.1270 ; US.259	détail ; en cours de fouille ; vue vers le nord-est
PN_2021_0599	ESP.C2 ; INV.1270 ; US.259	détail ; en cours de fouille ; vue vers le nord-est
PN_2021_0600	ESP.C2 ; INV.1270 ; US.259	détail ; en cours de fouille ; vue vers le nord-est
PN_2021_0601	ESP.C2 ; INV.1270 ; US.259	détail ; en cours de fouille ; vue vers le nord-est
PN_2021_0602	ESP.C2 ; INV.1270 ; US.259	détail ; en cours de fouille ; vue vers le nord-est
PN_2021_0603	ESP.C7 ; F.80	plan ; en cours de fouille ; vue vers le nord
PN_2021_0604	ESP.C7 ; F.80	plan ; en cours de fouille ; vue vers le nord
PN_2021_0605	ESP.C7 ; F.80	plan ; en cours de fouille ; vue vers le nord
PN_2021_0606	ESP.C7 ; F.80	plan ; en cours de fouille ; vue vers le ouest
PN_2021_0607	ESP.C7 ; F.80	plan ; en cours de fouille ; vue vers le sud
PN_2021_0608	ambiance	vue d'ensemble ; en cours de fouille ; vue vers le sud-ouest
PN_2021_0609	ambiance	vue d'ensemble ; en cours de fouille ; vue vers le nord
PN_2021_0610	drone	vue d'ensemble ; en cours de fouille ; vue vers le sud

Mutations urbaines à Nasium (Meuse) | Rapport intermédiaire 2023

N° photo	Sujets	Description
PN_2021_0611	ESPC2 ; INV.1292 ; INV.1293 ; INV.1294 ; US.398	détail ; fin de fouille ; vue vers le ouest
PN_2021_0612	ESPC2 ; INV.1292 ; INV.1293 ; INV.1294 ; US.398	détail ; fin de fouille ; vue vers le ouest
PN_2021_0613	ESPC2 ; INV.1292 ; INV.1293 ; INV.1294 ; US.398	détail ; fin de fouille ; vue vers le ouest
PN_2021_0614	ESPC2 ; INV.1292 ; INV.1293 ; INV.1294 ; US.398	détail ; fin de fouille ; vue vers le nord-ouest
PN_2021_0615	ESPC2 ; INV.1292 ; INV.1293 ; INV.1294 ; US.398	détail ; fin de fouille ; vue vers le nord-ouest
PN_2021_0616	ESPC2 ; INV.1292 ; INV.1293 ; INV.1294 ; US.398	détail ; fin de fouille ; vue vers le nord-est
PN_2021_0617	ESPC2 ; INV.1292 ; INV.1293 ; INV.1294 ; US.398	détail ; fin de fouille ; vue vers le nord-est
PN_2021_0618	F.99	plan ; avant la fouille ; vue vers le sud-est
PN_2021_0619	F.99	plan ; avant la fouille ; vue vers le sud-est
PN_2021_0620	F.99	plan ; avant la fouille ; vue vers le sud-est
PN_2021_0621	ESPC2 ; INV.1292 ; INV.1293 ; INV.1294 ; US.398	détail ; fin de fouille ; vue vers le ouest
PN_2021_0622	ESPC2 ; F.101 ; US.306	plan ; en cours de fouille ; vue vers le sud-ouest
PN_2021_0623	ESPC2 ; F.101 ; US.306	plan ; en cours de fouille ; vue vers le sud-ouest
PN_2021_0624	ESPC2 ; F.101 ; US.306	oblique ; en cours de fouille ; vue vers le est
PN_2021_0625	ESPC2 ; F.101 ; US.306	oblique ; en cours de fouille ; vue vers le est
PN_2021_0626	ESPC2 ; F.101 ; US.306	oblique ; en cours de fouille ; vue vers le est
PN_2021_0627	ambiance	vue d'ensemble ; en cours de fouille ; vue vers le est
PN_2021_0628	ambiance	vue d'ensemble ; en cours de fouille ; vue vers le est
PN_2021_0629	ambiance	vue d'ensemble ; en cours de fouille ; vue vers le ouest
PN_2021_0630	ambiance	vue d'ensemble ; en cours de fouille ; vue vers le nord
PN_2021_0631	F.114 ; SD.14 ; US.403	oblique ; en cours de fouille ; vue vers le sud-ouest
PN_2021_0632	F.114 ; SD.14 ; US.403	oblique ; en cours de fouille ; vue vers le sud-ouest
PN_2021_0633	F.114 ; SD.14 ; US.403	oblique ; en cours de fouille ; vue vers le sud-ouest
PN_2021_0634	F.114 ; SD.14 ; US.403	oblique ; en cours de fouille ; vue vers le nord-ouest
PN_2021_0635	F.114 ; SD.14 ; US.403	oblique ; en cours de fouille ; vue vers le nord-ouest
PN_2021_0636	F.114 ; SD.14 ; US.403	oblique ; en cours de fouille ; vue vers le nord-ouest
PN_2021_0637	F.114 ; SD.14 ; US.403	oblique ; en cours de fouille ; vue vers le nord-est
PN_2021_0638	F.114 ; SD.14 ; US.403	plan ; en cours de fouille ; vue vers le sud-ouest
PN_2021_0639	F.114 ; SD.14 ; US.403	plan ; en cours de fouille ; vue vers le ouest
PN_2021_0640	F.114 ; SD.14 ; US.403	plan ; en cours de fouille ; vue vers le sud-ouest
PN_2021_0641	F.114 ; SD.14 ; US.403	plan ; en cours de fouille ; vue vers le sud-ouest
PN_2021_0642	F.114 ; SD.14 ; US.403	plan ; en cours de fouille ; vue vers le sud-ouest
PN_2021_0643	ESPC2 ; US.11 ; US.379	oblique ; en cours de fouille ; vue vers le nord-ouest
PN_2021_0644	ESPC2 ; US.11 ; US.379	oblique ; en cours de fouille ; vue vers le nord-ouest
PN_2021_0645	ESPC2 ; US.11 ; US.379	oblique ; en cours de fouille ; vue vers le nord-ouest
PN_2021_0646	F.99	coupe ; en cours de fouille ; vue vers le nord-ouest
PN_2021_0647	F.99	coupe ; en cours de fouille ; vue vers le nord-ouest
PN_2021_0648	F.99	coupe ; en cours de fouille ; vue vers le nord-ouest
PN_2021_0649	ESPC2 ; US.11	oblique ; en cours de fouille ; vue vers le ouest
PN_2021_0650	ESPC2 ; US.11	oblique ; en cours de fouille ; vue vers le ouest
PN_2021_0651	ESPC2 ; US.11	oblique ; en cours de fouille ; vue vers le ouest
PN_2021_0652	CP.31 ; ESP.C3 ; US.378 ; US.379	coupe ; en cours de fouille ; vue vers le est
PN_2021_0653	CP.31 ; ESP.C3 ; US.378 ; US.379	coupe ; en cours de fouille ; vue vers le est
PN_2021_0654	CP.31 ; ESP.C3 ; US.378 ; US.379	coupe ; en cours de fouille ; vue vers le est
PN_2021_0655	F.105 ; US.408 ; US.409	plan ; avant la fouille ; vue vers le sud-ouest
PN_2021_0656	ESPC3 ; F.103 ; US.407	coupe ; en cours de fouille ; vue vers le est
PN_2021_0657	ESPC3 ; F.103 ; US.407	coupe ; en cours de fouille ; vue vers le est
PN_2021_0658	F.105 ; US.408 ; US.409	plan ; avant la fouille ; vue vers le sud-ouest
PN_2021_0659	ESPC3 ; F.103 ; US.407	plan ; en cours de fouille ; vue vers le nord-est
PN_2021_0660	ESPC3 ; F.103 ; US.407	plan ; en cours de fouille ; vue vers le nord-est
PN_2021_0661	ESPC3 ; F.103 ; US.407	plan ; en cours de fouille ; vue vers le nord-est
PN_2021_0662	ESPC3 ; F.103 ; US.407	oblique ; en cours de fouille ; vue vers le nord-est
PN_2021_0663	ESPC3 ; F.103 ; US.407	oblique ; en cours de fouille ; vue vers le nord-est
PN_2021_0664	ESPC3 ; F.103 ; US.407	oblique ; en cours de fouille ; vue vers le nord-est
PN_2021_0665	ESPC2 ; F.101 ; US.306	oblique ; en cours de fouille ; vue vers le nord-est
PN_2021_0666	ESPC2 ; F.101 ; US.306	oblique ; en cours de fouille ; vue vers le nord-est

Mutations urbaines à Nasium (Meuse) | Rapport intermédiaire 2023

N° photo	Sujets	Description
PN_2021_0667	ESP.C2 ; F.101 ; US.306	détail ; en cours de fouille ; vue vers le nord-est
PN_2021_0668	ESP.C2 ; F.101 ; US.306	détail ; en cours de fouille ; vue vers le nord-est
PN_2021_0669	ESP.C2 ; F.101 ; US.306	détail ; en cours de fouille ; vue vers le nord-est
PN_2021_0670	ESP.C2 ; F.101 ; US.306	détail ; en cours de fouille ; vue vers le nord-est
PN_2021_0671	ESP.C2 ; F.101 ; US.306	détail ; en cours de fouille ; vue vers le nord-est
PN_2021_0672	ESP.C2 ; F.101 ; US.306	détail ; en cours de fouille ; vue vers le nord-est
PN_2021_0673	ESP.C2 ; F.101 ; US.306	détail ; en cours de fouille ; vue vers le nord-est
PN_2021_0674	ESP.C2 ; F.101 ; US.306	détail ; en cours de fouille ; vue vers le nord-est
PN_2021_0675	ESP.C2 ; F.101 ; US.306	détail ; en cours de fouille ; vue vers le nord-est
PN_2021_0676	ESP.C2 ; INV.1316 ; US.325	détail ; en cours de fouille ; vue vers le nord-est
PN_2021_0677	ESP.C2 ; INV.1316 ; US.325	détail ; en cours de fouille ; vue vers le nord-est
PN_2021_0678	F.85	travail ; fin de fouille ; vue vers le nord-ouest
PN_2021_0679	F.85 ; US.11 ; US.113	travail ; fin de fouille ; vue vers le nord-ouest
PN_2021_0680	US.411	travail ; fin de fouille ; vue vers le est
PN_2021_0681	F.11 ; F.112	travail ; fin de fouille ; vue vers le nord-ouest
PN_2021_0682	F.11 ; F.112	travail ; fin de fouille ; vue vers le nord-ouest
PN_2021_0683	ESP.C1 ; F.85	oblique ; fin de fouille ; vue vers le nord-ouest
PN_2021_0684	ESP.C1 ; F.67	oblique ; fin de fouille ; vue vers le nord-est
PN_2021_0685	ESP.C1 ; US.411	oblique ; fin de fouille ; vue vers le nord
PN_2021_0686	ESP.C1 ; US.513 ; F.112	oblique ; avant la fouille ; vue vers le est
PN_2021_0687	ESP.C1 ; US.411	oblique ; fin de fouille ; vue vers le sud
PN_2021_0688	ESP.C1 ; F.85	détail ; en cours de fouille ; vue vers le sud-est
PN_2021_0689	ESP.C1 ; F.11 ; F.112 ; F.25 ; F.60 ; F.67 ; F.7 ; F.79 ; F.85 ; US.411	plan ; en cours de fouille ; vue vers le nord-est
PN_2021_0690	ESP.C1 ; F.11 ; F.112 ; F.25 ; F.60 ; F.67 ; F.7 ; F.79 ; F.85 ; US.411	plan ; en cours de fouille ; vue vers le nord-ouest
PN_2021_0691	ESP.C1 ; F.11 ; F.112 ; F.25 ; F.60 ; F.67 ; F.7 ; F.79 ; F.85 ; US.411	oblique ; en cours de fouille ; vue vers le nord-ouest
PN_2021_0693	ESP.C1 ; F.11 ; F.112 ; F.25 ; F.60 ; F.67 ; F.7 ; F.79 ; F.85 ; US.411	plan ; en cours de fouille ; vue vers le nord-est
PN_2021_0694	ESP.C1 ; F.11 ; F.112 ; F.25 ; F.60 ; F.67 ; F.7 ; F.79 ; F.85 ; US.411	plan ; en cours de fouille ; vue vers le sud-ouest
PN_2021_0695	ESP.C1 ; F.11 ; F.112 ; F.25 ; F.60 ; F.67 ; F.7 ; F.79 ; F.85 ; US.411	plan ; en cours de fouille ; vue vers le sud-ouest
PN_2021_0696	ESP.C1 ; F.11 ; F.112 ; F.25 ; F.60 ; F.67 ; F.7 ; F.79 ; F.85 ; US.411	plan ; en cours de fouille ; vue vers le sud-est
PN_2021_0697	ENS.B ; ENS.A ; F.3 ; F.35 ; F.4 ; US.396	oblique ; avant la fouille ; vue vers le nord-est
PN_2021_0698	ENS.B ; ENS.A ; F.3 ; F.35 ; F.4 ; US.396	oblique ; avant la fouille ; vue vers le nord-est
PN_2021_0699	ENS.B ; ENS.A ; F.3 ; F.35 ; F.4 ; US.396	oblique ; avant la fouille ; vue vers le nord
PN_2021_0700	ENS.B ; ENS.A ; F.3 ; F.35 ; F.4 ; US.396	oblique ; avant la fouille ; vue vers le sud-ouest
PN_2021_0701	ENS.B ; ENS.A ; F.3 ; F.35 ; F.4 ; US.396	oblique ; avant la fouille ; vue vers le sud-ouest
PN_2021_0702	F.105	coupe ; en cours de fouille ; vue vers le sud-ouest
PN_2021_0703	F.105	coupe ; en cours de fouille ; vue vers le sud-ouest
PN_2021_0704	F.105	coupe ; en cours de fouille ; vue vers le sud-ouest
PN_2021_0705	F.104 ; SD.29	oblique ; avant la fouille ; vue vers le nord-est
PN_2021_0706	F.104 ; SD.29	oblique ; avant la fouille ; vue vers le nord-est
PN_2021_0707	F.104 ; SD.29	oblique ; avant la fouille ; vue vers le nord-est
PN_2021_0708	F.104 ; SD.29	oblique ; avant la fouille ; vue vers le nord-est
PN_2021_0709	F.104 ; SD.29	oblique ; avant la fouille ; vue vers le nord-est
PN_2021_0710	F.104 ; SD.29	oblique ; avant la fouille ; vue vers le nord-est
PN_2021_0711	F.104 ; SD.29	détail ; avant la fouille ; vue vers le sud-est
PN_2021_0712	F.104 ; SD.29	détail ; avant la fouille ; vue vers le sud-ouest
PN_2021_0713	F.104 ; SD.29	détail ; avant la fouille ; vue vers le sud-ouest
PN_2021_0714	F.104 ; SD.29	détail ; avant la fouille ; vue vers le sud-ouest
PN_2021_0715	F.104 ; SD.29	détail ; avant la fouille ; vue vers le sud-ouest
PN_2021_0716	F.3 ; F.4 ; SD.16	oblique ; en cours de fouille ; vue vers le nord-ouest
PN_2021_0717	F.3 ; F.4 ; SD.16	oblique ; en cours de fouille ; vue vers le nord-ouest
PN_2021_0718	ambiance	vue d'ensemble ; en cours de fouille ; vue vers le sud-ouest
PN_2021_0719	ambiance	vue d'ensemble ; en cours de fouille ; vue vers le sud-ouest
PN_2021_0720	F.104 ; F.106 ; SD.29	oblique ; avant la fouille ; vue vers le sud-ouest
PN_2021_0721	F.104 ; F.106 ; SD.29	oblique ; avant la fouille ; vue vers le nord-ouest
PN_2021_0722	F.104 ; F.106 ; SD.29	oblique ; avant la fouille ; vue vers le sud-est

Mutations urbaines à Nasium (Meuse) | Rapport intermédiaire 2023

N° photo	Sujets	Description
PN_2021_0765	F.106 ; SD.42	coupe ; en cours de fouille ; vue vers le est
PN_2021_0766	SD.30 ; US.427	oblique ; en cours de fouille ; vue vers le nord-est
PN_2021_0767	SD.30 ; US.427	oblique ; en cours de fouille ; vue vers le nord-est
PN_2021_0768	SD.14 ; US.388	oblique ; en cours de fouille ; vue vers le nord-ouest
PN_2021_0769	SD.14 ; US.388	oblique ; en cours de fouille ; vue vers le nord-ouest
PN_2021_0770	SD.14 ; US.388	oblique ; en cours de fouille ; vue vers le nord-ouest
PN_2021_0771	SD.24 ; US.432	détail ; en cours de fouille ; vue vers le est
PN_2021_0772	SD.24 ; US.432	détail ; en cours de fouille ; vue vers le est
PN_2021_0773	SD.24 ; US.432	détail ; en cours de fouille ; vue vers le est
PN_2021_0774	CP.5 ; ENS.B ; F.89 ; SD.16	coupe ; en cours de fouille ; vue vers le ouest
PN_2021_0775	SD.41 ; US.104	coupe ; en cours de fouille ; vue vers le est
PN_2021_0776	SD.41 ; US.104	coupe ; en cours de fouille ; vue vers le est
PN_2021_0777	SD.16 ; US.433	coupe ; en cours de fouille ; vue vers le ouest
PN_2021_0778	SD.16 ; US.433	coupe ; en cours de fouille ; vue vers le ouest
PN_2021_0779	SD.16 ; US.433	détail ; en cours de fouille ; vue vers le ouest
PN_2021_0780	SD.16 ; US.433	détail ; en cours de fouille ; vue vers le ouest
PN_2021_0781	F.11 ; F.110 ; SD.14	plan ; avant la fouille ; vue vers le nord-ouest
PN_2021_0782	ambiance	vue d'ensemble ; en cours de fouille ; vue vers le sud-est
PN_2021_0783	ambiance	vue d'ensemble ; en cours de fouille ; vue vers le sud-est
PN_2021_0784	F.11 ; F.110 ; SD.14	plan ; avant la fouille ; vue vers le nord-ouest
PN_2021_0785	ESP.C1 ; ESP.C3 ; US.379	plan ; avant la fouille ; vue vers le nord-ouest
PN_2021_0786	ESP.C1 ; ESP.C3 ; US.379	plan ; avant la fouille ; vue vers le nord-ouest
PN_2021_0787	F.3 ; F.38 ; F.89 ; F.99 ; SD.45	oblique ; en cours de fouille ; vue vers le sud-est
PN_2021_0788	F.3 ; F.38 ; F.89 ; F.99 ; SD.45	oblique ; en cours de fouille ; vue vers le sud-est
PN_2021_0789	ESP.C1 ; ESP.C3 ; US.379	plan ; avant la fouille ; vue vers le nord-est
PN_2021_0790	ESP.C1 ; ESP.C3 ; US.379	plan ; avant la fouille ; vue vers le nord-ouest
PN_2021_0791	CP.47 ; F.11 ; SD.14 ; US.218 ; US.284 ; US.287 ; US.296 ; US.326 ; US.361 ; US.370	coupe ; en cours de fouille ; vue vers le ouest
PN_2021_0792	CP.47 ; F.11 ; SD.14 ; US.218 ; US.284 ; US.287 ; US.296 ; US.326 ; US.361 ; US.370	coupe ; en cours de fouille ; vue vers le ouest
PN_2021_0793	F.89 ; SD.45	oblique ; en cours de fouille ; vue vers le sud-est
PN_2021_0794	F.89 ; SD.45	oblique ; en cours de fouille ; vue vers le sud-est
PN_2021_0795	F.89 ; SD.45	oblique ; en cours de fouille ; vue vers le nord-est
PN_2021_0796	CP.43 ; F.89 ; SD.16	coupe ; en cours de fouille ; vue vers le est
PN_2021_0797	CP.43 ; F.89 ; SD.16	coupe ; en cours de fouille ; vue vers le est
PN_2021_0798	F.89 ; SD.45	oblique ; en cours de fouille ; vue vers le sud-est
PN_2021_0799	CP.48 ; SD.45 ; US.140 ; US.218 ; US.313 ; US.320 ; US.340 ; US.342 ; US.373 ; US.377 ; US.386 ; US.439	oblique ; en cours de fouille ; vue vers le sud
PN_2021_0800	CP.48 ; SD.45 ; US.140 ; US.218 ; US.313 ; US.320 ; US.340 ; US.342 ; US.373 ; US.377 ; US.386 ; US.439	oblique ; en cours de fouille ; vue vers le sud
PN_2021_0801	ESP.C1 ; ESP.C3 ; US.418	plan ; en cours de fouille ; vue vers le nord-ouest
PN_2021_0802	ESP.C1 ; ESP.C3 ; US.418	plan ; en cours de fouille ; vue vers le nord-ouest
PN_2021_0803	CP.48 ; SD.45 ; US.140 ; US.218 ; US.313 ; US.320 ; US.340 ; US.342 ; US.373 ; US.377 ; US.386 ; US.439	coupe ; en cours de fouille ; vue vers le sud
PN_2021_0804	CP.48 ; SD.45 ; US.140 ; US.218 ; US.313 ; US.320 ; US.340 ; US.342 ; US.373 ; US.377 ; US.386	coupe ; en cours de fouille ; vue vers le sud
PN_2021_0805	CP.48 ; SD.45 ; US.218 ; US.320 ; US.340 ; US.373 ; US.377 ; US.439	coupe ; en cours de fouille ; vue vers le sud
PN_2021_0806	ESP.C7 ; F.80	oblique ; en cours de fouille ; vue vers le nord-est
PN_2021_0807	ESP.C7 ; F.80	oblique ; en cours de fouille ; vue vers le nord-est
PN_2021_0808	ESP.C7 ; F.80	oblique ; en cours de fouille ; vue vers le nord-est
PN_2021_0809	CP.5	coupe ; en cours de fouille ; vue vers le ouest
PN_2021_0810	CP.8 ; F.23 ; F.7 ; US.100 ; US.234 ; US.235	coupe ; en cours de fouille ; vue vers le nord-est
PN_2021_0811	ESP.C7 ; F.80	oblique ; en cours de fouille ; vue vers le nord-est
PN_2021_0812	ESP.C7 ; F.80	oblique ; en cours de fouille ; vue vers le nord-est
PN_2021_0813	CP.8 ; F.23 ; F.7 ; F.65	coupe ; en cours de fouille ; vue vers le nord-est
PN_2021_0814	CP.7	coupe ; en cours de fouille ; vue vers le nord-est
PN_2021_0815	CP.7	coupe ; en cours de fouille ; vue vers le nord-est
PN_2021_0816	CP.7	coupe ; en cours de fouille ; vue vers le nord-est
PN_2021_0817	CP.7	coupe ; en cours de fouille ; vue vers le nord-est

Mutations urbaines à Nasium (Meuse) | Rapport intermédiaire 2023

N° photo	Sujets	Description
PN_2021_0818	CP.7	coupe ; en cours de fouille ; vue vers le nord-est
PN_2021_0819	CP.5	coupe ; en cours de fouille ; vue vers le ouest
PN_2021_0820	CP.5	coupe ; en cours de fouille ; vue vers le ouest
PN_2021_0821	CP.5	coupe ; en cours de fouille ; vue vers le ouest
PN_2021_0822	CP.5	coupe ; en cours de fouille ; vue vers le ouest
PN_2021_0823	CP.5	coupe ; en cours de fouille ; vue vers le ouest
PN_2021_0824	CP.5	coupe ; en cours de fouille ; vue vers le ouest
PN_2021_0825	CP.5	coupe ; en cours de fouille ; vue vers le ouest
PN_2021_0826	CP.5	coupe ; en cours de fouille ; vue vers le ouest
PN_2021_0827	CP.5	coupe ; en cours de fouille ; vue vers le ouest
PN_2021_0828	CP.5	coupe ; en cours de fouille ; vue vers le ouest
PN_2021_0829	CP.5	coupe ; en cours de fouille ; vue vers le ouest
PN_2021_0830	CP.5	coupe ; en cours de fouille ; vue vers le ouest
PN_2021_0831	CP.5	coupe ; en cours de fouille ; vue vers le ouest
PN_2021_0832	CP.5	coupe ; en cours de fouille ; vue vers le ouest
PN_2021_0833	CP.43 ; SD.16	coupe ; en cours de fouille ; vue vers le nord-est
PN_2021_0834	CP.43 ; SD.16	coupe ; en cours de fouille ; vue vers le nord-est
PN_2021_0835	CP.43 ; SD.16	coupe ; en cours de fouille ; vue vers le nord-est
PN_2021_0836	CP.43 ; SD.16	coupe ; en cours de fouille ; vue vers le nord-est
PN_2021_0837	CP.5	coupe ; en cours de fouille ; vue vers le ouest
PN_2021_0838	CP.5	coupe ; en cours de fouille ; vue vers le ouest
PN_2021_0839	CP.5	coupe ; en cours de fouille ; vue vers le ouest
PN_2021_0840	CP.5	coupe ; en cours de fouille ; vue vers le ouest
PN_2021_0841	CP.36	coupe ; en cours de fouille ; vue vers le sud-est
PN_2021_0842	CP.6	coupe ; en cours de fouille ; vue vers le sud-est
PN_2021_0843	CP.6	coupe ; en cours de fouille ; vue vers le sud-est
PN_2021_0844	CP.6	coupe ; en cours de fouille ; vue vers le sud-est
PN_2021_0845	CP.6	coupe ; en cours de fouille ; vue vers le sud-est
PN_2021_0846	CP.6	coupe ; en cours de fouille ; vue vers le sud-est
PN_2021_0847	CP.6	coupe ; en cours de fouille ; vue vers le sud-est
PN_2021_0848	CP.6	coupe ; en cours de fouille ; vue vers le sud-est
PN_2021_0849	CP.6	coupe ; en cours de fouille ; vue vers le sud-est
PN_2021_0850	CP.6	coupe ; en cours de fouille ; vue vers le sud-est
PN_2021_0851	CP.6	coupe ; en cours de fouille ; vue vers le sud-est
PN_2021_0852	CP.33 ; SD.14 ; US.283 ; US.284 ; US.326 ; US.393	coupe ; en cours de fouille ; vue vers le nord-est
PN_2021_0853	CP.33 ; SD.14 ; US.283 ; US.284 ; US.326 ; US.393	coupe ; en cours de fouille ; vue vers le nord-est
PN_2021_0854	CP.33 ; SD.29 ; US.321 ; US.324 ; US.330 ; US.372 ; US.374 ; US.445 ; US.446 ; US.447 ; US.448 ; US.449 ; US.450 ; US.451 ; US.453	coupe ; en cours de fouille ; vue vers le nord-est
PN_2021_0855	CP.36 ; US.417 ; US.46	coupe ; en cours de fouille ; vue vers le sud-ouest
PN_2021_0856	CP.33 ; SD.29	coupe ; en cours de fouille ; vue vers le nord-est
PN_2021_0857	CP.33 ; SD.29	coupe ; en cours de fouille ; vue vers le nord-est
PN_2021_0858	CP.33 ; SD.29	coupe ; en cours de fouille ; vue vers le nord-est
PN_2021_0859	CP.33 ; SD.29	coupe ; en cours de fouille ; vue vers le nord-est
PN_2021_0860	CP.33 ; SD.29	coupe ; en cours de fouille ; vue vers le nord-est
PN_2021_0861	CP.33 ; SD.29	coupe ; en cours de fouille ; vue vers le nord-est
PN_2021_0862	CP.33 ; SD.29	coupe ; en cours de fouille ; vue vers le nord-est
PN_2021_0863	CP.33 ; SD.29	coupe ; en cours de fouille ; vue vers le nord-est
PN_2021_0864	CP.33 ; SD.29	coupe ; en cours de fouille ; vue vers le nord-est
PN_2021_0865	CP.33 ; SD.29	coupe ; en cours de fouille ; vue vers le nord-est
PN_2021_0866	CP.33 ; SD.29	coupe ; en cours de fouille ; vue vers le nord-est
PN_2021_0867	CP.33 ; SD.29	coupe ; en cours de fouille ; vue vers le nord-est
PN_2021_0868	CP.33 ; SD.29	coupe ; en cours de fouille ; vue vers le nord-est
PN_2021_0869	CP.33 ; SD.29	coupe ; en cours de fouille ; vue vers le nord-est
PN_2021_0870	CP.33 ; SD.29	coupe ; en cours de fouille ; vue vers le nord-est
PN_2021_0871	CP.33 ; SD.29	coupe ; en cours de fouille ; vue vers le nord-est
PN_2021_0872	CP.33 ; SD.29	coupe ; en cours de fouille ; vue vers le nord-est

Mutations urbaines à Nasium (Meuse) | Rapport intermédiaire 2023

N° photo	Sujets	Description
PN_2021_0929	CP.37 ; SD.24	coupe ; en cours de fouille ; vue vers le nord-est
PN_2021_0930	CP.38 ; SD.24	coupe ; en cours de fouille ; vue vers le nord-ouest
PN_2021_0931	CP.38 ; SD.24	coupe ; en cours de fouille ; vue vers le nord-ouest
PN_2021_0932	CP.38 ; SD.24	coupe ; en cours de fouille ; vue vers le nord-ouest
PN_2021_0933	CP.38 ; SD.24	coupe ; en cours de fouille ; vue vers le nord
PN_2021_0934	CP.38 ; SD.24	coupe ; en cours de fouille ; vue vers le ouest
PN_2021_0935	CP.38 ; SD.24	coupe ; en cours de fouille ; vue vers le nord-ouest
PN_2021_0936	CP.38 ; SD.24	coupe ; en cours de fouille ; vue vers le nord-ouest
PN_2021_0937	CP.38 ; SD.24	coupe ; en cours de fouille ; vue vers le nord-ouest
PN_2021_0938	CP.38 ; SD.24	coupe ; en cours de fouille ; vue vers le nord-ouest
PN_2021_0939	CP.38 ; SD.24	coupe ; en cours de fouille ; vue vers le nord-ouest
PN_2021_0940	CP.38 ; SD.24	coupe ; en cours de fouille ; vue vers le nord-ouest
PN_2021_0941	CP.38 ; SD.24	coupe ; en cours de fouille ; vue vers le nord-ouest
PN_2021_0942	CP.39 ; SD.24	coupe ; fin de fouille ; vue vers le nord-ouest
PN_2021_0943	CP.39 ; SD.24	coupe ; fin de fouille ; vue vers le nord-ouest
PN_2021_0944	CP.39 ; SD.24	coupe ; fin de fouille ; vue vers le nord-ouest
PN_2021_0945	CP.39 ; SD.24	coupe ; fin de fouille ; vue vers le nord-ouest
PN_2021_0946	CP.39 ; SD.24	coupe ; fin de fouille ; vue vers le nord-ouest
PN_2021_0947	CP.39 ; SD.24	coupe ; fin de fouille ; vue vers le nord-ouest
PN_2021_0948	CP.39 ; SD.24	coupe ; fin de fouille ; vue vers le nord-ouest
PN_2021_0949	CP.39 ; SD.24	coupe ; fin de fouille ; vue vers le nord-ouest
PN_2021_0950	CP.40 ; SD.24	coupe ; fin de fouille ; vue vers le sud-est
PN_2021_0951	CP.40 ; SD.24	coupe ; fin de fouille ; vue vers le est
PN_2021_0952	CP.40 ; SD.24	coupe ; fin de fouille ; vue vers le sud
PN_2021_0953	CP.40 ; SD.24	coupe ; fin de fouille ; vue vers le sud-est
PN_2021_0954	CP.40 ; SD.24	coupe ; fin de fouille ; vue vers le sud-est
PN_2021_0955	CP.40 ; SD.24	coupe ; fin de fouille ; vue vers le sud-est
PN_2021_0956	CP.40 ; SD.24	coupe ; fin de fouille ; vue vers le sud-est
PN_2021_0957	CP.40 ; SD.24	coupe ; fin de fouille ; vue vers le sud-est
PN_2021_0958	CP.40 ; SD.24	coupe ; fin de fouille ; vue vers le sud-est
PN_2021_0959	CP.40 ; SD.24	coupe ; fin de fouille ; vue vers le sud-est
PN_2021_0960	CP.40 ; SD.24	coupe ; fin de fouille ; vue vers le sud-est
PN_2021_0961	CP.40 ; SD.24	coupe ; fin de fouille ; vue vers le sud-est
PN_2021_0962	ambiance	vue d'ensemble ; fin de fouille ; vue vers le sud-ouest
PN_2021_0963	ambiance	vue d'ensemble ; fin de fouille ; vue vers le nord-est
PN_2021_0964	ambiance	vue d'ensemble ; fin de fouille ; vue vers l'est
PN_2021_0965	ambiance	vue d'ensemble ; fin de fouille ; vue vers le est
PN_2021_0966	ambiance	vue d'ensemble ; fin de fouille ; vue vers le est
PN_2021_0967	ambiance	vue d'ensemble ; fin de fouille ; vue vers le nord
PN_2021_0968	ambiance	vue d'ensemble ; fin de fouille ; vue vers le sud-ouest
PN_2021_0969	ambiance	vue d'ensemble ; fin de fouille ; vue vers le sud-ouest
PN_2021_0970	ambiance	vue d'ensemble ; fin de fouille ; vue vers le sud
PN_2021_0971	ambiance	vue d'ensemble ; fin de fouille ; vue vers le sud
PN_2021_0972	F.103	vue d'ensemble ; fin de fouille ; vue vers le est
PN_2021_0973	F.103	vue d'ensemble ; fin de fouille ; vue vers le est
PN_2021_0974	ESPC3 ; F.103 ; F.92 ; F.93 ; INV.1466 ; INV.1467 ; US.484	vue d'ensemble ; fin de fouille ; vue vers le est
PN_2021_0975	ESPC3 ; F.103	oblique ; fin de fouille ; vue vers le est
PN_2021_0976	ESPC3 ; F.103	oblique ; fin de fouille ; vue vers le ouest
PN_2021_0977	ESPC3 ; F.103 ; INV.1466 ; INV.1467 ; US.484	oblique ; fin de fouille ; vue vers le nord-ouest
PN_2021_0978	ESPC3 ; F.103 ; INV.1466 ; INV.1467 ; US.484	vue d'ensemble ; fin de fouille ; vue vers le est
PN_2021_0979	ESPC3 ; F.103 ; F.92 ; F.93 ; INV.1466 ; INV.1467 ; US.484	vue d'ensemble ; fin de fouille ; vue vers le est
PN_2021_0980	ESPC2 ; ESP.C3 ; F.103 ; INV.1466 ; INV.1467 ; US.484	vue d'ensemble ; fin de fouille ; vue vers le nord-est
PN_2021_0981	ESPC3 ; F.103 ; INV.1466 ; INV.1467 ; US.484	vue d'ensemble ; fin de fouille ; vue vers le nord-est
PN_2021_0982	ESPC3 ; F.103 ; INV.1466 ; INV.1467 ; US.484	vue d'ensemble ; fin de fouille ; vue vers le nord-est
PN_2021_0983	ESPC3 ; F.93 ; INV.1466 ; INV.1467 ; US.484	détail ; fin de fouille ; vue vers le nord-ouest
PN_2021_0984	ESPC3 ; F.93 ; INV.1466 ; INV.1467 ; US.484	détail ; fin de fouille ; vue vers le nord-ouest

Mutations urbaines à Nasium (Meuse) | Rapport intermédiaire 2023

N° photo	Sujets	Description
PN_2021_0985	ESPC3 ; F.93 ; INV.1466 ; INV.1467 ; US.484	détail ; fin de fouille ; vue vers le nord-ouest
PN_2021_0986	ESPC3 ; F.93 ; INV.1466 ; US.484	détail ; fin de fouille ; vue vers le nord-ouest
PN_2021_0987	ESPC3 ; F.93 ; INV.1466 ; US.484	détail ; fin de fouille ; vue vers le nord-ouest
PN_2021_0988	ESPC3 ; F.93 ; INV.1466 ; INV.1467 ; US.484	détail ; fin de fouille ; vue vers le ouest
PN_2021_0989	ESPC3 ; F.103	oblique ; fin de fouille ; vue vers le sud-est
PN_2021_0990	ESPC3 ; F.103	oblique ; fin de fouille ; vue vers le sud-est
PN_2021_0991	ESPC3 ; F.103	oblique ; fin de fouille ; vue vers le sud-est
PN_2021_0992	ESPC3 ; F.93 ; INV.1466 ; INV.1467 ; US.484	oblique ; fin de fouille ; vue vers le est
PN_2021_0993	ESPC3 ; F.93 ; INV.1466 ; INV.1467 ; US.484	oblique ; fin de fouille ; vue vers le est
PN_2021_0994	ESPC3 ; F.93 ; INV.1466 ; INV.1467 ; US.484	oblique ; fin de fouille ; vue vers le est
PN_2021_0995	ESPC3 ; F.103 ; F.92	oblique ; fin de fouille ; vue vers le sud-est
PN_2021_0996	ESPC3 ; F.103 ; F.92 ; F.93 ; INV.1466 ; INV.1467 ; US.484	oblique ; fin de fouille ; vue vers le est
PN_2021_0997	ESPC3 ; F.103 ; F.92 ; F.93 ; INV.1466 ; INV.1467 ; US.484	oblique ; fin de fouille ; vue vers le est
PN_2021_0998	ESPC3 ; F.103 ; F.92 ; F.93	oblique ; fin de fouille ; vue vers le sud-est
PN_2021_0999	ESPC2	détail ; fin de fouille ; vue vers le sud-ouest
PN_2021_1000	ESPC2	détail ; fin de fouille ; vue vers le sud-ouest
PN_2021_1001	ESPC2	détail ; fin de fouille ; vue vers le sud-ouest
PN_2021_1002	ESPC2 ; INV.1292 ; INV.1293 ; INV.1294 ; US.323 ; US.398	oblique ; fin de fouille ; vue vers le nord-ouest
PN_2021_1003	ESPC2 ; F.32 ; F.4 ; F.41 ; F.64 ; INV.1292 ; INV.1293 ; INV.1294 ; US.323	oblique ; fin de fouille ; vue vers le nord-ouest
PN_2021_1004	ESPC2 ; F.32 ; F.4 ; F.41 ; F.64 ; INV.1292 ; INV.1293 ; INV.1294 ; US.323	oblique ; fin de fouille ; vue vers le nord-ouest
PN_2021_1005	ESPC2 ; F.32 ; F.4 ; F.41 ; F.64 ; INV.1292 ; INV.1293 ; INV.1294 ; US.323	oblique ; fin de fouille ; vue vers le nord-ouest
PN_2021_1006	ESPC2 ; F.64 ; INV.1292 ; INV.1293 ; INV.1294 ; US.323 ; US.398	oblique ; fin de fouille ; vue vers le ouest
PN_2021_1007	ESPC2 ; F.64 ; INV.1292 ; INV.1293 ; INV.1294 ; US.323 ; US.398	oblique ; fin de fouille ; vue vers le ouest
PN_2021_1008	ESPC2 ; F.101 ; F.3 ; F.32 ; F.93 ; US.323	oblique ; fin de fouille ; vue vers le sud-est
PN_2021_1009	ESPC2 ; F.101 ; F.3 ; F.32 ; F.93 ; US.323	oblique ; fin de fouille ; vue vers le sud-est
PN_2021_1010	ESPC2 ; F.101 ; F.3 ; F.32 ; F.93 ; US.323	oblique ; fin de fouille ; vue vers le sud-est
PN_2021_1011	ESPC2 ; F.101 ; F.3 ; F.32 ; F.93 ; US.323	oblique ; fin de fouille ; vue vers le sud-est
PN_2021_1012	ESPC2 ; US.323	détail ; fin de fouille ; vue vers le ouest
PN_2021_1013	ESPC3 ; F.103	détail ; fin de fouille ; vue vers le nord-est
PN_2021_1014	ESPC3 ; F.103	détail ; fin de fouille ; vue vers le nord-est
PN_2021_1015	ESPC2 ; INV.1292 ; INV.1293 ; INV.1294 ; US.398	élévation ; fin de fouille ; vue vers le ouest
PN_2021_1016	ESPC3 ; F.64 ; F.92	détail ; fin de fouille ; vue vers le sud-ouest
PN_2021_1017	ESPC3 ; F.64 ; F.92	détail ; fin de fouille ; vue vers le sud-ouest
PN_2021_1018	ESPC3 ; F.64 ; F.92	détail ; fin de fouille ; vue vers le sud-ouest
PN_2021_1019	ESPC3 ; F.64 ; F.92	élévation ; fin de fouille ; vue vers le ouest
PN_2021_1020	ESPC3 ; F.103 ; F.92	détail ; fin de fouille ; vue vers le sud-est
PN_2021_1021	ESPC3 ; F.103 ; F.92	détail ; fin de fouille ; vue vers le sud-est
PN_2021_1022	ESPC3 ; F.103 ; F.92	détail ; fin de fouille ; vue vers le sud-est
PN_2021_1023	ESPC2 ; F.86 ; F.93	élévation ; fin de fouille ; vue vers le sud-est
PN_2021_1024	ESPC2 ; F.86 ; F.93	élévation ; fin de fouille ; vue vers le sud-est
PN_2021_1025	ESPC2 ; F.93	détail ; fin de fouille ; vue vers le sud-est
PN_2021_1026	ESPC2 ; F.93	détail ; fin de fouille ; vue vers le sud-est
PN_2021_1027	ESPC2 ; F.32 ; F.93	élévation ; fin de fouille ; vue vers le sud-est
PN_2021_1028	ESPC2 ; F.32 ; F.93	élévation ; fin de fouille ; vue vers le sud-est
PN_2021_1029	ESPC2 ; F.32 ; F.4 ; F.41 ; F.86	élévation ; fin de fouille ; vue vers le nord-est
PN_2021_1030	ESPC2 ; F.32 ; F.4 ; F.41 ; F.86	élévation ; fin de fouille ; vue vers le nord-est
PN_2021_1031	ESPC2 ; F.93 ; US.485	détail ; fin de fouille ; vue vers le sud-est
PN_2021_1032	ESPC2 ; F.93 ; US.485	détail ; fin de fouille ; vue vers le sud-est
PN_2021_1033	ESPC2 ; F.93 ; US.485	détail ; fin de fouille ; vue vers le sud-est
PN_2021_1034	ESPC2 ; F.3 ; F.32 ; US.93	détail ; fin de fouille ; vue vers le nord-est
PN_2021_1035	ESPC2 ; F.3 ; F.32 ; US.93	détail ; fin de fouille ; vue vers le nord
PN_2021_1036	ESPC2 ; F.3 ; F.32 ; US.93	détail ; fin de fouille ; vue vers le nord-est
PN_2021_1037	ESPC2 ; F.3 ; F.32 ; US.93	détail ; fin de fouille ; vue vers le nord-est
PN_2021_1038	ESPC2 ; F.3 ; F.32 ; US.93	détail ; fin de fouille ; vue vers le nord-est
PN_2021_1039	ESPC2 ; F.3 ; F.32 ; US.93	détail ; fin de fouille ; vue vers le nord-est
PN_2021_1040	ESPC2 ; F.3 ; F.32 ; US.93	détail ; fin de fouille ; vue vers le nord-est

Mutations urbaines à *Nasium* (Meuse) | Rapport intermédiaire 2023

N° photo	Sujets	Description
PN_2021_1041	ESP.C2 ; F.86	détail ; fin de fouille ; vue vers le ouest
PN_2021_1042	ESP.C2 ; F.86	détail ; fin de fouille ; vue vers le ouest
PN_2021_1043	F.25 ; INV.665 ; US.80	détail ; fin de fouille ; vue vers le sud-est
PN_2021_1044	F.25 ; INV.665 ; US.80	détail ; fin de fouille ; vue vers le sud-est
PN_2021_1045	F.25 ; INV.665 ; US.80	détail ; fin de fouille ; vue vers le sud-est
PN_2021_1046	F.3 ; F.31 ; F.64 ; INV.667 ; INV.668 ; SD.54 ; US.86 ; US.87	oblique ; fin de fouille ; vue vers le nord-ouest
PN_2021_1047	F.3 ; F.31 ; F.64 ; INV.667 ; INV.668 ; SD.54 ; US.86 ; US.87	oblique ; fin de fouille ; vue vers le nord-ouest
PN_2021_1048	F.3 ; F.31 ; F.64 ; INV.667 ; INV.668 ; SD.54 ; US.86 ; US.87	plan ; fin de fouille ; vue vers le nord-est
PN_2021_1049	F.3 ; F.31 ; F.64 ; INV.667 ; INV.668 ; SD.54 ; US.86 ; US.87	oblique ; fin de fouille ; vue vers le nord-ouest
PN_2021_1050	F.3 ; F.31 ; INV.667 ; INV.668 ; SD.54 ; US.86 ; US.87	coupe ; fin de fouille ; vue vers le sud-ouest
PN_2021_1051	F.3 ; F.31 ; INV.667 ; INV.668 ; SD.54 ; US.86 ; US.87	coupe ; fin de fouille ; vue vers le sud-ouest
PN_2021_1052	F.3 ; F.31 ; INV.667 ; INV.668 ; SD.54 ; US.86 ; US.87	oblique ; fin de fouille ; vue vers le sud-ouest
PN_2021_1053	F.3 ; F.31 ; INV.667 ; INV.668 ; SD.54 ; US.86 ; US.87	oblique ; fin de fouille ; vue vers le sud-ouest
PN_2021_1054	F.3 ; F.31 ; INV.667 ; INV.668 ; SD.54 ; US.86 ; US.87	oblique ; fin de fouille ; vue vers le sud-ouest
PN_2021_1055	F.3 ; F.31 ; F.64 ; SD.54	oblique ; fin de fouille ; vue vers le sud-est
PN_2021_1056	F.64 ; SD.54	oblique ; fin de fouille ; vue vers le sud-est
PN_2021_1057	ambiance	vue d'ensemble ; fin de fouille ; vue vers le nord-ouest
PN_2021_1058	ambiance	vue d'ensemble ; fin de fouille ; vue vers le nord
PN_2021_1059	ambiance	vue d'ensemble ; fin de fouille ; vue vers le nord-ouest
PN_2021_1060	ambiance	vue d'ensemble ; fin de fouille ; vue vers le nord-ouest
PN_2021_1061	ambiance	vue d'ensemble ; fin de fouille ; vue vers le nord-ouest
PN_2021_1062	ambiance	vue d'ensemble ; fin de fouille ; vue vers le ouest
PN_2021_1063	ambiance	vue d'ensemble ; fin de fouille ; vue vers le sud
PN_2021_1064	ambiance	vue d'ensemble ; fin de fouille ; vue vers le sud-est

10. Liste des figures

Fig. 1 - Localisation du site (éch. 1 : 25000) (DAO : M. Rodriguez).....	15
Fig. 2 - Localisation du site sur fond topographique (DAO : E. Mathieu).	16
Fig. 3 - Localisation du site sur fond cadastral (DAO : E. Mathieu).....	17
Fig. 4 - Localisation du site sur fond géophysique (Source : PCR <i>Nasium</i> ; DAO : E. Mathieu).....	19
Fig. 5 - Interprétation des relevés géophysiques dans le secteur des Grandes Corvées (DAO : E. Mathieu)..	20
Fig. 6 - Plan masse du site à l'issue de la campagne 2020 (DAO : M. Rodriguez).....	21
Fig. 7 - Orthophotographie du site à l'issue de la campagne 2020 (Prise de vue : L. Guichard-Kobal).....	22
Fig. 8 - Vues générales de l'emprise de fouille après débâchage.	23
Fig. 9 - Sectorisation de l'emprise de fouille et implantation des sondages (DAO : M. Rodriguez).	25
Fig. 10 - Vue générale de l'emprise de fouille durant l'intervention de la pelle mécanique.....	26
Fig. 11 - Vue générale de l'emprise de fouille avant rebouchage.....	26
Fig. 12 - Plan masse des vestiges observés durant la campagne 2021 (DAO : M. Rodriguez).....	28
Fig. 13 - Orthophotographie du site à la fin de la campagne 2021 (Prise de vue : M. Rodriguez).....	29
Fig. 14 - Stratigraphie du site 1/3 : les ensembles ENS.A. (gauche) et de ENS.B (droite) (DAO : M. Rodriguez).	30
Fig. 15 - Stratigraphie du site 2/3 : l'ensemble ENS.C. (DAO : M. Rodriguez).....	32
Fig. 16 - Stratigraphie du site 3/3 : l'ensemble ENS.D et légende graphique des trois diagrammes (DAO : M. Rodriguez).	34
Fig. 17 - Plan phasé (DAO : M. Rodriguez).	35
Fig. 18 - Coupe CP.43 du sondage SD.16 (Relevé : E. Mathieu, M. Aubry. DAO : E. Mathieu. Infographie : L. Darmon).	37
Fig. 19 - Coupe CP.46 du sondage SD.45 (Relevé : M. Delagnes. DAO : E. Mathieu. Infographie : L. Darmon).	38
Fig. 20 - Coupe CP.33 du sondage SD.29 (Relevé : L. Guyonvarc'h, C. Mailly. DAO : M. Setan. Infographie : M. Rodriguez).	39
Fig. 21 - Coupe CP.36 des sondage SD.29 et SD.30 (Relevé : S. Février, M. Aubry. DAO : M. Setan. Infographie : M. Rodriguez).	40
Fig. 22 - Localisation des structures de la phase 1b : les trous de poteau F.88, F.98, F.99, F.105 et F.110 ainsi que le sol US.472 (DAO : M. Rodriguez).....	41

Fig. 23 - Localisation des structures de la phase 1b : le niveau de circulation US.342/388 (DAO : M. Rodriguez).	42
Fig. 24 - Vue zénithale du sondage SD.45 et des trous de poteaux F.98, F.99 et F.105 en cours de fouille. ...	43
Fig. 26 - Caractéristiques principales des trous de poteaux de la phase 1b.....	43
Fig. 25 - Vue zénithale du trou de poteau F.110 dans le sondage SD.29.....	43
Fig. 27 - Trous de poteaux de la phase 1b (Infographie : M. Rodriguez).....	44
Fig. 28 - Vue oblique de l'US.388 dans le sondage SD.14.....	45
Fig. 29 - Vue en coupe du bloc US.433 dans la coupe occidentale du sondage SD.16.....	45
Fig. 30 - Coupe CP.38 du sondage SD.24 (Relevé : M. Leroy, M. Setan, J. Tomczyk. DAO : M. Setan. Infographie : M. Rodriguez).....	46
Fig. 31 - Coupe CP.40 du sondage SD.24 (Relevé & DAO : M. Setan. Infographie : M. Rodriguez).....	47
Fig. 32 - Mise en évidence des niveaux de démolition de la phase 1c : US.367, US.386 et US.393 (DAO : M. Rodriguez).....	48
Fig. 33 - Mise en évidence des possibles niveaux de démolition de la phase 1c : US.471 (DAO : M. Rodriguez).	49
Fig. 34 - Caractéristiques principales des remblais de F.120.	50
Fig. 35 - Caractéristiques principales des remblais de F.123.	50
Fig. 36 - Coupe CP.17 du sondage SD.12 (DAO : M. Setan. Infographie : M. Rodriguez).....	51
Fig. 37 - Caractéristiques principales des remblais de F.127.	52
Fig. 38 - Vue en plan de l'US.326 dans le sondage SD.14.....	52
Fig. 39 - Coupe CP.47 du sondage SD.14 (Relevé : C. Corolle, E. Mathieu. DAO : E. Mathieu. Infographie : M. Rodriguez).....	53
Fig. 40 - Localisation des drains de la phase 2a (DAO : M. Rodriguez).....	54
Fig. 41 - Caractéristiques principales des drains de la phase 2a.....	54
Fig. 42 - Vue zénithale de F.104.	55
Fig. 43 - Vue en élévation du chapiteau toscan inv.660 dans l'US.82 du drain F.104.....	55
Fig. 44 - Vue zénithale de F.114.	55
Fig. 45 - Coupes de F.78 dans le sondage SD.25 et extrait de la coupe CP.37 du sondage SD.24 (Relevé : C. Mailly, M. Leroy, M. Setan, J. Tomczyk. DAO : M. Setan. Infographie : M. Rodriguez).....	56
Fig. 46 - Orthophotographie et relevé planimétrique de F.104 et de F.106 (DAO : M. Rodriguez).....	57
Fig. 47 - Coupe de F.104 et de F.106 extraite de la coupe CP.33 (Relevé : L. Guyonvarc'h, C. Mailly. DAO : M. Setan. Infographie : M. Rodriguez).....	58

Fig. 48 - Coupe de F.104 extraite de la coupe CP.50. Relevé : L. Trommenschlager (DAO : M. Setan. Infographie : M. Rodriguez).....	59
Fig. 49 - Coupes de F.104 et F.106 dans les sondages SD.41 et SD.42 (Relevé : C. Mailly, M. Setan. DAO : M. Setan. Infographie : M. Rodriguez).	60
Fig. 50 - Coupes de F.107 et de F.134 extraites des coupes CP.38 et CP.40 du sondage SD.24 (Relevé : M. Leroy, M. Setan, J. Tomczyk. DAO : M. Setan. Infographie : M. Rodriguez).....	61
Fig. 51 - Coupes de F.89 extraites des coupes CP.5 et CP.43 du sondage SD.16 (Relevé : M. Aubry, E. Mathieu. DAO : E. Mathieu. Infographie : L. Darmon).	62
Fig. 52 - Mise en évidence des possibles piédroits dans le fond de l'US.423 (F.89, coupe CP.5).	63
Fig. 53 - Détail d'une ornière de la bande de roulement US.219.	63
Fig. 54 - Coupe CP.18 du sondage SD.12 (DAO : M. Setan. Infographie : M. Rodriguez).....	64
Fig. 55 - Localisation des ensembles de la phase 2b (DAO : M. Rodriguez).	65
Fig. 56 - Vue zénithale et oblique de F.62 dans l'écorché de la voirie ENS.B (DAO : M. Rodriguez).....	66
Fig. 57 - Vue zénithale du possible trou de piquet F.81.....	66
Fig. 58 - Détail de l'US.339.	66
Fig. 59 - Caractéristiques principales des remblais de F.121.	67
Fig. 60 - Coupe CP.55 du sondage SD.12 (Relevé : A. Poumirau. DAO : M. Setan. Infographie : M. Rodriguez).	68
Fig. 61 - Vue zénithale de la partie orientale de la tranchée de sablière F.112.....	69
Fig. 62 - Détail du bois conservé de l'US.97.....	69
Fig. 63 - Orthophotographie interprétée de l'espace ESP.C1 (DAO : M. Rodriguez).....	70
Fig. 64 - Vue oblique de l'US.513.	71
Fig. 65 - Détail du sol US.463.	71
Fig. 66 - Coupe CP.23 (Relevé et DAO : M. Setan. Infographie : M. Rodriguez).	72
Fig. 67 - Vue oblique des tranchées F.60 (gauche) et F.85 (droite) en fin de fouille.....	73
Fig. 68 - Détail de l'enduit de chaux US.136 dans la tranchée F.60.	73
Fig. 69 - Vue zénithale de la pièce de bois carbonisée US.402 dans la tranchée F.85.....	73
Fig. 70 - Détail du comblement US.184 de F.60.....	73
Fig. 71 - Vue du creusement US.209 de F.67.	73
Fig. 72 - Vue de détail de la jonction entre F.67 et F.85.....	73
Fig. 73 - Orthophotographie interprétée des espaces ESP.C2 et ESP.C3 (DAO : M. Rodriguez).....	74

Fig. 74 - Vue en élévation de l'US.515 dans le parement du mur F.41.....	75
Fig. 75 - Vue de détail d'une dalle de lauze posée sur le fond de l'espace ESP.C2.	75
Fig. 76 - Détail de l'US.304 (fondation maçonnée) du mur F.32.....	75
Fig. 77 - Modèle Numérique d'Élévation du fond de l'espace ESP.C2 montrant l'emplacement du creusement et du pendage des canalisations F.86, F.87 et F.111 (DAO : M. Rodriguez).	76
Fig. 78 - Vue en élévation du mur F.32 et du mur F.93.	77
Fig. 79 - Détail de l'US.93 (élévation) du mur F.32.....	77
Fig. 80 - Vue en élévation du mur F.41 et du soupirail US.302.	77
Fig. 81 - Vue zénithale du mur F.41 et de l'aménagement US.303.....	77
Fig. 82 - Vue en élévation de la niche US.305 et de son coffrage US.306.	78
Fig. 83 - Vue oblique de la niche US.305 et de son coffrage US.306.	78
Fig. 84 - Vue générale de l'US.484 dans le parement méridional du mur F.93.	78
Fig. 85 - Vue en élévation de l'US.484.	78
Fig. 86 - Vue <i>in situ</i> du fût de colonne réemployé inv.1316 dans l'US.269.....	79
Fig. 87 - Vue oblique des amphores en place de l'US.398.....	79
Fig. 88 - Vue générale de l'escalier F.130 dans l'espace ESP.C3.	79
Fig. 89 - Coupe sud-est/nord-ouest de l'espace ESP.C2 (Relevé : L. Wissemberg. DAO : M. Setan. Infographie : M. Rodriguez).....	80
Fig. 90 - Vue oblique depuis l'est de la volée de marches supérieure de l'escalier F.103.	81
Fig. 91 - Détail de la cinquième marche de la volée de marches supérieure de l'escalier F.103.....	81
Fig. 92 - Vue oblique depuis le nord de la volée de marches inférieure de l'escalier F.103.	81
Fig. 93 - Coupes nord-ouest/sud-est et est/ouest de l'espace ESP.C3 (Relevé : A. Poumireau. DAO : M. Setan. Infographie : M. Rodriguez).	82
Fig. 94 - Orthophotographie interprétée de l'espace ESP.C4. DAO : M. Rodriguez.	83
Fig. 95 - Vue générale de l'espace ESP.C4.	84
Fig. 96 - Détail de l'US.74 (restes de lambourde en place).....	84
Fig. 97 - Orthophotographie interprétée de l'espace ESP.C6 (DAO : M. Rodriguez).....	85
Fig. 98 - Vue générale de l'espace ESP.C6. On distingue au premier plan la tranchée F.78 installée dans l'US.127.	85
Fig. 99 - Caractéristiques principales des trous de poteau de l'espace ESP.C6.....	86
Fig. 100 - Localisation des ensembles de la phase 2c (DAO : M. Rodriguez).....	87

Fig. 101 - Coupe CP.48 du sondage SD.16 (Relevé : M. Compère. DAO : E. Mathieu. Infographie : L. Darmon).	88
Fig. 102 - Vue zénithale et oblique de F.63 dans l'écorché de la voirie ENS.B (DAO : M. Rodriguez).	89
Fig. 103 - Vue zénithale de la bande de roulement US.218 dans le sondage SD.16.	89
Fig. 104 - Détail de la bande de roulement US.218.	89
Fig. 106 - Localisation des ensembles de la phase 2d (DAO : M. Rodriguez).	90
Fig. 105 - Vue en plan de la recharge US.264.	90
Fig. 107 - Orthophotographie interprétée de l'ensemble ENS.A (DAO : M. Rodriguez).	91
Fig. 108 - Relevés et vues en plan et en coupe des structures F.90 et F.94 dans le sondage SD.13 (Relevé : Quentin Bruncher. DAO : E. Mathieu. Infographie : M. Rodriguez).	92
Fig. 109 - Vue en élévation de la face sud du mur F.4.	93
Fig. 110 - Vue depuis l'ouest du chaînage entre les murs F.4 et F.39.	93
Fig. 111 - Orthophotographie de la face nord du mur F.4 (DAO : E. Mathieu. Infographie : M. Rodriguez).	94
Fig. 112 - Vue oblique du mur F.45 et du mur F.53.	95
Fig. 113 - Vue en élévation depuis l'est de l'angle chanfreiné observé dans l'US.132.	95
Fig. 114 - Détail de l'US.153 montrant l'épingle en alliage cuivreux inv.603 en cours de fouille.	95
Fig. 115 - Vue oblique depuis l'ouest de l'ensemble ENS.B et du caniveau F.48.	96
Fig. 116 - Vue oblique depuis le nord de l'ensemble ENS.B et du caniveau F.48.	96
Fig. 117 - Détail de la mise en œuvre du caniveau F.48.	97
Fig. 118 - Détail de la couverture en place US.164 du caniveau F.48.	97
Fig. 119 - Orthophotographie interprétée et coupes du caniveau F.48 (Relevés : C. Dorolle, M. Poinignon. DAO : E. Mathieu. Infographie : M. Rodriguez).	98
Fig. 120 - Vue zénithale et oblique de F.52 dans l'écorché de la voirie ENS.B (DAO : M. Rodriguez).	99
Fig. 121 - Détail de la mise en œuvre de l'US.262.	99
Fig. 122 - Vue oblique de l'ouverture du puits F.3.	100
Fig. 123 - Vue zénithale illustrant la relation entre le creusement du puits F.3 et la tranchée d'implantation du mur F.4.	100
Fig. 124 - Vue oblique depuis le nord du parement US.12 du puits F.3.	100
Fig. 125 - Relevé en plan et en coupe du puits F.3 (Relevé : J. Véber et A. Heinmann. DAO : E. Mathieu).	101
Fig. 126 - Vue oblique depuis le sud du comblement du puits F.3.	102
Fig. 127 - Vue zénithale du niveau de circulation US.165 et de son radier US.166.	102

Fig. 128 - Vue zénithale de l'US.120.	102
Fig. 129 - Localisation des ensembles de la phase 2e (DAO : M. Rodriguez).....	103
Fig. 130 - Coupe de référence nord/sud des espaces ESP.B4, B5, B6, B7 et B8 (DAO : E. Mathieu. Infographie : M. Rodriguez).....	104
Fig. 131 - Vue oblique depuis l'est de l'US.131.....	105
Fig. 132 - Vue oblique depuis l'est de l'US.263.....	105
Fig. 133 - Vue oblique depuis l'ouest de l'US.232.....	105
Fig. 134 - Coupe CP.5, 1/3 (Relevé : Q. Bruncher, E. Mathieu, M. Poinsignon. DAO : E. Mathieu, M. Setan. Infographie : L. Darmon).	106
Fig. 135 - Coupe CP.5, 2/3 (Relevé : Q. Bruncher, E. Mathieu, M. Poinsignon. DAO : E. Mathieu, M. Setan. Infographie : L. Darmon).	107
Fig. 136 - Coupe CP.5, 3/3 (Relevé : Q. Bruncher, E. Mathieu, M. Poinsignon. DAO : E. Mathieu, M. Setan. Infographie : L. Darmon).	108
Fig. 137 - Vue oblique de l'angle sud-ouest de l'espace ESP.B6.	109
Fig. 138 - Caractéristiques principales des réparations ponctuelles de l'US.131.	109
Fig. 139 - Orthophotographie, profil et vues en plan de F.16/24 (Infographie : M. Rodriguez).....	110
Fig. 140 - Localisation des ensembles de la phase 2f. DAO : M. Rodriguez.....	111
Fig. 141 - Vue zénithale de la fosse d'implantation de F.11 en fin de fouille.....	112
Fig. 142 - Vue zénithale du sommet de l'US.217.	112
Fig. 143 - Détails de l'US.36.	112
Fig. 144 - Orthophotographie, profil et vues en plan de F.16/24 (Relevé : M. Compère, M. Poinsignon. DAO : E. Mathieu. Infographie : M. Rodriguez).....	113
Fig. 145 - Orthophotographies et relevés de l'US.35 de la structure F.11 (DAO : E. Mathieu).....	114
Fig. 146 - Caractéristiques principales des structures F.11, F.29, F.58 et F.75.	115
Fig. 147 - Orthophotographie interprétée de F.11, F.29, F.58 et F.75 (gauche) ainsi que relevés et photographies de F.29 (droite) (Relevé : J. Véber, M. Poinsignon, B. Salles. DAO : E. Mathieu. Infographie : E. Mathieu, M. Rodriguez).....	116
Fig. 148 - Vue zénithale de l'US.51 et de l'US.84 depuis le sud.....	117
Fig. 149 - Vue oblique de l'US.100 et de l'US.83 depuis l'est.	117
Fig. 150 - Coupe de référence sud/nord des espaces ESP.B4, B5, B6, B7 et B8 (DAO : E. Mathieu. Infographie : M. Rodriguez).....	118
Fig. 151 - Relevés et photographies des trous de poteau F.72 et F.73 (Relevés : M. Aubry, L. Guyonvarc'h, A. Franchini. DAO : E. Mathieu. Infographie : M. Rodriguez).....	119

Fig. 152 - Détail de l'US.19 dans l'espace ESP.B7.	120
Fig. 153 - Détail de l'US.16 au niveau de la colonne F.11.	120
Fig. 154 - Détail du niveau d'incendie US.29 recouvrant la bande de roulement US.19.....	120
Fig. 155 - Vue d'ensemble du niveau de démolition US.37.	121
Fig. 156 - Vue d'ensemble de l'US.46 dans l'espace ESP.C1 en cours de fouille.	121
Fig. 157 - Vue d'ensemble de l'US.46 dans l'espace ESP.C4 en cours de fouille.	121
Fig. 158 - Détails de l'US.46 : fragment d'enduit peint (a) et élément en bois carbonisé (b).	121
Fig. 159 - Vue zénithale de l'US.126 sur le palier supérieur de l'escalier F.103.....	122
Fig. 160 - Détail de l'US.126.	122
Fig. 161 - Détail des traces de rubéfaction sur l'US.127.	123
Fig. 162 - Vue en plan (a) et en coupe (b) de la fosse de récupération F.79.....	123
Fig. 163 - Vue oblique du remblai US.22 sur le niveau d'incendie US.29.....	124
Fig. 164 - Vue oblique du remblai US.56 sur le niveau d'incendie US.29.....	124
Fig. 165 - Caractéristiques principales du remblaiement F.129.....	125
Fig. 166 - Caractéristiques principales du remblaiement F.100.....	125
Fig. 167 - Détails du remblaiement F.100 : vases archéologiquement complets issus de l'US.259 (a) et de l'US.378/420 (b).	125
Fig. 168 - Vue de détail planimétrique de l'US.121 en cours de fouille.....	126
Fig. 169 - Vue générale de la coupe CP.23/36 (premier plan). On distingue clairement les affaissements vers l'est et vers l'ouest des niveaux installés après l'incendie. D'autres affaissement (contemporains ?) sont également visibles à l'arrière-plan.....	126
Fig. 170 - Localisation des ensembles de l'état 3 (DAO : M. Rodriguez).	127
Fig. 171 - Coupe (2020) nord-est/sud-ouest de l'espace ESP.C9.....	128
Fig. 172 - Détail de la recharge US.240.	129
Fig. 173 - Détail de la recharge US.241/242.	129
Fig. 174 - Vues zénithales interprétées de l'espace ESP.C8 (DAO : M. Rodriguez).	130
Fig. 175 - Vue oblique de F.135 en cours de fouille.	131
Fig. 176 - Détail de l'US.66 et de la possible crapaudine.....	131
Fig. 177 - Détail du creusement de la tranchée de F.36.	131
Fig. 178 - Détail de l'US.517 à l'extrémité nord du fait F.35.....	132

Fig. 179 - Détail de l'extrémité sud de F.35.....	132
Fig. 180 - Vue zénithale de F.91.	132
Fig. 181 - Orthophotographie interprétée et coupe de F.35 (DAO : M. Rodriguez).	133
Fig. 182 - Orthophotographie interprétée et coupe de F.91 (DAO : M. Rodriguez).	134
Fig. 183 - Vue en plan (a) et en coupe (b) du trou de poteau F.76.	135
Fig. 184 - Vue zénithale interprétée de l'espace ESP.C7 et de l'espace ESP.C10 (DAO : M. Rodriguez).	136
Fig. 185 - Vue en plan (a) et en coupe (b) du possible niveau de circulation US.281/282.	137
Fig. 186 - Orthophotographies interprétées du foyer F.80, passes 1 à 3 (Prises de vue : J. Véber. DAO : M. Setan. Infographie : M. Rodriguez).	138
Fig. 187 - Orthophotographies interprétées du foyer F.80, passes 4 et 5 (Prises de vue : J. Véber. DAO : M. Setan. Infographie : M. Rodriguez).	139
Fig. 188 - Coupes longitudinale et transversales du foyer F.80. Relevés : M. Poinsignon, J. Véber. DAO : M. Setan. Infographie : M. Rodriguez.....	140
Fig. 189 - Vue oblique du fond du foyer F.80 et de l'US.486.....	141
Fig. 190 - Vue oblique du possible radier US.443.	141
Fig. 191 - Vue oblique de la sole US.441.....	141
Fig. 192 - Orthophotographies interprétées du foyer F.34 (Prises de vue : J. Véber. DAO : M. Rodriguez)...	142
Fig. 193 - Coupe transversale et longitudinale du foyer F.34 (Relevé : B. Bonaventure, J. Véber. DAO : M. Setan. Infographie : M. Rodriguez).	143
Fig. 194 - Vue oblique de la sole US.160 en fin de fouille.....	144
Fig. 195 - Détail de la sole US.160.....	144
Fig. 196 - Vue oblique de la maçonnerie constituant F.34.....	144
Fig. 197 - Détail de l'US.202.	144
Fig. 198 - Vue oblique du comblement d'abandon de F.34.	144
Fig. 199 - Vue oblique de l'US.159.	144
Fig. 200 - Détail de l'US.205 dans la coupe de référence de l'espace ESP.C9.	146
Fig. 201 - Vue zénithale de l'US.147.	146
Fig. 202 - Vue oblique du niveau de sol en terre battue US.123.	146
Fig. 203 - Coupe CP.5 (berme méridionale) (Relevé : A. Martel. DAO : M. Setan. Infographie : L. Darmon).	147
Fig. 204 - Coupe CP.5 (berme méridionale), suite (Relevé : A. Martel. DAO : M. Setan. Infographie : L. Darmon).	148

Fig. 205 - Détail de la concentration de fragments de TCA sur l'US.123.	149
Fig. 206 - Vue zénithale (a) et vue oblique (b) du bloc US.362.	149
Fig. 207 - Vue oblique de l'horizon de démolition F.56.	150
Fig. 208 - Détail de l'US.267.	150
Fig. 209 - Détail de l'US.267.	150
Fig. 210 - Caractéristiques principales du remblaiement F.118.	151
Fig. 211 - Vue oblique du bloc architectural inv.647.	151
Fig. 212 - Coupe nord-orientale de l'ensemble ENS.A (DAO : M. Rodriguez, L. Darmon. Infographie : M. Rodriguez).	152
Fig. 213 - Coupe occidentale de l'ensemble ENS.A (DAO : M. Rodriguez, L. Darmon. Infographie : M. Rodriguez).	153
Fig. 214 - Caractéristiques principales du remblaiement F.118.	154
Fig. 215 - Caractéristiques principales du remblaiement F.130.	154
Fig. 216 - Coupe de référence nord-est/sud-ouest de l'espace ESP.C7.	155
Fig. 217 - Vue zénithale de l'US.203 dans les espaces ESP.C7 et ESP.C10.	156
Fig. 218 - Objets mis au jour durant la fouille du remblai F.130 : clef inv.57 (a), bloc architectural inv.609 (b).	156
Fig. 219 - Caractéristiques principales du remblaiement F.133.	157
Fig. 220 - Localisation des ensembles de l'état 4 (DAO : M. Rodriguez).	158
Fig. 221 - Relevés et vues planimétriques des niveaux de circulation F.10 (en bas) et F.17 (en haut) (DAO et infographie : E. Mathieu).	159
Fig. 222 - Vue oblique du mur F.5 depuis le sud (a) et depuis le nord (b).	160
Fig. 223 - Vue en coupe du mur F.5.	160
Fig. 224 - Détail de la coupe du mur F.5 montrant la fondation maçonnée US.39 et le comblement US.347 de la tranchée d'implantation.	160
Fig. 225 - Vue zénithale du possible seuil US.57.	160
Fig. 226 - Détail de l'élévation US.23 du mur F.5.	160
Fig. 227 - Vue oblique du radier US.221 de la maçonnerie F.65.	161
Fig. 228 - Vue zénithale du sol F.22.	161
Fig. 229 - Vue zénithale de l'aménagement F.84.	161

Fig. 230 - Coupe CP.8 (Relevé : M. Poinsignon, M. Delagnes. DAO : E. Mathieu. Infographie : M. Rodriguez).	162
Fig. 231 - Détails de l'aménagement F.84 en cours de fouille.	163
Fig. 232 - Vue oblique de la tranchée F.13.	163
Fig. 233 - Coupe nord du sondage SD.1 (2020) (Relevé : M. Setan. DAO et infographie : M. Rodriguez).	164
Fig. 234 - Vue cavalière des blocs US.86 et US.87 en cours de fouille.	165
Fig. 235 - Vue cavalière du lit d'attente du bloc US.86.	165
Fig. 236 - Vue oblique du bloc US.80 installé sur les murs F.41 et F.32.	165
Fig. 237 - Vue en coupe de la tranchée F.40 sur le radier du mur F.5.	166
Fig. 238 - Vue oblique de la tranchée F.9 (fin de fouille).	166
Fig. 239 - Localisation des principales structures de l'état 5. DAO : M. Rodriguez.	167
Fig. 240 - Caractéristiques principales des fosses de spoliation.	167
Fig. 241 - Relevés des fosses F.7, F.8, F.23 et F.70. Relevés : C. Dorolle, L. Josse, E. Mathieu, L. Wissemberg. DAO : E. Mathieu, M. Setan. Infographie : M. Rodriguez.	168
Fig. 242 - Photographies des fosses F.7, F.8, F.23 et F.70.	169
Fig. 243 - Tableau des catégories du service de table.	170
Fig. 246 - Quantification des céramiques par unité stratigraphique.	171
Fig. 244 - Tableau des catégories de vaisselle culinaire.	171
Fig. 245 - Tableau des catégories de vaisselle de transport et de stockage.	171
Fig. 247 - Les céramiques (1/18) : US 4 à US 32 (DAO : M. Legagneux, B. Bonaventure).	174
Fig. 248 - Les céramiques (2/18) : US 34 (DAO : M. Legagneux, B. Bonaventure).	175
Fig. 249 - Les céramiques (3/18) : US 37 à US 41 (DAO : M. Legagneux, B. Bonaventure).	176
Fig. 250 - Les céramiques (4/18) : US 47 et US 48 (DAO : M. Legagneux, B. Bonaventure).	177
Fig. 251 - Les céramiques (5/18) : US 47 à US 53 (DAO : M. Legagneux, B. Bonaventure).	178
Fig. 252 - Les céramiques (6/18) : US 56 à US 77 (DAO : M. Legagneux, B. Bonaventure).	179
Fig. 253 - Les céramiques (7/18) : US 56 à US 77 (DAO : M. Legagneux, B. Bonaventure).	180
Fig. 254 - Les céramiques (8/18) : US 100 à US 109 (DAO : M. Legagneux, B. Bonaventure).	181
Fig. 255 - Les céramiques (9/18) : US 111 (DAO : M. Legagneux, B. Bonaventure).	182
Fig. 256 - Les céramiques (10/18) : US 111 (DAO : M. Legagneux, B. Bonaventure).	183
Fig. 257 - Les céramiques (11/18) : US 113 à US 125 (DAO : M. Legagneux, B. Bonaventure).	184

Fig. 258 - Les céramiques (12/18) : US 128 à US 137 (DAO : M. Legagneux, B. Bonaventure).....	185
Fig. 259 - Les céramiques (13/18) : US 141 à US 149 (DAO : M. Legagneux, B. Bonaventure).....	186
Fig. 260 - Les céramiques (14/18) : US 155 à US 221 (DAO : M. Legagneux, B. Bonaventure).....	187
Fig. 261 - Les céramiques (15/18) : US 223 à US 259 (DAO : M. Legagneux, B. Bonaventure).....	188
Fig. 262 - Les céramiques (16/18) : US 269 à US 331 (DAO : M. Legagneux, B. Bonaventure).....	189
Fig. 263 - Les céramiques (17/18) : US 388 à US 412 (DAO : M. Legagneux, B. Bonaventure).....	190
Fig. 264 - Les céramiques (18/18) : US 444 à US 471 (DAO : M. Legagneux, B. Bonaventure).....	191
Fig. 265 - Schéma des domaines et catégories fonctionnelles (DAO A. Franchini, d'après Demierre).	194
Fig. 266 - Aperçu de l'interface de la base de données <i>instrumentum</i> du site des Grandes Corvées.	197
Fig. 267 - Aperçu de la première fiche regroupant les informations principales.	197
Fig. 268 - Aperçu de la troisième fiche regroupant la métrologie, description, information et code Artefact.	197
Fig. 269 - Exemple de fiche de dessin.	199
Fig. 270 - Répartition du petit mobilier par matériau.....	200
Fig. 271 - État 1, inv. 1240 : doigtier (Prise de vue : A. Franchini).	201
Fig. 272 - État 2, inv. 571 : applique (Prise de vue A. Franchini).....	201
Fig. 273 - État 2, inv. 864 : pied de récipient ? (Prise de vue A. Franchini).	202
Fig. 274 - État 2, inv. 152 : boucle de harnachement (Prise de vue A. Franchini).	202
Fig. 275 - État 2, inv. 1302 : bouchon (Prise de vue J. Véber).	202
Fig. 276 - État 2, inv. 1201 : douille (Prise de vue A. Franchini).	203
Fig. 277 - État 3, inv. 712 : pince (Prise de vue A. Franchini).	203
Fig. 278 - État 3, inv. 716 : poinçon (Prise de vue A. Franchini).	204
Fig. 279 - Photographie du cuilleron inv. 381 (Prise de vue A. Franchini).	204
Fig. 280 - État 3, inv. 246 : épingle (Prise de vue A. Franchini).	204
Fig. 281 - État 3, inv. 846 : couvercle de boîte à sceau (Prise de vue J. Véber).	205
Fig. 282 - État 3, inv. 397 : plaque (Prise de vue A. Franchini).	205
Fig. 283 - État 4/5, inv.57 : clef à translation (Prise de vue A. Franchini).	206
Fig. 284 - État 4/5, inv. 508 : clef à translation (Prise de vue A. Franchini).	206
Fig. 285 - Répartition du petit mobilier par catégories fonctionnelles, hors lots (DAO : A. Franchini).	207

Fig. 286 - Aperçu des amphores de la cave (Prise de vue B. Bonaventure).	208
Fig. 287 - Le petit mobilier de l'état 1 (DAO : A. Franchini).	209
Fig. 288 - Le petit mobilier de l'état 2, 1/2 (DAO : A. Franchini).	210
Fig. 289 - Le petit mobilier de l'état 2, 2/2 (DAO : A. Franchini).	211
Fig. 290 - Le petit mobilier de l'état 2 - ENS.A (DAO : A. Franchini).	212
Fig. 291 - Le petit mobilier de l'état 2 - cave : gros-œuvre (DAO : A. Franchini).	213
Fig. 292 - Le petit mobilier de l'état 2 - cave : écriture et commerce (DAO : A. Franchini).	214
Fig. 293 - Le petit mobilier de l'état 2 - cave : culinaire et inclassable (DAO : A. Franchini).	215
Fig. 294 - Le petit mobilier de l'état 3, 1/2 (DAO : A. Franchini).	216
Fig. 295 - Le petit mobilier de l'état 3, 2/2 (DAO : A. Franchini).	217
Fig. 296 - Le petit mobilier de l'état 3 - US.34 et US.41 : artisanat (DAO : A. Franchini).	218
Fig. 297 - Le petit mobilier de l'état 3 - US.34 et US.41 : ameublement et culinaire (DAO : A. Franchini). ..	219
Fig. 298 - Le petit mobilier de l'état 3 - US.34 et US.41 : parure/vêtement, écriture et divertissement (DAO : A. Franchini).	220
Fig. 299 - Le petit mobilier de l'état 3 - US.34 et US.41 : gros-œuvre (DAO : A. Franchini).	221
Fig. 300 - Le petit mobilier de l'état 3 - US.34 et US.41 : inclassable (DAO : A. Franchini).	222
Fig. 301 - La vaisselle antique : phase 1, 2 et 3 (DAO : L. Catté).	227
Fig. 302 - La vaisselle antique : phase 4 et mobilier hors phase (DAO : L. Catté).	228
Fig. 303 - La vaisselle antique : mobilier hors phase (DAO : L. Catté).	229

Projet Collectif de Recherche
2022 - 2024

N a s i u m

